PALEOTIME
archéologie préventive

Le site paléolithique moyen du «Bois de Sirion» à Auvers-le-Hamon

Pays-de-la-Loire, Sarthe (72)

Opération d'archéologie préventive du 12 novembre au 21 décembre 2012

Code INSEE de la commune : 72016
Numéro Patriarche : OA 18 5097
Arrêté de prescription : n°321 en date du 13 août 2012,
arrêté modificatif n°384 du 17 octobre 2012



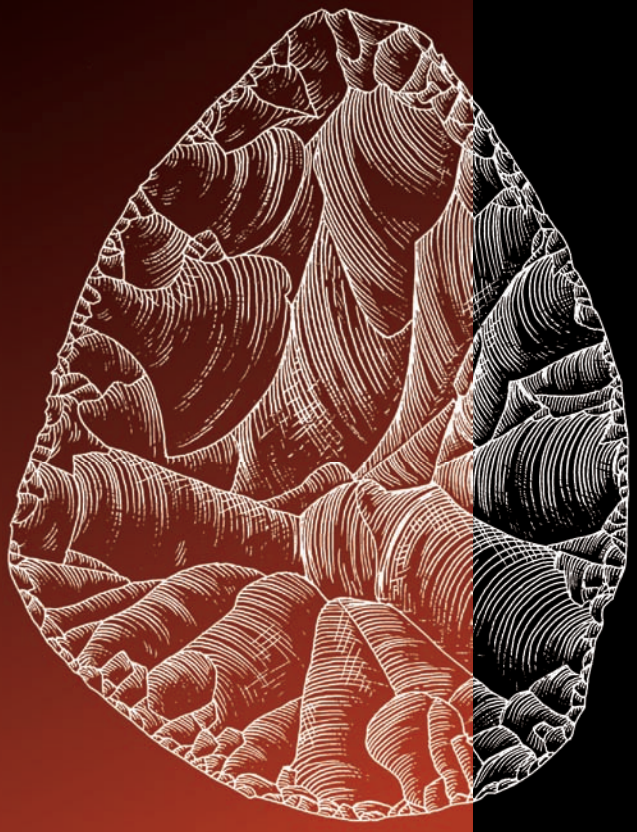

Rapport Final d'Opération

Briagell Huet (dir.),
Aurélie Castets, Sébastien Bernard-Guelle,
Paul Fernandes, Mathieu Rué,
Jean-Baptiste Caverne, Pascal Tallet
Grzegorz Adamiec

ERE
EIFFAGE RAIL EXPRESS

PALEOTIME
archéologie préventive

Liberté • Égalité • Fraternité
RÉPUBLIQUE FRANÇAISE
Ministère
Culture
Communication

Villard de Lans, octobre 2015

PALEOTIME
archéologie préventive

Le site paléolithique moyen du «Bois de Sirion» à Auvers-le-Hamon

Pays-de-la-Loire, Sarthe (72)

Opération d'archéologie préventive du 12 novembre au 21 décembre 2012

Code INSEE de la commune : 72016
Numéro Patriarche : OA 18 5097
Arrêté de prescription : n°321 en date du 13 août 2012,
arrêté modificatif n°384 du 17 octobre 2012

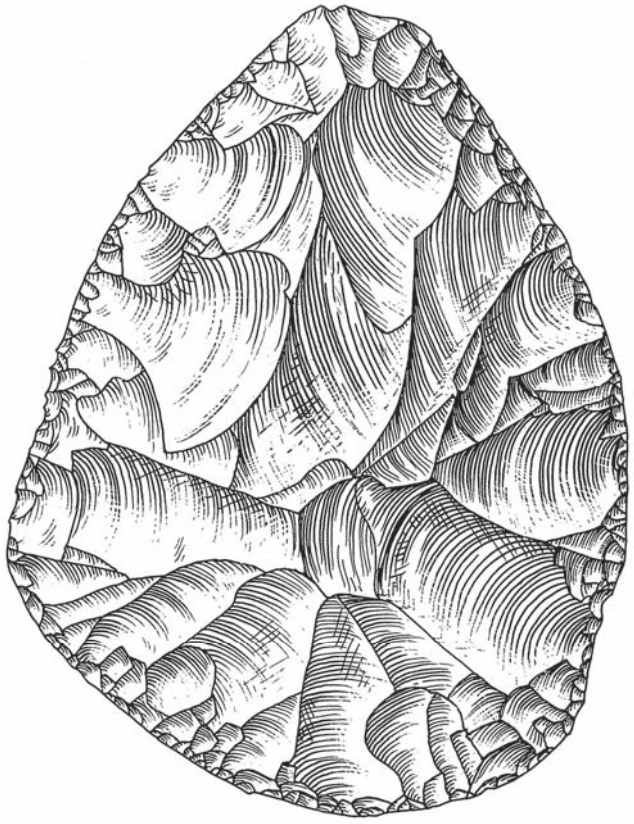

Rapport Final d'Opération

Briagell Huet (dir.),
Aurélie Castets, Sébastien Bernard-Guelle,
Paul Fernandes, Mathieu Rué,
Jean-Baptiste Caverne, Pascal Tallet
Grzegorz Adamiec

ERE
EIFFAGE RAIL EXPRESS

PALEOTIME
archéologie préventive

Liberté • Égalité • Fraternité
RÉPUBLIQUE FRANÇAISE

Ministère
Culture
Communication

Villard de Lans, octobre 2015

Crédits couverture © Paléotime : photo : B. Huet ; dessin : R. Picavet

Avertissement

Les rapports de fouille constituent des documents administratifs communicables au public dès leur remise au Service régional de l'archéologie, suivant les prescriptions de la loi n° 78-753 du 17 juillet 1978 modifiée, relative à l'amélioration des relations entre l'administration et le public. Aux termes de la circulaire du 26 mars 1993, ils pourront être consultés ; les agents des Services régionaux de l'archéologie rappelleront à tout demandeur les droits de propriété littéraire et artistique possédés par les auteurs et les contraintes qui en résultent pour tout consultant. Les prises de notes et les photocopies sont utilisées pour un usage exclusivement privé et non destiné à une utilisation collective (article L122-5 du code de la propriété intellectuelle). Toute reproduction du texte accompagnée ou non de photographies, cartes ou schémas, n'est possible que dans le cadre du droit de courte utilisation, avec les références exactes et complètes de l'auteur et de l'ouvrage. Par ailleurs, l'exercice du droit à la communication exclut, pour ses bénéficiaires ou pour les tiers, la possibilité de reproduire, de diffuser ou d'utiliser à des fins commerciales les documents communiqués (Loi n° 78-753 du 17 juillet 1978, art. 10).

Le non respect de ces règles constitue un délit de contrefaçon puni par l'article 425 du code pénal.

SOMMAIRE

Section 1 - Données administratives, techniques et scientifiques

9 Fiche signalétique
10 Mots-clés du Thésaurus
11 Générique de l'opération
12 Notice Scientifique
13 Fiche d'état du site
17 Arrêté de prescription de fouille
21 Cahier des charges
25 Arrêté modificatif de prescription de fouille
28 Projet Scientifique et Technique d'Intervention
37 Arrêté d'autorisation de fouille

Section 2 - L'opération et ses résultats

43 1. Cadre de l'intervention
63 2. Contexte stratigraphique
85 3. Datations par OSL/TL
89 4. Contexte taphonomique
109 5. Études pétroarchéologique des silex d'Auvers-le-Hamon
123 6. Études techno-typologique et économique de l'industrie lithique
169 7. Conclusion
171 Bibliographie
175 Liste des figures
180 Table des matières
185 Annexes

Section 3 - Inventaires techniques

200 Inventaire 01 - Documentation écrite
201 Inventaire 02 - Documentation graphique
202 Inventaire 03 - Documentation numérique
203 Inventaire 04 - Mobilier archéologique
250 Inventaire 05 - Prélèvements
251 Inventaire 06 - Unités stratigraphiques
252 Inventaire 07 - Coupes stratigraphiques
253 Inventaire 08 - Refus de tamis
254 Inventaire 09 - Photographies numériques
265 Inventaire 10 - Points topographiques

SECTION 1

Données administratives, techniques et scientifiques

Fiche signalétique

Numéro INSEE de la commune : 72016
Numéro Patriarche : OA 18 5097, EA 72 016 0037
Opération archéologique n°2012-121
Arrêté de prescription : n°321 en date du 13 août 2012, arrêté modificatif n°384 du 17 octobre 2012

Fiche identité du site

Région	Pays-de-la-Loire	
Département	Sarthe (72)	
Commune	Auvers-le-Hamon	
Lieu-dit cadastral	Le Bois de Sirion	
Coordonnées RGF93	**X :** 452856 m	**Y :** 6760080 m
Altitude NGF :	67 m	
Références cadastrales	Section C	Parcelle : 1200
Propriétaires du terrain	EIFFAGE RAIL EXPRESS (ERE)	
Protection juridique au titre des monuments et sites	Néant	

Maîtrise d'ouvrage

EIFFAGE RAIL EXPRESS, 22 avenue Henri Fréville, 35200 Rennes

Maîtrise d'oeuvre

Références de l'opération archéologique

Opération Patriarche : OA 18 5097, EA 72 016 0037
Arrêté d'autorisation de fouille : N° 392 en date du 05 novembre 2012
Responsable scientifique de l'opération : Briagell HUET
Opérateur archéologique : PALEOTIME sarl

Maître d'ouvrage des travaux : EIFFAGE RAIL EXPRESS
Raison de l'urgence : construction d'une ligne ferrovière (LGV Bretagne-Pays-de-la-Loire)

Dates d'intervention : du 12 novembre 2012 au 21 décembre 2012
Surface fouillée : 3045 m²
Type d'intervention : fouille préventive

Mots-clés du Thésaurus

Chronologie

- [x] Préhistoire
  - [x] Paléolithique
    - [ ] Paléolithique inférieur
    - [ ] Paléolithique inférieur/moyen
    - [x] Paléolithique moyen
    - [ ] Paléolithique supérieur
    - [ ] Épipaléolithique et Mésolithique
      - [ ] Épipaléolithique
      - [ ] Mésolithique
  - [ ] Néolithique
    - [ ] Néolithique ancien
    - [ ] Néolithique moyen
    - [ ] Néolithique récent
    - [ ] Néolithique final
- [ ] Antiquité
  - [ ] Protohistoire
    - [ ] Transition néo/chalco
    - [ ] Chalcolithique
    - [ ] Âge du bronze
      - [ ] Bronze ancien
      - [ ] Bronze moyen
      - [ ] Bronze final
    - [ ] Âge du fer
      - [ ] Premier âge du fer
        - [ ] Hallstatt
      - [ ] Second âge du fer
        - [ ] La Tène
- [ ] Antiquité romaine
  - [ ] République romaine
  - [ ] Empire romain
    - [ ] Haut-Empire
    - [ ] Bas-Empire
  - [ ] Antiquité tardive
- [ ] Époque médiévale
  - [ ] Haut Moyen Age
  - [ ] Moyen Age
  - [ ] Bas Moyen Age
- [ ] Temps Modernes
- [ ] Époque contemporaine

Vestiges mobiliers

- [x] Industrie lithique
- [ ] Céramique
- [ ] Parure
- [ ] Objet métallique
- [ ] Faune
- [ ] Industrie osseuse
- [ ] Reste végétaux
- [ ] Autre

Vestiges immobiliers

- [ ] Foyer
- [ ] Four
- [ ] Empierrement
- [ ] Fosse
- [ ] Fossé
- [ ] Silo
- [ ] Trou de poteau
- [ ] Cabane
- [ ] Maison
- [ ] Ensemble funéraire
  - [ ] alignement de menhirs
  - [ ] cromlech
  - [ ] ossuaire
- [ ] Monument
  - [ ] mégalithe
    - [ ] allée couverte
    - [ ] dolmen
    - [ ] menhir
  - [ ] tumulus
    - [ ] cairn
- [ ] Camp
- [ ] Enceinte
- [ ] Puits
- [ ] Citerne
- [ ] Oppidum
- [ ] Village
- [ ] Autre

Étude et analyses

- [x] Étude de mobilier lithique
  - [x] Typo technologie lithique
  - [ ] Tracéologie
  - [x] Pétro archéologie
- [ ] Étude de mobilier céramique
  - [ ] Céramologie
  - [ ] Analyse des pâtes céramique
- [ ] Anthropologie
- [ ] Archéozoologie
- [ ] Archéobotanique
  - [ ] Palynologie
  - [ ] Carpologie
  - [ ] Anthracologie
- [ ] Analyse de métaux
- [ ] Restauration
- [x] Géoarchéologie
  - [x] Géomorphologie
  - [x] Micromorphologie
  - [x] Sédimentologie
- [x] Datation
  - [ ] Radiocarbone
  - [x] Thermoluminescence
  - [x] OSL
- [ ] Autre

Générique de l'opération

Maître d'ouvrage :
EIFFAGE RAIL EXPRESS
22 avenue Henri Fréville 35200 Rennes

Responsable Archéologie préventive : François Poggio

Opérateur :
SARL PALEOTIME
6173 rue Jean Séraphin Archard Picard, 38250 Villard-de-Lans

Suivi administratif : Jean-Louis Schuh
Suivi administratif et scientifique : Alexandre Morin
Suivi technique : Arnaud Roy

Suivi scientifique :
Service Régional de l'Archéologie Pays-de-la-Loire
BP 63518, 1 rue Stanislas Baudry 44035 Nantes cedex 1

Guy San Juan, Conservateur régional
Nelly Le Meur, suivi du dossier

Terrassement :
EIFFAGE TP Ouest
Le Brouillard – BP 8 72210 VOIVRES-LES-LE-MANS

Conducteur d'engin : Sébastien Laurier

Équipe technique et scientifique de terrain :
Responsable d'opération : Briagell Huet (UMR6566-CReAAH)
Responsable de secteur - assistante topographie : Perrine Tacussel (Paléotime)
Géoarchéologue : Mathieu Rué (Paléotime, UMR 5140-ASM)
Topographe : Jean-Baptiste Caverne (Paléotime)
Technicienne - assistante géoarchéologie : Aurélie Castets
Techniciens : Alexandre Angelin, Sébastien Bernard-Guelle (Paléotime, UMR 7269-LAMPEA), Floriane Leclerc, Guillaume Varennes (Paléotime, UMR 5138-Archéométrie et Archéologie)

Équipe technique et scientifique pour l'étude et la rédaction du rapport :
Sébastien Bernard-Guelle (Paléotime, UMR 7269-LAMPEA) : collaborateur scientifique, remontages lithiques, relecture et synthèse
Aurélie Castets : étude taphonomique, DAO des coupes stratigraphiques
Jean-Baptiste Caverne (Paléotime) : topographie, DAO
Mathilde Delahaye : traitement du mobilier (lavage, marquage), tamisage granulométrique
Pascal Tallet (Paléotime) : DAO, PAO
Paul Fernandes (Paléotime, UMR 5199-PACEA) : étude pétrographique
GADAM Luminescence Dating Unit, Silesian University of Technology, Institute of Physics, Gliwice (Pologne) : datations OSL et TL
Briagell Huet (UMR 6566-CReAAH) : coordination et rédaction du RFO, étude de l'industrie lithique, DAO, inventaires
Bernard Martin (EPOC, UMR 5199-PACEA) : lithopréparateur
Régis Picavet (Paléotime, UMR 7269-LAMPEA) : dessin du mobilier lithique
Mathieu Rué (Paléotime, UMR 5140-ASM) : étude géoarchéologique et taphonomique
Perrine Tacussel (Paléotime) : lavage de mobilier, scan de la documentation de terrain
Guillaume Varennes (Paléotime, UMR 5138- Archéométrie et Archéologie) : saisie des inventaires de terrain, tri de refus de tamis
Jocelyn Robbe et Sébastien Bernard-Guelle : conditionnement du mobilier, finalisation des inventaires

Visites sur le site pendant l'opération :
Eiffage Rail Express : François Poggio
SRA Pays-de-la-Loire : Nelly Le Meur, Emmanuel Georges
UMR 6566 - CReAAH Rennes : Jean-Laurent Monnier (géologue et préhistorien, Directeur de recherche au CNRS), Yoann Chantreau (géoarchéologue, Docteur de l'Université de Rennes 1), Marine Laforge (géoarchéologue, Docteur de l'Université de Rennes 1)
Paléotime : Alexandre Morin (bureau d'études) et Jean-Louis Schuh (gérant)

Notice Scientifique

Le site archéologique du « Bois de Sirion » (Auvers-le-Hamon, Sarthe) a été fouillé en fin d'année 2012 dans le cadre du projet de construction de la Ligne à Grande Vitesse Bretagne - Pays de Loire. Il s'inscrit sur la bordure occidentale d'un vaste plateau formant l'interfluve entre deux affluents de la rive droite de la Sarthe (l'Erve à l'ouest, la Vègre à l'est), à des altitudes comprises entre 65 et 70 m NGF. La surface décapée de façon mécanique ou manuelle, sur près de 1,25 m de profondeur, s'élève à 3045 m^2.

Le mobilier archéologique paléolithique moyen, uniquement représenté par des objets lithiques, s'intercale au sein d'un pédocomplexe limono-sableux d'épaisseur métrique qui s'est développé sur du matériel colluvial et éolien au cours du dernier cycle glaciaire et qui recouvre une formation fluviatile d'âge pliocène supposé. Le niveau d'apparition du mobilier débute dès la surface du sol et ce jusqu'à la base de la séquence stratigraphique pléistocène. Cette dispersion verticale relativement importante, d'au moins 75 cm d'épaisseur, s'observe de manière homogène à travers l'emprise. Elle concerne toutes les catégories technologiques ou granulométriques d'objets. Sans surprise dans le cadre d'un site paléolithique de plein air peu profondément enfoui et en contexte de versant, les vestiges ont subi une histoire post-dépositionnelle complexe, difficile à démêler malgré les analyses stratigraphiques et taphonomiques menées en phase d'étude. Ces dernières permettent néanmoins de proposer l'hypothèse d'un site fortement remanié, vraisemblablement déplacé en masse par reptation, puis recouvert par des colluvions sableuses et enfin affecté par les processus cryogéniques. Dans tous les cas, les différents indicateurs taphonomiques montrent qu'aucune information archéologique fiable ne peut être extraite du plan de répartition des objets. Dans ce type de contexte, et en raison de l'homogénéité typo-technologique de l'industrie, il n'a pas été possible de déterminer si l'épandage de mobilier résulte d'une ou plusieurs phases d'occupation. D'après la stratigraphie et les datations par luminescence stimulée optiquement obtenues sur un silex brûlé et trois prélèvements de sédiment, la ou les occupations moustériennes se placeraient au cours du stade isotopique 3, voir au plus tard à la transition entre les stades 3 et 4.

Au total, plus de 10 000 vestiges lithiques ont été récoltés. Il s'agit essentiellement de silex (99,4 %) auxquels s'ajoutent quelques grès, quartzites et quartz. Le choix des occupants du « Bois de Sirion » semble avoir été dicté par le pragmatisme, puisque la majorité des silex proviennent des altérites jurassiques, seules formations locales contenant en abondance des silex de bonne qualité. Ce matériau est fréquemment introduit sous forme de petits blocs qui sont majoritairement utilisés pour fournir des outils bifaciaux, soit par façonnage direct de ces blocs, soit par débitage d'éclats destinés à être ensuite transformés en outils bifaciaux. La confection de pièces bifaciales est donc l'activité prépondérante au « Bois Sirion », la proportion d'éclats de façonnage (> 50 % des éclats entiers récoltés) et le nombre de pièces façonnées en témoignent (108 pièces bifaciales et 14 unifaces). Ces dernières représentent 30,8 % de l'outillage et 1 % de l'ensemble des artéfacts lithiques. Elles sont généralement de dimensions modestes et de type sub-cordiforme. Ce corpus regroupe des pièces à divers états de confection, depuis l'ébauche jusqu'à l'outil fini utilisé, fracturé et réaffûté ou recyclé, témoignant ainsi de la mise en œuvre d'un long cycle de production et d'utilisation de ces pièces sur le site. Plus rares, les activités de débitage sont néanmoins illustrées par des modes de production variés (Kombewa, Levallois, unipolaire…) fournissant des supports, parfois utilisés pour la confection d'outils bifaciaux comme vu précédemment, ou simplement retouchés, notamment en racloirs de types variés. Une production d'appoint est également mise en œuvre sur grès-quartzites dans le but de fournir quelques gros éclats.

Le « Bois Sirion » se présente donc comme un vaste site de production majoritairement tourné vers la confection d'outils bifaciaux en silex en relation directe avec leur consommation dans un environnement proche. Il se rattache au faciès moustérien à outils bifaciaux a priori limité à une macro-région englobant le Massif armoricain et sa bordure orientale ainsi que la Normandie. Ce faciès est essentiellement reconnu dans des zones riches en matériaux siliceux (silex ou grès) qui ont donné lieu à des occupations denses et probablement répétitives s'échelonnant entre la fin du stade isotopique 5 et le stade 3.

Le site de « Bois Sirion » constitue ainsi un jalon supplémentaire à la connaissance du Moustérien à outils bifaciaux en contexte d'atelier-habitat et ouvre de réelles perspectives de comparaisons régionales, notamment avec les sites proches de la vallée de la Vègre, comme à « Château Gaillard / la Mercerie » (Fontenay-sur-Vègre) fouillé récemment. Outre les comparaisons d'ordre technoculturel et fonctionnel entre ces sites, leur position stratégique à la limite entre le Massif armoricain à l'ouest, où les silex sont quasi absents, et le Bassin parisien à l'est, pourvues de nombreuses silicifications, offre un contexte particulièrement favorable à l'étude de la mobilité des populations au Paléolithique moyen dans cette région. Un des axes de recherches prioritaires à développer pourrait ainsi porter sur la détermination de l'origine précise des rares silex allochtones identifiés sur ces sites.

Fiche d'état du site

La prescription de fouille concernait une emprise de 4700 m² suite à l'arrêté modificatif n° 384 du 17 octobre 2012.

À l'issue de l'opération, ce sont 3045 m², soit 65 % de la superficie prescrite, qui ont été intégralement décapés mécaniquement ou manuellement sur près de 1,25 m de profondeur jusqu'au substrat constitué par les sables fluviatiles.

L'option de ne pas décaper la totalité de l'emprise prescrite a été prise en accord avec le SRA après l'ouverture de fenêtres tests. Les extensions du décapage mécanique menées vers l'est et le sud de l'emprise ont en effet révélé une raréfaction nette puis une absence totale des artefacts.

Cette répartition différentielle de l'horizon archéologique est à mettre en relation avec la présence d'argiles qui constituent le remplissage de dépressions observées dans le tiers sud-est de l'emprise, probablement un paléochenal. Cette zone ne justifiant donc pas une exploration extensive, ceci a permis de consacrer pleinement le temps imparti aux zones de plus fortes concentrations dans le cadre de fouilles manuelles.

Le niveau d'apparition du mobilier archéologique se situe autour de 50 cm sous l'humus. Les artefacts se rencontrent ensuite au sein de différentes unités pédosédimentaires jusqu'à la base de la séquence stratigraphique représentée par les sables fluviatiles. Cette dispersion verticale relativement importante, d'environ 75 cm d'épaisseur, s'observe de manière homogène à travers l'emprise.

La méthodologie de fouille mise en œuvre combine la réalisation de tranchées stratigraphiques, un décapage mécanique extensif par passes fines ainsi que des décapages manuels complétés par le tamisage des sédiments. La fouille manuelle a concerné 51 m² répartis en 4 locus distincts. En fin d'opération, la fouille de ces zones de fouille manuelle a été achevée à l'aide de moyens mécaniques.

Les terres évacuées ont, dans un premier temps, été stockées dans une zone dédiée conformément au souhait du Maître d'ouvrage. Puis, en accord avec le Maître d'ouvrage et le SRA, elles furent redéposées sur les zones préalablement décapées mécaniquement, au fur et à mesure de l'avancement du décapage mécanique. Ces différents dépôts ont été fermés à la pelle mécanique. Le volume décapé n'a toutefois pas été totalement remblayé à l'issue de l'opération.

L'opération ainsi menée a permis de circonscrire l'étendue du site vers l'est et le sud et de l'inscrire dans un contexte stratigraphique local.

Toutefois, au vu de la densité de vestiges découverte dans le quart nord-ouest de l'emprise, une extension du site reste probable à l'ouest de l'emprise prescrite, hors tracé de la LGV ; quant au nord, cette extension resterait très limitée comme en atteste le résultat des tranchées de diagnostic réalisées par l'INRAP.

Emprise de fouille prescrite : 4700 m²
Surface totale fouillée : 3045 m²
Surface fouillée manuellement : 52 m²



Figure 1.1 – Localisation de l'opération sur la carte topographique au 1/250 000. DAO J.-B. Caverne.

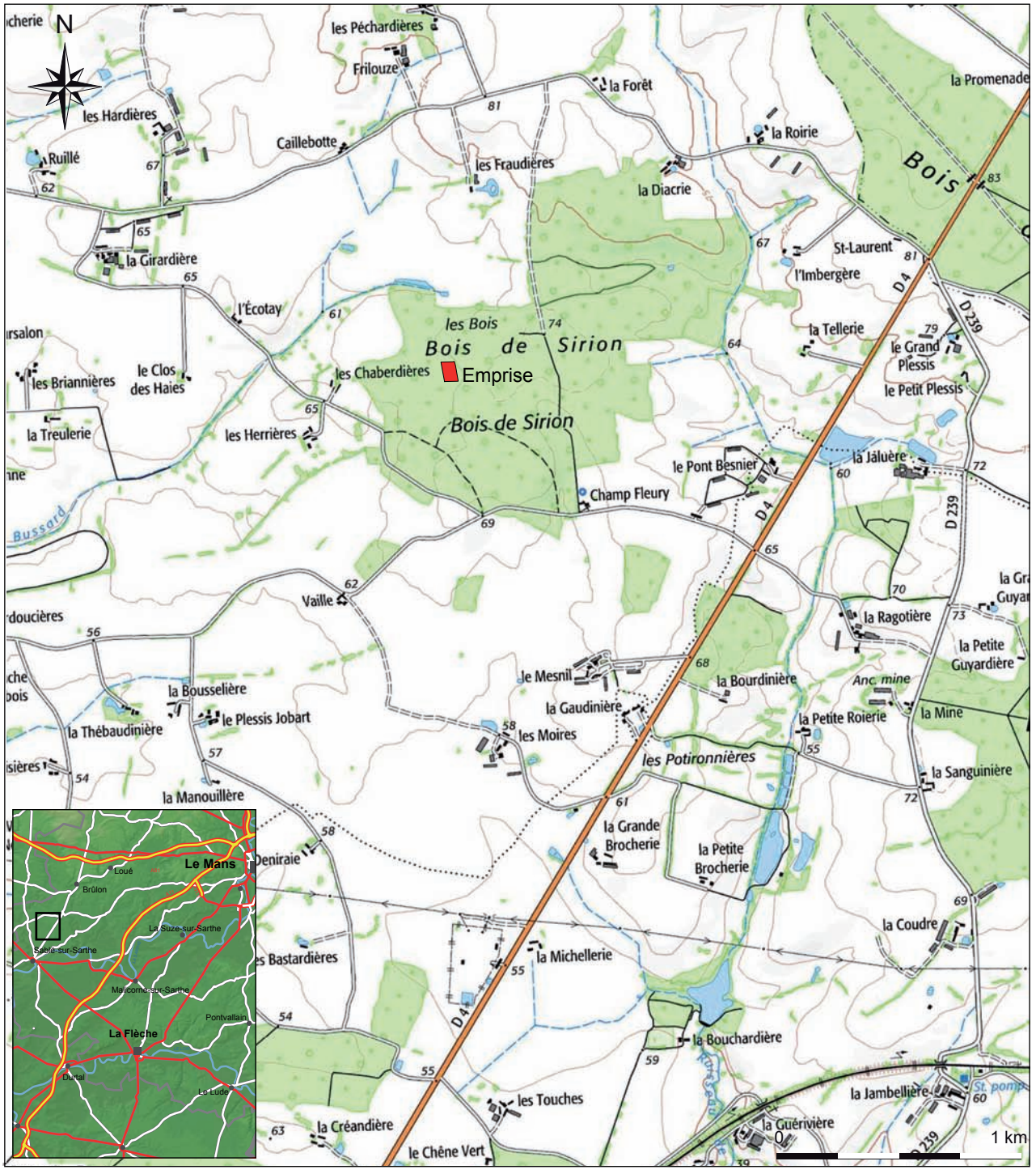

Figure 1.2 – Localisation de l'opération sur la carte topographique au 1/25 000 (© IGN). DAO : J.-B. Caverne.

DIRECTION GÉNÉRALE DES FINANCES PUBLIQUES

EXTRAIT DU PLAN CADASTRAL INFORMATISÉ

Département :
SARTHE

Commune :
AUVERS LE HAMON

Section : C
Feuille : 000 C 01

Échelle d'origine : 1/2500
Échelle d'édition : 1/3000

Date d'édition : 27/09/2012
(fuseau horaire de Paris)

Coordonnées en projection : RGF93CC48
©2011 Ministère du budget, des comptes publics, de la fonction publique et de la réforme de l'Etat

Le plan visualisé sur cet extrait est géré par le centre des impôts foncier suivant :
La Flèche
3 Allée de La Providence BP 157 72205
72205 LA FLECHE
tél. 02 43 48 54 52 -fax 02 43 48 54 49
cdif.le-mans@dgfip.finances.gouv.fr

Cet extrait de plan vous est délivré par :

cadastre.gouv.fr

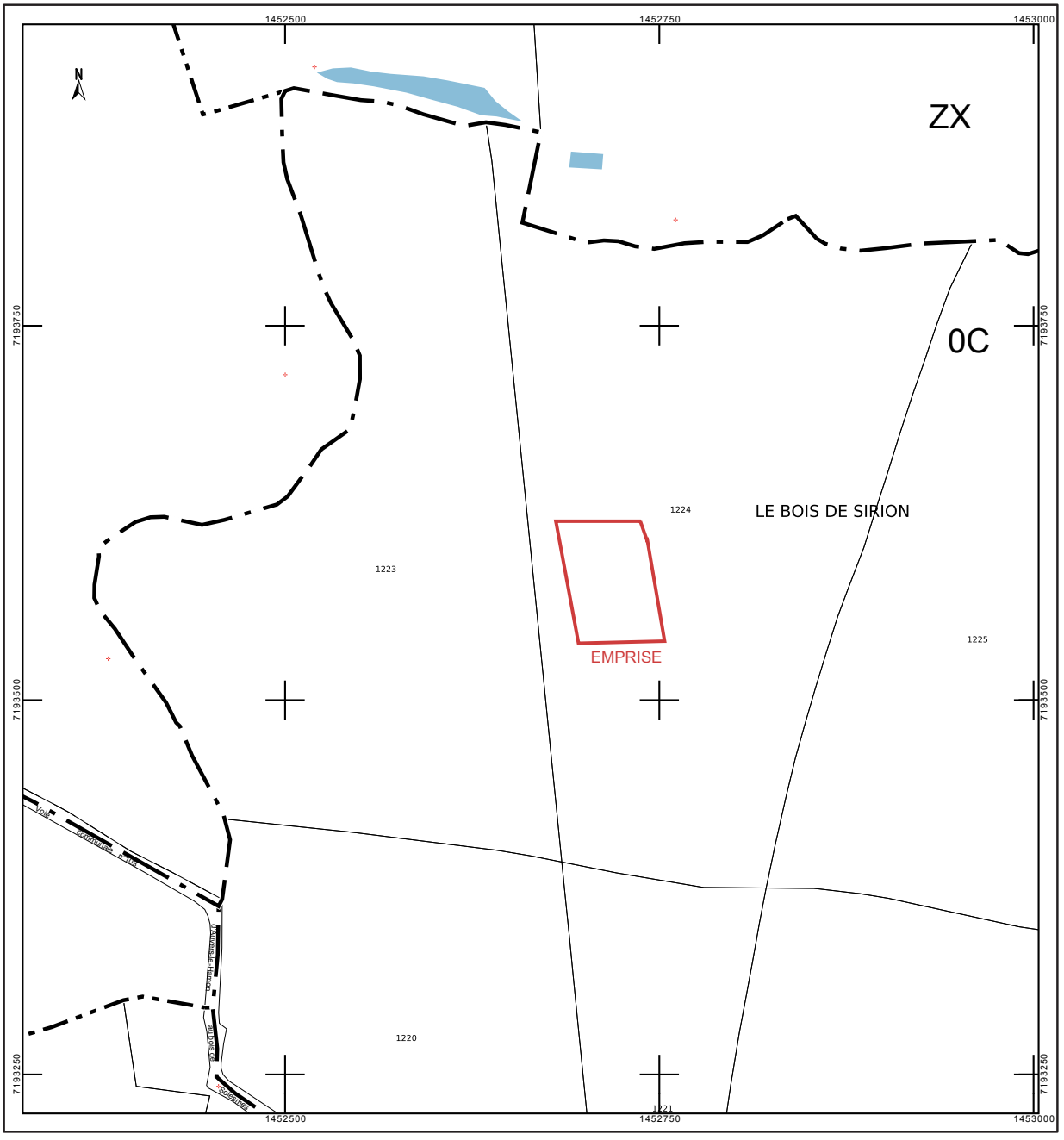

Figure 1.3 – Localisation du site sur le plan cadastral au 1/3 000. (©cadastre.gouv.fr). DAO J.-B. Caverne.

Arrêté de prescription de fouille

Liberté • Égalité • Fraternité
RÉPUBLIQUE FRANÇAISE

PRÉFET DE LA RÉGION PAYS DE LA LOIRE

Arrêté
portant prescription
d'une fouille préventive
(Opération n°2012-121)

DIRECTION REGIONALE DES
AFFAIRES CULTURELLES

Affaire suivie par

LE PREFET DE LA REGION PAYS DE LA LOIRE,

PRÉFET DE LA LOIRE-ATLANTIQUE

Officier de la Légion d'Honneur

Officier de l'Ordre National du Mérite

VU le code du Patrimoine et notamment son livre V;

VU le décret n° 2004-490 du 3 juin 2004 relatif aux procédures administratives et financières en matière d'archéologie préventive ;

VU le décret n°2007-823 du 11 mai 2007 relatif au Conseil national et aux commissions interrégionales de la recherche archéologique ;

VU l'arrêté du 16 septembre 2004 portant définition des normes d'identification, d'inventaire, de classement et de conditionnement de la documentation scientifique et du mobilier issu des diagnostics et fouilles archéologiques ;

VU l'arrêté du 27 septembre 2004 portant définition des normes de contenu et de présentation des rapports d'opérations archéologiques ;

VU l'arrêté n°2012/SGAR/200, en date du 25 juin 2012 de Monsieur Christian GALLIARD de LAVERNÉE, préfet de la région Pays-de-la-Loire, portant délégation de signature administrative à Monsieur Georges POULL, directeur régional des affaires culturelles des Pays de la Loire ;

VU la demande anticipée de prescription de diagnostic présentée par EIFFAGE RAIL EXPRESS, reçue le 20 février 2012 et le dossier présenté à l'appui de cette demande relatif à à la construction de la future Ligne à Grande Vitesse Le Mans – Rennes (bois de Sirio, Phase 2) ;

VU le rapport de diagnostic réalisé par l'INRAP remis au préfet de région le 12 juin 2012 faisant suite à l'arrêté n°110 du 15 mars 2012 ;

VU le courrier en date du 22 juillet 2011 reçu le 25 juillet 2011 nous informant que Réseau Ferré de France ne serait plus aménageur du projet "Ligne à Grande Vitesse Le Mans – Rennes" et que Eiffage Rail Express devenait maître d'ouvrage de cette opération de construction de ligne nouvelle ;

VU le courrier en date du 10 aout 2012 de Eiffage Rail Express faisant la demande de réaliser les fouilles d'archéologique préventive ;

VU l'avis de la Commission interrégionale de la recherche archéologique en date du 27-28 juin 2012 ;

Considérant la présence de vestiges archéologiques d'un habitat de plein air du Paléolithique moyen ;

Considérant que les travaux projetés doivent être précédés d'une étude des vestiges par une fouille archéologique.

ARRETE
n°321

Article 1er
Une fouille archéologique préventive sera mise en œuvre préalablement à la réalisation du projet de construction de la Ligne à Grande Vitesse Le Mans -Rennes , situé comme suit :

Région :Pays de la Loire
Département : Sarthe (LGV secteur 15)
Commune : Auvers le Hamon
Adresse / lieu-dit : « Bois de Sirion »
Cadastre : Section : C ; Parcelles : 1200
Coordonnées Lambert (centroïde) : x : 402252 y : 2325075
Numéro des entités archéologiques dans la base de données " Patriarche " : EA 72 016 0037

Propriétaire : l'opérateur prendra l'attache de l'aménageur pour connaitre l'état des propriétés au moment des travaux d'archéologie.

et réalisé par l'aménageur suivant :
Nom : EIFFAGE RAIL EXPRESS
Qualité : Maitre d'ouvrage

La fouille préventive porte sur une superficie de 5700 m2 selon les plans de situation annexés au présent arrêté (annexes 1 et 3).

Article 2
La fouille prescrite à l'article 1er sera réalisée conformément au cahier des charges scientifiques annexé au présent arrêté (annexe 2), sous la maîtrise d'ouvrage de l'aménageur désigné au même article.

Sa réalisation peut être confiée à l'Institut national de recherches archéologiques préventives ou à un opérateur titulaire de l'agrément prévu par l'article 74 du décret du 3 juin 2004 susvisé.

Cet agrément devra couvrir la période de la Préhistoire ancienne.

L'aménageur conclura avec l'opérateur un contrat comportant le projet scientifique d'intervention, lequel précisera les modalités de mises en œuvre des prescriptions énoncées par le cahier des charges scientifique précité.

Article 3
La fouille pourra être entreprise après que l'aménageur ait sollicité et obtenu l'autorisation prévue par l'article 42 du décret du 3 juin 2004 susvisé.

A cet effet, l'aménageur produira un dossier comprenant le contrat mentionné à l'article 2 du présent arrêté, le justificatif de l'agrément de l'opérateur et, le cas échéant, la déclaration sur l'honneur prévue à l'article 41 du décret du 3 juin 2004 susvisé.

Article 4
L'aménageur notifiera au préfet de région les dates de début et d'achèvement des opérations de fouilles. Il est responsable de la bonne conservation du mobilier mis au jour. Il est tenu de remettre, au préfet de région, un rapport final en 8 exemplaires originaux paginés dont un non-relié, élaboré sous la direction du responsable d'opération désigné par le préfet et conforme à l'arrêté du 27 septembre 2004 susvisé.

Article 5
Le service régional de l'archéologie adressera l'inventaire, prévu à l'article 7-2 de l'arrêté du 27 septembre 2004, des vestiges archéologiques mobiliers recueillis au cours de la fouille, à la personne physique ou morale, propriétaire à la date de début de l'intervention archéologique du terrain visé à l'article 1er et informera celui-ci de ses droits.

Le mobilier archéologique ne pourra donner effectivement lieu au partage prévu par l'article L 523-14 du code du Patrimoine susvisé qu'au terme de son étude scientifique et après remise au service régional de l'archéologie, laquelle remise intervient au plus tard deux ans après l'achèvement de la phase de terrain de la fouille. La prise de données, le rapport et les archives de l'opération seront organisées conformément aux arrêtés du 16 et du 27 septembre 2004 susvisés et aux recommandations du service régional de l'archéologie des Pays-de-la-Loire émises à l'attention des responsables d'opérations archéologiques.

Article 6
Le directeur régional des Affaires culturelles est chargé de l'exécution du présent arrêté, qui sera notifié à EIFFAGE RAIL EXPRESS - 22 avenue Henri Fréville - 35 000 RENNES.

Fait à Nantes, le 13 août 2012

Pour le directeur régional des affaires culturelles
et par délégation
Le directeur adjoint

Marc LE BOURHIS

Annexe 1 à l'arrêté n°321 du 13 août 2012
LGV Le Mans / Rennes
Auvers le Hamon (72) – bois de Sirion (72 016 0037)

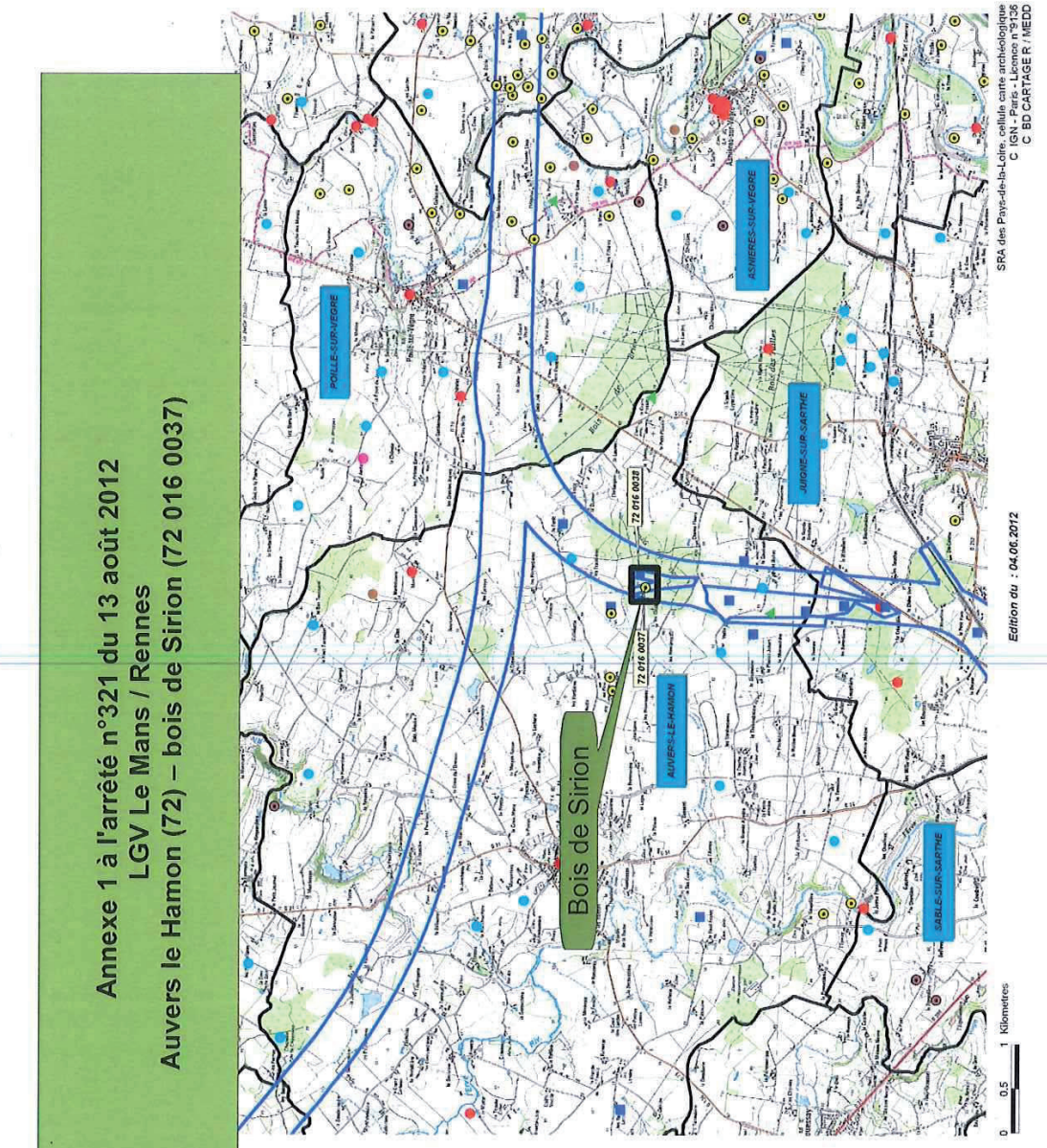

Cahier des charges

Annexe 2 à l'arrêté n°321 en date du 13 août 2012 portant prescription d'une fouille d'archéologie préventive

CAHIER DES CHARGES SCIENTIFIQUES

de la fouille archéologique préventive du site archéologique n°72 016 0037 commune de Auvers le Hamon (72) – lieu dit : « Le bois de Sirion » relative au projet de construction de la Ligne à Grande Vitesse Le Mans -Rennes

En application de l'article 2 de l'arrêté n°321 en date du 13 août 2012 la fouille préventive sera réalisée conformément au cahier des charges scientifique ci-après :

Lors du diagnostic archéologique, réalisé par Jean BRODEUR (INRAP) en 2012, sur le tracé de la future ligne à grande vitesse Le Mans-Rennes (secteur archéologique n°15, phase 2, bois de Sirion), le site archéologique «Bois de Sirion», sur la commune de Auvers le Hamon (Sarthe) a été découvert (annexe 1). Ce site est situé au sud-est de Auvers le Hamon et à environ 3,5 km à l'est de la rivière Erve.

Ce site a révélé la présence de nombreux artefacts lithiques (72) attribués au Paléolithique moyen, appartenant à une même entité et se répartissant dans 6 tranchées de sondages (24,25,27,29,30,31) avec une concentration plus importante dans les sondages 24 et 30 (80,5 % de la série).
L'assemblage lithique mis au jour appartient aux industries à outils bifaciaux de la phase récente du Paléolithique moyen (moustérien) présentant un pourcentage atypique d'outils (50% de la série) et une absence apparente d'éclats de débitage.

L'approche géologique préliminaire réalisée par Valérie Deloze (INRAP) montre que cette industrie se situe, à environ 0,50m sous le niveau de sol actuel, à l'interface d'une couche sablo-limoneuse meuble « composée d'un mélange de matériaux remaniés issus de l'argile à silex (RJ1) et de matériaux sableux remaniés provenant d'un lambeau de Sables et grès du Maine (C1-2a) » et des limons de plateaux (AOE) mêlés d'éléments pliocènes remaniés (P).

Objectifs :

Les industries du Paléolithique moyen sont essentiellement connues en Pays de La Loire par des prospections pédestres ou par de rares fouilles [grotte de Rochefort à Saint Pierre sur Erve (53) fouilles de Mme De Bomsberg à la fin du XIXe siècle, le gisement de Monbert autour du lac de Grand-Lieu vers les années 1950/60 (Loire-Atlantique), Le Mans en 2004] ou encore par des sondages [Asnières sur Vègre (2005/07), N. Molinès].
Les séries collectées, en prospection, sur les territoires de Fontenay sur Vègre, Chantenay Villedieu, Asnières sur Vègre et Auvers le Hamon (site de la Girardière) (par exemple), étudiées par J.-L Monnier, N. Molinès et S. Hinguant, ont été partiellement publiées dans le cadre des actes de la table ronde organisée en 1999, à Caen, par D. Cliquet, sur le thème « Les industries à outils bifaciaux du Paléolithique moyen d'Europe occidental ».

La fouille aura pour objet :

- d'affiner la dynamique des différents dépôts sédimentaires afin de caler au plus près la stratigraphie des artefacts

- d'analyser les séquences paléo-environnementales (paléosols, apports en sédiments détritiques, décalcification, etc.).

- l'étude détaillée des artefacts lithiques (matière première, chaîne opératoire, outillage...) permettra de : différencier les productions locales, régionales..., préciser l'aire de rayonnement – diffusion des matières premières, vérifier la présence d'un ou plusieurs « campements » successifs d'une même population ou de populations différentes et servir de référentiel pour ces industries du Paléolithique moyen.

Des comparaisons régionales voir supra régionales devront également être effectuées.

Méthodologie

La fouille de ce site consistera en un décapage intégral de la terre végétale sur une surface de **5700** m² concentré autour des tranchées 24 et 30 du diagnostic (annexe n°3). Ce décapage sera impérativement effectué sous le contrôle d'archéologues expérimentés à ce type de travaux.

Si nécessaire, seront réalisés tous prélèvements utiles pour l'approche paléo-environnementale (sédimentologie, palynologie, carpologie, anthracologie, etc.) ainsi que des prélèvements de bois, charbon de bois, dans le respect des protocoles nécessaires pour effectuer les analyses ultérieures et les mesures d'âge radiocarbone et/ou dendrochronologique.

Une fouille fine avec tamisage sera réalisée dans la zone à plus forte concentration avec un enregistrement assez fin pour permettre une analyse de fabrique et sera réalisé en concertation avec le service régional de l'archéologie des Pays de la Loire. La surface de cette zone pouvant être estimée entre 300-400m².

Pour le reste de la surface, la récupération des artefacts par mètre carré avec positionnement stratigraphique par rapport aux séquences repérées sera effectuée.

Une étude fine du mobilier par analyse techno-typologique, comptage précis des ensembles, des matériaux employés (minéraux) est indispensable pour cerner au mieux les phases chronologiques et identifier les lieux d'approvisionnement.

Le traitement (lavage, marquage, inventaire, conditionnement, isolation..) et l'étude du mobilier devront être impérativement réalisés au fur et à mesure de l'avancement de la fouille sur le terrain. Le mode d'enregistrement, de traitement et d'exploitation des données stratigraphiques y compris du mobilier devra faire l'objet d'une présentation détaillée et argumentée dans le projet scientifique.

L'opérateur proposera un protocole de tri et de traitement du mobilier pour identification et étude comprenant les mesures conservatoires éventuellement nécessaires. A cet effet il fera appel, en tant que de besoin, à la participation de spécialistes ou de laboratoires compétents pour le prélèvement, le traitement et l'étude du mobilier issu de la fouille. Une fiche de suivi indiquant le mode de traitement et la position des objets sera attachée à chacun d'entre eux. La DRAC (Service régional de l'archéologie) sera informée de tout mouvement du mobilier.

Profil du Responsable scientifique :

Le responsable scientifique devra être un archéologue spécialiste de la Préhistoire ancienne ayant une bonne connaissance des contextes régionaux et familiarisé dans l'étude des sites de plein air et devra assurer la direction effective de l'opération.

L'équipe devra comporter impérativement un géologue ou un géomorphologue chargé des observations de terrains, de la définition du cadre chrono-stratigraphique des ensembles lithiques, et de la coordination des différentes études paléoenvironnementales.

Le responsable scientifique informera de manière régulière par courrier ou messagerie électronique le conservateur régional de l'archéologie de l'état d'avancement de l'opération et de l'adéquation des moyens mis en œuvre pour la fouille préventive (travaux de terrain et phase d'exploitation des données). Il prendra toutes les mesures conservatoires qui s'imposent pour le mobilier archéologique mis au jour.

Il devra informer immédiatement le Conservateur régional de l'archéologie de toute découverte archéologique immobilière ou mobilière d'intérêt majeur et prendre les mesures conservatoires nécessaires.

Rapport de fouille : contenu et délai prévisionnel de remise :

Le rapport final d'opération devra intégrer les données de l'opération de diagnostic et de l'étude documentaire. Il devra être remis au maximum **24** mois après la fin de l'opération sur le terrain.

Le rapport de fouille devra être rédigé en français ainsi que l'ensemble de la documentation constituée lors de l'opération archéologique.

Il devra comporter tous les éléments prévus par l'arrêté du 27 septembre 2004 portant définition des normes de contenu et de présentation des rapports d'opérations archéologiques, notamment une présentation synthétique, avec mise en perspective des résultats de l'opération par rapport aux problématiques actuelles concernant cette période.

A cet effet le responsable scientifique devra se rapprocher des chercheurs régionaux impliqués dans les programmes de recherche (UMR 6566, et universités de Nantes, de Rennes et du Mans).

La documentation scientifique et le mobilier issus de l'opération archéologique seront remis à la DRAC (Service régional de l'archéologie) conformément aux dispositions de l'arrêté du 16 septembre 2004 portant définition des normes d'identification, d'inventaire, de classement et de conditionnement de la documentation scientifique et du mobilier issu des diagnostics et fouilles archéologiques et aux recommandations du service régional de l'archéologie des Pays-de-la-Loire émises à l'attention des responsables d'opérations archéologiques.

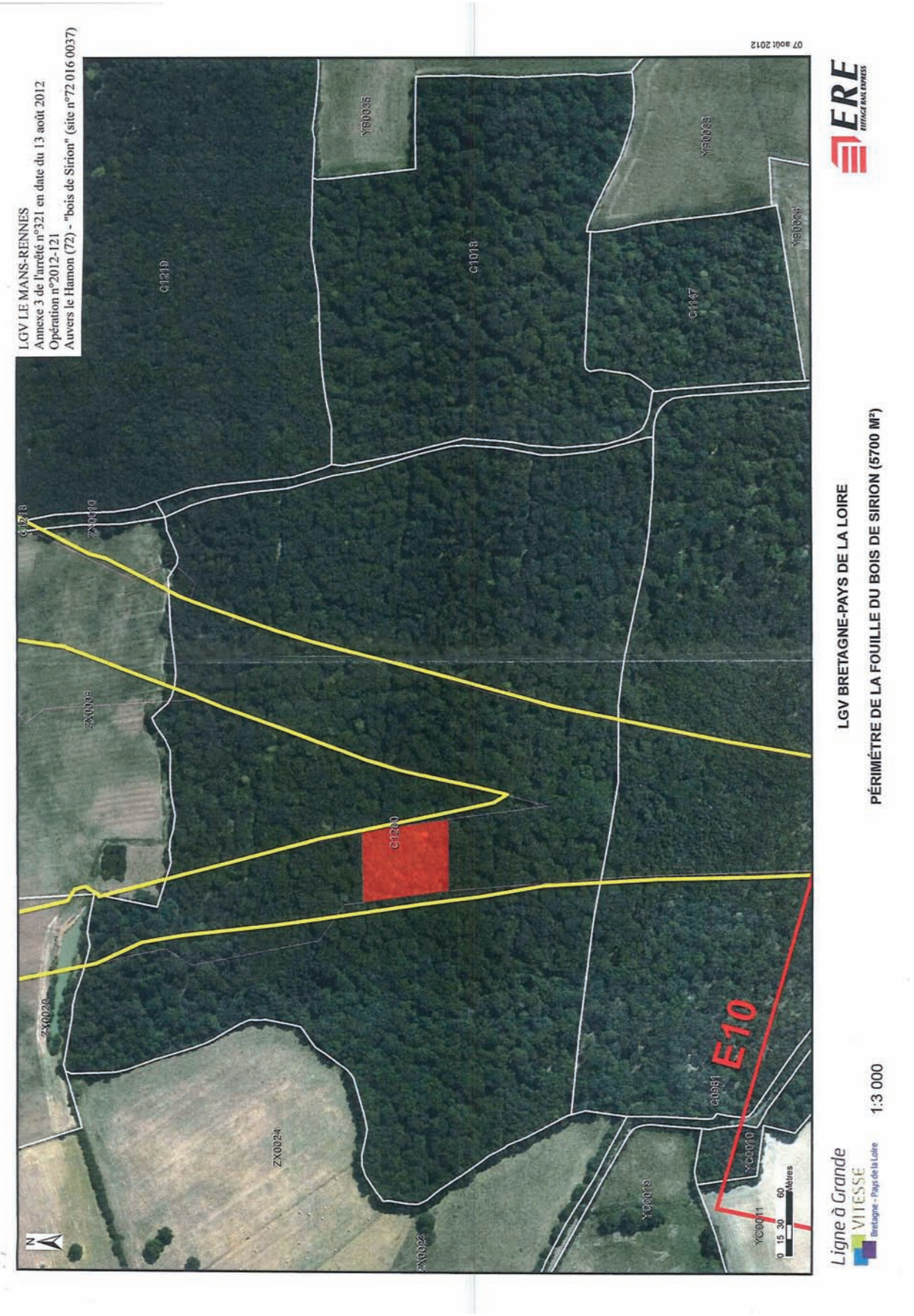
LGV LE MANS-RENNES
Annexe 3 de l'arrêté n°321 en date du 13 août 2012
Opération n°2012-121
Auvers le Hamon (72) - "bois de Sirion" (site n°72 016 0037)
07 août 2012
LGV BRETAGNE-PAYS DE LA LOIRE
PÉRIMÉTRE DE LA FOUILLE DU BOIS DE SIRION (5700 M²)
E10
ERE
EFFAGE RAIL EXPRESS
Ligne à Grande
VITESSE
Bretagne - Pays de la Loire
1:3 000
0 15 30 60 Mètres
N
C1219
C1018
C1147
YB0035
YB0003
YB0024
C1218
ZX0010
ZX0006
C1200
ZX0020
ZX0024
ZX0023
YC0019
YC0010
YC0011
C0961

Arrêté modificatif de prescription de fouille

REÇU LE
22 OCT. 2012

Liberté • Égalité • Fraternité
RÉPUBLIQUE FRANÇAISE

PRÉFET DE LA RÉGION PAYS DE LA LOIRE

Arrêté modificatif
(opération n°2012-121)

DIRECTION REGIONALE DES AFFAIRES CULTURELLES

Affaire suivie par

LE PREFET DE LA REGION PAYS DE LA LOIRE,
PRÉFET DE LA LOIRE-ATLANTIQUE

Officier de la Légion d'Honneur

Officier de l'Ordre National du Mérite

VU le code du Patrimoine et notamment son livre V ;

VU l'arrêté n°2012/SGAR/200, en date du 25 juin 2012 de Monsieur Christian GALLIARD de LAVERNÉE, préfet de la région Pays-de-la-Loire, portant délégation de signature administrative à Monsieur Georges POULL, directeur régional des affaires culturelles des Pays de la Loire ;

VU l'arrêté n°321 du 13 août 2012 portant prescription d'une opération d'archéologie préventive concernant le projet de ligne nouvelle à grande vitesse Le Mans -Rennes par Eiffage Rail Express, pour le terrain sis au lieu-dit "Bois de Sirion" sur la commune de Auvers le Hamon (72) (secteur 15 LGV) ;

VU le courrier de Eiffage Rail Express nous informant de modifications de surface concernant l'emprise des terrains nécessaire au projet d'aménagement sus-visé, reçu le 12 octobre 2012 ;

CONSIDERANT la demande de Eiffage Rail Express de modification de la surface à aménager.

ARRETE
(n°384)

Article 1er :
L'arrêté n°321 pris le 13 août 2012 est modifié comme suit :
l'emprise de la fouille archéologique préventive portera sur une surface de 4700 m².
La nouvelle emprise des terrains est délimitée sur le plan annexé au présent arrêté.

Article 2 :
Le directeur régional des affaires culturelles est chargé de l'exécution du présent arrêté, qui sera notifié à EIFFAGE RAIL EXPRESS - 22 avenue Henri Fréville - 35 000 RENNES.

Fait à Nantes, le 17 octobre 2012

Le directeur régional
des affaires culturelles

Georges POULL


10 Octobre 2012
CR6
Légende
Emprise Optimisée (Octobre 2012)
Emprise Réduite
VC103
0 10 20 40 Mètres
ERE
LGV BRETAGNE-PAYS DE LA LOIRE
FOUILLE DU BOIS DE SIRION, MODIFICATION D'EMPRISE (4700 M²)
ANNEXE À L'ARRÊTÉ n° 384 du 17 octobre 2012
Ligne à Grande VITESSE
Bretagne - Pays de la Loire
1:2 000

Projet Scientifique et Technique d'Intervention



PROJET SCIENTIFIQUE ET TECHNIQUE D'INTERVENTION

Réalisation
d'une fouille archéologique préventive
(Arrêté n° 321 en date du 13 août 2012, DRAC Pays de la Loire)

Site archéologique :
« Le Bois de Sirion »

Commune d'Auvers-le-Hamon
Département de la Sarthe (72)

Maître d'ouvrage

EIFFAGE RAIL EXPRESS
22, avenue Henri Freville
35200 Rennes

Opérateur archéologique

SARL PALEOTIME
272, rue du Lycée polonais
38250 Villard de Lans
(Agrément du Ministère de la Culture : arrêté du 31 août 2007)

24 septembre 2012

Dossier déposé au titre de :

La loi n° 2001-44 du 17 janvier 2001 relative à l'archéologie préventive, texte consolidé avec la loi n° 2003-707 (NOR: MCCX9900003L) ;

L'ordonnance n° 2004-178 du 20 février 2004, relative au code du patrimoine ;

Du décret n° 2004-490 du 3 juin 2004 relatif aux procédures administratives et financières en matière d'archéologie préventive (NOR : MCCX0400056D) ;

La loi n° 2004-804 du 9 août 2004 relative au soutien à la consommation et à l'investissement ;

Des arrêtés du 25 août 2004, du 8 juillet 2004, du 16 septembre 2004, du 27 septembre 2004 précisant le décret n° 2004-490 ;

L'arrêté du 31 août 2007, portant agrément en qualité d'opérateur d'archéologie préventive de la société PALEOTIME SARL (publication au Journal Officiel de la République Française du 21 septembre 2007) ;

L'arrêté préfectoral portant prescription d'une fouille archéologique préventive N° 321 en date du 13 août 2012, DRAC Pays de la Loire.

SOMMAIRE

1. PRÉSENTATION GÉNÉRALE DU SITE **p.5**

1.1 État des connaissances au terme du diagnostic archéologique p.5
1.2 La prescription de fouille – arrêté n° 321 en date du 13 août 2012 p.6
Plans de l'emprise de fouille p.7
Clichés p.9

2. PROPOSITION DU PROTOCOLE D'INTERVENTION POUR LA FOUILLE **p.11**

2.1 Calendrier prévisionnel p.11
2.2 Suivi de l'opération p.11
2.3 Installation p.11
2.3.1 Administratif p.11
2.3.2 Déboisement p.12
2.3.3 Réseaux p.12
2.3.4 Parking, accès, base-vie, station de tamisage p.12
2.3.5 Moyens mécaniques mis en œuvre p.13
2.3.6 Sécurité p.13
2.3.7 Topographie p.14
2.3.8 Personnel affecté p.14
Plan avec éléments techniques p.15

2.4 Décapage mécanique p.16
2.4.1 Gestion des terres p.16
2.4.2 Déroulement p.16
2.4.3 Moyens mécaniques mis en œuvre p.17
2.4.4 Personnel affecté p.18

2.5 Fouille du site p.18
2.5.1 Méthode p.18
2.5.2 Personnel affecté p.19
2.5.3 Moyens mécaniques mis en œuvre et autres matériels p.20
2.5.4 Traitement des mobiliers p.20

2.6 Repliement et restitution du terrain p.20
2.6.1 Procès-verbal de fin de travaux p.20
2.6.2 Matériels p.21
2.6.3 Personnel affecté p.21
2.6.4 Remise en état du terrain p.21
2.6.5 Plan de récolement p.21

3. ÉTUDES ET POST-FOUILLE p.22

3.1 Personnel affecté p.22
3.2 Inventaire et traitement des mobiliers p.24
3.3 Rédaction et remise du Rapport Final d'Opération p.24

4. QUANTITATIF PRÉVISIONNEL DES MOYENS ARCHÉOLOGIQUES p.25

5. DIFFUSION DES RÉSULTATS DE LA FOUILLE p.28

ANNEXES p.29

Annexe 1. Liste des intervenants scientifiques.

Annexe 2. *Curriculum vitae* de la responsable d'opération et spécialiste de l'industrie lithique : **Briagell HUET**.

Annexe 3. *Curriculum vitae* du collaborateur scientifique, fouille et post-fouille : **Sébastien BERNARD-GUELLE.**

Annexe 4. *Curriculum vitae* du géoarchéologue : **Mathieu RUÉ.**

Annexe 5. *Curriculum vitae* de l'assistante-géoarchéologue : **Aurélie CASTETS.**

Annexe 6. Fiche de liaison hebdomadaire Paléotime.

Annexe 7. Agrément du Ministère de la Culture en tant qu'opérateur d'archéologie préventive.

1. PRÉSENTATION GÉNÉRALE DU SITE

1.1 État des connaissances au terme du diagnostic archéologique

Dans le cadre du projet de ligne ferroviaire à grande vitesse (LGV) Bretagne/Pays de la Loire, un diagnostic archéologique a été réalisé par l'Inrap sous la direction de Jean Brodeur, sur la commune d'Auvers-le-Hamon (72), au lieu-dit « Le Bois de Sirion », en mars et avril 2012 (Brodeur, 2012).

L'opération s'est déroulée dans un bois de haute futaie, selon un maillage de sondages réalisé entre les plus gros arbres ou à l'emplacement de clairières. Des silex taillés datés du Paléolithique moyen ont été découverts principalement au niveau des tranchées 24, 25, 27, et 29 à 31.

La stratigraphie relevée dans la tranchée 32 présente la séquence suivante, de haut en bas : humus forestier (couche 1 ; 0,20 m d'épaisseur) ; sables limoneux brun-jaunâtres avec graviers épais et quelques charbons de bois (couche 2 ; 0,20 m d'épaisseur) ; argile sableuse orangé-gris (couche 3 ; épaisseur variable, 0,35 m en moyenne) ; argile plastique à la base, rattachée aux argiles à silex résiduelles (RJ1).

Les silex taillés sont présents à l'interface entre la couche sablo-limoneuse (couche 3) et les limons de plateau mêlés d'éléments pliocènes remaniés (couche 2). Dans la tranchée 24, les silex taillés ont été découverts à 0,50 m de profondeur.

L'industrie lithique est constituée de 72 pièces. Quatre nucléus sont orientés vers la production de supports courts de type Levallois, ainsi que de petits éclats allongés. L'outillage est largement représenté au sein du corpus : nombreux racloirs, une possible ébauche de pièce bifaciale, cinq éclats de mise en forme ou de réaffutage de biface et une probable pièce esquillée.

Un échantillon de matériaux prélevé au sein d'une structure antique correspondrait à une plaquette de silex roux à gris du Bajocien, qui est présente dans l'argile à silex (RJ1). Les premières observations sur l'origine des silex utilisés semblent montrer que l'essentiel de l'industrie a été réalisée sur ce silex.

Selon l'auteur, la présence de plusieurs pièces à retouches bifaciales renvoie au contexte moustérien à outils bifaciaux de tradition armoricaine, du Pléistocène moyen. Tous les éléments rencontrés dans la série du bois de Sirion se retrouvent dans le site de la Girardière situé à quelques centaines de mètres, et qui constitue une référence régionale pour la période.

Bibliographie

BRODEUR J., 2012. « Le bois de Sirion » (Auvers-le-Hamon, 72). *Rapport de diagnostic*, Inrap Grand Ouest, 84 p.

1.2 La prescription de fouille : arrêté n° 321 en date du 13 août 2012

L'arrêté préfectoral de prescription de fouille n° 321 en date du 13 août 2012, est accompagné d'un cahier des charges scientifiques détaillé du Service Régional de l'Archéologie, qui précise notamment les objectifs et principes méthodologiques, les compétences du responsable scientifique, le contenu et délai prévisionnel de remise du rapport de fouille, ainsi que le plan de l'emprise de fouille **(figure 1)**. L'emprise de fouille prescrite est d'une surface de 5700 m².



Figure 1. Emprise de fouille (annexe de l'arrêté n°321, DRAC, SRA Pays de la Loire).

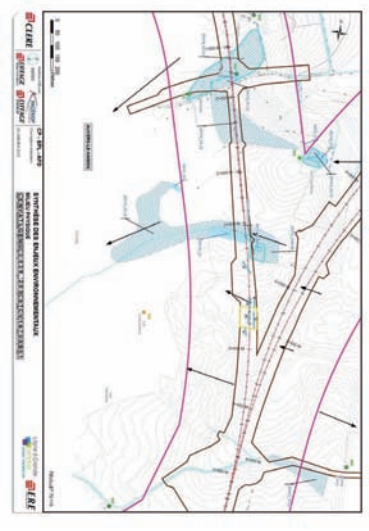

Figure 2. Localisation de l'emprise de fouille sur fond topographique
(source : ERE ; compléments Paléotime).



Forêt dans le secteur de l'emprise de fouille *(Cliché Paléotime).*



Chemin rural pour l'accès à la fouille (figure 3, option 1) *(Cliché Paléotime).*



Piste forestière située après le chemin rural, permettant d'accéder à la fouille (figure 3, option 1)
(Cliché Paléotime).



La forêt dans le secteur situé entre la route goudronnée et l'emprise de fouille, dans laquelle devra être réalisée une piste (figure 3, option 2) *(Cliché Paléotime).*

2. PROPOSITION DU PROTOCOLE D'INTERVENTION POUR LA FOUILLE

2.1 Calendrier prévisionnel

Proposition de calendrier prévisionnel pour l'opération à compter de la notification du marché	
1. => Phase de préparation, dont installation de chantier : Calendrier prévisionnel : 22 octobre au 9 novembre 2012 Installation de chantier : semaine du 5 novembre 2012	**15 jours ouvrés**
2. => Durée de la phase de fouille : Calendrier prévisionnel : 12 novembre au 21 décembre 2012 (Hors report des jours d'intempéries).	**30 jours ouvrés**
3. => Durée de l'obtention d'attestation de libération de terrain : Calendrier prévisionnel : 22 décembre 2012 au 11 janvier 2013 (Hors report des jours d'intempéries).	**3 semaines**
4. => Durée de la phase étude :	**24 mois** maximum après la fin de la phase terrain

2.2 Suivi de l'opération

En préalable au début de la fouille, le responsable d'opération élaborera un calendrier de réunions de chantier en collaboration avec les différents partenaires : Maîtrise d'ouvrage ; Service Régional de l'Archéologie Pays de la Loire ; intervenants ponctuels.

Durant la phase de terrain, le Maître d'ouvrage et le Service Régional de l'Archéologie seront hebdomadairement informés du déroulement des travaux archéologiques par le biais d'une fiche de « bilan hebdomadaire-Paléotime », qui sera transmise par le responsable d'opération chaque fin de semaine (annexe 6).

La responsable d'opération ou l'Opérateur informera immédiatement l'Aménageur et le Service Régional de l'Archéologie de toute difficulté ou de tout incident.

2.3 Installation

2.3.1 Administratif

Obtention de l'autorisation de fouilles nominative délivrée par le Service Régional de l'Archéologie, à la responsable de l'opération : **mademoiselle Briagell HUET** (annexe 2).

Élaboration et envoi des DICT (déclaration d'intention de commencement de travaux) par l'Opérateur qui en fait son affaire personnelle préalablement à son

intervention sur site.

Élaboration du PPSPS (plan particulier de sécurité et de protection de la santé).

Envoi au Service Régional de l'Archéologie Pays de la Loire, à la Mairie de Auvers-le-Hamon (72) et à l'Inspection du travail, de la déclaration d'ouverture de chantier.

Au démarrage de l'opération, un procès-verbal de mise à disposition du terrain sera dressé entre l'Opérateur et l'Aménageur.

Agrément du Ministère de la Culture et de la Communication en tant qu'Opérateur d'archéologie préventive, arrêté publié au J.O. du 21 septembre 2007. (annexe 7).

2.3.2 Déboisement

La zone de fouille (5700 m²), ainsi que la zone de dépôt des terres (environ 4000 m²) doivent être déboisées une semaine avant le début de la fouille. Le déboisement et l'évacuation du bois sont à la charge de l'Aménageur.

2.3.3 Réseaux

L'alimentation électrique est à la charge de l'Opérateur. Celle-ci sera assurée par une alimentation autonome (groupe électrogène de 10 Kva).

L'alimentation en eau est à la charge de l'Opérateur. Ce dernier mettra en place une réserve souple, installée sur une plateforme à proximité immédiate de l'emprise de fouille, qui sera utilisée uniquement pour les besoins des travaux archéologiques (tamisage, nettoyage des outils, etc.).

2.3.4 Parking, base-vie, accès, station de tamisage

Parking, base-vie

Le parking et la base-vie seront installés à proximité immédiate de l'emprise de fouille (figure 3), au sud ou au nord selon l'option choisie. La base-vie sera composée des éléments suivants :

- un bungalow vestiaire
- un bungalow bureau/salle de réfectoire
- un container pour le matériel
- deux cabines WC autonomes (Homme et Femme).

Conformément au PGC, la base-vie sera clôturée par des barrières fixes (type « Héras ») avec portail d'accès.

Accès à la fouille

L'accès à la fouille se fera, soit à l'est par le chemin forestier existant (option 1), soit au sud depuis la route goudronnée (option 2), avec un véhicule tout terrain. Pour l'accès au sud, il sera nécessaire de réaliser une piste au milieu de la forêt, de 3 m de large et 400 m de long, avec un revêtement de granulats concassés (240 m^3).

Station de tamisage

Pour le traitement des sédiments, un poste de tamisage à l'eau sera aménagé à proximité de l'emprise de fouille, sur 8 m² et 0,50 m de profondeur, avec évacuation en puits perdu. Une plateforme en terre sera réalisée pour la poche d'eau. Cette poche sera alimentée autant de fois que nécessaire. Le tamisage sera réalisé uniquement à l'eau, sans aucun additif de quelque nature que ce soit.

2.3.5 Moyens mécaniques mis en œuvre

Le coût des moyens mécaniques est à la charge de l'Opérateur.

Option 1 (figure 3) :
- transport des éléments à proximité de l'emprise de fouille ;
- creusement de la station de tamisage ;
- plateforme poche d'eau.

Option 2 (figure 3) :
- terrassement pour la création de la piste ;
- épandage de 240 m^3 de granulats concassés pour la piste (à la charge de l'Aménageur);
- transport des éléments à proximité de l'emprise de fouille ;
- creusement de la station de tamisage ;
- plateforme poche d'eau.

Option 1 : 1 jour de pelle mécanique 25t minimum avec chauffeur.

Option 2 : 3 jours de pelle mécanique 25t avec chauffeur et 1 j de dumper avec chauffeur + 240 m^3 de granulats concassés fournis par l'Aménageur.

2.3.6 Sécurité

Barrière

Une barrière souple de sécurité de 1,20 m de hauteur sera installée autour de l'emprise de fouille, des containers et de la station de tamisage, soit environ 350 m linéaires, durant toute la durée du chantier.

Signalétique

Signalétique obligatoire légale en matière d'accès, de circulation et du port du matériel de sécurité des personnes en relation avec le type d'activité (précisé dans le PPSPS).

Équipement individuel

L'équipement de protection individuelle est composé de casques de chantier, de casques anti-bruits, de lunettes de protection, de gilets de sécurité, de gants, de genouillères et de chaussures de sécurité.

Sécurité incendie, trousse d'urgence, affichage légal

Dans les bungalows, matériel de sécurité incendie adapté et affichage légal obligatoire et présence d'une trousse de premiers secours.

Une attention particulière sera portée aux éléments et aux consignes de sécurités liés à l'évolution du personnel dans les rayons d'action des machines.

Secouriste du travail

Sur le chantier, présence permanente d'un Sauveteur Secouriste du Travail (SST) et d'une personne formée à la sécurité sur les chantiers archéologiques.

Gardiennage du site archéologique et des installations

Les besoins éventuels de gardiennage du site de fouille sont de la responsabilité de l'Opérateur.

2.3.7 Topographie

L'Aménageur procédera au piquetage préalable de l'emprise de fouille telle que définie dans l'arrêté de prescription, ainsi qu'à la délimitation des zones de stockage des déblais et des limites de propriétés attenantes.

Le piquetage de l'emprise de la zone de fouille sera réalisé en coordonnées RGF93CC48. L'Opérateur prend à sa charge le relevé de l'état des lieux et tous les travaux de topographie liés aux recherches archéologiques.

2.3.8 Personnel affecté

Soit personnel affecté à l'installation :
1 responsable technique
1 assistant technique



Piste forestière pour accéder à la fouille (figure 3, option 1) *(Cliché Paléotime).*

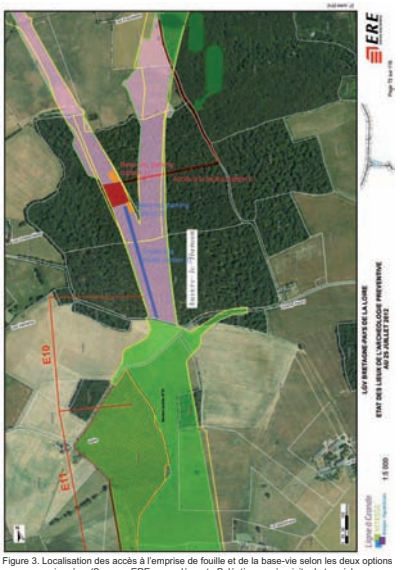

Figure 3. Localisation des accès à l'emprise de fouille et de la base-vie selon les deux options envisagées *(Source : ERE ; compléments Paléotime après visite de terrain).*

2.4 Décapage mécanique

2.4.1 Gestion des terres

Les terres seront décapées et stockées en distinguant les différents horizons.
Elles seront déposées en périphérie immédiate de la zone de fouille (figure 3) et de façon à ce que cela ne fasse pas obstacle aux passages des engins.
L'Aménageur mettra à disposition la surface nécessaire à proximité immédiate de la zone de fouille, pour le dépôt d'environ 4000 m³ de terres.

2.4.2 Déroulement

Comme stipulé dans le cahier des charges scientifiques, l'ensemble de la surface de fouille (5700 m²) fera l'objet d'un décapage mécanique intégral à l'aide d'un godet lisse de curage. La terre végétale sera déposée dans les aires de stockage spécifiées par l'Aménageur, à proximité immédiate de l'emprise de fouille, et isolée du reste des déblais.

Tranchées stratigraphiques, approche géoarchéologique

En raison de la topographie et du caractère manifestement assez diffus du site, il paraît nécessaire d'avoir une vision stratigraphique quasi-continue sur les quatre cotés de l'emprise au début de l'opération. Les tranchées devront recouper entièrement l'horizon BT dégradé (couche 3) et entamer le sommet de l'altérite (couche 4) et donc recouper également la nappe d'objets, sauf si présence de concentrations. Les terres seront déposées en merlons, en limite d'emprise.

Le géoarchéologue, monsieur Mathieu RUÉ (annexe 4), sera présent pour diriger l'étude et les relevés des coupes stratigraphiques, en collaboration avec l'assistante-géoarchéologue mademoiselle Aurélie CASTET (annexe 5). Ces coupes serviront :
- au séquençage rapide du sol en unités pédosédimentaires ;
- à la compréhension de la géométrie d'ensemble des dépôts ;
- à préciser où et comment s'insèrent les vestiges (niveau d'apparition, épaisseur des nappes d'objets, etc.), supports aux projections ;
- à la définition des lieux de prélèvements (micromorphologie, granulométrie, radiométrie).

Le mobilier archéologique découvert lors de l'ouverture des tranchées sera spatialisé par secteur dont la maille sera adaptée à la nature du terrain et à la concentration des vestiges. En cas de fortes concentrations, l'éventualité d'une fouille manuelle sera discutée avec le SRA. La fouille manuelle des concentrations lithiques situées contre ou à proximité des coupes de référence permettra d'apporter des données sur les modalités de mise en place des dépôts et sur la taphonomie des vestiges.

La mise au propre de ces informations sera réalisée par le responsable topographe, monsieur Jean-Baptiste CAVERNE, afin de disposer d'un plan de répartition du mobilier.
Le décapage sera poursuivi par bandes parallèles ce qui permettra d'assurer un contrôle stratigraphique régulier et si besoin de conserver des bermes. L'objectif est d'atteindre l'interface entre les couches 2 et 3 où sont localisés les silex taillés. En raison des variations d'épaisseur de la couche 3, il est prévu, si nécessaire, de pouvoir conduire le décapage sur une profondeur de 0,70 m sur l'ensemble de l'emprise.

2.4.3 Moyens mécaniques mis en œuvre

Le coût des moyens mécaniques est à la charge de l'Opérateur. La sous-traitance sera réalisée par l'entreprise **EIFFAGE TP.**

Moyens mécaniques pour le décapage de la terre végétale et la fouille mécanisée (EIFFAGE TP)

Emprise de fouille : 5700 m² ;
Profondeur de décapage : 0,70 m ;
Volume (hors foisonnement) : 4000 m³ ;
M³/jour/pelle : 170 m³.

Calendrier prévisionnel théorique :

Semaine 1 :
1 pelle – 5 j
1 dumper ou tracto-benne – 3 j

Semaine 2 :
2 pelles – 10 j
2 dumper ou tracto-benne – 10 j

Semaine 3 :
1 pelle – 5 j
1 dumper ou tracto-benne – 5 j

Semaine 4 :
1 pelle – 3 j

Semaine 5 ou 6 :
1 pelle – 2 j (élimination des bermes et vérification des secteurs de fouille manuelle)

Soit un total de 25 j de pelle mécanique chenillée 25 tonnes, équipée d'un godet lisse de curage de 2 m et d'un godet lisse de taille inférieure au mètre (avec chauffeur)
Soit un total de 18 j de dumper ou tracto-benne (avec chauffeur).

2.4.4 Personnel affecté

La première semaine sera consacrée à la réalisation et l'étude des tranchées stratigraphiques, ainsi qu'au début du décapage de la terre végétale (couche 1) et des limons de plateau mêlés d'éléments pliocènes remaniés (couche 2).
Une équipe de quatre personnes sera présente. Elle sera constituée par la responsable d'opération, le géoarchéologue et son assistant, ainsi que par un technicien-topographe.

Personnel affecté – tranchées stratigraphiques et début de décapage (semaine n°1) :

1 responsable d'opération
1 technicien-assistant topographe
1 géoarchéologue
1 technicien-assistant géoarchéologue

2.5 Fouille du site

2.5.1 Méthode

La réalisation des tranchées stratigraphiques permettra de séquencer la couverture sédimentaire, de préciser la puissance des niveaux archéologiques, d'obtenir les premières données sur les conditions taphonomiques du site et d'orienter le décapage sur le reste de l'emprise.
La première phase aura pour objectif d'atteindre le toit supposé du niveau archéologique du Paléolithique moyen qui, d'après les données du diagnostic, apparaît vers 0,50 m sous le sol actuel, à l'interface entre les couches 2 et 3.
Une fois le niveau atteint, la seconde phase mécanique réalisera la fouille par passes centimétriques successives à l'aide du godet lisse de curage. Les objets seront relevés individuellement en trois dimensions. Comme l''épaisseur de la couche 3 semble variable, il est prévu de pouvoir réaliser une fouille mécanisée sur une profondeur de 0,70 m sur l'ensemble de l'emprise.
En raison de la superficie importante de la fouille, des bermes témoins conservant l'ensemble de la séquence seront conservées, afin de permettre des recoupements entre les vestiges archéologiques et le contexte stratigraphique, surtout pour les secteurs de fouille manuelle.
Conformément au cahier des charges scientifiques, en concertation avec le service régional de l'archéologie, une fouille fine avec tamisage à l'eau sera réalisée dans la zone à plus forte concentration, avec un enregistrement permettant une analyse de fabriques. Le prélèvement des silex taillés sera adapté afin de conserver leur potentiel tracéologique. Toutes les structures seront relevées en plans géoréférencés et en coupes.

Géoarchéologie, microstratigraphie

L'assistante-géoarchéologue sera présente durant toute la fouille. Les principaux prélèvements pour les analyses seront concentrés sur des portions des coupes de référence (séquences types) : granulométrie et pétrographie de la fraction > 2 mm, microgranulométrie de la fraction fine, microstratigraphie (lames minces), datations radiométriques et OSL.
Dans le cadre de l'étude taphonomique du niveau archéologique, les prélèvements destinés au tamisage pour la granulométrie seront réalisés dans les mêmes zones que les tests de fabriques.

Contribution à l'étude taphonomique du mobilier

En plus des informations qui seront fournies par l'étude du contexte pédosédimentaire et par l'analyse spatiale du mobilier (remontages), il est proposé, si nécessaire, de tester et de caractériser les perturbations post-dépositionnelles de l'assemblage archéologique au moyen :
- d'une analyse de l'orientation et de l'inclinaison des éléments allongés (fabriques) ;
- d'une analyse de la distribution granulométrique des éléments lithiques ;
- si possible d'une étude des états de surface des silex (étude pétroarchéologique).

Datations

Seront prélevés lors de la fouille :
- des carottes sédimentaires pour deux datations OSL ;
- des artefacts chauffés pour deux datations par thermoluminescence.

Les relevés graphiques minimum prévus

- raccordement au cadastre, au système Lambert II étendu et niveau NGF;
- plan de masse de l'ensemble du terrain, implantation de la fouille ;
- relevés de détails au 1/20ème, éventuellement au 1/10ème ;
- relevés spatiaux de mobiliers au théodolite laser ;
- relevés et photographies zénithales, photomontages éventuels ;
- relevés des coupes stratigraphiques générales ou des détails le cas échéant.

2.5.2 Personnel affecté

En deuxième et troisième semaines l'équipe sera constituée de cinq personnes avec l'arrivée de deux techniciens supplémentaires. En quatrième semaine, la fouille sera suffisamment avancée et nécessitera le renfort d'un technicien. L'équipe sera alors constituée de six archéologues jusqu'à la fin de la fouille. L'assistante-géoarchéologue et l'assistant-topographe seront présents durant toute la fouille. Le topographe réalisera le traitement des données et les rendus des coupes et plans et se rendra si nécessaire ponctuellement sur le terrain.

Fouille - personnel affecté (semaines n° 2 à 6) :

Semaines n° 2 et 3 :
1 responsable d'opération
1 technicien – assistant topographe
1 technicien – assistant géoarchéologue
2 techniciens

Semaines n° 4 à 6 :
1 responsable d'opération
1 technicien – assistant topographe
1 technicien – assistant géoarchéologue
3 techniciens

Interventions de spécialistes :
1 topographe

2.5.3 Moyens mécaniques mis en œuvre et autres matériels

Le coût des moyens mécaniques est à la charge de l'Opérateur. Le détail des moyens mécaniques nécessaires à l'ensemble de la fouille est présenté dans le chapitre 2.4.2.

Au minimum trois abris de type serre (25 m²) sont prévus pour la durée du chantier afin d'assurer la protection des secteurs de fouille manuelle.

L'équipement technique courant qui sera utilisé se compose d'un groupe électrogène, d'une pompe de refoulement, de matériel photographique numérique, de matériel informatique et tout le matériel nécessaire aux travaux de fouille manuelle. Une station théodolite laser sera présente en permanence sur la fouille.

2.5.4 Traitement des mobiliers

Le mobilier archéologique sera inventorié et conditionné dans des caisses plastiques normalisées et étiquetées et mis en sécurité hors site.

2.6 Repliement et restitution du terrain

2.6.1 Procès verbal de fin de travaux

A la fin de l'opération de terrain, un procès verbal contradictoire de fin de travaux sera dressé entre l'Opérateur et l'Aménageur. L'Aménageur communiquera ce procès-verbal au Préfet afin qu'il lui délivre l'attestation de libération de terrain visée par l'article 53 du décret n°2004-490 du 3 juin 2004.

2.6.2 Matériels

L'Opérateur procédera :
- à la récupération de l'ensemble des barrières ;
- à l'enlèvement des bungalows, containers et des constructions annexes (station de tamisage) ;
- au nettoyage du site.

Soit 1 jour de pelle mécanique 25t minimum avec chauffeur.

2.6.3 Personnel affecté

1 responsable technique

2.6.4 Remise en état du terrain

A la fin de l'opération, les surfaces décapées et fouillées ne seront remises en état par l'Opérateur qu'après demande de l'Aménageur. Si tel est le cas, le remblaiement devra respecter l'ordre des différentes terres.

2.6.5 Plan de récolement

L'Opérateur transmettra à l'Aménageur dans le délai maximum de quinze jours après la signature du procès-verbal précité, un plan de récolement faisant apparaître:
- les accès utilisés ;
- la position exacte du périmètre de fouille, ainsi que l'emplacement précis des terres stockées ;
- les différentes profondeurs des fouilles réalisées.

Le plan de récolement sera remis au format papier ainsi qu'au format numérique natif (dwg).

3. ÉTUDES ET POST-FOUILLE

3.1 Personnel affecté

Le responsable d'opération assurera l'organisation et la répartition des travaux et analyses, leur suivi et contrôle, de la réalisation jusqu'aux rendus des résultats de ses collaborateurs et des laboratoires concernés (annexe 1), qu'il devra valider. Il rédigera les parties du Rapport Final d'Opération lui afférant.

Un ou deux techniciens seront en charge du traitement du matériel (lavage, marquage, conditionnement), du tamisage des prélèvements sédimentaires, d'une partie des inventaires et de l'archivage de la documentation réalisée lors de la fouille.

Un infographiste assurera la mise au net des relevés de terrain, la réalisation et le traitement des photos et des figures (DAO).

Un topographe réalisera les plans et les projections du mobilier archéologique, ainsi que le plan de récolement à remettre à l'Aménageur.

Un dessinateur, également lithicien, réalisera la représentation graphique de l'industrie lithique.

Un infographiste mettra en page l'ensemble des données validées par le responsable d'opération, afin de constituer le Rapport Final d'Opération.

Plusieurs spécialistes seront en charge des études scientifiques :
- un géoarchéologue – monsieur **Mathieu RUÉ** (annexe 4) - et l'assistant géoarchéologue : stratigraphie, micromorphologie (lames minces), étude de la distribution de la fraction granulométrique de l'assemblage lithique, étude des tests de fabriques, suivi et interprétation des datations OSL ;
- un pétrographe – monsieur **Paul FERNANDES** - réalisera la caractérisation et la provenance des silex ; si possible l'étude concernera également l'évolution des textures et de la morphologie des surfaces (facteurs mécaniques et chimiques) ; ce complément d'informations permet de reconstituer l'histoire post-génétique des roches, avant (pré-dépositionnelle) et après (post-dépositionnelle) leur utilisation par l'homme ;
- un tracéologue fera l'analyse fonctionnelle des silex taillés ;
- la responsable d'opération, lithicienne, spécialiste des industries du Paléolithique moyen – mademoiselle **Briagell HUET** (annexe 2) - réalisera l'étude lithique**.** Briagell HUET a fait son doctorat à l'université de Rennes I, sur le sujet : *« De l'influence des matières premières lithiques sur les comportements techno-économiques au Paléolithique moyen : l'exemple du Massif armoricain (France). »*

- monsieur **Sébastien BERNARD-GUELLE** (annexe 3) – spécialiste du Paléolithique moyen et responsable d'opération expérimenté collaborera autant que nécessaire, tant sur la phase de terrain que sur la phase d'étude.

L'étude taphonomique du mobilier (granulométrie, fabriques, remontages, analyse spatiale, états de surface) nécessitera une approche croisée entre le géoarchéologue, les lithiciens, le pétrographe et le tracéologue.

L'ensemble des résultats des différentes études sera intégré dans le cadre des connaissances locales, régionales et si possible nationales.

Les principaux spécialistes participeront, en collaboration avec le responsable d'opération, aux synthèses rédactionnelles du Rapport Final d'Opération, afin d'assurer un croisement des résultats issus des différentes approches.

Liste des intervenants pour les travaux et études de la post-fouille :

1 responsable d'opération

2 techniciens

1 infographiste – DAO et photos de mobilier

1 géoarchéologue

1 lithicien – Paléolithique moyen

1 spécialiste taphonomie lithique - granulométrie du mobilier et fabriques

1 pétroarchéologue - matières premières siliceuses

1 tracéologue

1 topographe

1 dessinateur

1 infographiste - mise en forme du RFO

3.2 Inventaire et traitement des mobiliers

Conformément aux arrêtés du 16 septembre 2004 (JO du 28 septembre 2004) et du 27 septembre 2004 (JO du 14 octobre 2004) du Ministère de la Culture et de la Communication, un inventaire exhaustif de l'ensemble du mobilier sera rendu sous format papier et numérique.

Le conditionnement du mobilier sera conforme au protocole en vigueur.

Les mobiliers et la documentation scientifique constituée au cours de l'opération seront remis à l'État, conformément au cahier de charges, dans le respect des mesures de conservation préventive adaptées à chaque matériau.

3.3 Rédaction et remise du Rapport Final d'Opération

La mise en forme des données et la transmission du Rapport Final d'Opération se feront selon les modalités définies par le décret n° 2004-490 du 3 juin 2004 relatif aux procédures administratives et financières en matière d'archéologie préventive et à l'arrêté interministériel du 27 septembre 2004 portant définition des normes de contenu et de présentation des rapports d'opérations archéologiques.

Le Rapport Final d'Opération sera organisé en trois sections conformément à l'arrêté interministériel du 27 septembre 2004 (titres I, II et III).

Conformément au Cahier des Charges du Service Régional de l'Archéologie, le délai maximal pour la remise du Rapport Final d'Opération est fixé à 24 mois après la date d'achèvement de la phase terrain.

4. QUANTITATIF PRÉVISIONNEL DES MOYENS ARCHÉOLOGIQUES

Le quantitatif prévisionnel proposé a été élaboré sur la prise en compte des données de l'opération de diagnostic préalable, avec la réalisation de projections statistiques, et avec l'expérience acquise sur d'autres opérations de fouilles préventives assez similaires.

La représentativité statistique est susceptible dans certains cas d'être remise en cause lors de la fouille exhaustive de l'emprise. Il est en effet possible que les caractéristiques réelles du gisement fouillé différent des hypothèses élaborées dans le cadre du PSTI : types et nombre de vestiges différents, présence de vestiges non identifiés par le diagnostic, etc.

Le quantitatif prévisionnel total de l'opération de fouille pourrait alors, tout en respectant l'enveloppe des jours/homme initiale, montrer une répartition détaillée par poste qui diverge des valeurs quantitatives initialement attendues.

Dans ce cas, l'opérateur se réserve le droit de procéder aux ajustements nécessaires des jours/homme dans le respect du budget prévisionnel total, sans que ces modifications ne remettent en cause la validité du contrat signé par les parties.

1. Phase préparatoire (6 jours/homme) :

1 responsable d'opération	2 jours/h
1 responsable technique	3 jours/h
1 géoarchéologue	1/2 jour/h
1 topographe	1/2 jour/h

2. Phase terrain (165 jours/homme) :

Phase installation du chantier (5 jours/homme) :

1 responsable technique	3 jours/h
1 assistant technique	2 jours/h

Phase décapage - semaines n° 1 (20 jours/homme) :

1 responsable d'opération	5 jours/h
1 technicien-assistant géoarchéologue	5 jours/h
1 technicien-assistant topographe	5 jours/h
1 géoarchéologue	5 jours/h

Fouille mécanisée - semaines n° 2 (25 jours/homme) :

1 responsable d'opération	5 jours/h
1 technicien-assistant géoarchéologue	5 jours/h
1 technicien-assistant topographe	5 jours/h
2 techniciens	10 jours/h

…/…

Fouille mécanisée et manuelle - semaines n° 3 (25 jours/homme) :

1 responsable d'opération	5 jours/h
1 technicien-assistant géoarchéologue	5 jours/h
1 technicien-assistant topographe	5 jours/h
2 techniciens	10 jours/h

Fouille manuelle - semaines n° 4 à 6 (85 jours/homme) :

1 responsable d'opération	15 jours/h
1 technicien-assistant géoarchéologue	15 jours/h
1 technicien-assistant topographe	15 jours/h
2 techniciens	30 jours/h
1 technicien	10 jours/h

Intervention spécialiste (2 j/homme) :

1 topographe	2 jours/h

Phase de désinstallation du chantier (3 jours/homme) :

1 responsable technique	3 jours/h

3. Phase post-fouille (174 jours/homme) :

1 responsable d'opération	45 jours/h
1 technicien – lavage, marquage, tamisage, inventaires, documentation de terrain	25 jours/h
1 technicien – inventaire et conditionnement du mobilier et des archives de fouille pour dépôt au SRA	5 jours/h
1 infographiste – PAO, DAO et photos de mobilier	10 jours/h
1 géoarchéologue	15 jours/h
1 lithicien – Paléolithique moyen	30 jours/h
1 spécialiste taphonomie lithique - granulométrie mobilier, fabriques	4 jours/h
1 pétrographe – caractérisation et provenances silex	12 jours/h
1 tracéologue	12 jours/h
1 topographe	3 jours/h
1 dessinateur	8 jours/h
1 infographiste (mise en forme du rapport)	5 jours/h

Pour information, un montant forfaitaire de 3400,00 € HT est inclus dans le post-fouille, comprenant :

Datations :
- deux datations OSL ;
- deux datations TL ;

Micromorphologie :
- 10 lames minces de grand format (6x13 cm) ;

Microgranulomètrie :
- fraction > 2 mm ;
- fraction < 2 mm.

Susceptibilité magnétique in situ.

5. DIFFUSION DES RÉSULTATS DE LA FOUILLE

Paléotime propose la réalisation d'une conférence sur les résultats scientifiques de l'opération de fouille, présentée par la Responsable d'opération.

La date et le lieu de cette intervention seront à définir avec l'Aménageur.

Afin de s'adresser à un public aussi large que possible, il est proposé une diffusion de type « grand public ».

L'ensemble des modalités de cette opération sera défini en collaboration avec l'Aménageur.

Cette intervention est proposée à titre gracieux.

ANNEXES

ANNEXE 1. Liste des intervenants scientifiques

Responsable de l'opération et étude des industries du Paléolithique moyen

Briagell HUET (annexe 2)
Docteur en Préhistoire, université de Rennes I ;
Membre rattaché à l'UMR 6566 CREAAH, Rennes.

Collaborateur scientifique – Paléolithique moyen

Sébastien BERNARD-GUELLE (annexe 3)
Responsable d'opération Paléolithique ; lithicien ;
Docteur en Préhistoire, université de Provence ;
Paléotime ; membre rattaché à l'UMR 7269 LAMPEA, Aix-en-Provence.

Géoarchéologie et micromorphologie

Mathieu RUÉ (annexe 4)
Responsable géoarchéologue ;
DEA, Géosystèmes, environnement, évolution, université de Dijon ;
Doctorant, université Montpellier 3 ;
Paléotime ; membre rattaché à l'UMR 5140, Montpellier 3.

Aurélie CASTET (annexe 5)
Technicienne – assistante géoarchéologue
Master 2, Archéosciences et Géo-environnement, université de Dijon.

Étude des matières premières siliceuses

Paul FERNANDES
Pétroarchéologue ; caractérisation, provenances et taphonomie des silex ;
Docteur de l'université de Bordeaux 1 ;
Paléotime ; membre rattaché à l'UMR 5199 PACEA, Bordeaux 1.

Tracéologie

Aude COUDENNEAU
Membre rattaché à l'UMR 7269 LAMPEA, Aix-en-Provence.
Doctorante de l'université de Provence.

Dessin de l'industrie lithique

Régis PICAVET
Dessin lithique, céramique, métal, parure, anthropologie, faune ;
Responsable d'opération Paléolithique et Mésolithique ;
DEA, EHESS, Toulouse ;
Paléotime ; membre rattaché à l'UMR 7269, LAMPEA, Aix-en-Provence.

ANNEXE 6. Fiche de liaison hebdomadaire - Paléotime.

Site archéologique :
Commune :
Département :
Responsable d'opération :

Bulletin hebdomadaire d'information - phase terrain
adresser à : *l'Aménageur (Maître d'ouvrage) : le Service Régional de l'Archéologie*
(Prescripteur) : Paléotime (alexandre.morin@paleotime.fr, arnaud.roy@paleotime.fr jeanlouis.paleotime@gmail.com)

SEMAINE N° 01/00 : du 00/00 au 00/00 2011

Fouille (bilan, perspectives, problèmes, etc.) :

Contacts – échanges – décisions (SRA, Aménageur, Entreprise TP, équipe de fouille, autres) :

A faire par Paléotime (problèmes à résoudre, démarches à réaliser, etc.) :

ANNEXE 7. Agrément de l'État en tant qu'opérateur d'archéologie préventive pour les périodes de la Préhistoire.

RÉPUBLIQUE FRANÇAISE

Ministère de **la culture et de la communication**

NOR :MCCL0764317A

ARRÊTÉ du 31 AOUT 2007

portant agrément en qualité d'opérateur d'archéologie préventive de la SARL Paléotime

La ministre de l'enseignement supérieur et de la recherche et la ministre de la culture et de la communication,

Vu le code du Patrimoine, notamment son livre V ;

Vu le décret n° 2004-490 du 3 juin 2004 relatif aux procédures administratives et financières en matière d'archéologie préventive, notamment son chapitre IX ;

Vu l'arrêté du 8 juillet 2004 portant définition des qualifications requises des personnels des services et personnes de droit public ou privé candidats à l'agrément d'opérateur d'archéologie préventive ;

Vu la demande par la SARL Paléotime reçue le 4 juin 2007 et le dossier présenté à l'appui de cette demande ;

Vu l'avis du Conseil national de la recherche archéologique en date du 2 juillet 2007 ;

Considérant que la SARL Paléotime comprend un personnel permanent justifiant des qualifications requises en matière d'archéologie et de conservation du patrimoine prévues par l'arrêté du 8 juillet 2004 susvisé ;

Considérant que la SARL Paléotime justifie de sa capacité administrative, technique et financière à réaliser les opérations d'archéologie préventives susceptibles de lui être confiées,

ARRÊTENT

Article 1er

La SARL Paléotime est agréée pour l'exécution de fouilles d'archéologie préventive pour les périodes chronologiques allant du Paléolithique au Néolithique.

Article 2

L'agrément entrera en vigueur à compter du 4 février 2008.

Article 3

Le présent agrément est délivré pour une durée de cinq ans à compter du 4 février 2008. En cas de changement substantiel affectant, durant cette période, les conditions au vu desquelles l'agrément a été accordé, le titulaire en informe le ministre chargé de la culture dans un délai de deux mois.

Article 4

Le présent agrément est délivré pour une durée de cinq ans. En cas de changement substantiel affectant, durant cette période, les conditions au vu desquelles l'agrément a été accordé, le titulaire en informe le ministre chargé de la culture dans un délai de deux mois.

Article 5

Le directeur de l'architecture et du patrimoine et le directeur général de la recherche et de l'innovation sont chargés, chacun en ce qui le concerne, de l'exécution du présent arrêté, qui sera publié au *Journal officiel* de la République française.

Fait à Paris, le 31 AOUT 2007

La ministre de l'enseignement supérieur et de la recherche,

Pour la Ministre et par délégation
Le Directeur général de la recherche et de l'innovation

Gilles BLOCH

La ministre de la culture et de la communication,

Pour la Ministre et par délégation
le directeur de l'architecture et du patrimoine

Michel CLEMENT

Arrêté d'autorisation de fouille

Liberté • Égalité • Fraternité
RÉPUBLIQUE FRANÇAISE

PRÉFET DE LA RÉGION PAYS DE LA LOIRE

Arrêté portant autorisation
d'une opération de fouille préventive
(opération n°2012-121)

REÇU LE 09 NOV. 2012

DIRECTION REGIONALE DES
AFFAIRES CULTURELLES

Affaire suivie par

LE PRÉFET DE LA RÉGION PAYS DE LA LOIRE,
PRÉFET DE LA LOIRE-ATLANTIQUE

Officier de la Légion d'Honneur
Officier de l'Ordre National du Mérite

VU le code du Patrimoine, notamment son livre V ;

VU l'arrêté du 16 septembre 2004 portant définition des normes d'identification, d'inventaire, de classement et de conditionnement de la documentation scientifique et du mobilier issu des diagnostics et fouilles archéologiques ;

VU l'arrêté du 27 septembre 2004 portant définition des normes de contenu et de présentation des rapports d'opérations archéologiques ;

VU l'arrêté n°2012/SGAR/200, en date du 25 juin 2012 de Monsieur Christian GALLIARD de LAVERNÉE, préfet de la région Pays-de-la-Loire, portant délégation de signature administrative à Monsieur Georges POULL, directeur régional des affaires culturelles des Pays de la Loire ;

VU l'arrêté de prescription de fouille archéologique n°321 du 13 août 2012 et son cahier des charges et l'arrêté modificatif n°384 du 17 octobre 2012 ;

VU le contrat conclu pour la réalisation de la fouille prescrite reçu par courrier le 23 octobre 2012 ;

CONSIDERANT que le contrat et notamment le projet d'intervention de l'opérateur sont conformes au cahier des charges prescrit ;

ARRETE
(n°392)

Article 1er :
Eiffage Rail Express, aménageur, est autorisé à faire réaliser par **PALEOTIME**, opérateur, sous la direction scientifique de **Briagell HUET**, la fouille archéologique préventive portant sur le terrain sis en :

Région :Pays de la Loire
Département : Sarthe (LGV secteur 15)
Commune : Auvers le Hamon
Adresse / lieu-dit : « Bois de Sirion »
Cadastre : Section : C ; Parcelles : 1200
Coordonnées Lambert (centroïde) : x : 402252 y : 2325075
Numéro des entités archéologiques dans la base de données " Patriarche " : EA 72 016 0037

Article 2 :
L'aménageur et l'opérateur notifient au service régional d'archéologie les dates de début et de fin de la fouille au moins cinq jours ouvrables avant le début de l'opération, facilitent, par tout moyen, aux représentants de l'Etat, l'exercice de leur mission de contrôle.
Avec le responsable scientifique, ils tiennent régulièrement informé le conservateur régional de l'archéologie des travaux et découvertes. Ils lui signalent immédiatement toute découverte importante de caractère mobilier ou immobilier. Les modalités et mesures de conservation provisoire des vestiges sont prises en accord avec le conservateur régional de l'archéologie.
Ils veillent, chacun pour ce qui le concerne, à la mise en œuvre des observations et des instructions formulées par le représentant de l'Etat lors de visites ou de réunions de chantier.
Le mobilier archéologique issu de la fouille est placé sous la garde de l'opérateur, qui en dresse l'inventaire, signale les objets d'importance notable, prend les dispositions nécessaires à sa sécurité et, en tant que de besoin, à sa mise en état pour étude.
Concernant le déplacement sur le territoire français des vestiges archéologiques mobiliers, l'opérateur qui souhaite les déplacer hors de la région d'origine de la découverte doit faire impérativement la demande auprès du préfet de région concerné. Cette demande doit préciser les raisons du déplacement et l'adresse du nouveau lieu de conservation.
De même que l'exportation hors du territoire français des vestiges mobiliers issus des opérations d'archéologie préventive est subordonnée à l'existence d'un certificat d'exportation (décret n°93-124 du 29 janvier 1993). Ce certificat est délivré sur demande conjointe de l'Etat et du propriétaire du terrain, copropriétaires des vestiges. L'opérateur ne peut donc pas prendre seul la décision d'exporter les vestiges archéologiques mobiliers qui lui sont confiés.

Article 3 :
A l'issue de l'opération, le responsable scientifique remet au conservateur régional de l'archéologie, le rapport final tel que défini par l'arrêté du 27 septembre 2004 sus-visé.
A l'expiration de la période de garde, qui ne peut excéder deux ans à compter de la date de délivrance de l'attestation de libération de terrain visée à l'article 5, l'opérateur remet à l'Etat, le mobilier et la documentation scientifique constituée au cours de l'opération selon les modalités prévues par l'arrêté du 16 septembre 2004 sus-visé.
Toutefois, dans un souci d'efficacité administrative, scientifique et juridique, il est demandé à l'opérateur, sauf justifications ou contraintes particulières, de remettre la documentation et le mobilier archéologique issu des fouilles dans un délai de six mois après la remise du rapport d'opération.

Article 4 :
Lorsqu'il n'est pas lui-même propriétaire du terrain, l'aménageur communique au service régional d'archéologie, le nom et l'adresse du ou des propriétaires afin que ceux-ci puissent, le cas échéant, exercer leurs droits sur le mobilier dont l'inventaire leur sera transmis par l'État.

Article 5 :
L'aménageur notifie l'achèvement de l'opération de fouille sur le terrain. Dans les quinze jours suivant la réception de cette notification, une attestation de libération du terrain lui est délivrée. Faute de délivrance de l'attestation dans ce délai, celle-ci est réputée acquise.

Article 6 :
Le Directeur régional des affaires culturelles est chargé de l'exécution du présent arrêté qui sera notifié à Eiffage Rail Express (22 avenue Henri Fréville, 35200 RENNES) et à PALEOTIME, 272 rue du Lycée Polonais, 38 250 Villard de Lans.

Fait à Nantes, le 5 novembre 2012

Le Conservateur Régional
Guy SAN JUAN

SECTION 2

L’opération et ses résultats

1. Cadre de l'intervention

Briagell Huet

1.1. Localisation du site

Le site archéologique du « Bois de Sirion » se trouve sur la commune d'Auvers-le-Hamon dans le département de la Sarthe, à moins de 40 km au sud-ouest de la ville du Mans (Fig. 1.1).

Situé à environ 3 km au sud-est du bourg, il prend place dans une haute-futaie de feuillus, le Bois de Sirion (Fig. 1. 2 et 1. 3). La présence de ce bois est déjà attestée en 1828 sur le cadastre napoléonien, mais il n'apparaît toutefois pas encore sur la carte de Cassini (18ème Siècle) où figurent des métairies à son emplacement (Fig. 1. 4).

À une altitude d'environ 67 m NGF, ce site occupe un plateau d'interfluve entre l'Erve à environ 3 km à l'ouest et la Vègre environ 5 km à l'est, deux affluents importants de la Sarthe qui coule d'est en ouest à un peu plus de 4 km au sud du site. Il occupe ainsi une position privilégiée par rapport aux couloirs naturels de circulation.

À proximité du site se trouvent également deux sources dont la présence peut avoir influencé le choix de l'implantation préhistorique : l'une à moins de 300 m au nord, source du Ruisseau de Bussard qui conflue avec l'Erve, et l'autre à environ 700 m à l'est, source d'un bras du ruisseau de la Bouchardière se jetant directement dans la Sarthe (Fig. 1. 2).

D'un point de vue géologique, le site du « Bois de Sirion » prend place dans une zone de contact entre les terrains paléozoïques révélant l'émergence du Massif armoricain à l'ouest et les terrains mésozoïques et cénozoïques de la couverture sédimentaire du Bassin parisien à l'est (Clément *et al.*, 1987) (Fig. 1. 5).



Fig. 1.4 – Le « Bois de Sirion », Auvers-le-Hamon (72). Localisation du site : a- Carte de Cassini (feuille 97 - Laval, dates des levés entre 1761 et 1764 ; source : http://cassini.ehess.fr) ; b- Cadastre napoléonien (cote PC\017\011 - section C1- année 1828 ; source : http://www.archives.sarthe.com/CadastreNumerise.asp). (DAO : B. Huet)

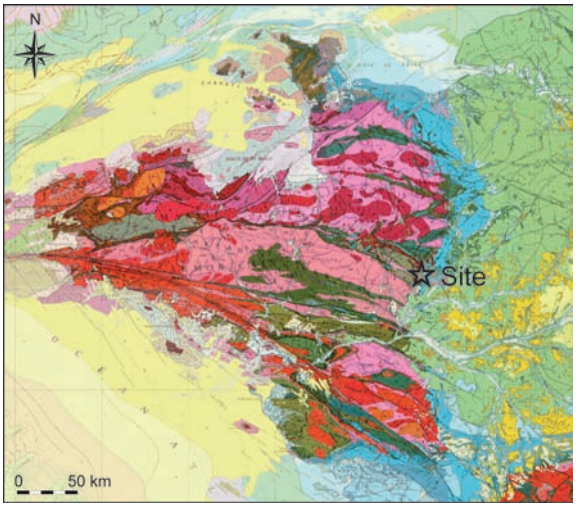

Fig. 1.5 – Le « Bois de Sirion », Auvers-le-Hamon (72). Localisation du site dans la zone de contact entre le Massif armoricain et le Bassin parisien. (BRGM, carte géologique de la France à 1/1 000 000, 6ème édition, 1996 ; DAO : B. Huet)

Le plateau sur lequel il est implanté correspond à des formations carbonifères recouvertes de sables et graviers pliocènes (Fig. 1. 6). Ces graviers constitués essentiellement de galets de quartz blanc bien roulés (allant jusqu'à 3 ou 4 cm) parfois associés à quelques petits galet de grès tertiaires, remanient très probablement des sables cénomaniens. Les formations superficielles pléistocènes sont constituées ici par des limons brun-clair peu développés correspondant à des lœss altérés ; leur faible altération pédologique suggère un dépôt au Weichsélien récent (Clément *et al.*, 1987).

À un peu plus d'1 km à l'est du site, en bordure ouest de la Vègre sur les communes de Poillé et Asnières-sur-Vègre, se développent, sur de vastes surfaces, des formations à silex issues du démantèlement du Bajocien sur les franges du bassin (Rj1) (Fig. 1. 6). Ces argiles à silex résiduelles fournissent des silex de toutes tailles, de couleur gris clair à foncé, plus ou moins bleuté et d'aspect totalement opaque (Chantreau, 2011).
Ce silex bajocien se retrouve également dans les colluvions qui recouvrent les flancs de la vallée de la Vègre où il est mélangé à du gravier cénomanien (Cc1-j1).
Les bancs calcaires bajociens dont sont issues ces argiles par un phénomène de décarbonatation se rencontrent de l'autre côté de la Vègre (J1). Ils se présentent en bancs décimétriques séparés par des lits plus marneux contenant de gros cordons de silex gris.
À environ 4 km au nord-est du site, à Poillé-sur-Vègre, une formation d'argile rattachée à l'Aalénien livre également quelques lits de gros silex noirs (I9-J1) (Clément *et al.*, 1987).

1.2. Circonstances de l'intervention

La prescription de la fouille préventive du Bois de Sirion s'inscrit dans le cadre de l'aménagement de la future Ligne Grande Vitesse Bretagne – Pays de la Loire (LGV BPL), prolongement de la branche ouest de la LGV Atlantique, dont l'objectif est d'améliorer de manière significative l'accessibilité de la Bretagne et des Pays de la Loire.
Le site du Bois de Sirion se trouve plus précisément sur le tracé de la future liaison rapide ferroviaire Angers-Laval-Rennes dite « Virgule de Sablé-sur-Sarthe ».

Suite à un appel d'offres lancé en 2008, Réseau Ferré de France (RFF), propriétaire et gestionnaire du réseau ferré national, a attribué en 2011 la maîtrise d'ouvrage à Eiffage Rail Express (ERE), filiale du groupe Eiffage, dans le cadre d'un partenariat public-privé.

Ce projet de la LGV BPL, déclaré d'Utilité Publique en 2007, a alors vu le début des opérations de diagnostic archéologique en 2009, puis le lancement des travaux de génie civil fin 2012 pour une mise en service envisagée en 2017.
L'opération archéologique du Bois de Sirion figure parmi la quarantaine de chantiers de fouilles préventives financés par ERE suite au diagnostic des 214 km de tracés cumulés.

1.3. Connaissances avant l'opération

1.3.1. Les acquis du diagnostic

Dans le cadre du projet de construction de la LGV BPL, le Service Régional de l'Archéologie des Pays-de-la-Loire a prescrit un diagnostic archéologique au niveau de l'emprise du tracé traversant le Bois de Sirion sur la commune d'Auvers-le-Hamon (secteur 15, phase 2). Ce tracé prend la forme d'un « Y » avec deux branches, une occidentale et une orientale, qui se rejoignent au milieu du bois.

Le diagnostic, réalisé par l'INRAP, s'est déroulé du 19 mars au 2 avril 2012 (Brodeur, 2012). Il a permis la mise en évidence de deux occupations : l'une préhistorique sur la branche occidentale du tracé ferroviaire (vestiges lithiques), l'autre datant de l'époque romaine sur la branche orientale (structures fossoyées livrant du mobilier céramique, métallique, des monnaies et de la verrerie). Des indices discrets (2 tessons de céramique) révèlent également une première fréquentation à la période protohistorique.

Pamir les 41 tranchées réalisées sur la surface concernée, 6 ont ainsi livré des artefacts lithiques (tranchées n° 24, 25, 27, 29, 30 et 31). Ces tranchées positives se situent au nord de la branche occidentale de la future ligne ferroviaire qui traverse le Bois de Sirion. Cette répartition apparaît donc très localisée, avec une densité plus importante des vestiges dans les tranchées 24 et 30 qui recensent 80,5 % des vestiges découverts.

Ces artefacts étaient inclus dans un niveau argilo-sableux, qui n'est pas présent dans toutes les tranchées. Ils y apparaissaient, de manière éparse, comme posés à plat, à une profondeur d'environ 50 cm par rapport au niveau de sol actuel dans la tranchée 24, à l'interface entre une couche sablo-limoneuse remaniant argile à silex et sables cénomaniens résiduels et un niveau de limons éoliens mêlés d'éléments pliocènes remaniés.

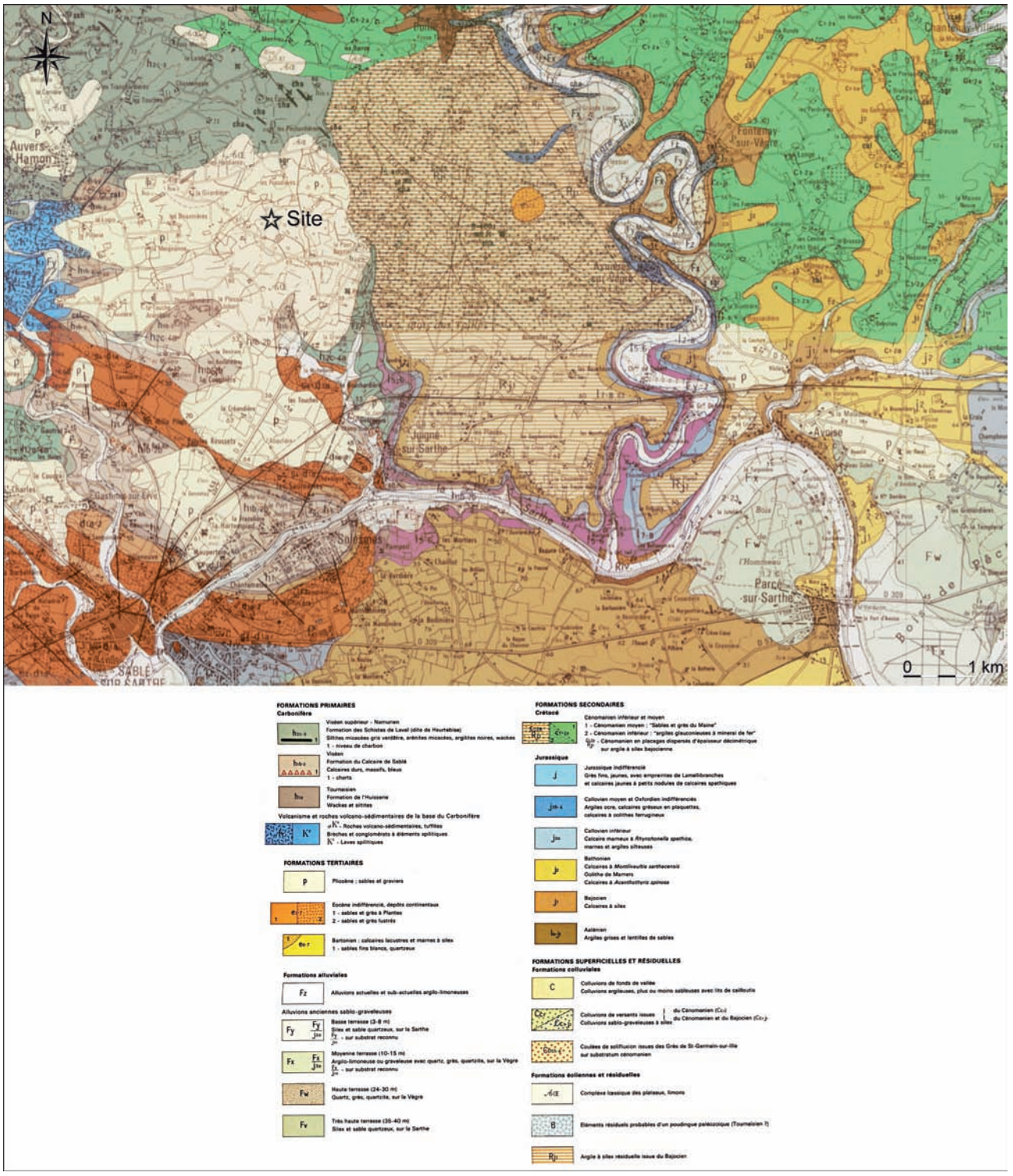

Fig. 1.6 – Le « Bois de Sirion », Auvers-le-Hamon (72). Localisation du site dans son contexte géologique. (BRGM, carte géologique de la France à 1/50 000, feuille de Loué n° 357, 1986 ; DAO : B. Huet)

Le corpus lithique découvert se compose de 72 pièces en silex, principalement du silex bajocien sublocal, qui sont à rattacher pour la nette majorité au Paléolithique moyen ; deux éléments seulement sont probablement attribuables au Néolithique (1 éclat allongé et 1 casson gélifracté ne portant aucune patine).
On comptabilise ainsi notamment la présence de 23 éclats entiers dont 1 de type laminaire, 38 fragments d'éclats, 3 fragments de lamelles et 4 fragments de masses centrales.
Parmi ces artefacts, on note la fréquence de l'outillage (n = 36). Pour la majorité, il ne s'agit que de pièces légèrement retouchées (n = 10) ou simplement utilisées (n = 19) ; mais l'on compte également 5 racloirs, de différents types (simple, double ou convergent ; droit, convexe ou concave), 1 pièce bifaciale et 1 possible pièce esquillée.
Quatre nucléus sont présents : 2 d'entre eux recyclent des bifaces en vue de produire des éclats de type Levallois et 2 autres ont pour support un éclat épais dont les partie saillantes ont été exploitées pour produire de petits éclats allongés.

Cet assemblage lithique présente des affinités claires avec le Moustérien armoricain à outils bifaciaux rattaché à la phase récente du Paléolithique moyen.

1.3.2. Contexte archéologique

Le site du Bois de Sirion prend place dans un environnement particulièrement riche en vestiges paléolithiques et notamment moustériens.

Sur la commune d'Auvers-le-Hamon, 3 entités archéologiques sont rattachées au Paléolithique moyen et sont uniquement connues par des prospections de surface (Fig. 1. 7) : La Goupillière en rive droite de l'Erve à environ 4 km au sud-ouest du site du Bois de Sirion et, plus proches, le site des Fraudières à 500 m au nord-ouest du Bois de Sirion et celui de la Girardière à peine plus d'un kilomètre à l'ouest. Ce dernier est le plus important. Découvert en 1975 par des prospections de surface (L'Helgouach, 1975), le site de la Girardière a livré, et livre encore aujourd'hui au gré des labours, de nombreux vestiges lithiques rattachés au Paléolithique moyen, et plus précisément au Moustérien à outils bifaciaux, sur une surface d'environ 4 hectares. Ce site n'est pas précisément daté du fait de sa découverte en dehors de son contexte stratigraphique. Toutefois, la série lithique constituée de près de 28 000 pièces a fait l'objet d'une étude techno-typologique dans le cadre d'une thèse universitaire et constitue ainsi une référence régionale (Bourdin, 2006).

Sur les communes avoisinantes, les sites et indices de sites du Paléolithique moyen sont particulièrement nombreux (base Patriarche de la région Pays-de-la-Loire) (Fig. 1. 7). Ceci est notamment dû au travail exceptionnel des prospecteurs du GRAM (Groupe de Recherche en Archéologie de la Mayenne) et de l'Association du Patrimoine d'Asnières-sur-Vègre. Ainsi, en avril 2013, 46 entités archéologiques rattachées au Paléolithique moyen sont recensées sur la commune de Fontenay-sur-Vègre, 26 à Asnières-sur-Vègre, 20 sur la commune d'Avoise, 10 à Poillé-sur-Vègre, 19 sur Chantenay-Villedieu, 6 à Chevillé, 4 à Tassé ; les communes de Cherré, Cormes, Parcé-sur-Sarthe et Villaines-la-Gonais comptent chacune deux entités rattachées au Paléolithique moyen et celles de Sablé-sur-Sarthe, Solesmes, Noyen-sur-Sarthe, Courcival, Lamnay et Le Mans (Beauregard) en dénombrent chacune une.
Ces gisements, principalement pour les communes d'Asnières et Fontenay-sur-Vègre, s'étendent généralement sur de grandes surfaces à l'instar du site de la Girardière.

Sur l'ensemble de ces sites découverts dans le cadre de prospections pédestres, seuls 5 ont fait l'objet de sondages ou de fouilles archéologiques.
Dans le cadre des travaux d'aménagement du secteur 15 de la LGV BPL, à l'instar du Bois de Sirion, le site de Château-Gaillard/La Mercerie (Fontenay-sur-Vègre) a fait l'objet d'un sondage en 2010 (Poisblaud, 2011), puis d'une fouille archéologique préventive en 2012 par l'INRAP (Fig. 1. 7). Ce site dominant un méandre de la Vègre livre, sur une surface d'1,5 hectare, un assemblage lithique riche de plus de 25 000 pièces que l'on peut également rattacher au Moustérien à outils bifaciaux (Tsobgou-Ahoupe *et al.*, 2013).

Sur la commune d'Asnières-sur-Vègre, les sites du Grand Breil, en contexte de plateau, et du Grand Flessier, en contexte de basse terrasse de la Vègre, qui ont fait l'objet de sondages en 1999 (Molines, 2005) (Fig. 1. 7). Le Grand Flessier a ensuite donné lieu à une fouille en 2004. Ces deux sites ont livré une industrie à outils bifaciaux. Il est intéressant de noter que le Grand Flessier est en outre le premier site dans tout l'ouest de la France à avoir livré de l'industrie acheuléenne dans son contexte stratigraphique (Molines, 2005).

Le site de Beauregard (Le Mans) a fait l'objet d'une fouille en 2004 (Molines, 2005) et d'une pré-étude en 2010 (Chantreau *et al.*, 2010) (Fig. 1. 8). L'industrie lithique qu'il a livrée se révèle de nature différente en l'absence d'outils bifaciaux et la plus forte présence d'une composante laminaire (Chantreau *et al.*, 2010).

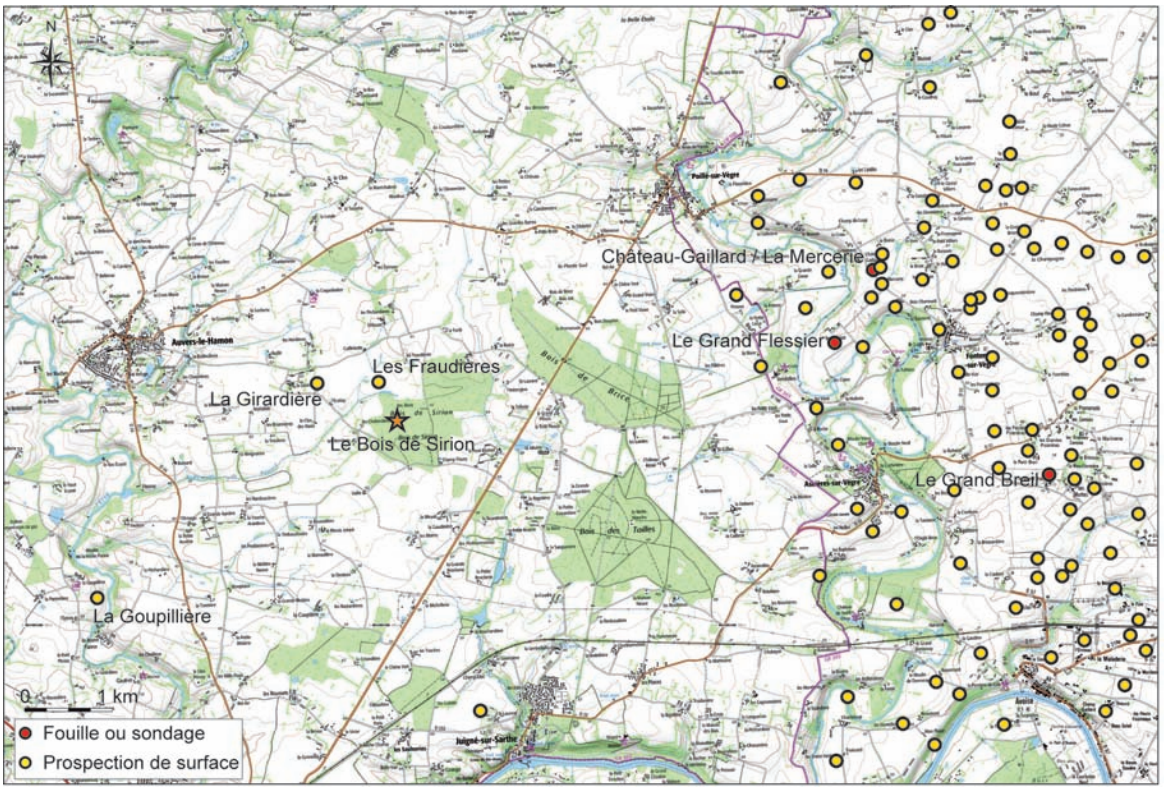

Fig. 1.7 – Localisation des principaux sites moustériens aux alentours du « Bois de Sirion ». (IGN, www.géoportail.gouv.fr ; DAO : B. Huet)

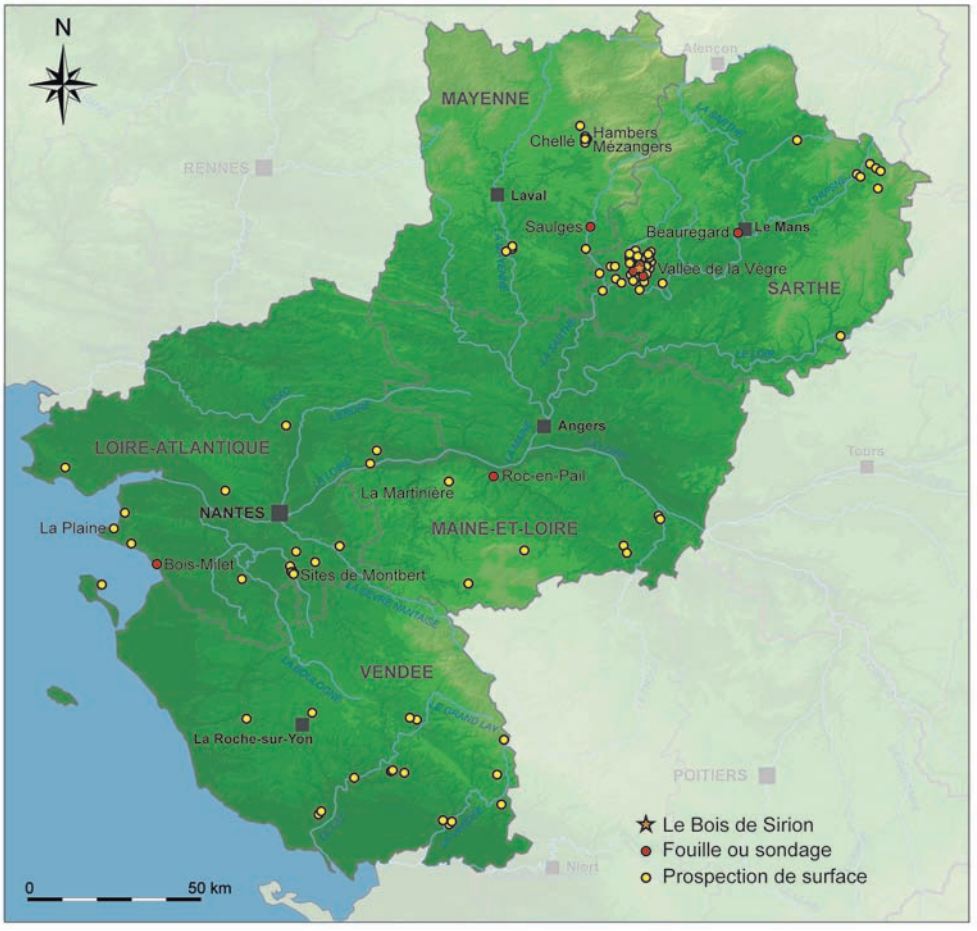

Fig. 1.8 – Localisation des principaux sites moustériens de la région Pays-de-la-Loire. (© Intercarto 2006 ; DAO : B. Huet)

Enfin, à moins de 15 km au nord-ouest du Bois de Sirion, dans la vallée de l'Erve, les cavités karstiques du canyon de Saulges (Mayenne), connues depuis le 19ème siècle, livrent des occupations datant du Paléolithique moyen et surtout du Paléolithique supérieur ainsi que des représentations pariétales et font encore aujourd'hui l'objet de fouilles archéologiques programmées (Fig. 1. 8). Les grottes de Rochefort et de la Chèvre renferment des niveaux moustériens déjà en partie explorés au 19ème et au début du 20ème siècle, mais que les fouilles actuelles n'ont pas encore atteints. Nous ne disposons donc à l'heure actuelle que de données anciennes qui font toutefois référence à un Moustérien de tradition acheuléenne (Molines *et al.*, 1999).

À une échelle plus large, celle des Pays-de-la-Loire, d'autres sites moustériens et notamment à outils bifaciaux sont connus mais essentiellement, à nouveau, par des prospections de surface (Fig. 1. 8). C'est le cas notamment des sites de la Martinière à La Pommeraye, de Govogne et de Haut-de-la-Plaine à la Plaine (Maine et Loire), d'Hambers, de Chellé et de Mésangers (Mayenne) pour lesquels nous ne disposons que de données anciennes (Molines *et al.*, 2001). Ces trois derniers présentent la particularité de livrer des industries en grès lustré. C'est le cas également des occupations découvertes autour du bassin de Grand-Lieu à Montbert (Loire-Atlantique) : L'Ouchette qui a fait l'objet d'une fouille au 19ème siècle, Pas-Chalène et la Brenière où quelques sondages ont eu lieu respectivement dans les années 1950 et 1980 (Gouraud, 1990 ; Gouraud et Tessier, 1990).
Au sud de l'embouchure de la Loire, en position de falaise littorale, le gisement de Bois-Milet (Les Moutiers-en-Retz, Loire-Atlantique) a également livré du Moustérien de type Quina (Gruet et Jaouen, 1963) qui pourrait dater du sous-stade 5e (Monnier *et al.*, 2002).
Le site de Roc-en-Pail (Chalonnes-sur-Loire, Maine-et-Loire) a, quant à lui, fait l'objet de fouilles archéologiques (Gruet, 1990). Il s'agit d'un ancien abri sous roche qui livré notamment 7 niveaux moustériens datant du stade isotopique 5 et renfermant des vestiges lithiques et fauniques. Trois de ces niveaux livrent une industrie lithique caractéristique du faciès charentien de type Ferrassie ; ils sont interstratifiés avec des niveaux moustériens indifférenciés. Un autre niveau livre du Moustérien charentien de type Quina et enfin du Moustérien à denticulés vient clore la séquence.

1.4. Rappel du cahier des charges et des objectifs scientifiques de la fouille

Le cahier des charges scientifiques annexé à l'arrêté préfectoral des Pays-de-la-Loire n° 321 en date du 13 août 2012 portant prescription de fouille précise les différents objectifs visés et la méthodologie à mettre en œuvre.

Parmi les objectifs, il s'agira de comprendre la dynamique sédimentaire afin de caler au mieux les vestiges dans un contexte stratigraphique. Cet enjeu est important dans la mesure où ce type d'industries moustériennes est habituellement connu dans la région par des prospections de surface, donc en dehors de tout contexte stratigraphique.
L'étude détaillée de ces vestiges devra ensuite permettre de vérifier la présence d'une ou plusieurs occupations successives, de déterminer les matières premières lithiques exploitées et leur provenance, et de caractériser l'assemblage lithique d'un point de vue techno-typologique afin de pouvoir servir de référentiel pour ces industries du Paléolithique moyen.
Cette occupation devra enfin être replacée dans son contexte régional voire suprarégional.

La fouille de la surface prescrite, initialement de 5700 m² et réduite à 4700 m² suite à l'arrêté modificatif n° 384 du 17 octobre 2012, s'organise autour des tranchées n° 24 et 30 du diagnostic, tranchées ayant livré le plus grand nombre d'artefacts.
Les zones de plus forte concentration en vestiges devront faire l'objet d'une fouille fine avec tamisage et un enregistrement assez fin pour permettre une analyse des fabriques.
Sur le reste de la surface, les artefacts seront récupérés par m² et leur position stratigraphique devra être repérée.

1.5. Méthodologie de terrain

1.5.1. Les tranchées géoarchéologiques

L'opération a débuté par la réalisation de tranchées stratigraphiques permettant de séquencer la couverture sédimentaire, de préciser la puissance du ou des niveaux archéologiques, d'obtenir les premières données sur les conditions taphonomiques du site et d'orienter ainsi le décapage sur le reste de l'emprise.

Ces tranchées stratigraphiques ont été implantées sur les limites de l'emprise afin de rester accessibles pendant toute la durée de l'opération : TS01.1 et TS01.2 en limite nord, TS02.1 en limite est, TS03.1 en limite sud, TS04.1 et TS04.2 en limite ouest (Fig. 1. 9).
Les coupes de référence correspondantes (CP 01.1, CP 01.2, CP 02.1, CP 03.1, CP 04.1 et CP 04.2), une fois dégagées et nettoyées, ont été relevées intégralement en combinant une couverture photographique complète, avec pose et relevé topographique de repères pour la réalisation postérieure d'ortho-photomontages, et annotations et descriptions sur des minutes photographiques imprimées. En complément, un levé topographique au tachéomètre du niveau supérieur de la coupe et de sa base a été effectué.

1.5.2. Le décapage mécanique

Une fois l'ensemble de la séquence pédosédimentaire locale précisée, le décapage mécanique extensif de l'emprise a été entrepris au moyen d'un engin mécanique.

En raison du contexte forestier de l'opération, des souches de dimensions parfois importantes affectent la surface de l'emprise (environ 10 %) (Fig. 1. 11a-b). Toutes les souches ont été topographiées préalablement au décapage de l'emprise.
Les enlever prend beaucoup de temps et nécessite le recours à un godet de pelle différent de celui utilisé pour le décapage. En outre, leur extraction cratérise de manière importante le sol et donc le niveau archéologique sous-jacent.
Afin d'éviter une perte de temps trop importante lors du décapage mécanique et ce, pour obtenir des données archéologiques relativement peu pertinentes au vu de la forte perturbation engendrée, nous avons fait le choix, en accord avec le SRA, de laisser en place les souches les plus imposantes.
Cela nous a par ailleurs donné l'occasion de conserver des bermes stratigraphiques témoins à travers l'emprise.

Ce décapage mécanique a été conduit par bandes parallèles de deux largeurs de godets suivant un axe ouest-est et progressant du nord vers le sud en partant de la limite nord de l'emprise. Lors de la seconde semaine d'intervention, une autre pelle mécanique est venue compléter ce décapage selon un axe nord-sud en suivant une progression d'ouest en est, donnant alors aux surfaces décapées une configuration en L. Pendant le reste de l'opération, le seul engin mécanique utilisé a continué sa progression selon un axe ouest-est, du nord vers le sud.

Chaque bande de décapage d'axe ouest-est a été numérotée de 1 à 11(la bande de décapage n°1 étant la plus au nord et la n°11 la plus au sud). Chacune de ces bandes de décapage (« BD ») a ensuite été divisée en longueur de bras de pelle (« L »), elles-mêmes numérotées également de 1 à 11. La surface décapée mécaniquement a ainsi été sectorisée en rectangles d'environ 3 mètres à 6 mètres de large selon les endroits (soit la largeur décapée par 2 à 3 godets) sur environ 4 mètres de long (soit la portée de la pelle mécanique utilisée). Chacun de ces rectangles est alors nommé par son n° de bande de décapage et son n° de longueur (BD1L11 ou BD5L7 par exemple) et est situé grâce à l'enregistrement de sa position centrale au tachéomètre. Cette sectorisation permet ainsi de localiser, bien qu'approximativement, les pièces inférieures à 2 cm non cotées au tachéomètre et les pièces parfois déplacées par le godet de la pelle (199 artefacts et 252 lots d'esquilles et fragments d'éclats inférieurs à 2 cm).
Nous avons ensuite pu reconstituer, en plan, cette partition de l'emprise à l'aide d'un diagramme de Voronoï. Cet outil de géotraitement fixe les contours de chaque zone comme à l'équidistance de chacun des points centraux géoréférencés. Le pavage mathématique obtenu est ajusté pour s'intégrer aux limites relevées (Fig. 1. 10).

Cette fouille mécanisée a été réalisée par passes centimétriques lentes et successives (Fig. 1. 11c).
Les vestiges découverts, hors concentration, ont été prélevés individuellement avec enregistrement tridimensionnel de leur position au tachéomètre et indication de l'UPS encaissante.
Le décapage a été mené tant que du mobilier était rencontré, c'est-à-dire, étant donné sa forte dispersion verticale, jusqu'au substrat représenté par les sables fluviatiles rencontrés à une profondeur d'environ 1,25 m par rapport au sol actuel (Fig. 1. 11e). Toutefois, nous avons parfois constaté la présence de quelques pièces ayant percolé dans la partie supérieure ces sables ; ceux-ci ont donc été entamé sur quelques passes fines jusqu'à disparition du mobilier archéologique résiduel (Fig. 1. 11g).
Dans les parties est et sud de l'emprise, le décapage s'est arrêté au niveau des argiles déjà mises en évidence dans les tranchées stratigraphiques TS02.1 et TS03.1 et qui constituent le remplissage de dépressions interprétées comme étant liées à un paléochenal (Fig. 1. 12e).

Quand des concentrations en vestiges ont été rencontrées, le décapage mécanique a été immédiatement arrêté afin de conserver ces secteurs en vue d'un traitement manuel.

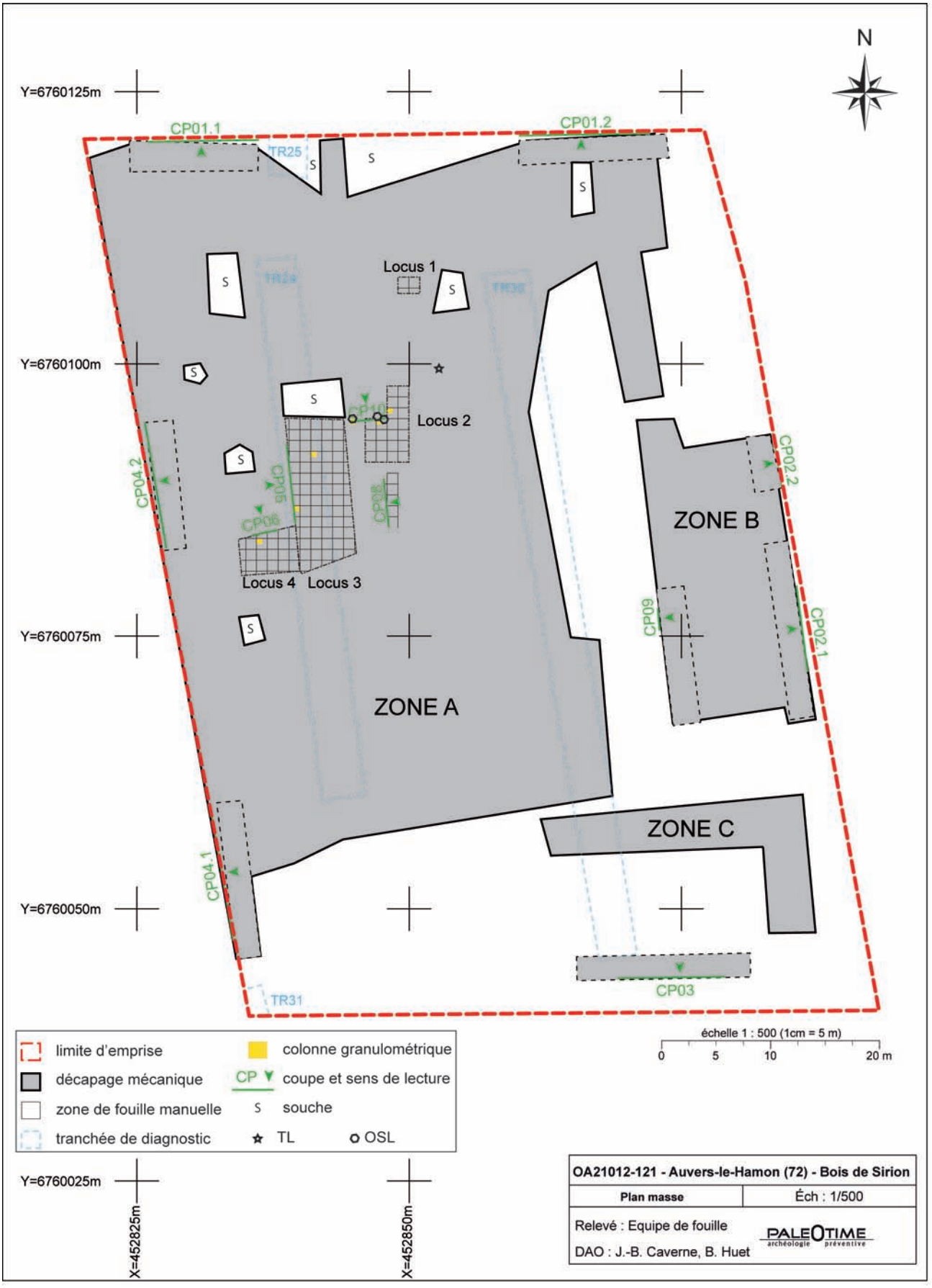

Fig. 1.9 – Le « Bois de Sirion », Auvers-le-Hamon (72). Plan masse. (DAO : J.-B. Caverne, B. Huet)

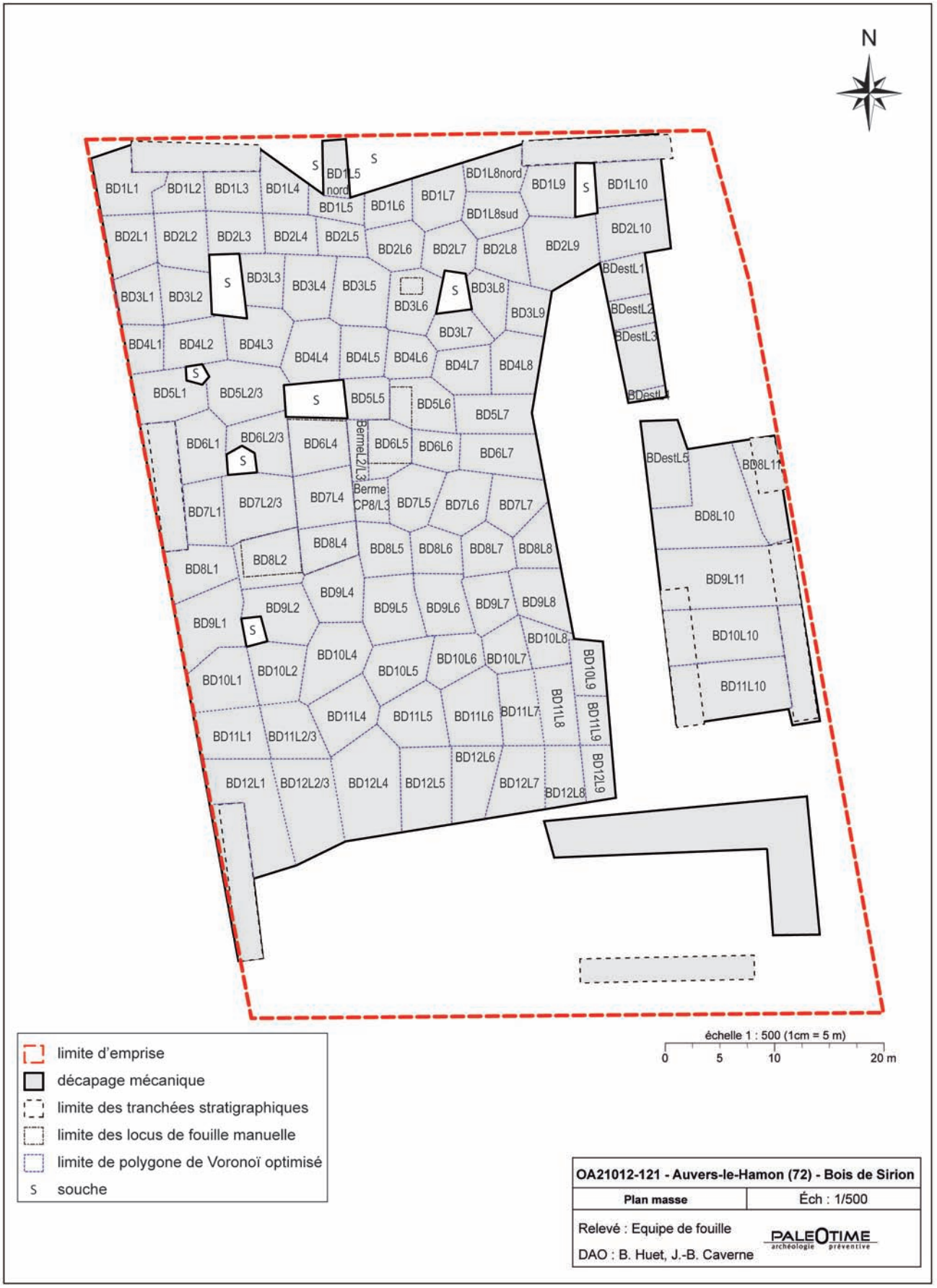

Fig. 1.10 – Le « Bois de Sirion », Auvers-le-Hamon (72). Partition du décapage mécanique en polygones de Voronoï optimisés.(DAO : J.-B. Caverne, B. Huet)



Fig. 1.11 – Le « Bois de Sirion », Auvers-le-Hamon (72). Aperçus photographiques de l'opération : a : vue nord-ouest de l'emprise au début de l'opération pendant la réalisation des tranchées stratigraphiques ; b : exemple de souche affectant l'emprise ; c : poche de limons sableux jaune-brun (« LSJp ») au sein des limons sableux rouges (« LSR ») dans la TS04.1 en cours de décapage mécanique ; d : aperçu en plan de différentes UPS lors du décapage mécanique de la TS04.1 (1 : limons sableux brun-jaune (« LSJ ») ; 2 : limons sableux bruns (« LSB ») ; 3 : limons sableux brun-rouge (« LSBR ») ; 4 : limons sableux rouges (« LSR »)) ; e : niveau des sables rouges fluviatiles (« SR ») ; f : mobilier lithique découvert au décapage mécanique dans le niveau de galets à matrice sablo-limoneuse rouge(« GR ») ; g : mobilier lithique en position dans le niveau des sables fluviatiles. (Clichés : B. Huet, M. Rué)



Fig. 1.12 – Le « Bois de Sirion », Auvers-le-Hamon (72). Aperçus photographiques de l'opération : a : vue nord-ouest de la zone A avec les locus 1 et 2 en cours de fouille manuelle ; b : décapage mécanique de la zone A à l'aide de deux pelles; c : vue vers le nord-est de la zone A en cours de décapage mécanique ; d : vue vers l'ouest de la partie nord de la zone A en cours de décapage mécanique ;e : vue vers le nord-est de la zone B et du substrat argileux. (Clichés : S. Bernard-Guelle, A. Castets, B. Huet, P. Tacussel)

Les bordures de ces zones de fouilles manuelles ont par ailleurs donné lieu à la réalisation de coupes stratigraphiques venant compléter les coupes de référence réalisées en bordure d'emprise et facilitant les recoupements entre les vestiges archéologiques et le contexte stratigraphique grâce à leur proximité des secteurs de fouille manuelle. Au total, 12 coupes ont été relevées sur le terrain (Fig. 1. 9).

En fin d'opération, nous avons à nouveau recouru aux moyens mécaniques afin de terminer le décapage des différents secteurs non achevés en fouille manuelle ainsi que les bermes témoins laissées en place à proximité de ces secteurs, selon une méthodologie identique à celle du décapage mécanique effectué en début d'intervention (chaque pièce est cotée au tachéomètre).

1.5.3. La fouille manuelle

Les secteurs offrant une plus forte densité de vestiges lithiques découverts dans le cadre du décapage mécanique ont fait l'objet d'une fouille manuelle planimétrique (Fig. 1. 13).
Ce sont ainsi 4 « locus », distincts mais cependant proches les uns des autres, localisés dans le quadrant nord-ouest de l'emprise, qui ont fait l'objet d'une fouille manuelle (Fig. 1. 9 et 1. 15).

Préalablement, un carroyage a été mis en place. Ce carroyage, calé sur le nord géographique, est constitué de carrés de 10 m x 10 m nommés de A à H en abscisses et numérotés de 1 à 10 en ordonnées. Ces carrés sont divisés en 100 m² numérotés de 1 à 100. Puis chaque m² est à son tour divisé en 4 quarts de m² nommés de « a » à « d ». Chaque m² fouillé se nomme donc selon ce système ; ce qui donne par exemple C6-67a (Fig. 1. 14).
Ce carroyage n'a été physiquement implanté que sur les zones de fouille manuelle, matérialisé par des clous à chaque angle de m².

La méthode de fouille mise en œuvre consiste, en début de décapage, à enregistrer l'altitude supérieure de chaque m² à fouiller.
Les décapages manuels sont ensuite conduits par passes artificielles successives de 5 cm d'épaisseur, par quart de m². Le nombre de décapages réalisés est variable en fonction des locus.
Le mobilier supérieur à 2 cm est laissé en place jusqu'à la fin du décapage, tandis que les pièces de dimensions inférieures sont prélevées par quart de m² avec indication du numéro de décapage et de l'UPS encaissante sur le sachet les recueillant.

En fin de décapage, il est procédé à une prise d'altitude de la base du décapage et à une photographie zénithale du carré entier avec échelle et orientation dans l'optique d'un ortho-redressement et d'un photomontage général par locus. Des photographies générales, obliques et de détails viennent compléter la documentation.
Enfin, la position de chaque vestige est relevée en trois dimensions à l'aide d'un tachéomètre.
Un numéro d'inventaire correspondant à un point topographique est ainsi attribué à chaque pièce, qui est ensuite conditionnée individuellement dans un sachet polyéthylène sur lequel est reporté ce n° d'inventaire.
Parallèlement est rempli un inventaire de terrain où sont renseignés, outre le numéro d'inventaire de l'objet, sa localisation (locus, carré), le numéro de décapage, l'UPS encaissante, la position de l'objet, sa face reposante, sa matière première, sa détermination typo-technologique, le cas échéant sa mesure de fabrique et enfin toute remarque éventuelle.

Des fiches de décapages manuels sont également renseignées tout au long de la fouille d'un locus. Elles recensent les relevés altimétriques pris en début et fin de décapages, l'UPS correspondant à chaque décapage, les prélèvements de sédiments pour tamisage et les prises de vues photographiques.

Malheureusement, ce protocole de fouille manuel s'avère relativement chronophage. Aussi, en fin d'opération, nous avons dû l'alléger afin de rester en adéquation avec les contraintes de durée limitée de la fouille (6 semaines).
Suite à ce protocole de fouille manuelle complet ont donc été en mis en place un protocole allégé et un « express » :

- La différence que présente le protocole de fouille manuel allégé par rapport à sa version complète décrite ci-dessus réside dans le fait que toutes les pièces ne sont désormais plus cotées au tachéomètre. En fin de décapage, seules les pièces diagnostiques et celles permettant la prise de fabrique (pièces allongées) sont cotées au tachéomètre et renseignées dans l'inventaire mobilier. Les autres sont prélevées par quart de m² dans un sachet commun sur lequel sont reportés le carré de provenance, le n° de décapage et l'UPS encaissante. Chaque décapage fait toujours l'objet de prises d'altitude inférieure et de photographie zénithale.
- Le protocole de fouille « express », quant à lui, consiste toujours à procéder par passes artificielles successives de 5 cm d'épaisseur, mais le mobilier est directement prélevé au fur et à mesure de sa découverte et mis dans un sachet commun où sont reportés le carré



Fig. 1.13 – Le « Bois de Sirion », Auvers-le-Hamon (72). Aperçus photographiques de l'opération : a :vue vers l'ouest des locus 2, 3 et 4 en cours de fouille manuelle ; b : locus 2, décapage 2 ; c :vue vers le sud de la zone A en cours de décapage mécanique avec les locus 3 et 4 sous bâche ; d : locus 4 en cours de décapage manuel dans l'UPS « GR » ;e :station de tamisage. (Clichés : S. Bernard-Guelle, B. Huet)

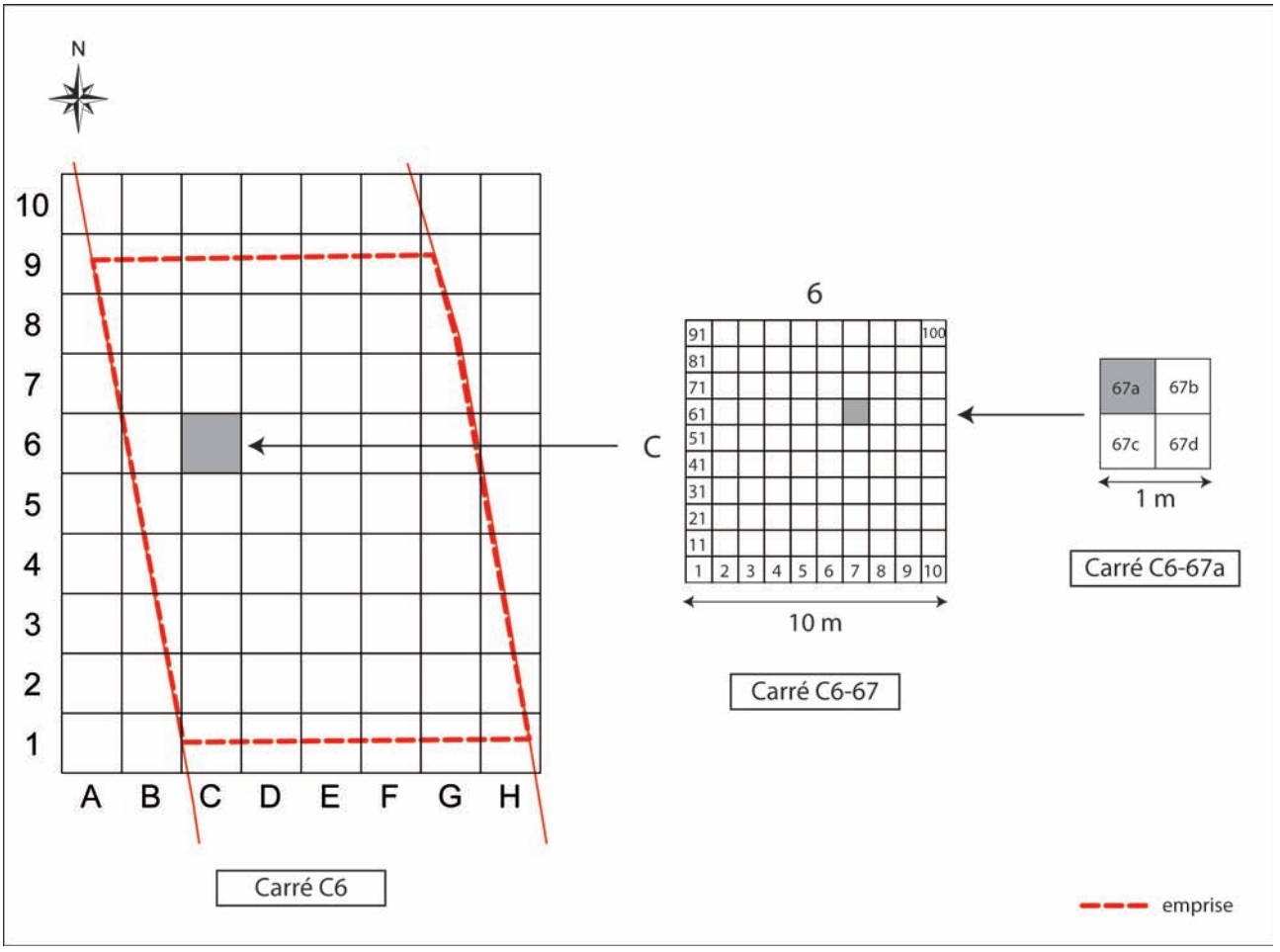

Fig. 1.14 – Le « Bois de Sirion », Auvers-le-Hamon (72). Système de carroyage. (DAO : B. Huet)

de provenance, le n° de décapage et l'UPS encaissante. L'altitude inférieure est toujours prise en fin de décapage ; par contre, aucun relevé photographique n'est réalisé.

Les 4 locus de fouille manuelle isolés ont ainsi fait l'objet dans un premier temps d'une fouille planimétrique « extensive » sur un nombre de décapages variable selon le locus (Fig. 1. 15 ; *cf.* Annexe 1) :
3 décapages pour le locus 1 (protocole de fouille complet)
2 décapages pour les locus 2 et locus 3-nord (protocole de fouille complet pour le décapage 1, allégé pour le décapage 2)
1 décapage pour le locus 4 (protocole de fouille allégé)
Le locus 1, de par sa faible superficie (*cf. infra*), a été fouillé intégralement en surface et en stratigraphie. Ce n'est pas le cas des autres locus qui offraient une superficie nettement plus importante et au sein desquels nous avons donc sélectionné un m² en vue de le fouiller intégralement sur toute sa puissance stratigraphique, jusqu'au substrat sableux afin de mieux cerner la dilation verticale du niveau archéologique (Fig. 1. 15) :
Locus 2 : D7-04 (8 décapages)
Locus 3 : C6-67 (10 décapages)
Locus 4 : C5-82 (6 décapages)
Le protocole de fouille mis en œuvre dans ce cadre est la version allégée (à l'exception des premiers décapages préalablement traités selon le protocole complet).
Enfin, la partie sud du locus 3, « locus 3-sud », a été traitée différemment. En effet, en raison du temps imparti limité, nous avons décidé de mettre en place, sur les deux derniers jours d'intervention, une fouille en damier en surface mais sur toute la puissance stratigraphique du niveau archéologique pour la partie restante du locus 3 qu'il nous restait à fouiller. Concrètement, nous avons fouillé un quart de m² par m² (en l'occurrence le sous-carré « c »), un m² sur deux, en quinconce, sur les deux-tiers sud de la surface du locus 3 (Fig. 1.15). Chacun de ces quarts de m² a été fouillé sur autant de décapages possibles jusqu'à l'interface avec les sables fluviatiles (de 6 à 11 décapages). Le locus 3 étant bien représentatif de l'ensemble des zones de fouille manuelle du site, nous avons ainsi pu avoir une assez

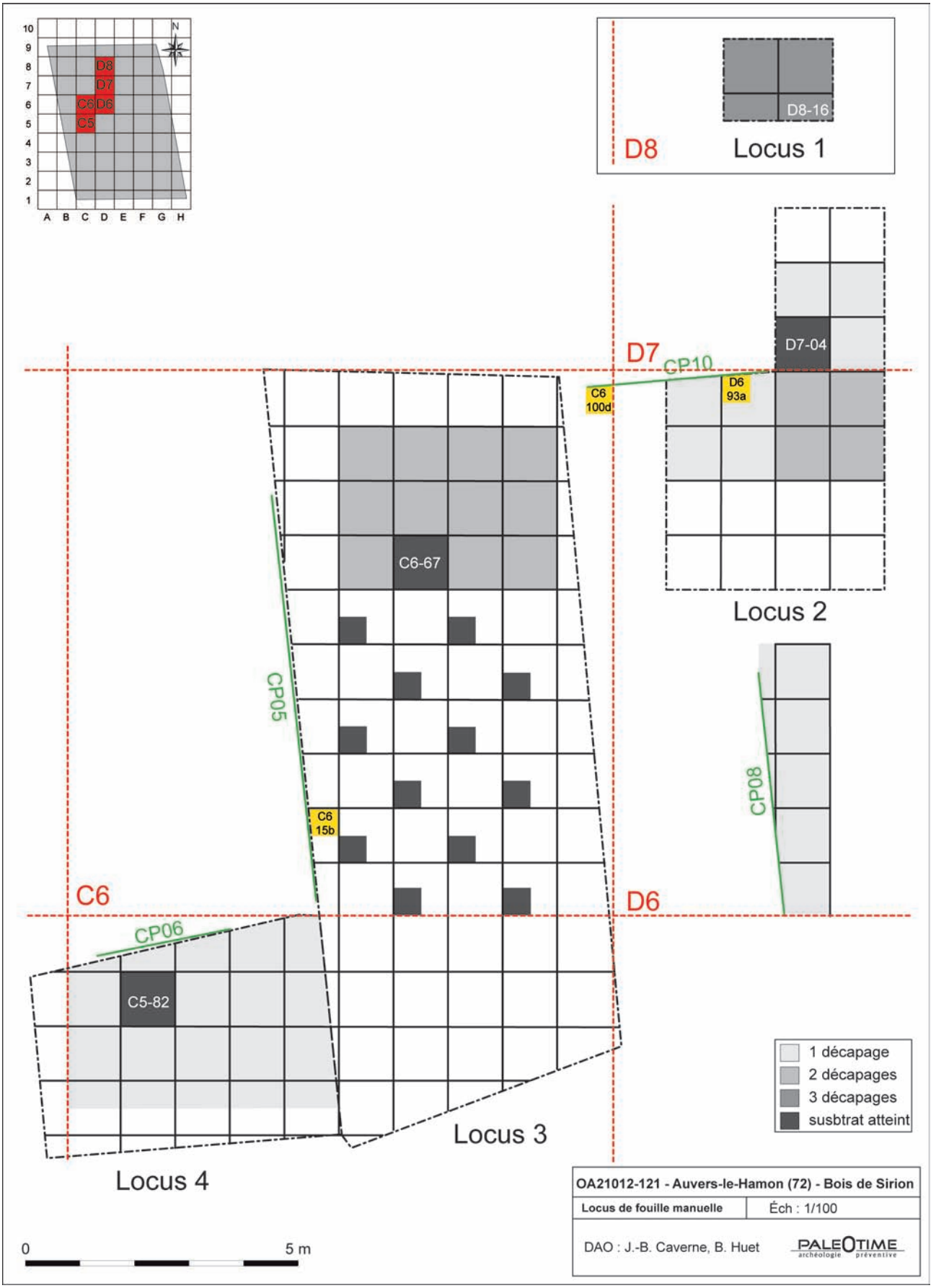

Fig. 1.15 – Le « Bois de Sirion », Auvers-le-Hamon (72). Plan de localisation des zones de fouilles manuelles et des coupes stratigraphiques associées. (DAO : B. Huet)

bonne vision, bien qu'échantillonnée, de la présence du mobilier archéologique et de sa variabilité à la fois en plan et en stratigraphie.
C'est uniquement dans le cadre de cette fouille en damier, pendant les deux derniers jours de fouille manuelle, que nous avons mis en œuvre le protocole de fouille manuelle dit « express ».

La fouille manuelle a ainsi concerné 52 m² en surface et 121 m² en comptabilisant les différents décapages (1 décapage = passe de 5 cm) (Fig. 1. 15 ; *cf.* Annexe 1) :
Locus 1 : 3 m² fouillés sur 3 décapages (substrat atteint) ;
Locus 2 : 12 m² ½ fouillés sur 1 décapage, parmi lesquels 4 m² ont fait l'objet d'un second décapage et un autre sur 8 décapages (substrat atteint sur ce m²) ;
Locus 3-nord : 12 m² fouillés sur 2 décapages dont 1 m² sur 10 décapages (substrat atteint sur ce m²) ;
Locus 3-sud : 12 quarts de m² fouillés sur 6 à 11 décapages (substrat atteint sur la moitié) ;
Locus 4 : 16 m² ½ fouillés sur 1 décapage dont 1 m² sur 6 décapages (substrat atteint sur ce m²) ;
Un autre secteur, qui n'a pas été préalablement carroyé, situé au pied de la coupe CP08 en bordure est du locus 3 et nommé « CP08 base », a également été fouillé manuellement : 5 m² sur 1 décapage ;
Parallèlement, 2 « colonnes granulométriques » ont été également été fouillées en vue de l'analyse taphonomique du site (Fig. 1. 15) :
C6-100d (4 décapages) D6-93 (8 décapages) en locus 2
C6-15b (11 décapages) en locus 3

En fin d'opération, la fouille de ces zones de fouille manuelle a été achevée à l'aide de moyens mécaniques.

1.5.4. Les mesures des fabriques

Dans le cadre d'une étude taphonomique du mobilier lithique visant à mieux caractériser les processus post-dépositionnels, nous avons mis en œuvre la mesure des fabriques.
Les pièces allongées (deux fois plus longues que larges) ont ainsi fait l'objet d'une mesure de leur orientation et de leur inclinaison dans leur axe d'allongement à l'aide d'une boussole munie d'un clinomètre. Ces mesures ont été effectuées uniquement dans la cadre de la fouille manuelle, sur chacun des locus fouillés (pièces non déplacées et dont la position a été relevée au tachéomètre).

1.5.5. Le tamisage des sédiments

Conformément au cahier des charges scientifiques, un tamisage ponctuel des sédiments issus des décapages manuels a été opéré. Il a été effectué à l'eau à l'aide d'un nettoyeur à haute pression dans un tamis de maille n° 14 (Fig. 1. 13e).
Ce tamisage avait préalablement deux objectifs, l'un archéologique, l'autre taphonomique.

Pour le tamisage à vocation archéologique, ce sont les sous-carrés les plus denses en artefacts qui ont fait l'objet de prélèvement de sédiments, d'un volume variable. Ce sont ainsi 47 sous-carrés qui ont fait l'objet d'un tamisage (*cf.* Inventaire 8).

Toutefois, par manque de temps alloué, ces refus de tamis n'ont malheureusement pas pu être traités dans le cadre de la post-fouille ; seuls les refus de tamis à vocation taphonomique (analyse de la distribution granulométrique des éléments lithiques) ont pu l'être.

Pour l'étude granulométrique, deux types de prélèvements ont fait l'objet d'un tamisage : des prélèvements issus de la fouille manuelle d'une part et des prélèvements en « colonnes granulométriques » associés à une coupe stratigraphique d'autre part.

Dans le premiers cas, nous avons arbitrairement choisi systématiquement le sous-carré « a » de chaque m² fouillé manuellement, le volume prélevé étant toujours le même et correspondant à un seau (10 litres). Ainsi, le tamisage a été effectué pour tous les sous-carrés « a » de l'ensemble des décapages 1 des locus 2, 3 et 4, ainsi que pour les sous-carrés « a » de chaque décapage effectué au sein des m² descendus sur toute leur puissance stratigraphique (D7-04 en locus 2, C6-67 en locus 3 et C5-82 en locus 4). Ce sont ainsi 60 sous-carrés qui ont été tamisés au total.

Dans le second cas, le tamisage à vocation granulométrique a concerné deux « colonnes granulométriques » (Fig. 1. 15) :
- C6-15b en Locus 3
- C6-100d pour les niveaux supérieurs complétés par D6-93a pour les niveaux inférieurs en Locus 2
Le sédiment issu de chacun des décapages de ces colonnes a été tamisé (11 décapages pour C6-15b et 12 décapages pour C6-100d+D6-93a).

1.5.6. Les prélèvements

Au total, 36 prélèvements pour analyse ont été effectués au cours de l'opération, majoritairement en coupe et dans les différents faciès sédimentaires (34 sur 36) (*cf.* Inventaire 5).
Il s'agit de sédiments en vrac destinés à des analyses granulométriques (n = 26), en blocs en vue d'analyses micromorphologiques (n = 6) et enfin en tubes pour la réalisation de datations OSL (n = 4).
En dehors de ces prélèvements de sédiments, un artéfact brûlé en silex, découvert au décapage mécanique, a été isolé pour y effectuer une datation par thermoluminescence.

1.6. Déroulement effectif de l'opération

La phase d'installation du chantier s'est déroulée du 7 au 9 novembre 2012. Elle a consisté en l'aménagement d'une voie d'accès au chantier, en l'installation de la base vie à proximité de l'emprise, en la mise en place de la station de tamisage, au piquetage de l'emprise de fouille et en l'implantation des points topographiques de références pour les mises en station ultérieures du tachéomètre.

La phase de fouille a débuté le 12 novembre, après signature du procès-verbal de mise à disposition du terrain, et a pris fin le 21 décembre 2012, soit 6 semaines d'opération. Nous pouvons segmenter ces 6 semaines en 3 grandes phases, phases qui se chevauchent dans la mesure où les différentes activités ont parfois pu être menées en parallèle (Fig. 1. 16).

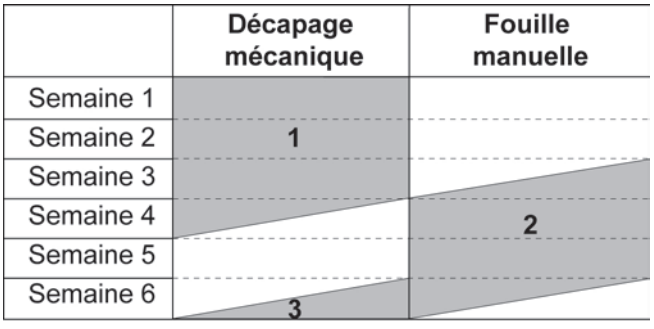

Fig. 1.16 – Le « Bois de Sirion », Auvers-le-Hamon (72). Phasage de l'opération. (DAO : B. Huet)

Phase 1 – du 12/11/12 au 04/12/12 : réalisation des tranchées stratigraphiques et décapage mécanique extensif

Le début de la première semaine, lundi à mercredi, a été consacré à la réalisation de 6 tranchées stratigraphiques en bordure d'emprise afin de cerner rapidement la séquence pédosédimentaire locale et les éventuelles variations de faciès à travers l'emprise : TS01.1 et TS01.2 en limite nord, TS02.1 en limite est, TS03.1 en limite sud, TS04.1 et TS04.2 en limite ouest (Fig. 1. 9).

À partir du mercredi après-midi, nous avons entrepris le décapage mécanique extensif de l'emprise à partir de l'angle nord-ouest selon une progression ouest-est par bandes parallèles de deux largeurs de godets depuis le nord vers le sud.
Parallèlement ont été achevés le nettoyage et le relevé des coupes stratigraphiques de bordure d'emprise.

Les artefacts sont apparus de manière diffuse, comme observé lors du diagnostic. Leur niveau d'apparition se situe immédiatement sous la fine couche d'humus forestier. Ils présentent une forte dispersion verticale transcendant les différentes UPS repérées jusqu'au substrat représenté par les sables fluviatiles, certains ayant même percolé de plusieurs centimètres au sein de ces sables. Cette dispersion verticale pouvant atteindre 1,25 mètre, il a donc fallu revoir à la hausse la profondeur de décapage initialement estimée à 0,70 mètres de profondeur d'après les résultats du diagnostic. Toutefois, le niveau d'apparition des sables fluviatiles varie à travers l'emprise : il est ainsi nettement plus profond dans le coin nord-ouest pour remonter progressivement en s'éloignant vers l'est et le sud.
Malgré cette forte dispersion verticale, l'assemblage lithique récolté est apparu parfaitement cohérent et relever d'un même cadre chrono-culturel (Moustérien), à l'exception de quelques éléments récoltés à la limite de l'humus ou dans l'UPS supérieure (rares tessons de céramique, fragments de scories de fer et quelques pièces lithiques non patinées pouvant vraisemblablement être rattachées au Néolithique).

Lors de la deuxième semaine, une seconde pelle mécanique est venue renforcer nos moyens (Fig. 1. 12b). La première pelle a continué sa progression selon un axe ouest-est en bandes parallèles du nord vers le sud, tandis que la seconde pelle suivait un axe nord-sud progressant de l'ouest vers l'est (décapage en L). Cette zone principale de décapage a été nommée « zone A » (Fig. 1. 9).

En progressant à la fois vers l'est et le sud de l'emprise, nous avons pu constater une nette raréfaction des vestiges jusqu'à rencontrer des niveaux complètement stériles dans la partie sud de la zone A, ce que nous pressentions déjà suite à l'ouverture des tranchées stratigraphiques TS02.1 et TS03.1 en bordures est et sud de l'emprise.

En fin de deuxième semaine, à l'aide de l'une des deux pelles, nous avons décidé d'ouvrir le décapage en bordure est de l'emprise, autour de la CP02.1, afin de tester plus précisément le potentiel de cette zone. Cette « zone B » s'est révélée particulièrement pauvre en vestiges archéologiques, voire vierge sur la majeure partie de sa surface (Fig. 1. 9 et 1. 12e).

La semaine suivante (semaine 3/6), l'extension du décapage de la zone A vers le sud d'une part, vers l'est d'autre part, a confirmé la raréfaction voire l'absence de vestiges archéologiques. Dans la partie nord-est de la zone A, nous avons ouvert, selon un axe nord-sud, une bande de décapage de 4 mètres de large et 30 mètres de long afin de tester le potentiel de ce secteur et d'adapter la poursuite du décapage mécanique en conséquence. Il s'avère effectivement que seuls 7 artefacts y ont été découverts, répartis principalement au nord de la bande, la partie sud de cette bande de décapage rejoignant la zone B se révélant pratiquement vierge.
Nous avons également étendu le décapage de la zone B afin de confirmer nos observations précédentes ; cette zone atteint désormais une surface 330 m². À cette occasion, de nouvelles coupes stratigraphiques ont été relevées : la CP02.2 dans le même axe que la CP02.1 en bordure est la zone B, ainsi que la CP09 en bordure ouest de la zone B (Fig. 9).Puis, nous avons ouvert une nouvelle zone de décapage mécanique dans la partie sud de l'emprise, la « zone C », d'une surface de 130 m². Ces deux décapages, celui de la zone C et l'extension de la zone B, se sont révélés être complètement stériles d'un point de vue archéologique.

Dans ces zones B et C, nous rencontrons, à la base de la séquence sédimentaire mais au-dessus des sables fluviatiles, des argiles litées de couleur blanche à rouge (Fig. 1. 12e). Ces argiles avaient déjà été mises en évidence dans les tranchées stratigraphiques est et sud de l'emprise (TS02.1 et 03.1). Ces argiles constituent le remplissage de dépressions interprétées comme les vestiges d'un paléochenal. Il apparaît donc un lien étroit entre la présence de ces argiles et l'absence de vestiges archéologiques dans les niveaux sédimentaires supérieurs.

Étant donné le manque de pertinence du décapage intégral des secteurs est et sud de l'emprise, nous avons donc décidé, en accord avec le SRA, de ne pas étendre d'avantage le décapage mécanique de ces zones afin de pouvoir nous consacrer pleinement aux zones réservées à la fouille manuelle. Nous avons donc cessé le décapage mécanique au début de la semaine 4, le 4 décembre.

Phase 2 – du 27/11/12 au 19/12/12 : la fouille manuelle

Dès la deuxième semaine de décapage mécanique, des zones de plus forte concentration en vestiges ont été repérées et laissées de côté afin de la traiter manuellement. Elles constituent les locus n°1 à 4 (Fig. 1. 9 et 1. 15).

La troisième semaine, un carroyage orthonormé a été implanté, de manière continue sur l'ensemble des locus, et matérialisé par des clous (*cf.* §1.5.3).

La fouille manuelle a alors pu commencer le mercredi de cette même semaine, parallèlement à la poursuite du décapage mécanique (Fig. 1. 13). Elle s'est poursuivie jusqu'au 19 décembre.

Ce sont dans un premier temps, le locus 1qui livre un amas lithique très dense concentré au sein d'une poche de galets à matrice sablo-limoneuse rouge (dits « GR » ; Fig. 1. 11f) et réparti sur une surface réduite, ainsi que le locus 2 offrant une surface plus importante de répartition des vestiges qui ont été ouverts.
La fouille du locus 3 a, quant à elle, été entamée à partir la semaine 4 ; il s'agit de celui offrant la plus grande surface de fouille manuelle potentielle. Tandis que le locus 4 fut le dernier à être ouvert, à partir de la semaine 5.
Alors que pour les locus 2 et 3, la fouille a commencé par le décapage de la partie supérieure de la séquence stratigraphique, les limons sableux bruns (dits « LSB » ; Fig. 1. 11d.1), le niveau d'ouverture à la fouille du locus 4 se situe nettement plus bas, au sein du faciès sédimentaire des « GR » (Fig. 1. 13d). La fouille de ces différents locus permet ainsi une bonne approche de la répartition spatiale en plan des vestiges au sein des différents faciès sédimentaires observés sur le site.

À l'exception du locus 1 dont la fouille s'est terminée rapidement dû à sa surface réduite (courant semaine 4), l'exploration des autres locus s'est effectuée de manière parallèle jusqu'à la dernière semaine de chantier et le décapage mécanique final. Un autre secteur de 5 m² a également été fouillé manuellement au pied de la coupe CP08 en bordure est du locus 3, bien qu'il n'ait pas été

préalablement carroyé. Ce secteur est intéressant de par son étroite proximité avec la coupe où apparaissent de nombreux artefacts.

Parallèlement, les coupes stratigraphiques entourant ces locus ont été relevées : la CP05 en bordure ouest du locus 3, la CP06 en bordure nord du Locus 4, la CP08 en bordure est du locus 3 et enfin la CP10 en bordure nord-ouest du locus 2 (Fig. 1. 15).

À partir de la semaine 4, nous avons également commencé le tamisage granulométrique et archéologique des sédiments provenant de ces locus.
La fouille manuelle a été arrêtée le mercredi 19 décembre ; le lendemain, la fouille de ces locus a dû être achevée à la pelle mécanique.

Phase 3 – du 19/12/12 au 21/12/12 : décapage mécanique final et libération du terrain

À la fin de la dernière semaine d'intervention sur le terrain, pendant deux journées complètes, nous avons fait à nouveau appel à un engin mécanique pour terminer le décapage des bermes de contrôle stratigraphique laissées en place et les zones de fouille manuelle qui ne pouvaient être achevées manuellement dans le temps imparti. La méthodologie mise en œuvre est restée identique à celle du décapage mécanique effectué en début d'intervention (chaque pièce est cotée au tachéomètre).
Nous avons également utilisé la pelle mécanique pour creuser plus profondément dans la zone B autour de la coupe CP02-1, afin d'approfondir notre connaissance du paléochenal. Parallèlement, nous avons terminé le tamisage des sédiments.

La fouille s'est terminée le 20 décembre, pendant qu'une autre partie de l'équipe procédait au nettoyage du terrain, du matériel et de la base vie. Le 21 décembre a été consacré au démontage de la base vie.
Nous avons procédé à la libération du terrain, comme convenu, le 21 décembre 2012.

Phase 4 – du 07/01/13 au rendu du rapport : la post-fouille

La post-fouille s'est étalée entre le 7 janvier 2013 et le printemps 2015 en fonction des différents intervenants. Toutes les analyses (granulométrie, micromorphologie, datations OSL et TL) et études (stratigraphie, géomorphologie, taphonomie, pétrographie, technotypologie, dessins…) prévues ont pu être réalisées lors de cette période.

1.7. Bilan des moyens mécaniques et humains

Moyens mécaniques
Les moyens mécaniques devisés étaient de 25 jours de pelle mécanique (200 heures) et de 19 jours (152 heures) de tracto-benne.
Le calendrier prévisionnel théorique prévoyait de répartir ces moyens mécaniques sur les trois premières semaines d'intervention, avec l'intervention de 2 pelles et 2 tracto-bennes la deuxième semaine, et de garder une journée de pelle mécanique et de tracto-benne en fin de chantier pour l'élimination des bermes et la vérification des secteurs de fouille manuelle.
Ce calendrier fut respecté à quelques choses près : une pelle mécanique fut utilisée pour les trois jours d'installation du chantier et pendant les trois premières semaines, une journée en quatrième semaine et enfin deux journées en dernière semaine d'intervention ; une seconde pelle est venue en renfort durant la deuxième semaine. Un tracto-benne fut utilisé pendant 9 jours consécutifs du 14 au 26 novembre ; un second est venu en renfort la deuxième semaine, lors de la présence des deux pelles mécaniques.

Très rapidement, nous avons rencontré un problème lié à la localisation de la zone de déblais dans une aire convenue par l'aménageur à 250 mètres de l'emprise, entraînant un retard sur le décapage mécanique.
L'état du terrain, plutôt humide en cette période hivernale, a en effet engendré de fréquents embourbements du tracto-benne sur la piste forestière d'accès à la zone de déblais, puis dans le champ en contre-bas où se faisait le déchargement. La pelle devait donc intervenir à plusieurs reprises dans la journée pour désembourber le tracto-benne, ainsi que pour étaler les déblais dans la zone de dépôt et régulariser la piste d'accès. Ceci a eu pour conséquence de ralentir nettement le rythme du décapage mécanique de la zone de fouille.
Suite à des discussions, nous sommes arrivés à un compromis satisfaisant l'ensemble des interlocuteurs, aménageur, SRA et opérateur : à partir de la troisième semaine, les déblais pouvaient alors être directement déposés sur les surfaces déjà décapées de l'emprise au fur et à mesure de l'avancement du décapage.
Grâce à cette possibilité de stocker les déblais à l'intérieur de l'emprise, le tracto-benne n'était plus nécessaire. Nous avons alors pu transformer une partie des jours impartis au tracto-benne restants en jours de pelle mécanique, permettant de rattraper le retard pris sur l'avancement du décapage.
Par ailleurs, le devis avait été établi pour une profondeur moyenne de décapage estimée à 0,70 m. Or, il

s'est avéré que les vestiges archéologiques présentaient une forte dispersion verticale et que leur profondeur moyenne était donc plus importante que prévue. Toutefois, le fait qu'il n'a pas finalement pas été nécessaire de décaper la totalité de la surface prescrite en raison de zones pauvres voire vierges de tout vestige archéologique (*cf.* §1.6) a permis de compenser largement cette augmentation de la profondeur du décapage.
Au final, ce sont donc 30 jours de pelle (241 heures) et 12 jours de tracto-benne (94 heures) qui ont été utilisés.

Moyens humains
L'équipe de fouille fut composée de 4 à 7 personnes pendant les 6 semaines que duraient l'opération. Préalablement à l'arrivée de l'équipe de fouille, la mise en place du chantier fut organisée par le responsable technique accompagné du topographe du 7 au 9 novembre. La première semaine d'intervention a été conduite en équipe réduite (4 personnes) avec une responsable d'opération, un géoarchéologue, une assistante géoarchéologue et un topographe.
L'équipe permanente comprenait la responsable d'opération, une assistante-géoarchéologue, une assistante topographe-technicienne et deux techniciens. Cette équipe fut renforcée la cinquième semaine par un technicien supplémentaire et la venue du géoarchéologue pour effectuer les différents prélèvements nécessaires (micromorphologie, granulométrie et datations OSL).

1.8. Bilan des fouilles mécaniques et manuelles

Au terme de l'opération, l'emprise prescrite de 4700 m² a été fouillée sur 3045 m², soit 65 % de sa surface, par des moyens mécaniques et manuels sur près de 1,25 m de profondeur jusqu'au substrat constitué par les sables fluviatiles.
L'option de ne pas décaper la totalité de l'emprise prescrite a été prise en accord avec le SRA après l'ouverture de fenêtres tests. Les extensions du décapage mécanique menées vers l'est et le sud de l'emprise ont en effet révélé une raréfaction nette puis une absence totale des artefacts. Cette répartition différentielle de l'horizon archéologique est à mettre en relation avec la présence d'argiles qui constituent le remplissage de dépressions observées dans le tiers sud-est de l'emprise, probablement un paléochenal. Cette zone ne justifiant donc pas une exploration extensive, ceci a permis de consacrer pleinement le temps imparti et les moyens humains aux zones de plus fortes concentrations traitées en fouille manuelle.
Ce sont 52 m² qui ont été fouillés manuellement en plan, mais 121 m² cumulés si l'on prend en compte les multiples décapages effectués.

Le décompte des vestiges archéologiques s'élève à 10400 pièces (Tabl. 1 et 2). Parmi ces pièces, 4984 pièces sont individualisées par un numéro d'inventaire (soit 48 % des vestiges récoltés) : 3545 d'entre elles (soit 71 % des pièces individualisées) ont été cotées en 3 dimensions dans l'espace par tachéomètre laser ; les 1439 autres, dont seul le secteur ou le carré de provenance est alors connu, rassemblent toutes les pièces de dimensions supérieures à 1,5 cm ramassées lors des protocoles de fouille manuelle allégés et « express » mis en place en fin de chantier (*cf.* §1.5.3), celles issues des sachets d'esquilles de fouille manuelle et de décapage mécanique, ainsi que celles déplacées par le godet de la pelle mécanique lors du décapage ou bien encore, pour quelques rares pièces, celles retrouvées dans les déblais (Tabl. 1).
L'attribution d'un numéro d'inventaire pour ces pièces facilite la conduite de leur étude.
Parmi ces pièces individualisées, 58 % ont été récoltées dans le cadre du décapage mécanique, tandis que 42 % proviennent des secteurs de fouille manuelle (Tabl. 1).
À ces pièces individualisées s'ajoutent 577 lots de mobilier rassemblant 5416 éléments (soit 52 % de l'ensemble des vestiges recueillis) (Tabl. 1). Ces lots sont constitués par les sachets d'esquilles (éléments inférieurs à 1,5 cm) issus du décapage mécanique, de la fouille manuelle et du tamisage. Par ailleurs, 65 % des vestiges archéologiques du « Bois de Sirion » proviennent des zones de fouille manuelle (Locus 1 à 4), le locus 3 étant le plus riche et le plus étendu, mais le locus 1 étant le plus dense (414 pièces / m²) (Tabl. 2 ; Annexe 1).

	Décapage mécanique	Décapage manuel	Décapage indéterminé	TOTAL
Mobilier individualisé coté	2501	1043	1	**3545**
Mobilier individualisé non coté	388	1037	14	**1439**
Mobilier en lots	899	4499	18	**5416**
TOTAL	**3788**	**6579**	**33**	**10400**

Tabl. 1 – Le « Bois de Sirion », Auvers-le-Hamon (72). Décompte du mobilier archéologique par type de décapage et d'enregistrement du mobilier.

	Décapage mécanique	Décapage manuel	Décapage indéterminé	TOTAL
LOCUS 1		1241		**1241**
LOCUS 2	65	784		**849**
LOCUS 3	309	2658		**2967**
LOCUS 4	113	1634		**1747**
Hors Locus	3301	262	33	**3596**
TOTAL	**3788**	**6579**	**33**	**10400**

Tabl. 2 – Le « Bois de Sirion », Auvers-le-Hamon (72). Décompte du mobilier archéologique par type de décapage et provenance du mobilier.

2. Contexte stratigraphique

Mathieu Rué, Aurélie Castets

2.1. Introduction

Le secteur d'étude, localisé sur le tracé de la LGV Bretagne - Pays de Loire, au nord de Sablé-sur-Sarthe, correspond à un vaste plateau formant l'interfluve entre deux affluents de la rive droite de la Sarthe (l'Erve à l'ouest, la Vègre à l'est), à des altitudes comprises entre 65 et 70 m NGF. D'après la carte géologique de Loué au 1/50 000 (Clément *et al.* 1987), l'emprise de fouille se situe sur la bordure orientale du bassin carbonifère de Laval, représenté ici par des calcaires et schistes tournaisiens à viséens, et à environ 1 km des premières formations mésozoïques du bassin parisien (sables et grès cénomaniens, fig. 2.1). Toujours d'après cette carte, l'emprise est implantée sur un complexe d'altération limoneux brun clair, référencé *A*Œ, qui se rattache aux dépôts lœssiques pléistocènes bien développés dans le bassin parisien. Son épaisseur varie entre 1 à 2 m. La notice de la carte géologique fournit quelques précisions sur cette formation d'après l'étude de F. Ménillet menée lors du levé de la carte du Mans (Juignet *et al.* 1973) :

- les courbes granulométriques de la fraction limoneuse plaident en faveur d'une origine éolienne, avec un mode autour de 30 µm ;
- l'ensemble du matériau est en revanche mal trié, avec un enrichissement en sables et parfois en grès tertiaires résiduels ;
- la présence de grains de glauconie dans les sables ainsi que la forte proportion de grains émoussés luisants pour la fraction 0,3 à 0,5 mm indiquent que ces sables sont hérités des formations cénomaniennes ;
- les limons, tous décarbonatés, n'ont subi qu'une altération pédologique modérée, ce qui suggère à l'auteur un âge pléistocène supérieur à cette formation de couverture.

Sous ces dépôts, la carte indique que l'on est vraisemblablement en présence d'une formation présumée pliocène constituée de sables rouges, de graviers et de galets, formation qui affleure à 300 m au nord du site. Il s'agirait d'un « dépôt fluviatile mis en place en zone périglaciaire et qui pourrait dater d'un épisode froid du Pliocène supérieur ou même du Quaternaire ancien » (Clément *et al.* 1987). L'absence de sondages référencés dans la base de données du sous-sol ne permet pas de préciser son épaisseur. D'après Larue et Etienne (1997), elle peut atteindre 10 m au nord de Sablé-sur-Sarthe.

Même si les formations post-pliocènes sont relativement bien connues dans la région, en particulier celles de la vallée de la Sarthe (Chantreau 2011), elles ne peuvent encore servir de cadre chronostratigraphique fiable par manque de datations absolues. Pour le dernier cycle glaciaire, les calages sont basés sur les indicateurs classiques, comme la présence de mobilier lithique (exemple de la basse terrasse Fy de la Vègre à mobilier moustérien, Gruet 1963, localisée à environ 5 km à l'est du site, fig. 2.1), sur des différences d'altération des matériaux ou sur la présence de figures périglaciaires (Mary 1964).

Ces premiers éléments stratigraphiques montrent donc que le mobilier du Bois de Sirion s'intercale au sein d'un pédocomplexe limono-sableux d'épaisseur métrique qui s'est développé sur du matériel colluvial et éolien, vraisemblablement au cours du dernier cycle glaciaire. Cette formation recouvre une formation fluviatile d'âge pliocène supposé.

Topographiquement, le site est implanté sur la bordure occidentale du plateau du Bois de Sirion, sur une pente générale d'environ 1,5 % vers l'ouest. Il est encadré au sud et au nord-nord-est par deux talwegs qui dégagent un éperon peu prononcé sur lequel est implanté le site (fig. 2.2). De fait, la surface du sol au niveau de l'emprise présente deux axes d'écoulements bien distincts, en direction du sud-ouest et du nord-est (fig. 2.3).

Les premières investigations stratigraphiques ont été menées par Valérie Deloze (Inrap) lors du diagnostic. D'après ses observations, le mobilier paléolithique moyen se situe à l'interface entre, à la base, une couche sablo-limoneuse à aspect bariolé issue d'un mélange des formations résiduelles mésozoïques, et, au sommet, une couche provenant du remaniement des dépôts sableux pliocènes et de la formation limono-loessique de couverture (Brodeur 2012, p. 32). Ces déductions ne reposent toutefois que sur un seul profil levé situé à environ 100 m au sud-est de l'emprise (tranchée 32).

Conformément au cahier des charges scientifiques de la fouille, l'étude stratigraphique visait principalement à préciser et interpréter le contexte pédosédimentaire du mobilier paléolithique moyen. L'intervention de terrain s'est déroulée durant la première et la cinquième

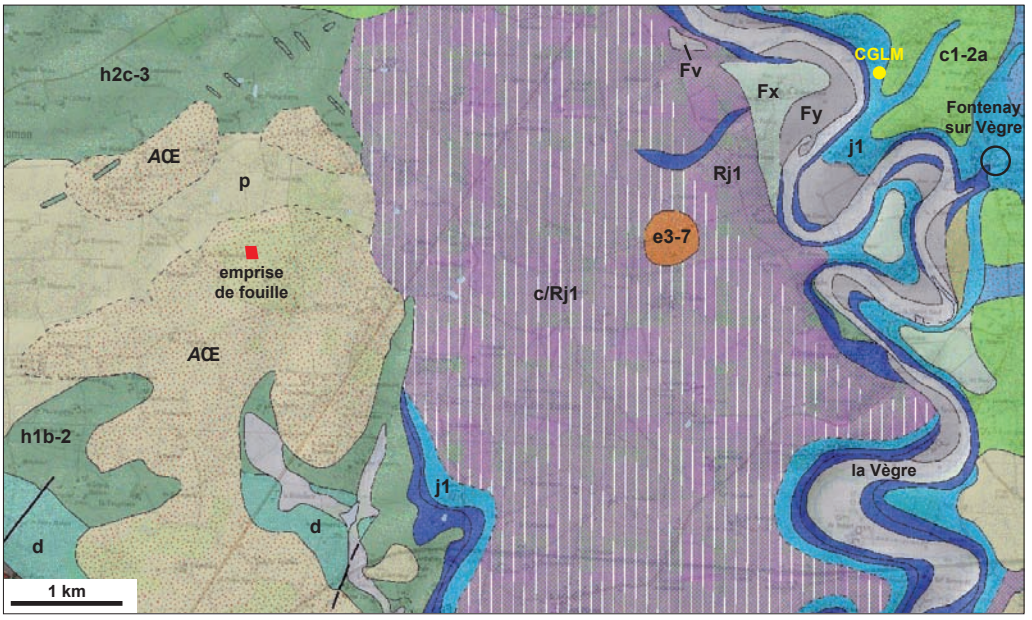

Figure 2.1 – Contexte géologique (M. Rué, d'après le portail InfoTerre du BRGM). CGLM : site paléolithique moyen de Château-Gaillard La Mercerie (Fontenay-sur-Vègre). Principales formations cartographiées par Clément *et al.*, 1987, feuille de Loué : *Formations alluviales pléistocènes* : Fy : basse terrasse (3-8 m). Fx : moyenne terrasse (10-15 m). Fv : haute terrasse (24-30 m). *Altérites et formations tertiaires* : AŒ : complexe loessique des plateaux, limons, parfois sableux. Rj1 : argile à silex résiduels issus du Bajocien. c/Rj1 : Cénomanien en placages dispersés décimétriques sur argile à silex bajociens. p : sables, graviers et galets roulés attribués au Pliocène indifférencié, plus ou moins résiduels. e3-7 : sables et grés lustrés éocènes. *Formations secondaires* : c1-2a : Sables et grès du Maine, Cénomanien moyen. j1 : calcaire à silex bajocien. *Formations primaires* : h1b-2 : formation du Calcaire de Sablé (calcaires durs, massifs, bleus), Tournaisien supérieur à Viséen moyen. h2c-3 : formation des Schistes de Laval (dite de Heurtebise), Viséen supérieur à Namurien. d : formation de Gahard, du Moulin du Grez, de la Chaussée, grès beige clair et siltstone micacé (Pridoli, Lochkovien supérieur).

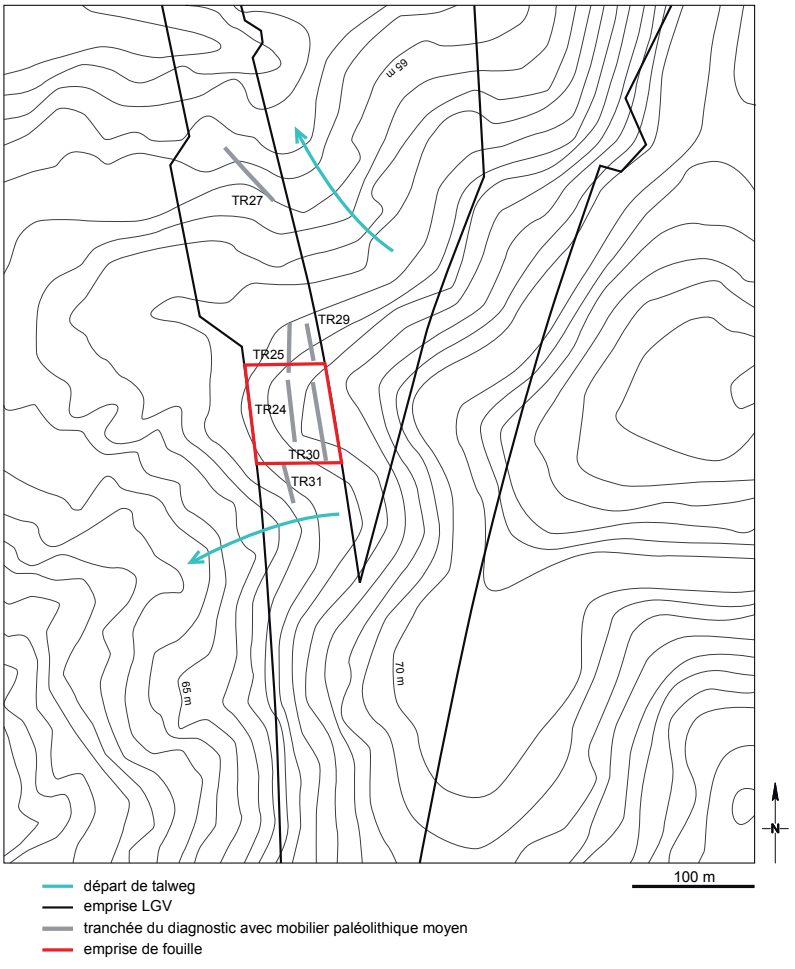

Figure 2.2 – Contexte géomorphologique (M. Rué). L'emprise est située sur un éperon du versant ouest dégagé par deux talwegs. Equidistance des courbes 0,50 m.

semaine de fouille pour le géoarchéologue, et durant l'intégralité de la phase de terrain pour l'assistante géoarchéologue, ce qui a permis d'assurer un suivi stratigraphique continu et de participer aux réflexions sur l'état de conservation du site dès le début de l'opération.

Les deux premières semaines ont été consacrées au creusement de cinq tranchées stratigraphiques localisées sur le pourtour de l'emprise, au nettoyage continu des coupes occasionnées, à leur relevé intégral par photomontage et à leur description sous forme de photographies commentées. La suite de l'intervention a consisté à poursuivre les enregistrements stratigraphiques selon le même protocole aux abords des zones de fouille manuelle. Au total, 90 m linéaires de coupes ont été relevés (localisation fig. 2.3, inventaire 7). Un échantillonnage de la séquence sédimentaire a ensuite été effectué pour archivage et analyses (sédimentologie, micromorphologie, datations OSL, liste des prélèvements dans l'inventaire 5).

Ce chapitre présente et interprète l'ensemble des données stratigraphiques acquises lors de la fouille sur la base des observations de terrain (2.2 et 2.3) et des résultats analytiques (2.4 et 2.5).

2.2. Séquence stratigraphique

2.2.1. Généralités

Dès l'ouverture de la première tranchée exploratoire en limite nord de l'emprise (coupe 1, fig. 2.4), l'organisation stratigraphique du site s'est révélée beaucoup plus complexe que le suggérait le diagnostic. La tranche de sol étudiée, épaisse d'environ 1 m sous la surface actuelle, présentait en effet une forte imbrication d'unités litho- et pédostratigraphiques généralement peu épaisses (< 50 cm) et discontinues. Cette configuration a nécessité d'adapter le système d'enregistrement que nous employons habituellement car il était difficile de proposer un schéma d'organisation pouvant s'appliquer à tout ou partie de l'emprise à l'issue de la phase de réalisation des tranchées stratigraphiques. Pour cela, chaque faciès pédosédimentaire suffisamment contrasté et développé, et aisément reconnaissable par chacun, a été catalogué par des lettres caractérisant la texture et la couleur selon la nomenclature suivante, sans hiérarchisation stratigraphique :

A : argileux
L : limoneux
S : sableux
G : graveleux

J : jaune (10 YR 6/4, brun jaunâtre pale)
B : brun (7.5 YR 5/8, brun vif)
R : rouge (5 YR 5/8, rouge jaunâtre)

Les couleurs Munsell données correspondent à une tendance sur échantillon sec.

Ces faciès ont presque exclusivement été enregistrés sur les coupes levées, et, plus rarement en plan. La vision stratigraphique du site en plan a néanmoins été documentée sous forme de photographies dans les zones de fouille manuelle. Comme chaque élément mobilier topographié est associé à un faciès, et que ce mobilier est omniprésent dans l'espace étudié, à des densités certes variables, il est possible de restituer l'organisation stratigraphique générale du site. Nous n'avons toutefois pas exploité ces données dans le cadre de cette étude.

À la fin des décapages mécaniques, les neuf principaux faciès identifiés ont pu être regroupés en quatre ensembles sédimentaires s'organisant comme suit :

- au sommet, l'**ensemble 1**, brun à jaune à dominante limoneuse (faciès LSJ, LSB et LSJ tacheté), sur lequel se développe le sol brun humifère actuel ;
- en position médiane, l'**ensemble 2**, brun à rouge, à fraction grossière abondante (graviers et galets), présent majoritairement sous forme de lentilles ou poches (faciès GB, GBR et GR) ;
- en position médiane également, l'**ensemble 3**, brun-rouge, à dominante limono-sableuse (faciès LSBR et LSR) ;
- et à la base, l'**ensemble 4**, rouge, à dominante sableuse (faciès SR), se développant sur des sables clairs.

Dans la zone sud-est et est de l'emprise, deux importants volumes argilo-sableux incisent l'ensemble 4. Ils correspondent au comblement d'un système hydrologique fossile, ce qui porte donc à cinq le nombre minimum de phases morphosédimentaires. Le substrat carbonifère n'a pas été atteint. Le mobilier paléolithique moyen se répartit au sein des trois premiers ensembles, et, localement, au sommet de l'ensemble 4.

Les descriptions et interprétations des principaux faciès présentées ci-après sont basées sur les seules observations de terrain. Sur les douze coupes levées, onze sont présentées dans ce rapport (fig. 2.4 à 2.8). Seule la coupe 9, équivalente à la coupe 2.1, n'a pas été restituée. Les projections du mobilier sur ces coupes concernent uniquement les éléments topographiés présents sur une bande large de deux mètres (localisation des bandes de projection fig. 2.3). Les différences de densité de mobi-

lier qui apparaissent sur ces projections peuvent être induites par le mode de prélèvement (fouille manuelle dans les locus ou décapage mécanique).

2.2.2. Ensemble 1 : limons sableux affectés par la pédogénèse holocène brunifiante

LSJ : Limon sableux jaune, meuble, à quelques galets et graviers siliceux. Présence ponctuelle de petits charbons. Racines. Structure grenue. Cette unité apparaît directement sous l'horizon organo-minéral du sol actuel. Epaisseur d'environ 30 cm. Limite inférieure diffuse.

LSB : Limon sableux brun, meuble, à quelques graviers et galets. Présence ponctuelle de petits charbons. Racines. Structure grenue. Cette unité est localisée sous le faciès LSJ ou, quand celui-ci est absent, directement sous la couverture humifère. Epaisseur d'environ 40 cm. Limite inférieure diffuse.

Interprétation – La texture, le tri et le caractère massif de cet ensemble sommital évoquent des matériaux mis en place progressivement par colluvionnement et homogénéisés par des processus de surface comme la bioturbation. La fraction fine pourrait provenir d'apports éoliens et/ou de la reprise de matériaux alluviaux. La fraction grossière provient vraisemblablement du démantèlement des formations fluviatiles anciennes. La pédogenèse brunifiante est peu évoluée et aucune figure périglaciaire n'est distinguée.

2.2.3. Ensemble 2 : lentilles discontinues de graviers et galets affectées par la pédogénèse brunifiante et/ou la pédogenèse rubéfiante

Cet ensemble se présente sous forme de lentilles discontinues et irrégulières, d'épaisseur variable (environ 25 cm), inclues à la base du faciès LSB ou intercalées à l'interface entre les faciès LSB et SR. Les graviers et galets, majoritairement composés de quartz et relativement bien triés, présentent des états de surface évolués. Ils sont de nature similaire à ceux contenus dans les formations fluviatiles pliocènes et pléistocènes environnantes. La structure est toujours massive (pas de stratification interne) et les limites des différents faciès sont le plus souvent nettes et irrégulières.

Localement, les matériaux qui constituent ces lentilles s'insinuent au sein du faciès SR sous-jacent et présentent une morphologie évoquant des remplissages d'anciens coins de glace ou, plus probablement, des perturbations liées à la fonte du pergélisol (fig. 2.9c). En plan, aucun réseau de fentes n'a été décelé sous ces niveaux.

On distingue trois principaux faciès, toujours à support matriciel et à structure grenue, de haut en bas :

GB : Galets et graviers à matrice limono-sableuse brune ;

GBR : Galets et graviers à matrice limono-sableuse brun rouge ;

GR : Galets et graviers à matrice sablo-limoneuse rouge.

Interprétation – Les éléments grossiers proviennent de l'érosion d'anciennes formations alluviales et/ou du démantèlement d'altérites aujourd'hui disparues. Le développement des lentilles sur une grande surface plane évoque un glacis d'érosion, postérieurement remanié par la bioturbation et la cryoturbation. Ce faciès matérialise ainsi une ancienne surface dénudée, typique des milieux arides. Comme les processus post-dépositionnels ont fortement perturbé les traits sédimentaires initiaux, provoquant différentes involutions ou discontinuités, il est selon nous imprudent de définir, sur la seule base des observations de terrain, quels sont les processus à l'origine de cette nappe (solifluxion, déflation, etc.). L'analyse des fabriques menée sur le mobilier lithique inclus dans cette unité a permis d'apporter quelques compléments (chap. 4). Ce niveau grossier peut également être interprété comme un pavage : au cours de sa formation, la fraction fine a progressivement disparu, résidualisant sur de faibles épaisseurs des dépôts initialement plus développés. Ce processus peut expliquer pourquoi la densité en mobilier est parfois élevée au sein des faciès G, comme par exemple dans la poche GBR fouillée à l'est de la coupe 10 (fig. 2.9e et f, fig. 2.10). L'évacuation progressive de la fraction fine limono-sableuse par différents processus de surface, comme le ruissellement ou la déflation, tend en effet à concentrer sur place la fraction graveleuse et caillouteuse.

La teinte rouge de la matrice qui affecte tout ou partie de ces faciès G pourrait correspondre à des illuviations argileuses formées au cours d'une ou de plusieurs phases de pédogenèse évoluée, de type fersiallitique, ou être héritée de formations plus anciennes, ce que l'examen des lames minces a cherché à vérifier (2.5). Enfin, la teinte brune que l'on observe localement dans cette nappe indique que ces matériaux ont été également affectés par la pédogenèse holocène brunifiante.

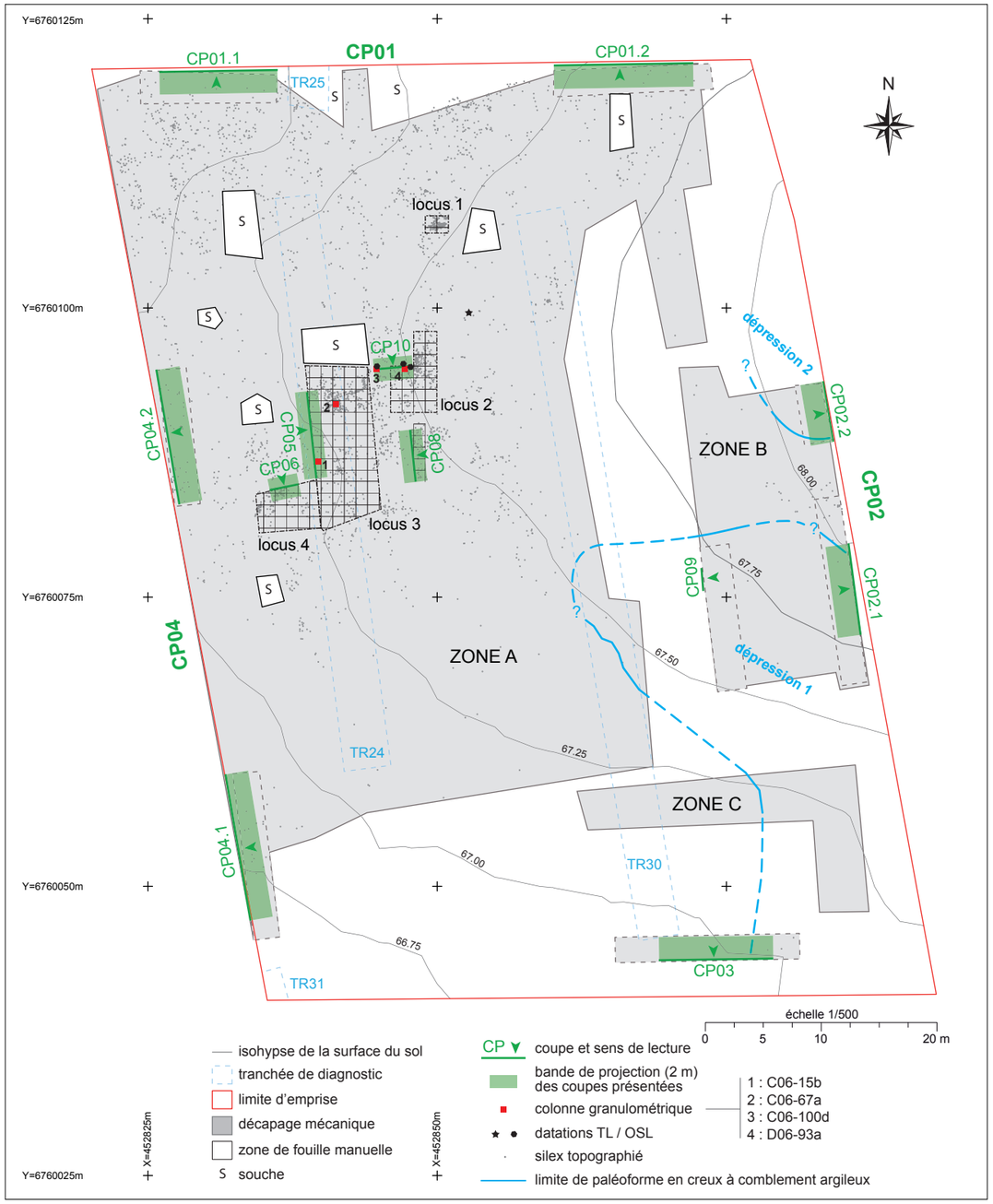

Figure 2.3 – Localisation des investigations stratigraphiques (M. Rué, A. Castets, J.-B. Caverne, B. Huet).

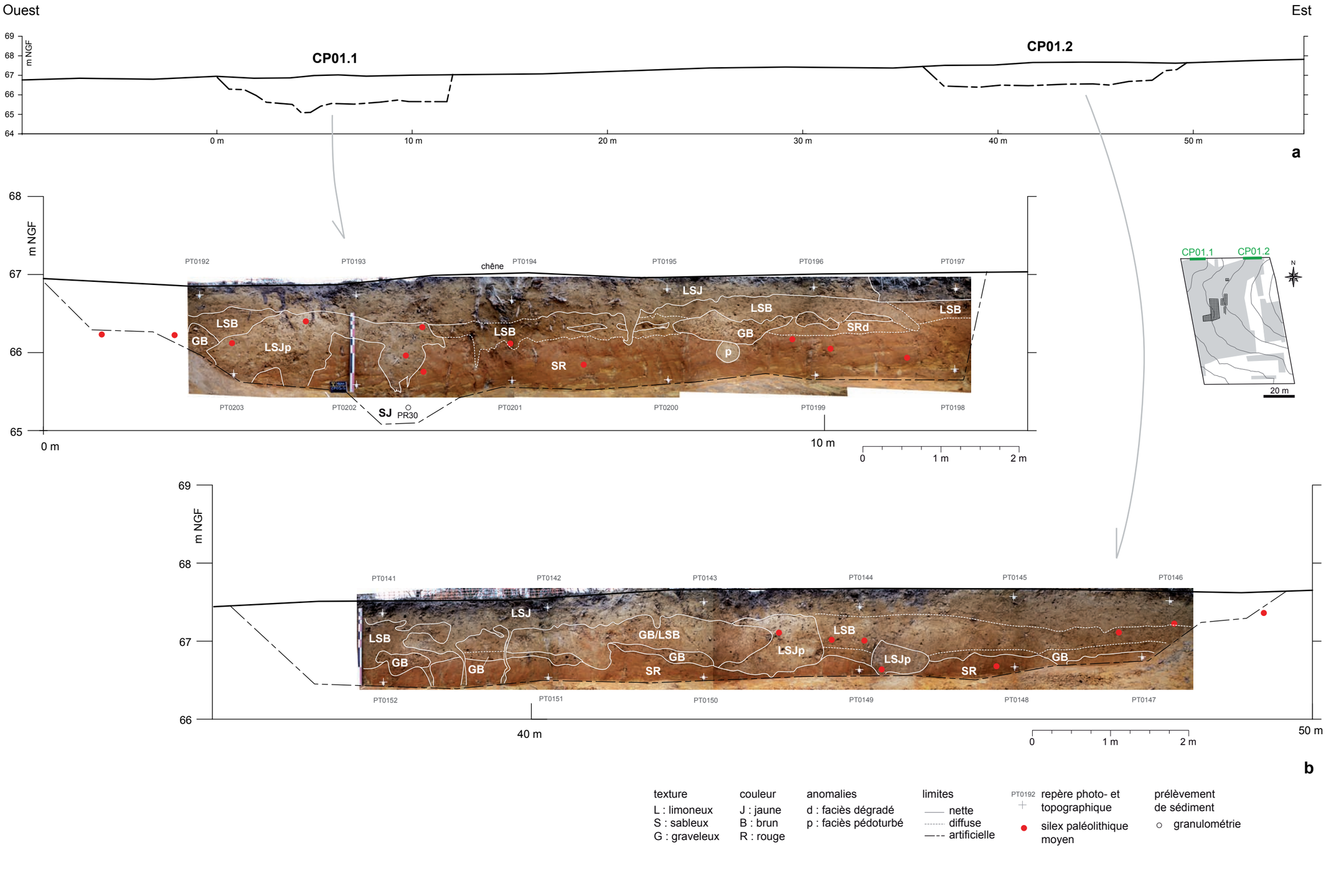

Figure 2.4 – Coupe 1 (A. Castets, J.-B. Caverne, B. Huet, M. Rué). **a**. Echelle 1/200. **b**. Echelle 1/50. Projection horizontale du mobilier présent sur une largeur de 2 m devant la coupe.

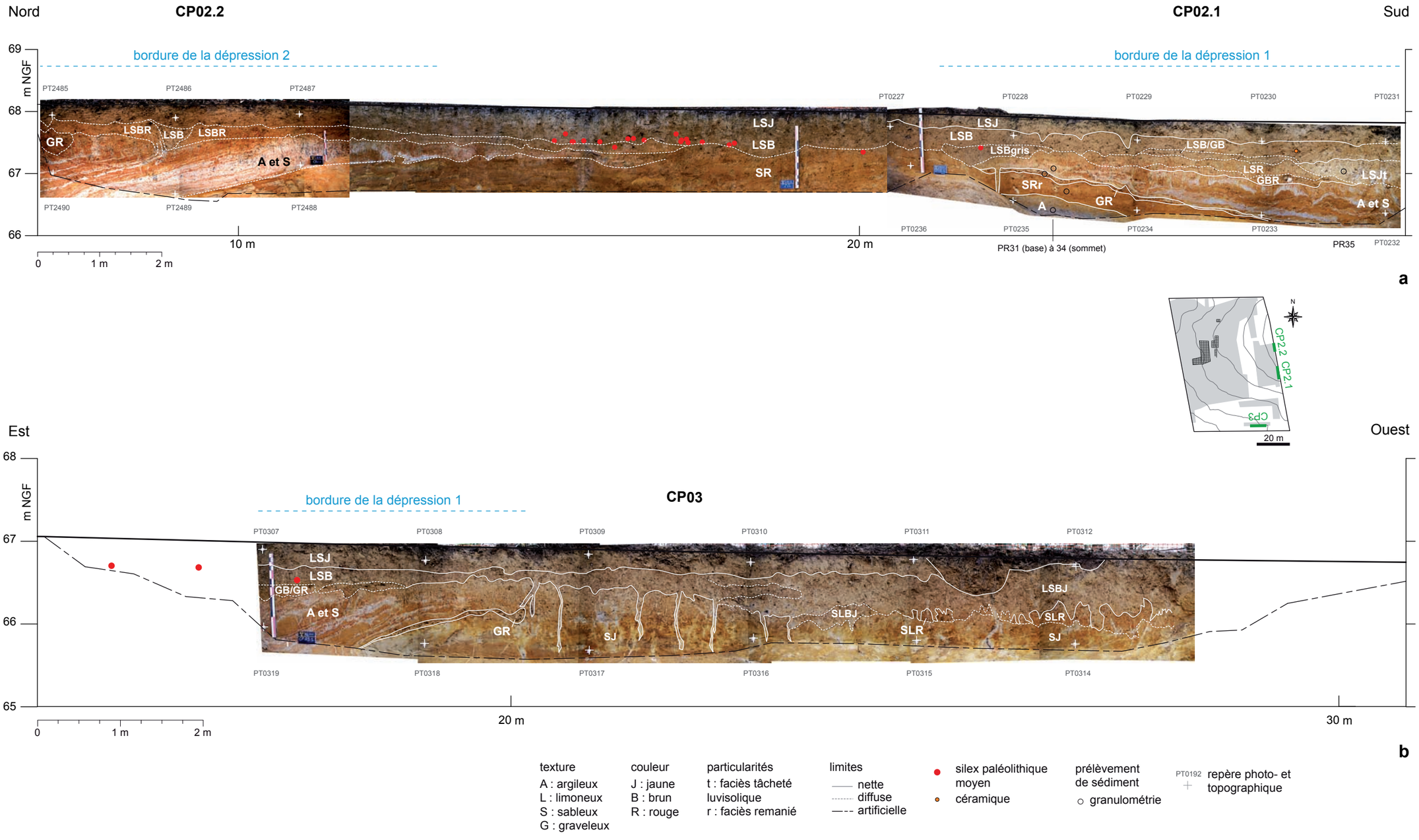

Figure 2.5 – Coupes 2 et 3 (A. Castets, J.-B. Caverne, B. Huet, M. Rué). **a**. Coupe 2, échelle 1/66. **b**. Coupe 3, échelle 1/50. Projection horizontale du mobilier présent sur une largeur de 2 m devant la coupe.

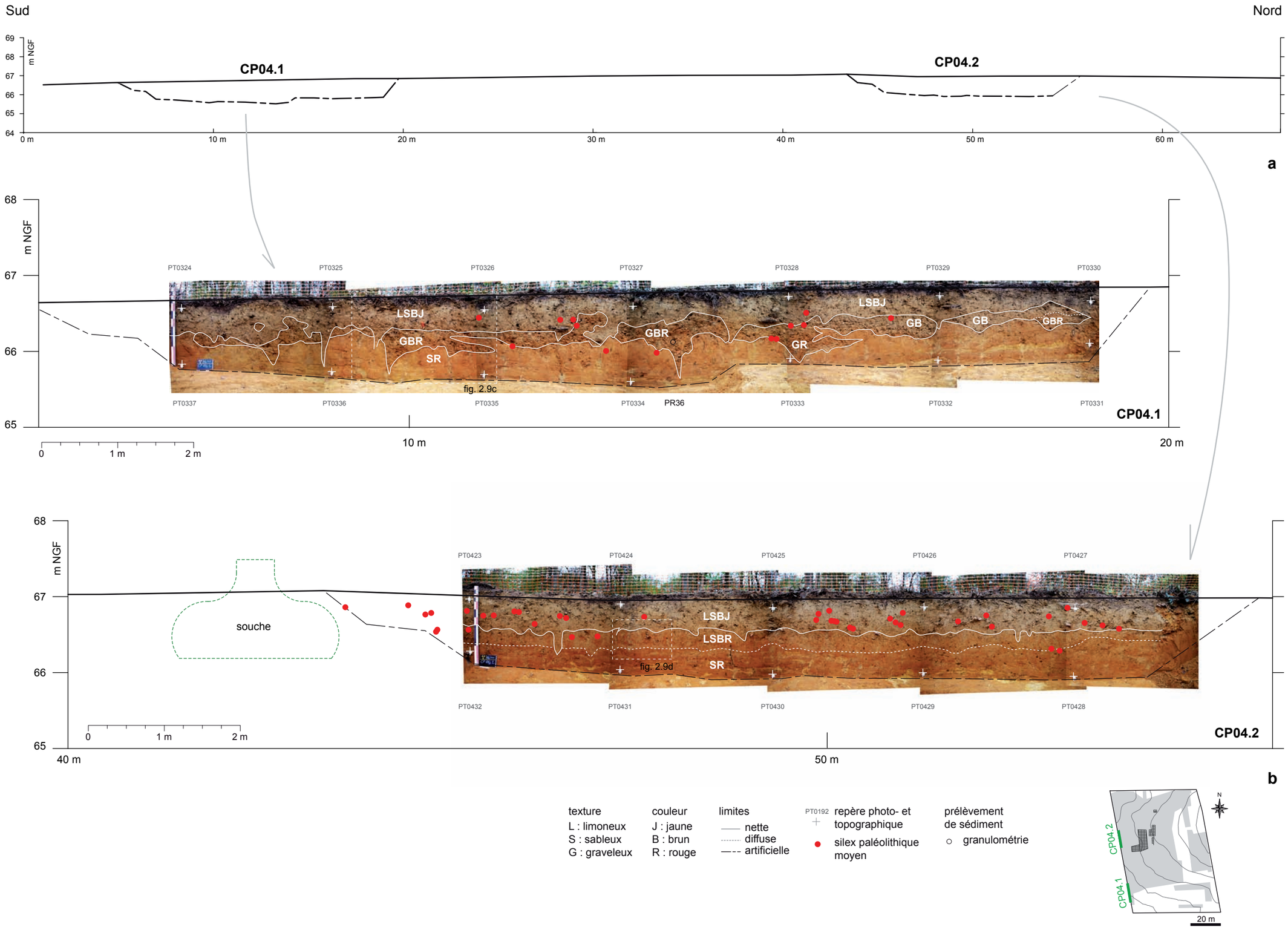

Figure 2.6 – Coupe 4 (A. Castets, J.-B. Caverne, B. Huet, M. Rué). **a**. Echelle 1/200. **b**. Echelle 1/50. Projection horizontale du mobilier présent sur une largeur de 2 m devant la coupe.

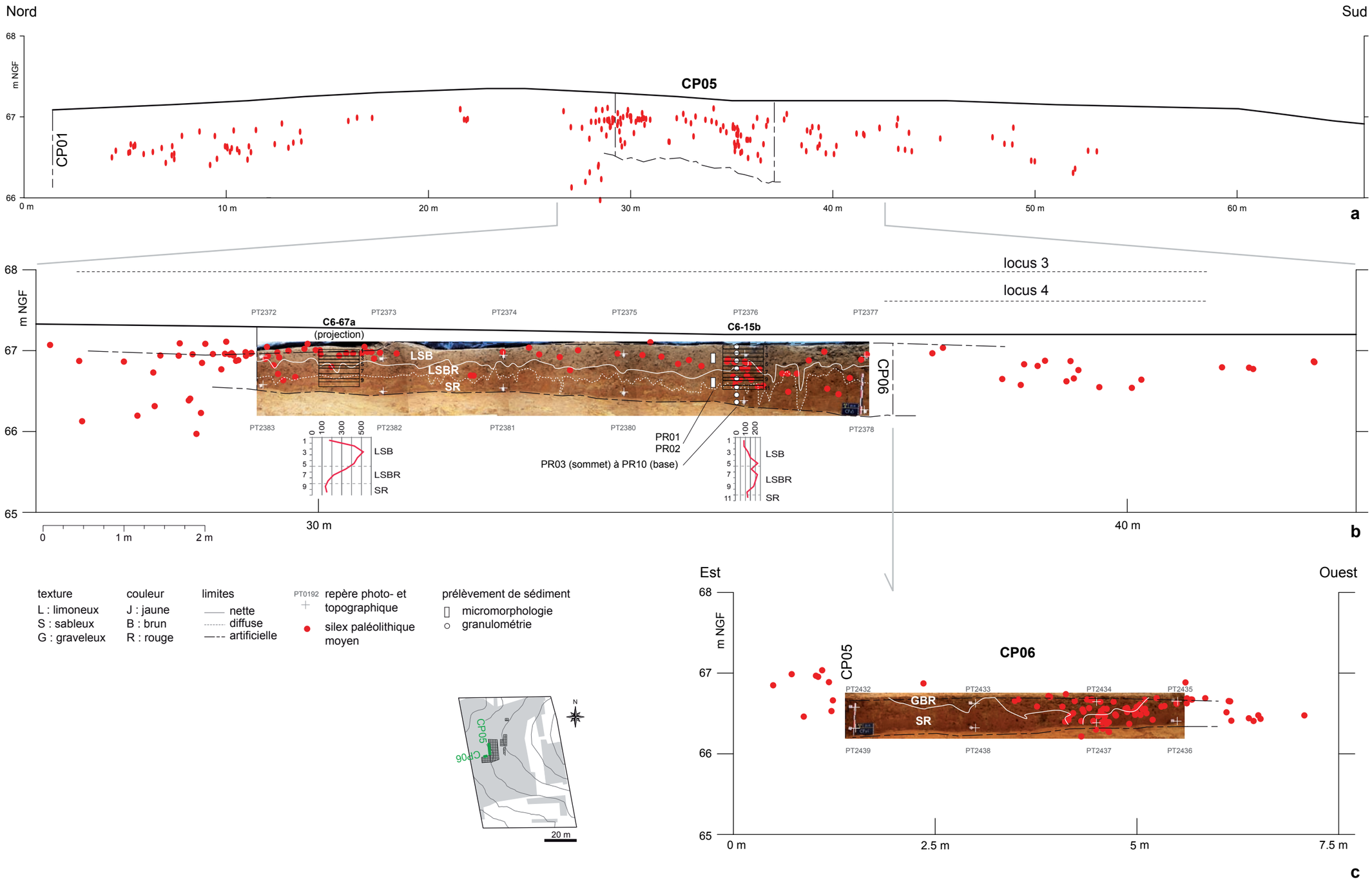

Figure 2.7 – Coupes 5 et 6 (A. Castets, J.-B. Caverne, B. Huet, M. Rué). **a**. Coupe 5 étendue, échelle horizontale 1/200, verticale 1/100. **b**. Coupe 5, échelle 1/50. Diagrammes en C6-67a (projection) et C6-15b (en coupe) : nombre total de silex > 2 mm par décapage. **c**. Coupe 6, échelle 1/50. Projection horizontale du mobilier présent sur une largeur de 2 m (1 m devant et 1 m derrière la coupe).

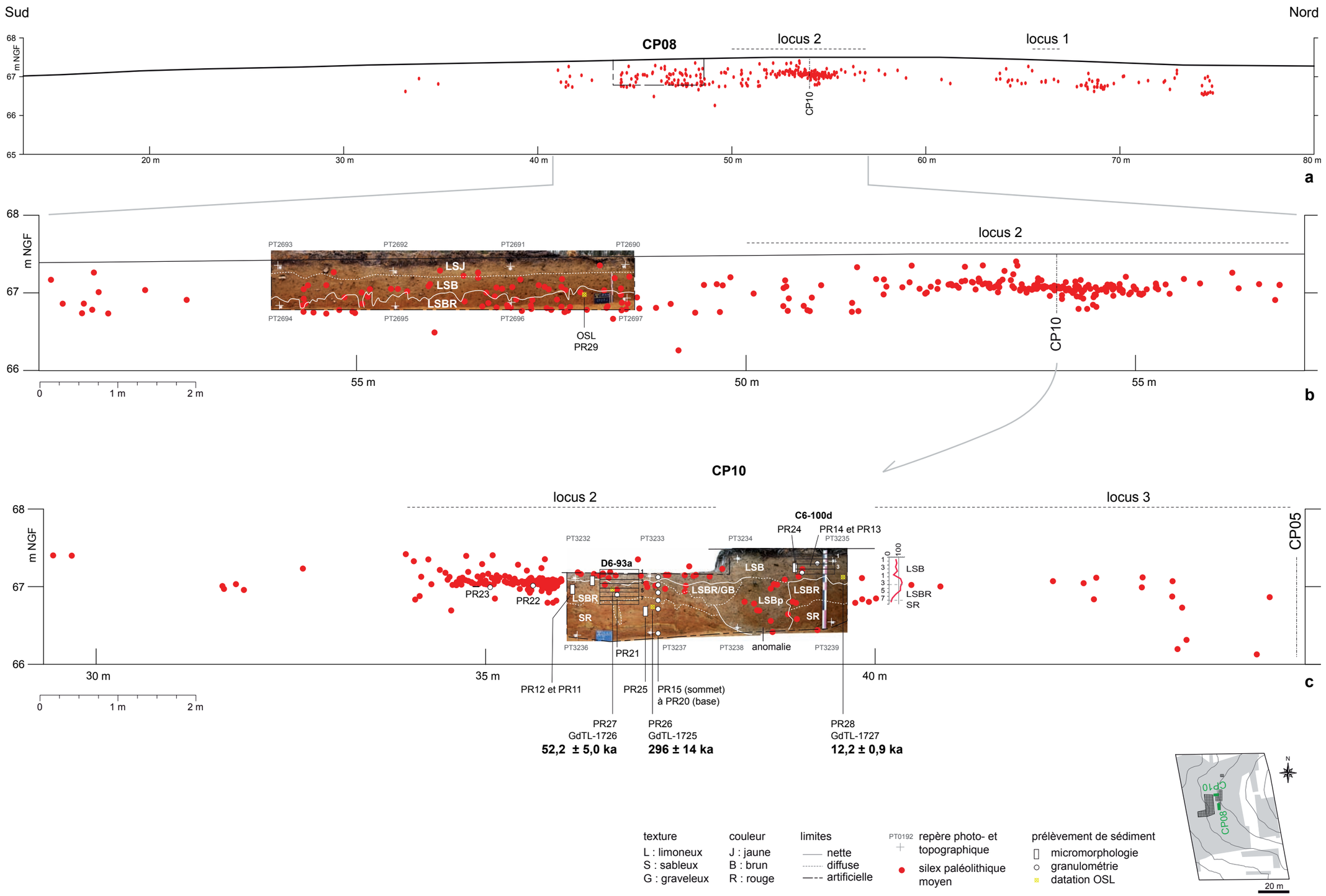

Figure 2.8 – Coupes 8 et 10 (A. Castets, J.-B. Caverne, B. Huet, M. Rué). **a.** Coupe 8 étendue, échelle horizontale 1/200, verticale 1/100. **b.** Coupe 8, échelle 1/50. **c.** Coupe 10, échelle 1/50. Diagramme D6-93a et C6-100d : nombre total de silex > 2 mm par décapage. Projection horizontale du mobilier présent sur une largeur de 2 m (1 m devant et 1 m derrière la coupe).

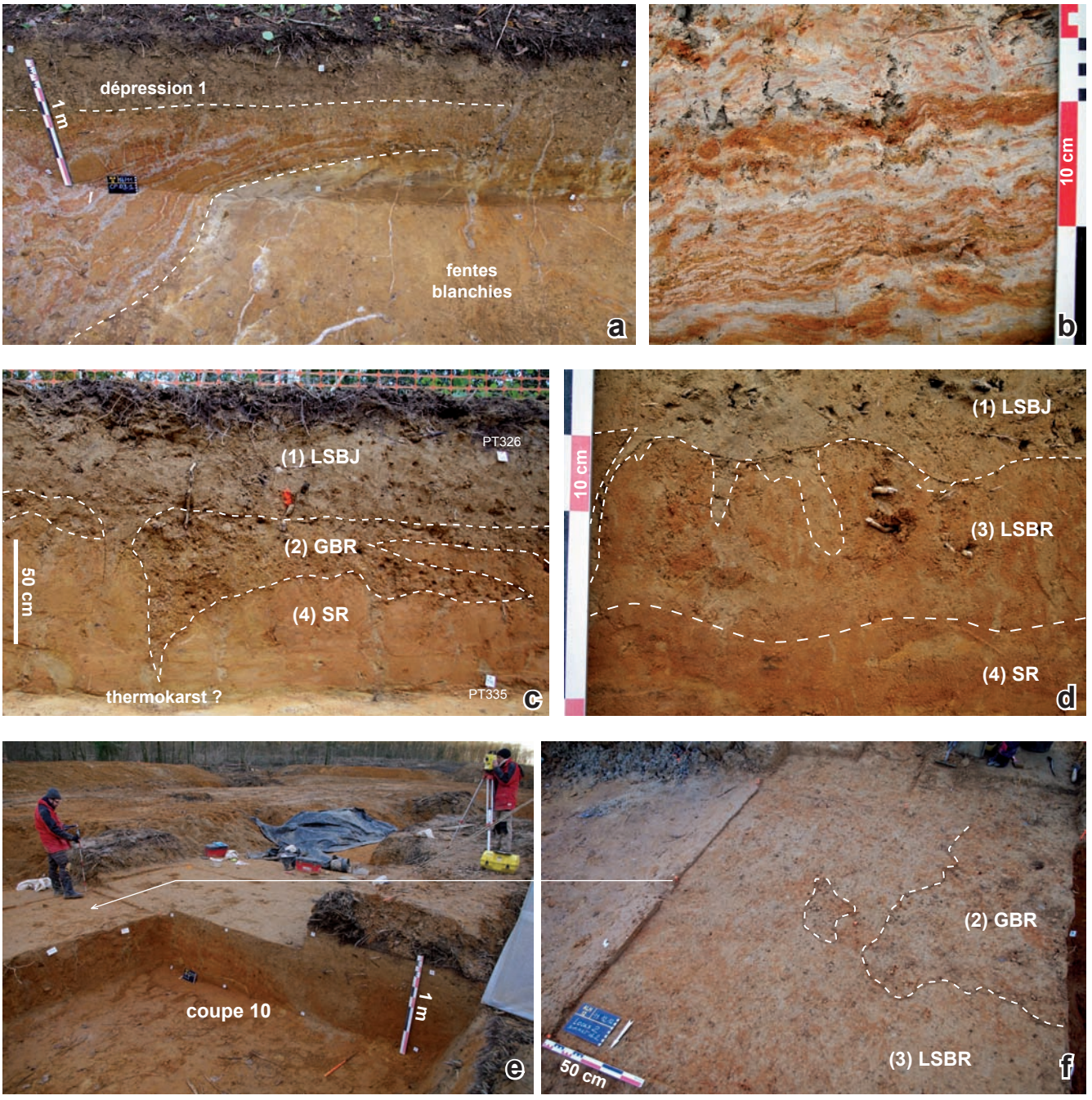

Figure 2.9 – Aperçu photographique des faciès pédosédimentaires (M. Rué).
a. Extrémité latérale de la dépression 1 vue sur la coupe 3. Les fentes blanchies qui affectent le sable jaune sont parallèles à l'axe de la dépression. **b.** Détail des lits sableux rouges et argileux blancs au sein du comblement de la dépression. **c.** Séquence du site formée par la superposition des ensembles (1) limono-sableux brun, (2) graveleux brun rouge et (4) sableux rouge (coupe 4.1). **d.** Séquence où l'ensemble (2) graveleux est remplacé par l'ensemble (3) limono-sableux brun rouge. **e et f.** Vue en plan des ensembles 2 (poches résiduelles du faciès GBR) et 3 (faciès LSBR) dans une zone dense en mobilier à l'est de la coupe 10.

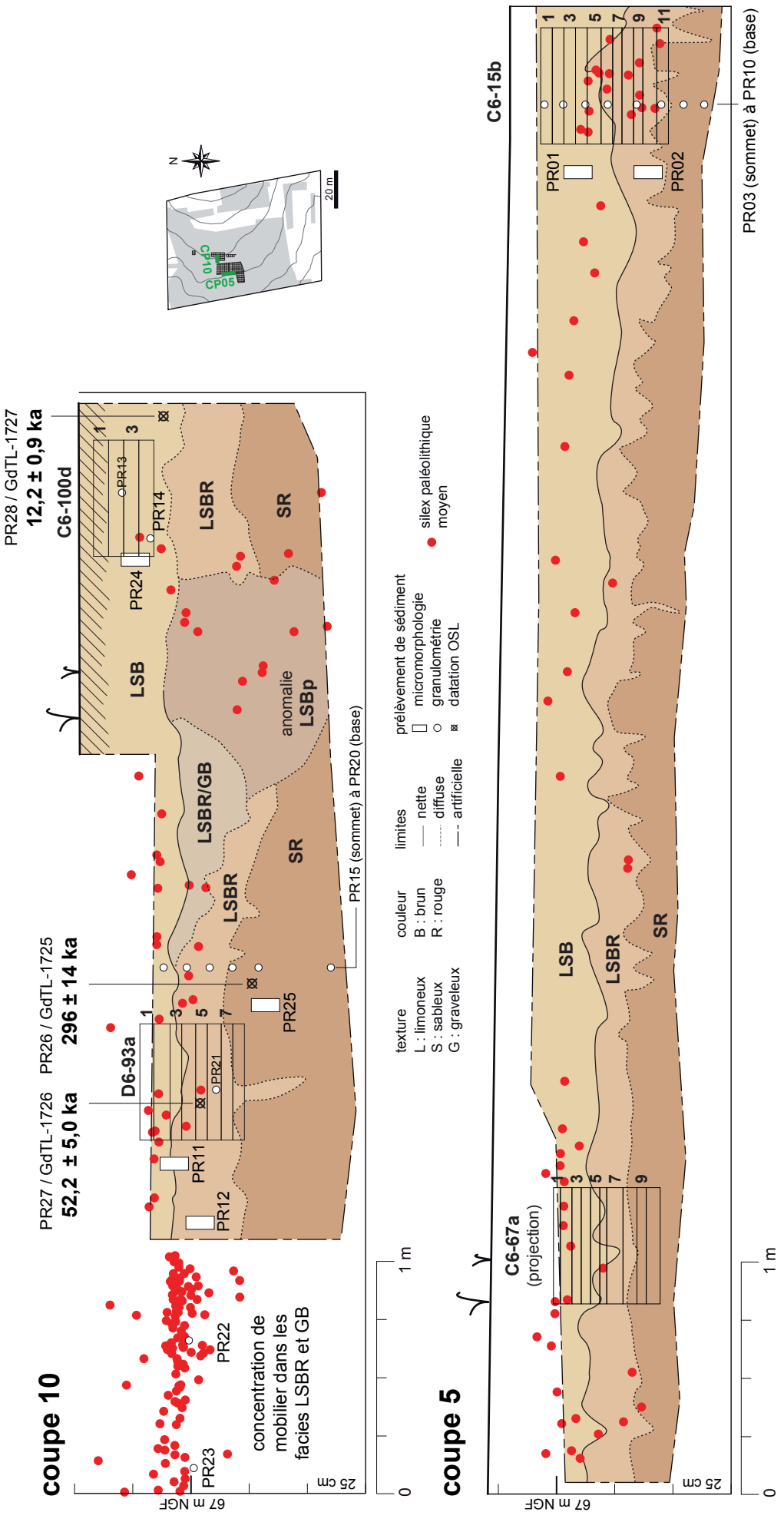

Figure 2.10 – Coupes 5 et 10 analysées (M. Ruë).
Echelle 1/25. Projection horizontale du mobilier présent sur une largeur de 2 m (1 m devant et 1 m derrière la coupe).

2.2.4. Ensemble 3 : limons sableux affectés par la pédogénèse rubéfiante

LSBR : Limon sableux brun-rouge à quelques éléments grossiers (graviers et galets siliceux). Structure grenue à polyédrique. La teinte rouge est provoquée par la présence de tâches ou agrégats centimétriques, au contour irrégulier, et bordés par endroit d'un fin liseré ferrugineux orangé. Épaisseur environ 25 cm.

LSR : Limon sableux rouge à quelques éléments grossiers (graviers et galets siliceux) localisé à la transition entre les faciès LSBR et SR. Structure grenue à polyédrique. Épaisseur environ 20 cm.

Le sommet de ces faciès est affecté par des glosses constituées de matériel brun provenant de l'ensemble 1 (fig. 2.9d).

Interprétation – Ces deux faciès situés au toit du substrat sableux SR s'expriment principalement lorsque les lentilles graveleuses sont absentes. L'ensemble 3 constitue un équivalent pédostratigraphique de l'ensemble 2, tout deux ayant supporté une pédogenèse illuviante provoquant la rubéfaction de la matrice. Cette pédogenèse s'est préférentiellement exprimée lorsque le matériau parental était plus fin, donc sur les faciès limono-sableux.

Les langues correspondent à des zones de lessivage préférentiel. Elles peuvent suivre d'anciennes fentes de dessiccation du sol ou d'anciens conduits racinaires. En plan, elles dessinent un réseau de tâches non organisées (absence de réseau polygonal).

Au sein des ensembles 1 à 3, on rencontre également des blocs décimétriques de grès, témoins d'une ancienne formation siliceuse de type silcrète.

2.2.5. Ensemble 4 : sables fluviatiles affectés par la pédogénèse rubéfiante

SR : Sable bien trié, compact, rouge, massif au sommet, à épaisses bandes d'illuviation à la base, surmontant un dépôt sableux fin, localement à litages obliques, de couleur jaune clair à blanc, observé ponctuellement en coupe (ex. CP1.1). Structure grenue à polyédrique.

Interprétation – L'origine fluviatile du sable clair, à la base du faciès SR, est attestée par l'organisation des litages. Ce dépôt sableux d'épaisseur inconnue se rattache possiblement à la nappe fluviatile pliocène de la carte géologique (p). Il est postérieurement affecté par la pédogenèse rubéfiante qui s'exprime dans les ensembles 2 et 3, sur une épaisseur relativement homogène à l'échelle de l'emprise, inférieure au mètre. Les illuviations d'argiles qui provoquent la coloration rouge indiquent vraisemblablement une longue phase d'altération fersiallitique du solum. Sous nos latitudes, de telles pédogenèses se sont développées lors des interglaciaires pléistocènes ou lors des périodes tertiaires.

2.2.6. Ensemble 5 : comblements de vallons

Dans la zone sud-est et est de l'emprise, les décapages ont recoupés deux larges dépressions chenalisantes incisant l'ensemble 4 (localisation fig. 2.3). La morphologie de la première dépression suggère que l'on se situe sur le départ d'un vallon évoluant en direction du sud ou sud-est. La seconde dépression, uniquement identifiée autour de la coupe 2.2, et sur une plus petite surface, semble également s'organiser selon un axe nord-ouest/sud-est. Les comblements examinés sont similaires, ils correspondent principalement à des dépôts argilo-sableux lités, observés sur une épaisseur maximale d'un mètre. Le fond de ces dépressions n'a pas été atteint. Le comblement est scellé par les ensembles 2 et 3, il ne livre pas de mobilier (fig. 2.5). On distingue, deux principaux faciès de comblement, de haut en bas :

LSJt : Limon sablo-argileux jaune brun à taches blanchies. Épaisseur environ 30 cm.

Interprétation – Ce faciès correspond à un horizon luvisolique dégradé (glossique), uniquement conservé au sommet du remplissage de la dépression 1. La présence d'un comblement argileux imperméable sous ce faciès explique l'évolution luvisolique. Ce faciès se rapproche de la couche 3 décrite dans le rapport de diagnostic, observée dans la tranchée 32 située plus au sud-est de l'emprise, ce qui pourrait signifier que la dépression se poursuit dans cette direction.

A et S : Accumulation litée de matériaux argileux blanchâtres et sableux rouges (fig. 2.9a et b), au sein de laquelle s'intercalent localement des lits de graviers. Les lits présentent fréquemment des déformations ondulantes de faible amplitude. Aucune structure périglaciaire n'a été observée dans ce faciès. Épaisseur maximale observée 1 m.

Interprétation – Les lits argileux correspondent à des dépôts de décantation. Les agrégats ou lits sableux rouges témoignent d'apports colluviaux issus de l'éro-

sion de l'ensemble 4 (faciès SR), ce qui signifie que le comblement des dépressions s'est opéré après une première phase de pédogenèse rubéfiante. L'alternance régulière des litages argileux et sableux enregistre des variations (saisonnières ?) d'humidité dans le fonctionnement du vallon. La bonne conservation de ces litages implique que le comblement n'a pas supporté de longue phase de pédogenèse.

2.3. Figures diagénétiques

2.3.1. Figures visibles en coupe ou en plan

Les dépôts du site sont intensément affectés par la bioturbation liée au développement de la forêt holocène, en particulier dans la partie nord de l'emprise. Les perturbations correspondent le plus souvent à d'importants volumes de matériaux remaniés se rattachant au faciès brun de l'ensemble 1 (exemple en coupe 10, fig. 2.8). Ils ont été enregistrés en rajoutant l'indice « p » à l'acronyme du faciès. Leur taille est généralement métrique. En plan, ces volumes ne sont toutefois pas toujours caractéristiques des stigmates provoqués par la chute des arbres générant des anomalies de forme ovalaire à remplissage dissymétrique. Les volumes présentent plutôt des morphologies complexes, comme la coupe 1 a pu le mettre en évidence (fig. 2.4), ce qui suggère que d'autres phénomènes ont pu rentrer en jeu dans la formation de ces figures, comme par exemple la fonte du pergélisol (thermokarst). Dans tous les cas, ces perturbations ont affecté la distribution verticale du mobilier. L'anomalie visible sur la coupe 10 a par exemple provoqué la diffusion des silex sur près de 90 cm de haut.

Les faciès rubéfiés sont tous affectés par des fentes blanchies étroites qui s'ouvrent sous l'ensemble 1. Comme évoqué en 2.2, ces fentes ne s'organisent pas en plan selon un réseau polygonal. Elles peuvent témoigner de phases de dessiccation du sol ou bien correspondre à des fentes de tension, comme celles parallèles à la bordure de la dépression 1 dans la tranchée de la coupe 3 (fig. 2.9a). Localement, le faciès G vient combler des fentes à profil en V qui peuvent évoquer des figures thermokarstiques (fig. 2.9c).

2.3.2. Figures déduites de l'organisation du mobilier

Malgré la densité du mobilier et les différentes surfaces dégagées manuellement, aucune figure post-dépositionnelle évidente n'est apparue en plan. Sur certains décapages (exemple en locus 3, C6, décapage 1, annexe 6), le mobilier a localement tendance à se concentrer selon un axe, ce qui pourrait traduire l'emplacement de fentes ou petites chenalisations, mais les décapages suivants n'ont pas confirmé ces organisations.

2.4. Granulométrie

2.4.1. Fraction > 2 mm

L'étude de la distribution verticale des fractions naturelle et anthropique > 2 mm a été menée conjointement à l'étude granulométrique du mobilier (chap. 4). Nous présentons ici les résultats massiques obtenus sur trois colonnes traversant l'horizon à mobilier par passe d'environ 5 cm et occupant chacune une surface de 0,25 m² (localisation en plan fig. 2.3, en coupe fig. 2.10), du nord au sud :
- une colonne située dans la coupe 10, séparée en deux sous-carrés afin de débuter les décapages directement sous l'horizon humifère et d'éviter une anomalie sédimentaire (C6-100d/D6-93a) ;
- une colonne située au sein de la principale concentration en mobilier du locus 3 (C6-67a) ;
- une colonne située dans la coupe 5 (C6-15b).

Toutes traversent la même séquence de faciès, de haut en bas : LSB (ensemble 1), LSBR (3) et SR (4). Les tamisages et tris ont été opérés selon le même protocole pour l'ensemble des prélèvements. Les résultats sont présentés graphiquement sur la figure 2.11 et les données brutes sont données en annexe 14. La distribution verticale du nombre de silex > 2 mm est également présentée sous forme graphique sur les coupes 5 (fig. 2.7) et 10 (fig. 2.8).

La fraction naturelle > 2 mm oscille entre 99 g (faciès SR) et 1971 g (faciès LSB) pour 10 L de sédiment tamisé, soit respectivement entre 0,7 et 13,1 % pour une densité estimée à 1,5. La plus forte densité correspond au pic atteint dans le décapage 4 en C6-67a, décapage qui a vraisemblablement recoupé une poche résiduelle du faciès G (non perçu lors de la fouille). La fraction naturelle diminue globalement vers le bas des profils, jusqu'à atteindre des proportions très faibles dans le faciès SR.

La fraction anthropique > 2 mm est présente dans tous les décapages, elle est donc fortement dilatée, ce qui confirme les observations de terrain et les projections de mobilier. De fait, aucune des trois colonnes ne recoupe intégralement l'horizon archéologique. Autre point

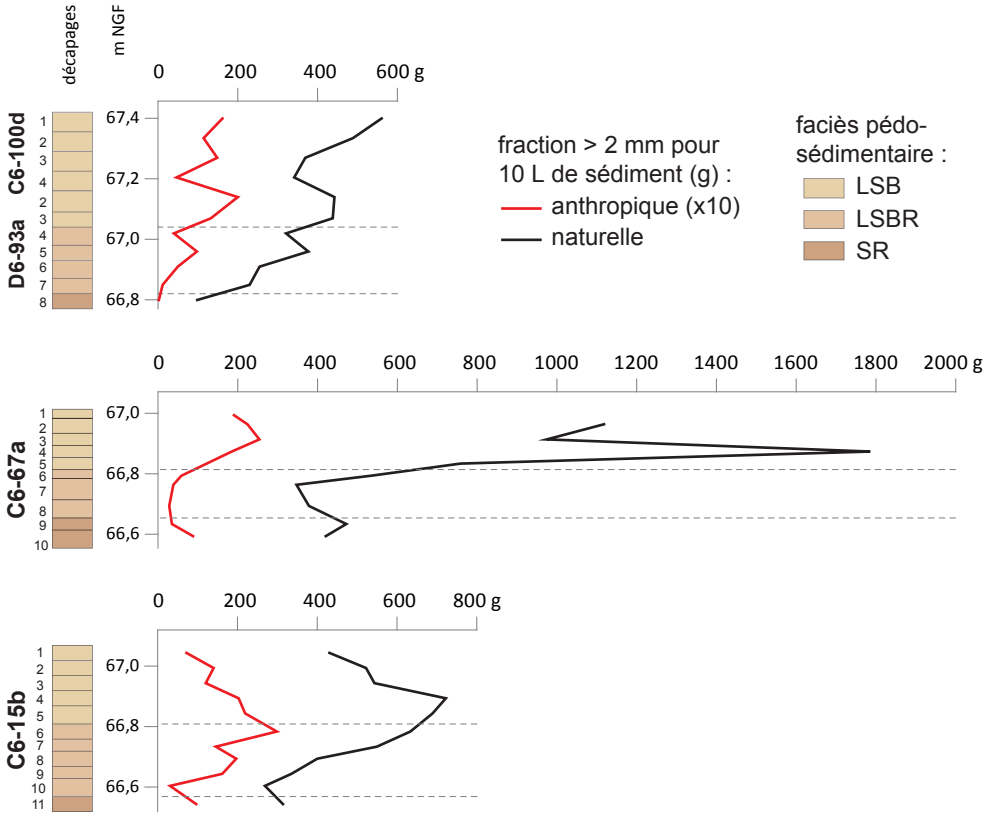

Figure 2.11 – Répartition verticale des fractions anthropiques et naturelles > 2 mm (M. Rué). Echelle verticale 1/25. Localisation des sous-carrés fig. 2.3. Les limites en pointillés entre les faciès correspondent aux limites vues en coupe (et non aux déterminations réalisées pendant la fouille des sous-carrés qui différent parfois légèrement).

important, la distribution de cette fraction anthropique montre que l'on est, aujourd'hui, en présence d'un même horizon archéologique. Les courbes présentent en effet un seul maximum en C6-67a et C6-15b, respectivement situé dans les faciès LSB (base) et LSBR (sommet). En D6-93a, un maximum existe aussi, dans le faciès LSB, mais il est moins contrasté puisque les premiers décapages sont également denses en mobilier. Ces deux caractéristiques de la nappe de mobilier (forte dilatation verticale et maximum unique) sont par ailleurs confirmées par la distribution numérale des silex (fig. 2.7 et fig. 2.8).

Ces résultats montrent également que les fractions naturelles et anthropiques > 2 mm évoluent verticalement de manière très similaire. En effet, pour les trois faciès considérés, plus la proportion en graviers et galets est importante, plus la densité en mobilier lithique est grande (et inversement). Ce lien entre les deux fractions demanderait à être confirmé par l'étude d'autres refus de tamis et vérifié en comparant les distributions verticales pour différentes classes granulométriques. En attendant, nous pouvons avancer que ces deux fractions ont très probablement subi une même histoire post-dépositionnelle qui a provoqué leur redistribution verticale. Comme les maxima de densité se situent à l'interface entre les faciès bruns et rouges, c'est-à-dire au même niveau stratigraphique que les faciès G à galets et graviers qui fournissent l'essentiel de la fraction > 2 mm, le mobilier lithique et le faciès G sont sans doute liés génétiquement. Sur la base des observations de terrain, rappelons que le faciès G de l'ensemble 2 est interprété comme un glacis d'érosion (cf chap. 4).

2.4.2. Fraction < 2 mm

Sept prélèvements ont fait l'objet d'analyses microgranulométriques par diffraction laser à l'Université de Bourgogne (ESIREM, Dijon). Ils concernent les ensembles 1 (faciès LSB), 2 (interface GB/GR) et 3 (faciès LSBR). Trois d'entre eux proviennent des échantillons datés par OSL. L'appareil utilisé est un granulomètre Malvern Mastersizer 2000 capable de détecter des particules entre 0,2 µm et 2 mm de diamètre. Les analyses ne concernent donc que la matrice des prélèvements. Quelques agrégats de cette matrice sont placés dans 700 mL d'eau courante, sans autre prétraitement. La solution est alors soumise à des ultrasons pendant deux minutes afin de bien dissocier les particules (intensité des ultrasons : 20, vitesse de la pompe : 2000). Les résultats correspondent à la moyenne de trois mesures. La variation entre ces trois mesures est insignifiante. Les résultats sont présentés sur les figures 2.12 et 2.13.

Les résultats montrent :
- de faibles variations dans les proportions en argiles, limons et sables pour les faciès analysés. La matrice de ces faciès est composée par des limons (entre 53 et 57 %) sableux (entre 33 à 36 %). Le substrat SJ du site est composé à 74 % de sables grossiers (0,2 - 2 mm).
- une distribution bimodale avec un mode dans les sables grossiers (autour de 305 µm), partout bien exprimé, et un mode dans les limons grossiers (28 µm pour la matrice brun jaune, 20 µm pour la matrice brun rouge). Les matrices sont donc constituées par le mélange de deux populations de particules bien triées, la première est symptomatique des apports éoliens qui dominent dans les faciès du sommet de la séquence, la seconde correspond à la remobilisation des sables du substrat alluvial supposé pliocène comme la distribution du prélèvement 30 le prouve. Enfin, un troisième mode apparait plus ou moins bien sur les courbes des faciès bruns ou rouges, il est d'origine pédologique (transfert de particules argileuses et limoneuses fines par lessivage.

2.5. Micromorphologie

L'examen des faciès sédimentaires aux échelles microscopiques a été opéré sur six lames minces de grand format permettant d'observer une surface d'environ 5 par 13 cm. Les prélèvements sont issus des coupes 5 (2 lames) et 10 (4 lames) (localisation fig. 2.10). Ils recoupent les faciès suivants, de haut en bas (fig. 2.14) :
- faciès LSB (lames PR01 et PR24) ;
- interface entre les faciès LSB et LSBR (PR11) ;
- faciès LSBR (PR02) et faciès LSBR à fraction grossière s'apparentant au faciès GR (PR12) ;
- faciès SR (PR25).

Ces prélèvements documentent l'horizon à mobilier paléolithique moyen, sauf pour la lame PR25 du faciès SR située plus en profondeur sous cet horizon. Le litholamellage a été effectué par Bernard Martin au laboratoire EPOC de Talence. Les observations ont été menées à l'aide d'un microscope polarisant à des grossissements de 25, 40 et 100x. La terminologie utilisée est empruntée à Stoops 2003.

<u>Faciès LSB</u>

La matrice est composée par un mélange homogène de deux populations de particules siliceuses bien triées : des

Prélèvement	Unité	Localisation	Obscuration %	Uniformité	Coefficient de variation (span)	Mode µm	d (0,1)	d (0,5)	d (0,9)
PR13	LSB	CP10	64,21	3,47	12,95	28,20	2,03	25,88	337,06
PR28	LSB	CP10/OSL-12ka	59,81	3,73	13,97	27,48	1,78	23,31	327,56
PR22	GB/GR	CP10	55,54	4,33	16,07	305,70	1,92	21,11	341,17
PR23	LSBR	CP10	72,08	5,48	20,09	323,69	1,47	17,90	361,14
PR27	LSBR	CP10/OSL-52ka	63,90	4,55	15,97	308,39	1,79	22,56	362,04
PR26	SR	CP10/OSL-296ka	61,52	3,79	10,94	305,07	2,28	37,27	409,81
PR30	S sous SR	CP01	26,15	0,43	1,63	304,95	23,33	280,23	479,16

Prélèvement	0,1-1 µm (%)	1-2 µm (%)	2-3,9 µm (%)	3,9-5 µm (%)	5-8 µm (%)	8-10 µm (%)	10-20 µm (%)	20-30 µm (%)	30-40 µm (%)	40-50µm (%)	50-62,5 µm (%)	62,5-100 µm (%)	100-200 µm (%)	200-300 µm (%)	250-300 µm (%)	300-400 µm (%)	400-500 µm (%)	500-600 µm (%)	600-700 µm (%)	700-800 µm (%)	800-2000 µm (%)
PR13	3,95	5,90	6,94	2,88	6,20	3,44	14,04	10,61	7,35	4,69	3,35	3,15	5,95	4,48	4,28	6,57	3,83	1,83	0,56	0,00	0,00
PR28	4,36	7,02	8,18	3,19	6,55	3,52	13,59	9,73	6,65	4,23	3,03	2,97	6,28	4,47	4,19	6,33	3,63	1,66	0,41	0,00	0,00
PR22	3,79	6,70	8,25	3,23	6,91	3,99	15,79	9,75	5,69	3,25	2,16	2,04	6,13	4,64	4,47	6,93	4,04	1,84	0,42	0,00	0,00
PR23	5,47	8,80	9,57	3,42	6,97	3,87	14,27	7,97	4,40	2,45	1,60	1,55	5,80	4,55	4,51	7,34	4,60	2,27	0,60	0,00	0,00
PR27	4,23	7,07	8,23	3,11	6,54	3,72	14,40	8,75	5,13	2,95	1,96	1,84	6,68	5,16	4,99	7,80	4,62	2,19	0,61	0,00	0,00
PR26	2,64	5,89	7,73	2,78	5,36	2,99	12,37	7,32	3,66	1,70	0,83	0,49	9,00	7,59	7,38	11,42	6,63	3,18	1,04	0,00	0,00
PR30	0,46	1,07	1,68	0,78	1,70	0,90	2,81	1,57	1,08	0,66	0,24	0,00	12,99	14,78	15,10	23,30	12,86	5,90	2,02	0,09	0,00

Prélèvement	Unité	Localisation	Argiles (0,02-2 µm) %	Limons fins (2-20 µm) %	Limons grossiers (20-50 µm) %	Sables fins (50-200 µm) %	Sables grossiers (200-2000 µm) %
PR13	LSB	CP10	9,85	33,50	22,66	12,45	21,54
PR28	LSB	CP10/OSL-12ka	11,38	35,02	20,62	12,28	20,69
PR22	GB/GR	CP10	10,49	38,17	18,68	10,33	22,33
PR23	LSBR	CP10	14,27	38,09	14,82	8,95	23,87
PR27	LSBR	CP10/OSL-52ka	11,30	36,00	16,83	10,48	25,38
PR26	SR	CP10/OSL-296ka	8,53	31,24	12,68	10,32	37,23
PR30	SJ sous SR	CP01	1,54	7,87	3,30	13,23	74,06

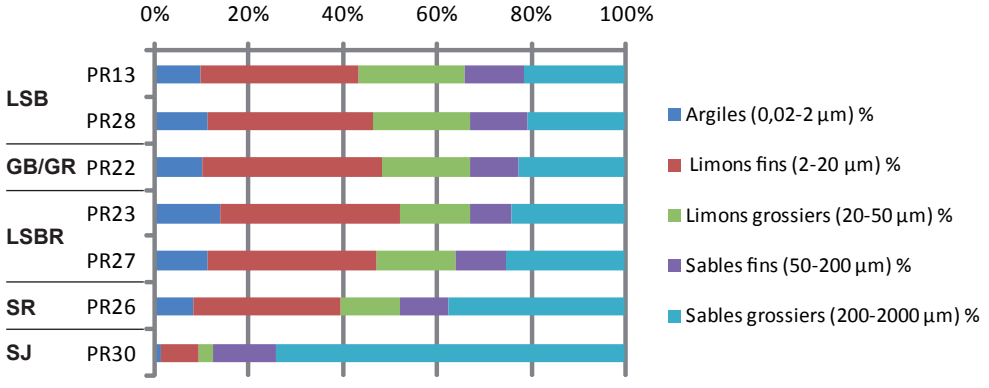

Figure 2.12 – Granulométrie de la matrice < 2 mm des faciès pédosédimentaires : résultats chiffrés (M. Rué). Granulomètre laser Malvern Mastersizer 2000 (ESIREM, Dijon). Obscuration : perte de luminosité provoquée par l'introduction de l'échantillon dans l'analyseur. Uniformité : facteur de déviation absolue par rapport à la médiane. Span : coefficient de variation caractérisant l'étalement de la distribution, défini par [d(0,9)-d(0,1)]/d(0,5). Mode : diamètre le plus fréquent. d (0,1 0,5 0,9) : diamètre en dessous duquel se situe respectivement 10 %, 50 % (médiane) ou 90 % des particules.

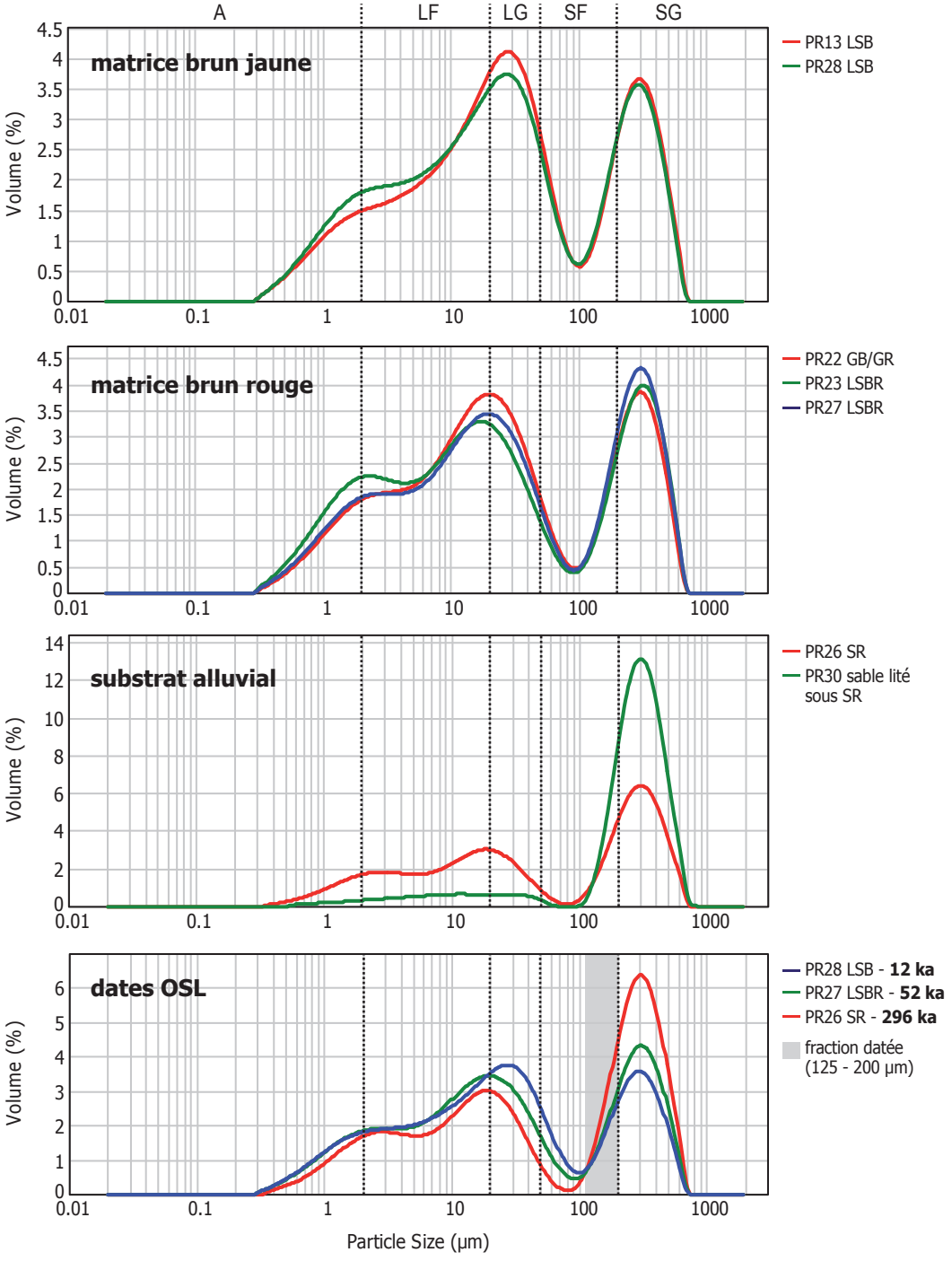

Figure 2.13 – Granulométrie de la matrice < 2 mm des faciès pédosédimentaires : courbes de distribution (M. Rué).

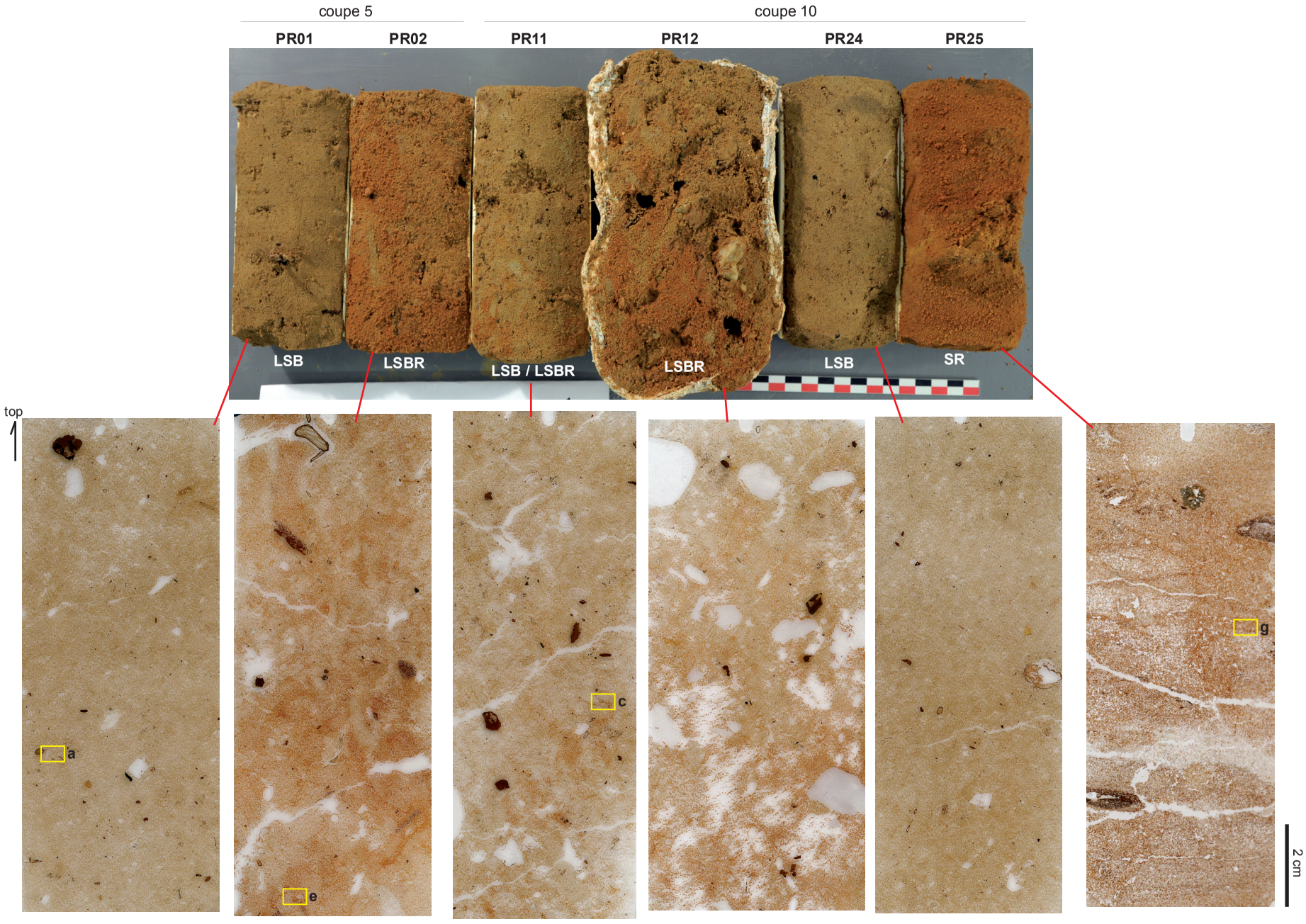

Figure 2.14 – Aperçu photographique des microfaciès : lames minces scannées (M. Rué).En jaune, localisation des clichés pris à grandissement x25 et présentés sur la figure suivante.

sables grossiers anguleux, centrés autour de 300 µm, et des limons grossiers, le tout assemblé selon une structure de type porphyrique (fig. 2.15a et b). Texture et structure n'évoluent pas à l'échelle de la lame. Aucune figure syn-sédimentaire n'est identifiée. Les traits texturaux sont représentés par des petits fragments de revêtements argileux orangés, en faible quantité et le plus souvent en voie d'intégration dans la matrice. Le faciès se rattache à un horizon éluvié de sol lessivé, brunifié par le développement du sol actuel. Les figures post-dépositionnelles les plus évidentes correspondent à des intercalations et des concentrations sableuses imputables à la bioturbation (actuelle et ancienne). Aucune figure de ségrégation de glace n'est visible.

Faciès LSBR

Ce faciès hétérogène est constitué par une matrice brun rouge sableuse au sein de laquelle on distingue des plages claires éluviées limono-sableuses rappelant le faciès LSB. La matrice brun rouge est composée par des sables bien triés et à contour subanguleux à anguleux. Contrairement au faciès LSB, la fraction limoneuse est quasiment absente au sein de cette matrice. Les traits illuviaux correspondent à des revêtements argileux orangés et lités, monophasés, en position conforme avec la porosité, relativement bien développés, mais le plus souvent altérés ou fragmentés (fig. 2.15e et f). Il ne s'agit donc pas de traits hérités d'une pédogenèse plus ancienne mais bien de traits argiliques en place. Au sommet de ce faciès, la lame PR11 montre quelques intercalations limoneuses brunes (fig. 2.15d) qui témoignent d'un passage du sol à l'état boueux, et donc d'une phase de désorganisation des dépôts. De même que dans le faciès LSB, on n'observe pas d'indices de dynamique gélive.

Faciès LSBR à fraction grossière (équivalent du faciès GR)

Ce faciès présente une texture plus hétérogène, à graviers siliceux. Les revêtements argileux orangés sont moins développés et plus fragmentés que dans le faciès LSBR typique.

Faciès SR

Le sable est constitué par un entassement de grains quartzeux anguleux à subanguleux, bien triés, sans évolution sensible de la granularité à l'échelle de la lame. Les fissurations et les concentrations de revêtements argileux orangés le long de certains axes horizontaux mettent en évidence le caractère lité du dépôt initial (fig. 2.15g). Associées à la présence de particules micacées disposées à plat dans le pan de stratification (fig. 2.15h), ces figures indiquent que le sable du faciès SR s'est déposé progressivement par alluvionnement, en milieu de sédimentation de basse énergie. Les revêtements argileux orangés sont semblables à ceux du faciès LSBR, omniprésents, en conformité avec la porosité, mais peu développés ou mal conservés. Enfin, ce faciès est ponctué par tâches diffuses sombres qui correspondent à des ferruginisations *in situ*.

Discussion

Sur les six lames minces examinées, seul le faciès SR présente des organisations sédimentaires du milieu de sédimentation initial (dépôt alluvial de milieu calme). Ce faciès est cohérent avec les litages obliques visibles en coupe dans le sable jaune sous-jacent. Il montre donc que le substrat du site appartient à une épaisse séquence alluviale remobilisant les sables des formations environnantes. Les autres faciès, au sein desquels se trouve l'essentiel du mobilier, ne livrent pas de tels indices aux échelles microscopiques. L'homogénéisation des populations sableuses et limoneuses et des éléments grossiers suggère toutefois que l'on est en présence de dépôts colluvionnés issus à la fois du substrat sableux alluvial et d'apports éoliens. Ces dépôts se sont mis en place progressivement sous l'influence des processus de surface (bioturbation, ruissellement diffus ou alternance de gel-dégel).

En contexte sableux, l'identification des différentes phases de pédogenèse interglaciaire ou de perturbations périglaciaires est toujours délicate car ce milieu enregistre mal les évènements contrairement aux accumulations limono-loessiques. Les faciès du Bois de Sirion n'échappent malheureusement pas à cette règle. Les traits texturaux sont peu diversifiés et insuffisamment développés pour proposer un calage pédostratigraphique fiable. La rubéfaction qui caractérise les faciès LSBR et SR apparaît monophasé. On ne distingue pas de discontinuité dans les revêtements, ni superposition de différentes phases de pédogenèse illuviante. D'après les observations de terrain, nous nous attendions en effet à retrouver dans le faciès LSBR la chronologie relative des sols ayant supporté au moins deux principales phases de pédogenèse : une première phase à revêtements argileux rouges (pédogenèse fersiallitique d'Interglaciaire à fort contraste saisonnier, éémienne ?) puis une phase à revêtements jaunes (pédogènèse illuviante de la première moitié de l'Holocène) séparée de la première par

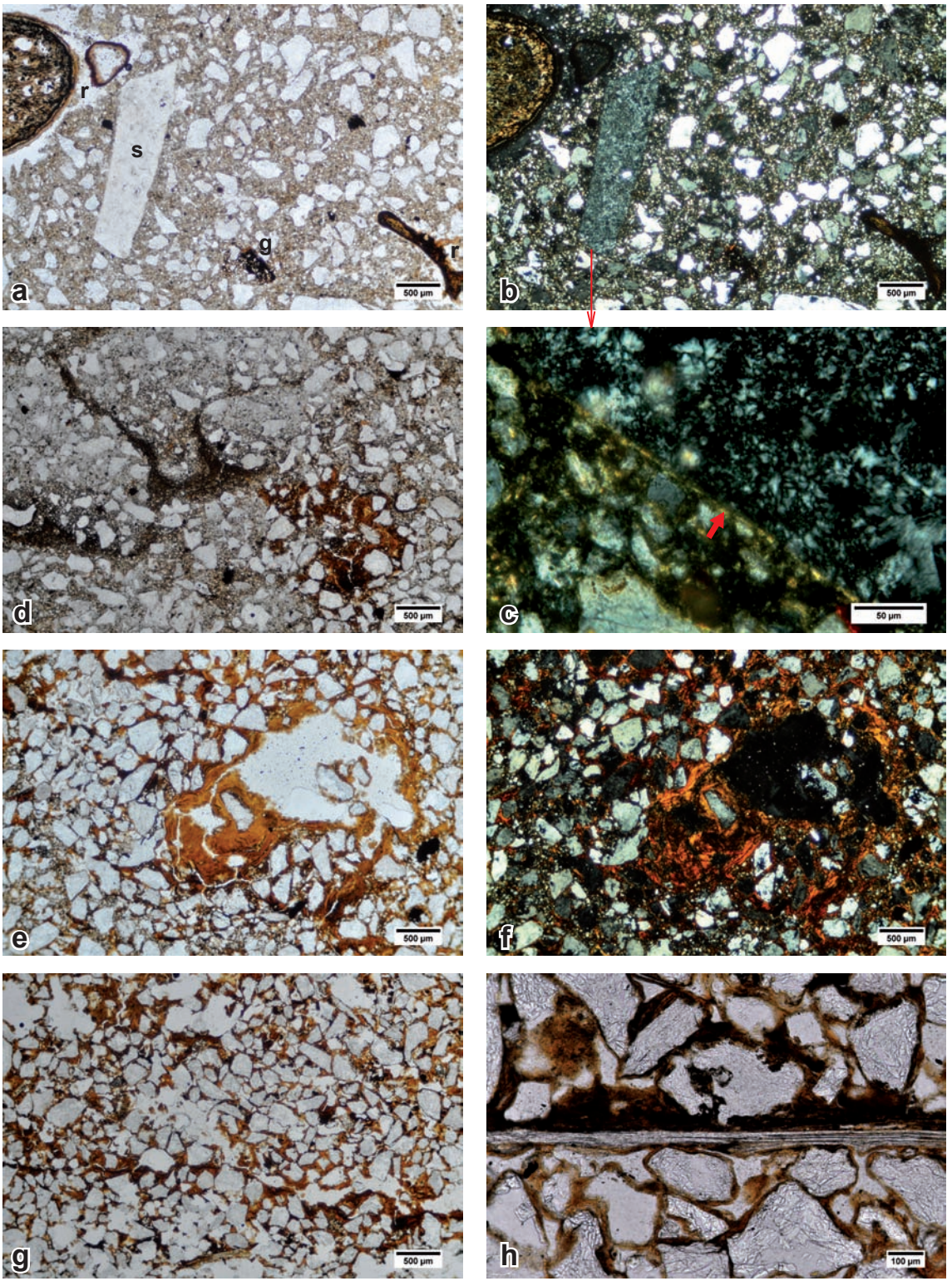

Figure 2.15 – Aperçu photographique des microfaciès : clichés (M. Rué).
a et b. Faciès LSB : racines (r), fragment de grès (g) et éclat de silex (s) dans une matrice limono-sableuse à structure porphyrique (x25, LPNA et LPA). **c.** Détail de la surface du silex recouverte d'une fine pellicule d'argile illuviale (x400, LPA). **d.** Interface LSB/LSBR : intercalations limoneuses brunes et revêtements illuviaux argileux orangés dégradés témoignant de mouvements du sol à l'état visqueux (x25, LPNA). **e et f.** Faciès LSBR : revêtements illuviaux argileux orangés et lités, localement bien développés et en position conforme dans la porosité (x25, LPNA et LPA). **g.** Faciès SR : revêtements illuviaux argileux orangés préférentiellement développés le long d'une discontinuité (x25, LPNA). **h.** Faciès SR : accumulation d'argile illuviale brunifiée sur une paillette micacée parallèle au plan de sédimentation (x100, LPNA).

des traits périglaciaires. Les lames minces montrent que les faciès rouges surmontant le dépôt SR se rattachent plus vraisemblablement à une même phase de pédogènèse illuviante, celle de l'Interglaciaire actuel. La teinte rouge de ces faciès serait donc induite par une coloration des produits lessivés, sans doute liée aux faciès rubéfiés plus anciens (mis par exemple en évidence dans le comblement des vallons, cf. 2.2.6). La ferruginisation *in situ* décelée dans le faciès SR montre que l'on est en présence d'un dépôt sableux ayant supporté au moins une phase de pédogenèse fersiallitique. Les faciès brun jaune du sommet des profils appartiennent quant à eux à un horizon éluvié sur lequel la pédogenèse brunifiante actuelle se développe.

De même, le contexte sableux n'a pas favorisé l'enregistrement des stigmates périglaciaires que l'on reconnait généralement dans les horizons argiliques à mobilier moustérien. L'examen des lames minces ne s'avère donc pas d'un grand ressort pour la datation pédostratigraphique et le décryptage paléoenvironnemental du site. Il est juste possible d'affirmer que le mobilier s'est mis en place dans des dépôts ayant supporté la dernière pédogenèse illuviante (holocène) et qu'ils datent donc vraisemblablement du dernier cycle glaciaire.

2.6. Conclusion

L'approche stratigraphique menée sur une surface d'environ 3000 m² recoupant les accumulations sablo-limoneuses du versant ouest du Bois de Sirion a permis de mettre en évidence huit principales phases pédosédimentaires :

1. Apports alluviaux sableux de faible énergie. La configuration géomorphologique indique que cette phase se situe au plus tôt dans une phase ancienne du Pléistocène.

2. Développement d'une ou de plusieurs phases de pédogénèse fersiallitique provoquant la rubéfaction, le début de ferruginisation du sommet des sables alluviaux et l'apparition d'épaisses bandes d'illuviation (faciès SR).

3. Ouverture et comblement alluvial d'au moins une dépression chenalisante en direction du sud-est. Le remplissage observé sur une épaisseur d'environ un mètre évoque un comblement relativement rapide en contexte tempéré, non pédogénéisé ni homogénéisé par les processus de surface.

4. Glacis d'érosion nivelant le versant et provoquant la formation d'un pavage à graviers et galets siliceux (faciès G). L'abondance de mobilier lithique centrée sur ce niveau et au sein des faciès G suggère que cette phase d'érosion et de résidualisation des dépôts soit responsable de la formation de la nappe d'objets.

5. Colluvionnement et recouvrement progressif du site par des apports éoliens et des produits d'érosion des formations sableuses environnantes.

6. Développement d'un cryosol. Même si les structures de milieu froid sont quasiment absentes du site, la forte dilatation verticale du mobilier, l'enchevêtrement des faciès et les structures en coin reconnues à la base du pavage pourraient se rapporter au développement et à la fonte du pergélisol qui a affecté la région à plusieurs reprises.

7. Pédogenèse illuviante holocène marquée par des transferts d'argiles rubéfiées. Cette différenciation pédologique scinde en deux la séquence : à la base, horizon argilique rouge (faciès LSBR, GR) ; au sommet, horizon éluvié brun (faciès LSB, LSBJ, GB). Les plus fortes densités en mobilier et le pavage graveleux sont partagés à l'interface entre ces deux horizons.

8. Développement du sol brun actuel. La bioturbation poursuit l'homogénéisation de la séquence et la dilatation de l'horizon à mobilier.

Dans ce contexte stratigraphique sableux et condensé, l'enregistrement des différentes phases de pédogenèse qui marquent des phases de stabilité du relief est très incomplet. D'après les microfaciès, la nappe d'objets s'est mise en place avant la pédogenèse illuviante holocène mais il est difficile de proposer un calage chronologique inférieur.

À environ 6 km au nord-est du Bois de-Sirion, en rive gauche de la vallée de la Vègre, le site de Château-Gaillard et La Mercerie récemment étudié se présente sous une configuration stratigraphique très proche (étude de Y. Chantreau dans Hinguant 2014). La nappe d'objets lithiques est également centrée dans un glacis d'érosion graveleux. Les traits texturaux, bien mieux conservés qu'au Bois de Sirion, illustrent la complexité des processus en jeu dans la formation de ce niveau (étude C. Vissac). La confrontation des approches géoarchéologiques menées sur ces deux sites complémentaires constitue sans doute une des prochaines étapes de l'étude des sites pléistocènes supérieur de cette région.

3. Datations par OSL/TL

Mathieu Rué et Grzegorz Adamiec

3.1. Méthodologie

Trois prélèvements de sédiment et un silex présentant des stigmates de chauffe ont fait l'objet d'une datation par luminescence selon le protocole *single aliquot regeneration* (Murray, Wintle 2000). Les prélèvements de sédiment proviennent des trois principaux faciès du site (LSB, LSBR et SR) observables sur la coupe 10 (dessin fig. 2.10 et photos fig. 3.1). Deux d'entre eux encadrent la zone de plus forte densité en mobilier lithique : l'échantillon PR27 situé dans la partie inférieure de la nappe (faciès LSBR) et l'échantillon PR28 localisé au sommet (faciès LSB). L'échantillon PR26 est issu du sommet du substrat sableux rouge (faciès SR). Le faciès G n'a pas été échantillonné en raison de son hétérogénéité et du caractère polygénique des graviers et galets le composant. L'éclat de silex brûlé, référencé PT1931, provient du faciès LSB, à environ 8 m au nord-est de la coupe 10 (plan fig. 2.3). Il s'agit d'un éclat brut entièrement brûlé, le seul suffisamment volumineux qui convenait pour les besoins de l'analyse.

Les prélèvements n'ont pas fait l'objet de mesures de la radioactivité sur place. Le débit de dose a donc été estimé en laboratoire. Les tubes ont toutefois été extraits au centre d'un volume de sédiment relativement homogène que nous avons pris soin d'échantillonner de manière la plus représentative possible (sur environ 30 cm de rayon autour du tube). Pour le silex, c'est le prélèvement PR28 qui a servi de référence. Pour le sédiment, les analyses ont porté sur les grains quartzeux de la fraction 125-200 µm. Cette fraction correspond aux sables alluviaux bien triés qui dominent dans la matrice des prélèvements (fig. 2.13). Les échantillons ont été traités par l'Institut de Physique de Gliwice en Pologne, sous la responsabilité de Grzegorz Adamiec courant 2013 et début 2014.

3.2. Résultats

Les résultats du laboratoire GADAM sont présentés en annexe et reportés ci-après (Tabl. 3 et fig. 3.2). Les âges sont donnés en années avant 1950. Ces résultats sont à prendre avec précaution en raison de l'absence de gammamétrie *in situ*. L'intervalle chronologique fourni par les prélèvements PR27 et PR28 ne date pas directement l'industrie mais seulement la dernière période d'exposition à la lumière des sables quartzeux, c'est-à-dire la date de leur enfouissement. L'âge fourni par le silex 1931 donne quant à lui la période probable de sa dernière chauffe, qu'elle soit anthropique ou naturelle. Précisions également que les perturbations post-dépositionnelles mises en évidence par l'étude stratigraphique ont pu localement occasionner des migrations verticales de particules sableuses. Les résultats obtenus sont toutefois cohérents avec la succession stratigraphique des faciès.

L'analyse du substrat alluvial rubéfié (PR26) donne une fourchette chronologique large comprise entre 310 et 282 ka, soit à la fin du stade isotopique 9, dans la première partie du cycle glaciaire saalien. Elle fixe le *terminus post quem* de la formation du site archéologique. Les dépôts alluviaux rubéfiés du faciès SR ont donc vraisemblablement supporté la pédogenèse de l'avant dernier Interglaciaire (Eémien). Les observations micromorphologiques ne peuvent toutefois pas confirmer ce résultat, car, comme nous l'avons constaté dans le chapitre précédent, les sables du faciès SR n'ont enregistré que très partiellement les cycles pédologiques. Si le sommet du faciès SR date bien du stade 9, le vallon fossile qui incise ce dépôt et qui se développe en direction du sud-est est donc plus récent, sur la base des observations de terrain. Ce résultat est surprenant car il signifierait que le réseau de talwegs actuel qui incise le versant du Bois de Sirion aurait un âge saalien, ce qui est relativement récent.

Le prélèvement extrait du faciès LSBR (PR27) indique que les sables qui constituent la partie inférieure de la nappe d'objets, sur la coupe 10, se sont déposés autour de 52,2 ± 5,0 ka, soit au début du stade isotopique 3.

L'échantillon provenant du faciès LSB qui recouvre le site (PR28) donne un âge de dépôt des sables autour de 12,25 ± 0,9 ka, soit au cours du Dryas récent. Cette dernière pulsation froide a donc vraisemblablement joué un rôle dans la fossilisation du site par des apports colluviaux et éoliens mais également dans la redistribution des pièces lithiques.

Le silex brûlé récolté dans la partie supérieure de la nappe d'objets, dans le faciès LSB, fourni un large intervalle d'âge compris entre 47,4 et 26,6 ka, soit dans la dernière partie du stade isotopique 3. Même si ce

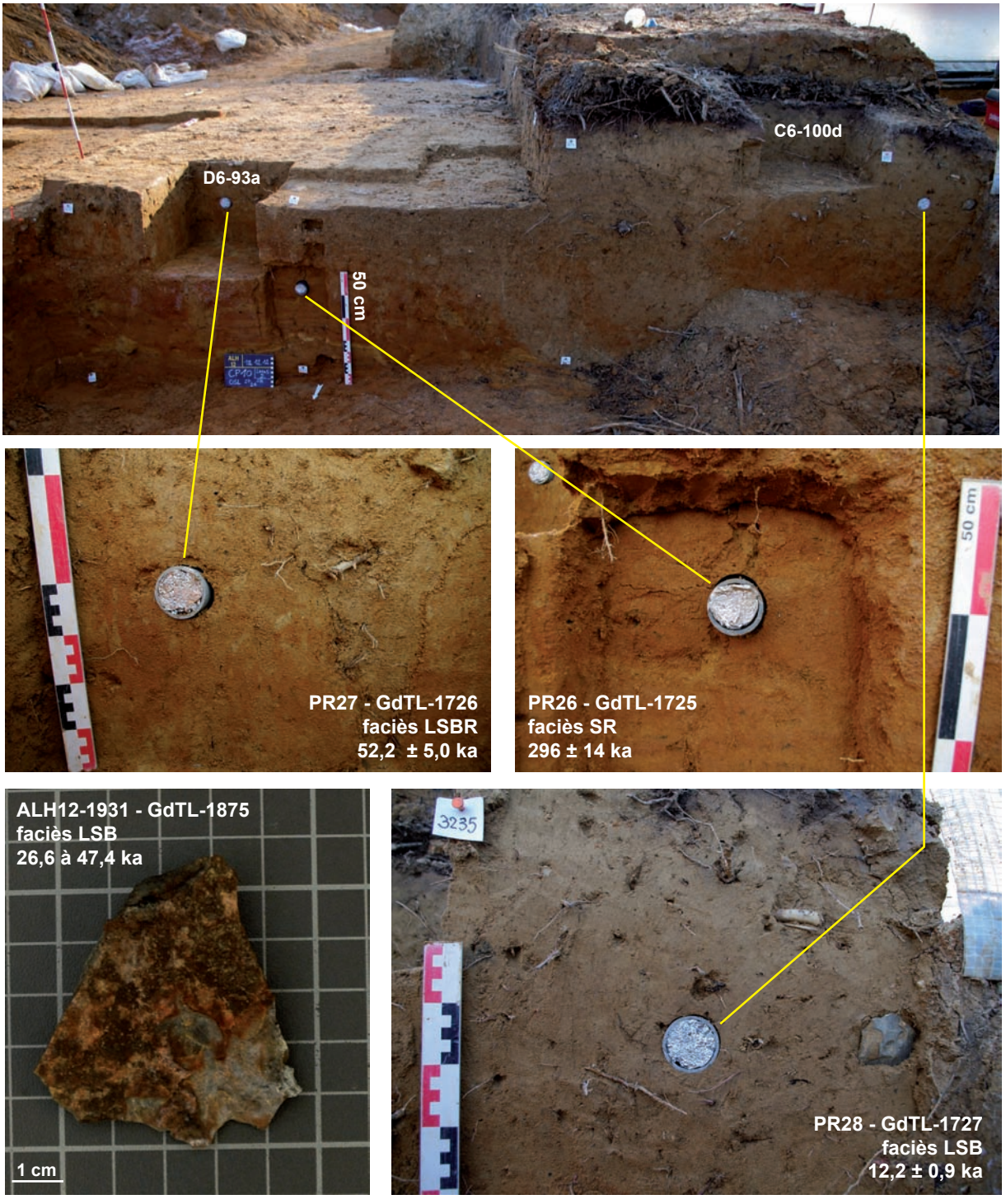

Figure 3.1 – Photographie des prélèvements de sédiment pour datation sur la coupe 10 et du silex brûlé analysé (M. Rué). Localisation en plan fig. 2.3 et en coupe fig. 2.10.

Référence opérateur	Référence laboratoire	Matériau analysé	Faciès	Altitude (m NGF)	Profondeur / surface (cm)	Date de prélèvement	Date d'envoi	Date de réception du résultat	Nombre d'aliquotes	Teneur en eau éch. (%)	Paléodose (Gy)	Débit de dose (Gy/ka)	Age (ka) avant 1950
ALH12-**PR26**	GdTL-1725	quartz 125-200 µm	SR	66,74	74,3	12/12/12	21/03/13	10/10/13	12	19	297 ± 11	1,005 ± 0,029	**296 ± 14**
ALH12-**PR27**	GdTL-1726	quartz 125-200 µm	LSBR	66,97	53,0	12/12/12	21/03/13	10/10/13	18	18	71,9 ± 6,5	1,377 ± 0,04	**52,2 ± 5,0**
ALH12-**PR28**	GdTL-1727	quartz 125-200 µm	LSB	67,12	31,6	12/12/12	21/03/13	10/10/13	17	18	18,0 ± 1,2	1,460 ± 0,038	**12,25 ± 0,9**
ALH12-**1931**	GdTL-1875	silex brûlé	LSB	67,34	~ 30	22/11/12	21/03/13	13/03/14	17	-	31,5 ± 1,5	1,109 ± 0,041 à 0,7 ± 0,021	**26,6 - 47,4**

Tableau 3 – Résultats de datation (M. Rué, G. Adamiec).

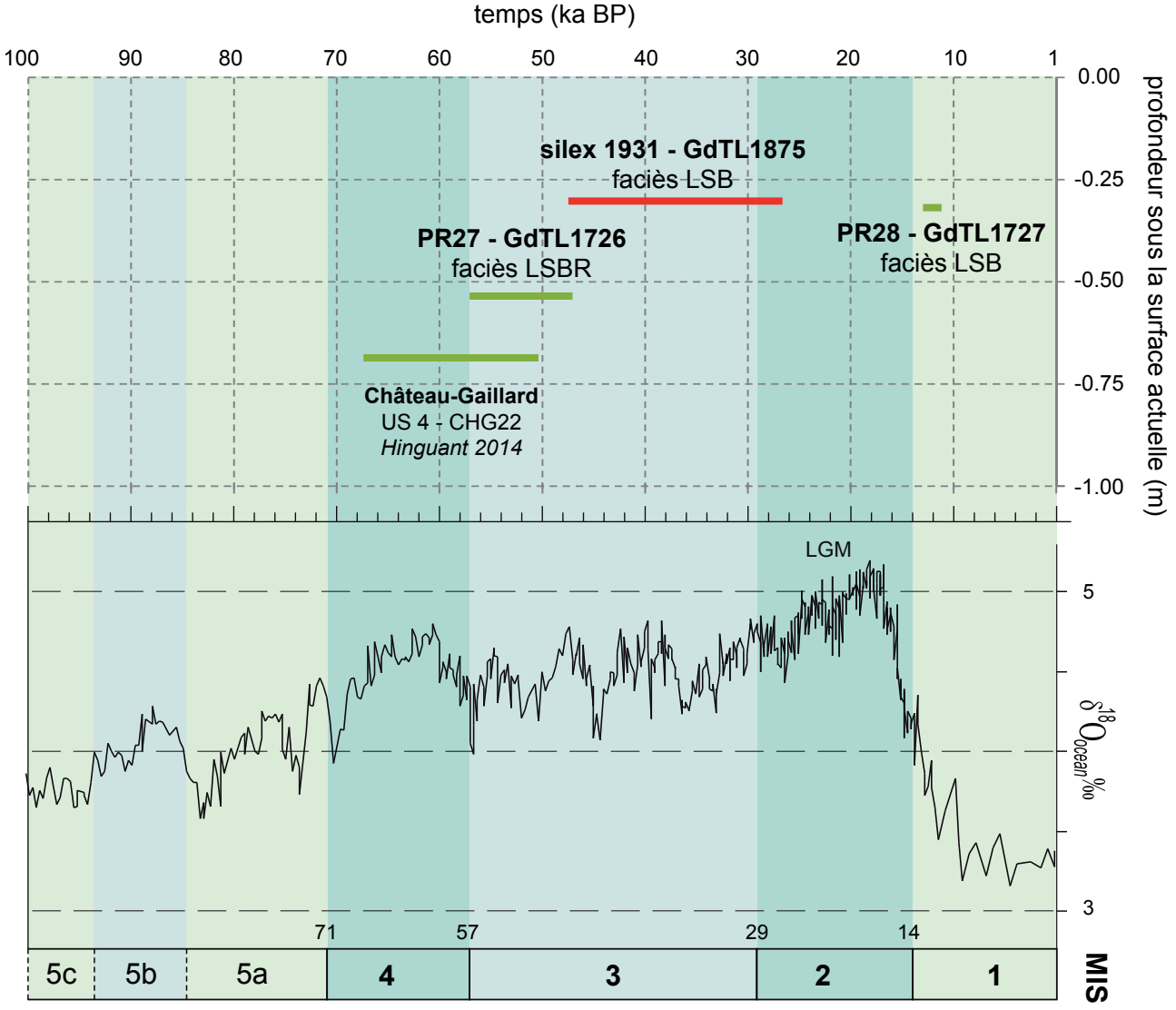

Figure 3.2 – Diagramme temps / profondeur des résultats de datation (M. Rué). Rouge : sur silex brûlé. Vert : sur sables quartzeux. Le résultat obtenu sur le faciès SR (autour de 296 ka) n'est pas représenté. L'US 4 du site de Château-Gaillard (Fontenay-sur-Vègre) est équivalente au faciès G du Bois-de-Sirion.

résultat est cohérent avec les deux dates obtenues sur les faciès qui l'encadrent (fig. 3.2), la position stratigraphique haute de ce silex et le contexte taphonomique complexe du site ne permettent pas d'avancer un âge à l'industrie sur la base de cette seule date.

3.3. Conclusion

Ces datations confirment le caractère particulièrement condensé de la séquence stratigraphique puisque le dernier mètre de dépôts concentre un intervalle de temps d'environ 300 ka. Cette configuration rend incertaine la datation des faciès car, dans ce contexte de proche surface, le brassage des matériaux est fréquent.

Même si les fourchettes chronologiques obtenues ne reposent que sur l'analyse d'un seul silex brûlé, dont on ne sait si la chauffe est d'origine anthropique, et sur l'analyse de deux échantillons de sables situés à la base et au sommet de la concentration lithique, les dates obtenues suggèrent que la nappe d'objets lithiques du Bois de Sirion existe déjà pendant le stade isotopique 3. Ces résultats sont cohérents avec les microfaciès observés en lame mince, mais ils n'excluent pas une formation plus ancienne de cette nappe, et donc une ou des occupations antérieures au stade 3.

Le site proche de Château Gaillard et La Mercerie (Fontenay-sur-Vègre) a fait l'objet de plusieurs datations par luminescence avec mesures de la radioactivité *in situ*. L'unité 4 de ce site, interprétée comme un glacis d'érosion (ou pavage) se rapproche en tout point des faciès G du Bois de Sirion. Elle a fourni un âge autour de 58,0 +9,5/-7,2 ka pour la fraction quartzeuse 2 à 10 µm (Hinguant 2014), ce qui signifie que ce glacis date probablement du stade isotopique 4 ou du début du stade 3 (fig. 3.2). Ce résultat est cohérent avec la date autour de 52 ka obtenue sur le faciès LSBR (PR27), faciès qui est stratigraphiquement équivalent au faciès G. De fait, si l'on considère que ce glacis est responsable de la formation de la nappe d'objets par redistribution d'un site initialement localisé plus en amont, ce que l'étude du contexte stratigraphique laisse penser, l'âge de ou des occupations pourrait donc se situer au plus tard à la transition entre les stades 3 et 4, aux erreurs d'incertitude près.

4. Contexte taphonomique

Briagell Huet, Mathieu Rué, Aurélie Castets,
avec la collaboration de Sébastien Bernard-Guelle, Jean-Baptiste Caverne et Paul Fernandes

En raison du contexte stratigraphique de proche surface, généralement défavorable à la préservation du signal archéologique, une étude taphonomique a été engagée afin de (i) confirmer les hypothèses de formation de la nappe d'objets déduites des sédiments (chap. 2), et (ii) mieux estimer le degré de conservation du site. Dans cette optique, nous avons eu recours aux outils employés classiquement dans l'étude géoarchéologique des sites paléolithiques : analyse spatiale (dont remontages et raccords), analyse des fabriques, granulométrique lithique et examen des états de surface.

4.1. Analyse spatiale du mobilier (B. Huet, M. Rué)

4.1.1. Distribution spatiale du mobilier

Distribution horizontale

Le nombre d'artefacts lithiques récoltés lors de l'opération préventive du Bois de Sirion s'élève à 10327 pièces (hors blocs bruts en grès / quartzite dont la présence sur le site n'est pas assurément d'origine anthropique) pour une surface décapée de 3045 m², soit une faible densité de 3,4 pièces par m².

La répartition de ce mobilier n'est toutefois pas homogène. Le plan de distribution spatiale témoigne en effet d'une présence de mobilier nettement plus marquée dans le quart nord-ouest de l'emprise et d'une quasi-absence dans la moitié sud, raison pour laquelle d'ailleurs nous avions décidé de ne pas décaper la totalité de l'emprise prescrite (chap. 1.6 et 1.8) (fig. 4.1). Cette quasi-absence de mobilier vers le sud-est de l'emprise est en partie liée aux deux paléoformes chenalisantes à comblement argileux qui incisent le substrat SR (fig. 4.1). Au sommet de ces paléoformes, d'âge bien antérieur à la formation du niveau archéologique, la séquence de dépôts contenant le mobilier est en effet particulièrement condensée. Toutefois, la zone de faible densité en mobilier dépasse assez largement l'emplacement de ces chenalisations puisqu'elle concerne également une grande partie du sud de l'emprise où aucune autre paléoforme n'a été mise en évidence.

Ce vide archéologique est plus probablement en lien avec le relief puisque l'on constate que c'est la presque totalité de la pente orientée vers le sud-ouest qui est pauvre en pièces cotées (fig. 4.1). Les deux projections de mobilier réalisées selon l'axe nord-sud de l'emprise montrent de plus que ce relief était légèrement plus accentué au moment de la mise en place de la nappe d'objets (coupe 5 fig. 2.7a et coupe 8 fig. 2.8a). Il est donc possible que les processus de surface aient affecté différemment ces deux pentes. En contexte périglaciaire, les pentes exposées au sud sont généralement plus intensément soumis aux cycles de gel-dégel, et donc à la reptation des matériaux vers l'aval. Les seuls artefacts lithiques provenant de ce large secteur sud-est (n = 5) ne présentent pas de patine et pourraient également être les témoins d'occupations bien plus récentes.

Dans le secteur nord-ouest, les vestiges sont répartis de manière relativement uniforme, mais des zones de plus forte densité se distinguent tout de même : elles correspondent aux locus de fouille manuelle. Les densités de pièces par m² y sont en effet beaucoup plus fortes que pour l'ensemble de l'emprise : 414 pièces par m² sur le locus 1, 67 pièces par m² sur le locus 2, 194 pièces par m² sur le locus 3 et enfin, 106 pièces par m² sur le locus 4 (annexe 1). La question qui se pose est de savoir si ces « concentrations » sont un fait archéologique, taphonomique ou méthodologique.

C'est effectivement la plus forte densité relative en vestiges qui nous a amenés à réserver ces secteurs à une investigation manuelle, mais cette plus forte densité est du même coup accentuée par la minutie induite par la méthode de fouille mise en œuvre. L'effet « concentration » est donc en partie engendré par l'aspect méthodologique.

Par ailleurs, les projections spatiales de l'industrie par catégories technologiques permettent de préciser que ces zones de plus forte densité ne correspondent en tout cas pas à des aires d'activités spécifiques, toutes les catégories y étant représentées dans des densités relatives équivalentes (fig. 4.2). Elles pourraient toutefois refléter une occupation polyvalente plus longue ou plus intense de ces secteurs.

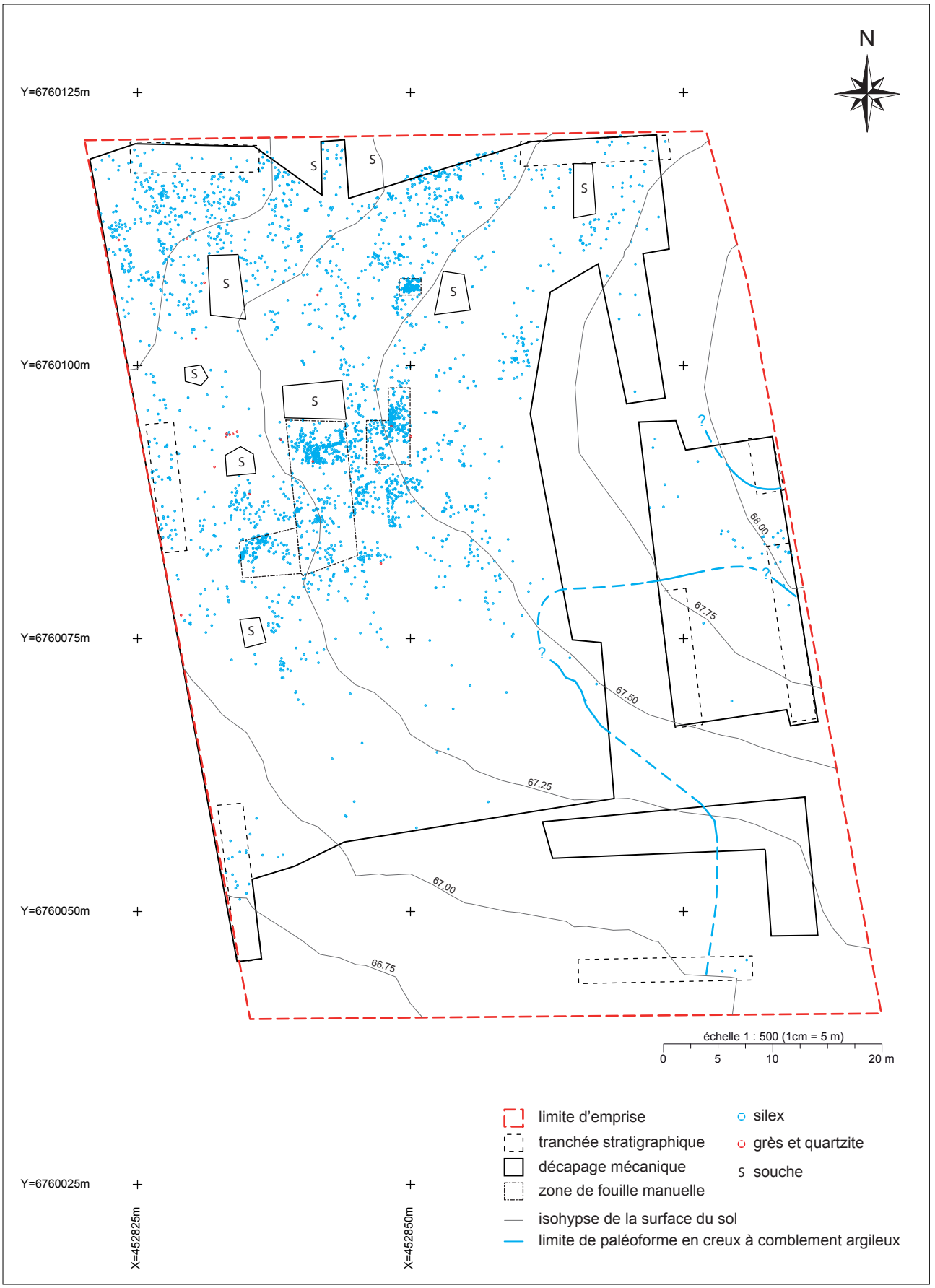

Figure 4.1 – Plan de répartition du mobilier lithique. (B. Huet, J.-B. Caverne).



Figure 4.2 – Plan de répartition des artefacts lithiques par catégorie d'objets (B. Huet, J.-B. Caverne).

Il n'apparaît pas non plus de répartition différentielle en fonction des dimensions des artefacts, chaque classe granulométrique est répartie de manière homogène à travers l'emprise (fig. 4.3). Les artefacts cotés mesurés (éclats entiers bruts, éclats retouchés entiers et fragments, bifaces, nucléus et blocs testés) offrent des dimensions allant de 2 à 38 cm, mais la plus grande part est comprise entre 3 et 5 cm (47 %) et les éléments offrant une de leurs plus grande dimensions supérieure à 7 cm sont relativement rares (9 %).

Distribution verticale

D'un point de vue stratigraphique, ce mobilier est présent au sein des principaux faciès pédosédimentaires identifiés à travers l'emprise. Il se répartit ainsi sur une puissance maximum de 1,86 m et moyenne d'environ 1,25 m. Le mobilier accuse donc une forte dispersion verticale, ce que l'étude des colonnes granulométriques a bien mis en évidence (chap. 2.4.1).

La répartition en plan par faciès apparait uniforme à travers l'emprise (fig. 4.4). Les plus fortes densités de mobilier se rencontrent au sein des faciès GR (37 % du mobilier) et LSB (34 %) (tabl. 4). Si l'on considère les ensembles sédimentaires, c'est l'ensemble 2 qui livre le plus d'artefacts (43 % du mobilier). Cet ensemble 2 regroupe les unités discontinues de graviers (également nommées «faciès G») qui s'intercalent entre les sables de couverture brunifiés (ensemble 1) et le substrat sableux rouge (ensemble 4) (fig. 4.5).

Des pièces ont été retrouvées dans le substrat sableux, à parfois plusieurs centimètres de profondeur au sein du faciès SR, probablement mues par la bioturbation et/ou d'autres processus dont la nature nous échappe (n = 300, soit près de 3 % de l'industrie). Également, trois pièces ont été récoltées en surface du comblement argileux des chenalisations, en limite ouest de leur apparition.

Si l'on regarde plus précisément la répartition par classes granulométriques au sein des différents faciès, on note la surreprésentation relative des pièces dont la plus grande longueur est inférieure à 2 cm au sein de l'ensemble sédimentaire GB/GR. Les éléments supérieurs à 2 cm sont quant à eux plus nombreux au sein de l'ensemble sédimentaire LSJ/LSB et leur quantité relative diminue progressivement mais nettement en descendant dans la stratigraphie (fig. 4.6a).
Cette répartition différentielle entre les catégories inférieures à 2 cm d'une part et celle supérieures à 2 cm d'autre part est très nette. Par contre, si l'on ne considère cette fois que les pièces supérieures à 2 cm, nous constatons que les proportions relatives de chaque classe granulométrique est identique d'un ensemble sédimentaire à l'autre avec une prépondérance des pièces comprises entre 3 et 5 cm (fig. 4.6b). Ce sont donc les plus petits éléments qui présentent une distribution verticale différentielle.

Si l'on regarde ensuite la distribution verticale par type de vestiges au sein des différents faciès (fig. 4.7), nous pouvons noter que 66 % des fragments thermiques liés au gel (gélifracts et cupules) proviennent de l'ensemble sédimentaire supérieur LSJ/LSB et que plus nous descendons dans la stratigraphie, moins les artefacts sont affectés par le gel. Les éclats ordinaires sont aussi présents dans les faciès LSB/LSJ que dans les faciès GB/GR, tandis que les éclats de façonnage sont quant à eux plus nombreux, tant en quantité absolue que relative, au sein des faciès GB/GR. Par contre, étonnement, les bifaces sont plus nombreux au sein de l'ensemble sédimentaire supérieure LSB/LSJ, de même que pour les nucléus : 58 % des bifaces et 58 % des nucléus dans les faciès LSB/LSJ, contre respectivement 29 et 24 % dans les faciès GB/GR. Cette analyse de la distribution par ensemble sédimentaire des catégories de vestiges ne permet donc pas de différencier d'éventuels niveaux d'occupations distincts pouvant correspondre à des types de production différents : s'il y a eu plusieurs occupations, il semble qu'elles relèvent du même type de groupe ou d'activités.

4.1.2. Remontages et raccords

La pratique des raccords et des remontages est un outil précieux pour estimer le degré de perturbation d'un niveau archéologique. Malheureusement, le faible nombre de jours alloués à l'ensemble de l'étude lithique n'a pas permis de consacrer de temps suffisamment nécessaire à cette pratique. Nous n'avons donc pu effectuer qu'un test visant à estimer le potentiel de remontage au sein de cette série lithique. Nous avons alors focalisé la recherche systématique de remontages et de raccords sur les locus 1 et 3 (fig. 4.8). Le locus 1, d'une surface de 3 m², consiste en une poche du faciès GR qui a livré 1242 pièces sur 3 décapages ; le locus 3, quant à lui, a été fouillé manuellement sur une surface de 15,25 m² et a livré 2955 artefacts lithiques sur un nombre de décapages variable selon le carré considéré (de 1 à 11) et représentant les différents faciès identifiés sur le site (annexe 1).



Figure 4.3 – Plan et graphique de répartition des artefacts lithiques par classes granulométriques (selon la plus grande longueur ; ne sont compris que les éclats entiers bruts, éclats retouchés entiers et fragments, bifaces, nucléus et blocs testés) (B. Huet, J.-B. Caverne).



Figure 4.4 – Plan de répartition des artefacts lithiques par faciès pédosédimentaire (B. Huet, J.-B. Caverne).

	Éclats	Bifaces	Nucléus et blocs testés	Esquilles	Débris	Gélifracts et cupules	Scories et céram.	*Sous-total*	%	Total	%
LSJ	360	16	7	39	30	44	3	***499***	***4,96***	**4001**	**39,79**
LSJp	47	2			5	5		***59***	***0,59***		
LBp	9				1			***10***	***0,10***		
LSB	1737	43	27	1419	110	92	5	***3433***	***34,14***		
GB	194	6	4	210	8	8		***430***	***4,28***	**4315**	**42,91**
GBR	104	3	4	12	9	3		***135***	***1,34***		
GR	1756	22	6	1852	72	42		***3750***	***37,29***		
LSBR	618	8	5	480	22	16		***1149***	***11,43***	**1437**	**14,29**
LSR	231	4	4	26	13	10		***288***	***2,86***		
SR	210	2	1	74	7	6		***300***	***2,98***	**300**	**2,98**
A	2		1					***3***	***0,03***	**3**	**0,03**
Total	**5268**	**106**	**59**	**4112**	**277**	**226**	**8**	***10056***	***100***	**10056***	**100**

Tabl. 4 – Décompte des types d'artefacts par faciès pédosédimentaire (B. Huet).
*total différent du décompte général du mobilier car le faciès n'a pas été renseignée pour toutes les pièces récoltées.

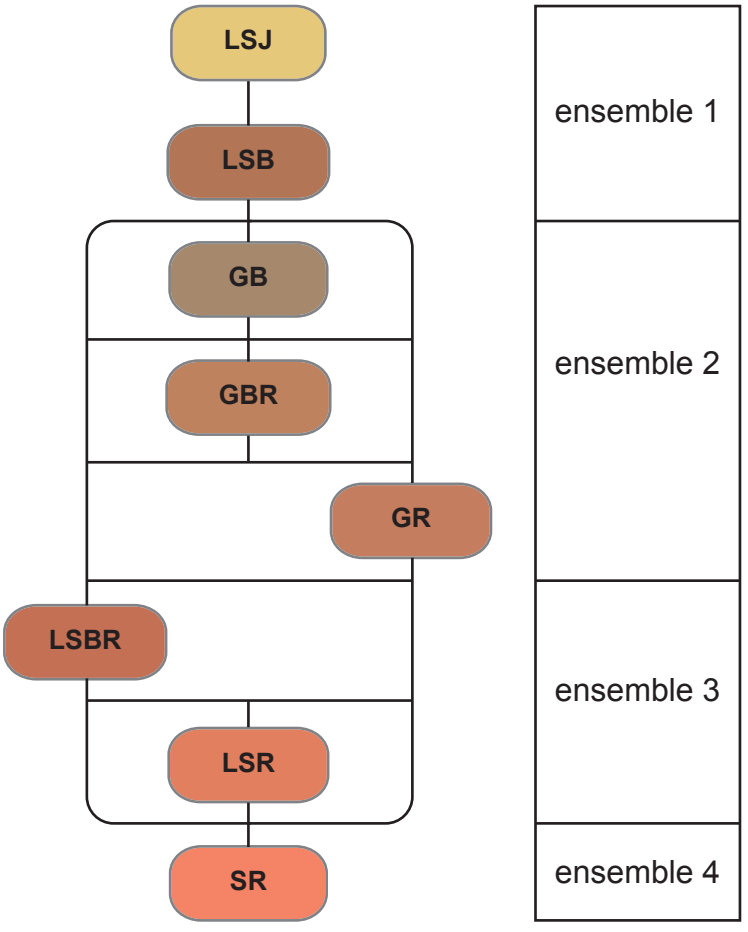

Figure 4.5 – Stratigraphie schématique (B. Huet, M. Rué).
Faciès et ensembles pédosédimentaires d'après les observations de terrain (descriptions chap. 2).

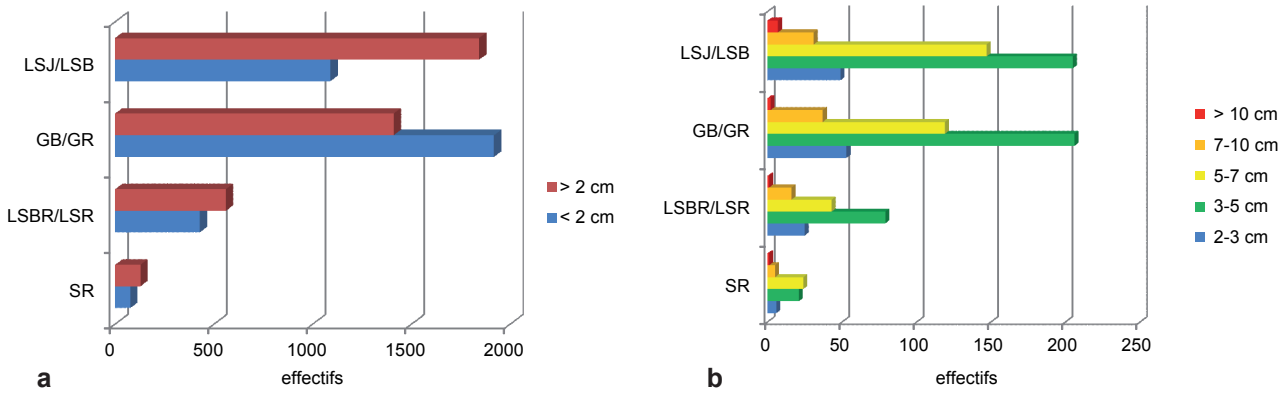

Figure 4.6 – Graphique de répartition des artefacts lithiques par faciès pédosédimentaire selon leur classe granulométrique (selon la plus grande longueur) (B. Huet).
a – répartition de l'ensemble des artefacts cotés selon deux classes granulométriques (inférieure ou supérieure à 2 cm) ;
b – répartition des artefacts cotés et mesurés (éclats entiers bruts, éclats retouchés entiers et fragments, bifaces, nucléus et blocs testés) selon cinq classes granulométriques de 2 à plus de 10 cm.

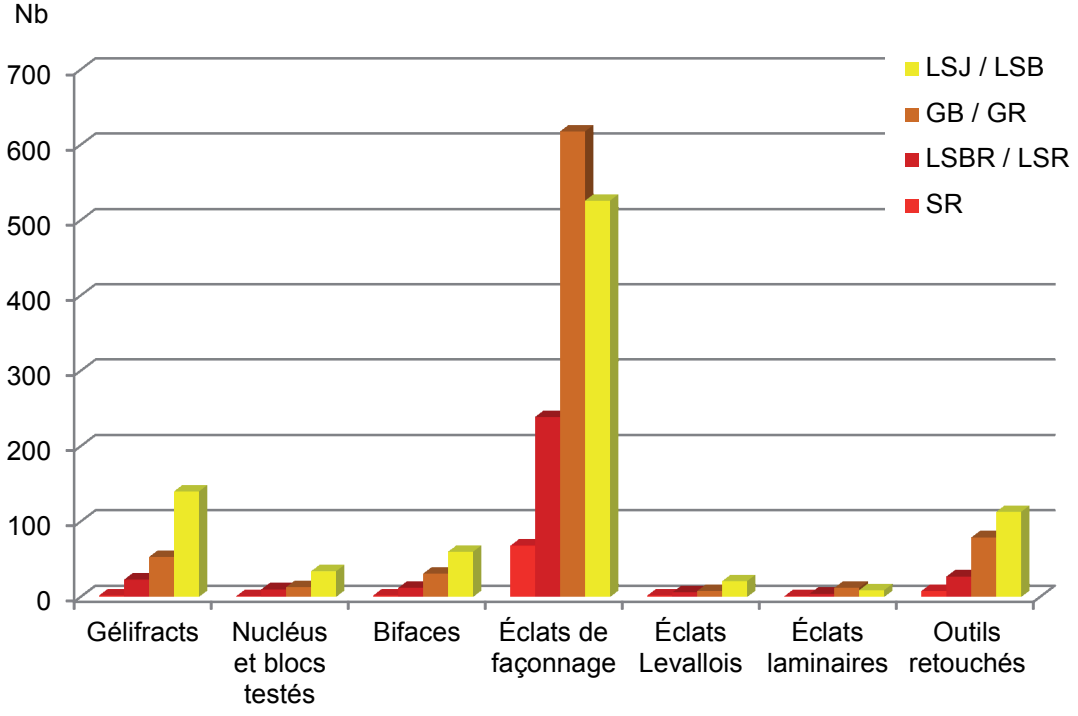

Figure 4.7 – Graphique de répartition de certaines catégories de vestiges lithiques par faciès pédosédimentaire (B. Huet).

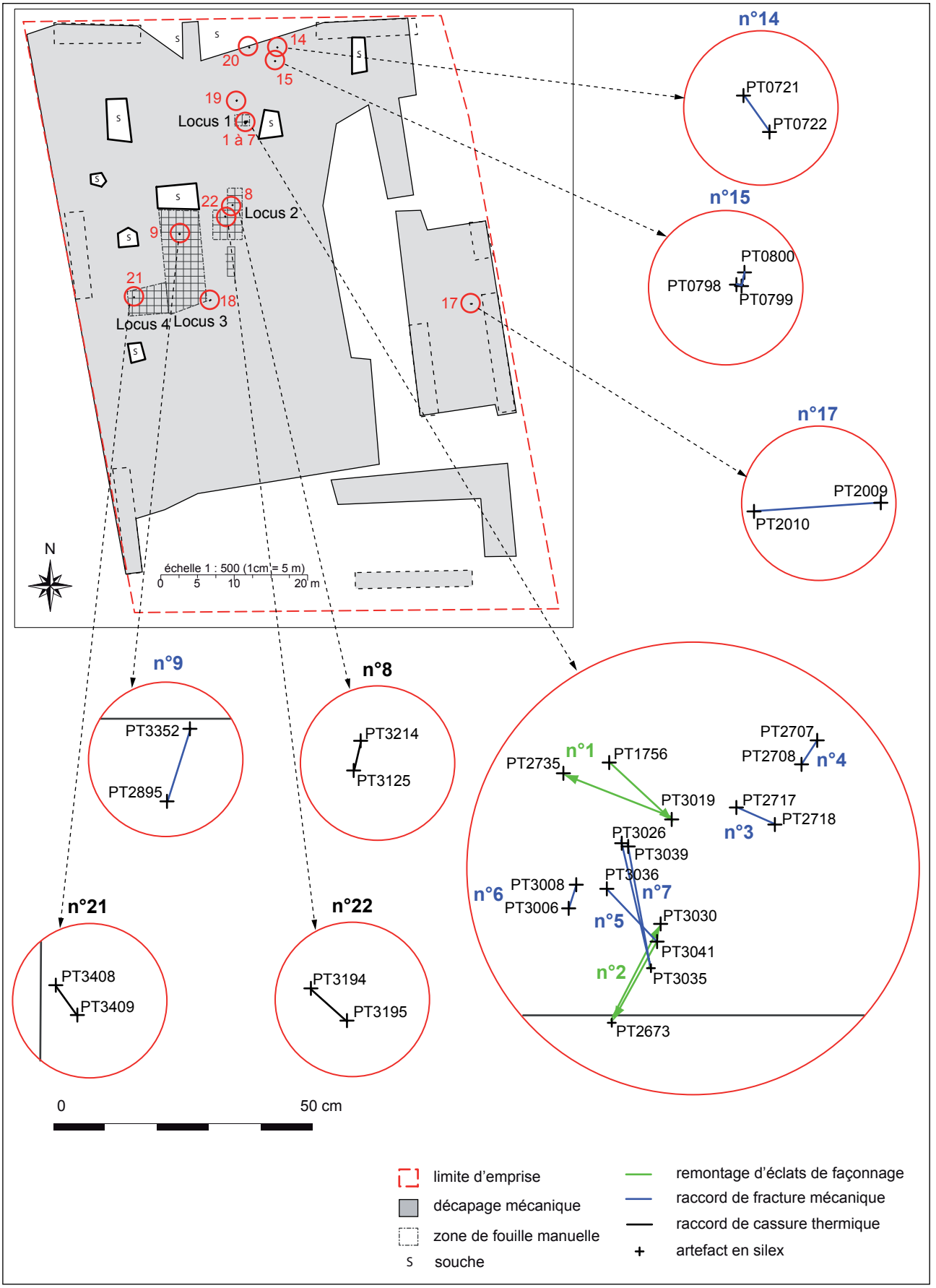

Figure 4.8 – Plan de localisation des remontages et raccords d'artefacts en silex (B. Huet, J.-B. Caverne).

Le locus 1 est celui qui a donné le plus de résultats puisqu'il a fourni les deux seuls remontages réalisés (chacun incorporant trois pièces) et cinq raccords de cassure (incorporant onze éléments), soit un taux de remontage de 1,4 %. La recherche menée sur le locus 3 a par contre été un échec : un seul appariement de fragments d'éclat a été réalisé.

Pourtant effectué par une personne aguerrie à ce type d'exercice (Sébastien Bernard-Guelle, Paléotime), ce test qui aurait normalement dû donner des résultats assez rapides a donc été finalement peu concluant. Ce test aura duré une journée et il n'a pas été jugé pertinent de persévérer. L'homogénéité du matériau exploité et son état de conservation (patine) ne facilite en effet pas le travail. De plus, l'homogénéité de la composante technologique des locus 1 et 3, constituée principalement d'éclats de façonnage non corticaux, rend elle aussi la tâche fastidieuse. Enfin, il ressort de cet exercice une impression d'absence d'intégrité de la série bien que le test ait porté sur des secteurs de fouille manuelle.

Les taux de remontages et raccords issus de ce test n'étant pas significatifs et ne pouvant donc pas être retenus comme un indicateur du degré de conservation du site, nous avons alors plus spécifiquement porté notre attention sur les dispersions horizontales et verticales entre les éléments d'un même remontage ou raccord. D'autres raccords de cassure réalisés au cours de l'étude lithique, au gré du hasard, viennent compléter le corpus.

Remontages

Seuls deux remontages ont effectués, à partir d'artefacts en silex. Ils illustrent tous deux une séquence de façonnage (fig. 4.8 ; annexe 2). Les deux remontages réalisés associent chacun 3 éclats non corticaux, débités successivement dans le même sens, de manière légèrement convergente dans le cadre du second remontage. Il s'agit d'éclats débités à la percussion directe au percuteur tendre organique que l'épaisseur relative en raison d'un geste plutôt rentrant tend à placer dans les premières phases de mise en forme après le décorticage. Le remontage n° 2 intègre un éclat anciennement fracturé en deux et qui a fait l'objet d'un raccord (cf. *infra*).

Il est très probable que l'ensemble des éclats incorporés au sein de ces deux remontages soient en fait issus de la même opération de façonnage : ils ne sont en effet distants que de 12 cm pour les éléments les plus proches et à 30 cm pour les éléments les plus éloignés de chaque remontage.

Le remontage n° 1 associe des pièces provenant chacune du même carré mais d'un niveau de décapage manuel différent, bien que toujours au sein du même faciès : le premier (dans le sens chronologique du débitage) a été découvert au décapage mécanique juste avant l'ouverture du secteur à la fouille manuelle (n° 1756), le second au sein du décapage 2 (n° 3019) et le troisième au sein du décapage 1 (n° 2735). Toutefois, la dispersion verticale de ces trois éléments est extrêmement faible : de 0,02 cm à 1 cm. En plan, la distance les séparant est également assez faible, de 6 cm à 14 cm maximum.

Le remontage n°2 associe quant à lui deux éclats (dont celui ayant fait l'objet d'un raccord) provenant du même sous-carré et du même décapage à un troisième éclat provenant d'un décapage supérieur du carré adjacent et qui vient s'intercaler entre les deux éclats précédents au sein du remontage : le raccord n° 3041 + n° 3035 remonte sur n° 2673 qui remonte sur n° 3030. Ces divers éléments témoignent d'une dispersion verticale beaucoup plus importante que le remontage précédent, allant de 0,8 cm minimum à 6 cm maximum. En plan, ils présentent une plage de dispersion plus large mais pour un écart maximum équivalent, de 2 cm à 13 cm, ce qui reste une faible dispersion horizontale.

Raccords de cassure

Vingt et un raccords entre éléments d'un même artefact fracturé ont été réalisés (fig. 4.8 ; annexe 2). Ils concernent uniquement des pièces en silex et rassemblent chacun deux éléments (pour dix-huit des raccords effectués) ou trois éléments (pour trois des raccords effectués).

Parmi ces raccords de fractures, quatre témoignent d'une fracturation récente, faite par la pelle mécanique. Ces raccords n'apportant aucune information d'ordre taphonomique, ils ont donc été exclus de notre analyse.

Les raccords de fractures anciennes (n = 17) témoignent quant à eux soit de processus thermiques liés au gel (n = 6), soit de processus mécaniques, produits lors du débitage ou post-dépositionnels (n = 11). Ces processus mécaniques affectent uniquement des éclats (n = 11) et en particulier des éclats de façonnage (n = 9) dont la faible épaisseur leur confère une certaine fragilité.

L'ensemble de ces raccords concerne des pièces provenant des différents faciès identifiés à travers l'emprise. La moitié toutefois provient du faciès GR, que ce soit pour les raccords effectués au sein du locus 1 ou ceux à

partir de pièces récoltées au décapage mécanique à travers l'emprise ; c'est au sein de ce faciès que les artefacts témoignent en effet généralement d'un meilleur état de conservation par rapport aux autres unités.

Sur le plan horizontal, la dispersion des éléments raccordés entre eux et dont la position a été relevée au tachéomètre varie de 1 à 15 cm pour une dispersion moyenne de 6 cm. Toutefois, la plus forte dispersion horizontale potentielle parmi ces pièces est estimée à 50 cm : il s'agit de raccords (n° 10, 11, 12 et 13) dont au moins l'un des éléments n'a pas été côté au tachéomètre et dont seul le sous-carré de provenance est connu, soit une distance potentielle maximum de 50 cm entre les éléments du raccord.

Sur le plan vertical, la dispersion entre éléments côtés d'un même raccord varie de 0 cm à 5,9 cm pour une moyenne de 1,3 cm.

Dans le cadre de la fouille manuelle (soit treize des dix-sept raccords de fracture ancienne), les pièces raccordées entre elles proviennent généralement du même sous-carré et du même décapage. Seuls deux raccords, le n° 9 (fracturation mécanique) et le n° 10 (fracturation thermique), apparient chacun deux éléments provenant de décapages manuels différents mais immédiatement superposés, au sein d'un même faciès. Leur dispersion verticale est respectivement de 5,9 cm et de 2 cm maximum (pour ce dernier, l'un des deux éléments raccordés n'ayant pas été côté au tachéomètre, cette dispersion verticale maximum a été estimée à partir des prises d'altitudes inférieures et supérieures du niveau de décapage manuel dans lequel il a été retrouvé).

Ces dispersions horizontales et verticales sont sensiblement les mêmes, quel que soit le faciès considéré. Il semble par ailleurs que les fracturations mécaniques d'une part, et les fracturations thermiques d'autre part, témoignent de dispersions, tant horizontales que verticales, sensiblement identiques, bien que le faible nombre de raccords réalisés ne rendent pas cette comparaison tout à fait pertinente.

Le faible nombre de raccords réalisés ne permet pas non plus de distinguer des secteurs de dispersions différenciés à travers l'emprise, ni sur le plan horizontal, ni en stratigraphie. Les deux éléments du raccord n° 9, un éclat de façonnage fracturé en deux dans son axe d'allongement, ont été retrouvés en fouille manuelle à 9 cm l'un de l'autre en plan et à 6 cm d'écart en stratigraphie ; ils reposaient tous deux sur la face inférieure. Il est intéressant de noter que seul un de ces deux fragments présente des cupules de gélifraction formées et certaines en cours de gélidisjonction sur la face inférieure, ainsi qu'une polarisation de patine entre la face supérieure et la face inférieure, cette dernière étant la moins patinée. Ces deux fragments du même éclat ont donc subi des conditions post-dépositionnelles différentes et s'il y a eu déplacement de ces pièces après leur dépôt (ce qui n'est pas sûr au regard de leur faible écart tant horizontal que vertical), celui-ci serait intervenu antérieurement aux processus thermiques et chimiques. Les autres raccords ne présentent pas de caractéristiques significatives permettant d'alimenter ce type d'analyse.

La réalisation de ces remontages et raccords attestent donc d'une faible dispersion des artefacts lithiques : la dispersion horizontale peut en effet être considérée comme étant faible, de l'ordre du centimètre à la dizaine de centimètre, de même que la dispersion verticale, inférieure à 6 cm. Au regard de ces résultats, il apparaît donc que soit l'industrie a effectivement subi peu ou pas de déplacements postérieurement à son dépôt, soit les déplacements se sont produits en masse et de manière progressive. Toutefois, ces résultats sont à interpréter avec prudence en raison du faible nombre de remontages et de raccords réalisés. Ils nous donnent peut être donc juste une vision anecdotique de l'état de conservation du site.

4.2. Analyse des fabriques (M. Rué)

L'étude statistique de l'orientation et de l'inclinaison des pièces allongées en silex est basée sur quatre-vingt-dix mesures réalisées à la boussole et au clinomètre (inventaire en annexe 13). L'orientation mesurée correspond à l'angle entre le nord magnétique et le point de plongement de la pièce. Dans le cas d'un pendage nul, c'est le plus petit angle qui a été retenu.

Les mesures ont été réalisées sur des silex dégagés en fouille manuelle, sauf pour deux objets découverts lors des décapages mécaniques. La répartition par zone de fouille est la suivante : locus 1 (n = 5), locus 2 (n = 27), locus 3 (n = 31), locus 4 (n = 22) et coupe 8 (n = 5). Les pièces se répartissent équitablement selon les trois principaux faciès du site : LSB (n = 29), GB/GR (n = 28) et LSBR (n = 33). Comme ces effectifs sont inférieurs au seuil statistique (n = 50), les résultats obtenus par faciès sont à considérer avec prudence.

Les indices d'isotropie (IS) et d'élongation (EL) ont été calculés à partir des valeurs propres normalisées (Woodcock 1977), à l'aide des logiciels Stereonet et OpenStereo. L'intensité de l'orientation préférentielle (L) et la probabilité d'une distribution aléatoire des orientations (p) ont été obtenues selon la méthode de Curray (Curray 1956).

Les résultats montrent que les fabriques présentent une forte composante isotrope, ce qui signifie que les pièces allongées se disposent globalement de manière désordonnée, sans orientation préférentielle (fig. 4.9). Sur le diagramme de Benn adapté par Bertran et Lenoble (2002), les points représentatifs obtenus sont tous éloignés de l'aire des sites non perturbés, confirmant ainsi que l'assemblage initial a été modifié par les processus naturels. Ces points apparaissent également regroupés, en particulier pour les faciès GB/GR et LSBR.

Les points représentatifs se localisent en marge de l'aire des sites formés par coulée(s) de débris (pour les trois faciès considérés) ou par argiliturbation (uniquement pour les faciès GB/GR et LSBR). L'aire des éboulis gravitaires, qui est également concernée, ne peut être prise en compte en raison du contexte géomorphologique. De même, le contexte essentiellement sablo-limoneux permet d'exclure l'argiliturbation. L'écoulement en masse de débris est en revanche un scénario plausible dans la formation de la nappe d'objets. Il peut se produire sur des pentes faibles, comme celle matérialisée par l'épandage de silex (autour de 2 %). Les coulées de débris, qui provoquent le déplacement rapide de grandes quantités de matériaux, sont généralement déclenchées par un apport brutal d'eau.

Aucune figure diagnostic de coulée n'a toutefois été décelée sur le terrain, sans doute en raison de la bioturbation et la cryoturbation qui ont affecté postérieurement les dépôts. Ces processus post-dépositionnels ont probablement aussi homogénéisé les fabriques, ce qui peut expliquer que les points représentatifs des trois faciès considérés soient regroupés sur le diagramme de Benn. L'absence de figure diagnostic, l'impact probable des processus post-dépositionnels, de même que le nombre de mesures inférieur au seuil statistique, n'offrent pas de bonnes conditions à l'interprétation des fabriques. La formation du site par écoulement en masse reste donc supposée.

4.3. Granulométrie du mobilier lithique (M. Rué, A. Castets)

4.3.1. Objectif et méthodologie

La distribution verticale des fractions naturelle et anthropique supérieures à 2 mm a été présentée dans le chapitre 2.4.1. Dans les trois colonnes granulométriques étudiées, les résultats ont montré que, globalement, ces deux fractions évoluent de manière conjointe, avec des maxima en silex et graviers dans les décapages situés à l'interface entre les faciès bruns et rouges, là où s'intercalent les faciès G et LSR/LSBR. Cette configuration semble pouvoir être généralisée puisque nous avons vu précédemment (chap. 4.1.1), qu'à l'échelle de l'emprise, les plus fortes densités de mobilier côté (> 2 cm) se rencontrent au sein des faciès G, donc sur la même interface pédostratigraphique.

Nous allons dans cette partie examiner plus précisément comment se distribue le mobilier en silex, en se focalisant sur les classes granulométriques fréquemment utilisées dans ce type d'étude : 2-4, 4-10 et > 10 mm ou 5-10, 10-20 et >20 mm (Bertran *et al.* 2012).

L'analyse granulométrique a été réalisée sur un corpus de 7065 objets de largueur supérieur à 2 mm. Ce mobilier provient de plusieurs sous-carrés qui se répartissent sur les locus 2, 3 et 4 (fig. 4.10 et 2.3). La plus grande partie provient de trois colonnes granulométriques qui traversent la quasi-totalité de la séquence stratigraphique :
- C6-15b (locus 3 / coupe 6) : 11 décapages, 1672 silex ;
- C6-67a (locus 3) : 10 décapages, 3005 silex ;
- D6-93a et C6-100d (locus 2 / coupe 10), ces deux sous-carrés constituant une même colonne de prélèvement séparée en deux afin de débuter les décapages directement sous l'horizon humifère et d'éviter une anomalie sédimentaire : 12 décapages, 963 silex.

Les décapages de ces trois colonnes sont localisés sur les coupes 6 et 10 (fig. 2.10).

Deux autres sous-carrés ont également été sélectionnés car ils documentent des zones denses en mobilier. Ils ne prennent en compte que les deux décapages contigus les plus riches :
- D7-4a (locus 2) : 393 silex ;
- C5-82a (locus 4) : 1032 silex.

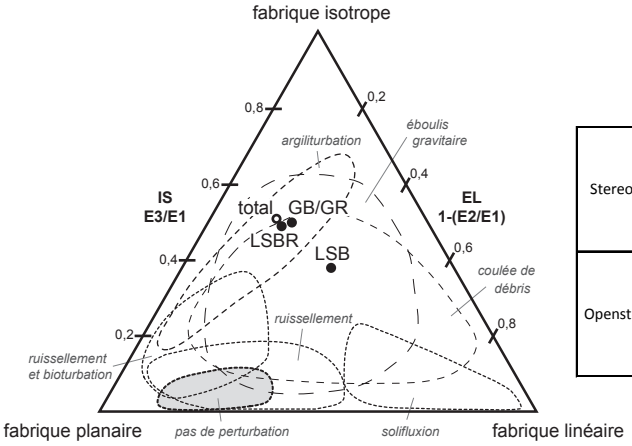

			LSB	GB/GR	LSBR	total
	Effectif	N	29	28	33	90
	Paramètres de Curray	L (%)	11,88	11,54	17,08	10,63
		p	0,664	0,689	0,382	0,754
Stereonet	Valeurs propres normalisées	E1	0,490	0,434	0,433	0,423
		E2	0,326	0,350	0,357	0,362
		E3	0,184	0,216	0,210	0,215
	Indices de Benn	IS	0,38	0,50	0,49	0,51
		EL	0,34	0,19	0,17	0,15
Openstereo	Shape parameter	K	0,36	0,45	0,36	0,30
	Valeurs propres normalisées	E1	0,490	0,434	0,433	0,423
		E2	0,326	0,350	0,357	0,362
		E3	0,184	0,216	0,210	0,215
	Indices de Benn	IS	0,38	0,50	0,48	0,51
		EL	0,33	0,19	0,18	0,14

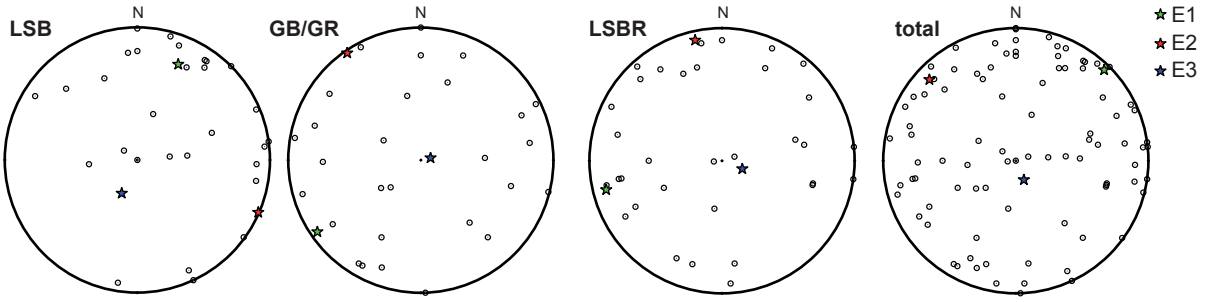

Figure 4.9 – Résultats de l'analyse des fabriques (M. Rué, P. Tallet).
Diagramme de Benn adapté par Bertran et Lenoble 2002.

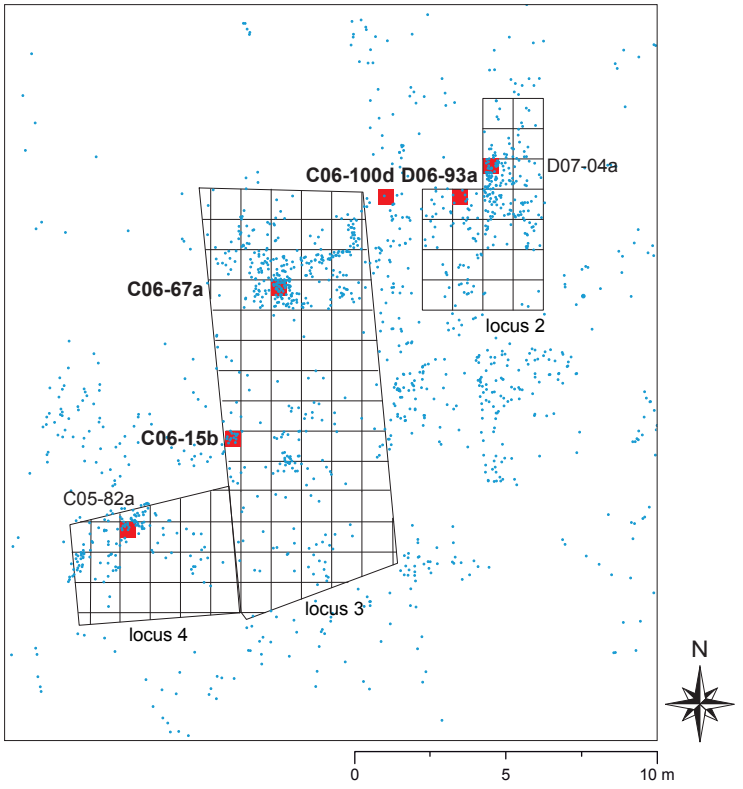

Figure 4.10 – Localisation des sous-carrés échantillonnés pour l'étude granulométrique des silex (M. Rué).
En gras, les sous-carrés d'où provient l'essentiel du mobilier analysé (colonnes granulométriques).
En bleu, les silex côtés.

Sur le terrain, un premier tamisage à l'eau à haute pression au moyen d'un tamis de maille 1,8 mm a été effectué. Il concerne des volumes de 10 à 22 L de sédiment par décapage. En laboratoire, les refus de tamis ont de nouveau été tamisés, à sec, à l'aide d'une colonne de cinq tamis calibrés à 2, 4, 5, 10 et 20 mm. Le tri des fractions naturelles et anthropiques, les comptages et pesage ont été menés par la même personne selon un protocole identique.

Les effectifs par décapage sont dans la plupart des cas supérieurs au seuil statistique (n = 100). Les plus petits effectifs proviennent du faciès SR. Les données sont présentées en annexe 14.

4.3.2. Résultats

Les distributions granulométriques montrent toutes une même tendance dans la répartition numérale des classes granulométriques : les fractions fines sont fortement représentées, avec des taux évoluant entre 50 et 80 % des effectifs pour la fraction 2-4 mm.

Les distributions varient faiblement avec la profondeur, ce qui confirme la relative homogénéité granulométrique verticale de l'assemblage lithique. Globalement, on note un enrichissement progressif en fraction 2-4 mm vers le bas de la séquence.

De même, les proportions restent assez proches d'un faciès à l'autre. Le substrat SR apparaît plus riche en fraction fine, ce qui peut s'expliquer par la descente sélective de petits éléments dans les fentes ou les galeries biologiques. Le faciès GR est le plus pauvre en fraction 2-4 mm, pauvreté très relative puisque cette fraction représente en moyenne plus de la moitié des effectifs de ce faciès.

Sur le diagramme des classes dimensionnelles (Lenoble 2005), les points se concentrent pour la plupart dans la partie inférieure de l'aire des débitages expérimentaux lorsque que l'on prend en compte les fractions supérieures à 2 mm (fig. 4.11 à 4.12), et en dehors de cette aire pour les fractions supérieures à 5 mm (fig. 4.13). Ces résultats indiquent que la série recueillie a donc subi un tri par rapport aux référentiels expérimentaux, tri dont l'origine peut être anthropique et/ou naturelle. Précisons que la composition granulométrique numérale produite lors des expérimentations est constante quelle que soit la technique de débitage ou de façonnage. Les variations qui apparaissent selon le mode de taille, la matière première ou l'expérimentateur sont peu importantes et toujours inférieures à 15 % (Bertran *et al.* 2006, Bertran *et al.* 2012).

Ce résultat doit toutefois être nuancé en raison de la difficulté à isoler les éclats de gel dans les fractions fines des échantillons traités. La cryoclastie qui a affecté le mobilier est sans doute responsable pour partie de la production de petits éléments, dans des proportions qu'il est toujours difficile à estimer précisément. D'après nos observations sous loupe binoculaire, les éclats de taille sont néanmoins largement majoritaires dans les refus de tamis (fig. 4.14).

Au regard des référentiels expérimentaux, la composition granulométrique de l'assemblage lithique du Bois de Sirion, solidement documentée par la prise en compte de nombreux échantillons, penche donc en faveur d'un site ayant subi des transformations avant sa fossilisation, transformations ayant provoqué une surreprésentation des produits de largeur inférieure au centimètre, généralement caractéristique des sites redistribués vers l'aval.

La mauvaise conservation des traits sédimentaires et l'absence de figures de ruissellement ne permettent toutefois pas d'accréditer l'hypothèse d'une redistribution du site. Rappelons que le plan de répartition des fractions supérieures à 2 cm ne montre pas, à l'échelle de l'emprise, de disparité évidente le long de la pente (fig. 4.3). Ce plan mériterait cependant d'être comparé avec celui des densités en éléments inférieurs à 2 cm, ce qui impliquerait de trier au préalable l'ensemble des refus de tamis. Il nous manque également le résultat de tamisages qu'il aurait été judicieux de réaliser ponctuellement plus en amont et en aval des zones de fouille manuelle.

La surreprésentation en petits éléments peut également être induite par le fonctionnement même du site et ne pas être documentée par les expérimentations. Les distributions granulométriques obtenues mériteraient d'être comparées avec celles d'ateliers de taille bien conservés, même si les références disponibles sont encore rares.

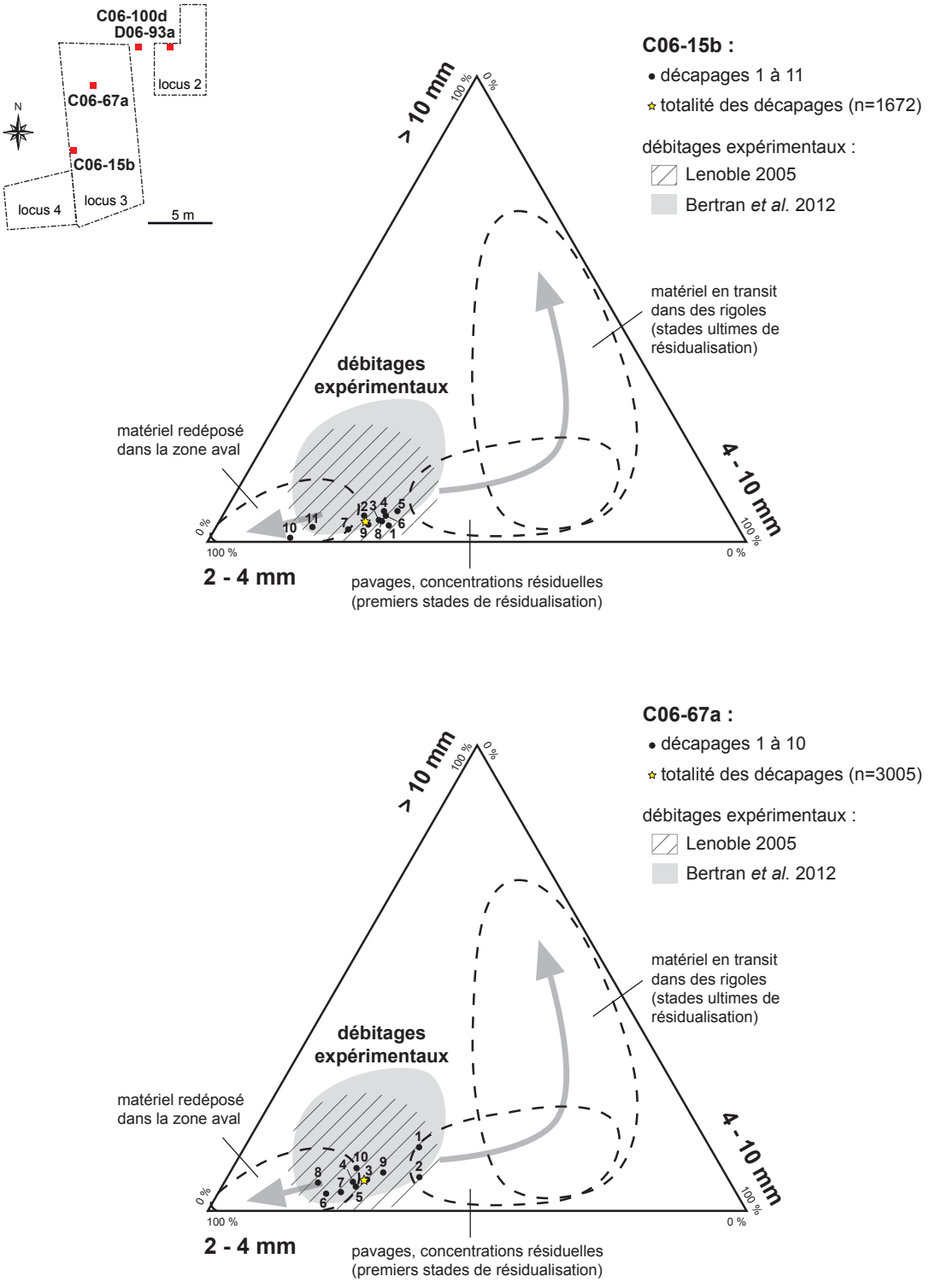

Figure 4.11 – Diagramme des classes dimensionnelles des silex > 2 mm en C06-15b et C06-67a (M. Rué, A. Castets).

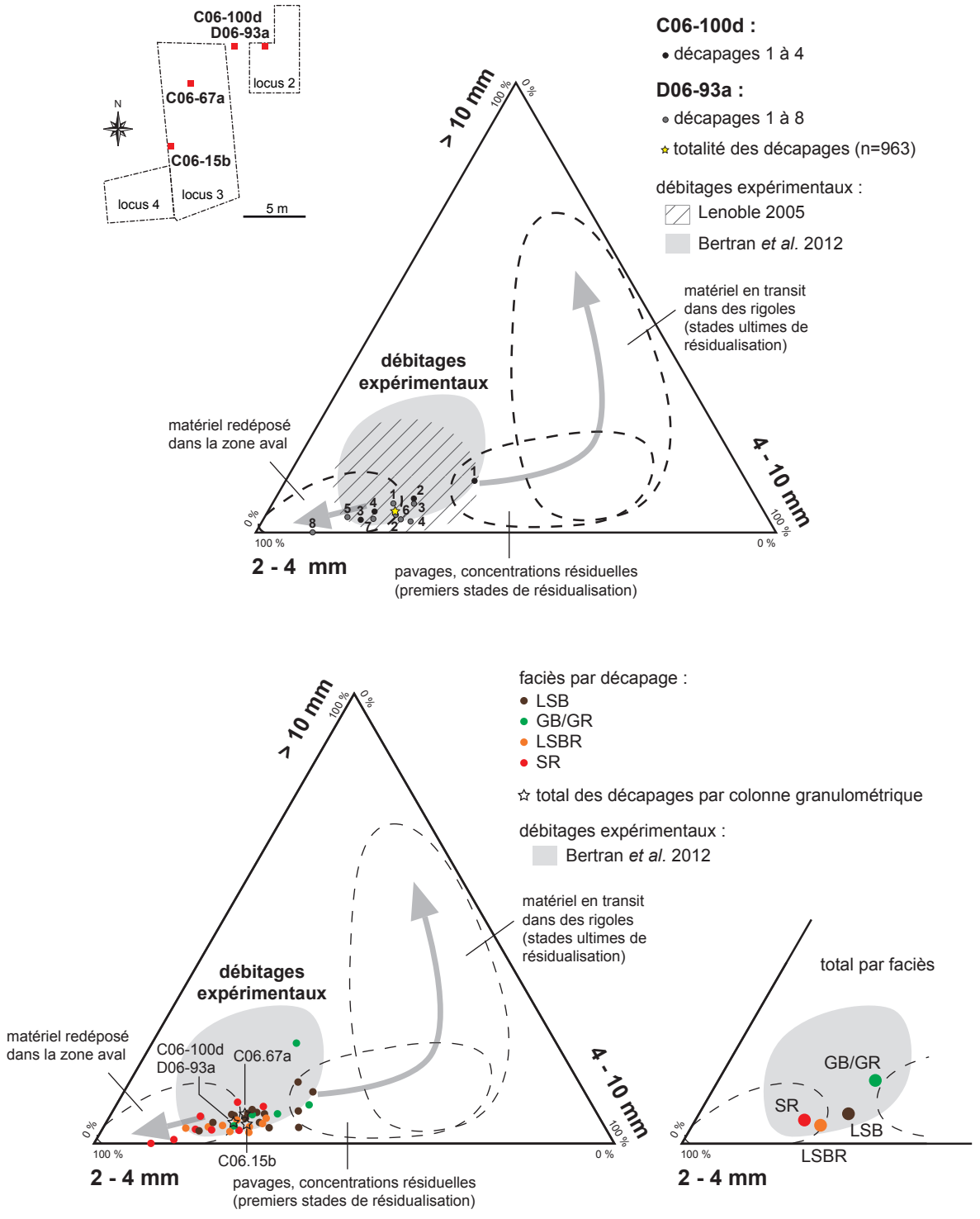

Figure 4.12 – Diagramme des classes dimensionnelles des silex > 2 mm en C06-100d et D6-93a et par faciès pour l'ensemble des points de prélèvements (M. Rué, A. Castets).

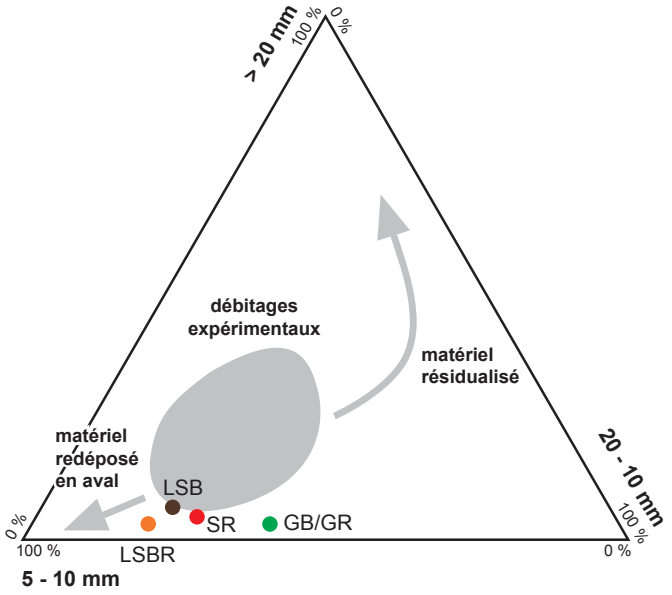

Figure 4.13 – Diagramme des classes dimensionnelles des silex > 5 mm par faciès pour l'ensemble des points de prélèvements (M. Rué, A. Castets). D'après Bertran *et al.* 2012.



Figure 4.14 – Fraction > 2 mm issue du décapage 3 en C6-67a (M. Rué).
Faciès LSB, sans les pièces cotées. Le trait équivaut à 1 cm.

4.4. Etats de surface et homogénéité de la série (B. Huet)

Les principaux marqueurs des états de surface ont été enregistrés lors de l'étude lithique (chap. 6). Un diagnostic tracéologique a également été réalisé sur une sélection de cinq pièces : il s'est avéré négatif (chap. 6.2).

Les phénomènes périglaciaires ont modérément affecté la série du Bois de Sirion. Les gélifracts et cupules thermiques constituent 2,3 % de l'assemblage ; ils proviennent très majoritairement de l'ensemble sédimentaire supérieur (faciès LSB et LSJ) (n = 141 ; 62,4 %), tandis que le faciès SR, à la base de la stratigraphie, en a livré exceptionnellement peu (n = 6 ; 2,6 %) (fig. 4.5).

Les artefacts (hors esquilles) sont quant à eux affectés à 3,5 % par la gélifraction post-dépositionnelle (fractures et cupules, réalisées ou en cours de gélidisjonction) ; c'est également au sein de l'ensemble sédimentaire supérieur qu'on les trouve principalement (55,6 % des artefacts affectés) et leur présence diminue pareillement en descendant en stratigraphie pour ne représenter plus que 4,4 % des artefacts dans le faciès SR. Un exemplaire est présent au sommet du comblement argileux des paléochenalisations.

Les pièces brûlées sont très rares (n = 24 ; 0,2 %) et réparties à travers l'emprise. Elles proviennent pour les deux tiers d'entre elles de l'ensemble sédimentaire supérieur ; aucune n'est à noter au sein du faciès SR.

Les processus mécaniques post-dépositionnels affectent proportionnellement selon la même fréquence les vestiges des différents ensembles sédimentaires identifiés ; ce sont ainsi environ 5 % des pièces dont les bords sont esquillés.

Le mobilier lithique du Bois de Sirion se caractérise en outre par une très grande variabilité des états de surface, témoins de processus chimiques d'altération : tous les états de surface depuis l'absence de patine à la patine profonde, colorée ou polarisée sont représentés (tabl. 5).

Les pièces lithiques récoltées présentent toutefois très majoritairement une patine post-dépositionnelle faible (65 % ; tabl. 5) et ce, quel que soit l'ensemble sédimentaire de provenance. Les altérations chimiques profondes restent rares et ne concernent que de 2 à 4 % des pièces dans chaque niveau stratigraphique.

Nous pouvons noter que c'est au sein de l'ensemble sédimentaire inférieur (faciès SR) que l'altération chimique est la plus faible : 84 % des pièces livrées par cet ensemble sont en effet faiblement patinées. Ces pièces apparaissent en outre comme étant celles témoignant de la plus forte homogénéité du point de vue des états de surface, témoignant probablement du faible degré de perturbation de ce niveau.

A contrario, l'ensemble sédimentaire supérieur (faciès LSB et LSJ) est celui qui livre la plus grande variété d'états de surface, depuis l'absence de patine à des altérations chimiques colorées en passant par des patines plus ou moins profondes, témoignant ainsi d'un degré de perturbation nettement plus important.

Numériquement très faibles (n = 28, soit 0,3 % de l'assemblage lithique), les pièces non patinées proviennent exclusivement de l'ensemble sédimentaire supérieur ; elles se trouvent réparties à travers l'emprise. Il s'agit de vingt-et-un éclats ordinaires, trois esquilles, trois débris et un bloc à fragmentation naturelle. Ces artefacts ne présentent aucune caractéristique technologique ou typologique discriminante d'un point de vue chrono-culturel. Par leur absence de patine, ils sont toutefois possiblement à rattacher à une composante culturelle plus récente, néolithique ou protohistorique, à l'instar des tessons de céramique et scories également présents sur le site. Ces éléments ont donc été écartés de l'étude lithique.

En dehors de ces rares pièces, le reste du mobilier lithique apparaît homogène du point de vue technologique et typologique et peut être rattaché au complexe moustérien dans son ensemble.

De par sa quantité et sa présence au sein des différents faciès identifiés à travers l'emprise, nous pouvons alors nous poser légitimement la question du nombre de niveaux d'occupations. A ce stade de l'étude, les résultats stratigraphiques et taphonomiques ne permettent pas d'en distinguer plusieurs. Aussi, après une observation préalable de l'industrie par faciès et en l'absence de différences technologiques ou typologiques notables, nous avons fait le choix d'étudier ce mobilier comme un ensemble, tout en ayant bien à l'esprit la forte probabilité d'être face à un palimpseste d'occupations, mais relevant apparemment d'un même groupe chrono-culturel.

		Ensemble 1	Ensemble 2	Ensemble 3	Ensemble 4	UPS indéterminée	Total
Type de patine	Aucune	4 %	–	–	–	6 %	2 %
	Faible	53 %	79 %	68 %	84 %	54 %	65 %
	Moyenne	39 %	17 %	30 %	16 %	37 %	30 %
	Profonde	4 %	4 %	2 %	–	3 %	3 %
	Colorée	0,4 %	0,2 %	0,3 %	–	1,3 %	0,9 %
	Polarisée	2,9 %	1,3 %	1,8 %	1,7 %	9 %	6,2 %

Tabl. 5 – Le « Bois de Sirion », Auvers-le-Hamon (72). Pourcentage des artefacts affectés par des processus d'altération chimique : type de patine par ensemble sédimentaire.

4.5. Conclusion (M. Rué)

Dans la plupart des sites paléolithiques de plein air peu profondément enfouis, les vestiges ont subi une histoire post-dépositionnelle complexe jusqu'à leur mise au jour. Le site du Bois de Sirion n'échappe pas à cette règle. Même si la lecture stratigraphique exposée dans le chapitre 2 et les différents résultats obtenus ici ne permettent pas de démêler précisément cette histoire, les outils utilisés montrent néanmoins tous que l'assemblage lithique exhumé fin 2012 n'est spatialement plus représentatif de l'état initial du site, confirmant ainsi l'absence de structuration évidente de l'espace perçue dès la phase de terrain.

Concernant le degré de conservation du site, il reste à savoir si ces résultats sont toujours compatibles avec l'hypothèse d'un site en position secondaire avancée dans le chapitre 2 et basée, en partie, sur la richesse archéologique des nappes de graviers et galets (faciès G) interprétées comme un niveau d'érosion. Seule l'analyse des fabriques suggère une formation du site par écoulement rapide (coulée de débris), mais le nombre de mesures sur laquelle elle se base est faible et, surtout, la cryoturbation et la bioturbation qui ont affecté postérieurement les dépôts, et donc modifié la disposition des vestiges, jettent un doute sur les résultats obtenus.

Les autres conclusions ne permettent malheureusement pas de trancher : l'homogénéité et la dilatation spatiale, le faible taux de remontage, la relative bonne intégrité des fractions granulométriques et les états de surface relativement bien conservés sont compatibles avec l'hypothèse d'un site déplacé en masse, puis affecté postérieurement par une longue phase d'altération sur place, mais elles ne sont pas suffisantes puisque d'autres processus peuvent également expliquer cette configuration.

Dans l'hypothèse opposée d'une ou de plusieurs occupations *in situ*, qui se serai(en)t donc déroulée(s) après les apports de graviers et galets, nous devons expliquer comment le mobilier aurait, après l'abandon du site, envahi ces épandages grossiers de manière homogène, sans modification significative du signal granulométrique ni impact sur les états de surface. A notre connaissance, seule la résidualisation (ou l'effet de pavage) peut produire cet agencement, par évacuation progressive de la fraction limono-sableuse d'un dépôt initialement plus épais. La résidualisation est un processus relativement lent qui tend à concentrer les éléments grossiers sur place en les exposant aux agents altérologiques de surface (ruissellement, déflation, bioturbation, thermoclastie, etc.). Cette hypothèse est selon nous incompatible avec la composition granulométrique et les états de surface des objets recueillis dans les unités graveleuses.

De fait, à ce stade de l'étude, et dans l'état actuel de nos connaissances, nous aurions tendance à plaider en faveur d'un site déplacé en masse au moment de la formation des nappes du faciès G, postérieurement recouvert par les colluvions sableuses puis affecté par les processus cryogéniques (qui affectent préférentiellement la partie supérieure de l'horizon archéologique). Dans les deux hypothèses, ce sont les faciès des ensembles sédimentaires 2 et 3 (GB/GBR et LSR/LSBR) qui livrent les informations archéologiques les plus proches du site initial.

5. Etude pétroarchéologique des silex d'Auvers-le-Hamon

Paul Fernandes, Pascal Tallet

Résumé

L'étude pétroarchéologique d'une partie des objets en silex (10%) d'Auvers-le-Hamon a permis d'appréhender certaines modalités d'acquisition et d'esquisser les limites du domaine minéral exploité. Dans la première partie de ce rapport nous exposons nos choix méthodologiques, adaptés aux différents types d'altérations observés. Le chapitre suivant est un inventaire des ressources en silex ; il contient une carte des formations à silex associée à des notices descriptives. Enfin, dans une troisième partie nous présentons la diagnose des différents types de silex présents dans la série étudiée. Ce travail à conduit aux résultats suivants : (i) les indices lithologiques et l'aspect des états de surface regroupés au cours de cette étude livrent un schéma territorial basé presque exclusivement sur des collectes locales (les altérites bajociennes à proximité du site). L'effectif comprend également une petite quantité d'objets (7) très différents, dont l'origine assurément plus lointaine n'a pas été encore déterminée - (ii) le travail de cartographie a révélé la position stratégique du site à la limite entre le domaine paléozoïque (le Massif armoricain à l'ouest) où les silex sont quasi absents et les formations superficielles issues des ensembles sédimentaires mésozoïques et cénozoïques (le Bassin parisien à l'est) pourvues de nombreux silex. Ces conditions de gisement devraient s'avérer particulièrement favorables à l'étude de la mobilité des populations au Paléolithique moyen dans cette région, notamment lorsque l'on pourra déterminer avec précision l'origine des rares témoins allochtones.

Introduction

Au cours des dernières décennies, la connaissance du grand bassin versant de La Maine a nettement progressée tant par le lever des cartes géologiques du BRGM que par des travaux plus spécifiques concernant les formations à silex. Dans le cadre de ce rapport, nous avons consulté les cartes, les notices et les documents qui se rapportent à une vaste zone à l'ouest du Mans (cf bibliographie). L'étude systématique des matières premières démarre vraiment en 2006 avec le travail sur le site d'acquisition du Camp de César à Vion (Georges et Kerdivel, 2006), puis sur le site de la Cocurie (Bakkal-Lagarde, 2008). A partir de 2010, il faut mentionner le PCR «Évolution des stratégies d'occupation et d'exploitation par les chasseurs-collecteurs dans le bassin versant de la Maine» sous la direction de Yoann Chantreau, Nicolas Naudinot, Jérémie Jacquier, Sylvène Michet, Briagell Huet et collaborateurs. Ce programme s'est attaché à fédérer les acteurs concernés par la provenance des matériaux siliceux. L'ensemble de ces travaux et notamment les prospections intensives faites le long de la Vègre ont permis de distinguer cinq types de silex bajociens à l'échelle macroscopique : le silex de Vion, d'Avoise, de Poillé, de Précigné et de Fontenay.

Malheureusement le temps imparti à cette mission ne nous a pas permis de vérifier à l'échelle microscopique la valeur de ce classement ni par des prospections sur le terrain ni en consultant la lithothèque «PETRA» développée depuis 2009 au sein de l'UMR 6566, coordination : Querré, Leroyer et Bernard. Cette collection associée à une base de données informatisée intègre les aspects géologiques, géochimiques, pétrophysiques, photographiques et cartographique ; elle devrait couvrir, à terme, la totalité du Massif armoricain, l'ouest du Bassin parisien, le seuil du Poitou et le Nord du Bassin aquitain. Les descriptions d'on nous disposons sont donc insuffisantes et ne permettent pas de présenter des résultats complets. Ils se situent tout de même dans la continuité des travaux récents avec la conception d'une carte géoréférencée des formations à silex dans les bassins du Loir, de la Sarthe aval et de la Mayenne.

D'après les documents examinés, le travail déjà réalisé n'est pas encore finalisé. Nous sommes encore loin d'un inventaire qui comprendrait les diagnoses mésoscopiques et micrsocopiques des types marqueurs nécessaires à toute démarche interrégionale. À la suite de ce constat, nous avons décidé de compléter cette masse d'informations par l'étude des microfaciès et des états de surfaces, des types présents dans la série étudiée. La classification étant le plus souvent déjà arrêtée, nous avons utilisé les mêmes appellations en ajoutant quand cela fut nécessaire des sous types.

5.1. Le choix méthodologique

Depuis plusieurs années, l'un d'entre nous (PF) mène un travail méthodologique pour aboutir à la mise en place d'un protocole adapté à une meilleure reconnaissance de la provenance des silex. Ce protocole est fondé sur l'analyse comparative des transformations minéralogiques, pétrographiques et micromorphologiques rencontrées dans les matériaux bruts (échantillons géologiques) et dans les objets archéologiques. L'analyse, classique, qui privilégie les bioclastes est corroborée par une démarche semi quantitative et dynamique, qui intègre la totalité des critères discriminants (la biostratigraphie, la pétrographie, la morphométrie, la granulométrie, la minéralogie, la mesure de la microporosité et l'examen des surfaces). La prise en compte des transformations minérales, texturales et des associations de stigmates en surface participe à la reconnaissance des domaines minéraux exploités.

Au regard de l'intensité de l'altération de la majorité des échantillons géologiques étudiés, nous avons introduit le concept de chaîne évolutive du silex qui élargit à la préhistoire les raisonnements sur le rapport entre silex et environnements. Dans le cadre d'une recherche de provenance, la seule notion de gîte primaire - le type génétique - n'est qu'incomplètement pertinente. Une vision globale de la chaîne évolutive permet une meilleure appréciation des lieux de collecte et des processus à l'origine de la mise en place de l'unité archéologique. Les mécanismes liés à la genèse déterminent les types génétiques. Les transformations prédépositionnelles spécifient les types gîtologiques et les altérations post-dépositionnelles participent à l'étude taphonomique du site. Il existe plusieurs types gîtologiques par type génétique, donc autant de lieux de collecte potentiels. Ces types, une fois abandonnés dans le site, subissent différents processus qui oblitèrent en partie ou complètement leurs aspects acquis précédemment (Fernandes 2012).

La description pétrographique des silex est, dans le meilleur des cas, basée sur une observation à la binoculaire à divers grossissements sous une pellicule d'eau. La présence de bioclastes aisément reconnaissable est l'indice discriminant le plus utilisé. Malheureusement, la pauvreté récurrente en éléments organiques liée aux caractères de la plupart des échantillons (type de sédiment, diagenèses, altération post-génétique) empêche toute biozonation fine. Il est très difficile de déterminer des organismes au-delà du genre. Sans recours aux lames minces, la diagnose permet juste de distinguer cinq grands types de paléoenvironnements : épinéritique, néritique, continental, lacustre et hydrothermal. Ce manque d'informations nous a obligés à renforcer nos protocoles d'observation, en intégrant le fait qu'on ne peut pas faire de lame mince sur tous les objets lithiques. Une analyse plus précise des surfaces brutes, à toutes les échelles, devient indispensable.

Les démarches classiques utilisent une terminologie inspirée à la fois de Folk (1959), Duhnam (1962) et Embry et Kolvan (1971), avec cependant quelques aménagements. Purement analytique, cette classification distingue les principaux constituants : terrigènes, orthochimiques et allochimiques. Par définition, les roches siliceuses contiennent au maximum 50 % de constituants terrigènes non siliceux. Leur description sera fonction de la nature et de la cristallinité des constituants orthochimiques (la matrice), ainsi que de la nature et de la disposition des allochems (éléments figurés). Pour combler les incertitudes laissées par les diagnoses fondées sur les bioclastes nous avons fait le choix de pousser plus avant l'analyse de la texture. La technique mise en œuvre repose sur une série de mesures des clastes. Nous avons utilisé les chartes visuelles pour l'estimation du rapport entre éléments figurés et matrice, pour le type de classement, pour la sphéricité et l'arrondi. La sphéricité est définie comme le rapport des images (projection en plan) de la longueur/largeur. L'arrondi est chiffré de 0 à 1 par l'aspect des angles (rapport du rayon moyen des angles sur le rayon du plus grand cercle inscrit). Cette étude d'un nombre de paramètres discriminants et invariants raisonnable - la nature, l'abondance, le classement, l'orientation, la taille et la forme des éléments figurés (endoclastes, exoclastes, bioclastes) - livre des signatures quantitatives et qualitatives suffisant à notre démarche.

L'analyse micromorphologique des surfaces naturelles, guidée surtout par les travaux de Le Ribault (1975), permet de reconstituer l'histoire géologique du silex avant sa collecte par l'homme préhistorique. Nous avons recensé, sur les surfaces naturelles des silex, une série de critères à l'échelle microscopique permettant de rapprocher une association d'altérations ou une transformation de la texture à un type de formation superficielle. Ce sont ces mêmes critères mais à l'échelle macroscopique qui ont été utilisé pour distinguer les types locaux (Georges et Kerdivel, 2006). Ce type de protocole est parfaitement adapté aux types de silex évolués présents dans la série observée.

5.2. Le cadre géologique et les ressources en silex

Le principe de précaution nous oblige à étendre le cadre de notre étude aux trois bassins suivants : de la Mayenne, de la Sarthe aval et du Loir. Ce secteur livre une image satisfaisante de la variabilité des formations à silex disponibles dans l'environnement local et régional du site (Fig. 5.1). Dans un premier temps, nous décrirons les formations à silex de la zone régionale pour terminer par le potentiel de la zone locale. La dénomination, la localisation et les caractéristiques des silex présents en position primaire, sub-primaire et secondaire sont décrits ci-dessous.

5.2.1. Liste des ressources régionales (10-50 km)

Les calcaires et craies turoniennes (Crétacé supérieur) sont présents sur les cartes Le Mans 358, La Flèche 392, Ecommoy 393.
- Turonien inférieur C3a : tuffeau blanc (craie sparitisée et indurée), contenant plusieurs niveaux de silex en rognons. Macrofaune peu abondante : ophiurides, échinides, bryozoaires. Dépôts marins peu profonds, avec apports détritiques importants.
- Turonien moyen C3b : tuffeau jaune (craie sparitisée et indurée), à inclusions et lits de silex bruns abondants. Macrofaune peu abondante : échinides, bryozoaires, annélides, microfaune abondante : gavelinelles, agglutinants, quelques hedbergelles.
- Turonien supérieur et Sénonien C3c-6 : sables indurés à silex et spongiaires. Macrofaune parfois abondante : bryozoaires, échinides, ophiures et nombreux spicules d'éponges. Microfaune : radiolaires, ostracodes, rares foraminifères (lenticulines, gavelinelles). Plus loin vers le sud-est ou l'est, hors-cadre de la carte.

Les altérites sénoniennes (Paléocène probable) sont présentes sur les cartes Le Mans 358, La Flèche 392, Ecommoy 393. Argiles sableuses contenant de nombreux silex. Les argiles sont riches en quartz, mica et spicules siliceux blancs, donnant un faciès proche de la gaize. Ces formations parfois colluvionnaires (CCs) sont présentes sur de vastes étendues.

Les meulières éocènes (Bartonien probable). Cartes géologiques La Flèche 392 et Ecommoy 393 : Re6a ou e6-7. Formations résiduelles renfermant des fragments de calcaires lacustres et des meulières. L'âge de la formation est suggéré par les quelques empreintes végétales (*Microdium*), gastéropodes et characées.

Les formations résiduelles éocènes (e3-5) surmontant les altérites turoniennes : silex peu nombreux, trop petits et fragmentés pour être aisément exploitables.

5.2.2. Liste des ressources locales (< 10 km) :

Les calcaires viséens (Carbonifère, Mississipien). Cartes géologiques Loué 357 et La Flèche 392 : h1b-h2b. Formation du Calcaire de Sablé : calcaires massifs, durs, bleu clair à foncé, rubanés (à filons de calcite blanche ou rosée). Des cherts ou silex envahissent le sommet de la formation, en lits ou en rognons, notamment dans la vallée de l'Erve (Chailleux) et de l'Arche. Faune abondante : brachiopodes, trilobites, bivalves, gastéropodes, bryozoaires, ostracodes, crinoïdes, polypiers, foraminifères.

Les calcaires bajociens (Jurassique moyen). Cartes géologiques Loué 357 et La Flèche 392 : J1. Calcarénites dures, grises, en bancs décimétriques, au sud, passant à des calcaires oolithiques au nord. La formation contient des lits marneux et des gros cordons de silex noirs ou gris. Faune peu abondante et mal conservée.

Les altérites bajociennes (RJ1). Altérites des calcaires bajociens : formation de recouvrement argilo-sableuse rougeâtre, surmontant le plateau jurassique, contenant de nombreux silex bajociens.

5.3. Diagnose des types de silex présents dans la série étudiée

Nous présentons maintenant le catalogue ouvert des silex observés à Auvers-le-Hamon en 2014. Ce classement est basé sur l'observation de 18 paramètres à échelle mésoscopique observés sur 456 pièces issues d'un premier tri macroscopique. Nous avons utilisé une loupe binoculaire Leica M165c à des grossissements variables allant de 40 à 200x. Aucune lame mince n'a été réalisée à partir des pièces archéologiques. Nous avons donc constitué des fiches de caractérisation encore partielles pour chacun d'entre eux. Le caractère des états de surface, les paramètres pétrographiques, micropaléontologiques et parfois minéralogiques ont été regroupés dans un tableau (Tabl. 6). Ce tableau synthétique distingue à la fois des groupes (association d'objets possédant au moins un trait commun aisément rapportable à un domaine géologique), des types (échantillons qui fait autorité comme modèle pétrographique construit sur un ensemble de caractères lithologiques similaires)

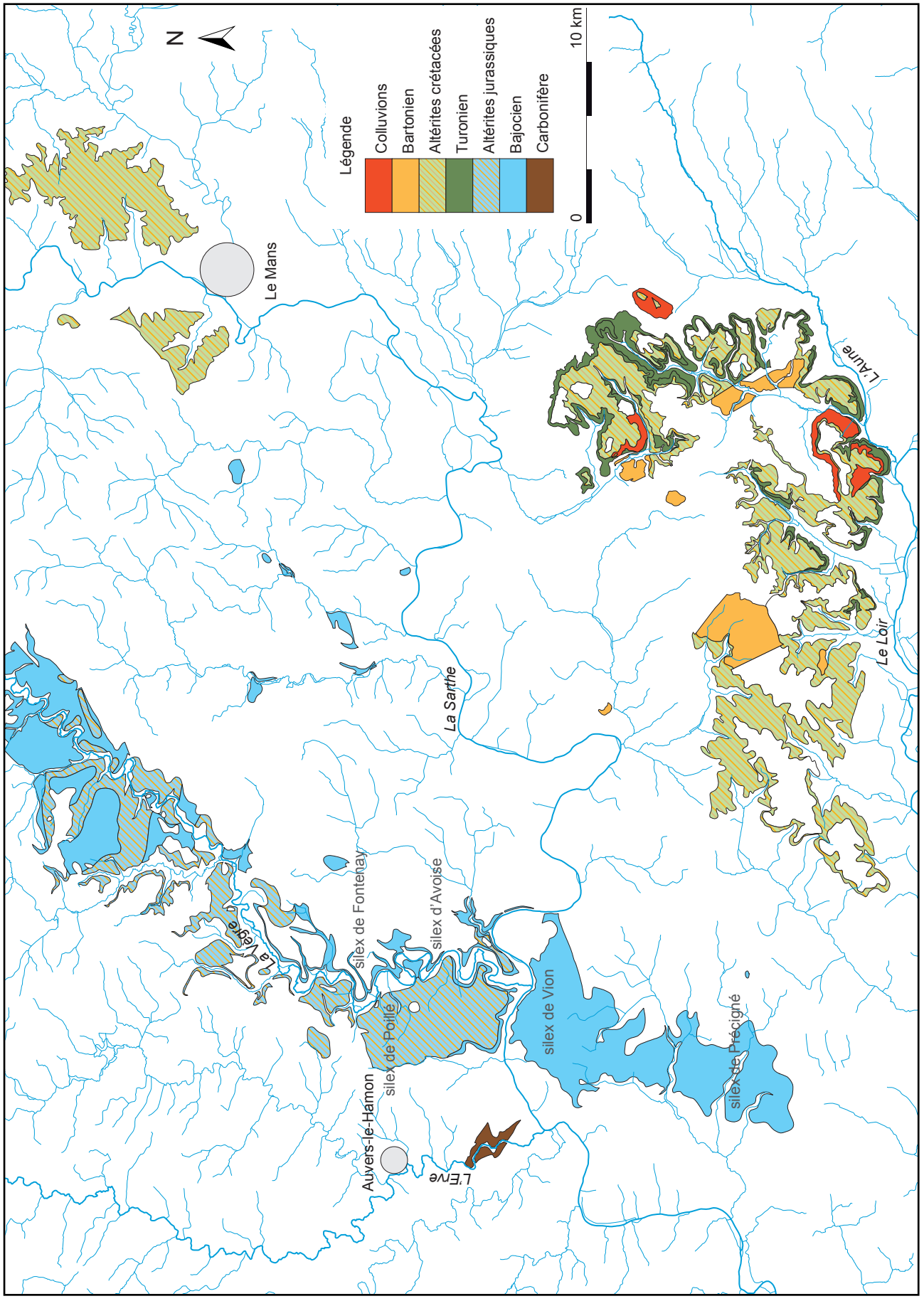

Figure 5.1 – Auvers-le-Hamon. Carte des formations à silex des bassins de la Mayenne, de la Sarthe aval et du Loir (d'après E. Georges, A. Lenorman 2012, modifiée P. Fernandes, P. Tallet).

groupes	silex des altérites bajociennes					origine indéterminée à spicules	origine indéterminée à grands débris de bryozoaire
types	type F602	type F601	type F601b	type F604	type F603	type F606	type F607
confère gîte	proche du faciès mésocristallin d'Avoise	proche des faciés microcristallins d'Avoise et Poillé	proche du faciès de Vion	faviès évolué origine indéterminée	faviès évolué origine indéterminée	origine indéterminée	origine indéterminée
nature	silex marin	silex marin	silex marin	silex marin	silex marin	silex marin	silex marin
type d'encaissant	non observé	non observé	non observé	non observé	non observé	non observé	non observé
habitus	rognon-banc	rognon-banc	rognon	non observé	non observé	non observé	non observé
néo-cortex	altérites-alluvions	altérites-alluvions-proximité croûte ferrugineuse	altérites-alluvions	alluvions	absent	colluvions-alluvions	alluvial
couleur d'origine	noire	noire	noire	indéterminée	indéterminée	grise	indéterminée
couleur acquise	grise à brun rouge opaque	grise à brune opaque	grise à brun rouge-vert	beige à brune	beige à brune	beige à brune	beige à brune
porosité	forte intrabioclastique -boxworks	moyenne intrabioclastique -boxworks	faible intrabioclastique	géodique	absente	absente	absente
structure apparente	bioclastique -zonée	bioclastique	zonée	homogène à zonée	homogène	homogène	homogène
texture d'origine	packstone	packstone	packstone	indéterminée	indéterminée	wackestone	wackestone
texture acquise	absente	wackestone	mudstone	wackestone	mudstone	mudstone	absente
matrice	mésocristalline	microcristalline	microcristalline	mésocristalline	microcristalline	microcristalline	microcristalline
minéralogie authigène majeure	calcédoine	calcédoine	calcédoine	calcédoine collomorphe	calcédoine	calcédoine	calcédoine
minéralogie secondaire	quartz-rhomboèdres abondants	quartz-rhomboèdres rares	macroquartz rares	macroquartz fréquents	non observée	quartz 1% à 5%	quartz 1% à 5%
phases détritiques	quartz-opaque noir 5%	quartz-opaque noir 5%	quartz-opaque noir 5%	non observé	opaque noir 2%	non observé	non observé
pellets	absents	absents	absents	absents	absents	rares 10µm	rares 10µm
oolithes	absentes	absentes	absentes	absentes	absentes	absentes	absentes
éléments figurés abondance	30 à 50%	30 à 40 %	2 à 40%	40%	5%	20%	10%
clastes classement	faible	bon	faible	bon	très bon	bon	bon
clastes taille moyenne	200 à > 1mm	200 à 600µm	200 à > 1mm	200 à 400 µm	200µm	200 à 600µm	600 µm à > 1 mm
clastes forme sphéricité arrondi	sph 0,3.0,5.0,7-arr 0,1.0,3	sph 0,7.0,9-arr 0,1.0,3	sph 0,3.0,5.0,7-arr 0,1.0,3	sph 0,7.0,9-arr 0,1.0,3	sph 0,7.0,9-arr 0,1.0,3	formes lamellaire	formes lamellaire
débris de végétaux	non observés	non observés	non observés	non observés	non observés	débris ligneux?	non observés
macrofaune	bivalves, entroques, échinides, ostracodes débris abondants	bivalves et échinides débris abondants	bivalves et échinides débris abondants	bivalves et échinides débris abondants	bivalves débris rares	débris tests très rares	non observés
Nannofaune	non observée	non observée	non observée	non observée	non observée	probable	non observée
spongiaires	fréquents	fréquents	fréquents	rares	rares	fréquents	non observées
Bryozoaires	rares	rares à fréquents	rares	non observés	rares	non observés	fréquents
foraminifères	petits benthiques dominants	petits benthiques dominants	petits benthiques dominants	non observés	petits benthiques dominants	moyen et petits benthiques	non observés
divers	incertae sedis	incertae sedis	incertae sedis	non observés	non observés	debris organiques noirs	non observés
composants	composants détritiques et biologiques	composants biologiques majoritaires	composants biologiques majoritairse	composants biologiques majoritaires	composants biologiques majoritaires	composants biologiques majoritaires	composants biologiques majoritaires
âge	Bajocien	Bajocien	Bajocien	Bajocien ?	Bajocien ?	Crétéacé?	Crétacé?
silex observés en 2014 : 456 dont 1 indéterminé provenant du lot n°350	313 ojets	130 objets	2 objets	2 objets	1 objet	6 objets	1 objet

Tabl. 6 – Auvers-le-Hamon. Tableau synthétique des types présents dans la série étudiée.

et des faciès (détails qui renseignent sur l'histoire sédimentaire, minéralogique et taphonomique du silex lorsqu'une lettre en minuscule est ajoutée à la suite de l'identifiant). Afin d'alléger la présentation nous n'avons pas introduit dans ce paragraphe la description détaillée des types ; nous invitons le lecteur à se rapporter au tableau (Tabl. 6).

Cet examen a permis de sérier sept microfaciès. En outre nous avons isolé un microfaciès non définitif, classé dans les indéterminés. Les types fixés sont regroupés en trois groupes représentant chacun un paléoenvironnement différent. Ce résultat révèle un comportement face aux ressources minérales plus complexe que ne laissait entrevoir l'examen macroscopique.

Le groupe des silex bajociens :

Cette catégorie regroupe des types et des faciès définis principalement sur la base de leurs convergences chromatique, texturale et minéralogique. Il s'agit de silex noirs évoluant vers le gris puis le blanc, le brun ou le rouge à texture packstone. Leur contenu micropaléontologique est quasi similaire.

- Le type F602 (Fig. 5.2) : la série étudiée contient 313 objets rattachables à ce type de microfaciès. Ce type à déjà été décrit dans le rapport d'activité du PCR Maine (Chantreau *et al.* 2010) et par Georges et Lenormand (2012). Il est comparable aux silex à matrice mésocristalline dits d'Avoise/vallée de la Vègre. Il est le matériau numériquement le plus important. Leurs néo-cortex indiquent un mode de collecte bipolaire à la fois dans les altérites et le réseau hydrographique qui réceptionne les silex issus de ces dernières.

- Le type F601 (Fig. 5.3) : la série contient 130 objets de ce type. Il a été décrit dans le rapport d'activité du PCR Maine (Chantreau *et al.* 2010) et par Georges et Lenormand (2012). C'est le deuxième type de microfaciès dans la série. Il est comparable aux silex à matrice microcristalline dits d'Avoise/Poillé présents le long de la vallée de la Vègre. L'aspect des néo-cortex révèle un mode de collecte multiple le long d'un itinéraire entre altérites et formations alluviales. Dans ce cas bien précis l'analyse des microfaciès n'a pas permis de discriminer les silex d'Avoise de ceux de Poillé.

- Le type F601b (Fig. 5.4) : la série étudiée contient 2 objets de ce type. Il a déjà été décrit dans le rapport d'activité du PCR Maine en 2010 et par Georges et Lenormand (2012). Il présente de grandes similitudes au niveau du degré d'altération avec les silex dits de Vion. Leurs néo-cortex indiquent un mode de collecte bipolaire à la fois dans les altérites et le réseau hydrographique qui réceptionne les silex issus de ces dernières.

- Le type F604 (Fig. 5.5) : la série étudiée contient 2 objets de ce type. Nous n'avons pas trouvé de documents qui décrivent précisément ce type de microfaciès. Il présente tout de même des aspects pétrographiques qui permettent de le ranger avec les silex issus des formations bajociennes. Leurs néo-cortex indiquent un mode de collecte plutôt circonscrit au réseau hydrographique en aval des altérites.

- Le type F603 (Fig. 5.6) : la série étudiée ne contient qu'un seul objet de ce type. Nous n'avons pas trouvé de documents qui décrivent précisément ce type de microfaciès. Il présente tout de même des aspects pétrographiques qui permettent de le ranger avec les silex issus des formations bajociennes. L'absence de néo-cortex n'a pas permis de déterminer le type de formation dans laquelle les blocs dont sont issues ces pièces ont été collectés.

Ces matériaux locaux sont complétés par deux types de silex faiblement représenté pour lesquels nous n'avons pas déterminé la source. Cette catégorie regroupe des types définis principalement sur la base de leur aspects chromatiques, texturaux et minéralogiques. Il s'agit de formes évoluées beiges à brunes à texture wackestone contenant des bioclastes d'origine principalement benthique. Les débris organiques présents n'ont pas permis de confirmer l'étage stratigraphique.

- Le type F606 (Fig. 5.7) : la série contient 6 objets de ce type. Ce microfaciès n'est décrit dans aucun des documents consulté. Il présente des similitudes avec les silex crétacés à spicules et radiolaires du Bassin parisien. Leurs néo-cortex indiquent une collecte dans les colluvions et les alluvions.

- Le type F607 (Fig. 5.8) : la série ne contient qu'un seul objet de ce type. Ce microfaciès n'est décrit dans aucun des documents consulté. Il présente des similitudes avec les silex crétacés à bryozoaires du Bassin parisien. Le néo-cortex indique un mode de collecte plutôt circonscrit à un réseau hydrographique.



Photo 1 – Échantillon archéologique n°1821, néocortex de type alluvial.



Photo 2 – Échantillon archéologique n°1821, texture *wackestone* à spicules et entroques (fortement ferruginisées.



Photo 3 – Échantillon archéologique n°1821, texture *packstone* à spicules et foraminifère benthique. L'ensemble des clastes est ferruginisée.

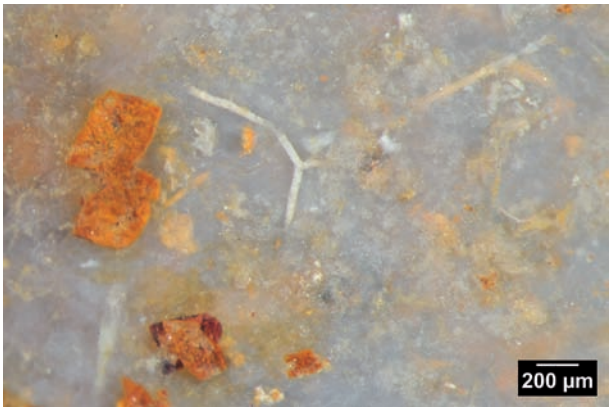

Photo 4 – Échantillon archéologique n°1821, spicules et boxworks rhomboédriques ferruginisés.

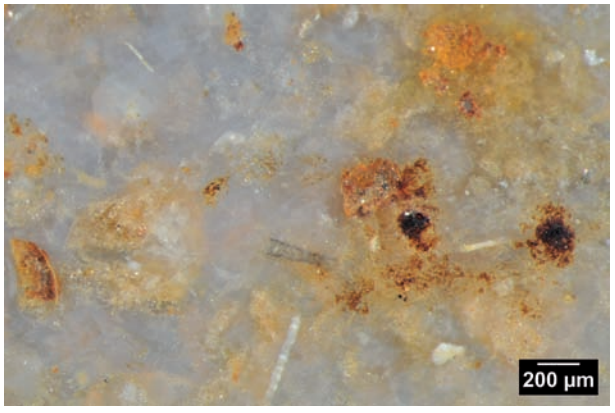

Photo 5 – Échantillon archéologique n°1821, présence d'un *incertae sedis*.



Photo 6 – Échantillon archéologique n°1821, présence de filaments et de foraminifères.

Figure 5.2 – Auvers-le-Hamon. Type 602, silex des altérites bajociennes (photos P. Fernandes, DAO P. Tallet).

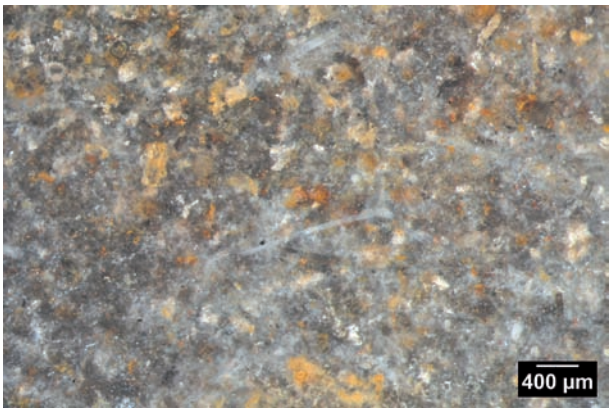

Photo 1 – Échantillon archéologique n°3628, texture *wackestone* à clastes ferruginisés et spicules.



Photo 2 – Échantillon archéologique n°3739, présence d'incertae sedis et foraminifères indéterminés.

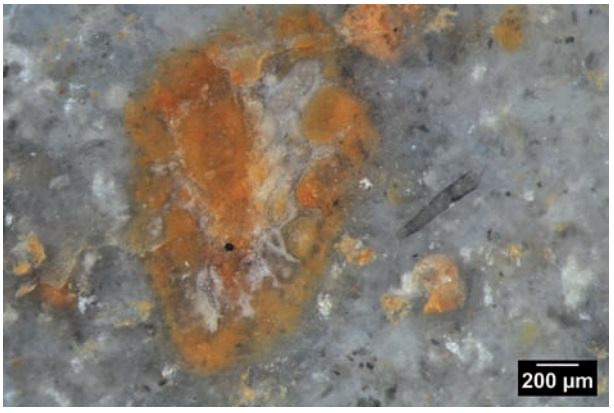

Photo 3 – Échantillon archéologique n°3739, fragment de bryozoaire et *incertae sedis*.

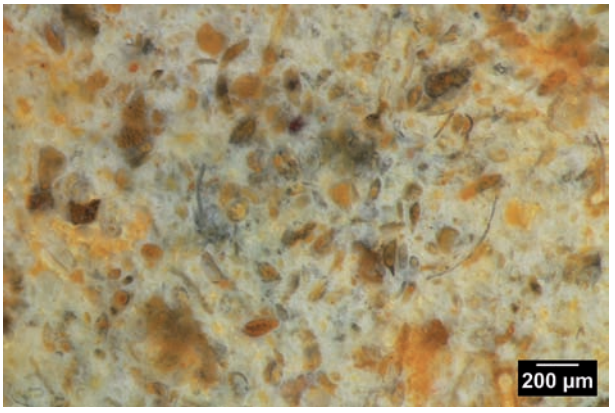

Photo 4 – Échantillon archéologique n° 1936, zone sous-corticale riche en foraminifères, bryozoaires et tests indéterminés.



Photo 5 – Échantillon archéologique n° 1936, zone sous-corticale riche en foraminifères.

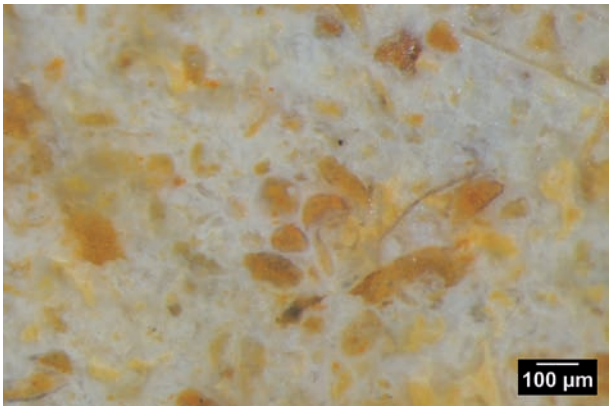

Photo 6 – Échantillon archéologique n° 1936, zone sous-corticale riche en foraminifères planctoniques.

Figure 5.3 – Auvers-le-Hamon. Type 601, silex des altérites bajociennes (photos P. Fernandes, DAO P. Tallet).

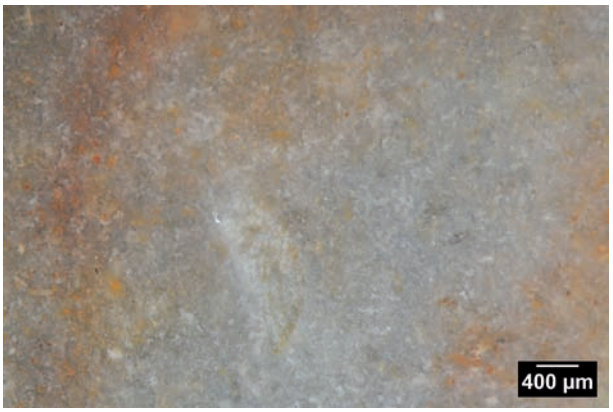

Photo 1 – Échantillon archéologique n° 2667, vue générale, texture *mudstone* à débris indéterminé.

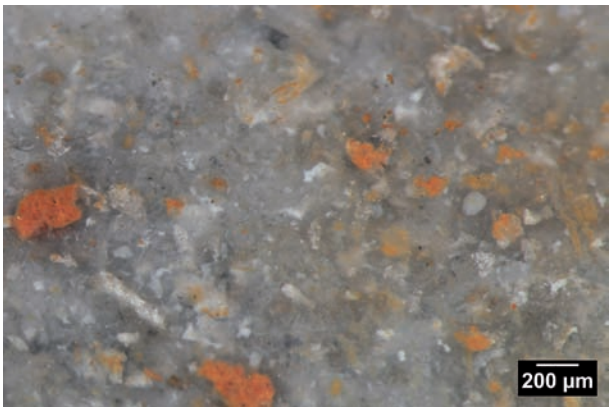

Photo 2 – Échantillon archéologique n° 1100, texture *wackestone* à clastes indéterminés.

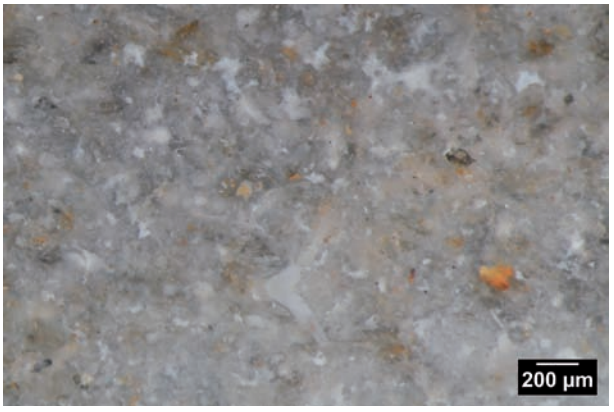

Photo 3 – Échantillon archéologique n° 1100, texture *wackestone* à spicules et débris noirs.



Photo 4 – Échantillon archéologique n° 1100, fragment de bivalve.



Photo 5 – Échantillon archéologique n° 1100, zone sous-corticale à *incertae sedis*.

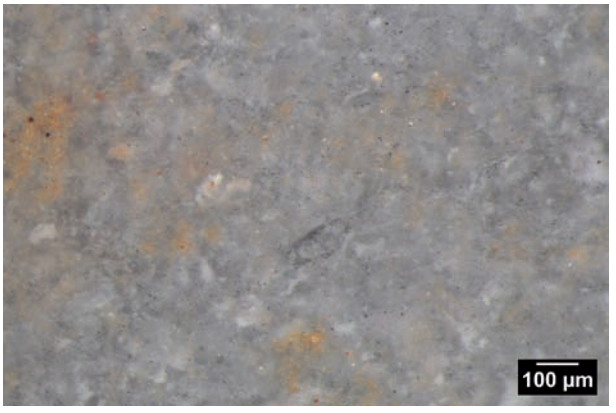

Photo 6 – Échantillon archéologique n° 2667, zone interne à *incertae sedis*.

Figure 5.4 – Auvers-le-Hamon. Type 601b, silex des altérites bajociennes (photos P. Fernandes, DAO P. Tallet).



Photo 1 – Échantillon archéologique n° 1918, surface alluviale à calcédoine et quartz.

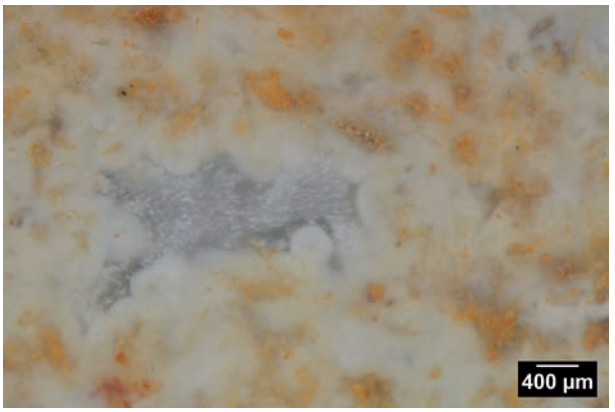

Photo 2 – Échantillon archéologique n° 1918, surface d'éclatement à calcédoine.

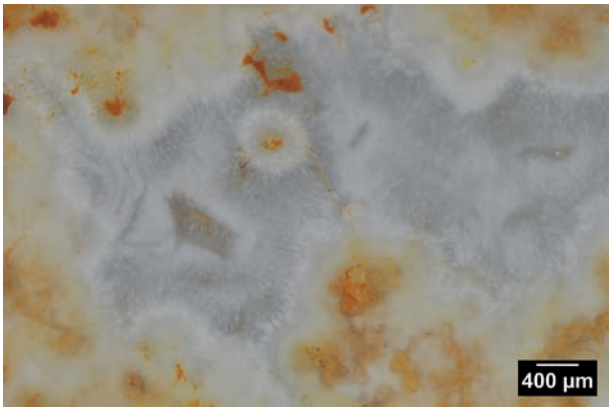

Photo 3 – Échantillon archéologique n° 1918, face d'éclatement à calcédoine.

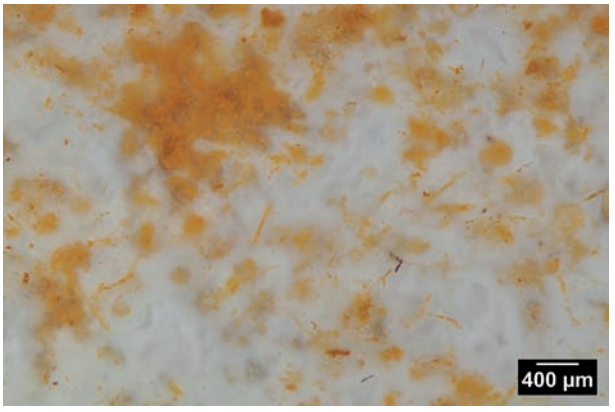

Photo 4 – Échantillon archéologique n° 1918, à spicules ferruginisés.

Figure 5.5 – Auvers-le-Hamon. Type 604, silex attribuables aux altérites bajociennes (photos P. Fernandes, DAO P. Tallet).

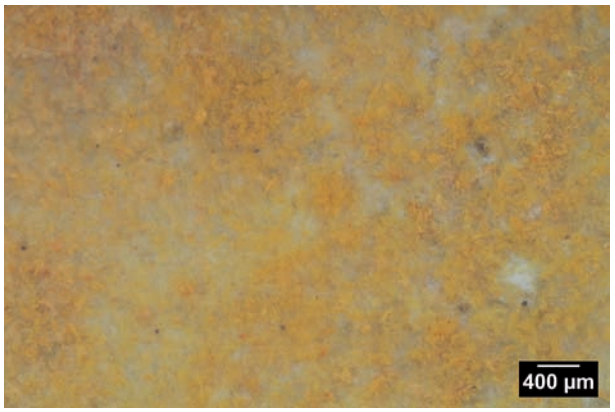

Photo 1 – Échantillon archéologique n° 3256, vue générale (texture *mudstone*).

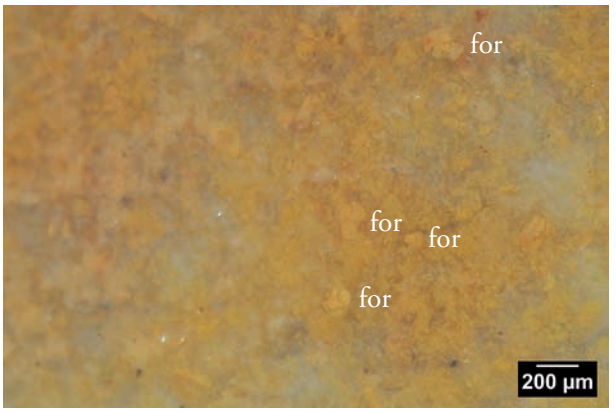

Photo 2 – Échantillon archéologique n° 3256, présence de foraminifères indéterminés.



Photo 3 – Échantillon archéologique n° 3256, détail de la photographie précédente.

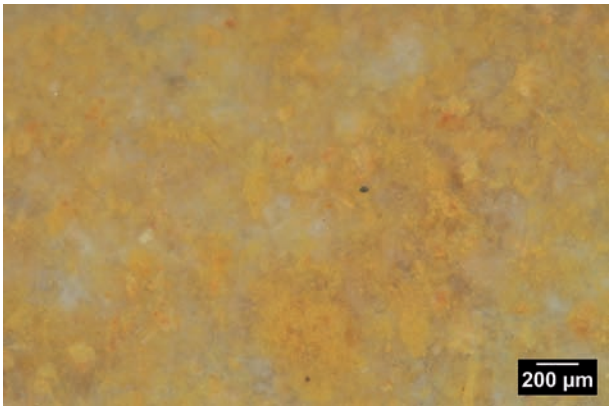

Photo 4 – Échantillon archéologique n° 3256, élément détritique indéterminé.

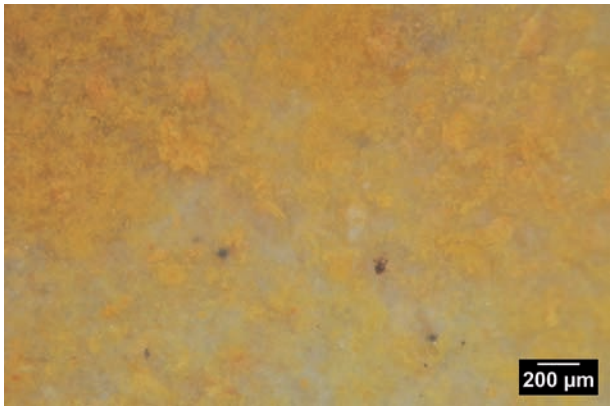

Photo 5 – Échantillon archéologique n° 3256, débris noirs indéterminés.

Figure 5.6 Auvers-le-Hamon. Type 603, silex attribuables aux altérites bajociennes, imprégnations ferrugineuses importantes (photos P. Fernandes, DAO P. Tallet).

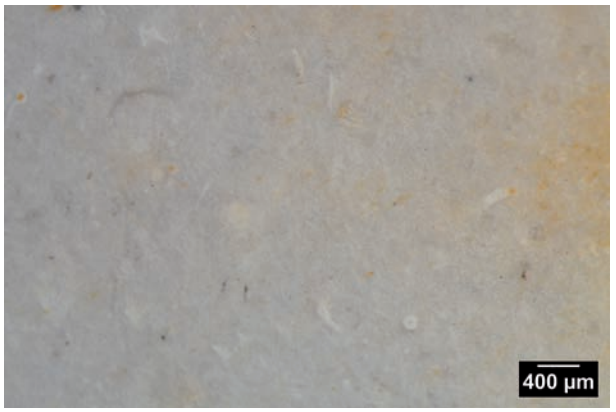

Photo 1 – Échantillon archéologique n° 4459, texture *mudstone* à spicules.

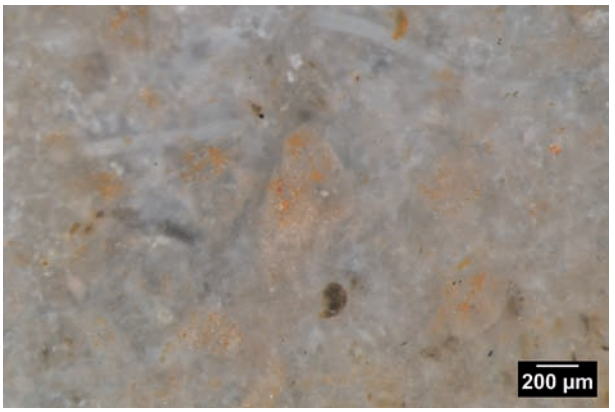

Photo 2 – Échantillon archéologique n° 538, moins évolué à texture *wackestone*.

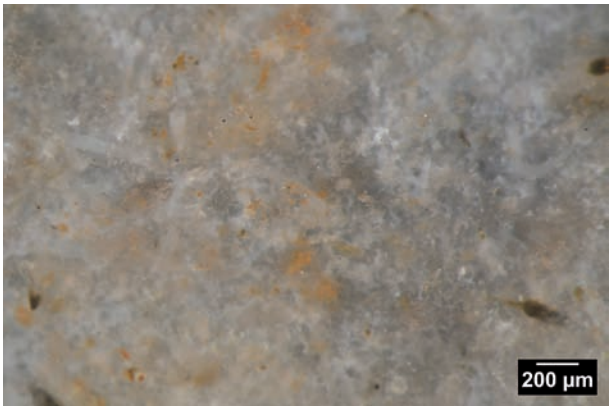

Photo 3 – Échantillon archéologique n° 538, moins évoluée à texture *wackestone*.

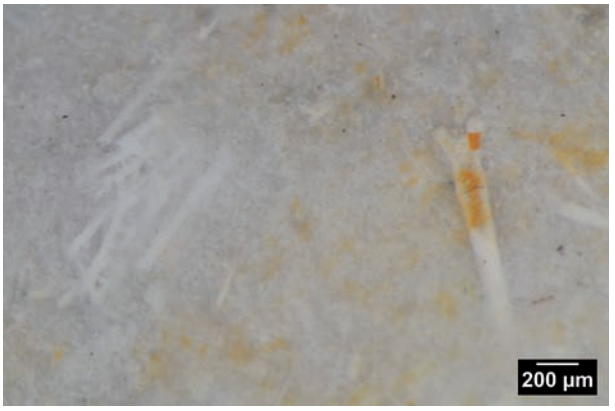

Photo 4 – Échantillon archéologique n° 4459, zone moins évoluée à texture *wackestone* et à spicules.



Photo 5 – Échantillon archéologique n° 4459, bioclastes indéterminés.

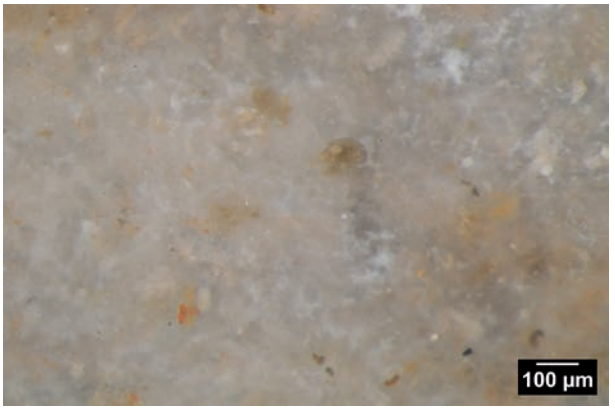

Photo 6 – Échantillon archéologique n° 538, zone évoluée à clastes indéterminés.

Figure 5.7 – Auvers-le-Hamon. Type 606, silex attribuables au Crétacé supérieur (photos P. Fernandes, DAO P. Tallet).



Photo 1 – Échantillon archéologique n° C5-94c, fragments de bryozoaires.

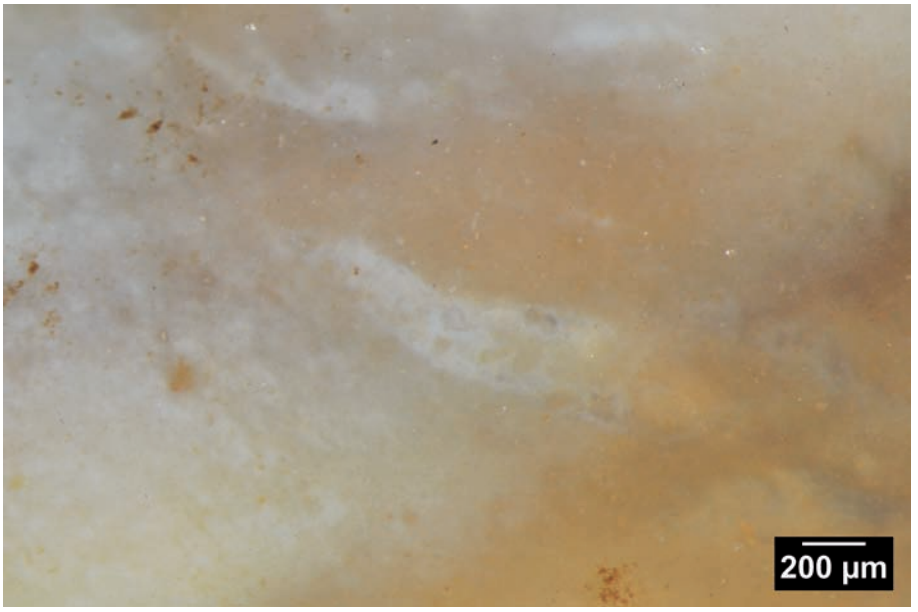

Photo 2 – Échantillon archéologique n° C5-94c, fragments de bryozoaires.

Figure 5.8 – Auvers-le-Hamon. Type 607, silex attribuable au Crétacé supérieur (photos P. Fernandes, DAO P. Tallet).

5.4. Conclusion

Au terme de ce rapport, il est difficile d'élaborer un modèle qui puisse rendre compte, précisément, du comportement face aux ressources minérales. Un argument s'y oppose, nous n'avons pas déterminé l'origine des silex allochtones. Toutefois il possible d'appréhender certaines modalités d'acquisition et de commencer à esquisser les limites du territoire exploité. Le choix des occupants d'Auvers semble avoir été dicté par le pragmatisme, puisque la majorité des silex proviennent des altérites jurassiques, seules formations locales contenant en abondance des silex de bonne qualité. Cette présence des différents types locaux dans la série démontre clairement que ces derniers étaient parfaitement connus et exploités au détriment des silex issus des calcaires viséens et même des autres roches siliceuses (les dolérites, tufs, roches vertes, phtanites, quartzites et les grès divers).

Le travail de cartographie entrepris pour ce rapport a révélé la position stratégique du site à la limite entre le domaine paléozoïque (le Massif armoricain à l'ouest) où les silex sont quasi absents et les formations superficielles issues des ensembles sédimentaires mésozoïques et cénozoïques (le Bassin parisien à l'est) pourvues de nombreux silex. Ces conditions de gisement vont se révéler essentielles, notamment lorsque l'on pourra déterminer avec précision l'origine des rares témoins allochtones. La comparaison avec les silex allochtones du site de Château-Gaillard « la Mercerie » fouillé par l'Inrap sous la direction de Stephan Hinguant devrait s'avérer particulièrement favorable à l'étude de la mobilité des populations au Paléolithique moyen dans cette région.

6. Etude techno-typologique et économique de l'industrie lithique

Briagell Huet avec la collaboration de Sébastien Bernard-Guelle

Au total, 10 400 vestiges archéologiques ont été récoltés sur le site (Tabl. 7). Ils proviennent du décapage mécanique pour 36,4 % d'entre eux et de la fouille manuelle pour 63,1 % (cf. Tabl. 1).

Il s'agit presque exclusivement de vestiges lithiques, essentiellement en silex (99,4 %) (Tabl. 7). Nous pouvons toutefois noter la présence d'autres roches comme des grès, quartzites et quartz à hauteur de 0,6 % (n = 58) ; toutefois, plus de la moitié de ces pièces consiste en des blocs ou galets bruts dont la présence sur le site n'est donc pas assurée d'être d'origine anthropique.

Outre le matériel lithique, des scories de fer (n = 3) et des tessons de céramique (n = 7) ont également été rencontrés à travers l'emprise, hors structures, sous l'humus forestier actuel (Tabl. 7). Les scories, un fragment de scorie coulée et deux fragments indéterminés, sont peut-être à mettre en relation avec la présence de ferriers attestée au nord du bois, vers la ferme des Fraudières, dont l'attribution chronologique est indéterminée mais probablement médiévale (http://atlas.patrimoines.culture.fr ; Brodeur, 2012). Les tessons de céramique rassemblent 2 tessons de céramique tournée de couleur grise, 1 tesson de teinte noire d'un côté et orangée de l'autre, 3 tessons de céramique grossière non tournée de teinte orange (probables fragments de tegulae), ainsi qu'un lot d'une trentaine de fragments très altérés de terre cuite orangée grenue probablement issu d'une même pièce en état de décomposition avancé (tegula ?). Ces tessons peuvent être probablement rattachés soit à l'occupation protohistorique révélée par de discrets indices au nord du bois de Sirion lors du diagnostic, soit à l'occupation gallo-romaine datée du Haut-Empire et attestée par des trous de poteaux à 150 mètres à l'est du site paléolithique (Brodeur, 2012).

En dépit d'une envelloppe de jours/hommes allouée à l'étude sensiblement insuffisante, l'ensemble des vestiges a été observé, classé et décompté selon les critères technologiques et typologiques classiques. Par contre, nous n'avons pas pu mener l'analyse aussi loin que voulu et que l'assemblage et ses conditions de récolte auraient pu le permettre, d'autant que l'étude lithique a dû être effectuée avant les résultats des études pétrologiques et des analyses taphonomiques ; ceci pourrait donc éventuellement être entrepris ultérieurement dans le cadre de recherches ou de travaux universitaires par exemple. En outre, en raison du fait que nous ayons dû mener l'étude lithique en l'absence des résultats taphonomiques au moment de l'analyse, nous avons dû considérer l'ensemble de l'assemblage lithique comme étant issu d'un seul et même niveau archéologique et donc comme constituant un seul échantillon d'une même population.

6.1. La production lithique

L'assemblage lithique étudié est composé de 10366 pièces (Tabl. 7) ; les pièces non patinées provenant des horizons supérieurs (n = 24) ont en effet été écartées de l'étude pour des questions d'homogénéité de l'assemblage (*cf. supra*).

6.1.1. Phase d'acquisition

6.1.1.1. Description et provenance des matières premières

L'étude pétroarchéologique n'ayant pu être réalisée préalablement à l'étude technologique, nous ne ferons ici qu'une simple approche macroscopique des matériaux exploités et renvoyons le lecteur au chapitre relatif à l'étude pétrographique (*cf. supra*).

L'assemblage lithique du « Bois-de-Sirion » est constitué principalement de silex (99,4 %). D'autres types de roches rentrent toutefois dans la composition de l'assemblage moustérien, notamment des grès et des quartzites au sens large (grès quartzeux, grès quartzites, quartzites métamorphiques et sédimentaires, quartz filonien) qui en constituent 0,5 % ainsi que des roches que nous n'avons su déterminer (0,1 %).

Le silex

Le type de silex majoritairement représenté dans l'assemblage est un silex opaque de couleur gris-noir plus ou moins foncé et plus ou moins bleuté ; il peut également parfois présenter un zonage dont les couleurs varient du jaune plus ou moins verdâtre au rouge ou marron plus ou moins violacé. Son aspect est généralement mat ; son grain peut varier, de très fin à plus épais.

Type de produit		Silex		Grès et quartzites		Autres		Sous-totaux			TOTAL
		bruts	ret.	bruts	ret.	bruts	ret.	bruts	ret.	% ret.	
0 - Acquisition	Galets bruts			8				8			8
	Blocs bruts	29		24		1		54			54
	Percuteur ?			1				1			1
	Blocs testés	3		5				8			8
0 - Sous-total		32		38		1		71			71
1 - Décorticage - Mise en forme	Éclats ordinaires ≥ 50 % cortex	152	15					152	15	9	167
	Éclats ordinaires < 50 % cortex	204	45					204	45	18,1	249
	Éclats à dos naturel	14	3					14	3	17,6	17
	Fragments corticaux d'éclats indifférenciés :										
	proximaux	*120*	*13*					120	13	9,8	133
	mésiaux	*44*	*5*					44	5	10,2	49
	distaux	*176*	*19*					176	19	9,7	195
	longitudinaux	*17*						17			17
	fragments indéterminés d'éclat	*179*	*2*			*1*		180	2	1,1	182
1 - Sous-total		906	102			1		907	102	10,1	1009
2 - Débitage - Produits	Éclats ordinaires non corticaux	600	55	3				603	55	8,4	658
	Fragments non corticaux d'éclats indifférenciés :										
	proximaux	*215*	*16*			*1*		216	16	6,9	232
	mésiaux	*150*	*6*					150	6	3,8	156
	distaux	*470*	*16*	*1*				471	16	3,3	487
	longitudinaux	*76*	*4*					76	4	5	80
	fragments indéterminés d'éclat	*1115*	*14*					1115	14	1,2	1129
	Éclats Levallois	39	8					39	8	17	47
	Éclat Levallois débordant		1						1	100	1
	Éclats débordants	19						19			19
	Éclats à crête axiale	4						4			4
	Éclats "de type Kombewa"	28	1					28	1	3,4	29
2 - Sous-total		2716	121	4		1		2721	121	4,3	2842
3 - Débitage - Nucléus	Nucléus et fragments de nucléus	47	1	2				49	1	2	50
3 - Sous-total		47	1	2				49	1	2	50
4 - Retouche / Façonnage	Éclats de retouche	29						29			29
	Eclat d'affutage de biface	3						3			3
	Éclats de coup de tranchet	71	1					71	1	1,4	72
	Éclats de façonnage "de type Kombewa"	12						12			12
	Éclats de façonnage										
	entiers ≥ 50 % cortex	*33*	*1*					33	1	2,9	34
	entiers < 50 % cortex	*121*						121			121
	entiers non corticaux	*992*	*11*					992	11	1,1	1003
	Fragments non corticaux d'éclats de façonnage :										
	proximaux	*272*	*1*					272	1	0,4	273
	mésiaux	*2*						2			2
	distaux	*10*						10			10
	longitudinaux	*1*						1			1
	fragments indéterminés d'éclat	*1*						1			1
	Fragments corticaux d'éclats de façonnage :										
	proximaux	*38*						38			38
	mésiaux	*1*						1			1
	distaux	*5*						5			5
	longitudinaux	*4*						4			4
	fragments indéterminés d'éclat	*2*						2			2
	Pièces bifaciales		108						108	100	108
	Macro-outils		1		3				4	100	4
4 - Sous-total		1597	123		3			1597	126	7,3	1723
TOTAL 0-4		5298	347	44	3	3		5345	350	6,1	5695
5 - Divers	Esquilles < 20 mm	4137		3		3		4143			4143
	Débris	283		2				285			285
	Gélifracts	188						188			188
	Cupule de gel	54						54			54
	Cupule de feu	1						1			1
5 - Sous-total		4663		5		3		4671			4671
TOTAL 0-5		9961	347	49	3	6		10016	350	3,4	10366
		10308		52		6		10366			
%		99,4		0,5		0,1		100			
6 - Autres périodes	Scories										3
	Tessons de céramique										7
	Blocs bruts	1						1			1
	Éclats ordinaires ≥ 50 % cortex	3						3			3
	Éclats ordinaires < 50 % cortex	2						2			2
	Fragments corticaux d'éclats indifférenciés :										
	proximaux	*1*						1			1
	Éclats ordinairesnon corticaux	10						10			10
	Fragments non corticaux d'éclats indifférenciés :										
	fragments indéterminés d'éclat	*2*	*1*					2	1	33,3	3
	Débris	4						4			4
6 - Sous-total		23	1					23	1	2,9	34
TOTAL 0-6		10332		52		6		10390		6,3	10400
%		99,4		0,5		0,1					

Tabl. 7 – Le « Bois de Sirion », Auvers-le-Hamon (72). Décompte général des vestiges archéologiques.

Quelques artefacts, beaucoup plus rares, se caractérisent par une zone sous-corticale verdâtre ; leur matrice, également opaque, est de couleur plus claire que celle du silex précédent, gris-beige, et présente parfois un zonage en circonvolutions lie-de-vin à jaune.

Les caractères macroscopiques de ces deux types de silex nous permettent de les rapprocher des deux principaux faciès de silex bajociens connus dans la région.
Le premier est ainsi à rapprocher du silex d'Avoise-Vallée de la Vègre (Chantreau *et al.*, 2010) ; son sous-faciès le plus représenté, à la couleur gris-noir typique, est appelé localement « silex de Fontenay-sur-Vègre » et un autre sous-faciès représenté, bien que plus faiblement, correspond au silex dit de « Poillé-sur-Vègre » aux circonvolutions rouges, violacées ou marron caractéristiques (observation de E. Georges, SRA Pays-de-la-Loire).
Le second type de silex présente quant à lui les caractéristiques du silex bajocien dit de « Vion » (Chantreau *et al.*, 2010).

Il s'agit de silex de qualité moyenne du point de vue de l'aptitude à la taille : ils offrent une structure plutôt homogène, mais la présence de diaclases, de zones mal silicifiées ou bien encore de fossiles macroscopiques est fréquente.

Ces silex bajociens peuvent provenir de différents types de gîtes. Le gîte primaire consiste en des bancs décimétriques de calcarénite gris jaunâtre séparés par des lits plus marneux qui contiennent des gros cordons de silex gris (Clément *et al.,* 1987). Ces calcaires à silex à silex se rencontrent au plus près à 2,4 km au sud-est du site, ainsi que sur les rives de la Vègre et en rive gauche de la Sarthe (Fig. 1.6 : j1).
Les argiles à silex résiduelles issues de la décarbonatation de ces calcaires à silex bajociens livrent également des silex, de couleur rousse ou grise (Clément *et al.,* 1987). Ces argiles à silex se développent sur de grandes surfaces à l'est du site, à partir de 1 km et selon une bande de 5 à 10 km de large allant de la Vallée de la Vègre jusqu'au Nord de la vallée du Loir (Chantreau *et al.*, 2010) (Fig. 1.6 : Rj1).
Enfin, ces silex bajociens peuvent également avoir été récoltés dans les alluvions de la Sarthe ou de la Vègre où ils sont présents sous la forme de nodules dont les dimensions peuvent parfois dépasser la vingtaine de centimètres (Chantreau *et al.*, 2010).
Les zones corticales observées sur les artefacts de la série témoignent du recours à ces diverses sources d'approvisionnement : en position primaire, directement sur les calcaires à silex bajociens, en position sub-primaire au sein des argiles à silex résiduelles issue du Bajocien et enfin en position secondaire, parmi les alluvions.

Les grès et quartzites

Concernant les grès et quartzites au sens large, nous n'avons pas toujours réussi à faire de distinction macroscopique entre certains grès et quartzites, du fait notamment d'un continuum en fonction du degré de diagenèse ou de métamorphisme du sable quartzeux qui constitue le matériel originel de ces grès et quartzites ; c'est pourquoi nous emploierons alors un terme générique de « grès / quartzite ».

Il s'agit de blocs ou de plaquettes dont la surface extérieure naturelle est de couleur jaunâtre et présente des arêtes émoussées résultant d'une érosion éolienne. Leur granulométrie est variable, de fine à grossière, et influe nécessairement sur la cassure qui est donc plus ou moins rugueuse, conchoïdale pour les faciès les plus fins et d'aspect parfois légèrement lustrée. Ces roches se présentent également sous la forme de galets : leur surface extérieure roulée ne présente plus les « facettes » dues à l'érosion éolienne et témoigne plutôt d'une érosion alluviale.

D'après leur couleur et leur aspect macroscopique, il semblerait que nous soyons en présence de grès /quartzites tertiaires plutôt que paléozoïques, ces deux formations étant présentes dans la région.
Ces matériaux sont présents localement sous la forme de petits galets roulés (quartz blanc et grès tertiaires) au sein des sables et graviers pliocènes qui remanient probablement des sables cénomaniens et sur lesquels repose le site (Clément *et al.,* 1987).
Ils peuvent également avoir été collectés dans l'environnement proche, à partir de 1 km à l'est du site, au sein des formations cénomaniennes de « Sables et grès du Maine » qui recouvrent par petits placages les plateaux d'argile à silex bajocienne de Poillé et d'Asnières-sur-Vègre (Fig. 1.6). Ces formations contiennent en effet de nombreuse lentilles de galets de quartz, ainsi que des blocs et dalles de grès quartzeux, lustrés et arrondis par l'érosion éolienne. Au sud et à l'ouest de Poillé-sur-Vègre, ces blocs sont entièrement dégagés de leur gangue sableuse et reposent directement sur le substrat cénomanien ou bajocien (argile à silex) (Clément *et al.,* 1987).
Ces matériaux sont également disponibles dans les hautes et moyennes terrasses alluviales, notamment de la Vègre située à 5 km à l'est du site, tant sous la forme de galets que de véritables blocs (Clément *et al.,* 1987 ; Chantreau, 2011).

Nous pouvons distinguer un grès fin de couleur lie-de-vin et à la « patine éolienne » ocre : il s'agit de « grès roussard » qui constitue une particularité locale. Comme les autres grès / quartzites, il se rencontre au sein de la formation des « Sables et grès du Maine » sous la forme de petits blocs éolisés disposés en lits ou en lentilles (Clément *et al.,* 1987).

Les matières premières indéterminées

Dans la catégorie « Autres » (Tabl. 7), nous avons intégré les roches que nous n'avons pas su déterminer (n = 6 ; 0,1 % de l'assemblage).
Parmi ces pièces se trouve un gros bloc (6 kg) entièrement brûlé et en partie disloqué par l'action thermique, mais qui ne présente aucune trace anthropique, du moins visible en l'état (Fig. 6.1). Découvert au sein de l'UPS LSB, il s'agit d'un bloc de calcaire organoclastique de couleur bleutée et parcouru de filons de calcite blanche qui pourrait être rattaché à la Formation du Calcaire de Sablé dont plusieurs affleurements sont connus autour du site, à une distance de 1 à 1,5 km pour les plus proches (Clément *et al.,* 1987). La question, à laquelle nous n'avons pas de réponse, est de savoir si l'état de ce bloc est la conséquence d'un acte anthropique ou d'un incendie naturel.

En outre, cinq artefacts (3 esquilles, 1 proximal d'éclat et 1 fragment indéterminé d'éclat) sont dans une roche de couleur sombre bleu-noir, dont un exemplaire est en plus parcouru de minces veines de quartz et de fissures : il peut également s'agir soit d'un des autres faciès du calcaire de Sablé, soit du calcaire de Saint-Céneré dont la formation est présente à 3 km au nord du site et qui peut se confondre avec le précédent (Clément *et al.,* 1987).

6.1.1.2. État d'apport des matières premières sur le site

Le silex

Le silex n'étant pas naturellement présent *in situ*, la présence de blocs bruts (n = 29) ou juste entamés (n = 3) sur le site témoigne d'une importation, du moins en partie, de la matière première sous la forme de blocs entiers.

Leur observation permet en outre d'avoir un aperçu des critères de choix d'un bloc en vue d'être exploité.
Il s'agit de rognons, dont les morphologies contournées témoignent d'une provenance proche sinon sur le gîte primaire (n = 15 ; Fig. 6.2 et 6.3), ou de blocs, dont les formes quadrangulaires érodées témoignent d'un déplacement depuis le gîte primaire (n = 15 ; Fig. 6.4). Deux plaquettes, de morphologie aplatie, sont également présentes (Fig. 6.5 et 6.6).
Les plus grands de ces nodules mesurent une trentaine de centimètres pour un poids maximum de 4 kg (Fig. 6.3), mais en moyenne il s'agit surtout de nodules autour de 10 à 15 cm centimètres.

Le taux de corticalité s'élève à 25 % pour les éclats entiers ; parmi eux, 33 % présentent du cortex sur plus de la moitié de leur face supérieure. Ces taux vont également dans le sens d'une importation de nodules entiers et d'un débitage du silex *in situ*. En outre, les plus grandes dimensions de ces produits concordent avec les dimensions des blocs bruts et entamés observés (d'une dizaine de centimètres de long).

Les grès / quartzites

Plusieurs blocs et plaquettes de grès /quartzite à l'état brut ont été retrouvés à travers l'emprise. 24 d'entre eux ne présentent aucune trace anthropique. Il s'agit de plaquettes (2 entières et 2 fragments) et de blocs (n = 16 entiers et 4 fragments) de dimensions et de poids variables : d'une petite dizaine de centimètres à une quarantaine de cm de côté, pour un poids de 500 gr à 10 kg. Pouvant être d'origine locale, la présence de ces blocs sur le site n'est pas assurée d'être un fait anthropique.
L'un de ces blocs bruts présente une partie rougie témoignant d'une action par le feu dont le caractère anthropique (pierre de foyer ?) ou naturel reste indéterminé.

5 autres blocs de grès / quartzite ont quant à eux clairement fait l'objet d'un débitage à la percussion directe dure de quelques éclats (Fig. 6.7).
Ces blocs entamés ou juste testés sont de dimensions plutôt importantes (17 à 38 cm de long pour une largeur de 10 à 30 cm et une épaisseur de 7 à 16 cm) et dans un matériau au grain relativement grossier, à l'exception de l'un d'eux au grain fin et de teinte lie-de-vin. Ces blocs ont permis la production de 1 à 7 éclats dont les dimensions varient d'environ 5 à 12 cm de long pour une largeur de 4,6 à 16 cm. Le plus gros de ces blocs (14 kg ; 38 x 26 x 16 cm) présente, sur ses 7 négatifs d'enlèvements, 5 négatifs dont les dimensions dépassent 11 cm tant en longueur qu'en largeur.
Les raisons d'abandon ou du moins de la faible exploitation de ces blocs n'ont pas pu être déterminées, mais il paraît évident que ce sont surtout des éclats de grandes dimensions qui étaient recherchés, éclats qui n'ont pas été retrouvés.

Fig. 6.1 – Le « Bois de Sirion », Auvers-le-Hamon (72). Bloc brûlé.



Fig. 6.2 – Le « Bois de Sirion », Auvers-le-Hamon (72). Rognon de silex brut.

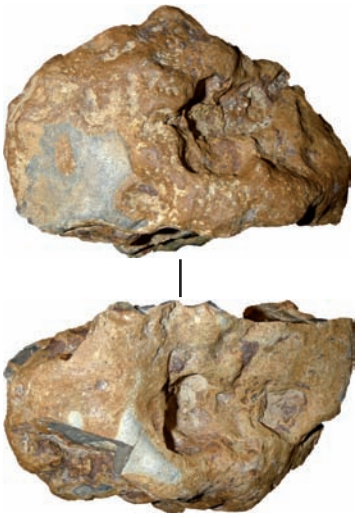

Fig. 6.3 – Le « Bois de Sirion », Auvers-le-Hamon (72). Rognon de silex brut.

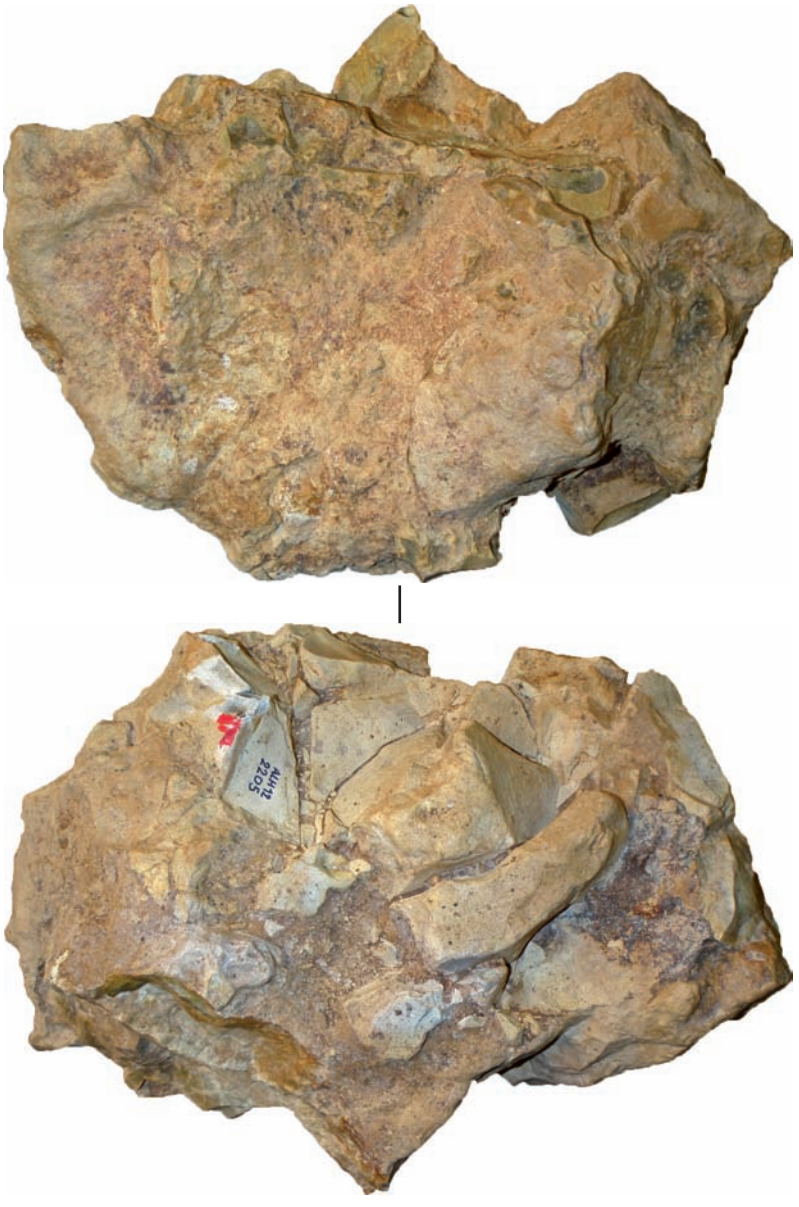

0 échelle 1/3 15 cm

Fig. 6.4 – Le « Bois de Sirion », Auvers-le-Hamon (72). Bloc de silex brut.



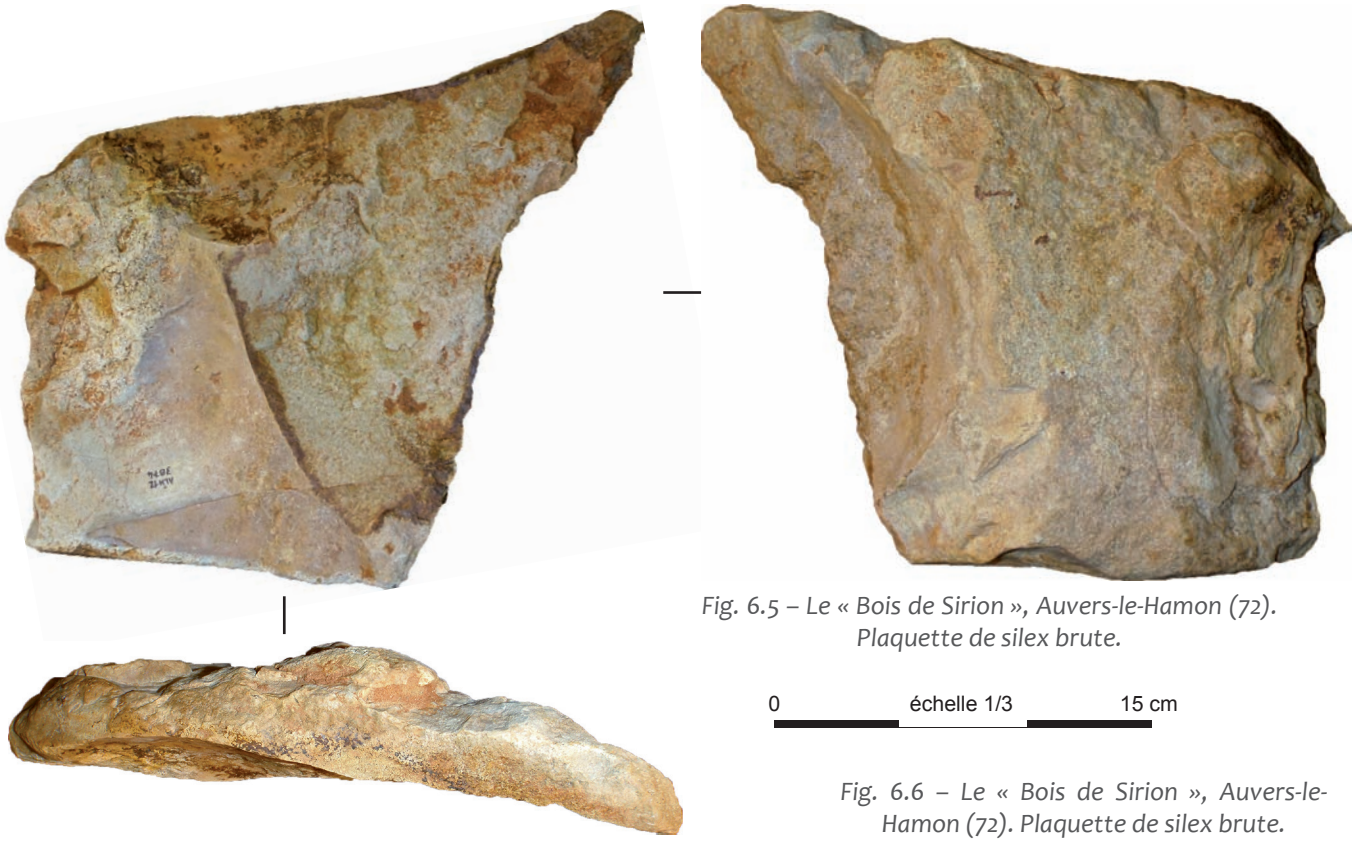

Fig. 6.5 – Le « Bois de Sirion », Auvers-le-Hamon (72). Plaquette de silex brute.

Fig. 6.6 – Le « Bois de Sirion », Auvers-le-Hamon (72). Plaquette de silex brute.

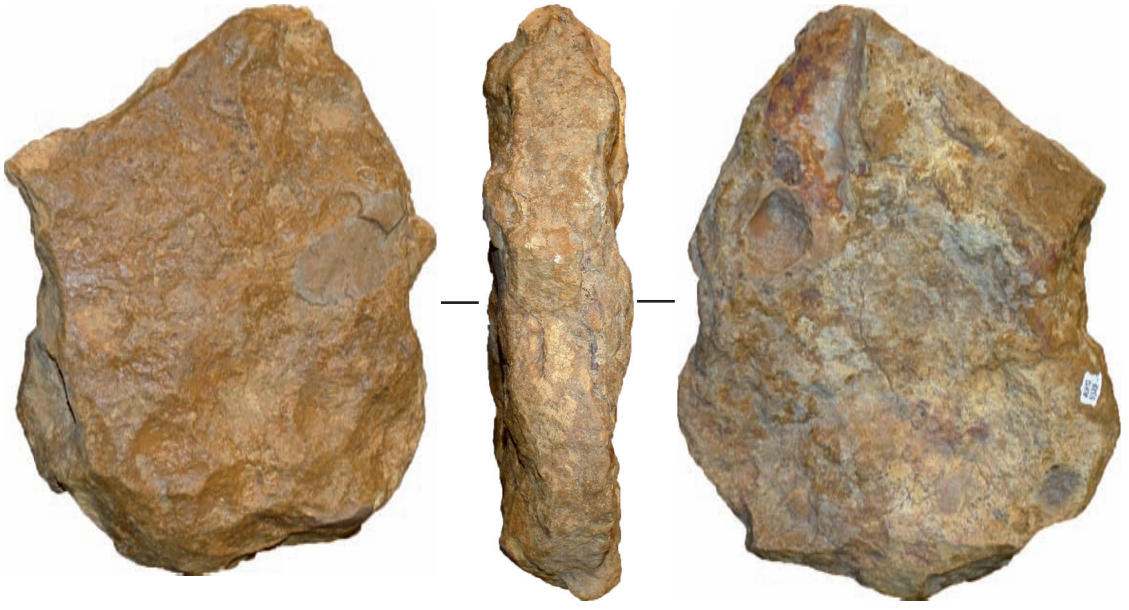

Fig. 6.7 – Le « Bois de Sirion », Auvers-le-Hamon (72). Boc peu entamé en grès/quartzite.

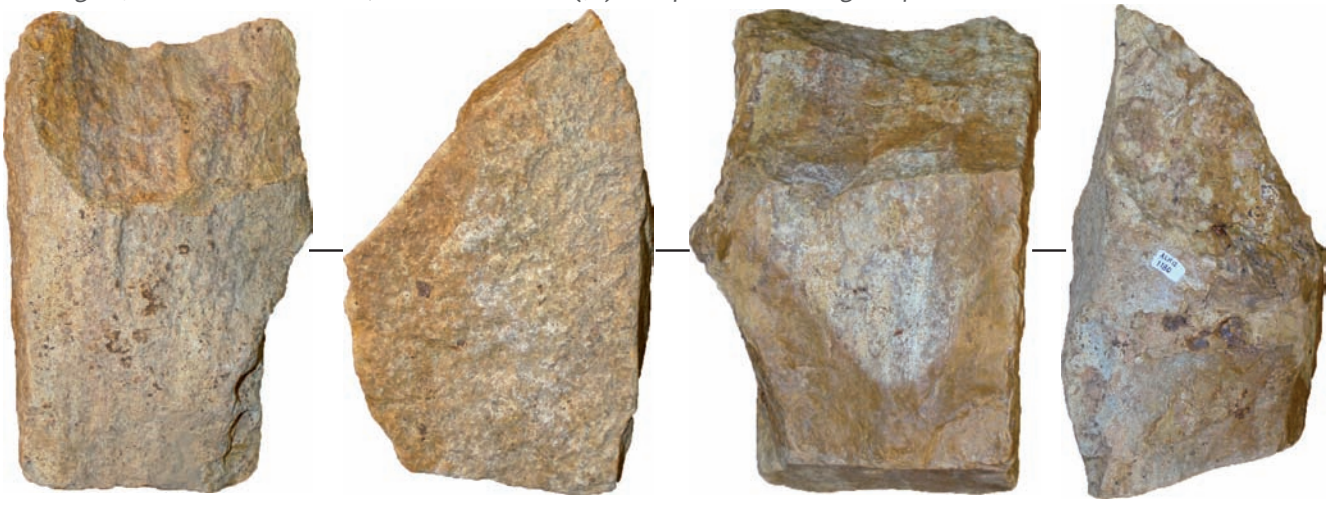

6.1.2. Phase de production

6.1.2.1. Les techniques de taille

Par leurs stigmates, les artefacts en silex de la série témoignent de deux techniques de taille différentes : la percussion directe au percuteur dur d'une part, la percussion directe au percuteur tendre, végétal ou organique, d'autre part.
Si l'on considère uniquement les éclats entiers, c'est ainsi la moitié de la production en silex (51,4 %) qui a été produite à l'aide d'un percuteur tendre. Le façonnage constitue ainsi une composante essentielle de l'industrie du Bois-de-Sirion. Le nombre de pièces façonnées qu'elle comprend en témoignent également (n = 108 pièces bifaciales et 14 unifaces).

Les autres matières premières, notamment les grès et quartzites au sens large, ne témoignent quant à elles que d'un débitage par percussion directe au percuteur dur d'après l'observation des talons des rares produits et des contre-bulbes visibles sur les nucléus ou les blocs testés.

Parmi les artefacts de la série, un galet pourrait avoir servi de percuteur (Fig. 6.8). Il s'agit d'un galet de quartz de morphologie ovoïde, légèrement aplatie dans le plan frontal. Il présente à l'une de ses extrémités, 2 petits enlèvements alternes. Leurs faibles dimensions (12 x 15 mm pour l'un et 12 x 21 mm pour l'autre) et le fait qu'ils ne modifient en rien le tranchant distal du galet ne plaident *a priori* pas en faveur d'un galet aménagé. Ils pourraient plutôt avoir été involontairement produits lors de l'utilisation de ce galet comme percuteur. Aucune trace d'impact n'est par ailleurs visible sur le reste de la pièce.

D'autres galets de quartz (n = 4 dont 1 fragment) et de grès fin (n = 4 dont 1 fragment), de petites dimensions (entre 57 et 96 mm) ont été récoltés, mais ils ne présentent aucune trace anthropique.
L'un de ceux en grès, par ses faibles dimensions, sa morphologie aplatie et son grain très fin, aurait été idéal comme abraseur ; malgré son poli général, seule une observation microscopique pourrait toutefois confirmer cette utilisation (Fig. 6.9).

6.1.2.2. Les méthodes de débitage

La série du Bois-de Sirion comprend 48 nucléus et fragments de nucléus en silex et 2 en grès / quartzite (Tabl. 8). Les nucléus représentent donc une très faible part de l'assemblage lithique (0,5 %), ce qui est cohérent avec l'importance que représente l'activité du façonnage dans la constitution de cette série.

Nucléus en grès quartzite

Aux côtés des blocs peu exploités (*cf.* §6.2.1), deux pièces témoignent d'une exploitation plus poussée de ces matériaux et peuvent ainsi être considérées comme des nucléus à leur état d'abandon.

C'est le cas d'un nucléus en grès fin de couleur lie-de-vin et à surface naturelle lisse (éolisée ?) et de teinte marron. Un des blocs testés était dans le même matériau (*cf. supra*). Retrouvé fragmenté, il s'agit d'un nucléus conçu en deux surfaces hiérarchisées. La surface de plan de frappe est partiellement aménagée. La surface de débitage est entièrement recouverte par au moins 8 négatifs d'enlèvements centripètes et sécants par rapport au plan d'intersection des deux surfaces (Fig. 6.10).

Au sein de l'assemblage, un seul produit, de par sa nature pétrographique identique, est susceptible de provenir de l'exploitation de ce nucléus : il s'agit d'un distal d'éclat non cortical. Ces deux éléments ont toutefois été retrouvés distanciés de 12 mètres et au sein de deux UPS différentes (LSJ pour le nucléus et LSBR pour l'éclat) pour un écart de 40 à 33 cm en altitude.

Un fragment cortical de nucléus témoigne par ailleurs du débitage à la percussion directe au percuteur dur d'au moins 3 enlèvements de même sens. Les éclats produits sont de petites dimensions (2,2 à 4,6 cm de long) et le dernier a réfléchi.

Type de nucléus	silex	grès/quartzite	%
Levallois récurrent	7		16
à débitage de gestion de surface parallèle non Levallois	23	1	55
à débitage multifacial	9		20
à débitage semi- tournant	3		7
à débitage mixte gestion de surface non Levallois / semi-tournant	1		2
fragment indéterminé	5	1	-
Total	**48**	**2**	**100**

Tabl. 8 – Le « Bois de Sirion », Auvers-le-Hamon (72). Types de nucléus.

Fig. 6.8 – Le « Bois de Sirion », Auvers-le-Hamon (72). Percuteur en quartz.



Fig. 6.9 – Le « Bois de Sirion », Auvers-le-Hamon (72). Abraseur en grès fin ?



Fig. 6.10 – Le « Bois de Sirion », Auvers-le-Hamon (72). Nucléus en grès/quartzite.

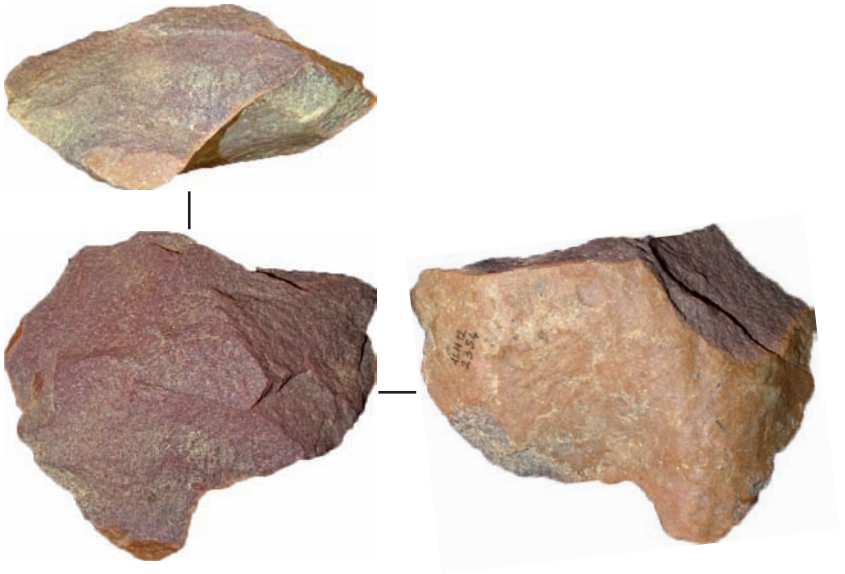

Nucléus en silex

Nucléus Levallois récurrents (n = 7)

Le mode de débitage de type Levallois récurrent est représenté par 16 % des nucléus de la série ; il incarne ainsi le troisième mode de débitage le plus mis en œuvre sur le site du Bois-de-Sirion.

Ces sept nucléus en silex sont conçus en deux surfaces hiérarchisées, une surface de plan de frappe et une surface de débitage. Ils ont pour support soit un éclat (n = 2 ; Fig. 6.11) soit un bloc (n = 3 ; Fig. 6.12 et 6.13) ; deux autres supports sont indéterminés.

L'un de ces nucléus sur bloc, mal conservé, est à l'état d'ébauche. Son abandon est probablement dû à la mauvaise qualité du silex que les premiers enlèvements ont révélé (Fig. 6.13).

Ce sont des nucléus relativement petits à l'instar de ceux issus des autres méthodes de débitage : leurs plus grandes dimensions varient de 4 à 10,7 cm pour une moyenne de 6,5 cm et leur épaisseur de 1,3 à 6,7 cm pour une moyenne de 3,1 cm.

Dans le cas des deux éclats-supports, le débitage est mis en œuvre soit aux dépens de la face inférieure, soit aux dépens de la face supérieure (Fig. 6.11-2). Quand l'exploitation de la surface de débitage n'est pas envahissante, quelques restes de négatifs d'enlèvements sécants sur le pourtour du nucléus restent visibles et témoignent ainsi d'un aménagement préalable de cette surface par la mise en place de convexités latérales et distales nécessaires au détachement des éclats (Fig. 6.11). La surface de plan de frappe est aménagée par quelques enlèvements, parfois seulement partiellement dans le cas des nucléus sur éclat pour lesquels les négatifs d'enlèvements antérieurs de la face supérieure de l'éclat-support servent alors par endroits directement de surface de plan de frappe.

L'exploitation est menée selon un plan de fracturation parallèle ou subparallèle au plan d'intersection des deux surfaces. Seuls quelques-uns témoignent d'une incidence légèrement plus oblique liée au manque de convexités en fin de vie du nucléus.

Les surfaces de débitage témoignent de la production de un à huit éclats envahissants, selon une gestion unipolaire (5 cas) ou centripète (2 cas).

Un de ces nucléus a fini sa vie en tant que support à la confection d'un racloir déjeté (*cf.* §6.1.3 ; Fig. 6.14). Sa surface de débitage laisse visible un négatif couvrant d'enlèvement prédéterminé ainsi que quelques restes antérieurs de négatifs d'enlèvements prédéterminants sur la partie droite, tandis que les bords gauche et distal supportent un racloir déjeté légèrement denticulé.

Nucléus à débitage de gestion de surface parallèle non Levallois (n = 23)

Les nucléus témoignant d'un débitage de gestion de surface à plans de fracturations parallèles mais de type non Levallois représentent la majorité des nucléus de la série (55 %).

Ces nucléus ont exclusivement pour support un éclat (n = 23 dont 4 fragments). Ces éclats-supports ont fait l'objet d'un débitage par percussion directe au percuteur dur de quelques éclats aux dépens de leur face ventrale, sans aucun aménagement préalable de la surface de débitage. Ce débitage « opportuniste » met à profit les convexités naturelles de la face inférieure de l'éclat-support. La surface de plan de frappe fait parfois mais rarement l'objet de quelques aménagements. C'est cet investissement technique moindre qui distinguent ces nucléus des nucléus Levallois bien que la conception même du débitage reste exactement la même.

Les éclats sélectionnés comme supports de débitage offrent des dimensions moyennes légèrement supérieures à l'ensemble des produits de débitage que contient la série (L 57 mm x l 53 x e 22 contre L 47 mm x l 40 x e 13,2). L'un de ces éclats était déjà fracturé avant d'être exploité comme nucléus, la surface de fracture servant de plan de frappe.

Il s'agit préférentiellement d'éclats corticaux (au minimum 78 % d'après la corticalité des éclats-supports à leur état d'abandon) ; les produits de mise en forme offrent en effet généralement les plus grandes dimensions.

Le nombre d'éclats produits varie : huit de ces nucléus ont produit 2 éclats, six autres en ont produit seulement un (Fig. 6.15) et les autres ont chacun produit 3, 4, 6 ou 8 éclats. Les deux-tiers de ces nucléus sont débités selon un plan de fracturation parallèle ou subparallèle, les autres selon un plan oblique.

Fig. 6.11 – Le « Bois de Sirion », Auvers-le-Hamon (72). Nucléus Levallois récurrents.

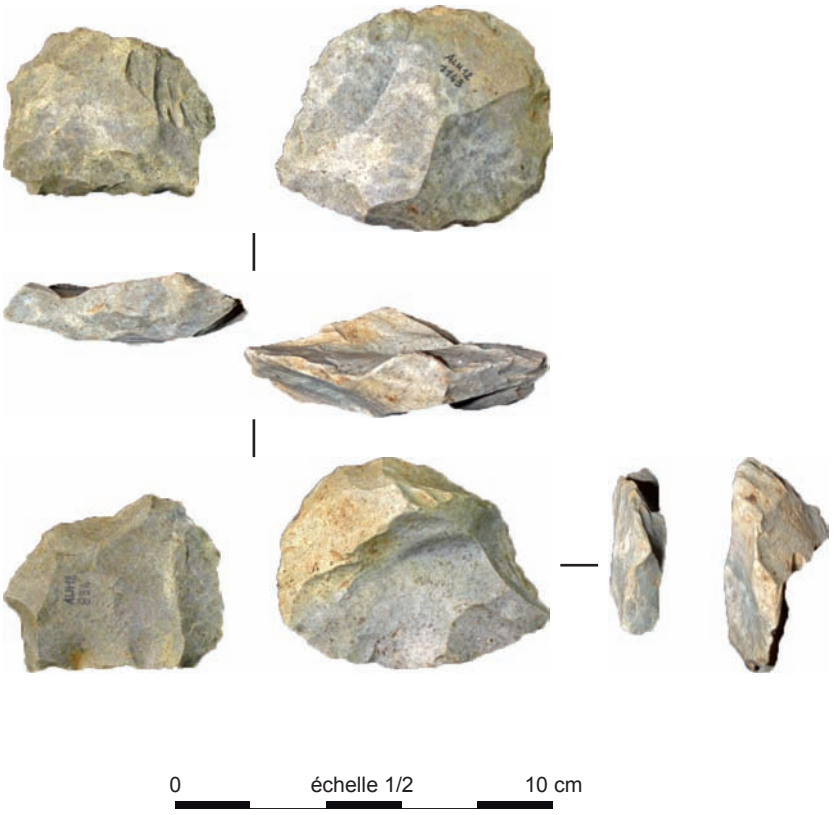



Fig. 6.12 – Le « Bois de Sirion », Auvers-le-Hamon (72). Nucléus Levallois récurrents.

Fig. 6.13 – Le « Bois de Sirion », Auvers-le-Hamon (72). Nucléus Levallois récurrent.

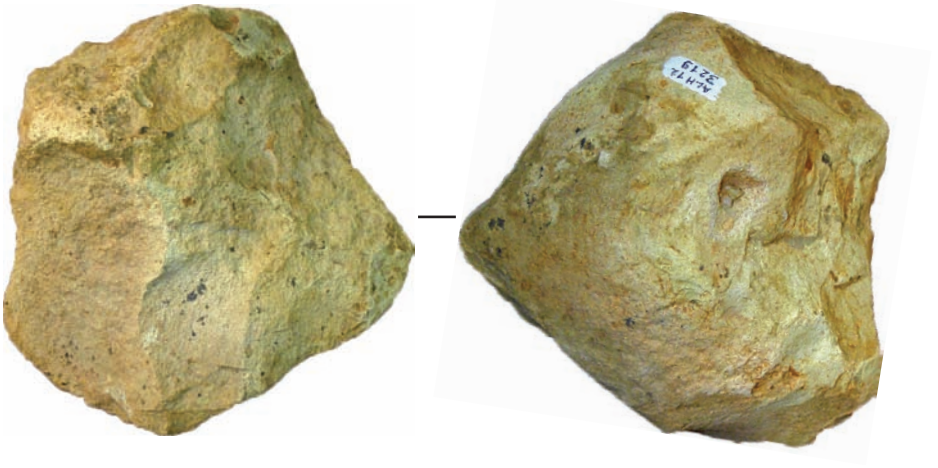

Fig. 6.14 – Le « Bois de Sirion », Auvers-le-Hamon (72). Nucléus Levallois récurrent recyclé en racloir déjeté.

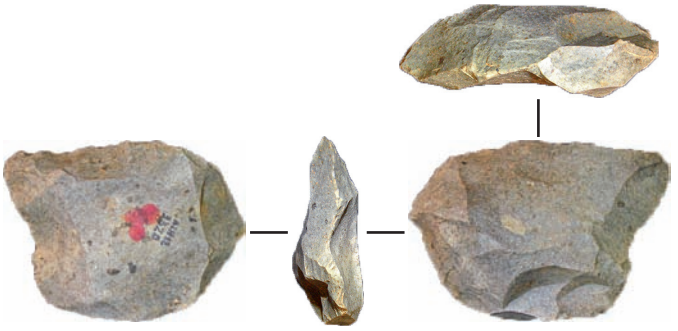

Fig. 6.15 – Le « Bois de Sirion », Auvers-le-Hamon (72). Nucléus à débitage de gestion de surface parallèle non Levallois.





Quand les éclats débités sont multiples, ils sont préférentiellement issus d'une gestion unipolaire (Fig. 6.16 et 6.17) ; seuls trois cas témoignent d'une gestion centripète et d'une gestion bipolaire opposée pour les deux derniers (Fig. 6.18). Ils peuvent être débités indifféremment depuis la partie proximale, distale ou depuis l'un des bords latéraux. La plus grande longueur n'est pas nécessairement recherchée.

Les éclats produits sont donc des éclats de type Kombewa. Quarante éclats de ce type font effectivement partie de la série lithique, mais la majorité d'entre eux sont des éclats de façonnage et non des produits débités à l'aide d'un percuteur dur comme le sont les produits issus de ces nucléus. Les éclats produits ici sont plutôt de faibles dimensions variant de 1,4 à 3,5 cm pour la longueur.

Deux de ces nucléus ont fait l'objet d'un débitage sur leurs deux faces. L'un d'eux (Fig. 6.19), par exemple, a d'abord fait l'objet de la mise en place d'un plan de frappe sur l'un des longs côtés de l'éclat-support par une série de petits enlèvements courts et obliques sur la face ventrale à partir duquel au moins un éclat envahissant a été débité au profit de la face supérieure. Dans un second temps, d'autres petits enlèvements courts et obliques aménagent un plan de frappe cette fois-ci sur la face supérieure de l'éclat-support afin de permettre le débitage de plusieurs éclats centripètes sur l'autre face.

Nucléus multifaciaux (n = 9)

Le débitage multifacial représente le deuxième mode de débitage le plus employé sur le site du Bois-de-Sirion (20 % des nucléus). Ces nucléus en silex sont conçus en plusieurs faces, qui, chacune leur tour, jouent le rôle de plan de frappe ou de surface de débitage. Ce sont ainsi de deux à six surfaces de débitage qui sont exploitées selon le nucléus. Chacune d'elles est exploitée successivement par une série récurrente unipolaire d'éclats, la face précédente servant alors de plan de frappe au débitage de la série suivante sur une autre face.

Quand les faces présentent des négatifs d'enlèvements d'orientation bipolaire ou centripète, nous constatons qu'il s'agit en fait d'une nouvelle exploitation de la face : le tailleur est revenu pour y produire une nouvelle série unipolaire (cas des gestions bipolaires orthogonales ou opposées observées) ou un unique éclat et ce à plusieurs à reprises (cas des rares gestions centripètes observées).

Il est étonnant d'observer que plus de la moitié de ces nucléus a pour support un éclat (n = 5), le débitage se faisant au dépens des faces inférieure et supérieure et dans la tranche de l'éclat. Ces nucléus multifaciaux sur éclat offrent ainsi de deux à trois surfaces de débitage.

Nucléus à débitage semi-tournant (n = 3)

Trois nucléus ont fait l'objet d'un débitage unipolaire semi-tournant à partir d'un unique plan de frappe incliné ; ils ne représentent que 7 % des nucléus de l'assemblage. Ce plan de frappe est mis en place sur l'un des bords les plus étroits du nucléus de manière à ce que les éclats soient débités au profit de la plus grande longueur du nucléus.

L'un d'eux témoigne d'une préparation et d'une exploitation plus poussée que les autres (Fig. 6.20). Il a pour support un rognon à l'extrémité duquel un plan de frappe incliné a été mis en place. Ce plan de frappe a été entretenu à plusieurs reprises en cours de débitage comme en témoignent la chronologie des négatifs d'enlèvements visibles. À partir de ce plan de frappe, plusieurs produits allongés, au moins sept, ont été débités selon une gestion unipolaire semi-tournante. Ces produits offrent une longueur variant de 4,5 à 6 cm. La table de débitage a préalablement fait l'objet d'une mise en forme partielle comme en témoignent les restes encore visibles de deux négatifs d'enlèvements transversaux à la base du nucléus. Le dernier enlèvement produit sur la table est cortical et a réfléchi. Ce réfléchissement semble être à l'origine de la fracture en deux de ce nucléus, raison de son abandon.

Un autre petit rognon de silex a fait également l'objet du débitage de plusieurs enlèvements de même sens à partir d'un plan de frappe incliné préalablement aménagé à l'une des extrémités du rognon au moyen du débitage d'un éclat. Toutefois, ces produits ont réfléchis contre le cortex et le nucléus a été abandonné alors qu'il n'en était qu'au début de son exploitation (Fig. 6.21).

Enfin, un troisième nucléus de ce type est présent dans la série mais celui-ci n'a fait l'objet d'aucune préparation préalable. Ayant pour support un fragment gélif de bloc, il met à profit une surface de fracture naturelle comme plan de frappe et une table de débitage naturellement cintrée et carénée. Il aura permis la production de quatre éclats avant les nombreux réfléchissements qui ont mené à son abandon.

Fig. 6.16 – Le « Bois de Sirion », Auvers-le-Hamon (72). Nucléus à débitage de gestion de surface parallèle non Levallois unipolaire.

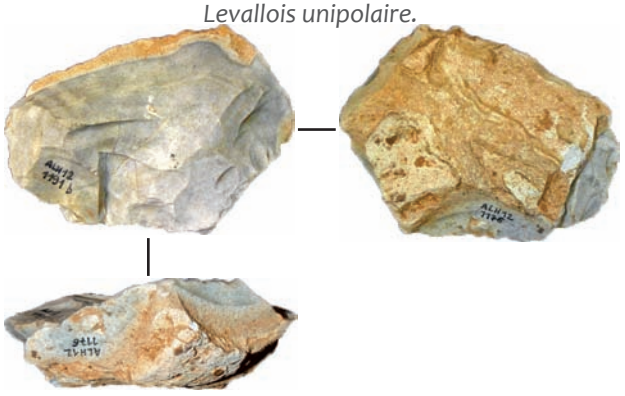

Fig. 6.17 – Le « Bois de Sirion », Auvers-le-Hamon (72). Nucléus à débitage de gestion de surface parallèle non Levallois unipolaire.



Fig. 6.18 – Le « Bois de Sirion », Auvers-le-Hamon (72). Nucléus à débitage de gestion de surface parallèle non Levallois bipolaires opposés.

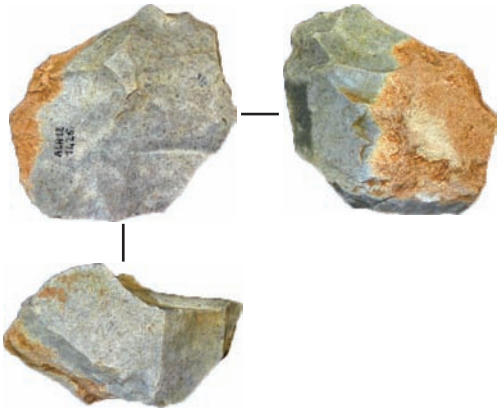

Fig. 6.19 – Le « Bois de Sirion », Auvers-le-Hamon (72). Nucléus à débitage de gestion de surface parallèle non Levallois à deux surfaces de débitage.

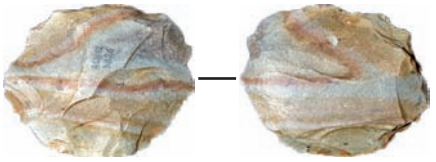

Fig. 6.20 – Le « Bois de Sirion », Auvers-le-Hamon (72). Nucléus à débitage semi-tournant.



Fig. 6.21 – Le « Bois de Sirion », Auvers-le-Hamon (72). Nucléus à débitage semi-tournant.



Nucléus mixte gestion de surface non Levallois / semi-tournant (n = 1)

Un nucléus témoigne de deux modes de débitage à son état d'abandon. Il a pour support un fragment de bloc de silex. Dans un premier temps, un débitage facial unipolaire de trois éclats d'incidence rasante a été opéré à partir de l'une des bords longs de ce fragment, sans préparation préalable ni du plan de frappe ni de la surface de débitage. Dans un second temps, c'est à partir de l'un des petits côtés, donc perpendiculairement à la première phase, que le débitage a été mené selon une gestion unipolaire semi-tournante en se servant de la ligne de fracture du support comme première nervure guide et a permis la production de quatre à cinq éclats.

Fragments de nucléus indéterminés (n = 5)

Le corpus comprend par ailleurs cinq fragments de nucléus en silex. La méthode de débitage ayant permis l'exploitation de ces nucléus n'a pu être déterminée en raison de leur état fragmentaire. Il s'agit de fractures liées au gel dans quatre cas et d'une fracture au débitage dans un cas.

Débitage d'éclats sur supports bifaciaux en fin de vie (n = 13)

Il faut noter par ailleurs que plusieurs pièces bifaciales ont fait l'objet, en fin de vie en tant qu'outils, du débitage « opportuniste » de un à cinq éclats aux dépens d'une ou des deux faces de la pièce (*cf.* §6.2.3). Ces outils recyclés n'ont pas été comptabilisés dans les nucléus à proprement parler bien qu'ils participent opportunément à fournir quelques produits de débitage.

Au moins cinq éclats ont clairement pu être identifiés comme ayant été débités par percussion directe au percuteur dur au profit d'une face de pièce bifaciale façonnée.

6.1.2.3. La production

Nous considérons ici l'ensemble des produits, qu'ils aient été ou non ensuite sélectionnés en tant que supports d'outils retouchés, afin d'avoir une idée générale des objectifs de la production (Tabl. 9).

Les produits de débitage en roches autres que le silex

L'assemblage comprend un très faible nombre de produits issus de l'exploitation de roches autres que le silex.

Type de produit en silex	nb
Débris	283
Éclat et fragment d'éclat de moins de 2 cm	4137
Fragment d'éclat de débitage	2657
Éclat cortical (≥50 %)	167
Éclat cortical (<50%)	249
Éclat non cortical	655
Éclat Levallois	47
Éclat Levallois débordant	1
Éclat à dos cortical	17
Éclat débordant	19
Éclat à crête axiale	4
Éclat de type Kombewa	29
Éclat de façonnage	1495
Éclat de façonnage de type Kombewa	12
Éclat de coup de tranchet	72
Éclat d'affûtage de biface	3
Éclat de retouche	29
Total	**9876**

Tabl. 9 – Le « Bois de Sirion », Auvers-le-Hamon (72). Décompte des produits en silex (bruts et retouchés).

Il s'agit exclusivement de produits de débitage obtenus par percussion directe au percuteur dur, ces roches n'ont apparemment pas été façonnées à l'aide d'un percuteur tendre.

Outre le distal d'éclat en grès fin (*cf. supra*), les grès et quartzites sont représentés par 3 autres éclats, entiers cette fois-ci, 1 esquille et 2 débris de taille. Ces éclats sont entièrement non corticaux et présentent des négatifs d'enlèvements antérieurs sur leur face supérieure : ces caractères témoignent d'une exploitation relativement poussée (plein débitage) de leur nodule d'origine. Leurs dimensions sont assez faibles, entre 2,1 et 3,3 cm de long pour 2,4 à 3,3 cm de large. Ces produits ont été retrouvés relativement dispersés à travers l'emprise et proviennent de diverses UPS, depuis la plus profonde (SR) à la moins profonde (LSB).

Le quartz filonien n'est représenté que par 2 esquilles non corticales, retrouvées également éloignées l'une de l'autre tant en plan qu'en stratigraphie.

Une autre roche non déterminée, de couleur sombre bleutée, parcourue de minces veines de quartz et de fissures, est représentée par une esquille corticale et un proximal non cortical d'éclat. Ces deux éléments proviennent des niveaux supérieurs (LSB et LSBR) du Locus 3.

Enfin, une roche indéterminée de couleur noire est représentée par 1 fragment d'éclat et 2 esquilles.

Les produits en silex

Produits de débitage

Les produits de débitage corticaux, qu'ils soient des éclats ordinaires ou des produits techniques, constituent 38 % des éclats entiers en silex (Fig. 6.22). Parmi eux, ceux provenant des phases de mise en forme en constituent plus d'un tiers (38 %) ; les entames sont cependant rares (n = 5). Ces proportions arguent en faveur d'une production *in situ*, de même que la présence en quantité très importante d'esquilles et fragments d'éclats inférieurs à 2 cm (n = 4137 soit 40 % de l'assemblage).

Les produits débités sont tous des éclats ; ils offrent des dimensions moyennes peu élevées (L = 47 mm ; l = 40 mm ; e = 13,3 mm) et ne dépassent pas 102 mm de long ; leurs modules sont plutôt larges (L/l moyen de 1,21) et assez épais (l/e moyen de 3,48) (Fig. 6.23 et 6.24).

Leur débitage se fait le plus souvent sans préparation préalable des plans de frappe : les talons corticaux et lisses représentent en effet 59 % des talons déterminables observés, tandis que les talons facettés au sens large en représentent 37 % (Fig. 6.25) Le recours à l'abrasion ne se fait que dans 8,5 % des cas.

Les accidents de débitage sont rares : seul 4,9 % des éclats débités entiers ont réfléchi et 0,6 % ont outrepassé. L'un de ces éclats outrepassé a d'ailleurs pu être identifié, et c'est le seul, comme ayant été débité au profit d'une face supérieure d'éclat : en témoigne le fait qu'en outrepassant, cet éclat a emporté dans sa partie distale une portion de la face ventrale de l'éclat-support.
Les négatifs d'enlèvements visibles sur les faces supérieures des éclats ordinaires montrent de 1 à 10 négatifs antérieurs pour une moyenne de 3 par éclat. Ils témoignent principalement de la mise œuvre d'une gestion unipolaire (57,6 %), parfois bipolaire (33 %) et rarement centripète (9,4 %).

Parmi les gestions unipolaires, les négatifs d'enlèvements sont généralement orientés parallèlement au sens de l'axe de débitage de l'éclat (88 %), rarement de manière convergente (4 %), et parfois perpendiculairement au sens de l'axe de débitage de l'éclat (8 %).
Les gestions bipolaires sont quant à elles plus souvent orthogonales (82 %) et rarement opposées.

Au sein de la production en silex, se distinguent des produits aux caractères morpho-techniques particuliers. Les éclats Levallois (n = 48 ; Pl. 1 et 2), en particulier, constituent un des objectifs de la production par débitage comme nous l'avons vu précédemment avec les méthodes de débitage employées.

Comme en témoignent les négatifs visibles sur leur face supérieure, ces éclats Levallois sont issus de modalités récurrentes de gestion principalement bipolaire (56 %), orthogonale (2/3 des gestions bipolaires) ou opposée, gestion qui n'avait pourtant pas été observée sur les nucléus Levallois de la série à leur état d'abandon. Les gestions unipolaires et centripètes, les seules représentées sur les nucléus Levallois de la série sont autant représentée l'une que l'autre (22 % chacune).

Ils offrent des dimensions moyennes supérieures aux éclats ordinaires que comprend la série (L = 63 mm ; l = 45 mm ; e = 11 mm), ainsi des module d'allongement (L/l moyen de 1,4) et d'aplatissement (l/e moyen de 4,5) plus importants.

Seul l'un d'entre eux conserve un reste cortical sur sa face supérieure, les autres sont tous exempts de cortex.
Ils ont généralement fait l'objet d'une préparation soigneuse préalablement à leur débitage comme en témoignent leurs talons très fréquemment facettés (80 %).
Parmi les éclats Levallois, nous en distinguons un de type débordant qui a ensuite servi de support à la confection d'un racloir simple.

Des éclats débordants *lato sensu* (emportant une partie de la corniche du nucléus) font également partie de l'assemblage : 17 éclats à dos cortical, 19 éclats à dos de débitage et 4 éclats à crête axiale. Ils ont été débités selon un plan de fracturation parallèle et non sécant, en cohérence avec les types de nucléus présents dans la série. Ils ont pu être produits dans le cadre des débitages multifaciaux ou du débitage Levallois dans le cadre desquels ils jouent un rôle dans l'aménagement et l'entretien des convexités en tant qu'éclats prédéterminants. Ceux à crête axiale ont également pu participer à la mise en forme des nucléus semi-tournant.

Enfin, des éclats de type Kombewa (Pl. 3 n° 1 et 2) dont les talons témoignent d'une percussion directe au percuteur dur sont présents en assez grand nombre (n = 28 soit 2,5 % des produits débités entiers), en cohérence avec les grand nombre de nucléus qui ont pour support de débitage un éclat (*cf. supra*).

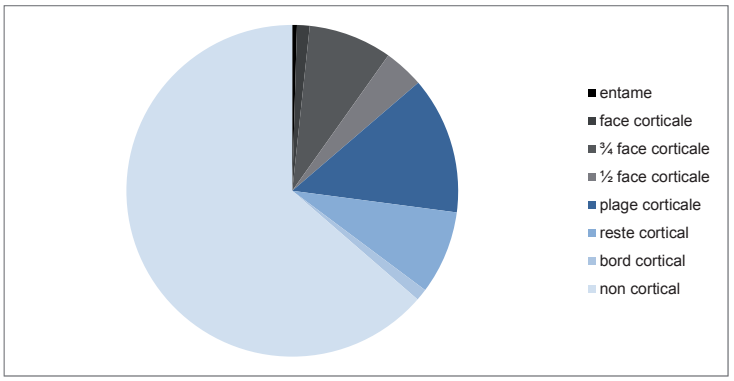

Fig. 6.22 – Le « Bois de Sirion », Auvers-le-Hamon (72). Corticalité des produits de débitage entiers (en %).

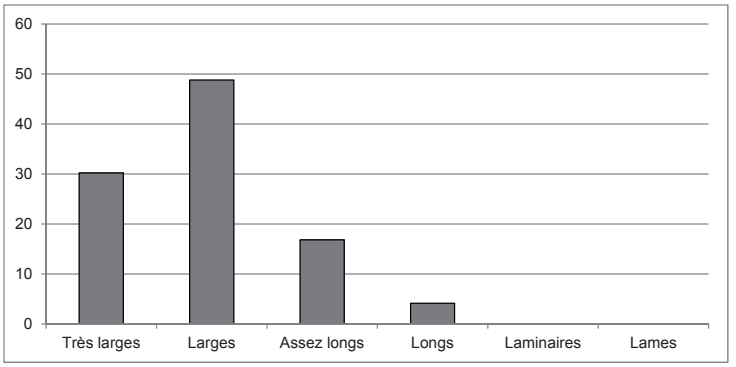

Fig. 6.23 – Le « Bois de Sirion », Auvers-le-Hamon (72). Modules d'allongement (L/l) des produits de débitage entiers (en %).

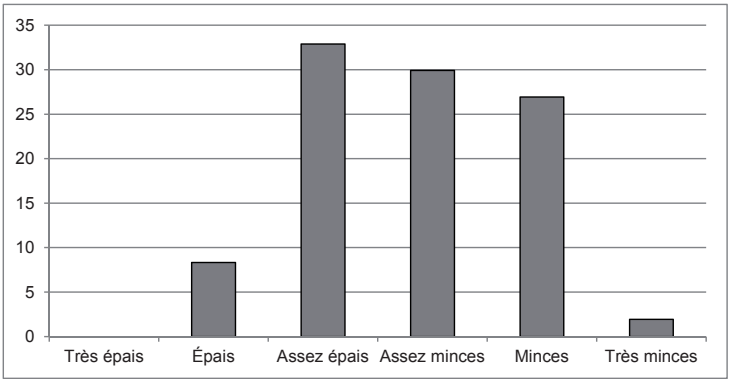

Fig. 6.24 – Le « Bois de Sirion », Auvers-le-Hamon (72). Modules d'aplatissement (l/e) des produits de débitage entiers (en %).

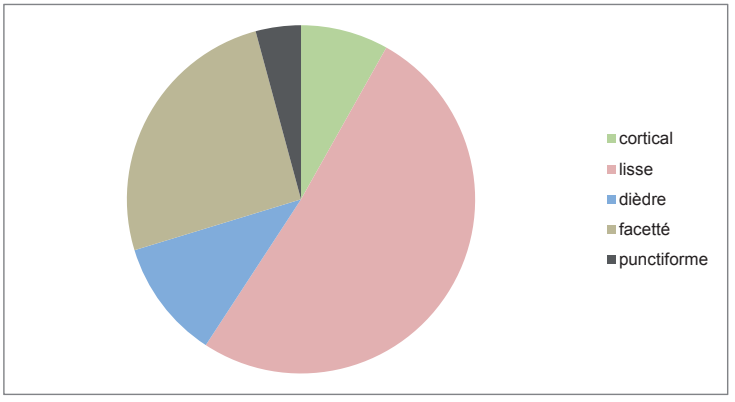

Fig. 6.25 – Le « Bois de Sirion », Auvers-le-Hamon (72). Types de talons des produits de débitage (en %).

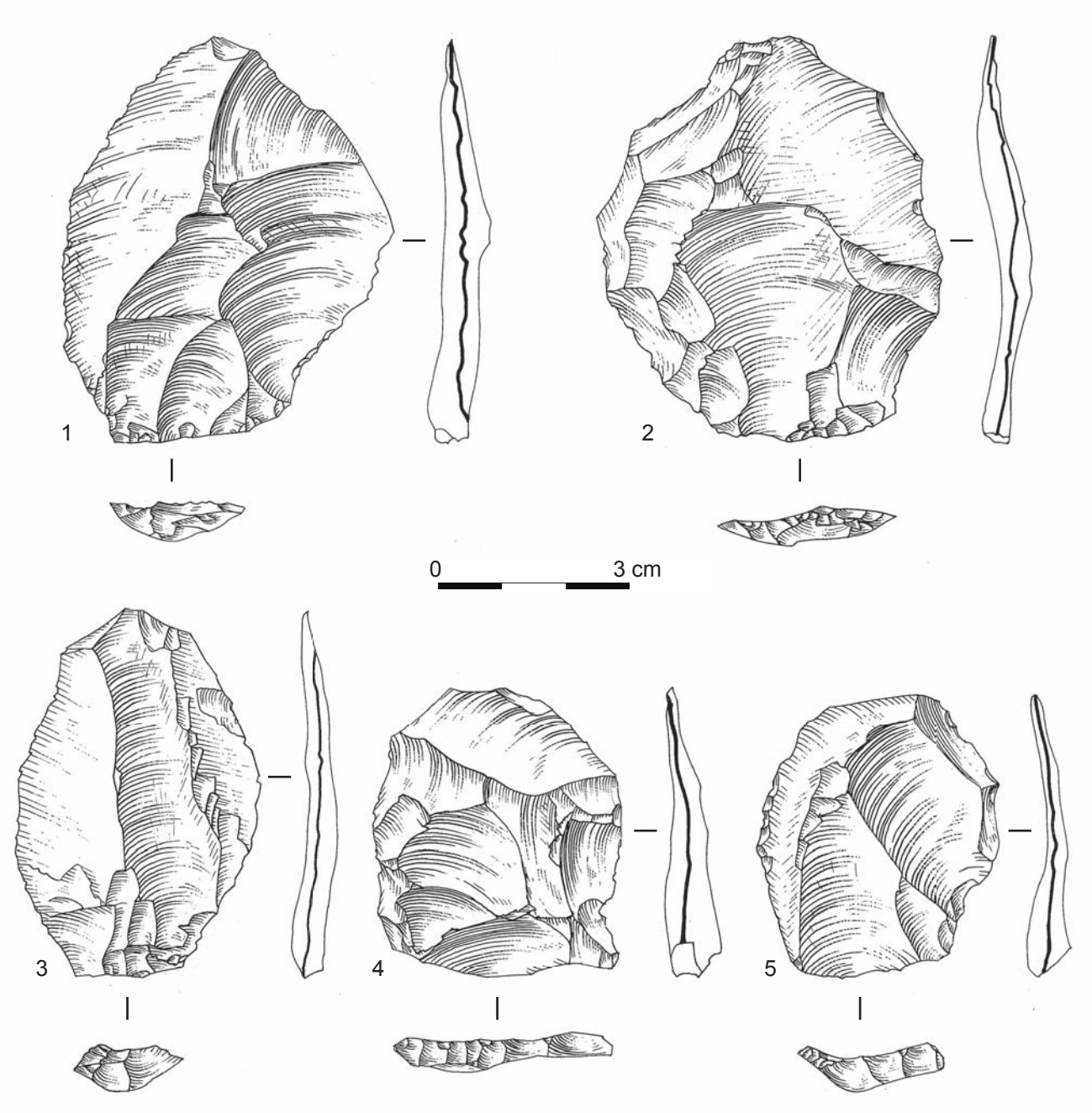

Pl. 1 – Le « Bois de Sirion », Auvers-le-Hamon (72). Éclats Levallois. (Dessin : Régis Picavet ; DAO : B. Huet)

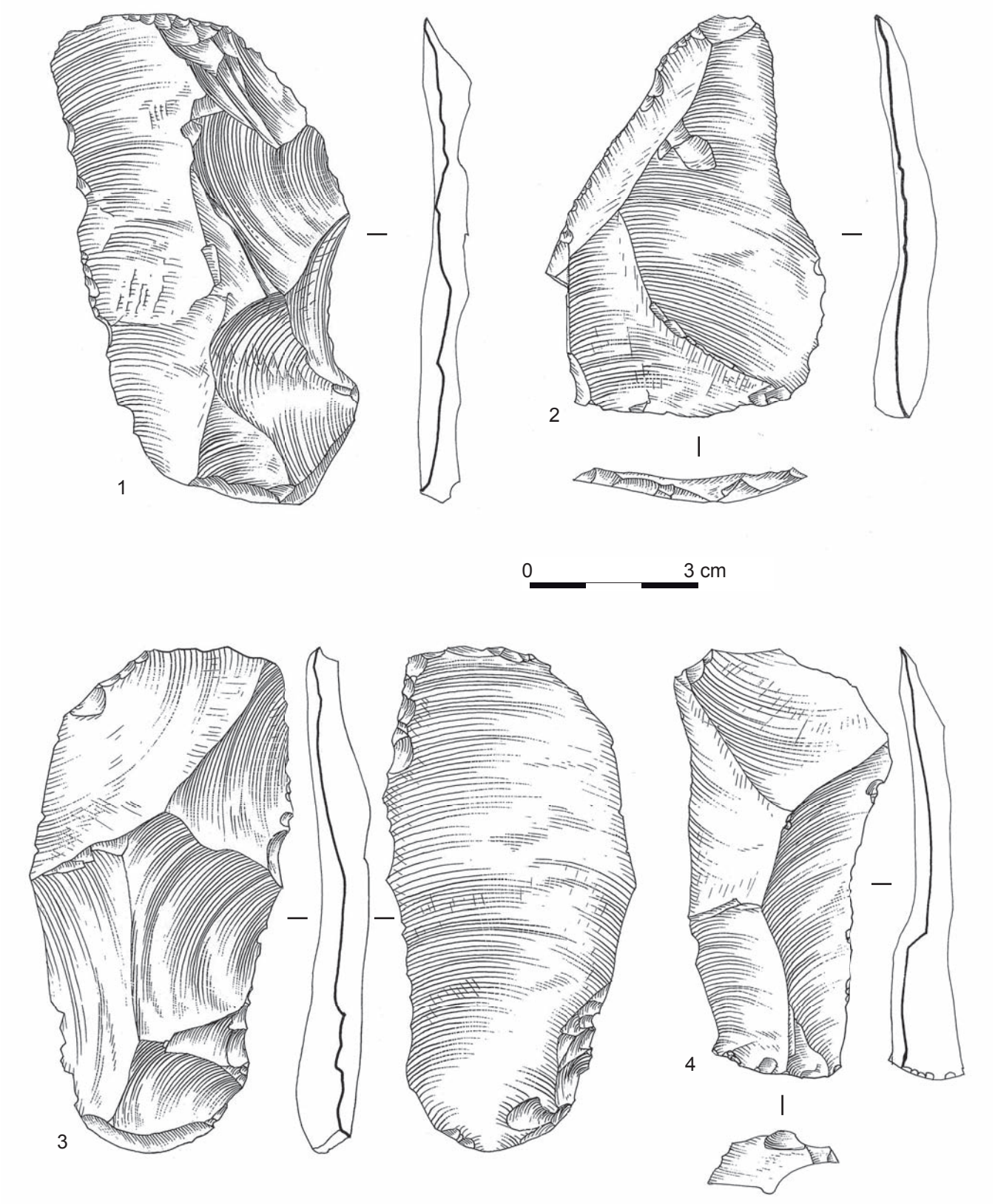

Pl. 2 – Le « Bois de Sirion », Auvers-le-Hamon (72). Éclats Levallois. (Dessin : Régis Picavet ; DAO : B. Huet)

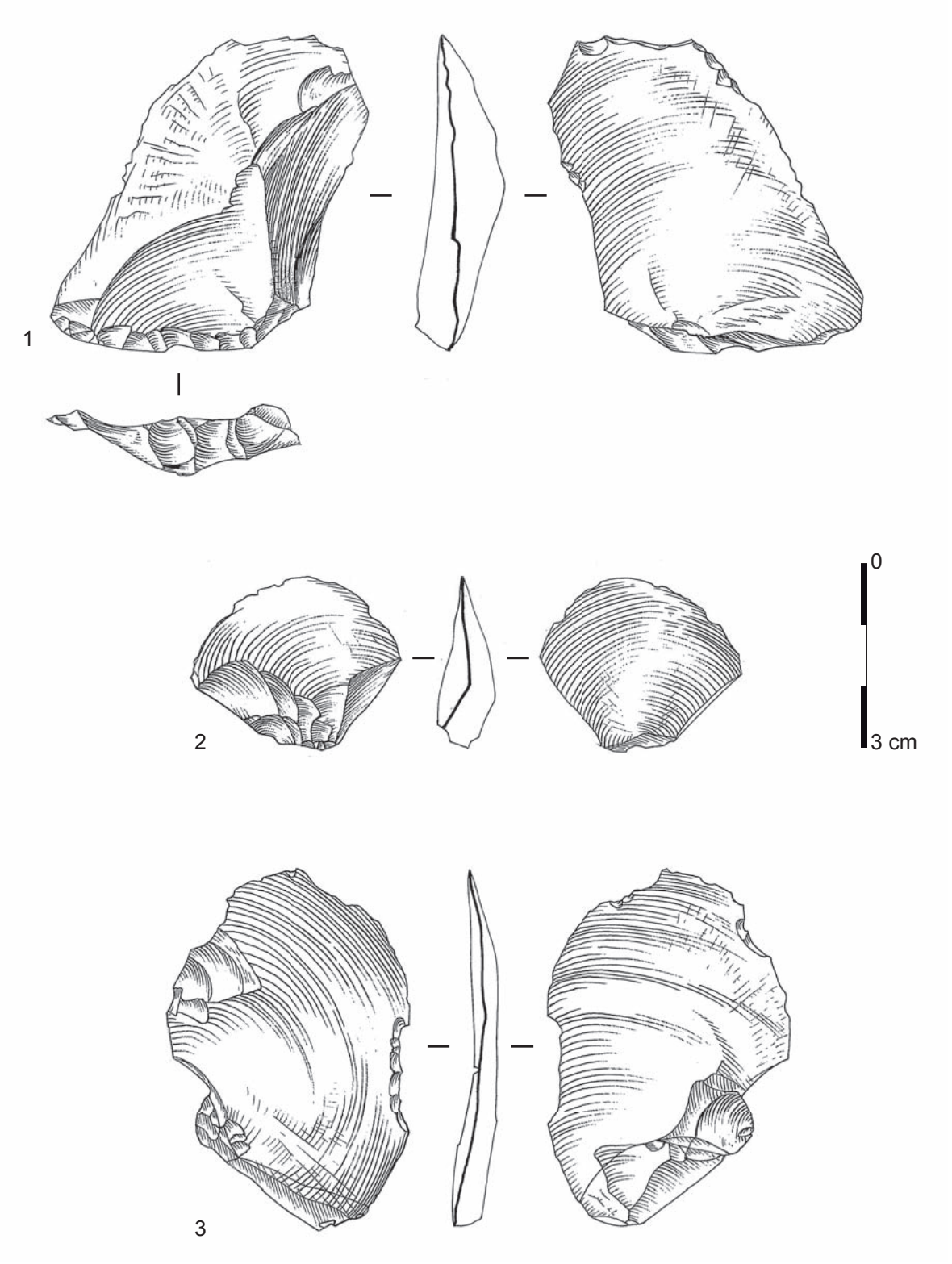

Pl. 3 – Le « Bois de Sirion », Auvers-le-Hamon (72). Éclats de « type Kombewa ». (Dessin : Régis Picavet ; DAO : B. Huet)

Déchets de façonnage

Les produits issus des opérations de façonnage constituent une très grande part de l'assemblage lithique du Bois-de-Sirion (Tabl. 9). Ils représentent en effet 51,4 % de l'ensemble des éclats entiers produits et récoltés sur ce site. Il s'agit de plus d'une proportion *a minima* car seuls ont été comptabilisés comme produits de façonnage ceux dont la percussion directe au percuteur tendre a pu être déterminée de manière certaine.

Ces éclats de façonnage présentent des dimensions moyennes légèrement inférieures à celles des produits de débitage et une épaisseur deux fois moindre, bien évidemment lié à la technique de taille (L = 36,8 mm ; l = 30,6 mm ; e = 6,5 mm).

Le nombre important d'éclats de façonnage, présentant en outre divers taux de corticalité et des dimensions variées, atteste de la confection *in situ* des pièces façonnées.

Ces éclats sont le plus souvent non corticaux (87 % ; Fig. 6.26 à 31). Ceux qui présentent un taux de cortex résiduel couvrant plus de la moitié de la surface sont rares (2,8 % ; Fig. 6.32). Ces taux vont dans le sens d'un façonnage qui recourt de manière importante à des éclats comme supports, ce qui est effectivement confirmé par l'observation même des pièces bifaciales (*cf.* §6.1.3).

La présence d'éclats de façonnage de type Kombewa (n = 12 ; Pl. 3 n° 3) témoignent également de l'utilisation d'éclats comme supports pour la confection des pièces bifaciales. Ce nombre est cependant faible au regard du nombre de ces pièces bifaciales sur éclat effectivement reconnues comme telles (n = 35) (*cf.* §6.1.3).

Parmi les éclats de façonnage, un type particulier, des éclats de coup de tranchet latéraux, a été reconnu (n = 72 ; Pl. 4). Ce type d'éclat est produit par une percussion portée près du tranchant de la pièce bifaciale de manière à ce qu'il outrepasse latéralement, emportant avec lui une partie de l'autre face (Desbrosse *et al.*, 1976). Sa face ventrale témoigne de ce débordement par la présence d'un méplat latéral. Il est le déchet de la technique dite « du coup de tranchet » qui, en laissant un négatif d'enlèvement plan, permet de rendre le tranchant de l'outil dont il est issu plus acéré et plus rectiligne (Tixier *et al.*, 1980).

Ces éclats de coup de tranchet présentent ici un méplat latéral le plus souvent facetté (70 % ; Pl. 4 n° 2, 4, 5 et 6) témoignant du fait qu'ils proviennent d'une pièce à façonnage bifacial, et plus rarement lisse (30 % ; Pl. 4 n° 1 et 3) témoin d'un tranchant inverse brut. Les premiers peuvent provenir des pièces bifaciales ou des racloirs à retouche biface de la série, tandis que les derniers peuvent être issus de la confection des unifaces ou des racloirs retouchés sur éclats (*cf.* §6.1.3).

Pourtant, à l'état d'abandon, aucun des outils façonnés ou retouchés que comprend la série ne présente de négatif correspondant. Nous en déduisons donc que ces pièces ont été réaffutées après le coup de tranchet, recouvrant ainsi totalement le négatif de la chute du coup de tranchet et le rendant ainsi moins reconnaissable.

Quand il est encore présent, leur talon témoigne d'un plan de frappe aménagé par de petits enlèvements (68 % de talons facettés et dièdres) ou non (32 % de talons lisses).

L'un de ces éclats de coup de tranchet est de type Kombewa (Pl. 4 n° 6).

Un autre, et il s'agit du seul dans ce cas, a assurément été débité au moyen d'un percuteur dur témoignant de l'utilisation des pièces bifaciales comme supports de débitage ; cet éclat a ensuite servi de support d'outil retouché (*cf.* §6.2.3). C'est également le seul éclat de ce type à avoir été sélectionné comme support d'outil, ce qui indique bien que leur production ne constitue pas une finalité en soi mais que c'est la conséquence technique de leur négatif sur le tranchant qui est recherchée.

Fig. 6.26 à 6.29 – Le « Bois de Sirion », Auvers-le-Hamon (72). Éclats de façonnage.



26 27 28 29

Fig. 6.30 à 32 – Le « Bois de Sirion », Auvers-le-Hamon (72). Éclats de façonnage.



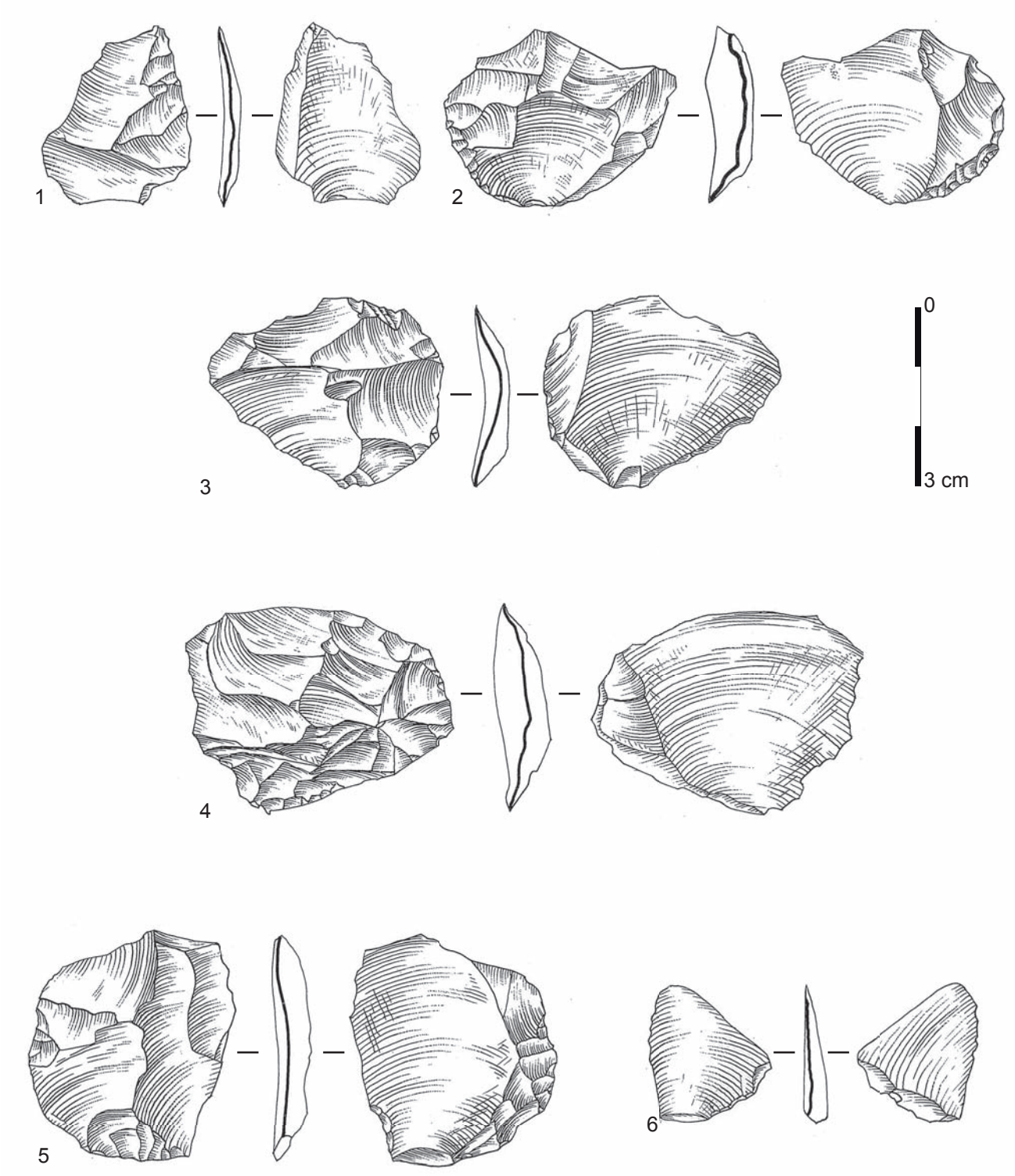

Pl. 4 – Le « Bois de Sirion », Auvers-le-Hamon (72). Éclats de coup de tranchet. 1-5 : éclats de coup de tranchet ; 6 : éclat de coup de tranchet de « type Kombewa ». (Dessin : Régis Picavet ; DAO : B. Huet)

6.1.3. Phase de confection et d'utilisation

Des outils retouchés et d'autres façonnés sont présents sur le site. Ils constituent 3,4 % de la série du Bois-de-Sirion.

6.1.3.1. L'outillage retouché

L'outillage retouché, avec 224 pièces, représente 64 % de l'outillage et 2,2 % de l'assemblage lithique (Tabl. 10). La présence d'éclats de retouche (n = 29) comme l'observation de tranchants ravivés témoignent d'une utilisation et d'un entretien sur place.

Choix des supports

Les outils retouchés sont exclusivement confectionnés à partir de supports en silex. Parmi ces supports, nous distinguons un nucléus, tous les autres sont des éclats (Tabl. 11). Le taux de fragmentation de ces outils sur éclats est assez élevé (42 %), bien que dans la même proportion que pour les produits de débitage bruts.
Il s'agit principalement d'éclats non corticaux (54 % des éclats ordinaires) ou conservant peu de cortex (34 %). Le taux de corticalité ne représente toutefois pas un critère de sélection puisque l'on retrouve sensiblement ces mêmes proportions au sein des produits de débitage bruts. L'allongement et l'épaisseur des éclats n'apparaissent pas non plus être des critères de sélection en tant que support d'outil retouché. Parmi ces éclats-supports, les éclats simples sont nettement majoritaires (88 %). Les autres types d'éclats, notamment les éclats Levallois, ne sont pas préférentiellement sélectionnés pour la confection de l'outillage retouché (Tabl. 11).

Description typologique

L'outillage retouché sur éclat se décline en divers types d'outils avec toutefois une très nette prédominance des racloirs (Tabl. 10). Quelques-uns de ces éclats retouchés ont permis à l'aménagement de deux types d'outils sur le même support, donnant ainsi lieu à des outils mixtes (n = 7) : l'un des segments retouchés est toujours un racloir, de type variable, auquel est associé un denticulé, une encoche ou encore un burin.

Type d'outil façonné	nb
Macro-outil	4
Pièce bifaciale	108
Uniface	14
Sous-total	***126***
Type d'outil retouché	**nb**
Fragment de racloir	32
Racloir simple	39
Racloir simple convexe associé à une encoche	1
Racloir simple convexe associé à un denticulé	1
Racloir double	5
Racloir convergent	5
Racloir convergent associé à une encoche	1
Racloir déjeté	10
Racloir déjeté associé à un denticulé	1
Racloir transversal	12
Racloir transversal associé à un denticulé	1
Racloir sur face plane	16
Racloir sur face plane associé à un denticulé	1
Racloir à retouche abrupte	1
Racloir à retouche abrupte associé à un burin	1
Racloir à dos aminci	1
Racloir à retouche biface	25
Racloir à retouche alterne	10
Grattoir en bout de racloir	1
Burin	1
Encoche	2
Denticulé	14
Éclat peu retouché	2
Fragment d'outil retouché	26
Éclat ou fragment d'éclat utilisé	12
Éclat brut aminci	3
Sous-total	***224***
Total	**350**

Tabl. 10 – Le « Bois de Sirion », Auvers-le-Hamon (72). Nature technique des supports d'outils retouchés.

Type de support retouché	nb	%
Éclat indifférencié	196	87,5
Éclat de façonnage	13	5,8
Éclat Levallois	9	4,02
Éclat à dos cortical	3	1,34
Éclat de type Kombewa	1	0,45
Éclat de coup de tranchet	1	0,45
Nucléus	1	0,45
Total	**224**	**100**

Tabl. 11 – Le « Bois de Sirion », Auvers-le-Hamon (72). Choix des supports retouchés.

Racloirs (n = 156 + 7 outils mixtes)

Les racloirs constituent le type d'outil le plus fréquent : ils représentent 72,8 % de l'outillage retouché sur éclat. Ces racloirs connaissent une grande variété de types :

Racloirs simples (n = 39 + 2 outils mixtes)
Les racloirs simples sont le type de racloir le plus fréquent dans cet assemblage lithique. Ils représentent 25 % des racloirs. Ils ont pour support principalement des éclats ordinaires, généralement non corticaux (61 %), en moyenne plutôt larges et assez minces. Parmi ces éclats-supports, se distinguent un éclat Levallois débordant, un éclat à dos cortical et six éclats de façonnage (Pl. 5 n° 3).

Le bord droit est le plus fréquemment aménagé (62 %). Deux cas présentent une retouche alternante. La délinéation du tranchant retouché est généralement convexe (26 cas ; Pl. 6 n° 1), parfois rectiligne (5 cas), concave (4 cas) ou concavo-convexe (3 cas) et exceptionnellement droit-convexe (1 cas), droit-droit (1 cas) ou légèrement denticulée (1 cas).

Cinq de ces racloirs simples ont fait l'objet d'un amincissement inverse proximal ; leurs supports sont pourtant peu épais. Sur les deux seuls exemplaires où cela était déterminable, il a été établi que cet amincissement était antérieur à la retouche en tant que racloir.

L'un de ces racloirs simples est associé à un denticulé sur le bord opposé (*cf. infra*). Il s'agit d'un éclat de façonnage cortical dont le proximal et le bord droit ont été aménagés en un racloir simple convexe par une retouche directe, tandis que le reste du pourtour de l'éclat, en dehors du quart distal-gauche laissé brut, offre une retouche denticulée. Dans la partie distale, la retouche denticulée directe a été précédée par un faible amincissement de la face inférieure par deux petits enlèvements rasants.
Un autre racloir simple convexe est quant à lui associé à une encoche retouchée de faible profondeur sur son bord opposé (Pl. 5 n° 2).

Deux de ces racloirs simples ont été recyclés en support de débitage suite à leur fracture.
C'est le cas d'un racloir simple à dos cortical qui a vu son extrémité distale emportée par une fracture latérale postérieurement à son aménagement. Cette surface de fracture a alors été utilisée comme un plan de frappe pour venir débiter au moins trois petits enlèvements successifs dans la tranche distale de l'éclat-support en suivant dans un premier temps la nervure séparant la surface de fracture et la face inférieure de l'éclat-support.
Un autre racloir simple convexe (Fig. 6.33) a également fait l'objet, suite à sa fracture, de quelques enlèvements sur sa face inférieure sur le bord opposé au racloir.

Racloirs doubles (n = 5)
Cinq racloirs doubles font partie de l'outillage sur éclat. Ils sont de délinéations variées : 3 sont biconvexes, 1 droit et le dernier droit/concavo-convexe. Deux d'entre eux témoignent d'un amincissement de leur bulbe. Cet amincissement est intervenu après la retouche du bord droit mais avant celle du bord gauche pour l'un ; cela n'est pas déterminable pour l'autre en l'absence de contact entre l'amincissement et la retouche.

Racloirs convergents (n = 5 + 1 outil mixte)
La série comporte 6 racloirs convergents (Pl. 6 n° 2 à 4). Confectionnés préférentiellement sur des éclats ordinaires non corticaux minces, ces outils offrent des tranchants de délinéation biconvexes dans cinq cas, convexe-concave dans un seul cas (Pl. 6 n° 3). Ce dernier porte en outre une encoche retouchée abrupte en fin de segment du racloir concave.

Racloirs déjetés (n = 10+ 1 outil mixte)
Plusieurs racloirs déjetés font partie de la panoplie de l'outillage retouché (Pl. 7 n° 3 et 4). Ils ont pour support des éclats ordinaires, corticaux ou non, de module large et assez mince.
La retouche intéresse le tranchant distal et indifféremment le bord droit (4 cas) ou le bord gauche (5 cas). L'un d'eux, déjeté à gauche, associe en outre un denticulé sur son tranchant droit (Pl. 7 n° 3). Ce dernier a également fait l'objet d'un amincissement préalable de son bulbe de percussion ; un seul autre racloir déjeté a été aminci.

Également, un nucléus typo-Levallois a été recyclé comme support d'outil retouché. Une retouche irrégulière, très légèrement denticulée, affecte deux bords consécutifs de la surface de débitage de manière à aménager un racloir déjeté vers la gauche (Fig. 6.14). Cet outil est le seul de la série à avoir pour support un nucléus.

Racloirs transversaux (n = 12 + 1 outil mixte)
L'outillage retouché comprend 13 racloirs transversaux aménagés sur des éclats en moyenne larges et assez minces. À la différence des autres types de racloirs, les éclats-supports sont ici majoritairement corticaux (70 %) bien qu'il s'agisse de faibles plages ou restes de cortex résiduel.

Fig. 6.33 – Le « Bois de Sirion », Auvers-le-Hamon (72).
Racloir simple convexe repris après fracture.



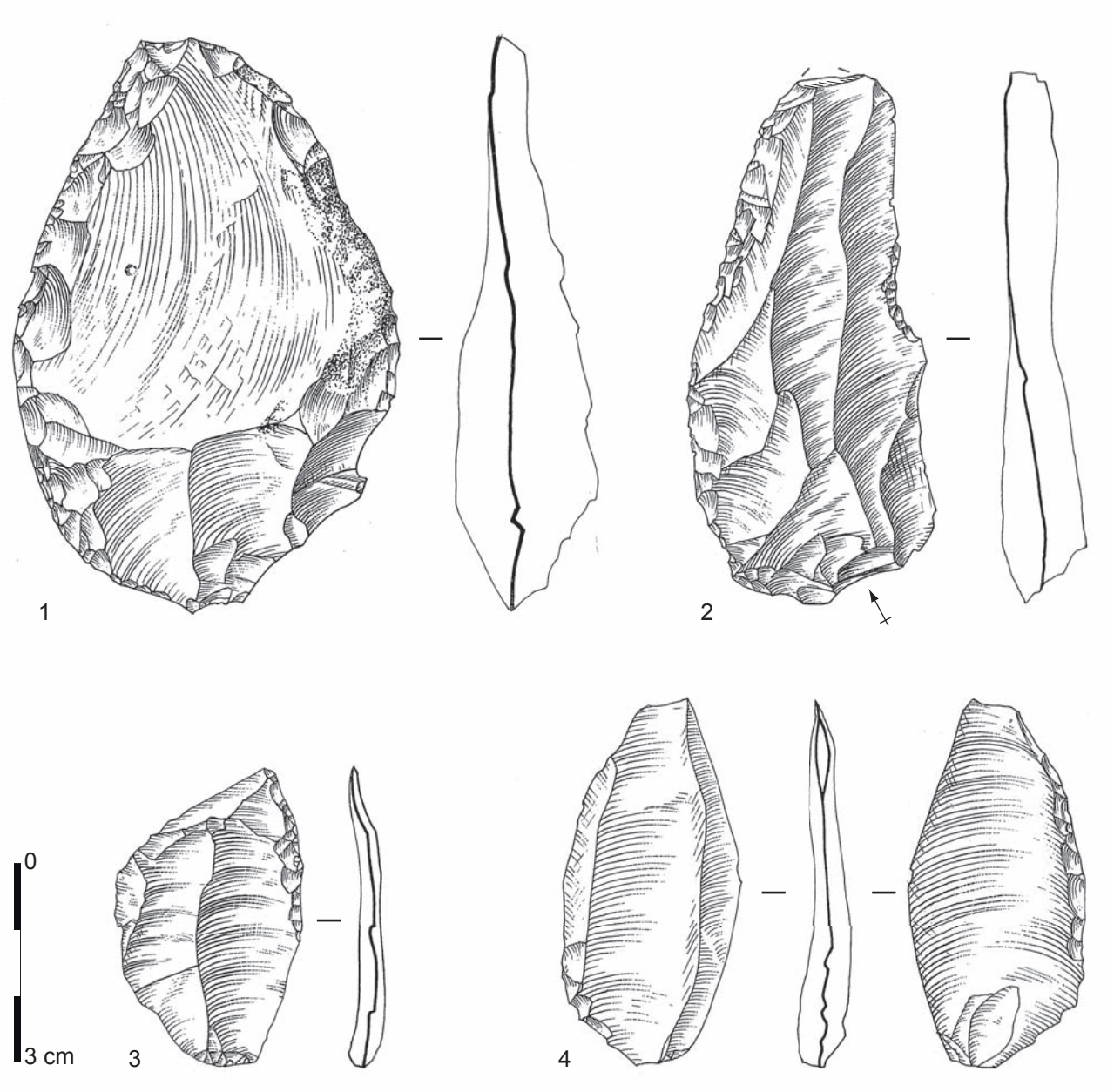

Pl. 5 – Le « Bois de Sirion », Auvers-le-Hamon (72). Racloirs. 1-3 : racloirs simples convexes ; 4 : racloir sur face plane.
(Dessin : Régis Picavet ; DAO : B. Huet)

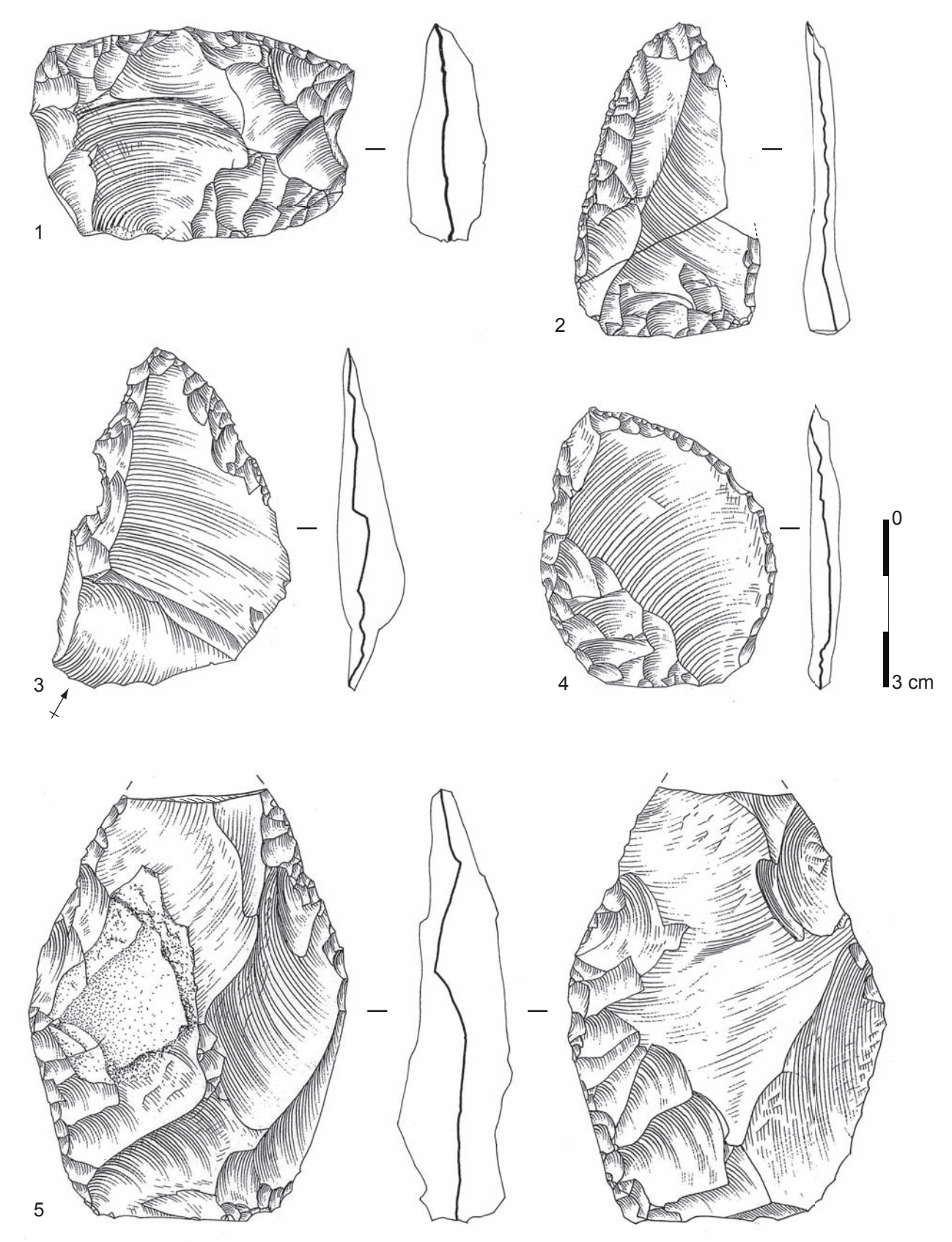

Pl. 6 – Le « Bois de Sirion », Auvers-le-Hamon (72). Racloirs. 1 : racloir transversal convexe ; 2-4 : racloirs convergents ; 5 : racloir alterne. (Dessin : Régis Picavet ; DAO : B. Huet)

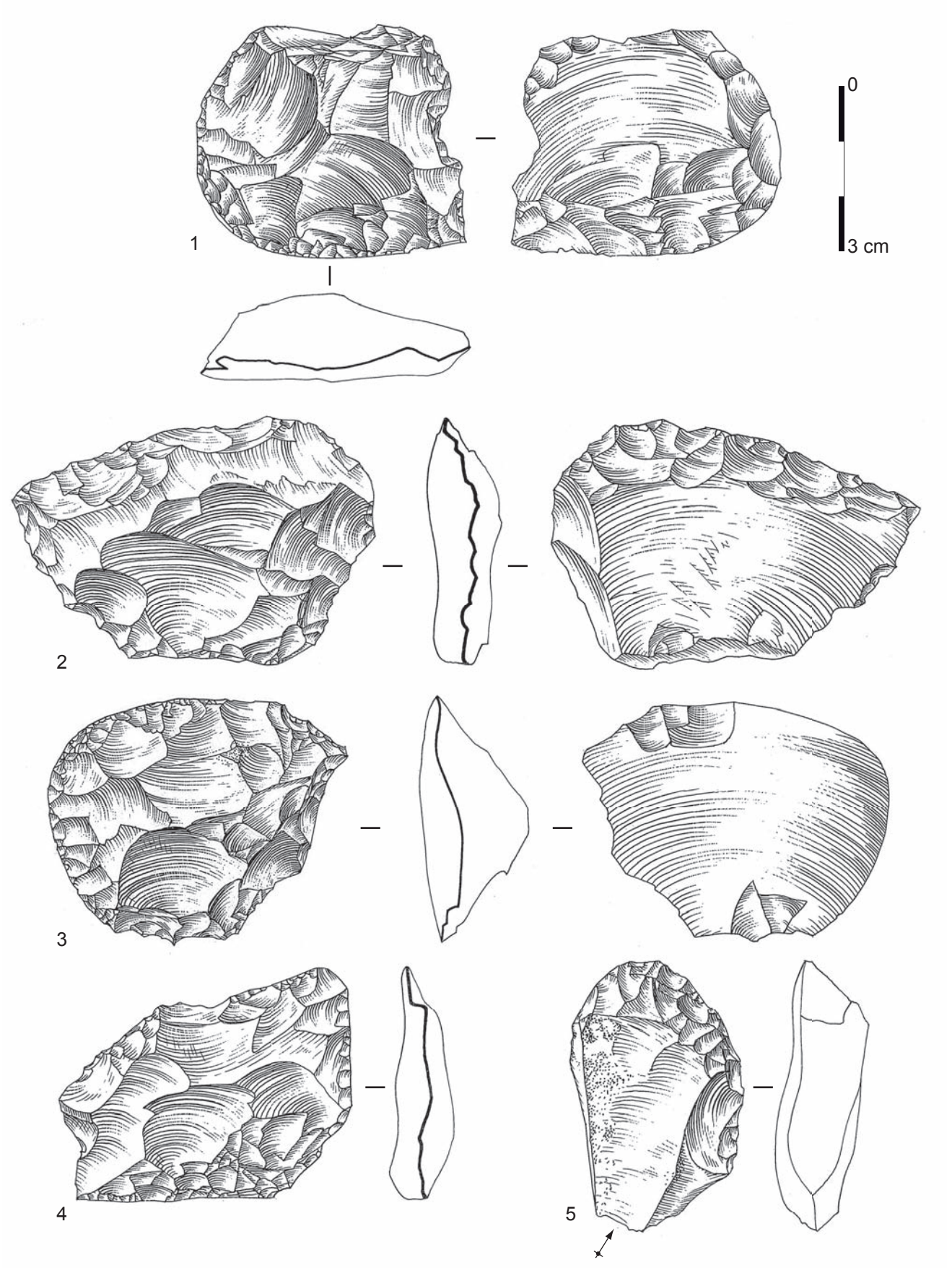

Pl. 7 – Le « Bois de Sirion », Auvers-le-Hamon (72). Racloirs. 1 : racloir déjeté à retouche biface ; 2 : racloir déjeté à retouche biface transversale ; 3-4 : racloirs déjetés ; 5 : grattoir. (Dessin : Régis Picavet ; DAO : B. Huet)

Outre des éclats ordinaires, un éclat de façonnage et un éclat de coup de tranchet latéral ont été sélectionnés. Ce dernier a étonnamment été débité par percussion directe au percuteur dur comme en témoignent le débordement semi-circulaire du point d'impact et les fissurations centrifuges sur la face inférieure. Il s'agit donc très vraisemblablement d'un éclat débité dans le cadre d'un recyclage de pièce bifaciale en fin de vie (*cf. supra*). Son tranchant distal a fait l'objet d'une retouche inverse rasante d'étendue moyenne à longue.
Par ailleurs, deux de ces racloirs transversaux ont curieusement été aménagés sur une extrémité distale réfléchie par une retouche directe, d'incidence rasante pour l'un, oblique pour l'autre.

Ces racloirs transversaux ont été aménagés par une retouche directe dans 8 cas (Pl. 6 n° 1) ou une retouche inverse dans 5 cas (Fig. 6.34) ; ils offrent un tranchant de délinéation généralement convexe (12 cas), exceptionnellement concave (1 cas).

Un seul de ces outils témoigne d'un amincissement du bulbe de percussion.

Un de ces racloirs transversaux offre par ailleurs un denticulé sur son bord droit (*cf. infra*).

Racloirs sur face plane (n = 16 + 1 outil mixte)
La retouche inverse est également utilisée pour la confection de racloirs (n = 13) sur des éclats en moyenne larges et assez minces ; parmi eux, un éclat Levallois a été sélectionné (Fig. 6.35). Cette retouche inverse intéresse généralement seulement l'un des deux bords latéraux (10 cas ; Pl. 5 n° 4), exceptionnellement les deux bords (1 cas).
Six exemplaires se distinguent par leur retouche inverse qui aménage tout le pourtour de l'éclat-support y compris le talon (Fig. 6.36, 37 et 38).
Les tranchants retouchés de ces racloirs offrent une délinéation généralement convexe (n = 11), plus rarement rectiligne (n = 2).
L'un de ces racloirs sur face plane a fait l'objet, sur son bord opposé, d'une retouche directe denticulée (Fig. 6. 47).

Racloir à retouche abrupte (n = 1 + 1 outil mixte)
L'un de ces deux racloirs à retouche abrupte a pour support un éclat non cortical épais. Il est formé par une retouche scalariforme directe d'incidence abrupte aménagée sur le bord droit, lui conférant alors une délinéation convexe. Un autre racloir à retouche abrupte est associé à un burin (*cf. infra*).

Racloir à dos aminci (n = 1)
Le seul racloir à dos aminci de la série a pour support un éclat assez long et assez épais dont seul le talon est cortical. Un amincissement proximal visant à réduire le bulbe de percussion a été opéré avant la retouche directe. Le bord gauche a également fait l'objet d'une retouche inverse rasante, l'un de ses négatifs ayant fortement réfléchi au centre de la pièce.
C'est dans un second temps seulement que le bord droit et la pointe distale ont été aménagés par une retouche directe, d'incidence oblique et de délinéation convexe très légèrement denticulée.

Racloirs à retouche biface (n = 25)
La retouche biface est un trait typologique fréquent des outils sur éclats de cette série. Ainsi plusieurs types de racloirs offrent un ou plusieurs bords aménagés par retouche bifaciale ; ils représentent 15 % des racloirs. Il est intéressant de noter que sur les 17 outils où cela a pu être déterminé, la retouche inverse est aménagée avant la retouche directe dans 15 cas ; seul deux cas témoignent d'une retouche inverse intervenue postérieurement à la retouche directe. Cette retouche inverse est rasante, alors que la retouche directe est d'incidence oblique, très rarement abrupte (1 cas) conférant une section plano-convexe à l'outil.
La retouche biface intéresse ainsi :
- 2 racloirs simples dont la retouche est plutôt irrégulière, à tendance denticulée.
- 2 racloirs transversaux, dont l'un a pour support un éclat de type Kombewa (Fig. 6.39), offrent aussi un tranchant à retouche bifaciale, de délinéation rectiligne pour l'un, convexe pour l'autre.
- 2 racloirs doubles convexes présentent une retouche inverse également bilatérale.
- 3 racloirs convergents biconvexes présentent sur l'un de leurs deux bords une retouche biface. (Pl. 8 n° 1, Fig. 6.40)
- 6 racloirs déjetés, dont 3 déjetés doubles (Fig. 6.41), présentent sur l'un ou plusieurs de leurs bords une retouche bifaciale : c'est ainsi l'un des deux bords latéraux qui est concerné pour les 3 racloirs déjetés doubles, uniquement le tranchant distal pour deux autres (Pl. 7 n° 2) et enfin tout le pourtour de l'outil pour le dernier (Pl. 7 n° 1).
- 3 racloirs semi-périphériques (ce type de racloir se distingue du racloir déjeté double par la présence d'un seul tranchant continu sur le pourtour de l'éclat, sans angles délimitant la partie distale des bords latéraux) : alors que la retouche directe intéresse l'ensemble du pourtour de l'éclat excepté la partie strictement proximale, la retouche inverse est quant à elle localisée seulement sur

Fig. 6.34 – Le « Bois de Sirion », Auvers-le-Hamon (72). Racloir transversal sur face plane.

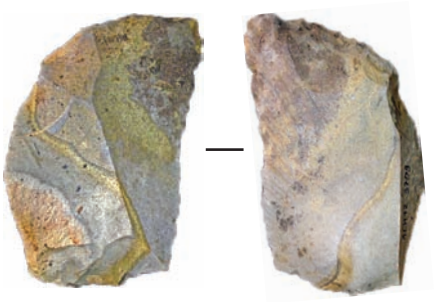

Fig. 6.35 – Le « Bois de Sirion », Auvers-le-Hamon (72). Racloir sur face plane sur éclat Levallois.





Fig. 6.36 à 38 – Le « Bois de Sirion », Auvers-le-Hamon (72). Racloirs sur face plane périphériques.



Fig. 6.39 – Le « Bois de Sirion », Auvers-le-Hamon (72). Racloir transversal sur éclat de type Kombewa.

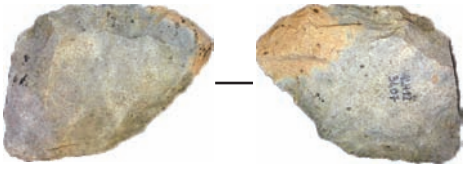

Fig. 6.40 – Le « Bois de Sirion », Auvers-le-Hamon (72). Racloir convergent à retouche biface.



Fig. 6.41 – Le « Bois de Sirion », Auvers-le-Hamon (72). Racloir déjeté double à retouche biface.

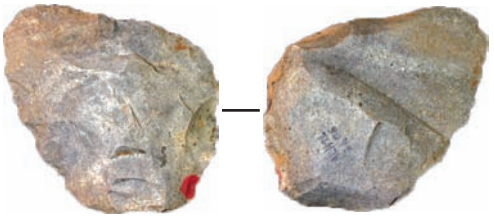

Fig. 6.42 – Le « Bois de Sirion », Auvers-le-Hamon (72). Encoche clactonienne sur éclat de façonnage.



l'un des bords, celui de droite sur l'un, celui de gauche pour l'autre et enfin sur le tranchant distal pour le troisième. L'un de ces outils a en outre préalablement fait l'objet d'un amincissement du bulbe de percussion.
- 7 fragments de racloirs dont l'état fragmentaire ne permet pas d'en préciser le type témoignent également d'une retouche bifaciale sur au moins une portion de leur tranchant.

Racloirs à retouche alterne (n = 10)
Les racloirs alternes de la série sont généralement de délinéation biconvexe (n = 6 ; Pl. 6 n° 5), parfois convexe-concave (n = 3) ou très légèrement denticulée (n = 1). La retouche directe affecte préférentiellement le bord droit (8 cas) (Pl. 8 n° 2 et 3). Ils ont préférentiellement pour support un éclat ordinaire non cortical, en moyenne plutôt large et assez mince ; seuls se distinguent un éclat Levallois et un éclat de façonnage (Pl. 8 n° 2). Quatre d'entre eux ont par ailleurs fait l'objet d'un amincissement de leur bulbe proximal avec (3 cas) ou sans l'enlèvement du talon (1 cas ; Pl. 8 n° 2). Ce dernier correspond morphologiquement à un racloir alterne ; toutefois, si l'on considère l'axe de débitage, il s'agirait plutôt d'un racloir transversal sur face plane en bout de racloir double (Pl. 8 n° 2).

Fragments de racloirs de type indéterminé (n = 32)
De nombreux fragments d'éclats (n = 25) témoignent encore d'une retouche unilatérale directe, continue, d'incidence généralement oblique (n = 17), parfois abrupte (n = 5) et rarement rasante (n = 3) qui a été aménagée avant la fragmentation du support. Il pourrait s'agir de fragments de racloirs simples.

Six autres fragments conservent quant à eux une retouche inverse, généralement rasante (5 cas) qui aménage au moins un des deux bords latéraux (5 cas) ou le tranchant distal (1 cas).
Enfin, un dernier fragment laisse encore visible une retouche latérale alternante rasante sur le tranchant conservé.

Ces restes d'outils correspondent à des racloirs, mais dont le type précis ne peut être précisé en raison de leur état fragmentaire.

Grattoir en bout de racloir (n = 1)

Un éclat cortical, partiellement fracturé sur sa partie droite, laisse tout de même visible une retouche directe latérale droite et distale, d'incidence oblique et de délinéation convexe. Le front aménagé en partie distale est relativement étroit et a été préalablement aminci par une retouche rasante inverse (Pl. 7 n° 5).

Burin (n = 2 + 1 outil mixte)

La série comprend 3 burins dont l'un est associé à un racloir.

Le premier est un burin dièdre aménagé en partie proximale d'un éclat cortical. Un premier enlèvement réfléchi (25 x 19 mm) a été débité à partir de l'extrémité distale de l'éclat en utilisant le tranchant gauche comme nervure directrice. S'en ai suivi le débitage d'une autre petite chute (9 x 7 mm) à partir de ce premier négatif d'enlèvement comme plan de frappe.

Le second est un burin sur cassure. Il a pour support un fragment distal d'éclat non cortical réfléchi (aucun stigmate ne permet de dire que cette fragmentation est volontaire). La surface de fracture a été utilisée comme plan de frappe pour débiter une chute de burin (20 x l6 mm) sur la face supérieure de l'éclat-support.

Enfin, le dernier burin est associé à un racloir. Il s'agit d'un éclat épais dont le bord gauche est entièrement cortical. Dans un premier temps, un petit plan de frappe a été aménagé sur le bord droit (au moins un négatif reste visible) de manière à produire trois enlèvements sur l'extrémité distale : au moins le premier est cortical, les deux suivants ont réfléchis. Ce n'est que postérieurement que le bord droit de l'éclat-support a fait l'objet d'une retouche directe abrupte à tendance scalariforme et de délinéation légèrement concave aménageant ainsi un racloir court.

Encoches (n = 2 + 2 outils mixtes)

La série ne comprend qu'une encoche de type clactonien. Elle a été aménagée sur le tranchant droit d'un éclat de façonnage, de manière directe et selon une incidence oblique (Fig. 6.42).

Un fragment proximal d'éclat non cortical porte également une encoche directe, aménagée cette fois-ci par des retouches directes abruptes. Toutefois, en raison de sa fragmentation, intervenue postérieurement à la retouche, il n'est pas impossible que cet outil corresponde à un fragment de denticulé.

Enfin, un racloir simple convexe présente sur son bord opposé une encoche retouchée de faible profondeur (Pl. 5 n° 2) et un racloir convergent offre

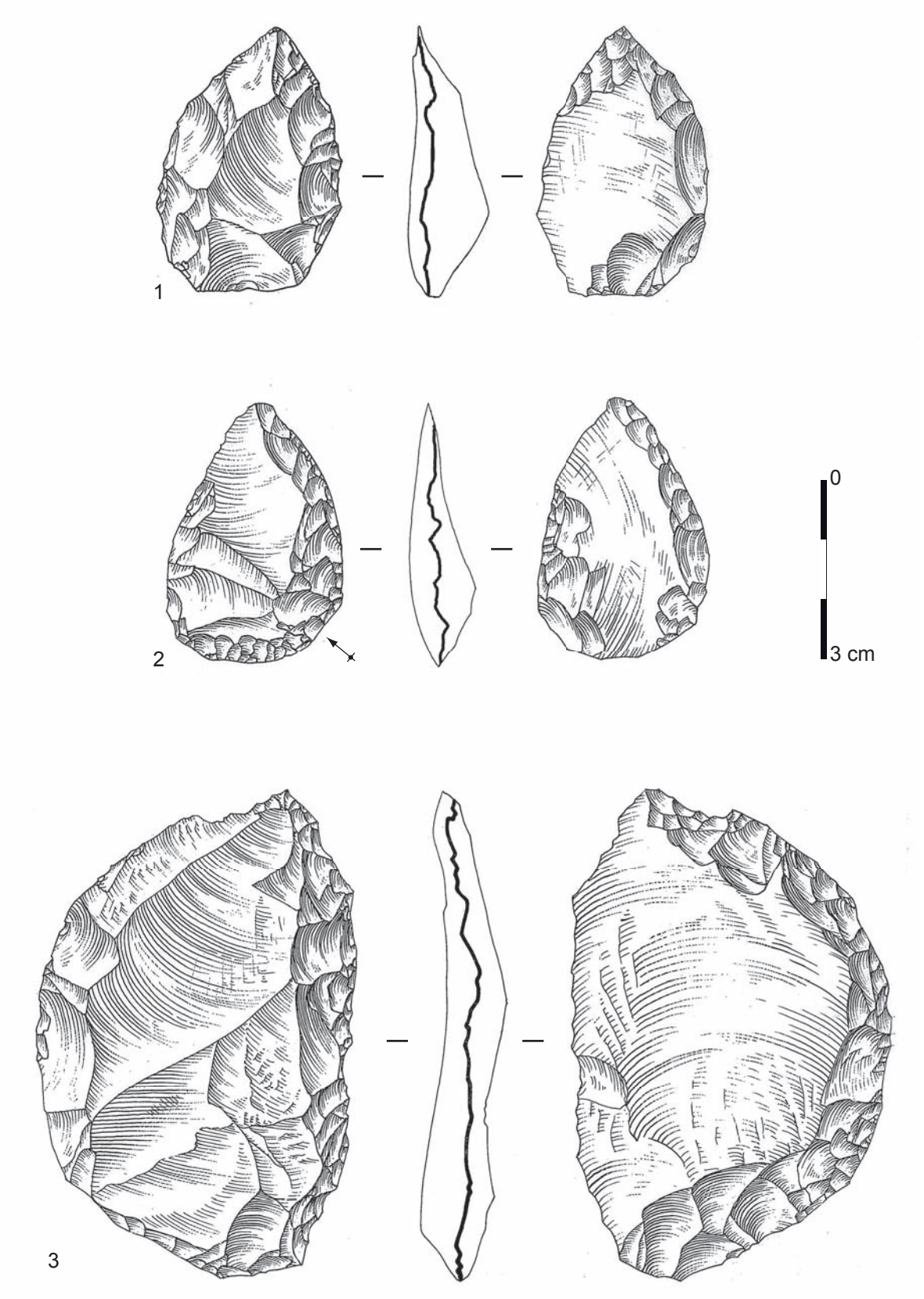

Pl. 8 – Le « Bois de Sirion », Auvers-le-Hamon (72). Racloirs. 1 : racloir convergent à retouche biface ; 2 et 3 : racloirs alternes. (Dessin : Régis Picavet ; DAO : B. Huet)

une encoche retouchée abrupte sur l'un de ses deux bords (Pl. 6 n° 3).

Denticulés (n = 14 + 4 outils mixtes)

14 denticulés (dont 3 à l'état de fragment distal) font partie de la panoplie d'outils retouchés.
Ils ont été aménagés sur des éclats simples, peu ou pas corticaux, indifféremment sur l'un bord latéral ou l'autre ; l'un d'eux affecte le tranchant distal (Fig. 6.43). Ce dernier et un autre exemplaire ont été confectionnés par une retouche inverse (Fig. 6.44). Un seul a pour support un éclat Levallois.

Six de ces denticulés ont fait l'objet d'un amincissement sur la face inférieure, en partie proximale pour trois d'entre eux (Fig. 6.45), le long du bord retouché pour l'un rendant sa retouche biface (Fig. 6.46), en partie distale pour un autre et enfin à la fois proximal et distal pour le dernier. Il a pu être déterminé que cet amincissement est préalable à la retouche denticulée dans quatre cas ; en l'absence de contact entre la retouche et l'amincissement, cela n'est pas déterminable pour les 2 autres.

Par ailleurs, 4 racloirs offrent également une retouche denticulée sur leur éclat-support.
Un éclat cortical aménagé en racloir simple convexe sur le bord droit porte ainsi une retouche denticulée sur le bord opposé et en partie distale. Cette retouche denticulée distale a par ailleurs fait l'objet d'un faible amincissement préalable par deux petits enlèvements rasants.
Un racloir déjeté à gauche a également fait l'objet d'une retouche denticulée sur son bord droit et en partie proximale. Le bulbe de l'éclat-support a été préalablement aminci par quelques enlèvements rasants (Pl. 7 n° 3).
Un racloir sur face plane présente lui-aussi sur son bord opposé une retouche directe denticulée (Fig. 6.47).
Enfin, le bord droit d'un racloir transversal porte une retouche denticulée directe.

Éclats peu retouchés (n = 2)

2 éclats ne portent que quelques retouches sur leur tranchant et ne relèvent pas d'un type d'outil défini.

Fragments d'outils retouchés (n = 26)

26 fragments d'éclats témoignent d'un aménagement de leur(s) tranchant(s) par de la retouche mais l'état de leur fragmentation ne permet pas de déterminer le type d'outil auquel chacun d'eux pourrait se rattacher.

Éclats et fragment d'éclats utilisés (n = 12)

11 éclats (n = 5) et fragments d'éclats (n = 7) n'ont pas fait l'objet d'une retouche intentionnelle mais leurs tranchants, de délinéations variées, témoignent de leur utilisation à l'état brut par la création de quelques retouches marginales et irrégulières. Trois d'entre eux ont pour support un éclat Levallois (Pl. 2 n° 2 et 3).
Cette retouche d'utilisation est directe pour 10 cas sur 12 et elle n'intéresse généralement qu'un seul bord (2 exemplaires d'utilisation bilatérale).

Éclats bruts amincis (n = 3)

Deux éclats entiers, pourtant peu épais, ont fait l'objet d'un amincissement de leur partie proximale par des enlèvements inverses rasants et plutôt envahissants. Par ailleurs, le reste de l'éclat-support est brut de toute retouche anthropique ; l'état de conservation ne permet cependant pas de distinguer une éventuelle retouche d'utilisation (Fig. 6.48).
Un fragment proximal d'éclat témoigne également d'un amincissement de son bulbe par une retouche inverse. Son état fragmentaire ne permet toutefois pas de savoir si ses bords actifs avaient fait l'objet d'un aménagement par retouche.

6.1.3.2. L'outillage façonné

Pièces bifaciales (n = 108)

Au nombre de 108 exemplaires, les pièces confectionnées par un façonnage bifacial représentent une composante importante de l'outillage de cette série (Tabl. 10) : 30,8 % de l'outillage et 1 % de l'ensemble des artéfacts lithiques. Elles sont exclusivement en silex.

Supports de façonnage

La mise en œuvre de cette chaîne opératoire de façonnage découle en partie directement de la chaîne opératoire de débitage : il a en effet pu être déterminé qu'un tiers des pièces bifaciales sont confectionnées à partir d'éclats (n = 35) comme l'attestent les restes visibles de face inférieure ou de négatifs d'enlèvements antérieurs sur la face supérieure ; il est fort probable que ce pourcentage soit en réalité plus élevé, mais le support originel n'est pas toujours déterminable du fait du caractère couvrant du façonnage. Ce type de support n'est, quoi qu'il en soit, pas exclusif puisqu'au moins un rognon a également été sélectionné comme support de façonnage

Fig. 6.43 – Le « Bois de Sirion », Auvers-le-Hamon (72). Denticulé transversal.

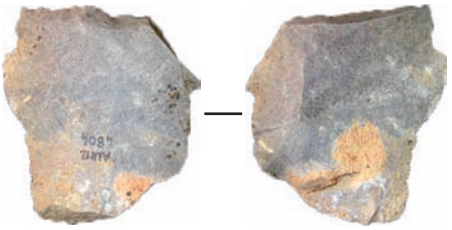

Fig. 6.44 – Le « Bois de Sirion », Auvers-le-Hamon (72). Denticulé sur face plane.

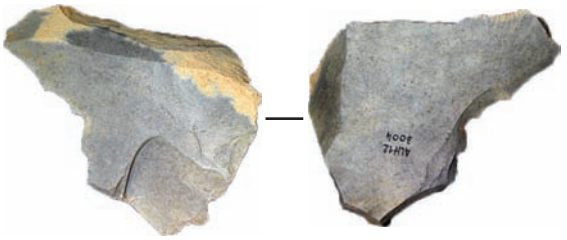

Fig. 6.45 – Le « Bois de Sirion », Auvers-le-Hamon (72). Denticulés amincis.

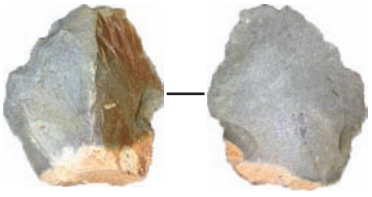

Fig. 6.46 – Le « Bois de Sirion », Auvers-le-Hamon (72). Denticulés amincis.



Fig. 6.47 – Le « Bois de Sirion », Auvers-le-Hamon (72). Racloir sur face plane associé à un denticulé.





Fig. 6.48 – *Le « Bois de Sirion », Auvers-le-Hamon (72). Éclat brut aminci.*



comme en témoigne une ébauche (*cf. infra*, Fig. 6.49). La présence d'ébauches (n = 11) permet d'observer plus précisément le choix des supports de façonnage : il s'agit d'éclats dans huit cas, d'un rognon dans un cas ; deux cas n'ont pu être déterminés. Parmi les éclats-supports, certains conservent des plages corticales sur leur face supérieure.
Les éclats sélectionnés offrent des dimensions moyennes légèrement supérieures à celles des éclats produits sur le site en ce qui concerne leur longueur et leur largeur (69 x 58 mm contre 40 x 34 mm) et des dimensions moyennes par contre très supérieures concernant leur épaisseur (26 mm contre 9 mm).
Les raisons de l'abandon de ces ébauches en leur état paraissent généralement liées à la présence de nombreux réfléchissements difficilement rattrapables et dans un cas, il résulte de la fracture du support en cours de façonnage ; dans le cas du rognon, l'abandon est probablement lié à un défaut de qualité de la matière première qui s'avère être grenue et mal silicifié à l'intérieur.

Caractères morphométriques

Ces pièces bifaciales sont généralement de petites dimensions, plutôt larges (L/l = 1,30) et assez épaisses (l/e = 2,5) : d'une longueur moyenne de 63 mm sur une échelle allant de 41 mm pour la plus petite pièce entière à 110 mm pour la plus grande, d'une largeur moyenne de 49 sur une échelle allant de 31 mm minimum à 86 mm maximum et enfin d'une épaisseur moyenne de 20 mm sur une échelle de 10 à 36 mm.

Leur taux de fragmentation est important (42 %) : seulement 62 pièces sont entières ; 5 ont juste le bout de leur pointe fracturée (5 %) ; les autres pièces sont représentées par des parties basales (10 % ; Fig. 6.50), apicales (6 %), mésiales (1 %) ou par des fragments indéterminés (21 %). Ces fractures sont surtout dues au gel (43 %), mais au moins 7 fractures ont eu lieu en cours de façonnage de la pièce. Nous avons également pu observer au moins une fracture volontaire, réalisée par percussion directe au percuteur dur sur la face supérieure et fracturant la pièce transversalement, la partie qui nous reste étant la base de la pièce bifaciale.

Ces pièces présentent une grande variabilité morphométrique, mais elles peuvent dans l'ensemble être classées dans le type sub-cordiforme (80 % ; Pl. 9, Fig. 6. 51 à 56). Nous observons également trois limandes (Fig. 6. 57), deux sub-triangulaires (Fig. 6.58), deux ovalaires, un discoïde (Fig. 6.59) et un cordiforme allongé (Fig. 6. 60). Nous pouvons distinguer en outre deux morphologies plus ou moins carrées, résultat du réaffutage de la pièce suite à sa fracture apicale (*cf. infra* ; Fig. 6. 61 et 62).

La base est généralement tranchante (74 %), rarement à réserve corticale (7 %). L'extrémité distale est plus fréquemment pointue (64 %) qu'arrondie.
Les bords sont de délinéation le plus souvent convexe (93 %), exceptionnellement concavo-convexe (n = 3) (Fig. 6.63 et 64) ou concave (n = 2).
Leur arête tranchante est plus souvent sinueuse (54 %) que rectiligne (26 %) ; certaines présentent une arête sinueuse d'un côté, rectiligne de l'autre (20 %).

À l'état d'abandon, 78 % des pièces bifaciales entières ne présentent aucun reste cortical ; pour celles qui en conservent, il ne s'agit que de faibles plages ou juste un reste au milieu de la face convexe (vestige d'une face supérieure d'éclat-support ?) (12 %), au niveau de la base (8 %) ou exceptionnellement sur la partie apicale (2 %). Ces restes corticaux ne concernent qu'une seule des deux faces à chaque fois et ne permettent donc pas d'attester de l'utilisation de blocs ou rognons comme support de façonnage.

Méthode de façonnage

La confection de ces pièces bifaciales se fait dans la plupart des cas par un façonnage alternant (65 %). Les autres ont fait l'objet d'une mise en forme successive : une face est d'abord façonnée puis l'autre ; dans le cas des structures volumétriques de section plano-convexe, nous observons que c'est généralement la face plane qui est façonnée en premier par des enlèvements rasants (73 %).

Le façonnage recouvre le plus souvent la totalité des deux faces de la pièce (87 % des pièces entières) mais parfois il ne concerne que partiellement l'une (8 %) ou les deux faces (5 %) faisant alors de ces pièces des bifaces partiels. Les zones non façonnées sont alors de faible à étendue et se situent au milieu de la face.

Une fois le volume mis en place, ces pièces bifaciales offrent des sections majoritairement plano-convexe (60 %), souvent biconvexe (33 %) et rarement d'autres types (2 convexe-plan/convexe, 1 plan-plan/convexe, 1 plan-biplan). À noter que les pièces bifaciales façonnées à partir d'un éclat-support n'offrent pas exclusivement une section plano-convexe : si elles sont en effet plus souvent plano-convexes (55 %), leurs sections peuvent varier et être de type biconvexe (30 %) ou autre.



Fig. 6.49 – Le « Bois de Sirion », Auvers-le-Hamon (72). Ébauche de pièce bifaciale façonnée sur rognon.

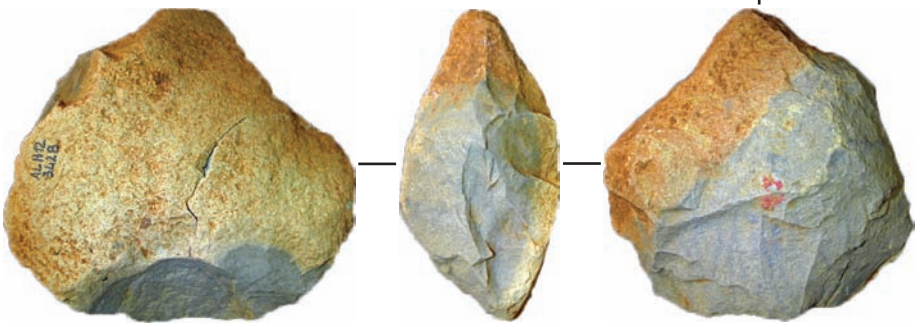



Fig. 6.50 – Le « Bois de Sirion », Auvers-le-Hamon (72). Fragment basal de pièce bifaciale.

0 échelle 1/2 10 cm

Fig. 6.51 à 54– Le « Bois de Sirion », Auvers-le-Hamon (72). Pièces bifaciales.



51



52



53

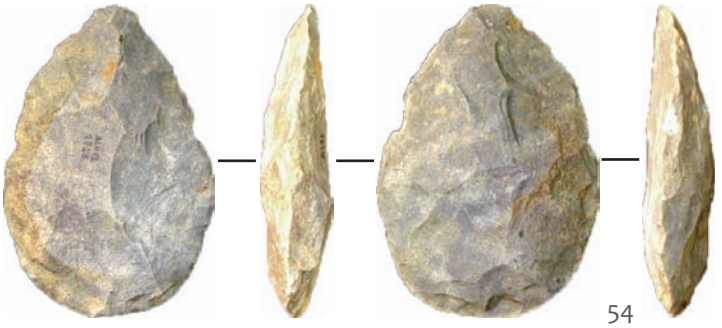

54

Fig. 6.55 à 64 – Le « Bois de Sirion », Auvers-le-Hamon (72). Pièces bifaciales.

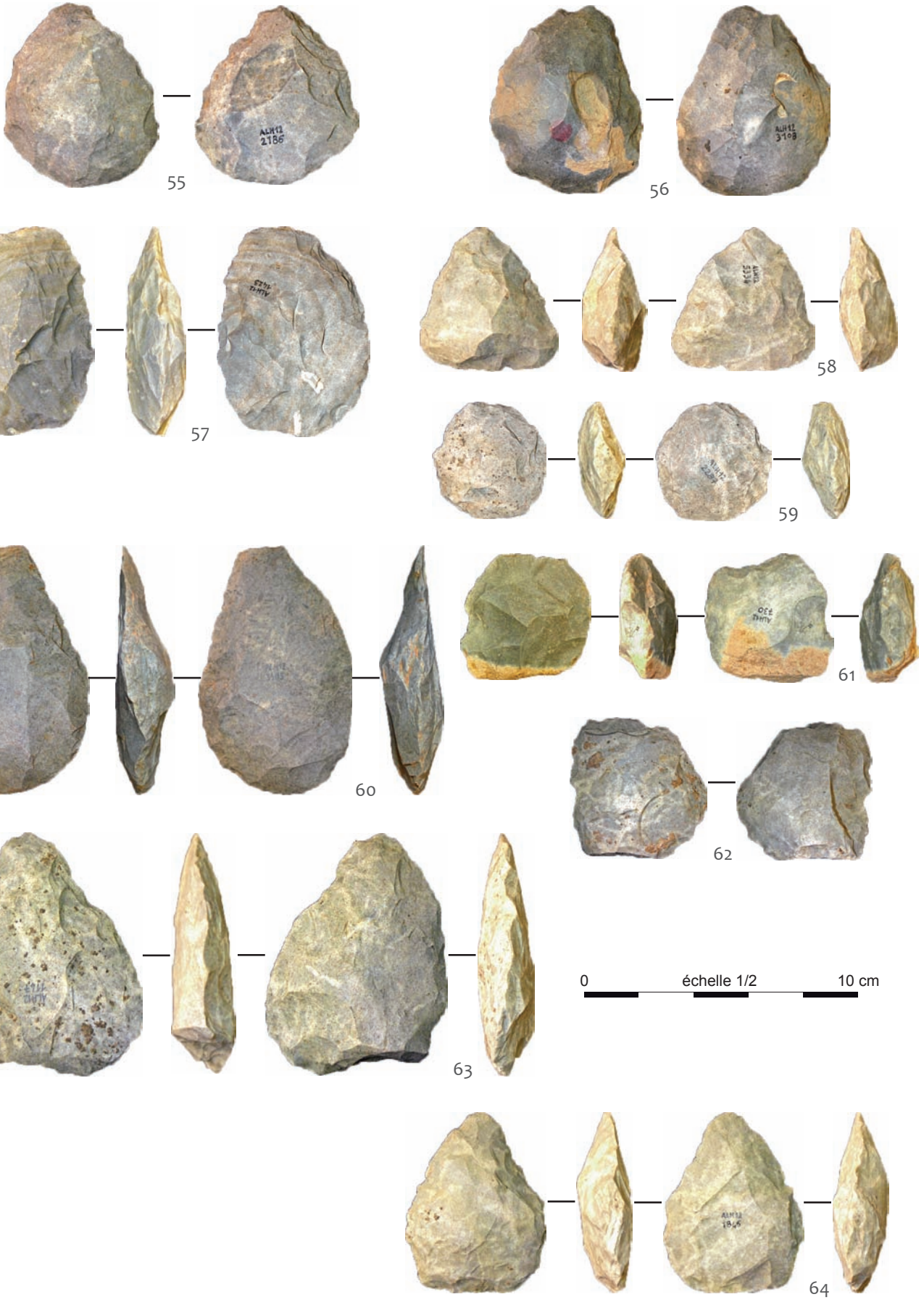

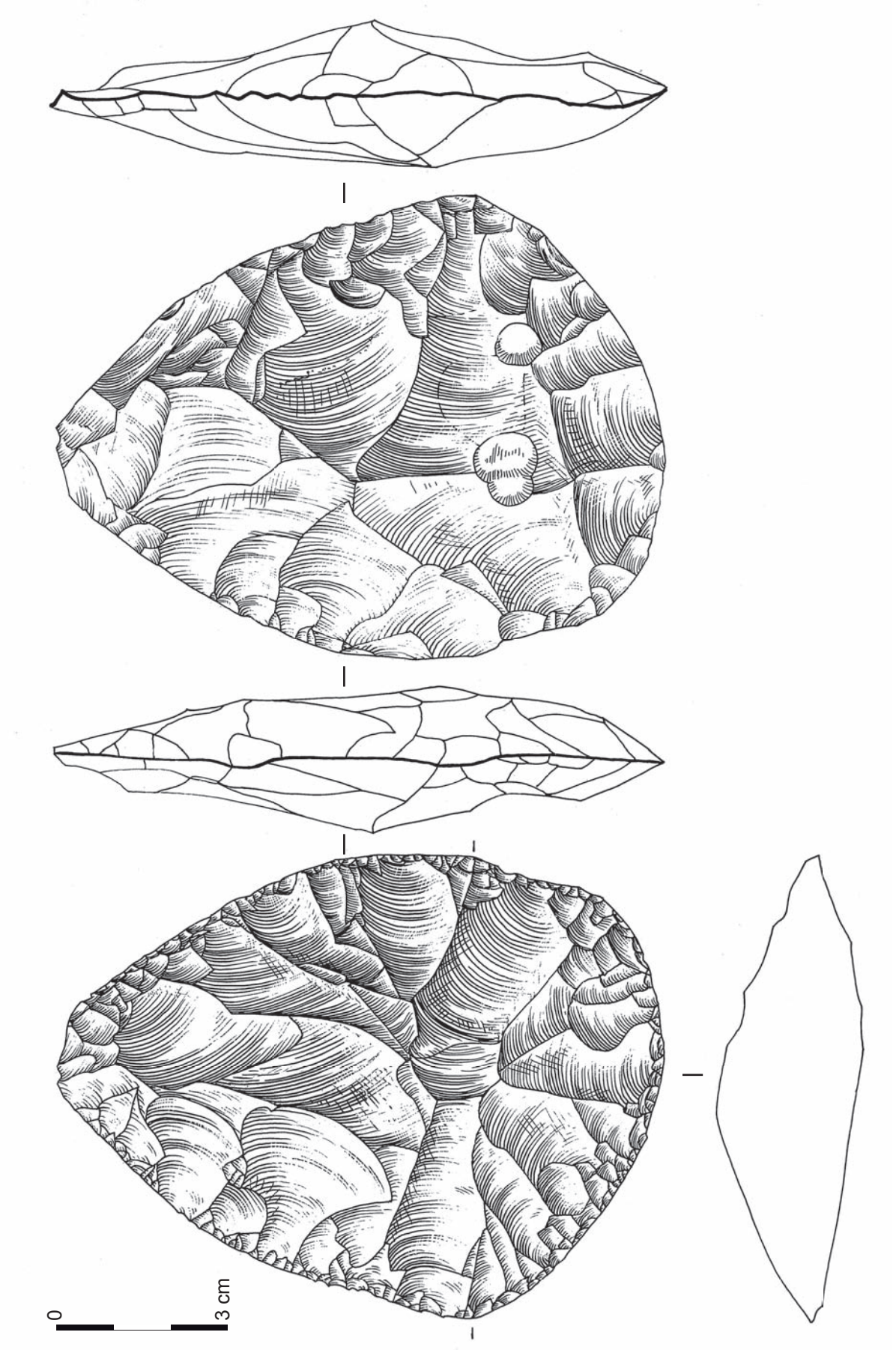

Pl. 9 – Le « Bois de Sirion », Auvers-le-Hamon (72). Racloir déjeté double sur pièce bifaciale.
(Dessin : Régis Picavet ; DAO : B. Huet)

Affûtage

Certaines pièces bifaciales ont ensuite fait l'objet d'un affûtage en vue d'aménager un ou des bords actifs, sur l'une ou les deux faces, alors que d'autres ne témoignent d'aucun affutage ou régularisation des bords. Nous distinguons alors :
- des pièces bifaciales outil (43 % des pièces déterminables) pour lesquelles morphologie et fonctionnalité sont indissociables
- et des pièces bifaciales supports d'outils (57 %) jouant le rôle de supports prédéterminés destinés à la réalisation d'un ou plusieurs outils par affûtage (Boëda, 1997). Plusieurs autres pièces bifaciales ont été recyclées en nucléus (*cf. infra*) et leur statut d'origine n'est pas déterminable en l'état (n = 13).

Dans le cas des pièces bifaciales supports d'outils, ce sont principalement des outils de type racloir qui ont été aménagé à leurs dépens. Une même pièce n'offre généralement qu'une seule zone affûtée ; seules quatre pièces en présentent deux. Nous retrouvons ainsi sur ces pièces bifaciales supports d'outil(s) :
- 12 racloirs simples (Fig. 6.56, 61 et 65) de délinéation le plus souvent convexe (n = 10) mais parfois concavo-convexe (n = 1) ou droit-convexe (n = 1). Deux de ces racloirs simples associent une encoche retouchée directe sur le bord opposé pour l'un, et une encoche inverse en bout d'apex pour l'autre.
- 4 racloirs alternes (Fig. 6.51, 60 et 66)
- 6 racloirs convergents de délinéation biconvexe (n - 3 ; Fig. 6.67), droit-convexe (n = 1) ou concavo-convexe (n = 1) ; un autre offre une délinéation irrégulière plutôt concave sur l'un des bords qui semble le résultat d'un intense ou fréquent ravivage (Fig. 6.64).
- 3 racloirs doubles, de délinéation convexes. Toutefois, la fracture apicale de deux d'entre eux ne permet pas d'exclure qu'il s'agisse à l'origine de racloirs convergents.
- 2 exemplaires présentent un affûtage unifacial typo-racloir de délinéation convexe sur la totalité de leur pourtour (Pl. 9). L'un d'eux présente en outre un denticulé sur une faible section.
- 1 racloir convergent associé à un racloir simple. Il s'agit d'une pièce bifaciale dont la partie apicale et le bord droit ont été affûtés de façon à donner une délinéation rectiligne de chaque côté, tandis que la base présente un affûtage de type racloir simple convexe (contact transformatif ou préhensif ?) (Fig. 6.52).
- Enfin, un dernier exemplaire présente seulement quelques retouches de fonctionnalisation unifaciales et denticulées sur le pourtour de la partie apicale.

Nous pouvons par ailleurs observer que sur les pièces de structures volumétriques de section plano-convexe, l'affûtage concerne généralement la face convexe (14 cas), les 2 faces pour 5 cas, et concerne beaucoup plus rarement uniquement la face plane (n = 2).

Quatre pièces bifaciales témoignent d'un réaffûtage suite à une fracture. C'est le cas d'une pièce bifaciale dont l'apex s'est fracturé, peut-être à l'utilisation comme en témoignerait la cassure en flexion encore visible, et dont l'un des bords présente une retouche typo-racloir simple convexe postérieure à cette fracture. Deux autres pièces à l'apex également fracturé ont fait l'objet d'une retouche denticulée unifaciale sur cette fracture (Fig. 6.62) ; quant à la quatrième, ce sont deux petits éclats créant une sorte d'encoche qui aménage désormais la partie apicale de ce petit biface qui supportait préalablement un racloir simple convexe sur l'un de ses bords (Fig. 6.61).

Recyclage

À l'état d'abandon, plusieurs pièces bifaciales (n = 13) présentent des négatifs d'éclats aux contre-bulbes fortement marqués témoignant de l'utilisation d'un percuteur dur et qui viennent altérer les bords actifs de la pièce. Ces pièces bifaciales en fin de vie témoignent ainsi d'un changement de statut technique et deviennent des nucléus. Ce débitage « opportuniste » met à profit les convexités préalablement mises en place par façonnage sans préparation supplémentaire.
Il peut s'agir du débitage d'un unique éclat (n = 5), de deux (n = 1), trois (n = 1), quatre (n = 3) ou jusqu'à cinq éclats (n = 3).
Ces produits, de dimensions comprises entre 1,5 et 3 cm de long, ont très souvent réfléchi malgré leur incidence oblique. Une seule de ces pièces bifaciales recyclées en nucléus a fait l'objet d'un débitage parallèle à l'intersection des deux surfaces.

Concernant les pièces ayant fait l'objet du débitage d'un seul éclat, celui-ci a été indifféremment débité aux dépens de la face plane ou de la face convexe.
Pour celles qui ont été plus exploitées, le débitage peut intéresser une seul face (4 cas), ou les deux faces de manière alternante (4 cas).

Ce corpus de pièces bifaciales comprend des pièces à divers états de confection, depuis l'ébauche jusqu'à l'outil fini utilisé, fracturé et réaffûté ou recyclé, témoignant ainsi de la mise en œuvre d'un long cycle de production et d'utilisation de ces pièces sur le site du Bois-de-Sirion.

Fig. 6.65 à 67 – Le « Bois de Sirion », Auvers-le-Hamon (72). Pièces bifaciales.

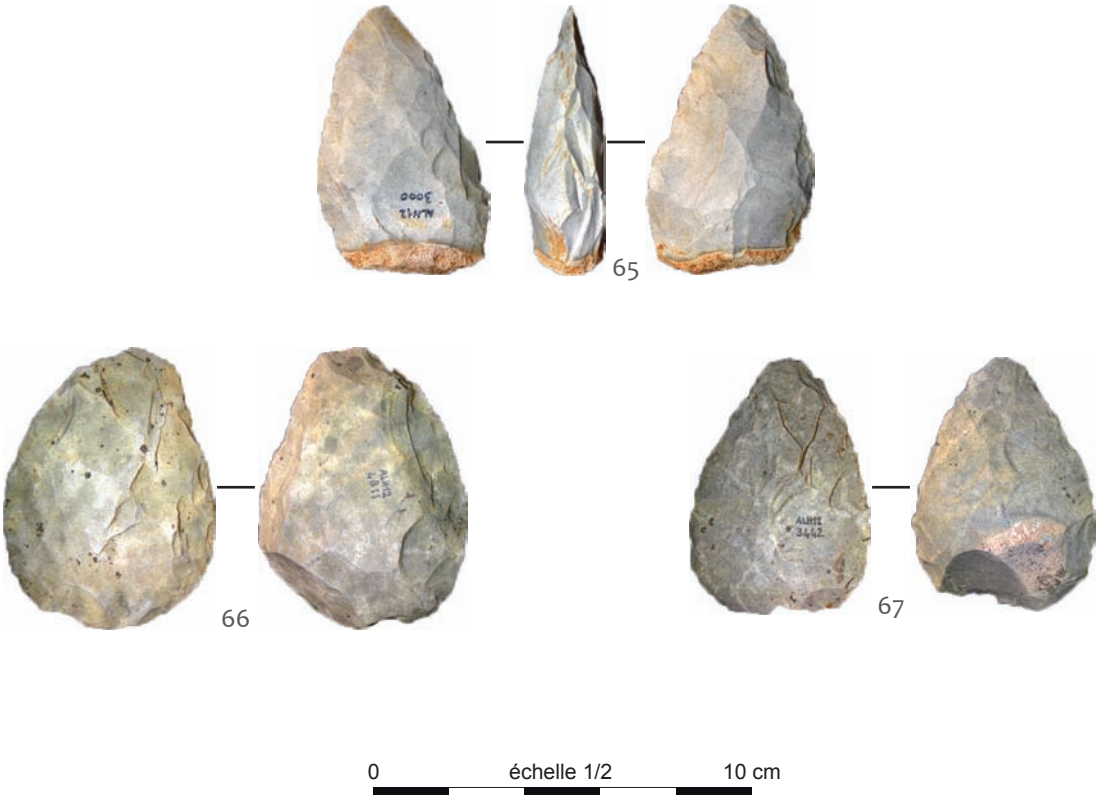

Fig. 6.68 – Le « Bois de Sirion », Auvers-le-Hamon (72). Uniface.



Unifaces (n = 14)

Les unifaces sont des pièces façonnées sur éclat qui se caractérisent par un façonnage unifacial qui n'affecte que l'une des deux faces de l'éclat-support, soit sa face supérieure soit sa face ventrale. Le façonnage est mis en place de manière centripète sur tout le périmètre de l'éclat-support. Il est couvrant (Pl. 10 n° 2) ou seulement envahissant, laissant parfois visible une plage corticale (Pl. 10 n° 1 et 3). L'autre face est quant à elle laissée brute ou alors ne présente qu'une retouche partielle. Ce sont les « bifaces unifaces » mentionnés par F. Bordes (1961). Ces pièces constituent 11 % de l'outillage façonné du Bois-de-Sirion.

Nous distinguons ainsi plusieurs types d'unifaces en fonction de la position du façonnage, direct ou sur face plane, et de l'affûtage apporté ou non à l'autre face :
- des unifaces (n = 6) (Pl. 10 n° 1 à 3 et Fig. 6.68)
Seule la face supérieure a fait l'objet d'un façonnage envahissant à partir de tout le périmètre de la pièce. L'un de ces unifaces « vrais » offre des bords de délinéation légèrement denticulée.
- des unifaces à retouche bifaciale (n = 2)
Outre la face supérieure de l'éclat-support entièrement façonnée, ces pièces présentent en plus un bord à retouche inverse, d'étendue moyenne et d'incidence rasante. Dans les deux cas, cette retouche sur face plane est antérieure au façonnage de la face supérieure de l'éclat-support et intéresse uniquement le bord gauche. L'un de ces unifaces à retouche bifaciale présente en outre deux petites encoches directes, encadrant chacune l'extrémité apicale de la pièce.
- des unifaces sur face plane (n = 2)
Ces pièces ont fait l'objet d'un façonnage couvrant sur la face d'éclatement de l'éclat-support, tandis que l'autre face ne présente que les négatifs d'enlèvements antérieurs au débitage de cet éclat-support.
L'un de ces unifaces a été aménagé sur un éclat auparavant fracturé au niveau de l'un de ses bords.
Ces unifaces sur face plane sont à rapprocher des 6 racloirs sur face plane dont la totalité du pourtour est retouché : ces derniers ne se distinguent en effet des unifaces que par l'étendue moindre de leur retouche, leur morphologie globale étant pareillement sub-cordiforme et leur section plano-convexe.
- des unifaces sur face plane à retouche bifaciale (n = 4)
Ces pièces ont fait l'objet d'un façonnage envahissant de la face d'éclatement de l'éclat support, tandis que la face supérieure est affectée d'une retouche d'étendue moyenne : sur le bord droit pour l'une de ces pièces, partiellement sur le bord gauche et l'extrémité apicale pour une autre et enfin partiellement à différents endroits du pourtour pour les deux dernières. Cette retouche directe a été aménagée préalablement au façonnage de l'autre face dans trois cas et postérieurement dans un cas.

Ces outils sont en moyenne assez larges (L/l = 1,24) et assez épais (l/e = 2,85), de dimensions moyennes légèrement inférieures à celles des pièces bifaciales (L = 57 mm ; l = 45 mm ; e = 17 mm).
La morphologie de tous ces types d'unifaces est subcordiforme. Leur section est de type plano-convexe, la face plane correspondant à la face inférieure de l'éclat-support dans le cas des unifaces à façonnage direct et correspondant à la face supérieure de l'éclat-support dans le cas de unifaces à façonnage inverse.

Toutes les pièces unifaciales à façonnage direct présentent par ailleurs un amincissement de la partie proximale de l'éclat-support, amincissement qui a été opéré préalablement au façonnage de la face supérieure. Le talon est ainsi ôté, à l'exception d'un seul uniface dont l'observation du talon lisse permet d'identifier l'emploi d'un percuteur dur par percussion directe.

Ces unifaces sont à rapprocher des pièces bifaciales dont la plupart sont également sur éclat : la similitude de leur technique de confection, de leurs dimensions, de leur morphologie, de leurs plans de sections suggèrent des modes de fonctionnement, voire des fonctions, similaires. Nous pourrions même imaginer une sorte de continuum entre unifaces et bifaces au fur et à mesure de la remise en forme de l'outil, continuum qui pourrait s'étendre à ces certains outils retouchés sur éclats tels les racloirs.

6.1.3.3.Les macro-outils

La panoplie de l'outillage lithique du Bois-de-Sirion est complétée par la présence de quatre macro-outils (Tabl. 10). La confection des macro-outils recourt surtout au grès / quartzite.

Les macro-outils en grès / quartzite (n = 3) semblent avoir pour support de grands éclats, avec une face convexe en partie recouverte de surface naturelle opposée à une face d'éclatement plane, bien qu'aucun stigmate ne puisse l'assurer. Nous avons précédemment vu (§6.1.1) que cinq blocs de grès / quartzite récoltés sur le site ont fait l'objet du débitage de quelques grands éclats ; ces grands éclats ayant servis de supports à la confection de macro-outils en sont probablement les produits.

Les trois outils offrent des dimensions allant de 9,6 à 20 cm pour la plus grande longueur et une épaisseur de 4,3 à 6 cm pour un poids de 500 gr à 1 kg. Les forts contre-bulbes laissés par les enlèvements semblent témoigner de l'utilisation d'un percuteur dur.

L'un d'eux, façonné dans un grès quartzite légèrement lustré et au grain assez fin, présente trois négatifs d'enlèvements antérieurs sur sa face supérieure aux trois-quarts recouverte par une surface naturelle éolisée. L'un des petits côtés de ce support a fait l'objet d'une retouche indirecte, à partir du plus grand négatif d'enlèvement antérieur de la face opposée, par environ quatre grands enlèvements contigus. Ceux-ci ont ensuite été complétés par quelques retouches directes plus marginales donnant une délinéation convexe, légèrement denticulée à ce segment tranchant (Fig. 6.6). Un second, au grain nettement plus grossier

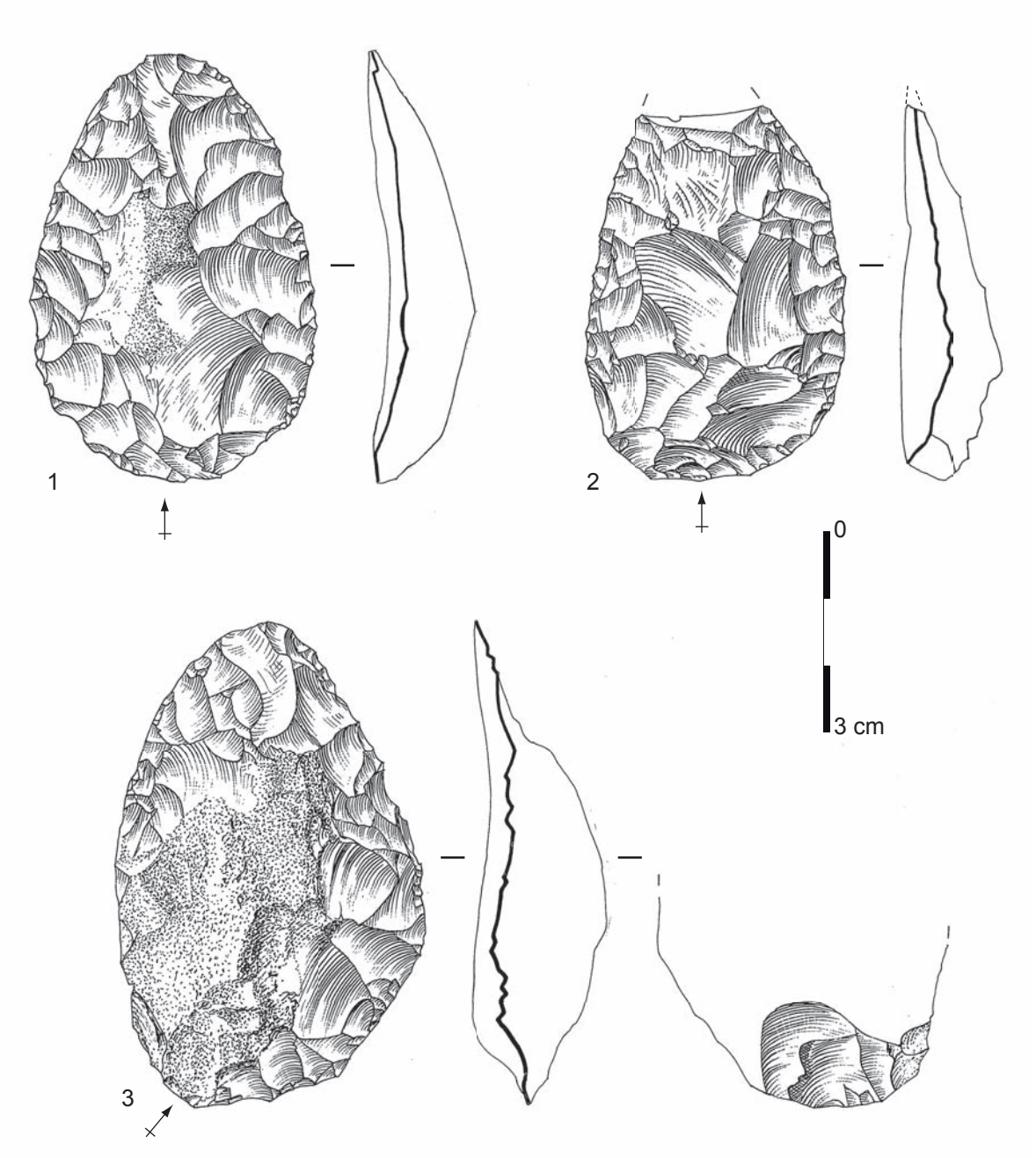

Pl. 10 – Le « Bois de Sirion », Auvers-le-Hamon (72). Unifaces. (Dessin : Régis Picavet ; DAO : B. Huet)

mais également légèrement lustré, a fait l'objet d'une retouche directe continue sur un de ses longs côtés aménageant ainsi un tranchant convexe, quelque peu denticulé, d'angle oblique à abrupte selon les endroits. Ce tranchant aménagé à la façon d'un racloir simple convexe se trouve opposé à un bord épais tel un dos (Fig. 6.70).

Enfin, le troisième macro-outil en grès / quartzite présente un grain fin et une couleur lie-de-vin. Sa face inférieure supporte de larges enlèvements contigus d'incidence oblique sur un des longs côtés lui donnant une délinéation convexe. En outre, deux enlèvements larges et courts semblent venir amincir de manière rasante à partir sur l'un des petits côtés ce qui semblerait être le talon de l'éclat-support (Fig. 6.71). Cet outil offre la même morphologie que le précédent avec un dos naturel opposé au tranchant retouché.

Le seul macro-outil en silex consiste en un fragment naturel de rognon cortical sur lequel a été aménagé un tranchant opposé à une base corticale arrondie. Deux à trois grands éclats unipolaires ont d'abord été débité aux dépens de la face corticale, servant alors de plan de frappe à l'aménagement sur l'autre face d'une retouche oblique, d'étendue longue et de délinéation à tendance denticulée (Fig. 6.72). Il n'est toutefois pas impossible que cette pièce qui correspond à un galet aménagé bifacial à son état d'abandon soit une ébauche de nucléus, voire de pièce bifaciale.

6.2. Potentiel tracéologique de l'assemblage

Seule une évaluation du potentiel tracéologique macroscopique (fractures, ébréchures et émoussés) et microscopique (micropolis et émoussés) de cet assemblage a été réalisée.

Ce sont ainsi 21 pièces (éclats bruts, retouchés et pièces bifaciales) provenant de différents secteurs de l'emprise et de différentes UPS qui ont fait l'objet d'une observation à la loupe binoculaire et au microscope par Lorène Chesnaux (UMR 7041-ArScAn) (Tabl. 12).

Ces observations mettent en évidence, sur l'ensemble de ces pièces, la présence d'un micropoli d'altération généralisé, couvrant, sans doute lié à des dissolutions chimiques. La microtopographie des artefacts étant très altérée, il ne paraît donc pas pertinent d'entreprendre une analyse tracéologique de l'assemblage.

Par contre, des observations macroscopiques pourraient être entreprises et donner des résultats. En effet, les tranchants sont plutôt frais dans l'ensemble, ils présentent peu d'altérations mécaniques ; il est donc possible d'y observer des macrotraces (ébréchures - matériaux durs - et émoussés - abrasion -) dont la récurrence éventuelle pourrait se révéler intéressante en termes de zones actives (morphologie des zones actives, types de traces, etc.). Il pourrait donc être intéressant d'envisager, dans le cadre d'une publication ultérieure, une analyse ciblée, à la loupe binoculaire, de l'assemblage lithique.

Tableau 12 – Le « Bois de Sirion », Auvers-le-Hamon (72). Mobilier soumis à une évaluation du potentiel tracéologique.

N° inventaire	Zone	Carré	Décapage	UPS	Description
283	TS04.1			GR	Éclat laminaire à retouches marginales (utilisation ?)
1390	BD7L2/3			GB	Racloir
1758	LOCUS 1 / BD3L6			GR	Outil bifacial
1837	BD10L2			GR	Pièce bifaciale
1923	BD4L6			LSR	Éclat à retouches marginales (utilisation ?)
1930	BD10L4			GB	Uniface
2198	LOCUS 2 / BD6L5				Racloir
2300	BD7L5			GR/SR	Éclat laminaire à retouches marginales (utilisation ?)
2328	BD7L6			LSB	Pièce bifaciale
2333	BD7L6			LSR/GR	Racloir
2419	BD8L6			SR	Racloir
3108	LOCUS 2	D7 05b	1	LSBR	Pièce bifaciale
3113	LOCUS 2	D7 05c	1	LSBR	Uniface
3120	LOCUS 2	D7 04b	1	LSB/GB	Racloir associé à un denticulé
3525	LOCUS 2			LSR/SR	Racloir associé à une encoche
3550	Berme LOCUS 2 / 3			LSB	Racloir
3583	Berme LOCUS 2 / 3			LSR	Pièce bifaciale
3823	LOCUS 3			GR	Éclat à retouches marginales (utilisation ?)
4347	LOCUS 4	C5 82c	1	GR	Éclat laminaire à retouches marginales (utilisation ?)
4737	LOCUS 3	C6 18c	4	LSB/GB/GR	Racloir
4745	LOCUS 3	C6 18c	4	LSB/GB/GR	Racloir

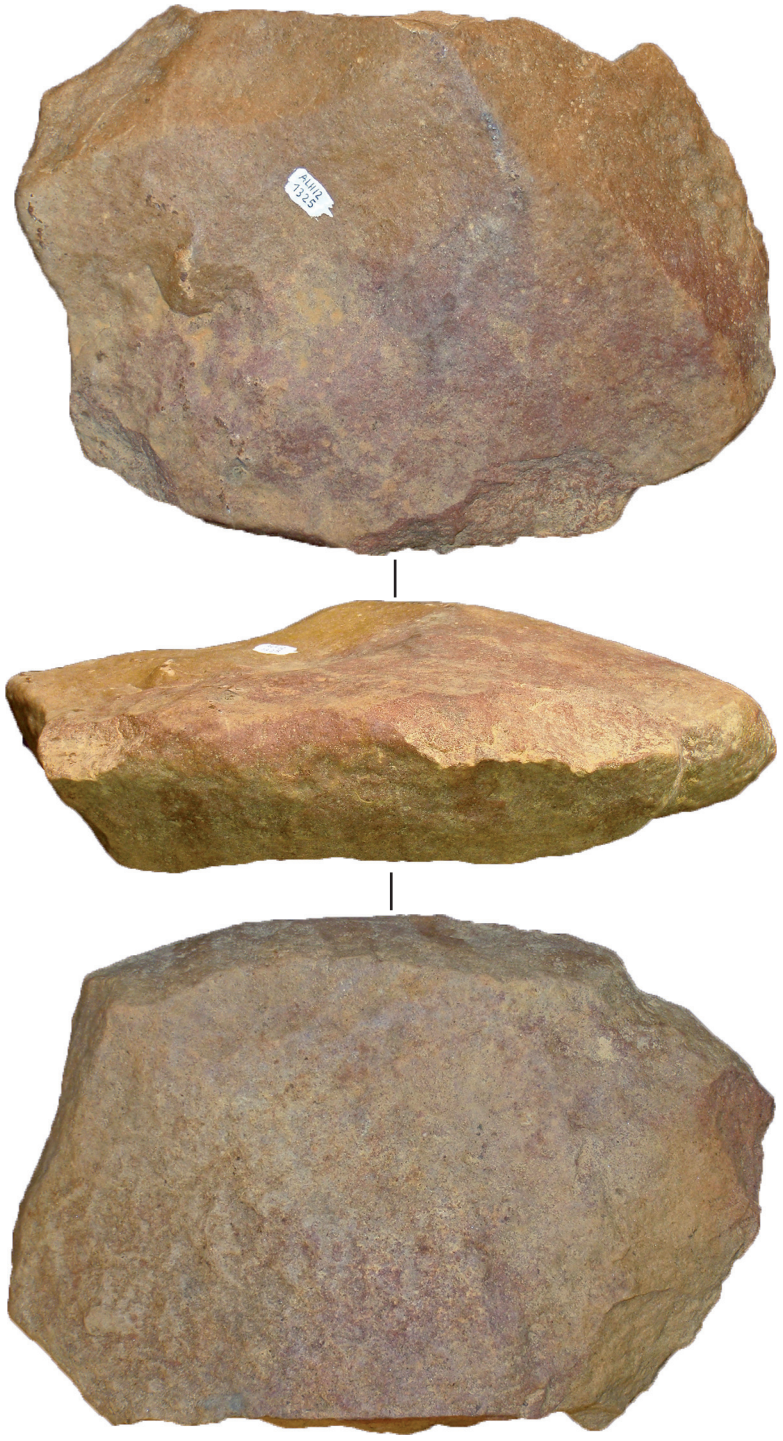

Fig. 6.69 – Le « Bois de Sirion », Auvers-le-Hamon (72). Macro-outil en grès/quartzite.



Fig. 6.70 – Le « Bois de Sirion », Auvers-le-Hamon (72). Macro-outil en grès/quartzite.

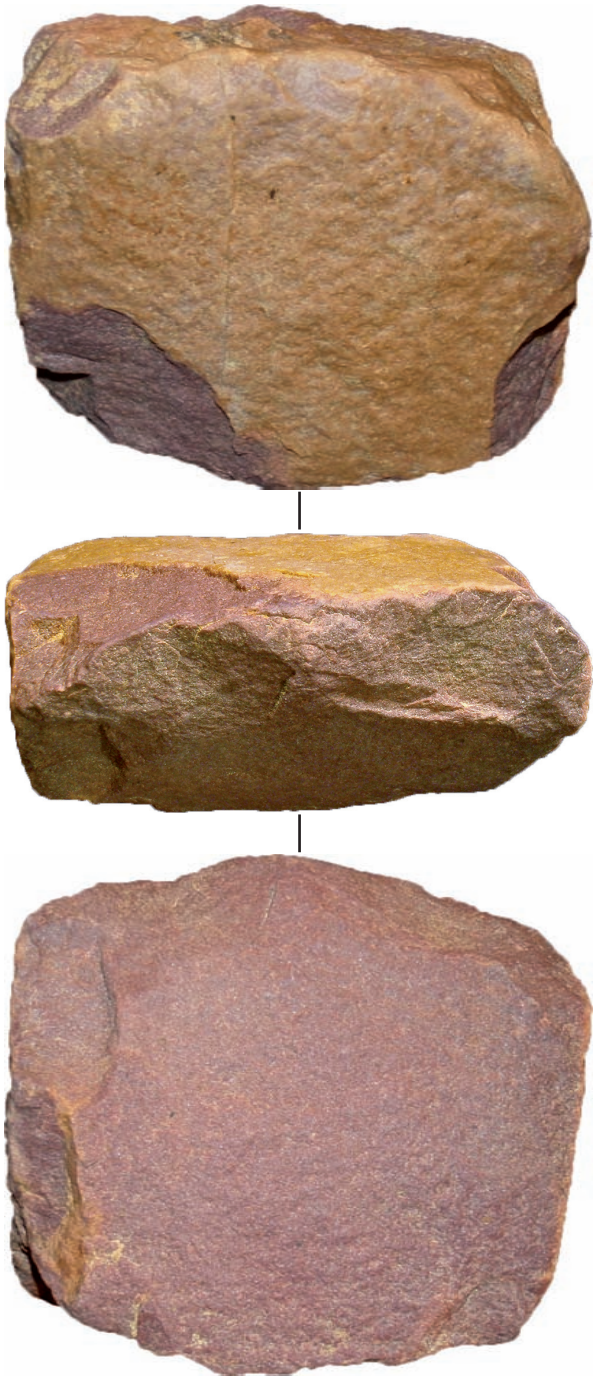

Fig. 6.71 – Le « Bois de Sirion », Auvers-le-Hamon (72). Macro-outil en grès/quartzite.



Fig. 6.72 – Le « Bois de Sirion », Auvers-le-Hamon (72). Macro-outil en silex.

6.3. Synthèse et détermination de l'industrie lithique (Sébastien Bernard-Guelle)

6.3.1. Synthèse des données techno-économiques

En dépit de l'incertitude planant sur l'intégrité de la série et sur la multiplicité d'occupation dont elle pourrait relever, l'industrie lithique du Bois Sirion a été considérée comme un ensemble homogène au regard de sa composition techno-typologique et a été appréhendée en tant que tel.

La série, forte d'environ 10 000 pièces, est essentiellement réalisées en silex issus des altérites jurassiques (Bajocien), seules formations locales (1-2 km) contenant en abondance des silex de bonne qualité. Ce matériau est introduit, pour partie du moins (cf. présence de blocs bruts/entamés, taux de corticalité de 25%) sous forme de blocs entiers (10-20 cm). Ces blocs sont exploités sur place par le biais d'une chaîne opératoire de façonnage dont la finalité est la production d'outils bifaciaux et également par l'intermédiaire de diverses chaînes opératoires de débitage dans l'objectif de produire divers supports, en partie voués à être retouchés, et pour une seconde part, à être utilisés pour la confection d'outils bifaciaux.

La chaîne opératoire de façonnage découle donc en partie directement de la chaîne opératoire de débitage (un tiers, au moins, des pièces bifaciales sont confectionnées à partir d'éclats). La confection de pièces bifaciales est l'activité prépondérante au Bois Sirion, les éclats de façonnage, dont une forte composante portant du cortex, forment ainsi plus de 50% des éclats entiers récoltés. Le nombre de pièces façonnées en témoignent également (n = 108 pièces bifaciales et 14 unifaces). Cette composante représente 30,8 % de l'outillage et 1 % de l'ensemble des artéfacts lithiques. Ces pièces, de petites dimensions et d'une grande variabilité morphométrique, peuvent dans l'ensemble être classées dans le type sub-cordiforme. Affutage, réaffutage et recyclage de ces pièces sont des pratiques attestées sur le site. D'autres ont fait l'objet, en fin de vie en tant qu'outils, d'un changement de statut par débitage « opportuniste ».

Les chaînes opératoires de débitage sont quant à elles illustrées par des modes de production variés et parfois ramifiés comme l'attestent les nombreux nucléus sur éclat-support. Par ordre d'importance, est attesté (1) un débitage de type Kombewa réalisé à partir d'éclats-supports majoritairement corticaux, (2) un débitage unipolaire alternant multifacial, (3) un débitage Levallois attesté par quelques nucléus récurrents et une cinquantaine d'éclats, et (4) un débitage unipolaire semi-tournant, très discret. Les nucléus rattachés à ces divers modes de production forment une très faible part de l'assemblage lithique (0,5 %), ce qui est cohérent avec l'importance que représente l'activité du façonnage dans la constitution de cette série. Néanmoins la pratique *in situ* du débitage est confirmée par la présence de nombreux éclats, corticaux ou non, et débris issus de cette activité. Directement issus de ces modes de production, les supports retouchés (n = 224) représentent 64 % de l'outillage et 2,2 % de l'assemblage lithique. Les racloirs, de types variés, constituent le type d'outil le plus fréquent. Là encore, la présence d'éclats de retouche et de tranchants ravivés témoigne d'une utilisation et d'un entretien sur place, pour partie au moins de cet outillage.

Une production d'appoint est également mise en œuvre sur grès-quartzites dans le but de fournir de gros éclats, par ailleurs non retrouvés. La présence de plusieurs blocs bruts reste d'autre part non expliquée.

Le site de Bois Sirion semble ainsi correspondre à un vaste site de production majoritairement tourné vers la confection d'outils bifaciaux en silex en relation directe avec leur consommation dans un environnement proche.

6.3.2. Attribution chrono-culturelle et insertion régionale

Au vu des données précédemment évoquées, le Bois Sirion peut être rattaché au faciès moustérien à outils bifaciaux, également appelé « groupe du Bois du rocher ». Ce faciès du Moustérien se présente comme un ensemble techno-culturel cohérent (Bourdin, 2006), a priori limité à une macro-région incluant le Massif armoricain, sa bordure orientale et la Normandie. A de rares exceptions près (sites sous abri de la vallée de l'Erve en Mayenne - Molines *et al.,* 2001), il est essentiellement connu par le biais de grands sites d' « ateliers » qui s'étendent souvent sur plusieurs hectares. Ces sites sont implantés soit sur des gîtes de grès éocène, notamment dans le massif armoricain, comme le Bois-du-Rocher dans les Côtes d'Armor ou Kervouster dans le Finistère (Molines *et al.*, 2001 ; Launay et Molines, 2005, Bourdin, 2006) jusqu'en Mayenne avec les sites de Mézangers, Chellé et Hambers (Molines *et al.*, 2001 ; Bourdin, 2006) soit sur ou à proximité de gîtes de silex, dans le Finistère, à Treissény (Molines *et al.*, 2001) et plus fréquemment sur les marges orien-

tales du Massif comme à Saint-Brice-sous-Rânes dans l'Orne (Cliquet 2001a et b) ou plus proche encore, dans la vallée de la Verge (Sarthe) comme à Château Gaillard (Huingant *et al.*, 2014), la Mare, Beaucè, les Fromentages, la Girardière (Bourdin, 2006). L'ensemble de ces zones, riches en matériaux siliceux, ont donné lieu à des occupations denses et probablement répétitives qui pourraient s'échelonner entre la fin du stade isotopique 5 et le stade 3. La plupart des sites seraient en effet rapportables, d'après les interprétations chronostratigraphiques, au Glaciaire B (fin IOS5 et début IOS4) (Molines *et al.*, 2001 ; Cliquet, 2015) ce que tend à confirmer les dates TL récemment obtenues à Château-Gaillard (Fontenay sur Vègre, 72) (Huingant *et al.,* 2014). Néanmoins, d'autres datations radiométriques récentes viennent nuancer ou élargir la sphère chronologique de ce faciès, notamment celles du Bois Sirion (Auvers-le-Hamon, 72) ainsi que celles du niveau principal de Saint-Brice-sous-Rânes (61) (Cliquet *et al.*, 2009) qui placent ces occupations autour de 40 000 ans. Sans remettre totalement en question la position chronologique du Moustérien à outils bifaciaux, ces datations récentes permettent de caler ce faciès à la toute fin du Paléolithique moyen (stades 4 et surtout 3) et d'en faire un faciès contemporain d'industries MTA du Sud-Ouest de la France et du Micoquien d'Europe Centrale.

L'industrie lithique de ces gisements se caractérise par la prépondérance, autant quantitative que qualitative, des outils bifaciaux de petit module (bifaces, bifaces partiels, racloirs bifaciaux, unifaces) par rapport au reste de l'outillage sur éclat. A titre d'exemple et hors pièces à retouches marginales irrégulières, la proportion d'outils bifaciaux représente 67 % de l'outillage du Bois-du-Rocher et 52,2 % de l'outillage à la Girardière (Bourdin, 2006). Le reste de l'outillage se compose d'une gamme variée d'outils dominés par des racloirs de types divers. A l'échelle des corpus les plus importants, la fréquence des pièces bifaciales est extrêmement variable : de 7 % à la Girardière à 32 % pour le Bois-du-Rocher (Bourdin, 2006). Sans surprise, ce pourcentage est nettement moins élevé (inférieur à 2%) dans le cadre de sites fouillés récemment comme à Château-Gaillard, Saint-Brice-sous-Rânes et au Bois Sirion. Les morphotypes cordiformes dominent systématiquement les autres. Les réaménagements (réaffutage, recyclage) et changements de statuts des supports bifaciaux (reprise en nucléus) sont également fréquents et attestent de la volonté de prolonger la fonctionnalité des outils et d'éviter de recommencer tout un cycle de production (débitage ou façonnage du support puis confection).

Sur ces sites, les nucléus sont faiblement représentés et intensément exploités avant abandon. Les méthodes de débitage utilisées s'appuient sur la complémentarité de méthodes différentes (Bourdin, 2006), souvent à faible prédétermination, bien que la technologie Levallois soit toujours représentée en proportions néanmoins variables selon les sites. Pour synthétiser, la chaîne opératoire de façonnage découle majoritairement de la chaîne opératoire de débitage, le plus souvent courte (production d'éclats corticaux, de supports Kombewa), et parfois opportuniste (exploitant des éclats de gel). Si quelques outils sont parfois aménagés sur éclats de façonnage, le débitage fournit donc l'essentiel des supports utilisés pour la confection de l'outillage sur éclat et pour le façonnage des outils bifaciaux.

Comme le fait remarquer S. Bourdin (2006), le nombre d'outils confectionnés, utilisés et abandonnés sur les aires de production de ces sites ne permet pas de s'arrêter à l'interprétation de simples ateliers de taille. Ce constat suggère la pratique d'activités connexes, de nature indéterminée, qui ont également eu lieu sur ou à proximité immédiate de ces sites, ce qui confère vraisemblablement à ces occupations un statut d'ateliers-habitats.

7. Conclusion

Briagell Huet, Sébastien Bernard-Guelle, Mathieu Rué

Le site archéologique du « Bois de Sirion » (Auvers-le-Hamon, Sarthe) a été fouillé en fin d'année 2012 dans le cadre du projet de construction de la Ligne à Grande Vitesse Bretagne - Pays de Loire. Il s'inscrit sur la bordure occidentale d'un vaste plateau formant l'interfluve entre deux affluents de la rive droite de la Sarthe (l'Erve à l'ouest, la Vègre à l'est), à des altitudes comprises entre 65 et 70 m NGF. La surface décapée de façon mécanique ou manuelle, sur près de 1,25 m de profondeur, s'élève à 3045 m^2.

Le mobilier archéologique paléolithique moyen, uniquement représenté par des objets lithiques, s'intercale au sein d'un pédocomplexe limono-sableux d'épaisseur métrique qui s'est développé sur du matériel colluvial et éolien au cours du dernier cycle glaciaire et qui recouvre une formation fluviatile d'âge pliocène supposé. Le niveau d'apparition du mobilier débute dès la surface du sol et ce jusqu'à la base de la séquence stratigraphique pléistocène. Cette dispersion verticale relativement importante, d'au moins 75 cm d'épaisseur, s'observe de manière homogène à travers l'emprise. Elle concerne toutes les catégories technologiques ou granulométriques d'objets. Sans surprise dans le cadre d'un site paléolithique de plein air peu profondément enfoui et en contexte de versant, les vestiges ont subi une histoire post-dépositionnelle complexe, difficile à démêler malgré les analyses stratigraphiques et taphonomiques menées en phase d'étude. Ces dernières permettent néanmoins de proposer l'hypothèse d'un site fortement remanié, vraisemblablement déplacé en masse par reptation, puis recouvert par des colluvions sableuses et enfin affecté par les processus cryogéniques. Dans tous les cas, les différents indicateurs taphonomiques montrent qu'aucune information archéologique fiable ne peut être extraite du plan de répartition des objets. Dans ce type de contexte, et en raison de l'homogénéité typo-technologique de l'industrie, il n'a pas été possible de déterminer si l'épandage de mobilier résulte d'une ou plusieurs phases d'occupation. D'après la stratigraphie et les datations par luminescence stimulée optiquement obtenues sur un silex brûlé et trois prélèvements de sédiment, la ou les occupations moustériennes se placeraient au cours du stade isotopique 3, voir au plus tard à la transition entre les stades 3 et 4.

Au total, plus de 10 000 vestiges lithiques ont été récoltés. Il s'agit essentiellement de silex (99,4 %) auxquels s'ajoutent quelques grès, quartzites et quartz. Le choix des occupants du « Bois de Sirion » semble avoir été dicté par le pragmatisme, puisque la majorité des silex proviennent des altérites jurassiques, seules formations locales contenant en abondance des silex de bonne qualité. Ce matériau est fréquemment introduit sous forme de petits blocs qui sont majoritairement utilisés pour fournir des outils bifaciaux, soit par façonnage direct de ces blocs, soit par débitage d'éclats destinés à être ensuite transformés en outils bifaciaux. La confection de pièces bifaciales est donc l'activité prépondérante au « Bois Sirion », la proportion d'éclats de façonnage (> 50 % des éclats entiers récoltés) et le nombre de pièces façonnées en témoignent (108 pièces bifaciales et 14 unifaces). Ces dernières représentent 30,8 % de l'outillage et 1 % de l'ensemble des artéfacts lithiques. Elles sont généralement de dimensions modestes et de type sub-cordiforme. Ce corpus regroupe des pièces à divers états de confection, depuis l'ébauche jusqu'à l'outil fini utilisé, fracturé et réaffûté ou recyclé, témoignant ainsi de la mise en œuvre d'un long cycle de production et d'utilisation de ces pièces sur le site. Plus rares, les activités de débitage sont néanmoins illustrées par des modes de production variés (Kombewa, Levallois, unipolaire…) fournissant des supports, parfois utilisés pour la confection d'outils bifaciaux comme vu précédemment, ou simplement retouchés, notamment en racloirs de types variés. Une production d'appoint est également mise en œuvre sur grès-quartzites dans le but de fournir quelques gros éclats.

Le « Bois Sirion » se présente donc comme un vaste site de production majoritairement tourné vers la confection d'outils bifaciaux en silex en relation directe avec leur consommation dans un environnement proche. Il se rattache au faciès moustérien à outils bifaciaux a priori limité à une macro-région englobant le Massif armoricain et sa bordure orientale ainsi que la Normandie. Ce faciès est essentiellement reconnu dans des zones riches en matériaux siliceux (silex ou grès) qui ont donné lieu à des occupations denses et probablement répétitives s'échelonnant entre la fin du stade isotopique 5 et le stade 3.

Le site de « Bois Sirion » constitue ainsi un jalon supplémentaire à la connaissance du Moustérien à outils bifaciaux en contexte d'atelier-habitat et ouvre de réelles perspectives de comparaisons régionales, notamment avec les sites proches de la vallée de la Vègre, comme à « Château Gaillard / la Mercerie » (Fontenay-sur-Vègre) fouillé récemment. Outre les comparaisons d'ordre technoculturel et fonctionnel entre ces sites, leur position stratégique à la limite entre le Massif armoricain à l'ouest, où les silex sont quasi absents, et le Bassin parisien à l'est, pourvues de nombreuses silicifications, offre un contexte particulièrement favorable à l'étude de la mobilité des populations au Paléolithique moyen dans cette région. Un des axes de recherches prioritaires à développer pourrait ainsi porter sur la détermination de l'origine précise des rares silex allochtones identifiés sur ces sites.

BIBLIOGRAPHIE

Abréviations utilisées :
BRGM : Bureau de recherches géologiques et minières.
CNRS : Centre national de la recherche scientifique.
INRAP : Institut national de recherches archéologiques préventives.
PCR : Projet collectif de recherche.
SPF : Société préhistorique française.
SRA : Service régional de l'archéologie.
UMR : Unité mixte de recherche.

B.

Bakkal-Lagarde 2008 : BAKKAL-LAGARDE (M.-C.) dir – *Avoise, la Cocurie (Sarthe), Rapport de diagnostic archéologique*. Cesson-Sévigné : INRAP Grand Ouest, 2008, 86 p.

Bertran, Lenoble 2002 : BERTRAN (P.), LENOBLE (A.) – Fabriques des niveaux archéologiques : méthode et premier bilan des apports à l'étude taphonomique des sites paléolithiques. *Paléo,* 14, 2002, p. 13-28.

Bertran *et al.* 2006 : BERTRAN (P.), CLAUD (E.), DETRAIN (L.), LENOBLE (A.), MASSON (B.), VALLIN (L.) – Composition granulométrique des assemblages lithiques, applications à l'étude taphonomique des sites paléolithiques. *Paléo*, 18, 2006, p. 7-35.

Bertran *et al.* 2012 : BERTRAN P., LENOBLE A., TODISCO D., DESROSIERS P. M., SØRENSEN M., 2012 – Particle size distribution of lithic assemblages and taphonomy of Palaeolithic sites. *Journal of Archaeological Science*, 39, 2012, p.3148-3166.

Boëda 1997 : BOËDA (E.) - *Technogénèse de systèmes de production lithique au paléolithique inférieur et moyen en Europe occidentale et Proche-Orient*. Habilitation à diriger des recherches. Université de Paris X - Nanterre, 1997. 2 vol., 173 p., 87 fig.

Bordes 1961 : BORDES (F.) - *Typologie du Paléolithique ancien et moyen*. Bordeaux : Delmas, 1961. 2 vol., 85 p. (Publications de l'Institut de Préhistoire de l'Université de Bordeaux ; 1).

Bourdin 2006 : BOURDIN (S.) – *Le Moustérien à outils bifaciaux du Massif armoricain au Pléistocène récent dans son contexte européen : vers la définition d'un faciès régional*. Université de Rennes 1, Thèse de Doctorat, 2006, 434 p.

Brodeur 2012 : BRODEUR (J.) – *« Le bois de Sirion » (Auvers-le-Hamon, 72)*. Rapport de diagnostic, INRAP Grand Ouest, 2012, 84 p.

C.

Chantreau 2011 : CHANTREAU (Y.) – *Les formations fluviatiles pléistocènes de la moyenne et basse Sarthe. Approche géoarchéologique.* Université de Rennes 1, Thèse de Doctorat, 2011, 279 p.

Chantreau *et al.* 2010 : CHANTREAU (Y.), NAUDINOT (N.), JACQUIER (J.), MICHEL (S.), HUET (B.) – *PCR Évolution des stratégies d'occupation et d'exploitation par les chasseurs-collecteurs dans le bassin versant de la Maine (Sarthe, Mayenne, Maine-et-Loire)*. SRA Pays-de-la-Loire, Rapport d'activités, 2010, 64 p.

Clément *et al.* 1987 : CLÉMENT (J.-P.), CHANTRAINE (J.), LIMASSET (J.-C.) – *Carte géologique de la France (1/50 000), feuille Loué (357), Notice explicative.* Orléans : Éditions du BRGM, 1987, 35 p.

Cliquet 2014 : CLIQUET (D.) - Le Grand Ouest est-il un finistère ? *In* DEPAEPE (P.), GOVAL (E.), KOEHLER (H.), LOCHT (J.-L.) - *Les plaines du Nord-Ouest : un carrefour au Paléolithique moyen ? Amiens, 28-29 mars 2008*. Paris : Société Préhistorique Française, 2014, p. 137-161 (Mémoire de la SPF ; 59).

Cliquet *et al.* 2009 : CLIQUET (D.), MERCIER (N.), LAUTRIDOU (J.-P.), ALIX (P.), BEUGNIER (B.), BIANCHINI (R.), CASPAR (J.-P.)(†), COUTARD (S.), LASSEUR (E.), LORREN (P.), GOSSELIN (R.), RIVARD (J.-J.), VALLADAS (H.) - Un atelier de production et de consommation d'outils bifaciaux de la fin du Paléolithique moyen à Saint-Brice-sous-Rânes (Orne - France) dans son contexte environnemental. *Quaternaire*, n° 20, (3). Paris : Association française pour l'étude du Quaternaire, 2009, p. 361-379.

Cliquet *et al.* 2001a : CLIQUET (D.), LADJAD (J.), LAUTRIDOU (J.-P.), LEPORTIER (J.), LORREN (P.), MICHEL (D.), PRUVOST (P.), RIVARD (J.-J.), VILGRAIN (G.) - Le Paléolithique moyen à outils bifaciaux en Normandie : état des connaissances, *In* CLIQUET (D.) dir. - *Les industries à outils bifaciaux du Paléolithique moyen d'Europe occidentale. Actes de la table-ronde internationale organisée à Caen (Basse-Normandie - France) - 14 et 15 octobre 1999*. Liège : ERAUL 98, 2001, p. 115 à 128.

Cliquet *et al.* 2001b : CLIQUET (D.), LAUTRIDOU (J.-P.), RIVARD (J.-J.), ALIX (P.), GOSSELIN (R.), LORREN (P.) - les industries à outils bifaciaux du Paléolithique moyen en Normandie armoricaine : l'exemple du site de Saint-Brice-sous-Rânes (Orne - France), *In* CLIQUET (D.) dir. - *Les industries à outils bifaciaux du Paléolithique moyen d'Europe occidentale. Actes de la table-ronde internationale organisée à Caen (Basse-Normandie - France) - 14 et 15 octobre 1999*. Liège : ERAUL 98, 2001, p. 93 à 106.

Curray 1956 : CURRAY (J.R.) − The analysis of two-dimensional orientation data. *Journal of Geology*, 64, 2. Chicago : The University of Chicago Press Journals, 1956, p. 117-131.

D.

Desbrosses *et al.* 1976 : DESBROSSE (R.), KOZLOWSKI (J.K.), ZUATE, ZUBER (J.) - Prondniks de France et d'Europe centrale. *L'Anthropologie*, T.80, n° 3. Paris : Masson, 1976, p. 431-448.

Dunham 1962 : DUNHAM (R.-J.) - Classification of carbonate rocks according to the depositional texture, *In* : HAM (W.E.) Éd - *Classification of carbonate rocks*. Tulsa : American association of Petroleum geologist, 1962, p. 108-121. (Memoire of the American Association of petroleum geologists *;* 1).

E.

Embry, Klovan 1971 : EMBRY (A.F.), KLOVAN (J.E.) - A late Devonian reef tract on north eastern Bank Island. *Bulletin of Canadian Petroleum Geology,* 19, 1971, p. 730-781.

F.

Fernandes 2012 : FERNANDES (P.) − *Itinéraires et transformations du silex : une pétroarchéologie refondée, application au Paléolithique moyen*. Thèse de doctorat. Université Bordeaux 1, 2012.

Folk 1959 : FOLK (R.-L.) – Practical classification of limestone. *American Association of Petroleum Geologists Bulletin,* 43, 1959. Tulsa : American association of Petroleum geologists, 1959, p. 1-38.

G.

Georges, Kerdivel 2006 : GEORGES (E.), KERDIVEL (G.) – *Relation minière/habitat au Néolithique, les sites de la Croix-Sainte-Anne à Juigné-sur-Sarthe (72) et du Camp de César à Vion (72)*, Opération programmée de sondages SRA Nantes., 2006, 119 p, 56 fig.

Gouraud 1990 : GOURAUD (G.) – *La Préhistoire du bassin de Grand-Lieu dans son contexte régional du Centre-Ouest atlantique*. Toulouse, Mémoire de diplôme de l'École des Hautes Études en Sciences Sociales, 1990, 207 p.

Gouraud, Tessier 1990 : GOURAUD (G.), TESSIER (M.) – Le site Paléolithique moyen de la Brenière à Montbert (Loire-Atlantique). *Revue Archéologique de l'Ouest*, n° 7, 1990, p. 9-21.

Gruet 1963 : GRUET (M.) – Les terrasses du confluent Loir-Sarthe et leurs industries. *Bulletin de la Société géologique de France*, 5. Paris : Société géologique de France, 1963, p. 458-463.

Gruet 1990 : GRUET (M.) – *Roc-en-Pail, 50000 ans de préhistoire angevine.* Muséum d'Histoire Naturelle d'Angers, 1990, 36 p.

Gruet, Jaouen 1963 : GRUET (M.), JAOUEN (P.) – Le gisement moustérien et aurignacien du *Bois Millet*, Les Moutiers-en-Retz (Loire-Atlantique). *L'Anthropologie*, vol. 67, n° 5-6. Paris : Masson, 1963, p. 429-458.

H.

l'Helgouach 1975 : L'HELGOUACH (J.) – Informations archéologiques. Circonscriptions des antiquités préhistoriques (Des Origines à la fin de l'Âge du Bronze) Pays-de-la-Loire. *Gallia Préhistoire*, t. 18, fasc. 2. Paris : CNRS, 1975, p. 541-561.

Hinguant 2014 : HINGUANT (S.) dir. - *« Une occupation du Paléolithique moyen récent à outils bifaciaux dans la vallée de la Vègre ». Pays de la Loire, Sarthe, Fontenay-sur-Vègre (72136), Château-Gaillard/ La Mercerie, LGV BPL secteur 15. Rapport d'opération de fouille archéologique*. Cesson-Sévigné : INRAP Grand Ouest, 2014, vol. 1, 282 p.

J.

Juignet *et al.* 1973 : JUIGNET (P.), MARY (G.), MENILLET (F.), DEPAGNE (J.) – *Carte géologique de la France (1/50 000), feuille Le Mans (358), Notice explicative.* Orléans : Éditions du BRGM, 1973, 24 p.

L.

Larue, Etienne 1997 : LARUE (J.-P.), ETIENNE (R.) – Les changements de cours de la Sarthe entre Le Mans et Sablé-sur-Sarthe (France). *Géographie physique et Quaternaire*, vol. 51, n° 3, 1997, p. 285-294.

Launay, Molines 2005 : LAUNAY (S.), MOLINES (N.) – Le Moustérien à outils bifaciaux dans le Massif armoricain : première lecture technologique. *Bulletin de la Société Préhistorique Française*, t. 102, n° 4 ; Paris : Société préhistorique française, 2005, p. 837-853.

Lenoble 2005 : LENOBLE (A.) – *Ruissellement et formations des sites préhistoriques : référentiel actualiste et exemples d'application au fossile*. British Archaeological Report International Series, Oxford, n°1363, 2005, 212 p.

Louail *et al.* 1989 : LOUAIL (J.), MORZADEC (P.), LE HÉRISSÉ (A.), BROSSÉ (R.), MOGUEDET (G.), ETIENNE (H.) – *Carte géologique de la France (1/50000), feuille La Flèche (392), Notice explicative*. Orléans : BRGM, 1989, 40 p.

M.

Manivit *et al.* 1988 : MANIVIT (J.), LABLANCHE (G.), DEPAGNE (J.) – *Carte géologique de la France (1/50000), feuille Ecommoy (393), Notice explicative*. Orléans : BRGM, 1988, 40 p.

Marchand, Querre 2012 : MARCHAND (G.), QUERRE (G.) dir. - *Roches et sociétés de la Préhistoire entre Massifs cristallins et Bassins sédimentaires : le Nord-Ouest de la France dans son contexte européen*. Rennes : Presses Universitaires de Rennes, 2012, 512 p.

Mary 1964 : MARY (G.) – Le périglaciaire des environs du Mans (Sarthe, France). *Biuletyn peryglacjalny*, 13, 1964, p. 53-98.

Molines 2005 : MOLINES (N.) – *Les peuplements néandertaliens dans la vallée de la Sarthe*. Rennes, UMR 6566 du CNRS, Rapport préliminaire, 2005, inédit, 100 p.

Molines *et al.* 1999 : MOLINES (N.), HINGUANT (S.), PIGEAUD (R.) – *Les occupations paléolithiques de la vallée de l'Erve. Synthèse des travaux anciens et données récentes*. Rennes, UMR 6566 du CNRS, 1999, inédit, 152 p.

Molines *et al.* 2001 : MOLINES (N.), HINGUANT (S.), MONNIER (J-L.) – Le paléolithique moyen à outils bifaciaux dans l'Ouest de la France : synthèse des données anciennes et récentes. *In :* CLIQUET (D.) dir. - *Les industries à outils bifaciaux au Paléolithique moyen d'Europe occidentale*, *Actes de la Table ronde internationale organisée à Caen (Basse-Normandie, France), 14-15 octobre 1999*. Liège : ERAUL 98, 2001, p. 109-115.

Monnier *et al.* 2002 : MONNIER (J.-L.), CLIQUET (D.), HALLÉGOUËT (B.), VAN VLIET-LANOË (B.), MOLINES (N.) – Stratigraphie, paléoenvironnement et occupations humaines durant le dernier interglaciaire dans l'Ouest de la France (Massif armoricain). Comparaison avec l'interglaciaire précédent. *In :* TUFFREAU (A.), ROEBROECKS (W.) - *Bilans sédimentaires et occupations humaines durant le dernier interglaciaire en Europe et au Proche-Orient. Colloque INQUA, 26-28 sept. 1997, Abbaye du Gard, Crouy-Saint-Pierre (Somme), Le dernier interglaciaire et les occupations humaines du Paléolithique moyen*. Université des Sciences et Technologies de Lille, Publications du CERP, n° 8, 2002, p. 115-141.

Murray, Wintle 2000 : MURRAY (A. S.), WINTLE (A. G.) – Luminescence dating of quartz using an improved regenerative-dose single-aliquot protocol. *Radiation Measurements*, 32, 2000, p. 57-73.

P.

Poisblaud 2011 : POISBLAUD (B.) dir. – *LGV 15, communes de Chantenay-Villedieu, Fontenay-sur-Vègre, Poillé-sur-Vègre, Auvers-le-Hamon, Ballée, Cheméré-le-Roi, Juigné-sur-Sarthe.* Rapport de diagnostic, INRAP Grand Ouest, 2011, 417 p.

R.

Le Ribault 1975 : Le RIBAULT (L.) - *L'exoscopie méthode et application*, Paris : Compagnie Française des Pétroles, Service Geologique D.C.E.P (Éd.), 1975, 230 p.

S.

Stoops 2003 : STOOPS (G.) – *Guidelines for analysis and description of soil and regolith thin sections*. Madison (Wisconsin, USA): Soil Science Society of America, 2003. 184p.

T.

Tixier *et al.* 1980 : TIXIER (J.), INIZAN (M.-L.), ROCHE (H.) - *Préhistoire de la pierre taillée - t. 1 : terminologie et technologie*. Cercle de Recherches et d'Études Préhistoriques, Antibes, 1980, 120 p.

Tsogbou-Ahoupé *et al.* 2013 : TSOBGOU-AHOUPÉ (R.), BIARD (M.), CHANTREAU (Y.), LENORMAND (A.), HINGUANT (S.) – *Néandertal sous les rails. Données préliminaires sur la fouille du site Paléolithique moyen de Château-Gaillard (LGV, Fontenay-sur-Vègre, Sarthe). Rennes, Journée du « CReAAH », Résumés des communications*. 2013, p. 6-7.

W.

Woodcock 1977 : WOODCOCK (N.H.) − Specification of fabric shapes using an eigenvalue method. *Geological Society of America Bulletin*, 88, 9, 1977. S.l. : The Geological Society of America, 1977, p. 1231-1236.

LISTE DES FIGURES

Figure 1.1 – Localisation du site sur fond topographique à l'échelle 1/250 000. 14
Figure 1.2 – Localisation du site sur fond topographique à l'échelle 1/25 000. 15
Figure 1.3 – Localisation de l'emprise de fouille sur fond cadastral à l'échelle 1/3000. 16
Figure 1.4 – Localisation du site sur la carte de Cassini et le cadastre napoléonien. 43
Figure 1.5 – Localisation du site dans la zone de contact entre le Massif armoricain et le Bassin parisien. 43
Figure 1.6 – Localisation du site dans son contexte géologique. 45
Figure 1.7 – Localisation des principaux sites moustériens aux alentours du « Bois de Sirion ». 47
Figure 1.8 – Localisation des principaux sites moustériens de la région Pays-de-la-Loire. 47
Figure 1.9 – Plan de masse. 50
Figure 1.10 – Partition du décapage mécanique en polygones de Voronoï optimisés. 51
Figure 1.11 – Aperçus photographiques de l'opération. 52
Figure 1.12 – Aperçus photographiques de l'opération. 53
Figure 1.13 – Aperçus photographiques de l'opération. 55
Figure 1.14 – Système de carroyage. 56
Figure 1.15 – Plan de localisation des zones de fouilles manuelles et des coupes stratigraphiques associées. 57
Figure 1.16 – Phasage de l'opération. 59

Figure 2.1 – Contexte géologique. 64
Figure 2.2 – Contexte géomorphologique. 64
Figure 2.3 – Localisation des investigations stratigraphiques. 67
Figure 2.4 – Coupe 1. 68
Figure 2.5 – Coupes 2 et 3. 69
Figure 2.6 – Coupe 4. 70
Figure 2.7 – Coupes 5 et 6. 71
Figure 2.8 – Coupes 8 et 10. 72
Figure 2.9 – Aperçu photographique des faciès pédosédimentaires. 73
Figure 2.10 – Coupes 5 et 10 analysées. 74
Figure 2.11 – Répartition verticale des fractions anthropiques et naturelles > 2 mm. 77
Figure 2.12 – Granulométrie de la matrice < 2 mm des faciès pédosédimentaires : résultats chiffrés. 79
Figure 2.13 – Granulométrie de la matrice < 2 mm des faciès pédosédimentaires : courbes de distribution. 80
Figure 2.14 – Aperçu photographique des microfaciès : lames minces scannées. 81
Figure 2.15 – Aperçu photographique des microfaciès. 83

Figure 3.1 – Photographie des prélèvements de sédiment pour datation sur la coupe 8 et du silex brûlé analysé. 86

Figure 3.2 – Diagramme temps / profondeur des résultats de datation. 87

Figure 4.1 – Plan de répartition du mobilier lithique. 90

Figure 4.2 – Plan de répartition des artefacts lithiques par catégorie d'objets. 91

Figure 4.3 – Plan et graphique de répartition des artefacts lithiques par classes granulométrique. 93

Figure 4.4 – Plan de répartition des artefacts lithiques par faciès pédosédimentaire. 94

Figure 4.5 – Stratigraphie schématique. 95

Figure 4.6 – Graphique de répartition des artefacts lithiques par faciès pédosédimentaire selon leur classe granulométrique. 96

Figure 4.7 – Graphique de répartition de certaines catégories de vestiges lithiques par faciès pédosédimentaire. 96

Figure 4.8 – Plan de localisation des remontages et raccords d'artefacts en silex. 97

Figure 4.9 – Résultats de l'analyse des fabriques. 101

Figure 4.10 – Localisation des sous-carrés échantillonnés pour l'étude granulométrique des silex. 101

Figure 4.11 – Diagramme des classes dimensionnelles des silex > 2 mm en C06-15b et C06-67a. 103

Figure 4.12 – Diagramme des classes dimensionnelles des silex > 2 mm en C06-100d et D6-93a et par faciès pour l'ensemble des points de prélèvements. 104

Figure 4.13 – Diagramme des classes dimensionnelles des silex > 5 mm par faciès pour l'ensemble des points de prélèvements. 105

Figure 4.14 – Fraction > 2 mm issue du décapage 3 en C6-67a. 105

Figure 5.1 – Carte des formations à silex des bassins de la Mayenne, de la Sarthe aval et du Loir. 112

Figure 5.2 – Type 602, silex des altérites bajociennes. 115

Figure 5.3 – Type 601, silex des altérites bajociennes. 116

Figure 5.4 – Type 601b, silex des altérites bajociennes. 117

Figure 5.5 – Type 604, silex attribuables aux altérites bajociennes. 118

Figure 5.6 – Type 603, silex attribuables aux altérites bajociennes, imprégnations ferrugineuses importantes. 119

Figure 5.7 – Type 606, silex attribuables au Crétacé supérieur. 120

Figure 5.8 – Type 607, silex attribuable au Crétacé supérieur. 121

Figure 6.1 – Bloc brûlé. 127
Figure 6.2 – Rognons de silex bruts. 127
Figure 6.3 – Rognons de silex bruts. 127
Figure 6.4 – Bloc de silex brut. 127
Figure 6.5 – Plaquettes de silex brutes. 128
Figure 6.6 – Plaquettes de silex brutes. 128
Figure 6.7 – Boc peu entamé en grès/quartzite. 128
Figure 6.8 – Percuteur en quartz. 130
Figure 6.9 – Abraseur en grès fin ?. 130
Figure 6.10 – Nucléus en grès/quartzite. 130
Figure 6.11 – Nucléus Levallois récurrents. 132
Figure 6.12 – Nucléus Levallois récurrents.. 132
Figure 6.13 – Nucléus Levallois récurrents.. 133
Figure 6.14 – Nucléus Levallois récurrent recyclé en racloir déjeté.. 133
Figure 6.15 – Nucléus à débitage de gestion de surface parallèle non Levallois.. 133
Figure 6.16 – Nucléus à débitage de gestion de surface parallèle non Levallois unipolaires. 135
Figure 6.17 – Nucléus à débitage de gestion de surface parallèle non Levallois unipolaires. 135
Figure 6.18 – Nucléus à débitage de gestion de surface parallèle non Levallois bipolaires opposés. 135
Figure 6.19 – Nucléus à débitage de gestion de surface parallèle non Levallois à deux surfaces de débitage. 135
Figure 6.20 – Nucléus à débitage semi-tournant. 135
Figure 6.21 – Nucléus à débitage semi-tournant. 135
Figure 6.22 – Corticalité des produits de débitage entiers (en %). 138
Figure 6.23 – Modules d'allongement (L/l) des produits de débitage entiers (en %). 138
Figure 6.24 – Modules d'aplatissement (l/e) des produits de débitage entiers (en %). 138
Figure 6.25 – Types de talons des produits de débitage (en %). 138
Figure 6.26 – éclats de façonnage. 142
Figure 6.27 – éclats de façonnage.. 142
Figure 6.28 – éclats de façonnage. 142
Figure 6.29 – éclats de façonnage. 142
Figure 6.30 – éclats de façonnage. 143
Figure 6.31 – éclats de façonnage. 143
Figure 6.32 – éclats de façonnage.. 143
Figure 6.33 – Racloir simple convexe repris après fracture. 146
Figure 6.34 – Racloir transversal sur face plane. 150
Figure 6.35 – Racloir sur face plane sur éclat Levallois. 150
Figure 6.36 – Racloirs sur face plane périphériques. 150

Figure 6.37 – Racloirs sur face plane périphériques. 150
Figure 6.38 – Racloirs sur face plane périphériques. 150
Figure 6.39 – Racloir transversal sur éclat de type Kombewa. 150
Figure 6.40 – Racloir convergent à retouche biface. 150
Figure 6.41 – Racloir déjeté double à retouche biface. 150
Figure 6.42 – Encoche clactonienne sur éclat de façonnage. 150
Figure 6.43 – Denticulé transversal. 154
Figure 6.44 – Denticulé sur face plane. 154
Figure 6.45 – Denticulés amincis. 154
Figure 6.46 – Denticulés amincis. 154
Figure 6.47 – Racloir sur face plane associé à un denticulé. 154
Figure 6.48 – éclat brut aminci. 154
Figure 6.49 – ébauche de pièce bifaciale façonnée sur rognon. 156
Figure 6.50 – Fragment basal de pièce bifaciale. 156
Figure 6.51 – Pièces bifaciales. 156
Figure 6.52 – Pièces bifaciales. 156
Figure 6.53 – Pièces bifaciales. 156
Figure 6.54 – Pièces bifaciales. 156
Figure 6.55 – Pièces bifaciales. 157
Figure 6.56 – Pièces bifaciales. 157
Figure 6.57 – Pièces bifaciales. 157
Figure 6.58 – Pièces bifaciales. 157
Figure 6.59 – Pièces bifaciales. 157
Figure 6.60 – Pièces bifaciales. 157
Figure 6.61 – Pièces bifaciales. 157
Figure 6.62 – Pièces bifaciales. 157
Figure 6.63 – Pièces bifaciales. 157
Figure 6.64 – Pièces bifaciales. 157
Figure 6.65 – Pièces bifaciales. 160
Figure 6.66 – Pièces bifaciales. 160
Figure 6.67 – Pièces bifaciales. 160
Figure 6.68 – Uniface. 160
Figure 6.69 – Macro-outil en grès/quartzite. 164
Figure 6.70 – Macro-outil en grès/quartzite. 164
Figure 6.71 – Macro-outil en grès/quartzite. 165
Figure 6.72 – Macro-outil en silex. 165

LISTE DES TABLEAUX

Tableau 1 – Décompte du mobilier archéologique par type de décapage et d'enregistrement du mobilier. 62

Tableau 2 – Décompte du mobilier archéologique par type de décapage et provenance du mobilier. 62

Tableau 3 – Tableau des résultats de datation. 87

Tableau 4 – Décompte des types d'artefacts par faciès pédosédimentaire. 95

Tableau 5 –Pourcentage des artefacts affectés par des processus d'altération chimique par type de patine et ensemble sédimentaire. 107

Tableau 6 – Tableau synthétique des types présents dans la série étudiée. 113

Tableau 7 –Décompte général des vestiges archéologiques. 124

Tableau 8 –Types de nucléus. 129

Tableau 9 –Décompte des produits en silex (bruts et retouchés). 136

Tableau 10 –Décompte de l'outillage. 144

Tableau 11 –Nature technique des supports d'outils retouchés. 144

Tableau 12 –Mobilier soumis à une évaluation du potentiel tracéologique. 163

LISTE DES PLANCHES DE DESSINS LITHIQUES

Planche 1 – Éclats Levallois. 139

Planche 2 – Éclats Levallois. 140

Planche 3 – Éclats de « type Kombewa ». 141

Planche 4 – Éclats de coup de tranchet. 1-5 : éclats de coup de tranchet ; 6 : éclat de coup de tranchet de « type Kombewa ». 143

Planche 5 – Racloirs. 1-3 : racloirs simples convexes ; 4 : racloir sur face plane. 146

Planche 6 – Racloirs. 1 : racloir transversal convexe ; 2-4 : racloirs convergents ; 5 : racloir alterne. 147

Planche 7 – Racloirs. 1 : racloir déjeté à retouche biface ; 2 : racloir déjeté à retouche biface transversale ; 3-4 : racloirs déjetés ; 5 : grattoir. 148

Planche 8 – Racloirs. 1 : racloir convergent à retouche biface ; 2 et 3 : racloirs alternes. 152

Planche 9 – Racloir déjeté double sur pièce bifaciale. 158

Planche 10 – Unifaces. 162

TABLE DES MATIÈRES

Section 1 - Données administratives, techniques et scientifiques

09 Fiche signalétique
10 Mots-clés du Thésaurus
11 Générique de l'opération
12 Notice Scientifique
13 Fiche d'état du site
17 Arrêté de prescription de fouille
21 Cahier des charges
25 Arrêté modificatif de prescription de fouille
28 Projet scientifique et technique d'intervention
37 Arrêté d'autorisation de fouille

Section 2 - L'opération et ses résultats

43 1. Cadre de l'intervention
43 1.1. Localisation du site
44 1.2. Circonstances de l'intervention
43 1.3. Connaissances avant l'opération
44 1.3.1. Les acquis du diagnostic
46 1.3.2. Contexte archéologique
48 1.4. Rappel du cahier des charges et des objectifs scientifiques de la fouille
48 1.5. Méthodologie de terrain
48 1.5.1. Les tranchées géoarchéologiques
49 1.5.2. Le décapage mécanique
53 1.5.3. La fouille manuelle
58 1.5.4. Les mesures des fabriques
58 1.5.5. Le tamisage des sédiments
59 1.5.6. Les prélèvements
59 1.6. Déroulement effectif de l'opération
61 1.7. Bilan des moyens mécaniques et humains
62 1.8. Bilan des fouilles mécaniques et manuelles

63 2. Contexte stratigraphique
63 2.1. Introduction
65 2.2. Séquence stratigraphique
65 2.2.1. Généralités
66 2.2.2. Ensemble 1
66 2.2.3. Ensemble 2
75 2.2.4. Ensemble 3
75 2.2.5. Ensemble 4
75 2.2.6. Ensemble 5
76 2.3. Figures diagénétiques
76 2.3.1. Figures visibles en coupe ou en plan
76 2.3.2. Figures déduites de l'organisation du mobilier
76 2.4. Granulométrie
76 2.4.1 Fraction > 2 mm
78 2.4.2. Fraction < 2 mm
78 2.5. Micromorphologie
84 2.6. Conclusion

85 3. Datations par OSL/TL
85 3.1. Méthodologie
85 3.2. Résultat
88 3.3. Conclusion

89 4. Étude taphonomique
89 4.1. Analyse spatiale du mobilier
89 4.1.1. Distribution spatiale du mobilier
92 4.1.2. Remontages et raccords
99 4.2. Analyse des fabriques
100 4.3. Granulométrie du mobilier lithique
100 4.3.1. Objectifs et méthodologie
102 4.3.2. Résultats
106 4.4. Etats de surface et homogénéité de la série
107 4.5. Conclusion

109 5. Étude pétroarchéologique des silex d'Auvers-le-Hamon
110 5.1. Le choix méthodologique
111 5.2. Le cadre géologique et les ressources en silex
111 5.2.1. Liste des ressources régionales (10 - 50 km)
111 5.2.2. Liste des ressources locales (< 10 km)
111 5.3. Diagnose des types de silex présents dans la série étudiée
122 5.4. Conclusion

123 6. Étude techno-typologique et économique de l'industrie lithique
123 6.1. La production lithique
123 6.1.1. Phase d'acquisition
123 6.1.1.1. Description et provenance des matières premières
126 6.1.1.2. état d'apport des matières premières sur le site
129 6.1.2. Phase de production
129 6.1.2.1. Les techniques de taille
129 6.1.2.2. Les méthodes de débitage
136 6.1.2.3. La production
144 6.1.3. Phase de confection et d'utilisation
144 6.1.3.1. L'outillage retouché
153 6.1.3.2. L'outillage façonné
161 6.1.3.3. Les macro-outils
163 6.2. Potentiel tracéologique de l'assemblage
166 6.3. Synthèse et détermination de l'industrie lithique
166 6.3.1. Synthèse des données techno-économiques
166 6.3.2. Attribution chrono-culturelle et insertion régionale

169 7. Conclusion

171 Bibliographie
175 Liste des figures
179 Liste des tableaux
179 Liste des planches de dessins lithiques
180 Table des Matières

Section 2 - Annexes

184 Liste des annexes
185 Annexe 1 : Liste des locus de fouille manuelle
186 Annexe 2 : Liste des remontages et raccords lithiques
187 Annexe 3 : Locus 1, photomontage des décapages 1 et 2
188 Annexe 4 : Locus 2, photomontage du décapage 1
189 Annexe 5 : Locus 2, photomontage du décapage 2
190 Annexe 6 : Locus 3, photomontage du décapage 1
191 Annexe 7 : Locus 3, photomontage du décapage 2
192 Annexe 8 : Locus 4, photomontage du décapage 1
193 Annexe 9 : Rapport de datation OSL, PR26
194 Annexe 10 : Rapport de datation OSL, PR27
195 Annexe 11 : Rapport de datation OSL, PR28
196 Annexe 12 : Rapport de datation TL, PT1931
197 Annexe 13 : Liste des mesures de fabriques sur le mobilier lithique
198 Annexe 14 : Tableau de synthèse de la granulométrie du mobilier lithique

Section 3 - Inventaires

200 Inventaire 01 - Documentation écrite
201 Inventaire 02 - Documentation graphique
202 Inventaire 03 - Documentation numérique
203 Inventaire 04 - Mobilier archéologique
250 Inventaire 05 - Prélèvements
251 Inventaire 06 - Unités stratigraphiques
252 Inventaire 07 - Coupes stratigraphiques
253 Inventaire 08 - Refus de tamis
254 Inventaire 09 - Photographies numériques
265 Inventaire 10 - Points topographiques

ANNEXES

Liste des annexes

Annexe 1 : Liste des locus de fouille manuelle 185
Annexe 2 : Liste des remontages et raccords lithiques 186
Annexe 3 : Locus 1, photomontage des décapages 1 et 2 187
Annexe 4 : Locus 2, photomontage du décapage 1 188
Annexe 5 : Locus 2, photomontage du décapage 2 189
Annexe 6 : Locus 3, photomontage du décapage 1 190
Annexe 7 : Locus 3, photomontage du décapage 2 191
Annexe 8 : Locus 4, photomontage du décapage 1 192
Annexe 9 : Rapport de datation OSL, PR26 193
Annexe 10 : Rapport de datation OSL, PR27 194
Annexe 11 : Rapport de datation OSL, PR28 195
Annexe 12 : Rapport de datation TL, PT1931 196
Annexe 13 : Liste des mesures de fabriques sur le mobilier lithique 197
Annexe 14 : Tableau de synthèse de la granulométrie du mobilier lithique 198

N° Locus	Coupe associée	Surface fouillée (m²)	Carré	Sous-carré	Nb décapages	Unités Pédostratigraphiques	Protocole de fouille manuelle*	Tamisage		Nb pièces	Total Nb pièces
								archéo	granulo		
Locus 1		3	D8		nettoyage de surface	GR	_			180	1242
			D8-15	a-b	3	LSB/GR	complet	X		163	
			D8-16	a-b	3	LSB/GR - GR	complet	X		67	
			D8-25		3	GR	complet	X		214	
			D8-26		3	GR	complet	X		614	
			nc			GR	_			4	
Locus 2	CP10	12,5	C6-100	d	4	LS gris - LSB	complet		X	1	851
			D6-82		1	LSB	complet			3	
			D6-83		1	LSB	complet		X	12	
			D6-84		2	LSB - LSB/LSBR	décap. 1 complet / suivant(s) allégé(s)	X	X	66	
			D6-85		2	LSB/LSBR	décap. 1 complet / suivant(s) allégé(s)		X	67	
			D6-92		1	LSB	complet		X	20	
			D6-93		1	LSB	complet		X	22	
			D6-94		2	LSB/LSBR - LSB/LSBR (poches GR)	décap. 1 complet / suivant(s) allégé(s)		X	108	
			D6-95		2	LSB/LSBR - LSBR/GR	décap. 1 complet / suivant(s) allégé(s)		X	47	
			D7-04		8	LSB/LSBR - SR	décap. 1 complet / suivant(s) allégé(s)	X	X	398	
			D7-05		1	LSBR	complet	X	X	11	
			D7-14		1	LSB/LSBR	complet		X	21	
			D7-15		1	LSBR	complet		X	7	
			nc			LSB/LSBR	_			2	
			décapage mécanique final			GR	_			2	
			décapage mécanique final			LSB	_			6	
			décapage mécanique final			LSBR	_			14	
			décapage mécanique final			LSR	_			9	
			décapage mécanique final			LSR / SR	_			24	
			décapage mécanique final			SR	_			6	
			décapage mécanique final				_			5	
Locus 3 - Nord	CP05	12	C6-64	d	nettoyage de surface	LSB	_			1	2969
			C6-66		2	LSB	décap. 1 complet / suivant(s) allégé(s)	X	X	215	
			C6-67		10	LSB - SR	décap. 1 complet / suivant(s) allégé(s)	X	X	696	
			C6-68		2	LSB	décap. 1 complet / suivant(s) allégé(s)	X	X	53	
			C6-69		2	LSB - LSBR (poches GR)	décap. 1 complet / suivant(s) allégé(s)	X	X	93	
			C6-76		2	LSB	décap. 1 complet / suivant(s) allégé(s)		X	114	
			C6-77		2	LSB	décap. 1 complet / suivant(s) allégé(s)	X	X	126	
			C6-78		2	LSB	décap. 1 complet / suivant(s) allégé(s)	X	X	81	
			C6-79		2	LSB - LSBR	décap. 1 complet / suivant(s) allégé(s)	X	X	85	
			C6-86		2	LSB	décap. 1 complet / suivant(s) allégé(s)			44	
			C6-87		2	LSB/LSBR	décap. 1 complet / suivant(s) allégé(s)		X	40	
			C6-88		2	LSB/LSBR	décap. 1 complet / suivant(s) allégé(s)		X	35	
			C6-89		2	LSB - LSBR (poches GR)	décap. 1 complet / suivant(s) allégé(s)	X	X	176	
Locus 3 - Sud	CP05	3,25	C6-15	b	11	LSB - SR	complet		X	14	
			C6-07	c	6	LSB - LSB/LSBR	express			7	
			C6-09	c	6	LSB - GBR/LSBR	express			99	
			C6-16	c	7	LSB - LSBR/LSR	express			14	
			C6-18	c	6	LSB - LSBR/LSR	express			113	
			C6-27	c	6	LSB - LSBR	express			42	
			C6-29	c	6	LSB - LSBR	express			98	
			C6-36	c	10	LSB - SR (poches GB)	express			46	
			C6-38	c	10	LSB - LSR/SR	express			101	
			C6-47	c	10	LSB - LSBR/SR	express			60	
			C6-49	c	11	LSB - SR	express			70	
			C6-56	c	10	LSB - LSBR/SR	express			46	
			C6-58	c	10	LSB - SR	express			150	
			C5-90	a	nettoyage de surface	LSB	_			1	
			C5-95	d	nettoyage de surface	LSB	_			2	
			C5-98	d	nettoyage de surface	LSB	_			1	
			C5-99	d	nettoyage de surface	LSB	_			3	
			C6-07	b et d	nettoyage de surface	LSB	_			2	
			C6-08	c	nettoyage de surface	LSB	_			2	
			C6-09	a	nettoyage de surface	LSB	_			1	
			C6-10	c	nettoyage de surface	LSB	_			1	
			C6-17	d	nettoyage de surface	LSB	_			3	
			C6-18	a et d	nettoyage de surface	LSB	_			2	
			C6-19	b	nettoyage de surface	LSB	_			1	
			C6-20	c	nettoyage de surface	LSB	_			1	
			C6-25	c	nettoyage de surface	LSB	_			1	
			C6-26	c	nettoyage de surface	LSB	_			1	
			C6-35	a	nettoyage de surface	LSB	_			2	
			C6-36	b	nettoyage de surface	LSB	_			1	
			C6-37	a et b	nettoyage de surface	LSB	_			3	
			C6-38	d	nettoyage de surface	LSB	_			2	
			C6-47	d	nettoyage de surface	LSB	_			1	
			C6-48	b	nettoyage de surface	LSB	_			1	
			C6-49	d	nettoyage de surface	LSB	_			1	
			C6-50	a	nettoyage de surface	LSB	_			1	
			C6-56	b et d	nettoyage de surface	LSB	_			2	
			C6-58	d	nettoyage de surface	LSB	_			3	
			C6-59	b	nettoyage de surface	LSB	_			1	
Locus 3 - Nord et Sud	CP 05		décapage mécanique final			LSB	_			88	
			décapage mécanique final			LSBR	_			72	
			décapage mécanique final			GR	_			63	
			décapage mécanique final			LSR	_			34	
			décapage mécanique final			SR	_			53	
Locus 4	CP06	16,5	C5-61	a-b	1	GB	allégé		X	10	1748
			C5-62	a-b	1	GR	allégé		X	5	
			C5-63	a-b	1	GR	allégé		X	3	
			C5-64	a-b	1	GR	allégé		X	18	
			C5-65	a-b	1	GR	allégé			0	
			C5-71		1	GB	allégé	X	X	173	
			C5-72		1	GR	allégé		X	7	
			C5-73		1	GR	allégé		X	60	
			C5-74		1	GR	allégé	X	X	39	
			C5-75		1	GR	allégé		X	6	
			C5-81		1	GBR	allégé	X	X	92	
			C5-82		6	GR - GR/SR	allégé	X	X	905	
			C5-83		1	GR	allégé		X	66	
			C5-84		1	GR	allégé	X	X	76	
			C5-85		1	GR	allégé		X	10	
			C5-91	c-d	1	GB	allégé		X	29	
			C5-92	c-d	1	GR	allégé	X	X	48	
			C5-93		1	GR	allégé			53	
			C5-94		1	GR	allégé		X	32	
			C5-95		1	GR	allégé			0	
			CP06			_	_			3	
			décapage mécanique final			GR	_			70	
			décapage mécanique final			LSR	_			2	
			décapage mécanique final			_	_			41	

Annexe 1 – Liste des locus de fouille manuelle (* cf. §1.5.3).

N°	Type	Matériau	N° inv.	Produit	Interprétation 1	Interprétation 2	Produit reconstitué	Type décapage	X	Y	Z	Zone	Carré	N° décapage	UPS	Position	Repose sur face	Dispersion H (en cm)	Dispersion V (en cm)
01	remontage	S	1756	E façonnage	séquence de façonnage	–	–	méca	452850,2392	6760107,232	66,829392	LOCUS 1	D8 26c	0	GR	H	inf.	entre 6 et 14	entre 0,02 et 1
		S	3019	E façonnage				manu	452850,3125	6760107,166	66,819325	LOCUS 1	D8 26c	2	GR	O	sup.		
		S	2735	E façonnage (prox.)				manu	452850,1854	6760107,22	66,82917	LOCUS 1	D8 26c	1	GR	H	sup.		
02	remontage	S	3041	E façonnage (prox.)	séquence de façonnage	–	–	manu	452850,2953	6760107,023	66,777456	LOCUS 1	D8 26c	2	GR	O	sup.	entre 2 et 13	entre 0,8 et 5,9
		S	3036	E façonnage (dist.)				manu	452850,2881	6760106,991	66,793898	LOCUS 1	D8 26c	2	GR	V			
		S	2673	E façonnage				manu	452850,2422	6760106,927	66,837306	LOCUS 1	D8 16a	1	GR	O	sup.		
		S	3030	E façonnage				manu	452850,2995	6760107,043	66,785269	LOCUS 1	D8 26c	2	GR	O	sup.		
03	raccord	S	2717	E (més.)	fracture ancienne	au débitage ou post-dépositionnelle mécanique	E façonnage	manu	452850,3883	6760107,18	66,812203	LOCUS 1	D8 26c	1	GR	O	inf.	4,94	1,82
		S	2718	E (dist.)				manu	452850,4334	6760107,16	66,793958	LOCUS 1	D8 26c	1	GR	H	inf.		
04	raccord	S	2707	E (prox.)	fracture ancienne	au débitage ou post-dépositionnelle mécanique	E façonnage	manu	452850,483	6760107,259	66,827594	LOCUS 1	D8 26d	1	GR	O	inf.	3,36	1,18
		S	2708	E (dist.)				manu	452850,4647	6760107,23	66,81577	LOCUS 1	D8 26d	1	GR	O	inf.		
05	raccord	S	3036	E (dist.)	fracture ancienne	au débitage ou post-dépositionnelle mécanique	E façonnage	manu	452850,2388	6760107,079	66,792904	LOCUS 1	D8 26c	2	GR	V		8,02	1,54
		S	3041	E (prox.)				manu	452850,2953	6760107,023	66,777456	LOCUS 1	D8 26c	2	GR	O	sup.		
06	raccord	S	3006	E (prox.)	fracture ancienne	au débitage ou post-dépositionnelle mécanique	E façonnage	manu	452850,1917	6760107,062	66,794556	LOCUS 1	D8 26c	2	GR	H	sup.	2,91	0,63
		S	3008	E (més.)				manu	452850,2005	6760107,089	66,800871	LOCUS 1	D8 26c	2	GR	O	sup.		
07	raccord	S	3026	Ec (més.)	fracture ancienne	au débitage ou post-dépositionnelle mécanique	Ec façonnage	manu	452850,2539	6760107,138	66,805891	LOCUS 1	D8 26c	2	GR	O	sup.	entre 1 et 15	entre 0,3 et 1
		S	3035	E (dist.)				manu	452850,2881	6760106,991	66,793898	LOCUS 1	D8 26c	2	GR	V			
		S	3039	Ec (prox.)				manu	452850,2615	6760107,134	66,802713	LOCUS 1	D8 26c	2	GR	H			
08	raccord	S	3125	E (prox.)	fracture ancienne	post-dépositionnelle thermique (gel)	E façonnage	manu	452848,5006	6760095,81	67,060657	LOCUS 2	D7 04b	1	LSB/GB	V		3,58	3,01
		S	3214	E (dist.)				manu	452848,5088	6760095,845	67,030569	LOCUS 2	D7 04b	1	LSB/GB	O	sup.		
09	raccord	S	2895	Ec (long.)	fracture ancienne	au débitage ou post-dépositionnelle mécanique	Ec façonnage	manu	452841,2928	6760091,839	66,979319	LOCUS 3	C6 67a	1	LSB	O	inf.	8,91	5,85
		S	3352	Ec (long.)				manu	452841,3196	6760091,924	66,920819	LOCUS 3	C6 67a	2	LSB	O	inf.		
10	raccord	S	3434	E	fracture ancienne	post-dépositionnelle thermique (gel)	Nucléus sur E	manu	452841,2197	6760091,916	66,844077	LOCUS 3	C6 67a	4	LSBR	H		0,4 max.	2 max.
		S	5266	Cupule				manu			entre 66,86 et 66,82	LOCUS 3	C6 67a	5	LSBR				
11	raccord	S	4256	E (long.)	fracture ancienne	au débitage ou post-dépositionnelle mécanique	E	manu			entre 66,94 et 66,90	LOCUS 3	C6 67a	3	LSB			50 max.	4 max.
		S	4257	E (fgt.)				manu			entre 66,94 et 66,90	LOCUS 3	C6 67a	3	LSB				
12	raccord	S	4726	Casson	fracture ancienne	post-dépositionnelle thermique (gel)	Biface (ébauche)	manu			entre 67 et 66,94	LOCUS 3	C6 18c	3	LSB			50 max.	6 max.
		S	4727	Casson				manu			entre 67 et 66,94	LOCUS 3	C6 18c	3	LSB				
		S	4728	Ec (fgt.)				manu			entre 67 et 66,94	LOCUS 3	C6 18c	3	LSB				
13	raccord	S	4102	Cupule	fracture ancienne	post-dépositionnelle thermique (gel)	Ec (prox.)	manu			entre 66,99 et 66,95	LOCUS 3	C6 77b	2	LSB			50 max.	4 max.
		S	4098	Ec (prox.)				manu			entre 66,99 et 66,95	LOCUS 3	C6 77b	2	LSB				
14	raccord	S	721	Ec (fgt.)	fracture ancienne	au débitage ou post-dépositionnelle mécanique	Ec (dist.)	méca	452854,5983	6760117,343	66,733009	BD1L6			GR		inf.	5,24	0,25
		S	722	Ec (fgt.)				méca	452854,6288	6760117,3	66,735536	BD1L6			GR		inf.		
15	raccord	S	799	Ec (fgt.)	fracture ancienne	au débitage ou post-dépositionnelle mécanique	Ec façonnage	méca	452854,2968	6760115,446	66,687087	BD1L7			GR	V		entre 1 et 2	entre 0,007 et 0,3
		S	798	Ec (fgt.)				méca	452854,3028	6760115,445	66,68378	BD1L7			GR	V			
		S	800	Cupule				méca	452854,3062	6760115,461	66,683711	BD1L7			GR	V			
16	raccord	S	1353	E (dist.)	fracture ancienne	au débitage ou post-dépositionnelle mécanique	E façonnage	méca	452849,0847	6760110,113	66,719181	BD2L6			GR	V		suface de la BD2L6	indét.
		S	4670	E (prox.)				méca				BD2L6			GR				
17	raccord	S	2009	Ec (long.)	fracture ancienne	au débitage ou post-dépositionnelle mécanique	Ec façonnage	méca	452881,1346	6760082,376	67,413388	BD9L11			GBR	O		14,90	0,80
		S	2010	Ec (long.)				méca	452880,9859	6760082,366	67,421339	BD9L11			GBR	O			
18	raccord	S	2368	E (fgt.)	fracture récente	à la pelle mécanique	E	méca	452845,3899	6760082,828	67,025133	BD8L5			LSB			15,44	11,36
		S	2394	E (fgt.)				méca	452845,5258	6760082,902	66,911538	BD8L5			LSB				
19	raccord	S	1349	E (dist.)	fracture récente	à la pelle mécanique	E façonnage	méca	452849,0768	6760110,036	66,719671	BD2L6			GR	H	inf.	4,07	0,89
		S	1350	E (prox.)				méca	452849,0363	6760110,04	66,72855	BD2L6			GR	H	sup.		
20	raccord	S	750	Biface fgt.	fracture récente	à la pelle mécanique	Biface	méca	452850,7669	6760117,339	66,644548	BD1L6			GR	H		5,06	0,02
		S	751	Biface fgt.				méca	452850,7883	6760117,293	66,64477	BD1L6			GR				
21	raccord	S	3408	Nucléus sur Ec fgt.	fracture ancienne	post-dépositionnelle thermique (gel)	Nucléus sur Ec	manu	452835,0564	6760083,297	66,650166	LOCUS 4	C5 81c	1	GB	H	inf.	4,32	0,36
		S	3409	Nucléus sur Ec fgt.				manu	452835,0817	6760083,262	66,653771	LOCUS 4	C5 81c	1	GB	H	inf.		
22	raccord	S	3194	Cupule	fracture ancienne	post-dépositionnelle thermique (gel)	Rognon brut	manu	452847,4902	6760094,297	67,170234	LOCUS 2	D6 93d	1	LSB	H	sup.	5,67	2,78
		S	3195	Rognon brut				manu	452847,5325	6760094,259	67,142398	LOCUS 2	D6 93d	1	LSB				
23	raccord	S	4592	Nucléus sur Ec fgt.	fracture récente	à la pelle mécanique	Nucléus	méca				H.S.			–			indét.	indét.
		S	4407	Nucléus sur Ec fgt.				méca				H.S.			–				

Annexe 2 – Liste des remontages et raccords lithiques (abréviations utilisées : S = silex ; E = éclat ; Ec = éclat cortical ; fgt.= fragment ; prox. = proximal ; més. = mésial ; dist. = distal ; long. = longitudinal ; H.S. = hors stratigraphie ; H = horizontale ; O = Oblique ; V = Verticale ; inf. = inférieure ; sup. = supérieure ; max. = maximum : indét. = indéterminé).

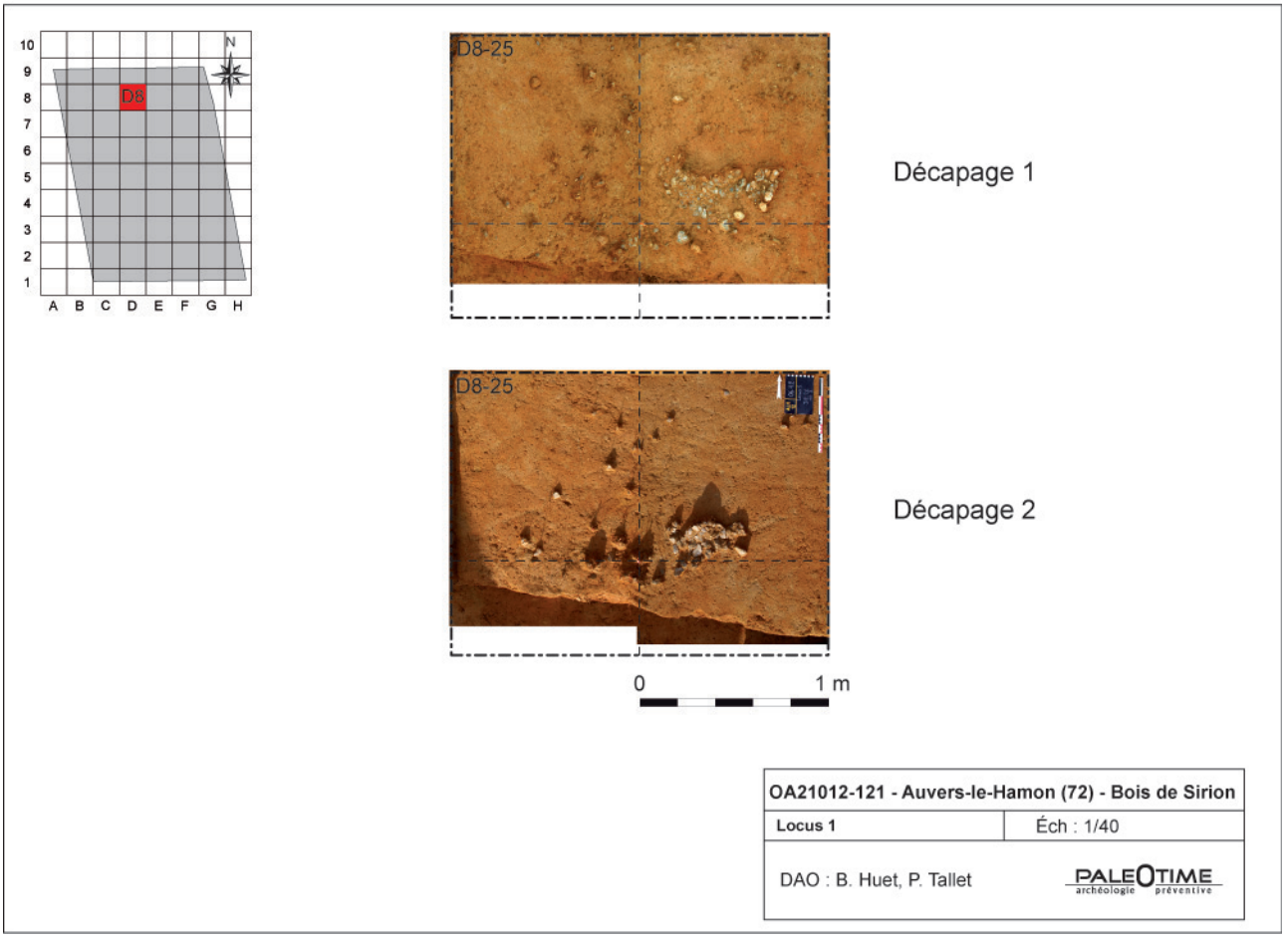

Annexe 3 – Locus 1, photomontage des décapages 1 et 2.

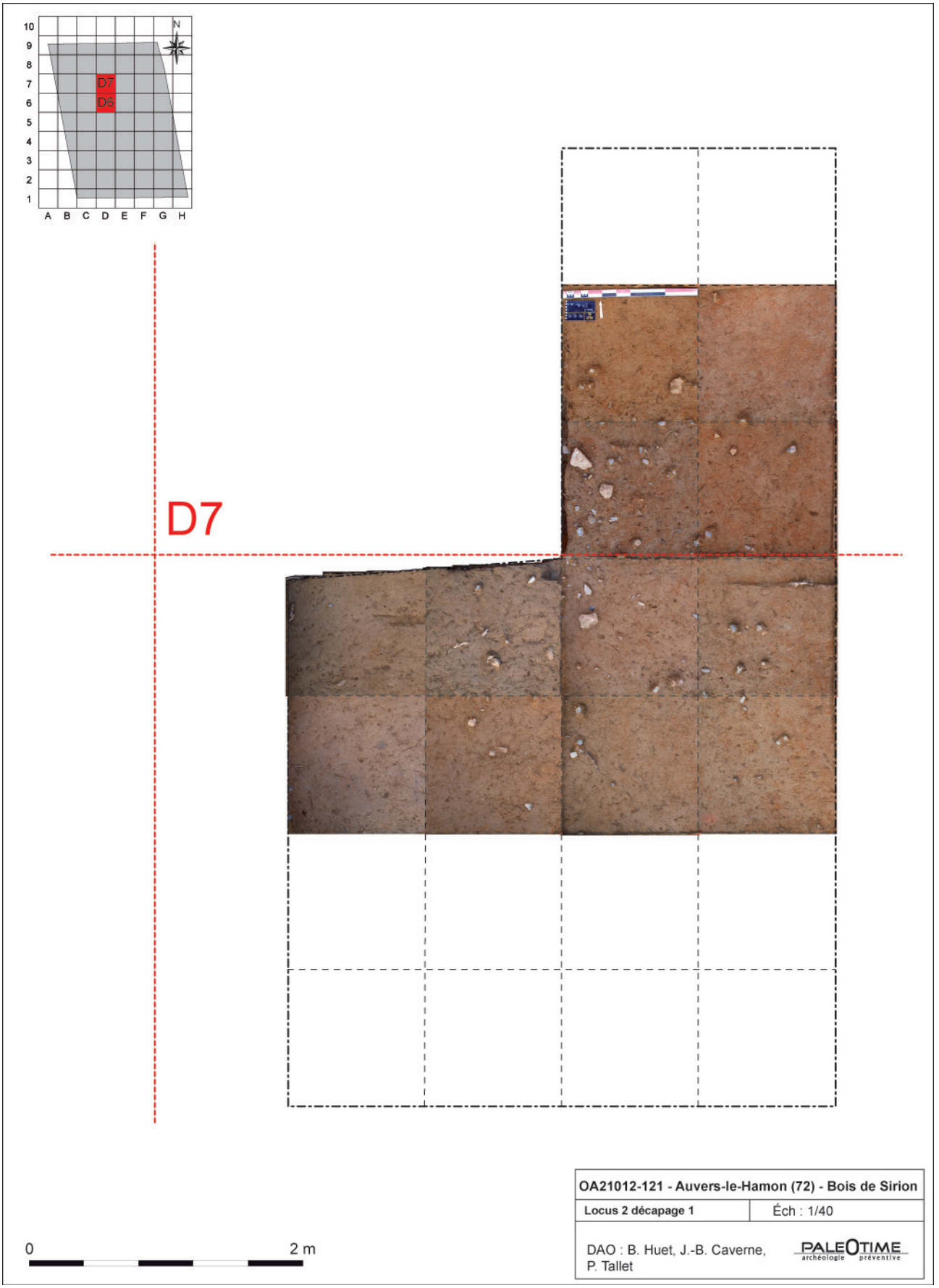

Annexe 4 – Locus 2, photomontage du décapage 1.

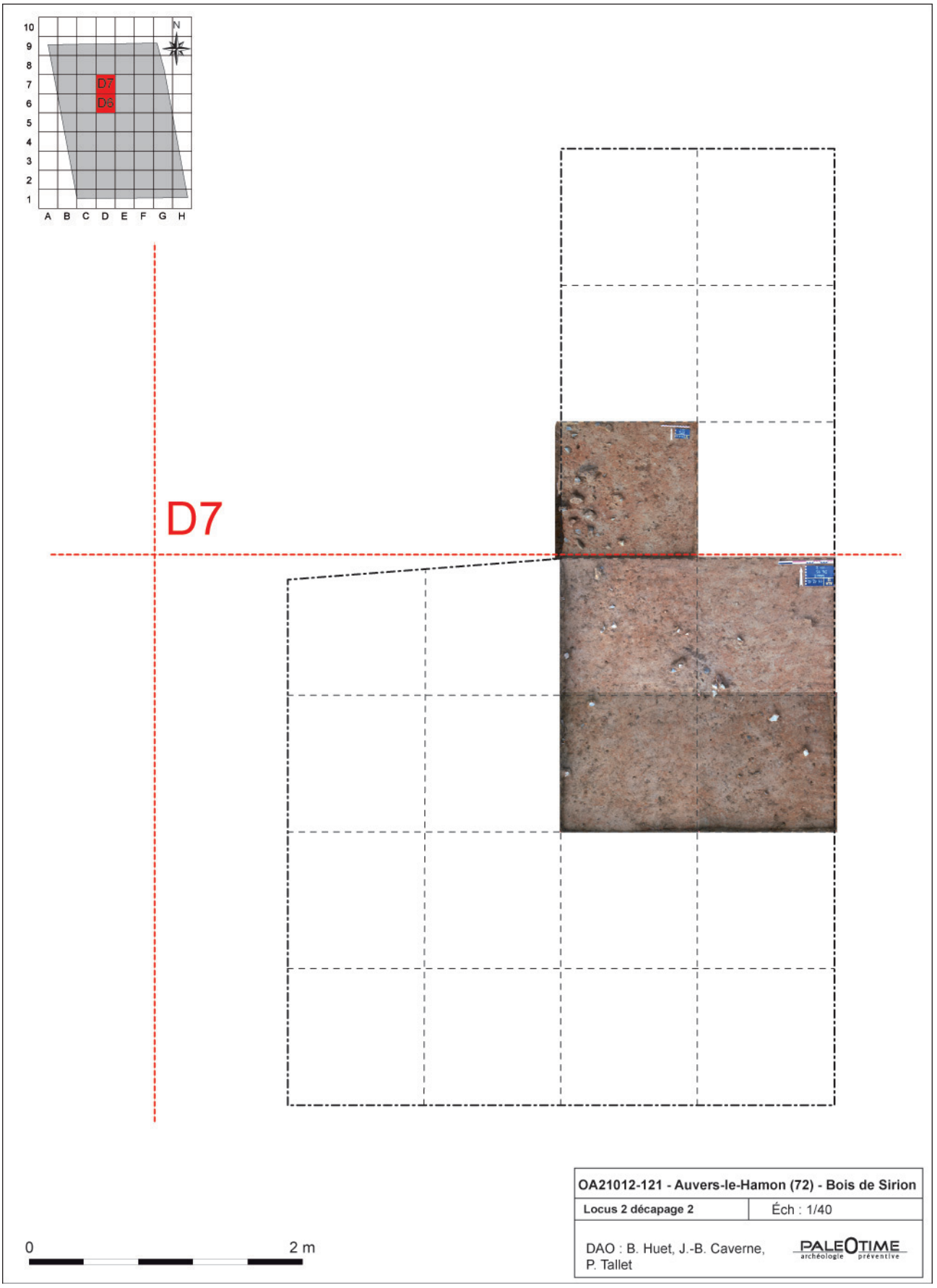

Annexe 5 – Locus 2, photomontage du décapage 2.

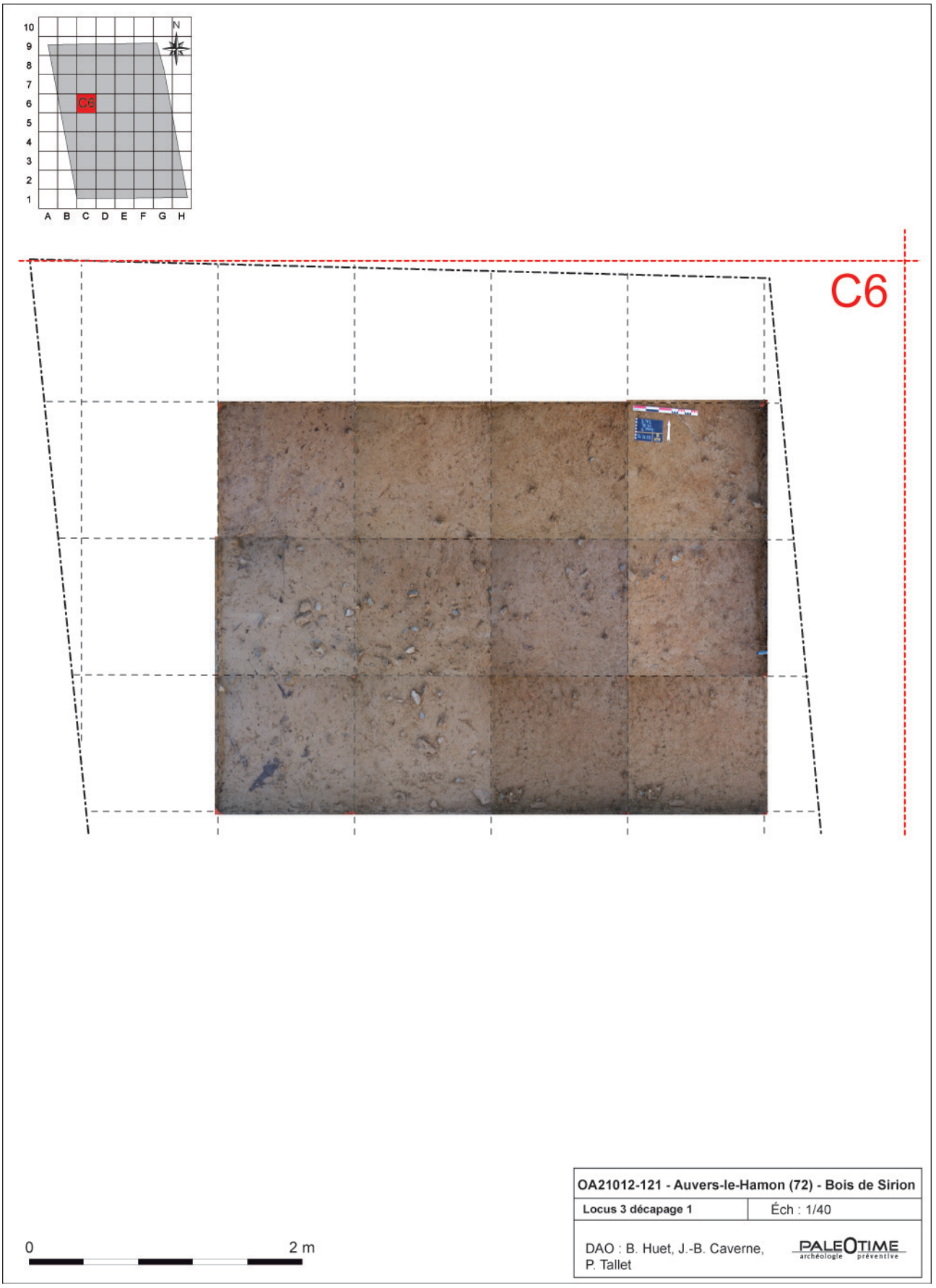

Annexe 6 – Locus 3, photomontage du décapage 1.

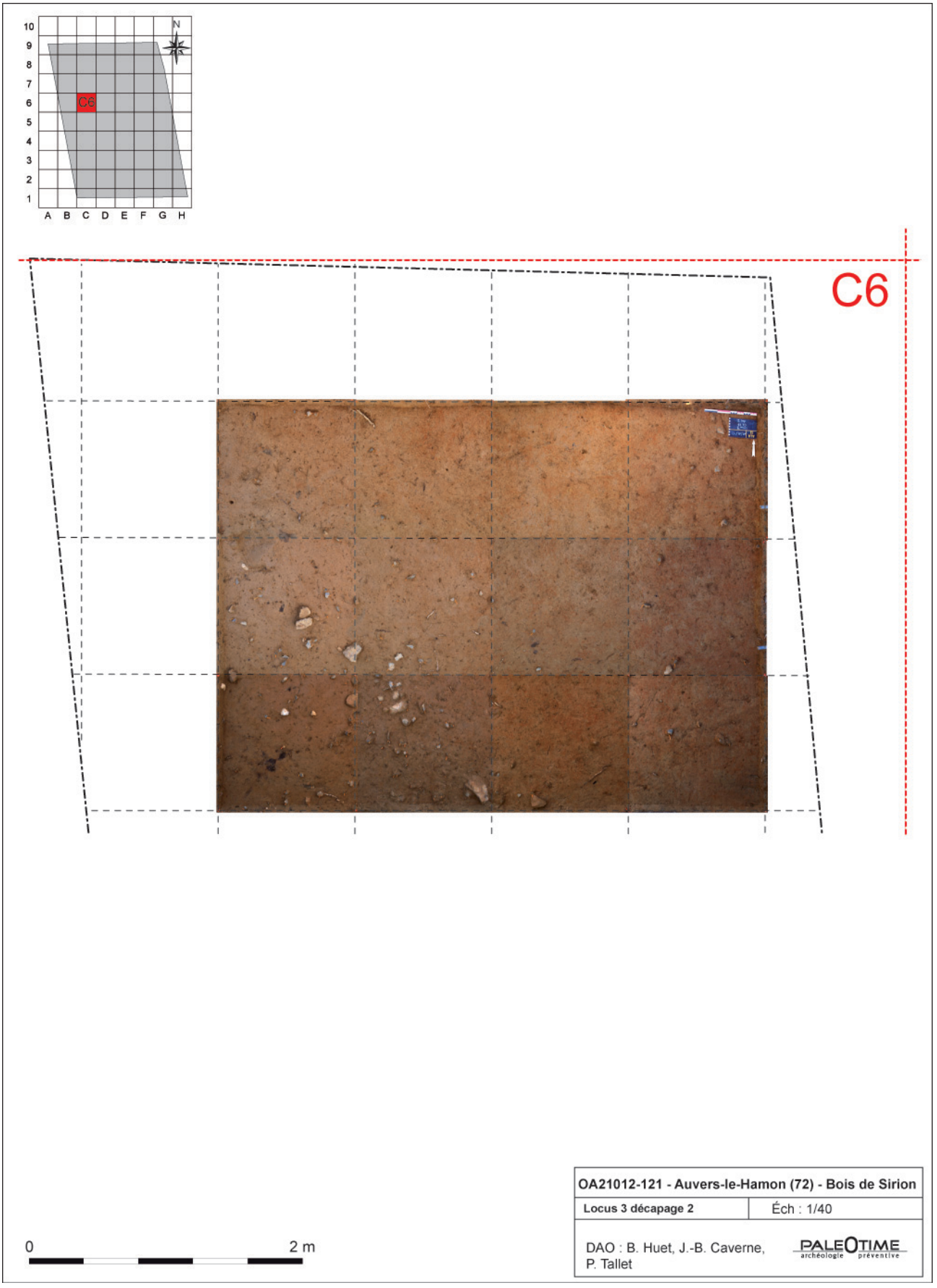

Annexe 7 – Locus 3, photomontage du décapage 2.

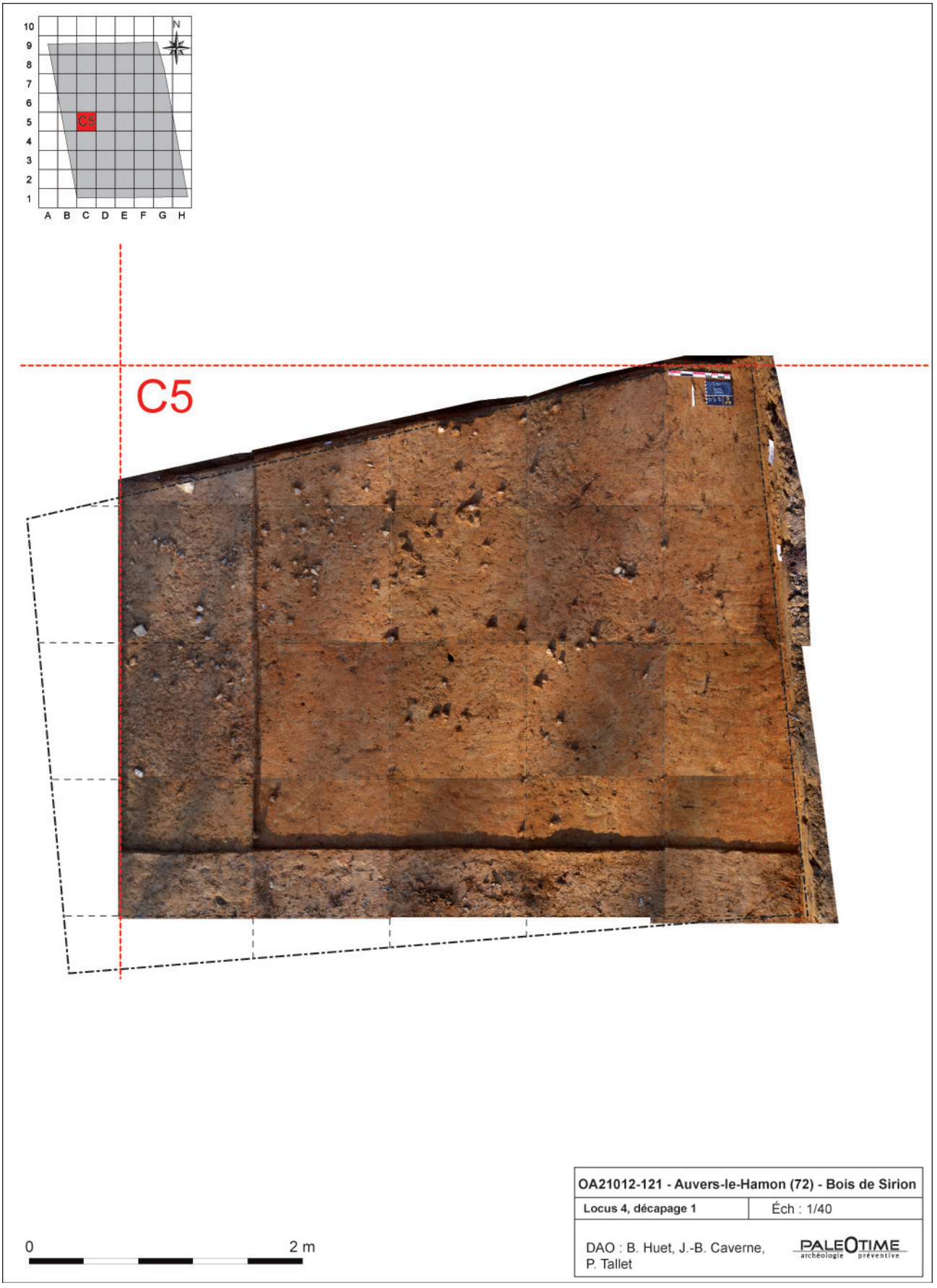

Annexe 8 – Locus 4, photomontage du décapage 1.

Luminescence Dating Laboratory 2013-10-04
Institute of Physics, Silesian University of Technology

Report on the assessment of age by the luminescent method
220/2013

Customer: Paleotime
Job no.: ALH

Catalog no.: 2523 Sample name: ALH12_PR26

A. Laboratory number and dating result

GdTL-1725 296(14) ka

B. Laboratory measurements

1. Determination of the dose rate
radioactivity measured by: germanium spectrometer
mineral: quartz grain size: 125-200 μm
etched in 40% HF for 60 min alpha rad. effect.: 0,14(3) assumed
water content measured: 12,1(5)% assumed mean water content: 19(5)%

Activity, Bq/kg		
Th-232	U-238	K-40
21,90(34)	10,81(17)	150,7(40)

Effective dose rate, Gy/ka				
alpha	beta	gamma	cosmic rays	total
0,0271(52)	0,476(23)	0,392(12)	0,109(11)	1,005(29)

2. Determination of the equivalent dose
method – OSL-SAR single aliquot regenerative
doses of beta radiation (in Gy):
additive: N/A regenerative: 200, 300, 450
nonlinearity of growth of OSL - taken into account anomalous fading test: not tested

Equivalent dose 297(11) Gy

3. Notes:
DE obtained for 12 aliquots
□CAM (Central Age Model) for 12 aliquots

Director of Laboratory

C. Explanatory notes

1. Age stated in section A is expressed in years (a), thousand (ka) or million (Ma) years before the year 1950.
2. Total standard uncertainties expressed in parentheses are given in the last two (or one) digits of the result. Standard uncertainties have been assessed basing on estimated accuracy of laboratory measurements and do not account for any extralaboratory factors.
3. Please state the laboratory number when quoting the result of dating.

wzdr 2006

Annexe 9 – Rapport de datation OSL, Luminescence Dating Laboratory, Institute of Physics, Silesian University of Technology. PR26.

Luminescence Dating Laboratory 2013-10-04
Institute of Physics, Silesian University of Technology

Report on the assessment of age by the luminescent method
221/2013

Customer: Paleotime
Job no.: ALH

Catalog no.: 2524 Sample name: ALH12_PR27

A. Laboratory number and dating result

GdTL-1726 52,2(50) ka

B. Laboratory measurements

1. Determination of the dose rate
radioactivity measured by: germanium spectrometer
mineral: quartz grain size: 125-200 μm
etched in 40% HF for 60 min alpha rad. effect.: 0,14(3) assumed
water content measured: 13,3(5)% assumed mean water content: 18(5)%

Activity, Bq/kg		
Th-232	U-238	K-40
26,28(48)	16,58(26)	222,5(60)

Effective dose rate, Gy/ka				
alpha	beta	gamma	cosmic rays	total
0,0355(66)	0,689(34)	0,530(17)	0,122(12)	1,377(40)

2. Determination of the equivalent dose
method – OSL-SAR single aliquot regenerative
doses of beta radiation (in Gy):
additive: N/A regenerative: 55, 70, 90, 120
nonlinearity of growth of OSL - taken into account anomalous fading test: not tested

Equivalent dose 71,9(65) Gy

3. Notes:
DE obtained for 18 aliquots
Average for 11 aliquots
The sample is characterized by very scatter of individual DE values

Director of Laboratory

C. Explanatory notes

1. Age stated in section A is expressed in years (a), thousand (ka) or million (Ma) years before the year 1950.
2. Total standard uncertainties expressed in parentheses are given in the last two (or one) digits of the result. Standard uncertainties have been assessed basing on estimated accuracy of laboratory measurements and do not account for any extralaboratory factors.
3. Please state the laboratory number when quoting the result of dating.

wzór 2006

Annexe 10 – Rapport de datation OSL, Luminescence Dating Laboratory, Institute of Physics, Silesian University of Technology. PR27.

Luminescence Dating Laboratory 2013-10-04
Institute of Physics, Silesian University of Technology

Report on the assessment of age by the luminescent method
222/2013

Customer: Paleotime
Job no.: ALH

Catalog no.: 2525 Sample name: ALH12_PR28

A. Laboratory number and dating result

GdTL-1727 12,25(90) ka

B. Laboratory measurements

1. Determination of the dose rate
   radioactivity measured by: germanium spectrometer
   mineral: quartz grain size: 125-200 μm
   etched in 40% HF for 60 min alpha rad. effect.: 0,14(3) asumed
   water content measured: 13,2(5)% assumed mean water content: 18(4)%

Activity, Bq/kg		
Th-232	U-238	K-40
26,31(48)	18,82(29)	231,5(63)

Effective dose rate, Gy/ka				
alpha	beta	gamma	cosmic rays	total
0,0372(67)	0,726(32)	0,554(14)	0,144(14)	1,460(38)

2. Determination of the equivalent dose
   method – OSL-SAR single aliquot regenerative
   doses of beta radiation (in Gy):
   additive: N/A regenerative: 15, 20, 25, 35
   nonlinearity of growth of OSL - taken into account anomalous fading test: not tested

Equivalent dose 18,0(12) Gy

3. Notes:
   DE obtained for 17 aliquots
   □Average for 12 aliquots
   □The sample is characterized by very scatter of individual DE values

Director of Laboratory

C. Explanatory notes

1. Age stated in section A is expressed in years (a), thousand (ka) or million (Ma) years before the year 1950.
2. Total standard uncertainties expressed in parentheses are given in the last two (or one) digits of the result. Standard uncertainties have been assessed basing on estimated accuracy of laboratory measurements and do not account for any extralaboratory factors.
3. Please state the laboratory number when quoting the result of dating.

wzór 2006

Annexe 11 – Rapport de datation OSL, Luminescence Dating Laboratory, Institute of Physics, Silesian University of Technology. PR28.

Luminescence Dating Laboratory 2014-03-10
Institute of Physics, Silesian University of Technology

Report on the assessment of age by the luminescent method
58/2014

Customer: Paleotime
Job no.: ALH12

Catalog no.: 2526 Sample name: ALH12_1931

A. Laboratory number and dating result

GdTL-1875 28,3(17)-44,9(25) ka

B. Laboratory measurements

1. Determination of the dose rate
   radioactivity measured by: germanium spectrometer
   mineral: quartz grain size: 4-11 μm
   etched in 40% HF for 0 min alpha rad. effect.: 0,14(3) assumed
   water content measured: 13,2(5)% assumed mean water content: 18(4)%

Activity of the surrounding soil, Bq/kg		
Th-232	U-238	K-40
26,31(48)	18,82(29)	231,5(63)

Effective dose rate, Gy/ka				
alpha	beta	gamma	cosmic rays	total
0	0,414-0,0	0,554(14)	0,146(15)	0,700(21)- 1,109(41)

2. Determination of the equivalent dose
   method – OSL-SAR single aliquot regenerative
   doses of beta radiation (in Gy):
   additive: N/A regenerative: 15, 30, 50, 120
   nonlinearity of growth of OSL - taken into account anomalous fading test: not tested

Equivalent dose 31,5(15) Gy

3. Notes:
   The grains were removed from the surface of the object and there is difficulty in exactly assessing the contribution of beta radiation. The flint itself contains no radioactive elements as determined by gamma dosimetry. Therefore there is no alpha radiation contribution and the beta contribution will be between 0 and 50% of the beta from the surrounding soil. It can be expected that the most likely value of age will be around the centre of the range, i.e. around 37 ka, however, as the final result we prefer to give the range.

   DE obtained for 17 aliquots
   CAM (Central Age Model) for 17 aliquots

Director of Laboratory

C. Explanatory notes

1. Age stated in section A is expressed in years (a), thousand (ka) or million (Ma) years before the year 1950.
2. Total standard uncertainties expressed in parentheses are given in the last two (or one) digits of the result. Standard uncertainties have been assessed basing on estimated accuracy of laboratory measurements and do not account for any extralaboratory factors.
3. Please state the laboratory number when quoting the result of dating.

wzór 2006

Annexe 12 – Rapport de datation TL, Luminescence Dating Laboratory, Institute of Physics, Silesian University of Technology. PT1931.

N° mobilier	facies	orientation (Nm xx° E)	inclinaison (°)	
2942	LSB	82	0	
2943	LSB	20	9	
2945	LSB	34	10	
3221	LSB	126	1	
3222	LSB	302	10	
3223	LSB	100	10	
3224	LSB	84	70	
3225	LSB	0	19	
3226	LSB	28	22	
3343	LSB	70	40	
3344	LSB	15	4	
3345	LSB	305	80	
3346	LSB	155	9	
3347	LSB	92	11	
3348	LSB	67	3	
3349	LSB	84	4	
3350	LSB	35	10	
3351	LSB	189	7	
3352	LSB	85	59	
3353	LSB	315	25	
3354	LSB	0	1	
3357	LSB	355	20	
3358	LSB	36	15	
3359	LSB	155	0	
3360	LSB	19	60	
3441	LSB	45	0	
3443	LSB	265	60	
3214	LSB/GB	338	34	
3216	LSB/GB	56	90	n=29
3396	GB	178	0	
3397	GB	64	4	
3398	GB	66	18	
2625	GR	81	18	
2676	GR	104	1	
2682	GR	211	10	
3065	GR	106	30	
3066	GR	19	38	
3252	GR	0	22	
3392	GR	207	35	
3393	GR	209	10	
3394	GR	234	19	
3395	GR	332	4	
3474	GR/SR	298	64	
3475	GR/SR	269	27	
3476	GR/SR	288	17	
3477	GR/SR	0	0	
3478	GR/SR	22	16	
3479	GR/SR	348	49	
3482	GR/SR	139	24	
3483	GR/SR	235	60	
3484	GR/SR	142	40	
3485	GR/SR	280	4	
3486	GR/SR	228	65	
3487	GR/SR	88	50	
3488	GR/SR	254	8	
3489	GR/SR	306	16	
3490	GR/SR	200	15	n=28
2941	LSBR	242	27	
3113	LSBR	326	18	
3245	LSBR	72	82	
3315	LSBR	345	28	
3319	LSBR	74	42	
3321	LSBR	104	30	
3322	LSBR	260	22	
3324	LSBR	84	0	
3328	LSBR	196	20	
3329	LSBR	296	8	
3331	LSBR	270	44	
3332	LSBR	240	17	
3333	LSBR	258	12	
3338	LSBR	0	10	
3339	LSBR	79	37	
3340	LSBR	98	0	
3341	LSBR	40	5	
3342	LSBR	189	60	
3382	LSBR	176	8	
3383	LSBR	260	24	
3384	LSBR	173	23	
3385	LSBR	336	29	
3425	LSBR	205	20	
3426	LSBR	284	20	
3427	LSBR	315	14	
3435	LSBR	265	85	
3436	LSBR	245	50	
3439	LSBR	25	24	
3337	LSBR/GR	54	20	
3250	LSR	24	8	
3254	LSR	105	30	
3255	LSR	350	11	
3464	SR	318	5	n=33

Annexe 13 – Liste des mesures de fabriques sur le mobilier lithique.

								effectifs > 2 mm														masses > 2 mm				
CARRE COLONNE	CARRE LIGNE	sous-carré	décapage	altitude supérieur (m NGF)	épaisseur décapage (cm)	faciès sédimentaire	VOLUME TAMISE (m^3)	N SILEX 2-4mm	N SILEX 4-5mm	N SILEX 5-10mm	N SILEX 10-20mm	N SILEX >20mm	TOTAL N SILEX	TOTAL N SILEX pour 10 L de sédiment	N SILEX 2-4mm(%)	N SILEX 4-5mm (%)	N SILEX 5-10mm (%)	N SILEX 10-20mm (%)	N SILEX >20mm (%)	N SILEX 2-4mm	N SILEX 4-10mm	N SILEX >10mm	masse fraction naturelle (g)	masse fraction anthropique (g)	masse totale (g)	masse totale pour 10 L de sédiment (g)	masse anthropique /naturel
D7	4	a	1	67,07	1	LSB/LSBR	**0,010**	113	32	40	6	1	**192**	192	58,9%	16,7%	20,8%	3,1%	0,5%	113	72	7	1014,1	46,1	**1060,2**	1060,2	4,5%
D7	4	a	2	67,06	4	LSB/LSBR	**0,010**	131	19	37	10	4	**201**	201	65,2%	9,5%	18,4%	5,0%	2,0%	131	56	14	1116,2	142,9	**1259,1**	1259,1	12,8%
D7	4	a	3	67,02	5	LSBR																					
D7	4	a	4	66,97	4	LSBR																					
D7	4	a	5	66,93	4	LSBR																					
D7	4	a	6	66,89	5	SR																					
D7	4	a	7	66,84	5	SR																					
D7	4	a	8	66,79	3	SR																					
D7	4	a	total	66,76				244	51	77	16	5	**393**		62,1%	13,0%	19,6%	4,1%	1,3%	244	128	21					
C6	15	b	1	67,07	5	LSB	**0,018**	55	9	18	3		**85**	47	64,7%	10,6%	21,2%	3,5%	0,0%	55	27	3	775,5	13,0	**788,5**	438,1	1,7%
C6	15	b	2	67,02	5	LSB	**0,019**	60	9	14	4	1	**88**	46	68,2%	10,2%	15,9%	4,5%	1,1%	60	23	5	992,8	26,7	**1019,5**	536,6	2,7%
C6	15	b	3	66,97	5	LSB	**0,020**	83	7	30	6		**126**	63	65,9%	5,6%	23,8%	4,8%	0,0%	83	37	6	1087,3	24,1	**1111,4**	555,7	2,2%
C6	15	b	4	66,92	5	LSB	**0,017**	96	23	21	10		**150**	88	64,0%	15,3%	14,0%	6,7%	0,0%	96	44	10	1228,5	34,5	**1263,0**	743,0	2,8%
C6	15	b	5	66,87	6	LSB/GB	**0,020**	137	33	38	15		**223**	112	61,4%	14,8%	17,0%	6,7%	0,0%	137	71	15	1378,5	43,9	**1422,4**	711,2	3,2%
C6	15	b	6	66,81	5	LSBR	**0,018**	102	20	28	7	2	**159**	88	64,2%	12,6%	17,6%	4,4%	1,3%	102	48	9	1140,5	53,8	**1194,3**	663,5	4,7%
C6	15	b	7	66,76	4	LSBR	**0,017**	159	16	38	6		**219**	129	72,6%	7,3%	17,4%	2,7%	0,0%	159	54	6	934,8	24,8	**959,6**	564,5	2,7%
C6	15	b	8	66,72	5	LSBR	**0,019**	131	22	38	8	1	**200**	105	65,5%	11,0%	19,0%	4,0%	0,5%	131	60	9	760,7	37,4	**798,1**	420,1	4,9%
C6	15	b	9	66,67	4	LSBR/SR	**0,020**	125	19	32	6	1	**183**	92	68,3%	10,4%	17,5%	3,3%	0,5%	125	51	7	670,9	32,4	**703,3**	351,7	4,8%
C6	15	b	10	66,63	6	SR	**0,020**	97	10	7	1		**115**	58	84,3%	8,7%	6,1%	0,9%	0,0%	97	17	1	538,3	6,2	**544,5**	272,3	1,2%
C6	15	b	11	66,57	5	SR	**0,018**	98	11	11	4		**124**	69	79,0%	8,9%	8,9%	3,2%	0,0%	98	22	4	565,5	17,4	**582,9**	323,8	3,1%
C6	15	b	total	66,52				1143	179	275	70	5	**1672**		68,4%	10,7%	16,4%	4,2%	0,3%	1143	454	75					
C6	67	a	1	67,02	3	LSB	**0,010**	94	25	31	17	7	**174**	174	54,0%	14,4%	17,8%	9,8%	4,0%	94	56	24		190,8	**190,8**	190,8	
C6	67	a	2	66,99	5	LSB	**0,010**	244	59	92	22	9	**426**	426	57,3%	13,8%	21,6%	5,2%	2,1%	244	151	31	1118,0	224,5	**1342,5**	1342,5	20,1%
C6	67	a	3	66,94	4	LSB	**0,010**	349	58	77	27	8	**519**	519	67,2%	11,2%	14,8%	5,2%	1,5%	349	135	35	974,7	254,2	**1228,9**	1228,9	26,1%
C6	67	a	4	66,9	4	LSB/LSBR	**0,010**	322	42	66	23	6	**459**	459	70,2%	9,2%	14,4%	5,0%	1,3%	322	108	29	1785,7	185,0	**1970,7**	1970,7	10,4%
C6	67	a	5	66,86	4	LSBR	**0,010**	298	42	63	19	4	**426**	426	70,0%	9,9%	14,8%	4,5%	0,9%	298	105	23	758,4	122,2	**880,6**	880,6	16,1%
C6	67	a	6	66,82	3	LSBR	**0,010**	258	34	33	12	1	**338**	338	76,3%	10,1%	9,8%	3,6%	0,3%	258	67	13	534,1	58,8	**592,9**	592,9	11,0%
C6	67	a	7	66,79	7	LSBR	**0,010**	160	20	29	8	1	**218**	218	73,4%	9,2%	13,3%	3,7%	0,5%	160	49	9	347,2	38,6	**385,8**	385,8	11,1%
C6	67	a	8	66,72	6	SR	**0,010**	124	9	19	9	1	**162**	162	76,5%	5,6%	11,7%	5,6%	0,6%	124	28	10	378,4	28,4	**406,8**	406,8	7,5%
C6	67	a	9	66,66	4	SR	**0,010**	85	19	19	10	1	**134**	134	63,4%	14,2%	14,2%	7,5%	0,7%	85	38	11	472,0	34,9	**506,9**	506,9	7,4%
C6	67	a	10	66,62	6	SR	**0,010**	101	10	24	10	4	**149**	149	67,8%	6,7%	16,1%	6,7%	2,7%	101	34	14	420,8	87,9	**508,7**	508,7	20,9%
C6	67	a	total	66,56				2035	318	453	157	42	**3005**		67,7%	10,6%	15,1%	5,2%	1,4%	2035	771	199					
C5	82	a	1	66,68	3	GR																					
C5	82	a	2	66,65	5	GR	**0,010**	348	67	126	148	8	**697**	697	49,9%	9,6%	18,1%	21,2%	1,1%	348	193	156	1651,8	260,5	**1912,3**	1912,3	15,8%
C5	82	a	3	66,6	4	GR/SR	**0,010**	182	34	90	23	6	**335**	335	54,3%	10,1%	26,9%	6,9%	1,8%	182	124	29	1084,6	130,9	**1215,5**	1215,5	12,1%
C5	82	a	4	66,56	6	GR/SR																					
C5	82	a	5	66,5	4	GR/SR																					
C5	82	a	6	66,46	6	GR/SR																					
C5	82	a	total	66,4				530	101	216	171	14	**1032**		51,4%	9,8%	20,9%	16,6%	1,4%	530	317	185					
C6	100	d	1	67,42	6,5	LSgris	**0,022**	36	12	13	7	1	**69**	31	52,2%	17,4%	18,8%	10,1%	1,4%	36	25	8	1233,1	35,6	**1268,7**	576,7	2,9%
C6	100	d	2	67,36	6,5	LSJ	**0,022**	52	5	16	4	2	**79**	36	65,8%	6,3%	20,3%	5,1%	2,5%	52	21	6	1075,5	25,2	**1100,7**	500,3	2,3%
C6	100	d	3	67,29	6,5	LSJ/LSB	**0,022**	54	5	8	1	1	**69**	31	78,3%	7,2%	11,6%	1,4%	1,4%	54	13	2	812,6	32,7	**845,3**	384,2	4,0%
C6	100	d	4	67,23	6,5	LSB	**0,022**	65	6	12	4		**87**	40	74,7%	6,9%	13,8%	4,6%	0,0%	65	18	4	751,0	10,2	**761,2**	346,0	1,4%
D6	93	a	1	67,22	6	LSB	**0,010**	33	6	5	2	1	**47**	47	70,2%	12,8%	10,6%	4,3%	2,1%	33	11	3	578,7	21,1	**599,8**	599,8	3,6%
D6	93	a	2	67,16	7	LSB/GB	**0,022**	85	16	14	4	1	**120**	55	70,8%	13,3%	11,7%	3,3%	0,8%	85	30	5	973,3	44,0	**1017,3**	462,4	4,5%
D6	93	a	3	67,09	5	LSB/GB	**0,022**	90	13	24	9		**136**	62	66,2%	9,6%	17,6%	6,6%	0,0%	90	37	9	963,8	29,2	**993,0**	451,4	3,0%
D6	93	a	4	67,04	6	LSBR	**0,022**	82	16	18	3		**119**	54	68,9%	13,4%	15,1%	2,5%	0,0%	82	34	3	706,5	8,8	**715,3**	325,1	1,2%
D6	93	a	5	66,98	5	LSBR/SR	**0,019**	95	7	12	3	1	**118**	62	80,5%	5,9%	10,2%	2,5%	0,8%	95	19	4	716,3	18,6	**734,9**	386,8	2,6%
D6	93	a	6	66,93	6	SR	**0,022**	48	6	12	2		**68**	31	70,6%	8,8%	17,6%	2,9%	0,0%	48	18	2	560,5	10,9	**571,4**	259,7	1,9%
D6	93	a	7	66,87	5	SR	**0,022**	25	3	4	1		**33**	15	75,8%	9,1%	12,1%	3,0%	0,0%	25	7	1	505,5	2,6	**508,1**	231,0	0,5%
D6	93	a	8	66,82	5	SR	**0,018**	16	2				**18**	10	88,9%	11,1%	0,0%	0,0%	0,0%	16	2	0	177,2	0,4	**177,6**	98,7	0,2%
			total	66,77				681	97	138	40	7	**963**		70,7%	10,1%	14,3%	4,2%	0,7%	681	235	47					
													7065														
						LSB		1787	317	480	146	41	**2771**	2401	64,5%	11,4%	17,3%	5,3%	1,5%	1787	797	187	14544	1267	**15810**	11732	8,7%
						GB/GR		842	163	292	199	15	**1511**	2548	55,7%	10,8%	19,3%	13,2%	1,0%	842	455	214	6052	508	**6560**	4753	8,4%
						LSBR		1410	196	291	72	11	**1980**	2327	71,2%	9,9%	14,7%	3,6%	0,6%	1410	487	83	6569	395	**6965**	4571	6,0%
						SR		594	70	96	37	6	**803**	2115	74,0%	8,7%	12,0%	4,6%	0,7%	594	166	43	3618	189	**3807**	2608	5,2%
										1159	454	73	**7065**							4633	1905	527					

Annexe 14 – Tableau de synthèse de la granulométrie du mobilier lithique.

SECTION 3

Inventaires

200 Inventaire 01 — Documentation écrite

201 Inventaire 02 — Documentation graphique

202 Inventaire 03 — Documentation numérique

203 Inventaire 04 — Mobilier archéologique

250 Inventaire 05 — Prélèvements

251 Inventaire 06 — Unités stratigraphiques

252 Inventaire 07 — Coupes stratigraphiques

253 Inventaire 08 — Refus de tamis

254 Inventaire 09 — Photographies numériques

265 Inventaire 10 — Points topographiques

Inventaire 01 — Documentation écrite

Code document	Format	Support	Auteur Organisme	Secteur	Descriptif détaillé	Réf. contenant
E.FO.US.0001	A4	papier	Paléotime	Locus 1	liasse de fiches de décapage manuel	Boite 1
E.FO.US.0002	A4	papier	Paléotime	Locus 2	liasse de fiches de décapage manuel	Boite 1
E.FO.US.0003	A4	papier	Paléotime	Locus 3	liasse de fiches de décapage manuel	Boite 1
E.FO.US.0004	A4	papier	Paléotime	Locus 4	liasse de fiches de décapage manuel	Boite 1
E.FO.CF.0001	A4	papier	Paléotime		inventaire de terrain du mobilier archéologique	Boite 1
E.FO.CF.0002	A4	papier	Paléotime		inventaire de terrain des UPS	Boite 1
E.FO.CF.0003	A4	papier	Paléotime		inventaire de terrain des coupes stratigraphiques	Boite 1
E.FO.CF.0004	A4	papier	Paléotime		inventaire de terrain des minutes	Boite 1
E.FO.CF.0005	A4	papier	Paléotime		inventaire de terrain des prélèvements	Boite 1

Inventaire 02 — Documentation graphique

Code document	Format	Support	Date	Auteur, Organisme	Zone	Secteur	Échelle	Descriptif détaillé	Réf. contenant
G.MI.CT.0001	A4	papier	12/11 au 20/12/2012	Jean-Baptiste Caverne, Perrine Tacussel, Paléotime			1/1	carnet de relevé des points topographiques	Boite 2
G.MI.MO.0001	A4	papier	01/07/2013	Régis Picavet, Paléotime			1/1	dessin de mobilier lithique	Boite 2
G.MI.MO.0002	A4	papier	01/07/2013	Régis Picavet, Paléotime			1/1	dessin de mobilier lithique	Boite 2
G.MI.MO.0003	A4	papier	01/07/2013	Régis Picavet, Paléotime			1/1	dessin de mobilier lithique	Boite 2
G.MI.MO.0004	A4	papier	01/07/2013	Régis Picavet, Paléotime			1/1	dessin de mobilier lithique	Boite 2
G.MI.MO.0005	A4	papier	01/07/2013	Régis Picavet, Paléotime			1/1	dessin de mobilier lithique	Boite 2
G.MI.MO.0006	A4	papier	01/07/2013	Régis Picavet, Paléotime			1/1	dessin de mobilier lithique	Boite 2
G.MI.MO.0007	A4	papier	01/07/2013	Régis Picavet, Paléotime			1/1	dessin de mobilier lithique	Boite 2
G.MI.MO.0008	A4	papier	01/07/2013	Régis Picavet, Paléotime			1/1	dessin de mobilier lithique	Boite 2
G.MI.MO.0009	A4	papier	01/07/2013	Régis Picavet, Paléotime			1/1	dessin de mobilier lithique	Boite 2
G.MI.MO.0010	A4	papier	01/07/2013	Régis Picavet, Paléotime			1/1	dessin de mobilier lithique	Boite 2
G.MI.MO.0011	A4	papier	01/12/2013	Régis Picavet, Paléotime			1/1	dessin de mobilier lithique	Boite 2
G.MI.FO.0001	A4	papier	14/11/2012	Mathieu Rué, Paléotime	nord	CP01.1		minute de terrain ; CP01.1	Boite 2
G.MI.FO.0002	A4	papier	14/11/2012	Mathieu Rué, Paléotime	nord	CP01.2		minute de terrain ; CP01.2	Boite 2
G.MI.FO.0003	A4	papier	15/11/2012	Aurélie Castets, Paléotime	est	CP02.1		minute de terrain ; CP02.1	Boite 2
G.MI.FO.0004	A4	papier	15/11/2012	Aurélie Castets, Paléotime	sud	CP03		minute de terrain ; CP03	Boite 2
G.MI.FO.0005	A4	papier	15/11/2012	Aurélie Castets, Paléotime	ouest	CP04.1		minute de terrain ; CP04.1	Boite 2
G.MI.FO.0006	A4	papier	15/11/2012	Aurélie Castets, Paléotime	ouest	CP04.2		minute de terrain ; CP04.2	Boite 2
G.MI.FO.0007	A4	papier	28/11/2012	Aurélie Castets, Paléotime	est	CP02.2		minute de terrain ; CP02.2	Boite 2
G.MI.FO.0008	A4	papier	28/11/2012	Aurélie Castets, Paléotime	LOCUS 3	CP05		minute de terrain ; CP05	Boite 2
G.MI.FO.0009	A4	papier	28/11/2012	Aurélie Castets, Paléotime	LOCUS 4	CP06		minute de terrain ; CP06	Boite 2
G.MI.FO.0010	A4	papier	29/11/2012	Perrine Tacussel, Paléotime	LOCUS 1	D8.26 décapage 1		minute de terrain ; D8.26 décapage 1	Boite 2
G.MI.FO.0011	A4	papier	29/11/2012	Perrine Tacussel, Paléotime	LOCUS 1	D8.25 décapage 1		minute de terrain ; D8.25 décapage 1	Boite 2
G.MI.FO.0012	A4	papier	29/11/2012	Perrine Tacussel, Paléotime	LOCUS 1	D8.26 détail décapage 1		minute de terrain ; D8.26 détail décapage 1	Boite 2
G.MI.FO.0013	A4	papier	11/12/2012	Mathieu Rué, Paléotime	LOCUS 2	CP10		minute de terrain ; CP10	Boite 2
G.MI.FO.0014	A4	papier	17/12/2012	Aurélie Castets, Paléotime	LOCUS 2	CP08		minute de terrain ; CP08	Boite 2
G.MI.FO.0015	A4	papier	17/12/2012	Aurélie Castets, Paléotime	est	CP09		minute de terrain ; CP09	Boite 2

Inventaire 03 — Documentation numérique

NOM DOSSIER	CODE DOCUMENT	DESCRIPTION	TYPE DE FICHIER	NOMBRE DE FICHIERS	FORMAT DE FICHIERS	NOMBRE D'ONGLETS / PAGES
2012.121.N	N.AN.DI.0001	inventaire de la documentation écrite	tableur	1	Open Document ODS	1
2012.121.N	N.AN.DI.0002	inventaire de la documentation graphique	tableur	1	Open Document ODS	1
2012.121.N	N.AN.DI.0003	inventaire de la documentation numérique	tableur	1	Open Document ODS	1
2012.121.N	N.AN.DI.0004	inventaire du mobilier	tableur	1	Open Document ODS	1
2012.121.N	N.AN.DI.0005	inventaire des prélèvements	tableur	1	Open Document ODS	1
2012.121.N	N.AN.DI.0006	inventaire des unités stratigraphiques	tableur	1	Open Document ODS	1
2012.121.N	N.AN.DI.0007	inventaire des coupes stratigraphiques	tableur	1	Open Document ODS	1
2012.121.N	N.AN.DI.0008	inventaire du mobilier issu des refus de tamis	tableur	1	Open Document ODS	1
2012.121.N	N.AN.DI.0009	inventaire des documents photographiques	tableur	1	Open Document ODS	1
2012.121.N	N.AN.DI.0010	inventaire des points topographiques	tableur	1	Open Document ODS	1
2012.121.N	N.AN.DI.0011	rapport final d'oprétation	P.A.O.	1	PDF	296
2012.121.N	N.AN.IM.CT.0001	plan masse original Autocad	plan	1	DWG	
2012.121.N	N.IM.FO	photographies de terrain	photographie	515	JPEG	
2012.121.N	N.IM.MO	photographies du rapport	photographie	200	JPEG ou TIFF	
2012.121.E	E.FO.CF.0001	scan de l'inventaire mobilier de terrain	scan	1	PDF	150
2012.121.E	E.FO.CF.0002	scan de l'inventaire des unités stratigraphiques	scan	1	PDF	2
2012.121.E	E.FO.CF.0003	scan de l'inventaire des coupes	scan	1	PDF	1
2012.121.E	E.FO.CF.0004	scan de l'inventaire des minutes	scan	1	PDF	1
2012.121.E	E.FO.CF.0005	scan de l'inventaire des prélèvements	scan	1	PDF	2
2012.121.E	E.FO.US.0001	scan des fiches de décapage du locus 1	scan	1	PDF	5
2012.121.E	E.FO.US.0002	scan des fiches de décapage du locus 2	scan	1	PDF	16
2012.121.E	E.FO.US.0003	scan des fiches de décapage du locus 3	scan	1	PDF	26
2012.121.E	E.FO.US.0004	scan des fiches de décapage du locus 4	scan	1	PDF	21
2012.121.G	G.MI.CT.0001	scan de l'inventaire des points topographiques	scan	1	PDF	27
2012.121.G	G.MI.FO.0001	scan de la minute de terrain 1	scan	1	PDF	1
2012.121.G	G.MI.FO.0002	scan de la minute de terrain 2	scan	1	PDF	1
2012.121.G	G.MI.FO.0003	scan de la minute de terrain 3	scan	1	PDF	1
2012.121.G	G.MI.FO.0004	scan de la minute de terrain 4	scan	1	PDF	1
2012.121.G	G.MI.FO.0005	scan de la minute de terrain 5	scan	1	PDF	1
2012.121.G	G.MI.FO.0006	scan de la minute de terrain 6	scan	1	PDF	1
2012.121.G	G.MI.FO.0007	scan de la minute de terrain 7	scan	1	PDF	1
2012.121.G	G.MI.FO.0008	scan de la minute de terrain 8	scan	1	PDF	1
2012.121.G	G.MI.FO.0009	scan de la minute de terrain 9	scan	1	PDF	1
2012.121.G	G.MI.FO.0010	scan de la minute de terrain 10	scan	1	PDF	1
2012.121.G	G.MI.FO.0011	scan de la minute de terrain 11	scan	1	PDF	1
2012.121.G	G.MI.FO.0012	scan de la minute de terrain 12	scan	1	PDF	1
2012.121.G	G.MI.FO.0013	scan de la minute de terrain 13	scan	1	PDF	1
2012.121.G	G.MI.FO.0014	scan de la minute de terrain 14	scan	1	PDF	1
2012.121.G	G.MI.FO.0015	scan de la minute de terrain 15	scan	1	PDF	1
2012.121.G	G.MI.MO.0001	scan des dessins de mobilier lithique planche 1	scan	1	PDF	1
2012.121.G	G.MI.MO.0002	scan des dessins de mobilier lithique planche 2	scan	1	PDF	1
2012.121.G	G.MI.MO.0003	scan des dessins de mobilier lithique planche 3	scan	1	PDF	1
2012.121.G	G.MI.MO.0004	scan des dessins de mobilier lithique planche 4	scan	1	PDF	1
2012.121.G	G.MI.MO.0005	scan des dessins de mobilier lithique planche 5	scan	1	PDF	1
2012.121.G	G.MI.MO.0006	scan des dessins de mobilier lithique planche 6	scan	1	PDF	1
2012.121.G	G.MI.MO.0007	scan des dessins de mobilier lithique planche 7	scan	1	PDF	1
2012.121.G	G.MI.MO.0008	scan des dessins de mobilier lithique planche 8	scan	1	PDF	1
2012.121.G	G.MI.MO.0009	scan des dessins de mobilier lithique planche 9	scan	1	PDF	1
2012.121.G	G.MI.MO.0010	scan des dessins de mobilier lithique planche 10	scan	1	PDF	1
2012.121.G	G.MI.MO.0011	scan des dessins de mobilier lithique planche 11	scan	1	PDF	1

Inventaire 04 — Mobilier archéologique

Zone Secteur	Carré	Sous-carré	N° de décapage	Unité Pédo-stratigraphique	Position	Repose sur face	Matériau	Descriptif détaillé	Parcelle	Code SRA	Réf. contenant POCHE	Réf. contenant CAISSE
TS01.1				LSBR	H	supérieure	Silex	Éclat (fgt proximal)	C 1200	M.LT_BD_0000	601	2
TS01.1							Silex	Débris	C 1200	M.LT_BD_0000	606	6
TS01.1							Silex	Éclat de façonnage	C 1200	M.LT_BD_0000	584	3
TS01.1				LSB	H	inférieure	Silex	Gélifract	C 1200	M.LT_BD_0000	609	6
TS01.1				H.S.			Silex	Éclat (fgt proximal)	C 1200	M.LT_BD_0000	601	2
TS01.1				H.S.			Silex	Éclat (fgt distal)	C 1200	M.LT_BD_0000	592	3
TS01.1					V		Silex	Éclat Levallois	C 1200	M.LT_BD_0000	602	2
TS01.1					H	supérieure	Silex	Éclat de façonnage (fgt proximal)	C 1200	M.LT_BD_0000	597	2
TS01.1				LSJ	H	inférieure	Silex	Éclat	C 1200	M.LT_BD_0000	603	4
TS01.1				rouge	H	supérieure	Silex	Éclat (fgt distal)	C 1200	M.LT_BD_0000	586	3
TS01.1				rouge	H	supérieure	Silex	Éclat cortical	C 1200	M.LT_BD_0000	578	4
TS01.2				LSB	H	supérieure	Silex	Éclat (fgt distal)	C 1200	M.LT_BD_0000	592	3
TS01.2				LSB	H		Silex	Gélifract	C 1200	M.LT_BD_0000	609	6
TS01.2				LSB	H	supérieure	Silex	Gélifract	C 1200	M.LT_BD_0000	609	6
TS01.2				rouge	DC		Silex	Éclat de façonnage	C 1200	M.LT_BD_0000	584	3
TS01.2							Silex	Éclat (fgt mésial)	C 1200	M.LT_BD_0000	588	3
TS01.2					DC		Silex	Gélifract	C 1200	M.LT_BD_0000	609	6
TS01.2							Silex	Éclat cortical	C 1200	M.LT_BD_0000	581	4
TS01.2				LSB	H	supérieure	Silex	Éclat cortical	C 1200	M.LT_BD_0000	582	4
TS02.1				LSB	H	supérieure	Silex	Éclat de façonnage (fgt longitudinal)	C 1200	M.LT_BD_0000	598	2
TS02.1				LSB	V		Silex	Biface	C 1200	M.LT_BD_0138		1
TS02.1				LSJ	H	supérieure	Silex	Éclat cortical	C 1200	M.LT_BD_0000	580	3
TS02.1				LSJ	H	supérieure	Silex	Éclat de façonnage	C 1200	M.LT_BD_0000	584	3
TS03.1				LSJ	H	inférieure	Silex	Éclat (fgt indéterminé)	C 1200	M.LT_BD_0000	603	4
TS03.1				LSJ	H	supérieure	Silex	Éclat cortical (fgt distal)	C 1200	M.LT_BD_0000	579	4
TS03.1				LSJ	H		Silex	Gélifract	C 1200	M.LT_BD_0000	608	5
TS04.1				LSJ	H		Silex	Éclat (fgt distal)	C 1200	M.LT_BD_0000	592	3
TS04.1				LSBR	H	supérieure	Silex	Éclat (fgt distal)	C 1200	M.LT_BD_0000	591	2
TS04.1				LSBR	H	supérieure	Silex	Cupule de gel	C 1200	M.LT_BD_0000	609	6
CP02.1				LSB			Céramique	2 tessons	C 1200	M.CP_BD_0269		6
TS04.1				LSBR			Silex	Débris	C 1200	M.LT_BD_0000	606	6
TS04.1				limoneux rouge			Silex	Éclat de façonnage cortical (fgt distal)	C 1200	M.LT_BD_0000	579	4
TS04.1				limoneux rouge			Silex	Éclat (fgt indéterminé)	C 1200	M.LT_BD_0000	596	2
TS04.1				limoneux rouge		supérieure	Silex	Éclat	C 1200	M.LT_BD_0000	593	3
TS04.1				LSJ	H	inférieure	Silex	Éclat (fgt distal)	C 1200	M.LT_BD_0000	586	3
TS04.1				LSJ	H	supérieure	Silex	Éclat à dos cortical	C 1200	NON RETROUVE		
TS04.1				limoneux rouge	H	supérieure	Silex	Racloir simple	C 1200	M.LT_BD_0280		1
TS04.1				limoneux rouge	H	supérieure	Silex	Éclat cortical (fgt distal)	C 1200	M.LT_BD_0000	579	4
TS04.1				GR	H	inférieure	Silex	Éclat de façonnage	C 1200	M.LT_BD_0000	584	3
TS04.1				GR			Silex	Éclat avec retouche d'utilisation	C 1200	M.LT_BD_0283		1
TS04.2				LSJ			Silex	Éclat (fgt mésial)	C 1200	M.LT_BD_0000	588	3
TS04.2				LSJ	H	inférieure	Silex	Racloir transversal	C 1200	M.LT_BD_0000	604	3
TS04.2				LSJ	H	inférieure	Silex	Éclat (fgt indéterminé)	C 1200	M.LT_BD_0000	595	4
TS04.2				LSJ	H	inférieure	Silex	Gélifract	C 1200	M.LT_BD_0000	609	6
TS04.2				LSJ			Silex	Éclat (fgt distal)	C 1200	M.LT_BD_0000	592	3
TS04.2				LSJ	H	inférieure	Silex	Éclat (fgt distal)	C 1200	M.LT_BD_0000	586	3
TS04.2				LSJ	H	supérieure	Silex	Éclat (fgt longitudinal)	C 1200	M.LT_BD_0000	586	3
TS04.2				LSJ	H	inférieure	Silex	Éclat cortical (fgt proximal)	C 1200	M.LT_BD_0000	581	4
TS04.2				LSJ	H	supérieure	Silex	Éclat	C 1200	M.LT_BD_0000	594	3
TS04.2				LSJ	H	supérieure	Silex	Éclat (fgt proximal)	C 1200	M.LT_BD_0000	601	2
TS04.2				LSJ	H	inférieure	Silex	Éclat (fgt distal)	C 1200	M.LT_BD_0000	591	2
TS04.2				LSJ	H	inférieure	Silex	Éclat cortical	C 1200	M.LT_BD_0000	580	3
TS04.2				LSJ	H	inférieure	Silex	Éclat (fgt indéterminé)	C 1200	M.LT_BD_0000	595	4
TS04.2				LSBR			Silex	Débris	C 1200	M.LT_BD_0000	606	6
TS04.2				LSBR	H		Silex	Éclat de façonnage (fgt proximal)	C 1200	M.LT_BD_0000	596	2
TS04.2				LSBR	O	inférieure	Silex	Éclat	C 1200	M.LT_BD_0000	583	3
TS04.2				limoneux rouge	H	supérieure	Silex	Éclat (fgt distal)	C 1200	M.LT_BD_0000	592	3
TS04.2				limoneux rouge			Silex	Débris	C 1200	M.LT_BD_0000	607	6
TS04.2				LSJ			Fer	Scorie	C 1200	M.MT_BD_0302		12
TS04.2				LSJ	H	supérieure	Silex	Éclat de façonnage	C 1200	M.LT_BD_0000	585	3
TS04.2				LSJ	V		Silex	Éclat (fgt proximal)	C 1200	M.LT_BD_0000	601	2
TS04.2							Céramique	Tesson	C 1200	M.CP_BD_0305		6
TS04.2				LSJ	H	inférieure	Silex	Éclat de façonnage (fgt proximal)	C 1200	M.LT_BD_0000	597	2
TS04.2				LSJ	H	inférieure	Silex	Éclat de façonnage	C 1200	M.LT_BD_0000	585	3
TS04.2				LSJ	H	supérieure	Silex	Débris	C 1200	M.LT_BD_0000	606	6
TS04.2				LSJ	H	inférieure	Silex	Gélifract	C 1200	M.LT_BD_0000	609	6
TS04.2				LSJ	H	supérieure	Silex	Éclat de façonnage (fgt proximal)	C 1200	M.LT_BD_0000	597	2
TS04.2				LSJ	H	inférieure	Silex	Éclat de façonnage	C 1200	M.LT_BD_0000	585	3
TS04.2				LSJ	H	supérieure	Silex	Éclat de façonnage	C 1200	M.LT_BD_0000	583	3
TS04.2				LSJ	H	supérieure	Silex	Éclat cortical (fgt distal)	C 1200	M.LT_BD_0000	579	4
TS04.2				LSJ	H	supérieure	Silex	Éclat cortical (fgt mésial)	C 1200	M.LT_BD_0000	578	4
TS04.2				LSJ	H	supérieure	Silex	Racloir (fgt)	C 1200	M.LT_BD_0000	604	3
TS04.2				LSJ	H	supérieure	Silex	Éclat de façonnage	C 1200	M.LT_BD_0000	584	3
TS04.2				LSJ	H	inférieure	Silex	Éclat (fgt proximal)	C 1200	M.LT_BD_0000	600	2
TS04.2				LSJ			Silex	Débris	C 1200	M.LT_BD_0000	607	6
TS04.2				LSJ	H		Silex	Éclat de façonnage (fgt proximal)	C 1200	M.LT_BD_0000	597	2
BD1L1				LSJ	H	supérieure	Silex	Débris	C 1200	M.LT_BD_0000	606	6
BD1L1				LSJ	O	supérieure	Silex	Éclat	C 1200	M.LT_BD_0000	593	3
BD1L1				LSJ	H	supérieure	Silex	Éclat de façonnage (fgt proximal)	C 1200	M.LT_BD_0000	597	2
BD1L1				LSJ	H	supérieure	Silex	Éclat cortical	C 1200	M.LT_BD_0000	580	3
BD1L1				LSJ	H	supérieure	Silex	Éclat (fgt distal)	C 1200	M.LT_BD_0000	586	3
BD1L1				LSJ	H	inférieure	Silex	Éclat	C 1200	M.LT_BD_0000	592	3
BD1L1				LSJ/LSB	H	inférieure	Silex	Éclat	C 1200	M.LT_BD_0000	598	2
CP04.2							Silex	Éclat	C 1200	M.LT_BD_0000	593	3
CP04.2							Silex	Éclat de façonnage	C 1200	M.LT_BD_0000	584	3
CP04.2							Silex	Éclat de coup de tranchet	C 1200	M.LT_BD_0000	598	2
CP04.2							Silex	Racloir déjeté	C 1200	M.LT_BD_0000	604	3
BD1L1				LSJ/LSB	H	supérieure	Silex	Éclat (fgt distal)	C 1200	M.LT_BD_0000	586	3
BD1L1				LSJ	V		Silex	Éclat de façonnage	C 1200	M.LT_BD_0000	583	3
TS01.1				LSJ	O		Silex	Éclat cortical	C 1200	M.LT_BD_0000	580	3
BD1L1				LSJ	V		Silex	Éclat cortical (fgt distal)	C 1200	M.LT_BD_0000	579	4
BD1L1				LSB	H	inférieure	Silex	Éclat de façonnage	C 1200	M.LT_BD_0000	589	2
BD1L1				LSB			Silex	Biface	C 1200	M.LT_BD_0452		1
BD1L1				LSJ			Silex	Débris	C 1200	M.LT_BD_0000	603	4
BD1L1				LSJ	H		Silex	Biface (fgt)	C 1200	M.LT_BD_0454		1
BD1L1				LSJ	H	inférieure	Silex	Éclat Levallois	C 1200	M.LT_BD_0000	602	2
BD1L1				LSJ	O	inférieure	Silex	Éclat (fgt distal)	C 1200	M.LT_BD_0000	592	3
BD1L1				LSJ	O		Silex	Gélifract	C 1200	M.LT_BD_0000	609	6
BD1L1				LSJ	O	inférieure	Silex	Éclat cortical	C 1200	M.LT_BD_0000	580	3
BD1L1				LSJ	H	inférieure	Silex	Éclat (fgt proximal)	C 1200	M.LT_BD_0000	601	2
BD1L1				LSJ	H	supérieure	Silex	Éclat de façonnage	C 1200	M.LT_BD_0000	585	3
BD1L1				LSJ	H	supérieure	Silex	Éclat cortical (fgt mésial)	C 1200	M.LT_BD_0000	587	3
BD1L1				LSJ	H	inférieure	Silex	Éclat cortical	C 1200	M.LT_BD_0000	580	3
BD1L1				LSJ	V		Silex	Éclat (fgt longitudinal)	C 1200	M.LT_BD_0000	587	3
BD1L1				LSJ	O	inférieure	Silex	Éclat (fgt distal)	C 1200	M.LT_BD_0000	586	3
BD1L1				LSJ	O	inférieure	Silex	Éclat cortical	C 1200	M.LT_BD_0000	581	4
BD1L1				LSJ	O		Silex	Éclat (fgt proximal)	C 1200	M.LT_BD_0000	601	2
BD1L1				LSJ	O	inférieure	Silex	Éclat (fgt distal)	C 1200	M.LT_BD_0000	592	3
BD1L1				LSJ	H	inférieure	Silex	Esquille	C 1200	M.LT_BD_0000	588	3
BD1L1				LSB			Silex	Débris	C 1200	M.LT_BD_0000	607	6
BD1L1				LSB	H	inférieure	Silex	Éclat cortical (fgt proximal)	C 1200	M.LT_BD_0000	578	4
BD1L1				LSB			Silex	Débris	C 1200	M.LT_BD_0000	606	6
BD1L1				LSB	H	inférieure	Silex	Éclat (fgt distal)	C 1200	M.LT_BD_0000	591	2
BD1L1				LSB	O	inférieure	Silex	Éclat cortical (fgt indéterminé)	C 1200	M.LT_BD_0000	580	3
BD1L1				LSB	O		Silex	Débris	C 1200	M.LT_BD_0000	607	6
BD1L1				LSB	H		Silex	Éclat de façonnage cortical (fgt proximal)	C 1200	M.LT_BD_0000	578	4
BD1L1				LSB	H	supérieure	Silex	Éclat cortical (fgt indéterminé)	C 1200	M.LT_BD_0000	595	4
BD1L1				LSB	H	inférieure	Silex	Éclat cortical (fgt mésial)	C 1200	M.LT_BD_0000	578	4
BD1L1				LSBR	H	supérieure	Silex	Éclat cortical	C 1200	M.LT_BD_0000	581	4
BD1L1				LSBR	H		Silex	Éclat	C 1200	M.LT_BD_0000	593	3

Zone Secteur	Carré	Sous-carré	N° de décapage	Unité Pédo-stratigraphique	Position	Repose sur face	Matériau	Descriptif détaillé	Parcelle	Code SRA	Réf. contenant POCHE	Réf. contenant CAISSE
BD1L1				LSBR	H	supérieure	Silex	Éclat cortical	C 1200	M.LT_BD_0000	581	4
BD1L1				LSJ	H	supérieure	Silex	Éclat (fgt indéterminé)	C 1200	M.LT_BD_0000	596	2
BD1L1				LSJ	H	supérieure	Silex	Gélifract	C 1200	M.LT_BD_0000	609	6
BD1L1				LSJ	H	inférieure	Silex	Gélifract	C 1200	M.LT_BD_0000	608	5
BD1L1				LSJ	H	supérieure	Silex	Éclat de façonnage	C 1200	M.LT_BD_0000	585	3
BD1L1				LSJ	H		Silex	Gélifract	C 1200	M.LT_BD_0000	608	5
BD1L1				LSBR			Silex	Gélifract	C 1200	M.LT_BD_0000	609	6
BD1L1				LSJ	H	supérieure	Silex	Éclat de façonnage cortical	C 1200	M.LT_BD_0000	580	3
BD1L1				LSJ	O		Silex	Gélifract	C 1200	M.LT_BD_0000	608	5
BD1L1				LSB	O		Silex	Éclat de façonnage	C 1200	M.LT_BD_0000	584	3
BD1L2				LSJ	H	inférieure	Silex	Éclat (fgt distal)	C 1200	M.LT_BD_0000	592	3
BD1L2				LSJ			Silex	Denticulé	C 1200	M.LT_BD_0000	604	3
BD1L2				LSJ	H		Silex	Éclat de façonnage (fgt proximal)	C 1200	M.LT_BD_0000	585	3
BD1L2				LSJ	H	inférieure	Silex	Racloir convergent	C 1200	M.LT_BD_0494		1
BD1L2				LSJ			Silex	Débris	C 1200	M.LT_BD_0000	603	4
BD1L2				LSJ	O	inférieure	Silex	Éclat cortical (fgt proximal)	C 1200	M.LT_BD_0000	578	4
BD1L2				LSJ	H	inférieure	Silex	Éclat de façonnage	C 1200	M.LT_BD_0000	583	3
BD1L2				LSJ	H	supérieure	Silex	Éclat cortical (fgt proximal)	C 1200	M.LT_BD_0000	578	4
BD1L2				LSB	H	inférieure	Silex	Éclat (fgt longitudinal)	C 1200	M.LT_BD_0000	586	3
BD1L2				LSB	O	supérieure	Silex	Éclat de façonnage	C 1200	M.LT_BD_0000	583	3
BD1L2				LSJ	H		Silex	Éclat de façonnage (fgt proximal)	C 1200	M.LT_BD_0000	597	2
BD1L2				LSB	H	supérieure	Silex	Éclat (fgt distal)	C 1200	M.LT_BD_0000	591	2
BD1L2				LSB			Silex	Éclat de façonnage	C 1200	M.LT_BD_0000	585	3
BD1L2				LSJ			Silex	Éclat (fgt distal)	C 1200	M.LT_BD_0000	586	3
BD1L2				LSR			Silex	Débris	C 1200	M.LT_BD_0000	606	6
BD1L2				LSR	O	inférieure	Silex	Éclat de façonnage (fgt proximal)	C 1200	M.LT_BD_0000	597	2
BD1L2				LSJ	O	inférieure	Silex	Éclat de façonnage (fgt proximal)	C 1200	M.LT_BD_0000	597	2
BD1L2				LSJ			Silex	Débris	C 1200	M.LT_BD_0000	606	6
BD1L2				LSB	O	inférieure	Silex	Éclat Levallois	C 1200	M.LT_BD_0000	599	2
BD1L2				LSB	H	inférieure	Silex	Éclat cortical (fgt proximal)	C 1200	M.LT_BD_0000	578	4
BD1L2				LSB	V		Silex	Éclat (fgt proximal)	C 1200	M.LT_BD_0000	601	2
BD1L2				LSB	H	supérieure	Silex	Éclat de façonnage (fgt proximal)	C 1200	M.LT_BD_0000	597	2
BD1L2				LSBR	H	inférieure	Silex	Éclat	C 1200	M.LT_BD_0000	594	3
BD1L2				LSB	H	inférieure	Silex	Éclat (fgt proximal)	C 1200	M.LT_BD_0000	601	2
BD1L2				LSB	H	supérieure	Silex	Éclat cortical (fgt indéterminé)	C 1200	M.LT_BD_0000	580	3
BD1L2				LSB			Silex	Gélifract	C 1200	M.LT_BD_0000	609	6
BD1L2				LSB	H	supérieure	Silex	Éclat (fgt indéterminé)	C 1200	M.LT_BD_0000	595	4
BD1L2				LSB	O		Silex	Racloir (fgt)	C 1200	M.LT_BD_0518		1
BD1L2				LSJ	H	supérieure	Silex	Éclat cortical	C 1200	M.LT_BD_0000	582	4
BD1L2				LSJ	H	supérieure	Silex	Éclat cortical	C 1200	M.LT_BD_0000	594	3
BD1L2				LSJ	V		Silex	Éclat (fgt distal)	C 1200	M.LT_BD_0000	586	3
BD1L2				GB	H		Silex	Éclat de retouche	C 1200	M.LT_BD_0000	596	2
BD1L2				LSB	O		Silex	Éclat (fgt indéterminé)	C 1200	M.LT_BD_0000	595	4
BD1L2				LSB			Silex	Débris	C 1200	M.LT_BD_0000	606	6
BD1L2				LSB	H	inférieure	Silex	Éclat de façonnage	C 1200	M.LT_BD_0000	583	3
BD1L2				LSB	DC		Silex	Éclat de façonnage	C 1200	M.LT_BD_0000	583	3
BD1L2				LSB	O	inférieure	Silex	Débris	C 1200	M.LT_BD_0000	607	6
BD1L2				GB	V		Silex	Éclat cortical	C 1200	M.LT_BD_0000	580	3
BD1L2				GB	H	supérieure	Silex	Éclat (fgt indéterminé)	C 1200	M.LT_BD_0000	596	2
BD1L2				GB	H	supérieure	Silex	Éclat (fgt distal)	C 1200	M.LT_BD_0000	586	3
BD1L2				GB	H	supérieure	Silex	Éclat de façonnage	C 1200	M.LT_BD_0000	584	3
BD1L2				GB	H	supérieure	Silex	Racloir (fgt)	C 1200	M.LT_BD_0532		1
BD1L2				GB	H	supérieure	Silex	Éclat (fgt indéterminé)	C 1200	M.LT_BD_0000	595	4
BD1L2				LSB	H	inférieure	Silex	Éclat Levallois	C 1200	M.LT_BD_0000	599	2
BD1L2				LSBR	H		Silex	Biface	C 1200	M.LT_BD_0535		1
BD1L2				LSJ	H	inférieure	Silex	Éclat cortical (fgt indéterminé)	C 1200	M.LT_BD_0000	580	3
BD1L2				GB			Silex	Gélifract	C 1200	M.LT_BD_0000	580	3
BD1L2				LSBR	H	inférieure	Silex	Éclat cortical	C 1200	M.LT_BD_0000	578	4
BD1L2				LSB	H	supérieure	Silex	Éclat (fgt distal)	C 1200	M.LT_BD_0000	591	2
BD1L2				LSJ	H	inférieure	Silex	Éclat cortical (fgt mésial)	C 1200	M.LT_BD_0000	578	4
BD1L2				LSJ/GB	H	supérieure	Silex	Éclat (fgt proximal)	C 1200	M.LT_BD_0000	601	2
BD1L2				GB	H	supérieure	Silex	Éclat cortical (fgt distal)	C 1200	M.LT_BD_0000	579	4
BD1L2				GB	H	supérieure	Silex	Éclat (fgt indéterminé)	C 1200	M.LT_BD_0000	595	4
BD1L2				LSBR/GB	H	supérieure	Silex	Éclat cortical	C 1200	M.LT_BD_0000	578	4
BD1L2				LSJ	V		Silex	Éclat cortical	C 1200	M.LT_BD_0000	580	3
BD1L2				LSJ	H	supérieure	Silex	Éclat (fgt indéterminé)	C 1200	M.LT_BD_0000	595	4
BD1L2				LSJ			Silex	Éclat (fgt indéterminé)	C 1200	M.LT_BD_0000	603	4
BD1L2				LSBR	H	inférieure	Silex	Éclat (fgt distal)	C 1200	M.LT_BD_0000	591	2
BD1L2				LSB	H	supérieure	Silex	Biface	C 1200	M.LT_BD_0549		1
BD1L2				LSR	H	supérieure	Silex	Éclat cortical	C 1200	M.LT_BD_0000	581	4
BD1L2				LSR	DC		Silex	Éclat	C 1200	M.LT_BD_0000	593	3
BD1L3				LSJ	H	supérieure	Silex	Éclat (fgt indéterminé)	C 1200	M.LT_BD_0000	595	4
BD1L3				LSJ	V		Silex	Biface	C 1200	M.LT_BD_0553		1
BD1L3				LSJ	H	supérieure	Silex	Éclat de façonnage	C 1200	M.LT_BD_0000	584	3
BD1L3				LSJ	H	inférieure	Silex	Éclat (fgt distal)	C 1200	M.LT_BD_0000	592	3
BD1L3				LSJ	O	supérieure	Silex	Éclat (fgt mésial)	C 1200	M.LT_BD_0000	587	3
BD1L3				LSJ	O	inférieure	Silex	Éclat (fgt mésial)	C 1200	M.LT_BD_0000	587	3
BD1L3				LSJ	H	supérieure	Silex	Éclat (fgt indéterminé)	C 1200	M.LT_BD_0000	595	4
BD1L3				LSJ			Silex	Gélifract	C 1200	M.LT_BD_0000	608	5
BD1L3				LSJ	H	supérieure	Silex	Éclat cortical (fgt distal)	C 1200	M.LT_BD_0000	579	4
BD1L3				LSJ	H	inférieure	Silex	Éclat de façonnage (fgt proximal)	C 1200	M.LT_BD_0000	597	2
BD1L3				LSJ	H		Silex	Débris	C 1200	M.LT_BD_0000	606	6
BD1L3				LSJ	H	supérieure	Silex	Éclat (fgt distal)	C 1200	M.LT_BD_0000	587	3
BD1L3				LSJ	H	supérieure	Silex	Éclat (fgt distal)	C 1200	M.LT_BD_0000	592	3
BD1L3				LSJ	H	inférieure	Silex	Éclat (fgt distal)	C 1200	M.LT_BD_0000	592	3
BD1L3				LSJ	H	supérieure	Silex	Éclat cortical	C 1200	M.LT_BD_0000	603	4
BD1L3				LSJ	H	supérieure	Silex	Gélifract	C 1200	M.LT_BD_0000	609	6
BD1L3				LSB			Silex	Gélifract	C 1200	M.LT_BD_0000	609	6
BD1L3				LSB	O	supérieure	Silex	Éclat cortical (fgt proximal)	C 1200	M.LT_BD_0000	603	4
BD1L3				LSB	V		Silex	Éclat (fgt proximal)	C 1200	M.LT_BD_0000	601	2
BD1L3				LSB	H	supérieure	Silex	Esquille	C 1200	M.LT_BD_0000	596	2
BD1L3				LSB	H		Silex	Éclat retouché (fgt indéterminé)	C 1200	M.LT_BD_0000	603	4
BD1L3				LSJ	H	inférieure	Silex	Éclat (fgt indéterminé)	C 1200	M.LT_BD_0000	596	2
BD1L3				LSR	H	inférieure	Silex	Éclat	C 1200	M.LT_BD_0000	593	3
BD1L3				LSJ	H		Silex	Biface	C 1200	M.LT_BD_0575		1
BD1L3				LSB	H		Silex	Éclat	C 1200	M.LT_BD_0000	593	3
BD1L3				LSB	H	inférieure	Silex	Éclat Kombewa	C 1200	M.LT_BD_0000	598	2
BD1L3				LSB	H		Silex	Éclat (fgt indéterminé)	C 1200	M.LT_BD_0000	594	3
BD1L3				LSJ	H	supérieure	Silex	Éclat de façonnage	C 1200	M.LT_BD_0000	585	3
BD1L3				LSB	H	inférieure	Silex	Éclat de façonnage	C 1200	M.LT_BD_0000	589	2
BD1L3				LSR	H	supérieure	Silex	Éclat (fgt distal)	C 1200	M.LT_BD_0000	587	3
BD1L3				LSR	H		Silex	Biface	C 1200	M.LT_BD_0582		1
BD1L3				LSR	V		Silex	Éclat (fgt proximal)	C 1200	M.LT_BD_0000	601	2
BD1L3				LSR	H	inférieure	Silex	Éclat (fgt longitudinal)	C 1200	M.LT_BD_0000	586	3
BD1L3				LSR	O	inférieure	Silex	Éclat de façonnage	C 1200	M.LT_BD_0000	584	3
BD1L3				LSJ	H	inférieure	Silex	Éclat	C 1200	M.LT_BD_0000	603	4
BD1L3				LSB	H	inférieure	Silex	Gélifract	C 1200	M.LT_BD_0000	609	6
BD1L3				GB	H	inférieure	Silex	Éclat	C 1200	M.LT_BD_0000	593	3
BD1L3				GB	H	inférieure	Silex	Éclat (fgt indéterminé)	C 1200	M.LT_BD_0000	596	2
BD1L3				LSB	DC		Silex	Biface (fgt)	C 1200	M.LT_BD_0590		1
BD1L3				LSB	O	inférieure	Silex	Éclat (fgt distal)	C 1200	M.LT_BD_0000	587	3
BD1L3				LSB	O	inférieure	Silex	Éclat Kombewa	C 1200	M.LT_BD_0000	598	2
BD1L3				LSB	O	supérieure	Silex	Éclat (fgt mésial)	C 1200	M.LT_BD_0000	588	3
BD1L3				LSB	H		Silex	Bloc brut	C 1200	M.LT_BD_0000	656	15
BD1L3				LSB			Silex	Éclat	C 1200	M.LT_BD_0000	600	2
BD1L3				LSR	H	supérieure	Silex	Éclat	C 1200	M.LT_BD_0000	594	3
BD1L3				GR	H	inférieure	Silex	Éclat de façonnage	C 1200	M.LT_BD_0000	584	3
BD1L3				GR	H	supérieure	Silex	Éclat cortical	C 1200	M.LT_BD_0000	580	3
BD1L3				GR	H	inférieure	Silex	Éclat	C 1200	M.LT_BD_0000	593	3
BD1L3				LSJp	H	inférieure	Silex	Éclat cortical	C 1200	M.LT_BD_0000	580	3
BD1L3				LSJp	DC		Silex	Éclat cortical (fgt distal)	C 1200	M.LT_BD_0000	579	4
BD1L3				LSJp	H	supérieure	Silex	Éclat	C 1200	M.LT_BD_0000	603	4
BD1L3				LSJp	V		Silex	Éclat cortical	C 1200	M.LT_BD_0000	580	3
BD1L3				LSJp	V		Silex	Éclat de façonnage (fgt proximal)	C 1200	M.LT_BD_0000	597	2
BD1L3				LSJp	O	inférieure	Silex	Éclat	C 1200	M.LT_BD_0000	593	3
BD1L4				LSB	H	supérieure	Silex	Éclat (fgt distal)	C 1200	M.LT_BD_0000	586	3
BD1L4				LSB	H	inférieure	Silex	Éclat de coup de tranchet	C 1200	M.LT_BD_0000	598	2

Zone Secteur	Carré	Sous-carré	N° de décapage	Unité Pédo-stratigraphique	Position	Repose sur face	Matériau	Descriptif détaillé	Parcelle	Code SRA	Réf. contenant POCHE	Réf. contenant CAISSE
BD1L4				LSB	H	inférieure	Silex	Éclat (fgt mésial)	C 1200	M.LT_BD_0000	587	3
BD1L4				LSB	O		Silex	Débris	C 1200	M.LT_BD_0000	606	6
BD1L4				LSB	H		Silex	Éclat (fgt indéterminé)	C 1200	M.LT_BD_0000	596	2
BD1L4				LSB			Silex	Éclat cortical (fgt proximal)	C 1200	M.LT_BD_0000	578	4
BD1L4				LSB	O		Silex	Biface (fgt)	C 1200	M.LT_BD_0612		1
BD1L4				LSB	H	supérieure	Silex	Éclat (fgt distal)	C 1200	M.LT_BD_0000	586	3
BD1L4				LSB	H	inférieure	Silex	Débris	C 1200	M.LT_BD_0000	606	6
BD1L4				LSB	O		Silex	Éclat cortical	C 1200	M.LT_BD_0000	585	3
BD1L4				LSB	O		Silex	Éclat (fgt distal)	C 1200	M.LT_BD_0000	591	2
BD1L4				LSR	H	inférieure	Silex	Éclat de façonnage (fgt proximal)	C 1200	M.LT_BD_0000	597	2
BD1L4				LSR	H	supérieure	Silex	Éclat	C 1200	M.LT_BD_0000	594	3
BD1L4				LSR	O	inférieure	Silex	Éclat de façonnage	C 1200	M.LT_BD_0000	585	3
BD1L4				LSR	H	inférieure	Silex	Éclat (fgt indéterminé)	C 1200	M.LT_BD_0000	595	4
BD1L4				LSR	O	inférieure	Silex	Éclat (fgt indéterminé)	C 1200	M.LT_BD_0000	596	2
BD1L4				LSR	H	supérieure	Silex	Éclat de façonnage	C 1200	M.LT_BD_0000	584	3
BD1L4				LSR	O		Silex	Éclat (fgt longitudinal)	C 1200	M.LT_BD_0000	586	3
BD1L4				GR	H	supérieure	Silex	Éclat (fgt proximal)	C 1200	M.LT_BD_0000	601	2
BD1L4				GR	H	inférieure	Silex	Éclat de façonnage	C 1200	M.LT_BD_0000	585	3
BD1L4				GR	H	supérieure	Silex	Éclat	C 1200	M.LT_BD_0000	593	3
BD1L4				GR	O	inférieure	Silex	Éclat cortical (fgt distal)	C 1200	M.LT_BD_0000	580	3
BD1L4				GR	O		Silex	Éclat de façonnage	C 1200	M.LT_BD_0000	584	3
BD1L4				GR	H	supérieure	Silex	Gélifract	C 1200	M.LT_BD_0000	608	5
BD1L4				GR			Silex	Burin associé à racloir à retouche abrupte	C 1200	M.LT_BD_0630		1
BD1L4				GR	H	supérieure	Silex	Éclat (fgt distal)	C 1200	M.LT_BD_0000	591	2
BD1L4				GR	H	inférieure	Silex	Eclat de façonnage (fgt proximal)	C 1200	M.LT_BD_0000	597	2
BD1L4				GR	H	supérieure	Silex	Débris	C 1200	M.LT_BD_0000	606	6
BD1L4				GR	H	inférieure	Silex	Éclat cortical (fgt proximal)	C 1200	M.LT_BD_0000	578	4
BD1L4				GR	H	supérieure	Silex	Éclat de coup de tranchet	C 1200	M.LT_BD_0000	598	2
BD1L4				GR	H	inférieure	Silex	Éclat (fgt distal)	C 1200	M.LT_BD_0000	586	3
BD1L4				GR	H	inférieure	Silex	Eclat de façonnage cortical (fgt proximal)	C 1200	M.LT_BD_0000	578	4
BD1L4				GR	H	inférieure	Silex	Éclat (fgt mésial)	C 1200	M.LT_BD_0000	588	3
BD1L4				GR	H		Silex	Éclat cortical (fgt distal)	C 1200	M.LT_BD_0000	580	3
BD1L4				GR	H	inférieure	Silex	Racloir à retouche biface	C 1200	M.LT_BD_0000	604	3
BD1L4				GR	H	supérieure	Silex	Éclat de façonnage cortical	C 1200	M.LT_BD_0000	581	4
BD1L4				LSJ	O		Silex	Biface	C 1200	M.LT_BD_0642		1
BD1L4				GR	H	supérieure	Silex	Éclat (fgt distal)	C 1200	M.LT_BD_0000	591	2
BD1L4				GR	H	supérieure	Silex	Éclat de façonnage	C 1200	M.LT_BD_0000	583	3
BD1L4				LSJp	H	supérieure	Silex	Éclat (fgt proximal)	C 1200	M.LT_BD_0000	601	2
BD1L4				LSJp	V		Silex	Éclat	C 1200	M.LT_BD_0000	593	3
BD1L4				GR	H	supérieure	Silex	Éclat de façonnage (fgt proximal)	C 1200	M.LT_BD_0000	596	2
BD1L4				GR	DC		Silex	Éclat cortical	C 1200	M.LT_BD_0000	580	3
BD1L4				GR	H	inférieure	Silex	Éclat cortical	C 1200	M.LT_BD_0000	581	4
BD1L4				GR	H	inférieure	Silex	Éclat (fgt distal)	C 1200	M.LT_BD_0000	591	2
BD1L4				GR	H	inférieure	Silex	Racloir transversal	C 1200	M.LT_BD_0651		1
BD1L4				GR	O	supérieure	Silex	Éclat de façonnage (fgt proximal)	C 1200	M.LT_BD_0000	597	2
BD1L4				GR	H	supérieure	Silex	Éclat (fgt proximal)	C 1200	M.LT_BD_0000	600	2
BD1L4				GR	H	inférieure	Silex	Éclat (fgt indéterminé)	C 1200	M.LT_BD_0000	595	4
BD1L4				GR	H	inférieure	Silex	Éclat cortical (fgt distal)	C 1200	M.LT_BD_0000	579	4
BD1L4				LSJp	DC		Silex	Éclat de façonnage	C 1200	M.LT_BD_0000	584	3
BD1L4				LSJp	H	supérieure	Silex	Éclat (fgt proximal)	C 1200	M.LT_BD_0000	601	2
BD1L4				LSJp	V		Silex	Éclat de façonnage	C 1200	M.LT_BD_0000	585	3
BD1L4				LSJp	H	supérieure	Silex	Éclat (fgt mésial)	C 1200	M.LT_BD_0000	588	3
BD1L4				LSJp	O	supérieure	Silex	Éclat	C 1200	M.LT_BD_0000	594	3
BD1L4				LSJ	V		Silex	Débris	C 1200	M.LT_BD_0000	606	6
BD1L4				LSR	H	inférieure	Silex	Éclat	C 1200	M.LT_BD_0000	593	3
BD1L5 nord				LSJ	H	supérieure	Silex	Éclat cortical	C 1200	M.LT_BD_0000	594	3
BD1L5 nord				LSJ	H	supérieure	Silex	Éclat de façonnage (fgt proximal)	C 1200	M.LT_BD_0000	596	2
BD1L5 nord				LSJ	H	supérieure	Silex	Éclat	C 1200	M.LT_BD_0000	594	3
BD1L5 nord				LSB	H	inférieure	Silex	Éclat de façonnage	C 1200	M.LT_BD_0000	584	3
BD1L5				LSJ	H	supérieure	Silex	Cupule de gel	C 1200	M.LT_BD_0000	609	6
BD1L5				LSJ			Silex	Débris	C 1200	M.LT_BD_0000	607	6
BD1L5				LSJ	O	inférieure	Silex	Eclat (fgt proximal)	C 1200	M.LT_BD_0000	600	2
BD1L5				LSJ	H	inférieure	Silex	Éclat (fgt distal)	C 1200	M.LT_BD_0000	592	3
BD1L5				LSJ	O		Silex	Nucléus multifacial	C 1200	M.LT_BD_0676		1
BD1L6				LSJ	H	inférieure	Silex	Éclat (fgt indéterminé)	C 1200	M.LT_BD_0000	595	4
BD1L6				LSJ			Silex	Gélifract	C 1200	M.LT_BD_0000	609	6
BD1L5				LSJ	H	inférieure	Silex	Eclat retouché (fgt indéterminé)	C 1200	M.LT_BD_0000	604	3
BD1L5				LSJ	H	inférieure	Silex	Éclat de façonnage	C 1200	M.LT_BD_0000	585	3
BD1L6				LSJ	H	inférieure	Silex	Débris	C 1200	M.LT_BD_0000	606	6
BD1L6				LSJ			Silex	Gélifract	C 1200	M.LT_BD_0000	609	6
BD1L6				LSJ	H	supérieure	Silex	Éclat de façonnage	C 1200	M.LT_BD_0000	585	3
BD1L6				LSJ	O	inférieure	Silex	Éclat (fgt mésial)	C 1200	M.LT_BD_0000	587	3
BD1L6				LSJ	O	inférieure	Silex	Éclat	C 1200	M.LT_BD_0000	594	3
BD1L6				LSJ	H	inférieure	Silex	Éclat de façonnage	C 1200	M.LT_BD_0000	584	3
BD1L6				LSB	O	inférieure	Silex	Éclat	C 1200	NON RETROUVE		
BD1L6				LSB	H		Silex	Cupule de feu	C 1200	M.LT_BD_0000	609	6
BD1L6				LSBr	H	inférieure	Silex	Éclat de façonnage	C 1200	M.LT_BD_0000	593	3
BD1L6				GB	O		Silex	Éclat cortical	C 1200	M.LT_BD_0000	582	4
BD1L6				GB			Silex	Bloc brut	C 1200	M.LT_BD_0000	605	5
BD1L6				LSB	O		Silex	Éclat cortical	C 1200	M.LT_BD_0000	578	4
BD1L6				LSB	H	inférieure	Silex	Éclat (fgt distal)	C 1200	M.LT_BD_0000	591	2
BD1L6				LSB	O	inférieure	Silex	Éclat cortical	C 1200	M.LT_BD_0000	578	4
BD1L6				GR	H	inférieure	Silex	Éclat	C 1200	M.LT_BD_0000	594	3
BD1L6				LSJ	H	inférieure	Silex	Éclat (fgt indéterminé)	C 1200	M.LT_BD_0000	595	4
BD1L6				LSR	H	inférieure	Silex	Éclat (fgt indéterminé)	C 1200	M.LT_BD_0000	595	4
BD1L6				LSR	H	supérieure	Silex	Éclat de façonnage (fgt proximal)	C 1200	M.LT_BD_0000	596	2
BD1L6				LSR	O	inférieure	Silex	Éclat cortical	C 1200	M.LT_BD_0000	594	3
BD1L6				LSR			Silex	Débris	C 1200	M.LT_BD_0000	606	6
BD1L6				LSR	H	inférieure	Silex	Éclat de façonnage	C 1200	M.LT_BD_0000	585	3
BD1L6				LSR	O	inférieure	Silex	Éclat cortical (fgt distal)	C 1200	M.LT_BD_0000	579	4
BD1L6				LSR			Silex	Éclat (fgt indéterminé)	C 1200	M.LT_BD_0000	595	4
BD1L6				LSJ			Silex	Gélifract	C 1200	M.LT_BD_0000	609	6
BD1L7				LSJ	H	inférieure	Silex	Éclat	C 1200	M.LT_BD_0000	594	3
BD1L7				LSJ	H	inférieure	Silex	Denticulé	C 1200	M.LT_BD_0706		1
BD1L7				LSJ	O	supérieure	Silex	Éclat de façonnage	C 1200	M.LT_BD_0000	584	3
BD1L7				LSJ	H	supérieure	Silex	Éclat cortical	C 1200	M.LT_BD_0000	580	3
BD1L7				LSJ	H	supérieure	Silex	Éclat cortical (fgt proximal)	C 1200	M.LT_BD_0000	578	4
BD1L7				LSJ	H		Silex	Esquille	C 1200	M.LT_BD_0000	596	2
BD1L7				LSJ	H	supérieure	Silex	Éclat de façonnage	C 1200	M.LT_BD_0000	583	3
BD1L7				LSJ	O	inférieure	Silex	Éclat Levallois	C 1200	M.LT_BD_0000	599	2
BD1L7				LSB	O	supérieure	Silex	Éclat cortical (fgt proximal)	C 1200	M.LT_BD_0000	578	4
BD1L7				LSB	H	supérieure	Silex	Éclat de façonnage cortical (fgt proximal)	C 1200	M.LT_BD_0000	578	4
BD1L7				LSBr	H	inférieure	Silex	Racloir double	C 1200	M.LT_BD_0000	604	3
BD1L7				GR	H	supérieure	Silex	Débris	C 1200	M.LT_BD_0000	607	6
BD1L7				GR	H	supérieure	Silex	Éclat (fgt mésial)	C 1200	M.LT_BD_0000	587	3
BD1L7				GR	H	supérieure	Silex	Esquille	C 1200	M.LT_BD_0000	587	3
BD1L7				GR			Silex	Gélifract	C 1200	M.LT_BD_0000	609	6
BD1L7				GR	O	supérieure	Silex	Éclat de façonnage (fgt proximal)	C 1200	M.LT_BD_0000	596	2
BD1L7				GR	O	inférieure	Silex	Éclat de façonnage (fgt proximal)	C 1200	M.LT_BD_0000	597	2
BD1L7				GR		inférieure	Silex	Éclat cortical (fgt indéterminé)	C 1200	NON RETROUVE		
BD1L7				GR		inférieure	Silex	Éclat cortical (fgt indéterminé)	C 1200	M.LT_BD_727	579	4
BD1L7				GR	H	inférieure	Silex	Racloir sur face plane	C 1200	M.LT_BD_730	604	3
BD1L7				GR	H	supérieure	Silex	Éclat de façonnage (fgt proximal)	C 1200	M.LT_BD_743	596	2
BD1L7				GR		supérieure	Silex	Éclat (fgt distal)	C 1200	M.LT_BD_746	586	3
BD1L7				GR	O	supérieure	Silex	Éclat de façonnage	C 1200	M.LT_BD_750	585	3
BD1L7				GR			Silex	Biface	C 1200	M.LT_BD_727		1
BD1L7				GR	H	supérieure	Silex	Éclat de façonnage	C 1200	M.LT_BD_760	583	3
BD1L7				GR	H	supérieure	Silex	Éclat de façonnage	C 1200	M.LT_BD_776	583	3
BD1L7				GR			Silex	Biface	C 1200	M.LT_BD_730		1
BD1L7				GR			Silex	Débris	C 1200	M.LT_BD_794	606	6
BD1L7				GR	O	inférieure	Silex	Éclat cortical	C 1200	M.LT_BD_807	581	4
BD1L7				GR	O	supérieure	Silex	Racloir simple	C 1200	M.LT_BD_821	604	3
BD1L7				GR	H	inférieure	Silex	Éclat (fgt longitudinal)	C 1200	M.LT_BD_834	587	3
BD1L7				GR	H	supérieure	Silex	Éclat (fgt distal)	C 1200	M.LT_BD_848	591	2
BD1L7				GR			Silex	Éclat de façonnage	C 1200	M.LT_BD_871	583	3
BD1L7				GR			Silex	Éclat (fgt distal)	C 1200	M.LT_BD_873	591	2
BD1L7				GR			Silex	Éclat de coup de tranchet	C 1200	M.LT_BD_875	598	2

Zone Secteur	Carré	Sous-carré	N° de décapage	Unité Pédo-stratigraphique	Position	Repose sur face	Matériau	Descriptif détaillé	Parcelle	Code SRA	Réf. contenant POCHE	Réf. contenant CAISSE
BD1L7				GR	H	supérieure	Silex	Éclat cortical (fgt proximal)	C 1200	M.LT_BD_886	578	4
BD1L7				GR	H	supérieure	Silex	Éclat de façonnage (fgt proximal)	C 1200	M.LT_BD_891	597	2
BD1L7				GR	H	inférieure	Silex	Gélifract	C 1200	M.LT_BD_897	609	6
BD1L7				GR	O	supérieure	Silex	Éclat de façonnage (fgt proximal)	C 1200	M.LT_BD_903	596	2
BD1L7				GR			Silex	Biface (fgt)	C 1200	M.LT_BD_743		1
BD1L7				GR	H	inférieure	Silex	Éclat de façonnage	C 1200	M.LT_BD_919	583	3
BD1L7				GR	H	supérieure	Silex	Éclat de façonnage	C 1200	M.LT_BD_943	583	3
BD1L7				GR	DC		Silex	Racloir transversal	C 1200	M.LT_BD_746		1
BD1L7				GR	DC		Silex	Éclat de façonnage	C 1200	M.LT_BD_953	583	3
BD1L7				GR			Silex	Éclat cortical	C 1200	M.LT_BD_960	582	4
BD1L7				GR	H		Silex	Débris	C 1200	M.LT_BD_972	606	6
BD1L7				GR	H		Silex	Biface (fgt)	C 1200	M.LT_BD_750		1
BD1L7				GR			Silex	Biface (fgt)	C 1200	M.LT_BD_751		1
BD1L7				GR	H	supérieure	Silex	Éclat de façonnage (fgt distal)	C 1200	M.LT_BD_1008	583	3
BD1L7				GR	H	inférieure	Silex	Éclat de façonnage	C 1200	M.LT_BD_1013	583	3
BD1L7				GR	H	supérieure	Silex	Éclat (fgt indéterminé)	C 1200	M.LT_BD_1014a et b	596	2
BD1L7				GR			Silex	Débris	C 1200	M.LT_BD_1019	607	6
BD1L7				GR	H	inférieure	Silex	Racloir (fgt)	C 1200	M.LT_BD_1028	604	3
BD1L7				GR	H	supérieure	Silex	Éclat cortical (fgt mésial)	C 1200	M.LT_BD_1032	587	3
BD1L7				GR	H	supérieure	Silex	Éclat de façonnage	C 1200	M.LT_BD_1057	584	3
BD1L7				GR	V		Silex	Éclat de façonnage (fgt proximal)	C 1200	M.LT_BD_1061	597	2
BD1L7				LSR	H	inférieure	Silex	Racloir simple	C 1200	M.LT_BD_760		1
BD1L7				GR	H	supérieure	Silex	Éclat (fgt distal)	C 1200	M.LT_BD_1072	586	3
BD1L7				GR			Silex	Gélifract	C 1200	M.LT_BD_1074	606	6
BD1L7				GR	DC		Silex	Éclat de façonnage	C 1200	M.LT_BD_1081	583	3
BD1L7				GR	O	inférieure	Silex	Éclat de façonnage	C 1200	M.LT_BD_1085	583	3
BD1L7				GR	H	supérieure	Silex	Éclat de façonnage	C 1200	M.LT_BD_1089	584	3
BD1L7				GR	H	supérieure	Silex	Éclat cortical (fgt distal)	C 1200	M.LT_BD_1097 b	579	4
BD1L7				GR	H	supérieure	Silex	Éclat (fgt proximal)	C 1200	M.LT_BD_1110	601	2
BD1L7				GR			Silex	Éclat de façonnage (fgt proximal)	C 1200	M.LT_BD_1111	597	2
BD1L7				GR			Silex	Éclat cortical	C 1200	M.LT_BD_1114	605	5
BD1L7				GR	H		Silex	Éclat (fgt longitudinal)	C 1200	M.LT_BD_1140	586	3
BD1L7				GR	H	inférieure	Silex	Éclat cortical (fgt distal)	C 1200	M.LT_BD_1143	579	4
BD1L7				GR			Silex	Éclat de façonnage	C 1200	M.LT_BD_1146	585	3
BD1L7				GR	H	supérieure	Silex	Éclat cortical	C 1200	M.LT_BD_1147	580	3
BD1L7				GR			Silex	Éclat de façonnage	C 1200	M.LT_BD_1152	588	3
BD1L7				SR	H	supérieure	Silex	Éclat	C 1200	M.LT_BD_1155	593	3
BD1L7				LSJ	H	supérieure	Silex	Éclat (fgt distal)	C 1200	M.LT_BD_1163	586	3
BD1L7				LSJ	H	inférieure	Silex	Racloir alterne	C 1200	M.LT_BD_776		1
BD1L7				LSJ	O	supérieure	Silex	Éclat (fgt indéterminé)	C 1200	M.LT_BD_1180	595	4
BD1L7				LSJ	V		Silex	Éclat de façonnage	C 1200	M.LT_BD_1184	585	3
BD1L7				LSJ	H	inférieure	Silex	Éclat (fgt proximal)	C 1200	M.LT_BD_1193	601	2
BD1L7				LSJ			Silex	Éclat cortical	C 1200	M.LT_BD_1202	585	3
BD1L7				LSB	H	supérieure	Silex	Éclat cortical	C 1200	M.LT_BD_1213	581	4
BD1L7				LSB	H	supérieure	Silex	Éclat de façonnage	C 1200	M.LT_BD_1233	583	3
BD1L7				LSB			Silex	Débris	C 1200	M.LT_BD_1262	606	6
BD1L7				LSB	O	inférieure	Silex	Nucléus de gestion de surface non Levallois	C 1200	M.LT_BD_1263	605	5
BD1L7				LSB	H	inférieure	Silex	Éclat	C 1200	M.LT_BD_1281	605	5
BD1L7				LSB	H		Silex	Biface	C 1200	M.LT_BD_786		1
BD1L7				LSB	H	inférieure	Silex	Nucléus de gestion de surface non Levallois	C 1200	M.LT_BD_1312	605	5
BD1L7				LSB	H	inférieure	Silex	Éclat (fgt distal)	C 1200	M.LT_BD_1316	592	3
BD1L7				LSB			Silex	Gélifract	C 1200	M.LT_BD_1318	609	6
BD1L7				GR			Silex	Éclat (fgt distal)	C 1200	M.LT_BD_1320	586	3
BD1L7				GR	H	inférieure	Silex	Éclat de façonnage	C 1200	M.LT_BD_1323	583	3
BD1L7				GR	H	supérieure	Silex	Éclat	C 1200	M.LT_BD_1325	594	3
BD1L7				GR	H	inférieure	Silex	Éclat (fgt distal)	C 1200	M.LT_BD_1326	586	3
BD1L7				GR			Silex	Éclat	C 1200	NON RETROUVE		
BD1L7				GR	H	inférieure	Silex	Éclat cortical	C 1200	M.LT_BD_1341	580	3
BD1L7				GR	O	supérieure	Silex	Débris	C 1200	M.LT_BD_1342	606	6
BD1L7				GR	V		Silex	Éclat de façonnage cortical (fgt indéterminé)	C 1200	M.LT_BD_1343	581	4
BD1L7				GR	V		Silex	Éclat de façonnage cortical (fgt indéterminé)	C 1200	M.LT_BD_1344	581	4
BD1L7				GR	V		Silex	Cupule de gel	C 1200	M.LT_BD_1346	581	4
BD1L7				GR			Silex	Éclat de façonnage	C 1200	M.LT_BD_1371	583	3
BD1L7				GR	O	supérieure	Silex	Éclat Levallois	C 1200	M.LT_BD_1377	599	2
BD1L7				GR	O	inférieure	Silex	Éclat (fgt distal)	C 1200	M.LT_BD_1379	592	3
BD1L7				GR			Silex	Éclat de façonnage	C 1200	M.LT_BD_1381	583	3
BD2L1				LSJ			Silex	Éclat (fgt longitudinal)	C 1200	M.LT_BD_1390	586	3
BD1L7				GR	H	inférieure	Silex	Éclat (fgt distal)	C 1200	M.LT_BD_1398	591	2
BD2L1				LSJ	H		Silex	Uniface	C 1200	M.LT_BD_807		1
BD2L1				LSJ			Silex	Éclat de façonnage	C 1200	M.LT_BD_1426	584	3
BD1L7				GR	H		Silex	Éclat cortical	C 1200	M.LT_BD_1430	581	4
BD1L7				GR			Silex	Éclat de façonnage	C 1200	M.LT_BD_1436	583	3
BD1L7				GR			Silex	Éclat (fgt proximal)	C 1200	M.LT_BD_1444	601	2
BD2L1				LSB	O		Silex	Racloir (fgt)	C 1200	M.LT_BD_1450	604	3
BD2L1				LSJ			Silex	Éclat (fgt proximal)	C 1200	M.LT_BD_1458	601	2
BD2L1				LSJ	DC		Silex	Éclat (fgt proximal)	C 1200	M.LT_BD_1469	601	2
BD1L7				GR			Silex	Éclat de coup de tranchet	C 1200	M.LT_BD_1487	598	2
BD1L7				GR	H	supérieure	Silex	Éclat de façonnage	C 1200	M.LT_BD_1488	583	3
BD1L7				GR	H	supérieure	Silex	Éclat (fgt proximal)	C 1200	M.LT_BD_1490	601	2
BD1L7				GR	H	supérieure	Silex	Éclat Levallois	C 1200	M.LT_BD_1493	599	2
BD1L7				GR	DC		Silex	Éclat de façonnage	C 1200	M.LT_BD_1505	583	3
BD1L7				GR	H	inférieure	Silex	Éclat (fgt mésial)	C 1200	M.LT_BD_1531	598	2
BD1L7				GR	H	inférieure	Silex	Racloir simple	C 1200	M.LT_BD_821		1
BD1L7				GR	H	supérieure	Silex	Éclat cortical (fgt proximal)	C 1200	M.LT_BD_1555	578	4
BD1L7				GR	O	inférieure	Silex	Racloir alterne	C 1200	M.LT_BD_1556		1
BD1L7				GR	H	inférieure	Silex	Éclat (fgt distal)	C 1200	M.LT_BD_1562	594	3
BD1L7				GR	O	supérieure	Silex	Éclat (fgt proximal)	C 1200	M.LT_BD_1583	601	2
BD1L7				GR			Silex	Gélifract	C 1200	M.LT_BD_1588	609	6
BD1L7				GR			Silex	Éclat (fgt distal)	C 1200	M.LT_BD_1607	586	3
BD1L7				GR	H	supérieure	Silex	Éclat (fgt indéterminé)	C 1200	M.LT_BD_1612	596	2
BD1L7				GR	H	supérieure	Silex	Éclat	C 1200	M.LT_BD_1633	594	3
BD2L1				LSJ	O		Silex	Éclat de façonnage	C 1200	M.LT_BD_1637	585	3
BD2L1				LSJ	DC		Silex	Racloir (fgt)	C 1200	M.LT_BD_1657	604	3
BD1L7				GR	H	supérieure	Silex	Éclat cortical	C 1200	M.LT_BD_1677	580	3
BD1L7				GR			Silex	Débris	C 1200	M.LT_BD_1682	607	6
BD1L7				GR	O	inférieure	Silex	Nucléus Levallois	C 1200	M.LT_BD_834		1
BD1L7				GR	H	inférieure	Silex	Éclat (fgt mésial)	C 1200	M.LT_BD_1695	587	3
BD2L1				LSJ	O		Silex	Débris	C 1200	M.LT_BD_1718	607	6
BD2L1				LSJ	O		Silex	Débris	C 1200	M.LT_BD_1720	607	6
BD2L1				LSB	H		Silex	Éclat cortical (fgt proximal)	C 1200	M.LT_BD_1724	578	4
BD2L1				LSB			Silex	Éclat à dos cortical	C 1200	M.LT_BD_1726	579	4
BD2L1				LSB	H		Silex	Éclat cortical	C 1200	M.LT_BD_1731	581	4
BD2L1				LSB			Silex	Débris	C 1200	M.LT_BD_1733	607	6
BD2L1				LSB			Silex	Débris	C 1200	M.LT_BD_1746	606	6
BD2L1				LSJp			Silex	Éclat cortical (fgt mésial)	C 1200	M.LT_BD_1747	578	4
BD2L1				LSB			Silex	Éclat (fgt indéterminé)	C 1200	M.LT_BD_1751	595	4
BD2L1				LSB	O		Silex	Éclat de façonnage	C 1200	M.LT_BD_1755	585	3
BD2L1				LSB	DC		Silex	Débris	C 1200	M.LT_BD_1758	607	6
BD2L1				LSB	H		Silex	Éclat (fgt distal)	C 1200	M.LT_BD_1764	591	2
BD2L1				LSB			Silex	Biface	C 1200	M.LT_BD_848		1
BD2L1				LSB			Silex	Gélifract	C 1200	M.LT_BD_1773	608	5
BD2L1				LSB			Silex	Éclat cortical (fgt distal)	C 1200	M.LT_BD_1774	579	4
BD2L1				LSB			Silex	Eclat	C 1200	M.LT_BD_1779	593	3
BD2L1				LSB			Silex	Éclat (fgt distal)	C 1200	M.LT_BD_1783	591	2
BD2L1				LSB			Silex	Gélifract	C 1200	M.LT_BD_1793	609	6
BD2L1				LSB	DC		Silex	Gélifract	C 1200	M.LT_BD_1794	609	6
BD1L7				GR	H	inférieure	Silex	Éclat de façonnage	C 1200	M.LT_BD_1804	584	3
BD2L1				LSB	O		Silex	Éclat cortical	C 1200	M.LT_BD_1816	581	4
BD2L1				LSB	H		Silex	Éclat (fgt proximal)	C 1200	M.LT_BD_1824	601	2
BD2L1				LSB	H		Silex	Éclat cortical (fgt longitudinal)	C 1200	M.LT_BD_1826	578	4
BD2L1				LSB	H		Silex	Éclat cortical (fgt proximal)	C 1200	M.LT_BD_1835	578	4
BD2L1				LSB	H		Silex	Éclat de façonnage cortical (fgt proximal)	C 1200	M.LT_BD_1837	578	4
BD2L1				LSB	O		Silex	Éclat cortical	C 1200	M.LT_BD_1841	585	3
BD2L1				LSB			Silex	Racloir sur face plane	C 1200	M.LT_BD_1846	603	4
BD2L1				LSB	H		Silex	Éclat (fgt proximal)	C 1200	M.LT_BD_1871	585	3
BD2L1				LSB			Silex	Gélifract	C 1200	M.LT_BD_1890	608	5
BD2L1				LSB	H		Silex	Débris	C 1200	M.LT_BD_1894	607	6

Zone Secteur	Carré	Sous-carré	N° de décapage	Unité Pédo-stratigraphique	Position	Repose sur face	Matériau	Descriptif détaillé	Parcelle	Code SRA	Réf. contenant POCHE	Réf. contenant CAISSE
BD1L7				GR	H	supérieure	Silex	Éclat de façonnage (fgt proximal)	C 1200	M.LT_BD_1900	597	2
BD1L7				GR	V		Silex	Éclat de façonnage	C 1200	M.LT_BD_1904	589	2
BD1L7				GR			Silex	Éclat (fgt indéterminé)	C 1200	M.LT_BD_1912	596	2
BD2L1				LSB	H		Silex	Gélifract	C 1200	M.LT_BD_1930	609	6
BD2L1				LSB	H		Silex	Éclat (fgt indéterminé)	C 1200	M.LT_BD_1931	595	4
BD2L1				LSB	H		Silex	Racloir à retouche biface	C 1200	M.LT_BD_871		1
BD2L1				LSB	H		Silex	Éclat (fgt proximal)	C 1200	M.LT_BD_1936	601	2
BD1L7				GR	O	inférieure	Silex	Éclat cortical	C 1200	NON RETROUVE		
BD1L7				GR	H	inférieure	Silex	Éclat (fgt distal)	C 1200	M.LT_BD_1960	591	2
BD1L7				GR	O	inférieure	Silex	Uniface	C 1200	M.LT_BD_875		1
BD1L7				GR			Silex	Éclat cortical (fgt proximal)	C 1200	M.LT_BD_2019	578	4
BD2L1				LSB	DC		Silex	Éclat (fgt proximal)	C 1200	M.LT_BD_2020	601	2
BD2L1				LSB	O		Silex	Éclat	C 1200	M.LT_BD_2038	593	3
BD2L1				LSB	H		Silex	Débris	C 1200	M.LT_BD_2046	607	6
BD2L1				LSJ	O		Silex	Éclat de façonnage	C 1200	M.LT_BD_2050	599	2
BD1L8 nord				LSJ			Silex	Macro-outil	C 1200	M.LT_BD_2063	605	5
BD2L1				GB	H		Silex	Éclat cortical	C 1200	M.LT_BD_2065	581	4
BD2L1				GB	H		Silex	Éclat cortical (fgt distal)	C 1200	M.LT_BD_2066	579	4
BD2L1				LSB	O		Silex	Éclat (fgt indéterminé)	C 1200	M.LT_BD_2068	595	4
BD2L1				GR	O		Silex	Éclat de façonnage (fgt proximal)	C 1200	NON RETROUVE		
BD2L1				LSJp	O		Silex	Éclat (fgt longitudinal)	C 1200	M.LT_BD_2073	585	3
BD2L1				LSJp	V		Silex	Débris	C 1200	M.LT_BD_2093	607	6
BD2L1				LSJp	V		Silex	Éclat de façonnage	C 1200	M.LT_BD_2095	585	3
BD2L1				LSJp/SR	O		Silex	Débris	C 1200	M.LT_BD_2103	607	6
BD1L8 nord				GR			Silex	Bloc brut	C 1200	M.LT_BD_0000	656	15
BD1L8 nord				GR	O	supérieure	Silex	Éclat débordant	C 1200	M.LT_BD_2115	598	2
BD1L8 nord				GR	O		Silex	Éclat (fgt proximal)	C 1200	M.LT_BD_2116	601	2
BD1L8 nord				GR			Silex	Racloir (fgt)	C 1200	M.LT_BD_2123	604	3
BD2L1				LSJp	O		Silex	Gélifract	C 1200	M.LT_BD_2124	609	6
BD2L1				LSB	O		Calcaire organoclastique	Bloc brut	C 1200	NON CONSERVE		
BD2L2				LSJ	O		Silex	Éclat	C 1200	M.LT_BD_2132	603	4
BD2L2				LSJ	O		Silex	Éclat (fgt proximal)	C 1200	M.LT_BD_2133	600	2
BD2L2				LSJ	H		Silex	Éclat cortical (fgt distal)	C 1200	M.LT_BD_2141	579	4
BD2L2				LSB	O		Silex	Éclat (fgt distal)	C 1200	M.LT_BD_2148	592	3
BD2L1				LSB	O		Silex	Éclat cortical (fgt distal)	C 1200	M.LT_BD_2165	579	4
BD2L2				LSB	H		Grès	Bloc brut	C 1200	NON CONSERVE		
BD2L2				LSJ	DC		Silex	Gélifract	C 1200	M.LT_BD_2167	609	6
BD2L2				LSB	H		Silex	Éclat cortical (fgt mésial)	C 1200	M.LT_BD_2172	578	4
BD2L2				LSB	O		Silex	Éclat (fgt distal)	C 1200	M.LT_BD_2183	592	3
BD2L2				LSB	DC		Silex	Eclat (fgt proximal)	C 1200	M.LT_BD_2190	601	2
BD2L2				LSB			Silex	Gélifract	C 1200	M.LT_BD_2193	608	5
BD2L2				LSB	O		Silex	Éclat cortical	C 1200	M.LT_BD_2198	581	4
BD1L8 nord				GR	H	inférieure	Silex	Éclat (fgt distal)	C 1200	M.LT_BD_2202	592	3
BD2L2				LSB	H		Fer	Scorie	C 1200	M.LT_BD_2205		12
BD2L2				LSB	H		Silex	Éclat cortical (fgt indéterminé)	C 1200	M.LT_BD_2245a	578	4
BD2L2				LSB	H		Silex	Éclat cortical (fgt distal)	C 1200	M.LT_BD_2245b	579	4
BD2L2				LSB	H		Silex	Éclat cortical (fgt distal)	C 1200	M.LT_BD_2251	579	4
BD1L8 nord				GR	H	supérieure	Silex	Racloir (fgt)	C 1200	M.LT_BD_2252	604	3
BD1L8 nord				GR	V		Silex	Gélifract	C 1200	M.LT_BD_2266	608	5
BD2L2				GBR	H		Silex	Éclat de façonnage	C 1200	M.LT_BD_2269	585	3
BD2L2				LSB	H		Grès	Bloc brut	C 1200	M.LT_BD_918		13
BD1L8 nord				GR	H	supérieure	Silex	Burin	C 1200	M.LT_BD_919		1
BD2L2				LSB	H		Silex	Éclat de façonnage	C 1200	M.LT_BD_2285	589	2
BD2L2				LSB	O		Silex	Éclat débordant	C 1200	M.LT_BD_2294	598	2
BD2L2				LSJp	H		Silex	Éclat cortical	C 1200	M.LT_BD_2295	582	4
BD1L8 nord				GR	DC		Silex	Débris	C 1200	M.LT_BD_2300	609	6
BD2L2				LSB	O		Silex	Éclat Levallois	C 1200	M.LT_BD_2304	602	2
BD2L2				LSB	H		Silex	Éclat cortical (fgt distal)	C 1200	M.LT_BD_2315	579	4
BD2L2				LSB	DC		Silex	Éclat (fgt indéterminé)	C 1200	M.LT_BD_2324	595	4
BD1L8 nord				GR	H	supérieure	Silex	Éclat	C 1200	M.LT_BD_2325	594	3
BD2L2				LSB	DC		Silex	Racloir (fgt)	C 1200	M.LT_BD_2328	604	3
BD2L2				LSB	H		Silex	Éclat de façonnage (fgt proximal)	C 1200	M.LT_BD_2352	597	2
BD2L2				LSB	H		Silex	Éclat (fgt mésial)	C 1200	M.LT_BD_2354	588	3
BD2L2				LSB	O		Silex	Éclat cortical (fgt distal)	C 1200	M.LT_BD_2366	579	4
BD1L8 nord				GR	H		Silex	Éclat (fgt indéterminé)	C 1200	M.LT_BD_2368	605	5
BD2L2				GBR	H		Silex	Éclat (fgt distal)	C 1200	M.LT_BD_2384	592	3
BD2L2				GBR	H		Silex	Éclat (fgt distal)	C 1200	M.LT_BD_2421	592	3
BD2L2				GR	H		Silex	Éclat Levallois	C 1200	M.LT_BD_2423	599	2
BD2L2				LSJ	H		Silex	Éclat (fgt distal)	C 1200	M.LT_BD_2429	586	3
BD1L8 nord				GR	O	supérieure	Silex	Éclat de façonnage cortical	C 1200	M.LT_BD_2463	578	4
BD2L2				LSJp/SR	H		Silex	Éclat de façonnage	C 1200	M.LT_BD_2469	589	2
BD1L8 nord				GR	H	supérieure	Silex	Éclat de façonnage	C 1200	M.LT_BD_2483	588	3
BD1L8 nord				GR			Silex	Éclat de façonnage	C 1200	M.LT_BD_2484	588	3
BD1L8 nord				GR	H	inférieure	Silex	Gélifract	C 1200	M.LT_BD_2497	609	6
BD1L8 nord				GR	H	inférieure	Silex	Éclat de façonnage cortical	C 1200	M.LT_BD_2505	578	4
BD2L2				LSB			Silex	Bloc brut	C 1200	NON CONSERVE		
BD2L2				LSB	H		Silex	Éclat (fgt distal)	C 1200	M.LT_BD_2600	591	2
BD1L8 nord				GR	H	supérieure	Silex	Éclat de façonnage	C 1200	M.LT_BD_2603	589	2
BD2L2				LSJp	DC		Silex	Éclat	C 1200	M.LT_BD_3538	594	3
BD2L2				LSBR	H		Silex	Gélifract	C 1200	M.LT_BD_3545	609	6
BD1L8 nord				GR	O	inférieure	Silex	Racloir (fgt)	C 1200	M.LT_BD_3548	604	3
BD2L2				GB	H		Silex	Racloir simple	C 1200	M.LT_BD_949		1
BD2L2				LSR	H		Silex	Éclat de façonnage cortical (fgt proximal)	C 1200	M.LT_BD_3574	578	4
BD2L2				LSJp	H		Silex	Éclat (fgt indéterminé)	C 1200	M.LT_BD_3583	595	4
BD1L8 nord				SR	H	supérieure	Silex	Racloir déjeté	C 1200	M.LT_BD_3584	604	3
BD2L2				LSJp	H		Grès	Bloc brut	C 1200	M.LT_BD_953		13
BD1L8 nord				SR	V		Silex	Éclat (fgt indéterminé)	C 1200	M.LT_BD_3681	595	4
BD1L8 nord				SR	H	inférieure	Silex	Éclat de façonnage	C 1200	M.LT_BD_3709	588	3
BD1L8 nord				SR	V		Silex	Éclat (fgt longitudinal)	C 1200	M.LT_BD_3722	593	3
BD2L2				LSR	DC		Silex	Éclat	C 1200	M.LT_BD_3747	593	3
BD2L2				LSR	O		Silex	Éclat (fgt distal)	C 1200	M.LT_BD_4047	592	3
BD2L2				GR	O		Silex	Éclat	C 1200	M.LT_BD_4051	593	3
BD2L2				LSB	H		Silex	Bloc brut (fgt)	C 1200	M.LT_BD_0000	656	15
BD2L2				GBR	O		Silex	Éclat (fgt distal)	C 1200	M.LT_BD_4326	598	2
BD2L2				GBR	O		Silex	Éclat de façonnage	C 1200	M.LT_BD_4403	584	3
BD2L2				LSJp/GR	H		Silex	Gélifract	C 1200	M.LT_BD_4404	608	5
BD2L2				LSJp/GR	V		Silex	Éclat (fgt indéterminé)	C 1200	M.LT_BD_4465	595	4
BD2L2				GB	H		Silex	Gélifract	C 1200	M.LT_BD_4470	608	5
BD2L2				GBR	O		Silex	Éclat cortical	C 1200	M.LT_BD_4480	580	3
BD2L2				GBR	O		Silex	Denticulé	C 1200	M.LT_BD_4503	604	3
BD2L2				LSB	DC		Silex	Débris	C 1200	M.LT_BD_4516	606	6
BD2L2				LSB	O		Silex	Éclat cortical (fgt indéterminé)	C 1200	M.LT_BD_4520	580	3
BD2L2				GBR	O		Silex	Gélifract	C 1200	M.LT_BD_4529	608	5
BD2L2				LSJp	H		Silex	Éclat cortical	C 1200	M.LT_BD_4599	578	4
BD2L2				LSJp	O		Silex	Biface	C 1200	M.LT_BD_972		1
BD2L2				GBR	H		Silex	Éclat (fgt mésial)	C 1200	M.LT_BD_0000	587	3
BD2L2				GBR	O		Silex	Débris	C 1200	M.LT_BD_0000	607	6
BD2L2				LSJp/GR	O		Silex	Gélifract	C 1200	M.LT_BD_0000	608	5
BD1L8 sud				LSJ	H	supérieure	Silex	Éclat (fgt proximal)	C 1200	M.LT_BD_0000	601	2
BD2L2				LSJ/SR	O		Silex	Éclat de façonnage	C 1200	M.LT_BD_0000	584	3
BD2L2				LSJp	H		Silex	Débris	C 1200	M.LT_BD_0000	607	6
BD1L9				LSJ	O		Silex	Débris	C 1200	M.LT_BD_0000	607	6
BD1L9				LSB			Silex	Nucléus multifacial	C 1200	M.LT_BD_0000	603	4
BD1L8 sud				LSB	H	inférieure	Silex	Éclat (fgt distal)	C 1200	M.LT_BD_0000	592	3
BD2L1				LSJp	DC		Silex	Éclat cortical	C 1200	M.LT_BD_0000	581	4
BD2L1				LSJp	H		Silex	Racloir (fgt)	C 1200	M.LT_BD_0000	604	3
BD2L1				LSJp	O		Silex	Éclat de façonnage (fgt proximal)	C 1200	M.LT_BD_0000	597	2
BD2L1				GR	O		Silex	Éclat (fgt indéterminé)	C 1200	M.LT_BD_0000	596	2
BD2L1				LSBR	O		Silex	Éclat (fgt distal)	C 1200	M.LT_BD_0000	592	3
BD2L1				LSJp	DC		Silex	Éclat cortical	C 1200	M.LT_BD_0000	581	4
BD2L1				LSJp	H		Silex	Éclat cortical (fgt mésial)	C 1200	M.LT_BD_0000	587	3
BD1L8 sud				LSB	H	inférieure	Silex	Éclat de façonnage	C 1200	M.LT_BD_0000	589	2
BD2L1				LSJp	O		Silex	Éclat cortical (fgt distal)	C 1200	M.LT_BD_0000	579	4
BD2L1				LSJp	DC		Silex	Cupule de gel	C 1200	M.LT_BD_0000	609	6
BD1L8 sud				LSB	H	inférieure	Silex	Débris	C 1200	M.LT_BD_0000	606	6
BD1L9				LSB	H	inférieure	Silex	Éclat de façonnage (fgt proximal)	C 1200	M.LT_BD_0000	596	2

Zone Secteur	Carré	Sous-carré	N° de décapage	Unité Pédo-stratigraphique	Position	Repose sur face	Matériau	Descriptif détaillé	Parcelle	Code SRA	Réf. contenant POCHE	Réf. contenant CAISSE
BD1L9				LSB			Silex	Éclat (fgt indéterminé)	C 1200	M.LT_BD_0000	595	4
BD1L9				LSB	O		Silex	Éclat (fgt proximal)	C 1200	M.LT_BD_0000	601	2
BD1L8 sud				LSJ	O	inférieure	Silex	Racloir alterne	C 1200	M.LT_BD_997		1
BD1L8 sud				LSJ	H	inférieure	Silex	Éclat	C 1200	M.LT_BD_0000	594	3
BD1L9				LSJ	O	inférieure	Silex	Gélifract	C 1200	M.LT_BD_0000	608	5
BD3L1				LSJ	H		Silex	Nucléus indéterminé (fgt)	C 1200	M.LT_BD_0000	603	4
BD3L1				GBR	H		Silex	Éclat cortical	C 1200	M.LT_BD_0000	598	2
BD1L9				LSR	H	supérieure	Silex	Éclat de façonnage	C 1200	M.LT_BD_0000	588	3
BD1L9				LSR	H	inférieure	Silex	Éclat (fgt proximal)	C 1200	M.LT_BD_0000	600	2
BD1L9				LSR	H	supérieure	Silex	Éclat de façonnage cortical	C 1200	M.LT_BD_0000	580	3
BD3L1				GR	O		Silex	Biface	C 1200	M.LT_BD_1006		1
BD3L1					O		Silex	Éclat (fgt indéterminé)	C 1200	M.LT_BD_0000	595	4
BD3L1				LSB	O		Silex	Biface	C 1200	M.LT_BD_1008		1
BD1L9				LSR	H	supérieure	Silex	Racloir (fgt)	C 1200	M.LT_BD_0000	601	2
BD1L9				LSR	H	supérieure	Silex	Éclat cortical	C 1200	M.LT_BD_0000	578	4
BD3L1				LSB	O		Silex	Débris	C 1200	M.LT_BD_0000	607	6
BD3L1				LSB	O		Silex	Éclat (fgt proximal)	C 1200	M.LT_BD_0000	601	2
BD3L1				LSB	DC		Silex	Racloir double	C 1200	M.LT_BD_1013		1
BD3L1				GBR	O		Silex	Biface (fgt)	C 1200	M.LT_BD_1014a et b		1
BD3L1				LSB	H		Silex	Gélifract	C 1200	M.LT_BD_0000	608	5
BD3L1				LSB	O		Silex	Éclat cortical (fgt proximal)	C 1200	M.LT_BD_0000	578	4
BD3L1				LSBR	H		Silex	Éclat de façonnage	C 1200	M.LT_BD_0000	589	2
BD1L9				LSR			Silex	Biface (fgt)	C 1200	M.LT_BD_0000	605	5
BD3L1				LSB	O		Silex	Racloir alterne	C 1200	M.LT_BD_1019		1
BD3L1				LSBR/SR	O		Silex	Débris	C 1200	M.LT_BD_0000	607	6
BD1L8 sud				LSR	O	supérieure	Silex	Éclat	C 1200	M.LT_BD_0000	594	3
BD3L1				GBR	H		Silex	Éclat (fgt indéterminé)	C 1200	M.LT_BD_0000	596	2
BD3L1				GBR	O		Silex	Débris	C 1200	M.LT_BD_0000	607	6
BD3L1				GBR	H		Silex	Éclat (fgt proximal)	C 1200	M.LT_BD_0000	601	2
BD3L1				GBR	H		Silex	Éclat de façonnage (fgt proximal)	C 1200	M.LT_BD_0000	597	2
BD3L1				GBR	O		Silex	Éclat de façonnage	C 1200	M.LT_BD_0000	589	2
BD3L1				LSJp/SR	H		Silex	Éclat de façonnage	C 1200	M.LT_BD_0000	589	2
BD3L1				SR			Silex	Nucléus semi-tournant	C 1200	M.LT_BD_1028		1
BD1L8 sud				LSR	H	supérieure	Silex	Éclat de façonnage (fgt proximal)	C 1200	M.LT_BD_0000	597	2
BD1L8 sud				LSR	H	supérieure	Silex	Éclat de façonnage	C 1200	M.LT_BD_0000	588	3
BD1L9				GR	H	supérieure	Silex	Éclat	C 1200	M.LT_BD_0000	598	2
BD1L9				GR			Silex	Biface	C 1200	M.LT_BD_1032		1
BD3L1				LSJp	H		Silex	Éclat	C 1200	M.LT_BD_0000	593	3
BD3L1				LSJp	H		Silex	Débris	C 1200	M.LT_BD_0000	607	6
BD3L1				LSJp	H		Silex	Éclat cortical (fgt proximal)	C 1200	M.LT_BD_0000	578	4
BD3L1				GBR	DC		Silex	Débris	C 1200	M.LT_BD_0000	606	6
BD3L1				GBR	DC		Silex	Éclat de façonnage	C 1200	M.LT_BD_0000	589	2
BD3L1				LSJp	O		Silex	Éclat de façonnage	C 1200	M.LT_BD_0000	589	2
BD1L8 sud				SR	H	inférieure	Silex	Éclat cortical	C 1200	M.LT_BD_0000	582	4
BD1L8 sud				GR	O		Silex	Éclat de coup de tranchet	C 1200	M.LT_BD_0000	598	2
BD1L9				GR	H	supérieure	Silex	Racloir sur face plane	C 1200	M.LT_BD_0000	604	3
BD1L9				GR	H	inférieure	Silex	Éclat de façonnage (fgt proximal)	C 1200	M.LT_BD_0000	597	2
BD4L1				LSB	O		Silex	Débris	C 1200	M.LT_BD_0000	607	6
BD4L1				LSB	H		Silex	Éclat	C 1200	M.LT_BD_0000	593	3
BD1L8 sud				GR	V		Silex	Éclat (fgt distal)	C 1200	M.LT_BD_0000	592	3
BD1L9				GR	DC		Silex	Éclat cortical (fgt proximal)	C 1200	M.LT_BD_0000	578	4
BD4L1				LSB	O		Silex	Débris	C 1200	M.LT_BD_0000	606	6
BD4L1				LSBR	H		Silex	Éclat de façonnage	C 1200	M.LT_BD_0000	589	2
BD3L2				LSB	H		Silex	Éclat (fgt proximal)	C 1200	M.LT_BD_0000	601	2
BD3L2				LSB	H		Silex	Éclat	C 1200	M.LT_BD_0000	593	3
BD3L2				LSJ	H		Silex	Éclat cortical	C 1200	M.LT_BD_0000	580	3
BD3L2				LSB	O		Silex	Éclat cortical (fgt distal)	C 1200	M.LT_BD_0000	579	4
BD3L2				LSB	H		Silex	Débris	C 1200	M.LT_BD_0000	606	6
BD3L2				LSB	H		Silex	Gélifract	C 1200	M.LT_BD_0000	609	6
BD3L2				LSB	H		Silex	Biface	C 1200	M.LT_BD_1057		1
BD3L2				LSB	H		Silex	Éclat cortical	C 1200	M.LT_BD_0000	580	3
BD3L2				LSB	H		Silex	Éclat de façonnage	C 1200	M.LT_BD_0000	589	2
BD3L2				LSB	V		Silex	Biface	C 1200	M.LT_BD_1061		1
BD3L2				LSB	H		Silex	Éclat à dos cortical	C 1200	NON RETROUVE		
BD3L2				LSB	DC		Silex	Éclat à dos cortical	C 1200	M.LT_BD_0000	579	4
BD3L2				GBR	O		Silex	Éclat cortical (fgt distal)	C 1200	M.LT_BD_0000	579	4
BD3L2				GBR	O		Silex	Débris	C 1200	M.LT_BD_0000	607	6
BD3L2				LSB	H		Silex	Éclat cortical (fgt distal)	C 1200	M.LT_BD_0000	579	4
BD3L2				GBR	DC		Grès	Macro-outil	C 1200	M.LT_BD_1067		12
BD3L2				GBR	O		Silex	Éclat de façonnage	C 1200	M.LT_BD_0000	589	2
BD3L2				LSJp	H		Silex	Éclat cortical	C 1200	M.LT_BD_0000	580	3
BD3L2				GBR	DC		Silex	Éclat cortical	C 1200	M.LT_BD_0000	582	4
BD3L2				GBR	H		Silex	Éclat de façonnage	C 1200	M.LT_BD_0000	589	2
BD3L2				GR	O		Silex	Biface	C 1200	M.LT_BD_1072		1
BD3L2				GBR	O		Silex	Gélifract	C 1200	M.LT_BD_0000	608	5
BD3L2				LSB	H		Grès	Bloc brut	C 1200	NON CONSERVE		
BD2L3				LSB	H	inférieure	Silex	Éclat débordant	C 1200	M.LT_BD_0000	598	2
BD2L3				LSB	H	inférieure	Silex	Débris	C 1200	M.LT_BD_0000	606	6
BD3L2				GR	O		Silex	Éclat Kombewa	C 1200	M.LT_BD_0000	598	2
BD3L2				GB	O		Silex	Éclat cortical	C 1200	M.LT_BD_0000	582	4
BD3L2				LSJp	O		Silex	Éclat (fgt mésial)	C 1200	M.LT_BD_0000	587	3
BD2L3				LSJ	O		Silex	Éclat de façonnage	C 1200	M.LT_BD_0000	585	3
BD2L3				LSJ	O		Silex	Biface	C 1200	M.LT_BD_1081		1
BD3L2				GBR	O		Silex	Éclat (fgt mésial)	C 1200	M.LT_BD_0000	588	3
BD3L2				LSJp	V		Silex	Éclat (fgt proximal)	C 1200	M.LT_BD_0000	585	3
BD3L2				GR	H		Silex	Éclat Levallois	C 1200	M.LT_BD_0000	599	2
BD2L3				LSJ	V		Silex	Biface (fgt)	C 1200	M.LT_BD_1085		1
BD3L2				LSJp/SR	H		Silex	Racloir (fgt)	C 1200	M.LT_BD_0000	604	3
BD2L3				LSB	H	supérieure	Silex	Éclat cortical (fgt distal)	C 1200	M.LT_BD_0000	579	4
BD2L3				LSB	H		Silex	Éclat cortical (fgt proximal)	C 1200	M.LT_BD_0000	578	4
BD2L3				LSB	O	supérieure	Silex	Éclat cortical	C 1200	NON RETROUVE		
BD2L3				LSB	O	inférieure	Silex	Éclat cortical	C 1200	M.LT_BD_0000	582	4
BD3L2				GB	O		Silex	Éclat (fgt distal)	C 1200	M.LT_BD_0000	591	2
BD3L2				LSJp	O		Silex	Denticulé	C 1200	M.LT_BD_0000	604	3
BD3L2				GR/SR	O		Silex	Débris	C 1200	M.LT_BD_0000	606	6
BD2L3				LSB	H	supérieure	Silex	Éclat cortical	C 1200	M.LT_BD_0000	594	3
BD2L3				LSB			Silex	Éclat cortical (fgt distal)	C 1200	M.LT_BD_0000	579	4
BD2L3				LSB	H	supérieure	Silex	Éclat débordant	C 1200	M.LT_BD_0000	598	2
BD2L3				LSB	V		Silex	Éclat (fgt indéterminé)	C 1200	M.LT_BD_0000	595	4
BD2L3				LSB	H	supérieure	Silex	Gélifract	C 1200	M.LT_BD_0000	609	6
BD3L2				LSB	H		Silex	Éclat (fgt distal)	C 1200	M.LT_BD_0000	586	3
BD3L2				GBR	O		Silex	Éclat de coup de tranchet	C 1200	M.LT_BD_0000	585	3
BD3L2				GBR	O		Silex	Éclat de façonnage	C 1200	M.LT_BD_0000	589	2
BD3L2				GBR	O		Silex	Éclat (fgt distal)	C 1200	M.LT_BD_0000	591	2
BD2L3				LSJ	O	inférieure	Silex	Éclat (fgt proximal)	C 1200	M.LT_BD_0000	601	2
BD2L3					V		Silex	Eclat Levallois	C 1200	M.LT_BD_0000	602	2
BD2L3					H	inférieure	Silex	Éclat cortical (fgt distal)	C 1200	M.LT_BD_0000	579	4
BD3L2				LSJp	O		Silex	Éclat de façonnage	C 1200	M.LT_BD_0000	589	2
BD3L2				LSJp	O		Silex	Racloir simple	C 1200	M.LT_BD_0000	604	3
BD3L2				GBR	H		Silex	Éclat de façonnage	C 1200	M.LT_BD_0000	588	3
BD3L2				GBR	H		Silex	Éclat cortical (fgt distal)	C 1200	M.LT_BD_0000	579	4
BD3L2				LSJp	O		Silex	Biface (fgt)	C 1200	M.LT_BD_1110		1
BD2L3				LSR	H		Silex	Biface	C 1200	M.LT_BD_1111		1
BD2L3				LSR			Silex	Débris	C 1200	M.LT_BD_0000	607	6
BD3L2				GR	DC		Silex	Racloir (fgt)	C 1200	M.LT_BD_0000	604	3
BD2L3							Silex	Denticulé associé à un racloir simple	C 1200	M.LT_BD_1114		1
BD2L3							Silex	Gélifract	C 1200	M.LT_BD_0000	609	6
BD2L3				LSB	H	inférieure	Silex	Racloir sur face plane	C 1200	M.LT_BD_0000	604	3
BD2L3				LSB	H	supérieure	Silex	Éclat cortical (fgt distal)	C 1200	M.LT_BD_0000	580	3
BD2L3				LSB	H	inférieure	Silex	Éclat	C 1200	M.LT_BD_0000	594	3
BD2L3				LSB	H	inférieure	Silex	Éclat cortical	C 1200	M.LT_BD_0000	598	2
BD2L3				GR	H	inférieure	Silex	Éclat	C 1200	M.LT_BD_0000	594	3
BD2L3				LSR	V		Silex	Éclat	C 1200	M.LT_BD_0000	594	3
BD5L1				LSJ	DC		Silex	Racloir à retouche biface	C 1200	M.LT_BD_0000	604	3
BD5L1				LSJ	O		Silex	Débris	C 1200	M.LT_BD_0000	606	6

Zone Secteur	Carré	Sous-carré	N° de décapage	Unité Pédo-stratigraphique	Position	Repose sur face	Matériau	Descriptif détaillé	Parcelle	Code SRA	Réf. contenant POCHE	Réf. contenant CAISSE
BD5L1				LSB	H		Silex	Éclat cortical	C 1200	M.LT_BD_0000	582	4
BD2L3				GR	O	supérieure	Silex	Éclat cortical	C 1200	M.LT_BD_0000	585	3
BD2L3				GR			Silex	Éclat cortical	C 1200	M.LT_BD_0000	580	3
BD5L1				LSB	H		Silex	Éclat (fgt mésial)	C 1200	M.LT_BD_0000	587	3
BD2L3				GR	DC		Silex	Éclat à crête axiale	C 1200	M.LT_BD_0000	598	2
BD2L3				GR	H	inférieure	Silex	Éclat (fgt distal)	C 1200	M.LT_BD_0000	592	3
BD2L3				LSJ	O	inférieure	Silex	Éclat (fgt distal)	C 1200	M.LT_BD_0000	592	3
BD5L1				LSB			Silex	Débris	C 1200	M.LT_BD_0000	607	6
BD5L1				LSB	O		Silex	Éclat débordant	C 1200	M.LT_BD_0000	598	2
BD5L1				LSB	O		Silex	Éclat (fgt indéterminé)	C 1200	M.LT_BD_0000	595	4
BD2L3				GR	H	inférieure	Silex	Éclat cortical	C 1200	M.LT_BD_0000	580	3
BD2L3				GR	V		Silex	Éclat cortical (fgt distal)	C 1200	M.LT_BD_0000	579	4
BD5L1				LSB	O		Silex	Éclat cortical (fgt proximal)	C 1200	M.LT_BD_0000	578	4
BD2L3				GR	H	inférieure	Silex	Éclat cortical (fgt proximal)	C 1200	M.LT_BD_0000	580	3
BD2L3				GR	H		Silex	Éclat cortical (fgt distal)	C 1200	M.LT_BD_0000	579	4
BD2L3				GR	V		Silex	Racloir alterne	C 1200	M.LT_BD_1140		1
BD5L1				LSB	H		Silex	Éclat (fgt proximal)	C 1200	M.LT_BD_0000	601	2
BD5L1				LSB	O		Silex	Débris	C 1200	M.LT_BD_0000	606	6
BD5L1				LSB	O		Silex	Nucléus Levallois	C 1200	M.LT_BD_1143		1
BD5L1				LSB	O		Silex	Burin	C 1200	M.LT_BD_0000	604	3
BD5L1				LSB	O		Silex	Éclat cortical	C 1200	M.LT_BD_0000	581	4
BD2L3				GR	H		Silex	Biface	C 1200	M.LT_BD_1146		1
BD5L1				LSB	H		Silex	Biface	C 1200	M.LT_BD_1147		1
BD5L1				LSB	H		Silex	Éclat (fgt distal)	C 1200	M.LT_BD_0000	592	3
BD5L1				LSB	O		Silex	Éclat de façonnage	C 1200	M.LT_BD_0000	585	3
BD1L4				LSJ	H	inférieure	Silex	Racloir transversal	C 1200	M.LT_BD_0000	604	3
BD1L4				LSJ	O	inférieure	Silex	Éclat (fgt proximal)	C 1200	M.LT_BD_0000	600	2
BD1L5				LSJ	H		Silex	Racloir à retouche biface	C 1200	M.LT_BD_1152		1
BD2L4				LSB	O	supérieure	Silex	Racloir (fgt)	C 1200	M.LT_BD_0000	604	3
BD2L4				LSB	H	supérieure	Silex	Éclat (fgt indéterminé)	C 1200	M.LT_BD_0000	595	4
BD4L2				LSB	O		Silex	Racloir déjeté	C 1200	M.LT_BD_1155		1
BD2L4				LSB	H	supérieure	Silex	Éclat cortical	C 1200	M.LT_BD_0000	603	4
BD4L2				GR	O		Silex	Éclat cortical	C 1200	M.LT_BD_0000	581	4
BD4L2				LSB	O		Silex	Éclat cortical	C 1200	M.LT_BD_0000	582	4
BD2L4				LSB			Silex	Gélifract	C 1200	M.LT_BD_0000	608	5
BD2L4				LSR	H	supérieure	Silex	Éclat cortical	C 1200	M.LT_BD_0000	582	4
BD2L4				LSB			Silex	Gélifract	C 1200	M.LT_BD_0000	609	6
BD4L2				GBR			Silex	Bloc testé (fgt)	C 1200	M.LT_BD_0000	656	15
BD4L2				GBR	O		Silex	Éclat	C 1200	M.LT_BD_0000	598	2
BD4L2				GBR	O		Silex	Débris	C 1200	M.LT_BD_0000	606	6
BD4L2				LSB			Silex	Éclat cortical	C 1200	M.LT_BD_0000	581	4
BD2L4				GR	H	inférieure	Silex	Éclat de façonnage (fgt proximal)	C 1200	M.LT_BD_0000	597	2
BD2L4				GR	H	inférieure	Silex	Éclat (fgt distal)	C 1200	M.LT_BD_0000	591	2
BD2L4				GR			Silex	Éclat de façonnage cortical (fgt proximal)	C 1200	M.LT_BD_0000	578	4
BD2L4				GR	H	inférieure	Silex	Éclat Kombewa	C 1200	M.LT_BD_0000	598	2
BD2L4				GR	H	supérieure	Silex	Éclat cortical	C 1200	M.LT_BD_0000	581	4
BD2L4				GR	H	supérieure	Silex	Éclat (fgt longitudinal)	C 1200	M.LT_BD_0000	587	3
BD2L4				GR	H	inférieure	Silex	Éclat de façonnage	C 1200	M.LT_BD_0000	585	3
BD2L4				GR	H	supérieure	Silex	Éclat de façonnage	C 1200	M.LT_BD_0000	583	3
BD2L4				GR	O		Silex	Éclat (fgt proximal)	C 1200	M.LT_BD_0000	601	2
BD2L4				GR	V		Silex	Nucléus de gestion de surface non Levallois	C 1200	M.LT_BD_1176		1
BD2L4				GR	V		Silex	Débris	C 1200	M.LT_BD_0000	607	6
BD6L1				LSB	H		Silex	Éclat (fgt indéterminé)	C 1200	M.LT_BD_0000	595	4
BD6L1				LSB	H		Grès quartzite	Bloc testé	C 1200	M.LT_BD_1180		15
BD6L1				LSB	O		Silex	Éclat de façonnage	C 1200	M.LT_BD_0000	584	3
BD6L1				LSB	O		Silex	Éclat	C 1200	M.LT_BD_0000	593	3
BD6L1				LSB	O		Silex	Éclat (fgt distal)	C 1200	M.LT_BD_0000	592	3
BD6L1				LSB	H		Grès quartzite	Bloc testé	C 1200	M.LT_BD_1184		16
BD6L1				GR	O		Silex	Éclat cortical (fgt proximal)	C 1200	M.LT_BD_0000	578	4
BD6L1				GR	O		Silex	Éclat (fgt longitudinal)	C 1200	M.LT_BD_0000	587	3
BD6L1				GR	O		Silex	Racloir à retouche biface	C 1200	M.LT_BD_0000	604	3
BD1L6				LSB	H	inférieure	Silex	Éclat (fgt proximal)	C 1200	M.LT_BD_0000	601	2
BD1L6				LSB	H		Silex	Racloir (fgt)	C 1200	M.LT_BD_0000	604	3
BD1L5				LSB	DC		Silex	Éclat de façonnage	C 1200	M.LT_BD_0000	583	3
BD1L5				LSB	H		Silex	Gélifract	C 1200	M.LT_BD_0000	608	5
BD1L5 nord				LSB	H		Silex	Éclat cortical (fgt mésial)	C 1200	M.LT_BD_0000	578	4
BD1L5 nord				LSB	V		Silex	Racloir à retouche biface	C 1200	M.LT_BD_1193		1
BD7L1				LSB			Silex	Éclat	C 1200	M.LT_BD_0000	593	3
BD1L5 nord				LSB			Silex	Débris	C 1200	M.LT_BD_0000	606	6
BD1L5 nord				LSB	H		Silex	Gélifract	C 1200	M.LT_BD_0000	608	5
BD1L5 nord				LSB	V		Silex	Gélifract	C 1200	M.LT_BD_0000	608	5
BD1L5 nord				LSB	H		Silex	Éclat Kombewa	C 1200	M.LT_BD_0000	598	2
BD7L1				LSBR	O		Silex	Éclat Levallois	C 1200	M.LT_BD_0000	601	2
BD7L1				LSB	O		Silex	Éclat cortical (fgt mésial)	C 1200	M.LT_BD_0000	587	3
BD7L1				LSB	O		Silex	Uniface	C 1200	M.LT_BD_1202		1
BD7L1				LSB	O		Silex	Éclat de façonnage (fgt proximal)	C 1200	M.LT_BD_0000	597	2
BD7L1				LSB	O		Silex	Éclat de façonnage (fgt proximal)	C 1200	M.LT_BD_0000	597	2
BD7L1				LSB	O		Silex	Éclat cortical	C 1200	M.LT_BD_0000	582	4
BD7L1				LSB	O		Silex	Éclat cortical (fgt indéterminé)	C 1200	M.LT_BD_0000	580	3
BD2L4				GR	H	inférieure	Silex	Éclat (fgt mésial)	C 1200	M.LT_BD_0000	587	3
BD2L4				GR			Silex	Racloir à retouche biface	C 1200	M.LT_BD_0000	604	3
BD2L4				GR	H	inférieure	Silex	Éclat (fgt longitudinal)	C 1200	M.LT_BD_0000	586	3
BD2L4				GR	H	supérieure	Silex	Éclat cortical (fgt distal)	C 1200	M.LT_BD_0000	579	4
BD2L4				GR	H	supérieure	Silex	Éclat de façonnage	C 1200	M.LT_BD_0000	583	3
BD7L1				GB	H		Silex	Éclat de façonnage	C 1200	M.LT_BD_0000	589	2
BD7L1				GB	O		Silex	Biface	C 1200	M.LT_BD_1213		1
BD2L4				GR	V		Silex	Éclat à dos cortical	C 1200	M.LT_BD_0000	579	4
BD2L4				GR	H	supérieure	Silex	Éclat (fgt distal)	C 1200	M.LT_BD_0000	591	2
BD2L4				GR	H		Silex	Éclat	C 1200	M.LT_BD_0000	585	3
BD7L1				LSR	O		Silex	Débris	C 1200	M.LT_BD_0000	606	6
BD7L1				GR	O		Silex	Éclat débordant	C 1200	M.LT_BD_0000	598	2
BD7L1				GR	DC		Silex	Éclat de façonnage	C 1200	M.LT_BD_0000	585	3
BD7L1				GR	O		Silex	Éclat cortical	C 1200	M.LT_BD_0000	581	4
BD2L4				GR	H		Silex	Éclat cortical (fgt distal)	C 1200	M.LT_BD_0000	579	4
BD2L4				GR			Silex	Éclat de façonnage cortical (fgt proximal)	C 1200	M.LT_BD_0000	578	4
BD2L4				SR	H	supérieure	Silex	Éclat cortical	C 1200	M.LT_BD_0000	581	4
BD3L3				LSJ	O		Silex	Éclat	C 1200	M.LT_BD_0000	594	3
BD3L3				LSJ	O		Silex	Débris	C 1200	M.LT_BD_0000	603	4
BD3L3				LSJ	O		Silex	Éclat (fgt proximal)	C 1200	M.LT_BD_0000	600	2
BD3L3				LSB	O		Silex	Éclat de façonnage cortical (fgt proximal)	C 1200	M.LT_BD_0000	578	4
BD3L3				LSB	O		Silex	Éclat de façonnage (fgt proximal)	C 1200	M.LT_BD_0000	584	3
BD3L3				LSB	O		Silex	Éclat cortical (fgt proximal)	C 1200	M.LT_BD_0000	578	4
BD1L5 nord				LSR	V		Silex	Éclat	C 1200	M.LT_BD_0000	594	3
BD1L5 nord				LSR	H		Silex	Éclat de façonnage	C 1200	M.LT_BD_0000	588	3
BD1L5 nord				LSR	H		Silex	Éclat cortical (fgt indéterminé)	C 1200	M.LT_BD_0000	580	3
BD3L3				LSB	O		Silex	Racloir à retouche biface	C 1200	M.LT_BD_1233		1
BD1L5 nord				GR	V		Silex	Éclat cortical (fgt longitudinal)	C 1200	M.LT_BD_0000	578	4
BD1L5 nord				GR	H	inférieure	Silex	Éclat cortical	C 1200	M.LT_BD_0000	580	3
BD1L5 nord				LSR	H		Silex	Éclat cortical	C 1200	M.LT_BD_0000	578	4
BD3L3				SR	O		Silex	Éclat de façonnage	C 1200	M.LT_BD_0000	590	2
BD3L3				LSB	O		Silex	Éclat cortical	C 1200	M.LT_BD_0000	581	4
BD3L3				LSB	O		Silex	Débris	C 1200	M.LT_BD_0000	606	6
BD3L3				LSB			Silex	Débris	C 1200	M.LT_BD_0000	607	6
BD1L5 nord				GR	V		Silex	Éclat de façonnage	C 1200	M.LT_BD_0000	583	3
BD1L5 nord				GR	H	inférieure	Silex	Éclat Levallois	C 1200	M.LT_BD_0000	599	2
BD3L3				GBR	O		Silex	Éclat cortical	C 1200	M.LT_BD_0000	585	3
BD3L3				LSB	DC		Silex	Éclat cortical (fgt distal)	C 1200	M.LT_BD_0000	579	4
BD3L3				LSB	O		Silex	Débris	C 1200	M.LT_BD_0000	607	6
BD3L3				LSB	O		Silex	Débris	C 1200	M.LT_BD_0000	607	6
BD3L3				SR	O		Silex	Éclat de façonnage cortical	C 1200	M.LT_BD_0000	580	3
BD3L3				SR	O		Silex	Éclat de façonnage	C 1200	M.LT_BD_0000	593	3
BD1L5				GR			Silex	Débris	C 1200	M.LT_BD_0000	606	6
BD1L5				GR	O		Silex	Éclat de façonnage	C 1200	M.LT_BD_0000	583	3
BD1L5				GR	V		Silex	Éclat cortical (fgt proximal)	C 1200	M.LT_BD_0000	578	4
BD3L3				LSJp	O		Silex	Éclat cortical (fgt proximal)	C 1200	M.LT_BD_0000	578	4
BD3L3				SR	DC		Silex	Éclat cortical	C 1200	M.LT_BD_0000	581	4

Zone Secteur	Carré	Sous-carré	N° de décapage	Unité Pédo-stratigraphique	Position	Repose sur face	Matériau	Descriptif détaillé	Parcelle	Code SRA	Réf. contenant POCHE	Réf. contenant CAISSE
BD3L3				LBp	DC		Silex	Débris	C 1200	M.LT_BD_0000	607	6
BD3L3				LSJp/SR	O		Silex	Éclat de façonnage (fgt proximal)	C 1200	M.LT_BD_0000	597	2
BD3L3				LBp/SR	O		Silex	Éclat cortical (fgt mésial)	C 1200	M.LT_BD_0000	578	4
BD4L3				LSB	O		Silex	Éclat de façonnage	C 1200	M.LT_BD_0000	584	3
BD4L3				LSB	O		Silex	Éclat de façonnage	C 1200	M.LT_BD_0000	583	3
BD4L3				LSB	O		Silex	Cupule de gel	C 1200	NON CONSERVE		
BD2L5				LSJ	H		Silex	Biface	C 1200	M.LT_BD_1263		1
BD2L5				LSJ	DC		Silex	Éclat cortical (fgt proximal)	C 1200	M.LT_BD_0000	578	4
BD4L3				GR	O		Silex	Éclat de façonnage	C 1200	M.LT_BD_0000	589	2
BD4L3				GR	O		Silex	Débris	C 1200	M.LT_BD_0000	606	6
BD4L3				GR	O		Silex	Éclat de façonnage	C 1200	M.LT_BD_0000	583	3
BD4L3				GR	O		Silex	Éclat (fgt longitudinal)	C 1200	M.LT_BD_0000	586	3
BD4L3				GBR	O		Silex	Éclat cortical	C 1200	M.LT_BD_0000	581	4
BD2L5				LSB	H	supérieure	Silex	Éclat de façonnage	C 1200	M.LT_BD_0000	583	3
BD1L5				LSB	V		Silex	Nucléus de gestion de surface non Levallois	C 1200	M.LT_BD_0000	605	5
BD4L3				LSR	DC		Silex	Éclat cortical	C 1200	M.LT_BD_0000	585	3
BD4L3				LSR	O		Silex	Éclat de façonnage cortical (fgt distal)	C 1200	M.LT_BD_0000	579	4
BD1L6				LSB	H		Silex	Éclat à dos cortical	C 1200	M.LT_BD_0000	579	4
BD4L3				SR	O		Silex	Éclat cortical	C 1200	M.LT_BD_0000	582	4
BD4L3				GR/SR	O		Silex	Éclat de façonnage cortical	C 1200	M.LT_BD_0000	580	3
BD4L3				SR	O		Silex	Éclat de façonnage	C 1200	M.LT_BD_0000	590	2
BD4L3				SR	O		Silex	Éclat de façonnage	C 1200	M.LT_BD_0000	590	2
BD2L5				LSB			Céramique	Tesson	C 1200	M.CP_BD_1280		6
BD2L5					H		Silex	Uniface	C 1200	M.LT_BD_1281		1
BD1L6				GR	H		Silex	Éclat de façonnage	C 1200	M.LT_BD_0000	585	3
BD1L6				GR	H		Silex	Éclat cortical	C 1200	M.LT_BD_0000	580	3
BD2L5				GR	H	supérieure	Silex	Éclat	C 1200	M.LT_BD_0000	594	3
BD2L5				GR	H	supérieure	Silex	Éclat cortical (fgt distal)	C 1200	M.LT_BD_0000	579	4
BD2L5				GR	H	inférieure	Silex	Éclat de façonnage	C 1200	M.LT_BD_0000	583	3
BD2L5				GR	H	inférieure	Silex	Éclat de façonnage	C 1200	M.LT_BD_0000	583	3
BD2L5				GR	H	supérieure	Silex	Éclat	C 1200	M.LT_BD_0000	593	3
BD2L5				GR	H		Silex	Éclat (fgt indéterminé)	C 1200	M.LT_BD_0000	596	2
BD5L2/3				LSJ	H		Silex	Éclat (fgt distal)	C 1200	M.LT_BD_0000	592	3
BD1L6				GR			Silex	Gélifract	C 1200	M.LT_BD_0000	609	6
BD1L6				GR	O	supérieure	Silex	Éclat (fgt longitudinal)	C 1200	M.LT_BD_0000	587	3
BD1L6				GR	O	inférieure	Silex	Éclat	C 1200	M.LT_BD_0000	594	3
BD1L6				GR	H	supérieure	Silex	Racloir à retouche biface	C 1200	M.LT_BD_1294		1
BD2L5				GR	H	supérieure	Silex	Éclat (fgt distal)	C 1200	M.LT_BD_0000	591	2
BD2L5				SR	H	supérieure	Silex	Éclat (fgt indéterminé)	C 1200	M.LT_BD_0000	596	2
BD5L2/3				LSB	O		Silex	Éclat cortical	C 1200	M.LT_BD_0000	582	4
BD5L2/3				LSB	O		Silex	Éclat cortical (fgt distal)	C 1200	M.LT_BD_0000	585	3
BD5L2/3				LSB	H		Silex	Éclat cortical	C 1200	M.LT_BD_0000	580	3
BD5L2/3				LSB	H		Silex	Éclat de façonnage	C 1200	M.LT_BD_0000	583	3
BD1L6				GR	V		Silex	Éclat de façonnage (fgt proximal)	C 1200	M.LT_BD_0000	596	2
BD1L6				GR	H	inférieure	Silex	Éclat de façonnage (fgt proximal)	C 1200	M.LT_BD_0000	597	2
BD1L6				GR	H	supérieure	Silex	Éclat de façonnage (fgt proximal)	C 1200	M.LT_BD_0000	596	2
BD5L2/3				LSB	O		Silex	Nucléus semi-tournant	C 1200	M.LT_BD_0000	605	5
BD1L7				GR	H	inférieure	Silex	Éclat (fgt mésial)	C 1200	M.LT_BD_0000	587	3
BD1L7				GR	H	inférieure	Silex	Éclat (fgt mésial)	C 1200	M.LT_BD_0000	588	3
BD1L6				GR	H	supérieure	Silex	Cupule de gel	C 1200	M.LT_BD_0000	609	6
BD2L6				LSJ	O		Silex	Éclat	C 1200	M.LT_BD_0000	593	3
BD5L2/3				LBp	O		Silex	Éclat cortical (fgt distal)	C 1200	M.LT_BD_0000	579	4
BD2L6				LSJ	H	inférieure	Silex	Éclat cortical	C 1200	M.LT_BD_0000	582	4
BD2L6				LSJ	V		Silex	Biface	C 1200	M.LT_BD_1312		1
BD2L6				LSJ	H		Silex	Gélifract	C 1200	M.LT_BD_0000	609	6
BD2L6				LSJ	DC		Silex	Éclat (fgt proximal)	C 1200	M.LT_BD_0000	600	2
BD2L6				LSB	V		Silex	Gélifract	C 1200	M.LT_BD_0000	608	5
BD2L6				LSB	V		Silex	Racloir alterne	C 1200	M.LT_BD_1316		1
BD2L6				LSB			Silex	Éclat cortical	C 1200	M.LT_BD_0000	580	3
BD2L6				LSB	H		Silex	Biface	C 1200	M.LT_BD_1318		1
BD2L6				LSB	H		Silex	Éclat de façonnage (fgt proximal)	C 1200	M.LT_BD_0000	597	2
BD2L6				LSB	H		Silex	Uniface	C 1200	M.LT_BD_1320		1
BD2L6				LSB	DC		Silex	Éclat cortical	C 1200	M.LT_BD_0000	581	4
BD2L6				LSR	H	supérieure	Silex	Éclat (fgt indéterminé)	C 1200	M.LT_BD_0000	596	2
BD2L6				LSR	H	supérieure	Silex	Éclat	C 1200	NON RETROUVE		
BD6L2/3				LSB	O		Grès	Macro-outil	C 1200	M.LT_BD_1325		14
BD6L2/3				LSB	O		Silex	Bloc testé	C 1200	M.LT_BD_0000	656	15
BD2L6				LSJ	H		Silex	Éclat de façonnage (fgt proximal)	C 1200	M.LT_BD_0000	596	2
BD2L6				GR	H	supérieure	Silex	Éclat	C 1200	M.LT_BD_0000	593	3
BD2L6				GR	O	inférieure	Silex	Éclat de façonnage	C 1200	M.LT_BD_0000	584	3
BD6L2/3				LSB	H		Silex	Éclat cortical (fgt distal)	C 1200	M.LT_BD_0000	579	4
BD6L2/3					O		Silex	Éclat Levallois	C 1200	M.LT_BD_0000	602	2
BD2L6				GR	H	supérieure	Silex	Éclat cortical	C 1200	M.LT_BD_0000	580	3
BD2L6				GR	H	supérieure	Silex	Esquille	C 1200	M.LT_BD_0000	584	3
BD2L6				LSJ	H		Silex	Biface	C 1200	M.LT_BD_1334		1
BD2L6				LSJ			Silex	Débris	C 1200	M.LT_BD_0000	607	6
BD6L2/3				LSBR	O		Silex	Éclat de façonnage (fgt proximal)	C 1200	M.LT_BD_0000	597	2
BD2L6				GR	H	supérieure	Silex	Éclat de façonnage (fgt proximal)	C 1200	M.LT_BD_0000	597	2
BD6L2/3				LSB	O		Silex	Éclat de façonnage	C 1200	M.LT_BD_0000	589	2
BD6L2/3				LSB	O		Silex	Éclat (fgt distal)	C 1200	M.LT_BD_0000	586	3
BD6L2/3				LSB	O		Silex	Bloc brut (fgt)	C 1200	M.LT_BD_0000	656	15
BD6L2/3				LSB	O		Grès Quartzite	Bloc brut	C 1200	NON CONSERVE		
BD6L2/3				LSB	O		Grès quartzite	Plaquette brute	C 1200	M.LT_BD_1343		13
BD6L2/3				LSB	O		Grès	Bloc brut	C 1200	NON CONSERVE		
BD6L2/3				LSB	O		Grès	Macro-outil	C 1200	M.LT_BD_1345		12
BD6L2/3				LSB	O		Silex	Bloc brut	C 1200	NON CONSERVE		
BD2L6				GR	H	supérieure	Silex	Éclat (fgt mésial)	C 1200	M.LT_BD_0000	588	3
BD2L6				GR	H	inférieure	Silex	Éclat de façonnage (fgt proximal)	C 1200	M.LT_BD_0000	597	2
BD2L6				GR	H	inférieure	Silex	Éclat de façonnage (fgt distal)	C 1200	M.LT_BD_0000	584	3
BD2L6				GR	H	supérieure	Silex	Éclat de façonnage (fgt proximal)	C 1200	M.LT_BD_0000	584	3
BD2L6				GR	H	supérieure	Silex	Éclat de façonnage (fgt proximal)	C 1200	M.LT_BD_0000	597	2
BD2L6				GR	H		Silex	Éclat de façonnage	C 1200	M.LT_BD_0000	584	3
BD2L6				GR	V		Silex	Éclat de façonnage (fgt distal)	C 1200	M.LT_BD_0000	585	3
BD2L6				GR	H	inférieure	Silex	Esquille	C 1200	M.LT_BD_0000	586	3
BD2L6				GR	H	supérieure	Silex	Éclat	C 1200	M.LT_BD_0000	594	3
BD6L2/3				LSBR	O		Silex	Éclat de façonnage (fgt proximal)	C 1200	M.LT_BD_0000	594	3
BD7L2/3				LSB	O		Silex	Nucléus de gestion de surface non Levallois	C 1200	M.LT_BD_0000	605	5
BD7L2/3				LSB	O		Silex	Éclat	C 1200	M.LT_BD_0000	598	2
BD2L6				GR	H	inférieure	Silex	Éclat de façonnage (fgt proximal)	C 1200	M.LT_BD_0000	596	2
BD2L6				GR	H	supérieure	Silex	Éclat de façonnage	C 1200	M.LT_BD_0000	584	3
BD2L6				GR	V		Silex	Éclat (fgt indéterminé)	C 1200	M.LT_BD_0000	595	4
BD2L6				GR	H	inférieure	Silex	Éclat de façonnage	C 1200	M.LT_BD_0000	583	3
BD2L6				GR			Silex	Éclat cortical (fgt proximal)	C 1200	M.LT_BD_0000	578	4
BD2L6				GR	H	supérieure	Silex	Racloir simple	C 1200	M.LT_BD_0000	604	3
BD2L6				GR	H	inférieure	Silex	Éclat	C 1200	M.LT_BD_0000	594	3
BD2L6				GR	H	inférieure	Silex	Éclat de façonnage	C 1200	M.LT_BD_0000	584	3
BD2L6				GR	H		Silex	Éclat de façonnage	C 1200	M.LT_BD_0000	583	3
BD7L2/3				LSB	O		Silex	Éclat	C 1200	M.LT_BD_0000	594	3
BD7L2/3				LSB	O		Silex	Éclat cortical	C 1200	M.LT_BD_0000	582	4
BD7L2/3				GB	O		Silex	Débris	C 1200	M.LT_BD_0000	606	6
BD7L2/3				GB	DC		Silex	Biface (fgt)	C 1200	M.LT_BD_1371		1
BD7L2/3				GB	O		Silex	Éclat	C 1200	M.LT_BD_0000	594	3
BD7L2/3				GB	O		Silex	Gélifract	C 1200	M.LT_BD_0000	608	5
BD7L2/3				LSB	O		Silex	Éclat de façonnage	C 1200	M.LT_BD_0000	585	3
BD7L2/3				LSB	O		Silex	Éclat (fgt proximal)	C 1200	M.LT_BD_0000	601	2
BD7L2/3				LSB	O		Silex	Éclat (fgt indéterminé)	C 1200	M.LT_BD_0000	595	4
BD7L2/3				LSB	DC		Grès	Bloc brut	C 1200	NON CONSERVE		
BD7L2/3				LSB	O		Silex	Biface (fgt)	C 1200	M.LT_BD_1379		1
BD7L2/3				LSB	O		Silex	Éclat de façonnage	C 1200	M.LT_BD_0000	589	2
BD7L2/3				LSB	O		Silex	Bloc brut (fgt)	C 1200	M.LT_BD_0001	656	15
BD7L2/3				LSB	O		Silex	Éclat cortical	C 1200	M.LT_BD_0000	581	4
BD7L2/3				LSB	O		Silex	Cupule de gel	C 1200	M.LT_BD_0000	609	6
BD7L2/3				LSB	O		Silex	Débris	C 1200	M.LT_BD_0000	607	6
BD7L2/3				LSB	O		Silex	Éclat de façonnage	C 1200	M.LT_BD_0000	585	3
BD7L2/3				LSB	O		Silex	Débris	C 1200	M.LT_BD_0000	606	6
BD7L2/3				LSB	O		Silex	Éclat cortical	C 1200	M.LT_BD_0000	580	3
BD7L2/3				GB	O		Silex	Éclat (fgt mésial)	C 1200	M.LT_BD_0000	587	3

Zone Secteur	Carré	Sous-carré	N° de décapage	Unité Pédo-stratigraphique	Position	Repose sur face	Matériau	Descriptif détaillé	Parcelle	Code SRA	Réf. contenant POCHE	Réf. contenant CAISSE
BD7L2/3				GB	O		Silex	Éclat de façonnage	C 1200	M.LT_BD_0000	590	2
BD7L2/3				GB	O		Silex	Racloir transversal	C 1200	M.LT_BD_1390		1
BD7L2/3				GBR	O		Silex	Éclat cortical	C 1200	M.LT_BD_0000	581	4
BD7L2/3				LSB	O		Silex	Éclat (fgt distal)	C 1200	M.LT_BD_0000	592	3
BD7L2/3				LSB	O		Silex	Éclat	C 1200	M.LT_BD_0000	592	3
BD7L2/3				LSB	O		Silex	Éclat (fgt distal)	C 1200	M.LT_BD_0000	592	3
BD7L2/3				LSB	O		Silex	Éclat cortical (fgt proximal)	C 1200	M.LT_BD_0000	578	4
BD7L2/3				LSB	O		Silex	Éclat (fgt distal)	C 1200	M.LT_BD_0000	592	3
BD7L2/3				LSB	DC		Silex	Gélifract	C 1200	M.LT_BD_0000	609	6
BD7L2/3				GBR	H		Silex	Racloir sur face plane	C 1200	M.LT_BD_1398		1
BD7L2/3				GBR	H		Silex	Éclat (fgt distal)	C 1200	M.LT_BD_0000	586	3
BD7L2/3				LSB	O		Silex	Éclat cortical	C 1200	M.LT_BD_0000	580	3
BD7L2/3				GBR	H		Silex	Éclat de coup de tranchet	C 1200	M.LT_BD_0000	598	2
BD7L2/3				GBR	O		Silex	Éclat de façonnage cortical	C 1200	M.LT_BD_0000	580	3
BD7L2/3				LSB	O		Silex	Éclat retouché (fgt indéterminé)	C 1200	M.LT_BD_0000	604	3
BD7L2/3				LSB	O		Silex	Éclat (fgt indéterminé)	C 1200	M.LT_BD_0000	595	4
BD7L2/3				GB	O		Silex	Nucléus multifacial	C 1200	M.LT_BD_0000	605	5
BD7L2/3				GB	O		Silex	Éclat de façonnage	C 1200	M.LT_BD_0000	583	3
BD7L2/3				SR	O		Silex	Éclat de façonnage cortical	C 1200	M.LT_BD_0000	585	3
BD7L2/3				GBR	O		Silex	Éclat de façonnage	C 1200	M.LT_BD_0000	589	2
BD7L2/3				GBR	O		Silex	Éclat cortical	C 1200	M.LT_BD_0000	580	3
BD7L2/3				GBR	O		Silex	Éclat de façonnage	C 1200	M.LT_BD_0000	588	3
BD2L6				GR	H	inférieure	Silex	Éclat de façonnage (fgt proximal)	C 1200	M.LT_BD_0000	597	2
BD2L6				GR	H	supérieure	Silex	Éclat cortical	C 1200	M.LT_BD_0000	580	3
BD2L6				GR	O	supérieure	Silex	Éclat	C 1200	M.LT_BD_0000	593	3
BD2L6				GR	O	inférieure	Silex	Éclat (fgt distal)	C 1200	M.LT_BD_0000	586	3
BD2L6				GR	H	supérieure	Silex	Denticulé associé à un racloir transversal	C 1200	M.LT_BD_0000	604	3
BD2L6				GR	O		Silex	Éclat (fgt distal)	C 1200	M.LT_BD_0000	592	3
BD7L2/3				LSB	O		Silex	Gélifract	C 1200	M.LT_BD_0000	608	5
BD7L2/3				GR	DC		Silex	Éclat cortical	C 1200	M.LT_BD_0000	581	4
BD7L2/3				GR	O		Silex	Éclat (fgt longitudinal)	C 1200	M.LT_BD_0000	587	3
BD7L2/3				GR	O		Silex	Éclat (fgt indéterminé)	C 1200	M.LT_BD_0000	595	4
BD2L6				GR	DC		Silex	Éclat cortical (fgt distal)	C 1200	M.LT_BD_0000	579	4
BD2L6				GR			Silex	Éclat (fgt mésial)	C 1200	M.LT_BD_0000	587	3
BD2L6				GR	H		Silex	Biface	C 1200	M.LT_BD_1423		1
BD2L6				GR	H	supérieure	Silex	Éclat de façonnage	C 1200	M.LT_BD_0000	584	3
BD2L6				GR	H	supérieure	Silex	Éclat de façonnage	C 1200	M.LT_BD_0000	583	3
BD7L2/3				GR	O		Silex	Nucléus de gestion de surface non Levallois	C 1200	M.LT_BD_1426		1
BD7L2/3				GR	O		Silex	Éclat de façonnage (fgt proximal)	C 1200	M.LT_BD_0000	597	2
BD2L6				GR	H	supérieure	Silex	Éclat cortical (fgt proximal)	C 1200	M.LT_BD_0000	578	4
BD2L6				GR	H	inférieure	Silex	Éclat (fgt distal)	C 1200	M.LT_BD_0000	592	3
BD2L6				GR	H	inférieure	Silex	Éclat de façonnage	C 1200	M.LT_BD_1430		1
BD2L6				GR	H	supérieure	Silex	Éclat (fgt mésial)	C 1200	M.LT_BD_0000	587	3
BD7L2/3				GR	O		Silex	Éclat (fgt distal)	C 1200	M.LT_BD_0000	591	2
BD7L2/3				GR	O		Silex	Éclat (fgt longitudinal)	C 1200	M.LT_BD_0000	586	3
BD7L2/3				GR	O		Silex	Éclat (fgt distal)	C 1200	M.LT_BD_0000	586	3
BD7L2/3				GR	O		Silex	Éclat (fgt distal)	C 1200	M.LT_BD_0000	592	3
BD7L2/3				GR	O		Silex	Biface (ébauche)	C 1200	M.LT_BD_1436		1
BD7L2/3				GR	O		Silex	Éclat cortical (fgt proximal)	C 1200	M.LT_BD_0000	578	4
BD7L2/3				GR	O		Silex	Éclat cortical	C 1200	M.LT_BD_0000	581	4
BD7L2/3				GR	DC		Silex	Débris	C 1200	M.LT_BD_0000	607	6
BD7L2/3				GR	O		Silex	Éclat de façonnage	C 1200	M.LT_BD_0000	589	2
BD7L2/3				GR	O		Silex	Éclat de façonnage	C 1200	M.LT_BD_0000	583	3
BD7L2/3				SR			Silex	Éclat de façonnage	C 1200	M.LT_BD_0000	583	3
BD7L2/3				GR	O		Silex	Éclat cortical (fgt distal)	C 1200	NON RETROUVE		
BD7L2/3				GR	O		Silex	Éclat de façonnage	C 1200	M.LT_BD_0000	589	2
BD7L2/3				GR	O		Silex	Éclat (fgt distal)	C 1200	M.LT_BD_0000	591	2
BD7L2/3					DC		Silex	Éclat de façonnage cortical	C 1200	M.LT_BD_0000	580	3
BD7L2/3				SR	O		Silex	Éclat (fgt distal)	C 1200	M.LT_BD_0000	591	2
BD7L2/3				SR	O		Silex	Éclat de façonnage	C 1200	M.LT_BD_0000	589	2
BD2L7				LSJ	H		Silex	Biface	C 1200	M.LT_BD_1450		1
BD2L7				LSJ	DC		Silex	Éclat	C 1200	M.LT_BD_0000	593	3
BD2L7				LSJ	H		Silex	Gélifract	C 1200	M.LT_BD_0000	609	6
BD7L2/3				GR	O		Silex	Éclat de façonnage	C 1200	M.LT_BD_0000	590	2
BD7L2/3				GR	O		Silex	Éclat de façonnage	C 1200	M.LT_BD_0000	588	3
BD7L2/3				GR	O		Silex	Éclat (fgt indéterminé)	C 1200	M.LT_BD_0000	596	2
BD2L7				LSR	H	inférieure	Silex	Éclat de façonnage	C 1200	M.LT_BD_0000	588	3
BD2L7				LSJ	DC		Silex	Éclat cortical (fgt distal)	C 1200	M.LT_BD_0000	579	4
BD2L7				LSJ			Roche indéterminée	Galet brut	C 1200	M.LT_BD_1458		14
BD2L7				LSJ	H		Silex	Éclat cortical (fgt proximal)	C 1200	M.LT_BD_0000	578	4
BD2L7				LSJ	DC		Silex	Débris	C 1200	M.LT_BD_0000	607	6
BD7L2/3				GR	O		Silex	Éclat (fgt distal)	C 1200	M.LT_BD_0000	592	3
BD7L2/3				GR	O		Silex	Éclat (fgt mésial)	C 1200	M.LT_BD_0000	587	3
BD7L2/3				GR	O		Silex	Éclat de façonnage	C 1200	M.LT_BD_0000	588	3
BD7L2/3				GR	O		Silex	Éclat de façonnage (fgt proximal)	C 1200	M.LT_BD_0000	597	2
BD7L2/3				GR	O		Silex	Éclat de façonnage	C 1200	M.LT_BD_0000	590	2
BD7L2/3				GR	O		Silex	Éclat (fgt longitudinal)	C 1200	M.LT_BD_0000	586	3
BD2L7				LSR			Silex	Débris	C 1200	M.LT_BD_0000	606	6
BD2L7				LSR	H	inférieure	Silex	Éclat de façonnage Kombewa	C 1200	M.LT_BD_0000	598	2
BD7L2/3				GR/SR	O		Silex	Biface	C 1200	M.LT_BD_1469		1
BD7L2/3				GR/SR	O		Silex	Éclat de façonnage	C 1200	M.LT_BD_0000	590	2
BD7L2/3				GR/SR	O		Silex	Éclat de façonnage cortical	C 1200	M.LT_BD_0000	585	3
BD2L7				GR	H	supérieure	Silex	Éclat de façonnage (fgt proximal)	C 1200	M.LT_BD_0000	596	2
BD2L7				GR	H	supérieure	Silex	Éclat (fgt distal)	C 1200	M.LT_BD_0000	591	2
BD7L2/3				GR/SR	O		Silex	Éclat	C 1200	M.LT_BD_0000	593	3
BD7L2/3				GR/SR	O		Silex	Éclat de façonnage	C 1200	M.LT_BD_0000	585	3
BD2L7				GR	H	inférieure	Silex	Éclat Kombewa	C 1200	M.LT_BD_0000	598	2
BD2L7				GR	H	inférieure	Silex	Éclat cortical (fgt distal)	C 1200	M.LT_BD_0000	579	4
BD2L7				GR	H	supérieure	Silex	Éclat de façonnage cortical (fgt proximal)	C 1200	M.LT_BD_0000	578	4
BD7L2/3				SR	O		Silex	Éclat de façonnage	C 1200	M.LT_BD_0000	588	3
BD2L7				GR	H	supérieure	Silex	Éclat (fgt distal)	C 1200	M.LT_BD_0000	592	3
BD2L7				GR	H	supérieure	Silex	Éclat de façonnage (fgt proximal)	C 1200	M.LT_BD_0000	596	2
BD2L7				GR	V		Silex	Éclat de façonnage (fgt proximal)	C 1200	M.LT_BD_0000	596	2
BD8L1				LSJ	O		Silex	Éclat cortical	C 1200	M.LT_BD_0000	581	4
BD2L8				LSJ			Silex	Débris	C 1200	M.LT_BD_0000	606	6
BD2L8				LSJ	H	supérieure	Silex	Éclat	C 1200	M.LT_BD_0000	594	3
BD8L1				GB	O		Silex	Biface	C 1200	M.LT_BD_1487		1
BD8L1				GB	O		Silex	Biface (fgt)	C 1200	M.LT_BD_1488		1
BD8L1				GB	O		Silex	Éclat cortical (fgt indéterminé)	C 1200	M.LT_BD_0000	580	3
BD8L1				GB	O		Silex	Racloir sur face plane	C 1200	M.LT_BD_1490		1
BD8L1				GB	O		Silex	Éclat (fgt distal)	C 1200	M.LT_BD_0000	591	2
BD8L1				GB	O		Silex	Éclat cortical (fgt distal)	C 1200	NON RETROUVE		
BD2L8				GR	H	inférieure	Silex	Éclat (fgt distal)	C 1200	M.LT_BD_0000	586	3
BD8L1				GR	O		Silex	Éclat cortical	C 1200	M.LT_BD_0000	578	4
BD2L8				GR	H	inférieure	Silex	Éclat (fgt mésial)	C 1200	M.LT_BD_0000	588	3
BD2L8				GR	H	inférieure	Silex	Éclat cortical (fgt mésial)	C 1200	M.LT_BD_0000	578	4
BD2L8				GR	H	inférieure	Silex	Éclat (fgt indéterminé)	C 1200	M.LT_BD_0000	596	2
BD2L8				GR	H	inférieure	Silex	Éclat (fgt mésial)	C 1200	M.LT_BD_0000	588	3
BD8L2				LSB	DC		Silex	Éclat de façonnage cortical (fgt proximal)	C 1200	M.LT_BD_0000	578	4
BD2L9				LSJ	O	supérieure	Silex	Éclat (fgt distal)	C 1200	M.LT_BD_0000	587	3
BD8L2				LSB	DC		Silex	Éclat cortical (fgt longitudinal)	C 1200	M.LT_BD_0000	578	4
BD8L2				LSB	O		Silex	Éclat de coup de tranchet	C 1200	M.LT_BD_0000	598	2
BD8L2				LSB	O		Silex	Éclat cortical (fgt distal)	C 1200	NON RETROUVE		
BD2L9				LSB	H	supérieure	Silex	Éclat	C 1200	M.LT_BD_0000	594	3
BD2L9				LSJ	H		Silex	Gélifract	C 1200	M.LT_BD_0000	609	6
BD2L9				LSJ	H		Silex	Gélifract	C 1200	M.LT_BD_0000	608	5
BD8L2				GB	O		Silex	Éclat Levallois	C 1200	M.LT_BD_0000	599	2
BD8L2				GB	O		Silex	Éclat (fgt indéterminé)	C 1200	M.LT_BD_0000	595	4
BD8L2				GB	O		Silex	Éclat (fgt indéterminé)	C 1200	M.LT_BD_0000	595	4
BD8L2				GB	O		Silex	Débris	C 1200	M.LT_BD_0000	607	6
BD8L2				GB	O		Silex	Éclat	C 1200	M.LT_BD_0000	593	3
BD2L9				LSR	H	supérieure	Silex	Éclat cortical	C 1200	M.LT_BD_0000	585	3
BD8L2				GB	O		Silex	Racloir simple	C 1200	M.LT_BD_0000	604	3
BD8L2				GB	O		Silex	Éclat (fgt distal)	C 1200	M.LT_BD_0000	592	3
BD8L2				GB			Silex	Débris	C 1200	M.LT_BD_0000	606	6

Zone Secteur	Carré	Sous-carré	N° de décapage	Unité Pédo-stratigraphique	Position	Repose sur face	Matériau	Descriptif détaillé	Parcelle	Code SRA	Réf. contenant POCHE	Réf. contenant CAISSE
BD8L2							Silex	Cupule de gel	C 1200	M.LT_BD_0000	609	6
BD8L2				LSB	O		Silex	Débris	C 1200	M.LT_BD_0000	607	6
BD8L2				LSB	DC		Silex	Éclat de façonnage	C 1200	M.LT_BD_0000	585	3
BD8L2				GB	O		Silex	Débris	C 1200	M.LT_BD_0000	606	6
BD8L2				GB	O		Silex	Éclat (fgt distal)	C 1200	M.LT_BD_0000	587	3
BD8L2				GB	O		Silex	Éclat de coup de tranchet	C 1200	M.LT_BD_0000	598	2
BD8L2				GB	O		Silex	Racloir transversal	C 1200	M.LT_BD_0000	604	3
BD2L9				GR	H	inférieure	Silex	Éclat de façonnage (fgt proximal)	C 1200	M.LT_BD_0000	597	2
BD8L2				LSB	O		Silex	Éclat (fgt distal)	C 1200	M.LT_BD_0000	591	2
BD8L2				LSB	O		Silex	Éclat cortical (fgt indéterminé)	C 1200	M.LT_BD_0000	580	3
BD8L2				GBR	O		Silex	Éclat de façonnage	C 1200	M.LT_BD_0000	589	2
BD8L2				GBR	O		Silex	Éclat de façonnage cortical	C 1200	M.LT_BD_0000	589	2
BD8L2				GBR	O		Silex	Éclat	C 1200	NON RETROUVE		
BD8L2				GBR	O		Silex	Eclat	C 1200	M.LT_BD_0000	592	3
BD8L2				GBR	O		Silex	Éclat (fgt mésial)	C 1200	M.LT_BD_0000	587	3
BD8L2				GBR	O		Silex	Éclat cortical	C 1200	M.LT_BD_0000	580	3
BD8L2				GBR	O		Silex	Éclat de façonnage	C 1200	M.LT_BD_0000	588	3
BD8L2				GBR	O		Silex	Éclat cortical	C 1200	M.LT_BD_0000	580	3
BD8L2				GBR	O		Silex	Éclat de façonnage	C 1200	M.LT_BD_0000	590	2
BD8L2				GBR	O		Silex	Éclat	C 1200	M.LT_BD_0000	598	2
BD8L2				GBR	O		Silex	Éclat de façonnage	C 1200	M.LT_BD_0000	590	2
BD8L2				GBR	O		Silex	Éclat de façonnage	C 1200	M.LT_BD_0000	590	2
BD8L2				GBR	O		Silex	Éclat cortical	C 1200	M.LT_BD_0000	582	4
BD3L4				LSB	V		Silex	Nucléus multifacial	C 1200	M.LT_BD_0000	605	5
BD3L4				LSB	O		Silex	Éclat (fgt mésial)	C 1200	M.LT_BD_0000	588	3
BD3L4				LSB	O		Silex	Éclat	C 1200	M.LT_BD_0000	603	4
BD3L4				LSB	H		Silex	Éclat retouché (fgt indéterminé)	C 1200	M.LT_BD_1546		1
BD3L4				LSB	O		Silex	Éclat	C 1200	M.LT_BD_0000	593	3
BD3L4				LSB	O		Silex	Éclat cortical	C 1200	M.LT_BD_0000	582	4
BD3L4				LSB	O		Silex	Débris	C 1200	M.LT_BD_0000	606	6
BD3L4				LSB	DC		Silex	Nucléus indéterminé (fgt)	C 1200	M.LT_BD_0000	603	4
BD3L4				LSB	O		Silex	Racloir simple	C 1200	M.LT_BD_0000	604	3
BD3L4				LSB	O		Silex	Éclat de façonnage (fgt proximal)	C 1200	M.LT_BD_0000	597	2
BD3L4				LSB/GB	O		Silex	Éclat (fgt mésial)	C 1200	M.LT_BD_0000	588	3
BD3L4				GB			Silex	Éclat (fgt longitudinal)	C 1200	M.LT_BD_0000	586	3
BD3L4				LSB			Grès quartzite	Bloc brut	C 1200	M.LT_BD_1555		15
BD1L10				LSB	H		Silex	Biface	C 1200	M.LT_BD_1556		1
BD3L4				LSB	O		Silex	Éclat de façonnage	C 1200	M.LT_BD_0000	584	3
BD1L10				LSB	V		Silex	Gélifract	C 1200	M.LT_BD_0000	587	3
BD3L4				GBR	DC		Silex	Éclat (fgt distal)	C 1200	M.LT_BD_0000	591	2
BD3L4				GBR	O		Silex	Éclat de façonnage	C 1200	M.LT_BD_0000	589	2
BD3L4				GBR	O		Silex	Éclat cortical (fgt distal)	C 1200	NON RETROUVE		
BD1L10				LSB	H		Silex	Bloc brut	C 1200	M.LT_BD_0000	603	4
BD1L10				LSB	H	supérieure	Silex	Gélifract	C 1200	M.LT_BD_0000	608	5
BD3L4				LSBR			Silex	Éclat de façonnage	C 1200	M.LT_BD_0000	588	3
BD3L4				LSBR	O		Silex	Gélifract	C 1200	M.LT_BD_0000	609	6
BD3L4				GBR	O		Silex	Débris	C 1200	M.LT_BD_0000	606	6
BD3L4				LSBR	O		Silex	Éclat cortical	C 1200	M.LT_BD_0000	581	4
BD3L4				GR	O		Silex	Éclat de façonnage	C 1200	M.LT_BD_0000	584	3
BD1L10				LSR	H	inférieure	Silex	Nucléus de gestion de surface non Levallois	C 1200	M.LT_BD_0000	605	5
BD1L10				LSR			Silex	Gélifract	C 1200	M.LT_BD_0000	609	6
BD1L10				LSR	DC		Silex	Gélifract	C 1200	M.LT_BD_0000	609	6
BD3L4				LBp	O		Silex	Éclat de façonnage (fgt proximal)	C 1200	M.LT_BD_0000	596	2
BD3L4				GR	O		Silex	Éclat de façonnage	C 1200	M.LT_BD_0000	583	3
BD3L4				LSB	O		Silex	Débris	C 1200	M.LT_BD_0000	606	6
BD3L4				LSB/GR	O		Silex	Éclat de façonnage	C 1200	M.LT_BD_0000	589	2
BD1L10				LSJ	H	inférieure	Silex	Éclat	C 1200	M.LT_BD_0000	594	3
BD1L10				LSR	H	supérieure	Silex	Éclat (fgt proximal)	C 1200	M.LT_BD_0000	598	2
BD1L10				LSR	H		Silex	Éclat	C 1200	M.LT_BD_0000	605	5
BD3L4				GR	O		Silex	Éclat	C 1200	M.LT_BD_0000	593	3
BD3L4				GR/SR	O		Silex	Éclat de façonnage	C 1200	M.LT_BD_0000	589	2
BD1L10				LSB	O		Silex	Gélifract	C 1200	M.LT_BD_0000	609	6
BD1L10				LSB	O		Silex	Biface	C 1200	M.LT_BD_1583		1
CP01.2				LSJ	O	inférieure	Silex	Gélifract	C 1200	M.LT_BD_0000	609	6
CP01.2				LSJ	O	inférieure	Silex	Éclat	C 1200	M.LT_BD_0000	594	3
BD3L4				LBp	V		Silex	Éclat	C 1200	M.LT_BD_0000	594	3
BD3L4				LBp	O		Silex	Éclat	C 1200	M.LT_BD_0000	593	3
BD3L4				LBp	O		Silex	Uniface	C 1200	M.LT_BD_1588		1
BD4L4				LSB	DC		Silex	Éclat de façonnage	C 1200	M.LT_BD_0000	584	3
BD4L4				LSB	O		Silex	Éclat cortical	C 1200	M.LT_BD_0000	585	3
BD4L4				LSB	DC		Silex	Éclat de façonnage	C 1200	M.LT_BD_0000	584	3
BD4L4				LSB	H	supérieure	Silex	Éclat cortical	C 1200	M.LT_BD_0000	578	4
BD4L4				LSB	H	supérieure	Silex	Éclat (fgt longitudinal)	C 1200	M.LT_BD_0000	586	3
BD4L4				LSB	H	inférieure	Silex	Éclat de façonnage cortical (fgt proximal)	C 1200	M.LT_BD_0000	578	4
BD4L4				LSB	V		Silex	Éclat cortical	C 1200	M.LT_BD_0000	581	4
BD4L4				LSB	O	inférieure	Silex	Éclat	C 1200	M.LT_BD_0000	593	3
BD4L4				LSB	O		Silex	Éclat (fgt distal)	C 1200	M.LT_BD_0000	591	2
BD4L4				GBR	O		Silex	Éclat cortical	C 1200	M.LT_BD_0000	581	4
BD4L4				GBR	O		Silex	Racloir simple	C 1200	M.LT_BD_0000	604	3
BD1L10				GR	O	supérieure	Silex	Éclat (fgt distal)	C 1200	M.LT_BD_0000	591	2
BD1L10				GR	O	inférieure	Silex	Eclat (fgt distal)	C 1200	M.LT_BD_0000	592	3
BD1L10				GR	H	inférieure	Silex	Éclat (fgt distal)	C 1200	M.LT_BD_0000	592	3
BD6L4				LSJ	O		Silex	Éclat	C 1200	M.LT_BD_0000	603	4
BD6L4				LSB	O		Silex	Racloir (fgt)	C 1200	M.LT_BD_1606		1
BD6L4				LSB	O		Silex	Biface	C 1200	M.LT_BD_1607		1
BD3L5				LSJ			Silex	Éclat cortical	C 1200	M.LT_BD_0000	585	3
BD3L5				LSJ	H	inférieure	Silex	Cupule de gel	C 1200	M.LT_BD_0000	609	6
BD6L4				LSB	O		Silex	Éclat cortical (fgt mésial)	C 1200	M.LT_BD_0000	620	10
BD6L4				LSB	O		Silex	Éclat Levallois	C 1200	M.LT_BD_0000	602	2
BD6L4				LSB	O		Silex	Uniface	C 1200	M.LT_BD_1612		1
BD6L4				LSB	O		Silex	Éclat cortical (fgt proximal)	C 1200	M.LT_BD_0000	620	10
BD6L4				LSB			Silex	Éclat de façonnage	C 1200	M.LT_BD_0000	621	10
BD6L4				LSB			Silex	Éclat de coup de tranchet	C 1200	M.LT_BD_0000	647	10
BD3L5				LSJ	H		Silex	Éclat (fgt indéterminé)	C 1200	M.LT_BD_0000	595	4
BD3L5				LSJ	O	supérieure	Silex	Éclat (fgt mésial)	C 1200	M.LT_BD_0000	587	3
BD6L4				LSB	O		Silex	Éclat (fgt proximal)	C 1200	M.LT_BD_0000	601	2
BD6L4				LSB			Silex	Éclat cortical (fgt mésial)	C 1200	M.LT_BD_0000	620	10
BD6L4				LSB	O		Silex	Éclat cortical (fgt distal)	C 1200	M.LT_BD_0000	619	11
BD6L4				LSB			Silex	Éclat de coup de tranchet	C 1200	M.LT_BD_0000	647	10
BD6L4				LSB			Silex	Éclat (fgt distal)	C 1200	M.LT_BD_0000	624	10
BD3L5				LSJ			Silex	Débris	C 1200	M.LT_BD_0000	607	6
BD3L5				LSJ	O	supérieure	Silex	Éclat (fgt distal)	C 1200	M.LT_BD_0000	592	3
BD3L5				LSJ	DC		Silex	Éclat cortical	C 1200	M.LT_BD_0000	585	3
BD3L5				LSJ	H	supérieure	Silex	Éclat cortical (fgt proximal)	C 1200	M.LT_BD_0000	578	4
BD3L5				LSJ	O		Silex	Éclat (fgt indéterminé)	C 1200	M.LT_BD_0000	595	4
BD3L5				LSJ	H	supérieure	Silex	Éclat cortical (fgt distal)	C 1200	M.LT_BD_0000	579	4
BD6L4				LSB	O		Silex	Débris	C 1200	M.LT_BD_0000	607	6
BD6L4				LSB			Silex	Éclat de façonnage (fgt proximal)	C 1200	M.LT_BD_0000	627	10
BD6L4				LSB			Silex	Éclat de façonnage (fgt proximal)	C 1200	M.LT_BD_0000	622	10
BD6L4				LSB			Grès	Bloc brut	C 1200	NON CONSERVE		
BD6L4				LSB	O		Silex	Éclat (fgt distal)	C 1200	M.LT_BD_0000	627	10
BD3L5				LSB	V		Silex	Gélifract	C 1200	M.LT_BD_0000	609	6
BD3L5				LSB	H	inférieure	Silex	Racloir sur face plane	C 1200	M.LT_BD_0000	604	3
BD6L4				LSB	V		Silex	Uniface	C 1200	M.LT_BD_1637		1
BD6L4				LSB	O		Silex	Éclat cortical (fgt distal)	C 1200	M.LT_BD_0000	625	10
BD6L4				LSB	O		Silex	Éclat (fgt longitudinal)	C 1200	M.LT_BD_0000	627	10
BD6L4				LSB	O		Silex	Éclat de façonnage	C 1200	M.LT_BD_0000	584	3
BD6L4				LSB	O		Silex	Éclat de façonnage	C 1200	M.LT_BD_0000	626	10
BD6L4				GB	O		Silex	Éclat (fgt proximal)	C 1200	M.LT_BD_0000	601	2
BD6L4				GB	O		Silex	Éclat cortical	C 1200	M.LT_BD_0000	620	10
BD6L4				LSB	O		Silex	Éclat cortical (fgt proximal)	C 1200	M.LT_BD_0000	578	4
BD3L5				LSR	H	supérieure	Silex	Éclat de façonnage	C 1200	M.LT_BD_0000	588	3
BD3L5				LSR	V		Silex	Éclat (fgt distal)	C 1200	M.LT_BD_0000	587	3
BD3L5				LSB	O	supérieure	Silex	Éclat de façonnage	C 1200	M.LT_BD_0000	583	3
BD3L5				LSB	H	supérieure	Silex	Éclat cortical (fgt mésial)	C 1200	M.LT_BD_0000	587	3
BD6L4				LSB	O		Silex	Éclat Levallois	C 1200	M.LT_BD_0000	646	10
BD6L4				LSB	O		Silex	Éclat (fgt longitudinal)	C 1200	M.LT_BD_0000	627	10

Zone Secteur	Carré	Sous-carré	N° de décapage	Unité Pédo-stratigraphique	Position	Repose sur face	Matériau	Descriptif détaillé	Parcelle	Code SRA	Réf. contenant POCHE	Réf. contenant CAISSE
BD6L4				LSB	O		Silex	Éclat à dos cortical	C 1200	M.LT_BD_0000	620	10
BD6L4				LSB	O		Silex	Éclat (fgt distal)	C 1200	M.LT_BD_0000	627	10
BD6L4				LSB	O		Silex	Éclat (fgt proximal)	C 1200	M.LT_BD_0000	600	2
BD6L4				LSB	O		Silex	Éclat cortical (fgt mésial)	C 1200	M.LT_BD_0000	578	4
BD6L4				LSB	O		Silex	Éclat cortical (fgt proximal)	C 1200	M.LT_BD_0000	628	11
BD6L4				LSB	V		Silex	Éclat de façonnage	C 1200	M.LT_BD_0000	621	10
BD6L4				LSB	O		Silex	Racloir déjeté	C 1200	M.LT_BD_1657		1
BD6L4				LSB	O		Silex	Éclat cortical	C 1200	M.LT_BD_0000	619	11
BD6L4				LSB	O		Silex	Éclat (fgt distal)	C 1200	M.LT_BD_0000	624	10
BD6L4				LSB	O		Silex	Éclat (fgt distal)	C 1200	M.LT_BD_0000	624	10
BD6L4				LSB	O		Silex	Éclat de façonnage	C 1200	M.LT_BD_0000	626	10
BD3L5				LSR	H	supérieure	Silex	Éclat de façonnage	C 1200	M.LT_BD_0000	584	3
BD3L5				LSR	H	supérieure	Silex	Éclat Levallois	C 1200	M.LT_BD_0000	602	2
BD3L5				LSR	O	supérieure	Silex	Éclat de façonnage	C 1200	M.LT_BD_0000	589	2
BD3L5				LSR	H	supérieure	Silex	Éclat (fgt proximal)	C 1200	M.LT_BD_0000	601	2
BD3L5				LSR	H	inférieure	Silex	Éclat (fgt distal)	C 1200	M.LT_BD_0000	586	3
BD6L4				GBR	O		Silex	Éclat de façonnage cortical	C 1200	M.LT_BD_0000	621	10
BD6L4				GBR	O		Silex	Éclat de façonnage	C 1200	M.LT_BD_0000	583	3
Berme souche nord-ouest							Silex	Éclat de coup de tranchet	C 1200	M.LT_BD_0000	598	2
Berme souche nord-ouest					V		Silex	Éclat cortical	C 1200	M.LT_BD_0000	580	3
Berme souche nord-ouest					O	supérieure	Silex	Éclat cortical (fgt distal)	C 1200	M.LT_BD_0000	579	4
Berme souche nord-ouest					O	inférieure	Silex	Racloir transversal	C 1200	M.LT_BD_0000	604	3
BD3L5				GR	O	supérieure	Silex	Éclat de façonnage	C 1200	M.LT_BD_0000	589	2
BD3L5				GR	DC		Silex	Éclat de façonnage	C 1200	M.LT_BD_0000	583	3
BD3L5				GR	H	supérieure	Silex	Éclat (fgt mésial)	C 1200	M.LT_BD_0000	587	3
BD3L5				GR	H	supérieure	Silex	Éclat de façonnage	C 1200	M.LT_BD_0000	589	2
BD3L5				GR	H	face non patinée	Silex	Biface	C 1200	M.LT_BD_1677		1
BD3L5				GR	H	inférieure	Silex	Éclat	C 1200	M.LT_BD_0000	592	3
BD3L5				GR	H	inférieure	Silex	Éclat de façonnage	C 1200	M.LT_BD_0000	589	2
BD3L5				GR	H	inférieure	Silex	Éclat de façonnage	C 1200	M.LT_BD_0000	583	3
BD3L5				GR	H	supérieure	Silex	Éclat	C 1200	M.LT_BD_0000	594	3
BD8L1				LSB	O		Silex	Éclat cortical (fgt distal)	C 1200	NON RETROUVE		
BD8L1				LSB	O		Silex	Éclat cortical	C 1200	M.LT_BD_0000	581	4
BD3L5				GR	H	supérieure	Silex	Éclat à dos cortical	C 1200	NON RETROUVE		
BD8L1				GR/LBp	O		Silex	Éclat de façonnage	C 1200	M.LT_BD_0000	589	2
BD3L5				GR	H	inférieure	Silex	Éclat cortical	C 1200	M.LT_BD_0000	582	4
BD3L5				GR	H	inférieure	Silex	Éclat cortical (fgt proximal)	C 1200	M.LT_BD_0000	578	4
BD3L5				GR	H	supérieure	Silex	Éclat cortical	C 1200	M.LT_BD_0000	581	4
BD8L1				LSBR	H		Silex	Éclat de façonnage	C 1200	M.LT_BD_0000	589	2
BD3L5				GR	H	supérieure	Silex	Éclat de façonnage (fgt proximal)	C 1200	M.LT_BD_0000	597	2
BD3L5				GR			Silex	Éclat	C 1200	M.LT_BD_0000	593	3
BD3L5				GR			Silex	Débris	C 1200	M.LT_BD_0000	607	6
BD9L1				LSB	O		Silex	Éclat cortical	C 1200	M.LT_BD_0000	582	4
BD9L1				LSB	O		Silex	Éclat (fgt distal)	C 1200	M.LT_BD_0000	587	3
BD9L1				LSB	O		Silex	Biface	C 1200	M.LT_BD_1695		1
BD9L1				LSB	DC		Silex	Éclat de façonnage	C 1200	M.LT_BD_0000	583	3
BD3L5				GR	DC		Silex	Éclat de façonnage	C 1200	M.LT_BD_0000	590	2
BD9L1				LSB	O		Silex	Éclat de façonnage	C 1200	M.LT_BD_0000	597	2
BD3L5				GR	H	supérieure	Silex	Éclat	C 1200	M.LT_BD_0000	600	2
BD3L5				GR	H		Silex	Éclat (fgt indéterminé)	C 1200	M.LT_BD_0000	595	4
BD9L1				GB	O		Silex	Éclat (fgt longitudinal)	C 1200	M.LT_BD_0000	586	3
BD9L1				GBR	O		Grès Quartzite	Nucléus (fgt)	C 1200	M.LT_BD_1701		12
BD9L1				GBR	O		Silex	Racloir sur face plane	C 1200	M.LT_BD_0000	604	3
BD9L1				GBR			Silex	Éclat de façonnage	C 1200	M.LT_BD_0000	589	2
BD9L1				GBR	O		Silex	Éclat cortical (fgt proximal)	C 1200	M.LT_BD_0000	578	4
BD9L1				GR/SR	O		Silex	Nucléus de gestion de surface non Levallois	C 1200	M.LT_BD_0000	605	5
BD3L6				LSJ	H		Silex	Éclat de façonnage (fgt proximal)	C 1200	M.LT_BD_0000	597	2
BD3L6				LSJ	V		Silex	Éclat	C 1200	M.LT_BD_0000	593	3
BD9L1				GR/SR	O		Silex	Racloir transversal	C 1200	M.LT_BD_0000	604	3
BD9L1				GR	O		Silex	Éclat de façonnage (fgt distal)	C 1200	M.LT_BD_0000	591	2
BD9L1				GR	DC		Silex	Éclat de façonnage cortical	C 1200	M.LT_BD_0000	580	3
BD9L1				GR	O		Silex	Débris	C 1200	M.LT_BD_0000	606	6
BD9L1				GR	O		Silex	Éclat cortical (fgt mésial)	C 1200	M.LT_BD_0000	587	3
BD3L6				LSJ	H	inférieure	Silex	Éclat de façonnage cortical (fgt proximal)	C 1200	M.LT_BD_0000	578	4
BD9L1				LBp	O		Silex	Racloir (fgt)	C 1200	M.LT_BD_0000	604	3
BD3L6				LSJ	H		Silex	Éclat (fgt indéterminé)	C 1200	M.LT_BD_0000	595	4
BD3L6				LSJ	O	inférieure	Silex	Gélifract	C 1200	M.LT_BD_0000	608	5
BD3L6				LSJ			Silex	Nucléus multifacial	C 1200	M.LT_BD_0000	603	4
BD3L6				LSJ			Silex	Éclat (fgt indéterminé)	C 1200	M.LT_BD_0000	595	4
BD3L6				LSJ	O	supérieure	Silex	Biface (fgt)	C 1200	M.LT_BD_1718		1
BD3L6				LSJ			Silex	Gélifract	C 1200	M.LT_BD_0000	608	5
BD3L6				LSJ			Quartz	Galet brut	C 1200	M.LT_BD_1720		14
BD3L6				LSB			Silex	Nucléus de gestion de surface non Levallois	C 1200	M.LT_BD_0000	605	5
BD3L6				LSB	H	inférieure	Silex	Éclat cortical	C 1200	M.LT_BD_0000	603	4
BD3L6				LSB	V		Silex	Éclat de façonnage	C 1200	M.LT_BD_0000	588	3
BD3L6				LSB	H	inférieure	Silex	Éclat de coup de tranchet	C 1200	M.LT_BD_1724		1
BD9L1				GR	O		Silex	Débris	C 1200	M.LT_BD_0000	606	6
BD9L1				GR	O		Silex	Éclat	C 1200	NON RETROUVE		
BD3L6				LSB	O		Silex	Racloir convergent	C 1200	M.LT_BD_0000	604	3
BD3L6				LSB	H	inférieure	Silex	Éclat (fgt proximal)	C 1200	M.LT_BD_0000	601	2
BD3L6				LSB	H	supérieure	Silex	Éclat cortical	C 1200	M.LT_BD_0000	580	3
BD10L1				LSB	O		Silex	Éclat (fgt indéterminé)	C 1200	M.LT_BD_0000	595	4
BD3L6				LSB	H		Silex	Éclat retouché (fgt indéterminé)	C 1200	M.LT_BD_1731		1
BD3L6				LSB	H	supérieure	Silex	Éclat de façonnage cortical	C 1200	M.LT_BD_0000	580	3
BD3L6				LSB	H		Silex	Biface	C 1200	M.LT_BD_1733		1
BD3L6				GR	H	supérieure	Silex	Éclat de façonnage cortical	C 1200	M.LT_BD_0000	580	3
BD3L6				GR	H	supérieure	Silex	Éclat (fgt distal)	C 1200	M.LT_BD_0000	591	2
BD3L6				GR	H		Silex	Éclat (fgt distal)	C 1200	M.LT_BD_0000	591	2
BD3L6				GR	V		Silex	Éclat (fgt proximal)	C 1200	M.LT_BD_0000	593	3
BD3L6				GR	H	supérieure	Silex	Éclat (fgt mésial)	C 1200	M.LT_BD_0000	587	3
BD3L6				GR	H	inférieure	Silex	Éclat (fgt distal)	C 1200	M.LT_BD_0000	591	2
BD3L6				GR	H	inférieure	Silex	Éclat de façonnage	C 1200	M.LT_BD_0000	588	3
BD3L6				GR	DC		Silex	Éclat (fgt distal)	C 1200	M.LT_BD_0000	591	2
BD3L6				GR	O	supérieure	Silex	Éclat cortical	C 1200	M.LT_BD_0000	582	4
BD3L6				GR	O	supérieure	Silex	Éclat de façonnage	C 1200	M.LT_BD_0000	585	3
BD3L6				GR	H	supérieure	Silex	Éclat de façonnage (fgt proximal)	C 1200	M.LT_BD_0000	597	2
BD3L6				GR			Silex	Éclat cortical (fgt proximal)	C 1200	M.LT_BD_0000	578	4
BD3L6				GR	DC		Silex	Biface	C 1200	M.LT_BD_1746		1
BD3L6				GR	O		Silex	Uniface	C 1200	M.LT_BD_1747		1
BD3L6				GR	H		Silex	Éclat de façonnage cortical	C 1200	M.LT_BD_0000	580	3
BD3L6				GR	H	supérieure	Silex	Éclat (fgt distal)	C 1200	M.LT_BD_0000	592	3
BD3L6				GR	DC		Silex	Éclat (fgt distal)	C 1200	M.LT_BD_0000	592	3
BD3L6				GR	H	supérieure	Silex	Éclat	C 1200	M.LT_BD_0000	583	3
BD3L6				GR	H	inférieure	Silex	Éclat de façonnage	C 1200	M.LT_01_0000	613	7
BD3L6				GR	H	inférieure	Silex	Éclat de façonnage (fgt proximal)	C 1200	M.LT_01_0000	613	7
BD3L6				GR	DC		Silex	Éclat (fgt distal)	C 1200	M.LT_01_0000	611	7
BD3L6				GR	H	inférieure	Silex	Éclat de coup de tranchet	C 1200	M.LT_BD_1755		1
BD3L6				GR	H	inférieure	Silex	Éclat de façonnage	C 1200	M.LT_BD_1756		1
BD3L6				GR	H	inférieure	Silex	Éclat de façonnage (fgt proximal)	C 1200	M.LT_01_0000	613	7
BD3L6				GR	H	inférieure	Silex	Racloir à retouche biface	C 1200	M.LT_BD_1758		1
BD3L6				GR	H	supérieure	Silex	Éclat (fgt distal)	C 1200	M.LT_01_0000	613	7
BD3L6				GR	H	supérieure	Silex	Éclat	C 1200	M.LT_01_0000	643	7
BD3L6				GR	H	inférieure	Silex	Éclat de façonnage	C 1200	M.LT_01_0000	613	7
BD3L6				GR	H	inférieure	Silex	Éclat cortical	C 1200	M.LT_01_0000	610	7
BD3L6				GR	O	supérieure	Silex	Éclat de façonnage cortical	C 1200	M.LT_01_0000	612	7
BD3L6				GR	H	supérieure	Silex	Racloir (fgt)	C 1200	M.LT_BD_1764		1
BD3L7				LSJ	DC		Silex	Débris	C 1200	M.LT_BD_0000	606	6
BD12L1				GBR	O		Silex	Éclat de façonnage (fgt proximal)	C 1200	M.LT_BD_0000	597	2

Zone Secteur	Carré	Sous-carré	N° de décapage	Unité Pédo-stratigraphique	Position	Repose sur face	Matériau	Descriptif détaillé	Parcelle	Code SRA	Réf. contenant POCHE	Réf. contenant CAISSE
BD3L7				GR			Silex	Débris	C 1200	M.LT_BD_0000	606	6
BD3L7				GR	DC		Silex	Débris	C 1200	M.LT_BD_0000	606	6
BD12L1				GBR	O		Silex	Cupule de gel	C 1200	M.LT_BD_0000	609	6
BD12L1				GBR	O		Silex	Racloir à retouche biface	C 1200	M.LT_BD_1772		1
BD12L1				GBR	O		Silex	Biface (fgt)	C 1200	M.LT_BD_1773		1
BD12L1				GBR	O		Silex	Biface	C 1200	M.LT_BD_1774		1
BD9L2				LSB	O		Silex	Éclat de façonnage	C 1200	M.LT_BD_0000	584	3
BD9L2				LSB	O		Silex	Débris	C 1200	M.LT_BD_0000	606	6
BD3L8				LSJ	H	supérieure	Silex	Éclat de façonnage cortical	C 1200	M.LT_BD_0000	580	3
BD3L8				LSJ			Grès	Galet brut	C 1200	M.LT_BD_1779		14
BD9L2				GBR	O		Silex	Éclat de façonnage	C 1200	M.LT_BD_0000	583	3
BD9L2				GBR	O		Silex	Éclat de façonnage (fgt proximal)	C 1200	M.LT_BD_0000	597	2
BD9L2				GBR	DC		Silex	Racloir simple	C 1200	M.LT_BD_0000	604	3
BD9L2				GBR	O		Silex	Racloir à retouche biface	C 1200	M.LT_BD_1783		1
BD9L2				GBR	O		Silex	Éclat	C 1200	M.LT_BD_0000	593	3
BD9L2				GR	O		Silex	Éclat Levallois	C 1200	M.LT_BD_0000	602	2
BD9L2				GR	O		Silex	Éclat de façonnage	C 1200	M.LT_BD_0000	589	2
BD9L2				GR	O		Silex	Éclat de façonnage (fgt proximal)	C 1200	M.LT_BD_0000	597	2
BD9L2				GR	O		Silex	Éclat de façonnage cortical	C 1200	M.LT_BD_0000	580	3
BD9L2				GR	O		Silex	Éclat de façonnage cortical	C 1200	M.LT_BD_0000	580	3
BD9L2				GR	O		Silex	Éclat de façonnage cortical (fgt proximal)	C 1200	M.LT_BD_0000	578	4
BD9L2				GR			Silex	Éclat retouché (fgt indéterminé)	C 1200	M.LT_BD_1793		1
BD9L2				GR			Silex	Éclat (fgt proximal)	C 1200	M.LT_BD_1794		1
BD9L2				GR	O		Silex	Éclat (fgt distal)	C 1200	M.LT_BD_0000	591	2
BD9L2				GR	O		Silex	Éclat cortical (fgt proximal)	C 1200	M.LT_BD_0000	578	4
BD9L2				GR	DC		Silex	Éclat	C 1200	M.LT_BD_0000	594	3
BD9L2				GR	O		Silex	Éclat cortical	C 1200	M.LT_BD_0000	580	3
BD9L2				GR	O		Silex	Éclat	C 1200	M.LT_BD_0000	595	4
BD9L2				GR	O		Silex	Éclat de façonnage	C 1200	M.LT_BD_0000	584	3
BD9L2				GR	O		Silex	Éclat cortical	C 1200	M.LT_BD_0000	580	3
BD9L2				GR	O		Silex	Éclat (fgt distal)	C 1200	M.LT_BD_0000	591	2
BD9L2				GR	O		Silex	Éclat (fgt distal)	C 1200	M.LT_BD_0000	592	3
BD9L2				GR	O		Silex	Éclat cortical (fgt distal)	C 1200	NON RETROUVE		
BD9L2				GR	O		Silex	Éclat (fgt distal)	C 1200	M.LT_BD_0000	592	3
BD9L2				GR	O		Silex	Éclat (fgt distal)	C 1200	M.LT_BD_0000	586	3
BD9L2				GR	O		Silex	Éclat de façonnage	C 1200	M.LT_BD_0000	584	3
BD9L2				GR	O		Silex	Éclat cortical	C 1200	M.LT_BD_0000	580	3
BD9L2				GR	O		Silex	Éclat de façonnage (fgt proximal)	C 1200	M.LT_BD_0000	597	2
BD3L9				LSJ	H	inférieure	Silex	Éclat	C 1200	M.LT_BD_0000	603	4
BD3L9				LSJ	DC		Silex	Éclat de façonnage	C 1200	M.LT_BD_0000	585	3
BD7L4				LSBR			Silex	Éclat (fgt indéterminé)	C 1200	M.LT_BD_0000	595	4
BD7L4				LSBR			Silex	Éclat de façonnage	C 1200	M.LT_BD_0000	589	2
BD7L4				LSBR/SR			Silex	Éclat cortical (fgt longitudinal)	C 1200	M.LT_BD_0000	578	4
BD3L9					O	inférieure	Silex	Éclat cortical	C 1200	M.LT_BD_0000	582	4
BD3L9					O	inférieure	Silex	Racloir simple	C 1200	M.LT_BD_1816		1
BD3L9							Céramique	Tesson	C 1200	M.CP_BD_1817		6
BD10L2				LSB	O		Silex	Éclat (fgt distal)	C 1200	M.LT_BD_0000	592	3
BD3L9				LSB	H	supérieure	Silex	Éclat (fgt mésial)	C 1200	M.LT_BD_0000	587	3
BD10L2				LSB	O		Silex	Éclat (fgt distal)	C 1200	M.LT_BD_0000	587	3
BD10L2				LSB	O		Silex	Éclat	C 1200	M.LT_BD_0000	583	3
BD10L2				LSB	O		Silex	Éclat Levallois	C 1200	M.LT_BD_0000	601	2
BD3L9				A	H	supérieure	Silex	Éclat	C 1200	M.LT_BD_0000	594	3
BD10L2				GB	O		Silex	Biface	C 1200	M.LT_BD_1824		1
BD10L2				GB	O		Silex	Éclat	C 1200	M.LT_BD_0000	593	3
BD3L9				GR	H		Silex	Éclat	C 1200	NON RETROUVE		
BD10L2				GBR	O		Silex	Éclat de façonnage	C 1200	M.LT_BD_0000	584	3
BD10L2				GBR	O		Silex	Éclat cortical (fgt proximal)	C 1200	M.LT_BD_0000	578	4
BD10L2				GBR	O		Silex	Éclat cortical (fgt distal)	C 1200	M.LT_BD_0000	579	4
BD10L2				GR	O		Silex	Éclat de façonnage	C 1200	M.LT_BD_0000	583	3
BD10L2				GR	O		Silex	Éclat (fgt distal)	C 1200	M.LT_BD_0000	592	3
BD10L2				GR	O		Silex	Éclat (fgt longitudinal)	C 1200	M.LT_BD_0000	586	3
BD10L2				GR	O		Silex	Éclat cortical	C 1200	M.LT_BD_0000	582	4
BD10L2				GR	O		Silex	Éclat cortical	C 1200	M.LT_BD_0000	582	4
BD10L2				GR	O		Silex	Éclat cortical	C 1200	NON RETROUVE		
BD10L2				GR	O		Silex	Éclat cortical	C 1200	M.LT_BD_0000	582	4
BD10L2				GR	O		Silex	Biface	C 1200	M.LT_BD_1837		1
BD10L2				GR	O		Silex	Éclat cortical (fgt proximal)	C 1200	M.LT_BD_0000	578	4
BD10L2				GR	O		Silex	Éclat cortical (fgt distal)	C 1200	M.LT_BD_0000	579	4
BD10L2				GR	DC		Silex	Racloir convergent associé à une encoche	C 1200	M.LT_BD_1841		1
BD7L4				LSB	O		Silex	Débris	C 1200	M.LT_BD_0000	607	6
BD7L4				LSB	O		Silex	Éclat (fgt distal)	C 1200	M.LT_BD_0000	586	3
BD7L4				LSB	O		Silex	Éclat (fgt indéterminé)	C 1200	M.LT_BD_0000	629	10
BD7L4				LSB	O		Silex	Biface	C 1200	M.LT_BD_1846		1
BD4L5				LSJ	H	inférieure	Silex	Éclat de coup de tranchet	C 1200	M.LT_BD_0000	598	2
BD4L5				LSJ	H	supérieure	Silex	Racloir simple	C 1200	M.LT_BD_0000	604	3
BD4L5				LSJ	H	supérieure	Silex	Éclat (fgt mésial)	C 1200	M.LT_BD_0000	587	3
BD4L5				LSJ	H	supérieure	Silex	Éclat cortical	C 1200	M.LT_BD_0000	580	3
BD9L4				LSB	V		Silex	Débris	C 1200	M.LT_BD_0000	606	6
BD9L4				LSB	O		Silex	Éclat de façonnage (fgt proximal)	C 1200	M.LT_BD_0000	600	2
BD9L4				LSB	O		Silex	Éclat cortical	C 1200	M.LT_BD_0000	581	4
BD9L4				LSB	O		Silex	Éclat	C 1200	M.LT_BD_0000	593	3
BD9L4				LSB	O		Silex	Éclat de façonnage (fgt proximal)	C 1200	M.LT_BD_0000	597	2
BD9L4				LSB	O		Silex	Éclat cortical (fgt indéterminé)	C 1200	M.LT_BD_0000	580	3
BD9L4				GB	O		Silex	Éclat de façonnage (fgt proximal)	C 1200	M.LT_BD_0000	597	2
BD9L4					O		Silex	Éclat	C 1200	M.LT_BD_0000	593	3
BD9L4				LSB	O		Silex	Éclat cortical (fgt mésial)	C 1200	M.LT_BD_0000	578	4
BD9L4				GB	O		Silex	Éclat (fgt distal)	C 1200	M.LT_BD_0000	591	2
BD9L4				GB	O		Silex	Éclat cortical	C 1200	M.LT_BD_0000	581	4
BD9L4				LSB	O		Silex	Éclat de façonnage	C 1200	M.LT_BD_0000	584	3
BD9L4				LSB	O		Silex	Éclat	C 1200	M.LT_BD_0000	592	3
BD9L4				LSB	O		Silex	Débris	C 1200	M.LT_BD_0000	607	6
BD9L4				GB	O		Silex	Débris	C 1200	M.LT_BD_0000	606	6
BD9L4				GB	O		Silex	Éclat de façonnage	C 1200	M.LT_BD_0000	588	3
BD9L4				GB	O		Silex	Cupule de gel	C 1200	M.LT_BD_0000	609	6
BD9L4				LSB	O		Silex	Éclat	C 1200	M.LT_BD_0000	594	3
BD9L4				GB	O		Silex	Nucléus semi-tournant	C 1200	M.LT_BD_1871		1
BD9L4				GB	O		Silex	Éclat de coup de tranchet	C 1200	M.LT_BD_0000	598	2
BD9L4				GB	O		Silex	Éclat cortical	C 1200	M.LT_BD_0000	580	3
BD9L4				GB	O		Silex	Éclat Levallois	C 1200	M.LT_BD_0000	599	2
BD9L4				GBR	O		Silex	Éclat (fgt indéterminé)	C 1200	M.LT_BD_0000	595	4
BD9L4				GBR	O		Silex	Éclat cortical	C 1200	M.LT_BD_0000	582	4
BD9L4				GBR	O		Silex	Éclat de façonnage	C 1200	M.LT_BD_0000	589	2
BD9L4				GB	O		Silex	Éclat de façonnage (fgt proximal)	C 1200	M.LT_BD_0000	597	2
BD9L4				GB	O		Silex	Éclat de façonnage (fgt proximal)	C 1200	M.LT_BD_0000	597	2
BD9L4				GB	O		Silex	Éclat de façonnage	C 1200	M.LT_BD_0000	589	2
BD9L4				GBR	O		Silex	Nucléus de gestion de surface non Levallois	C 1200	M.LT_BD_0000	605	5
BD9L4				GBR	O		Silex	Racloir double	C 1200	M.LT_BD_0000	604	3
BD9L4				LSR	O		Silex	Éclat de façonnage	C 1200	M.LT_BD_0000	589	2
BD9L4				GBR	O		Silex	Éclat de façonnage	C 1200	M.LT_BD_0000	589	2
BD4L5				LSB	V		Silex	Éclat Levallois	C 1200	M.LT_BD_0000	599	2
BD4L5				LSB	H	supérieure	Silex	Éclat à dos cortical	C 1200	M.LT_BD_0000	579	4
BD4L5				LSB	O	inférieure	Silex	Éclat	C 1200	M.LT_BD_0000	594	3
BD4L5				LSB	H	supérieure	Silex	Éclat (fgt distal)	C 1200	M.LT_BD_0000	586	3
BD9L4				SR	O		Silex	Éclat (fgt distal)	C 1200	M.LT_BD_0000	587	3
BD4L5				LSB	V		Silex	Éclat	C 1200	NON RETROUVE		
BD4L5				LSB	O	inférieure	Silex	Éclat de coup de tranchet	C 1200	M.LT_BD_0000	598	2
BD4L5				LSB	H	supérieure	Silex	Éclat de façonnage (fgt proximal)	C 1200	M.LT_BD_0000	596	2
BD4L5				LSB	H	inférieure	Silex	Éclat (fgt mésial)	C 1200	M.LT_BD_0000	588	3
BD4L5				LSB	H	inférieure	Silex	Éclat de façonnage	C 1200	M.LT_BD_0000	583	3
BD4L5				LSB	H		Silex	Éclat retouché (fgt indéterminé)	C 1200	M.LT_BD_1894		1
BD4L5				GR	H	supérieure	Silex	Éclat (fgt proximal)	C 1200	M.LT_BD_0000	601	2
BD4L5				GR	H	inférieure	Silex	Éclat cortical	C 1200	M.LT_BD_0000	580	3
BD4L5				GR	H	inférieure	Silex	Éclat cortical (fgt proximal)	C 1200	M.LT_BD_0000	578	4
BD4L5				GR	DC		Silex	Éclat de façonnage	C 1200	M.LT_BD_0000	589	2
BD4L5				GR			Silex	Éclat	C 1200	M.LT_BD_0000	594	3
BD4L5				GR			Silex	Éclat retouché (fgt indéterminé)	C 1200	M.LT_BD_1900		1
BD4L5				GR	V		Silex	Éclat de façonnage	C 1200	M.LT_BD_0000	584	3

Zone Secteur	Carré	Sous-carré	N° de décapage	Unité Pédo-stratigraphique	Position	Repose sur face	Matériau	Descriptif détaillé	Parcelle	Code SRA	Réf. contenant POCHE	Réf. contenant CAISSE
BD10L4				LSB	O		Silex	Éclat cortical (fgt mésial)	C 1200	M.LT_BD_0000	578	4
BD10L4				LSB	O		Silex	Débris	C 1200	M.LT_BD_0000	606	6
BD10L4				LSB	O		Silex	Biface	C 1200	M.LT_BD_1904		1
BD4L6				LSJ	V		Silex	Gélifract	C 1200	M.LT_BD_0000	609	6
BD4L6				LSJ	V		Silex	Éclat cortical (fgt distal)	C 1200	M.LT_BD_0000	579	4
BD10L4				LSB	O		Silex	Gélifract	C 1200	M.LT_BD_0000	609	6
BD4L6				LSB	O	inférieure	Silex	Éclat cortical (fgt mésial)	C 1200	M.LT_BD_0000	587	3
BD4L6				LSB			Silex	Éclat (fgt distal)	C 1200	M.LT_BD_0000	591	2
BD4L6				LSB	O		Silex	Biface	C 1200	M.LT_BD_1912		1
BD10L4				GB	DC		Silex	Éclat (fgt indéterminé)	C 1200	M.LT_BD_0000	595	4
BD10L4				GB	O		Silex	Éclat	C 1200	M.LT_BD_0000	594	3
BD4L6				GR	H	supérieure	Silex	Éclat de façonnage (fgt proximal)	C 1200	M.LT_BD_0000	596	2
BD4L6				GR	H	inférieure	Silex	Éclat	C 1200	M.LT_BD_0000	593	3
BD4L6				GR	H	supérieure	Silex	Débris	C 1200	M.LT_BD_0000	606	6
BD4L6				GR			Grès ?	Débris	C 1200	M.LT_BD_0000	609	6
BD4L6				GR	V		Silex	Éclat Kombewa	C 1200	M.LT_BD_0000	598	2
BD4L6				GR	V		Silex	Éclat (fgt mésial)	C 1200	M.LT_BD_0000	587	3
BD4L6				GR	DC		Silex	Éclat (fgt distal)	C 1200	M.LT_BD_0000	586	3
BD4L6				LSR	H	supérieure	Silex	Débris	C 1200	M.LT_BD_0000	606	6
BD4L6				LSR	V		Silex	Éclat avec retouche d'utilisation	C 1200	M.LT_BD_1923		1
BD4L6				SR	V		Silex	Éclat cortical	C 1200	M.LT_BD_0000	594	3
BD4L7				LSJ	O		Silex	Gélifract	C 1200	M.LT_BD_0000	608	5
BD4L7				LSB	H	supérieure	Silex	Éclat de façonnage	C 1200	M.LT_BD_0000	598	2
BD4L7				LSB	H		Silex	Éclat (fgt longitudinal)	C 1200	M.LT_BD_0000	587	3
BD10L4				GB	O		Silex	Éclat (fgt distal)	C 1200	M.LT_BD_0000	591	2
BD10L4				GB	O		Silex	Uniface	C 1200	M.LT_BD_1930		1
BD4L7				LSB	V		Silex	Éclat	C 1200	NON CONSERVE (TL)		
BD4L7				LSB	O		Silex	Débris	C 1200	M.LT_BD_0000	607	6
BD4L7				LSB			Grès	Galet brut	C 1200	M.LT_BD_1933		14
BD4L7				LSR	O		Silex	Éclat cortical (fgt mésial)	C 1200	M.LT_BD_0000	578	4
BD4L7				LSB	H	inférieure	Silex	Éclat de façonnage	C 1200	M.LT_BD_0000	588	3
BD4L7				LSB	O	supérieure	Silex	Éclat Kombewa	C 1200	M.LT_BD_1936		1
BD4L7				LSB	O	inférieure	Silex	Éclat (fgt proximal)	C 1200	M.LT_BD_0000	601	2
BD4L7				LSB			Silex	Éclat de façonnage	C 1200	M.LT_BD_0000	584	3
BD4L7				LSB	H		Silex	Éclat (fgt proximal)	C 1200	M.LT_BD_0000	601	2
BD10L2				GR	O		Silex	Éclat (fgt proximal)	C 1200	M.LT_BD_0000	600	2
BD10L2				GB	O		Silex	Éclat de façonnage	C 1200	M.LT_BD_0000	589	2
BD4L7				LSR	H	inférieure	Silex	Nucléus de gestion de surface non Levallois	C 1200	M.LT_BD_0000	605	5
BD11L4				GB	O		Silex	Éclat	C 1200	M.LT_BD_0000	593	3
BD4L8				LSJ	H	supérieure	Silex	Éclat cortical	C 1200	M.LT_BD_0000	581	4
BD4L8				GR	H	supérieure	Silex	Débris	C 1200	M.LT_BD_0000	607	6
BD4L8				GR	H		Silex	Biface	C 1200	M.LT_BD_1948		1
BD4L8				GR	H	supérieure	Silex	Éclat aminci	C 1200	M.LT_BD_0000	604	3
BD4L8				GR	H	inférieure	Silex	Éclat	C 1200	M.LT_BD_0000	593	3
BD4L8				GR	H		Silex	Éclat (fgt proximal)	C 1200	M.LT_BD_0000	601	2
BD4L8				GR	H	inférieure	Silex	Éclat	C 1200	M.LT_BD_0000	599	2
BD4L8				GR	H		Silex	Gélifract	C 1200	M.LT_BD_0000	608	5
BD4L8				GR			Silex	Gélifract	C 1200	M.LT_BD_0000	609	6
BD4L8				GR			Silex	Éclat cortical (fgt distal)	C 1200	M.LT_BD_0000	579	4
BD4L8				GR			Silex	Débris	C 1200	M.LT_BD_0000	606	6
BD4L8				GR	H	inférieure	Silex	Éclat (fgt mésial)	C 1200	M.LT_BD_0000	588	3
BD4L8				GR	O	supérieure	Silex	Éclat (fgt mésial)	C 1200	M.LT_BD_0000	587	3
BD4L8				GR	DC		Silex	Éclat (fgt proximal)	C 1200	M.LT_BD_0000	601	2
BD4L8				GR			Silex	Éclat retouché (fgt indéterminé)	C 1200	M.LT_BD_1960		1
BD4L8				GR	H	inférieure	Silex	Éclat (fgt distal)	C 1200	M.LT_BD_0000	592	3
BD4L8				GR	H	inférieure	Silex	Éclat de façonnage Kombewa	C 1200	M.LT_BD_0000	598	2
BD4L8				GR	H	supérieure	Silex	Éclat débordant	C 1200	M.LT_BD_0000	598	2
BD4L8				GR	V		Silex	Éclat (fgt indéterminé)	C 1200	M.LT_BD_0000	596	2
BD4L8				GR	O	supérieure	Silex	Éclat cortical	C 1200	M.LT_BD_0000	581	4
BD4L8				GR			Silex	Gélifract	C 1200	M.LT_BD_0000	609	6
BD4L8				GR	H	inférieure	Silex	Éclat de façonnage	C 1200	M.LT_BD_0000	584	3
BD4L8				GR	H	supérieure	Silex	Éclat de façonnage	C 1200	M.LT_BD_0000	585	3
BD4L8				GR	H	inférieure	Silex	Cupule de gel	C 1200	M.LT_BD_0000	609	6
BD4L8				GR	H	supérieure	Silex	Éclat de façonnage (fgt proximal)	C 1200	M.LT_BD_0000	597	2
BD4L8				GR	DC		Silex	Éclat (fgt distal)	C 1200	M.LT_BD_0000	591	2
BD4L8				A	H	inférieure	Silex	Éclat cortical (fgt distal)	C 1200	M.LT_BD_0000	579	4
BD4L8				GR	H	inférieure	Silex	Éclat (fgt proximal)	C 1200	M.LT_BD_0000	601	2
BD4L8				GR	O	inférieure	Silex	Éclat de façonnage	C 1200	M.LT_BD_0000	584	3
BD4L8				GR	H	supérieure	Silex	Éclat de façonnage cortical (fgt distal)	C 1200	M.LT_BD_0000	580	3
BD4L8				GR	V		Silex	Gélifract	C 1200	M.LT_BD_0000	608	5
BD4L8				GR	H	inférieure	Silex	Éclat (fgt proximal)	C 1200	M.LT_BD_0000	601	2
BD4L8				GR			Silex	Débris	C 1200	M.LT_BD_0000	607	6
BD4L8				GR	O	inférieure	Silex	Éclat de façonnage	C 1200	M.LT_BD_0000	585	3
BD12L4				GB	O		Silex	Éclat débordant	C 1200	M.LT_BD_0000	598	2
BD4L8				GR	H		Silex	Éclat de coup de tranchet	C 1200	M.LT_BD_0000	598	2
BD4L8				GR	V		Silex	Débris	C 1200	M.LT_BD_0000	606	6
BD4L8				GR	V		Silex	Éclat (fgt distal)	C 1200	M.LT_BD_0000	592	3
BD4L8				GR	H	supérieure	Silex	Éclat (fgt mésial)	C 1200	M.LT_BD_0000	587	3
BD4L8				GR	H	inférieure	Silex	Éclat de façonnage cortical (fgt proximal)	C 1200	M.LT_BD_0000	578	4
BD12L4				GR	O		Silex	Éclat de façonnage cortical	C 1200	M.LT_BD_0000	580	3
BD4L8				GR			Silex	Gélifract	C 1200	M.LT_BD_0000	608	5
BD4L8				GR	O	supérieure	Silex	Éclat de façonnage	C 1200	M.LT_BD_0000	584	3
BD4L8				GR	O	inférieure	Silex	Éclat (fgt distal)	C 1200	M.LT_BD_0000	591	2
BD4L8				GR	H	inférieure	Silex	Éclat de façonnage	C 1200	M.LT_BD_0000	583	3
BD4L8				GR	H		Silex	Éclat de façonnage Kombewa	C 1200	M.LT_BD_0000	589	2
BD4L8				GR	H	supérieure	Silex	Éclat cortical (fgt distal)	C 1200	M.LT_BD_0000	579	4
BD4L8				GR	H	supérieure	Silex	Éclat de façonnage (fgt proximal)	C 1200	M.LT_BD_0000	596	2
BD4L8				GR			Silex	Débris	C 1200	M.LT_BD_0000	606	6
BD4L8				GR	O	inférieure	Silex	Éclat de façonnage	C 1200	M.LT_BD_0000	590	2
BD4L8				GR			Silex	Éclat de façonnage (fgt proximal)	C 1200	M.LT_BD_0000	596	2
BD4L8				GR	H	supérieure	Silex	Éclat cortical (fgt proximal)	C 1200	M.LT_BD_0000	578	4
BD4L8				GR	H	inférieure	Silex	Éclat de façonnage	C 1200	M.LT_BD_0000	583	3
BD4L8				GR	H	inférieure	Silex	Éclat (fgt mésial)	C 1200	M.LT_BD_0000	587	3
BD9L11				LSB	O		Silex	Éclat cortical (fgt mésial)	C 1200	M.LT_BD_0000	578	4
BD9L11				LSB	O		Silex	Éclat de façonnage	C 1200	M.LT_BD_0000	590	2
BD9L11				LSB	O		Silex	Éclat cortical	C 1200	M.LT_BD_0000	594	3
BD9L11				LSB	O		Silex	Gélifract	C 1200	M.LT_BD_0000	609	6
BD9L11				LSB	O		Silex	Éclat de façonnage (fgt proximal)	C 1200	M.LT_BD_0000	596	2
BD9L11				GBR/SR	O		Silex	Racloir (fgt)	C 1200	M.LT_BD_0000	604	3
BD9L11				GBR	O		Silex	Éclat de façonnage cortical (fgt longitudinal)	C 1200	M.LT_BD_0000	580	3
BD9L11				GBR	O		Silex	Éclat de façonnage cortical (fgt longitudinal)	C 1200	M.LT_BD_0000	580	3
BD9L11				LSBR	O		Silex	Éclat	C 1200	M.LT_BD_0000	593	3
BD9L11				LSBR	V		Silex	Éclat (fgt distal)	C 1200	M.LT_BD_0000	591	2
BD9L11				LSBR	V		Silex	Éclat cortical	C 1200	M.LT_BD_0000	585	3
BD2L9				LSJ			Silex	Bloc brut	C 1200	M.LT_BD_0000	656	15
BD9L11				GBR	O		Silex	Éclat	C 1200	M.LT_BD_0000	593	3
BD2L9				LSJ	DC		Silex	Éclat	C 1200	M.LT_BD_0000	593	3
BD2L9				LSJ	H	supérieure	Silex	Éclat	C 1200	M.LT_BD_0000	594	3
BD2L10				LSB	H	supérieure	Silex	Éclat cortical (fgt proximal)	C 1200	M.LT_BD_0000	578	4
BD2L9				LSR	H		Silex	Nucléus ? Biface ?	C 1200	M.LT_BD_2019		1
BD2L9				LSR	H		Silex	Nucléus Levallois	C 1200	M.LT_BD_2020		1
BD2L9				GR			Silex	Débris	C 1200	M.LT_BD_0000	607	6
BD2L9				LSR	H		Silex	Gélifract	C 1200	M.LT_BD_0000	608	5
BD2L10				GR	H	inférieure	Silex	Éclat cortical (fgt distal)	C 1200	M.LT_BD_0000	579	4
BD2L10				GR			Silex	Gélifract	C 1200	M.LT_BD_0000	609	6
BD2L10				LSR			Silex	Gélifract	C 1200	M.LT_BD_0000	609	6
BD2L10				LSR	H		Silex	Éclat (fgt indéterminé)	C 1200	M.LT_BD_0000	595	4
BD2L10				LSR	H	supérieure	Silex	Débris	C 1200	M.LT_BD_0000	606	6
BD2L10				GR			Silex	Débris	C 1200	M.LT_BD_0000	606	6
BD2L9				GR	H	inférieure	Silex	Éclat de façonnage	C 1200	M.LT_BD_0000	590	2
BD2L10				GR			Silex	Éclat (fgt distal)	C 1200	M.LT_BD_0000	586	3
BD2L10				GR	H	supérieure	Silex	Débris	C 1200	M.LT_BD_0000	606	6
BD2L10				LSR	H	inférieure	Silex	Débris	C 1200	M.LT_BD_0000	606	6
BD2L10				GR	H	supérieure	Silex	Débris	C 1200	M.LT_BD_0000	607	6
BD2L10				GR	V		Silex	Éclat	C 1200	M.LT_BD_0000	594	3
BD2L10				GR			Silex	Gélifract	C 1200	M.LT_BD_0000	608	5

Zone Secteur	Carré	Sous-carré	N° de décapage	Unité Pédo-stratigraphique	Position	Repose sur face	Matériau	Descriptif détaillé	Parcelle	Code SRA	Réf. contenant POCHE	Réf. contenant CAISSE
BD8L11				LSB	V		Silex	Débris	C 1200	M.LT_BD_0000	606	6
BD2L9				GR			Silex	Bloc brut	C 1200	M.LT_BD_0000	656	15
BD2L9				GR			Silex	Gélifract	C 1200	M.LT_BD_0000	608	5
BD2L9				GR			Silex	Gélifract	C 1200	M.LT_BD_0000	608	5
BD2L9				GR			Silex	Gélifract	C 1200	M.LT_BD_0000	609	6
BD8L11				GBR/A	O		Silex	Débris	C 1200	M.LT_BD_0000	609	6
BD8L11				GBR/A	O		Silex	Éclat de façonnage (fgt proximal)	C 1200	M.LT_BD_0000	597	2
BD8L11				GBR/A	O		Silex	Éclat de façonnage	C 1200	M.LT_BD_0000	590	2
BD2L9				GR			Silex	Éclat (fgt proximal)	C 1200	M.LT_BD_0000	601	2
BD2L9				GR			Silex	Éclat cortical (fgt distal)	C 1200	NON RETROUVE		
BD8L11				GBR/A	O		Silex	Débris	C 1200	M.LT_BD_0000	607	6
BD8L11				GBR/A	O		Silex	Denticulé	C 1200	M.LT_BD_0000	604	3
BD8L10				GBR/A	H		Silex	Éclat cortical (fgt distal)	C 1200	M.LT_BD_0000	579	4
BD2L9				GR			Silex	Bloc brut (fgt)	C 1200	M.LT_BD_0000	656	15
BD2L9				GR	H	inférieure	Silex	Racloir (fgt)	C 1200	M.LT_BD_0000	604	3
BD2L9				GR	DC		Silex	Éclat à dos cortical	C 1200	M.LT_BD_0000	579	4
BD5L5				LSJ	H	inférieure	Silex	Éclat cortical (fgt proximal)	C 1200	M.LT_BD_0000	580	3
BD5L5				LSJ	H	inférieure	Silex	Éclat Levallois	C 1200	M.LT_BD_0000	599	2
BD5L5				LSJ			Silex	Éclat de retouche	C 1200	M.LT_BD_0000	596	2
BD5L5				LSJ			Silex	Gélifract	C 1200	M.LT_BD_0000	609	6
BD8L10				LSB			Silex	Éclat cortical	C 1200	M.LT_BD_0000	603	4
BD5L5				LSB	H		Silex	Gélifract	C 1200	M.LT_BD_0000	609	6
BD5L5				LSB	H	inférieure	Silex	Éclat de façonnage	C 1200	M.LT_BD_0000	590	2
BD5L5				LSB	O	inférieure	Silex	Éclat (fgt proximal)	C 1200	M.LT_BD_0000	600	2
BD5L5				LSB	H	supérieure	Silex	Éclat de façonnage (fgt proximal)	C 1200	M.LT_BD_0000	597	2
BD5L5				LSB	H	supérieure	Silex	Éclat cortical (fgt distal)	C 1200	NON RETROUVE		
BD5L5				LSB	H	inférieure	Silex	Éclat (fgt longitudinal)	C 1200	M.LT_BD_0000	586	3
BD5L5				LSB	O	supérieure	Silex	Uniface	C 1200	M.LT_BD_2065		1
BD8L10				LSB	O		Silex	Racloir à retouche biface	C 1200	M.LT_BD_2066		1
BD5L5				LSB	H		Silex	Débris	C 1200	M.LT_BD_0000	606	6
BD5L5				LSB	H	supérieure	Silex	Racloir déjeté	C 1200	M.LT_BD_2068		1
BD8L10				LSBR/A	O		Silex	Éclat (fgt distal)	C 1200	M.LT_BD_0000	591	2
BD8L10				LSBR/A	O		Silex	Racloir à retouche biface	C 1200	M.LT_BD_2070		1
BD5L5				LSB	O	inférieure	Silex	Éclat cortical	C 1200	M.LT_BD_0000	585	3
BD5L5				LSB	DC		Silex	Éclat cortical (fgt longitudinal)	C 1200	M.LT_BD_0000	586	3
BD5L5				LSB	H	supérieure	Silex	Éclat	C 1200	NON RETROUVE		
BD5L5				LSB	O	supérieure	Silex	Éclat de façonnage	C 1200	M.LT_BD_0000	590	2
BD8L10				LSBR/A	O		Silex	Éclat (fgt indéterminé)	C 1200	M.LT_BD_0000	595	4
BD8L10				LSBR/A	O		Silex	Éclat (fgt distal)	C 1200	M.LT_BD_0000	591	2
BD8L10				LSBR/A	O		Silex	Éclat de façonnage	C 1200	M.LT_BD_0000	588	3
BD5L5				LSBr	H	supérieure	Silex	Éclat cortical	C 1200	M.LT_BD_0000	580	3
BD5L5				LSBr	H	inférieure	Silex	Éclat de façonnage cortical	C 1200	M.LT_BD_0000	580	3
BD5L5				LSBr	H	supérieure	Silex	Éclat (fgt indéterminé)	C 1200	M.LT_BD_0000	596	2
BD5L5				LSBr	H	supérieure	Silex	Éclat de façonnage (fgt proximal)	C 1200	M.LT_BD_0000	597	2
BD5L5				LSBr	O	supérieure	Silex	Éclat de façonnage	C 1200	M.LT_BD_0000	590	2
BD5L5				LSBr	O	inférieure	Silex	Éclat de façonnage cortical	C 1200	M.LT_BD_0000	580	3
BD5L5				LSBr	H	supérieure	Silex	Éclat de façonnage cortical	C 1200	M.LT_BD_0000	580	3
BD5L5				LSBr	H	supérieure	Silex	Éclat de façonnage	C 1200	M.LT_BD_0000	590	2
BD5L5				LSBr	H	inférieure	Silex	Éclat de coup de tranchet	C 1200	M.LT_BD_0000	598	2
BD8L10				LSJp	V		Silex	Gélifract	C 1200	M.LT_BD_0000	609	6
BD5L5				LSB	O		Silex	Éclat Kombewa	C 1200	M.LT_BD_0000	598	2
BD5L5				LSB	H	inférieure	Silex	Éclat (fgt distal)	C 1200	M.LT_BD_0000	591	2
BD5L5				LSB	O	inférieure	Silex	Éclat de façonnage (fgt proximal)	C 1200	M.LT_BD_0000	597	2
BD5L5				GBR	O		Silex	Débris	C 1200	M.LT_BD_0000	606	6
BD5L5				GBR	H	inférieure	Silex	Éclat de façonnage (fgt proximal)	C 1200	M.LT_BD_0000	596	2
BD5L5				LBp	DC		Silex	Racloir alterne	C 1200	M.LT_BD_2093		1
BD5L5				LBp	H		Silex	Éclat de façonnage	C 1200	M.LT_BD_0000	590	2
BD5L5				LSB	H	supérieure	Silex	Biface	C 1200	M.LT_BD_2095		1
BD5L5				LSB	H		Silex	Éclat de façonnage	C 1200	M.LT_BD_0000	590	2
BD5L5				LSB	DC		Silex	Éclat de façonnage	C 1200	M.LT_BD_0000	590	2
BD5L6				LSB	DC		Silex	Éclat de façonnage	C 1200	M.LT_BD_0000	590	2
BD5L6				LSB	O		Silex	Gélifract	C 1200	M.LT_BD_0000	608	5
BD5L6				LSB	H		Silex	Gélifract	C 1200	M.LT_BD_0000	609	6
BD5L6				LSB	H		Silex	Racloir à retouche biface	C 1200	M.LT_BD_0000	604	3
BD5L6				LSB	O		Silex	Éclat cortical (fgt distal)	C 1200	NON RETROUVE		
BD5L6				LSB	O		Silex	Éclat de façonnage	C 1200	M.LT_BD_0000	589	2
BD5L6				LSB	O		Silex	Éclat (fgt distal)	C 1200	M.LT_BD_0000	586	3
BD5L6				LSB	O		Silex	Eclat (fgt indéterminé)	C 1200	M.LT_BD_0000	595	4
BD5L6				LSB	O		Silex	Éclat (fgt distal)	C 1200	M.LT_BD_0000	591	2
BD5L6				LSB	O		Silex	Éclat de façonnage	C 1200	M.LT_BD_0000	588	3
BD5L6				LSB	O		Silex	Éclat (fgt distal)	C 1200	M.LT_BD_0000	586	3
BD5L6				LSB	O		Silex	Racloir alterne	C 1200	M.LT_BD_0000	601	2
BD5L6				LSB	O		Silex	Éclat cortical (fgt distal)	C 1200	NON RETROUVE		
BD5L6				LSB	O		Silex	Éclat (fgt indéterminé)	C 1200	M.LT_BD_0000	595	4
BD5L6				LSB	O		Silex	Éclat de façonnage	C 1200	M.LT_BD_0000	590	2
BD5L6				LSB	H		Grès quartzite	Bloc brut	C 1200	NON CONSERVE		
BD5L6				LSB	H		Grès quartzite	Bloc testé	C 1200	M.LT_BD_2116		15
BD5L6				LSB	H		Silex	Éclat (fgt proximal)	C 1200	M.LT_BD_0000	600	2
BD5L6				LSB	H		Silex	Débris	C 1200	M.LT_BD_0000	606	6
BD5L6				LSB	O		Silex	Éclat de façonnage Kombewa	C 1200	M.LT_BD_0000	598	2
BD5L6				LSB	V		Silex	Éclat de façonnage	C 1200	M.LT_BD_0000	590	2
BD5L6				LSB	H		Silex	Éclat (fgt mésial)	C 1200	M.LT_BD_0000	587	3
BD5L6				LSB	O		Silex	Éclat de façonnage (fgt proximal)	C 1200	M.LT_BD_0000	597	2
BD5L6				LSB	H		Silex	Éclat de coup de tranchet	C 1200	M.LT_BD_2123		1
BD5L6				LSB	O		Silex	Racloir à retouche abrupte	C 1200	M.LT_BD_2124		1
BD5L6				LSBR	DC		Silex	Éclat de façonnage	C 1200	M.LT_BD_0000	590	2
BD5L6				LSBR	H		Silex	Éclat de façonnage (fgt proximal)	C 1200	M.LT_BD_0000	596	2
BD5L6				LSB	O		Silex	Biface	C 1200	M.LT_BD_2127		1
BD5L6				LSB	O		Silex	Éclat cortical	C 1200	M.LT_BD_0000	578	4
BD5L6				LSB	O		Silex	Éclat cortical	C 1200	M.LT_BD_0000	582	4
BD5L6				LSB	H		Silex	Éclat cortical (fgt distal)	C 1200	M.LT_BD_0000	579	4
BD5L6				LSB	O		Silex	Éclat de façonnage cortical	C 1200	M.LT_BD_0000	580	3
BD5L6				LSB/GB	DC		Silex	Éclat de façonnage cortical (fgt proximal)	C 1200	M.LT_BD_0000	584	3
BD5L6				LSB/GB	H		Silex	Éclat	C 1200	M.LT_BD_0000	584	3
BD5L6				LSB/GB	H		Silex	Éclat (fgt distal)	C 1200	M.LT_BD_0000	586	3
BD5L6				LSB/GB	H		Silex	Éclat de façonnage	C 1200	M.LT_BD_0000	590	2
BD5L6				GB	DC		Silex	Éclat de façonnage	C 1200	M.LT_BD_0000	590	2
BD5L6				LSB	O		Silex	Éclat (fgt distal)	C 1200	M.LT_BD_0000	586	3
BD5L6				LSB	O		Silex	Éclat de façonnage	C 1200	M.LT_BD_0000	590	2
BD5L6				LSB	H		Silex	Éclat (fgt mésial)	C 1200	M.LT_BD_0000	588	3
BD5L7				LSJ	DC		Silex	Éclat Kombewa	C 1200	M.LT_BD_0000	598	2
BD5L7				LSJ	O		Silex	Racloir à retouche biface	C 1200	M.LT_BD_2141		1
BD5L7				LSJ	O		Silex	Gélifract	C 1200	M.LT_BD_0000	609	6
BD5L7				LSB	H		Silex	Éclat (fgt distal)	C 1200	M.LT_BD_0000	591	2
BD5L7				LSB	O		Silex	Éclat de façonnage	C 1200	M.LT_BD_0000	590	2
BD5L7				LSJp	O		Silex	Éclat cortical	C 1200	M.LT_BD_0000	581	4
BD6L5				LSJ	O		Silex	Éclat cortical	C 1200	M.LT_BD_0000	580	3
BD6L5				LSJ	H		Grès quartzite	Bloc brut	C 1200	M.LT_BD_2148		13
BD6L5				LSJ	H		Silex	Débris	C 1200	M.LT_BD_0000	606	6
BD6L5				LSJ	O		Silex	Éclat de façonnage (fgt proximal)	C 1200	M.LT_BD_0000	597	2
BD6L5				LSJ	O		Silex	Éclat	C 1200	M.LT_BD_0000	594	3
BD6L5				LSJ	O		Silex	Éclat de façonnage	C 1200	M.LT_BD_0000	589	2
BD6L5				LSJ	O		Silex	Gélifract	C 1200	M.LT_BD_0000	609	6
BD6L5				LSJ	O		Silex	Éclat de façonnage	C 1200	M.LT_BD_0000	590	2
BD6L5				LSJ	O		Silex	Éclat (fgt indéterminé)	C 1200	M.LT_BD_0000	596	2
BD6L5	D6 93	a		LSJ	O		Silex	Éclat de façonnage (fgt proximal)	C 1200	M.LT_BD_0000	597	2
BD6L5				LSJ	O		Silex	Éclat de façonnage	C 1200	M.LT_BD_0000	588	3
BD6L5				LSJ	H		Silex	Éclat de façonnage cortical	C 1200	M.LT_BD_0000	580	3
BD6L5				LSJ	O		Silex	Débris	C 1200	M.LT_BD_0000	606	6
BD6L5				LSJ	O		Grès	Galet brut	C 1200	M.LT_BD_2160		12
BD6L5				LSJ	O		Silex	Éclat de façonnage	C 1200	M.LT_BD_0000	590	2
BD6L5				LSB	H	inférieure	Silex	Éclat de façonnage (fgt proximal)	C 1200	M.LT_BD_0000	597	2
BD6L5				LSB	O		Silex	Éclat de façonnage	C 1200	M.LT_BD_0000	590	2
BD6L5				LSB	O		Silex	Biface (fgt)	C 1200	M.LT_BD_2164		8
BD6L5				LSB	O		Silex	Nucléus multifacial	C 1200	M.LT_BD_2165		1
BD6L5				LSB	H		Grès	Bloc testé	C 1200	M.LT_BD_2166		14
BD6L5				LSB	H		Grès quartzite	Bloc brut	C 1200	NON CONSERVE		

Zone Secteur	Carré	Sous-carré	N° de décapage	Unité Pédo-stratigraphique	Position	Repose sur face	Matériau	Descriptif détaillé	Parcelle	Code SRA	Réf. contenant POCHE	Réf. contenant CAISSE
BD6L5				LSB	O		Silex	Éclat (fgt distal)	C 1200	M.LT_BD_0000	592	3
BD6L5				LSB	V		Silex	Éclat	C 1200	M.LT_BD_0000	593	3
BD6L5				LSB	DC		Silex	Éclat	C 1200	M.LT_BD_0000	598	2
BD6L5				LSB	O		Silex	Cupule de gel	C 1200	M.LT_BD_0000	609	6
BD6L5				LSB	H		Silex	Racloir sur face plane	C 1200	M.LT_BD_2172		1
BD6L5				LSB	H		Silex	Éclat (fgt indéterminé)	C 1200	M.LT_BD_0000	596	2
BD6L5				LSB	H		Silex	Éclat de façonnage	C 1200	M.LT_BD_0000	588	3
BD6L5				LSB	H		Silex	Éclat (fgt distal)	C 1200	M.LT_BD_0000	592	3
BD6L5				LSB	H		Silex	Éclat de façonnage	C 1200	M.LT_BD_0000	590	2
BD6L5				LSB	O		Silex	Racloir simple	C 1200	M.LT_BD_0000	604	3
BD6L5				LSB	H		Silex	Débris	C 1200	M.LT_BD_0000	606	6
BD6L5				LSB	H		Silex	Éclat de façonnage cortical (fgt proximal)	C 1200	M.LT_BD_0000	578	4
BD6L5				LSB	H		Silex	Éclat (fgt distal)	C 1200	M.LT_BD_0000	591	2
BD6L5				LSB	O		Silex	Éclat (fgt distal)	C 1200	M.LT_BD_0000	591	2
BD6L5				LSB			Silex	Éclat	C 1200	M.LT_BD_0000	593	3
BD6L5				LSB	H	supérieure	Silex	Éclat	C 1200	NON RETROUVE		
BD6L5				LSBR	H		Silex	Éclat (fgt longitudinal)	C 1200	M.LT_BD_0000	586	3
BD6L5				LSBR	H	inférieure	Silex	Éclat (fgt proximal)	C 1200	M.LT_BD_0000	600	2
BD6L5				LSBr	O		Silex	Biface	C 1200	M.LT_BD_2186		8
BD6L5					H	supérieure	Silex	Éclat de façonnage	C 1200	M.LT_BD_0000	589	2
BD6L5				LSR	H	supérieure	Silex	Éclat de façonnage	C 1200	M.LT_BD_0000	590	2
BD6L5				LSB	H	supérieure	Silex	Éclat cortical	C 1200	M.LT_BD_0000	580	3
BD6L5				LSB	H	supérieure	Silex	Grattoir en bout de racloir	C 1200	M.LT_BD_2190		1
BD6L5				LSB	H	inférieure	Silex	Éclat de façonnage	C 1200	M.LT_BD_0000	590	2
BD6L5				LSB	H	inférieure	Silex	Éclat cortical	C 1200	M.LT_BD_0000	582	4
BD6L5				LSB	H		Quartzite	Bloc brut	C 1200	M.LT_BD_2193		14
BD6L5				LSB	H		Silex	Éclat de façonnage	C 1200	M.LT_BD_0000	588	3
BD6L5				LSB	O	inférieure	Silex	Éclat de coup de tranchet	C 1200	M.LT_BD_0000	598	2
BD6L5				LSB	H	inférieure	Silex	Éclat de façonnage	C 1200	M.LT_BD_0000	590	2
BD6L5					H	supérieure	Silex	Éclat de façonnage	C 1200	M.LT_BD_0000	589	2
BD6L5					H	supérieure	Silex	Racloir déjeté	C 1200	M.LT_BD_2198		1
BD6L6				LSJ	H	inférieure	Silex	Gélifract	C 1200	M.LT_BD_0000	608	5
BD6L6				LSJ			Silex	Éclat (fgt proximal)	C 1200	M.LT_BD_0000	600	2
BD6L6				LSJ			Silex	Nucléus multifacial	C 1200	M.LT_BD_0000	603	4
BD6L6				LSJ	H		Silex	Biface	C 1200	M.LT_BD_2202		1
BD6L6				LSJ	H	supérieure	Silex	Éclat (fgt mésial)	C 1200	M.LT_BD_0000	587	3
BD6L6				LSB	H	supérieure	Silex	Débris	C 1200	M.LT_BD_0000	606	6
BD6L6				LSB	H	supérieure	Silex	Bloc brut	C 1200	NON CONSERVE		
BD6L6				LSB	H	supérieure	Silex	Débris	C 1200	M.LT_BD_0000	606	6
BD6L6				LSB	H	supérieure	Silex	Éclat cortical (fgt longitudinal)	C 1200	M.LT_BD_0000	578	4
BD6L6				LSB	H	inférieure	Silex	Éclat de façonnage	C 1200	M.LT_BD_0000	590	2
BD6L6				LSB			Silex	Éclat de façonnage	C 1200	M.LT_BD_0000	590	2
BD6L6				LSB	O	inférieure	Silex	Éclat de façonnage	C 1200	M.LT_BD_0000	588	3
BD6L6				LSBr	H	supérieure	Silex	Éclat de façonnage	C 1200	M.LT_BD_0000	590	2
BD6L6				GR	O	inférieure	Silex	Éclat de façonnage	C 1200	M.LT_BD_0000	590	2
BD6L6				GR	H	inférieure	Silex	Éclat de façonnage (fgt proximal)	C 1200	M.LT_BD_0000	597	2
BD6L6					H	inférieure	Silex	Éclat de coup de tranchet	C 1200	M.LT_BD_0000	598	2
BD6L6					H	supérieure	Silex	Éclat (fgt distal)	C 1200	M.LT_BD_0000	592	3
BD6L6				LSR	H		Silex	Éclat de façonnage	C 1200	M.LT_BD_0000	590	2
BD6L6				LSR	DC		Silex	Éclat (fgt distal)	C 1200	M.LT_BD_0000	591	2
BD6L6				LSR	H	supérieure	Silex	Éclat cortical	C 1200	M.LT_BD_0000	578	4
BD6L6				GR			Silex	Éclat cortical	C 1200	M.LT_BD_0000	580	3
BD6L7				LSB			Silex	Débris	C 1200	M.LT_BD_0000	606	6
BD6L7				LSB	H	supérieure	Silex	Éclat cortical	C 1200	M.LT_BD_0000	580	3
BD6L7				LSB	H	inférieure	Silex	Éclat cortical (fgt distal)	C 1200	M.LT_BD_0000	579	4
BD6L7				LSB	DC		Silex	Éclat de façonnage (fgt proximal)	C 1200	M.LT_BD_0000	597	2
BD6L7				LSB	H	supérieure	Silex	Éclat de façonnage	C 1200	M.LT_BD_0000	588	3
BD6L7				LSB	O	supérieure	Silex	Éclat de façonnage	C 1200	M.LT_BD_0000	590	2
BD6L7				LSB	H	supérieure	Silex	Éclat de façonnage	C 1200	M.LT_BD_0000	590	2
BD6L7				LSB	H	supérieure	Silex	Racloir simple	C 1200	M.LT_BD_0000	604	3
BD6L7				LSR	O		Silex	Éclat de façonnage	C 1200	M.LT_BD_0000	588	3
BD6L7				LSR	O	supérieure	Silex	Éclat de retouche	C 1200	M.LT_BD_0000	580	3
BD6L7				LSR	O	supérieure	Silex	Éclat de façonnage	C 1200	M.LT_BD_0000	590	2
BD6L7				LSR	H	inférieure	Silex	Éclat cortical	C 1200	M.LT_BD_0000	580	3
BD6L7				LSR	DC		Silex	Éclat de façonnage	C 1200	M.LT_BD_0000	588	3
BD6L7				LSR	H	inférieure	Silex	Éclat de façonnage	C 1200	M.LT_BD_0000	588	3
BD6L7				LSJ			Silex	Gélifract	C 1200	M.LT_BD_0000	609	6
BD6L6				GR	H	supérieure	Silex	Éclat de façonnage	C 1200	M.LT_BD_0000	583	3
BD6L6				GR	H	supérieure	Silex	Éclat de façonnage	C 1200	M.LT_BD_0000	590	2
BD7L5				LSJ	H	supérieure	Silex	Éclat (fgt distal)	C 1200	M.LT_BD_0000	591	2
BD5L6				LSB	H	supérieure	Silex	Éclat de façonnage	C 1200	M.LT_BD_0000	589	2
BD5L6				LSB			Silex	Éclat de façonnage	C 1200	M.LT_BD_0000	590	2
BD7L5				LSJ			Silex	Éclat	C 1200	M.LT_BD_0000	593	3
BD7L5				LSJ	H	inférieure	Silex	Éclat	C 1200	M.LT_BD_0000	598	2
BD7L5				LSJ	H		Silex	Éclat de façonnage	C 1200	M.LT_BD_0000	588	3
BD7L5				LSJ	H		Silex	Éclat cortical (fgt proximal)	C 1200	M.LT_BD_0000	578	4
BD7L5				LSJ	H	supérieure	Silex	Éclat de façonnage	C 1200	M.LT_BD_0000	589	2
BD7L5				LSB			Silex	Bloc brut (fgt)	C 1200	M.LT_BD_0000	656	15
BD7L5				LSB			Silex	Bloc brut (fgt)	C 1200	M.LT_BD_0000	656	15
BD7L5				LSB	H	inférieure	Silex	Éclat (fgt distal)	C 1200	M.LT_BD_0000	591	2
BD7L5				LSB	H	inférieure	Silex	Éclat cortical	C 1200	M.LT_BD_0000	594	3
BD7L5				LSB	H	inférieure	Silex	Racloir double	C 1200	M.LT_BD_0000	604	3
BD7L5				LSB	H	inférieure	Silex	Éclat (fgt mésial)	C 1200	M.LT_BD_0000	588	3
BD7L5					DC		Silex	Éclat cortical	C 1200	M.LT_BD_0000	581	4
BD7L5				LSB			Silex	Éclat	C 1200	M.LT_BD_0000	583	3
BD7L5				LSB	H		Silex	Biface	C 1200	M.LT_BD_2252		1
BD7L5				LSB	V		Silex	Éclat de façonnage	C 1200	M.LT_BD_0000	584	3
BD7L5				LSB	O	supérieure	Silex	Éclat cortical	C 1200	M.LT_BD_0000	582	4
BD7L5				LSB			Silex	Éclat (fgt longitudinal)	C 1200	M.LT_BD_0000	587	3
BD7L5				LSB	H	inférieure	Silex	Racloir simple	C 1200	M.LT_BD_0000	604	3
BD7L5				LSB	H	inférieure	Silex	Éclat (fgt distal)	C 1200	M.LT_BD_0000	591	2
BD7L5				LSB	H	supérieure	Silex	Éclat de façonnage	C 1200	M.LT_BD_0000	590	2
BD7L5				LSR	O	inférieure	Silex	Éclat cortical (fgt distal)	C 1200	M.LT_BD_0000	579	4
BD7L5					H	inférieure	Silex	Éclat de façonnage (fgt proximal)	C 1200	M.LT_BD_0000	597	2
BD7L5					O	inférieure	Silex	Éclat de façonnage	C 1200	M.LT_BD_0000	590	2
BD7L5					H	supérieure	Silex	Éclat de façonnage	C 1200	M.LT_BD_0000	590	2
BD7L5				LSB	H	inférieure	Silex	Éclat de façonnage	C 1200	M.LT_BD_0000	590	2
BD7L5				LSB	H	supérieure	Silex	Racloir (fgt)	C 1200	M.LT_BD_0000	604	3
BD7L5				LSR	H	supérieure	Silex	Éclat (fgt longitudinal)	C 1200	M.LT_BD_0000	587	3
BD7L5				LSB	DC		Silex	Racloir sur face plane	C 1200	M.LT_BD_2266		1
BD7L5				LSB	O		Silex	Éclat de façonnage	C 1200	M.LT_BD_0000	590	2
BD7L5				LSB	H	inférieure	Silex	Éclat cortical	C 1200	M.LT_BD_0000	580	3
BD7L5				LSB	H		Silex	Unifface	C 1200	M.LT_BD_2269		1
BD7L5				LSB	H	supérieure	Silex	Éclat de façonnage	C 1200	M.LT_BD_0000	590	2
BD7L5				LSB	H		Silex	Éclat de façonnage	C 1200	M.LT_BD_0000	589	2
BD7L5				LSB	H	supérieure	Silex	Éclat de façonnage (fgt proximal)	C 1200	M.LT_BD_0000	597	2
BD7L5				LSR			Silex	Éclat cortical (fgt distal)	C 1200	M.LT_BD_0000	579	4
BD7L5				LSR	H		Silex	Éclat cortical (fgt proximal)	C 1200	M.LT_BD_0000	578	4
BD7L5				LSR	O	inférieure	Silex	Éclat (fgt distal)	C 1200	M.LT_BD_0000	591	2
BD7L5				LSR	H	supérieure	Silex	Éclat de façonnage	C 1200	M.LT_BD_0000	590	2
BD7L5				LSR			Silex	Éclat (fgt distal)	C 1200	M.LT_BD_0000	591	2
BD7L5				GR	H	inférieure	Silex	Éclat de façonnage	C 1200	M.LT_BD_0000	590	2
BD7L5				GR	H	inférieure	Silex	Éclat avec retouche d'utilisation	C 1200	M.LT_BD_2281		1
BD7L5				GR	H	inférieure	Silex	Éclat cortical	C 1200	NON RETROUVE		
BD7L5				GR	H		Silex	Éclat de façonnage	C 1200	M.LT_BD_0000	590	2
BD7L5				GR	H	inférieure	Silex	Éclat de façonnage	C 1200	M.LT_BD_0000	590	2
BD7L5				GR	H		Silex	Unifface	C 1200	M.LT_BD_2285		1
BD7L5				GR			Silex	Débris	C 1200	M.LT_BD_0000	607	6
CP07				LSB	O		Silex	Biface	C 1200	M.LT_BD_2287		1
BD7L5				GR			Silex	Éclat cortical	C 1200	M.LT_BD_0000	585	3
BD7L5				GR	O	inférieure	Silex	Éclat débordant	C 1200	M.LT_BD_0000	598	2
BD7L5				GR	O	inférieure	Silex	Éclat de façonnage cortical (fgt distal)	C 1200	M.LT_BD_0000	584	3
BD7L5				GR	H	inférieure	Silex	Éclat de façonnage (fgt proximal)	C 1200	M.LT_BD_0000	597	2
BD7L5				GR			Silex	Éclat de façonnage cortical	C 1200	M.LT_BD_0000	582	4
BD7L5				GR			Silex	Éclat de façonnage cortical	C 1200	M.LT_BD_0000	580	3
BD7L5				GR			Quartz	Galet brut	C 1200	M.LT_BD_2294		14

Zone Secteur	Carré	Sous-carré	N° de décapage	Unité Pédo-stratigraphique	Position	Repose sur face	Matériau	Descriptif détaillé	Parcelle	Code SRA	Réf. contenant POCHE	Réf. contenant CAISSE
BD7L5				GR	V		Silex	Éclat (fgt proximal)	C 1200	NON RETROUVE		
BD7L5				GR	V		Silex	Éclat de façonnage	C 1200	M.LT_BD_0000	590	2
BD7L5				GR	H	inférieure	Silex	Éclat (fgt distal)	C 1200	M.LT_BD_0000	598	2
BD7L5				GR	H	inférieure	Silex	Éclat de façonnage	C 1200	M.LT_BD_0000	590	2
BD7L5				SR	H	inférieure	Silex	Éclat de façonnage cortical	C 1200	M.LT_BD_0000	580	3
BD7L5				GR/SR	H	inférieure	Silex	Éclat avec retouche d'utilisation	C 1200	M.LT_BD_2300		1
BD7L5				GR/SR	O	inférieure	Silex	Débris	C 1200	M.LT_BD_0000	607	6
BD7L5				GR/SR	O	inférieure	Silex	Éclat de façonnage	C 1200	M.LT_BD_0000	588	3
BD7L5				GR/SR	O	inférieure	Silex	Éclat de façonnage cortical	C 1200	M.LT_BD_0000	580	3
BD7L5				GR/SR	H		Silex	Biface	C 1200	M.LT_BD_2304		1
BD7L5				GR/SR			Silex	Débris	C 1200	M.LT_BD_0000	606	6
BD7L5				GR/SR	H	supérieure	Silex	Débris	C 1200	M.LT_BD_0000	606	6
BD7L5				GR/SR			Silex	Éclat de façonnage	C 1200	M.LT_BD_0000	590	2
BD7L5				GR/SR	H		Silex	Éclat (fgt distal)	C 1200	M.LT_BD_0000	592	3
BD7L5				GR/SR	H		Silex	Éclat cortical (fgt proximal)	C 1200	M.LT_BD_0000	578	4
BD7L5				GR/SR	H	supérieure	Silex	Éclat de façonnage	C 1200	M.LT_BD_0000	590	2
BD7L5				GR/SR			Silex	Éclat de façonnage (fgt proximal)	C 1200	M.LT_BD_0000	596	2
BD7L5				GR/SR	H	supérieure	Silex	Éclat de façonnage	C 1200	M.LT_BD_0000	588	3
BD7L5				LSR/GR			Silex	Gélifract	C 1200	M.LT_BD_0000	608	5
BD7L5				LSR/GR	H	inférieure	Silex	Éclat de façonnage	C 1200	M.LT_BD_0000	588	3
BD7L5				LSR/GR			Silex	Éclat cortical (fgt distal)	C 1200	NON RETROUVE		
BD7L5				LSR/GR	H	supérieure	Silex	Éclat cortical (fgt proximal)	C 1200	M.LT_BD_0000	578	4
BD7L5				LSR/GR	O	supérieure	Silex	Éclat cortical (fgt proximal)	C 1200	M.LT_BD_0000	581	4
BD7L5				LSR/GR	H	supérieure	Silex	Éclat cortical (fgt distal)	C 1200	M.LT_BD_0000	579	4
BD7L5				LSR/GR			Silex	Éclat (fgt distal)	C 1200	M.LT_BD_0000	591	2
BD7L6				LSJ	O	supérieure	Silex	Éclat de façonnage	C 1200	M.LT_BD_0000	590	2
BD7L6				LSJ			Silex	Gélifract	C 1200	M.LT_BD_0000	609	6
BD7L6				LSJ	H	inférieure	Silex	Éclat	C 1200	M.LT_BD_0000	594	3
BD7L6				LSJ	H	supérieure	Silex	Éclat de façonnage (fgt proximal)	C 1200	M.LT_BD_0000	597	2
BD7L6				LSB	H	inférieure	Silex	Éclat cortical (fgt distal)	C 1200	NON RETROUVE		
BD7L6				LSB			Silex	Biface	C 1200	M.LT_BD_2325		1
BD7L6				LSB	H	supérieure	Silex	Éclat (fgt distal)	C 1200	M.LT_BD_0000	591	2
BD7L6				LSB	H	supérieure	Silex	Cupule de gel	C 1200	M.LT_BD_0000	609	6
BD7L6				LSB			Silex	Biface	C 1200	M.LT_BD_2328		1
BD7L6				LSB	O	inférieure	Silex	Éclat de façonnage	C 1200	M.LT_BD_0000	589	2
BD7L6				LSR/GR	H		Silex	Éclat (fgt proximal)	C 1200	M.LT_BD_0000	601	2
BD7L6				LSR/GR	H	supérieure	Silex	Éclat cortical	C 1200	M.LT_BD_0000	580	3
BD7L6				LSR/GR	H	supérieure	Silex	Éclat cortical	C 1200	M.LT_BD_0000	581	4
BD7L6				LSR/GR	H	inférieure	Silex	Racloir simple	C 1200	M.LT_BD_0000	604	3
BD7L6				LSR/GR	H	supérieure	Silex	Éclat de façonnage (fgt proximal)	C 1200	M.LT_BD_0000	597	2
BD7L6				GR			Silex	Éclat de façonnage (fgt proximal)	C 1200	M.LT_BD_0000	596	2
BD7L6				GR			Silex	Racloir (fgt)	C 1200	M.LT_BD_0000	604	3
BD7L6				GR	H	inférieure	Silex	Éclat	C 1200	M.LT_BD_0000	593	3
BD7L6				GR	H	inférieure	Silex	Éclat de façonnage cortical	C 1200	M.LT_BD_0000	589	2
BD7L6				GR	H	inférieure	Silex	Éclat de façonnage	C 1200	M.LT_BD_0000	590	2
BD7L6				GR	O	supérieure	Silex	Éclat de façonnage cortical	C 1200	M.LT_BD_0000	580	3
BD7L6				GR	O	supérieure	Silex	Éclat de façonnage cortical	C 1200	M.LT_BD_0000	580	3
BD7L6				GR	H	supérieure	Silex	Éclat de façonnage	C 1200	M.LT_BD_0000	590	2
BD7L6				GR	O	inférieure	Silex	Éclat (fgt proximal)	C 1200	M.LT_BD_0000	601	2
BD7L6				GR	DC		Silex	Éclat de façonnage (fgt indéterminé)	C 1200	M.LT_BD_0000	595	4
BD7L6				GR	DC		Silex	Cupule de gel	C 1200	M.LT_BD_0000	609	6
BD7L6				GR/SR	H	supérieure	Silex	Éclat de façonnage	C 1200	M.LT_BD_0000	589	2
BD7L6				GR/SR	H	inférieure	Silex	Éclat cortical	C 1200	M.LT_BD_0000	598	2
BD7L6				LSR/SR	H	supérieure	Silex	Éclat de façonnage	C 1200	M.LT_BD_0000	590	2
BD7L6				LSR/SR	O		Silex	Éclat de façonnage	C 1200	M.LT_BD_0000	588	3
BD7L6				SR			Silex	Débris	C 1200	M.LT_BD_0000	607	6
BD7L6				SR	H	inférieure	Silex	Éclat de façonnage	C 1200	M.LT_BD_0000	590	2
BD7L6				SR	H	supérieure	Silex	Éclat cortical	C 1200	M.LT_BD_2352		1
BD8L5				LSJ	H	supérieure	Silex	Éclat cortical	C 1200	M.LT_BD_0000	581	4
BD8L5				LSJ			Grès	Nucléus	C 1200	M.LT_BD_2354		12
BD8L5				LSJ			Silex	Éclat (fgt indéterminé)	C 1200	M.LT_BD_0000	596	2
BD8L5				LSJ	H	inférieure	Silex	Éclat de coup de tranchet	C 1200	M.LT_BD_0000	598	2
BD8L5				LSJ			Silex	Gélifract	C 1200	M.LT_BD_0000	609	6
BD8L5				LSJ	V		Silex	Éclat (fgt mésial)	C 1200	M.LT_BD_0000	587	3
BD8L5				LSJ/LSB			Silex	Gélifract	C 1200	M.LT_BD_0000	609	6
BD8L5				LSJ/LSB	H	inférieure	Silex	Éclat de façonnage (fgt proximal)	C 1200	M.LT_BD_0000	597	2
BD8L5				LSJ/LSB	H	supérieure	Silex	Éclat cortical (fgt proximal)	C 1200	M.LT_BD_0000	578	4
BD8L5				LSJ/LSB	H		Silex	Cupule de gel	C 1200	M.LT_BD_0000	608	5
BD8L5				LSB/GB	V		Silex	Débris	C 1200	M.LT_BD_0000	606	6
BD8L5				LSB/GB			Silex	Éclat cortical	C 1200	M.LT_BD_0000	594	3
BD8L5				LSB/GB			Silex	Bloc brut (fgt)	C 1200	M.LT_BD_0000	609	6
BD8L5				LSB			Silex	Gélifract	C 1200	NON CONSERVE		
BD8L5				LSB			Silex	Gélifract	C 1200	M.LT_BD_0000	609	6
BD8L5				LSB			Silex	Éclat (fgt indéterminé)	C 1200	M.LT_BD_0000	594	3
BD8L5				LSB			Silex	Éclat de façonnage	C 1200	M.LT_BD_0000	585	3
BD8L5				LSB			Silex	Débris	C 1200	M.LT_BD_0000	607	6
BD8L5				LSB	H	inférieure	Silex	Éclat de façonnage	C 1200	M.LT_BD_0000	590	2
BD8L5				LSB			Silex	Éclat cortical	C 1200	NON RETROUVE		
BD8L5				LSB			Silex	Gélifract	C 1200	M.LT_BD_0000	608	5
BD8L5				LSB	O	inférieure	Silex	Éclat cortical (fgt proximal)	C 1200	M.LT_BD_0000	578	4
BD8L5				LSB			Silex	Éclat de façonnage	C 1200	M.LT_BD_0000	589	2
BD8L5				LSB	O	inférieure	Silex	Éclat de façonnage cortical	C 1200	M.LT_BD_0000	580	3
BD8L5				LSB			Silex	Nucléus Levallois	C 1200	M.LT_BD_0000	605	5
BD8L5				LSB	H	supérieure	Silex	Denticulé	C 1200	M.LT_BD_0000	595	4
BD8L5				LSB			Silex	Gélifract	C 1200	M.LT_BD_0000	608	5
BD8L5				LSB			Silex	Éclat	C 1200	M.LT_BD_0000	593	3
BD8L5				LSB			Silex	Éclat cortical	C 1200	M.LT_BD_0000	585	3
BD8L5				LSB			Silex	Éclat (fgt indéterminé)	C 1200	M.LT_BD_0000	594	3
BD8L5				LSB			Silex	Éclat de façonnage	C 1200	M.LT_BD_0000	589	2
BD8L5				GR	H	inférieure	Silex	Éclat de façonnage	C 1200	M.LT_BD_0000	595	4
BD8L5				GR			Silex	Éclat cortical	C 1200	M.LT_BD_0000	581	4
BD8L5				GR	DC		Silex	Éclat de façonnage	C 1200	M.LT_BD_0000	588	3
BD8L5				GR	H		Silex	Éclat (fgt mésial)	C 1200	M.LT_BD_0000	587	3
BD8L5				GR			Silex	Éclat cortical	C 1200	M.LT_BD_0000	599	2
BD8L5				SR	H	supérieure	Silex	Éclat à dos cortical	C 1200	M.LT_BD_0000	579	4
BD8L5				GR	H		Silex	Éclat cortical	C 1200	M.LT_BD_0000	582	4
BD8L5				GR	O	supérieure	Silex	Éclat de façonnage	C 1200	M.LT_BD_0000	590	2
BD8L6				LSJ	H		Silex	Éclat	C 1200	M.LT_BD_0000	593	3
BD8L6				LSJ/LSB	V		Silex	Éclat cortical (fgt proximal)	C 1200	M.LT_BD_0000	578	4
BD8L6				LSJ/LSB	H	supérieure	Silex	Éclat Levallois	C 1200	M.LT_BD_0000	599	2
BD8L6				LSJ/LSB	H	supérieure	Silex	Éclat (fgt proximal)	C 1200	M.LT_BD_0000	600	2
BD8L6				LSJ/LSB	H	supérieure	Silex	Débris	C 1200	M.LT_BD_0000	606	6
BD8L6				LSJ/LSB	DC		Silex	Gélifract	C 1200	M.LT_BD_0000	608	5
BD8L6				LSJ/LSB	H		Silex	Éclat cortical (fgt distal)	C 1200	M.LT_BD_0000	579	4
BD8L6				LSJ/LSB	V		Silex	Éclat cortical	C 1200	M.LT_BD_0000	582	4
BD8L6				LSJ/LSB	O	inférieure	Silex	Racloir (fgt)	C 1200	M.LT_BD_0000	604	3
BD8L6				LSJ/LSB	H	supérieure	Silex	Éclat (fgt distal)	C 1200	M.LT_BD_0000	591	2
BD8L6				LSJ/LSB	H	supérieure	Silex	Éclat de façonnage	C 1200	M.LT_BD_0000	588	3
BD8L6				LSJ/LSB	H	supérieure	Silex	Éclat de retouche	C 1200	M.LT_BD_0000	580	3
BD8L6				LSB	V		Silex	Éclat de façonnage	C 1200	M.LT_BD_0000	590	2
BD8L6				SR	H		Silex	Racloir simple	C 1200	M.LT_BD_0000	604	3
BD8L7				LSJ	H	supérieure	Silex	Éclat cortical	C 1200	M.LT_BD_0000	581	4
BD8L7				LSB			Silex	Éclat cortical (fgt distal)	C 1200	NON RETROUVE		
BD8L7				LSB	V		Silex	Éclat (fgt distal)	C 1200	M.LT_BD_0000	591	2
BD8L7				LSB	H		Silex	Biface	C 1200	M.LT_BD_2423		1
BD8L7				LSB			Silex	Éclat (fgt mésial)	C 1200	M.LT_BD_0000	587	3
BD8L7				LSB	H	supérieure	Silex	Éclat (fgt proximal)	C 1200	M.LT_BD_0000	601	2
BD8L7				LSB			Silex	Gélifract	C 1200	M.LT_BD_0000	609	6
BD8L7				LSB	O	inférieure	Silex	Éclat de façonnage (fgt proximal)	C 1200	M.LT_BD_0000	597	2
BD8L7				LSB			Silex	Éclat de façonnage	C 1200	M.LT_BD_0000	590	2
BD8L7				LSB	H	inférieure	Silex	Éclat de façonnage Kombewa	C 1200	M.LT_BD_2429		1
BD8L7				LSB	H	inférieure	Silex	Éclat (fgt distal)	C 1200	M.LT_BD_0000	591	2
BD8L7				LSB	H	supérieure	Silex	Éclat	C 1200	M.LT_BD_0000	593	3
BD8L7				LSR			Silex	Débris	C 1200	M.LT_BD_0000	606	6
BD8L7				GR	H		Silex	Éclat de façonnage	C 1200	M.LT_BD_0000	589	2
BD8L7				GR	O	inférieure	Silex	Éclat de façonnage	C 1200	M.LT_BD_0000	588	3
BD8L7				GR	H	supérieure	Silex	Gélifract	C 1200	M.LT_BD_0000	609	6

Zone Secteur	Carré	Sous-carré	N° de décapage	Unité Pédo-stratigraphique	Position	Repose sur face	Matériau	Descriptif détaillé	Parcelle	Code SRA	Réf. contenant POCHE	Réf. contenant CAISSE
BD8L7				GR	H	supérieure	Silex	Débris	C 1200	M.LT_BD_0000	606	6
BD8L7				GR	H	supérieure	Silex	Éclat de façonnage cortical (fgt proximal)	C 1200	M.LT_BD_0000	578	4
BD8L7				GR	H	supérieure	Silex	Éclat de façonnage	C 1200	M.LT_BD_0000	589	2
BD8L7				GR	O	inférieure	Silex	Éclat cortical	C 1200	M.LT_BD_0000	582	4
BD8L7				GR	H	inférieure	Silex	Éclat de façonnage	C 1200	M.LT_BD_0000	589	2
BD8L7				GR	DC		Silex	Éclat cortical (fgt proximal)	C 1200	M.LT_BD_0000	578	4
BD8L7				GR	H	inférieure	Silex	Éclat cortical (fgt mésial)	C 1200	M.LT_BD_0000	578	4
BD8L7				GR	O	supérieure	Silex	Éclat de façonnage Kombewa	C 1200	M.LT_BD_0000	598	2
BD8L7				GR	H	inférieure	Silex	Eclat cortical (fgt mésial)	C 1200	M.LT_BD_0000	587	3
BD8L7				GR	H	supérieure	Silex	Éclat de façonnage	C 1200	M.LT_BD_0000	590	2
BD9L5				LSB			Silex	Éclat cortical	C 1200	M.LT_BD_0000	585	3
BD9L5				LSB			Silex	Gélifract	C 1200	M.LT_BD_0000	609	6
BD9L5				LSB	V		Silex	Éclat (fgt proximal)	C 1200	M.LT_BD_0000	598	2
BD9L5				LSB	H	inférieure	Silex	Éclat (fgt longitudinal)	C 1200	M.LT_BD_0000	586	3
BD9L5				LSB	O		Silex	Éclat (fgt distal)	C 1200	M.LT_BD_0000	586	3
BD9L5				LSB			Silex	Débris	C 1200	NON CONSERVE		
BD9L5				GB	H		Silex	Éclat de façonnage	C 1200	M.LT_BD_0000	589	2
BD9L5				GR	DC		Silex	Éclat de façonnage cortical	C 1200	M.LT_BD_0000	585	3
BD9L5				GR	H	supérieure	Silex	Éclat de façonnage	C 1200	M.LT_BD_0000	589	2
BD9L6				LSJ	H		Silex	Éclat de façonnage (fgt proximal)	C 1200	M.LT_BD_0000	596	2
BD9L6				LSJ	H		Silex	Éclat (fgt distal)	C 1200	M.LT_BD_0000	586	3
BD9L6				LSB	O	supérieure	Silex	Éclat de coup de tranchet	C 1200	M.LT_BD_2469		1
BD9L6				LSR			Silex	Nucléus indéterminé (fgt)	C 1200	M.LT_BD_0000	605	5
BD9L6				GR	H	supérieure	Silex	Eclat de façonnage (fgt proximal)	C 1200	M.LT_BD_0000	596	2
BD9L6				GR	O	supérieure	Silex	Éclat de façonnage	C 1200	M.LT_BD_0000	590	2
BD9L7				LSJ	V		Silex	Racloir à dos aminci	C 1200	M.LT_BD_2483		1
BD9L7				GR	H	supérieure	Silex	Éclat Kombewa	C 1200	M.LT_BD_2484		1
BD9L7				GR	H	inférieure	Silex	Éclat de façonnage	C 1200	M.LT_BD_0000	590	2
BD9L7				GR	O	supérieure	Silex	Eclat (fgt distal)	C 1200	M.LT_BD_0000	587	3
BD9L7				GR			Silex	Nucléus de gestion de surface non Levallois	C 1200	M.LT_BD_0000	605	5
BD9L7				GR			Silex	Éclat de façonnage	C 1200	M.LT_BD_0000	589	2
BD9L7				GR	H		Silex	Éclat cortical (fgt distal)	C 1200	M.LT_BD_0000	579	4
BD9L7				GR	H	supérieure	Silex	Éclat de façonnage	C 1200	M.LT_BD_0000	588	3
BD9L7				LSB	H		Silex	Racloir à retouche biface	C 1200	M.LT_BD_2497		1
BD9L7				GR	H	supérieure	Silex	Éclat de façonnage	C 1200	M.LT_BD_0000	588	3
BD9L7				LSB			Silex	Gélifract	C 1200	M.LT_BD_0000	609	6
BD9L7				LSB	V		Silex	Débris	C 1200	M.LT_BD_0000	606	6
BD9L7				GR	O	inférieure	Silex	Éclat de façonnage	C 1200	M.LT_BD_0000	590	2
BD9L7				GR			Silex	Éclat (fgt indéterminé)	C 1200	M.LT_BD_0000	595	4
BD9L7				GR	H	supérieure	Silex	Éclat cortical (fgt mésial)	C 1200	M.LT_BD_0000	578	4
BD9L8				LSJ	H	inférieure	Silex	Racloir simple	C 1200	M.LT_BD_2505		1
BD9L8				LSJ			Silex	Éclat débordant	C 1200	M.LT_BD_0000	600	2
BD9L8				LSB	H	supérieure	Silex	Éclat de façonnage	C 1200	M.LT_BD_0000	589	2
BD10L5				LSB	H	supérieure	Silex	Éclat de façonnage	C 1200	M.LT_BD_0000	590	2
BD10L5				GR			Silex	Éclat de façonnage	C 1200	M.LT_BD_0000	589	2
BD11L5				LSJ	V		Silex	Gélifract	C 1200	M.LT_BD_0000	609	6
BD10L6				GR			Silex	Éclat cortical (fgt proximal)	C 1200	M.LT_BD_0000	578	4
BD11L6				LSJ			Silex	Gélifract	C 1200	M.LT_BD_0000	608	5
CP08 base				LSBR	H		Silex	Éclat de façonnage	C 1200	M.LT_BD_0000	589	2
BD11L6				LSJ			Silex	Biface	C 1200	M.LT_BD_2573		1
CP08				LSBR	DC		Silex	Racloir (fgt)	C 1200	M.LT_BD_2574		1
BD10L7				LSJ	H	inférieure	Silex	Éclat cortical	C 1200	M.LT_BD_0000	582	4
BD10L7				LSBR	H	supérieure	Silex	Racloir simple	C 1200	M.LT_BD_0000	604	3
BDest L1				GR	H	supérieure	Silex	Éclat cortical	C 1200	M.LT_BD_0000	582	4
BDest L1				LSB			Silex	Gélifract	C 1200	M.LT_BD_0000	609	6
BDest L1				GB	H	inférieure	Silex	Cupule de gel	C 1200	M.LT_BD_0000	609	6
BDest L1				LSR			Silex	Gélifract	C 1200	M.LT_BD_0000	578	4
BDest L2				LSR			Silex	Racloir (fgt)	C 1200	M.LT_BD_0000	604	3
BDest L2				GR	H	supérieure	Silex	Éclat cortical	C 1200	M.LT_BD_0000	582	4
LOCUS 1	D8 25		1	GR	H	inférieure	Silex	Éclat de façonnage	C 1200	M.LT_01_0000	613	7
BDest L3				GR	H	supérieure	Silex	Eclat (fgt distal)	C 1200	M.LT_BD_0000	591	2
CP08				LSB	H	inférieure	Silex	Éclat de façonnage	C 1200	M.LT_BD_0000	590	2
CP08				LSB	O		Silex	Éclat de façonnage (fgt proximal)	C 1200	M.LT_BD_0000	596	2
CP08				LSB	O		Silex	Éclat (fgt distal)	C 1200	M.LT_BD_0000	591	2
CP08				LSB	O		Silex	Éclat	C 1200	M.LT_BD_0000	587	3
CP08				LSB	O		Silex	Éclat de coup de tranchet	C 1200	M.LT_BD_0000	598	2
CP08				LSB	O		Silex	Éclat	C 1200	M.LT_BD_0000	593	3
CP08				LSB	O		Silex	Éclat de façonnage cortical (fgt distal)	C 1200	M.LT_BD_0000	579	4
CP08				LSB	O		Silex	Éclat de façonnage	C 1200	M.LT_BD_0000	590	2
BDest L5				LSR	H	inférieure	Silex	Éclat cortical	C 1200	M.LT_BD_0000	580	3
BDest L5				LSJ	V		Silex	Éclat (fgt mésial)	C 1200	M.LT_BD_0000	587	3
BDest L5				GR	H	inférieure	Silex	Racloir à retouche biface	C 1200	M.LT_BD_2600		1
BDest L5				LSB			Silex	Éclat cortical	C 1200	M.LT_BD_0000	594	3
BDest L5				LSB	O	supérieure	Silex	Éclat de façonnage	C 1200	M.LT_BD_0000	590	2
BDest L5				LSB			Silex	Biface (fgt)	C 1200	M.LT_BD_2603		1
LOCUS 1	D8 25		1	GR	H	supérieure	Silex	Éclat de façonnage	C 1200	M.LT_01_0000	613	7
LOCUS 1	D8 25		1	GR	O	supérieure	Silex	Éclat de façonnage (fgt proximal)	C 1200	M.LT_01_0000	611	7
LOCUS 1	D8 25		1	GR	H	inférieure	Silex	Éclat de façonnage	C 1200	M.LT_01_0000	613	7
LOCUS 1	D8 25		1	GR	O	supérieure	Silex	Éclat de retouche	C 1200	M.LT_01_0000	612	7
LOCUS 1	D8 25		1	GR	V		Silex	Éclat (fgt indéterminé)	C 1200	M.LT_01_0000	611	7
LOCUS 1	D8 25		1	GR	O	inférieure	Silex	Débris	C 1200	M.LT_01_0000	611	7
LOCUS 1	D8 25		1	GR	O	inférieure	Silex	Éclat (fgt distal)	C 1200	M.LT_01_0000	611	7
LOCUS 1	D8 25		1	GR	H	supérieure	Silex	Éclat (fgt indéterminé)	C 1200	M.LT_01_0000	611	7
LOCUS 1	D8 25		1	GR	V		Silex	Éclat de façonnage cortical	C 1200	M.LT_01_0000	610	7
LOCUS 1	D8 25		1	GR	V		Silex	Éclat de façonnage (fgt proximal)	C 1200	M.LT_01_0000	612	7
LOCUS 1	D8 25		1	GR	O	supérieure	Silex	Éclat de façonnage cortical	C 1200	M.LT_01_0000	610	7
LOCUS 1	D8 25		1	GR	O	inférieure	Silex	Éclat de façonnage	C 1200	M.LT_01_0000	613	7
LOCUS 1	D8 25		1	GR	O	inférieure	Silex	Éclat de façonnage	C 1200	M.LT_01_0000	613	7
LOCUS 1	D8 25		1	GR	H	inférieure	Silex	Éclat de façonnage cortical	C 1200	M.LT_01_0000	610	7
LOCUS 1	D8 25		1	GR	V		Silex	Éclat cortical (fgt mésial)	C 1200	M.LT_01_0000	610	7
LOCUS 1	D8 25		1	GR	O	inférieure	Silex	Éclat de façonnage (fgt proximal)	C 1200	M.LT_01_0000	612	7
LOCUS 1	D8 25		1	GR	V		Silex	Éclat (fgt distal)	C 1200	M.LT_01_0000	610	7
LOCUS 1	D8 25		1	GR	V		Silex	Éclat de façonnage cortical	C 1200	M.LT_01_0000	610	7
LOCUS 1	D8 25		1	GR	V		Silex	Éclat de façonnage (fgt proximal)	C 1200	M.LT_01_0000	612	7
LOCUS 1	D8 25		1	GR	O	inférieure	Silex	Éclat de façonnage	C 1200	M.LT_01_0000	612	7
LOCUS 1	D8 25		1	GR	O	inférieure	Silex	Éclat de façonnage	C 1200	M.LT_01_0000	610	7
LOCUS 1	D8 25		1	GR	O	supérieure	Silex	Éclat de façonnage cortical	C 1200	M.LT_01_0000	610	7
LOCUS 1	D8 25		1	GR	V		Silex	Éclat (fgt proximal)	C 1200	M.LT_01_0000	643	7
LOCUS 1	D8 25		1	GR	V		Silex	Éclat (fgt mésial)	C 1200	M.LT_01_0000	611	7
LOCUS 1	D8 25		1	GR	O	inférieure	Silex	Gélifract	C 1200	M.LT_01_0000	611	7
LOCUS 1	D8 25		1	GR	V		Silex	Éclat (fgt distal)	C 1200	M.LT_01_0000	611	7
LOCUS 1	D8 25		1	GR	V		Silex	Éclat (fgt longitudinal)	C 1200	M.LT_01_0000	612	7
BD11L7				LSJ	O	supérieure	Silex	Éclat	C 1200	M.LT_BD_0000	603	4
LOCUS 1	D8 15		1	GR	O	inférieure	Silex	Éclat de façonnage (fgt proximal)	C 1200	M.LT_01_0000	613	7
LOCUS 1	D8 15		1	GR	O	inférieure	Silex	Débris	C 1200	M.LT_01_0000	611	7
LOCUS 1	D8 25		1	GR	O	inférieure	Silex	Éclat de façonnage (fgt proximal)	C 1200	M.LT_01_0000	613	7
LOCUS 1	D8 15		1	GR	V		Silex	Éclat de façonnage	C 1200	M.LT_01_0000	611	7
LOCUS 1	D8 15		1	GR	O	supérieure	Silex	Eclat (fgt distal)	C 1200	M.LT_01_0000	611	7
LOCUS 1	D8 15		1	GR	O	inférieure	Silex	Éclat de façonnage cortical	C 1200	M.LT_01_0000	613	7
LOCUS 1	D8 15		1	GR	O	supérieure	Silex	Éclat de façonnage	C 1200	M.LT_01_0000	612	7
LOCUS 1	D8 15		1	GR	V		Silex	Éclat de façonnage	C 1200	M.LT_01_0000	613	7
LOCUS 1	D8 25		1	GR	O	supérieure	Silex	Éclat (fgt indéterminé)	C 1200	M.LT_01_0000	612	7
LOCUS 1	D8 25		1	GR	H		Silex	Éclat de façonnage	C 1200	M.LT_01_0000	613	7
LOCUS 1	D8 15		1	GR	H	inférieure	Silex	Éclat de façonnage	C 1200	M.LT_01_0000	613	7
LOCUS 1	D8 15		1	GR	H	inférieure	Silex	Éclat de façonnage cortical	C 1200	M.LT_01_0000	610	7
LOCUS 1	D8 15		1	GR	O	inférieure	Silex	Éclat de façonnage	C 1200	M.LT_01_0000	611	7
LOCUS 1	D8 15		1	GR	O	supérieure	Silex	Éclat (fgt mésial)	C 1200	M.LT_01_0000	611	7
LOCUS 1	D8 15		1	GR	H	inférieure	Silex	Éclat	C 1200	M.LT_01_0000	613	7
LOCUS 1	D8 15		1	GR	O	inférieure	Silex	Éclat	C 1200	M.LT_01_0000	613	7
LOCUS 1	D8 15		1	GR	O	supérieure	Silex	Éclat (fgt distal)	C 1200	M.LT_01_2648		7
LOCUS 1	D8 26		1	GR	O	inférieure	Silex	Éclat de façonnage	C 1200	M.LT_01_0000	613	7
LOCUS 1	D8 26		1	GR	O	inférieure	Silex	Éclat (fgt indéterminé)	C 1200	M.LT_01_0000	611	7
LOCUS 1	D8 26		1	GR	V		Silex	Éclat de façonnage	C 1200	M.LT_01_0000	643	7
LOCUS 1	D8 26		1	GR	O	inférieure	Silex	Éclat de façonnage (fgt proximal)	C 1200	M.LT_01_0000	612	7
LOCUS 1	D8 26		1	GR	H	inférieure	Silex	Éclat de façonnage	C 1200	M.LT_01_0000	613	7
LOCUS 1	D8 26		1	GR	V		Silex	Éclat (fgt indéterminé)	C 1200	M.LT_01_0000	611	7
LOCUS 1	D8 26		1	GR	V		Silex	Éclat de façonnage (fgt proximal)	C 1200	M.LT_01_0000	612	7

Zone Secteur	Carré	Sous-carré	N° de décapage	Unité Pédo-stratigraphique	Position	Repose sur face	Matériau	Descriptif détaillé	Parcelle	Code SRA	Réf. contenant POCHE	Réf. contenant CAISSE
LOCUS 1	D8 26		1	GR	V		Silex	Éclat de façonnage (fgt proximal)	C 1200	M.LT_01_0000	612	7
BD12L5				LSJ	O		Silex	Éclat de façonnage (fgt proximal)	C 1200	M.LT_BD_0000	596	2
LOCUS 1	D8 26		1	GR	H	inférieure	Silex	Éclat (fgt indéterminé)	C 1200	M.LT_01_0000	611	7
LOCUS 1	D8 26		1	GR	V		Silex	Éclat de façonnage	C 1200	M.LT_01_0000	611	7
LOCUS 1	D8 26		1	GR	O	inférieure	Silex	Éclat de façonnage	C 1200	M.LT_01_0000	613	7
LOCUS 1	D8 26		1	GR	H	supérieure	Silex	Éclat de façonnage (fgt proximal)	C 1200	M.LT_01_0000	612	7
LOCUS 1	D8 26		1	GR	H	supérieure	Silex	Éclat de façonnage (fgt proximal)	C 1200	M.LT_01_0000	612	7
LOCUS 1	D8 26		1	GR	O	supérieure	Silex	Éclat (fgt distal)	C 1200	M.LT_01_0000	611	7
LOCUS 1	D8 26		1	GR	O	supérieure	Silex	Éclat	C 1200	M.LT_01_2664		7
LOCUS 1	D8 15		1	GR	H	supérieure	Silex	Éclat de façonnage	C 1200	M.LT_01_0000	613	7
LOCUS 1	D8 15		1	GR	O	supérieure	Silex	Éclat de façonnage cortical	C 1200	M.LT_01_0000	610	7
BD12L5				LSB	O		Silex	Éclat cortical	C 1200	M.LT_BD_0000	578	4
LOCUS 1	D8 15		1	GR	O	supérieure	Silex	Éclat (fgt indéterminé)	C 1200	M.LT_01_0000	612	7
LOCUS 1	D8 15		1	GR	O	inférieure	Silex	Éclat de façonnage	C 1200	M.LT_01_0000	613	7
LOCUS 1	D8 15		1	GR	O	supérieure	Silex	Éclat de façonnage (fgt proximal)	C 1200	M.LT_01_0000	613	7
LOCUS 1	D8 16		1	GR	H	inférieure	Silex	Éclat cortical	C 1200	M.LT_01_0000	610	7
LOCUS 1	D8 16		1	GR	H	inférieure	Silex	Éclat débordant	C 1200	M.LT_01_0000	643	7
LOCUS 1	D8 16	a	1	GR	O	supérieure	Silex	Éclat de façonnage	C 1200	M.LT_01_2673		7
LOCUS 1	D8 16		1	GR	O	inférieure	Silex	Éclat (fgt distal)	C 1200	M.LT_01_0000	613	7
LOCUS 1	D8 26		1	GR	H	supérieure	Silex	Éclat cortical	C 1200	M.LT_01_0000	610	7
LOCUS 1	D8 26		1	GR	H	inférieure	Silex	Éclat de façonnage	C 1200	M.LT_01_0000	613	7
LOCUS 1	D8 26		1	GR	H	supérieure	Silex	Débris	C 1200	M.LT_01_2677		7
LOCUS 1	D8 26		1	GR	O	supérieure	Silex	Éclat (fgt distal)	C 1200	M.LT_01_0000	611	7
LOCUS 1	D8 26		1	GR			Silex	Lot de 3 éclats, 10 fgts d'éclats et 22 esquilles	C 1200	M.LT_01_2679		7
LOCUS 1	D8 26		1	GR	O	supérieure	Silex	Éclat (fgt distal)	C 1200	M.LT_01_0000	611	7
BD12L4				GB	H	supérieure	Silex	Éclat cortical (fgt distal)	C 1200	M.LT_BD_0000	579	4
LOCUS 1	D8 26		1	GR	O	inférieure	Silex	Éclat cortical	C 1200	M.LT_01_0000	643	7
LOCUS 1	D8 26		1	GR	H	supérieure	Silex	Éclat de façonnage cortical	C 1200	M.LT_01_0000	613	7
LOCUS 1	D8 26		1	GR	V		Silex	Débris	C 1200	M.LT_01_0000	610	7
BD12L4				GR	DC		Silex	Éclat de façonnage	C 1200	M.LT_BD_0000	590	2
BD12L4				GR	H	supérieure	Silex	Éclat cortical (fgt proximal)	C 1200	M.LT_BD_2687		7
LOCUS 1	D8 26		1	GR	O	inférieure	Silex	Racloir transversal	C 1200	M.LT_01_0000	610	7
LOCUS 1	D8 26		1	GR	O	inférieure	Silex	Éclat (fgt distal)	C 1200	M.LT_01_0000	611	7
LOCUS 1	D8 26		1	GR	H	inférieure	Silex	Éclat de façonnage (fgt proximal)	C 1200	M.LT_01_0000	612	7
LOCUS 1	D8 26		1	GR	O	inférieure	Silex	Éclat de façonnage	C 1200	M.LT_01_0000	613	7
LOCUS 1	D8 26		1	GR	O	inférieure	Silex	Éclat de façonnage cortical	C 1200	M.LT_01_0000	613	7
LOCUS 1	D8 26		1	GR	O	supérieure	Silex	Éclat Levallois	C 1200	M.LT_01_2700		7
LOCUS 1	D8 26		1	GR	O	inférieure	Silex	Éclat (fgt mésial)	C 1200	M.LT_01_0000	611	7
LOCUS 1	D8 26		1	GR	O	inférieure	Silex	Éclat (fgt indéterminé)	C 1200	M.LT_01_0000	611	7
LOCUS 1	D8 26		1	GR	O	inférieure	Silex	Éclat	C 1200	M.LT_01_0000	613	7
LOCUS 1	D8 26		1	GR	H	inférieure	Silex	Gélifract	C 1200	M.LT_01_0000	610	7
LOCUS 1	D8 26		1	GR	O	supérieure	Silex	Éclat de façonnage	C 1200	M.LT_01_0000	612	7
LOCUS 1	D8 26		1	GR	O	inférieure	Silex	Éclat de coup de tranchet	C 1200	M.LT_01_0000	643	7
LOCUS 1	D8 26	d	1	GR	O	inférieure	Silex	Éclat de façonnage (fgt proximal)	C 1200	M.LT_01_0000	612	7
LOCUS 1	D8 26	d	1	GR	O	inférieure	Silex	Éclat de façonnage (fgt distal)	C 1200	M.LT_01_0000	612	7
LOCUS 1	D8 26		1	GR	O	inférieure	Silex	Éclat de façonnage	C 1200	M.LT_01_0000	613	7
LOCUS 1	D8 26		1	GR	O	supérieure	Silex	Éclat (fgt mésial)	C 1200	M.LT_01_0000	611	7
LOCUS 1	D8 26		1	GR	H	inférieure	Silex	Éclat de façonnage cortical	C 1200	M.LT_01_0000	610	7
LOCUS 1	D8 26		1	GR	O	supérieure	Silex	Éclat de façonnage	C 1200	M.LT_01_0000	613	7
BD12L5				LSB	H		Silex	Éclat (fgt distal)	C 1200	M.LT_BD_0000	591	2
LOCUS 1	D8 26		1	GR	O	supérieure	Silex	Éclat de façonnage	C 1200	M.LT_01_0000	613	7
LOCUS 1	D8 26		1	GR	O	supérieure	Silex	Éclat de façonnage	C 1200	M.LT_01_0000	613	7
LOCUS 1	D8 26		1	GR	H	supérieure	Silex	Éclat (fgt distal)	C 1200	M.LT_01_0000	611	7
LOCUS 1	D8 26	c	1	GR	O	inférieure	Silex	Éclat de façonnage (fgt mésial)	C 1200	M.LT_01_2717		7
LOCUS 1	D8 26	c	1	GR	H	inférieure	Silex	Éclat de façonnage (fgt distal)	C 1200	M.LT_01_2718		7
LOCUS 1	D8 26		1	GR	O	inférieure	Silex	Éclat (fgt indéterminé)	C 1200	M.LT_01_0000	611	7
LOCUS 1	D8 26		1	GR	H	inférieure	Silex	Éclat de façonnage cortical	C 1200	M.LT_01_0000	610	7
LOCUS 1	D8 26		1	GR			Silex	Lot de 1 éclat, 7 fgts d'éclats et 10 esquilles	C 1200	M.LT_01_2721		7
LOCUS 1	D8 26		1	GR	H	inférieure	Silex	Éclat de façonnage	C 1200	M.LT_01_0000	612	7
LOCUS 1	D8 26		1	GR	H	inférieure	Silex	Éclat de façonnage cortical	C 1200	M.LT_01_0000	610	7
LOCUS 1	D8 26		1	GR	H	supérieure	Silex	Éclat de façonnage (fgt proximal)	C 1200	M.LT_01_0000	612	7
LOCUS 1	D8 26		1	GR	O	supérieure	Silex	Éclat	C 1200	M.LT_01_0000	612	7
LOCUS 1	D8 26		1	GR	O	inférieure	Silex	Éclat de façonnage (fgt proximal)	C 1200	M.LT_01_0000	611	7
LOCUS 1	D8 26		1	GR	O	supérieure	Silex	Éclat de façonnage	C 1200	M.LT_01_0000	613	7
LOCUS 1	D8 26		1	GR	O	supérieure	Silex	Éclat de façonnage (fgt proximal)	C 1200	M.LT_01_0000	611	7
LOCUS 1	D8 26		1	GR	H	inférieure	Silex	Éclat de façonnage	C 1200	M.LT_01_0000	613	7
LOCUS 1	D8 26		1	GR	H	inférieure	Silex	Éclat de façonnage	C 1200	M.LT_01_0000	612	7
LOCUS 1	D8 26		1	GR	H	inférieure	Silex	Éclat (fgt distal)	C 1200	M.LT_01_0000	611	7
LOCUS 1	D8 26		1	GR	O	inférieure	Silex	Éclat de façonnage (fgt proximal)	C 1200	M.LT_01_0000	613	7
LOCUS 1	D8 26		1	GR	H	supérieure	Silex	Éclat de façonnage	C 1200	M.LT_01_0000	613	7
LOCUS 1	D8 26		1	GR	H	supérieure	Silex	Éclat de façonnage	C 1200	M.LT_01_0000	612	7
LOCUS 1	D8 26	c	1	GR	H	supérieure	Silex	Éclat de façonnage (fgt proximal)	C 1200	M.LT_01_2735		7
LOCUS 1	D8 26		1	GR	H	supérieure	Silex	Éclat (fgt indéterminé)	C 1200	M.LT_01_0000	613	7
LOCUS 1	D8 26		1	GR	O	inférieure	Silex	Éclat de façonnage	C 1200	M.LT_01_0000	613	7
LOCUS 1	D8 26		1	GR	O	supérieure	Silex	Éclat (fgt mésial)	C 1200	M.LT_01_0000	611	7
LOCUS 1	D8 26		1	GR			Silex	Lot de 10 fgts d'éclats et 23 esquilles	C 1200	M.LT_01_2739		7
LOCUS 1	D8 26		1	GR	O	supérieure	Silex	Éclat de façonnage	C 1200	M.LT_01_0000	613	7
LOCUS 1	D8 26		1	GR	O	supérieure	Silex	Éclat (fgt mésial)	C 1200	M.LT_01_2741		7
LOCUS 1	D8 26		1	GR	O	supérieure	Silex	Éclat de façonnage	C 1200	M.LT_01_0000	613	7
LOCUS 1	D8 26		1	GR	O	inférieure	Silex	Éclat de façonnage (fgt proximal)	C 1200	M.LT_01_0000	611	7
LOCUS 1	D8 26		1	GR	O	supérieure	Silex	Éclat de façonnage (fgt proximal)	C 1200	M.LT_01_0000	611	7
LOCUS 1	D8 26		1	GR			Silex	Lot de 15 fgts d'éclats et 10 esquilles	C 1200	M.LT_01_2745		7
BD12L7				GB			Silex	Gélifract	C 1200	M.LT_BD_0000	609	6
BD10L9				GR	H	supérieure	Silex	Éclat de façonnage	C 1200	M.LT_BD_0000	589	2
BD10L9				A			Silex	Nucléus indéterminé (fgt)	C 1200	M.LT_BD_0000	605	5
BD11L9				LSB	H	supérieure	Silex	Éclat (fgt indéterminé)	C 1200	M.LT_BD_0000	595	4
BD10L10				LSB			Silex	Nucléus multifacial	C 1200	M.LT_BD_0000	603	4
BD11L10				LSB	H		Silex	Éclat	C 1200	M.LT_BD_0000	603	4
LOCUS 3	C6 89		1	LSB/LSBR	O	supérieure	Silex	Éclat de façonnage	C 1200	M.LT_03_0000	625	10
LOCUS 3	C6 89		1	LSB/LSBR	H	supérieure	Silex	Éclat de façonnage	C 1200	M.LT_03_0000	626	10
LOCUS 3	C6 89		1	LSB/LSBR	H	supérieure	Silex	Éclat de façonnage	C 1200	M.LT_03_0000	626	10
LOCUS 3	C6 89		1	LSB/LSBR	H	supérieure	Silex	Éclat cortical (fgt indéterminé)	C 1200	M.LT_03_0000	619	11
LOCUS 3	C6 89		1	LSB/LSBR	H	inférieure	Silex	Éclat (fgt distal)	C 1200	M.LT_03_0000	622	10
LOCUS 3	C6 89		1	LSB/LSBR	O	inférieure	Silex	Éclat de façonnage (fgt proximal)	C 1200	M.LT_03_0000	628	11
LOCUS 3	C6 89		1	LSB/LSBR	V		Silex	Éclat de façonnage	C 1200	M.LT_03_0000	621	10
LOCUS 3	C6 89		1	LSB/LSBR	O	inférieure	Silex	Éclat de coup de tranchet	C 1200	M.LT_03_0000	647	10
LOCUS 3	C6 89		1	LSB/LSBR	O	inférieure	Silex	Éclat cortical	C 1200	M.LT_03_0000	620	10
LOCUS 3	C6 89		1	LSB/LSBR	V		Silex	Éclat cortical (fgt proximal)	C 1200	M.LT_03_0000	619	11
LOCUS 3	C6 89		1	LSB/LSBR	O	inférieure	Silex	Gélifract	C 1200	M.LT_03_0000	630	11
LOCUS 3	C6 89		1	LSB/LSBR	H	inférieure	Silex	Éclat (fgt mésial)	C 1200	M.LT_03_0000	621	10
LOCUS 3	C6 89		1	LSB/LSBR	O	supérieure	Silex	Éclat de façonnage	C 1200	M.LT_03_0000	622	10
LOCUS 3	C6 89		1	LSB/LSBR	H	inférieure	Silex	Éclat de façonnage	C 1200	M.LT_03_0000	622	10
LOCUS 3	C6 89		1	LSB/LSBR	O	supérieure	Silex	Éclat de façonnage	C 1200	M.LT_03_0000	626	10
LOCUS 3	C6 89		1	LSB/LSBR	H	supérieure	Silex	Éclat Kombewa	C 1200	M.LT_03_0000	647	10
LOCUS 3	C6 79		1	LSB/LSBR	H	supérieure	Silex	Éclat cortical	C 1200	M.LT_03_0000	619	11
LOCUS 3	C6 79		1	LSB/LSBR	H	supérieure	Silex	Éclat (fgt mésial)	C 1200	M.LT_03_0000	620	10
LOCUS 3	C6 79		1	LSB/LSBR	H	supérieure	Silex	Éclat	C 1200	M.LT_03_0000	626	10
LOCUS 3	C6 79		1	LSB/LSBR	H	inférieure	Silex	Éclat (fgt proximal)	C 1200	M.LT_03_0000	628	11
LOCUS 3	C6 79		1	LSB/LSBR	H	inférieure	Silex	Éclat de façonnage	C 1200	M.LT_03_0000	622	10
LOCUS 3	C6 79		1	LSB/LSBR	O	supérieure	Silex	Éclat de façonnage	C 1200	M.LT_03_0000	623	11
LOCUS 3	C6 79		1	LSB/LSBR	O	supérieure	Silex	Éclat de coup de tranchet	C 1200	M.LT_03_0000	647	10
LOCUS 3	C6 79		1	LSB/LSBR	H	supérieure	Silex	Éclat de façonnage	C 1200	M.LT_03_0000	621	10
LOCUS 3	C6 79		1	LSB/LSBR	H	inférieure	Silex	Éclat (fgt mésial)	C 1200	M.LT_03_0000	621	10
LOCUS 3	C6 79		1	LSB/LSBR	H	supérieure	Silex	Éclat (fgt indéterminé)	C 1200	M.LT_03_0000	624	10
LOCUS 3	C6 79		1	LSB/LSBR	H	inférieure	Silex	Éclat	C 1200	M.LT_03_0000	626	10
LOCUS 3	C6 79		1	LSB/LSBR	H	inférieure	Silex	Éclat de façonnage	C 1200	M.LT_03_0000	623	11
LOCUS 3	C6 79		1	LSB/LSBR	O	supérieure	Silex	Éclat (fgt indéterminé)	C 1200	M.LT_03_0000	620	10
LOCUS 3	C6 79		1	LSB/LSBR	O	inférieure	Silex	Éclat de façonnage (fgt proximal)	C 1200	M.LT_03_0000	628	11
LOCUS 3	C6 79		1	LSB/LSBR	O	supérieure	Silex	Éclat (fgt distal)	C 1200	M.LT_03_0000	624	10
LOCUS 3	C6 79		1	LSB/LSBR	O	supérieure	Silex	Éclat (fgt proximal)	C 1200	M.LT_03_0000	622	10
LOCUS 3	C6 69		1	LSB/LSBR	V		Silex	Éclat de retouche	C 1200	M.LT_03_0000	626	10
LOCUS 3	C6 69		1	LSB/LSBR	H	inférieure	Silex	Éclat (fgt indéterminé)	C 1200	M.LT_03_0000	629	10
LOCUS 3	C6 69		1	LSB/LSBR	H	supérieure	Silex	Éclat (fgt indéterminé)	C 1200	M.LT_03_0000	624	10
LOCUS 3	C6 69		1	LSB/LSBR	H	inférieure	Silex	Éclat (fgt indéterminé)	C 1200	M.LT_03_0000	624	10
LOCUS 3	C6 69		1	LSB/LSBR	O	inférieure	Silex	Éclat (fgt proximal)	C 1200	M.LT_03_0000	628	11
LOCUS 3	C6 69		1	LSB/LSBR	O	inférieure	Silex	Éclat (fgt indéterminé)	C 1200	M.LT_03_0000	629	10
LOCUS 3	C6 69		1	LSB/LSBR	V		Silex	Éclat	C 1200	M.LT_03_0000	629	10

Zone Secteur	Carré	Sous-carré	N° de décapage	Unité Pédo-stratigraphique	Position	Repose sur face	Matériau	Descriptif détaillé	Parcelle	Code SRA	Réf. contenant POCHE	Réf. contenant CAISSE
LOCUS 3	C6 69		1	LSB/LSBR	H	inférieure	Silex	Éclat de façonnage	C 1200	M.LT_03_0000	622	10
LOCUS 3	C6 69		1	LSB/LSBR	H	inférieure	Silex	Éclat (fgt longitudinal)	C 1200	M.LT_03_0000	623	11
LOCUS 3	C6 69		1	LSB/LSBR	O	inférieure	Silex	Éclat cortical (fgt proximal)	C 1200	M.LT_03_0000	628	11
LOCUS 3	C6 69		1	LSB/LSBR	V		Silex	Éclat (fgt longitudinal)	C 1200	M.LT_03_0000	623	11
LOCUS 3	C6 69		1	LSB/LSBR	O	inférieure	Silex	Éclat de façonnage	C 1200	M.LT_03_0000	622	10
LOCUS 3	C6 69		1	LSB/LSBR	V		Silex	Éclat cortical	C 1200	M.LT_03_0000	620	10
LOCUS 3	C6 69		1	LSB/LSBR	H	inférieure	Silex	Éclat cortical (fgt distal)	C 1200	M.LT_03_0000	620	10
LOCUS 3	C6 88		1	LSB/LSBR	H	inférieure	Silex	Éclat (fgt indéterminé)	C 1200	M.LT_03_0000	624	10
LOCUS 3	C6 88		1	LSB/LSBR	H	inférieure	Silex	Éclat de façonnage	C 1200	M.LT_03_0000	623	11
LOCUS 3	C6 88		1	LSB/LSBR	H	inférieure	Silex	Éclat (fgt indéterminé)	C 1200	M.LT_03_0000	624	10
LOCUS 3	C6 88		1	LSB/LSBR	H	inférieure	Silex	Débris	C 1200	M.LT_03_0000	630	11
LOCUS 3	C6 79		1	LSB/LSBR	V		Silex	Éclat	C 1200	M.LT_03_2838		10
LOCUS 3	C6 78		1	LSB/LSBR	H	supérieure	Silex	Éclat de façonnage	C 1200	M.LT_03_0000	622	10
LOCUS 3	C6 78		1	LSB/LSBR	H	inférieure	Silex	Éclat (fgt mésial)	C 1200	M.LT_03_0000	624	10
LOCUS 3	C6 78		1	LSB/LSBR	V		Silex	Éclat de façonnage	C 1200	M.LT_03_0000	622	10
LOCUS 3	C6 78		1	LSB/LSBR	H	inférieure	Silex	Éclat (fgt proximal)	C 1200	M.LT_03_0000	628	11
LOCUS 3	C6 78		1	LSB/LSBR	H	inférieure	Silex	Éclat (fgt distal)	C 1200	M.LT_03_0000	627	10
LOCUS 3	C6 78		1	LSB/LSBR	H	inférieure	Silex	Éclat cortical (fgt indéterminé)	C 1200	M.LT_03_0000	619	11
LOCUS 3	C6 78		1	LSB/LSBR	H	inférieure	Silex	Éclat (fgt distal)	C 1200	M.LT_03_0000	622	10
LOCUS 3	C6 78		1	LSB/LSBR	H	inférieure	Silex	Esquille	C 1200	M.LT_03_0000	628	11
LOCUS 3	C6 78		1	LSB/LSBR	H	inférieure	Silex	Éclat de coup de tranchet	C 1200	M.LT_03_0000	647	10
LOCUS 3	C6 78		1	LSB/LSBR	H	supérieure	Silex	Éclat de façonnage	C 1200	M.LT_03_2848		10
LOCUS 3	C6 78		1	LSB/LSBR	H	supérieure	Silex	Éclat (fgt proximal)	C 1200	M.LT_03_0000	628	11
LOCUS 3	C6 78		1	LSB/LSBR	O	inférieure	Silex	Éclat	C 1200	M.LT_03_0000	625	10
LOCUS 3	C6 78		1	LSB	H	inférieure	Silex	Éclat de façonnage (fgt proximal)	C 1200	M.LT_03_0000	625	10
LOCUS 3	C6 78		1	LSB	H	inférieure	Silex	Éclat de retouche	C 1200	M.LT_03_0000	622	10
LOCUS 3	C6 78		1	LSB	H	supérieure	Silex	Esquille	C 1200	M.LT_03_0000	627	10
LOCUS 3	C6 78		1	LSB	O	inférieure	Silex	Gélifract	C 1200	M.LT_03_0000	630	11
LOCUS 3	C6 78		1	LSB	O	inférieure	Silex	Éclat (fgt mésial)	C 1200	M.LT_03_0000	624	10
LOCUS 3	C6 78		1	LSB	O	supérieure	Silex	Éclat de retouche	C 1200	M.LT_03_0000	626	10
LOCUS 3	C6 78		1	LSB	V		Silex	Éclat de façonnage (fgt proximal)	C 1200	M.LT_03_0000	628	11
LOCUS 3	C6 78		1	LSB	O	inférieure	Silex	Éclat (fgt proximal)	C 1200	M.LT_03_0000	627	10
LOCUS 3	C6 77		1	LSB	H	supérieure	Silex	Éclat cortical (fgt distal)	C 1200	M.LT_03_0000	628	11
LOCUS 3	C6 78		1	LSB	H	inférieure	Silex	Éclat de façonnage	C 1200	M.LT_03_0000	626	10
LOCUS 3	C6 78		1	LSB	H	inférieure	Silex	Éclat de façonnage	C 1200	M.LT_03_0000	622	10
LOCUS 3	C6 78		1	LSB	H	inférieure	Silex	Éclat (fgt indéterminé)	C 1200	M.LT_03_0000	624	10
LOCUS 3	C6 78		1	LSB	V		Silex	Éclat de coup de tranchet	C 1200	M.LT_03_0000	647	10
LOCUS 3	C6 68		1	LSB	H	supérieure	Silex	Éclat (fgt distal)	C 1200	M.LT_03_0000	627	10
LOCUS 3	C6 68		1	LSB	H	supérieure	Silex	Esquille	C 1200	M.LT_03_0000	623	11
LOCUS 3	C6 68		1	LSB	O	inférieure	Silex	Éclat de façonnage	C 1200	M.LT_03_0000	626	10
LOCUS 3	C6 68		1	LSB	H	inférieure	Silex	Débris	C 1200	M.LT_03_0000	630	11
LOCUS 3	C6 68		1	LSB	V		Silex	Éclat de façonnage	C 1200	M.LT_03_0000	622	10
LOCUS 3	C6 68		1	LSB	H	supérieure	Silex	Éclat (fgt indéterminé)	C 1200	M.LT_03_0000	624	10
LOCUS 3	C6 68		1	LSB	H	inférieure	Silex	Éclat de façonnage (fgt proximal)	C 1200	M.LT_03_0000	625	10
LOCUS 3	C6 68		1	LSB	H	supérieure	Silex	Éclat de façonnage (fgt proximal)	C 1200	M.LT_03_0000	628	11
LOCUS 3	C6 68		1	LSB	H	supérieure	Silex	Éclat (fgt indéterminé)	C 1200	M.LT_03_0000	624	10
LOCUS 3	C6 87		1	LSB	H	inférieure	Silex	Éclat	C 1200	M.LT_03_0000	626	10
LOCUS 3	C6 87		1	LSB	O	inférieure	Silex	Éclat	C 1200	M.LT_03_0000	647	10
LOCUS 3	C6 77		1	LSB	O	inférieure	Silex	Éclat de façonnage	C 1200	M.LT_03_0000	623	11
LOCUS 3	C6 77		1	LSB	H	supérieure	Silex	Éclat cortical	C 1200	M.LT_03_0000	620	10
LOCUS 3	C6 77		1	LSB	H	inférieure	Silex	Éclat de façonnage	C 1200	M.LT_03_0000	621	10
LOCUS 3	C6 77		624	LSB	H	inférieure	Roche indéterminée	Éclat (fgt proximal)	C 1200	M.LT_03_0000	647	10
LOCUS 3	C6 77		1	LSB	O	inférieure	Silex	Éclat (fgt longitudinal)	C 1200	M.LT_03_0000	624	10
LOCUS 3	C6 77		1	LSB	H	supérieure	Silex	Éclat cortical	C 1200	M.LT_03_0000	619	11
LOCUS 3	C6 77		1	LSB	H	inférieure	Silex	Éclat	C 1200	M.LT_03_0000	623	11
LOCUS 3	C6 77		1	LSB	H	inférieure	Silex	Éclat (fgt distal)	C 1200	M.LT_03_0000	627	10
LOCUS 3	C6 77		1	LSB	V		Silex	Éclat de façonnage	C 1200	M.LT_03_0000	623	11
LOCUS 3	C6 77		1	LSB	O	inférieure	Silex	Éclat	C 1200	M.LT_03_0000	646	10
LOCUS 3	C6 77		1	LSB	O	inférieure	Silex	Éclat de façonnage (fgt proximal)	C 1200	M.LT_03_0000	628	11
LOCUS 3	C6 77		1	LSB	V		Silex	Éclat (fgt indéterminé)	C 1200	M.LT_03_0000	624	10
LOCUS 3	C6 77		1	LSB	O	inférieure	Silex	Gélifract	C 1200	M.LT_03_0000	630	11
LOCUS 3	C6 77		1	LSB	H	inférieure	Silex	Éclat cortical	C 1200	M.LT_03_0000	619	11
LOCUS 3	C6 77		1	LSB			Silex	Éclat (fgt longitudinal)	C 1200	M.LT_03_0000	624	10
LOCUS 3	C6 77		1	LSB	H	inférieure	Silex	Gélifract	C 1200	M.LT_03_0000	630	11
LOCUS 3	C6 77		1	LSB	O	supérieure	Silex	Éclat	C 1200	M.LT_03_2891		10
LOCUS 3	C6 67		1	LSB	H	supérieure	Silex	Éclat de façonnage (fgt proximal)	C 1200	M.LT_03_0000	628	11
LOCUS 3	C6 67		1	LSB	H	inférieure	Silex	Éclat cortical	C 1200	M.LT_03_0000	620	10
LOCUS 3	C6 67	a	1	LSB	V		Silex	Éclat Levallois	C 1200	M.LT_03_0000	646	10
LOCUS 3	C6 67	a	1	LSB	O	inférieure	Silex	Éclat de façonnage cortical (fgt longitudinal)	C 1200	M.LT_03_2895		10
LOCUS 3	C6 67	a	1	LSB	H	supérieure	Silex	Éclat	C 1200	M.LT_03_0000	626	10
LOCUS 3	C6 67	a	1	LSB	V		Silex	Éclat (fgt indéterminé)	C 1200	M.LT_03_0000	624	10
LOCUS 3	C6 67	a	1	LSB	O	supérieure	Silex	Éclat (fgt proximal)	C 1200	M.LT_03_0000	628	11
LOCUS 3	C6 67	a	1	LSB	O	supérieure	Silex	Éclat à dos cortical	C 1200	M.LT_03_0000	619	11
LOCUS 3	C6 67		1	LSB	H	inférieure	Silex	Éclat de façonnage	C 1200	M.LT_03_0000	622	10
LOCUS 3	C6 67		1	LSB	O	supérieure	Silex	Éclat de façonnage (fgt proximal)	C 1200	M.LT_03_0000	628	11
LOCUS 3	C6 67		1	LSB	H	inférieure	Silex	Éclat cortical (fgt distal)	C 1200	M.LT_03_0000	625	10
LOCUS 3	C6 67		1	LSB	O	inférieure	Silex	Éclat (fgt distal)	C 1200	M.LT_03_0000	621	10
LOCUS 3	C6 67		1	LSB	H	supérieure	Silex	Éclat de façonnage	C 1200	M.LT_03_0000	626	10
LOCUS 3	C6 67		1	LSB	H	inférieure	Silex	Éclat de façonnage	C 1200	M.LT_03_0000	623	11
LOCUS 3	C6 67		1	LSB	H	supérieure	Silex	Racloir simple	C 1200	M.LT_03_2906		10
LOCUS 3	C6 67		1	LSB	H	inférieure	Silex	Éclat (fgt longitudinal)	C 1200	M.LT_03_0000	625	10
LOCUS 3	C6 67	a	1	LSB	H	inférieure	Silex	Éclat (fgt indéterminé)	C 1200	M.LT_03_0000	624	10
LOCUS 3	C6 67		1	LSB	V		Silex	Éclat de façonnage	C 1200	M.LT_03_0000	621	10
LOCUS 3	C6 67		1	LSB	V		Silex	Éclat cortical (fgt indéterminé)	C 1200	M.LT_03_0000	623	11
LOCUS 3	C6 67		1	LSB	H	inférieure	Silex	Éclat de façonnage (fgt proximal)	C 1200	M.LT_03_0000	622	10
LOCUS 3	C6 86		1	LSB	H	inférieure	Silex	Éclat de façonnage (fgt proximal)	C 1200	M.LT_03_0000	628	11
LOCUS 3	C6 86		1	LSB	H	inférieure	Silex	Éclat	C 1200	M.LT_03_0000	619	11
LOCUS 3	C6 86		1	LSB	O	supérieure	Silex	Débris	C 1200	M.LT_03_0000	630	11
LOCUS 3	C6 86		1	LSB			Silex	Esquille	C 1200	M.LT_03_0000	624	10
LOCUS 3	C6 86		1	LSB	H	inférieure	Silex	Éclat de façonnage	C 1200	M.LT_03_0000	623	11
LOCUS 3	C6 86		1	LSB	O	inférieure	Silex	Éclat cortical (fgt proximal)	C 1200	M.LT_03_0000	628	11
LOCUS 3	C6 76		1	LSB	O	inférieure	Silex	Éclat de coup de tranchet	C 1200	M.LT_03_0000	646	10
LOCUS 3	C6 76		1	LSB	O	supérieure	Silex	Éclat (fgt distal)	C 1200	M.LT_03_0000	625	10
LOCUS 3	C6 76		1	LSB	O	inférieure	Silex	Éclat de façonnage	C 1200	M.LT_03_0000	626	10
LOCUS 3	C6 76		1	LSB	H	supérieure	Silex	Éclat de façonnage	C 1200	M.LT_03_0000	622	10
LOCUS 3	C6 76		1	LSB	O	inférieure	Silex	Éclat cortical (fgt distal)	C 1200	M.LT_03_0000	619	11
LOCUS 3	C6 76		1	LSB	H	supérieure	Silex	Racloir sur face plane	C 1200	M.LT_03_2923		10
LOCUS 3	C6 76		1	LSB	H	supérieure	Silex	Éclat de façonnage	C 1200	M.LT_03_0000	621	10
LOCUS 3	C6 76		1	LSB	O	supérieure	Silex	Éclat (fgt distal)	C 1200	M.LT_03_0000	625	10
LOCUS 3	C6 76		1	LSB	V		Silex	Éclat de façonnage	C 1200	M.LT_03_0000	625	10
LOCUS 3	C6 76		1	LSB	O	supérieure	Silex	Éclat (fgt mésial)	C 1200	M.LT_03_0000	624	10
LOCUS 3	C6 76		1	LSB	H	supérieure	Silex	Éclat (fgt indéterminé)	C 1200	M.LT_03_0000	624	10
LOCUS 3	C6 66		1	LSB	O	supérieure	Silex	Éclat cortical	C 1200	M.LT_03_0000	623	11
LOCUS 3	C6 66		1	LSB			Silex	Nucléus de gestion de surface non Levallois	C 1200	M.LT_03_2930		10
LOCUS 3	C6 66		1	LSB	V		Silex	Éclat (fgt longitudinal)	C 1200	M.LT_03_0000	629	10
LOCUS 3	C6 66		1	LSB	H	inférieure	Silex	Éclat (fgt longitudinal)	C 1200	M.LT_03_0000	624	10
LOCUS 3	C6 66		1	LSB	V		Silex	Éclat (fgt distal)	C 1200	M.LT_03_0000	627	10
LOCUS 3	C6 66		1	LSB	O	inférieure	Silex	Éclat cortical (fgt proximal)	C 1200	M.LT_03_0000	620	10
LOCUS 3	C6 66		1	LSB	O	inférieure	Silex	Éclat de coup de tranchet	C 1200	M.LT_03_0000	647	10
LOCUS 3	C6 66		1	LSB	V		Silex	Éclat cortical (fgt mésial)	C 1200	M.LT_03_0000	624	10
LOCUS 3	C6 66		1	LSB	O	inférieure	Silex	Éclat (fgt distal)	C 1200	M.LT_03_0000	628	11
LOCUS 3	C6 66		1	LSB	O	supérieure	Silex	Éclat cortical (fgt mésial)	C 1200	M.LT_03_0000	620	10
LOCUS 3	C6 66		1	LSB	H	inférieure	Silex	Éclat	C 1200	M.LT_03_0000	623	11
LOCUS 3	C6 66		1	LSB	H	inférieure	Silex	Éclat de façonnage (fgt proximal)	C 1200	M.LT_03_0000	627	10
LOCUS 3	C6 79		1	LSBR (poches de GR)	O	inférieure	Silex	Éclat (fgt indéterminé)	C 1200	M.LT_03_0000	629	10
LOCUS 3	C6 77		1	LSB	H	inférieure	Silex	Éclat cortical	C 1200	M.LT_03_0000	619	11
LOCUS 3	C6 76		1	LSB	O	inférieure	Silex	Éclat	C 1200	M.LT_03_0000	629	10
LOCUS 3	C6 67	a	1	LSB	O	supérieure	Silex	Éclat Levallois	C 1200	M.LT_03_2944		10
LOCUS 3	C6 79		1	LSB (poches de GR)	O	supérieure	Silex	Éclat de façonnage cortical	C 1200	M.LT_03_0000	619	11
LOCUS 3	C6 67	a	1	LSB	V		Silex	Éclat cortical (fgt distal)	C 1200	M.LT_03_0000	620	10
LOCUS 3	C6 67		1	LSB	H	inférieure	Silex	Éclat cortical	C 1200	M.LT_03_0000	619	11
LOCUS 3	C6 67		1	LSB	H	inférieure	Silex	Gélifract	C 1200	M.LT_03_0000	630	11
LOCUS 3	C6 66		1	LSB	V		Silex	Éclat de façonnage	C 1200	M.LT_03_0000	623	11

Zone Secteur	Carré	Sous-carré	N° de décapage	Unité Pédo-stratigraphique	Position	Repose sur face	Matériau	Descriptif détaillé	Parcelle	Code SRA	Réf. contenant POCHE	Réf. contenant CAISSE
LOCUS 3	C6 66		1	LSB	V		Silex	Éclat cortical	C 1200	M.LT_03_0000	620	10
LOCUS 3	C6 67		1	LSB	V		Silex	Éclat cortical	C 1200	M.LT_03_0000	619	11
CP05				LSB	O	supérieure	Silex	Éclat cortical	C 1200	M.LT_BD_0000	581	4
LOCUS 1	D8 26		2	GR	O	inférieure	Silex	Éclat de façonnage (fgt proximal)	C 1200	M.LT_01_0000	611	7
LOCUS 1	D8 26		2	GR	DC		Silex	Éclat (fgt indéterminé)	C 1200	M.LT_01_2972		7
LOCUS 1	D8 26		2	GR	O	inférieure	Silex	Éclat de façonnage (fgt proximal)	C 1200	M.LT_01_0000	612	7
LOCUS 1	D8 26		2	GR	H	inférieure	Silex	Éclat (fgt distal)	C 1200	M.LT_01_0000	643	7
LOCUS 1	D8 26		2	GR	H	inférieure	Silex	Éclat de façonnage cortical (fgt proximal)	C 1200	M.LT_01_0000	610	7
LOCUS 1	D8 26		2	GR	H		Silex	Éclat	C 1200	M.LT_01_0000	611	7
LOCUS 1	D8 26		2	GR	O	inférieure	Silex	Éclat (fgt distal)	C 1200	M.LT_01_0000	611	7
LOCUS 1	D8 25		2	GR	O	inférieure	Silex	Éclat (fgt longitudinal)	C 1200	M.LT_01_0000	612	7
LOCUS 1	D8 25		2	GR	V		Silex	Éclat de façonnage	C 1200	M.LT_01_0000	613	7
LOCUS 1	D8 25		2	GR	H	supérieure	Silex	Éclat (fgt distal)	C 1200	M.LT_01_0000	611	7
LOCUS 1	D8 25		2	GR	O		Silex	Éclat cortical	C 1200	M.LT_01_0000	610	7
LOCUS 1	D8 25		2	GR	O	supérieure	Silex	Éclat de façonnage (fgt proximal)	C 1200	M.LT_01_0000	612	7
LOCUS 1	D8 25		2	GR			Silex	Éclat	C 1200	M.LT_01_0000	611	7
LOCUS 1	D8 25		2	GR	H	inférieure	Silex	Éclat (fgt longitudinal)	C 1200	M.LT_01_0000	612	7
LOCUS 1	D8 25		2	GR	O	inférieure	Silex	Éclat de façonnage (fgt proximal)	C 1200	M.LT_01_0000	612	7
LOCUS 1	D8 25		2	GR	O	inférieure	Silex	Éclat	C 1200	M.LT_01_0000	611	7
LOCUS 1	D8 25		2	GR	V		Silex	Éclat de façonnage Kombewa	C 1200	M.LT_01_0000	643	7
LOCUS 1	D8 25		2	GR	O	inférieure	Silex	Éclat (fgt distal)	C 1200	M.LT_01_2988		7
LOCUS 1	D8 25		2	GR	O	inférieure	Silex	Éclat (fgt distal)	C 1200	M.LT_01_0000	613	7
LOCUS 1	D8 25		2	GR	O	inférieure	Silex	Éclat (fgt distal)	C 1200	M.LT_01_0000	613	7
LOCUS 1	D8 25		3	GR	O	supérieure	Silex	Éclat de façonnage	C 1200	M.LT_01_0000	612	7
LOCUS 1	D8 16		2	GR	O	inférieure	Silex	Éclat de façonnage	C 1200	M.LT_01_0000	613	7
LOCUS 1	D8 16		2	GR	O	supérieure	Silex	Éclat (fgt indéterminé)	C 1200	M.LT_01_0000	611	7
LOCUS 1	D8 16		2	GR	H	supérieure	Silex	Éclat de façonnage (fgt proximal)	C 1200	M.LT_01_0000	611	7
LOCUS 1	D8 16		2	GR	V		Silex	Éclat de façonnage (fgt proximal)	C 1200	M.LT_01_0000	612	7
LOCUS 1	D8 15		2	GR	DC		Silex	Éclat de façonnage	C 1200	M.LT_01_0000	613	7
LOCUS 1	D8 15		2	GR	V		Silex	Esquille	C 1200	M.LT_01_0000	612	7
LOCUS 1	D8 15		2	GR	DC		Silex	Éclat de façonnage (fgt proximal)	C 1200	M.LT_01_0000	612	7
LOCUS 1	D8 15		2	GR	O	inférieure	Silex	Éclat (fgt distal)	C 1200	M.LT_01_0000	611	7
LOCUS 1	D8 26		2	GR	O	face patinée	Silex	Biface	C 1200	M.LT_01_3000		7
LOCUS 1	D8 15		2	GR	H		Silex	Éclat (fgt indéterminé)	C 1200	M.LT_01_0000	611	7
LOCUS 1	D8 16		2	GR	O	supérieure	Silex	Éclat de façonnage (fgt proximal)	C 1200	M.LT_01_0000	612	7
LOCUS 1	D8 16		2	GR	O	inférieure	Silex	Éclat de façonnage	C 1200	M.LT_01_0000	613	7
LOCUS 1	D8 26		2	GR	O	supérieure	Silex	Denticulé	C 1200	M.LT_01_3004		7
LOCUS 1	D8 26		2	GR	H		Silex	Éclat (fgt indéterminé)	C 1200	M.LT_01_0000	612	7
LOCUS 1	D8 26	c	2	GR	H	supérieure	Silex	Éclat de façonnage (fgt proximal)	C 1200	M.LT_01_3006		7
LOCUS 1	D8 26		2	GR	H	supérieure	Silex	Éclat de façonnage (fgt proximal)	C 1200	M.LT_01_0000	613	7
LOCUS 1	D8 26	c	2	GR	O	supérieure	Silex	Éclat de façonnage (fgt mésial)	C 1200	M.LT_01_3008		7
LOCUS 1	D8 26		2	GR	O	inférieure	Silex	Éclat de façonnage (fgt proximal)	C 1200	M.LT_01_0000	612	7
LOCUS 1	D8 26		2	GR	H	supérieure	Silex	Éclat de façonnage (fgt proximal)	C 1200	M.LT_01_0000	613	7
LOCUS 1	D8 26		2	GR	O	supérieure	Silex	Éclat (fgt distal)	C 1200	M.LT_01_0000	611	7
LOCUS 1	D8 26		2	GR	O		Silex	Éclat (fgt distal)	C 1200	M.LT_01_0000	611	7
LOCUS 1	D8 26		2	GR	O	inférieure	Silex	Éclat de façonnage	C 1200	M.LT_01_0000	613	7
LOCUS 1	D8 26		2	GR	O	inférieure	Silex	Éclat (fgt distal)	C 1200	M.LT_01_0000	611	7
LOCUS 1	D8 26		2	GR	H	supérieure	Silex	Éclat (fgt indéterminé)	C 1200	M.LT_01_0000	613	7
LOCUS 1	D8 15		2	GR	O	supérieure	Silex	Éclat (fgt distal)	C 1200	M.LT_01_0000	611	7
LOCUS 1	D8 26	c	2	GR	O	supérieure	Silex	Éclat de façonnage	C 1200	M.LT_01_3019		7
LOCUS 1	D8 26		2	GR	O	supérieure	Silex	Éclat (fgt distal)	C 1200	M.LT_01_0000	613	7
LOCUS 1	D8 26		2	GR	O	inférieure	Silex	Éclat de façonnage (fgt proximal)	C 1200	M.LT_01_0000	612	7
LOCUS 1	D8 26		2	GR	O	inférieure	Silex	Éclat de façonnage (fgt proximal)	C 1200	M.LT_01_0000	612	7
LOCUS 1	D8 26		2	GR	O	supérieure	Silex	Éclat (fgt distal)	C 1200	M.LT_01_0000	613	7
LOCUS 1	D8 26		2	GR	O	supérieure	Silex	Éclat de façonnage	C 1200	M.LT_01_0000	613	7
LOCUS 1	D8 26		2	GR	H	supérieure	Silex	Éclat (fgt distal)	C 1200	M.LT_01_0000	611	7
LOCUS 1	D8 26	c	2	GR	O	supérieure	Silex	Éclat de façonnage cortical (fgt mésial)	C 1200	M.LT_01_3026		7
LOCUS 1	D8 26		2	GR	H	supérieure	Silex	Éclat (fgt mésial)	C 1200	M.LT_01_0000	611	7
LOCUS 1	D8 26		2	GR	O	inférieure	Silex	Éclat (fgt indéterminé)	C 1200	M.LT_01_0000	611	7
LOCUS 1	D8 26		2	GR	O	inférieure	Silex	Éclat de façonnage (fgt proximal)	C 1200	M.LT_01_0000	611	7
LOCUS 1	D8 26	c	2	GR	O	supérieure	Silex	Éclat de façonnage	C 1200	M.LT_01_3030		7
LOCUS 1	D8 26		2	GR	O	supérieure	Silex	Éclat (fgt distal)	C 1200	M.LT_01_0000	611	7
LOCUS 1	D8 26		2	GR	O	inférieure	Silex	Éclat de façonnage (fgt proximal)	C 1200	M.LT_01_0000	613	7
LOCUS 1	D8 26		2	GR	DC		Silex	Éclat (fgt mésial)	C 1200	M.LT_01_0000	612	7
LOCUS 1	D8 26		2	GR			Silex	Lot de 1 éclat de coup de tranchet de type Kombewa, 16 éclats, 25 fgts d'éclats et 144 esquilles	C 1200	M.LT_01_3034		7
LOCUS 1	D8 26	c	2	GR	V		Silex	Éclat de façonnage (fgt distal)	C 1200	M.LT_01_3035		7
LOCUS 1	D8 26		2	GR	H	inférieure	Silex	Éclat de façonnage (fgt distal)	C 1200	M.LT_01_3036		7
LOCUS 1	D8 26		2	GR	H	inférieure	Silex	Éclat (fgt distal)	C 1200	M.LT_01_0000	612	7
LOCUS 1	D8 26		2	GR	V		Silex	Éclat (fgt distal)	C 1200	M.LT_01_0000	612	7
LOCUS 1	D8 26	c	2	GR	H		Silex	Éclat de façonnage cortical (fgt proximal)	C 1200	M.LT_01_3039		7
LOCUS 1	D8 26		2	GR	H	supérieure	Silex	Éclat de façonnage	C 1200	M.LT_01_0000	612	7
LOCUS 1	D8 26	c	2	GR	O	supérieure	Silex	Éclat de façonnage (fgt proximal)	C 1200	M.LT_01_3041		7
LOCUS 1	D8 26		2	GR	O	supérieure	Silex	Éclat (fgt distal)	C 1200	M.LT_01_0000	612	7
LOCUS 1	D8 26		2	GR	H	inférieure	Silex	Éclat (fgt distal)	C 1200	M.LT_01_0000	612	7
LOCUS 1	D8 26		2	GR	H	inférieure	Silex	Éclat (fgt indéterminé)	C 1200	M.LT_01_0000	611	7
LOCUS 1	D8 26		2	GR	H	inférieure	Silex	Éclat de façonnage cortical (fgt proximal)	C 1200	M.LT_01_0000	612	7
LOCUS 1	D8 26		2	GR	H	supérieure	Silex	Éclat (fgt distal)	C 1200	M.LT_01_0000	611	7
LOCUS 1	D8 26		2	GR	H	supérieure	Silex	Éclat de façonnage	C 1200	M.LT_01_0000	613	7
LOCUS 1	D8 26		2	GR	H	inférieure	Silex	Éclat de façonnage cortical (fgt proximal)	C 1200	M.LT_01_0000	610	7
LOCUS 1	D8 26		2	GR	V		Silex	Éclat de façonnage (fgt proximal)	C 1200	M.LT_01_0000	612	7
LOCUS 1	D8 26		2	GR	H		Silex	Débris	C 1200	M.LT_01_0000	612	7
LOCUS 1	D8 26		2	GR	H		Silex	Éclat de façonnage	C 1200	M.LT_01_0000	613	7
LOCUS 1	D8 26		2	GR	O	inférieure	Silex	Éclat de façonnage	C 1200	M.LT_01_0000	613	7
LOCUS 1	D8 26		2	GR	H	supérieure	Silex	Éclat (fgt distal)	C 1200	M.LT_01_0000	613	7
LOCUS 1	D8 26		2	GR	O	inférieure	Silex	Éclat cortical	C 1200	M.LT_01_0000	610	7
LOCUS 1	D8 26		2	GR	O	inférieure	Silex	Éclat de façonnage (fgt proximal)	C 1200	M.LT_01_0000	612	7
LOCUS 1	D8 26		2	GR	H	supérieure	Silex	Éclat de façonnage	C 1200	M.LT_01_0000	613	7
LOCUS 1	D8 26		2	GR	H	supérieure	Silex	Éclat de coup de tranchet	C 1200	M.LT_01_0000	643	7
LOCUS 1	D8 26		2	GR	H	inférieure	Silex	Éclat de façonnage	C 1200	M.LT_01_0000	613	7
LOCUS 1	D8 26		2	GR	H	supérieure	Silex	Éclat de façonnage	C 1200	M.LT_01_0000	613	7
LOCUS 1	D8 26		2	GR	H	supérieure	Silex	Éclat de façonnage cortical	C 1200	M.LT_01_0000	613	7
LOCUS 1	D8 26		2	GR	H	inférieure	Silex	Éclat de façonnage	C 1200	M.LT_01_0000	612	7
LOCUS 1	D8 26		2	GR	H	inférieure	Silex	Éclat de façonnage (fgt proximal)	C 1200	M.LT_01_0000	612	7
LOCUS 1	D8 26		2	GR			Silex	Débris	C 1200	M.LT_01_0000	611	7
LOCUS 1	D8 26		2	GR	H	inférieure	Silex	Éclat de façonnage cortical	C 1200	M.LT_01_0000	610	7
LOCUS 1	D8 15		2	GR	O	inférieure	Silex	Éclat Levallois	C 1200	M.LT_01_3065		7
LOCUS 1	D8 15		2	GR	V		Silex	Éclat (fgt distal)	C 1200	M.LT_01_0000	643	7
LOCUS 1	D8 15		3	GR	O	supérieure	Silex	Éclat (fgt distal)	C 1200	M.LT_01_0000	612	7
LOCUS 1	D8 15		3	GR	H	supérieure	Silex	Éclat de façonnage	C 1200	M.LT_01_0000	613	7
LOCUS 1	D8 15		3	GR	O	supérieure	Silex	Éclat de façonnage (fgt proximal)	C 1200	M.LT_01_0000	612	7
LOCUS 1	D8 15		3	GR	O	inférieure	Silex	Éclat (fgt mésial)	C 1200	M.LT_01_0000	612	7
LOCUS 1	D8 15		3	GR	O	inférieure	Silex	Éclat (fgt distal)	C 1200	M.LT_01_0000	613	7
LOCUS 1	D8 15		3	GR	O	inférieure	Silex	Éclat de façonnage	C 1200	M.LT_01_0000	613	7
LOCUS 1	D8 15		3	GR	O	supérieure	Silex	Éclat de façonnage (fgt proximal)	C 1200	M.LT_01_0000	610	7
LOCUS 1	D8 15		3	GR	O	inférieure	Silex	Éclat de façonnage	C 1200	M.LT_01_0000	611	7
LOCUS 1	D8 15		3	GR	O	supérieure	Silex	Éclat de façonnage	C 1200	M.LT_01_0000	612	7
LOCUS 1	D8 15		3	GR	H	supérieure	Silex	Éclat de coup de tranchet	C 1200	M.LT_01_3085		7
LOCUS 1	D8 15		3	GR	V		Silex	Éclat (fgt mésial)	C 1200	M.LT_01_0000	611	7
LOCUS 1	D8 15		3	GR	V		Silex	Éclat (fgt distal)	C 1200	M.LT_01_0000	611	7
LOCUS 1	D8 26		3	GR	H	inférieure	Silex	Éclat de façonnage	C 1200	M.LT_01_0000	613	7
LOCUS 1	D8 26		3	GR	H		Silex	Éclat de façonnage (fgt proximal)	C 1200	M.LT_01_0000	612	7
LOCUS 1	D8 15		3	GR	O	supérieure	Silex	Éclat de façonnage	C 1200	M.LT_01_0000	612	7
LOCUS 1	D8 15		3	GR	O	inférieure	Silex	Éclat de façonnage	C 1200	M.LT_01_0000	613	7
LOCUS 1	D8 15		3	GR	V		Silex	Éclat de façonnage (fgt proximal)	C 1200	M.LT_01_0000	612	7
LOCUS 1	D8 15		3	GR	O	supérieure	Silex	Éclat de coup de tranchet	C 1200	M.LT_01_0000	643	7
LOCUS 1	D8 15		3	GR	O	inférieure	Silex	Éclat de façonnage	C 1200	M.LT_01_0000	613	7
LOCUS 1	D8 25		3	GR	H	inférieure	Silex	Éclat de façonnage (fgt proximal)	C 1200	M.LT_01_0000	612	7
LOCUS 4	C5 82		nettoyage surface	GR	O	supérieure	Silex	Éclat cortical	C 1200	M.LT_04_0000	631	9
LOCUS 4	C5 82	a	nettoyage surface	GR	H	supérieure	Silex	Éclat de façonnage (fgt proximal)	C 1200	M.LT_04_0000	633	9
LOCUS 4	C5 82		nettoyage surface	GR	O	supérieure	Silex	Éclat (fgt distal)	C 1200	M.LT_04_3098		9

Zone Secteur	Carré	Sous-carré	N° de décapage	Unité Pédo-stratigraphique	Position	Repose sur face	Matériau	Descriptif détaillé	Parcelle	Code SRA	Réf. contenant POCHE	Réf. contenant CAISSE
LOCUS 4	C5 82		nettoyage surface	GR	O	inférieure	Silex	Éclat de façonnage (fgt proximal)	C 1200	M.LT_04_0000	634	9
LOCUS 4	C5 82		nettoyage surface	GR	O	inférieure	Silex	Éclat (fgt proximal)	C 1200	M.LT_04_3099b		9
LOCUS 4	C5 82		nettoyage surface	GR	O	supérieure	Silex	Éclat de façonnage	C 1200	M.LT_04_0000	632	9
LOCUS 2	D7 15		1	LSBR	V		Silex	Éclat de façonnage cortical	C 1200	M.LT_02_0000	614	8
LOCUS 2	D7 14		1	LSBR	H	supérieure	Silex	Éclat de coup de tranchet	C 1200	M.LT_02_0000	645	8
LOCUS 2	D7 14		1	LSBR	V		Silex	Éclat (fgt distal)	C 1200	M.LT_02_0000	617	8
LOCUS 2	D7 14		1	LSBR	O	supérieure	Silex	Débris	C 1200	M.LT_02_0000	618	8
LOCUS 2	D7 14		1	LSBR	H	inférieure	Silex	Éclat de façonnage	C 1200	M.LT_02_0000	615	8
LOCUS 2	D7 14		1	LSBR	O	supérieure	Silex	Éclat de façonnage	C 1200	M.LT_02_0000	615	8
LOCUS 2	D7 14		1	LSBR	H	supérieure	Silex	Débris	C 1200	M.LT_02_0000	618	8
LOCUS 2	D7 05	b	1	LSBR	O	inférieure	Silex	Biface	C 1200	M.LT_02_3108		8
LOCUS 2	D7 05		1	LSBR	H	supérieure	Silex	Éclat de façonnage	C 1200	M.LT_02_0000	615	8
LOCUS 2	D7 05		1	LSBR	O	inférieure	Silex	Éclat de façonnage	C 1200	M.LT_02_0000	615	8
LOCUS 2	D7 05		1	LSBR	H	supérieure	Silex	Éclat cortical	C 1200	M.LT_02_0000	614	8
LOCUS 2	D7 05		1	LSBR	H	inférieure	Silex	Éclat de façonnage	C 1200	M.LT_02_0000	615	8
LOCUS 2	D7 05	c	1	LSBR	O	supérieure	Silex	Racloir sur face plane	C 1200	M.LT_02_3113		8
LOCUS 2	D7 04		1	LSB/GB	O	supérieure	Silex	Éclat (fgt distal)	C 1200	M.LT_02_0000	617	8
LOCUS 2	D7 04		1	LSB/GB	V		Silex	Éclat de façonnage	C 1200	M.LT_02_0000	615	8
LOCUS 2	D7 04		1	LSB/GB	H	supérieure	Silex	Éclat de façonnage	C 1200	M.LT_02_0000	615	8
LOCUS 2	D7 04		1	LSB/GB	H	supérieure	Silex	Éclat de façonnage (fgt proximal)	C 1200	M.LT_02_0000	615	8
LOCUS 2	D7 04		1	LSB/GB	H	supérieure	Silex	Éclat cortical (fgt proximal)	C 1200	M.LT_02_0000	614	8
LOCUS 2	D7 04		1	LSB/GB	O	inférieure	Silex	Éclat de façonnage	C 1200	M.LT_02_0000	615	8
LOCUS 2	D7 04	b	1	LSB/GB	H	supérieure	Silex	Racloir déjeté associé à un denticulé	C 1200	M.LT_02_3120		8
LOCUS 2	D7 04		1	LSB/GB	V		Silex	Éclat cortical (fgt indéterminé)	C 1200	M.LT_02_0000	614	8
LOCUS 2	D7 04	a	1	LSB/GB	O	inférieure	Silex	Éclat de façonnage cortical	C 1200	M.LT_02_0000	614	8
LOCUS 2	D7 04		1	LSB/GB	O	inférieure	Silex	Éclat cortical (fgt proximal)	C 1200	M.LT_02_0000	644	8
LOCUS 2	D7 04		1	LSB/GB	O	supérieure	Silex	Éclat (fgt proximal)	C 1200	M.LT_02_0000	616	8
LOCUS 2	D7 04	b	1	LSB/GB	V		Silex	Éclat de façonnage (fgt proximal)	C 1200	M.LT_02_0000	615	8
LOCUS 2	D7 04		1	LSB/GB	O	supérieure	Silex	Éclat (fgt distal)	C 1200	M.LT_02_0000	616	8
LOCUS 2	D7 04	a	1	LSB/GB	H	inférieure	Silex	Éclat de façonnage (fgt distal)	C 1200	M.LT_02_0000	617	8
LOCUS 2	D7 04	a	1	LSB/GB	H	inférieure	Silex	Éclat	C 1200	M.LT_02_0000	617	8
LOCUS 2	D7 04		1	LSB/GB	V		Silex	Éclat de façonnage	C 1200	M.LT_02_0000	615	8
LOCUS 2	D7 04		1	LSB/GB	O	supérieure	Silex	Éclat cortical	C 1200	M.LT_02_0000	614	8
LOCUS 2	D7 04		1	LSB/GB	O	inférieure	Silex	Éclat de façonnage	C 1200	M.LT_02_0000	615	8
LOCUS 2	D7 04		1	LSB/GB	H	inférieure	Silex	Éclat de façonnage	C 1200	M.LT_02_0000	614	8
LOCUS 2	D7 04		1	LSB/GB	O	supérieure	Silex	Éclat cortical (fgt distal)	C 1200	M.LT_02_0000	614	8
LOCUS 2	D7 04		1	LSB/GB	H	supérieure	Silex	Éclat de façonnage	C 1200	M.LT_02_0000	615	8
LOCUS 2	D7 04		1	LSB/GB	H	inférieure	Silex	Eclat cortical (fgt proximal)	C 1200	M.LT_02_0000	614	8
LOCUS 2	D7 04		1	LSB/GB	H	inférieure	Silex	Éclat (fgt proximal)	C 1200	M.LT_02_3136		8
LOCUS 2	D7 04		1	LSB/GB	H	supérieure	Silex	Éclat cortical	C 1200	M.LT_02_0000	614	8
LOCUS 2	D7 04		1	LSB/GB	O	supérieure	Silex	Éclat (fgt distal)	C 1200	M.LT_02_0000	617	8
LOCUS 2	D7 04		1	LSB/GB	H	supérieure	Silex	Éclat de façonnage (fgt proximal)	C 1200	M.LT_02_0000	616	8
LOCUS 2	D7 04		1	LSB/GB	H	inférieure	Silex	Éclat de façonnage	C 1200	M.LT_02_0000	615	8
LOCUS 2	D7 04	a	1	LSB/GB	H	inférieure	Silex	Éclat de façonnage (fgt proximal)	C 1200	M.LT_02_0000	616	8
LOCUS 2	D7 04	a	1	LSB/GB	O	supérieure	Silex	Éclat cortical	C 1200	M.LT_02_0000	614	8
LOCUS 2	D7 04	a	1	LSB/GB	O	inférieure	Silex	Éclat cortical (fgt distal)	C 1200	M.LT_02_0000	614	8
LOCUS 2	D7 04	a	1	LSB/GB	V		Silex	Éclat cortical	C 1200	M.LT_02_0000	614	8
LOCUS 2	D6 85		1	LSB	O	inférieure	Silex	Éclat de façonnage (fgt proximal)	C 1200	M.LT_02_0000	616	8
LOCUS 2	D6 85		1	LSB	H	inférieure	Silex	Éclat (fgt indéterminé)	C 1200	M.LT_02_0000	616	8
LOCUS 2	D6 85		1	LSB	H	inférieure	Silex	Éclat de façonnage	C 1200	M.LT_02_0000	615	8
LOCUS 2	D6 85		1	LSB	V		Silex	Éclat de façonnage (fgt proximal)	C 1200	M.LT_02_0000	616	8
LOCUS 2	D6 85		1	LSB	O	inférieure	Silex	Éclat de façonnage (fgt proximal)	C 1200	M.LT_02_0000	616	8
LOCUS 2	D6 85		1	LSB	O	inférieure	Silex	Biface	C 1200	M.LT_02_3150		8
LOCUS 2	D6 84		1	LSB	H	inférieure	Silex	Éclat (fgt distal)	C 1200	M.LT_02_0000	617	8
LOCUS 2	D6 84		1	LSB	O	supérieure	Silex	Éclat cortical (fgt proximal)	C 1200	M.LT_02_0000	616	8
LOCUS 2	D6 84		1	LSB	H	supérieure	Silex	Racloir sur face plane	C 1200	M.LT_02_3153		8
LOCUS 2	D6 84		1	LSB	O	inférieure	Silex	Éclat cortical	C 1200	M.LT_02_0000	614	8
LOCUS 2	D6 84		1	LSB	O	supérieure	Silex	Éclat de façonnage	C 1200	M.LT_02_0000	615	8
LOCUS 2	D6 84		1	LSB	V		Silex	Éclat de façonnage	C 1200	M.LT_02_0000	615	8
LOCUS 2	D6 84		1	LSB	H	supérieure	Silex	Eclat cortical (fgt distal)	C 1200	M.LT_02_0000	614	8
LOCUS 2	D6 95		1	LSB	H	inférieure	Silex	Éclat de coup de tranchet	C 1200	M.LT_02_0000	645	8
LOCUS 2	D6 95		1	LSB	O	supérieure	Silex	Éclat (fgt distal)	C 1200	M.LT_02_0000	617	8
LOCUS 2	D6 95		1	LSB	O	supérieure	Silex	Racloir déjeté	C 1200	M.LT_02_3160		8
LOCUS 2	D6 95		1	LSB	O	supérieure	Silex	Éclat (fgt proximal)	C 1200	M.LT_02_0000	616	8
LOCUS 2	D6 95		1	LSB	O	supérieure	Silex	Eclat cortical	C 1200	M.LT_02_0000	617	8
LOCUS 2	D6 95		1	LSB	V		Silex	Éclat (fgt distal)	C 1200	M.LT_02_0000	617	8
LOCUS 2	D6 95		1	LSB	H	supérieure	Silex	Éclat (fgt distal)	C 1200	M.LT_02_0000	617	8
LOCUS 2	D6 94		1	LSB	O	inférieure	Silex	Éclat de façonnage cortical	C 1200	M.LT_02_0000	614	8
LOCUS 2	D6 94		1	LSB	H	supérieure	Silex	Éclat de façonnage	C 1200	M.LT_02_0000	615	8
LOCUS 2	D6 94		1	LSB	H	supérieure	Silex	Éclat (fgt indéterminé)	C 1200	M.LT_02_0000	616	8
LOCUS 2	D6 94		1	LSB	H	inférieure	Silex	Éclat cortical (fgt distal)	C 1200	M.LT_02_0000	614	8
LOCUS 2	D6 94		1	LSB	H	inférieure	Silex	Éclat cortical (fgt distal)	C 1200	M.LT_02_0000	616	8
LOCUS 2	D6 94		1	LSB	V		Silex	Éclat de façonnage	C 1200	M.LT_02_0000	615	8
LOCUS 2	D6 94		1	LSB	O	inférieure	Silex	Éclat (fgt indéterminé)	C 1200	M.LT_02_0000	616	8
LOCUS 2	D6 94		1	LSB	O	inférieure	Silex	Éclat (fgt distal)	C 1200	M.LT_02_0000	617	8
LOCUS 2	D6 94		1	LSB	O	supérieure	Silex	Éclat de façonnage Kombewa	C 1200	M.LT_02_0000	645	8
LOCUS 2	D6 94		1	LSB	O	inférieure	Silex	Éclat (fgt distal)	C 1200	M.LT_02_0000	617	8
LOCUS 2	D6 94		1	LSB	O	inférieure	Silex	Biface (fgt)	C 1200	M.LT_02_3175		8
LOCUS 2	D6 94		1	LSB	H	supérieure	Silex	Éclat de façonnage	C 1200	M.LT_02_0000	615	8
LOCUS 2	D6 94		1	LSB	O	supérieure	Silex	Denticulé	C 1200	M.LT_02_3177		8
LOCUS 2	D6 94		1	LSB	O	supérieure	Silex	Éclat (fgt indéterminé)	C 1200	M.LT_02_0000	616	8
LOCUS 2	D6 94		1	LSB	O	supérieure	Silex	Éclat de façonnage (fgt proximal)	C 1200	M.LT_02_0000	616	8
LOCUS 2	D6 94		1	LSB	O	supérieure	Silex	Éclat de façonnage	C 1200	M.LT_02_0000	615	8
LOCUS 2	D6 94		1	LSB	O	supérieure	Silex	Éclat de façonnage cortical	C 1200	M.LT_02_0000	614	8
LOCUS 2	D6 94		1	LSB	H	supérieure	Silex	Éclat (fgt proximal)	C 1200	M.LT_02_0000	616	8
LOCUS 2	D6 94		1	LSB	O	supérieure	Silex	Éclat de façonnage	C 1200	M.LT_02_0000	615	8
LOCUS 2	D6 94		1	LSB	H	supérieure	Silex	Éclat de façonnage	C 1200	M.LT_02_0000	615	8
LOCUS 2	D6 94		1	LSB	H	supérieure	Silex	Éclat (fgt proximal)	C 1200	M.LT_02_0000	616	8
LOCUS 2	D6 94		1	LSB	O	supérieure	Silex	Éclat (fgt distal)	C 1200	M.LT_02_0000	617	8
LOCUS 2	D6 94		1	LSB	H	supérieure	Silex	Eclat (fgt indéterminé)	C 1200	M.LT_02_0000	616	8
LOCUS 2	D6 94		1	LSB	H	supérieure	Silex	Éclat de façonnage cortical	C 1200	M.LT_02_0000	614	8
LOCUS 2	D6 94		1	LSB	O	inférieure	Silex	Cupule de gel	C 1200	M.LT_02_0000	618	8
LOCUS 2	D6 94		1	LSB	O	supérieure	Silex	Éclat (fgt distal)	C 1200	M.LT_02_0000	617	8
LOCUS 2	D6 93	a	1	LSB	O	supérieure	Silex	Éclat cortical (fgt proximal)	C 1200	M.LT_02_0000	614	8
LOCUS 2	D6 93	a	1	LSB	H	supérieure	Silex	Éclat de façonnage	C 1200	M.LT_02_0000	615	8
LOCUS 2	D6 93		1	LSB	V		Silex	Éclat cortical (fgt proximal)	C 1200	M.LT_02_0000	614	8
LOCUS 2	D6 93	d	1	LSB	H	supérieure	Silex	Cupule de gel	C 1200	M.LT_02_0000	618	8
LOCUS 2	D6 93	d	1	LSB			Silex	Bloc brut	C 1200	M.LT_02_0000	618	8
LOCUS 2	D6 92		1	LSB	V		Silex	Éclat de façonnage	C 1200	M.LT_02_0000	615	8
LOCUS 2	D6 92		1	LSB	H	inférieure	Silex	Éclat cortical (fgt proximal)	C 1200	M.LT_02_0000	644	8
LOCUS 2	D6 92		1	LSB	H	inférieure	Silex	Éclat de coup de tranchet	C 1200	M.LT_02_0000	645	8
LOCUS 2	D6 92		1	LSB	V		Silex	Éclat cortical (fgt distal)	C 1200	M.LT_02_0000	614	8
LOCUS 2	D6 92		1	LSB			Silex	Débris	C 1200	M.LT_02_0000	618	8
LOCUS 2	D6 92		1	LSB	V		Silex	Débris	C 1200	M.LT_02_0000	618	8
LOCUS 2	D6 92		1	LSB	V		Silex	Éclat de coup de tranchet	C 1200	M.LT_02_0000	645	8
LOCUS 2	D6 83		1	LSB	O	supérieure	Silex	Éclat (fgt indéterminé)	C 1200	M.LT_02_0000	616	8
LOCUS 2	D6 83		1	LSB	H	supérieure	Silex	Éclat cortical (fgt indéterminé)	C 1200	M.LT_02_0000	614	8
LOCUS 2	D6 83		1	LSB	O	inférieure	Silex	Racloir simple	C 1200	M.LT_02_3205		8
LOCUS 2	D6 83		1	LSB	V		Silex	Débris	C 1200	M.LT_02_0000	618	8
LOCUS 2	D6 83		1	LSB	V		Silex	Éclat (fgt proximal)	C 1200	M.LT_02_0000	616	8
LOCUS 2	D6 83		1	LSB			Silex	Bloc brut (fgt)	C 1200	M.LT_02_0000	618	8
LOCUS 2	D6 83		1	LSB	H	inférieure	Silex	Biface (fgt)	C 1200	M.LT_02_3209		8
LOCUS 2	D6 83		1	LSB			Grès	Galet brut (fgt)	C 1200	M.LT_02_0000	618	8
LOCUS 2	D6 82		1	LSB	O	supérieure	Silex	Éclat	C 1200	M.LT_02_0000	617	8
LOCUS 2	D6 82		1	LSB	H	supérieure	Silex	Éclat de façonnage	C 1200	M.LT_02_0000	615	8
LOCUS 2	D6 82		1	LSB	H	supérieure	Silex	Éclat cortical (fgt distal)	C 1200	M.LT_02_0000	614	8
LOCUS 2	D7 04	b	1	LSB/GB	O	supérieure	Silex	Éclat de façonnage (fgt distal)	C 1200	M.LT_02_0000	615	8
LOCUS 2	D7 04		1	LSB/GB	H	inférieure	Silex	Éclat (fgt mésial)	C 1200	M.LT_02_0000	617	8
LOCUS 2	D7 04	a	1	LSB/GB	V		Silex	Éclat (fgt proximal)	C 1200	M.LT_02_0000	616	8
LOCUS 2	D7 04	a	1	LSB/GB	H	inférieure	Silex	Éclat cortical (fgt proximal)	C 1200	M.LT_02_0000	644	8
LOCUS 2	D7 04	a	1	LSB/GB			Grès	Bloc brut (fgt)	C 1200	M.LT_02_3218		12
LOCUS 2	D7 04	a	1	LSB/GB			Silex	Nucléus Levallois (ébauche)	C 1200	M.LT_02_3219		8
LOCUS 2	D7 04		1	LSB/GB			Quartz	Galet brut (fgt)	C 1200	M.LT_02_0000	618	8
LOCUS 2	D6 94		1	LSB	H	inférieure	Silex	Éclat	C 1200	M.LT_02_0000	617	8

Zone Secteur	Carré	Sous-carré	N° de décapage	Unité Pédo-stratigraphique	Position	Repose sur face	Matériau	Descriptif détaillé	Parcelle	Code SRA	Réf. contenant POCHE	Réf. contenant CAISSE
LOCUS 2	D6 94		1	LSB	O	inférieure	Silex	Éclat (fgt distal)	C 1200	M.LT_02_0000	616	8
LOCUS 2	D6 94		1	LSB	O	inférieure	Silex	Racloir simple	C 1200	M.LT_02_3223		8
LOCUS 2	D6 94		1	LSB	V		Silex	Racloir simple	C 1200	M.LT_02_3224		8
LOCUS 2	D6 83		1	LSB	O	inférieure	Silex	Débris	C 1200	M.LT_02_0000	618	8
LOCUS 2	D6 83		1	LSB	DC		Silex	Éclat	C 1200	M.LT_02_0000	617	8
LOCUS 2	D6 94		1	LSB			Grès ?	Bloc brut	C 1200	M.LT_02_0000	618	8
CP08				LSR	V		Silex	Éclat de façonnage	C 1200	M.LT_BD_0000	638	2
CP08				LSB	V		Silex	Éclat de façonnage (fgt proximal)	C 1200	M.LT_BD_0000	616	8
CP08				LSR	O	inférieure	Silex	Éclat de façonnage cortical	C 1200	M.LT_BD_0000	640	2
CP08				LSB	O	inférieure	Silex	Éclat cortical (fgt indéterminé)	C 1200	M.LT_02_0000	614	8
CP08				LSR	O	inférieure	Silex	Racloir déjeté	C 1200	M.LT_BD_3244		1
CP08				LSBr	V		Silex	Éclat (fgt proximal)	C 1200	M.LT_BD_3245		1
CP08				LSB	O	inférieure	Silex	Éclat de façonnage	C 1200	M.LT_BD_3246		1
CP08				LSB	O	inférieure	Silex	Éclat (fgt distal)	C 1200	M.LT_BD_0000	617	8
CP08				LSR	H	inférieure	Silex	Éclat de façonnage	C 1200	M.LT_BD_0000	640	2
CP08				LSB			Silex	Débris	C 1200	M.LT_02_0000	618	8
CP08				LSR	O	inférieure	Silex	Éclat cortical	C 1200	M.LT_BD_0000	641	2
CP08				LSR	V		Silex	Éclat de façonnage (fgt proximal)	C 1200	M.LT_BD_0000	592	3
CP08				GR	H	supérieure	Silex	Éclat de façonnage cortical	C 1200	M.LT_BD_0000	620	10
CP08				LSR/GR	O	supérieure	Silex	Éclat (fgt mésial)	C 1200	M.LT_BD_0000	640	2
CP08 base			1	LSR	O	supérieure	Silex	Éclat de façonnage	C 1200	M.LT_BD_0000	639	2
CP08 base			1	LSR		supérieure	Silex	Éclat de façonnage	C 1200	M.LT_BD_0000	639	2
CP08 base			1	SR	O	supérieure	Silex	Éclat	C 1200	NON RETROUVE		
CP08 base			1	GR	H	inférieure	Silex	Éclat avec retouche d'utilisation	C 1200	M.LT_BD_0000	639	2
CP08 base			1	GR	H	supérieure	Silex	Éclat (fgt mésial)	C 1200	M.LT_BD_0000	639	2
CP08 base			1	GR	H	inférieure	Silex	Éclat de façonnage	C 1200	M.LT_BD_0000	639	2
CP08 base			1	GR	H	supérieure	Silex	Éclat (fgt proximal)	C 1200	M.LT_BD_0000	639	2
CP08 base			1	GR		supérieure	Silex	Éclat cortical (fgt mésial)	C 1200	M.LT_BD_0000	641	2
CP08 base			1	GR	H	supérieure	Silex	Éclat (fgt proximal)	C 1200	M.LT_BD_0000	639	2
CP08 base			1	GR	H	supérieure	Silex	Éclat cortical (fgt proximal)	C 1200	M.LT_BD_0000	639	2
CP08 base			1	GR	O	supérieure	Silex	Éclat cortical (fgt proximal)	C 1200	M.LT_BD_0000	641	2
CP08 base			1	GR	H	inférieure	Silex	Éclat de façonnage	C 1200	M.LT_BD_0000	639	2
CP08 base			1	GR	DC		Silex	Éclat de façonnage	C 1200	M.LT_BD_0000	639	2
CP08 base			1	GR	DC		Silex	Éclat de façonnage	C 1200	M.LT_BD_0000	639	2
CP08 base			1	GR	H	supérieure	Silex	Éclat de façonnage	C 1200	M.LT_BD_0000	639	2
CP08 base			1	GR	O		Silex	Éclat cortical (fgt mésial)	C 1200	M.LT_BD_0000	639	2
CP08 base			1	GR	O	supérieure	Silex	Éclat de façonnage	C 1200	M.LT_BD_0000	639	2
CP08 base			1	GR	H	inférieure	Silex	Éclat cortical (fgt indéterminé)	C 1200	M.LT_BD_0000	639	2
LOCUS 3	C6 15	b	4	LSB	O	inférieure	Silex	Éclat	C 1200	M.LT_03_0000	625	10
LOCUS 3	C6 15	b	5	LSB/GB	V		Silex	Éclat cortical	C 1200	M.LT_03_0000	620	10
LOCUS 3	C6 15	b	5	LSB/GB	O		Silex	Éclat	C 1200	M.LT_03_0000	626	10
LOCUS 3	C6 15	b	5	LSB/GB	O		Silex	Éclat cortical	C 1200	M.LT_03_0000	626	10
LOCUS 3	C6 15	b	5	LSB/GB	V		Silex	Éclat (fgt distal)	C 1200	M.LT_03_0000	624	10
LOCUS 2	D6 93	a	2	LSB/GB	O	inférieure	Silex	Éclat cortical	C 1200	M.LT_02_0000	614	8
CP04.1				LSB	O	supérieure	Silex	Éclat	C 1200	M.LT_BD_0000	599	2
CP04.1				GR	O	supérieure	Silex	Débris	C 1200	M.LT_BD_0000	606	6
CP10				SR (dans sable jaune)	O	supérieure	Silex	Biface (fgt)	C 1200	M.LT_BD_3307		1
CP10				LSB	H	face avec cupule	Silex	Éclat cortical (fgt distal)	C 1200	M.LT_02_0000	614	8
CP10				SR	O	supérieure	Silex	Éclat de retouche	C 1200	M.LT_BD_0000	640	2
CP10				LSB	O	inférieure	Silex	Éclat de façonnage	C 1200	M.LT_02_0000	615	8
LOCUS 3	C6 15	b	6	LSBR	H		Silex	Éclat (fgt indéterminé)	C 1200	M.LT_03_0000	624	10
LOCUS 3	C6 15	b	6	LSBR	O	inférieure	Silex	Éclat	C 1200	M.LT_03_0000	626	10
LOCUS 3	C6 15	b	6	LSBR	O	inférieure	Silex	Éclat cortical	C 1200	M.LT_03_0000	620	10
LOCUS 2	D6 93	a	3	LSB	O	inférieure	Silex	Éclat cortical (fgt distal)	C 1200	M.LT_02_0000	617	8
LOCUS 2	D6 93	a	5	LSBR	O	supérieure	Silex	Éclat de façonnage	C 1200	M.LT_02_0000	615	8
LOCUS 3	C6 15	b	8	LSBR	O	supérieure	Silex	Éclat cortical	C 1200	M.LT_03_0000	619	11
LOCUS 3	C6 15	b	8	LSBR	O	supérieure	Silex	Éclat de façonnage cortical	C 1200	M.LT_03_0000	619	11
LOCUS 2	D7 04	a	2	LSBR (poches de GR)	O	supérieure	Silex	Denticulé	C 1200	M.LT_02_3318		8
LOCUS 2	D7 04	a	2	LSBR (poches de GR)	H	inférieure	Silex	Racloir déjeté	C 1200	M.LT_02_3319		8
LOCUS 2	D7 04	a	2	LSBR (poches de GR)	H		Silex	Nucléus Levallois repris en racloir déjeté	C 1200	M.LT_02_3320		8
LOCUS 2	D7 04		2	LSBR (poches de GR)	O	supérieure	Silex	Éclat de façonnage	C 1200	M.LT_02_0000	615	8
LOCUS 2	D7 04		2	LSBR (poches de GR)	H	inférieure	Silex	Éclat de façonnage	C 1200	M.LT_02_0000	615	8
LOCUS 2	D6 94		2	LSBR (poches de GR)	O	supérieure	Silex	Éclat (fgt distal)	C 1200	M.LT_02_0000	617	8
LOCUS 2	D6 94		2	LSBR (poches de GR)	H	supérieure	Silex	Éclat de façonnage	C 1200	M.LT_02_0000	615	8
LOCUS 2	D6 94		2	LSBR (poches de GR)	O	inférieure	Silex	Éclat cortical	C 1200	M.LT_02_0000	614	8
LOCUS 2	D6 94		2	LSBR (poches de GR)	DC		Silex	Éclat de façonnage	C 1200	M.LT_02_0000	645	8
LOCUS 2	D6 84		2	LSBR (poches de GR)	O	inférieure	Silex	Éclat (fgt distal)	C 1200	M.LT_02_0000	617	8
LOCUS 2	D6 84		2	LSBR (poches de GR)	O	inférieure	Silex	Éclat	C 1200	M.LT_02_0000	617	8
LOCUS 2	D6 95		2	LSBR (poches de GR)	H	supérieure	Silex	Éclat Kombewa	C 1200	M.LT_02_0000	616	8
LOCUS 2	D6 95		2	LSBR (poches de GR)			Silex	Éclat cortical	C 1200	M.LT_02_0000	614	8
LOCUS 2	D6 95		2	LSBR (poches de GR)	O	supérieure	Silex	Éclat de façonnage	C 1200	M.LT_02_0000	615	8
LOCUS 2	D6 85		2	LSBR (poches de GR)	O	supérieure	Silex	Éclat (fgt distal)	C 1200	M.LT_02_0000	616	8
LOCUS 2	D6 85		2	LSBR (poches de GR)	DC		Silex	Éclat (fgt distal)	C 1200	M.LT_02_0000	616	8
LOCUS 3	C6 15	b	9	LSBR/SR	O	inférieure	Silex	Éclat (fgt distal)	C 1200	M.LT_03_0000	624	10
LOCUS 3	C6 15	b	9	LSBR/SR	O	supérieure	Silex	Éclat	C 1200	M.LT_03_0000	623	11
LOCUS 3	C6 15	b	9	LSBR/SR	O	inférieure	Silex	Éclat de façonnage	C 1200	M.LT_03_0000	622	10
LOCUS 3	C6 89		2	LSBR/GR	O	supérieure	Silex	Éclat de façonnage	C 1200	M.LT_03_0000	626	10
LOCUS 3	C6 89		2	LSBR	O	inférieure	Silex	Éclat de façonnage	C 1200	M.LT_03_0000	621	10
LOCUS 3	C6 89		2	LSBR	O	inférieure	Silex	Éclat cortical	C 1200	M.LT_03_0000	625	10
LOCUS 3	C6 79		2	LSBR	H	supérieure	Silex	Éclat de façonnage	C 1200	M.LT_03_0000	623	11
LOCUS 3	C6 79		2	LSBR	H	supérieure	Silex	Éclat de façonnage	C 1200	M.LT_03_0000	622	10
LOCUS 3	C6 69		2	LSBR	O	inférieure	Silex	Éclat de façonnage cortical	C 1200	M.LT_03_0000	619	11
LOCUS 3	C6 78		2	LSB	O	inférieure	Silex	Gélifract	C 1200	M.LT_03_0000	630	11
LOCUS 3	C6 78		2	LSB	H	inférieure	Silex	Éclat (fgt distal)	C 1200	M.LT_03_0000	627	10
LOCUS 3	C6 68		2		V		Silex	Éclat (fgt proximal)	C 1200	M.LT_03_0000	646	10
LOCUS 3	C6 68		2		O	inférieure	Silex	Éclat	C 1200	M.LT_03_0000	625	10
LOCUS 3	C6 77		2	LSB	H	supérieure	Silex	Éclat de façonnage	C 1200	M.LT_03_0000	625	10
LOCUS 3	C6 77		2	LSB	H	inférieure	Silex	Éclat (fgt distal)	C 1200	M.LT_03_0000	627	10
LOCUS 3	C6 67		2	LSB	H	inférieure	Silex	Éclat de façonnage	C 1200	M.LT_03_0000	621	10
LOCUS 3	C6 67		2	LSB	H	inférieure	Silex	Éclat (fgt proximal)	C 1200	M.LT_03_0000	627	10
LOCUS 3	C6 67	a	2	LSB	DC		Silex	Éclat	C 1200	M.LT_03_0000	620	10
LOCUS 3	C6 67	a	2	LSB	O	inférieure	Silex	Éclat de façonnage cortical (fgt longitudinal)	C 1200	M.LT_03_3352		10
LOCUS 3	C6 67	a	2	LSB	O	inférieure	Silex	Éclat de façonnage	C 1200	M.LT_03_0000	621	10

Zone Secteur	Carré	Sous-carré	N° de décapage	Unité Pédo-stratigraphique	Position	Repose sur face	Matériau	Descriptif détaillé	Parcelle	Code SRA	Réf. contenant POCHE	Réf. contenant CAISSE
LOCUS 3	C6 67	a	2	LSB	DC		Silex	Éclat de façonnage	C 1200	M.LT_03_0000	625	10
LOCUS 2	C6 100	d	3	LSJ	O	inférieure	Silex	Éclat (fgt distal)	C 1200	M.LT_02_0000	616	8
LOCUS 3	C6 67		2	LSB	V		Silex	Éclat de façonnage	C 1200	M.LT_03_0000	623	11
LOCUS 3	C6 66		2	LSB	O	inférieure	Silex	Éclat (fgt distal)	C 1200	M.LT_03_0000	625	10
LOCUS 3	C6 66		2	LSB	H	inférieure	Silex	Éclat (fgt distal)	C 1200	M.LT_03_0000	628	11
LOCUS 3	C6 76		2	LSB	H	supérieure	Silex	Éclat de façonnage	C 1200	M.LT_03_0000	621	10
LOCUS 3	C6 86		2	LSB	O	inférieure	Silex	Éclat de façonnage	C 1200	M.LT_03_0000	621	10
LOCUS 3	C6 15	b	11	SR	O	supérieure	Silex	Éclat	C 1200	M.LT_03_0000	622	10
LOCUS 3	C6 89		2	LSBR/GR	O	inférieure	Silex	Éclat	C 1200	M.LT_03_0000	629	10
LOCUS 3	C6 89		2	LSBR/GR	O	supérieure	Silex	Éclat Levallois	C 1200	M.LT_03_0000	646	10
LOCUS 3	C6 77		2	LSB	O	inférieure	Silex	Éclat (fgt distal)	C 1200	M.LT_03_0000	629	10
LOCUS 3	C6 87		2	LSB	DC		Silex	Biface	C 1200	M.LT_03_3369		10
LOCUS 3	C6 77		2	LSB	H	inférieure	Silex	Éclat	C 1200	M.LT_03_3370		10
LOCUS 3	C6 77		2	LSB	H	supérieure	Silex	Éclat cortical (fgt distal)	C 1200	M.LT_03_0000	620	10
LOCUS 3	C6 67		2	LSB	DC		Silex	Éclat de façonnage	C 1200	M.LT_03_0000	622	10
LOCUS 3	C6 67	a	2	LSB	H	inférieure	Silex	Racloir convergent	C 1200	M.LT_03_3373		10
LOCUS 3	C6 66		2	LSB	O	supérieure	Silex	Éclat cortical	C 1200	M.LT_03_0000	625	10
LOCUS 3	C6 66		2	LSB	V		Silex	Éclat cortical (fgt distal)	C 1200	M.LT_03_0000	619	11
LOCUS 3	C6 76		2	LSB	O	inférieure	Silex	Éclat (fgt mésial)	C 1200	M.LT_03_0000	621	10
LOCUS 3	C6 76		2	LSB	O	supérieure	Silex	Éclat	C 1200	M.LT_03_0000	646	10
LOCUS 3	C6 76		2	LSB	V		Silex	Éclat cortical (fgt distal)	C 1200	M.LT_03_0000	636	9
LOCUS 3	C6 67	a	2	LSB	H		Silex	Bloc brut (fgt)	C 1200	M.LT_03_3379		10
LOCUS 2	D7 04		3	LSBR			Silex	Débris	C 1200	M.LT_02_0000	618	8
LOCUS 2	D7 04		3	LSBR			Silex	Éclat	C 1200	M.LT_02_0000	617	8
LOCUS 2	D7 04	a	3	LSBR			Silex	Éclat de façonnage	C 1200	M.LT_02_0000	616	8
LOCUS 2	D7 04		3	LSBR			Silex	Éclat de façonnage	C 1200	M.LT_02_0000	615	8
LOCUS 2	D7 04	a	3	LSBR	H		Silex	Nucléus de gestion de surface non Levallois	C 1200	M.LT_02_3386		8
LOCUS 2	D7 04	a	3	LSBR	H		Silex	Biface (ébauche)	C 1200	M.LT_02_3387		8
LOCUS 4	C5 74		1	GR	O	inférieure	Silex	Éclat cortical (fgt longitudinal)	C 1200	M.LT_04_0000	631	9
LOCUS 4	C5 74		1	GR	H	inférieure	Silex	Éclat (fgt distal)	C 1200	M.LT_04_0000	648	9
LOCUS 4	C5 82	a	1	GR	H	supérieure	Silex	Éclat (fgt distal)	C 1200	M.LT_04_0000	635	9
LOCUS 4	C5 82		1	GR	O	supérieure	Silex	Éclat de façonnage	C 1200	M.LT_04_0000	633	9
LOCUS 4	C5 71		1	GB	H	supérieure	Silex	Éclat de façonnage	C 1200	M.LT_04_0000	632	9
LOCUS 4	C5 61		1	GB	H	supérieure	Silex	Éclat	C 1200	M.LT_04_0000	648	9
LOCUS 4	C5 81		1	GB	O	supérieure	Silex	Éclat (fgt distal)	C 1200	M.LT_04_0000	648	9
LOCUS 4	C5 84		1	GR	O	supérieure	Silex	Éclat de façonnage cortical (fgt proximal)	C 1200	M.LT_04_0000	634	9
LOCUS 4	C5 74		1	GR	H	supérieure	Silex	Éclat de façonnage (fgt proximal)	C 1200	M.LT_04_0000	648	9
LOCUS 4	C5 83		1	GR	H	supérieure	Silex	Éclat	C 1200	M.LT_04_3401		9
LOCUS 4	C5 83		1	GR	O	supérieure	Silex	Débris	C 1200	M.LT_04_0000	631	9
LOCUS 4	C5 82		1	GR	H	supérieure	Silex	Éclat de façonnage	C 1200	M.LT_04_0000	648	9
LOCUS 4	C5 92		1	GR	DC		Silex	Éclat de façonnage	C 1200	M.LT_04_0000	632	9
LOCUS 4	C5 71		1	GB	H	supérieure	Silex	Éclat cortical (fgt distal)	C 1200	M.LT_04_0000	631	9
LOCUS 4	C5 71		1	GB	O	inférieure	Silex	Racloir à retouche biface	C 1200	M.LT_04_3406		9
LOCUS 4	C5 81		1	GB	O	inférieure	Silex	Racloir à retouche biface	C 1200	M.LT_04_3407		9
LOCUS 4	C5 81	c	1	GB	H	inférieure	Silex	Nucléus de gestion de surface non Levallois (fgt)	C 1200	M.LT_04_3408		9
LOCUS 4	C5 81	c	1	GB	H	inférieure	Silex	Nucléus de gestion de surface non Levallois (fgt)	C 1200	M.LT_04_3409		9
LOCUS 4	C5 81		1	GB	H	inférieure	Silex	Racloir à retouche biface	C 1200	M.LT_04_3410		9
LOCUS 4	C5 81		1	GB	O	supérieure	Silex	Éclat de façonnage	C 1200	M.LT_04_0000	632	9
LOCUS 4	C5 81		1	GB	H	inférieure	Silex	Biface (fgt)	C 1200	M.LT_04_3412		9
LOCUS 4	C5 81		1	GB	O	supérieure	Silex	Éclat	C 1200	M.LT_04_0000	648	9
LOCUS 4	C5 91		1	GB			Silex	Bloc brut	C 1200	M.LT_04_3414		9
LOCUS 3	C6 67	a	3	LSB	V		Silex	Débris	C 1200	M.LT_03_0000	619	11
LOCUS 3	C6 67	a	3	LSB	V		Silex	Éclat cortical	C 1200	M.LT_03_0000	646	10
CP06				GR	O	supérieure	Silex	Éclat de façonnage	C 1200	M.LT_BD_0000	632	9
CP06				SR			Silex	Gélifract	C 1200	M.LT_BD_0000	635	9
CP06				SR	H	inférieure	Silex	Denticulé	C 1200	M.LT_BD_3419		1
CP06				GR	O	inférieure	Silex	Éclat de façonnage	C 1200	M.LT_BD_0000	632	9
CP06				GR	DC		Silex	Éclat	C 1200	M.LT_BD_0000	636	9
CP06				SR	O		Silex	Éclat (fgt proximal)	C 1200	M.LT_BD_0000	634	9
CP06				SR	H	inférieure	Silex	Éclat (fgt indéterminé)	C 1200	M.LT_BD_0000	635	9
CP06				GR	DC		Silex	Éclat cortical (fgt proximal)	C 1200	M.LT_BD_0000	631	9
LOCUS 2	D7 04		4	LSBR	O	inférieure	Silex	Éclat de façonnage	C 1200	M.LT_02_0000	615	8
LOCUS 2	D7 04		4	LSBR	O	supérieure	Silex	Éclat de façonnage	C 1200	M.LT_02_0000	615	8
LOCUS 2	D7 04		4	LSBR	O	supérieure	Silex	Éclat	C 1200	M.LT_02_0000	617	8
LOCUS 2	D7 04		4	LSBR	H		Silex	Biface	C 1200	M.LT_02_3428		8
CP10				LSB	V		Silex	Racloir simple	C 1200	M.LT_02_3429		8
LOCUS 3	C6 67	a	4	LSB/LSBR	H	supérieure	Silex	Éclat (fgt distal)	C 1200	M.LT_03_0000	621	10
LOCUS 3	C6 67	a	4	LSB/LSBR	H	supérieure	Silex	Éclat de façonnage cortical	C 1200	M.LT_03_0000	620	10
LOCUS 3	C6 67	a	4	LSBR	V		Silex	Éclat de façonnage cortical	C 1200	M.LT_03_0000	619	11
LOCUS 3	C6 67	a	4	LSBR	H		Silex	Éclat cortical	C 1200	M.LT_03_0000	625	10
LOCUS 3	C6 67	a	4	LSBR	H		Silex	Nucléus de gestion de surface non Levallois	C 1200	M.LT_03_3434		10
LOCUS 3	C6 67	a	5	LSBR	V		Silex	Éclat	C 1200	M.LT_03_0000	626	10
LOCUS 3	C6 67	a	5	LSBR	O	inférieure	Silex	Éclat (fgt distal)	C 1200	M.LT_03_0000	627	10
LOCUS 3	C6 67	a	5	LSBR	O	inférieure	Silex	Éclat cortical (fgt proximal)	C 1200	M.LT_03_0000	619	11
LOCUS 3	C6 67	a	5	LSBR	DC		Silex	Éclat (fgt proximal)	C 1200	M.LT_03_0000	628	11
LOCUS 3	C6 67	d		LSBR	O	supérieure	Silex	Éclat de façonnage cortical (fgt proximal)	C 1200	M.LT_03_0000	620	10
LOCUS 3	C6 67	a	6	LSBR	O	inférieure	Silex	Éclat de façonnage	C 1200	M.LT_03_0000	621	10
LOCUS 3	C6 17	a		LSB	DC		Silex	Éclat de façonnage cortical	C 1200	M.LT_03_0000	621	10
LOCUS 3	C6 29	a		LSB	O		Silex	Biface	C 1200	M.LT_03_3442		10
LOCUS 3	C6 45	a		LSB	O		Silex	Éclat Kombewa	C 1200	M.LT_03_3443		10
LOCUS 3	C6 67		7	LSBR	O	inférieure	Silex	Éclat cortical (fgt distal)	C 1200	M.LT_03_0000	620	10
LOCUS 3	C6 67		7	LSBR	O	supérieure	Silex	Éclat (fgt mésial)	C 1200	M.LT_03_0000	622	10
LOCUS 3	C6 67		7	LSBR	O	supérieure	Silex	Éclat cortical (fgt distal)	C 1200	M.LT_03_0000	628	11
LOCUS 3	C6 67	a	7	LSBR	H	supérieure	Silex	Éclat de façonnage	C 1200	M.LT_03_0000	625	10
LOCUS 3	C6 67		8	SR	H	supérieure	Silex	Éclat (fgt longitudinal)	C 1200	M.LT_03_0000	624	10
LOCUS 3	C6 67		8	SR	O	inférieure	Silex	Éclat de façonnage (fgt proximal)	C 1200	M.LT_03_0000	624	10
LOCUS 3	C6 67		8	SR	O	supérieure	Silex	Éclat de coup de tranchet	C 1200	M.LT_03_3450		10
LOCUS 3	C6 67		8	SR	H	inférieure	Silex	Éclat (fgt distal)	C 1200	M.LT_03_0000	626	10
LOCUS 3	C6 67		8	SR	DC		Silex	Éclat de façonnage	C 1200	M.LT_03_0000	625	10
LOCUS 3	C6 67		8	SR	H	supérieure	Silex	Éclat de façonnage	C 1200	M.LT_03_0000	623	11
LOCUS 3	C6 67	a	8	SR	O	supérieure	Silex	Éclat de façonnage	C 1200	M.LT_03_0000	623	11
LOCUS 2	D7 04		5	LSBR	O	supérieure	Silex	Éclat cortical	C 1200	M.LT_02_0000	614	8
LOCUS 2	D7 04	a	6	SR	H	inférieure	Silex	Éclat cortical	C 1200	M.LT_02_0000	614	8
LOCUS 3	C6 67		9	SR	H	supérieure	Silex	Éclat de façonnage	C 1200	M.LT_03_0000	623	11
LOCUS 3	C6 67		9	SR	O	inférieure	Grès	Éclat	C 1200	M.LT_03_0000	626	10
LOCUS 3	C6 67		9	SR	O	inférieure	Silex	Éclat	C 1200	M.LT_03_0000	629	10
LOCUS 3	C6 67	a	9	SR	H		Silex	Éclat de façonnage	C 1200	M.LT_03_0000	621	10
LOCUS 3	C6 67	a	9	SR	O	inférieure	Silex	Éclat de façonnage	C 1200	M.LT_03_3461		10
LOCUS 3	C6 67	a	9	SR	O	supérieure	Silex	Éclat (fgt proximal)	C 1200	M.LT_03_0000	627	10
LOCUS 4	C5 82		2	LSR/SR	H		Silex	Éclat (fgt proximal)	C 1200	M.LT_04_0000	648	9
LOCUS 2	D7 04		7	SR	H	supérieure	Silex	Éclat de façonnage	C 1200	M.LT_02_0000	615	8
LOCUS 2	D7 04		7	SR	H	supérieure	Silex	Racloir simple	C 1200	M.LT_02_3465		8
LOCUS 2	D7 04		2/3 ?	LSBR			Silex	Gélifract	C 1200	M.LT_02_0000	618	8
LOCUS 3	C6 67	a	10	SR (poches de GR/GB)	H		Silex	Cupule de gel	C 1200	M.LT_03_0000	629	10
LOCUS 3	C6 67	a	10	SR	O	supérieure	Silex	Éclat cortical (fgt indéterminé)	C 1200	M.LT_03_0000	620	10
LOCUS 3	C6 67	a	10	SR	O	inférieure	Silex	Éclat de façonnage	C 1200	M.LT_03_0000	622	10
LOCUS 3	C6 67		10	SR	H	supérieure	Silex	Éclat	C 1200	M.LT_03_0000	629	10
LOCUS 3	C6 67	a	?	LSBR	V		Silex	Éclat (fgt distal)	C 1200	M.LT_03_0000	627	10
LOCUS 3	C6 67	a	?	LSBR	V		Silex	Éclat à dos cortical	C 1200	M.LT_03_0000	620	10
LOCUS 4	C5 82		3	GR/SR	H	inférieure	Silex	Éclat aminci	C 1200	M.LT_04_3472		9
LOCUS 4	C5 82	a	3	GR/SR	H	supérieure	Silex	Éclat Levallois	C 1200	M.LT_04_3473		9
LOCUS 4	C5 82		3	GR/SR	O	inférieure	Silex	Éclat (fgt longitudinal)	C 1200	M.LT_04_0000	634	9
LOCUS 4	C5 82		3	GR/SR	O	supérieure	Silex	Éclat de façonnage	C 1200	M.LT_04_0000	632	9
LOCUS 4	C5 82		3	GR/SR	O	inférieure	Silex	Racloir simple	C 1200	M.LT_04_3476		9
LOCUS 4	C5 82	a	3	GR/SR	DC		Silex	Éclat (fgt distal)	C 1200	M.LT_04_0000	648	9
LOCUS 4	C5 82	a	3	GR/SR	O	supérieure	Silex	Éclat de façonnage	C 1200	M.LT_04_0000	632	9
LOCUS 4	C5 82	a	3	GR/SR	O	supérieure	Silex	Éclat de façonnage	C 1200	M.LT_04_0000	633	9
LOCUS 3	C6 36	c	3	LSBR			Silex	Éclat (fgt indéterminé)	C 1200	M.LT_03_0000	624	10
LOCUS 3	C6 68		2	LSB	H		Silex	Éclat (fgt indéterminé)	C 1200	M.LT_03_0000	629	10
LOCUS 4	C5 82	a	4	GR/SR	O	supérieure	Silex	Éclat de façonnage	C 1200	M.LT_04_0000	632	9
LOCUS 4	C5 82	a	4	GR/SR	O	inférieure	Silex	Éclat de façonnage	C 1200	M.LT_04_0000	632	9
LOCUS 4	C5 82	a	4	GR/SR	O	inférieure	Silex	Éclat	C 1200	M.LT_04_0000	648	9
LOCUS 4	C5 82		4	GR/SR	O	inférieure	Silex	Éclat (fgt distal)	C 1200	M.LT_04_0000	634	9
LOCUS 4	C5 82		4	GR/SR	V		Silex	Éclat de façonnage	C 1200	M.LT_04_0000	632	9

Zone Secteur	Carré	Sous-carré	N° de décapage	Unité Pédo-stratigraphique	Position	Repose sur face	Matériau	Descriptif détaillé	Parcelle	Code SRA	Réf. contenant POCHE	Réf. contenant CAISSE
LOCUS 4	C5 82	a	5	GR/SR	O	inférieure	Silex	Racloir simple	C 1200	M.LT_04_3487		9
LOCUS 4	C5 82		5	GR/SR	H	supérieure	Silex	Éclat de façonnage	C 1200	M.LT_04_0000	632	9
LOCUS 4	C5 82		6	GR/SR	O	inférieure	Silex	Éclat de façonnage (fgt proximal)	C 1200	M.LT_04_0000	634	9
LOCUS 4	C5 82		6	GR/SR	O	supérieure	Silex	Éclat de façonnage	C 1200	M.LT_04_0000	633	9
LOCUS 4	C5 82	a	6	GR/SR			Silex	Éclat de façonnage cortical	C 1200	M.LT_04_0000	631	9
LOCUS 4	C5 82	a	6	GR/SR			Silex	Éclat cortical	C 1200	M.LT_04_0000	631	9
LOCUS 2					O		Silex	Débris	C 1200	M.LT_02_0000	618	8
LOCUS 2							Silex	Éclat de coup de tranchet	C 1200	M.LT_02_3494		8
LOCUS 2							Silex	Éclat de façonnage	C 1200	M.LT_02_0000	615	8
LOCUS 2					O	supérieure	Silex	Racloir sur face plane	C 1200	M.LT_02_3496		8
LOCUS 2					O		Silex	Éclat de façonnage	C 1200	M.LT_02_3497		8
LOCUS 2				LSR			Silex	Éclat (fgt indéterminé)	C 1200	M.LT_02_0000	616	8
LOCUS 2				LSR	O	supérieure	Silex	Éclat cortical	C 1200	M.LT_02_0000	614	8
LOCUS 2				LSR	O		Silex	Éclat (fgt mésial)	C 1200	M.LT_02_0000	617	8
LOCUS 2				SR			Silex	Biface (fgt)	C 1200	M.LT_02_3501		8
LOCUS 2				LSBR			Silex	Éclat de façonnage	C 1200	M.LT_02_0000	615	8
LOCUS 2				LSBR	H	supérieure	Silex	Éclat de façonnage	C 1200	M.LT_02_0000	615	8
LOCUS 2				LSB	H	inférieure	Silex	Éclat	C 1200	M.LT_02_3504		8
LOCUS 2				LSB	H	supérieure	Silex	Éclat de façonnage	C 1200	M.LT_02_3505		8
LOCUS 2				LSB	O	inférieure	Silex	Éclat (fgt distal)	C 1200	M.LT_02_0000	616	8
LOCUS 2				LSBR	H	inférieure	Silex	Éclat de façonnage	C 1200	M.LT_02_0000	615	8
LOCUS 2				LSBR	O	inférieure	Silex	Éclat cortical	C 1200	M.LT_02_0000	614	8
LOCUS 2				LSBR			Silex	Éclat de façonnage cortical	C 1200	M.LT_02_0000	614	8
LOCUS 2				LSBR	H	supérieure	Silex	Éclat (fgt proximal)	C 1200	M.LT_02_0000	616	8
LOCUS 2				LSBR			Silex	Éclat (fgt proximal)	C 1200	M.LT_02_0000	644	8
LOCUS 2				LSB			Silex	Éclat (fgt mésial)	C 1200	M.LT_02_0000	617	8
LOCUS 2				SR (poches de GR)	O	supérieure	Silex	Éclat	C 1200	M.LT_02_0000	617	8
LOCUS 2				SR			Silex	Débris	C 1200	M.LT_02_0000	618	8
LOCUS 2				SR	DC		Silex	Éclat cortical (fgt proximal)	C 1200	M.LT_02_0000	614	8
LOCUS 2				GR	V		Silex	Éclat	C 1200	M.LT_02_0000	617	8
LOCUS 2				GR	DC		Silex	Éclat (fgt mésial)	C 1200	M.LT_02_0000	617	8
LOCUS 2				LSR			Silex	Éclat cortical (fgt distal)	C 1200	M.LT_02_0000	614	8
LOCUS 2				LSR/SR			Silex	Éclat (fgt proximal)	C 1200	M.LT_02_0000	616	8
LOCUS 2				SR			Silex	Racloir convergent	C 1200	M.LT_02_3520		8
LOCUS 2				SR			Silex	Débris	C 1200	M.LT_02_0000	618	8
LOCUS 2				LSR/SR	O		Silex	Éclat de façonnage	C 1200	M.LT_02_0000	615	8
LOCUS 2				LSR/SR			Silex	Éclat (fgt distal)	C 1200	M.LT_02_0000	617	8
LOCUS 2				LSR/SR			Silex	Éclat (fgt indéterminé)	C 1200	M.LT_02_0000	616	8
LOCUS 2				LSR/SR			Silex	Racloir simple associé à une encoche	C 1200	M.LT_02_3525		8
LOCUS 2				LSR/SR			Silex	Éclat de façonnage	C 1200	M.LT_02_0000	615	8
LOCUS 2				LSR/SR			Silex	Éclat	C 1200	M.LT_02_0000	617	8
LOCUS 2				LSR/SR			Silex	Éclat	C 1200	M.LT_02_0000	617	8
Berme LOCUS 2 / 3				LSJ			Silex	Éclat	C 1200	M.LT_BD_0000	625	10
Berme LOCUS 2 / 3				LSJ	H	inférieure	Silex	Éclat de façonnage	C 1200	M.LT_BD_0000	642	2
Berme LOCUS 2 / 3				LSJ	O	inférieure	Silex	Éclat (fgt proximal)	C 1200	M.LT_BD_0000	642	2
Berme LOCUS 2 / 3				LSJ	V		Silex	Éclat cortical (fgt proximal)	C 1200	M.LT_BD_0000	641	2
Berme LOCUS 2 / 3				LSJ			Silex	Débris	C 1200	M.LT_BD_0000	641	2
Berme LOCUS 2 / 3				LSJ	O	inférieure	Silex	Éclat de façonnage	C 1200	M.LT_BD_0000	642	2
Berme LOCUS 2 / 3				LSB			Silex	Gélifract	C 1200	M.LT_BD_0000	637	5
Berme LOCUS 2 / 3				LSB	O	supérieure	Silex	Éclat de façonnage	C 1200	M.LT_BD_0000	642	2
Berme LOCUS 2 / 3				LSB			Silex	Éclat de façonnage	C 1200	M.LT_BD_0000	642	2
Berme LOCUS 2 / 3				LSB			Silex	Éclat (fgt distal)	C 1200	M.LT_BD_0000	642	2
Berme LOCUS 2 / 3				LSB	O	supérieure	Silex	Nucléus de gestion de surface non Levallois	C 1200	M.LT_BD_3538		1
Berme LOCUS 2 / 3				LSB			Silex	Gélifract	C 1200	M.LT_BD_0000	637	5
Berme LOCUS 2 / 3				LSB			Silex	Nucléus de gestion de surface non Levallois	C 1200	M.LT_BD_0000	609	6
Berme LOCUS 2 / 3				LSB	V		Silex	Éclat	C 1200	M.LT_BD_0000	638	2
Berme LOCUS 2 / 3				LSB			Silex	Gélifract	C 1200	M.LT_BD_0000	637	5
Berme LOCUS 2 / 3				LSB	O	supérieure	Silex	Éclat de façonnage	C 1200	M.LT_BD_0000	638	2
Berme LOCUS 2 / 3				LSB	O	supérieure	Silex	Éclat de façonnage cortical	C 1200	M.LT_BD_0000	621	10
Berme LOCUS 2 / 3				LSB			Silex	Éclat de façonnage (fgt proximal)	C 1200	M.LT_BD_0000	584	3
Berme LOCUS 2 / 3				LSB			Silex	Bloc brut	C 1200	NON CONSERVE		
Berme LOCUS 2 / 3				LSB	H	inférieure	Silex	Éclat (fgt distal)	C 1200	M.LT_BD_0000	642	2
Berme LOCUS 2 / 3				LSB	H	supérieure	Silex	Racloir transversal	C 1200	M.LT_BD_3548		1
Berme LOCUS 2 / 3				LSBR	H	supérieure	Silex	Éclat de façonnage	C 1200	M.LT_BD_0000	642	2
Berme LOCUS 2 / 3				LSB			Silex	Éclat cortical (fgt distal)	C 1200	M.LT_BD_3550		1
Berme LOCUS 2 / 3				LSB			Silex	Éclat de façonnage	C 1200	M.LT_BD_0000	625	10
Berme LOCUS 2 / 3				LSB			Silex	Éclat de façonnage cortical	C 1200	M.LT_BD_0000	642	2
Berme LOCUS 2 / 3				LSB	O	inférieure	Silex	Éclat de façonnage	C 1200	M.LT_03_0000	622	10
Berme LOCUS 2 / 3				LSB	O	supérieure	Silex	Éclat cortical	C 1200	M.LT_BD_0000	641	2
Berme LOCUS 2 / 3				LSB	O		Silex	Éclat	C 1200	M.LT_BD_0000	642	2
Berme LOCUS 2 / 3				LSB	O	supérieure	Silex	Éclat de façonnage	C 1200	M.LT_BD_0000	642	2
Berme LOCUS 2 / 3				LSB			Silex	Éclat (fgt distal)	C 1200	M.LT_BD_0000	642	2
Berme LOCUS 2 / 3				LSB	H	supérieure	Silex	Éclat de façonnage (fgt proximal)	C 1200	M.LT_BD_0000	642	2
Berme LOCUS 2 / 3				LSBR	O	supérieure	Silex	Éclat de façonnage	C 1200	M.LT_BD_0000	621	10
Berme LOCUS 2 / 3				LSBR	O	supérieure	Silex	Éclat (fgt mésial)	C 1200	M.LT_BD_0000	642	2
Berme LOCUS 2 / 3				LSBR			Silex	Éclat à crête axiale	C 1200	M.LT_BD_0000	650	4
Berme LOCUS 2 / 3				LSBR			Silex	Éclat de façonnage	C 1200	M.LT_BD_0000	642	2
Berme LOCUS 2 / 3				LSBR			Silex	Éclat débordant	C 1200	M.LT_BD_0000	650	4
Berme LOCUS 2 / 3				LSBR			Silex	Débris	C 1200	M.LT_BD_0000	642	2
Berme LOCUS 2 / 3				LSBR			Silex	Éclat de façonnage	C 1200	M.LT_BD_0000	642	2
Berme LOCUS 2 / 3				LSBR			Silex	Éclat avec retouche d'utilisation	C 1200	M.LT_BD_0000	650	4
Berme LOCUS 2 / 3				LSR	H	inférieure	Silex	Éclat de façonnage	C 1200	M.LT_BD_0000	642	2
Berme LOCUS 2 / 3				LSR	H	inférieure	Silex	Éclat de façonnage	C 1200	M.LT_BD_0000	621	10

Zone Secteur	Carré	Sous-carré	N° de décapage	Unité Pédo-stratigraphique	Position	Repose sur face	Matériau	Descriptif détaillé	Parcelle	Code SRA	Réf. contenant POCHE	Réf. contenant CAISSE
Berme LOCUS 2 / 3				LSR			Silex	Éclat à crête axiale	C 1200	M.LT_BD_0000	642	2
Berme LOCUS 2 / 3				LSR			Silex	Éclat de façonnage	C 1200	M.LT_BD_0000	642	2
Berme LOCUS 2 / 3					H	inférieure	Silex	Éclat	C 1200	M.LT_BD_0000	625	10
Berme LOCUS 2 / 3					H	inférieure	Silex	Éclat de façonnage	C 1200	M.LT_BD_0000	642	2
Berme LOCUS 2 / 3					V		Silex	Éclat (fgt indéterminé)	C 1200	M.LT_BD_0000	620	10
Berme LOCUS 2 / 3				LSB	H	supérieure	Silex	Éclat cortical (fgt distal)	C 1200	M.LT_BD_0000	642	2
Berme LOCUS 2 / 3				LSB			Silex	Éclat de façonnage	C 1200	M.LT_BD_0000	625	10
Berme LOCUS 2 / 3				LSR	V		Silex	Éclat de coup de tranchet	C 1200	M.LT_BD_3574		1
Berme LOCUS 2 / 3				LSR	V		Silex	Éclat (fgt proximal)	C 1200	M.LT_BD_0000	642	2
Berme LOCUS 2 / 3				LSR	H	supérieure	Silex	Éclat (fgt mésial)	C 1200	M.LT_BD_0000	642	2
Berme LOCUS 2 / 3				LSR	O	supérieure	Silex	Éclat (fgt proximal)	C 1200	M.LT_BD_0000	642	2
Berme LOCUS 2 / 3				SR	O	supérieure	Silex	Éclat de façonnage	C 1200	M.LT_BD_0000	642	2
Berme LOCUS 2 / 3				SR	V		Silex	Éclat de façonnage	C 1200	M.LT_BD_0000	642	2
Berme LOCUS 2 / 3				SR	V		Silex	Éclat (fgt mésial)	C 1200	M.LT_BD_0000	642	2
Berme LOCUS 2 / 3				SR	H	supérieure	Silex	Éclat de façonnage	C 1200	M.LT_BD_0000	642	2
Berme LOCUS 2 / 3				SR	H	supérieure	Silex	Éclat de façonnage	C 1200	M.LT_BD_0000	621	10
Berme LOCUS 2 / 3				SR			Silex	Gélifract	C 1200	M.LT_BD_0000	637	5
Berme LOCUS 2 / 3				LSR	H		Silex	Biface	C 1200	M.LT_BD_3583		1
Berme LOCUS 2 / 3				LSB			Grès quartzite	Plaquette brute	C 1200	M.LT_BD_3584		12
Berme LOCUS 2 / 3				SR	H	supérieure	Silex	Éclat de façonnage cortical	C 1200	M.LT_BD_0000	642	2
Berme LOCUS 2 / 3				LSR	H	supérieure	Silex	Éclat de façonnage	C 1200	M.LT_BD_0000	642	2
Berme LOCUS 2 / 3				LSB			Silex	Racloir simple	C 1200	M.LT_BD_3587		1
Berme LOCUS 2 / 3				LSR	H		Silex	Éclat de façonnage	C 1200	M.LT_BD_0000	642	2
Berme LOCUS 2 / 3				LSR	H	inférieure	Silex	Éclat de façonnage	C 1200	M.LT_BD_0000	642	2
Berme LOCUS 2 / 3				SR			Silex	Éclat de façonnage	C 1200	M.LT_BD_0000	638	2
Berme LOCUS 2 / 3				LSB	V		Silex	Éclat de façonnage	C 1200	M.LT_BD_0000	642	2
Berme LOCUS 2 / 3				LSJp	H	supérieure	Silex	Débris	C 1200	M.LT_BD_0000	642	2
Berme LOCUS 2 / 3				SR	H	inférieure	Silex	Éclat de façonnage	C 1200	M.LT_BD_0000	638	2
Berme LOCUS 2 / 3				SR	H	inférieure	Silex	Éclat de façonnage cortical	C 1200	M.LT_BD_0000	620	10
LOCUS 3				LSB	V		Silex	Racloir simple	C 1200	M.LT_03_3595		10
LOCUS 3				LSB	H		Silex	Éclat cortical (fgt distal)	C 1200	M.LT_03_0000	619	11
LOCUS 3				LSBR			Silex	Débris	C 1200	M.LT_03_0000	630	11
LOCUS 3				LSB			Silex	Éclat (fgt distal)	C 1200	M.LT_03_0000	627	10
LOCUS 3				LSB	V		Silex	Éclat (fgt indéterminé)	C 1200	M.LT_03_0000	624	10
LOCUS 3				LSBR	H	inférieure	Silex	Éclat Levallois	C 1200	M.LT_03_3600		10
LOCUS 3				LSB			Silex	Bloc brut	C 1200	M.LT_03_0000	630	11
LOCUS 3				LSB			Silex	Éclat (fgt proximal)	C 1200	M.LT_03_0000	627	10
LOCUS 3				LSB			Silex	Éclat de façonnage (fgt proximal)	C 1200	M.LT_03_0000	628	11
LOCUS 3				LSR	H	inférieure	Silex	Éclat de façonnage	C 1200	M.LT_03_0000	623	11
LOCUS 3				LSR			Silex	Éclat	C 1200	M.LT_03_0000	629	10
LOCUS 3				LSBR	H	inférieure	Silex	Éclat Levallois	C 1200	M.LT_03_3606		10
LOCUS 3				LSR			Silex	Gélifract	C 1200	M.LT_03_0000	630	11
LOCUS 3				LSR	H	supérieure	Silex	Éclat cortical (fgt distal)	C 1200	M.LT_03_0000	619	11
LOCUS 3				LSR	H	inférieure	Silex	Éclat (fgt indéterminé)	C 1200	M.LT_03_0000	624	10
LOCUS 3				LSR	H	inférieure	Silex	Éclat (fgt distal)	C 1200	M.LT_03_0000	627	10
LOCUS 3				LSR	V		Silex	Éclat de façonnage	C 1200	M.LT_03_0000	621	10
LOCUS 3				LSR			Silex	Gélifract	C 1200	M.LT_03_0000	630	11
LOCUS 3				LSR	O	inférieure	Silex	Éclat de façonnage cortical	C 1200	M.LT_03_0000	620	10
LOCUS 3				LSR	H	supérieure	Silex	Éclat de façonnage	C 1200	M.LT_03_0000	621	10
LOCUS 3				LSR	V		Silex	Éclat (fgt indéterminé)	C 1200	M.LT_03_0000	629	10
LOCUS 3				LSR	H		Silex	Éclat de façonnage	C 1200	M.LT_03_0000	625	10
LOCUS 3				LSR	H		Silex	Éclat (fgt mésial)	C 1200	M.LT_03_0000	625	10
LOCUS 3				LSR	H	supérieure	Silex	Éclat	C 1200	M.LT_03_0000	623	11
LOCUS 3				SR	H	supérieure	Silex	Éclat (fgt longitudinal)	C 1200	M.LT_03_0000	624	10
LOCUS 3				SR (dans sable jaune)	H	supérieure	Silex	Éclat cortical	C 1200	M.LT_03_0000	619	11
LOCUS 3				LSB			Silex	Éclat de façonnage	C 1200	M.LT_03_0000	623	11
LOCUS 3				LSR	H	supérieure	Silex	Racloir transversal	C 1200	M.LT_03_3622		10
LOCUS 3				SR	V		Silex	Éclat cortical (fgt proximal)	C 1200	M.LT_03_0000	619	11
LOCUS 3				SR	H	supérieure	Silex	Éclat de façonnage	C 1200	M.LT_03_0000	621	10
LOCUS 3				SR			Silex	Éclat (fgt indéterminé)	C 1200	M.LT_03_0000	624	10
LOCUS 3				SR	H	supérieure	Silex	Éclat cortical	C 1200	M.LT_03_0000	620	10
LOCUS 3				SR	H	inférieure	Silex	Éclat de façonnage	C 1200	M.LT_03_0000	625	10
LOCUS 3				SR	H	supérieure	Silex	Éclat de façonnage cortical	C 1200	M.LT_03_3628		10
LOCUS 3				SR			Silex	Éclat de façonnage cortical	C 1200	M.LT_03_0000	619	11
LOCUS 3				SR	O	inférieure	Silex	Éclat de façonnage	C 1200	M.LT_03_0000	622	10
LOCUS 3				SR	O	inférieure	Silex	Éclat de façonnage	C 1200	M.LT_03_0000	626	10
LOCUS 3				SR	H	supérieure	Silex	Éclat (fgt mésial)	C 1200	M.LT_03_0000	624	10
LOCUS 3				SR	V		Silex	Débris	C 1200	M.LT_03_0000	630	11
LOCUS 3				SR	H		Silex	Bloc brut	C 1200	M.LT_03_0000	630	11
LOCUS 3				SR	H	inférieure	Silex	Éclat de façonnage	C 1200	M.LT_03_0000	621	10
LOCUS 3				SR	H	inférieure	Silex	Éclat de façonnage	C 1200	M.LT_03_0000	626	10
LOCUS 3				SR	H		Silex	Éclat à crête axiale	C 1200	M.LT_03_3637		10
LOCUS 3				SR	H		Silex	Éclat (fgt distal)	C 1200	M.LT_03_0000	629	10
LOCUS 3				LSB	H	supérieure	Silex	Éclat	C 1200	M.LT_03_0000	603	4
LOCUS 3				LSB	H	inférieure	Silex	Éclat (fgt distal)	C 1200	M.LT_03_0000	620	10
LOCUS 3				LSB	H	supérieure	Silex	Éclat (fgt distal)	C 1200	M.LT_03_0000	628	11
LOCUS 3				LSB			Silex	Éclat (fgt proximal)	C 1200	M.LT_03_0000	628	11
LOCUS 3				LSB	V		Silex	Éclat cortical	C 1200	M.LT_03_0000	619	11
LOCUS 3				LSB	H	supérieure	Silex	Éclat (fgt distal)	C 1200	M.LT_03_0000	627	10
LOCUS 3				LSB	H	inférieure	Silex	Éclat de façonnage	C 1200	M.LT_03_0000	626	10
LOCUS 3				LSB	H	supérieure	Silex	Éclat	C 1200	M.LT_03_0000	626	10
LOCUS 3				LSBR	H	supérieure	Silex	Éclat de façonnage	C 1200	M.LT_03_0000	621	10
LOCUS 3				LSBR	H	supérieure	Silex	Éclat	C 1200	M.LT_03_0000	626	10
LOCUS 3				LSBR	O	supérieure	Silex	Éclat	C 1200	M.LT_03_0000	626	10
LOCUS 3				LSBR			Silex	Éclat cortical (fgt longitudinal)	C 1200	M.LT_03_0000	619	11
LOCUS 3				LSBR	H	inférieure	Silex	Cupule de gel	C 1200	M.LT_03_0000	630	11
LOCUS 3				LSBR	H	supérieure	Silex	Éclat de façonnage cortical	C 1200	M.LT_03_0000	622	10
LOCUS 3				LSBR	H	inférieure	Silex	Éclat (fgt proximal)	C 1200	M.LT_03_0000	626	10
LOCUS 3				LSBR	V		Silex	Racloir simple	C 1200	M.LT_03_3654		10
LOCUS 3				LSBR			Silex	Éclat de façonnage	C 1200	M.LT_03_0000	621	10
LOCUS 3				LSBR	V		Silex	Éclat cortical	C 1200	M.LT_03_0000	619	11
LOCUS 3				LSBR	H	inférieure	Silex	Éclat cortical	C 1200	M.LT_03_0000	620	10
LOCUS 3				LSBR	H	inférieure	Silex	Éclat (fgt distal)	C 1200	M.LT_03_0000	627	10
LOCUS 3				LSBR			Silex	Éclat (fgt distal)	C 1200	M.LT_03_0000	627	10
LOCUS 3				LSBR	H		Silex	Éclat (fgt indéterminé)	C 1200	M.LT_03_0000	629	10
LOCUS 3				LSBR			Silex	Éclat	C 1200	M.LT_03_0000	636	9

Zone Secteur	Carré	Sous-carré	N° de décapage	Unité Pédo-stratigraphique	Position	Repose sur face	Matériau	Descriptif détaillé	Parcelle	Code SRA	Réf. contenant POCHE	Réf. contenant CAISSE
LOCUS 3				LSBR			Silex	Éclat de façonnage	C 1200	M.LT_03_0000	625	10
LOCUS 3				LSBR	DC		Silex	Biface	C 1200	M.LT_03_3663		10
LOCUS 3				LSBR	O	supérieure	Silex	Nucléus de gestion de surface non Levallois	C 1200	M.LT_03_3664		10
LOCUS 3				LSBR	O	supérieure	Silex	Éclat cortical	C 1200	M.LT_03_0000	619	11
LOCUS 3				LSBR	H	inférieure	Silex	Éclat de façonnage	C 1200	M.LT_03_0000	625	10
LOCUS 3				LSBR	H	inférieure	Silex	Racloir à retouche biface	C 1200	M.LT_03_3667		10
LOCUS 3				LSR	H	supérieure	Silex	Éclat de façonnage	C 1200	M.LT_03_0000	625	10
LOCUS 3				LSR			Silex	Éclat cortical (fgt distal)	C 1200	M.LT_03_0000	620	10
LOCUS 3				SR	H	supérieure	Silex	Éclat de façonnage	C 1200	M.LT_03_0000	626	10
LOCUS 3				SR	H	supérieure	Silex	Éclat de façonnage	C 1200	M.LT_03_0000	621	10
LOCUS 3				SR	H	supérieure	Silex	Éclat (fgt indéterminé)	C 1200	M.LT_03_0000	624	10
LOCUS 3				LSB			Silex	Débris	C 1200	M.LT_03_0000	630	11
LOCUS 3				SR	H	supérieure	Silex	Éclat (fgt mésial)	C 1200	M.LT_03_3674		10
LOCUS 3				LSBR	V		Silex	Éclat de façonnage	C 1200	M.LT_03_0000	621	10
LOCUS 3				LSB	H	supérieure	Silex	Éclat de façonnage	C 1200	M.LT_03_0000	623	11
Berme CP08 / LOCUS 3				LSJ			Grès ?	Bloc brut	C 1200	M.LT_BD_3677		12
Berme CP08 / LOCUS 3				LSB	H	supérieure	Silex	Éclat (fgt mésial)	C 1200	M.LT_BD_0000	640	2
Berme CP08 / LOCUS 3				LSB	H	supérieure	Silex	Éclat	C 1200	M.LT_BD_0000	640	2
Berme CP08 / LOCUS 3				LSB	H	inférieure	Silex	Éclat de façonnage cortical (fgt proximal)	C 1200	M.LT_BD_0000	638	2
Berme CP08 / LOCUS 3				LSB	O		Silex	Biface (fgt)	C 1200	M.LT_BD_3681		1
Berme CP08 / LOCUS 3				LSB	H	inférieure	Silex	Éclat (fgt proximal)	C 1200	M.LT_BD_0000	640	2
Berme CP08 / LOCUS 3				LSB			Silex	Éclat avec retouche d'utilisation	C 1200	M.LT_03_3683		10
Berme CP08 / LOCUS 3				LSB	O	inférieure	Silex	Éclat de façonnage	C 1200	M.LT_BD_0000	640	2
Berme CP08 / LOCUS 3				LSB	DC		Silex	Éclat (fgt distal)	C 1200	M.LT_BD_0000	638	2
Berme CP08 / LOCUS 3				LSB	O	supérieure	Silex	Éclat de façonnage cortical	C 1200	M.LT_BD_0000	619	11
Berme CP08 / LOCUS 3				LSB	O	supérieure	Silex	Éclat (fgt proximal)	C 1200	M.LT_BD_0000	638	2
Berme CP08 / LOCUS 3				LSBR	O	supérieure	Silex	Éclat de façonnage cortical	C 1200	M.LT_BD_0000	640	2
Berme CP08 / LOCUS 3				LSB	H	inférieure	Silex	Éclat cortical (fgt mésial)	C 1200	M.LT_BD_0000	620	10
Berme CP08 / LOCUS 3				LSB	H	supérieure	Silex	Éclat (fgt distal)	C 1200	M.LT_BD_0000	640	2
Berme CP08 / LOCUS 3				LSB	H	inférieure	Silex	Éclat de façonnage	C 1200	M.LT_BD_0000	625	10
Berme CP08 / LOCUS 3				LSB			Silex	Éclat (fgt distal)	C 1200	M.LT_BD_0000	640	2
Berme CP08 / LOCUS 3				LSB			Silex	Débris	C 1200	M.LT_BD_0000	637	5
Berme CP08 / LOCUS 3				LSB			Silex	Éclat cortical (fgt proximal)	C 1200	M.LT_BD_0000	650	4
Berme CP08 / LOCUS 3				LSB			Silex	Débris	C 1200	M.LT_BD_0000	629	10
Berme CP08 / LOCUS 3				LSB			Silex	Éclat de façonnage	C 1200	M.LT_BD_0000	638	2
Berme CP08 / LOCUS 3				LSBR	H	inférieure	Silex	Éclat (fgt distal)	C 1200	M.LT_BD_0000	640	2
Berme CP08 / LOCUS 3				LSBR	H	supérieure	Silex	Éclat cortical	C 1200	M.LT_BD_0000	620	10
Berme CP08 / LOCUS 3				LSBR	H	inférieure	Silex	Éclat de façonnage	C 1200	M.LT_BD_0000	640	2
Berme CP08 / LOCUS 3				LSBR	H	supérieure	Silex	Éclat cortical (fgt proximal)	C 1200	M.LT_BD_0000	641	2
Berme CP08 / LOCUS 3				LSBR			Silex	Éclat cortical (fgt indéterminé)	C 1200	M.LT_BD_0000	641	2
Berme CP08 / LOCUS 3				LSBR			Silex	Débris	C 1200	M.LT_BD_0000	637	5
Berme CP08 / LOCUS 3				LSBR			Silex	Éclat de façonnage	C 1200	M.LT_BD_0000	640	2
Berme CP08 / LOCUS 3				LSBR	H	supérieure	Silex	Éclat	C 1200	M.LT_BD_0000	638	2
Berme CP08 / LOCUS 3				LSBR	DC		Silex	Biface	C 1200	M.LT_03_3705		10
Berme CP08 / LOCUS 3				LSBR	V		Silex	Éclat cortical (fgt distal)	C 1200	M.LT_BD_0000	620	10
Berme CP08 / LOCUS 3				LSBR	H	supérieure	Silex	Éclat de façonnage cortical	C 1200	M.LT_BD_0000	620	10
Berme CP08 / LOCUS 3				LSBR			Silex	Éclat de façonnage cortical	C 1200	M.LT_BD_0000	620	10
Berme CP08 / LOCUS 3				LSBR	H	supérieure	Silex	Racloir transversal	C 1200	M.LT_BD_3709		1
Berme CP08 / LOCUS 3				LSBR	H	supérieure	Silex	Éclat (fgt indéterminé)	C 1200	M.LT_BD_0000	640	2
Berme CP08 / LOCUS 3				LSBR	H	inférieure	Silex	Éclat	C 1200	M.LT_BD_0000	640	2
Berme CP08 / LOCUS 3				LSBR	H	supérieure	Silex	Éclat (fgt distal)	C 1200	M.LT_BD_0000	640	2
Berme CP08 / LOCUS 3				LSBR	DC		Silex	Éclat	C 1200	M.LT_BD_0000	640	2
Berme CP08 / LOCUS 3				LSBR	DC		Silex	Éclat de façonnage	C 1200	M.LT_BD_0000	640	2
Berme CP08 / LOCUS 3				LSBR	DC		Silex	Éclat (fgt distal)	C 1200	M.LT_BD_0000	640	2
Berme CP08 / LOCUS 3				LSBR	H	supérieure	Silex	Éclat de façonnage cortical	C 1200	M.LT_BD_0000	640	2
Berme CP08 / LOCUS 3				LSBR	H	supérieure	Silex	Éclat (fgt indéterminé)	C 1200	M.LT_BD_0000	640	2
Berme CP08 / LOCUS 3				LSBR	V		Silex	Éclat cortical	C 1200	M.LT_BD_0000	620	10
Berme CP08 / LOCUS 3				LSBR	H	inférieure	Silex	Éclat	C 1200	M.LT_BD_0000	638	2
Berme CP08 / LOCUS 3				LSBR			Silex	Éclat de coup de tranchet	C 1200	M.LT_BD_0000	650	4
Berme CP08 / LOCUS 3				LSBR	H	inférieure	Silex	Éclat de façonnage cortical	C 1200	M.LT_BD_0000	640	2
Berme CP08 / LOCUS 3				LSBR	O	supérieure	Silex	Éclat peu retouché	C 1200	NON RETROUVE		
Berme CP08 / LOCUS 3				LSBR			Silex	Éclat de façonnage	C 1200	M.LT_BD_0000	638	2
Berme CP08 / LOCUS 3				LSBR	O	supérieure	Silex	Éclat de façonnage (fgt proximal)	C 1200	M.LT_BD_0000	640	2
Berme CP08 / LOCUS 3				LSBR	O	inférieure	Silex	Éclat cortical (fgt distal)	C 1200	M.LT_BD_0000	640	2
Berme CP08 / LOCUS 3				LSBR			Silex	Éclat cortical	C 1200	M.LT_BD_0000	619	11
Berme CP08 / LOCUS 3				LSBR	H	supérieure	Silex	Racloir alterne	C 1200	M.LT_03_3727		10
Berme CP08 / LOCUS 3				LSBR	H	supérieure	Silex	Éclat (fgt distal)	C 1200	M.LT_BD_0000	640	2
Berme CP08 / LOCUS 3				LSBR	O	inférieure	Silex	Éclat de façonnage	C 1200	M.LT_BD_0000	640	2
Berme CP08 / LOCUS 3				LSBR	H	supérieure	Silex	Éclat (fgt distal)	C 1200	M.LT_BD_0000	640	2
Berme CP08 / LOCUS 3				LSBR	H	supérieure	Silex	Éclat (fgt indéterminé)	C 1200	M.LT_BD_0000	640	2
Berme CP08 / LOCUS 3				LSBR	H	supérieure	Silex	Éclat (fgt distal)	C 1200	M.LT_BD_0000	640	2

Zone Secteur	Carré	Sous-carré	N° de décapage	Unité Pédo-stratigraphique	Position	Repose sur face	Matériau	Descriptif détaillé	Parcelle	Code SRA	Réf. contenant POCHE	Réf. contenant CAISSE
Berme CP08 / LOCUS 3				LSBR	V		Silex	Éclat cortical (fgt proximal)	C 1200	M.LT_03_0000	646	10
Berme CP08 / LOCUS 3				LSR	DC		Silex	Éclat de façonnage cortical	C 1200	M.LT_BD_0000	620	10
Berme CP08 / LOCUS 3				LSBR	H	inférieure	Silex	Éclat de façonnage (fgt proximal)	C 1200	M.LT_BD_0000	640	2
Berme CP08 / LOCUS 3				LSR	H	supérieure	Silex	Éclat cortical (fgt distal)	C 1200	M.LT_BD_0000	640	2
Berme CP08 / LOCUS 3				LSR	H	inférieure	Silex	Éclat de façonnage (fgt proximal)	C 1200	M.LT_BD_0000	640	2
Berme CP08 / LOCUS 3				LSR	H	supérieure	Silex	Éclat cortical	C 1200	M.LT_BD_0000	640	2
Berme CP08 / LOCUS 3				LSR	V		Silex	Éclat cortical	C 1200	M.LT_BD_0000	578	4
Berme CP08 / LOCUS 3				LSR	DC		Silex	Éclat cortical (fgt proximal)	C 1200	M.LT_BD_0000	619	11
Berme CP08 / LOCUS 3				LSR	DC		Silex	Éclat cortical	C 1200	M.LT_BD_0000	641	2
Berme CP08 / LOCUS 3				LSR	H	inférieure	Silex	Éclat de façonnage	C 1200	M.LT_BD_0000	640	2
Berme CP08 / LOCUS 3				LSR	H	inférieure	Silex	Éclat	C 1200	M.LT_BD_0000	640	2
Berme CP08 / LOCUS 3				LSR	H	supérieure	Silex	Éclat (fgt indéterminé)	C 1200	M.LT_BD_0000	640	2
Berme CP08 / LOCUS 3				LSR	H	supérieure	Silex	Éclat cortical (fgt distal)	C 1200	M.LT_BD_0000	620	10
Berme CP08 / LOCUS 3				LSR	H	supérieure	Silex	Éclat de façonnage	C 1200	M.LT_BD_0000	640	2
Berme CP08 / LOCUS 3				LSR	H	supérieure	Silex	Éclat (fgt indéterminé)	C 1200	NON RETROUVE		
Berme CP08 / LOCUS 3				SR (dans sable jaune)			Silex	Éclat (fgt indéterminé)	C 1200	M.LT_BD_0000	640	2
Berme CP08 / LOCUS 3				LSR	H		Silex	Débris	C 1200	M.LT_BD_0000	641	2
Berme CP08 / LOCUS 3				LSR	O	supérieure	Silex	Éclat de façonnage	C 1200	M.LT_BD_0000	638	2
Berme CP08 / LOCUS 3				SR (dans sable jaune)			Silex	Éclat (fgt distal)	C 1200	M.LT_BD_0000	625	10
Berme CP08 / LOCUS 3				SR	O	inférieure	Silex	Éclat de façonnage	C 1200	M.LT_BD_0000	640	2
Berme CP08 / LOCUS 3				SR	O	inférieure	Silex	Éclat cortical	C 1200	M.LT_BD_0000	619	11
Berme CP08 / LOCUS 3				SR (dans sable jaune)	H	supérieure	Silex	Éclat cortical avec retouche d'utilisation	C 1200	M.LT_03_3754		10
Berme CP08 / LOCUS 3				SR (dans sable jaune)	H	supérieure	Silex	Éclat cortical (fgt indéterminé)	C 1200	M.LT_BD_0000	640	2
LOCUS 3				LSB			Silex	Débris	C 1200	M.LT_03_0000	630	11
LOCUS 3				LSB			Silex	Débris	C 1200	M.LT_03_0000	603	4
LOCUS 3				LSB	H	supérieure	Silex	Éclat cortical (fgt distal)	C 1200	M.LT_03_0000	620	10
LOCUS 3				LSB	O	supérieure	Silex	Denticulé	C 1200	M.LT_03_3759		10
LOCUS 3				LSB			Silex	Débris	C 1200	M.LT_03_0000	630	11
LOCUS 3				LSB	H	supérieure	Silex	Racloir simple	C 1200	M.LT_03_3761		10
LOCUS 3				LSB			Silex	Gélifract	C 1200	M.LT_03_0000	630	11
LOCUS 3				LSB			Silex	Éclat (fgt indéterminé)	C 1200	M.LT_03_0000	629	10
LOCUS 3				LSB			Silex	Débris	C 1200	M.LT_03_0000	630	11
LOCUS 3				LSB	DC		Silex	Éclat (fgt indéterminé)	C 1200	M.LT_03_0000	624	10
LOCUS 3				LSB	H	inférieure	Silex	Racloir à retouche biface (fgt)	C 1200	M.LT_03_3766		10
LOCUS 3				LSB	H	supérieure	Silex	Éclat cortical	C 1200	M.LT_03_0000	619	11
LOCUS 3				LSB			Silex	Éclat de coup de tranchet	C 1200	M.LT_03_0000	647	10
LOCUS 3				LSB	H	supérieure	Silex	Éclat cortical (fgt distal)	C 1200	M.LT_03_0000	619	11
LOCUS 3				LSB	H	inférieure	Silex	Éclat (fgt distal)	C 1200	M.LT_03_0000	621	10
LOCUS 3				LSB	O	inférieure	Silex	Éclat (fgt distal)	C 1200	M.LT_03_0000	627	10
LOCUS 3				LSB	H	supérieure	Silex	Éclat	C 1200	M.LT_03_0000	626	10
LOCUS 3				LSB	O	inférieure	Silex	Éclat de façonnage	C 1200	M.LT_03_0000	621	10
LOCUS 3				LSB	O	supérieure	Silex	Éclat débordant	C 1200	M.LT_03_3774		10
LOCUS 3				LSB	H	inférieure	Silex	Éclat	C 1200	M.LT_03_0000	629	10
LOCUS 3				LSB	H		Silex	Éclat de façonnage cortical	C 1200	M.LT_03_0000	620	10
LOCUS 3				LSB	H	inférieure	Silex	Éclat Levallois	C 1200	M.LT_03_0000	646	10
LOCUS 3				LSB	O	inférieure	Silex	Éclat de façonnage cortical	C 1200	M.LT_03_0000	619	11
LOCUS 3				LSB			Silex	Éclat (fgt distal)	C 1200	M.LT_03_0000	627	10
LOCUS 3				LSB	H	supérieure	Silex	Éclat (fgt longitudinal)	C 1200	M.LT_03_0000	623	11
LOCUS 3				LSB	H	supérieure	Silex	Éclat (fgt proximal)	C 1200	M.LT_03_0000	621	10
LOCUS 3				LSB	H	supérieure	Silex	Éclat de façonnage	C 1200	M.LT_03_0000	621	10
LOCUS 3				LSB	DC		Silex	Éclat	C 1200	M.LT_03_0000	626	10
LOCUS 3				LSBR			Silex	Éclat (fgt proximal)	C 1200	M.LT_03_0000	647	10
LOCUS 3				LSBR	H	supérieure	Silex	Éclat de façonnage	C 1200	M.LT_03_0000	626	10
LOCUS 3				LSBR	H	supérieure	Silex	Éclat (fgt mésial)	C 1200	M.LT_03_0000	629	10
LOCUS 3				LSBR	H	supérieure	Silex	Éclat de façonnage	C 1200	M.LT_03_0000	647	10
LOCUS 3				LSBR	H	inférieure	Silex	Débris	C 1200	M.LT_03_0000	630	11
LOCUS 3				LSB			Silex	Éclat (fgt indéterminé)	C 1200	M.LT_03_0000	624	10
LOCUS 3				LSB	H	supérieure	Silex	Éclat (fgt mésial)	C 1200	M.LT_03_0000	629	10
LOCUS 3				LSB	H	supérieure	Silex	Racloir sur face plane	C 1200	M.LT_03_3791		10
LOCUS 3				LSR	H	supérieure	Silex	Éclat de façonnage (fgt proximal)	C 1200	M.LT_03_0000	628	11
LOCUS 3				LSB	H	supérieure	Silex	Éclat (fgt proximal)	C 1200	M.LT_03_0000	628	11
LOCUS 3				LSB			Silex	Éclat retouché (fgt indéterminé)	C 1200	M.LT_03_3794		10
LOCUS 3				LSR	DC		Silex	Éclat cortical	C 1200	M.LT_03_0000	629	10
LOCUS 3				GR	O	supérieure	Silex	Éclat cortical	C 1200	M.LT_03_0000	619	11
LOCUS 3				LSR			Silex	Éclat de façonnage cortical (fgt proximal)	C 1200	M.LT_03_0000	620	10
LOCUS 3				LSBR	O	inférieure	Silex	Éclat	C 1200	M.LT_03_0000	646	10
LOCUS 3				GR			Silex	Débris	C 1200	M.LT_03_3799		10
LOCUS 3				GR	H	supérieure	Silex	Éclat de façonnage cortical	C 1200	M.LT_03_0000	619	11
LOCUS 3				GR			Silex	Éclat de façonnage	C 1200	M.LT_03_0000	625	10
LOCUS 3				GR			Silex	Éclat (fgt indéterminé)	C 1200	M.LT_03_0000	624	10
LOCUS 3				GR	O	inférieure	Silex	Éclat cortical (fgt proximal)	C 1200	M.LT_03_0000	620	10
LOCUS 3				GR			Silex	Éclat	C 1200	M.LT_03_0000	623	11
LOCUS 3				GR			Silex	Éclat de façonnage	C 1200	M.LT_03_0000	626	10
LOCUS 3				GR	H	inférieure	Silex	Éclat de façonnage	C 1200	M.LT_03_0000	622	10
LOCUS 3				GR	V		Silex	Éclat	C 1200	M.LT_03_0000	629	10
LOCUS 3				GR			Silex	Éclat (fgt proximal)	C 1200	M.LT_03_0000	628	11
LOCUS 3				GR			Silex	Débris	C 1200	M.LT_03_0000	630	11
LOCUS 3				SR	H	supérieure	Silex	Éclat de façonnage	C 1200	M.LT_03_0000	626	10
LOCUS 3				SR	H	supérieure	Silex	Éclat (fgt distal)	C 1200	M.LT_03_0000	627	10
LOCUS 3				GR			Silex	Éclat cortical (fgt indéterminé)	C 1200	M.LT_03_0000	620	10
LOCUS 3				GR	DC		Silex	Éclat de façonnage cortical	C 1200	M.LT_03_0000	619	11
LOCUS 3				GR	H		Silex	Éclat cortical (fgt distal)	C 1200	M.LT_03_0000	619	11
LOCUS 3				GR	H	supérieure	Silex	Éclat (fgt indéterminé)	C 1200	M.LT_03_0000	624	10
LOCUS 3				GR	H	supérieure	Silex	Éclat (fgt distal)	C 1200	M.LT_03_0000	623	11
LOCUS 3				GR	O	supérieure	Silex	Éclat de façonnage	C 1200	M.LT_03_0000	621	10
LOCUS 3				GR			Silex	Débris	C 1200	M.LT_03_0000	630	11
LOCUS 3				LSR			Silex	Éclat de façonnage cortical (fgt proximal)	C 1200	M.LT_03_0000	621	10
LOCUS 3				LSR	O	inférieure	Silex	Éclat (fgt indéterminé)	C 1200	M.LT_03_0000	626	10
LOCUS 3				SR			Silex	Éclat cortical	C 1200	M.LT_03_0000	620	10
LOCUS 3				SR	H	inférieure	Silex	Éclat (fgt proximal)	C 1200	M.LT_03_0000	621	10
LOCUS 3				GR	H	inférieure	Silex	Éclat cortical (fgt proximal) avec retouche d'utilisation	C 1200	M.LT_03_3823		10
LOCUS 3				GR			Silex	Éclat de façonnage	C 1200	M.LT_03_0000	625	10
LOCUS 3				GR	H	supérieure	Silex	Éclat (fgt distal)	C 1200	M.LT_03_0000	620	10
LOCUS 3				GR			Silex	Nucléus de gestion de surface non Levallois	C 1200	M.LT_03_3826		10
LOCUS 3				LSR	H	supérieure	Silex	Éclat cortical	C 1200	M.LT_03_0000	619	11
LOCUS 3				LSR	H	inférieure	Silex	Éclat (fgt proximal)	C 1200	M.LT_03_0000	628	11
LOCUS 3				SR	H	inférieure	Silex	Éclat de façonnage (fgt proximal)	C 1200	M.LT_03_0000	622	10
LOCUS 3				SR (dans sable jaune)	V		Silex	Éclat de façonnage	C 1200	M.LT_03_0000	621	10
LOCUS 3				SR			Silex	Éclat de façonnage cortical	C 1200	M.LT_03_0000	623	11
LOCUS 3				SR	H	supérieure	Silex	Éclat débordant	C 1200	M.LT_03_0000	647	10
LOCUS 3				SR	O	supérieure	Silex	Éclat	C 1200	M.LT_03_0000	629	10
LOCUS 3				SR			Silex	Éclat de façonnage	C 1200	M.LT_03_0000	623	11

Zone Secteur	Carré	Sous-carré	N° de décapage	Unité Pédo-stratigraphique	Position	Repose sur face	Matériau	Descriptif détaillé	Parcelle	Code SRA	Réf. contenant POCHE	Réf. contenant CAISSE
LOCUS 3				SR	H	inférieure	Silex	Éclat (fgt indéterminé)	C 1200	M.LT_03_0000	629	10
LOCUS 4				GR	H	supérieure	Silex	Éclat (fgt mésial) avec retouche d'utilisation	C 1200	M.LT_04_0000	648	9
LOCUS 4				GR	O	inférieure	Silex	Éclat à dos cortical avec retouche d'utilisation	C 1200	M.LT_04_3837		9
LOCUS 4				GR	H	supérieure	Silex	Éclat cortical	C 1200	M.LT_04_0000	631	9
LOCUS 4				GR	H	inférieure	Silex	Biface (fgt)	C 1200	M.LT_04_3839		9
LOCUS 4				GR	H	inférieure	Silex	Éclat cortical (fgt proximal)	C 1200	M.LT_04_3840		9
LOCUS 4				GR	O	inférieure	Silex	Éclat (fgt distal)	C 1200	M.LT_04_0000	634	9
LOCUS 4				GR			Silex	Éclat (fgt longitudinal)	C 1200	M.LT_04_0000	634	9
LOCUS 4				GR	H	supérieure	Silex	Éclat cortical	C 1200	M.LT_04_0000	648	9
LOCUS 4				GR			Silex	Éclat de façonnage cortical	C 1200	M.LT_04_0000	631	9
LOCUS 4				GR	DC		Silex	Éclat (fgt distal)	C 1200	M.LT_04_3845		9
LOCUS 4				GR			Silex	Éclat (fgt distal)	C 1200	M.LT_04_0000	635	9
LOCUS 4				GR	O	inférieure	Silex	Éclat de façonnage	C 1200	M.LT_04_0000	632	9
LOCUS 4				GR	O	inférieure	Silex	Éclat	C 1200	M.LT_04_0000	636	9
LOCUS 4				GR			Silex	Éclat débordant	C 1200	M.LT_04_3849		9
LOCUS 4				GR			Silex	Éclat (fgt indéterminé)	C 1200	M.LT_04_0000	635	9
LOCUS 4				GR	H	inférieure	Silex	Éclat de façonnage	C 1200	M.LT_04_0000	632	9
LOCUS 4				GR	DC		Silex	Éclat de façonnage	C 1200	M.LT_04_0000	633	9
LOCUS 4				GR	O		Silex	Éclat cortical (fgt distal)	C 1200	M.LT_04_0000	631	9
LOCUS 4				GR			Silex	Éclat cortical (fgt indéterminé)	C 1200	M.LT_04_0000	631	9
LOCUS 4				GR	H	supérieure	Silex	Éclat cortical (fgt indéterminé)	C 1200	M.LT_04_0000	631	9
LOCUS 4				GR	O	inférieure	Silex	Éclat cortical	C 1200	M.LT_04_0000	631	9
LOCUS 4				GR	H	supérieure	Silex	Éclat (fgt mésial)	C 1200	M.LT_04_0000	634	9
LOCUS 4				GR	H	supérieure	Silex	Éclat (fgt indéterminé)	C 1200	M.LT_04_0000	635	9
LOCUS 4				GR	O	inférieure	Silex	Éclat de façonnage	C 1200	M.LT_04_0000	632	9
LOCUS 4				GR	O		Silex	Débris	C 1200	M.LT_04_3860		9
LOCUS 4				GR	O	inférieure	Silex	Éclat cortical	C 1200	M.LT_04_0000	631	9
LOCUS 4				GR	H	inférieure	Silex	Éclat (fgt distal)	C 1200	M.LT_04_0000	634	9
LOCUS 4				GR	O	supérieure	Silex	Racloir (fgt)	C 1200	M.LT_04_3863		9
LOCUS 4				GR	H	inférieure	Silex	Éclat (fgt distal)	C 1200	M.LT_04_0000	635	9
LOCUS 4				GR	H	supérieure	Silex	Éclat de façonnage	C 1200	M.LT_04_0000	633	9
LOCUS 4				GR	H	supérieure	Silex	Éclat (fgt distal)	C 1200	M.LT_04_0000	634	9
LOCUS 4				GR	H	supérieure	Silex	Éclat de façonnage	C 1200	M.LT_04_0000	632	9
LOCUS 4				GR			Silex	Éclat (fgt distal)	C 1200	M.LT_04_0000	634	9
LOCUS 4				GR			Silex	Éclat cortical (fgt indéterminé)	C 1200	M.LT_04_0000	631	9
LOCUS 4				GR			Silex	Éclat (fgt distal)	C 1200	M.LT_04_0000	634	9
LOCUS 4				GR	H	inférieure	Silex	Gélifract	C 1200	M.LT_04_0000	631	9
LOCUS 4				GR	O	inférieure	Silex	Débris	C 1200	M.LT_04_0000	631	9
LOCUS 4				GR	DC		Silex	Éclat (fgt distal)	C 1200	M.LT_04_0000	648	9
LOCUS 4				GR			Silex	Plaquette brute	C 1200	NON CONSERVE		
LOCUS 4				GR			Silex	Éclat (fgt longitudinal)	C 1200	M.LT_04_0000	634	9
LOCUS 4				GR			Silex	Éclat cortical	C 1200	M.LT_04_0000	631	9
LOCUS 4				GR			Silex	Éclat (fgt distal)	C 1200	M.LT_04_0000	634	9
LOCUS 4				GR	H	inférieure	Silex	Racloir simple	C 1200	M.LT_04_3878		9
LOCUS 4				GR			Silex	Biface (fgt)	C 1200	M.LT_04_3879		9
LOCUS 4				GR			Silex	Débris	C 1200	M.LT_04_0000	635	9
LOCUS 4				GR	H	inférieure	Silex	Éclat (fgt distal)	C 1200	M.LT_04_0000	634	9
LOCUS 4				GR			Silex	Débris	C 1200	M.LT_04_0000	635	9
LOCUS 4				GR	O	supérieure	Silex	Denticulé	C 1200	M.LT_04_3883		9
LOCUS 4				GR	H	supérieure	Silex	Éclat	C 1200	M.LT_04_0000	648	9
LOCUS 4				LSR	H	supérieure	Silex	Éclat de façonnage cortical (fgt proximal)	C 1200	M.LT_04_0000	634	9
LOCUS 4				LSR	O	supérieure	Silex	Éclat cortical (fgt distal)	C 1200	M.LT_04_0000	631	9
LOCUS 4				GR	H	inférieure	Silex	Éclat de façonnage	C 1200	M.LT_04_0000	633	9
LOCUS 4				GR			Silex	Éclat cortical (fgt indéterminé)	C 1200	M.LT_04_0000	631	9
LOCUS 4				GR	O	inférieure	Silex	Éclat aminci	C 1200	M.LT_04_3889		9
LOCUS 4				GR	O	inférieure	Silex	Éclat de façonnage	C 1200	M.LT_04_0000	632	9
LOCUS 4				GR			Silex	Éclat de façonnage	C 1200	M.LT_04_0000	633	9
LOCUS 4				GR	H	supérieure	Silex	Éclat	C 1200	M.LT_04_3892		9
LOCUS 4				GR	O	inférieure	Silex	Éclat de façonnage	C 1200	M.LT_04_0000	633	9
LOCUS 4				GR	H	inférieure	Silex	Éclat (fgt proximal)	C 1200	M.LT_04_0000	648	9
LOCUS 4				GR			Silex	Éclat de façonnage cortical	C 1200	M.LT_04_0000	631	9
LOCUS 4				GR			Silex	Éclat cortical	C 1200	M.LT_04_0000	631	9
LOCUS 4				GR			Silex	Éclat (fgt distal)	C 1200	M.LT_04_0000	635	9
LOCUS 4	C5 82	c	6	SR			Silex	Éclat	C 1200	M.LT_04_3951		9
LOCUS 4	C5 82	c	6	SR			Silex	Esquille	C 1200	M.LT_04_0000	635	9
LOCUS 4	C5 82	c	6	SR			Silex	Éclat de retouche	C 1200	M.LT_04_0000	633	9
LOCUS 4	C5 82	b	4	GR/SR			Silex	Éclat (fgt distal)	C 1200	M.LT_04_0000	635	9
LOCUS 4	C5 82	b	4	GR/SR			Silex	Eclat de façonnage	C 1200	M.LT_04_0000	632	9
LOCUS 4	C5 82	b	4	GR/SR			Silex	Éclat de façonnage	C 1200	M.LT_04_0000	633	9
LOCUS 4	C5 82	b	4	GR/SR			Silex	Éclat (fgt indéterminé)	C 1200	M.LT_04_0000	635	9
LOCUS 4	C5 82	b	4	GR/SR			Silex	9 esquilles	C 1200	M.LT_04_3958		9
LOCUS 4	C5 82	d	4	GR/SR			Silex	Éclat (fgt distal)	C 1200	M.LT_04_0000	634	9
LOCUS 4	C5 82	d	3	GR/SR			Silex	Éclat de façonnage	C 1200	M.LT_04_0000	632	9
LOCUS 4	C5 82	d	3	GR/SR			Silex	Éclat cortical (fgt mésial)	C 1200	M.LT_04_0000	634	9
LOCUS 4	C5 82	d	3	GR/SR			Silex	6 esquilles	C 1200	M.LT_04_3962		9
LOCUS 4	C5 82	c	4	GR/SR			Silex	Éclat (fgt indéterminé)	C 1200	M.LT_04_0000	635	9
LOCUS 4	C5 82	c	4	GR/SR			Silex	Éclat de retouche	C 1200	M.LT_04_0000	633	9
LOCUS 4	C5 82	c	4	GR/SR			Silex	Éclat de retouche	C 1200	M.LT_04_0000	634	9
LOCUS 4	C5 82	c	4	GR/SR			Silex	4 esquilles	C 1200	M.LT_04_3966		9
LOCUS 4	C5 82	a	3	GR/SR			Silex	Éclat de coup de tranchet	C 1200	M.LT_04_0000	648	9
LOCUS 4	C5 82	a	3	GR/SR			Silex	Éclat cortical (fgt distal)	C 1200	M.LT_04_0000	631	9
LOCUS 4	C5 82	a	3	GR/SR			Silex	Éclat (fgt longitudinal)	C 1200	M.LT_04_0000	634	9
LOCUS 4	C5 82	a	3	GR/SR			Silex	Éclat de façonnage cortical	C 1200	M.LT_04_0000	633	9
LOCUS 4	C5 82	a	3	GR/SR			Silex	Éclat (fgt longitudinal)	C 1200	M.LT_04_0000	635	9
LOCUS 4	C5 82	a	3	GR/SR			Silex	Éclat (fgt longitudinal)	C 1200	M.LT_04_0000	635	9
LOCUS 4	C5 82	a	3	GR/SR			Silex	Éclat (fgt longitudinal)	C 1200	M.LT_04_0000	635	9
LOCUS 4	C5 82	a	3	GR/SR			Silex	Éclat (fgt longitudinal)	C 1200	M.LT_04_0000	635	9
LOCUS 4	C5 82	a	3	GR/SR			Silex	Éclat (fgt proximal)	C 1200	M.LT_04_0000	634	9
LOCUS 4	C5 82	a	3	GR/SR			Silex	Éclat de façonnage	C 1200	M.LT_04_0000	633	9
LOCUS 4	C5 82	a	3	GR/SR			Silex	Éclat (fgt longitudinal)	C 1200	M.LT_04_0000	634	9
LOCUS 4	C5 82	a	3	GR/SR			Silex	Éclat de façonnage	C 1200	M.LT_04_0000	633	9
LOCUS 4	C5 82	a	3	GR/SR			Silex	Éclat de façonnage	C 1200	M.LT_04_0000	633	9
LOCUS 4	C5 82	a	3	GR/SR			Silex	Éclat (fgt longitudinal)	C 1200	M.LT_04_0000	635	9
LOCUS 4	C5 82	a	3	GR/SR			Silex	Éclat de retouche	C 1200	M.LT_04_0000	633	9
LOCUS 4	C5 82	a	3	GR/SR			Silex	Éclat de façonnage (fgt proximal)	C 1200	M.LT_04_0000	633	9
LOCUS 4	C5 82	a	3	GR/SR			Silex	Éclat (fgt distal)	C 1200	M.LT_04_0000	635	9
LOCUS 4	C5 82	a	3	GR/SR			Silex	Éclat de retouche	C 1200	M.LT_04_0000	633	9
LOCUS 4	C5 82	a	3	GR/SR			Silex	Éclat (fgt longitudinal)	C 1200	M.LT_04_0000	635	9
LOCUS 4	C5 82	a	3	GR/SR			Silex	Éclat de retouche	C 1200	M.LT_04_0000	633	9
Berme CP08 / LOCUS 3				LSBR			Silex	Éclat de façonnage	C 1200	M.LT_BD_0000	640	2
LOCUS 4	C5 82	d	4	GR/SR			Silex	Éclat de retouche	C 1200	M.LT_04_0000	633	9
LOCUS 4	C5 82	d	4	GR/SR			Silex	Éclat de façonnage	C 1200	M.LT_04_0000	633	9
LOCUS 4	C5 82	d	4	GR/SR			Silex	Éclat de retouche	C 1200	M.LT_04_0000	633	9
Berme CP08 / LOCUS 3				LSBR			Silex	Éclat cortical (fgt distal)	C 1200	M.LT_BD_0000	640	2
LOCUS 4	C5 82	b	4	GR/SR			Silex	Gélifract	C 1200	M.LT_04_0000	635	9
LOCUS 4	C5 82	b	4	GR/SR			Silex	Éclat de façonnage	C 1200	M.LT_04_0000	632	9
LOCUS 4	C5 82	b	4	GR/SR			Silex	Éclat de façonnage	C 1200	M.LT_04_0000	632	9
LOCUS 4	C5 82	b	4	GR/SR			Silex	Débris	C 1200	M.LT_04_0000	636	9
LOCUS 4	C5 82	b	4	GR/SR			Silex	Éclat de façonnage	C 1200	M.LT_04_0000	632	9
LOCUS 4	C5 82	b	4	GR/SR			Silex	Éclat (fgt indéterminé)	C 1200	M.LT_04_0000	635	9
LOCUS 4	C5 82	b	4	GR/SR			Silex	Éclat (fgt indéterminé)	C 1200	M.LT_04_0000	635	9
LOCUS 4	C5 82	b	3	GR/SR			Silex	Éclat (fgt longitudinal)	C 1200	M.LT_04_0000	634	9
LOCUS 4	C5 82	b	3	GR/SR			Silex	Eclat	C 1200	M.LT_04_0000	636	9
LOCUS 4	C5 82	b	3	GR/SR			Silex	Éclat de façonnage	C 1200	M.LT_04_0000	632	9
LOCUS 4	C5 82	b	3	GR/SR			Silex	Éclat (fgt indéterminé)	C 1200	M.LT_04_0000	635	9
LOCUS 4	C5 82	b	3	GR/SR			Silex	Éclat cortical (fgt proximal)	C 1200	M.LT_04_0000	631	9
LOCUS 4	C5 82	b	3	GR/SR			Silex	Éclat	C 1200	M.LT_04_0000	636	9
LOCUS 4	C5 82	b	3	GR/SR			Silex	Eclat cortical (fgt distal)	C 1200	M.LT_04_0000	631	9
LOCUS 4	C5 82	b	3	GR/SR			Silex	Éclat de façonnage	C 1200	M.LT_04_0000	632	9
LOCUS 4	C5 82	b	3	GR/SR			Silex	Éclat (fgt indéterminé)	C 1200	M.LT_04_0000	635	9
LOCUS 4	C5 82	b	3	GR/SR			Silex	Éclat (fgt indéterminé)	C 1200	M.LT_04_0000	635	9
LOCUS 4	C5 82	b	3	GR/SR			Silex	Éclat de façonnage	C 1200	M.LT_04_0000	632	9
LOCUS 4	C5 82	b	3	GR/SR			Silex	Éclat (fgt indéterminé)	C 1200	M.LT_04_0000	635	9
LOCUS 4	C5 82	b	3	GR/SR			Silex	Éclat de façonnage	C 1200	M.LT_04_0000	633	9
LOCUS 4	C5 82	b	3	GR/SR			Silex	Éclat	C 1200	M.LT_04_4012		9

Zone Secteur	Carré	Sous-carré	N° de décapage	Unité Pédo-stratigraphique	Position	Repose sur face	Matériau	Descriptif détaillé	Parcelle	Code SRA	Réf. contenant POCHE	Réf. contenant CAISSE
LOCUS 4	C5 82	c	3	GR/SR			Silex	Éclat de façonnage (fgt proximal)	C 1200	M.LT_04_0000	634	9
LOCUS 4	C5 82	c	3	GR/SR			Silex	Éclat de façonnage (fgt proximal)	C 1200	M.LT_04_0000	633	9
LOCUS 4	C5 82	c	3	GR/SR			Silex	Éclat cortical (fgt distal)	C 1200	M.LT_04_0000	631	9
LOCUS 4	C5 82	c	3	GR/SR			Silex	Éclat de retouche	C 1200	M.LT_04_0000	633	9
Berme CP08 / LOCUS 3				LSBR			Silex	Éclat de façonnage	C 1200	M.LT_BD_0000	640	2
Berme CP08 / LOCUS 3				LSBR			Silex	Éclat (fgt indéterminé)	C 1200	M.LT_BD_0000	640	2
Berme CP08 / LOCUS 3				LSBR			Silex	Éclat de façonnage	C 1200	M.LT_BD_0000	640	2
Berme CP08 / LOCUS 3				LSBR			Silex	Éclat cortical (fgt indéterminé)	C 1200	M.LT_BD_0000	640	2
Berme CP08 / LOCUS 3				LSBR			Silex	Éclat de façonnage	C 1200	M.LT_BD_0000	640	2
Berme CP08 / LOCUS 3				LSBR			Silex	Éclat (fgt mésial)	C 1200	M.LT_BD_0000	640	2
Berme CP08 / LOCUS 3				LSBR			Silex	Éclat (fgt indéterminé)	C 1200	M.LT_BD_0000	625	10
Berme CP08 / LOCUS 3				LSBR			Silex	Éclat de façonnage	C 1200	M.LT_BD_0000	640	2
Berme CP08 / LOCUS 3				LSBR			Silex	Éclat (fgt distal)	C 1200	M.LT_BD_0000	640	2
Berme CP08 / LOCUS 3				LSBR			Silex	Éclat de façonnage	C 1200	M.LT_BD_0000	640	2
Berme CP08 / LOCUS 3				LSBR			Silex	Éclat de retouche	C 1200	M.LT_BD_0000	640	2
Berme CP08 / LOCUS 3				LSBR			Silex	Éclat de coup de tranchet	C 1200	M.LT_BD_0000	650	4
LOCUS 3	C6 88		nettoyage surface	LSB/LSBR			Silex	Éclat (fgt distal)	C 1200	M.LT_03_0000	627	10
LOCUS 3	C6 88		nettoyage surface	LSB/LSBR			Silex	Esquille	C 1200	M.LT_03_0000	627	10
LOCUS 3	C6 37	b	nettoyage surface	LSB			Silex	Éclat (fgt mésial)	C 1200	M.LT_03_0000	624	10
LOCUS 3	C6 87	b	1	LSBR			Silex	Éclat (fgt indéterminé)	C 1200	M.LT_03_0000	624	10
LOCUS 3	C6 87	b	1	LSBR			Silex	Éclat (fgt distal)	C 1200	M.LT_03_0000	627	10
LOCUS 3	C6 87	b	1	LSBR			Silex	Éclat de façonnage (fgt proximal)	C 1200	M.LT_03_0000	627	10
LOCUS 3	C6 87	b	1	LSBR			Silex	Éclat de façonnage cortical	C 1200	M.LT_03_0000	619	11
LOCUS 3	C6 87	b	1	LSBR			Silex	Éclat cortical	C 1200	M.LT_03_4036		10
LOCUS 3	C6 86	b	1	LSB			Silex	Éclat	C 1200	M.LT_03_4037		10
LOCUS 3	C6 86	b	1	LSB			Silex	Éclat de façonnage	C 1200	M.LT_03_0000	622	10
LOCUS 3	C6 86	b	1	LSB			Silex	Éclat de retouche	C 1200	M.LT_03_0000	623	11
LOCUS 3	C6 86	b	1	LSB			Silex	Éclat de façonnage	C 1200	M.LT_03_0000	626	10
LOCUS 3	C6 86	b	1	LSB			Silex	Éclat de retouche	C 1200	M.LT_03_0000	626	10
LOCUS 3	C6 88	b	1	LSB			Silex	Éclat de façonnage (fgt proximal)	C 1200	M.LT_03_0000	628	11
LOCUS 3	C6 89		1	LSB			Silex	Éclat de façonnage (fgt proximal)	C 1200	M.LT_03_0000	628	11
Berme CP08 / LOCUS 3				LSJ			Silex	Éclat de façonnage cortical (fgt proximal)	C 1200	M.LT_BD_0001	640	2
LOCUS 3	C6 87	c	1	LSB			Silex	Éclat de façonnage cortical	C 1200	M.LT_03_0001	619	11
Berme CP08 / LOCUS 3				LSJ			Silex	Éclat de façonnage	C 1200	M.LT_BD_0001	640	2
Berme CP08 / LOCUS 3				LSJ			Silex	Racloir simple	C 1200	M.LT_BD_4047		1
Berme CP08 / LOCUS 3				LSJ			Silex	Éclat (fgt distal)	C 1200	M.LT_BD_0000	640	2
Berme CP08 / LOCUS 3				LSJ			Silex	Éclat débordant	C 1200	M.LT_BD_0000	650	4
Berme CP08 / LOCUS 3				LSJ			Silex	Éclat de façonnage	C 1200	M.LT_BD_0000	640	2
Berme CP08 / LOCUS 3				SR			Silex	Racloir convergent	C 1200	M.LT_BD_4051		1
Berme CP08 / LOCUS 3				SR			Silex	Éclat (fgt distal)	C 1200	M.LT_BD_0000	640	2
Berme CP08 / LOCUS 3				LSB			Silex	Éclat de façonnage	C 1200	M.LT_BD_0000	640	2
Berme CP08 / LOCUS 3				LSB			Silex	Éclat de façonnage	C 1200	M.LT_BD_0000	640	2
Berme CP08 / LOCUS 3				LSB			Silex	Éclat (fgt distal)	C 1200	M.LT_BD_0000	640	2
Berme CP08 / LOCUS 3				LSB			Silex	Éclat (fgt mésial)	C 1200	M.LT_BD_0000	640	2
Berme CP08 / LOCUS 3				LSB			Silex	Éclat (fgt distal)	C 1200	M.LT_BD_0000	640	2
LOCUS 3	C6 67	c	3	LSB			Silex	Éclat de façonnage cortical	C 1200	M.LT_03_0000	619	11
Berme CP08 / LOCUS 3				LSB			Silex	Débris	C 1200	M.LT_BD_0000	639	2
Berme CP08 / LOCUS 3				LSB			Silex	Éclat de façonnage (fgt proximal)	C 1200	M.LT_BD_0000	640	2
Berme CP08 / LOCUS 3				LSB			Silex	Éclat (fgt proximal)	C 1200	M.LT_BD_0000	640	2
Berme CP08 / LOCUS 3				LSB			Silex	Éclat de façonnage cortical (fgt proximal)	C 1200	M.LT_BD_0000	640	2
Berme CP08 / LOCUS 3				LSB			Silex	Éclat de façonnage	C 1200	M.LT_BD_0000	640	2
Berme CP08 / LOCUS 3				LSR			Silex	Débris	C 1200	M.LT_BD_0000	641	2
Berme CP08 / LOCUS 3				LSR			Silex	Éclat de façonnage	C 1200	M.LT_BD_0000	640	2
Berme CP08 / LOCUS 3				LSR			Silex	Éclat (fgt indéterminé)	C 1200	M.LT_BD_0000	640	2
Berme CP08 / LOCUS 3				LSR			Silex	Éclat (fgt indéterminé)	C 1200	M.LT_BD_0000	640	2
Berme CP08 / LOCUS 3				LSR			Silex	Éclat de façonnage (fgt proximal)	C 1200	M.LT_BD_0000	640	2
Berme CP08 / LOCUS 3				LSBR			Silex	Éclat (fgt distal)	C 1200	M.LT_BD_0000	640	2
Berme CP08 / LOCUS 3				LSBR			Silex	Éclat (fgt mésial)	C 1200	M.LT_BD_0000	640	2
Berme CP08 / LOCUS 3				LSBR			Silex	Éclat (fgt proximal)	C 1200	M.LT_BD_0000	640	2
Berme CP08 / LOCUS 3				LSBR			Silex	Éclat (fgt distal)	C 1200	M.LT_BD_0000	640	2
Berme CP08 / LOCUS 3				LSBR			Silex	Éclat de façonnage	C 1200	M.LT_BD_0000	640	2
Berme CP08 / LOCUS 3				LSBR			Silex	Éclat cortical (fgt distal)	C 1200	M.LT_BD_0000	640	2
Berme CP08 / LOCUS 3				LSBR			Silex	Éclat (fgt indéterminé)	C 1200	M.LT_BD_0000	640	2
Berme CP08 / LOCUS 3				LSBR			Silex	Éclat (fgt indéterminé)	C 1200	M.LT_BD_0000	640	2
Berme CP08 / LOCUS 3				LSBR			Silex	Éclat cortical	C 1200	M.LT_BD_0000	641	2
Berme CP08 / LOCUS 3				LSBR			Silex	Éclat de retouche	C 1200	M.LT_BD_0000	640	2
Berme CP08 / LOCUS 3				LSBR			Silex	Éclat (fgt mésial)	C 1200	M.LT_BD_0000	640	2
Berme CP08 / LOCUS 3				LSBR			Silex	Éclat de façonnage	C 1200	M.LT_BD_0000	640	2
LOCUS 1			1	GR			Silex	Éclat de façonnage	C 1200	M.LT_01_0000	612	7
LOCUS 1			1	GR			Silex	Débris	C 1200	M.LT_01_0000	611	7
LOCUS 1			1	GR			Silex	Éclat (fgt indéterminé)	C 1200	M.LT_01_0000	612	7
LOCUS 1	D8 15	b	1	GR			Silex	Éclat de façonnage (fgt proximal)	C 1200	M.LT_01_0000	612	7
LOCUS 1	D8 15	b	1	GR			Silex	Éclat (fgt distal)	C 1200	M.LT_01_0000	613	7
LOCUS 1	D8 26	a	1	GR			Silex	Éclat de coup de tranchet	C 1200	M.LT_01_0000	643	7
LOCUS 1	D8 26	a	1	GR			Silex	Éclat de façonnage (fgt proximal)	C 1200	M.LT_01_0000	613	7
LOCUS 1	D8 26	a	1	GR			Silex	Éclat de façonnage	C 1200	M.LT_01_0000	613	7
LOCUS 1	D8 26	a	1	GR			Silex	Éclat (fgt indéterminé)	C 1200	M.LT_01_0000	611	7

Zone Secteur	Carré	Sous-carré	N° de décapage	Unité Pédo-stratigraphique	Position	Repose sur face	Matériau	Descriptif détaillé	Parcelle	Code SRA	Réf. contenant POCHE	Réf. contenant CAISSE
LOCUS 1	D8 26	a	1	GR			Silex	Éclat cortical (fgt mésial)	C 1200	M.LT_01_0000	610	7
LOCUS 3	C6 87	d	2	LSB			Silex	Éclat cortical (fgt distal)	C 1200	M.LT_03_0000	620	10
LOCUS 3	C6 68	c	2	LSB			Silex	Eclat (fgt proximal)	C 1200	M.LT_03_0000	622	10
LOCUS 3	C6 68	c	2	LSB			Silex	Éclat de façonnage (fgt proximal)	C 1200	M.LT_03_0000	622	10
LOCUS 3	C6 68	c	2	LSB			Silex	Éclat de façonnage	C 1200	M.LT_03_0000	621	10
LOCUS 3	C6 68	c	2	LSB			Silex	Éclat cortical (fgt proximal)	C 1200	M.LT_03_0000	620	10
LOCUS 3	C6 68	c	2	LSB			Silex	Éclat cortical (fgt longitudinal)	C 1200	M.LT_03_0000	619	11
LOCUS 3	C6 77	b	2	LSB			Silex	Éclat cortical (fgt proximal)	C 1200	M.LT_03_0000	619	11
LOCUS 3	C6 77	b	2	LSB			Silex	Éclat (fgt proximal)	C 1200	M.LT_03_0000	628	11
LOCUS 3	C6 77	b	2	LSB			Silex	Éclat (fgt distal)	C 1200	M.LT_03_0000	627	10
LOCUS 3	C6 77	b	2	LSB			Silex	Éclat de retouche	C 1200	M.LT_03_0000	622	10
LOCUS 3	C6 77	b	2	LSB			Silex	Cupule de gel	C 1200	M.LT_03_0000	620	10
LOCUS 3	C6 69	b	2	LSB			Silex	Eclat cortical	C 1200	M.LT_03_0000	620	10
LOCUS 3	C6 89	a	2	LSBR/GR			Silex	Éclat	C 1200	M.LT_03_0000	626	10
LOCUS 3	C6 89	a	2	LSBR/GR			Silex	Éclat de façonnage	C 1200	M.LT_03_0000	621	10
LOCUS 3	C6 89	a	2	LSBR/GR			Silex	Éclat (fgt distal)	C 1200	M.LT_03_0000	628	11
LOCUS 3	C6 87	c	2	LSB			Silex	Éclat (fgt proximal)	C 1200	M.LT_03_0000	627	10
LOCUS 3	C6 77	d	2	LSB			Silex	Éclat cortical (fgt distal)	C 1200	M.LT_03_0000	628	11
LOCUS 3	C6 67	d	2	LSB			Silex	Éclat	C 1200	M.LT_03_0000	647	10
LOCUS 3	C6 67	d	2	LSB			Silex	Éclat de façonnage	C 1200	M.LT_03_0000	625	10
LOCUS 3	C6 67	d	2	LSB			Silex	Éclat cortical (fgt longitudinal)	C 1200	M.LT_03_0000	619	11
LOCUS 3	C6 67	d	2	LSB			Silex	Éclat de coup de tranchet	C 1200	M.LT_03_0000	647	10
LOCUS 3	C6 67	d	2	LSB			Silex	Éclat (fgt mésial)	C 1200	M.LT_03_0000	624	10
LOCUS 3	C6 67	d	2	LSB			Silex	Éclat cortical	C 1200	M.LT_03_0000	626	10
LOCUS 3	C6 77	a	2	LSB			Silex	Éclat (fgt proximal)	C 1200	M.LT_03_0000	628	11
LOCUS 3	C6 77	a	2	LSB			Silex	Éclat (fgt indéterminé)	C 1200	M.LT_03_0000	624	10
LOCUS 3	C6 89	d	2	LSBR			Silex	Éclat (fgt distal)	C 1200	M.LT_03_0000	623	11
LOCUS 3	C6 66	a	2	LSB			Silex	Éclat (fgt distal)	C 1200	M.LT_03_0000	628	11
LOCUS 3	C6 66	a	2	LSB			Silex	Éclat (fgt distal)	C 1200	M.LT_03_0000	627	10
LOCUS 3	C6 66	a	2	LSB			Silex	Débris	C 1200	M.LT_03_0000	630	11
LOCUS 3	C6 66	d	2	LSB			Silex	Racloir (fgt)	C 1200	M.LT_03_4121		10
LOCUS 3	C6 66	d	2	LSB			Silex	Éclat de façonnage	C 1200	M.LT_03_0000	622	10
LOCUS 3	C6 66	d	2	LSB			Silex	Eclat cortical	C 1200	M.LT_03_0000	619	11
LOCUS 3	C6 66	d	2	LSB			Silex	Éclat (fgt mésial)	C 1200	M.LT_03_0000	624	10
LOCUS 3	C6 66	d	2	LSB			Silex	Éclat Kombewa	C 1200	M.LT_03_0000	647	10
LOCUS 3	C6 66	d	2	LSB			Silex	Éclat de façonnage	C 1200	M.LT_03_0000	623	11
LOCUS 3	C6 66	d	2	LSB			Silex	Éclat (fgt mésial)	C 1200	M.LT_03_0000	624	10
LOCUS 3	C6 66	d	2	LSB			Silex	Éclat de façonnage	C 1200	M.LT_03_0000	622	10
LOCUS 1	D8 25	d	2	GR			Silex	Éclat (fgt indéterminé)	C 1200	M.LT_01_0000	612	7
LOCUS 1	D8 25	d	2	GR			Silex	Éclat (fgt longitudinal)	C 1200	M.LT_01_0000	612	7
LOCUS 1	D8 25	d	2	GR			Silex	Esquille	C 1200	M.LT_01_0000	612	7
LOCUS 1	D8 25	d	2	GR			Silex	Éclat (fgt indéterminé)	C 1200	M.LT_01_0000	611	7
LOCUS 1	D8 25	d	2	GR			Silex	Éclat (fgt indéterminé)	C 1200	M.LT_01_0000	612	7
LOCUS 1	D8 25	d	2	GR			Silex	Éclat de retouche	C 1200	M.LT_01_0000	612	7
LOCUS 1	D8 25	d	2	GR			Silex	Éclat (fgt distal)	C 1200	M.LT_01_0000	612	7
LOCUS 1	D8 25	d	2	GR			Silex	Éclat de façonnage	C 1200	M.LT_01_0000	613	7
LOCUS 1	D8 26	d	1	GR			Silex	Éclat (fgt distal)	C 1200	M.LT_01_0000	612	7
LOCUS 4	C5 82	d	3	GR/SR			Silex	Éclat de façonnage	C 1200	M.LT_04_0000	632	9
LOCUS 1			2	GR			Silex	Éclat de façonnage (fgt proximal)	C 1200	M.LT_01_0000	612	7
LOCUS 1	D8 26	d	1	GR			Silex	Débris	C 1200	M.LT_01_0000	611	7
LOCUS 1	D8 16	a	1	GR			Silex	Éclat (fgt indéterminé)	C 1200	M.LT_01_0000	611	7
LOCUS 1	D8 16	a	1	GR			Silex	Éclat (fgt indéterminé)	C 1200	M.LT_01_0000	611	7
LOCUS 1	D8 16	a	1	GR			Silex	Éclat de façonnage	C 1200	M.LT_01_0000	613	7
LOCUS 1	D8 16	a	1	GR			Silex	Éclat (fgt distal)	C 1200	M.LT_01_0000	611	7
LOCUS 1	D8 16	a	1	GR			Silex	Eclat (fgt indéterminé)	C 1200	M.LT_01_0000	612	7
LOCUS 1	D8 26	c	1	GR			Silex	Éclat de façonnage (fgt proximal)	C 1200	M.LT_01_0000	612	7
LOCUS 1	D8 26	c	1	GR			Silex	Éclat (fgt distal)	C 1200	M.LT_01_0000	611	7
LOCUS 1	D8 26	c	1	GR			Silex	Éclat (fgt indéterminé)	C 1200	M.LT_01_0000	611	7
LOCUS 1	D8 26	c	1	GR			Silex	Éclat de façonnage (fgt proximal)	C 1200	M.LT_01_0000	612	7
LOCUS 1	D8 26	c	1	GR			Silex	Eclat de façonnage (fgt proximal)	C 1200	M.LT_01_0000	612	7
LOCUS 1	D8 25	c	1	GR			Silex	Éclat (fgt indéterminé)	C 1200	M.LT_01_0000	611	7
LOCUS 1	D8 25	c	1	GR			Silex	Éclat (fgt distal)	C 1200	M.LT_01_0000	611	7
LOCUS 1	D8 25	c	1	GR			Silex	Éclat de façonnage	C 1200	M.LT_01_0000	613	7
LOCUS 1	D8 25	b	1	GR			Silex	Éclat	C 1200	M.LT_01_0000	613	7
LOCUS 1	D8 25	b	1	GR			Silex	Gélifract	C 1200	M.LT_01_0000	611	7
LOCUS 1	D8 25	b	1	GR			Silex	Éclat cortical (fgt distal)	C 1200	M.LT_01_0000	610	7
LOCUS 1	D8 25	b	1	GR			Silex	Éclat de façonnage	C 1200	M.LT_01_0000	612	7
LOCUS 1	D8 15	a	1	GR			Silex	Éclat de façonnage cortical (fgt proximal)	C 1200	M.LT_01_0000	610	7
LOCUS 1	D8 25	d	1	GR			Silex	Éclat (fgt indéterminé)	C 1200	M.LT_01_0000	612	7
LOCUS 1	D8 25	d	1	GR			Silex	Éclat	C 1200	M.LT_01_0000	613	7
LOCUS 1	D8		nettoyage surfa	GR			Silex	Éclat (fgt indéterminé)	C 1200	M.LT_01_0000	612	7
LOCUS 1	D8		nettoyage surfa	GR			Silex	Débris	C 1200	M.LT_01_0000	610	7
LOCUS 1	D8		nettoyage surfa	GR			Silex	Éclat de façonnage (fgt proximal)	C 1200	M.LT_01_0000	612	7
Déblais				H.S.			Silex	Éclat de façonnage	C 1200	M.LT_BD_0000	589	2
Déblais				H.S.			Silex	Éclat de façonnage	C 1200	M.LT_BD_4165		1
LOCUS 3	C6 20	c	nettoyage surface	LSB			Silex	Éclat de façonnage	C 1200	M.LT_03_0000	623	11
LOCUS 2	D7 04	a	2	LSB/LSBR			Silex	Éclat de façonnage cortical	C 1200	M.LT_02_0000	614	8
LOCUS 2	D7 04	a	2	LSB/LSBR			Silex	Éclat de façonnage	C 1200	M.LT_02_0000	617	8
LOCUS 2	D7 04	a	2	LSB/LSBR			Silex	Éclat de façonnage	C 1200	M.LT_02_0000	615	8
LOCUS 2	D7 04	a	2	LSB/LSBR			Silex	Éclat de façonnage	C 1200	M.LT_02_0000	615	8
LOCUS 2	D6 85	c	2	LSB/LSBR			Silex	Éclat (fgt distal)	C 1200	M.LT_02_0000	617	8
LOCUS 2	D6 85	a	2	LSB/LSBR			Silex	Éclat de façonnage cortical	C 1200	M.LT_02_0000	614	8
LOCUS 2	D6 85	a	2	LSB/LSBR			Silex	Éclat de façonnage	C 1200	M.LT_02_0000	615	8
LOCUS 2	D6 85	b	2	LSB/LSBR/GR			Silex	Éclat (fgt proximal)	C 1200	M.LT_02_0000	616	8
LOCUS 2	D6 94	b	2	LSB/LSBR			Silex	Éclat cortical	C 1200	M.LT_02_0000	614	8
LOCUS 2	D6 85	b	2	LSB/LSBR			Silex	Éclat de façonnage	C 1200	M.LT_02_0000	615	8
LOCUS 2	D6 85	b	2	LSB/LSBR			Silex	Éclat de façonnage cortical	C 1200	M.LT_02_0000	614	8
LOCUS 2	D6 85	b	2	LSB/LSBR			Silex	Débris	C 1200	M.LT_02_0000	618	8
LOCUS 2	D6 85	a	2	LSB/LSBR			Silex	Éclat (fgt distal)	C 1200	M.LT_02_0000	617	8
LOCUS 2	D6 85	a	2	LSB/LSBR			Silex	Éclat (fgt indéterminé)	C 1200	M.LT_02_0000	616	8
LOCUS 2	D6 85	a	2	LSB/LSBR			Silex	Éclat cortical (fgt indéterminé)	C 1200	M.LT_02_0000	614	8
LOCUS 2	D6 85	d	2	LSB/LSBR			Silex	Éclat de façonnage	C 1200	M.LT_02_0000	615	8
LOCUS 2	D6 85	d	2	LSB/LSBR			Silex	Éclat de façonnage	C 1200	M.LT_02_0000	615	8
LOCUS 2	D6 85	d	2	LSB/LSBR			Silex	Éclat (fgt proximal)	C 1200	M.LT_02_0000	644	8
LOCUS 2	D6 94	d	2	LSB/LSBR			Silex	Éclat (fgt proximal)	C 1200	M.LT_02_0000	616	8
LOCUS 2	D6 94	d	2	LSB/LSBR			Silex	Éclat de façonnage	C 1200	M.LT_02_0000	615	8
LOCUS 2	D6 94	d	2	LSB/LSBR			Silex	Éclat de façonnage cortical	C 1200	M.LT_02_0000	614	8
LOCUS 2	D6 94	d	2	LSB/LSBR			Silex	Éclat (fgt distal)	C 1200	M.LT_02_0000	617	8
LOCUS 2	D6 84	c	2	LSB/LSBR			Silex	Éclat de façonnage (fgt proximal)	C 1200	M.LT_02_0000	616	8
LOCUS 2	D7 04	a	2	LSB/LSBR			Silex	Éclat (fgt distal)	C 1200	M.LT_02_0000	617	8
LOCUS 2	D7 04	a	2	LSB/LSBR			Silex	Éclat (fgt distal)	C 1200	M.LT_02_0000	616	8
LOCUS 2	D7 04	a	2	LSB/LSBR			Silex	Éclat de façonnage	C 1200	M.LT_02_0000	615	8
LOCUS 2	D6 94	d	2	LSB/GR			Silex	Éclat (fgt proximal)	C 1200	M.LT_02_0000	616	8
LOCUS 2	D6 84	a	2	LSB/LSBR			Silex	Éclat de façonnage	C 1200	M.LT_02_0000	615	8
LOCUS 2	D6 84	a	2	LSB/LSBR			Silex	Éclat (fgt distal)	C 1200	M.LT_02_0000	617	8
LOCUS 2	D6 94	c	2	LSB/LSBR			Silex	Éclat de façonnage	C 1200	M.LT_02_0000	615	8
LOCUS 2	D6 94	d	2	LSB/LSBR			Silex	Éclat de façonnage	C 1200	M.LT_02_0000	615	8
LOCUS 2	D6 95	c	2	LSBR/GR			Silex	Éclat cortical (fgt mésial)	C 1200	M.LT_02_0000	614	8
LOCUS 2	D6 95	c	2	LSBR/GR			Silex	Éclat de façonnage	C 1200	M.LT_02_0000	615	8
LOCUS 2	D7 04	b	2	LSB/LSBR			Silex	Éclat (fgt mésial)	C 1200	M.LT_02_0000	617	8
LOCUS 4	C5 63		nettoyage surface	GR			Silex	Éclat de façonnage	C 1200	M.LT_04_0000	633	9
LOCUS 2	D7 04	c	2	LSB/LSBR			Silex	Bloc brut (fgt)	C 1200	M.LT_02_0000	618	8
LOCUS 2	D7 04	c	2	LSB/LSBR			Silex	Éclat (fgt distal)	C 1200	M.LT_02_0000	617	8
LOCUS 2	D7 04	c	2	LSB/LSBR			Silex	Éclat de façonnage cortical	C 1200	M.LT_02_0000	614	8
LOCUS 2	D7 04	c	2	LSB/LSBR			Silex	Nucléus de gestion de surface non Levallois	C 1200	M.LT_02_4205		8
LOCUS 2	D7 04	c	2	LSB/LSBR			Silex	Éclat	C 1200	M.LT_02_0000	617	8
LOCUS 2	D7 04	c	2	LSB/LSBR			Silex	Éclat de façonnage	C 1200	M.LT_02_0000	615	8
LOCUS 2	D7 04	c	2	LSB/LSBR			Silex	Éclat de façonnage	C 1200	M.LT_02_0000	615	8
LOCUS 2	D7 04	c	2	LSB/LSBR			Silex	Éclat de façonnage	C 1200	M.LT_02_0000	615	8
LOCUS 2	D7 04	c	2	LSB/LSBR			Silex	Éclat de façonnage	C 1200	M.LT_02_0000	615	8
LOCUS 2	D7 04	c	2	LSB/LSBR			Silex	Éclat de façonnage	C 1200	M.LT_02_0000	615	8
LOCUS 2	D7 04	c	2	LSB/LSBR			Silex	Éclat de façonnage	C 1200	M.LT_02_0000	615	8
LOCUS 2	D6 94	a	2	LSB/LSBR			Silex	Éclat de façonnage (fgt proximal)	C 1200	M.LT_02_0000	616	8
LOCUS 2	D6 94	a	2	LSB/LSBR			Silex	Éclat de façonnage	C 1200	M.LT_02_0000	615	8

Zone Secteur	Carré	Sous-carré	N° de décapage	Unité Pédo-stratigraphique	Position	Repose sur face	Matériau	Descriptif détaillé	Parcelle	Code SRA	Réf. contenant POCHE	Réf. contenant CAISSE
LOCUS 2	D6 94	c	2	LSB/LSBR			Silex	Débris	C 1200	M.LT_02_0000	618	8
LOCUS 2	D6 94	c	2	LSB/LSBR			Silex	Débris	C 1200	M.LT_02_0000	618	8
LOCUS 2	D7 04	b	2	LSB/LSBR			Silex	Éclat	C 1200	M.LT_02_0000	617	8
LOCUS 2	D6 84	c	2	LSB/LSBR			Silex	Éclat de façonnage	C 1200	M.LT_02_0000	615	8
LOCUS 2	D6 84	c	2	LSB/LSBR			Silex	Débris	C 1200	M.LT_02_0000	618	8
LOCUS 2	D6 84	c	2	LSB/LSBR			Silex	Racloir (fgt)	C 1200	M.LT_02_4220		8
LOCUS 2	D6 84	d	2	LSB/LSBR			Silex	Éclat de façonnage	C 1200	M.LT_02_4221		8
LOCUS 2	D6 84	a	1	LSB			Silex	Éclat de façonnage	C 1200	M.LT_02_0000	615	8
LOCUS 2	D6 95	c	1	LSB/LSBR			Silex	Débris	C 1200	M.LT_02_0000	618	8
LOCUS 2	D6 95	c	1	LSB/LSBR			Silex	Éclat (fgt proximal)	C 1200	M.LT_02_0000	616	8
LOCUS 2	D6 95	c	1	LSB/LSBR			Silex	Débris	C 1200	M.LT_02_4225		8
LOCUS 2	D6 94	d	1	LSB			Silex	Éclat cortical	C 1200	M.LT_02_0000	614	8
LOCUS 2	D6 94	d	1	LSB			Silex	Cupule de gel	C 1200	M.LT_02_0000	618	8
LOCUS 2	D6 94	c	1	LSB			Silex	Éclat de façonnage	C 1200	M.LT_02_0000	615	8
LOCUS 2	D6 94	c	1	LSB			Silex	Éclat de façonnage (fgt proximal)	C 1200	M.LT_02_0000	616	8
LOCUS 2	D6 94	c	1	LSB			Silex	Éclat	C 1200	M.LT_02_0000	617	8
LOCUS 2	D6 94	c	1	LSB			Silex	Éclat de façonnage	C 1200	M.LT_02_0000	615	8
LOCUS 2	D6 94	c	1	LSB			Silex	Éclat de façonnage	C 1200	M.LT_02_0000	615	8
LOCUS 2	D6 94	c	1	LSB			Silex	Éclat (fgt distal)	C 1200	M.LT_02_0000	617	8
LOCUS 3	C6 67	b	3	LSB			Silex	Éclat de façonnage	C 1200	M.LT_03_0000	629	10
LOCUS 3	C6 67	d	3	LSB			Silex	Éclat (fgt proximal)	C 1200	M.LT_03_0000	628	11
LOCUS 3	C6 67	d	3	LSB			Silex	Éclat	C 1200	M.LT_03_0000	627	10
LOCUS 3	C6 67	d	3	LSB			Silex	Éclat	C 1200	M.LT_03_0000	626	10
LOCUS 3	C6 67	c	3	LSB			Silex	Éclat cortical (fgt distal)	C 1200	M.LT_03_0000	619	11
LOCUS 3	C6 67	c	3	LSB			Silex	Éclat (fgt indéterminé)	C 1200	M.LT_03_0000	624	10
LOCUS 3	C6 67	c	3	LSB			Silex	Éclat cortical	C 1200	M.LT_03_0000	620	10
LOCUS 3	C6 67	c	3	LSB			Silex	Éclat (fgt longitudinal)	C 1200	M.LT_03_0000	623	11
LOCUS 3	C6 67	d	3	LSB			Silex	Éclat de façonnage cortical	C 1200	M.LT_03_0000	619	11
LOCUS 3	C6 67	d	3	LSB			Silex	Éclat de façonnage (fgt proximal)	C 1200	M.LT_03_0000	628	11
LOCUS 3	C6 67	d	3	LSB			Silex	Éclat	C 1200	M.LT_03_0000	626	10
LOCUS 3	C6 67	d	3	LSB			Silex	Éclat (fgt mésial)	C 1200	M.LT_03_0000	624	10
LOCUS 3	C6 67	d	3	LSB			Silex	Éclat de façonnage cortical	C 1200	M.LT_03_0000	620	10
LOCUS 3	C6 67	b	3	LSBR			Silex	Débris	C 1200	M.LT_03_0000	630	11
LOCUS 3	C6 67	b	3	LSBR			Silex	Éclat de façonnage	C 1200	M.LT_03_0000	623	11
LOCUS 3	C6 67	b	3	LSBR			Silex	Éclat de façonnage	C 1200	M.LT_03_0000	621	10
LOCUS 3	C6 67	a	3	LSB			Silex	Éclat (fgt distal)	C 1200	M.LT_03_0000	629	10
LOCUS 3	C6 67	a	3	LSB			Silex	Éclat (fgt distal)	C 1200	M.LT_03_0000	621	10
LOCUS 3	C6 67	a	3	LSB			Silex	Éclat cortical (fgt proximal)	C 1200	M.LT_03_0000	628	11
LOCUS 3	C6 67	a	3	LSB			Silex	Éclat cortical (fgt distal)	C 1200	M.LT_03_0000	620	10
LOCUS 3	C6 67	a	3	LSB			Silex	Éclat de façonnage	C 1200	M.LT_03_4254		10
LOCUS 3	C6 67	a	3	LSB			Silex	Gélifract	C 1200	M.LT_03_0000	629	10
LOCUS 3	C6 67	a	3	LSB			Silex	Éclat (fgt longitudinal)	C 1200	M.LT_03_0000	624	10
LOCUS 3	C6 67	a	3	LSB			Silex	Éclat (fgt indéterminé)	C 1200	M.LT_03_0000	624	10
LOCUS 4	C5 82	d	1	GR			Silex	Éclat de façonnage (fgt proximal)	C 1200	M.LT_04_0000	634	9
LOCUS 4	C5 82	d	1	GR			Silex	Éclat de coup de tranchet	C 1200	M.LT_04_0000	648	9
LOCUS 4	C5 82	d	1	GR			Silex	Éclat de façonnage	C 1200	M.LT_04_0000	632	9
LOCUS 4	C5 73	a	1	GR			Silex	Éclat cortical	C 1200	M.LT_04_0000	631	9
LOCUS 4	C5 73	a	1	GR			Silex	Éclat (fgt indéterminé)	C 1200	M.LT_04_0000	635	9
LOCUS 4	C5 73	a	1	GR			Silex	Éclat	C 1200	M.LT_04_0000	648	9
LOCUS 4	C5 73	a	1	GR			Silex	Éclat	C 1200	M.LT_04_0000	636	9
LOCUS 4	C5 73	a	1	GR			Silex	Éclat de façonnage	C 1200	M.LT_04_0000	632	9
LOCUS 4	C5 85	c	1	GR			Silex	Éclat de façonnage	C 1200	M.LT_04_0000	632	9
LOCUS 4	C5 85	c	1	GR			Silex	Éclat (fgt indéterminé)	C 1200	M.LT_04_0000	635	9
LOCUS 4	C5 92	c	1	GR			Silex	Éclat de coup de tranchet	C 1200	M.LT_04_0000	648	9
LOCUS 4	C5 82	a	1	GR			Silex	Éclat de façonnage	C 1200	M.LT_04_0000	632	9
LOCUS 4	C5 85	a	1	GR			Silex	Éclat de façonnage (fgt proximal)	C 1200	M.LT_04_0000	634	9
LOCUS 4	C5 93	d	1	GR			Silex	Éclat	C 1200	M.LT_04_0000	636	9
LOCUS 4	C5 93	d	1	GR			Silex	Éclat cortical (fgt longitudinal)	C 1200	M.LT_04_0000	634	9
LOCUS 4	C5 93	d	1	GR			Silex	Éclat de façonnage cortical (fgt proximal)	C 1200	M.LT_04_0000	634	9
LOCUS 4	C5 93	d	1	GR			Silex	Eclat (fgt distal)	C 1200	M.LT_04_0000	634	9
LOCUS 4	C5 92	d	1	GR			Silex	Éclat de façonnage cortical (fgt proximal)	C 1200	M.LT_04_0000	631	9
LOCUS 4	C5 92	d	1	GR			Silex	Éclat	C 1200	M.LT_04_0000	636	9
LOCUS 4	C5 92	d	1	GR			Silex	Éclat (fgt indéterminé)	C 1200	M.LT_04_0000	635	9
LOCUS 4	C5 92	d	1	GR			Silex	Éclat (fgt indéterminé)	C 1200	M.LT_04_0000	635	9
LOCUS 4	C5 94	a	1	GR			Silex	Éclat de coup de tranchet	C 1200	M.LT_04_0000	648	9
LOCUS 4	C5 94	a	1	GR			Silex	Éclat de façonnage (fgt proximal)	C 1200	M.LT_04_0000	634	9
LOCUS 4	C5 94	a	1	GR			Silex	Éclat de façonnage (fgt proximal)	C 1200	M.LT_04_0000	634	9
LOCUS 4	C5 73	c	1	GR			Silex	Éclat de façonnage	C 1200	M.LT_04_0000	632	9
LOCUS 4	C5 73	c	1	GR			Silex	Biface (fgt)	C 1200	M.LT_04_4283		9
LOCUS 4	C5 73	c	1	GR			Silex	Éclat cortical (fgt proximal)	C 1200	M.LT_04_0000	631	9
LOCUS 4	C5 73	c	1	GR			Silex	Éclat de façonnage cortical	C 1200	M.LT_04_0000	631	9
LOCUS 4	C5 92	c	1	GR			Silex	Éclat de façonnage cortical	C 1200	M.LT_04_0000	631	9
LOCUS 4	C5 92	c	1	GR			Silex	Éclat	C 1200	M.LT_04_0000	636	9
LOCUS 4	C5 92	c	1	GR			Silex	Éclat de façonnage cortical	C 1200	M.LT_04_0000	631	9
LOCUS 4	C5 91	c	1	GR			Silex	Éclat (fgt indéterminé)	C 1200	M.LT_04_0000	635	9
LOCUS 4	C5 91	c	1	GR			Silex	Éclat cortical	C 1200	M.LT_04_0000	631	9
LOCUS 4	C5 93	b	1	GR			Silex	Éclat (fgt distal)	C 1200	M.LT_04_0000	634	9
LOCUS 4	C5 93	b	1	GR			Silex	Éclat (fgt distal)	C 1200	M.LT_04_0000	635	9
LOCUS 4	C5 93	b	1	GR			Silex	Éclat (fgt proximal)	C 1200	M.LT_04_0000	648	9
LOCUS 4	C5 84	c	1	GR			Silex	Éclat de façonnage	C 1200	M.LT_04_0000	632	9
LOCUS 4	C5 84	c	1	GR			Silex	Racloir double	C 1200	M.LT_04_4295		9
LOCUS 4	C5 84	c	1	GR			Silex	Éclat cortical (fgt distal)	C 1200	M.LT_04_0000	631	9
LOCUS 4	C5 84	d	1	GR			Silex	Éclat de façonnage (fgt proximal)	C 1200	M.LT_04_0000	634	9
LOCUS 4	C5 94	c	1	GR			Silex	Éclat (fgt indéterminé)	C 1200	M.LT_04_0000	635	9
LOCUS 4	C5 83	d	1	GR			Silex	Eclat de façonnage	C 1200	M.LT_04_0000	632	9
LOCUS 4	C5 83	d	1	GR			Silex	Éclat (fgt indéterminé)	C 1200	M.LT_04_0000	635	9
LOCUS 4	C5 75	a	1	GR			Silex	Éclat de façonnage	C 1200	M.LT_04_0000	632	9
LOCUS 4	C5 82	a	1	GR			Silex	Éclat de façonnage	C 1200	M.LT_04_0000	633	9
LOCUS 4	C5 82	a	1	GR			Silex	Éclat cortical	C 1200	M.LT_04_0000	631	9
LOCUS 4	C5 82	a	1	GR			Silex	Éclat cortical	C 1200	M.LT_04_0000	631	9
LOCUS 4	C5 82	a	1	GR			Silex	Éclat cortical (fgt proximal)	C 1200	M.LT_04_0000	633	9
LOCUS 4	C5 82	a	1	GR			Silex	Éclat cortical	C 1200	M.LT_04_0000	631	9
LOCUS 4	C5 82	a	1	GR			Silex	Éclat (fgt proximal)	C 1200	M.LT_04_0000	634	9
LOCUS 4	C5 82	a	1	GR			Silex	Débris	C 1200	M.LT_04_0000	636	9
LOCUS 4	C5 82	a	1	GR			Silex	Éclat (fgt distal)	C 1200	M.LT_04_0000	635	9
LOCUS 4	C5 82	a	1	GR			Silex	Éclat de façonnage cortical	C 1200	M.LT_04_0000	631	9
LOCUS 4	C5 82	a	1	GR			Silex	Éclat (fgt mésial)	C 1200	M.LT_04_0000	633	9
LOCUS 4	C5 82	a	1	GR			Silex	Éclat de façonnage cortical (fgt proximal)	C 1200	M.LT_04_0000	633	9
LOCUS 4	C5 81	d	1	GB/GR			Silex	Éclat de façonnage Kombewa	C 1200	M.LT_04_0000	648	9
LOCUS 4	C5 81	d	1	GB/GR			Silex	Éclat de façonnage	C 1200	M.LT_04_0000	632	9
LOCUS 4	C5 82	b	1	GR			Silex	Éclat (fgt proximal)	C 1200	M.LT_04_0000	634	9
LOCUS 4	C5 82	b	1	GR			Silex	Éclat	C 1200	M.LT_04_0000	636	9
LOCUS 4	C5 82	b	1	GR			Silex	Éclat cortical (fgt proximal)	C 1200	M.LT_04_0000	631	9
LOCUS 4	C5 82	b	1	GR			Silex	Éclat de façonnage	C 1200	M.LT_04_0000	632	9
LOCUS 4	C5 82	b	1	GR			Silex	Éclat de façonnage	C 1200	M.LT_04_0000	632	9
LOCUS 4	C5 82	b	1	GR			Silex	Éclat de façonnage	C 1200	M.LT_04_0000	632	9
BD1L2							Silex	Éclat cortical (fgt indéterminé)	C 1200	M.LT_BD_0000	580	3
BD1L2							Silex	Éclat (fgt indéterminé)	C 1200	M.LT_BD_0000	595	4
							Silex	Éclat de façonnage Kombewa	C 1200	M.LT_BD_4323		1
							Silex	Éclat (fgt distal)	C 1200	M.LT_BD_0000	586	3
							Silex	Éclat (fgt indéterminé)	C 1200	M.LT_BD_0000	596	2
							Silex	Éclat (fgt indéterminé)	C 1200	NON RETROUVE		
BD1L1				H.S.			Silex	Éclat (fgt indéterminé)	C 1200	M.LT_BD_0000	601	2
BD1L1				H.S.			Silex	Éclat cortical (fgt indéterminé)	C 1200	M.LT_BD_0000	580	3
BD1L1				H.S.			Silex	Gélifract	C 1200	M.LT_BD_0000	609	6
BD1L1				H.S.			Silex	Éclat (fgt proximal)	C 1200	M.LT_BD_0000	601	2
LOCUS 4	C5 83	c	1	GR			Silex	Éclat (fgt distal)	C 1200	M.LT_04_0000	634	9
LOCUS 4	C5 83	c	1	GR			Silex	Éclat cortical	C 1200	M.LT_04_0000	631	9
LOCUS 4	C5 83	c	1	GR			Silex	Éclat (fgt indéterminé)	C 1200	M.LT_04_0000	635	9
LOCUS 4				GR			Silex	Éclat (fgt distal)	C 1200	M.LT_04_0000	634	9
LOCUS 4				GR			Silex	Éclat cortical (fgt longitudinal)	C 1200	M.LT_04_0000	631	9
LOCUS 4				GR			Silex	Éclat (fgt distal)	C 1200	M.LT_04_0000	634	9
LOCUS 4				GR			Silex	Éclat cortical (fgt mésial)	C 1200	M.LT_04_0000	634	9
LOCUS 4				GR			Silex	Éclat cortical (fgt indéterminé)	C 1200	M.LT_04_0000	631	9
LOCUS 4				GR			Silex	Éclat (fgt proximal)	C 1200	M.LT_04_0000	634	9
LOCUS 4				GR			Silex	Éclat peu retouché	C 1200	M.LT_04_4340		9
LOCUS 4				GR			Silex	Gélifract	C 1200	M.LT_04_0000	635	9

Zone Secteur	Carré	Sous-carré	N° de décapage	Unité Pédo-stratigraphique	Position	Repose sur face	Matériau	Descriptif détaillé	Parcelle	Code SRA	Réf. contenant POCHE	Réf. contenant CAISSE
LOCUS 4				GR			Silex	Éclat cortical (fgt indéterminé)	C 1200	M.LT_04_0000	631	9
LOCUS 4				GR			Silex	Éclat cortical	C 1200	M.LT_04_0000	636	9
LOCUS 4	C5 72	a	1	GR			Silex	Éclat de façonnage	C 1200	M.LT_04_0000	633	9
LOCUS 4	C5 82	c	1	GR			Silex	Éclat cortical	C 1200	M.LT_04_0000	631	9
LOCUS 4	C5 82	c	1	GR			Silex	Éclat cortical (fgt distal)	C 1200	M.LT_04_0000	631	9
LOCUS 4	C5 82	c	1	GR			Silex	Éclat avec retouche d'utilisation	C 1200	M.LT_04_4347		9
LOCUS 4	C5 82	c	1	GR			Silex	Éclat cortical	C 1200	M.LT_04_0000	631	9
LOCUS 4	C5 82	c	1	GR			Silex	Éclat de façonnage	C 1200	M.LT_04_0000	632	9
LOCUS 4	C5 82	c	1	GR			Silex	Éclat de façonnage	C 1200	M.LT_04_0000	632	9
LOCUS 4	C5 82	c	1	GR			Silex	Éclat de façonnage	C 1200	M.LT_04_0000	632	9
LOCUS 4	C5 82	c	1	GR			Silex	Éclat (fgt distal)	C 1200	M.LT_04_0000	634	9
LOCUS 4	C5 81	b	1	GB/GR			Silex	Éclat cortical (fgt proximal)	C 1200	M.LT_04_0000	634	9
LOCUS 4	C5 81	b	1	GB/GR			Silex	Éclat (fgt distal)	C 1200	M.LT_04_0000	634	9
LOCUS 4	C5 81	b	1	GB/GR			Silex	Éclat cortical (fgt distal)	C 1200	M.LT_04_0000	631	9
LOCUS 4	C5 84	b	1	GR			Silex	Éclat (fgt distal)	C 1200	M.LT_04_0000	634	9
LOCUS 4	C5 84	b	1	GR			Silex	Éclat cortical	C 1200	M.LT_04_0000	636	9
LOCUS 4	C5 84	b	1	GR			Silex	Éclat (fgt distal)	C 1200	M.LT_04_0000	648	9
LOCUS 4	C5 62	a	1	GR			Silex	Éclat (fgt longitudinal)	C 1200	M.LT_04_0000	634	9
LOCUS 4	C5 62	a	1	GR			Silex	Éclat	C 1200	M.LT_04_0000	636	9
LOCUS 4	C5 81	a	1	GR			Silex	Éclat cortical (fgt distal)	C 1200	M.LT_04_0000	631	9
LOCUS 4	C5 81		1	GR			Silex	Éclat de façonnage	C 1200	M.LT_04_0000	632	9
LOCUS 4	C5 81		1	GR			Silex	Éclat cortical (fgt proximal)	C 1200	M.LT_04_0000	634	9
LOCUS 4	C5 74	a	1	GR			Silex	Éclat (fgt distal)	C 1200	M.LT_04_0000	634	9
LOCUS 4	C5 74	a	1	GR			Silex	Éclat	C 1200	M.LT_04_0000	636	9
LOCUS 4	C5 74	a	1	GR			Silex	Gélifract	C 1200	M.LT_04_0000	635	9
LOCUS 4	C5 74	a	1	GR			Silex	Éclat de façonnage	C 1200	M.LT_04_0000	632	9
LOCUS 4	C5 63	b	1	GR			Silex	Éclat de façonnage	C 1200	M.LT_04_0000	633	9
LOCUS 4	C5 74	c	1	GR			Silex	Éclat (fgt indéterminé)	C 1200	M.LT_04_0000	635	9
LOCUS 4	C5 74	c	1	GR			Silex	Éclat cortical (fgt proximal)	C 1200	M.LT_04_0000	631	9
LOCUS 4	C5 74	c	1	GR			Silex	Éclat cortical	C 1200	M.LT_04_0000	636	9
LOCUS 4	C5 74	c	1	GR			Silex	Éclat de façonnage cortical	C 1200	M.LT_04_0000	631	9
LOCUS 4	C5 71	b	1	GB/GR			Silex	Éclat cortical	C 1200	M.LT_04_0000	631	9
LOCUS 4	C5 71	b	1	GB/GR			Silex	Éclat de façonnage	C 1200	M.LT_04_0000	632	9
LOCUS 4	C5 71	b	1	GB/GR			Silex	Éclat de façonnage	C 1200	M.LT_04_0000	633	9
LOCUS 4	C5 71	b	1	GB/GR			Silex	Éclat cortical	C 1200	M.LT_04_0000	631	9
LOCUS 4	C5 71	b	1	GB/GR			Silex	Éclat de façonnage cortical	C 1200	M.LT_04_0000	631	9
LOCUS 4	C5 71	b	1	GB/GR			Silex	Éclat Kombewa	C 1200	M.LT_04_0000	648	9
LOCUS 4	C5 71	b	1	GB/GR			Silex	Éclat (fgt distal)	C 1200	M.LT_04_0000	634	9
LOCUS 4	C5 71	b	1	GB/GR			Silex	Éclat de façonnage (fgt proximal)	C 1200	M.LT_04_0000	634	9
LOCUS 4	C5 71	b	1	GB/GR			Silex	Débris	C 1200	M.LT_04_0000	635	9
LOCUS 4	C5 71	b	1	GB/GR			Silex	Éclat cortical (fgt distal)	C 1200	M.LT_04_0000	631	9
LOCUS 4	C5 71	a	1	GB/GR			Silex	Éclat cortical	C 1200	M.LT_04_0000	631	9
LOCUS 4	C5 71	a	1	GB/GR			Silex	Éclat cortical (fgt proximal)	C 1200	M.LT_04_0000	631	9
LOCUS 4	C5 71	a	1	GB/GR			Silex	Eclat (fgt indéterminé)	C 1200	M.LT_04_0000	635	9
LOCUS 4	C5 83	b	1	GR			Silex	Éclat de façonnage	C 1200	M.LT_04_0000	633	9
LOCUS 4	C5 83	a	1	GR			Silex	Éclat de façonnage	C 1200	M.LT_04_0000	632	9
LOCUS 4	C5 83	a	1	GR			Silex	Éclat de façonnage cortical (fgt proximal)	C 1200	M.LT_04_0000	634	9
LOCUS 4	C5 91	d	1	GB			Silex	Éclat de façonnage cortical	C 1200	M.LT_04_0000	648	9
LOCUS 4	C5 93	c	1	GR			Silex	Éclat Kombewa	C 1200	M.LT_04_0000	648	9
LOCUS 4	C5 93	c	1	GR			Silex	Éclat de façonnage cortical	C 1200	M.LT_04_0000	631	9
LOCUS 4	C5 93	c	1	GR			Silex	Éclat cortical (fgt mésial)	C 1200	M.LT_04_0000	631	9
LOCUS 4	C5 71	d	1	GB/GR			Silex	Éclat	C 1200	M.LT_04_4393		9
LOCUS 4	C5 71	d	1	GB/GR			Silex	Éclat cortical	C 1200	M.LT_04_0000	631	9
LOCUS 4	C5 73	d	1	GR			Silex	Éclat de façonnage	C 1200	M.LT_04_0000	632	9
LOCUS 4	C5 73		nettoyage surface	GR			Silex	Éclat (fgt mésial)	C 1200	M.LT_04_0000	634	9
LOCUS 4	C5 92		nettoyage surface	GR			Silex	Éclat de façonnage (fgt proximal)	C 1200	M.LT_04_0000	633	9
LOCUS 4	C5 92		nettoyage surface	GR			Silex	Débris	C 1200	M.LT_04_0000	631	9
LOCUS 4	C5 74		nettoyage surface	GR			Silex	Éclat (fgt mésial)	C 1200	M.LT_04_0000	634	9
LOCUS 4	C5 74		nettoyage surface	GR			Silex	Éclat de façonnage	C 1200	M.LT_04_0000	632	9
BD9L8				remblais Diag TR30			Silex	Éclat cortical (fgt distal)	C 1200	M.LT_BD_0000	579	4
BD9L8				remblais Diag TR30			Silex	Biface	C 1200	M.LT_BD_4403		1
BD9L8				remblais Diag TR30			Silex	Racloir à retouche biface	C 1200	M.LT_BD_4404		1
BD9L8				remblais Diag TR30			Silex	Éclat (fgt proximal)	C 1200	M.LT_BD_0000	601	2
BD1L4				LSB			Silex	Éclat cortical	C 1200	M.LT_BD_0000	581	4
Déblais				H.S.			Silex	Nucléus mixte semi-tournant et gestion de surface non Levallois (fgt)	C 1200	M.LT_BD_0000	605	5
Déblais				H.S.			Silex	Éclat cortical	C 1200	M.LT_BD_0000	593	3
BD7L2/3				LSB			Silex	Éclat cortical	C 1200	M.LT_BD_0000	581	4
BD4L7				LSJ			Silex	Éclat (fgt mésial)	C 1200	M.LT_BD_0000	587	3
BD3L7				GR			Silex	Éclat de façonnage	C 1200	M.LT_BD_0000	583	3
BD3L7				GR			Silex	Débris	C 1200	M.LT_BD_0000	606	6
Déblais				H.S.			Silex	Eclat (fgt distal)	C 1200	M.LT_BD_0000	592	3
Déblais				H.S.			Silex	Éclat (fgt proximal)	C 1200	M.LT_BD_0000	601	2
BD9L6				LSJ			Silex	Éclat de façonnage	C 1200	M.LT_BD_0000	588	3
BD8L6				LSJ/LSB			Silex	Éclat de façonnage	C 1200	M.LT_BD_0000	590	2
BD2L5				GR/SR			Silex	Éclat	C 1200	M.LT_BD_0000	593	3
BD2L5				GR/SR			Silex	Éclat de façonnage	C 1200	M.LT_BD_0000	590	2
BD2L5				GR/SR			Silex	Éclat de façonnage	C 1200	M.LT_BD_0000	590	2
BD8L5				LSB/GB			Silex	Éclat de façonnage	C 1200	M.LT_BD_0000	583	3
BD8L5				LSB/GB			Silex	Éclat Levallois	C 1200	M.LT_BD_0000	602	2
BD8L5				LSB/GB			Silex	Éclat cortical	C 1200	M.LT_BD_0000	580	3
BD9L5				LSB			Silex	Éclat cortical (fgt distal)	C 1200	M.LT_BD_0000	598	2
BD3L6				LSJ			Silex	Éclat (fgt distal)	C 1200	M.LT_BD_0000	591	2
BD4L8				GR			Silex	Éclat cortical	C 1200	M.LT_BD_0000	580	3
BD4L8				GR			Silex	Éclat (fgt distal)	C 1200	M.LT_BD_0000	588	3
BD4L8				GR			Silex	Débris	C 1200	M.LT_BD_0000	606	6
BD3L6				GR			Silex	Éclat de façonnage	C 1200	M.LT_BD_0000	590	2
BD3L6				GR			Silex	Éclat	C 1200	M.LT_BD_0000	594	3
BD3L7				LSJ			Silex	Éclat	C 1200	M.LT_BD_0000	593	3
BD8L6				LSB			Silex	Éclat (fgt distal)	C 1200	M.LT_BD_0000	591	2
BD8L6				LSB			Silex	Éclat de façonnage	C 1200	M.LT_BD_0000	590	2
BD8L6				LSB			Silex	Éclat cortical	C 1200	M.LT_BD_0000	594	3
BD9L6				LSR			Silex	Éclat de façonnage cortical (fgt proximal)	C 1200	M.LT_BD_0000	578	4
Déblais				H.S.			Silex	Éclat de façonnage (fgt proximal)	C 1200	M.LT_BD_0000	597	2
LOCUS 2			nettoyage surface	LSB			Silex	Éclat de façonnage	C 1200	M.LT_02_0000	615	8
LOCUS 2			nettoyage surface	LSB			Silex	Éclat Kombewa	C 1200	M.LT_02_0000	615	8
CP08 base				GR			Silex	Éclat (fgt mésial)	C 1200	M.LT_BD_0000	639	2
CP08 base				GR			Silex	Éclat	C 1200	M.LT_BD_0000	639	2
CP08 base				GR			Silex	Gélifract	C 1200	M.LT_BD_0000	641	2
CP08 base				GR			Silex	Éclat (fgt mésial)	C 1200	M.LT_BD_0000	638	2
CP08 base				GR			Silex	Éclat (fgt proximal)	C 1200	M.LT_BD_0000	639	2
CP08 base				GR			Silex	Éclat (fgt distal)	C 1200	M.LT_BD_0000	639	2
CP08 base				GR			Silex	Éclat (fgt distal)	C 1200	M.LT_BD_0000	639	2
CP08 base				GR			Silex	Éclat	C 1200	M.LT_BD_0000	639	2
CP08 base				GR			Silex	Éclat de façonnage	C 1200	M.LT_BD_0000	639	2
CP08 base				GR			Silex	Éclat	C 1200	M.LT_BD_0000	639	2
BD9L5				H.S.			Silex	Débris	C 1200	M.LT_BD_0000	606	6
BD9L5				H.S.			Silex	Gélifract	C 1200	M.LT_BD_0000	609	6
BD9L5				H.S.			Silex	Éclat	C 1200	M.LT_BD_0000	593	3
BD9L5				H.S.			Silex	Éclat	C 1200	M.LT_BD_0000	593	3
BD9L5				H.S.			Silex	Éclat (fgt mésial)	C 1200	M.LT_BD_0000	587	3
BD9L5				H.S.			Silex	Éclat de façonnage (fgt proximal)	C 1200	M.LT_BD_0000	597	2
BD9L5				H.S.			Silex	Débris	C 1200	M.LT_BD_0000	606	6
BD6L7				GR			Silex	Éclat (fgt mésial)	C 1200	M.LT_BD_0000	587	3
Déblais				H.S.			Silex	Éclat débordant	C 1200	M.LT_BD_0000	598	2
BD8L8				LSJ			Silex	Éclat de façonnage cortical	C 1200	M.LT_BD_0000	585	3

Zone Secteur	Carré	Sous-carré	N° de décapage	Unité Pédo-stratigraphique	Position	Repose sur face	Matériau	Descriptif détaillé	Parcelle	Code SRA	Réf. contenant POCHE	Réf. contenant CAISSE
BD5L7				LSB			Silex	Éclat (fgt distal)	C 1200	M.LT_BD_0000	586	3
BD7L6				GR/SR			Silex	Éclat (fgt mésial)	C 1200	M.LT_BD_0000	649	4
BD7L6				GR/SR			Silex	Éclat (fgt mésial)	C 1200	M.LT_BD_0000	588	3
BD7L6				GR/SR			Silex	Éclat de façonnage	C 1200	M.LT_BD_0000	590	2
BD7L6				LSB/LSBR			Silex	Éclat (fgt proximal)	C 1200	M.LT_BD_0000	600	2
BD7L6				LSB/LSBR			Silex	Éclat cortical (fgt mésial)	C 1200	M.LT_BD_0000	587	3
BD7L6				LSB/LSBR			Silex	Débris	C 1200	M.LT_BD_0000	606	6
BD7L6				LSB/LSBR			Silex	Biface (fgt)	C 1200	M.LT_BD_4465		1
BD7L6				LSB/LSBR			Silex	Éclat cortical	C 1200	M.LT_BD_0000	580	3
BD7L6				LSB/LSBR			Silex	Éclat de façonnage	C 1200	M.LT_BD_0000	589	2
BD7L6				LSB/LSBR			Silex	Éclat de façonnage (fgt proximal)	C 1200	M.LT_BD_0000	597	2
BD7L7				LSJ			Silex	Éclat	C 1200	M.LT_BD_0000	593	3
BD7L7				LSJ			Silex	Biface	C 1200	M.LT_BD_4470		1
BD7L7				LSJ			Silex	Éclat	C 1200	M.LT_BD_0000	594	3
BD7L7				LSJ			Silex	Éclat de façonnage	C 1200	M.LT_BD_0000	590	2
BD7L7				LSJ			Silex	Éclat (fgt indéterminé)	C 1200	M.LT_BD_0000	595	4
BD7L7				LSJ			Silex	Éclat de façonnage (fgt proximal)	C 1200	M.LT_BD_0000	596	2
BD8L7				LSJ			Silex	Éclat (fgt proximal)	C 1200	M.LT_BD_0000	600	2
BD8L7				LSJ			Silex	Éclat Kombewa	C 1200	M.LT_BD_0000	598	2
BD7L5				GR			Silex	Éclat (fgt distal)	C 1200	M.LT_BD_0000	592	3
BD7L5				GR			Silex	Éclat (fgt distal)	C 1200	M.LT_BD_0000	592	3
BD5L7/L8				LSJ			Silex	Éclat (fgt indéterminé)	C 1200	M.LT_BD_0000	596	2
BD7L6				H.S.			Silex	Biface	C 1200	M.LT_BD_4480		1
Déblais				H.S.			Silex	Éclat cortical	C 1200	M.LT_BD_0000	580	3
BD12L5				H.S.			Silex	Éclat (fgt indéterminé)	C 1200	M.LT_BD_0000	592	3
BD11L6				H.S.			Silex	Débris	C 1200	M.LT_BD_0000	606	6
BD1L8 nord				GR			Silex	Éclat (fgt proximal)	C 1200	M.LT_BD_0000	601	2
BD1L8 nord				GR			Silex	Éclat de façonnage	C 1200	M.LT_BD_0000	588	3
BD5L2/3				remblais Diag TR24			Silex	Éclat cortical (fgt distal)	C 1200	M.LT_BD_0000	579	4
BD5L2/3				remblais Diag TR24			Silex	Éclat (fgt distal)	C 1200	M.LT_BD_0000	591	2
BD5L2/3				remblais Diag TR24			Silex	Éclat de façonnage	C 1200	M.LT_BD_0000	589	2
BD5L2/3				remblais Diag TR24			Silex	Cupule de gel	C 1200	M.LT_BD_0000	609	6
BD5L2/3				remblais Diag TR24			Silex	Éclat cortical (fgt distal)	C 1200	M.LT_BD_0000	598	2
BD5L2/3				remblais Diag TR24			Silex	Éclat de façonnage cortical	C 1200	M.LT_BD_0000	580	3
BD5L2/3				remblais Diag TR24			Silex	Éclat de façonnage	C 1200	M.LT_BD_0000	589	2
BD5L2/3				remblais Diag TR24			Silex	Gélifract	C 1200	M.LT_BD_0000	609	6
BD5L2/3				remblais Diag TR24			Silex	Éclat	C 1200	M.LT_BD_0000	593	3
BD5L2/3				remblais Diag TR24			Silex	Éclat (fgt mésial)	C 1200	M.LT_BD_0000	587	3
BD5L2/3				remblais Diag TR24			Silex	Éclat cortical	C 1200	M.LT_BD_0000	585	3
BD5L2/3				remblais Diag TR24			Silex	Débris	C 1200	M.LT_BD_0000	606	6
BD5L2/3				remblais Diag TR24			Silex	Éclat de façonnage	C 1200	M.LT_BD_0000	583	3
BD5L2/3				remblais Diag TR24			Silex	Éclat (fgt proximal)	C 1200	M.LT_BD_0000	601	2
BD5L2/3				remblais Diag TR24			Silex	Éclat (fgt indéterminé)	C 1200	M.LT_BD_0000	595	4
BD4L8				H.S.			Silex	Débris	C 1200	M.LT_BD_0000	606	6
BD5L2/3				H.S.			Silex	Éclat (fgt mésial)	C 1200	M.LT_BD_0000	587	3
BD5L2/3				H.S.			Silex	Éclat cortical (fgt distal)	C 1200	NON RETROUVE		
BD5L2/3				H.S.			Silex	Éclat	C 1200	M.LT_BD_0000	593	3
BD5L2/3				H.S.			Silex	Éclat (fgt mésial)	C 1200	M.LT_BD_0000	587	3
BD5L2/3				H.S.			Silex	Cupule de gel	C 1200	M.LT_BD_0000	609	6
BD5L2/3				H.S.			Silex	Éclat de façonnage (fgt proximal)	C 1200	M.LT_BD_0000	597	2
BD4L8				remblais Diag TR30			Silex	Éclat (fgt mésial)	C 1200	M.LT_BD_0000	587	3
BD4L8				remblais Diag TR30			Silex	Gélifract	C 1200	M.LT_BD_0000	609	6
BD4L8				remblais Diag TR30			Silex	Éclat cortical	C 1200	M.LT_BD_0000	603	4
BD4L8				remblais Diag TR30			Silex	Éclat (fgt distal)	C 1200	M.LT_BD_0000	586	3
BD6L6				LSB			Silex	Éclat de façonnage	C 1200	M.LT_BD_0000	583	3
BD12L4				GR			Silex	Éclat de retouche	C 1200	M.LT_BD_0000	588	3
BD5L6				H.S.			Silex	Éclat cortical (fgt distal)	C 1200	M.LT_BD_0000	579	4
BD5L6				H.S.			Silex	Débris	C 1200	M.LT_BD_0000	606	6
BD5L6				H.S.			Silex	Éclat cortical (fgt distal)	C 1200	NON RETROUVE		
BD5L6				H.S.			Silex	Débris	C 1200	M.LT_BD_0000	607	6
BD5L6				H.S.			Silex	Éclat	C 1200	M.LT_BD_0000	593	3
BD5L6				H.S.			Silex	Éclat cortical	C 1200	M.LT_BD_0000	584	3
BD6L5				LSJ			Silex	Biface	C 1200	M.LT_BD_4520		1
BD6L5				LSJ			Silex	Éclat de façonnage	C 1200	M.LT_BD_0000	589	2
BD6L5				LSJ			Silex	Éclat (fgt indéterminé)	C 1200	M.LT_BD_0000	595	4
BD6L5				LSJ			Silex	Éclat de façonnage	C 1200	M.LT_BD_0000	590	2
BD7L6				LSR			Silex	Éclat de façonnage	C 1200	M.LT_BD_0000	589	2
BD7L6				LSR			Silex	Éclat (fgt proximal)	C 1200	M.LT_BD_0000	628	11
BD7L6				LSR			Silex	Éclat de façonnage	C 1200	M.LT_BD_0000	589	2
BD6L6				LSJ			Silex	Éclat (fgt indéterminé)	C 1200	M.LT_BD_0000	596	2
BD6L6				LSJ			Silex	Éclat (fgt distal)	C 1200	M.LT_BD_0000	592	3
BD6L6				LSJ			Silex	Éclat cortical (fgt distal)	C 1200	NON RETROUVE		
BD3L5				LSR			Silex	Éclat cortical (fgt longitudinal)	C 1200	M.LT_BD_0000	578	4
BD9L4				SR			Silex	Éclat de façonnage	C 1200	M.LT_BD_0000	588	3
BD10L4				LSB			Silex	Éclat (fgt distal)	C 1200	M.LT_BD_0000	586	3
BD1L8 sud				SR			Silex	Éclat (fgt mésial)	C 1200	M.LT_BD_0000	588	3
BD1L8 sud				GR			Silex	Éclat (fgt distal)	C 1200	M.LT_BD_0000	592	3
BD1L8 sud				GR			Silex	Éclat	C 1200	M.LT_BD_0000	594	3
BD1L8 sud				GR			Silex	Éclat retouché (fgt indéterminé)	C 1200	M.LT_BD_0000	601	2
BD6L2/3				SR			Silex	Éclat de façonnage	C 1200	M.LT_BD_0000	590	2
BD6L2/3				SR			Silex	Éclat (fgt indéterminé)	C 1200	M.LT_BD_0000	649	4
BD4L10				LSJ			Silex	Débris	C 1200	M.LT_BD_0000	606	6
BD4L10				LSJ			Silex	Éclat (fgt mésial)	C 1200	M.LT_BD_0000	588	3
BD4L10				LSJ			Silex	Éclat de façonnage cortical	C 1200	M.LT_BD_0000	585	3
Déblais				H.S.			Silex	Éclat	C 1200	M.LT_BD_0000	585	3
BD5L5				LSBR			Silex	Éclat (fgt indéterminé)	C 1200	M.LT_BD_0000	596	2
BD5L5				LSBR			Silex	Éclat de façonnage	C 1200	M.LT_BD_0000	589	2
BD6L2/3				LSB			Silex	Débris	C 1200	M.LT_BD_0000	606	6
BD6L2/3							Silex	Éclat	C 1200	M.LT_BD_0000	599	2
BD6L2/3							Silex	Éclat (fgt proximal)	C 1200	M.LT_BD_0000	601	2
BD6L2/3							Silex	Éclat (fgt indéterminé)	C 1200	M.LT_BD_0000	595	4
BD8L2				GB			Silex	Éclat de façonnage (fgt proximal)	C 1200	M.LT_BD_0000	597	2
BD8L2				GB			Silex	Éclat (fgt distal)	C 1200	M.LT_BD_0000	586	3
BD8L2				LSB			Silex	Éclat cortical (fgt indéterminé)	C 1200	M.LT_BD_0000	580	3
BD8L2				LSB			Silex	Éclat (fgt indéterminé)	C 1200	M.LT_BD_0000	595	4
BD3L6				GR			Silex	Éclat (fgt indéterminé)	C 1200	M.LT_01_0000	611	7
BD3L6				GR			Silex	Débris	C 1200	M.LT_01_0000	611	7
BD3L6				GR			Silex	Éclat de façonnage	C 1200	M.LT_01_0000	613	7
BD3L6				GR			Silex	Éclat de façonnage Kombewa	C 1200	M.LT_01_0000	611	7
BD3L6				GR			Silex	Éclat (fgt distal)	C 1200	M.LT_01_0000	611	7
BD3L6				GR			Silex	Éclat (fgt indéterminé)	C 1200	M.LT_01_0000	611	7
Déblais				H.S.			Silex	Éclat (fgt distal)	C 1200	M.LT_BD_0000	586	3
Déblais				H.S.			Silex	Éclat de façonnage	C 1200	M.LT_BD_0000	589	2
Déblais				H.S.			Silex	Biface	C 1200	M.LT_BD_4561		1
BD7L6				H.S.			Silex	Éclat cortical	C 1200	M.LT_BD_0000	582	4
BD11L4				LSB			Silex	Éclat (fgt indéterminé)	C 1200	M.LT_BD_0000	596	2
BD11L4				LSB			Silex	Éclat cortical (fgt distal)	C 1200	M.LT_BD_0000	578	4
BD9L2				LSB			Silex	Gélifract	C 1200	M.LT_BD_0000	608	5

Zone Secteur	Carré	Sous-carré	N° de décapage	Unité Pédo-stratigraphique	Position	Repose sur face	Matériau	Descriptif détaillé	Parcelle	Code SRA	Réf. contenant POCHE	Réf. contenant CAISSE
BD1L9/L10				GR			Silex	Éclat de façonnage	C 1200	M.LT_BD_0000	589	2
BD10L2				GR			Silex	Éclat Kombewa	C 1200	M.LT_BD_0000	598	2
BD10L2				GR			Silex	Éclat (fgt indéterminé)	C 1200	M.LT_BD_0000	596	2
BD10L2				GR			Silex	Éclat de façonnage	C 1200	M.LT_BD_0000	590	2
BD2L6				GR			Silex	Éclat de façonnage	C 1200	M.LT_BD_0000	590	2
BD2L6				GR			Silex	Éclat (fgt mésial)	C 1200	M.LT_BD_0000	588	3
BD2L6				GR			Silex	Éclat cortical	C 1200	M.LT_BD_0000	580	3
BD2L6				GR			Silex	Éclat de façonnage	C 1200	M.LT_BD_0000	590	2
BD8L4				LSB			Silex	Éclat de façonnage	C 1200	M.LT_BD_0000	629	10
BD8L4				LSB			Silex	Éclat	C 1200	M.LT_BD_0000	629	10
BD8L4				LSB			Silex	Éclat cortical (fgt distal)	C 1200	M.LT_BD_0000	629	10
BD4L2/L3				GB/GR			Silex	Éclat de façonnage cortical	C 1200	M.LT_BD_0000	590	2
BD4L2/L3				GB/GR			Silex	Cupule de gel	C 1200	M.LT_BD_0000	609	6
BD4L2/L3				GB/GR			Silex	Éclat de coup de tranchet	C 1200	M.LT_BD_0000	598	2
BD9L2				GBR			Silex	Éclat (fgt indéterminé)	C 1200	M.LT_BD_0000	595	4
BD9L2				GBR			Silex	Éclat de façonnage	C 1200	M.LT_BD_0000	590	2
BD9L2				GBR			Silex	Éclat (fgt distal)	C 1200	M.LT_BD_0000	586	3
BD9L2				GBR			Silex	Éclat cortical (fgt longitudinal)	C 1200	M.LT_BD_0000	578	4
Déblais				H.S.			Silex	Nucléus multifacial	C 1200	M.LT_BD_0000	603	4
BD2L5				GR			Silex	Éclat de façonnage	C 1200	M.LT_BD_0000	590	2
BD2L7				LSJ			Silex	Gélifract	C 1200	M.LT_BD_0000	609	6
BD2L6				LSJ			Silex	Éclat (fgt mésial)	C 1200	M.LT_BD_0000	587	3
BD2L6				LSJ			Silex	Débris	C 1200	M.LT_BD_0000	606	6
BD2L6				GR			Silex	Éclat (fgt indéterminé)	C 1200	M.LT_BD_0000	595	4
BD2L6				GR			Silex	Éclat cortical	C 1200	M.LT_BD_0000	580	3
BD8L5				GR			Silex	Éclat	C 1200	M.LT_BD_0000	593	3
Déblais				H.S.			Silex	Nucléus mixte semi-tournant et gestion de surface non Levallois (fgt)	C 1200	M.LT_BD_0000	605	5
Déblais				H.S.			Silex	Éclat cortical	C 1200	M.LT_BD_0000	585	3
Déblais				H.S.			Silex	Éclat de façonnage (fgt proximal)	C 1200	M.LT_BD_0000	597	2
BD7L6				GR			Silex	Éclat de façonnage (fgt proximal)	C 1200	M.LT_BD_0000	597	2
BD7L6				GR			Silex	Éclat de façonnage	C 1200	M.LT_BD_0000	584	3
BD8L5				LSB/GR			Silex	Éclat (fgt proximal)	C 1200	M.LT_BD_0000	601	2
BD8L5				LSB/GR			Silex	Éclat cortical	C 1200	M.LT_BD_0000	585	3
BD8L5				LSB/GR			Silex	Biface (ébauche)	C 1200	M.LT_BD_4599		1
BD8L5				LSB/GR			Silex	Éclat (fgt indéterminé)	C 1200	M.LT_BD_0000	595	4
BD11L9				LSJ			Silex	Gélifract	C 1200	M.LT_BD_0000	608	5
BD9L8				LSJ			Silex	Éclat Kombewa	C 1200	M.LT_BD_0000	598	2
Déblais				H.S.			Silex	Nucléus indéterminé (fgt)	C 1200	M.LT_BD_0000	605	5
BD6L5				LSB			Silex	Gélifract	C 1200	M.LT_BD_0000	609	6
BD6L5				LSB			Silex	Éclat de façonnage	C 1200	M.LT_BD_0000	590	2
BD6L5				LSB			Silex	Éclat cortical (fgt proximal)	C 1200	M.LT_BD_0000	578	4
BD2L10				LSB			Silex	Éclat (fgt longitudinal)	C 1200	M.LT_BD_0000	587	3
CP08 base				GR			Silex	Éclat cortical (fgt distal)	C 1200	M.LT_BD_0000	641	2
CP08 base				GR			Silex	Éclat de façonnage cortical	C 1200	M.LT_BD_0000	641	2
CP08 base				GR			Silex	Éclat de façonnage cortical	C 1200	M.LT_BD_0000	641	2
CP08 base				GR			Silex	Éclat (fgt proximal)	C 1200	M.LT_BD_0000	625	10
CP08 base				GR			Silex	Éclat de façonnage	C 1200	M.LT_BD_0000	639	2
CP08 base				GR			Silex	Éclat cortical (fgt mésial)	C 1200	M.LT_BD_0000	639	2
CP08 base				GR			Silex	Éclat (fgt indéterminé)	C 1200	M.LT_BD_0000	639	2
CP08 base				GR			Silex	Éclat cortical (fgt proximal)	C 1200	M.LT_BD_0000	639	2
CP08 base				GR			Silex	Éclat (fgt distal)	C 1200	M.LT_BD_0000	639	2
CP Nord - zone fouille manuelle							Silex	Éclat de façonnage	C 1200	M.LT_BD_0000	640	2
CP Nord - zone fouille manuelle							Silex	Éclat (fgt indéterminé)	C 1200	M.LT_BD_0000	640	2
CP Nord - zone fouille manuelle							Silex	Éclat (fgt distal)	C 1200	M.LT_BD_0000	640	2
CP Nord - zone fouille manuelle							Silex	Éclat (fgt distal)	C 1200	M.LT_BD_0000	640	2
CP Nord - zone fouille manuelle							Silex	Éclat (fgt mésial)	C 1200	M.LT_BD_0000	640	2
CP Nord - zone fouille manuelle							Silex	Éclat (fgt distal)	C 1200	M.LT_BD_0000	640	2
CP Nord - zone fouille manuelle							Silex	Éclat (fgt indéterminé)	C 1200	M.LT_BD_0000	640	2
CP Nord - zone fouille manuelle							Silex	Éclat de façonnage	C 1200	M.LT_BD_0000	640	2
CP Nord - zone fouille manuelle							Silex	Éclat débordant	C 1200	M.LT_BD_4625		1
LOCUS 3	C6 66	b	2	LSB			Silex	Éclat de façonnage	C 1200	M.LT_03_0000	626	10
LOCUS 3	C6 66	b	2	LSB			Silex	Éclat (fgt distal)	C 1200	M.LT_03_0000	622	10
LOCUS 3	C6 66	b	2	LSB			Silex	Gélifract	C 1200	M.LT_03_0000	630	11
LOCUS 3	C6 77	c	2	LSB			Silex	Éclat (fgt indéterminé)	C 1200	M.LT_03_0000	629	10
LOCUS 3	C6 77	c	2	LSB			Silex	Éclat	C 1200	M.LT_03_0000	629	10
LOCUS 3	C6 77	c	2	LSB			Silex	Gélifract	C 1200	M.LT_03_0000	630	11
LOCUS 3	C6 67	b	2	LSB			Silex	Éclat (fgt distal)	C 1200	M.LT_03_0000	625	10
LOCUS 3	C6 67	b	2	LSB			Silex	Éclat (fgt mésial)	C 1200	M.LT_03_0000	624	10
LOCUS 3	C6 67	b	2	LSB			Silex	Éclat de façonnage	C 1200	M.LT_03_0000	622	10
LOCUS 3	C6 67	b	2	LSB			Silex	Éclat de façonnage	C 1200	M.LT_03_0000	621	10
LOCUS 3	C6 67	b	2	LSB			Silex	Éclat de façonnage	C 1200	M.LT_03_0000	623	11
LOCUS 3	C6 76	d	2	LSB			Silex	Débris	C 1200	M.LT_03_0000	630	11
LOCUS 3	C6 79	d	2	LSBR			Silex	Éclat (fgt mésial)	C 1200	M.LT_03_0000	624	10
LOCUS 3	C6 79	a	2	LSBR			Silex	Éclat cortical (fgt distal)	C 1200	M.LT_03_0000	619	11
LOCUS 3	C6 79	a	2	LSBR			Silex	Éclat (fgt mésial)	C 1200	M.LT_03_0000	624	10
LOCUS 3	C6 67	c	2	LSB			Silex	Éclat de façonnage	C 1200	M.LT_03_0000	625	10
LOCUS 3	C6 67	c	2	LSB			Silex	Éclat (fgt distal)	C 1200	M.LT_03_0000	628	11
LOCUS 3	C6 86	d	2	LSB			Silex	Gélifract	C 1200	M.LT_03_0000	630	11
LOCUS 3	C6 69	a	2	LSBR			Silex	Éclat de façonnage (fgt proximal)	C 1200	M.LT_03_0000	621	10
LOCUS 3	C6 76	a	2	LSB			Silex	Éclat (fgt longitudinal)	C 1200	M.LT_03_0000	624	10
LOCUS 3	C6 76	a	2	LSB			Silex	Éclat de façonnage	C 1200	M.LT_03_0000	621	10
LOCUS 3	C6 76	b	2	LSB			Silex	Éclat (fgt distal)	C 1200	M.LT_03_0000	627	10
LOCUS 3	C6 76	b	2	LSB			Silex	Éclat (fgt indéterminé)	C 1200	M.LT_03_0000	624	10
LOCUS 3	C6 76	b	2	LSB			Silex	Éclat de façonnage	C 1200	M.LT_03_0000	622	10
LOCUS 3	C6 86	b	2	LSB			Silex	Éclat de façonnage	C 1200	M.LT_03_0000	623	11
LOCUS 3	C6 86	b	2	LSB			Silex	Éclat de façonnage	C 1200	M.LT_03_0000	626	10
LOCUS 3	C6 86	b	2	LSB			Silex	Éclat de façonnage (fgt proximal)	C 1200	M.LT_03_0000	627	10
LOCUS 3	C6 76	c	2	LSB			Silex	Éclat Kombewa	C 1200	M.LT_03_0000	647	10
LOCUS 3	C6 76	c	2	LSB			Silex	Éclat (fgt mésial)	C 1200	M.LT_03_0000	629	10
LOCUS 3	C6 76	c	2	LSB			Silex	Éclat cortical (fgt proximal)	C 1200	M.LT_03_0000	620	10
LOCUS 3	C6 76	c	2	LSB			Silex	Éclat (fgt distal)	C 1200	M.LT_03_0000	625	10
LOCUS 3	C6 67	a	2	LSB			Silex	Éclat de façonnage	C 1200	M.LT_03_0000	621	10
LOCUS 3	C6 67	a	2	LSB			Silex	Éclat (fgt distal)	C 1200	M.LT_03_0000	625	10
LOCUS 3	C6 67	a	2	LSB			Silex	Éclat	C 1200	M.LT_03_0000	626	10
LOCUS 3	C6 67	a	2	LSB			Silex	Éclat de façonnage	C 1200	M.LT_03_0000	621	10
LOCUS 3	C6 67	a	2	LSB			Silex	Éclat de façonnage cortical	C 1200	M.LT_03_0000	620	10
LOCUS 3	C6 67	a	2	LSB			Silex	Éclat (fgt distal)	C 1200	M.LT_03_0000	627	10
LOCUS 3	C6 67	a	2	LSB			Silex	Éclat Levallois	C 1200	M.LT_03_4664		10
LOCUS 3	C6 67	a	2	LSB			Silex	Éclat (fgt proximal)	C 1200	M.LT_03_0000	628	11
LOCUS 3	C6 66	c	2	LSB			Silex	Éclat (fgt proximal)	C 1200	M.LT_03_0000	628	11
LOCUS 3	C6 66	c	2	LSB			Silex	Éclat de façonnage (fgt proximal)	C 1200	M.LT_03_0000	622	10
BD2L6				GR			Silex	Éclat (fgt distal)	C 1200	M.LT_BD_0000	586	3
BD2L6				GR			Silex	Éclat de façonnage	C 1200	M.LT_BD_0000	584	3
BD2L6				GR			Silex	Éclat de façonnage (fgt proximal)	C 1200	M.LT_BD_0000	585	3
LOCUS 3				LSBR			Silex	Éclat de façonnage	C 1200	M.LT_03_0000	629	10
LOCUS 3				LSR			Silex	Éclat (fgt distal)	C 1200	M.LT_03_0000	627	10
LOCUS 3				LSR			Silex	Éclat (fgt indéterminé)	C 1200	M.LT_03_0000	624	10
LOCUS 3				LSR			Silex	Éclat (fgt indéterminé)	C 1200	M.LT_03_0000	624	10

Zone Secteur	Carré	Sous-carré	N° de décapage	Unité Pédo-stratigraphique	Position	Repose sur face	Matériau	Descriptif détaillé	Parcelle	Code SRA	Réf. contenant POCHE	Réf. contenant CAISSE
LOCUS 3				SR			Silex	Éclat	C 1200	M.LT_03_0000	629	10
LOCUS 3				SR			Silex	Éclat (fgt proximal)	C 1200	M.LT_03_0000	625	10
LOCUS 3				SR			Silex	Éclat de façonnage	C 1200	M.LT_03_0000	623	11
LOCUS 3				SR			Silex	Éclat cortical (fgt mésial)	C 1200	M.LT_03_0000	620	10
LOCUS 3				GR			Silex	Éclat de façonnage	C 1200	M.LT_03_0000	621	10
LOCUS 3				GR			Silex	Éclat de façonnage	C 1200	M.LT_03_0000	625	10
LOCUS 3				GR			Silex	Éclat (fgt longitudinal)	C 1200	M.LT_03_0000	624	10
LOCUS 3				GR			Silex	Éclat de façonnage	C 1200	M.LT_03_0000	622	10
LOCUS 3				GR			Silex	Éclat de façonnage	C 1200	M.LT_03_0000	622	10
LOCUS 3				GR			Silex	Éclat	C 1200	M.LT_03_0000	626	10
LOCUS 3				GR			Silex	Éclat (fgt distal)	C 1200	M.LT_03_0000	627	10
LOCUS 3				GR			Silex	Éclat de façonnage (fgt proximal)	C 1200	M.LT_03_0000	628	11
LOCUS 3				GR			Silex	Éclat de façonnage (fgt proximal)	C 1200	M.LT_03_0000	628	11
LOCUS 3				GR			Silex	Éclat (fgt indéterminé)	C 1200	M.LT_03_0000	624	10
LOCUS 3				GR			Silex	Éclat (fgt proximal)	C 1200	M.LT_03_0000	626	10
LOCUS 3				LSBR			Silex	Eclat de façonnage (fgt proximal)	C 1200	M.LT_03_0000	628	11
LOCUS 3				LSBR			Silex	Éclat de façonnage	C 1200	M.LT_03_0000	623	11
LOCUS 3				LSBR			Silex	Éclat (fgt indéterminé)	C 1200	M.LT_03_0000	622	10
LOCUS 3				LSBR			Silex	Éclat	C 1200	M.LT_03_0000	626	10
LOCUS 3				LSBR			Silex	Éclat cortical	C 1200	M.LT_03_0000	619	11
LOCUS 3				LSBR			Silex	Eclat de façonnage (fgt proximal)	C 1200	M.LT_03_0000	627	10
LOCUS 3				LSBR			Silex	Éclat de façonnage	C 1200	M.LT_03_0000	621	10
LOCUS 3	C6 18	c	5	LSBR/GR			Silex	Gélifract	C 1200	M.LT_03_0000	630	11
LOCUS 3	C6 18	c	5	LSBR/GR			Silex	Éclat de façonnage cortical	C 1200	M.LT_03_0000	619	11
LOCUS 3	C6 18	c	5	LSBR/GR			Silex	Éclat de façonnage	C 1200	M.LT_03_0000	622	10
LOCUS 3	C6 18	c	5	LSBR/GR			Silex	Débris	C 1200	M.LT_03_0000	630	11
LOCUS 3	C6 18	c	5	LSBR/GR			Silex	Gélifract	C 1200	M.LT_03_0000	630	11
LOCUS 3	C6 18	c	5	LSBR/GR			Silex	Éclat de coup de tranchet	C 1200	M.LT_03_0000	647	10
LOCUS 3	C6 18	c	5	LSBR/GR			Silex	Éclat de façonnage	C 1200	M.LT_03_0000	622	10
LOCUS 3	C6 18	c	5	LSBR/GR			Silex	Éclat de façonnage	C 1200	M.LT_03_0000	621	10
LOCUS 3	C6 18	c	5	LSBR/GR			Silex	Éclat (fgt distal)	C 1200	M.LT_03_0000	627	10
LOCUS 3	C6 18	c	5	LSBR/GR			Silex	Éclat de façonnage	C 1200	M.LT_03_0000	622	10
LOCUS 3	C6 18	c	6	LSBR/LSR			Silex	Éclat de façonnage	C 1200	M.LT_03_0000	625	10
LOCUS 3	C6 18	c	6	LSBR/LSR			Silex	Éclat (fgt distal)	C 1200	M.LT_03_0000	624	10
LOCUS 3	C6 18	c	6	LSBR/LSR			Silex	Éclat (fgt indéterminé)	C 1200	M.LT_03_0000	624	10
LOCUS 3	C6 18	c	6	LSBR/LSR			Silex	Éclat de façonnage	C 1200	M.LT_03_0000	623	11
LOCUS 3	C6 18	c	1	LSB			Silex	Éclat cortical (fgt distal)	C 1200	M.LT_03_0000	620	10
LOCUS 3	C6 18	c	1	LSB			Silex	Éclat (fgt proximal)	C 1200	M.LT_03_0000	626	10
LOCUS 3	C6 18	c	1	LSB			Silex	Éclat (fgt distal)	C 1200	M.LT_03_0000	628	11
LOCUS 3	C6 18	c	1	LSB			Silex	Éclat cortical	C 1200	M.LT_03_0000	620	10
LOCUS 3	C6 18	c	1	LSB			Silex	Éclat (fgt indéterminé)	C 1200	M.LT_03_0000	624	10
LOCUS 3	C6 18	c	2	LSB			Silex	Éclat cortical	C 1200	M.LT_03_0000	626	10
LOCUS 3	C6 18	c	2	LSB			Silex	Eclat cortical (fgt distal)	C 1200	M.LT_03_0000	629	10
LOCUS 3	C6 18	c	2	LSB			Silex	Éclat de façonnage	C 1200	M.LT_03_0000	622	10
LOCUS 3	C6 18	c	2	LSB			Silex	Éclat	C 1200	M.LT_03_0000	622	10
LOCUS 3	C6 18	c	2	LSB			Silex	Éclat (fgt mésial)	C 1200	M.LT_03_0000	623	11
LOCUS 3	C6 18	c	3	LSB			Silex	Éclat cortical (fgt distal)	C 1200	M.LT_03_0000	619	11
LOCUS 3	C6 18	c	3	LSB			Silex	Bloc brut (fgt)	C 1200	M.LT_03_0000	630	11
LOCUS 3	C6 18	c	3	LSB			Silex	Éclat cortical	C 1200	M.LT_03_0000	619	11
LOCUS 3	C6 18	c	3	LSB			Silex	Éclat de façonnage cortical	C 1200	M.LT_03_0000	620	10
LOCUS 3	C6 18	c	3	LSB			Silex	Biface (fgt)	C 1200	M.LT_03_0000	630	11
LOCUS 3	C6 18	c	3	LSB			Silex	Biface (fgt)	C 1200	M.LT_03_0000	630	11
LOCUS 3	C6 18	c	3	LSB			Silex	Biface (fgt)	C 1200	M.LT_03_0000	629	10
LOCUS 3	C6 18	c	3	LSB			Silex	Éclat Kombewa	C 1200	M.LT_03_0000	647	10
LOCUS 3	C6 18	c	4	LSB/GB/GR			Silex	Éclat de façonnage cortical	C 1200	M.LT_03_0000	625	10
LOCUS 3	C6 18	c	4	LSB/GB/GR			Silex	Éclat	C 1200	M.LT_03_0000	629	10
LOCUS 3	C6 18	c	4	LSB/GB/GR			Silex	Éclat de façonnage	C 1200	M.LT_03_0000	621	10
LOCUS 3	C6 18	c	4	LSB/GB/GR			Silex	Éclat de façonnage	C 1200	M.LT_03_0000	621	10
LOCUS 3	C6 18	c	4	LSB/GB/GR			Silex	Racloir alterne	C 1200	M.LT_03_4734		10
LOCUS 3	C6 18	c	4	LSB/GB/GR			Silex	Éclat cortical (fgt proximal)	C 1200	M.LT_03_0000	620	10
LOCUS 3	C6 18	c	4	LSB/GB/GR			Silex	Éclat cortical (fgt distal)	C 1200	M.LT_03_0000	620	10
LOCUS 3	C6 18	c	4	LSB/GB/GR			Silex	Racloir simple	C 1200	M.LT_03_4737		10
LOCUS 3	C6 18	c	4	LSB/GB/GR			Silex	Éclat de façonnage cortical	C 1200	M.LT_03_0000	623	11
LOCUS 3	C6 18	c	4	LSB/GB/GR			Silex	Débris	C 1200	M.LT_03_0000	630	11
LOCUS 3	C6 18	c	4	LSB/GB/GR			Silex	Éclat cortical (fgt proximal)	C 1200	M.LT_03_0000	619	11
LOCUS 3	C6 18	c	4	LSB/GB/GR			Silex	Éclat de façonnage	C 1200	M.LT_03_0000	621	10
LOCUS 3	C6 18	c	4	LSB/GB/GR			Silex	Éclat de coup de tranchet	C 1200	M.LT_03_0000	647	10
LOCUS 3	C6 18	c	4	LSB/GB/GR			Silex	Eclat Levallois	C 1200	M.LT_03_4743		10
LOCUS 3	C6 18	c	4	LSB/GB/GR			Silex	Éclat cortical (fgt distal)	C 1200	M.LT_03_0000	620	10
LOCUS 3	C6 18	c	4	LSB/GB/GR			Silex	Racloir sur face plane	C 1200	M.LT_03_4745		10
LOCUS 3	C6 18	c	4	LSB/GB/GR			Silex	Éclat de façonnage	C 1200	M.LT_03_0000	623	11
LOCUS 3	C6 18	c	4	LSB/GB/GR			Silex	Éclat de façonnage	C 1200	M.LT_03_0000	626	10
LOCUS 3	C6 18	c	4	LSB/GB/GR			Silex	Éclat de façonnage	C 1200	M.LT_03_0000	621	10
LOCUS 3	C6 18	c	4	LSB/GB/GR			Silex	Débris	C 1200	M.LT_03_0000	630	11
LOCUS 3	C6 18	c	4	LSB/GB/GR			Silex	Éclat (fgt indéterminé)	C 1200	M.LT_03_0000	629	10
LOCUS 3	C6 18	c	4	LSB/GB/GR			Silex	Éclat (fgt indéterminé)	C 1200	M.LT_03_0000	624	10
LOCUS 3	C6 18	c	4	LSB/GB/GR		625	Silex	Éclat de façonnage	C 1200	M.LT_03_0000	622	10
LOCUS 3	C6 18	c	4	LSB/GB/GR			Silex	Éclat	C 1200	M.LT_03_0000	626	10
LOCUS 3	C6 18	c	4	LSB/GB/GR			Silex	Éclat (fgt proximal)	C 1200	M.LT_03_0000	625	10
LOCUS 3	C6 18	c	4	LSB/GB/GR			Silex	Éclat	C 1200	M.LT_03_0000	626	10
LOCUS 3	C6 38	c	9	LSR/SR			Silex	Éclat de façonnage	C 1200	M.LT_03_0000	622	10
LOCUS 3	C6 38	c	5	LSB/LSBR			Silex	Éclat (fgt distal)	C 1200	M.LT_03_0000	625	10
LOCUS 3	C6 38	c	5	LSB/LSBR			Silex	Éclat cortical (fgt proximal)	C 1200	M.LT_03_0000	619	11
LOCUS 3	C6 38	c	5	LSB/LSBR			Silex	Éclat (fgt mésial)	C 1200	M.LT_03_0000	624	10
LOCUS 3	C6 38	c	5	LSB/LSBR			Silex	Éclat (fgt distal)	C 1200	M.LT_03_0000	627	10
LOCUS 3	C6 38	c	5	LSB/LSBR			Silex	Éclat de façonnage cortical	C 1200	M.LT_03_0000	622	10
LOCUS 3				SR			Silex	Éclat de façonnage	C 1200	M.LT_03_0000	621	10
LOCUS 3				SR			Silex	Éclat cortical (fgt longitudinal)	C 1200	M.LT_03_0000	624	10
LOCUS 3				SR			Silex	Éclat de façonnage	C 1200	M.LT_03_0000	647	10
LOCUS 3	C6 38	c	4	LSB/LSBR			Silex	Éclat (fgt distal)	C 1200	M.LT_03_0000	627	10
LOCUS 3	C6 38	c	4	LSB/LSBR			Silex	Éclat (fgt indéterminé)	C 1200	M.LT_03_0000	624	10
LOCUS 3	C6 38	c	3	LSB			Silex	Éclat (fgt distal)	C 1200	M.LT_03_0000	627	10
LOCUS 3	C6 38	c	3	LSB			Silex	Éclat	C 1200	M.LT_03_0000	629	10
LOCUS 3	C6 58	c	8	LSBR			Silex	Racloir à retouche biface	C 1200	M.LT_03_4769		10
LOCUS 3	C6 58	c	8	LSBR			Silex	Racloir simple	C 1200	M.LT_03_4770		10
LOCUS 3	C6 58	c	8	LSBR			Silex	Éclat de façonnage cortical	C 1200	M.LT_03_0000	619	11
LOCUS 3	C6 38	c	8	LSR			Silex	Éclat (fgt distal)	C 1200	M.LT_03_0000	625	10
LOCUS 3	C6 38	c	8	LSR			Silex	Éclat de façonnage cortical	C 1200	M.LT_03_0000	619	11
LOCUS 3	C6 36	c	8	LSBR			Silex	Éclat (fgt mésial)	C 1200	M.LT_03_0000	624	10
LOCUS 3	C6 36	c	3	LSB			Silex	Éclat cortical	C 1200	M.LT_03_0000	620	10
LOCUS 3	C6 36	c	3	LSB			Silex	Gélifract	C 1200	M.LT_03_0000	630	11
LOCUS 3	C6 36	c	3	LSB			Silex	Éclat (fgt longitudinal)	C 1200	M.LT_03_0000	629	10
LOCUS 3	C6 36	c	3	LSB			Silex	Éclat de façonnage (fgt proximal)	C 1200	M.LT_03_0000	628	11
LOCUS 3	C6 58	c	9	LSBR/SR			Silex	Éclat (fgt mésial)	C 1200	M.LT_03_0000	624	10
LOCUS 3	C6 58	c	9	LSBR/SR			Silex	Éclat de façonnage	C 1200	M.LT_03_4780		10
LOCUS 3	C6 58	c	9	LSBR/SR			Silex	Éclat	C 1200	M.LT_03_0000	623	11
LOCUS 3	C6 36	c	9	LSBR			Silex	Éclat cortical	C 1200	M.LT_03_0000	620	10
LOCUS 3	C6 36	c	9	LSBR			Silex	Éclat (fgt distal)	C 1200	M.LT_03_0000	625	10
LOCUS 3	C6 36	c	6	LSBR			Silex	Éclat (fgt longitudinal)	C 1200	M.LT_03_0000	622	10
LOCUS 3	C6 36	c	6	LSBR			Silex	Débris	C 1200	M.LT_03_0000	630	11
LOCUS 3	C6 36	c	6	LSBR			Silex	Éclat	C 1200	M.LT_03_0000	623	11
LOCUS 3	C6 36	c	6	LSBR			Silex	Éclat de façonnage	C 1200	M.LT_03_0000	622	10
LOCUS 3	C6 36	c	5	LSB			Silex	Éclat cortical (fgt proximal)	C 1200	M.LT_03_0000	646	10
LOCUS 3	C6 36	c	5	LSB			Silex	Éclat (fgt distal)	C 1200	M.LT_03_0000	627	10
LOCUS 3	C6 36	c	5	LSB			Silex	Éclat	C 1200	M.LT_03_0000	629	10
LOCUS 3	C6 36	c	5	LSB			Silex	Éclat (fgt distal)	C 1200	M.LT_03_0000	627	10
LOCUS 3	C6 36	c	5	LSB			Silex	Éclat	C 1200	M.LT_03_0000	626	10
LOCUS 3	C6 36	c	5	LSB			Silex	Débris	C 1200	M.LT_03_0000	630	11
LOCUS 3	C6 36	c	4	LSB			Silex	Éclat (fgt indéterminé)	C 1200	M.LT_03_0000	629	10
LOCUS 3	C6 36	c	4	LSB			Silex	Eclat cortical (fgt longitudinal)	C 1200	M.LT_03_0000	624	10
LOCUS 3	C6 36	c	4	LSB			Silex	Éclat (fgt mésial)	C 1200	M.LT_03_0000	624	10
LOCUS 3	C6 36	c	4	LSB			Silex	Éclat de façonnage	C 1200	M.LT_03_0000	623	11
LOCUS 3	C6 58	c	6	LSBR			Silex	Éclat de façonnage (fgt proximal)	C 1200	M.LT_03_0000	627	10
LOCUS 3	C6 58	c	6	LSBR			Silex	Éclat de coup de tranchet	C 1200	M.LT_03_0000	647	10
LOCUS 3	C6 58	c	2	LSB			Silex	Éclat cortical (fgt mésial)	C 1200	M.LT_03_0000	629	10
LOCUS 3	C6 58	c	2	LSB			Silex	Éclat cortical	C 1200	M.LT_03_0000	620	10
LOCUS 3	C6 58	c	2	LSB			Silex	Éclat de façonnage (fgt proximal)	C 1200	M.LT_03_0000	628	11

Zone Secteur	Carré	Sous-carré	N° de décapage	Unité Pédo-stratigraphique	Position	Repose sur face	Matériau	Descriptif détaillé	Parcelle	Code SRA	Réf. contenant POCHE	Réf. contenant CAISSE
LOCUS 3	C6 58	c	2	LSB			Silex	Éclat de façonnage	C 1200	M.LT_03_0000	622	10
LOCUS 3	C6 58	c	4	LSB			Silex	Denticulé	C 1200	M.LT_03_4804		10
LOCUS 3	C6 58	c	4	LSB			Silex	Éclat de façonnage	C 1200	M.LT_03_0000	622	10
LOCUS 3	C6 58	c	4	LSB			Silex	Eclat cortical	C 1200	M.LT_03_0000	624	10
LOCUS 3	C6 58	c	4	LSB			Silex	Éclat de façonnage cortical	C 1200	M.LT_03_0000	623	11
LOCUS 3	C6 58	c	4	LSB			Silex	Éclat	C 1200	M.LT_03_0000	623	11
LOCUS 3	C6 58	c	4	LSB			Silex	Éclat de façonnage	C 1200	M.LT_03_0000	621	10
LOCUS 3	C6 58	c	4	LSB			Silex	Éclat de façonnage (fgt proximal)	C 1200	M.LT_03_0000	627	10
LOCUS 3	C6 58	c	1	LSB			Silex	Biface	C 1200	M.LT_03_4811		10
CP08				LSB			Silex	Éclat (fgt proximal)	C 1200	M.LT_02_0000	616	8
CP08				LSB			Silex	Éclat	C 1200	M.LT_02_0000	617	8
LOCUS 3	C6 58	c	5	LSBR			Silex	Éclat	C 1200	M.LT_03_0000	629	10
LOCUS 3	C6 58	c	5	LSBR			Silex	Éclat	C 1200	M.LT_03_0000	629	10
LOCUS 3	C6 58	c	5	LSBR			Silex	Éclat de façonnage	C 1200	M.LT_03_0000	621	10
LOCUS 3	C6 58	c	5	LSBR			Silex	Débris	C 1200	M.LT_03_0000	630	11
LOCUS 3	C6 58	c	5	LSBR			Silex	Éclat de façonnage	C 1200	M.LT_03_0000	626	10
LOCUS 3	C6 58	c	5	LSBR			Silex	Éclat (fgt longitudinal)	C 1200	M.LT_03_0000	624	10
LOCUS 3	C6 58	c	5	LSBR			Silex	Éclat de façonnage	C 1200	M.LT_03_0000	626	10
LOCUS 3	C6 58	c	5	LSBR			Silex	Éclat cortical (fgt indéterminé)	C 1200	M.LT_03_0000	620	10
LOCUS 3	C6 58	c	7	LSBR			Silex	Gélifract	C 1200	M.LT_03_0000	630	11
LOCUS 3	C6 58	c	7	LSBR			Silex	Éclat cortical (fgt distal)	C 1200	M.LT_03_0000	620	10
LOCUS 3	C6 58	c	7	LSBR			Silex	Uniface	C 1200	M.LT_03_4824		10
LOCUS 3	C6 58	c	7	LSBR			Silex	Éclat (fgt proximal)	C 1200	M.LT_03_4825		10
LOCUS 3	C6 58	c	7	LSBR			Silex	Eclat cortical	C 1200	M.LT_03_0000	620	10
LOCUS 3	C6 58	c	7	LSBR			Silex	Éclat de façonnage (fgt proximal)	C 1200	M.LT_03_0000	627	10
LOCUS 3	C6 58	c	7	LSBR			Silex	Éclat de façonnage	C 1200	M.LT_03_0000	623	11
CP08				LSBR			Silex	Éclat de façonnage	C 1200	M.LT_02_0000	615	8
CP08				LSBR			Silex	Éclat cortical (fgt proximal)	C 1200	M.LT_02_0000	614	8
CP08				LSBR			Silex	Éclat (fgt distal)	C 1200	M.LT_02_0000	617	8
LOCUS 3	C6 49	c	9	LSBR			Silex	Éclat cortical (fgt proximal)	C 1200	M.LT_03_0000	619	11
LOCUS 3	C6 49	c	9	LSBR			Silex	Éclat de façonnage cortical	C 1200	M.LT_03_0000	619	11
LOCUS 3	C6 38	c	1	LSB			Silex	Éclat cortical (fgt indéterminé)	C 1200	M.LT_03_0000	629	10
LOCUS 3	C6 38	c	1	LSB			Silex	Débris	C 1200	M.LT_03_0000	630	11
LOCUS 3	C6 38	c	1	LSB			Silex	Éclat (fgt distal)	C 1200	M.LT_03_0000	627	10
LOCUS 3	C6 36	c	1	LSB			Silex	Éclat (fgt indéterminé)	C 1200	M.LT_03_0000	624	10
LOCUS 3	C6 36	c	1	LSB			Silex	Éclat cortical	C 1200	M.LT_03_0000	620	10
LOCUS 3	C6 36	c	1	LSB			Silex	Débris	C 1200	M.LT_03_0000	630	11
LOCUS 3	C6 58	c	3	LSB			Silex	Éclat (fgt distal)	C 1200	M.LT_03_0000	627	10
LOCUS 3	C6 58	c	3	LSB			Silex	Éclat (fgt distal)	C 1200	M.LT_03_0000	627	10
LOCUS 3	C6 58	c	3	LSB			Silex	Éclat (fgt proximal)	C 1200	M.LT_03_0000	628	11
LOCUS 3	C6 58	c	3	LSB			Silex	Éclat de façonnage	C 1200	M.LT_03_0000	623	11
LOCUS 3	C6 58	c	3	LSB			Silex	Biface (fgt)	C 1200	M.LT_03_4844		10
LOCUS 3	C6 58	c	3	LSB			Silex	Éclat cortical (fgt mésial)	C 1200	M.LT_03_0000	619	11
LOCUS 3	C6 58	c	3	LSB			Silex	Éclat de façonnage	C 1200	M.LT_03_0000	626	10
LOCUS 3	C6 38	d	nettoyage surface	LSB			Silex	Éclat de façonnage	C 1200	M.LT_03_0000	621	10
LOCUS 3	C6 38	d	nettoyage surface	LSB			Silex	Éclat (fgt indéterminé)	C 1200	M.LT_03_0000	623	11
LOCUS 3	C6 49	c	6	LSBR			Silex	Éclat de façonnage cortical	C 1200	M.LT_03_0000	621	10
LOCUS 3	C6 56	b	nettoyage surface	LSB			Silex	Éclat de façonnage	C 1200	M.LT_03_0000	623	11
LOCUS 3	C6 36	b	nettoyage surface	LSB			Silex	Éclat de façonnage	C 1200	M.LT_03_0000	621	10
LOCUS 3	C6 64	d	nettoyage surface	LSB			Silex	Encoche	C 1200	M.LT_03_4852		10
LOCUS 3	C6 47	c	9	LSBR			Silex	Éclat de façonnage (fgt proximal)	C 1200	M.LT_03_0000	622	10
LOCUS 3	C6 37	b	nettoyage surface	LSB			Silex	Éclat (fgt indéterminé)	C 1200	M.LT_03_0000	624	10
LOCUS 3	C6 47	c	1	LSB			Silex	Éclat cortical (fgt mésial)	C 1200	M.LT_03_0000	620	10
LOCUS 3	C6 58	d	nettoyage surface	LSB			Silex	Éclat (fgt indéterminé)	C 1200	M.LT_03_0000	624	10
LOCUS 3	C6 58	d	nettoyage surface	LSB			Silex	Éclat (fgt mésial)	C 1200	M.LT_03_0000	624	10
LOCUS 3	C6 26	c	nettoyage surface	LSB			Silex	Éclat cortical (fgt indéterminé)	C 1200	M.LT_03_0000	620	10
LOCUS 3	C6 47	c	2	LSB			Silex	Gélifract	C 1200	M.LT_03_0000	630	11
LOCUS 3	C6 47	c	2	LSB			Silex	Débris	C 1200	M.LT_03_0000	630	11
LOCUS 3	C6 47	c	3	LSB			Silex	Éclat (fgt mésial)	C 1200	M.LT_03_0000	624	10
LOCUS 3	C6 47	c	3	LSB			Silex	Éclat de façonnage (fgt proximal)	C 1200	M.LT_03_0000	622	10
LOCUS 3	C6 47	c	3	LSB			Silex	Éclat de façonnage	C 1200	M.LT_03_0000	623	11
LOCUS 3	C6 47	c	3	LSB			Silex	Éclat (fgt indéterminé)	C 1200	M.LT_03_0000	629	10
LOCUS 3	C6 47	c	3	LSB			Silex	Éclat cortical (fgt indéterminé)	C 1200	M.LT_03_0000	619	11
LOCUS 3	C6 47	c	3	LSB			Silex	Gélifract	C 1200	M.LT_03_4866		10
LOCUS 3	C6 47	c	8	LSBR			Silex	Éclat de façonnage cortical	C 1200	M.LT_03_0000	623	11
LOCUS 3	C6 49	c	2	LSB			Silex	Éclat cortical (fgt distal)	C 1200	M.LT_03_0000	621	10
LOCUS 3	C6 49	c	2	LSB			Silex	Éclat de façonnage	C 1200	M.LT_03_0000	623	11
LOCUS 3	C6 47	c	5	LSB/LSBR			Silex	Éclat cortical	C 1200	M.LT_03_0000	620	10
LOCUS 3	C6 47	c	5	LSB/LSBR			Silex	Éclat (fgt distal)	C 1200	M.LT_03_0000	621	10
LOCUS 3	C6 47	c	5	LSB/LSBR			Silex	Éclat de façonnage cortical	C 1200	M.LT_03_0000	619	11
LOCUS 3	C6 47	c	5	LSB/LSBR			Silex	Éclat cortical	C 1200	M.LT_03_0000	620	10
LOCUS 3	C6 47	c	5	LSB/LSBR			Silex	Eclat	C 1200	M.LT_03_0000	623	11
LOCUS 3	C6 56	c	4	LSB			Silex	Éclat de façonnage (fgt proximal)	C 1200	M.LT_03_0000	627	10
LOCUS 3	C6 56	c	4	LSB			Silex	Éclat de façonnage	C 1200	M.LT_03_0000	621	10
LOCUS 3	C6 56	c	6	LSBR			Silex	Éclat (fgt indéterminé)	C 1200	M.LT_03_0000	624	10
LOCUS 3	C6 07	c	4	LSB			Silex	Gélifract	C 1200	M.LT_03_0000	630	11
LOCUS 3	C6 09	c	2	LSB			Silex	Gélifract	C 1200	M.LT_03_0000	630	11
LOCUS 3	C6 09	c	2	LSB			Silex	Éclat (fgt longitudinal)	C 1200	M.LT_03_0000	629	10
LOCUS 3	C6 09	c	5	GB			Silex	Éclat de façonnage	C 1200	M.LT_03_0000	621	10
LOCUS 3	C6 09	c	5	GB			Silex	Éclat (fgt indéterminé)	C 1200	M.LT_03_0000	629	10
LOCUS 3	C6 09	c	5	GB			Silex	Éclat de façonnage	C 1200	M.LT_03_0000	623	11
LOCUS 3	C6 09	c	5	GB			Silex	Éclat (fgt proximal)	C 1200	M.LT_03_0000	628	11
LOCUS 3	C6 09	c	5	GB			Silex	Éclat	C 1200	M.LT_03_0000	626	10
LOCUS 3	C6 09	c	5	GB			Silex	Éclat cortical (fgt distal)	C 1200	M.LT_03_0000	620	10
LOCUS 3	C6 09	c	5	GB			Silex	Éclat de façonnage cortical	C 1200	M.LT_03_0000	626	10
LOCUS 3	C6 09	c	5	GB			Silex	Éclat de façonnage	C 1200	M.LT_03_0000	626	10
LOCUS 3	C6 09	c	6	GBR/LSBR			Silex	Éclat cortical	C 1200	M.LT_03_0000	619	11
LOCUS 3	C6 09	c	6	GBR/LSBR			Silex	Éclat (fgt distal)	C 1200	M.LT_03_0000	628	11
LOCUS 3	C6 09	c	6	GBR/LSBR			Silex	Éclat (fgt distal)	C 1200	M.LT_03_0000	627	10
LOCUS 3	C6 09	c	6	GBR/LSBR			Silex	Éclat (fgt indéterminé)	C 1200	M.LT_03_0000	624	10
LOCUS 3	C6 09	c	6	GBR/LSBR			Silex	Éclat cortical	C 1200	M.LT_03_0000	620	10
LOCUS 3	C6 09	c	3	LSB			Silex	Éclat de façonnage	C 1200	M.LT_03_0000	621	10
LOCUS 3	C6 09	c	3	LSB			Silex	Éclat de façonnage	C 1200	M.LT_03_0000	621	10
LOCUS 3	C6 09	c	3	LSB			Silex	Éclat de façonnage	C 1200	M.LT_03_0000	625	10
LOCUS 3	C6 09	c	3	LSB			Silex	Éclat de façonnage	C 1200	M.LT_03_0000	621	10
LOCUS 3	C6 09	c	3	LSB			Silex	Éclat Levallois	C 1200	M.LT_03_0000	646	10
LOCUS 3	C6 09	c	3	LSB			Silex	Éclat de façonnage	C 1200	M.LT_03_0000	623	11
LOCUS 3	C6 09	c	2	LSB			Silex	Gélifract	C 1200	M.LT_03_0000	630	11
LOCUS 3	C6 09	c	2	LSB			Grès quartzite	Plaquette brute (fgt)	C 1200	M.LT_03_0000	630	11
LOCUS 3	C6 09	c	2	LSB			Silex	Bloc brut (fgt)	C 1200	M.LT_03_0000	630	11
LOCUS 3	C6 09	c	1	LSB			Grès quartzite	Plaquette brute (fgt)	C 1200	M.LT_03_0000	630	11
LOCUS 3	C6 09	c	1	LSB			Silex	Éclat	C 1200	M.LT_03_0000	622	10
LOCUS 3	C6 09	c	1	LSB			Silex	Éclat (fgt indéterminé)	C 1200	M.LT_03_0000	624	10
LOCUS 3	C6 09	c	1	LSB			Silex	Éclat de façonnage (fgt proximal)	C 1200	M.LT_03_0000	628	11
LOCUS 3	C6 09	c	1	LSB			Silex	Éclat (fgt indéterminé)	C 1200	M.LT_03_0000	624	10
LOCUS 3	C6 09	c	1	LSB			Silex	Éclat (fgt longitudinal)	C 1200	M.LT_03_0000	624	10
LOCUS 3	C6 16	c	1	LSB			Silex	Éclat cortical (fgt distal)	C 1200	M.LT_03_0000	625	10
LOCUS 3	C6 16	c	1	LSB			Céramique	Tesson	C 1200	M.CP_03_4910		6
LOCUS 3	C6 16	c	1	LSB			Silex	Eclat (fgt distal)	C 1200	M.LT_03_0000	625	10
LOCUS 3	C6 16	c	1	LSB			Silex	Éclat de façonnage	C 1200	M.LT_03_0000	623	11
LOCUS 3	C6 16	c	4	LSB			Silex	Éclat (fgt indéterminé)	C 1200	M.LT_03_0000	629	10
LOCUS 3	C6 16	c	4	LSB			Silex	Nucléus de gestion de surface non Levallois	C 1200	M.LT_03_4914		10
LOCUS 3	C6 27	c	4	LSB			Silex	Éclat cortical (fgt distal)	C 1200	M.LT_03_0000	620	10
LOCUS 3	C6 27	c	4	LSB			Silex	Éclat de coup de tranchet	C 1200	M.LT_03_0000	647	10
LOCUS 3	C6 27	c	4	LSB			Silex	Éclat (fgt indéterminé)	C 1200	M.LT_03_0000	624	10
LOCUS 3	C6 27	c	4	LSB			Silex	Éclat de façonnage (fgt proximal)	C 1200	M.LT_03_0000	628	11
LOCUS 3	C6 27	c	4	LSB			Silex	Éclat de façonnage	C 1200	M.LT_03_0000	621	10
LOCUS 3	C6 27	c	4	LSB			Silex	Éclat de façonnage (fgt proximal)	C 1200	M.LT_03_0000	621	10

Zone Secteur	Carré	Sous-carré	N° de décapage	Unité Pédo-stratigraphique	Position	Repose sur face	Matériau	Descriptif détaillé	Parcelle	Code SRA	Réf. contenant POCHE	Réf. contenant CAISSE
LOCUS 3	C6 27	c	4	LSB			Silex	Éclat de façonnage cortical	C 1200	M.LT_03_0000	625	10
LOCUS 3	C6 27	c	6	LSBR			Silex	Éclat	C 1200	M.LT_03_4922		10
LOCUS 3	C6 27	c	6	LSBR			Silex	Éclat de façonnage	C 1200	M.LT_03_0000	622	10
LOCUS 3	C6 27	c	5	LSBR			Silex	Éclat de façonnage	C 1200	M.LT_03_0000	622	10
LOCUS 3	C6 27	c	5	LSBR			Silex	Éclat de façonnage	C 1200	M.LT_03_0000	623	11
LOCUS 3	C6 27	c	5	LSBR			Silex	Éclat (fgt proximal)	C 1200	M.LT_03_0000	627	10
LOCUS 3	C6 27	c	1	LSB			Silex	Éclat de façonnage	C 1200	M.LT_03_0000	625	10
LOCUS 3	C6 27	c	1	LSB			Silex	Gélifract	C 1200	M.LT_03_0000	630	11
LOCUS 3	C6 27	c	1	LSB			Silex	Éclat cortical (fgt distal)	C 1200	M.LT_03_0000	620	10
LOCUS 3	C6 27	c	1	LSB			Silex	Éclat de façonnage (fgt proximal)	C 1200	M.LT_03_0000	627	10
LOCUS 3	C6 27	c	3	LSB			Silex	Éclat de façonnage	C 1200	M.LT_03_0000	623	11
LOCUS 3	C6 27	c	3	LSB			Silex	Éclat de façonnage	C 1200	M.LT_03_0000	622	10
LOCUS 3	C6 27	c	3	LSB			Silex	Débris	C 1200	M.LT_03_0000	630	11
LOCUS 3	C6 27	c	2	LSB			Grès	Bloc brut (fgt)	C 1200	M.LT_03_0000	630	11
LOCUS 3	C6 27	c	2	LSB			Silex	Éclat de coup de tranchet	C 1200	M.LT_03_0000	647	10
LOCUS 3	C6 27	c	2	LSB			Silex	Éclat de façonnage	C 1200	M.LT_03_0000	623	11
LOCUS 3	C6 27	c	2	LSB			Silex	Éclat de façonnage	C 1200	M.LT_03_0000	622	10
LOCUS 3	C6 27	c	2	LSB			Silex	Éclat de façonnage	C 1200	M.LT_03_0000	623	11
LOCUS 3	C6 27	c	2	LSB			Silex	Éclat (fgt proximal)	C 1200	M.LT_03_0000	628	11
LOCUS 3	C6 08	c	nettoyage surface	LSB			Silex	Éclat cortical	C 1200	M.LT_03_0000	619	11
LOCUS 3	C5 98	d	nettoyage surface	LSB			Silex	Éclat de façonnage	C 1200	M.LT_03_0000	622	10
LOCUS 3	C6 07	d	nettoyage surface	LSB			Silex	Éclat (fgt indéterminé)	C 1200	M.LT_03_0000	624	10
LOCUS 3	C6 18	a	nettoyage surface	LSB			Silex	Éclat de façonnage	C 1200	M.LT_03_0000	622	10
LOCUS 3	C6 10	c	nettoyage surface	LSB			Silex	Éclat de façonnage (fgt proximal)	C 1200	M.LT_03_0000	628	11
LOCUS 3	C6 18	d	nettoyage surface	LSB			Silex	Éclat (fgt distal)	C 1200	M.LT_03_0000	627	10
LOCUS 3	C6 09	a	nettoyage surface	LSB			Silex	Éclat de façonnage cortical	C 1200	M.LT_03_0000	619	11
LOCUS 3	C5 90	a	nettoyage surface	LSB			Silex	Éclat de façonnage	C 1200	M.LT_03_0000	623	11
LOCUS 3	C6 07	b	nettoyage surface	LSB			Silex	Gélifract	C 1200	M.LT_03_0000	630	11
LOCUS 3	C5 99	d	nettoyage surface	LSB			Silex	Éclat de façonnage	C 1200	M.LT_03_4949		10
LOCUS 3	C5 99	d	nettoyage surface	LSB			Silex	Éclat (fgt indéterminé)	C 1200	M.LT_03_0000	629	10
LOCUS 3	C5 99	d	nettoyage surface	LSB			Silex	Éclat cortical	C 1200	M.LT_03_0000	620	10
LOCUS 3	C5 95	d	nettoyage surface	LSB			Silex	Éclat de coup de tranchet	C 1200	M.LT_03_0000	647	10
LOCUS 3	C5 95	d	nettoyage surface	LSB			Silex	Éclat (fgt distal)	C 1200	M.LT_03_0000	625	10
LOCUS 3	C6 17	d	nettoyage surface	LSB			Silex	Racloir sur face plane associé à un denticulé	C 1200	M.LT_03_4954		10
LOCUS 3	C6 17	d	nettoyage surface	LSB			Silex	Éclat cortical	C 1200	M.LT_03_0000	626	10
LOCUS 3	C6 17	d	nettoyage surface	LSB			Silex	Éclat cortical	C 1200	M.LT_03_0000	619	11
LOCUS 3	C6 38	c	3	LSB			Silex	Bloc brut	C 1200	M.LT_03_0000	630	11
LOCUS 3	C6 38	c	3	LSB			Silex	Éclat Kombewa	C 1200	M.LT_03_0000	647	10
LOCUS 3	C6 38	c	3	LSB			Silex	Éclat cortical (fgt proximal)	C 1200	M.LT_03_0000	619	11
LOCUS 3	C6 38	c	3	LSB			Silex	Éclat de façonnage	C 1200	M.LT_03_0000	623	11
LOCUS 3	C6 38	c	3	LSB			Silex	Éclat (fgt distal)	C 1200	M.LT_03_0000	627	10
LOCUS 3	C6 38	c	3	LSB			Silex	Éclat (fgt mésial)	C 1200	M.LT_03_0000	624	10
LOCUS 3	C6 25	c	nettoyage surface	LSB			Silex	Gélifract	C 1200	M.LT_03_0000	630	11
LOCUS 3	C6 35	a	nettoyage surface	LSB			Silex	Éclat de façonnage	C 1200	M.LT_03_0000	626	10
LOCUS 3	C6 49	c	7	LSBR			Silex	Éclat de façonnage (fgt proximal)	C 1200	M.LT_03_0000	621	10
LOCUS 3	C6 47	c	7	LSBR			Silex	Éclat (fgt distal)	C 1200	M.LT_03_0000	627	10
LOCUS 3	C6 50	a	nettoyage surface	LSB			Silex	Éclat cortical	C 1200	M.LT_03_0000	619	11
LOCUS 3	C6 29	c	1	LSB			Silex	Éclat de façonnage cortical	C 1200	M.LT_03_0000	620	10
LOCUS 3	C6 29	c	6	LSBR			Silex	Éclat cortical (fgt distal)	C 1200	M.LT_03_0000	619	11
LOCUS 3	C6 29	c	6	LSBR			Silex	Éclat de façonnage	C 1200	M.LT_03_0000	623	11
LOCUS 3	C6 29	c	6	LSBR			Silex	Éclat de façonnage cortical	C 1200	M.LT_03_0000	619	11
LOCUS 3	C6 29	c	6	LSBR			Silex	Éclat cortical	C 1200	M.LT_03_0000	620	10
LOCUS 3	C6 29	c	5	LSB/LSBR			Silex	Gélifract	C 1200	M.LT_03_0000	630	11
LOCUS 3	C6 29	c	5	LSB/LSBR			Silex	Éclat cortical (fgt distal)	C 1200	M.LT_03_0000	619	11
LOCUS 3	C6 29	c	5	LSB/LSBR			Silex	Éclat de façonnage	C 1200	M.LT_03_0000	622	10
LOCUS 3	C6 29	c	5	LSB/LSBR			Silex	Éclat (fgt distal)	C 1200	M.LT_03_0000	621	10
LOCUS 3	C6 29	c	5	LSB/LSBR			Silex	Éclat de façonnage	C 1200	M.LT_03_0000	622	10
LOCUS 3	C6 29	c	5	LSB/LSBR			Silex	Éclat (fgt distal)	C 1200	M.LT_03_0000	627	10
LOCUS 3	C6 29	c	5	LSB/LSBR			Silex	Éclat	C 1200	M.LT_03_0000	625	10
LOCUS 3	C6 29	c	5	LSB/LSBR			Silex	Éclat de façonnage	C 1200	M.LT_03_0000	623	11
LOCUS 3	C6 29	c	5	LSB/LSBR			Silex	Éclat cortical (fgt distal)	C 1200	M.LT_03_0000	626	10
LOCUS 3	C6 29	c	4	LSB/GB			Silex	Éclat	C 1200	M.LT_03_0000	620	10
LOCUS 3	C6 29	c	4	LSB/GB			Silex	Éclat Levallois	C 1200	M.LT_03_0000	646	10
LOCUS 3	C6 29	c	4	LSB/GB			Silex	Éclat cortical (fgt distal)	C 1200	M.LT_03_0000	619	11
LOCUS 3	C6 29	c	4	LSB/GB			Silex	Éclat de façonnage	C 1200	M.LT_03_0000	646	10
LOCUS 3	C6 29	c	4	LSB/GB			Silex	Éclat cortical (fgt proximal)	C 1200	M.LT_03_0000	628	11
LOCUS 3	C6 29	c	4	LSB/GB			Silex	Éclat de façonnage	C 1200	M.LT_03_0000	626	10
LOCUS 3	C6 29	c	4	LSB/GB			Silex	Éclat (fgt distal)	C 1200	M.LT_03_0000	626	10
LOCUS 3	C6 29	c	4	LSB/GB			Silex	Éclat de façonnage	C 1200	M.LT_03_0000	621	10
LOCUS 3	C6 29	c	2	LSB			Silex	Racloir simple	C 1200	M.LT_03_4990		10
LOCUS 3	C6 29	c	2	LSB			Silex	Éclat de retouche	C 1200	M.LT_03_0000	626	10
LOCUS 3	C6 29	c	2	LSB			Silex	Éclat de façonnage	C 1200	M.LT_03_0000	626	10
LOCUS 3	C6 29	c	2	LSB			Silex	Débris	C 1200	M.LT_03_0000	630	11
LOCUS 3	C6 29	c	2	LSB			Silex	Éclat (fgt proximal)	C 1200	M.LT_03_0000	628	11
LOCUS 3	C6 29	c	3	LSB			Silex	Éclat cortical	C 1200	M.LT_03_0000	619	11
LOCUS 3	C6 29	c	3	LSB			Silex	Éclat de façonnage cortical	C 1200	M.LT_03_0000	620	10
LOCUS 3	C6 29	c	3	LSB			Silex	Éclat (fgt distal)	C 1200	M.LT_03_0000	629	10
LOCUS 3	C6 29	c	3	LSB			Silex	Éclat	C 1200	M.LT_03_0000	623	11
LOCUS 3	C6 29	c	3	LSB			Silex	Éclat de coup de tranchet	C 1200	M.LT_03_0000	647	10
LOCUS 3	C6 29	c	3	LSB			Silex	Éclat (fgt proximal)	C 1200	M.LT_03_0000	622	10
LOCUS 3	C6 29	c	3	LSB			Silex	Éclat cortical	C 1200	M.LT_03_0000	619	11
LOCUS 3	C6 49	c	4	LSB/LSBR			Silex	Débris	C 1200	M.LT_03_0000	630	11
LOCUS 3	C6 49	c	4	LSB/LSBR			Silex	Éclat cortical	C 1200	M.LT_03_0000	619	11
LOCUS 3	C6 49	c	4	LSB/LSBR			Silex	Éclat cortical (fgt distal)	C 1200	M.LT_03_0000	620	10
LOCUS 3	C6 49	c	4	LSB/LSBR			Silex	Éclat (fgt distal)	C 1200	M.LT_03_0000	628	11
LOCUS 3	C6 49	c	1	LSB			Silex	Éclat (fgt distal)	C 1200	M.LT_03_0000	628	11
LOCUS 3	C6 49	c	1	LSB			Silex	Éclat de façonnage	C 1200	M.LT_03_0000	629	10
LOCUS 3	C6 49	c	8	LSBR			Silex	Débris	C 1200	M.LT_03_0000	630	11
LOCUS 3	C6 49	c	8	LSBR			Silex	Éclat (fgt indéterminé)	C 1200	M.LT_03_0000	624	10
LOCUS 3	C6 56	c	3	LSB			Silex	Éclat de façonnage	C 1200	M.LT_03_0000	623	11
LOCUS 3	C6 56	c	3	LSB			Silex	Éclat cortical (fgt distal)	C 1200	M.LT_03_0000	620	10
LOCUS 3	C6 56	c	3	LSB			Silex	Éclat de façonnage	C 1200	M.LT_03_0000	623	11
LOCUS 3	C6 56	c	8	LSBR			Silex	Éclat (fgt distal)	C 1200	M.LT_03_0000	627	10
LOCUS 3	C6 56	c	8	LSBR			Silex	Éclat cortical (fgt proximal)	C 1200	M.LT_03_0000	619	11
LOCUS 3	C6 56	c	10	LSBR/SR			Silex	Éclat de coup de tranchet	C 1200	M.LT_03_0000	647	10
LOCUS 3	C6 56	c	10	LSBR/SR			Silex	Éclat (fgt longitudinal)	C 1200	M.LT_03_0000	624	10
LOCUS 3	C6 56	c	2	LSB			Silex	Éclat (fgt proximal)	C 1200	M.LT_03_0000	628	11
LOCUS 3	C6 56	c	2	LSB			Silex	Éclat (fgt distal)	C 1200	M.LT_03_0000	625	10
LOCUS 3	C6 49	c	3	LSB			Silex	Racloir simple	C 1200	M.LT_03_5019		10
LOCUS 3	C6 49	c	3	LSB			Silex	Éclat de façonnage	C 1200	M.LT_03_0000	623	11
LOCUS 3	C6 49	c	3	LSB			Silex	Éclat de façonnage	C 1200	M.LT_03_0000	623	11
LOCUS 3	C6 49	c	3	LSB			Silex	Éclat (fgt distal)	C 1200	M.LT_03_0000	627	10
LOCUS 3	C6 49	c	3	LSB			Silex	Éclat de façonnage (fgt proximal)	C 1200	M.LT_03_0000	621	10
LOCUS 3	C6 49	c	10	LSBR/SR			Silex	Éclat (fgt proximal)	C 1200	M.LT_03_0000	628	11
LOCUS 3	C6 49	c	10	LSBR/SR			Silex	Éclat cortical (fgt mésial)	C 1200	M.LT_03_0000	619	11
LOCUS 3	C6 49	c	10	LSBR/SR			Grès ?	Débris	C 1200	M.LT_03_0000	630	11
LOCUS 3	C6 47	c	4	LSB			Silex	Éclat	C 1200	M.LT_03_0000	629	10

Zone Secteur	Carré	Sous-carré	N° de décapage	Unité Pédo-stratigraphique	Position	Repose sur face	Matériau	Descriptif détaillé	Parcelle	Code SRA	Réf. contenant POCHE	Réf. contenant CAISSE
LOCUS 3	C6 47	c	4	LSB			Silex	Gélifract	C 1200	M.LT_03_0000	630	11
LOCUS 3	C6 47	c	4	LSB			Silex	Éclat de façonnage (fgt proximal)	C 1200	M.LT_03_0000	628	11
LOCUS 3	C6 47	c	4	LSB			Silex	Éclat cortical (fgt proximal)	C 1200	M.LT_03_0000	619	11
LOCUS 3	C6 56	c	9	LSBR/SR			Silex	Éclat cortical (fgt proximal)	C 1200	M.LT_03_0000	620	10
LOCUS 3	C6 56	c	9	LSBR/SR			Silex	Éclat (fgt distal)	C 1200	M.LT_03_0000	621	10
LOCUS 3	C6 56	c	9	LSBR/SR			Silex	Éclat de façonnage	C 1200	M.LT_03_0000	626	10
LOCUS 3	C6 56	c	9	LSBR/SR			Silex	Éclat (fgt distal)	C 1200	M.LT_03_0000	625	10
LOCUS 3	C6 56	c	9	LSBR/SR			Silex	Éclat (fgt distal)	C 1200	M.LT_03_0000	628	11
LOCUS 3	C6 38	c	2	LSB			Grès	Bloc brut (2 fgts qui raccordent)	C 1200	M.LT_03_0000	630	11
LOCUS 3	C6 38	c	2	LSB			Silex	Gélifract	C 1200	M.LT_03_0000	630	11
LOCUS 3	C6 38	c	2	LSB			Silex	Éclat (fgt distal)	C 1200	M.LT_03_0000	629	10
LOCUS 3	C6 38	c	2	LSB			Silex	Gélifract	C 1200	M.LT_03_0000	630	11
LOCUS 3	C6 38	c	2	LSB			Silex	Éclat (fgt longitudinal)	C 1200	M.LT_03_0000	623	11
LOCUS 3	C6 49	c	5	LSBR			Silex	Éclat (fgt indéterminé)	C 1200	M.LT_03_0000	629	10
LOCUS 3	C6 49	c	5	LSBR			Silex	Éclat (fgt distal)	C 1200	M.LT_03_0000	627	10
LOCUS 3	C6 49	c	5	LSBR			Silex	Éclat cortical (fgt proximal)	C 1200	M.LT_03_0000	619	11
LOCUS 3	C6 49	c	5	LSBR			Silex	Éclat de façonnage	C 1200	M.LT_03_0000	626	10
LOCUS 3	C6 49	c	5	LSBR			Silex	Éclat de façonnage	C 1200	M.LT_03_0000	622	10
LOCUS 2	D7 04	b	3	LSBR			Silex	Éclat cortical (fgt distal)	C 1200	M.LT_02_0000	614	8
LOCUS 2	D7 04	b	3	LSBR			Silex	Éclat de façonnage	C 1200	M.LT_02_0000	615	8
LOCUS 2	D7 04	b	3	LSBR			Silex	Éclat de façonnage	C 1200	M.LT_02_0000	615	8
LOCUS 2	D7 04	b	3	LSBR			Silex	Éclat (fgt proximal)	C 1200	M.LT_02_0000	617	8
LOCUS 2	D7 04	a	3	LSBR			Silex	Éclat de façonnage cortical	C 1200	M.LT_02_0000	614	8
LOCUS 2	D7 04	a	3	LSBR			Silex	Éclat de façonnage (fgt proximal)	C 1200	M.LT_02_0000	615	8
LOCUS 2	D7 04	a	3	LSBR			Silex	Éclat	C 1200	M.LT_02_0000	615	8
LOCUS 2	D7 04	a	3	LSBR			Silex	Eclat	C 1200	M.LT_02_0000	617	8
LOCUS 2	D7 04	c	3	LSBR			Silex	Éclat de façonnage	C 1200	M.LT_02_0000	615	8
LOCUS 2	D7 04	c	3	LSBR			Silex	Éclat cortical	C 1200	M.LT_02_0000	614	8
LOCUS 2	D7 04	c	3	LSBR			Silex	Éclat de façonnage	C 1200	M.LT_02_0000	614	8
LOCUS 2	D7 04	c	3	LSBR			Silex	Éclat de façonnage	C 1200	M.LT_02_0000	615	8
LOCUS 2	D7 04	c	3	LSBR			Silex	Éclat de façonnage	C 1200	M.LT_02_0000	615	8
LOCUS 2	D7 04	c	5	LSBR			Silex	Éclat	C 1200	M.LT_02_0000	617	8
LOCUS 2	D7 04	c	5	LSBR			Silex	Éclat (fgt distal)	C 1200	M.LT_02_0000	614	8
LOCUS 2	D7 04	c	5	LSBR			Silex	Bloc brut	C 1200	M.LT_02_0000	618	8
LOCUS 2	D7 04	c	5	LSBR			Silex	Débris	C 1200	M.LT_02_0000	618	8
LOCUS 2	D7 04	c	5	LSBR			Silex	Éclat (fgt distal)	C 1200	M.LT_02_0000	617	8
LOCUS 2	D7 04	c	5	LSBR			Silex	Éclat (fgt proximal)	C 1200	M.LT_02_0000	616	8
LOCUS 2	D7 04	c	5	LSBR			Silex	Éclat (fgt indéterminé)	C 1200	M.LT_02_0000	616	8
LOCUS 2	D7 04	d	6	SR			Silex	Débris	C 1200	M.LT_02_0000	618	8
LOCUS 2	D7 04	b	7	SR			Silex	Éclat de façonnage	C 1200	M.LT_02_5068		8
LOCUS 2	D7 04	a	6	SR			Silex	Eclat de façonnage cortical (fgt proximal)	C 1200	M.LT_02_0000	614	8
LOCUS 2	D7 04	a	6	SR			Silex	Éclat	C 1200	M.LT_02_0000	617	8
LOCUS 2	D7 04	b	6	SR			Silex	Éclat (fgt distal)	C 1200	M.LT_02_0000	617	8
LOCUS 2	D7 04	b	5	LSBR			Silex	Éclat de façonnage	C 1200	M.LT_02_0000	615	8
LOCUS 2	D7 04	c	6	SR			Silex	Gélifract	C 1200	M.LT_02_0000	618	8
LOCUS 2	D7 04	c	6	SR			Silex	Éclat de façonnage Kombewa	C 1200	M.LT_02_5074		8
LOCUS 2	D7 04	d	5	LSBR			Silex	Éclat (fgt mésial)	C 1200	M.LT_02_0000	617	8
LOCUS 2	D7 04	c	7	SR			Silex	Éclat (fgt proximal)	C 1200	M.LT_02_0000	616	8
LOCUS 2	D7 04	a	7	SR			Silex	Éclat	C 1200	M.LT_02_0000	615	8
LOCUS 2	D7 04	c	5	LSBR			Silex	Éclat de façonnage (fgt proximal)	C 1200	M.LT_02_0000	616	8
LOCUS 2	D7 04	c	5	LSBR			Silex	Éclat de façonnage	C 1200	M.LT_02_0000	615	8
LOCUS 2	D7 04	c	5	LSBR			Silex	Éclat de façonnage cortical	C 1200	M.LT_02_0000	614	8
LOCUS 2	D7 04	c	5	LSBR			Silex	Éclat	C 1200	M.LT_02_0000	617	8
LOCUS 2	D7 04	d	4	LSBR			Silex	Éclat de coup de tranchet	C 1200	M.LT_02_0000	645	8
LOCUS 2	D7 04	a	4	LSBR			Silex	Éclat de façonnage	C 1200	M.LT_02_0000	617	8
LOCUS 2	D7 04	a	4	LSBR			Silex	Éclat (fgt indéterminé)	C 1200	M.LT_02_0000	616	8
LOCUS 2	D7 04	c	4	LSBR			Silex	Éclat de façonnage	C 1200	M.LT_02_0000	615	8
LOCUS 2	D7 04	c	4	LSBR			Silex	Éclat cortical (fgt proximal)	C 1200	M.LT_02_0000	616	8
LOCUS 2	D7 04	c	4	LSBR			Silex	Éclat (fgt mésial)	C 1200	M.LT_02_0000	617	8
LOCUS 2	D7 04	b	4	LSBR			Silex	Éclat (fgt distal)	C 1200	M.LT_02_0000	617	8
LOCUS 2	D7 04	b	4	LSBR			Silex	Éclat (fgt distal)	C 1200	M.LT_02_0000	617	8
LOCUS 2	D7 04	b	4	LSBR			Silex	Éclat (fgt proximal)	C 1200	M.LT_02_0000	616	8
LOCUS 2	D7 04	b	4	LSBR			Silex	Éclat cortical (fgt proximal)	C 1200	M.LT_02_0000	614	8
LOCUS 2	D7 04	c	4	LSBR			Silex	Éclat (fgt distal)	C 1200	M.LT_02_0000	617	8
LOCUS 2	D7 04	c	4	LSBR			Silex	Éclat	C 1200	M.LT_02_5093		8
LOCUS 2	D7 04	c	4	LSBR			Silex	Éclat (fgt distal)	C 1200	M.LT_02_0000	617	8
LOCUS 2	D7 04	c	4	LSBR			Silex	Éclat cortical	C 1200	M.LT_02_0000	614	8
LOCUS 2	D7 04	c	4	LSBR			Silex	Éclat de façonnage	C 1200	M.LT_02_0000	615	8
LOCUS 2	D7 04	c	4	LSBR			Silex	Éclat (fgt mésial)	C 1200	M.LT_02_0000	617	8
LOCUS 2	D7 04	c	4	LSBR			Silex	Éclat de façonnage	C 1200	M.LT_02_0000	615	8
LOCUS 2	D7 04	c	4	LSBR			Silex	Éclat (fgt distal)	C 1200	M.LT_02_0000	616	8
LOCUS 2	D7 04	c	4	LSBR			Silex	Éclat de coup de tranchet	C 1200	M.LT_02_0000	645	8
LOCUS 2	D7 04	c	4	LSBR			Silex	Éclat (fgt distal)	C 1200	M.LT_02_0000	614	8
LOCUS 2	D7 04	c	6	SR			Silex	Éclat cortical (fgt distal)	C 1200	M.LT_02_0000	614	8
LOCUS 3	C6 67	b	7	LSBR/SR			Silex	Éclat de façonnage	C 1200	M.LT_03_0000	622	10
LOCUS 3	C6 67	b	7	LSBR/SR			Silex	Éclat (fgt distal)	C 1200	M.LT_03_0000	627	10
LOCUS 3	C6 67	a	7	LSBR			Silex	Éclat de façonnage cortical	C 1200	M.LT_03_0000	622	10
LOCUS 3	C6 67	a	7	LSBR			Silex	Eclat de façonnage	C 1200	M.LT_03_0000	626	10
LOCUS 3	C6 67	d	7	LSBR			Silex	Éclat (fgt distal)	C 1200	M.LT_03_0000	623	11
LOCUS 3	C6 67	d	7	LSBR			Silex	Éclat (fgt longitudinal)	C 1200	M.LT_03_0000	624	10
LOCUS 3	C6 67	d	7	LSBR			Silex	Éclat de retouche	C 1200	M.LT_03_0000	622	10
LOCUS 3	C6 67	d	7	LSBR			Silex	Éclat de façonnage (fgt proximal)	C 1200	M.LT_03_0000	628	11
LOCUS 3	C6 67	d	7	LSBR			Silex	Esquille	C 1200	M.LT_03_0000	622	10
LOCUS 3	C6 67	c	7	LSBR			Silex	Débris	C 1200	M.LT_03_0000	630	11
LOCUS 3	C6 67	c	7	LSBR			Silex	Éclat de façonnage	C 1200	M.LT_03_0000	626	10
LOCUS 3	C6 67	c	7	LSBR			Silex	Éclat de façonnage (fgt proximal)	C 1200	M.LT_03_0000	628	11
LOCUS 3	C6 67	c	7	LSBR			Silex	Éclat de façonnage (fgt proximal)	C 1200	M.LT_03_0000	628	11
LOCUS 4	C5 82	d	2	GR/SR			Silex	Denticulé	C 1200	M.LT_04_5116		9
LOCUS 4	C5 82	d	2	GR/SR			Silex	Racloir (fgt)	C 1200	M.LT_04_5117		9
LOCUS 4	C5 82	c	2	GR/SR			Silex	Éclat de façonnage	C 1200	M.LT_04_0000	632	9
LOCUS 4	C5 82	c	2	GR/SR			Silex	Éclat de façonnage cortical	C 1200	M.LT_04_0000	631	9
LOCUS 4	C5 82	c	2	GR/SR			Silex	Éclat cortical (fgt distal)	C 1200	M.LT_04_0000	635	9
LOCUS 4	C5 82	a	2	GR			Silex	Eclat cortical (fgt indéterminé)	C 1200	M.LT_04_0000	631	9
LOCUS 4	C5 82	a	2	GR			Silex	Éclat de façonnage	C 1200	M.LT_04_0000	633	9
LOCUS 4	C5 82	b	2	GR			Silex	Éclat	C 1200	M.LT_04_5123		9
LOCUS 4	C5 82	b	2	GR			Silex	Éclat (fgt distal)	C 1200	M.LT_04_0000	633	9
LOCUS 4	C5 82	a	2	GR			Silex	Éclat cortical (fgt proximal)	C 1200	M.LT_04_0000	631	9
LOCUS 4	C5 82	a	2	GR			Silex	Éclat cortical (fgt distal)	C 1200	M.LT_04_0000	631	9
LOCUS 4	C5 82	a	2	GR			Silex	Éclat de façonnage	C 1200	M.LT_04_0000	632	9
LOCUS 4	C5 82	a	2	GR			Silex	Éclat	C 1200	M.LT_04_0000	636	9
LOCUS 4	C5 82	a	2	GR			Silex	Éclat de façonnage	C 1200	M.LT_04_5129		9
LOCUS 4	C5 82	a	2	GR			Silex	Éclat cortical	C 1200	M.LT_04_0000	631	9
LOCUS 4	C5 82	a	2	GR			Silex	Eclat	C 1200	M.LT_04_0000	636	9
LOCUS 4	C5 82	a	2	GR			Silex	Débris	C 1200	M.LT_04_0000	635	9
LOCUS 4	C5 82	a	2	GR			Silex	Éclat de façonnage	C 1200	M.LT_04_0000	633	9
LOCUS 4	C5 82	a	2	GR			Silex	Éclat de façonnage	C 1200	M.LT_04_0000	633	9
LOCUS 4	C5 82	a	2	GR			Silex	Éclat de façonnage	C 1200	M.LT_04_0000	636	9
LOCUS 4	C5 82	a	2	GR			Silex	Éclat cortical (fgt distal)	C 1200	M.LT_04_0000	631	9
LOCUS 4	C5 82	a	2	GR			Silex	Éclat de façonnage	C 1200	M.LT_04_0000	633	9
LOCUS 4	C5 82	a	2	GR			Silex	Éclat de façonnage	C 1200	M.LT_04_0000	634	9
LOCUS 4	C5 82	a	2	GR			Silex	Éclat de façonnage	C 1200	M.LT_04_0000	633	9
LOCUS 4	C5 82	a	2	GR			Silex	Éclat	C 1200	M.LT_04_0000	636	9
LOCUS 4	C5 82	a	2	GR			Silex	Éclat de façonnage cortical	C 1200	M.LT_04_0000	633	9
LOCUS 4	C5 82	a	2	GR			Silex	Éclat de façonnage	C 1200	M.LT_04_0000	636	9
LOCUS 4	C5 82	a	2	GR			Silex	Débris	C 1200	M.LT_04_0000	635	9
LOCUS 4	C5 82	a	2	GR			Silex	Éclat de façonnage	C 1200	M.LT_04_0000	634	9
LOCUS 4	C5 82	a	6	GR/SR			Silex	Éclat (fgt proximal)	C 1200	M.LT_04_0000	636	9
LOCUS 4	C5 82	a	6	GR/SR			Silex	Éclat de façonnage	C 1200	M.LT_04_0000	632	9
LOCUS 4	C5 82	a	6	GR/SR			Silex	Éclat de façonnage	C 1200	M.LT_04_0000	632	9
LOCUS 4	C5 82	a	6	GR/SR			Silex	Éclat de façonnage	C 1200	M.LT_04_0000	632	9
LOCUS 4	C5 82	a	6	GR/SR			Silex	Éclat cortical (fgt distal)	C 1200	M.LT_04_0000	631	9
LOCUS 4	C5 82	a	6	GR/SR			Silex	Éclat de façonnage	C 1200	M.LT_04_0000	636	9
LOCUS 4	C5 82	a	6	GR/SR			Silex	Éclat de façonnage	C 1200	M.LT_04_0000	632	9
LOCUS 4	C5 82	c	5	SR			Silex	Éclat de façonnage	C 1200	M.LT_04_0000	632	9
LOCUS 4	C5 82	c	4	GR/SR			Silex	Débris	C 1200	M.LT_04_0000	631	9
LOCUS 4	C5 82	b	5	GR/SR			Silex	Éclat de façonnage	C 1200	M.LT_04_0000	632	9

Zone Secteur	Carré	Sous-carré	N° de décapage	Unité Pédo-stratigraphique	Position	Repose sur face	Matériau	Descriptif détaillé	Parcelle	Code SRA	Réf. contenant POCHE	Réf. contenant CAISSE
LOCUS 4	C5 82	b	5	GR/SR			Silex	Éclat de coup de tranchet	C 1200	M.LT_04_5156		9
LOCUS 4	C5 82	b	5	GR/SR			Silex	Éclat	C 1200	M.LT_04_0000	636	9
LOCUS 4	C5 82	b	5	GR/SR			Silex	Éclat (fgt distal)	C 1200	M.LT_04_0000	634	9
LOCUS 4	C5 82	b	5	GR/SR			Silex	Éclat de façonnage (fgt proximal)	C 1200	M.LT_04_0000	634	9
LOCUS 4	C5 82	b	6	GR/SR			Silex	Éclat (fgt indéterminé)	C 1200	M.LT_04_0000	635	9
Berme LOCUS 2 / 3				LSBR			Silex	Éclat (fgt proximal)	C 1200	M.LT_BD_0000	642	2
Berme LOCUS 2 / 3				LSJ			Silex	Éclat (fgt distal)	C 1200	M.LT_BD_0000	642	2
Berme LOCUS 2 / 3				LSJ			Silex	Éclat (fgt proximal)	C 1200	M.LT_BD_0000	642	2
Berme LOCUS 2 / 3				LSJ			Silex	Éclat de façonnage	C 1200	M.LT_BD_0000	642	2
Berme LOCUS 2 / 3				LSJ			Silex	Éclat de façonnage	C 1200	M.LT_BD_0000	642	2
Berme LOCUS 2 / 3				LSJ			Silex	Débris	C 1200	M.LT_BD_0000	642	2
LOCUS 2	D6 84	c	nettoyage surface	LSB			Silex	Éclat de façonnage	C 1200	M.LT_02_0000	615	8
Berme LOCUS 2 / 3				SR			Silex	Éclat de façonnage	C 1200	M.LT_BD_0000	621	10
Berme LOCUS 2 / 3				SR			Silex	Éclat de façonnage cortical (fgt proximal)	C 1200	M.LT_BD_0000	642	2
Berme LOCUS 2 / 3				SR			Silex	Éclat de façonnage	C 1200	M.LT_BD_0000	642	2
Berme LOCUS 2 / 3				SR			Silex	Éclat (fgt mésial)	C 1200	M.LT_BD_0000	642	2
Berme LOCUS 2 / 3				LSB			Silex	Éclat de façonnage cortical	C 1200	M.LT_BD_0000	638	2
Berme LOCUS 2 / 3				LSB			Silex	Éclat (fgt distal)	C 1200	M.LT_BD_0000	625	10
Berme LOCUS 2 / 3				LSB			Silex	Éclat (fgt proximal)	C 1200	M.LT_BD_0000	642	2
Berme LOCUS 2 / 3				LSB			Silex	Gélifract	C 1200	M.LT_BD_0000	641	2
Berme LOCUS 2 / 3				LSB			Silex	Débris	C 1200	M.LT_BD_0000	642	2
Berme LOCUS 2 / 3				LSB			Silex	Éclat de façonnage (fgt proximal)	C 1200	M.LT_BD_0000	642	2
Berme LOCUS 2 / 3				LSB			Silex	Éclat de façonnage	C 1200	M.LT_BD_0000	642	2
Berme LOCUS 2 / 3				LSB			Silex	Éclat de façonnage	C 1200	M.LT_BD_0000	642	2
Berme LOCUS 2 / 3				LSB			Silex	Éclat de façonnage	C 1200	M.LT_BD_0000	642	2
Berme LOCUS 2 / 3				LSB			Silex	Éclat de façonnage	C 1200	M.LT_BD_0000	642	2
Berme LOCUS 2 / 3				LSR			Silex	Éclat de façonnage	C 1200	M.LT_BD_0000	642	2
Berme LOCUS 2 / 3				LSR			Silex	Éclat de façonnage cortical	C 1200	M.LT_BD_0000	642	2
Berme LOCUS 2 / 3				LSR			Silex	Éclat de coup de tranchet	C 1200	M.LT_BD_0000	642	2
Berme LOCUS 2 / 3				LSR			Silex	Éclat (fgt mésial)	C 1200	M.LT_BD_0000	642	2
Berme LOCUS 2 / 3				LSR			Silex	Débris	C 1200	M.LT_BD_0000	642	2
Berme LOCUS 2 / 3				LSR			Silex	Éclat de façonnage	C 1200	M.LT_BD_0000	642	2
Berme LOCUS 2 / 3				LSR			Silex	Éclat (fgt indéterminé)	C 1200	M.LT_BD_0000	642	2
Berme LOCUS 2 / 3				LSR			Silex	Éclat	C 1200	M.LT_BD_0000	642	2
Berme LOCUS 2 / 3				LSR			Silex	Éclat cortical	C 1200	M.LT_BD_0000	642	2
Berme LOCUS 2 / 3				LSR			Silex	Débris	C 1200	M.LT_BD_0000	641	2
LOCUS 2	D6 85	a	3	LSBR			Silex	Éclat cortical	C 1200	M.LT_02_0000	614	8
LOCUS 2	D6 85	a	3	LSBR			Silex	Éclat de façonnage	C 1200	M.LT_02_0000	615	8
LOCUS 2	D6 85	a	3	LSBR			Silex	Éclat de façonnage	C 1200	M.LT_02_0000	615	8
LOCUS 2	D6 85	a	3	LSBR			Silex	Éclat (fgt distal)	C 1200	M.LT_02_0000	617	8
LOCUS 2	D6 85	a	3	LSBR			Silex	Éclat cortical (fgt distal)	C 1200	M.LT_02_0000	617	8
LOCUS 2	D6 85	a	3	LSBR			Silex	Éclat (fgt indéterminé)	C 1200	M.LT_02_0000	616	8
LOCUS 2	D6 94	a	2	LSB/LSBR/GR			Silex	Débris	C 1200	M.LT_02_0000	618	8
LOCUS 2	D6 94	a	2	LSB/LSBR/GR			Silex	Débris	C 1200	M.LT_02_0000	618	8
LOCUS 2	D6 94	a	2	LSB/LSBR/GR			Silex	Éclat (fgt proximal)	C 1200	M.LT_02_0000	616	8
LOCUS 2	D6 94	a	2	LSB/LSBR/GR			Silex	Éclat de façonnage (fgt proximal)	C 1200	M.LT_02_0000	616	8
LOCUS 2	D6 94	a	2	LSB/LSBR/GR			Silex	Débris	C 1200	M.LT_02_0000	618	8
CP Est - zone de fouille manuelle							Silex	Éclat de façonnage cortical (fgt proximal)	C 1200	M.LT_BD_0000	640	2
CP Est - zone de fouille manuelle							Silex	Éclat (fgt mésial)	C 1200	M.LT_BD_0000	583	3
CP Est - zone de fouille manuelle							Silex	Éclat (fgt indéterminé)	C 1200	M.LT_BD_0000	640	2
CP Est - zone de fouille manuelle							Silex	Éclat de façonnage cortical	C 1200	M.LT_BD_0000	641	2
CP Est - zone de fouille manuelle							Silex	Éclat (fgt indéterminé)	C 1200	M.LT_BD_0000	640	2
LOCUS 2				LSBR			Silex	Éclat de façonnage cortical	C 1200	M.LT_02_0000	614	8
LOCUS 2				LSBR			Silex	Biface	C 1200	M.LT_02_5210		8
LOCUS 2				LSBR			Silex	Éclat (fgt distal)	C 1200	M.LT_02_0000	617	8
LOCUS 2				LSBR			Silex	Éclat cortical	C 1200	M.LT_02_0000	614	8
LOCUS 2				LSR (poches SR)			Silex	Éclat cortical	C 1200	M.LT_02_0000	614	8
LOCUS 2				LSR (poches SR)			Silex	Éclat (fgt distal)	C 1200	M.LT_02_0000	617	8
LOCUS 2				LSR (poches SR)			Silex	Éclat de façonnage	C 1200	M.LT_02_0000	615	8
LOCUS 2				LSR (poches SR)			Silex	Éclat de façonnage	C 1200	M.LT_02_0000	615	8
LOCUS 3				LSBR			Silex	Bloc testé (fgt)	C 1200	M.LT_03_0000	630	11
LOCUS 3				LSBR			Silex	Éclat	C 1200	M.LT_03_0000	629	10
LOCUS 3				LSBR			Silex	Éclat Levallois	C 1200	M.LT_03_0000	646	10
LOCUS 3				LSBR			Silex	Éclat de façonnage (fgt proximal)	C 1200	M.LT_03_0000	621	10
LOCUS 3				LSBR			Silex	Éclat (fgt longitudinal)	C 1200	M.LT_03_0000	625	10
LOCUS 3				LSBR			Silex	Éclat (fgt distal)	C 1200	M.LT_03_0000	627	10
LOCUS 3				LSBR			Silex	Éclat (fgt indéterminé)	C 1200	M.LT_03_0000	624	10
LOCUS 3				LSBR			Silex	Éclat de façonnage	C 1200	M.LT_03_0000	623	11
LOCUS 3				LSBR			Silex	Éclat de façonnage	C 1200	M.LT_03_0000	623	11
LOCUS 3				LSBR			Silex	Éclat (fgt distal)	C 1200	M.LT_03_0000	627	10
LOCUS 3				LSBR			Silex	Biface	C 1200	M.LT_03_5227		10
LOCUS 3				LSBR			Silex	Gélifract	C 1200	M.LT_03_0000	630	11

Zone Secteur	Carré	Sous-carré	N° de décapage	Unité Pédo-stratigraphique	Position	Repose sur face	Matériau	Descriptif détaillé	Parcelle	Code SRA	Réf. contenant POCHE	Réf. contenant CAISSE
LOCUS 3				LSBR			Silex	Éclat cortical	C 1200	M.LT_03_0000	646	10
LOCUS 3				LSBR			Silex	Éclat cortical (fgt distal)	C 1200	M.LT_03_0000	625	10
CP06				H.S.			Silex	Éclat (fgt proximal)	C 1200	M.LT_BD_0000	634	9
LOCUS 2	D6 84	b	1	LSB			Silex	Éclat (fgt distal)	C 1200	M.LT_02_0000	617	8
CP08 base				GR			Silex	Éclat (fgt proximal)	C 1200	M.LT_BD_0000	639	2
CP08 base				GR			Silex	Éclat (fgt longitudinal)	C 1200	M.LT_BD_0000	639	2
CP08 base				GR			Silex	Éclat (fgt indéterminé)	C 1200	M.LT_BD_0000	639	2
CP08 base				GR			Silex	Éclat de façonnage	C 1200	M.LT_BD_0000	639	2
CP08 base				GR			Silex	Éclat de façonnage	C 1200	M.LT_BD_0000	639	2
CP08 base				GR			Silex	Éclat (fgt indéterminé)	C 1200	M.LT_BD_0000	639	2
CP08 base				GR			Silex	Éclat de façonnage	C 1200	M.LT_BD_0000	639	2
CP08 base				GR			Silex	Éclat de façonnage	C 1200	M.LT_BD_0000	639	2
CP08 base				GR			Silex	Éclat (fgt proximal)	C 1200	M.LT_BD_0000	639	2
CP08 base				GR			Silex	Éclat (fgt distal)	C 1200	M.LT_BD_0000	639	2
CP08 base				GR			Silex	Éclat (fgt distal)	C 1200	M.LT_03_0000	622	10
LOCUS 3	C6 67	d	4	LSBR			Silex	Éclat de coup de tranchet	C 1200	M.LT_03_0000	647	10
LOCUS 3	C6 67	d	4	LSBR			Silex	Éclat	C 1200	M.LT_03_0000	624	10
LOCUS 3	C6 67	d	4	LSBR			Silex	Éclat (fgt mésial)	C 1200	M.LT_03_5246		10
LOCUS 3	C6 67	d	4	LSBR			Silex	Éclat (fgt indéterminé)	C 1200	M.LT_03_0000	625	10
LOCUS 3	C6 67	d	4	LSBR			Silex	Éclat cortical (fgt indéterminé)	C 1200	M.LT_03_0000	624	10
LOCUS 3	C6 67	c	4	LSB/LSBR			Silex	Éclat de façonnage	C 1200	M.LT_03_0000	625	10
LOCUS 3	C6 67	c	4	LSB/LSBR			Silex	Gélifract	C 1200	M.LT_03_0000	630	11
LOCUS 3	C6 67	c	4	LSB/LSBR			Silex	Éclat de façonnage	C 1200	M.LT_03_0000	623	11
LOCUS 3	C6 67	c	4	LSB/LSBR			Silex	Éclat (fgt indéterminé)	C 1200	M.LT_03_0000	624	10
LOCUS 3	C6 67	c	4	LSB/LSBR			Silex	Éclat de façonnage	C 1200	M.LT_03_0000	623	11
LOCUS 3	C6 67	c	9	SR			Silex	Éclat de façonnage	C 1200	M.LT_03_5254		10
LOCUS 3	C6 67	c	9	SR			Silex	Éclat de façonnage	C 1200	M.LT_03_5255		10
LOCUS 3	C6 67	a	9	SR			Silex	Éclat de façonnage (fgt distal)	C 1200	M.LT_03_0000	622	10
LOCUS 3	C6 67	a	9	SR			Silex	Éclat (fgt distal)	C 1200	M.LT_03_0000	624	10
LOCUS 3	C6 67	a	9	SR			Silex	Éclat de façonnage	C 1200	M.LT_03_0000	621	10
LOCUS 3	C6 67	a	9	SR			Silex	Éclat de façonnage	C 1200	M.LT_03_0000	626	10
LOCUS 3	C6 67	a	8	SR			Silex	Éclat cortical (fgt distal)	C 1200	M.LT_03_0000	619	11
LOCUS 3	C6 67	a	8	SR			Silex	Éclat de façonnage	C 1200	M.LT_03_0000	623	11
LOCUS 3	C6 67	d	8	SR			Silex	Éclat (fgt distal)	C 1200	M.LT_03_0000	627	10
LOCUS 3	C6 67	d	8	SR			Silex	Éclat (fgt proximal)	C 1200	M.LT_03_0000	628	11
LOCUS 3	C6 67	d	8	SR			Silex	Eclat (fgt distal)	C 1200	M.LT_03_0000	627	10
LOCUS 3	C6 67	a	5	LSBR			Silex	Éclat cortical (fgt distal)	C 1200	M.LT_03_0000	620	10
LOCUS 3	C6 67	a	5	LSBR			Silex	Cupule de gel	C 1200	M.LT_03_5266		10
LOCUS 3	C6 67	a	5	LSBR			Silex	Éclat de façonnage	C 1200	M.LT_03_0000	622	10
LOCUS 3	C6 67	a	5	LSBR			Silex	Éclat de façonnage	C 1200	M.LT_03_0000	627	10
LOCUS 3	C6 67	a	5	LSBR			Silex	Eclat Kombewa	C 1200	M.LT_03_5269		10
LOCUS 3	C6 67	c	5	LSBR			Silex	Éclat	C 1200	M.LT_03_0000	636	9
LOCUS 3	C6 67	c	5	LSBR			Silex	Encoche	C 1200	M.LT_03_5271		10
LOCUS 3	C6 67	d	5	LSBR			Silex	Éclat (fgt distal)	C 1200	M.LT_03_0000	627	10
LOCUS 3	C6 67	d	5	LSBR			Silex	Éclat de façonnage	C 1200	M.LT_03_0000	623	11
LOCUS 3	C6 67	d	5	LSBR			Silex	Eclat (fgt distal)	C 1200	M.LT_03_0000	627	10
LOCUS 3	C6 67	b	6	LSBR			Silex	Éclat de façonnage (fgt proximal)	C 1200	M.LT_03_0000	628	11
LOCUS 3	C6 67	c	6	LSBR			Silex	Éclat cortical (fgt distal)	C 1200	M.LT_03_0000	620	10
LOCUS 3	C6 67	c	6	LSBR			Silex	Éclat (fgt indéterminé)	C 1200	M.LT_03_0000	624	10
LOCUS 3	C6 67	a	6	LSBR			Silex	Éclat (fgt distal)	C 1200	M.LT_03_0000	627	10
LOCUS 3	C6 67	a	6	LSBR			Silex	Éclat (fgt proximal)	C 1200	M.LT_03_0000	628	11
LOCUS 3	C6 67	a	6	LSBR			Silex	Éclat cortical (fgt proximal)	C 1200	M.LT_03_0000	619	11
LOCUS 3	C6 67	a	6	LSBR			Silex	Éclat de façonnage cortical	C 1200	M.LT_03_0000	620	10
LOCUS 3	C6 67	a	6	LSBR			Silex	Éclat	C 1200	M.LT_03_0000	622	10
LOCUS 3	C6 67	a	6	LSBR			Silex	Éclat de façonnage	C 1200	M.LT_03_0000	626	10
BD8L2				GB/GR			Silex	Racloir (fgt)	C 1200	M.LT_BD_0000	604	3
BD8L2				GB/GR			Silex	Éclat de façonnage	C 1200	M.LT_BD_0000	584	3
BD8L2				GB/GR			Silex	Éclat de façonnage	C 1200	M.LT_BD_0000	584	3
BD8L2				GB/GR			Silex	Éclat (fgt distal)	C 1200	M.LT_BD_0000	586	3
BD8L2				GB/GR			Silex	Éclat (fgt longitudinal)	C 1200	M.LT_BD_0000	586	3
CP07							Silex	Éclat de façonnage	C 1200	M.LT_BD_0000	640	2
CP07							Silex	Éclat de façonnage	C 1200	M.LT_BD_0000	625	10
CP07							Silex	Éclat de coup de tranchet	C 1200	M.LT_BD_0000	650	4
CP07							Silex	Éclat (fgt distal)	C 1200	M.LT_BD_0000	625	10
CP07							Silex	Éclat	C 1200	M.LT_BD_0000	640	2
Déblais				H.S.			Silex	Éclat cortical (fgt mésial)	C 1200	M.LT_BD_0000	578	4
Déblais				H.S.			Silex	Éclat de façonnage	C 1200	M.LT_BD_0000	583	3
LOCUS 3				LSB			Silex	Éclat (fgt mésial)	C 1200	M.LT_03_0000	622	10
LOCUS 3				LSB			Silex	Éclat (fgt indéterminé)	C 1200	M.LT_03_0000	629	10
LOCUS 3				LSB			Silex	Éclat cortical (fgt indéterminé)	C 1200	M.LT_03_0000	629	10
LOCUS 3				LSB			Silex	Éclat de façonnage cortical	C 1200	M.LT_03_0000	619	11
LOCUS 3				LSB			Silex	Éclat cortical (fgt distal)	C 1200	M.LT_03_0000	619	11
LOCUS 3				LSB			Silex	Éclat de façonnage	C 1200	M.LT_03_0000	625	10
LOCUS 3				LSB			Silex	Éclat (fgt indéterminé)	C 1200	M.LT_03_0000	629	10
LOCUS 3				LSB			Silex	Éclat (fgt distal)	C 1200	M.LT_03_0000	628	11
LOCUS 3				LSB			Silex	Éclat de façonnage cortical	C 1200	M.LT_03_0000	621	10
LOCUS 3				LSB			Silex	Éclat (fgt distal)	C 1200	M.LT_03_0000	627	10
LOCUS 3				LSB			Silex	Éclat (fgt mésial)	C 1200	M.LT_03_0000	624	10
LOCUS 3				LSB			Silex	Éclat de façonnage (fgt proximal)	C 1200	M.LT_03_0000	627	10
LOCUS 3				LSB			Silex	Éclat de façonnage	C 1200	M.LT_03_0000	622	10
LOCUS 3				LSB			Silex	Débris	C 1200	M.LT_03_0000	630	11
LOCUS 3				LSB			Silex	Éclat de façonnage	C 1200	M.LT_03_0000	622	10
LOCUS 3				LSB			Silex	Éclat (fgt distal)	C 1200	M.LT_03_0000	625	10
LOCUS 3				LSB			Silex	Éclat de façonnage	C 1200	M.LT_03_0000	626	10
LOCUS 3				LSB			Silex	Éclat (fgt distal)	C 1200	M.LT_03_0000	627	10
LOCUS 3				LSB			Silex	Éclat (fgt mésial)	C 1200	M.LT_03_0000	624	10
LOCUS 3				LSB			Silex	Éclat	C 1200	M.LT_03_0000	626	10
LOCUS 3				LSB			Silex	Eclat de façonnage (fgt proximal)	C 1200	M.LT_03_0000	628	11
LOCUS 3				LSB			Silex	Éclat (fgt mésial)	C 1200	M.LT_03_0000	624	10
LOCUS 3				LSB			Silex	Esquille	C 1200	M.LT_03_0000	624	10
LOCUS 3				LSB			Silex	Éclat (fgt indéterminé)	C 1200	M.LT_03_0000	624	10
LOCUS 4	C5 82	b	2	GR/SR			Silex	Éclat de façonnage (fgt proximal)	C 1200	M.LT_04_0000	633	9
LOCUS 4	C5 82	b	2	GR/SR			Silex	Éclat de façonnage	C 1200	M.LT_04_0000	632	9
LOCUS 4	C5 82	b	2	GR/SR			Silex	Débris	C 1200	M.LT_04_0000	635	9
LOCUS 4	C5 82	b	2	GR/SR			Silex	Éclat de façonnage	C 1200	M.LT_04_0000	632	9
LOCUS 4	C5 82	b	2	GR/SR			Silex	Éclat (fgt longitudinal)	C 1200	M.LT_04_0000	634	9
LOCUS 4	C5 82	b	2	GR/SR			Silex	Éclat de façonnage (fgt proximal)	C 1200	M.LT_04_0000	634	9
LOCUS 4	C5 82	b	2	GR/SR			Silex	Éclat (fgt indéterminé)	C 1200	M.LT_04_0000	635	9
LOCUS 4	C5 82	b	2	GR/SR			Silex	Éclat de façonnage	C 1200	M.LT_04_0000	633	9
LOCUS 4	C5 82	d	2	GR			Silex	Éclat de façonnage cortical	C 1200	M.LT_04_0000	631	9
LOCUS 3	C6 67	a	5	LSBR			Silex	Plaquette brute	C 1200	NON CONSERVE		
LOCUS 3	C6 67	d	4	LSBR			Grès quartzite	Bloc brut	C 1200	NON CONSERVE		
LOCUS 3	C6 67	d	6	LSBR			Quartzite	Bloc testé	C 1200	M.LT_03_5331		17
LOCUS 3	C6 67	b	9	SR			Quartzite	Bloc brut	C 1200	NON CONSERVE		
BD4L4				LSJ/LSB			Silex	Racloir simple	C 1200	M.LT_BD_0000	604	3
BD1L4				LSJ			Silex	Biface	C 1200	M.LT_BD_5334		1
BD6L1				LSB			Quartz	Percuteur	C 1200	M.LT_BD_5335		12
BD1L2				LSJ			Silex	Débris	C 1200	M.LT_BD_0000	609	6
BD2L1				LSB/GB			Silex	Nucléus Levallois	C 1200	M.LT_BD_0000	605	5
BD1L4				LSJ			Silex	Nucléus de gestion de surface non Levallois	C 1200	M.LT_BD_0000	605	5
BD1L4				LSJ			Silex	Racloir (fgt)	C 1200	M.LT_BD_0000	604	3
LOCUS 4	C5 82	c	3	GR/SR			Silex	Éclat de façonnage	C 1200	M.LT_04_0000	633	9
LOCUS 4	C5 82	c	3	GR/SR			Silex	Éclat de façonnage	C 1200	M.LT_04_0000	632	9
LOCUS 4	C5 82	c	3	GR/SR			Silex	Éclat de façonnage	C 1200	M.LT_04_0000	633	9
LOCUS 4	C5 82	c	3	GR/SR			Silex	Éclat de façonnage	C 1200	M.LT_04_0000	632	9
LOCUS 4	C5 82	c	6	SR			Silex	Éclat de façonnage (fgt proximal)	C 1200	M.LT_04_0000	634	9
LOCUS 4	C5 82	c	6	SR			Silex	Éclat cortical (fgt proximal)	C 1200	M.LT_04_0000	631	9
LOCUS 1	D8 25	d	1	GR			Silex	Gélifract	C 1200	M.LT_01_0001	611	7
LOCUS 4	C5 82	a	3	GR/SR			Silex	Éclat de façonnage	C 1200	M.LT_04_0000	632	9
LOCUS 4	C5 82	a	3	GR/SR			Silex	Éclat	C 1200	M.LT_04_0000	636	9
LOCUS 4	C5 82	a	3	GR/SR			Silex	Éclat cortical	C 1200	M.LT_04_0000	636	9
LOCUS 4	C5 82	a	3	GR/SR			Silex	Éclat de façonnage (fgt proximal)	C 1200	M.LT_04_0000	634	9
LOCUS 4	C5 82	a	3	GR/SR			Silex	Éclat	C 1200	M.LT_04_0000	636	9
LOCUS 4	C5 82	a	3	GR/SR			Silex	Éclat (fgt proximal)	C 1200	M.LT_04_0000	634	9
LOCUS 4	C5 82	a	3	GR/SR			Silex	Éclat de façonnage	C 1200	M.LT_04_0000	633	9
LOCUS 4	C5 82	a	3	GR/SR			Silex	Éclat de coup de tranchet	C 1200	M.LT_04_0000	648	9
LOCUS 4	C5 82	a	3	GR/SR			Silex	Éclat (fgt distal)	C 1200	M.LT_04_5355		9

Zone Secteur	Carré	Sous-carré	N° de décapage	Unité Pédo-stratigraphique	Position	Repose sur face	Matériau	Descriptif détaillé	Parcelle	Code SRA	Réf. contenant POCHE	Réf. contenant CAISSE
LOCUS 4	C5 82	a	4	GR/SR			Silex	Biface (fgt)	C 1200	M.LT_04_5356		9
LOCUS 4	C5 82	a	4	GR/SR			Silex	Éclat de façonnage cortical	C 1200	M.LT_04_0000	631	9
LOCUS 4	C5 82	a	4	GR/SR			Silex	Éclat (fgt mésial)	C 1200	M.LT_04_0000	635	9
LOCUS 4	C5 82	a	4	GR/SR			Silex	Éclat de façonnage	C 1200	M.LT_04_0000	632	9
LOCUS 4	C5 82	a	4	GR/SR			Silex	Éclat de façonnage	C 1200	M.LT_04_0000	632	9
LOCUS 4	C5 82	a	4	GR/SR			Silex	Éclat de façonnage	C 1200	M.LT_04_0000	636	9
LOCUS 4	C5 82	a	4	GR/SR			Silex	Éclat	C 1200	M.LT_04_5362		9
LOCUS 4	C5 82	a	4	GR/SR			Silex	Éclat de façonnage	C 1200	M.LT_04_0000	632	9
LOCUS 4	C5 82	a	4	GR/SR			Silex	Éclat de façonnage	C 1200	M.LT_04_0000	636	9
LOCUS 4	C5 82	a	5	GR/SR			Silex	Biface (fgt)	C 1200	M.LT_04_5365		9
LOCUS 4	C5 82	a	5	GR/SR			Silex	Éclat retouché (fgt indéterminé)	C 1200	M.LT_04_0000	636	9
LOCUS 4	C5 82	a	5	GR/SR			Silex	Éclat cortical	C 1200	M.LT_04_0000	631	9
LOCUS 4	C5 82	a	5	GR/SR			Silex	Débris	C 1200	M.LT_04_0000	636	9
LOCUS 4	C5 82	a	5	GR/SR			Silex	Débris	C 1200	M.LT_04_0000	631	9
LOCUS 4	C5 82	a	5	GR/SR			Silex	Éclat cortical (fgt proximal)	C 1200	M.LT_04_0000	632	9
LOCUS 4	C5 82	a	5	GR/SR			Silex	Éclat cortical (fgt proximal)	C 1200	M.LT_04_0000	634	9
LOCUS 4	C5 82	a	5	GR/SR			Silex	Éclat cortical (fgt proximal)	C 1200	M.LT_04_0000	634	9
LOCUS 4	C5 82	a	5	GR/SR			Silex	Éclat cortical (fgt proximal)	C 1200	M.LT_04_0000	632	9
LOCUS 4	C5 82	a	5	GR/SR			Silex	Éclat cortical (fgt proximal)	C 1200	M.LT_04_0000	633	9
LOCUS 4	C5 82	a	5	GR/SR			Silex	Éclat cortical (fgt distal)	C 1200	M.LT_04_0000	634	9
LOCUS 4	C5 82	a	5	GR/SR			Silex	Éclat de façonnage	C 1200	M.LT_04_0000	632	9
LOCUS 4	C5 82	a	5	GR/SR			Silex	Éclat	C 1200	M.LT_04_0000	636	9
LOCUS 4	C5 82	a	5	GR/SR			Silex	Éclat (fgt proximal)	C 1200	M.LT_04_5378		9
LOCUS 4	C5 82	a	5	GR/SR			Silex	Éclat cortical (fgt distal)	C 1200	M.LT_04_0000	635	9
LOCUS 4	C5 82	a	5	GR/SR			Silex	Éclat	C 1200	M.LT_04_0000	636	9
LOCUS 4	C5 82	a	5	GR/SR			Silex	Éclat cortical (fgt distal)	C 1200	M.LT_04_0000	635	9
Berme CP08 / LOCUS 3				LSJ			Silex	Cupule de gel	C 1200	M.LT_BD_0000	639	2
Berme CP08 / LOCUS 3				LSBR			Silex	Éclat (fgt mésial)	C 1200	M.LT_BD_0000	640	2
BD1L3				H.S.			Silex	3 fgts d'éclats	C 1200	M.LT_BD_0000	655	6
BD1L3				LSJ			Silex	1 éclat de façonnage, 3 esquilles	C 1200	M.LT_BD_0000	655	6
BD1L3				LSR			Silex	2 esquilles	C 1200	M.LT_BD_0000	655	6
BD1L3				GR			Silex	1 fgt d'éclat cortical, 2 esquilles	C 1200	M.LT_BD_0000	655	6
BD1L3				SR			Silex	Esquille	C 1200	M.LT_BD_0000	655	6
BD1L4				H.S.			Silex	Gélifract	C 1200	M.LT_BD_0000	655	6
BD1L4				LSJ			Silex	1 fgt d'éclat non cortical	C 1200	M.LT_BD_0000	655	6
BD1L4				LSJ			Silex	1 éclat non cortical, 2 fgts d'éclats	C 1200	M.LT_BD_0000	655	6
BD1L4				LSR			Silex	Éclat cortical (fgt)	C 1200	M.LT_BD_0000	655	6
BD1L4				GR			Silex	1 fgt d'éclat non cortical, 2 esquilles, 1 débris de taille	C 1200	M.LT_BD_0000	655	6
BD1L5 nord							Silex	1 fgt d'éclat non cortical	C 1200	M.LT_BD_0000	655	6
BD1L5				LSJ			Silex	1 éclat de façonnage, 3 éclats, 7 fgts d'éclats, 4 esquilles, 1 cupule	C 1200	M.LT_BD_0000	655	6
BD1L6				LSJ			Silex	Éclat cortical (fgt)	C 1200	M.LT_BD_0000	655	6
BD1L6				H.S.			Silex	1 éclat de façonnage, 1 éclat, 3 esquilles	C 1200	M.LT_BD_0000	655	6
BD1L6				GR			Silex	2 fgts d'éclats non corticaux	C 1200	M.LT_BD_0000	655	6
BD1L7				GR			Silex	1 éclat de façonnage, 3 éclats non corticaux, 2 fgts d'éclats non corticaux, 7 esquilles	C 1200	M.LT_BD_0000	655	6
BD1L9/L10				GR			Silex	2 fgts d'éclats non corticaux, 1 esquille	C 1200	M.LT_BD_0000	655	6
BD2L1				LSJ			Silex	1 éclat non cortical, 3 fgts d'éclats non corticaux, 2 esquilles	C 1200	M.LT_BD_0000	655	6
BD2L1				LSB			Silex	2 fgts d'éclats non corticaux, 1 débris de taille	C 1200	M.LT_BD_0000	655	6
BD2L1				LSB/GB			Silex	2 fgts d'éclats non corticaux, 1 gélifract	C 1200	M.LT_BD_0000	655	6
BD2L2				H.S.			Silex	1 éclat non cortical, 1 fgt d'éclat non cortical	C 1200	M.LT_BD_0000	655	6
BD2L2				LSJ			Silex	2 éclats non corticaux, 1 fgt d'éclat cortical, 2 esquilles	C 1200	M.LT_BD_0000	655	6
BD2L2				LSJp			Silex	1 fgt d'éclat non cortical	C 1200	M.LT_BD_0000	655	6
BD2L2				LSB			Silex	3 fgts d'éclats, 3 esquilles	C 1200	M.LT_BD_0000	655	6
BD2L3				LSJ			Silex	1 éclat non cortical, 1 gélifract	C 1200	M.LT_BD_0000	655	6
BD2L3				LSB			Silex	2 éclats, 1 fgt d'éclat cortical 2 débris de taille	C 1200	M.LT_BD_0000	655	6
BD2L4				GR			Silex	1 éclat non cortical, 1 fgt d'éclat non cortical, 2 esquilles	C 1200	M.LT_BD_0000	655	6
BD2L5				LSJ			Silex	2 esquilles	C 1200	M.LT_BD_0000	655	6
BD2L7				GR			Silex	5 fgts d'éclats, 8 esquilles	C 1200	M.LT_BD_0000	655	6
BD2L8				LSJ			Silex	4 fgts d'éclats, 1 gélifract	C 1200	M.LT_BD_0000	655	6
BD2L9				LSB			Silex	1 fgt d'éclat non cortical, 1 esquille, 1 débris de taille	C 1200	M.LT_BD_0000	655	6
BD2L9				GR			Silex	Esquille	C 1200	M.LT_BD_0000	655	6
BD3L1				LSJp			Silex	3 fgts d'éclats non corticaux	C 1200	M.LT_BD_0000	655	6
BD3L1				LSB			Silex	1 éclat non cortical, 1 fgt d'éclat non cortical, 1 débris de taille	C 1200	M.LT_BD_0000	655	6
BD3L1				LSBR			Silex	1 fgt d'éclat non cortical	C 1200	M.LT_BD_0000	655	6
BD3L2				H.S.			Silex	2 fgts d'éclats non corticaux	C 1200	M.LT_BD_0000	655	6
BD3L2				LSJp			Silex	1 fgt d'éclat non cortical	C 1200	M.LT_BD_0000	655	6
BD3L2				LSB			Silex	1 éclat cortical, 1 fgt d'éclat non cortical	C 1200	M.LT_BD_0000	655	6
BD3L2				GR			Silex	1 fgt d'éclat non cortical	C 1200	M.LT_BD_0000	655	6
BD3L3				SR			Silex	1 éclat de façonnage cortical, 1 fgt d'éclat non cortical, 1 débris de taille	C 1200	M.LT_BD_0000	655	6
BD3L4				LSB			Silex	1 éclat non cortical, 4 fgts d'éclats, 1 esquille, 2 débris de taille	C 1200	M.LT_BD_0000	655	6
BD3L4				GB			Silex	3 éclats de façonnage	C 1200	M.LT_BD_0000	655	6
BD3L4				GR			Silex	2 fgts d'éclats non corticaux, 1 esquille	C 1200	M.LT_BD_0000	655	6
BD3L5				LSJ			Silex + 1 Céramique	2 fgts d'éclats, 1 esquille, 2 débris de taille	C 1200	M.LT_BD_0000	655	6
BD4L2				LSB			Silex	Esquille	C 1200	M.LT_BD_0000	655	6
BD4L2				GR			Silex	1 fgt d'éclat non cortical	C 1200	M.LT_BD_0000	655	6
BD4L4				LSJ/LSB			Silex	2 éclats, 1 fgt éclat à dos cortical,1 fgt éclat façonnage, 4 fgts d'éclats	C 1200	M.LT_BD_0000	655	6
BD4L4				GBR			Silex	Éclat cortical	C 1200	M.LT_BD_0000	655	6
BD4L5				LSJ			Silex	2 fgts d'éclats non corticaux	C 1200	M.LT_BD_0000	655	6
BD4L5				LSB			Silex	4 fgts d'éclats non corticaux, 1 esquille	C 1200	M.LT_BD_0000	655	6
BD4L5				GR			Silex	1 éclat de façonnage, 2 esquilles, 1 débris de taille	C 1200	M.LT_BD_0000	655	6
BD4L6				LSJ			Silex	1 fgt d'éclat non cortical, 1 esquille	C 1200	M.LT_BD_0000	655	6
BD5L1				LSJ/LSB			Silex	3 fgts d'éclats non corticaux	C 1200	M.LT_BD_0000	655	6
BD5L5				LSB			Silex	Esquille	C 1200	M.LT_BD_0000	655	6
BD5L5				GR			Silex	1 fgt d'éclat cortical, 1 esquille	C 1200	M.LT_BD_0000	655	6
BD5L6				LSJ			Silex	1 éclat cortical, 1 fgt d'éclat non cortical	C 1200	M.LT_BD_0000	655	6
BD5L6				LSB			Silex	2 éclats de façonnage, 16 éclats non corticaux, 1 fgt d'éclat de façonnage, 10 fgts d'éclats, 1 esquille	C 1200	M.LT_BD_0000	655	6
BD5L6				LSBR			Silex	2 fgts d'éclats non corticaux, 1 esquille	C 1200	M.LT_BD_0000	655	6
BD6L1				LSB			Silex	1 fgt d'éclat non cortical	C 1200	M.LT_BD_0000	655	6
BD6L4				LSB			Silex	6 éclats de façonnage, 2 fgts d'éclats non corticaux	C 1200	M.LT_BD_0000	655	6
BD6L5				LSB			Silex	3 fgts d'éclats non corticaux, 1 esquille	C 1200	M.LT_BD_0000	655	6
BD7L1				LSB			Silex	1 éclat de façonnage cortical, 2 éclats, 1 fgt d'éclat cortical 1 débris de taille	C 1200	M.LT_BD_0000	655	6
BD7L2/3				GBR			Silex	3 fgts d'éclats non corticaux	C 1200	M.LT_BD_0000	655	6
BD7L2/3				GR/SR			Silex	5 éclats de façonnage, 1 éclat de façonnage cortical, 1 fgt d'éclat cortical, 10 fgts d'éclats non corticaux, 7 esquilles	C 1200	M.LT_BD_0000	655	6
BD7L2/3				SR			Silex	1 éclat non cortical, 1 fgt d'éclat non cortical, 1 esquille, 1 cupule	C 1200	M.LT_BD_0000	655	6
BD7L4				LSB			Silex	1 éclat de retouche, 1 éclat non cortical, 7 fgts d'éclats non corticaux, 2 esquilles	C 1200	M.LT_BD_0000	655	6
BD8L1				LSB			Silex	2 fgts d'éclats non corticaux, 1 débris de taille, 1 gélifract	C 1200	M.LT_BD_0000	655	6
BD8L1				GB			Silex	1 fgt d'éclat de façonnage, 1 fgt d'éclat non corticaux, 2 esquilles	C 1200	M.LT_BD_0000	655	6
BD8L1				GR			Silex	1 éclat de façonnage, 1 éclat non cortical, 2 fgts d'éclats, 1 esquille	C 1200	M.LT_BD_0000	655	6
BD9L4				LSB			Silex	2 fgts d'éclats, 2 esquilles	C 1200	M.LT_BD_0000	655	6
BD9L4				GBR			Silex	2 éclats de façonnage, 1 éclat de façonnage cortical, 2 fgts d'éclats non corticaux, 3 esquilles	C 1200	M.LT_BD_0000	655	6

Zone Secteur	Carré	Sous-carré	N° de décapage	Unité Pédo-stratigraphique	Position	Repose sur face	Matériau	Descriptif détaillé	Parcelle	Code SRA	Réf. contenant POCHE	Réf. contenant CAISSE
Déblais				H.S.			Silex	4 fgts d'éclats, 1 esquille, 1 débris de taille, 2 gélifracts	C 1200	M.LT_BD_0000	655	6
TS01.1							Silex	1 fgt d'éclat non cortical, 1 esquille	C 1200	M.LT_BD_0000	655	6
TS02							Silex	3 fgts d'éclats non corticaux, 1 esquille	C 1200	M.LT_BD_0000	655	6
TS04.2							Silex	2 fgts d'éclats corticaux, 5 esquilles, 1 gélifract	C 1200	M.LT_BD_0000	655	6
LOCUS 1	D8		nettoyage surface	GR			Silex + 1 Quartz	2 éclats non corticaux, 175 esquilles	C 1200	M.LT_01_0000	654	7
LOCUS 1	D8 15	a	1	GR			Silex	5 esquilles	C 1200	M.LT_01_0000	654	7
LOCUS 1	D8 15	b	1	GR			Silex	1 éclat non cortical, 6 fgts d'éclats non corticaux, 10 esquilles	C 1200	M.LT_01_0000	654	7
LOCUS 1	D8 16	a	1	GR			Silex	2 fgts d'éclats non corticaux, 22 esquilles	C 1200	M.LT_01_0000	654	7
LOCUS 1	D8 25	a	1	GR			Silex	5 fgts d'éclats, 18 esquilles	C 1200	M.LT_01_0000	654	7
LOCUS 1	D8 25	b	1	GR			Silex	6 fgts d'éclats, 43 esquilles	C 1200	M.LT_01_0000	654	7
LOCUS 1	D8 25	c	1	GR			Silex	2 éclats non corticaux, 4 fgts d'éclats non corticaux, 10 esquilles	C 1200	M.LT_01_0000	654	7
LOCUS 1	D8 25	d	1	GR			Silex	3 fgts d'éclats, 4 esquilles	C 1200	M.LT_01_0000	654	7
LOCUS 1	D8 26	a	1	GR			Silex	2 fgts d'éclats non corticaux, 9 esquilles	C 1200	M.LT_01_0000	654	7
LOCUS 1	D8 26	b	1	GR			Silex	3 fgts d'éclats non corticaux, 10 esquilles	C 1200	M.LT_01_0000	654	7
LOCUS 1	D8 26	c	1	GR			Silex	5 fgts d'éclats non corticaux, 44 esquilles	C 1200	M.LT_01_0000	654	7
LOCUS 1	D8 26	d	1	GR			Silex	4 fgts d'éclats non corticaux, 38 esquilles	C 1200	M.LT_01_0000	654	7
LOCUS 1	D8 15		2	GR			Silex	6 esquilles	C 1200	M.LT_01_0000	654	7
LOCUS 1	D8 15	a	2	GR			Silex	1 fgt d'éclat non cortical, 2 esquilles	C 1200	M.LT_01_0000	654	7
LOCUS 1	D8 15	b	2	GR			Silex	5 fgts d'éclats, 19 esquilles, 1 gélifract	C 1200	M.LT_01_0000	654	7
LOCUS 1	D8 25	a	2	GR			Silex	2 esquilles	C 1200	M.LT_01_0000	654	7
LOCUS 1	D8 25	b	2	GR			Silex	2 éclats non corticaux, 4 fgts d'éclats non corticaux, 17 esquilles	C 1200	M.LT_01_0000	654	7
LOCUS 1	D8 25	c	2	GR			Silex	1 fgt d'éclat non cortical, 2 esquilles	C 1200	M.LT_01_0000	654	7
LOCUS 1	D8 25	d	2	GR			Silex	13 esquilles	C 1200	M.LT_01_0000	654	7
LOCUS 1	D8 25	c-d	2	GR			Silex	2 esquilles	C 1200	M.LT_01_0000	654	7
LOCUS 1	D8 16	a	3	GR			Silex	1 fgt d'éclat non cortical, 5 esquilles	C 1200	M.LT_01_0000	654	7
LOCUS 1	D8 16	b	3	GR			Silex	Esquille	C 1200	M.LT_01_0000	654	7
LOCUS 1	D8 25	d	3	GR			Silex	1 fgt d'éclat non cortical, 11 esquilles	C 1200	M.LT_01_0000	654	7
LOCUS 1	D8 26	c	3	GR			Silex	1 éclat non cortical, 7 esquilles	C 1200	M.LT_01_0000	654	7
LOCUS 1	D8 26	d	3	GR			Silex	2 esquilles	C 1200	M.LT_01_0000	654	7
BD1L8 nord				LSJ			Silex	Esquille	C 1200	M.LT_BD_0000	655	6
BD1L8 nord				GR			Silex	2 éclats de façonnage non corticaux, 1 fgt d'éclat non cortical, 7 esquilles	C 1200	M.LT_BD_0000	655	6
BD1L8 sud				GR			Silex	2 fgts d'éclats non corticaux, 2 esquilles, 1 cupule	C 1200	M.LT_BD_0000	655	6
BD1L8 sud				SR			Silex	2 fgts d'éclats non corticaux	C 1200	M.LT_BD_0000	655	6
BD1L7				LSJ			Silex	2 esquilles	C 1200	M.LT_BD_0000	655	6
BD1L7				LR			Silex	2 esquilles	C 1200	M.LT_BD_0000	655	6
BD1L7				GR			Silex	Esquille	C 1200	M.LT_BD_0000	655	6
BD1L4				LSJ			Silex	Esquille	C 1200	M.LT_BD_0000	655	6
BD1L4				LSB			Silex	2 fgts d'éclats non corticaux, 1 esquille	C 1200	M.LT_BD_0000	655	6
BD1L5				LSJ			Silex	1 fgt d'éclat non cortical	C 1200	M.LT_BD_0000	655	6
BD1L5				LSR			Silex	1 fgt d'éclat non cortical	C 1200	M.LT_BD_0000	655	6
BD1L6				GR			Silex	1 éclat de façonnage, 8 fgts d'éclats non corticaux, 24 esquilles	C 1200	M.LT_BD_0000	655	6
BD2L6				LSJ			Silex	5 fgts d'éclats, 5 esquilles	C 1200	M.LT_BD_0000	655	6
BD2L6				LSB			Silex	Éclat de façonnage	C 1200	M.LT_BD_0000	655	6
BD2L6				GR			Silex	5 éclats de façonnage, 1 éclat de façonnage cortical, 4 fgts d'éclats non corticaux, 17 esquilles	C 1200	M.LT_BD_0000	655	6
BD2L6				GR			Silex	1 éclat de façonnage cortical, 5 fgts d'éclats non corticaux, 10 esquilles	C 1200	M.LT_BD_0000	655	6
BD2L9/L10				GR			Silex	1 fgt d'éclat non cortical	C 1200	M.LT_BD_0000	655	6
BD3L5				LSR			Silex	Esquille	C 1200	M.LT_BD_0000	655	6
BD3L5				GR			Silex	1 éclat de façonnage, 1 fgt d'éclat non cortical, 4 esquilles	C 1200	M.LT_BD_0000	655	6
BD3L6				LSJ			Silex + 1 Fer	2 fgts d'éclats non corticaux, 2 esquilles, 1 fragment de scorie	C 1200	M.LT_BD_0000	655	6
BD3L6				GR			Silex	4 fgts d'éclats, 3 esquilles	C 1200	M.LT_BD_0000	655	6
BD3L6				SR			Silex	Esquille	C 1200	M.LT_BD_0000	655	6
BD3L7				LSJ			Silex	Esquille	C 1200	M.LT_BD_0000	655	6
BD3L7				GR			Silex	2 fgts d'éclats non corticaux	C 1200	M.LT_BD_0000	655	6
BD4L7				LSB			Silex	Esquille	C 1200	M.LT_BD_0000	655	6
BD4L8				LSJ			Silex	Esquille	C 1200	M.LT_BD_0000	655	6
BD4L8				GR			Silex	1 éclat de façonnage, 3 fgts d'éclats non corticaux, 8 esquilles	C 1200	M.LT_BD_0000	655	6
BD5L2/3				LSJ/LSB			Silex	1 fgt d'éclat non cortical	C 1200	M.LT_BD_0000	655	6
BD5L2/3				LSR/LBp			Silex	2 fgts d'éclats	C 1200	M.LT_BD_0000	655	6
BD5L2/3				remblais Diag TR24			Silex	1 fgt d'éclat non cortical, 1 esquille	C 1200	M.LT_BD_0000	655	6
BD5L5				LSB			Silex	1 éclat de façonnage, 1 fgt d'éclat non cortical, 1 débris de taille	C 1200	M.LT_BD_0000	655	6
BD5L5				LSBR			Silex	1 éclat de façonnage, 2 esquilles	C 1200	M.LT_BD_0000	655	6
BD6L2/3							Silex	4 fgts d'éclats non corticaux	C 1200	M.LT_BD_0000	655	6
BD6L2/3				SR			Silex	3 fgts d'éclats non corticaux, 1 esquille	C 1200	M.LT_BD_0000	655	6
BD6L5				LSJ			Silex	2 éclats de façonnage, 8 fgts d'éclats, 1 esquille	C 1200	M.LT_BD_0000	655	6
BD6L5				LSB			Silex	1 éclat de façonnage, 2 fgts d'éclats non corticaux, 1 esquille	C 1200	M.LT_BD_0000	655	6
BD6L6				LSJ			Silex	2 fgts d'éclats non corticaux, 1 esquille	C 1200	M.LT_BD_0000	655	6
BD6L7				GR			Silex	1 fgt d'éclat non cortical	C 1200	M.LT_BD_0000	655	6
BD7L6				LSB			Silex	2 éclats de façonnage, 4 fgts d'éclats non corticaux, 5 esquilles	C 1200	M.LT_BD_0000	655	6
BD7L6				LSB/LSBR			Silex	6 fgts d'éclats	C 1200	M.LT_BD_0000	655	6
BD7L6				GR			Silex	3 esquilles	C 1200	M.LT_BD_0000	655	6
BD7L6				GR/SR			Silex	1 éclat de façonnage, 4 fgts d'éclats non corticaux, 2 esquilles	C 1200	M.LT_BD_0000	655	6
BD7L6				LSR			Silex	2 fgts d'éclats, 1 esquille	C 1200	M.LT_BD_0000	655	6
BD7L7				LSB			Silex	1 éclat de façonnage, 2 fgts d'éclats, 1 esquille	C 1200	M.LT_BD_0000	655	6
BD7L2/3				LSB			Silex	4 fgts d'éclats non corticaux, 3 esquilles	C 1200	M.LT_BD_0000	655	6
BD7L5				LSJ			Silex	6 fgts d'éclats non corticaux	C 1200	M.LT_BD_0000	655	6
BD8L2				LSB			Silex	3 fgts d'éclats non corticaux, 4 esquilles	C 1200	M.LT_BD_0000	655	6
BD8L2				GB			Silex	3 éclats de façonnage, 1 fgt d'éclat non cortical, 3 esquilles	C 1200	M.LT_BD_0000	655	6
BD8L4				LSB			Silex	2 fgts d'éclats non corticaux	C 1200	M.LT_BD_0000	655	6
BD8L5				LSJ			Silex	4 fgts d'éclats, 3 esquilles	C 1200	M.LT_BD_0000	655	6
BD8L5				LSB/GB			Silex	3 fgts d'éclats non corticaux, 2 esquilles	C 1200	M.LT_BD_0000	655	6
BD8L5				GR/SR			Silex	2 éclats de façonnage, 2 esquilles	C 1200	M.LT_BD_0000	655	6
BD8L5				GR			Silex	1 éclat de façonnage, 1 fgt d'éclat non cortical	C 1200	M.LT_BD_0000	655	6
BD8L6				LSJ/LSB			Silex	1 éclat de façonnage, 1 fgt d'éclat non cortical	C 1200	M.LT_BD_0000	655	6
BD8L6				LSB			Silex	1 fgt d'éclat non cortical	C 1200	M.LT_BD_0000	655	6
BD8L7				GR			Silex	Esquille	C 1200	M.LT_BD_0000	655	6
BD8L11				LSB			Silex	1 fgt d'éclat non cortical	C 1200	M.LT_BD_0000	655	6
BD8L11				GBR/A			Silex	Esquille	C 1200	M.LT_BD_0000	655	6
BD9L2				GBR			Silex	1 fgt d'éclat non cortical, 2 esquilles	C 1200	M.LT_BD_0000	655	6
BD9L5				LSB			Silex	1 fgt d'éclat non cortical	C 1200	M.LT_BD_0000	655	6
BD9L11				LSB			Silex	1 éclat de façonnage, 1 fgt d'éclat non cortical, 3 esquilles	C 1200	M.LT_BD_0000	655	6
BD9L11				LSBR			Silex	1 fgt d'éclat non cortical, 1 esquille	C 1200	M.LT_BD_0000	655	6
BD10L2				GR			Silex	1 éclat de façonnage, 4 fgts d'éclats non corticaux	C 1200	M.LT_BD_0000	655	6
BD10L4				LSB			Silex	2 esquilles	C 1200	M.LT_BD_0000	655	6
BD10L6				LSJ			Silex	2 fgts d'éclats non corticaux	C 1200	M.LT_BD_0000	655	6
BD10L8				LSJ			Silex	Esquille	C 1200	M.LT_BD_0000	655	6
BD12L4				GB			Silex	1 fgt d'éclat non cortical	C 1200	M.LT_BD_0000	655	6
BDest L4				GR			Silex	2 esquilles	C 1200	M.LT_BD_0000	655	6
BDest L5				LSR			Silex	1 fgt d'éclat non cortical	C 1200	M.LT_BD_0000	655	6
CP Nord - zone fouille manuelle							Silex	5 éclats non corticaux, 4 fgts d'éclats, 11 esquilles, 1 débris de taille	C 1200	M.LT_BD_0000	655	6

Zone Secteur	Carré	Sous-carré	N° de décapage	Unité Pédo-stratigraphique	Position	Repose sur face	Matériau	Descriptif détaillé	Parcelle	Code SRA	Réf. contenant POCHE	Réf. contenant CAISSE
CP07							Silex	1 éclat non cortical, 1 fgt d'éclat non cortical, 2 esquilles	C 1200	M.LT_BD_0000	655	6
CP Est - zone de fouille manuelle							Silex	1 éclat non cortical, 2 fgts d'éclats, 6 esquilles	C 1200	M.LT_BD_0000	655	6
CP08							Silex	3 esquilles	C 1200	M.LT_BD_0000	655	6
CP08				LSB			Silex	2 fgts d'éclats non corticaux, 3 esquilles	C 1200	M.LT_BD_0000	655	6
CP08				LSBR			Silex	1 éclat de façonnage, 2 fgts d'éclats non corticaux, 8 esquilles	C 1200	M.LT_BD_0000	655	6
CP08 base			1	GR/SR			Silex	4 éclats, 8 fgts d'éclats, 33 esquilles, 1 débris de taille	C 1200	M.LT_BD_0000	655	6
CP08 base			1	GR/SR			Silex	4 éclats, 16 fgts d'éclats, 4 esquilles, 1 débris de taille	C 1200	M.LT_BD_0000	655	6
CP08 base			1	GR/SR			Silex	1 éclat non cortical, 16 fgts d'éclats, 30 esquilles, 1 gélifract	C 1200	M.LT_BD_0000	655	6
CP08 base			1	GR			Silex	3 éclats de façonnage, 5 fgts d'éclats de façonnage, 1 fgt d'éclat non cortical, 118 esquilles, 1 débris de taille	C 1200	M.LT_BD_0000	655	6
BD1L1							Silex	2 fgts d'éclats non corticaux, 2 esquilles	C 1200	M.LT_BD_0000	655	6
BD1L1				H.S.			Silex	1 esquille, 1 débris de taille, 1 cupule	C 1200	M.LT_BD_0000	655	6
BD1L2							Silex	1 fgt d'éclat non cortical, 3 esquilles	C 1200	M.LT_BD_0000	655	6
LOCUS 3				LSB			Silex	1 éclat cortical, 3 fgts d'éclats non corticaux, 5 esquilles, 1 débris de taille	C 1200	M.LT_03_0000	651	11
LOCUS 3				LSBR			Silex	2 éclats non corticaux, 7 fgts d'éclats non corticaux, 9 esquilles, 1 cupule	C 1200	M.LT_03_0000	651	11
LOCUS 3				GR			Silex	7 éclats, 2 fgts d'éclats non corticaux, 19 esquilles, 1 débris de taille	C 1200	M.LT_03_0000	651	11
LOCUS 3				LSR			Silex	3 fgts d'éclats, 4 esquilles	C 1200	M.LT_03_0000	651	11
LOCUS 3				SR			Silex	4 éclats, 1 fgt d'éclat non cortical, 7 esquilles, 1 cupule	C 1200	M.LT_03_0000	651	11
LOCUS 3	C6 66	b	1	LSB			Silex	1 éclat non cortical, 3 fgts d'éclats non corticaux, 13 esquilles	C 1200	M.LT_03_0000	651	11
LOCUS 3	C6 66	c	1	LSB			Silex	2 fgts d'éclats non corticaux, 3 esquilles	C 1200	M.LT_03_0000	651	11
LOCUS 3	C6 66	d	1	LSB			Silex + 1 Quartz	1 éclat cortical (entame), 1 fgt d'éclat non cortical, 93 esquilles, 1 cupule	C 1200	M.LT_03_0000	651	11
LOCUS 3	C6 67		1	LSB			Silex	1 fgt d'éclat non cortical, 3 esquilles	C 1200	M.LT_03_0000	651	11
LOCUS 3	C6 67	c	1	LSB			Silex	3 éclats non corticaux, 3 fgts d'éclats, 8 esquilles	C 1200	M.LT_03_0000	651	11
LOCUS 3	C6 67	d	1	LSB			Silex	1 éclat cortical, 6 fgts d'éclats, 96 esquilles, 1 gélifract	C 1200	M.LT_03_0000	651	11
LOCUS 3	C6 68	b	1	LSB			Silex	4 esquilles	C 1200	M.LT_03_0000	651	11
LOCUS 3	C6 68	c	1	LSB			Silex	4 esquilles	C 1200	M.LT_03_0000	651	11
LOCUS 3	C6 68	d	1	LSB			Silex	5 esquilles, 1 débris de taille	C 1200	M.LT_03_0000	651	11
LOCUS 3	C6 69	a	1	LSB			Silex	1 éclat Kombewa, 1 éclat non cortical, 16 esquilles	C 1200	M.LT_03_0000	651	11
LOCUS 3	C6 69	b	1	LSB/LSBR			Silex	1 fgt d'éclat cortical, 14 esquilles	C 1200	M.LT_03_0000	651	11
LOCUS 3	C6 69	c	1	LSB			Silex	7 esquilles	C 1200	M.LT_03_0000	651	11
LOCUS 3	C6 69	d	1	LSBR			Silex	1 éclat non cortical, 3 fgts d'éclats, 16 esquilles	C 1200	M.LT_03_0000	651	11
LOCUS 3	C6 76	c	1	LSB			Silex	2 fgts d'éclats non corticaux, 8 esquilles	C 1200	M.LT_03_0000	651	11
LOCUS 3	C6 76	b	1	LSB			Silex	7 esquilles, 1 gélifract	C 1200	M.LT_03_0000	651	11
LOCUS 3	C6 76	d	1	LSB			Silex	1 éclat non cortical, 3 fgts d'éclats non corticaux, 9 esquilles	C 1200	M.LT_03_0000	651	11
LOCUS 3	C6 77		1	LSB			Silex	3 esquilles	C 1200	M.LT_03_0000	651	11
LOCUS 3	C6 78		1	LSB			Silex	3 esquilles	C 1200	M.LT_03_0000	651	11
LOCUS 3	C6 78	c	1	LSB			Silex	6 esquilles	C 1200	M.LT_03_0000	651	11
LOCUS 3	C6 78	d	1	LSB			Silex	10 esquilles, 1 débris de taille	C 1200	M.LT_03_0000	651	11
LOCUS 3	C6 79	b	nettoyage surface	LSBR			Silex	3 éclats non corticaux, 2 fgts d'éclats, 3 esquilles	C 1200	M.LT_03_0000	651	11
LOCUS 3	C6 79	c	1	LSB			Silex	1 fgt d'éclat non cortical, 7 esquilles	C 1200	M.LT_03_0000	651	11
LOCUS 3	C6 79	d	1	LSBR			Silex	2 esquilles	C 1200	M.LT_03_0000	651	11
LOCUS 3	C6 88	c	1	LSB			Silex	8 esquilles	C 1200	M.LT_03_0000	651	11
LOCUS 3	C6 88	d	1	LSB			Silex	2 fgts d'éclats non corticaux, 1 esquille	C 1200	M.LT_03_0000	651	11
LOCUS 3	C6 86	b	1	LSB			Silex	7 esquilles	C 1200	M.LT_03_0000	651	11
LOCUS 3	C6 86	d	1	LSB			Silex	2 esquilles	C 1200	M.LT_03_0000	651	11
LOCUS 3	C6 87	b	1	LSBR			Silex	7 esquilles	C 1200	M.LT_03_0000	651	11
LOCUS 3	C6 87	d	1	LSB			Silex	5 esquilles	C 1200	M.LT_03_0000	651	11
LOCUS 3	C6 89		1	LSBR			Silex	2 esquilles	C 1200	M.LT_03_0000	651	11
LOCUS 3	C6 89	a	1	LSB			Silex	1 fgt d'éclat non cortical, 2 esquilles	C 1200	M.LT_03_0000	651	11
LOCUS 3	C6 89	b	1	LSB			Silex	9 esquilles	C 1200	M.LT_03_0000	651	11
LOCUS 3	C6 89	c	1	LSB			Silex	1 fgt d'éclat cortical, 5 esquilles	C 1200	M.LT_03_0000	651	11
LOCUS 4	C5 82	a	1	GR			Silex	1 éclat non cortical, 7 fgts d'éclats non corticaux	C 1200	M.LT_04_0000	652	9
LOCUS 4	C5 82	a	2	GR			Silex	3 fgts d'éclats corticaux, 152 esquilles	C 1200	M.LT_04_0000	652	9
LOCUS 4	C5 82	a	3	GR/SR			Silex	50 esquilles	C 1200	M.LT_04_0000	652	9
LOCUS 4	C5 82	a	4	GR			Silex	5 éclats non corticaux, 10 fgts d'éclats, 39 esquilles	C 1200	M.LT_04_0000	652	9
LOCUS 4	C5 82	a	5	GR/SR			Silex	3 fgts d'éclats non corticaux, 45 esquilles, 1 cupule	C 1200	M.LT_04_0000	652	9
LOCUS 4	C5 82	a	6	GR/SR			Silex + 1 Grès ?	1 éclat de coup de tranchet,1 éclat débordant, 4 éclats non corticaux, 10 fgts d'éclats, 23 esquilles	C 1200	M.LT_04_0000	652	9
LOCUS 2	D7 04	a	1	LSB/LSBR			Silex	1 éclat non cortical, 2 fgts d'éclats non corticaux, 2 esquilles	C 1200	M.LT_02_0000	653	8
LOCUS 2	D7 04	a	2	LSB/LSBR			Silex	1 éclat non cortical, 2 fgts d'éclats non corticaux, 2 esquilles	C 1200	M.LT_02_0000	653	8
LOCUS 2	D7 04	a	4	LSBR			Silex	4 fgts d'éclats non corticaux, 12 esquilles	C 1200	M.LT_02_0000	653	8
LOCUS 2	D7 04	a	5	LSBR			Silex	3 fgts d'éclats non corticaux, 3 esquilles	C 1200	M.LT_02_0000	653	8
LOCUS 2	D7 04	a	6	SR			Silex	1 fgt d'éclat non cortical, 3 esquilles	C 1200	M.LT_02_0000	653	8
LOCUS 2	D7 04	a	7	SR			Silex	1 fgt d'éclat non cortical	C 1200	M.LT_02_0000	653	8
LOCUS 2	D7 04	a	8	SR			Silex	Éclat	C 1200	M.LT_02_0000	653	8
Berme LOCUS 2 / 3				LSJ			Silex	Esquille	C 1200	M.LT_BD_0000	655	6
Berme LOCUS 2 / 3				LSB			Silex	7 éclats dont 1 éclat d'affûtage de biface, 7 esquilles	C 1200	M.LT_BD_0000	655	6
Berme LOCUS 2 / 3				LSR			Silex	7 éclats non corticaux dont 1 éclat d'affûtage de biface, 15 fgts d'éclats non corticaux, 2 esquilles	C 1200	M.LT_BD_0000	655	6
Berme LOCUS 2 / 3				SR			Silex	1 fgt d'éclat non cortical, 1 esquille	C 1200	M.LT_BD_0000	655	6
Berme CP08 / LOCUS 3				LSJ			Silex	1 éclat non cortical, 1 esquille	C 1200	M.LT_BD_0000	655	6
Berme CP08 / LOCUS 3				LSB			Silex	1 éclat non cortical, 6 esquilles	C 1200	M.LT_BD_0000	655	6
Berme CP08 / LOCUS 3				LSBR			Silex	2 éclats non corticaux, 7 fgts d'éclats non corticaux, 12 esquilles, 1 cupule	C 1200	M.LT_BD_0000	655	6
Berme CP08 / LOCUS 3				LSR			Silex	1 fgt d'éclat non cortical, 2 esquilles	C 1200	M.LT_BD_0000	655	6
Berme CP08 / LOCUS 3				SR			Silex	Éclat	C 1200	M.LT_BD_0000	655	6
LOCUS 2	D6 93	a	1	LSB			Silex	2 fgts d'éclats non corticaux	C 1200	M.LT_02_0000	653	8
LOCUS 3	C6 67	a	2	LSBR			Silex	5 éclats, 1 esquille, 1 débris de taille	C 1200	M.LT_03_0000	651	11
LOCUS 3	C6 67	a	5	LSBR			Silex	1 éclat non cortical, 6 fgts d'éclats, 6 esquilles	C 1200	M.LT_03_0000	651	11
LOCUS 3	C6 67	a	6	LSBR			Silex	2 fgts d'éclats, 6 esquilles	C 1200	M.LT_03_0000	651	11
LOCUS 3	C6 67	a	7	LSBR			Silex + 1 Grès	1 éclat non cortical, 9 fgts d'éclats, 5 esquilles	C 1200	M.LT_03_0000	651	11
LOCUS 3	C6 67	a	8	SR			Silex	1 éclat non cortical, 4 fgts d'éclats non corticaux, 2 esquilles	C 1200	M.LT_03_0000	651	11
LOCUS 3	C6 67	a	9	SR			Silex	2 fgts d'éclats, 6 esquilles	C 1200	M.LT_03_0000	651	11
LOCUS 3	C6 67	a	10	SR			Silex	2 éclats non corticaux, 5 fgts d'éclats non corticaux, 4 esquilles	C 1200	M.LT_03_0000	651	11
BD3L6				GR			Silex	1 éclat non cortical, 2 fgts d'éclats non corticaux, 7 esquilles	C 1200	M.LT_BD_0000	655	6
BD3L6				GR			Silex	6 fgts d'éclats non corticaux, 21 esquilles	C 1200	M.LT_BD_0000	655	6
LOCUS 2			2	LSB/LSBR			Silex	1 fgt d'éclat non cortical, 1 esquille	C 1200	M.LT_02_0000	653	8
LOCUS 2				LSBR			Silex	3 fgts d'éclats non corticaux	C 1200	M.LT_02_0000	653	8

Zone Secteur	Carré	Sous-carré	N° de décapage	Unité Pédo-stratigraphique	Position	Repose sur face	Matériau	Descriptif détaillé	Parcelle	Code SRA	Réf. contenant POCHE	Réf. contenant CAISSE
LOCUS 2				LSR			Silex	1 éclat non cortical, 1 fgt d'éclat non cortical, 2 esquilles, 1 cupule	C 1200	M.LT_02_0000	653	8
LOCUS 2				LSR (poches SR)			Silex	5 fgts d'éclats, 6 esquilles, 1 cupule	C 1200	M.LT_02_0000	653	8
LOCUS 2	D6 85	a	2	LSB/LSBR			Silex	3 fgts d'éclats non corticaux, 4 esquilles	C 1200	M.LT_02_0000	653	8
LOCUS 2	D6 85	b	2	LSB/LSBR/GR			Silex	1 esquille, 1 cupule	C 1200	M.LT_02_0000	653	8
LOCUS 2	D6 85	c	2	LSB/LSBR			Silex	2 fgts d'éclats non corticaux, 4 esquilles	C 1200	M.LT_02_0000	653	8
LOCUS 2	D6 85	d	2	LSB/LSBR			Silex	1 éclat non cortical, 1 fgt d'éclat non cortical, 1 esquille	C 1200	M.LT_02_0000	653	8
LOCUS 2	D6 92	a	2	LSB			Silex	3 fgts d'éclats, 2 esquilles	C 1200	M.LT_02_0000	653	8
LOCUS 2	D6 92	b	2	LSB			Silex	2 fgts d'éclats non corticaux	C 1200	M.LT_02_0000	653	8
LOCUS 2	D6 94	a	2	LSB/LSBR/GR			Silex	2 éclats non corticaux 2 esquilles	C 1200	M.LT_02_0000	653	8
LOCUS 2	D6 94	b	2	LSB/LSBR			Silex	2 esquilles	C 1200	M.LT_02_0000	653	8
LOCUS 2	D6 94	c	2	LSB/LSBR			Silex	Esquille	C 1200	M.LT_02_0000	653	8
LOCUS 2	D6 94	d	2	LSB/LSBR			Silex	2 fgts d'éclats non corticaux, 8 esquilles	C 1200	M.LT_02_0000	653	8
LOCUS 2	D6 95	b	2	LSBR			Silex	1 fgt d'éclat non cortical, 1 esquille	C 1200	M.LT_02_0000	653	8
LOCUS 2	D6 95	c	2	LSBR/GR			Silex	2 éclats, 5 esquilles	C 1200	M.LT_02_0000	653	8
LOCUS 2	D6 95	d	2	LSBR/GR			Silex	5 esquilles	C 1200	M.LT_02_0000	653	8
LOCUS 2	D7 04		1	LSB/GB			Silex	6 éclats non corticaux, 12 fgts d'éclats non corticaux, 8 esquilles, 1 débris de taille	C 1200	M.LT_02_0000	653	8
LOCUS 2	D7 04	b	2	LSB/LSBR			Silex	1 fgt d'éclat non cortical, 4 esquilles	C 1200	M.LT_02_0000	653	8
LOCUS 2	D7 04	c	2	LSB/LSBR			Silex	Cupule de gel	C 1200	M.LT_02_0000	653	8
LOCUS 2	D7 04	d	2	LSB/LSBR			Silex	1 éclat non cortical, 1 fgt d'éclat non cortical, 7 esquilles	C 1200	M.LT_02_0000	653	8
LOCUS 2	D6 84	a	2	LSB/LSBR			Silex	1 éclat non cortical, 1 fgt d'éclat cortical, 5 esquilles	C 1200	M.LT_02_0000	653	8
LOCUS 2	D6 84	b	2	LSB/LSBR			Silex	2 esquilles	C 1200	M.LT_02_0000	653	8
LOCUS 2	D6 84	c	2	LSB/LSBR			Silex	Éclat cortical (fgt)	C 1200	M.LT_02_0000	653	8
LOCUS 2	D6 83	a	1	LSB			Silex	2 esquilles	C 1200	M.LT_02_0000	653	8
LOCUS 2	D6 84		1	LSB			Silex	1 éclat non cortical, 1 fgt d'éclat non cortical	C 1200	M.LT_02_0000	653	8
LOCUS 2	D6 84	d	1	LSB			Silex	1 éclat non cortical, 3 esquilles	C 1200	M.LT_02_0000	653	8
LOCUS 2	D6 85		1	LSB			Silex	1 fgt d'éclat non cortical, 1 esquille	C 1200	M.LT_02_0000	653	8
LOCUS 2	D6 85	b	1	LSB/LSBR			Silex	1 éclat non cortical, 2 fgts d'éclats non corticaux, 4 esquilles	C 1200	M.LT_02_0000	653	8
LOCUS 2	D6 92	a	1	LSB			Silex	Esquille	C 1200	M.LT_02_0000	653	8
LOCUS 2	D6 92	b	1	LSB			Silex	1 fgt d'éclat non cortical	C 1200	M.LT_02_0000	653	8
LOCUS 2	D6 92	c	1	LSB			Silex	2 esquilles, 1 débris de taille	C 1200	M.LT_02_0000	653	8
LOCUS 2	D6 92	d	1	LSB			Silex	1 fgt d'éclat non cortical	C 1200	M.LT_02_0000	653	8
LOCUS 2	D6 93	b	1	LSB			Silex	1 fgt d'éclat non cortical, 6 esquilles	C 1200	M.LT_02_0000	653	8
LOCUS 2	D6 93	c	1	LSB			Silex	2 fgts d'éclats, 3 esquilles	C 1200	M.LT_02_0000	653	8
LOCUS 2	D6 94	b	1	LSB			Silex	1 fgt d'éclat non cortical, 5 esquilles	C 1200	M.LT_02_0000	653	8
LOCUS 2	D6 94	c	1	LSB			Silex	3 fgts d'éclats non corticaux, 10 esquilles	C 1200	M.LT_02_0000	653	8
LOCUS 2	D6 94	d	1	LSB			Silex	12 esquilles	C 1200	M.LT_02_0000	653	8
LOCUS 2	D6 95		1	LSB			Silex	1 fgt d'éclat non cortical	C 1200	M.LT_02_0000	653	8
LOCUS 2	D6 95	d	1	LSB/LSBR			Silex	4 esquilles	C 1200	M.LT_02_0000	653	8
LOCUS 2	D6 95	b	1	LSB/LSBR			Silex	3 esquilles	C 1200	M.LT_02_0000	653	8
LOCUS 2	D6 95	c	1	LSB/LSBR			Silex	1 fgt d'éclat cortical, 9 esquilles	C 1200	M.LT_02_0000	653	8
LOCUS 2	D7 04	c	1	LSB/LSBR			Silex	Éclat cortical (fgt)	C 1200	M.LT_02_0000	653	8
LOCUS 2	D7 14	a	1	LSB			Silex	1 fgt d'éclat non cortical, 3 esquilles	C 1200	M.LT_02_0000	653	8
LOCUS 2	D7 14	b	1	LSB			Silex	1 fgt d'éclat non cortical, 1 esquille	C 1200	M.LT_02_0000	653	8
LOCUS 2	D7 14	d	1	LSBR			Silex	3 fgts d'éclats non corticaux, 1 esquille	C 1200	M.LT_02_0000	653	8
LOCUS 2	D7 14	c	1	LSB/LSBR			Silex	1 fgt d'éclat non cortical, 3 esquilles, 1 débris de taille	C 1200	M.LT_02_0000	653	8
LOCUS 2	D7 15	b	1	LSBR			Silex	4 esquilles	C 1200	M.LT_02_0000	653	8
LOCUS 2	D7 15	c	1	LSBR			Silex	1 fgt d'éclat non cortical	C 1200	M.LT_02_0000	653	8
LOCUS 2	D7 15	d	1	LSBR			Silex	Esquille	C 1200	M.LT_02_0000	653	8
LOCUS 2	D6 85	a	3	LSBR			Silex	5 fgts d'éclats non corticaux, 7 esquilles, 1 cupule	C 1200	M.LT_02_0000	653	8
LOCUS 2	D7 04	b	3	LSBR			Silex	7 esquilles	C 1200	M.LT_02_0000	653	8
LOCUS 2	D7 04	c	3	LSBR			Silex	6 éclats non corticaux, 7 fgts d'éclats, 14 esquilles	C 1200	M.LT_02_0000	653	8
LOCUS 2	D7 04	d	3	LSBR			Silex	3 fgts d'éclats	C 1200	M.LT_02_0000	653	8
LOCUS 2	D7 04	b	4	LSBR			Silex	1 fgt d'éclat non cortical, 7 esquilles	C 1200	M.LT_02_0000	653	8
LOCUS 2	D7 04	c	4	LSBR			Silex	2 éclats non corticaux, 15 esquilles	C 1200	M.LT_02_0000	653	8
LOCUS 2	D7 04	b	5	LSBR			Silex	1 fgt d'éclat non cortical	C 1200	M.LT_02_0000	653	8
LOCUS 2	D7 04	c	5	LSBR			Silex	2 fgts d'éclats non corticaux, 11 esquilles	C 1200	M.LT_02_0000	653	8
LOCUS 2	D7 04	b	6	SR			Silex	1 fgt d'éclat non cortical, 4 esquilles	C 1200	M.LT_02_0000	653	8
LOCUS 2	D7 04	c	6	SR			Silex	6 esquilles	C 1200	M.LT_02_0000	653	8
LOCUS 2	D7 04	d	6	SR			Silex	1 éclat non cortical, 1 esquille	C 1200	M.LT_02_0000	653	8
LOCUS 2	D7 04	b	7	SR			Silex	2 éclats non corticaux, 1 fgt d'éclat non cortical	C 1200	M.LT_02_0000	653	8
LOCUS 2	D7 04	c	7	SR			Silex	Esquille	C 1200	M.LT_02_0000	653	8
CP06				H.S.			Silex	2 esquilles, 1 cupule	C 1200	M.LT_BD_0000	655	6
LOCUS 4							Silex	9 éclats, 20 fgts d'éclats, 12 esquilles	C 1200	M.LT_04_0000	652	9
LOCUS 4	C5 61	a	1	GB			Silex	1 éclat non cortical, 1 fgt d'éclat non cortical, 2 esquilles	C 1200	M.LT_04_0000	652	9
LOCUS 4	C5 61	b	1	GB			Silex	5 esquilles	C 1200	M.LT_04_0000	652	9
LOCUS 4	C5 62	a	1	GR			Silex	1 fgt d'éclat non cortical, 2 esquilles	C 1200	M.LT_04_0000	652	9
LOCUS 4	C5 63	b	1	GR			Silex	Esquille	C 1200	M.LT_04_0000	652	9
LOCUS 4	C5 64		nettoyage surface	GR			Silex	1 éclat non cortical, 2 fgts d'éclats non corticaux	C 1200	M.LT_04_0000	652	9
LOCUS 4	C5 64	a	1	GR			Silex	2 éclats non corticaux, 2 fgts d'éclats non corticaux, 7 esquilles	C 1200	M.LT_04_0000	652	9
LOCUS 4	C5 64	b	1	GR			Silex	2 fgts d'éclats, 2 esquilles	C 1200	M.LT_04_0000	652	9
LOCUS 3	C6 68	b	nettoyage surface	LSB			Silex	2 esquilles	C 1200	M.LT_03_0000	651	11
LOCUS 4	C5 71	a	1	GB/GR			Silex	1 éclat non cortical, 12 fgts d'éclats, 31 esquilles	C 1200	M.LT_04_0000	652	9
LOCUS 4	C5 71	b	1	GB/GR			Silex	2 éclats non corticaux, 9 fgts d'éclats, 55 esquilles, 1 débris de taille	C 1200	M.LT_04_0000	652	9
LOCUS 4	C5 71	c	1	GB			Silex	1 fgt d'éclat non cortical, 5 esquilles	C 1200	M.LT_04_0000	652	9
LOCUS 4	C5 71	d	1	GB/GR			Silex	6 éclats, 4 fgts d'éclats, 28 esquilles	C 1200	M.LT_04_0000	652	9
LOCUS 4	C5 72	c	1	GR			Silex	1 fgt d'éclat non cortical, 5 esquilles	C 1200	M.LT_04_0000	652	9
LOCUS 4	C5 73		nettoyage surface	GR			Silex	1 fgt d'éclat non cortical	C 1200	M.LT_04_0000	652	9
LOCUS 4	C5 73	a	1	GR			Silex	Cupule de gel	C 1200	M.LT_04_0000	652	9
LOCUS 4	C5 73	b	1	GR			Silex	1 éclat non cortical, 1 fgt d'éclat non cortical, 11 esquilles	C 1200	M.LT_04_0000	652	9
LOCUS 4	C5 73	c	1	GR			Silex	2 fgts d'éclats corticaux, 7 esquilles	C 1200	M.LT_04_0000	652	9
LOCUS 4	C5 73	d	1	GR			Silex	1 éclat non cortical, 5 fgts d'éclats non corticaux, 8 esquilles	C 1200	M.LT_04_0000	652	9
LOCUS 4	C5 74		nettoyage surface	GR			Silex	2 esquilles	C 1200	M.LT_04_0000	652	9
LOCUS 4	C5 74	a	1	GR			Silex	1 éclat non cortical, 2 fgts d'éclats corticaux 1 débris de taille	C 1200	M.LT_04_0000	652	9
LOCUS 4	C5 74	b	1	GR			Silex	2 éclats non corticaux 2 esquilles	C 1200	M.LT_04_0000	652	9
LOCUS 4	C5 74	d	1	GR			Silex	Esquille	C 1200	M.LT_04_0000	652	9
LOCUS 4	C5 75	a	1	GR			Silex	1 fgt d'éclat non cortical	C 1200	M.LT_04_0000	652	9
LOCUS 4	C5 75	b	1	GR			Silex	4 esquilles	C 1200	M.LT_04_0000	652	9
LOCUS 4	C5 81	a	1	GB/GR			Silex	6 éclats non corticaux, 10 fgts d'éclats, 27 esquilles	C 1200	M.LT_04_0000	652	9
LOCUS 4	C5 81	b	1	GB/GR			Silex	4 éclats non corticaux, 4 fgts d'éclats non corticaux, 4 esquilles	C 1200	M.LT_04_0000	652	9
LOCUS 4	C5 81	c	1	GB			Silex	2 fgts d'éclats, 10 esquilles	C 1200	M.LT_04_0000	652	9
LOCUS 4	C5 81	d	1	GB/GR			Silex	2 fgts d'éclats non corticaux, 7 esquilles	C 1200	M.LT_04_0000	652	9
LOCUS 4	C5 82		nettoyage surface	GR			Silex	2 éclats non corticaux, 18 esquilles	C 1200	M.LT_04_0000	652	9
LOCUS 4	C5 82	b	1	GR			Silex	2 éclats non corticaux, 4 fgts d'éclats non corticaux	C 1200	M.LT_04_0000	652	9
LOCUS 4	C5 82	b	2	GR			Silex	1 éclat non cortical, 11 fgts d'éclats, 53 esquilles, 1 cupule, 1 gélifract	C 1200	M.LT_04_0000	652	9
LOCUS 4	C5 82	b	3	GR/SR			Silex	2 éclats non corticaux, 5 fgts d'éclats, 33 esquilles	C 1200	M.LT_04_0000	652	9
LOCUS 4	C5 82	b	5	GR/SR			Silex	2 éclats non corticaux, 6 fgts d'éclats, 20 esquilles	C 1200	M.LT_04_0000	652	9

Zone Secteur	Carré	Sous-carré	N° de décapage	Unité Pédo-stratigraphique	Position	Repose sur face	Matériau	Descriptif détaillé	Parcelle	Code SRA	Réf. contenant POCHE	Réf. contenant CAISSE
LOCUS 4	C5 83	a	1	GR			Silex	4 fgts d'éclats, 9 esquilles	C 1200	M.LT_04_0000	652	9
LOCUS 4	C5 82	b	6	GR/SR			Silex	2 éclats non corticaux, 1 fgt d'éclat non cortical, 14 esquilles	C 1200	M.LT_04_0000	652	9
LOCUS 4	C5 82	c	1	GR			Silex	8 éclats, 3 fgts d'éclats	C 1200	M.LT_04_0000	652	9
LOCUS 4	C5 82	c	2	GR			Silex	7 éclats non corticaux, 4 fgts d'éclats non corticaux, 25 esquilles	C 1200	M.LT_04_0000	652	9
LOCUS 4	C5 82	c	3	GR/SR			Silex	14 esquilles	C 1200	M.LT_04_0000	652	9
LOCUS 4	C5 82	c	5	SR			Silex	5 esquilles	C 1200	M.LT_04_0000	652	9
LOCUS 4	C5 82	d	1	GR			Silex	3 fgts d'éclats, 9 esquilles	C 1200	M.LT_04_0000	652	9
LOCUS 4	C5 82	d	2	GR			Silex	1 fgt d'éclat non cortical, 10 esquilles	C 1200	M.LT_04_0000	652	9
LOCUS 4	C5 82	d	4	GR/SR			Silex	2 esquilles	C 1200	M.LT_04_0000	652	9
LOCUS 4	C5 83		nettoyage surface	GR			Silex	2 fgts d'éclats non corticaux, 3 esquilles, 1 cupule	C 1200	M.LT_04_0000	652	9
LOCUS 4	C5 83	b	1	GR/SR			Silex	8 esquilles	C 1200	M.LT_04_0000	652	9
LOCUS 4	C5 84	a	1	GR			Silex	2 fgts d'éclats non corticaux, 2 esquilles	C 1200	M.LT_04_0000	652	9
LOCUS 4	C5 84	b	1	GR			Silex	1 éclat non cortical, 3 fgts d'éclats, 9 esquilles, 1 débris de taille	C 1200	M.LT_04_0000	652	9
LOCUS 4	C5 84	c	1	GR			Silex	2 éclats corticaux, 2 fgts d'éclats, 20 esquilles	C 1200	M.LT_04_0000	652	9
LOCUS 4	C5 84	d	1	GR			Silex	2 éclats non corticaux, 3 fgts d'éclats, 21 esquilles	C 1200	M.LT_04_0000	652	9
LOCUS 4	C5 85	c	1	GR			Silex	1 fgt d'éclat non cortical, 5 esquilles	C 1200	M.LT_04_0000	652	9
LOCUS 4	C5 85	d	1	GR			Silex	Éclat	C 1200	M.LT_04_0000	652	9
LOCUS 4	C5 91	c	1	GB			Silex	1 fgt d'éclat non cortical, 1 esquille	C 1200	M.LT_04_0000	652	9
LOCUS 4	C5 91	d	1	GB			Silex	5 fgts d'éclats, 17 esquilles, 1 cupule	C 1200	M.LT_04_0000	652	9
LOCUS 4	C5 92		nettoyage surface	GR			Silex	1 fgt d'éclat non cortical, 1 esquille	C 1200	M.LT_04_0000	652	9
LOCUS 4	C5 92	c	1	GR			Silex	2 éclats non corticaux, 4 fgts d'éclats, 2 esquilles	C 1200	M.LT_04_0000	652	9
LOCUS 4	C5 93	a	1	GR			Silex	1 éclat non cortical, 1 fgt d'éclat non cortical, 3 esquilles	C 1200	M.LT_04_0000	652	9
LOCUS 4	C5 93	b	1	GR			Silex	3 esquilles	C 1200	M.LT_04_0000	652	9
LOCUS 4	C5 93	c	1	GR			Silex	7 fgts d'éclats, 11 esquilles	C 1200	M.LT_04_0000	652	9
LOCUS 4	C5 93	d	1	GR			Silex	1 éclat non cortical, 4 fgts d'éclats non corticaux, 12 esquilles	C 1200	M.LT_04_0000	652	9
LOCUS 4	C5 94	a	1	GR			Silex	1 fgt d'éclat cortical, 8 esquilles	C 1200	M.LT_04_0000	652	9
LOCUS 4	C5 94	b	1	GR			Silex	5 éclats non corticaux, 9 esquilles, 1 cupule	C 1200	M.LT_04_0000	652	9
LOCUS 4	C5 94	c	1	GR			Silex	Esquille	C 1200	M.LT_04_0000	652	9
LOCUS 4	C5 94	d	1	GR			Silex	3 esquilles	C 1200	M.LT_04_0000	652	9
LOCUS 4	C5 83	c	1	GR			Silex	1 éclat non cortical, 3 fgts d'éclats non corticaux, 8 esquilles	C 1200	M.LT_04_0000	652	9
LOCUS 4	C5 83	d	1	GR			Silex	2 fgts d'éclats non corticaux, 14 esquilles, 1 cupule	C 1200	M.LT_04_0000	652	9
LOCUS 3	C6 66	a	2	LSB			Silex	13 esquilles	C 1200	M.LT_03_0000	651	11
LOCUS 3	C6 66	b	2	LSB			Silex	2 fgts d'éclats	C 1200	M.LT_03_0000	651	11
LOCUS 3	C6 66	c	2	LSB			Silex	1 fgt d'éclat non cortical	C 1200	M.LT_03_0000	651	11
LOCUS 3	C6 66	d	2	LSB			Silex	3 éclats non corticaux, 3 fgts d'éclats non corticaux, 14 esquilles	C 1200	M.LT_03_0000	651	11
LOCUS 3	C6 67	b	2	LSB			Silex	3 éclats non corticaux, 1 fgt d'éclat cortical, 19 esquilles	C 1200	M.LT_03_0000	651	11
LOCUS 3	C6 67	c	2	LSB			Silex	6 fgts d'éclats, 1 esquille	C 1200	M.LT_03_0000	651	11
LOCUS 3	C6 67	d	2	LSB			Silex	4 éclats non corticaux, 3 fgts d'éclats non corticaux, 16 esquilles, 1 cupule	C 1200	M.LT_03_0000	651	11
LOCUS 3	C6 68	a	2	LSBR			Silex	1 fgt d'éclat non cortical, 2 esquilles	C 1200	M.LT_03_0000	651	11
LOCUS 3	C6 68	b	2	LSB			Grès quartzite	Éclat	C 1200	M.LT_03_0000	651	11
LOCUS 3	C6 68	d	2	LSBR			Silex	1 éclat non cortical, 2 esquilles	C 1200	M.LT_03_0000	651	11
LOCUS 3	C6 69	b	2	LSBR			Silex	3 fgts d'éclats non corticaux, 7 esquilles	C 1200	M.LT_03_0000	651	11
LOCUS 3	C6 69	c	2	LSBR			Silex	3 esquilles	C 1200	M.LT_03_0000	651	11
LOCUS 3	C6 69	d	2	LSB/GR			Silex	3 esquilles	C 1200	M.LT_03_0000	651	11
LOCUS 3	C6 76	a	2	LSB			Silex	2 fgts d'éclats non corticaux, 10 esquilles	C 1200	M.LT_03_0000	651	11
LOCUS 3	C6 76	b	2	LSB			Silex	2 fgts d'éclats non corticaux, 5 esquilles	C 1200	M.LT_03_0000	651	11
LOCUS 3	C6 76	c	2	LSB			Silex	2 éclats non corticaux, 4 fgts d'éclats non corticaux, 9 esquilles	C 1200	M.LT_03_0000	651	11
LOCUS 3	C6 76	d	2	LSB			Silex	1 éclat non cortical, 4 fgts d'éclats non corticaux, 18 esquilles	C 1200	M.LT_03_0000	651	11
LOCUS 3	C6 77	a	2	LSB			Silex	2 éclats non corticaux, 1 fgt d'éclat non cortical, 4 esquilles	C 1200	M.LT_03_0000	651	11
LOCUS 3	C6 77	b	2	LSB			Silex	9 esquilles	C 1200	M.LT_03_0000	651	11
LOCUS 3	C6 77	c	2	LSB			Silex	2 fgts d'éclats non corticaux	C 1200	M.LT_03_0000	651	11
LOCUS 3	C6 77	d	2	LSB			Silex	1 éclat non cortical, 3 fgts d'éclats non corticaux, 9 esquilles	C 1200	M.LT_03_0000	651	11
LOCUS 3	C6 78	a	2	LSB/LSBR			Silex	1 fgt d'éclat non cortical, 3 esquilles	C 1200	M.LT_03_0000	651	11
LOCUS 3	C6 78	b	2	LSB/LSBR			Silex	1 éclat non cortical, 4 fgts d'éclats, 13 esquilles	C 1200	M.LT_03_0000	651	11
LOCUS 3	C6 79	b	2	LSBR			Silex	1 éclat non cortical, 3 esquilles	C 1200	M.LT_03_0000	651	11
LOCUS 3	C6 79	c	2	LSBR			Silex	1 fgt d'éclat non cortical, 2 esquilles	C 1200	M.LT_03_0000	651	11
LOCUS 3	C6 79	d	2	LSBR			Silex	Esquille	C 1200	M.LT_03_0000	651	11
LOCUS 3	C6 86	a	2	LSR			Silex	Esquille	C 1200	M.LT_03_0000	651	11
LOCUS 3	C6 86	b	2	LSB			Silex	1 éclat non cortical, 7 esquilles	C 1200	M.LT_03_0000	651	11
LOCUS 3	C6 86	c	2	LSB			Silex	3 fgts d'éclats non corticaux, 5 esquilles	C 1200	M.LT_03_0000	651	11
LOCUS 3	C6 86	d	2	LSB			Silex	2 esquilles	C 1200	M.LT_03_0000	651	11
LOCUS 3	C6 87	a	2	LSB/LSBR			Silex	3 esquilles	C 1200	M.LT_03_0000	651	11
LOCUS 3	C6 87	b	2	LSBR			Silex	1 éclat non cortical, 6 esquilles	C 1200	M.LT_03_0000	651	11
LOCUS 3	C6 87	c	2	LSB/LSBR			Silex	1 éclat non cortical, 2 esquilles	C 1200	M.LT_03_0000	651	11
LOCUS 3	C6 87	d	2	LSB/LSBR			Silex	1 éclat non cortical, 1 fgt d'éclat non cortical, 2 esquilles	C 1200	M.LT_03_0000	651	11
LOCUS 3	C6 88	a	2	LSB/LSBR			Silex	2 esquilles	C 1200	M.LT_03_0000	651	11
LOCUS 3	C6 88	b	2	LSB/LSBR			Silex	3 esquilles	C 1200	M.LT_03_0000	651	11
LOCUS 3	C6 88	c	2	LSB/LSBR			Silex	1 éclat Kombewa, 2 esquilles	C 1200	M.LT_03_0000	651	11
LOCUS 3	C6 88	d	2	LSB/LSBR			Silex	3 esquilles	C 1200	M.LT_03_0000	651	11
LOCUS 3	C6 89	d	2	LSBR			Silex + 1 roche indéterminée	6 fgts d'éclats non corticaux, 10 esquilles	C 1200	M.LT_03_0000	651	11
LOCUS 3	C6 89	b	2	LSBR/GBR			Silex	2 fgts d'éclats non corticaux, 3 esquilles	C 1200	M.LT_03_0000	651	11
LOCUS 3	C6 89	d	2	LSBR			Silex	3 éclats, 5 fgts d'éclats, 5 esquilles	C 1200	M.LT_03_0000	651	11
LOCUS 3	C6 07	c	1	LSB			Silex	1 fgt d'éclat non cortical, 3 esquilles	C 1200	M.LT_03_0000	651	11
LOCUS 3	C6 08	c	1	LSB			Silex	Esquille	C 1200	M.LT_03_0000	651	11
LOCUS 3	C6 09	c	1	LSB			Silex	1 éclat cortical, 1 fgt d'éclat cortical, 10 esquilles	C 1200	M.LT_03_0000	651	11
LOCUS 3	C6 16	c	1	LSB			Silex	Cupule de gel	C 1200	M.LT_03_0000	651	11
LOCUS 3	C6 18	c	1	LSB			Silex	2 fgts d'éclats non corticaux, 3 esquilles	C 1200	M.LT_03_0000	651	11
LOCUS 3	C6 19	b	nettoyage surface	LSB			Silex	Esquille	C 1200	M.LT_03_0000	651	11
LOCUS 3	C6 27	c	1	LSB			Silex	1 éclat non cortical, 1 esquille	C 1200	M.LT_03_0000	651	11
LOCUS 3	C6 29	c	1	LSB			Silex	1 fgt d'éclat non cortical, 9 esquilles	C 1200	M.LT_03_0000	651	11
LOCUS 3	C6 35	a	nettoyage surface	LSB			Silex	Esquille	C 1200	M.LT_03_0000	651	11
LOCUS 3	C6 36	c	1	LSB			Silex	4 esquilles	C 1200	M.LT_03_0000	651	11
LOCUS 3	C6 37	a	nettoyage surface	LSB			Silex	Esquille	C 1200	M.LT_03_0000	651	11
LOCUS 3	C6 38	c	1	LSB			Silex	4 fgts d'éclats non corticaux, 1 esquille	C 1200	M.LT_03_0000	651	11
LOCUS 3	C6 47	c	1	LSB			Silex	1 éclat non cortical, 1 fgt d'éclat non cortical, 3 esquilles	C 1200	M.LT_03_0000	651	11
LOCUS 3	C6 47	d	nettoyage surface	LSB			Silex	1 fgt d'éclat non cortical	C 1200	M.LT_03_0000	651	11
LOCUS 3	C6 48	b	nettoyage surface	LSB			Silex	Esquille	C 1200	M.LT_03_0000	651	11
LOCUS 3	C6 49	c	1	LSB			Silex	Esquille	C 1200	M.LT_03_0000	651	11
LOCUS 3	C6 49	d	nettoyage surface	LSB			Silex	Esquille	C 1200	M.LT_03_0000	651	11
LOCUS 3	C6 56	c	1	LSB			Silex	1 fgt d'éclat cortical, 1 esquille	C 1200	M.LT_03_0000	651	11
LOCUS 3	C6 56	d	nettoyage surface	LSB			Silex	Esquille	C 1200	M.LT_03_0000	651	11
LOCUS 3	C6 58	c	1	LSB			Silex	3 fgts d'éclats, 10 esquilles, 1 débris de taille	C 1200	M.LT_03_0000	651	11
LOCUS 3	C6 58	d	nettoyage surface	LSB			Silex	Esquille	C 1200	M.LT_03_0000	651	11
LOCUS 3	C6 59	b	nettoyage surface	LSB			Silex	Esquille	C 1200	M.LT_03_0000	651	11
LOCUS 3	C6 07	c	2	LSB			Silex	1 fgt d'éclat non cortical	C 1200	M.LT_03_0000	651	11

Zone Secteur	Carré	Sous-carré	N° de décapage	Unité Pédo-stratigraphique	Position	Repose sur face	Matériau	Descriptif détaillé	Parcelle	Code SRA	Réf. contenant POCHE	Réf. contenant CAISSE
LOCUS 3	C6 09	c	2	LSB			Silex	1 fgt d'éclat retouché, 1 fgt d'éclat non cortical, 4 esquilles	C 1200	M.LT_03_0000	651	11
LOCUS 3	C6 16	c	2	LSB			Silex	1 fgt d'éclat non cortical	C 1200	M.LT_03_0000	651	11
LOCUS 3	C6 18	c	2	LSB			Silex	2 fgts d'éclats non corticaux, 5 esquilles	C 1200	M.LT_03_0000	651	11
LOCUS 3	C6 27	c	2	LSB			Silex	2 fgts d'éclats, 4 esquilles	C 1200	M.LT_03_0000	651	11
LOCUS 3	C6 29	c	2	LSB			Silex	Esquille	C 1200	M.LT_03_0000	651	11
LOCUS 3	C6 36	c	2	LSB			Silex	1 éclat non cortical, 5 esquilles	C 1200	M.LT_03_0000	651	11
LOCUS 3	C6 38	c	2	LSB			Silex	1 fgt d'éclat cortical, 8 esquilles, 1 débris de taille	C 1200	M.LT_03_0000	651	11
LOCUS 3	C6 47	c	2	LSB			Silex	2 fgts d'éclats non corticaux, 2 esquilles	C 1200	M.LT_03_0000	651	11
LOCUS 3	C6 56	c	2	LSB			Silex	1 éclat cortical, 4 esquilles	C 1200	M.LT_03_0000	651	11
LOCUS 3	C6 58	c	2	LSB			Silex	1 éclat cortical, 1 fgt d'éclat non cortical, 2 esquilles	C 1200	M.LT_03_0000	651	11
LOCUS 3	C6 07	c	3	LSB			Silex	1 fgt d'éclat non cortical	C 1200	M.LT_03_0000	651	11
LOCUS 3	C6 09	c	3	LSB			Silex	1 éclat non cortical, 3 fgts d'éclats non corticaux, 9 esquilles	C 1200	M.LT_03_0000	651	11
LOCUS 3	C6 16	c	3	LSB			Silex	2 éclats, 3 esquilles	C 1200	M.LT_03_0000	651	11
LOCUS 3	C6 18	c	3	LSB			Silex	3 éclats, 4 fgts d'éclats, 4 esquilles	C 1200	M.LT_03_0000	651	11
LOCUS 3	C6 27	c	3	LSB			Silex	1 fgt d'éclat non cortical, 3 esquilles	C 1200	M.LT_03_0000	651	11
LOCUS 3	C6 29	c	3	LSB			Silex	1 éclat non cortical, 1 fgt d'éclat non cortical, 4 esquilles	C 1200	M.LT_03_0000	651	11
LOCUS 3	C6 36	c	3	LSB			Silex	1 éclat non cortical, 2 esquilles	C 1200	M.LT_03_0000	651	11
LOCUS 3	C6 38	c	3	LSB			Silex	1 fgt d'éclat non cortical, 8 esquilles	C 1200	M.LT_03_0000	651	11
LOCUS 3	C6 47	c	3	LSB			Silex	2 esquilles	C 1200	M.LT_03_0000	651	11
LOCUS 3	C6 49	c	3	LSB			Silex	1 éclat non cortical, 1 fgt d'éclat non cortical, 5 esquilles, 1 gélifract	C 1200	M.LT_03_0000	651	11
LOCUS 3	C6 56	c	3	LSB			Silex	2 esquilles	C 1200	M.LT_03_0000	651	11
LOCUS 3	C6 58	c	3	LSB			Silex	2 éclats non corticaux, 3 fgts d'éclats, 18 esquilles	C 1200	M.LT_03_0000	651	11
LOCUS 3	C6 09	c	4	LSB/GB			Silex	1 éclat non cortical, 1 fgt d'éclat non cortical, 6 esquilles, 1 débris de taille	C 1200	M.LT_03_0000	651	11
LOCUS 3	C6 18	c	4	LSB/GB/GR			Silex	6 éclats non corticaux, 6 fgts d'éclats, 10 esquilles	C 1200	M.LT_03_0000	651	11
LOCUS 3	C6 27	c	4	LSB			Silex	1 éclat non cortical, 1 esquille	C 1200	M.LT_03_0000	651	11
LOCUS 3	C6 29	c	4	LSB/GB			Silex	1 éclat non cortical, 8 fgts d'éclats non corticaux, 12 esquilles	C 1200	M.LT_03_0000	651	11
LOCUS 3	C6 36	c	4	LSB			Silex	1 fgt d'éclat cortical, 1 esquille	C 1200	M.LT_03_0000	651	11
LOCUS 3	C6 38	c	4	LSB			Silex	2 fgts d'éclats non corticaux, 15 esquilles	C 1200	M.LT_03_0000	651	11
LOCUS 3	C6 47	c	4	LSB			Silex	1 fgt d'éclat non cortical, 2 esquilles	C 1200	M.LT_03_0000	651	11
LOCUS 3	C6 49	c	4	LSB/LSBR			Silex	2 fgts d'éclats, 8 esquilles, 1 cupule	C 1200	M.LT_03_0000	651	11
LOCUS 3	C6 58	c	4	LSB			Silex	3 fgts d'éclats, 11 esquilles	C 1200	M.LT_03_0000	651	11
LOCUS 3	C6 09	c	5	GB			Silex	7 fgts d'éclats, 12 esquilles, 1 débris de taille	C 1200	M.LT_03_0000	651	11
LOCUS 3	C6 18	c	5	LSBR/GR			Silex	2 éclats non corticaux, 3 fgts d'éclats, 3 esquilles	C 1200	M.LT_03_0000	651	11
LOCUS 3	C6 27	c	5	LSBR			Silex	Esquille	C 1200	M.LT_03_0000	651	11
LOCUS 3	C6 29	c	5	LSB/LSBR			Silex	3 éclats, 4 fgts d'éclats non corticaux, 14 esquilles	C 1200	M.LT_03_0000	651	11
LOCUS 3	C6 38	c	5	LSB			Silex	1 éclat de coup de tranchet, 3 fgts d'éclats, 5 esquilles	C 1200	M.LT_03_0000	651	11
LOCUS 3	C6 47	c	5	LSB/LSBR			Silex	1 éclat non cortical, 2 fgts d'éclats non corticaux, 9 esquilles	C 1200	M.LT_03_0000	651	11
LOCUS 3	C6 49	c	5	LSBR			Silex	2 fgts d'éclats non corticaux, 3 esquilles, 1 cupule	C 1200	M.LT_03_0000	651	11
LOCUS 3	C6 56	c	5	LSBR			Silex	2 esquilles	C 1200	M.LT_03_0000	651	11
LOCUS 3	C6 09	c	6	GBR/LSBR			Silex	1 éclat non cortical, 2 fgts d'éclats non corticaux, 6 esquilles	C 1200	M.LT_03_0000	651	11
LOCUS 3	C6 16	c	6	LSBR			Silex	Esquille	C 1200	M.LT_03_0000	651	11
LOCUS 3	C6 18	c	6	LSBR/LSR			Silex	1 éclat non cortical, 1 esquille	C 1200	M.LT_03_0000	651	11
LOCUS 3	C6 27	c	6	LSBR			Silex	2 esquilles	C 1200	M.LT_03_0000	651	11
LOCUS 3	C6 29	c	6	LSBR			Silex	1 éclat non cortical, 2 fgts d'éclats non corticaux, 2 esquilles	C 1200	M.LT_03_0000	651	11
LOCUS 3	C6 36	c	6	LSBR			Silex	1 éclat non cortical, 1 esquille	C 1200	M.LT_03_0000	651	11
LOCUS 3	C6 38	c	6	LSB			Silex	11 esquilles, 1 gélifract	C 1200	M.LT_03_0000	651	11
LOCUS 3	C6 47	c	6	LSB/LSBR			Silex	1 fgt d'éclat non cortical	C 1200	M.LT_03_0000	651	11
LOCUS 3	C6 49	c	6	LSBR			Silex	5 fgts d'éclats, 3 esquilles	C 1200	M.LT_03_0000	651	11
LOCUS 3	C6 56	c	6	LSBR			Silex	1 fgt d'éclat cortical, 1 esquille	C 1200	M.LT_03_0000	651	11
LOCUS 3	C6 58	c	6	LSBR			Silex	2 fgts d'éclats non corticaux, 8 esquilles	C 1200	M.LT_03_0000	651	11
LOCUS 3	C6 58	c	5	LSBR			Silex	1 fgt d'éclat non cortical, 6 esquilles	C 1200	M.LT_03_0000	651	11
LOCUS 3	C6 38	c	7	LSBR			Silex	2 éclats non corticaux, 1 fgt d'éclat non cortical, 5 esquilles	C 1200	M.LT_03_0000	651	11
LOCUS 3	C6 49	c	7	LSBR			Silex	1 fgt d'éclat non cortical, 2 esquilles	C 1200	M.LT_03_0000	651	11
LOCUS 3	C6 58	c	7	LSBR			Silex	3 fgts d'éclats, 9 esquilles, 1 cupule	C 1200	M.LT_03_0000	651	11
LOCUS 3	C6 38	c	8	LSR			Silex	2 esquilles	C 1200	M.LT_03_0000	651	11
LOCUS 3	C6 47	c	8	LSBR			Silex	4 fgts d'éclats non corticaux, 4 esquilles	C 1200	M.LT_03_0000	651	11
LOCUS 3	C6 49	c	8	LSBR			Silex	4 esquilles	C 1200	M.LT_03_0000	651	11
LOCUS 3	C6 56	c	8	LSBR			Silex	1 fgt d'éclat non cortical, 1 esquille	C 1200	M.LT_03_0000	651	11
LOCUS 3	C6 58	c	8	LSBR			Silex	2 fgts d'éclats non corticaux, 11 esquilles	C 1200	M.LT_03_0000	651	11
LOCUS 3	C6 36	c	9	LSBR			Silex	2 fgts d'éclats non corticaux	C 1200	M.LT_03_0000	651	11
LOCUS 3	C6 38	c	9	LSR/SR			Silex	Esquille	C 1200	M.LT_03_0000	651	11
LOCUS 3	C6 47	c	9	LSBR			Silex	1 fgt d'éclat non cortical, 2 esquilles	C 1200	M.LT_03_0000	651	11
LOCUS 3	C6 49	c	9	LSBR			Silex	2 esquilles	C 1200	M.LT_03_0000	651	11
LOCUS 3	C6 56	c	9	LSBR/SR			Silex	1 éclat non cortical, 7 esquilles	C 1200	M.LT_03_0000	651	11
LOCUS 3	C6 58	c	9	LSBR/SR			Silex	1 fgt d'éclat non cortical, 8 esquilles	C 1200	M.LT_03_0000	651	11
LOCUS 3	C6 36	c	10	SR			Silex	2 esquilles	C 1200	M.LT_03_0000	651	11
LOCUS 3	C6 38	c	10	LSR/SR			Silex	2 esquilles	C 1200	M.LT_03_0000	651	11
LOCUS 3	C6 47	c	10	LSBR/SR			Silex	Esquille	C 1200	M.LT_03_0000	651	11
LOCUS 3	C6 56	c	10	LSBR/SR			Silex	5 esquilles	C 1200	M.LT_03_0000	651	11
LOCUS 3	C6 58	c	10	SR			Silex	Esquille	C 1200	M.LT_03_0000	651	11
LOCUS 3	C6 56	c	7	LSBR			Silex	Esquille	C 1200	M.LT_03_0000	651	11
LOCUS 3	C6 67	b	3	LSBR			Silex	2 éclats non corticaux, 3 fgts d'éclats, 9 esquilles	C 1200	M.LT_03_0000	651	11
LOCUS 3	C6 67	c	3	LSB			Silex	2 éclats non corticaux, 3 fgts d'éclats, 13 esquilles	C 1200	M.LT_03_0000	651	11
LOCUS 3	C6 67	d	3	LSB			Silex	12 fgts d'éclats, 22 esquilles	C 1200	M.LT_03_0000	651	11
LOCUS 3	C6 67	b	4	LSBR			Silex	4 éclats non corticaux, 8 esquilles	C 1200	M.LT_03_0000	651	11
LOCUS 3	C6 67	c	4	LSB/LSBR			Silex	1 éclat non cortical, 1 fgt d'éclat non cortical, 8 esquilles	C 1200	M.LT_03_0000	651	11
LOCUS 3	C6 67	d	4	LSBR			Silex	1 fgt d'éclat non cortical, 10 esquilles	C 1200	M.LT_03_0000	651	11
LOCUS 3	C6 67	b	5	LSBR			Silex	1 fgt d'éclat non cortical, 5 esquilles	C 1200	M.LT_03_0000	651	11
LOCUS 3	C6 67	c	5	LSBR			Silex	2 éclats non corticaux, 3 fgts d'éclats, 5 esquilles	C 1200	M.LT_03_0000	651	11
LOCUS 3	C6 67	d	5	LSBR			Silex	1 éclat non cortical, 1 fgt d'éclat non cortical, 8 esquilles, 1 débris de taille	C 1200	M.LT_03_0000	651	11
LOCUS 3	C6 67	b	6	LSBR			Silex	3 éclats non corticaux, 4 esquilles	C 1200	M.LT_03_0000	651	11
LOCUS 3	C6 67	c	6	LSBR			Silex	5 esquilles	C 1200	M.LT_03_0000	651	11
LOCUS 3	C6 67	d	6	LSBR			Silex	2 éclats non corticaux 5 esquilles	C 1200	M.LT_03_0000	651	11
LOCUS 3	C6 67	b	7	LSBR/SR			Silex	4 esquilles	C 1200	M.LT_03_0000	651	11
LOCUS 3	C6 67	c	7	LSBR			Silex	3 fgts d'éclats non corticaux, 10 esquilles	C 1200	M.LT_03_0000	651	11
LOCUS 3	C6 67	d	7	LSBR			Silex	2 éclats non corticaux, 3 esquilles, 1 débris de taille	C 1200	M.LT_03_0000	651	11
LOCUS 3	C6 67	b	8	SR			Silex	3 éclats non corticaux, 1 fgt d'éclat non cortical, 2 esquilles	C 1200	M.LT_03_0000	651	11
LOCUS 3	C6 67	c	8	SR			Silex	2 éclats non corticaux, 4 fgts d'éclats non corticaux, 1 esquille	C 1200	M.LT_03_0000	651	11
LOCUS 3	C6 67	d	8	SR			Silex	2 éclats non corticaux, 2 fgts d'éclats non corticaux, 5 esquilles	C 1200	M.LT_03_0000	651	11
LOCUS 3	C6 67	b	9	SR			Silex	1 éclat non cortical, 6 fgts d'éclats, 5 esquilles, 1 débris de taille	C 1200	M.LT_03_0000	651	11
LOCUS 3	C6 67	c	9	SR			Silex	2 fgts d'éclats non corticaux, 2 esquilles	C 1200	M.LT_03_0000	651	11
LOCUS 3	C6 67	d	9	SR			Silex	7 esquilles	C 1200	M.LT_03_0000	651	11
LOCUS 3	C6 67	b	10	SR			Silex	4 fgts d'éclats non corticaux, 1 esquille	C 1200	M.LT_03_0000	651	11
LOCUS 3	C6 67	c	10	SR+GB/GR			Silex	2 fgts d'éclats, 1 esquille	C 1200	M.LT_03_0000	651	11
LOCUS 3	C6 67	d	10	SR			Silex	2 éclats non corticaux, 1 fgt d'éclat non cortical	C 1200	M.LT_03_0000	651	11
LOCUS 1	D8 15	b	3	LSB+GR			Silex + 1 roche indéterminée	1 fgt distal d'éclat retouché, 56 esquilles et fgts d'éclats en silex, 1 fgt d'éclat en roche indéterminée	C 1200	M.LT_01_0000	654	7

Zone Secteur	Carré	Sous-carré	N° de décapage	Unité Pédo-stratigraphique	Position	Repose sur face	Matériau	Descriptif détaillé	Parcelle	Code SRA	Réf. contenant POCHE	Réf. contenant CAISSE
LOCUS 1	D8 16	a	2	GR			Silex	19 esquilles et fgts d'éclats	C 1200	M.LT_01_0000	654	7
LOCUS 1	D8 16	b	2	GR			Silex	2 esquilles et fgts d'éclats	C 1200	M.LT_01_0000	654	7
LOCUS 1	D8 26	a	2	GR			Silex	11 esquilles et fgts d'éclats	C 1200	M.LT_01_0000	654	7
LOCUS 1	D8 26	b	2	GR			Silex	10 esquilles et fgts d'éclats	C 1200	M.LT_01_0000	654	7
LOCUS 1	D8 26	d	2	GR			Silex + 1 roche indéterminée	26 esquilles et fgts d'éclats	C 1200	M.LT_01_0000	654	7
LOCUS 2	D6 84	a	1	LSB			Silex	10 esquilles et fgts d'éclats	C 1200	M.LT_02_0000	653	8
LOCUS 2	D6 84	c	1	LSB			Silex	21 esquilles et fgts d'éclats	C 1200	M.LT_02_0000	653	8
LOCUS 2	D7 04	b	1	LSB/LSBR			Silex	1 fgt distal d'éclat retouché, 21 esquilles et fgts d'éclats	C 1200	M.LT_02_0000	653	8
LOCUS 2	D7 04	c	1	LSB/LSBR			Silex	1 fgt proximal d'éclat retouché, 1 fgt distal d'éclat retouché, 12 esquilles et fgts d'éclats	C 1200	M.LT_02_0000	653	8
LOCUS 2	D7 04	d	1	LSB/LSBR			Silex	10 esquilles et fgts d'éclats	C 1200	M.LT_02_0000	653	8
LOCUS 2	D7 04	c	2	LSBR/GR			Silex	24 esquilles et fgts d'éclats	C 1200	M.LT_02_0000	653	8
LOCUS 2	D7 04	a	3	LSBR			Silex	1 fgt proximal d'éclat retouché, 19 esquilles et fgts d'éclats	C 1200	M.LT_02_0000	653	8
LOCUS 2	D7 05	c	1				Silex	5 esquilles et fgts d'éclats	C 1200	M.LT_02_0000	653	8
LOCUS 3	C6 66	b	2	LSB			Silex	19 esquilles et fgts d'éclats	C 1200	M.LT_03_0000	651	11
LOCUS 3	C6 66	c	2	LSB			Silex	1 fgt mésial d'éclat retouché, 7 esquilles et fgts d'éclats	C 1200	M.LT_03_0000	651	11
LOCUS 3	C6 67	b	1	LSB			Silex	10 esquilles et fgts d'éclats	C 1200	M.LT_03_0000	651	11
LOCUS 3	C6 67	c		LSB			Silex	42 esquilles et fgts d'éclats	C 1200	M.LT_03_0000	651	11
LOCUS 3	C6 68	c	2	LSB			Silex	13 esquilles et fgts d'éclats	C 1200	M.LT_03_0000	651	11
LOCUS 3	C6 77	a	1	LSB			Silex	2 fgts distaux d'éclats retouchés, 4 esquilles et fgts d'éclats	C 1200	M.LT_03_0000	651	11
LOCUS 3	C6 77	b	1	LSB			Silex + 1 roche indéterminée	14 esquilles et fgts d'éclats	C 1200	M.LT_03_0000	651	11
LOCUS 3	C6 77	c	1	LSB			Silex	11 esquilles et fgts d'éclats	C 1200	M.LT_03_0000	651	11
LOCUS 3	C6 77	d	1	LSB			Silex	10 esquilles et fgts d'éclats	C 1200	M.LT_03_0000	651	11
LOCUS 3	C6 77	c	2	LSB			Silex	16 esquilles et fgts d'éclats	C 1200	M.LT_03_0000	651	11
LOCUS 3	C6 78	b	1	LSB			Silex	13 esquilles et fgts d'éclats	C 1200	M.LT_03_0000	651	11
LOCUS 3	C6 79	a	1	LSB			Silex	1 fgt distal de lamelle retouchée, 19 esquilles et fgts d'éclats	C 1200	M.LT_03_0000	651	11
LOCUS 3	C6 79	b	1	LSBR			Silex	15 esquilles et fgts d'éclats	C 1200	M.LT_03_0000	651	11
LOCUS 3	C6 88	a	1	LSB			Silex	6 esquilles et fgts d'éclats	C 1200	M.LT_03_0000	651	11
LOCUS 3	C6 89	a	1	LSB			Silex	67 esquilles et fgts d'éclats	C 1200	M.LT_03_0000	651	11
LOCUS 3	C6 89	b	1	LSBR			Silex	4 esquilles et fgts d'éclats	C 1200	M.LT_03_0000	651	11
LOCUS 3	C6 89	d	1	LSBR			Silex + 1 Quartzite	1 fgt proximal d'éclat retouché, 23 esquilles et fgts d'éclats	C 1200	M.LT_03_0000	651	11
LOCUS 4	C5 73	a	1	GR			Silex	1 fgt distal d'éclat retouché, 10 esquilles et fgts d'éclats	C 1200	M.LT_04_0000	652	9
LOCUS 4	C5 74	c	1	GR			Silex	1 fgt distal d'éclat retouché, 14 esquilles et fgts d'éclats	C 1200	M.LT_04_0000	652	9
LOCUS 4	C5 82	b	1	GR			Silex	20 esquilles et fgts d'éclats	C 1200	M.LT_04_0000	652	9
LOCUS 4	C5 82	c	1	GR			Silex	28 esquilles et fgts d'éclats	C 1200	M.LT_04_0000	652	9
LOCUS 4	C5 92	d	1	GR			Silex	22 esquilles et fgts d'éclats	C 1200	M.LT_04_0000	652	9
LOCUS 4	C5 92	c		GR			Silex	5 esquilles et fgts d'éclats dont 1 fgt distal d'éclat retouché	C 1200	M.LT_04_0000	652	9

Inventaire 05 — Prélèvements

Nom de la commune : Auvers-le-Hamon (72)
Code Site : 72_016_0037

Nom du site : le Bois de Sirion
Code Opération : 2012_121

INVENTAIRE DÉTAILLÉ DES PRÉLÈVEMENTS DE SEDIMENT

feuille n° 1/1

Référence	Secteur	Unité pédo-stratigraphique	Descriptif détaillé	Auteur	Date de réalisation	Analyse envisagée	Analyse réalisée	Prélèvement conservé	Lieu de conservation	Code document
ALH12-P1	CP05 / LOCUS 3	LSB	sédiment bloc (quantité : 1)	A. Castets	06/12/2012	micromorphologie	micromorphologie	oui	Paléotime, Villard-de-Lans	P_00_CP05_0001
ALH12-P2	CP05 / LOCUS 3	LSBR	sédiment bloc (quantité : 1)	A. Castets	06/12/2012	micromorphologie	micromorphologie	oui	Paléotime, Villard-de-Lans	P_00_CP05_0002
ALH12-P3	CP05 / LOCUS 3	LSB	sédiment vrac (quantité : ~ 200 g)	A. Castets	06/12/2012	granulométrie		oui	Paléotime, Villard-de-Lans	P_00_CP05_0003
ALH12-P4	CP05 / LOCUS 3	LSB	sédiment vrac (quantité : ~ 200 g)	A. Castets	06/12/2012	granulométrie		oui	Paléotime, Villard-de-Lans	P_00_CP05_0004
ALH12-P5	CP05 / LOCUS 3	LSB	sédiment vrac (quantité : ~ 200 g)	A. Castets	06/12/2012	granulométrie		oui	Paléotime, Villard-de-Lans	P_00_CP05_0005
ALH12-P6	CP05 / LOCUS 3	LSBR	sédiment vrac (quantité : ~ 200 g)	A. Castets	06/12/2012	granulométrie		oui	Paléotime, Villard-de-Lans	P_00_CP05_0006
ALH12-P7	CP05 / LOCUS 3	LSBR	sédiment vrac (quantité : ~ 200 g)	A. Castets	06/12/2012	granulométrie		oui	Paléotime, Villard-de-Lans	P_00_CP05_0007
ALH12-P8	CP05 / LOCUS 3	LSBR	sédiment vrac (quantité : ~ 200 g)	A. Castets	06/12/2012	granulométrie		oui	Paléotime, Villard-de-Lans	P_00_CP05_0008
ALH12-P9	CP05 / LOCUS 3	SR	sédiment vrac (quantité : ~ 200 g)	A. Castets	06/12/2012	granulométrie		oui	Paléotime, Villard-de-Lans	P_00_CP05_0009
ALH12-P10	CP05 / LOCUS 3	SR	sédiment vrac (quantité : ~ 200 g)	A. Castets	06/12/2012	granulométrie		oui	Paléotime, Villard-de-Lans	P_00_CP05_0010
ALH12-P11	CP10 / LOCUS 2	LSB / GB	sédiment bloc (quantité : 1)	M. Rué	11/12/2012	micromorphologie	micromorphologie	oui	Paléotime, Villard-de-Lans	P_00_CP10_0001
ALH12-P12	CP10 / LOCUS 2	LSB / GB / GR	sédiment bloc (quantité : 1)	M. Rué	11/12/2012	micromorphologie	micromorphologie	oui	Paléotime, Villard-de-Lans	P_00_CP10_0002
ALH12-P13	CP10 / LOCUS 2	LSB	sédiment vrac (quantité : ~ 200 g)	M. Rué	11/12/2012	granulométrie	microgranulométrie	oui	Paléotime, Villard-de-Lans	P_00_CP10_0003
ALH12-P14	CP10 / LOCUS 2	LSB	sédiment vrac (quantité : ~ 200 g)	M. Rué	11/12/2012	granulométrie		oui	Paléotime, Villard-de-Lans	P_00_CP10_0004
ALH12-P15	CP10 / LOCUS 2	LSB	sédiment vrac (quantité : ~ 200 g)	M. Rué	11/12/2012	granulométrie		oui	Paléotime, Villard-de-Lans	P_00_CP10_0005
ALH12-P16	CP10 / LOCUS 2	LSB / SR	sédiment vrac (quantité : ~ 200 g)	M. Rué	11/12/2012	granulométrie		oui	Paléotime, Villard-de-Lans	P_00_CP10_0006
ALH12-P17	CP10 / LOCUS 2	LSB / SR	sédiment vrac (quantité : ~ 200 g)	M. Rué	11/12/2012	granulométrie		oui	Paléotime, Villard-de-Lans	P_00_CP10_0007
ALH12-P18	CP10 / LOCUS 2	SR	sédiment vrac (quantité : ~ 200 g)	M. Rué	11/12/2012	granulométrie		oui	Paléotime, Villard-de-Lans	P_00_CP10_0008
ALH12-P19	CP10 / LOCUS 2	SR	sédiment vrac (quantité : ~ 200 g)	M. Rué	11/12/2012	granulométrie		oui	Paléotime, Villard-de-Lans	P_00_CP10_0009
ALH12-P20	CP10 / LOCUS 2	SR	sédiment vrac (quantité : ~ 200 g)	M. Rué	11/12/2012	granulométrie		oui	Paléotime, Villard-de-Lans	P_00_CP10_0010
ALH12-P21	CP10 / LOCUS 2	GB / GR (poche)	sédiment vrac (quantité : ~ 200 g)	M. Rué	11/12/2012	granulométrie		oui	Paléotime, Villard-de-Lans	P_00_CP10_0011
ALH12-P22	LOCUS 2, D7_04 sommet décap 2	GB / GR	sédiment vrac (quantité : ~ 200 g)	M. Rué	11/12/2012	granulométrie	microgranulométrie	oui	Paléotime, Villard-de-Lans	P_00_D704_0001
ALH12-P23	LOCUS 2, D7_04 sommet décap 2	LSB / LSR	sédiment vrac (quantité : ~ 200 g)	M. Rué	11/12/2012	granulométrie	microgranulométrie	oui	Paléotime, Villard-de-Lans	P_00_D704_0002
ALH12-P24	CP10 / LOCUS 2	LSJ / LSB	sédiment bloc (quantité : 1)	M. Rué	12/12/2012	micromorphologie	micromorphologie	oui	Paléotime, Villard-de-Lans	P_00_CP10_0012
ALH12-P25	CP10 / LOCUS 2	SR	sédiment bloc (quantité : 1)	M. Rué	12/12/2012	micromorphologie	micromorphologie	oui	Paléotime, Villard-de-Lans	P_00_CP10_0013
ALH12-P26	CP10 / LOCUS 2	SR	sédiment tube + vrac associé	M. Rué	12/12/2012	datation OSL	datation OSL / microgranulométrie	non	-	P_00_CP10_0014
ALH12-P27	CP10 / LOCUS 2	LSBR	sédiment tube + vrac associé	M. Rué	12/12/2012	datation OSL	datation OSL / microgranulométrie	non	-	P_00_CP10_0015
ALH12-P28	CP10 / LOCUS 2	LSB	sédiment tube + vrac associé	M. Rué	12/12/2012	datation OSL	datation OSL / microgranulométrie	non	-	P_00_CP10_0016
ALH12-P29	CP08	LSBR	sédiment tube + vrac associé	M. Rué	12/12/2012	datation OSL	datation OSL	oui	Paléotime, Villard-de-Lans	P_00_CP08_0001
ALH12-P30	CP01_1	S jaune lité sous SR	sédiment vrac (quantité : ~ 200 g)	M. Rué	12/12/2012	granulo + observation bino	microgranulométrie	oui	Paléotime, Villard-de-Lans	P_00_CP01.1_0001
ALH12-P31	CP02_1	argile grise litée	sédiment vrac (quantité : ~ 200 g)	M. Rué	12/12/2012	granulo + observation bino		oui	Paléotime, Villard-de-Lans	P_00_CP02.1_0001
ALH12-P32	CP02_1	sables roux	sédiment vrac (quantité : ~ 200 g)	M. Rué	12/12/2012	granulo + observation bino		oui	Paléotime, Villard-de-Lans	P_00_CP02.1_0002
ALH12-P33	CP02_1	niveau à galets	sédiment vrac (quantité : ~ 200 g)	M. Rué	12/12/2012	granulo + observation bino		oui	Paléotime, Villard-de-Lans	P_00_CP02.1_0003
ALH12-P34	CP02_1	argile rubéfiée	sédiment vrac (quantité : ~ 200 g)	M. Rué	12/12/2012	granulo + observation bino		oui	Paléotime, Villard-de-Lans	P_00_CP02.1_0004
ALH12-P35	CP02_1	argile tachetée luvisolique	sédiment vrac (quantité : ~ 200 g)	M. Rué	12/12/2012	granulo + observation bino		oui	Paléotime, Villard-de-Lans	P_00_CP02.1_0005
ALH12-P36	CP04_1	GR	sédiment vrac (quantité : ~ 200 g)	M. Rué	12/12/2012	granulo + observation bino		oui	Paléotime, Villard-de-Lans	P_00_CP04.1_0001

Inventaire 06 — Unités stratigraphiques

FACIES	LITHOSTRATIGRAPHIE	COULEUR MUNSELL (sédiment sec)	PEDOSTRATIGRAPHIE
LSJ	limon sableux jaune peu compact, quelques galets et graviers siliceux, rares petits charbons, racines	brun jaunâtre pâle (10 YR 6/4)	supporte l'horizon humifère actuel, structure grenue
LSB	limon sableux brun peu compact, quelques graviers et galets siliceux, rares petits charbons, racines	brun très pâle (10 YR 7/4)	sol brun acide, structure grenue
GB	galets et graviers siliceux à matrice limono-sableuse brune, support matriciel	-	(pavage d'érosion)
GBR	galets et graviers siliceux à matrice limono-sableuse brun rouge, support matriciel	brun vif (7,5 YR 5/8)	(pavage d'érosion)
GR	galets et graviers siliceux à matrice limono-sableuse rouge, support matriciel	-	(pavage d'érosion)
LSBR	limon sableux brun rouge, fraction grossière rare	agrégats : rouge jaunâtre (5 YR 5/8)	rouge : agrégats au sommet du paléosol fersiallitique, structure grenue
LSR	limon sableux rouge, fraction grossière rare	rouge (2,5 YR 4/8)	paléosol fersiallitique, structure grenue
SR	sable rouge compact, bandes d'illuviations à la base, fraction grossière absente	rouge jaunâtre (5 YR 5/8)	paléosol fersiallitique, structure grenue
A et S	argile blanche à rouge, sable et graviers, localement lités	-	(comblement de paléochenaux)

Inventaire 07 — Coupes stratigraphiques

N° coupe	LOCALISATION	ORIENTATION	POINTS TOPO	TYPE RELEVÉ	N° MINUTE(S)	PRÉLÈVEMENT(S)	DATE RELEVÉ
1.1	limite nord	E-O	192-203	photo - topo	1	PR 30	14/11/2012
1.2	limite nord	E-O	142-151	photo - topo	2		14/11/2012
2.1	limite est	N-S	227-236	photo - topo	3	PR 31 à 35	15/11/2012
2.2	limite est	N-S	2485-2490	photo - topo	7		28/11/2012
3	limite sud	E-O	307-318	photo - topo	4		15/11/2012
4.1	limite ouest	N-S	324-337	photo - topo	5	PR 36	15/11/2012
4.2	limite ouest	N-S	423-432	photo - topo	6		15/11/2012
5	LOCUS 3	N-S	2372-2383	photo - topo	8	PR 1 à 10	28/11/2012
6	LOCUS 4	E-O	2432-2439	photo - topo	9		28/11/2012
8	LOCUS 2	N-S	2691-2696	photo - topo	14	PR 29	29/11/2012
9	est	N-S	2949-2952	photo - topo	15		05/12/2012
10	LOCUS 2	E-O	3232-3239	photo - topo	13	PR 11 à 21 ; PR 24 à 28	10/12/2012

Inventaire 08 — Refus de tamis (tamisage sur le terrain)

ZONE SECTEUR	CARRÉ	SOUS CARRÉ	N° DÉCAPAGE	Unité Pédo-stratigraphique	Z SUP	Z INF	POIDS (en g.)	REMARQUES	Nb seaux
Locus 1	nettoyage surface			LSB/GR			968,05	à trier	
Locus 1	D8-15	b	3	LSB/GR	66,79	66,75	797,58	à trier	
Locus 1	D8-16	a	2	GR	66,82	66,77	299,44	à trier	
Locus 1	D8-16	b	2	GR	66,81	66,76	659,6	à trier	
Locus 1	D8-25	b	1	GR	66,87	66,82	1961,92	à trier	
Locus 1	D8-26	d	1	GR	66,82	66,79	789	à trier	
Locus 1	D8-26	a	2	GR	66,82	66,76	1023,06	à trier	
Locus 1	D8-26	b	2	GR	66,82	66,75	1183,17	à trier	
Locus 1	D8-26	c	2	GR	66,82	66,77	3087,12	à trier	
Locus 1	D8-26	d	2	GR	66,82	66,76	512,11	à trier	
Locus 1	D8-26	c	3	GR	66,82	66,73	894,7	à trier	
Locus 2	D6-84	c	1	LSB	67,09	67,06	496,85	à trier	
Locus 2	D7-4	a	1	LSB/LSBR	67,07	67,06	268,51	à trier	2
Locus 2	D7-4	b	1	LSB/LSBR	67,07	67,05	1327,72	à trier	1
Locus 2	D7-4	c	1	LSB/LSBR	67,07	67,05	1369,35	à trier	1
Locus 2	D7-4	d	1	LSB/LSBR	67,07	67,03	889,31	à trier	2
Locus 2	D7-4	c	2	LSB/LSBR	67,05	67,01	1530,45	à trier	
Locus 2	D7-4	a	3	LSBR	67,02	66,97	292,11	à trier	
Locus 2	D7-5	a	1	LSB/LSBR	67,05	67,03	424,62	à trier	
Locus 2	D7-5	d	1	LSB/LSBR	67,05	67,00		à trier	
Locus 3	C6-66	b	2	LSB	66,98	66,90	698,11	à trier	2
Locus 3	C6-66	c	2	LSB	66,95	66,92	541,35	à trier	2
Locus 3	C6-67	b	1	LSB	67,01	66,98	750,48	à trier	
Locus 3	C6-67	c	1	LSB	67,01	66,95	693,15	à trier	
Locus 3	C6-67	c	2	LSB	66,95	66,93	861,87	à trier	
Locus 3	C6-68	a	1	LSB	66,97	66,93		à trier	
Locus 3	C6-68	c	2	LSB/LSBR	66,94	66,90		à trier	2
Locus 3	C6-69	a-d	1	LSB	66,98	66,93	941,49	à trier	
Locus 3	C6-77	a	1	LSB	67,04	67,00	333,52	à trier	
Locus 3	C6-77	b	1	LSB	67,04	66,99	1015,78	à trier	
Locus 3	C6-77	c	1	LSB	67,04	67,00	761,62	à trier	
Locus 3	C6-77	d	1	LSB	67,04	66,99	826,56	à trier	
Locus 3	C6-77	c	2	LSB	67	66,96	1053,57	à trier	
Locus 3	C6-78	b	1	LSB	67	66,98	312,43	à trier	
Locus 3	C6-78	d	1	LSB	67	66,96	336,07	à trier	
Locus 3	C6-79	a	1	LSB	67	66,96	383,71	à trier	
Locus 3	C6-79	b	1	LSB	67	66,94	433,35	à trier	
Locus 3	C6-89	b	1	LSB	67,01	66,98	1806,06	à trier	
Locus 3	C6-89	d	1	LSB	67,01	66,99	1234,74	à trier	
Locus 4	C5-71	b	1	GB	66,65	66,69	2281,5	à trier	
Locus 4	C5-71	d	1	GB	66,69	66,63	2066,95	à trier	
Locus 4	C5-74	c	1	GR	66,64	66,59	1827,96	à trier	2
Locus 4	C5-81	b	1	GBR	66,72	66,67	1197,39	à trier	
Locus 4	C5-82	b	1	GR	66,65	66,66	1240,45	à trier	1
Locus 4	C5-82	c	1	GR	66,65	66,62	1566,99	à trier	2
Locus 4	C5-84	c	1	GR	66,69	66,64	464,19	à trier	
Locus 4	C5-92	d	1	GR	66,71	66,66	1656,97	à trier	2

Inventaire 09 — Photographies numériques

IDENTIFIANT	LOCALISATION			DESCRIPTION			DATE	AUTEUR	Remarques
	Zone	Secteur	Type de vue	Vue vers	Unité Pédostratigraphique	carré / mobilier lithique en place	n° décapage / description			
2012.121 - N.IM.FO.0001	Zone A	CP01-1	vue générale	nord-est				13/11/2012	Paleotime	
2012.121 - N.IM.FO.0002	Zone A	CP01-1	vue oblique	nord-est				13/11/2012	Paleotime	
2012.121 - N.IM.FO.0003	Zone A	CP01-1	vue oblique	nord-ouest				13/11/2012	Paleotime	
2012.121 - N.IM.FO.0004	Zone A	CP01-1	vue en coupe	nord				13/11/2012	Paleotime	
2012.121 - N.IM.FO.0005	Zone A	CP01-1	vue en coupe	nord				13/11/2012	Paleotime	
2012.121 - N.IM.FO.0006	Zone A	CP01-1	vue en coupe	nord				13/11/2012	Paleotime	
2012.121 - N.IM.FO.0007	Zone A	CP01-1	vue oblique	nord				13/11/2012	Paleotime	
2012.121 - N.IM.FO.0008	Zone A	CP01-1	vue en coupe	nord				13/11/2012	Paleotime	
2012.121 - N.IM.FO.0009	Zone A	CP01-1	vue en coupe	nord				13/11/2012	Paleotime	
2012.121 - N.IM.FO.0010	Zone A	CP01-1	vue en coupe	nord				13/11/2012	Paleotime	
2012.121 - N.IM.FO.0011	Zone A	CP01-1	vue en coupe	nord				13/11/2012	Paleotime	
2012.121 - N.IM.FO.0012	Zone A	CP01-1	vue en coupe	nord				13/11/2012	Paleotime	
2012.121 - N.IM.FO.0013	Zone A	CP01-1	vue en coupe	nord				13/11/2012	Paleotime	
2012.121 - N.IM.FO.0014	Zone A	CP01-1	vue en coupe (détail)	nord		mobilier lithique en place		13/11/2012	Paleotime	
2012.121 - N.IM.FO.0015	Zone A	CP01-1	vue en coupe (détail)	nord				13/11/2012	Paleotime	
2012.121 - N.IM.FO.0016	Zone A	CP01-1	vue en coupe (détail)	nord				13/11/2012	Paleotime	
2012.121 - N.IM.FO.0017	Zone A	CP01-1	vue en coupe (détail)	nord				13/11/2012	Paleotime	
2012.121 - N.IM.FO.0018	Zone A	CP01-1	vue en coupe (détail)	nord				13/11/2012	Paleotime	
2012.121 - N.IM.FO.0019	Zone A	CP01-1	vue en coupe (détail)	nord				13/11/2012	Paleotime	
2012.121 - N.IM.FO.0020	Zone A	CP01-1	vue en coupe (détail)	nord				13/11/2012	Paleotime	
2012.121 - N.IM.FO.0021	Zone A	CP01-1	vue en coupe (détail)	nord				13/11/2012	Paleotime	
2012.121 - N.IM.FO.0022	Zone A	CP01-1	vue en coupe (détail)	nord				13/11/2012	Paleotime	
2012.121 - N.IM.FO.0023	Zone A	CP01-1	vue en coupe (détail)	nord				13/11/2012	Paleotime	
2012.121 - N.IM.FO.0024	Zone A	CP01-2	vue oblique	nord-ouest				13/11/2012	Paleotime	
2012.121 - N.IM.FO.0025	Zone A	CP01-2	vue oblique	nord-ouest				13/11/2012	Paleotime	
2012.121 - N.IM.FO.0026	Zone A	CP01-2	vue oblique	nord-ouest				13/11/2012	Paleotime	
2012.121 - N.IM.FO.0027	Zone A	CP01-2	vue oblique	nord-est				13/11/2012	Paleotime	
2012.121 - N.IM.FO.0028	Zone A	CP01-2	vue oblique	nord-est				13/11/2012	Paleotime	
2012.121 - N.IM.FO.0029	Zone A	CP01-2	vue en coupe	nord				13/11/2012	Paleotime	
2012.121 - N.IM.FO.0030	Zone A	CP01-2	vue en coupe	nord				13/11/2012	Paleotime	
2012.121 - N.IM.FO.0031	Zone A	CP01-2	vue en coupe	nord				13/11/2012	Paleotime	
2012.121 - N.IM.FO.0032	Zone A	CP01-2	vue oblique	nord-ouest				13/11/2012	Paleotime	
2012.121 - N.IM.FO.0033	Zone A	CP01-2	vue en coupe	nord				13/11/2012	Paleotime	
2012.121 - N.IM.FO.0034	Zone A	CP01-2	vue en coupe	nord				13/11/2012	Paleotime	
2012.121 - N.IM.FO.0035	Zone A	CP01-2	vue en coupe	nord				13/11/2012	Paleotime	
2012.121 - N.IM.FO.0036	Zone A	CP01-2	vue en coupe	nord				13/11/2012	Paleotime	
2012.121 - N.IM.FO.0037	Zone A	CP01-2	vue en coupe	nord				13/11/2012	Paleotime	
2012.121 - N.IM.FO.0038	Zone A	CP01-2	vue en coupe	nord				13/11/2012	Paleotime	
2012.121 - N.IM.FO.0039	Zone A	CP01-2	vue en coupe	nord				13/11/2012	Paleotime	
2012.121 - N.IM.FO.0040	Zone A	CP01-2	vue en plan	nord				13/11/2012	Paleotime	
2012.121 - N.IM.FO.0041	Zone A	CP01-2	vue en coupe	nord				13/11/2012	Paleotime	
2012.121 - N.IM.FO.0042	Zone A	CP01-2	vue oblique	nord-ouest				13/11/2012	Paleotime	
2012.121 - N.IM.FO.0043	Zone A	CP01-2	vue oblique	nord-est				13/11/2012	Paleotime	
2012.121 - N.IM.FO.0044	Zone A	CP01-2	vue en coupe (détail)	nord				13/11/2012	Paleotime	
2012.121 - N.IM.FO.0045	Zone A	CP01-2	vue en coupe (détail)	nord				13/11/2012	Paleotime	
2012.121 - N.IM.FO.0046	Zone A	CP01-2	vue en coupe (détail)	nord				13/11/2012	Paleotime	
2012.121 - N.IM.FO.0047	Zone A	TR04-1	vue en plan	est		décapage mécanique 1		13/11/2012	Paleotime	
2012.121 - N.IM.FO.0048	Zone A	TR04-1	vue en plan	est		décapage mécanique 2		13/11/2012	Paleotime	
2012.121 - N.IM.FO.0049	Zone A	TR04-1	vue en plan	est		décapage mécanique 3		13/11/2012	Paleotime	
2012.121 - N.IM.FO.0050	Zone A	TR04-1	vue en plan	est		décapage mécanique 4		13/11/2012	Paleotime	
2012.121 - N.IM.FO.0051	Zone A	TR04-1	vue en plan	est		décapage mécanique 5		13/11/2012	Paleotime	
2012.121 - N.IM.FO.0052	Zone A	TR04-1	vue en plan	est		décapage mécanique 6		13/11/2012	Paleotime	
2012.121 - N.IM.FO.0053	Zone B	CP03	vue oblique	sud-est				13/11/2012	Paleotime	
2012.121 - N.IM.FO.0054	Zone B	CP02-1	vue oblique	sud-est				13/11/2012	Paleotime	
2012.121 - N.IM.FO.0055	Zone B	CP02-1	vue en coupe	est				13/11/2012	Paleotime	
2012.121 - N.IM.FO.0056	Zone B	CP02-1	vue en coupe	est				13/11/2012	Paleotime	
2012.121 - N.IM.FO.0057	Zone B	CP02-1	vue en coupe	est				13/11/2012	Paleotime	
2012.121 - N.IM.FO.0058	Zone B	CP02-1	vue oblique	nord-est				13/11/2012	Paleotime	
2012.121 - N.IM.FO.0059	Zone B	CP02-1	vue oblique	sud-est				13/11/2012	Paleotime	
2012.121 - N.IM.FO.0060	Zone B	CP02-1	vue en coupe	est				13/11/2012	Paleotime	
2012.121 - N.IM.FO.0061	Zone B	CP02-1	vue en coupe	est				13/11/2012	Paleotime	
2012.121 - N.IM.FO.0062	Zone B	CP02-1	vue en coupe	est				13/11/2012	Paleotime	
2012.121 - N.IM.FO.0063	Zone B	CP02-1	vue en coupe	est				13/11/2012	Paleotime	
2012.121 - N.IM.FO.0064	Zone B	CP02-1	vue oblique	nord-est				13/11/2012	Paleotime	
2012.121 - N.IM.FO.0065	Zone B	CP02-1	vue en coupe	est				13/11/2012	Paleotime	
2012.121 - N.IM.FO.0066	Zone B	CP02-1	vue en coupe	est				13/11/2012	Paleotime	
2012.121 - N.IM.FO.0067	Zone B	CP02-1	vue en coupe	est				13/11/2012	Paleotime	
2012.121 - N.IM.FO.0068	Zone B	CP02-1	vue en coupe	est				13/11/2012	Paleotime	
2012.121 - N.IM.FO.0069	Zone B	CP02-1	vue en coupe (détail)	est				13/11/2012	Paleotime	
2012.121 - N.IM.FO.0070	Zone B	CP02-1	vue en coupe (détail)	est				13/11/2012	Paleotime	
2012.121 - N.IM.FO.0071	Zone B	CP02-1	vue en coupe (détail)	est				13/11/2012	Paleotime	
2012.121 - N.IM.FO.0072	Zone B	CP02-1	vue en coupe	est				13/11/2012	Paleotime	
2012.121 - N.IM.FO.0073	Zone B	CP02-1	vue en coupe	est				13/11/2012	Paleotime	
2012.121 - N.IM.FO.0074	Zone B	CP02-1	vue en coupe (détail)	est				13/11/2012	Paleotime	
2012.121 - N.IM.FO.0075	Zone B	CP02-1	vue en coupe (détail)	est				13/11/2012	Paleotime	
2012.121 - N.IM.FO.0076	Zone B	CP02-1	vue en coupe (détail)	est				13/11/2012	Paleotime	
2012.121 - N.IM.FO.0077	Zone B	CP02-1	vue en coupe (détail)	est				13/11/2012	Paleotime	
2012.121 - N.IM.FO.0078	Zone B	CP02-1	vue en coupe (détail)	est				13/11/2012	Paleotime	
2012.121 - N.IM.FO.0079	Zone B	CP02-1	vue en coupe (détail)	est				13/11/2012	Paleotime	
2012.121 - N.IM.FO.0080	Zone B	CP02-1	vue en coupe (détail)	est				13/11/2012	Paleotime	
2012.121 - N.IM.FO.0081	Zone B	CP02-1	vue en coupe (détail)	est				13/11/2012	Paleotime	
2012.121 - N.IM.FO.0082	Zone B	CP02-1	vue en coupe (détail)	est				13/11/2012	Paleotime	
2012.121 - N.IM.FO.0083	Zone B	CP02-1	vue en coupe (détail)	est				13/11/2012	Paleotime	
2012.121 - N.IM.FO.0084	Zone A	CP04-1	vue en plan	nord	LSJp			13/11/2012	Paleotime	
2012.121 - N.IM.FO.0085	Zone A	CP04-1	vue en plan	nord	LSJp			13/11/2012	Paleotime	
2012.121 - N.IM.FO.0086	Zone B	CP03	vue générale	sud-ouest				14/11/2012	Paleotime	
2012.121 - N.IM.FO.0087	Zone B	CP03	vue en plan	sud				14/11/2012	Paleotime	

IDENTIFIANT	LOCALISATION				DESCRIPTION			DATE	AUTEUR	Remarques
	Zone	Secteur	Type de vue	Vue vers	Unité Pédostratigraphique	carré / mobilier lithique en place	n° décapage / description			
2012.121 - N.IM.FO.0088	Zone B	CP03	vue oblique	sud-est				14/11/2012	Paleotime	
2012.121 - N.IM.FO.0089	Zone B	CP03	vue en plan	sud				14/11/2012	Paleotime	
2012.121 - N.IM.FO.0090	Zone B	CP03	vue en plan	sud-ouest				14/11/2012	Paleotime	
2012.121 - N.IM.FO.0091	Zone B	CP03	vue en plan	sud				14/11/2012	Paleotime	
2012.121 - N.IM.FO.0092	Zone B	CP03	vue oblique	sud-est				14/11/2012	Paleotime	
2012.121 - N.IM.FO.0093	Zone B	CP03	vue oblique	sud-ouest				14/11/2012	Paleotime	
2012.121 - N.IM.FO.0094	Zone B	CP03	vue générale	sud				14/11/2012	Paleotime	
2012.121 - N.IM.FO.0095	Zone B	CP03	vue générale	sud-est				14/11/2012	Paleotime	
2012.121 - N.IM.FO.0096	Zone B	CP03	vue oblique	sud-ouest				14/11/2012	Paleotime	
2012.121 - N.IM.FO.0097	Zone B	CP03	vue en coupe et plan	sud				14/11/2012	Paleotime	
2012.121 - N.IM.FO.0098	Zone B	CP03	vue en coupe et plan	sud				14/11/2012	Paleotime	
2012.121 - N.IM.FO.0099	Zone B	CP03	vue en coupe et plan	sud				14/11/2012	Paleotime	
2012.121 - N.IM.FO.0100	Zone B	CP03	vue en coupe	sud				14/11/2012	Paleotime	
2012.121 - N.IM.FO.0101	Zone B	CP03	vue en coupe	sud				14/11/2012	Paleotime	
2012.121 - N.IM.FO.0102	Zone B	CP03	vue en coupe	sud				14/11/2012	Paleotime	
2012.121 - N.IM.FO.0103	Zone B	CP03	vue en coupe	sud				14/11/2012	Paleotime	
2012.121 - N.IM.FO.0104	Zone B	CP03	vue en coupe	sud				14/11/2012	Paleotime	
2012.121 - N.IM.FO.0105	Zone B	CP03	vue en coupe	sud				14/11/2012	Paleotime	
2012.121 - N.IM.FO.0106	Zone B	CP03	vue en coupe	sud				14/11/2012	Paleotime	
2012.121 - N.IM.FO.0107	Zone B	CP03	vue en coupe	sud				14/11/2012	Paleotime	
2012.121 - N.IM.FO.0108	Zone B	CP03	vue en coupe (détail)	sud				14/11/2012	Paleotime	
2012.121 - N.IM.FO.0109	Zone B	CP03	vue en coupe (détail)	sud				14/11/2012	Paleotime	
2012.121 - N.IM.FO.0110	Zone B	CP03	vue en coupe	sud				14/11/2012	Paleotime	
2012.121 - N.IM.FO.0111	Zone B	CP03	vue en coupe (détail)	sud				14/11/2012	Paleotime	
2012.121 - N.IM.FO.0112	Zone B	CP03	vue en coupe	sud				14/11/2012	Paleotime	
2012.121 - N.IM.FO.0113	Zone B	CP03	vue en coupe (détail)	sud				14/11/2012	Paleotime	
2012.121 - N.IM.FO.0114	Zone A	CP04-1	vue générale	nord-ouest				14/11/2012	Paleotime	
2012.121 - N.IM.FO.0115	Zone A	CP04-1	vue en coupe et plan	ouest				14/11/2012	Paleotime	
2012.121 - N.IM.FO.0116	Zone A	CP04-1	vue en coupe et plan	ouest				14/11/2012	Paleotime	
2012.121 - N.IM.FO.0117	Zone A	CP04-1	vue en coupe et plan	ouest				14/11/2012	Paleotime	
2012.121 - N.IM.FO.0118	Zone A	CP04-1	vue générale	sud-ouest				14/11/2012	Paleotime	
2012.121 - N.IM.FO.0119	Zone A	CP04-1	vue oblique	nord-ouest				14/11/2012	Paleotime	
2012.121 - N.IM.FO.0120	Zone A	CP04-1	vue en coupe	ouest				14/11/2012	Paleotime	
2012.121 - N.IM.FO.0121	Zone A	CP04-1	vue en coupe	ouest				14/11/2012	Paleotime	
2012.121 - N.IM.FO.0122	Zone A	CP04-1	vue en coupe	ouest				14/11/2012	Paleotime	
2012.121 - N.IM.FO.0123	Zone A	CP04-1	vue en coupe	ouest				14/11/2012	Paleotime	
2012.121 - N.IM.FO.0124	Zone A	CP04-1	vue en coupe	ouest				14/11/2012	Paleotime	
2012.121 - N.IM.FO.0125	Zone A	CP04-1	vue en coupe	ouest				14/11/2012	Paleotime	
2012.121 - N.IM.FO.0126	Zone A	CP04-1	vue en coupe	ouest				14/11/2012	Paleotime	
2012.121 - N.IM.FO.0127	Zone A	CP04-1	vue en coupe	ouest				14/11/2012	Paleotime	
2012.121 - N.IM.FO.0128	Zone A	CP04-1	vue en coupe	ouest				14/11/2012	Paleotime	
2012.121 - N.IM.FO.0129	Zone A	CP04-1	vue en coupe	ouest				14/11/2012	Paleotime	
2012.121 - N.IM.FO.0130	Zone A	CP04-1	vue en coupe	ouest				14/11/2012	Paleotime	
2012.121 - N.IM.FO.0131	Zone A	CP04-1	vue en coupe	ouest				14/11/2012	Paleotime	
2012.121 - N.IM.FO.0132	Zone A	CP04-1	vue oblique	sud-ouest				14/11/2012	Paleotime	
2012.121 - N.IM.FO.0133	Zone A	CP04-2	vue en coupe	ouest				14/11/2012	Paleotime	
2012.121 - N.IM.FO.0134	Zone A	CP04-2	vue en coupe	ouest				14/11/2012	Paleotime	
2012.121 - N.IM.FO.0135	Zone A	CP04-2	vue en coupe	ouest				14/11/2012	Paleotime	
2012.121 - N.IM.FO.0136	Zone A	CP04-2	vue en coupe	ouest				14/11/2012	Paleotime	
2012.121 - N.IM.FO.0137	Zone A	CP04-2	vue en coupe	ouest				14/11/2012	Paleotime	
2012.121 - N.IM.FO.0138	Zone A	CP04-2	vue générale	nord-ouest				14/11/2012	Paleotime	
2012.121 - N.IM.FO.0139	Zone A	CP04-2	vue en coupe	ouest				14/11/2012	Paleotime	
2012.121 - N.IM.FO.0140	Zone A	CP04-2	vue en coupe (détail)	ouest				14/11/2012	Paleotime	
2012.121 - N.IM.FO.0141	Zone A	CP04-2	vue en coupe (détail)	ouest				14/11/2012	Paleotime	
2012.121 - N.IM.FO.0142	Zone A	CP04-2	vue en coupe (détail)	ouest				14/11/2012	Paleotime	
2012.121 - N.IM.FO.0143	Zone A	Zone A	vue oblique	est			exemple de souche présente sur l'emprise	15/11/2012	Paleotime	
2012.121 - N.IM.FO.0144	Zone A	Zone A	vue en plan	est			exemple de souche présente sur l'emprise	15/11/2012	Paleotime	
2012.121 - N.IM.FO.0145	Zone A	Zone A	vue en plan	nord	sable rouge, lentille claire			15/11/2012	Paleotime	
2012.121 - N.IM.FO.0146	Zone A	Zone A	vue en plan	nord	sable rouge, lentille claire			15/11/2012	Paleotime	
2012.121 - N.IM.FO.0147	Zone A	Zone A	vue en plan	est	sable rouge, lentille claire			15/11/2012	Paleotime	
2012.121 - N.IM.FO.0148	Zone A	Zone A	vue en plan	nord		bloc brûlé, en place (PT897)	décapage mécanique	20/11/2012	Paleotime	
2012.121 - N.IM.FO.0149	Zone A	Zone A	vue en plan	nord		bloc brûlé, en place (PT897)	décapage mécanique	20/11/2012	Paleotime	
2012.121 - N.IM.FO.0150	Zone A	Zone A	vue oblique	nord		bloc brûlé, en place (PT897)	décapage mécanique	20/11/2012	Paleotime	
2012.121 - N.IM.FO.0151	Zone A	Zone A	vue en plan	nord		bloc brûlé, en place (PT897)	décapage mécanique	20/11/2012	Paleotime	
2012.121 - N.IM.FO.0152	Zone A	Zone A	vue en plan	nord		bloc brûlé, après prélèvement (PT897)	décapage mécanique	20/11/2012	Paleotime	
2012.121 - N.IM.FO.0153	Zone A	Zone A	vue en plan	ouest	GR (poche)			20/11/2012	Paleotime	
2012.121 - N.IM.FO.0154	Zone A	Zone A	vue en plan	ouest	GR (poche) et argile (poche)			20/11/2012	Paleotime	
2012.121 - N.IM.FO.0155	Zone A	Zone A	vue en plan	est	GR (poche)			20/11/2012	Paleotime	
2012.121 - N.IM.FO.0156	Zone A	Zone A	vue générale	est	GR			20/11/2012	Paleotime	
2012.121 - N.IM.FO.0157	Zone A	Locus 1	vue en plan	nord	GR (poche)	mobilier lithique en place (point central PT1338)	décapage mécanique	21/11/2012	Paleotime	
2012.121 - N.IM.FO.0158	Zone A	Locus 4	vue oblique	sud	GR	mobilier lithique en place (point central PT1509)	décapage mécanique	21/11/2012	Paleotime	
2012.121 - N.IM.FO.0159	Zone A	Locus 4	vue oblique (détail)	sud	GR	mobilier lithique en place (point central PT1509)	décapage mécanique	21/11/2012	Paleotime	
2012.121 - N.IM.FO.0160	Zone A	Locus 4	vue oblique	sud	GR	mobilier lithique en place (point central PT1509)	décapage mécanique	21/11/2012	Paleotime	
2012.121 - N.IM.FO.0161	Zone A	Locus 4	vue générale	ouest	GR	mobilier lithique en place (point central PT1509)	décapage mécanique	21/11/2012	Paleotime	
2012.121 - N.IM.FO.0162	Zone A	Locus 4	vue oblique	ouest	GR	mobilier lithique en place (point central PT1509)	décapage mécanique	21/11/2012	Paleotime	
2012.121 - N.IM.FO.0163	Zone A	Locus 4	vue générale	est	GR	mobilier lithique en place (point central PT1509)	décapage mécanique	21/11/2012	Paleotime	
2012.121 - N.IM.FO.0164	Zone A	Locus 4	vue en plan	nord	GR	mobilier lithique en place (point central PT1509)	décapage mécanique	21/11/2012	Paleotime	
2012.121 - N.IM.FO.0165	Zone A	Locus 4	vue en plan (détail)	nord	GR	mobilier lithique en place (point central PT1509)	décapage mécanique	21/11/2012	Paleotime	
2012.121 - N.IM.FO.0166	Zone A	Locus 4	vue oblique	ouest	GR	mobilier lithique en place (point central PT1509)	décapage mécanique	21/11/2012	Paleotime	
2012.121 - N.IM.FO.0167	Zone A	Locus 4	vue oblique	sud-ouest	GR	mobilier lithique en place (point central PT1509)	décapage mécanique	21/11/2012	Paleotime	
2012.121 - N.IM.FO.0168	Zone A	Locus 4	vue oblique	sud	GR	mobilier lithique en place (point central PT1509)	décapage mécanique	21/11/2012	Paleotime	
2012.121 - N.IM.FO.0169	Zone A	BD9L1	vue en plan	est	argile (poche)			22/11/2012	Paleotime	
2012.121 - N.IM.FO.0170	Zone A	BD9L1	vue en plan	est	argile (poche)			22/11/2012	Paleotime	
2012.121 - N.IM.FO.0171	Zone A	Locus 3	vue en plan	nord	LSB	mobilier lithique en place (éclats de façonnage)	décapage mécanique	22/11/2012	Paleotime	
2012.121 - N.IM.FO.0172	Zone A	Locus 3	vue en plan	ouest	LSB	mobilier lithique en place (éclats de façonnage)	décapage mécanique	22/11/2012	Paleotime	
2012.121 - N.IM.FO.0173	Zone A	Locus 3	vue en plan (détail)	nord	LSB	mobilier lithique en place (éclats de façonnage)	décapage mécanique	22/11/2012	Paleotime	
2012.121 - N.IM.FO.0174	Zone A	Locus 3	vue en plan (détail)	nord	LSB	mobilier lithique en place (éclats de façonnage)	décapage mécanique	22/11/2012	Paleotime	

IDENTIFIANT	LOCALISATION				DESCRIPTION			DATE	AUTEUR	Remarques
	Zone	Secteur	Type de vue	Vue vers	Unité Pédostratigraphique	carré / mobilier lithique en place	n° décapage / description			
2012.121 - N.IM.FO.0175	Zone A	Locus 3	vue générale	nord	LSB	mobilier lithique en place (éclats de façonnage)	décapage mécanique	22/11/2012	Paleotime	
2012.121 - N.IM.FO.0176	Zone A	Zone A	vue générale	nord-est			décapage mécanique en cours	22/11/2012	Paleotime	
2012.121 - N.IM.FO.0177	Zone A	Zone A	vue générale	nord-est			décapage mécanique en cours	22/11/2012	Paleotime	
2012.121 - N.IM.FO.0178	Zone A	Zone A	vue générale	est			décapage mécanique en cours	22/11/2012	Paleotime	
2012.121 - N.IM.FO.0179	Zone A	Zone A	vue générale	ouest			décapage mécanique en cours	22/11/2012	Paleotime	
2012.121 - N.IM.FO.0180	Zone A	Zone A	vue générale	ouest			décapage mécanique en cours	22/11/2012	Paleotime	
2012.121 - N.IM.FO.0181	Zone A	Zone A	vue générale	nord-ouest			décapage mécanique en cours	22/11/2012	Paleotime	
2012.121 - N.IM.FO.0182	Zone A	Locus 3 et 4	vue générale	nord			niveau inférieur du décapage mécanique	22/11/2012	Paleotime	
2012.121 - N.IM.FO.0183	Zone A	Locus 3 et 4	vue panoramique	nord			niveau inférieur du décapage mécanique	22/11/2012	Paleotime	
2012.121 - N.IM.FO.0184	Zone A	Locus 3 et 4	vue générale	sud			niveau inférieur du décapage mécanique	22/11/2012	Paleotime	
2012.121 - N.IM.FO.0185	Zone A	Locus 3 et 4	vue générale	sud			niveau inférieur du décapage mécanique	23/11/2012	Paleotime	
2012.121 - N.IM.FO.0186	Zone A	Zone A	vue générale	est			niveau inférieur du décapage mécanique	23/11/2012	Paleotime	
2012.121 - N.IM.FO.0187	Zone B	Zone B	vue générale	sud			niveau inférieur du décapage mécanique	23/11/2012	Paleotime	
2012.121 - N.IM.FO.0188	Zone B	CP02-1	vue en coupe	est				23/11/2012	Paleotime	
2012.121 - N.IM.FO.0189	Zone A	CP05	vue oblique	nord-est				27/11/2012	Paleotime	
2012.121 - N.IM.FO.0190	Zone A	CP05	vue en coupe	est				27/11/2012	Paleotime	
2012.121 - N.IM.FO.0191	Zone A	CP05	vue en coupe	est				27/11/2012	Paleotime	
2012.121 - N.IM.FO.0192	Zone A	CP05	vue en coupe	est				27/11/2012	Paleotime	
2012.121 - N.IM.FO.0193	Zone A	CP05	vue en coupe	est				27/11/2012	Paleotime	
2012.121 - N.IM.FO.0194	Zone A	CP05	vue en coupe	est				27/11/2012	Paleotime	
2012.121 - N.IM.FO.0195	Zone A	CP05	vue en coupe (avec tracés)	est				27/11/2012	Paleotime	
2012.121 - N.IM.FO.0196	Zone A	CP05	vue en coupe (avec tracés)	est				27/11/2012	Paleotime	
2012.121 - N.IM.FO.0197	Zone A	CP05	vue en coupe (avec tracés)	est				27/11/2012	Paleotime	
2012.121 - N.IM.FO.0198	Zone A	CP05	vue en coupe (avec tracés)	est				27/11/2012	Paleotime	
2012.121 - N.IM.FO.0199	Zone A	CP05	vue en coupe (avec tracés)	est				27/11/2012	Paleotime	
2012.121 - N.IM.FO.0200	Zone A	CP06	vue oblique	sud-ouest				27/11/2012	Paleotime	
2012.121 - N.IM.FO.0201	Zone A	CP06	vue en coupe	sud				27/11/2012	Paleotime	
2012.121 - N.IM.FO.0202	Zone A	CP06	vue en coupe	sud				27/11/2012	Paleotime	
2012.121 - N.IM.FO.0203	Zone A	CP06	vue en coupe	sud				27/11/2012	Paleotime	
2012.121 - N.IM.FO.0204	Zone A	CP06	vue oblique	sud-est				27/11/2012	Paleotime	
2012.121 - N.IM.FO.0205	Zone A	CP06	vue en coupe	sud				27/11/2012	Paleotime	
2012.121 - N.IM.FO.0206	Zone B	CP02-2	vue en coupe	est				27/11/2012	Paleotime	
2012.121 - N.IM.FO.0207	Zone B	CP02-2	vue en coupe	est				27/11/2012	Paleotime	
2012.121 - N.IM.FO.0208	Zone B	CP02-2	vue en coupe	est				27/11/2012	Paleotime	
2012.121 - N.IM.FO.0209	Zone B	CP02-2	vue en coupe	est				27/11/2012	Paleotime	
2012.121 - N.IM.FO.0210	Zone B	CP02-2	vue en coupe	est				27/11/2012	Paleotime	
2012.121 - N.IM.FO.0211	Zone B	CP02-2	vue en coupe (détail)	est				27/11/2012	Paleotime	
2012.121 - N.IM.FO.0212	Zone B	CP02-2	vue en coupe (détail)	est				27/11/2012	Paleotime	
2012.121 - N.IM.FO.0213	Zone B	CP02-2	vue en coupe	est				27/11/2012	Paleotime	
2012.121 - N.IM.FO.0214	Zone B	CP02-2	vue en coupe (détail)	est				27/11/2012	Paleotime	
2012.121 - N.IM.FO.0215	Zone B	CP02-2	vue en coupe (détail)	est				27/11/2012	Paleotime	
2012.121 - N.IM.FO.0216	Zone B	CP02-2	vue en coupe (détail)	est				27/11/2012	Paleotime	
2012.121 - N.IM.FO.0217	Zone B	CP02-2	vue en coupe (détail)	est				27/11/2012	Paleotime	
2012.121 - N.IM.FO.0218	Zone B	CP02-2	vue générale	est				27/11/2012	Paleotime	
2012.121 - N.IM.FO.0219	Zone A	Zone A	vue générale	nord				27/11/2012	Paleotime	
2012.121 - N.IM.FO.0220	Zone A	Zone A	vue générale	nord-ouest				27/11/2012	Paleotime	
2012.121 - N.IM.FO.0221	Zone A	Locus 1	vue générale	ouest	GR	D8-15a-b/16a-b/25/26	nettoyage de surface	28/11/2012	Paleotime	
2012.121 - N.IM.FO.0222	Zone A	Locus 1	vue générale	ouest	GR	D8-15a-b/16a-b/25/26	nettoyage de surface	28/11/2012	Paleotime	
2012.121 - N.IM.FO.0223	Zone A	Locus 1	vue en plan	ouest	GR	D8-26	nettoyage de surface	28/11/2012	Paleotime	
2012.121 - N.IM.FO.0224	Zone A	Locus 1	vue en plan (détail)	ouest	GR	D8-26	nettoyage de surface	28/11/2012	Paleotime	
2012.121 - N.IM.FO.0225	Zone A	Locus 1	vue en plan	ouest	GR	D8-25	nettoyage de surface	28/11/2012	Paleotime	
2012.121 - N.IM.FO.0226	Zone A	Locus 1	vue en plan	ouest	GR	D8-16a-b/26	décapage 1	29/11/2012	Paleotime	
2012.121 - N.IM.FO.0227	Zone A	Locus 1	vue en plan	est	GR	D8-15a-b/25	décapage 1	29/11/2012	Paleotime	
2012.121 - N.IM.FO.0228	Zone A	Locus 1	vue générale	ouest	GR	D8-15a-b/16a-b/25/26	décapage 1	29/11/2012	Paleotime	
2012.121 - N.IM.FO.0229	Zone A	Locus 1	vue en plan (détail)	nord	GR	D8-15a-b/16a-b/25/26	décapage 1	29/11/2012	Paleotime	
2012.121 - N.IM.FO.0230	Zone A	CP08	vue oblique	nord-ouest				29/11/2012	Paleotime	
2012.121 - N.IM.FO.0231	Zone A	CP08	vue en coupe	ouest				29/11/2012	Paleotime	
2012.121 - N.IM.FO.0232	Zone A	CP08	vue en coupe	ouest				29/11/2012	Paleotime	
2012.121 - N.IM.FO.0233	Zone A	CP08	vue en coupe	ouest				29/11/2012	Paleotime	
2012.121 - N.IM.FO.0234	Zone A	Zone A	vue générale	sud-est				29/11/2012	Paleotime	
2012.121 - N.IM.FO.0235	Zone A	Zone A	vue générale	est				29/11/2012	Paleotime	
2012.121 - N.IM.FO.0236	Zone A	Zone A	vue générale	sud				29/11/2012	Paleotime	
2012.121 - N.IM.FO.0237	Zone A	Zone A	vue panoramique	sud-est				29/11/2012	Paleotime	
2012.121 - N.IM.FO.0238	Zone A	Zone A	vue générale	nord				29/11/2012	Paleotime	
2012.121 - N.IM.FO.0239	Zone A	Zone A	vue générale	nord				29/11/2012	Paleotime	
2012.121 - N.IM.FO.0240			vue générale	nord			base vie	29/11/2012	Paleotime	
2012.121 - N.IM.FO.0241			vue générale	nord-ouest				29/11/2012	Paleotime	
2012.121 - N.IM.FO.0242			vue générale	nord				29/11/2012	Paleotime	
2012.121 - N.IM.FO.0243			vue générale	nord-est				29/11/2012	Paleotime	
2012.121 - N.IM.FO.0244			vue générale	est				29/11/2012	Paleotime	
2012.121 - N.IM.FO.0245			vue panoramique	nord				29/11/2012	Paleotime	
2012.121 - N.IM.FO.0246	Zone A	BD Est	vue générale	nord				29/11/2012	Paleotime	
2012.121 - N.IM.FO.0247	Zone B	Zone B	vue générale	sud-est				29/11/2012	Paleotime	
2012.121 - N.IM.FO.0248	Zone A	Zone A	vue générale	ouest				29/11/2012	Paleotime	
2012.121 - N.IM.FO.0249	Zone A	Locus 3	vue en plan	sud	LSB	C6-89	décapage 1	05/12/2012	Paleotime	Erreur sur la plaque photo : il s'agit du carré C6-89 et non du C6-86.
2012.121 - N.IM.FO.0250	Zone A	Locus 3	vue en plan	sud	LSB/LSBR	C6-88	décapage 1	05/12/2012	Paleotime	Erreur sur la plaque photo : il s'agit du carré C6-89 et non du C6-86.
2012.121 - N.IM.FO.0251	Zone A	Locus 3	vue en plan	sud	LSB/LSBR	C6-87	décapage 1	05/12/2012	Paleotime	
2012.121 - N.IM.FO.0252	Zone A	Locus 3	vue en plan	sud	LSB	C6-86	décapage 1	05/12/2012	Paleotime	
2012.121 - N.IM.FO.0253	Zone A	Locus 3	vue en plan	sud	LSB	C6-79	décapage 1	05/12/2012	Paleotime	
2012.121 - N.IM.FO.0254	Zone A	Locus 3	vue en plan	sud	LSB	C6-78	décapage 1	05/12/2012	Paleotime	
2012.121 - N.IM.FO.0255	Zone A	Locus 3	vue en plan	sud	LSB	C6-77	décapage 1	05/12/2012	Paleotime	
2012.121 - N.IM.FO.0256	Zone A	Locus 3	vue en plan	sud	LSB	C6-76	décapage 1	05/12/2012	Paleotime	
2012.121 - N.IM.FO.0257	Zone A	Locus 3	vue en plan	sud	LSB	C6-69	décapage 1	05/12/2012	Paleotime	
2012.121 - N.IM.FO.0258	Zone A	Locus 3	vue en plan	sud	LSB	C6-68	décapage 1	05/12/2012	Paleotime	
2012.121 - N.IM.FO.0259	Zone A	Locus 3	vue en plan	sud	LSB	C6-67	décapage 1	05/12/2012	Paleotime	
2012.121 - N.IM.FO.0260	Zone A	Locus 3	vue en plan	sud	LSB	C6-66	décapage 1	05/12/2012	Paleotime	
2012.121 - N.IM.FO.0261	Zone A	Locus 3	vue en plan (détail)	sud	LSB	C6-79	décapage 1	05/12/2012	Paleotime	

IDENTIFIANT	LOCALISATION				DESCRIPTION			DATE	AUTEUR	Remarques
	Zone	Secteur	Type de vue	Vue vers	Unité Pédostratigraphique	carré / mobilier lithique en place	n° décapage / description			
2012.121 - N.IM.FO.0262	Zone A	Locus 3	vue en plan (détail)	sud	LSB	C6-69	décapage 1	05/12/2012	Paleotime	
2012.121 - N.IM.FO.0263	Zone A	Locus 3	vue en plan (détail)	sud	LSB	C6-67	décapage 1	05/12/2012	Paleotime	
2012.121 - N.IM.FO.0264	Zone A	Locus 3	vue en plan (détail)	sud	LSB	C6-76	décapage 1	05/12/2012	Paleotime	
2012.121 - N.IM.FO.0265	Zone A	Locus 3	vue en plan (détail)	sud	LSB	C6-76	décapage 1	05/12/2012	Paleotime	
2012.121 - N.IM.FO.0266	Zone A	Locus 3	vue oblique	est	LSB	C6-66 à 69/76 à 79/86 à 89	décapage 1	05/12/2012	Paleotime	
2012.121 - N.IM.FO.0267	Zone A	Locus 3	vue générale	est	LSB	C6-66 à 69/76 à 79/86 à 89	décapage 1	05/12/2012	Paleotime	
2012.121 - N.IM.FO.0268	Zone B	CP09	vue oblique	nord-ouest				05/12/2012	Paleotime	
2012.121 - N.IM.FO.0269	Zone B	CP09	vue générale	ouest				05/12/2012	Paleotime	
2012.121 - N.IM.FO.0270	Zone B	Zone B	vue générale	nord-est				05/12/2012	Paleotime	
2012.121 - N.IM.FO.0271	Zone B	CP09	vue en coupe	ouest				05/12/2012	Paleotime	
2012.121 - N.IM.FO.0272	Zone B	CP09	vue en coupe	ouest				05/12/2012	Paleotime	
2012.121 - N.IM.FO.0273	Zone B	CP09	vue en coupe	ouest				05/12/2012	Paleotime	
2012.121 - N.IM.FO.0274	Zone B	CP09	vue en coupe (détail)	ouest				05/12/2012	Paleotime	
2012.121 - N.IM.FO.0275	Zone B	CP09	vue en coupe	ouest				05/12/2012	Paleotime	
2012.121 - N.IM.FO.0276	Zone B	CP09	vue en coupe	ouest				05/12/2012	Paleotime	
2012.121 - N.IM.FO.0277	Zone A	CP05	vue en coupe	est			micromorphologie (PR1 et 2)	06/12/2012	Paleotime	
2012.121 - N.IM.FO.0278	Zone A	CP05	vue oblique	nord-est				06/12/2012	Paleotime	
2012.121 - N.IM.FO.0279	Zone A	CP05	vue en coupe	est				06/12/2012	Paleotime	
2012.121 - N.IM.FO.0280	Zone A	Locus 1	vue générale	ouest	GR	D8-15a-b/16a-b/25/26	décapage 2	06/12/2012	Paleotime	
2012.121 - N.IM.FO.0281	Zone A	Locus 1	vue oblique	ouest	GR	D8-16a-b/26	décapage 2	06/12/2012	Paleotime	
2012.121 - N.IM.FO.0282	Zone A	Locus 1	vue en plan	ouest	GR	D8-16a-b/26	décapage 2	06/12/2012	Paleotime	
2012.121 - N.IM.FO.0283	Zone A	Locus 1	vue oblique	ouest	GR	D8-15a-b/25	décapage 2	06/12/2012	Paleotime	
2012.121 - N.IM.FO.0284	Zone A	Locus 1	vue en plan	ouest	GR	D8-15a-b/25	décapage 2	06/12/2012	Paleotime	
2012.121 - N.IM.FO.0285	Zone A	Locus 1	vue générale	sud	GR	D8-15a-b/16a-b/25/26	décapage 2	06/12/2012	Paleotime	
2012.121 - N.IM.FO.0286	Zone A	Locus 1	vue en plan	sud	GR	D8-16a-b/26	décapage 2	06/12/2012	Paleotime	
2012.121 - N.IM.FO.0287	Zone A	Locus 1	vue en plan	sud	GR	D8-15a-b/25	décapage 2	06/12/2012	Paleotime	
2012.121 - N.IM.FO.0288	Zone A	Locus 1	vue en plan (détail)	ouest	GR	D8-15a-b/16a-b/25/26	décapage 2	06/12/2012	Paleotime	
2012.121 - N.IM.FO.0289	Zone A	Locus 1	vue en plan (détail)	sud	GR	D8-15a-b/16a-b/25/26	décapage 2	06/12/2012	Paleotime	
2012.121 - N.IM.FO.0290	Zone A	Locus 1	vue oblique (détail)	nord-est	GR	D8-15a-b/16a-b/25/26	décapage 2	06/12/2012	Paleotime	
2012.121 - N.IM.FO.0291	Zone A	Locus 1	vue oblique	ouest	GR	D8-15a-b/16a-b/25/26	décapage 2	06/12/2012	Paleotime	
2012.121 - N.IM.FO.0292	Zone A	CP05	vue en coupe	est			micromorphologie (PR1 et 2)	06/12/2012	Paleotime	
2012.121 - N.IM.FO.0293	Zone A	CP05	vue en coupe	est			micromorphologie (PR1 et 2)	06/12/2012	Paleotime	
2012.121 - N.IM.FO.0294	Zone A	CP05	vue en coupe	est			micromorphologie (PR1 et 2)	06/12/2012	Paleotime	
2012.121 - N.IM.FO.0295	Zone A	CP05	vue en coupe	est			micromorphologie (PR1 et 2)	06/12/2012	Paleotime	
2012.121 - N.IM.FO.0296	Zone A	CP05	vue des prélèvements				micromorphologie (PR1 et 2)	06/12/2012	Paleotime	
2012.121 - N.IM.FO.0297	Zone A	CP05	vue des prélèvements (détail)				micromorphologie (PR1 et 2)	06/12/2012	Paleotime	
2012.121 - N.IM.FO.0298	Zone A	CP05	vue en coupe	est			micromorphologie (PR1 et 2) et granulométrie (PR3 à 10)	06/12/2012	Paleotime	
2012.121 - N.IM.FO.0299	Zone A	CP08 base	vue générale	ouest	LSBR		décapage 1	07/12/2012	Paleotime	
2012.121 - N.IM.FO.0300	Zone A	CP08 base	vue générale	ouest	LSBR	mobilier lithique en place en coupe et au pied de la coupe	décapage 1	07/12/2012	Paleotime	
2012.121 - N.IM.FO.0301	Zone A	CP08 base	vue générale	ouest	LSBR	mobilier lithique en place en coupe et au pied de la coupe	décapage 1	07/12/2012	Paleotime	
2012.121 - N.IM.FO.0302	Zone A	CP08 base	vue oblique	sud-ouest	LSBR	mobilier lithique en place en coupe et au pied de la coupe	décapage 1	07/12/2012	Paleotime	
2012.121 - N.IM.FO.0303	Zone A	CP08 base	vue oblique	nord-ouest	LSBR	mobilier lithique en place en coupe et au pied de la coupe	décapage 1	07/12/2012	Paleotime	
2012.121 - N.IM.FO.0304	Zone A	CP08 base	vue générale	ouest	LSBR	mobilier lithique en place en coupe et au pied de la coupe	décapage 1	07/12/2012	Paleotime	
2012.121 - N.IM.FO.0305	Zone A	CP08 base	vue générale	ouest	LSBR	mobilier lithique en place en coupe et au pied de la coupe	décapage 1	07/12/2012	Paleotime	
2012.121 - N.IM.FO.0306	Zone A	CP08 base	vue générale	ouest	LSBR	mobilier lithique en place en coupe et au pied de la coupe	décapage 1	07/12/2012	Paleotime	
2012.121 - N.IM.FO.0307	Zone A	CP08 base	vue générale	ouest	LSBR	mobilier lithique en place en coupe et au pied de la coupe	décapage 1	07/12/2012	Paleotime	
2012.121 - N.IM.FO.0308	Zone A	CP08 base	vue oblique	sud-ouest	LSBR	mobilier lithique en place en coupe et au pied de la coupe	décapage 1	07/12/2012	Paleotime	
2012.121 - N.IM.FO.0309	Zone A	CP08 base	vue en coupe	ouest	LSBR	mobilier lithique en place en coupe et au pied de la coupe	décapage 1	07/12/2012	Paleotime	
2012.121 - N.IM.FO.0310	Zone A	CP08 base	vue en coupe	ouest	LSBR	mobilier lithique en place en coupe et au pied de la coupe	décapage 1	07/12/2012	Paleotime	
2012.121 - N.IM.FO.0311	Zone A	CP08 base	vue en plan	ouest	LSBR	mobilier lithique en place	décapage 1	07/12/2012	Paleotime	
2012.121 - N.IM.FO.0312	Zone A	CP08 base	vue en plan	ouest	LSBR	mobilier lithique en place	décapage 1	07/12/2012	Paleotime	
2012.121 - N.IM.FO.0313	Zone A	CP08 base	vue en coupe	ouest	LSBR	mobilier lithique en place en coupe et au pied de la coupe	décapage 1	07/12/2012	Paleotime	
2012.121 - N.IM.FO.0314	Zone A	CP08 base	vue en coupe	ouest	LSBR	mobilier lithique en place en coupe et au pied de la coupe	décapage 1	07/12/2012	Paleotime	
2012.121 - N.IM.FO.0315	Zone A	CP08 base	vue en coupe	ouest	LSBR	mobilier lithique en place en coupe et au pied de la coupe	décapage 1	07/12/2012	Paleotime	
2012.121 - N.IM.FO.0316	Zone A	CP08 base	vue en coupe	ouest	LSBR	mobilier lithique en place en coupe et au pied de la coupe	décapage 1	07/12/2012	Paleotime	
2012.121 - N.IM.FO.0317	Zone A	CP08 base	vue en coupe	ouest	LSBR	mobilier lithique en place en coupe et au pied de la coupe	décapage 1	07/12/2012	Paleotime	
2012.121 - N.IM.FO.0318	Zone A	Locus 4	vue en plan	nord	GR	C5-81	nettoyage de surface	10/12/2012	Paleotime	
2012.121 - N.IM.FO.0319	Zone A	Locus 4	vue en plan	nord	GR	C5-82	nettoyage de surface	10/12/2012	Paleotime	
2012.121 - N.IM.FO.0320	Zone A	Locus 4	vue en plan	nord	GR	C5-83	nettoyage de surface	10/12/2012	Paleotime	
2012.121 - N.IM.FO.0321	Zone A	Locus 4	vue générale	sud	GR		nettoyage de surface	10/12/2012	Paleotime	
2012.121 - N.IM.FO.0322	Zone A	Locus 4	vue générale	est	GR	C5-81 à 83	nettoyage de surface	10/12/2012	Paleotime	
2012.121 - N.IM.FO.0323	Zone A	Locus 3	vue générale	ouest	LSB/LSBR	C6-66 à 69/76 à 79/86 à 89	décapage 2	10/12/2012	Paleotime	
2012.121 - N.IM.FO.0324	Zone A	Locus 3	vue générale	ouest	LSB/LSBR	C6-66 à 69/76 à 79/86 à 89	décapage 2	10/12/2012	Paleotime	
2012.121 - N.IM.FO.0325	Zone A	Locus 3	vue en plan	sud	LSBR	C6-89	décapage 2	10/12/2012	Paleotime	
2012.121 - N.IM.FO.0326	Zone A	Locus 3	vue en plan	sud	LSB/LSBR	C6-88	décapage 2	10/12/2012	Paleotime	
2012.121 - N.IM.FO.0327	Zone A	Locus 3	vue en plan	sud	LSB/LSBR	C6-87	décapage 2	10/12/2012	Paleotime	
2012.121 - N.IM.FO.0328	Zone A	Locus 3	vue en plan	sud	LSB/LSBR	C6-86	décapage 2	10/12/2012	Paleotime	
2012.121 - N.IM.FO.0329	Zone A	Locus 3	vue en plan	sud	LSBR	C6-79	décapage 2	10/12/2012	Paleotime	
2012.121 - N.IM.FO.0330	Zone A	Locus 3	vue en plan	sud	LSB/LSBR	C6-78	décapage 2	10/12/2012	Paleotime	
2012.121 - N.IM.FO.0331	Zone A	Locus 3	vue en plan	sud	LSB	C6-77	décapage 2	10/12/2012	Paleotime	
2012.121 - N.IM.FO.0332	Zone A	Locus 3	vue en plan	sud	LSB	C6-76	décapage 2	10/12/2012	Paleotime	
2012.121 - N.IM.FO.0333	Zone A	Locus 3	vue en plan	sud	LSBR	C6-69	décapage 2	10/12/2012	Paleotime	
2012.121 - N.IM.FO.0334	Zone A	Locus 3	vue en plan	sud	LSB/LSBR	C6-68	décapage 2	10/12/2012	Paleotime	
2012.121 - N.IM.FO.0335	Zone A	Locus 3	vue en plan	sud	LSB	C6-67	décapage 2	10/12/2012	Paleotime	
2012.121 - N.IM.FO.0336	Zone A	Locus 3	vue en plan	sud	LSB	C6-66	décapage 2	10/12/2012	Paleotime	
2012.121 - N.IM.FO.0337	Zone A	Locus 3	vue générale	sud-est	LSB/LSBR	C6-66 à 69/76 à 79/86 à 89	décapage 2	10/12/2012	Paleotime	
2012.121 - N.IM.FO.0338	Zone A	Locus 3	vue générale	est	LSB/LSBR	C6-66 à 69/76 à 79/86 à 89	décapage 2	10/12/2012	Paleotime	
2012.121 - N.IM.FO.0339	Zone A	Locus 3	vue générale	est	LSB/LSBR	C6-66 à 69/76 à 79/86 à 89	décapage 2	10/12/2012	Paleotime	
2012.121 - N.IM.FO.0340	Zone A	Locus 3	vue générale	est	LSB/LSBR	C6-66 à 69/76 à 79/86 à 89	décapage 2	10/12/2012	Paleotime	
2012.121 - N.IM.FO.0341	Zone A	Locus 3	vue en plan (détail)	sud		C6-66 à 69/76 à 79/86 à 89	décapage 2	10/12/2012	Paleotime	
2012.121 - N.IM.FO.0342	Zone A	Locus 3	vue oblique (détail)	sud		C6-66 à 69/76 à 79/86 à 89	décapage 2	10/12/2012	Paleotime	
2012.121 - N.IM.FO.0343	Zone A	Locus 2	vue générale	est		D6-84/85/94/95 et D7-04/05/14/15	décapage 1	10/12/2012	Paleotime	
2012.121 - N.IM.FO.0344	Zone A	Locus 2	vue générale	nord		D6-84/85/94/95 et D7-04/05/14/15	décapage 1	10/12/2012	Paleotime	
2012.121 - N.IM.FO.0345	Zone A	Locus 2	vue en plan	sud	LSB/LSBR	D7-14	décapage 1	10/12/2012	Paleotime	
2012.121 - N.IM.FO.0346	Zone A	Locus 2	vue en plan	sud	LSBR	D7-15	décapage 1	10/12/2012	Paleotime	
2012.121 - N.IM.FO.0347	Zone A	Locus 2	vue en plan	sud	LSB/LSBR	D7-04	décapage 1	10/12/2012	Paleotime	
2012.121 - N.IM.FO.0348	Zone A	Locus 2	vue en plan	sud	LSB/LSBR	D7-05	décapage 1	10/12/2012	Paleotime	

IDENTIFIANT	LOCALISATION				DESCRIPTION			DATE	AUTEUR	Remarques
	Zone	Secteur	Type de vue	Vue vers	Unité Pédostratigraphique	carré / mobilier lithique en place	n° décapage / description			
2012.121 - N.IM.FO.0349	Zone A	Locus 2	vue en plan	sud	LSB/LSBR	D6-94	décapage 1	10/12/2012	Paleotime	
2012.121 - N.IM.FO.0350	Zone A	Locus 2	vue en plan	sud	LSB/LSBR	D6-95	décapage 1	10/12/2012	Paleotime	
2012.121 - N.IM.FO.0351	Zone A	Locus 2	vue en plan	sud	LSB	D6-84	décapage 1	10/12/2012	Paleotime	
2012.121 - N.IM.FO.0352	Zone A	Locus 2	vue en plan	sud	LSB/LSBR	D6-85	décapage 1	10/12/2012	Paleotime	
2012.121 - N.IM.FO.0353	Zone A	Locus 2	vue en plan	sud	LSB	D6-92	décapage 1	10/12/2012	Paleotime	
2012.121 - N.IM.FO.0354	Zone A	Locus 2	vue en plan	sud	LSB	D6-93	décapage 1	10/12/2012	Paleotime	
2012.121 - N.IM.FO.0355	Zone A	Locus 2	vue en plan	sud	LSB	D6-82	décapage 1	10/12/2012	Paleotime	
2012.121 - N.IM.FO.0356	Zone A	Locus 2	vue en plan	sud	LSB	D6-83	décapage 1	10/12/2012	Paleotime	
2012.121 - N.IM.FO.0357	Zone A	Locus 2	vue générale	sud		D6-82/83/84/85/92/93/94/95 et D7-04/05/14/15	décapage 1	10/12/2012	Paleotime	
2012.121 - N.IM.FO.0358	Zone A	Locus 2	vue générale	ouest		D7-04/05/14/15	décapage 1	10/12/2012	Paleotime	
2012.121 - N.IM.FO.0359	Zone A	Locus 2	vue générale	ouest		D6-82/83/84/85/92/93/94/95 et D7-04/05/14/15	décapage 1	10/12/2012	Paleotime	
2012.121 - N.IM.FO.0360	Zone A	Locus 2	vue oblique	sud		D6-82/83/84/85/92/93/94/95 et D7-04/05/14/15	décapage 1	10/12/2012	Paleotime	
2012.121 - N.IM.FO.0361	Zone A	Locus 2	vue en plan (détail)	sud	LSB/LSBR	D7-04	décapage 1	10/12/2012	Paleotime	
2012.121 - N.IM.FO.0362	Zone A	Locus 2	vue oblique (détail)	sud	LSB/LSBR	D7-04	décapage 1	10/12/2012	Paleotime	
2012.121 - N.IM.FO.0363	Zone A	Locus 2	vue en plan (détail)	sud	LSB/LSBR	D7-05	décapage 1	10/12/2012	Paleotime	
2012.121 - N.IM.FO.0364	Zone A	Locus 2	vue en plan (détail)	ouest	LSB/LSBR	D7-04	décapage 1	10/12/2012	Paleotime	
2012.121 - N.IM.FO.0365	Zone A	Locus 2	vue en plan (détail)	sud	LSB/LSBR	D7-04	décapage 1	10/12/2012	Paleotime	
2012.121 - N.IM.FO.0366	Zone A	Locus 2	vue en plan (détail)	sud	LSB/LSBR	D6-94	décapage 1	10/12/2012	Paleotime	
2012.121 - N.IM.FO.0367	Zone A	CP10	vue oblique	sud-ouest				10/12/2012	Paleotime	
2012.121 - N.IM.FO.0368	Zone A	CP10	vue oblique	sud-est				10/12/2012	Paleotime	
2012.121 - N.IM.FO.0369	Zone A	CP10	vue en coupe	sud				10/12/2012	Paleotime	
2012.121 - N.IM.FO.0370	Zone A	CP10	vue en coupe	sud				10/12/2012	Paleotime	
2012.121 - N.IM.FO.0371	Zone A	CP10	vue en coupe	sud				10/12/2012	Paleotime	
2012.121 - N.IM.FO.0372	Zone A	CP10	vue en coupe	sud				10/12/2012	Paleotime	
2012.121 - N.IM.FO.0373	Zone A	CP10	vue en coupe	sud				10/12/2012	Paleotime	
2012.121 - N.IM.FO.0374	Zone A	CP10	vue en coupe	sud				10/12/2012	Paleotime	
2012.121 - N.IM.FO.0375	Zone A	CP10	vue en coupe (détail)	sud				10/12/2012	Paleotime	
2012.121 - N.IM.FO.0376	Zone A	Locus 2	vue en plan (détail)	ouest	LSB/LSBR	D7-04	sommet décapage 2	10/12/2012	Paleotime	
2012.121 - N.IM.FO.0377	Zone A	Locus 2	vue en plan (détail)	ouest	LSB/LSBR	D7-04	sommet décapage 2	10/12/2012	Paleotime	
2012.121 - N.IM.FO.0378	Zone A	Locus 2	vue générale	sud	LSB/LSBR	D7-04/05/14/15	sommet décapage 2	11/12/2012	Paleotime	
2012.121 - N.IM.FO.0379	Zone A	Locus 2	vue générale	sud-est	LSB/LSBR	D7-04/05/14/15	sommet décapage 2	11/12/2012	Paleotime	
2012.121 - N.IM.FO.0380	Zone A	Locus 2	vue en plan	sud	LSB/LSBR	D7-14	sommet décapage 2	11/12/2012	Paleotime	
2012.121 - N.IM.FO.0381	Zone A	Locus 2	vue en plan	sud	LSB/LSBR	D7-15	sommet décapage 2	11/12/2012	Paleotime	
2012.121 - N.IM.FO.0382	Zone A	Locus 2	vue en plan	sud	LSB/LSBR	D7-04	sommet décapage 2	11/12/2012	Paleotime	
2012.121 - N.IM.FO.0383	Zone A	Locus 2	vue en plan	sud	LSB/LSBR	D7-05	sommet décapage 2	11/12/2012	Paleotime	
2012.121 - N.IM.FO.0384	Zone A	Locus 2	vue générale	nord-est	LSB/LSBR	D7-04/05/14/15	sommet décapage 2	11/12/2012	Paleotime	
2012.121 - N.IM.FO.0385	Zone A	Locus 2	vue oblique et en coupe	est	LSB/LSBR	D7-04/05/14/15	sommet décapage 2	11/12/2012	Paleotime	
2012.121 - N.IM.FO.0386	Zone A	Locus 2	vue en coupe	est		D7-04/05/14/15	sommet décapage 2	11/12/2012	Paleotime	
2012.121 - N.IM.FO.0387	Zone A	Locus 2	vue oblique et en coupe	sud-est		D7-04/05/14/15 et CP10	sommet décapage 2	11/12/2012	Paleotime	
2012.121 - N.IM.FO.0388	Zone A	Locus 2	vue en plan (détail)	est	LSB/LSBR	D7-14	sommet décapage 2	11/12/2012	Paleotime	
2012.121 - N.IM.FO.0389	Zone A	Locus 2	vue en plan (détail)	est	LSB/LSBR	D7-14	sommet décapage 2	11/12/2012	Paleotime	
2012.121 - N.IM.FO.0390	Zone A	CP08 base	vue en plan (détail)	ouest	SR	mobilier lithique en place (PT3256)	décapage 1	11/12/2012	Paleotime	
2012.121 - N.IM.FO.0391	Zone A	CP08 base	vue en plan (détail)	ouest	SR	mobilier lithique en place (PT3256)	décapage 1	11/12/2012	Paleotime	
2012.121 - N.IM.FO.0392	Zone A	CP10	vue générale	sud		D6-93a	granulométrie et micromorphologie (PR11 et 12)	11/12/2012	Paleotime	
2012.121 - N.IM.FO.0393	Zone A	CP10	vue générale	sud		D6-93a	granulométrie et micromorphologie (PR11 et 12)	11/12/2012	Paleotime	
2012.121 - N.IM.FO.0394	Zone A	CP10	vue en coupe	sud		D6-93a	granulométrie et micromorphologie (PR11 et 12)	11/12/2012	Paleotime	
2012.121 - N.IM.FO.0395	Zone A	CP10	vue en coupe	sud		D6-93a	granulométrie et micromorphologie (PR11 et 12)	11/12/2012	Paleotime	
2012.121 - N.IM.FO.0396	Zone A	CP10	vue en coupe (détail)	sud		D6-93a	micromorphologie (PR11 et 12)	11/12/2012	Paleotime	
2012.121 - N.IM.FO.0397	Zone A	CP10	vue en coupe (détail)	sud		D6-93a	granulométrie	11/12/2012	Paleotime	
2012.121 - N.IM.FO.0398	Zone A	CP10	vue générale	sud-est		D6-93a	granulométrie et micromorphologie (PR11 et 12)	11/12/2012	Paleotime	
2012.121 - N.IM.FO.0399	Zone A	Locus 2	vue générale	nord-ouest		D6-84/85/94/95 et D7-04/05/14/15	décapage 2	11/12/2012	Paleotime	
2012.121 - N.IM.FO.0400	Zone A	CP10	vue des prélèvements			D6-93a	micromorphologie (PR11 et 12)	11/12/2012	Paleotime	
2012.121 - N.IM.FO.0401	Zone A	CP10	vue des prélèvements (détail)			D6-93a	micromorphologie (PR11 et 12)	11/12/2012	Paleotime	
2012.121 - N.IM.FO.0402	Zone A	CP10	vue générale	sud	LSBR/GR	D6-93a	décapage 4	11/12/2012	Paleotime	
2012.121 - N.IM.FO.0403	Zone A	CP10	vue oblique	sud	LSBR/GR	D6-93a	décapage 4	11/12/2012	Paleotime	
2012.121 - N.IM.FO.0404	Zone A	CP10	vue oblique	sud	LSBR/GR	D6-93a	décapage 4	11/12/2012	Paleotime	
2012.121 - N.IM.FO.0405	Zone A	CP10	vue en plan	sud	LSBR/GR	D6-93a	décapage 4	11/12/2012	Paleotime	
2012.121 - N.IM.FO.0406	Zone A	Locus 2	vue générale	sud	LSB/LSBR	D6-84/85/94/95 et D7-04/05	décapage 2	11/12/2012	Paleotime	
2012.121 - N.IM.FO.0407	Zone A	Locus 2	vue générale	sud	LSB/LSBR	D6-84/85/94/95	décapage 2	11/12/2012	Paleotime	
2012.121 - N.IM.FO.0408	Zone A	Locus 2	vue en plan	sud	LSBR/GR	D6-95	décapage 2	11/12/2012	Paleotime	
2012.121 - N.IM.FO.0409	Zone A	Locus 2	vue en plan	sud	LSB/LSBR/GR	D6-94	décapage 2	11/12/2012	Paleotime	
2012.121 - N.IM.FO.0410	Zone A	Locus 2	vue en plan	sud	LSB/LSBR	D6-85	décapage 2	11/12/2012	Paleotime	
2012.121 - N.IM.FO.0411	Zone A	Locus 2	vue en plan	sud	LSB/LSBR	D6-84	décapage 2	11/12/2012	Paleotime	
2012.121 - N.IM.FO.0412	Zone A	Locus 2	vue en plan	sud	LSB/LSBR	D7-04	décapage 2	11/12/2012	Paleotime	
2012.121 - N.IM.FO.0413	Zone A	Locus 2	vue en plan	sud	LSB/LSBR	D7-04	décapage 2	11/12/2012	Paleotime	
2012.121 - N.IM.FO.0414	Zone A	Locus 2	vue en plan	sud	SR	D6-93a	décapage 6	11/12/2012	Paleotime	
2012.121 - N.IM.FO.0415	Zone A	Locus 2	vue en plan	sud	SR	D6-93a	décapage 6	11/12/2012	Paleotime	
2012.121 - N.IM.FO.0416	Zone A	Locus 2	vue oblique	sud	SR	D6-93a	décapage 8	11/12/2012	Paleotime	
2012.121 - N.IM.FO.0417	Zone A	Locus 2	vue en coupe	sud	SR	D6-93a	décapage 8	11/12/2012	Paleotime	
2012.121 - N.IM.FO.0418	Zone A	Locus 2	vue oblique	sud	SR	D6-93a	décapage 8	11/12/2012	Paleotime	
2012.121 - N.IM.FO.0419	Zone A	Locus 2	vue en plan	sud	SR	D6-93a	décapage 8	11/12/2012	Paleotime	
2012.121 - N.IM.FO.0420	Zone A	CP10	vue oblique	sud-ouest		C6-100d	décapage 4	12/12/2012	Paleotime	
2012.121 - N.IM.FO.0421	Zone A	CP10	vue oblique	sud-est		C6-100d	décapage 4	12/12/2012	Paleotime	
2012.121 - N.IM.FO.0422	Zone A	CP10	vue oblique	sud		C6-100d	décapage 4	12/12/2012	Paleotime	
2012.121 - N.IM.FO.0423	Zone A	CP10	vue en coupe	sud		C6-100d	décapage 4	12/12/2012	Paleotime	
2012.121 - N.IM.FO.0424	Zone A	CP10	vue oblique	sud		C6-100d	décapage 4	12/12/2012	Paleotime	
2012.121 - N.IM.FO.0425	Zone A	Locus 2	vue en plan	sud	LSBR	D7-04	décapage 3	12/12/2012	Paleotime	
2012.121 - N.IM.FO.0426	Zone A	Locus 2	vue en plan (détail)	ouest	LSBR	D7-04	décapage 3	12/12/2012	Paleotime	
2012.121 - N.IM.FO.0427	Zone A	Locus 2	vue en plan (détail)	ouest	LSBR	D7-04	décapage 3	12/12/2012	Paleotime	
2012.121 - N.IM.FO.0428	Zone A	Locus 2	vue oblique	sud	LSBR	D7-04	décapage 3	12/12/2012	Paleotime	
2012.121 - N.IM.FO.0429	Zone A	CP10	vue générale	sud-ouest			micromorphologie (PR25)	12/12/2012	Paleotime	
2012.121 - N.IM.FO.0430	Zone A	CP10	vue en coupe	sud			micromorphologie (PR25)	12/12/2012	Paleotime	
2012.121 - N.IM.FO.0431	Zone A	CP10	vue en coupe	sud			micromorphologie (PR24)	12/12/2012	Paleotime	
2012.121 - N.IM.FO.0432	Zone A	Locus 4	vue générale	sud	GR	C5-61 à 65/71 à 75/81 à 85/91 à 95	décapage 1	12/12/2012	Paleotime	
2012.121 - N.IM.FO.0433	Zone A	Locus 4	vue générale	sud-est	GR	C5-61 à 65/71 à 75/81 à 85/91 à 95	décapage 1	12/12/2012	Paleotime	
2012.121 - N.IM.FO.0434	Zone A	Locus 4	vue générale	sud-est	GR	C5-61 à 65/71 à 75/81 à 85/91 à 95	décapage 1	12/12/2012	Paleotime	
2012.121 - N.IM.FO.0435	Zone A	Locus 4	vue générale	ouest	GR	C5-61 à 65/71 à 75/81 à 85/91 à 95	décapage 1	12/12/2012	Paleotime	

IDENTIFIANT	LOCALISATION				DESCRIPTION			DATE	AUTEUR	Remarques
	Zone	Secteur	Type de vue	Vue vers	Unité Pédostratigraphique	carré / mobilier lithique en place	n° décapage / description			
2012.121 - N.IM.FO.0436	Zone A	Locus 4	vue en plan	sud	GR	C5-95	décapage 1	12/12/2012	Paleotime	
2012.121 - N.IM.FO.0437	Zone A	Locus 4	vue en plan	sud	GR	C5-94	décapage 1	12/12/2012	Paleotime	
2012.121 - N.IM.FO.0438	Zone A	Locus 4	vue en plan	sud	GR	C5-93	décapage 1	12/12/2012	Paleotime	
2012.121 - N.IM.FO.0439	Zone A	Locus 4	vue en plan	sud	GR	C5-92	décapage 1	12/12/2012	Paleotime	
2012.121 - N.IM.FO.0440	Zone A	Locus 4	vue en plan	sud	GR	C5-91	décapage 1	12/12/2012	Paleotime	
2012.121 - N.IM.FO.0441	Zone A	Locus 4	vue en plan	sud	GR	C5-85	décapage 1	12/12/2012	Paleotime	
2012.121 - N.IM.FO.0442	Zone A	Locus 4	vue en plan	sud	GR	C5-84	décapage 1	12/12/2012	Paleotime	
2012.121 - N.IM.FO.0443	Zone A	Locus 4	vue en plan	sud	GR	C5-83	décapage 1	12/12/2012	Paleotime	
2012.121 - N.IM.FO.0444	Zone A	Locus 4	vue en plan	sud	GR	C5-82	décapage 1	12/12/2012	Paleotime	
2012.121 - N.IM.FO.0445	Zone A	Locus 4	vue en plan	sud	GR	C5-81	décapage 1	12/12/2012	Paleotime	
2012.121 - N.IM.FO.0446	Zone A	Locus 4	vue en plan	sud	GR	C5-75	décapage 1	12/12/2012	Paleotime	
2012.121 - N.IM.FO.0447	Zone A	Locus 4	vue en plan	sud	GR	C5-74	décapage 1	12/12/2012	Paleotime	
2012.121 - N.IM.FO.0448	Zone A	Locus 4	vue en plan	sud	GR	C5-73	décapage 1	12/12/2012	Paleotime	
2012.121 - N.IM.FO.0449	Zone A	Locus 4	vue en plan	sud	GR	C5-72	décapage 1	12/12/2012	Paleotime	
2012.121 - N.IM.FO.0450	Zone A	Locus 4	vue en plan	sud	GR	C5-71	décapage 1	12/12/2012	Paleotime	
2012.121 - N.IM.FO.0451	Zone A	Locus 4	vue en plan	sud	GR	C5-65a-b	décapage 1	12/12/2012	Paleotime	
2012.121 - N.IM.FO.0452	Zone A	Locus 4	vue en plan	sud	GR	C5-64a-b	décapage 1	12/12/2012	Paleotime	
2012.121 - N.IM.FO.0453	Zone A	Locus 4	vue en plan	sud	GR	C5-63a-b	décapage 1	12/12/2012	Paleotime	
2012.121 - N.IM.FO.0454	Zone A	Locus 4	vue en plan	sud	GR	C5-62a-b	décapage 1	12/12/2012	Paleotime	
2012.121 - N.IM.FO.0455	Zone A	Locus 4	vue en plan	sud	GR	C5-61a-b	décapage 1	12/12/2012	Paleotime	
2012.121 - N.IM.FO.0456	Zone A	Locus 4	vue en plan (détail)	sud	GR	C5-61 à 65/71 à 75/81 à 85/91 à 95	décapage 1	12/12/2012	Paleotime	
2012.121 - N.IM.FO.0457	Zone A	Locus 4	vue en plan (détail)	sud	GR	C5-61 à 65/71 à 75/81 à 85/91 à 95	décapage 1	12/12/2012	Paleotime	
2012.121 - N.IM.FO.0458	Zone A	Locus 4	vue en plan (détail)	sud	GR	C5-61 à 65/71 à 75/81 à 85/91 à 95	décapage 1	12/12/2012	Paleotime	
2012.121 - N.IM.FO.0459	Zone A	Locus 4	vue en plan (détail)	sud	GR	C5-61 à 65/71 à 75/81 à 85/91 à 95	décapage 1	12/12/2012	Paleotime	
2012.121 - N.IM.FO.0460	Zone A	Locus 4	vue en plan (détail)	sud	GR	C5-61 à 65/71 à 75/81 à 85/91 à 95	décapage 1	12/12/2012	Paleotime	
2012.121 - N.IM.FO.0461	Zone A	Locus 4	vue en plan (détail)	est	GR	C5-61 à 65/71 à 75/81 à 85/91 à 95	décapage 1	12/12/2012	Paleotime	
2012.121 - N.IM.FO.0462	Zone A	Locus 4	vue en plan (détail)	sud	GR	C5-61 à 65/71 à 75/81 à 85/91 à 95	décapage 1	12/12/2012	Paleotime	
2012.121 - N.IM.FO.0463	Zone A	CP10	vue oblique	sud-ouest			prélèvements OSL (PR26, 27 et 28)	12/12/2012	Paleotime	
2012.121 - N.IM.FO.0464	Zone A	CP10	vue oblique	sud-est			prélèvements OSL (PR26, 27 et 28)	12/12/2012	Paleotime	
2012.121 - N.IM.FO.0465	Zone A	CP10	vue générale	sud			prélèvements OSL (PR26, 27 et 28)	12/12/2012	Paleotime	
2012.121 - N.IM.FO.0466	Zone A	CP10	vue en coupe	sud			prélèvements OSL (PR26 et 27)	12/12/2012	Paleotime	
2012.121 - N.IM.FO.0467	Zone A	CP10	vue en coupe	sud			prélèvements OSL (PR26 et 27)	12/12/2012	Paleotime	
2012.121 - N.IM.FO.0468	Zone A	CP10	vue en coupe (détail)	sud			prélèvement OSL (PR27)	12/12/2012	Paleotime	
2012.121 - N.IM.FO.0469	Zone A	CP10	vue en coupe (détail)	sud			prélèvement OSL (PR26)	12/12/2012	Paleotime	
2012.121 - N.IM.FO.0470	Zone A	CP10	vue en coupe (détail)	sud			prélèvement OSL (PR28)	12/12/2012	Paleotime	
2012.121 - N.IM.FO.0471	Zone A	CP10	vue en coupe (détail)	sud			prélèvement OSL (PR28)	12/12/2012	Paleotime	
2012.121 - N.IM.FO.0472	Zone A	CP10	vue générale	sud-ouest			prélèvements OSL (PR26, 27 et 28)	12/12/2012	Paleotime	
2012.121 - N.IM.FO.0473	Zone A	CP08	vue générale	ouest			prélèvement OSL (PR29)	12/12/2012	Paleotime	
2012.121 - N.IM.FO.0474	Zone A	CP08	vue en coupe	ouest			prélèvement OSL (PR29)	12/12/2012	Paleotime	
2012.121 - N.IM.FO.0475	Zone A	CP08	vue en coupe	ouest			prélèvement OSL (PR29)	12/12/2012	Paleotime	
2012.121 - N.IM.FO.0476	Zone A	CP08	vue en coupe (détail)	ouest			prélèvement OSL (PR29)	12/12/2012	Paleotime	
2012.121 - N.IM.FO.0477	Zone B	CP02-2	vue en coupe	est				12/12/2012	Paleotime	
2012.121 - N.IM.FO.0478	Zone B	CP02-1	vue en coupe	est				12/12/2012	Paleotime	
2012.121 - N.IM.FO.0479	Zone A	Locus 3	vue en plan	ouest	LSB	C6-67	décapage 3	12/12/2012	Paleotime	
2012.121 - N.IM.FO.0480	Zone A	Locus 3	vue en plan	ouest	SR	C6-15b	décapage 11	12/12/2012	Paleotime	
2012.121 - N.IM.FO.0481	Zone A	Locus 3	vue en coupe	est		C6-15b	décapage 11	12/12/2012	Paleotime	
2012.121 - N.IM.FO.0482	Zone A	Locus 2	vue en plan	sud	LSBR	D7-04	décapage 4	12/12/2012	Paleotime	
2012.121 - N.IM.FO.0483	Zone A	Locus 2	vue oblique	sud	LSBR	D7-04	décapage 4	12/12/2012	Paleotime	
2012.121 - N.IM.FO.0484	Zone A	Locus 2	vue en plan (détail)	ouest	LSBR	D7-04	décapage 4	12/12/2012	Paleotime	
2012.121 - N.IM.FO.0485	Zone A	Locus 2	vue oblique (détail)	ouest	LSBR	D7-04	décapage 4	12/12/2012	Paleotime	
2012.121 - N.IM.FO.0486	Zone A	Locus 3	vue en plan	ouest	LSBR	C6-67	décapage 4	12/12/2012	Paleotime	
2012.121 - N.IM.FO.0487	Zone A	Locus 3	vue en plan	nord	LSBR	C6-67	décapage 5	13/12/2012	Paleotime	
2012.121 - N.IM.FO.0488	Zone A	Locus 3	vue en plan	nord	LSBR	C6-67	décapage 6	13/12/2012	Paleotime	
2012.121 - N.IM.FO.0489	Zone A	Locus 3	vue en plan	nord	LSBR/SR	C6-67	décapage 7	13/12/2012	Paleotime	
2012.121 - N.IM.FO.0490	Zone A	Locus 3	vue en plan	nord	SR	C6-67	décapage 8	13/12/2012	Paleotime	
2012.121 - N.IM.FO.0491	Zone A	Locus 2	vue en plan	ouest	LSBR	D7-04	décapage 5	13/12/2012	Paleotime	
2012.121 - N.IM.FO.0492	Zone A	Locus 2	vue en plan	sud	SR	D7-04	décapage 6	17/12/2012	Paleotime	
2012.121 - N.IM.FO.0493	Zone A	Locus 2	vue oblique	sud	SR	D7-04	décapage 6	17/12/2012	Paleotime	
2012.121 - N.IM.FO.0494	Zone A	Locus 3	vue en plan	nord	SR	C6-67	décapage 9	17/12/2012	Paleotime	
2012.121 - N.IM.FO.0495	Zone A	Locus 4	vue en plan	nord	GR	C5-82	décapage 2	17/12/2012	Paleotime	
2012.121 - N.IM.FO.0496	Zone A	Locus 4	vue oblique	nord	GR	C5-82	décapage 2	17/12/2012	Paleotime	
2012.121 - N.IM.FO.0497	Zone A	Locus 2	vue en plan	sud	SR	D7-04	décapage 7	17/12/2012	Paleotime	
2012.121 - N.IM.FO.0498	Zone A	Locus 2	vue oblique	sud	SR	D7-04	décapage 7	17/12/2012	Paleotime	
2012.121 - N.IM.FO.0499	Zone A	Locus 2	vue en plan	sud	SR	D7-04	décapage 8	17/12/2012	Paleotime	
2012.121 - N.IM.FO.0500	Zone A	Locus 3	vue en plan	nord	SR	C6-67	décapage 10	18/12/2012	Paleotime	
2012.121 - N.IM.FO.0501	Zone A	Locus 4	vue en plan	nord	GR/SR	C5-82	décapage 3	18/12/2012	Paleotime	
2012.121 - N.IM.FO.0502	Zone A	Locus 4	vue en plan	nord	GR/SR	C5-82	décapage 4	18/12/2012	Paleotime	
2012.121 - N.IM.FO.0503	Zone A	Locus 4	vue en plan	nord	GR/SR	C5-82	décapage 5	18/12/2012	Paleotime	
2012.121 - N.IM.FO.0504	Zone A	Locus 4	vue en plan	nord	GR/SR	C5-82	décapage 6	18/12/2012	Paleotime	
2012.121 - N.IM.FO.0505	Zone B	CP entre CP02.1 et 02.2	vue oblique	nord-est				19/12/2012	Paleotime	
2012.121 - N.IM.FO.0506	Zone B	CP entre CP02.1 et 02.2	vue oblique	sud-est				19/12/2012	Paleotime	
2012.121 - N.IM.FO.0507	Zone B	CP entre CP02.1 et 02.2	vue en coupe	est				19/12/2012	Paleotime	
2012.121 - N.IM.FO.0508	Zone B	CP entre CP02.1 et 02.2	vue en coupe	est				19/12/2012	Paleotime	
2012.121 - N.IM.FO.0509	Zone B	CP entre CP02.1 et 02.2	vue en coupe	est				19/12/2012	Paleotime	
2012.121 - N.IM.FO.0510	Zone B	CP entre CP02.1 et 02.2	vue en coupe	est				19/12/2012	Paleotime	
2012.121 - N.IM.FO.0511	Zone B	CP entre CP02.1 et 02.2	vue en coupe	est				19/12/2012	Paleotime	
2012.121 - N.IM.FO.0512	Zone B	CP entre CP02.1 et 02.2	vue en coupe	est				19/12/2012	Paleotime	
2012.121 - N.IM.FO.0513	Zone B	CP entre CP02.1 et 02.2	vue en coupe	est				19/12/2012	Paleotime	
2012.121 - N.IM.FO.0514	Zone B	CP entre CP02.1 et 02.2	vue en coupe	est				19/12/2012	Paleotime	
2012.121 - N.IM.FO.0515	Zone B	CP entre CP02.1 et 02.2	vue en coupe	est				19/12/2012	Paleotime	

Identifiant	Support	Type	Description	Auteur	Date	Extension fichier	Contenant
2012.121 - N.IM.MO.0001	RFO - section 2 chapitre 5	PN	Petrographie microscope	P. Fernandes	Post-fouille (2013-2015)	TIF	DVD
2012.121 - N.IM.MO.0002	RFO - section 2 chapitre 5	PN	Petrographie microscope	P. Fernandes	Post-fouille (2013-2015)	TIF	DVD
2012.121 - N.IM.MO.0003	RFO - section 2 chapitre 5	PN	Petrographie microscope	P. Fernandes	Post-fouille (2013-2015)	TIF	DVD
2012.121 - N.IM.MO.0004	RFO - section 2 chapitre 5	PN	Petrographie microscope	P. Fernandes	Post-fouille (2013-2015)	TIF	DVD
2012.121 - N.IM.MO.0005	RFO - section 2 chapitre 5	PN	Petrographie microscope	P. Fernandes	Post-fouille (2013-2015)	TIF	DVD
2012.121 - N.IM.MO.0006	RFO - section 2 chapitre 5	PN	Petrographie microscope	P. Fernandes	Post-fouille (2013-2015)	TIF	DVD
2012.121 - N.IM.MO.0007	RFO - section 2 chapitre 5	PN	Petrographie microscope	P. Fernandes	Post-fouille (2013-2015)	TIF	DVD
2012.121 - N.IM.MO.0008	RFO - section 2 chapitre 5	PN	Petrographie microscope	P. Fernandes	Post-fouille (2013-2015)	TIF	DVD
2012.121 - N.IM.MO.0009	RFO - section 2 chapitre 5	PN	Petrographie microscope	P. Fernandes	Post-fouille (2013-2015)	TIF	DVD
2012.121 - N.IM.MO.0010	RFO - section 2 chapitre 5	PN	Petrographie microscope	P. Fernandes	Post-fouille (2013-2015)	TIF	DVD
2012.121 - N.IM.MO.0011	RFO - section 2 chapitre 5	PN	Petrographie microscope	P. Fernandes	Post-fouille (2013-2015)	TIF	DVD
2012.121 - N.IM.MO.0012	RFO - section 2 chapitre 5	PN	Petrographie microscope	P. Fernandes	Post-fouille (2013-2015)	TIF	DVD
2012.121 - N.IM.MO.0013	RFO - section 2 chapitre 5	PN	Petrographie microscope	P. Fernandes	Post-fouille (2013-2015)	TIF	DVD
2012.121 - N.IM.MO.0014	RFO - section 2 chapitre 5	PN	Petrographie microscope	P. Fernandes	Post-fouille (2013-2015)	TIF	DVD
2012.121 - N.IM.MO.0015	RFO - section 2 chapitre 5	PN	Petrographie microscope	P. Fernandes	Post-fouille (2013-2015)	TIF	DVD
2012.121 - N.IM.MO.0016	RFO - section 2 chapitre 5	PN	Petrographie microscope	P. Fernandes	Post-fouille (2013-2015)	TIF	DVD
2012.121 - N.IM.MO.0017	RFO - section 2 chapitre 5	PN	Petrographie microscope	P. Fernandes	Post-fouille (2013-2015)	TIF	DVD
2012.121 - N.IM.MO.0018	RFO - section 2 chapitre 5	PN	Petrographie microscope	P. Fernandes	Post-fouille (2013-2015)	TIF	DVD
2012.121 - N.IM.MO.0019	RFO - section 2 chapitre 5	PN	Petrographie microscope	P. Fernandes	Post-fouille (2013-2015)	TIF	DVD
2012.121 - N.IM.MO.0020	RFO - section 2 chapitre 5	PN	Petrographie microscope	P. Fernandes	Post-fouille (2013-2015)	TIF	DVD
2012.121 - N.IM.MO.0021	RFO - section 2 chapitre 5	PN	Petrographie microscope	P. Fernandes	Post-fouille (2013-2015)	TIF	DVD
2012.121 - N.IM.MO.0022	RFO - section 2 chapitre 5	PN	Petrographie microscope	P. Fernandes	Post-fouille (2013-2015)	TIF	DVD
2012.121 - N.IM.MO.0023	RFO - section 2 chapitre 5	PN	Petrographie microscope	P. Fernandes	Post-fouille (2013-2015)	TIF	DVD
2012.121 - N.IM.MO.0024	RFO - section 2 chapitre 5	PN	Petrographie microscope	P. Fernandes	Post-fouille (2013-2015)	TIF	DVD
2012.121 - N.IM.MO.0025	RFO - section 2 chapitre 5	PN	Petrographie microscope	P. Fernandes	Post-fouille (2013-2015)	TIF	DVD
2012.121 - N.IM.MO.0026	RFO - section 2 chapitre 5	PN	Petrographie microscope	P. Fernandes	Post-fouille (2013-2015)	TIF	DVD
2012.121 - N.IM.MO.0027	RFO - section 2 chapitre 5	PN	Petrographie microscope	P. Fernandes	Post-fouille (2013-2015)	TIF	DVD
2012.121 - N.IM.MO.0028	RFO - section 2 chapitre 5	PN	Petrographie microscope	P. Fernandes	Post-fouille (2013-2015)	TIF	DVD
2012.121 - N.IM.MO.0029	RFO - section 2 chapitre 5	PN	Petrographie microscope	P. Fernandes	Post-fouille (2013-2015)	TIF	DVD
2012.121 - N.IM.MO.0030	RFO - section 2 chapitre 5	PN	Petrographie microscope	P. Fernandes	Post-fouille (2013-2015)	TIF	DVD
2012.121 - N.IM.MO.0031	RFO - section 2 chapitre 5	PN	Petrographie microscope	P. Fernandes	Post-fouille (2013-2015)	TIF	DVD
2012.121 - N.IM.MO.0032	RFO - section 2 chapitre 5	PN	Petrographie microscope	P. Fernandes	Post-fouille (2013-2015)	TIF	DVD
2012.121 - N.IM.MO.0033	RFO - section 2 chapitre 5	PN	Petrographie microscope	P. Fernandes	Post-fouille (2013-2015)	TIF	DVD
2012.121 - N.IM.MO.0034	RFO - section 2 chapitre 5	PN	Petrographie microscope	P. Fernandes	Post-fouille (2013-2015)	TIF	DVD
2012.121 - N.IM.MO.0035	RFO - section 2 chapitre 5	PN	Petrographie microscope	P. Fernandes	Post-fouille (2013-2015)	TIF	DVD
2012.121 - N.IM.MO.0036	RFO - section 2 chapitre 6	PN	photo de mobilier lithique	B. Huet	Post-fouille (2013-2015)	JPEG	DVD
2012.121 - N.IM.MO.0037	RFO - section 2 chapitre 6	PN	photo de mobilier lithique	B. Huet	Post-fouille (2013-2015)	JPEG	DVD
2012.121 - N.IM.MO.0038	RFO - section 2 chapitre 6	PN	photo de mobilier lithique	B. Huet	Post-fouille (2013-2015)	JPEG	DVD
2012.121 - N.IM.MO.0039	RFO - section 2 chapitre 6	PN	photo de mobilier lithique	B. Huet	Post-fouille (2013-2015)	JPEG	DVD
2012.121 - N.IM.MO.0040	RFO - section 2 chapitre 6	PN	photo de mobilier lithique	B. Huet	Post-fouille (2013-2015)	JPEG	DVD

Identifiant	Support	Type	Description	Auteur	Date	Extension fichier	Contenant
2012.121 - N.IM.MO.0041	RFO - section 2 chapitre 6	PN	photo de mobilier lithique	B. Huet	Post-fouille (2013-2015)	JPEG	DVD
2012.121 - N.IM.MO.0042	RFO - section 2 chapitre 6	PN	photo de mobilier lithique	B. Huet	Post-fouille (2013-2015)	JPEG	DVD
2012.121 - N.IM.MO.0043	RFO - section 2 chapitre 6	PN	photo de mobilier lithique	B. Huet	Post-fouille (2013-2015)	JPEG	DVD
2012.121 - N.IM.MO.0044	RFO - section 2 chapitre 6	PN	photo de mobilier lithique	B. Huet	Post-fouille (2013-2015)	JPEG	DVD
2012.121 - N.IM.MO.0045	RFO - section 2 chapitre 6	PN	photo de mobilier lithique	B. Huet	Post-fouille (2013-2015)	JPEG	DVD
2012.121 - N.IM.MO.0046	RFO - section 2 chapitre 6	PN	photo de mobilier lithique	B. Huet	Post-fouille (2013-2015)	JPEG	DVD
2012.121 - N.IM.MO.0047	RFO - section 2 chapitre 6	PN	photo de mobilier lithique	B. Huet	Post-fouille (2013-2015)	JPEG	DVD
2012.121 - N.IM.MO.0048	RFO - section 2 chapitre 6	PN	photo de mobilier lithique	B. Huet	Post-fouille (2013-2015)	JPEG	DVD
2012.121 - N.IM.MO.0049	RFO - section 2 chapitre 6	PN	photo de mobilier lithique	B. Huet	Post-fouille (2013-2015)	JPEG	DVD
2012.121 - N.IM.MO.0050	RFO - section 2 chapitre 6	PN	photo de mobilier lithique	B. Huet	Post-fouille (2013-2015)	JPEG	DVD
2012.121 - N.IM.MO.0051	RFO - section 2 chapitre 6	PN	photo de mobilier lithique	B. Huet	Post-fouille (2013-2015)	JPEG	DVD
2012.121 - N.IM.MO.0052	RFO - section 2 chapitre 6	PN	photo de mobilier lithique	B. Huet	Post-fouille (2013-2015)	JPEG	DVD
2012.121 - N.IM.MO.0053	RFO - section 2 chapitre 6	PN	photo de mobilier lithique	B. Huet	Post-fouille (2013-2015)	JPEG	DVD
2012.121 - N.IM.MO.0054	RFO - section 2 chapitre 6	PN	photo de mobilier lithique	B. Huet	Post-fouille (2013-2015)	JPEG	DVD
2012.121 - N.IM.MO.0055	RFO - section 2 chapitre 6	PN	photo de mobilier lithique	B. Huet	Post-fouille (2013-2015)	JPEG	DVD
2012.121 - N.IM.MO.0056	RFO - section 2 chapitre 6	PN	photo de mobilier lithique	B. Huet	Post-fouille (2013-2015)	JPEG	DVD
2012.121 - N.IM.MO.0057	RFO - section 2 chapitre 6	PN	photo de mobilier lithique	B. Huet	Post-fouille (2013-2015)	JPEG	DVD
2012.121 - N.IM.MO.0058	RFO - section 2 chapitre 6	PN	photo de mobilier lithique	B. Huet	Post-fouille (2013-2015)	JPEG	DVD
2012.121 - N.IM.MO.0059	RFO - section 2 chapitre 6	PN	photo de mobilier lithique	B. Huet	Post-fouille (2013-2015)	JPEG	DVD
2012.121 - N.IM.MO.0060	RFO - section 2 chapitre 6	PN	photo de mobilier lithique	B. Huet	Post-fouille (2013-2015)	JPEG	DVD
2012.121 - N.IM.MO.0061	RFO - section 2 chapitre 6	PN	photo de mobilier lithique	B. Huet	Post-fouille (2013-2015)	JPEG	DVD
2012.121 - N.IM.MO.0062	RFO - section 2 chapitre 6	PN	photo de mobilier lithique	B. Huet	Post-fouille (2013-2015)	JPEG	DVD
2012.121 - N.IM.MO.0063	RFO - section 2 chapitre 6	PN	photo de mobilier lithique	B. Huet	Post-fouille (2013-2015)	JPEG	DVD
2012.121 - N.IM.MO.0064	RFO - section 2 chapitre 6	PN	photo de mobilier lithique	B. Huet	Post-fouille (2013-2015)	JPEG	DVD
2012.121 - N.IM.MO.0065	RFO - section 2 chapitre 6	PN	photo de mobilier lithique	B. Huet	Post-fouille (2013-2015)	JPEG	DVD
2012.121 - N.IM.MO.0066	RFO - section 2 chapitre 6	PN	photo de mobilier lithique	B. Huet	Post-fouille (2013-2015)	JPEG	DVD
2012.121 - N.IM.MO.0067	RFO - section 2 chapitre 6	PN	photo de mobilier lithique	B. Huet	Post-fouille (2013-2015)	JPEG	DVD
2012.121 - N.IM.MO.0068	RFO - section 2 chapitre 6	PN	photo de mobilier lithique	B. Huet	Post-fouille (2013-2015)	JPEG	DVD
2012.121 - N.IM.MO.0069	RFO - section 2 chapitre 6	PN	photo de mobilier lithique	B. Huet	Post-fouille (2013-2015)	JPEG	DVD
2012.121 - N.IM.MO.0070	RFO - section 2 chapitre 6	PN	photo de mobilier lithique	B. Huet	Post-fouille (2013-2015)	JPEG	DVD
2012.121 - N.IM.MO.0071	RFO - section 2 chapitre 6	PN	photo de mobilier lithique	B. Huet	Post-fouille (2013-2015)	JPEG	DVD
2012.121 - N.IM.MO.0072	RFO - section 2 chapitre 6	PN	photo de mobilier lithique	B. Huet	Post-fouille (2013-2015)	JPEG	DVD
2012.121 - N.IM.MO.0073	RFO - section 2 chapitre 6	PN	photo de mobilier lithique	B. Huet	Post-fouille (2013-2015)	JPEG	DVD
2012.121 - N.IM.MO.0074	RFO - section 2 chapitre 6	PN	photo de mobilier lithique	B. Huet	Post-fouille (2013-2015)	JPEG	DVD
2012.121 - N.IM.MO.0075	RFO - section 2 chapitre 6	PN	photo de mobilier lithique	B. Huet	Post-fouille (2013-2015)	JPEG	DVD
2012.121 - N.IM.MO.0076	RFO - section 2 chapitre 6	PN	photo de mobilier lithique	B. Huet	Post-fouille (2013-2015)	JPEG	DVD
2012.121 - N.IM.MO.0077	RFO - section 2 chapitre 6	PN	photo de mobilier lithique	B. Huet	Post-fouille (2013-2015)	JPEG	DVD
2012.121 - N.IM.MO.0078	RFO - section 2 chapitre 6	PN	photo de mobilier lithique	B. Huet	Post-fouille (2013-2015)	JPEG	DVD
2012.121 - N.IM.MO.0079	RFO - section 2 chapitre 6	PN	photo de mobilier lithique	B. Huet	Post-fouille (2013-2015)	JPEG	DVD
2012.121 - N.IM.MO.0080	RFO - section 2 chapitre 6	PN	photo de mobilier lithique	B. Huet	Post-fouille (2013-2015)	JPEG	DVD

Identifiant	Support	Type	Description	Auteur	Date	Extension fichier	Contenant
2012.121 - N.IM.MO.0081	RFO - section 2 chapitre 6	PN	photo de mobilier lithique	B. Huet	Post-fouille (2013-2015)	JPEG	DVD
2012.121 - N.IM.MO.0082	RFO - section 2 chapitre 6	PN	photo de mobilier lithique	B. Huet	Post-fouille (2013-2015)	JPEG	DVD
2012.121 - N.IM.MO.0083	RFO - section 2 chapitre 6	PN	photo de mobilier lithique	B. Huet	Post-fouille (2013-2015)	JPEG	DVD
2012.121 - N.IM.MO.0084	RFO - section 2 chapitre 6	PN	photo de mobilier lithique	B. Huet	Post-fouille (2013-2015)	JPEG	DVD
2012.121 - N.IM.MO.0085	RFO - section 2 chapitre 6	PN	photo de mobilier lithique	B. Huet	Post-fouille (2013-2015)	JPEG	DVD
2012.121 - N.IM.MO.0086	RFO - section 2 chapitre 6	PN	photo de mobilier lithique	B. Huet	Post-fouille (2013-2015)	JPEG	DVD
2012.121 - N.IM.MO.0087	RFO - section 2 chapitre 6	PN	photo de mobilier lithique	B. Huet	Post-fouille (2013-2015)	JPEG	DVD
2012.121 - N.IM.MO.0088	RFO - section 2 chapitre 6	PN	photo de mobilier lithique	B. Huet	Post-fouille (2013-2015)	JPEG	DVD
2012.121 - N.IM.MO.0089	RFO - section 2 chapitre 6	PN	photo de mobilier lithique	B. Huet	Post-fouille (2013-2015)	JPEG	DVD
2012.121 - N.IM.MO.0090	RFO - section 2 chapitre 6	PN	photo de mobilier lithique	B. Huet	Post-fouille (2013-2015)	JPEG	DVD
2012.121 - N.IM.MO.0091	RFO - section 2 chapitre 6	PN	photo de mobilier lithique	B. Huet	Post-fouille (2013-2015)	JPEG	DVD
2012.121 - N.IM.MO.0092	RFO - section 2 chapitre 6	PN	photo de mobilier lithique	B. Huet	Post-fouille (2013-2015)	JPEG	DVD
2012.121 - N.IM.MO.0093	RFO - section 2 chapitre 6	PN	photo de mobilier lithique	B. Huet	Post-fouille (2013-2015)	JPEG	DVD
2012.121 - N.IM.MO.0094	RFO - section 2 chapitre 6	PN	photo de mobilier lithique	B. Huet	Post-fouille (2013-2015)	JPEG	DVD
2012.121 - N.IM.MO.0095	RFO - section 2 chapitre 6	PN	photo de mobilier lithique	B. Huet	Post-fouille (2013-2015)	JPEG	DVD
2012.121 - N.IM.MO.0096	RFO - section 2 chapitre 6	PN	photo de mobilier lithique	B. Huet	Post-fouille (2013-2015)	JPEG	DVD
2012.121 - N.IM.MO.0097	RFO - section 2 chapitre 6	PN	photo de mobilier lithique	B. Huet	Post-fouille (2013-2015)	JPEG	DVD
2012.121 - N.IM.MO.0098	RFO - section 2 chapitre 6	PN	photo de mobilier lithique	B. Huet	Post-fouille (2013-2015)	JPEG	DVD
2012.121 - N.IM.MO.0099	RFO - section 2 chapitre 6	PN	photo de mobilier lithique	B. Huet	Post-fouille (2013-2015)	JPEG	DVD
2012.121 - N.IM.MO.0100	RFO - section 2 chapitre 6	PN	photo de mobilier lithique	B. Huet	Post-fouille (2013-2015)	JPEG	DVD
2012.121 - N.IM.MO.0101	RFO - section 2 chapitre 6	PN	photo de mobilier lithique	B. Huet	Post-fouille (2013-2015)	JPEG	DVD
2012.121 - N.IM.MO.0102	RFO - section 2 chapitre 6	PN	photo de mobilier lithique	B. Huet	Post-fouille (2013-2015)	JPEG	DVD
2012.121 - N.IM.MO.0103	RFO - section 2 chapitre 6	PN	photo de mobilier lithique	B. Huet	Post-fouille (2013-2015)	JPEG	DVD
2012.121 - N.IM.MO.0104	RFO - section 2 chapitre 6	PN	photo de mobilier lithique	B. Huet	Post-fouille (2013-2015)	JPEG	DVD
2012.121 - N.IM.MO.0105	RFO - section 2 chapitre 6	PN	photo de mobilier lithique	B. Huet	Post-fouille (2013-2015)	JPEG	DVD
2012.121 - N.IM.MO.0106	RFO - section 2 chapitre 6	PN	photo de mobilier lithique	B. Huet	Post-fouille (2013-2015)	JPEG	DVD
2012.121 - N.IM.MO.0107	RFO - section 2 chapitre 6	PN	photo de mobilier lithique	B. Huet	Post-fouille (2013-2015)	JPEG	DVD
2012.121 - N.IM.MO.0108	RFO - section 2 chapitre 6	PN	photo de mobilier lithique	B. Huet	Post-fouille (2013-2015)	JPEG	DVD
2012.121 - N.IM.MO.0109	RFO - section 2 chapitre 6	PN	photo de mobilier lithique	B. Huet	Post-fouille (2013-2015)	JPEG	DVD
2012.121 - N.IM.MO.0110	RFO - section 2 chapitre 6	PN	photo de mobilier lithique	B. Huet	Post-fouille (2013-2015)	JPEG	DVD
2012.121 - N.IM.MO.0111	RFO - section 2 chapitre 6	PN	photo de mobilier lithique	B. Huet	Post-fouille (2013-2015)	JPEG	DVD
2012.121 - N.IM.MO.0112	RFO - section 2 chapitre 6	PN	photo de mobilier lithique	B. Huet	Post-fouille (2013-2015)	JPEG	DVD
2012.121 - N.IM.MO.0113	RFO - section 2 chapitre 6	PN	photo de mobilier lithique	B. Huet	Post-fouille (2013-2015)	JPEG	DVD
2012.121 - N.IM.MO.0114	RFO - section 2 chapitre 6	PN	photo de mobilier lithique	B. Huet	Post-fouille (2013-2015)	JPEG	DVD
2012.121 - N.IM.MO.0115	RFO - section 2 chapitre 6	PN	photo de mobilier lithique	B. Huet	Post-fouille (2013-2015)	JPEG	DVD
2012.121 - N.IM.MO.0116	RFO - section 2 chapitre 6	PN	photo de mobilier lithique	B. Huet	Post-fouille (2013-2015)	JPEG	DVD
2012.121 - N.IM.MO.0117	RFO - section 2 chapitre 6	PN	photo de mobilier lithique	B. Huet	Post-fouille (2013-2015)	JPEG	DVD
2012.121 - N.IM.MO.0118	RFO - section 2 chapitre 6	PN	photo de mobilier lithique	B. Huet	Post-fouille (2013-2015)	JPEG	DVD
2012.121 - N.IM.MO.0119	RFO - section 2 chapitre 6	PN	photo de mobilier lithique	B. Huet	Post-fouille (2013-2015)	JPEG	DVD
2012.121 - N.IM.MO.0120	RFO - section 2 chapitre 6	PN	photo de mobilier lithique	B. Huet	Post-fouille (2013-2015)	JPEG	DVD

Identifiant	Support	Type	Description	Auteur	Date	Extension fichier	Contenant
2012.121 - N.IM.MO.0121	RFO - section 2 chapitre 6	PN	photo de mobilier lithique	B. Huet	Post-fouille (2013-2015)	JPEG	DVD
2012.121 - N.IM.MO.0122	RFO - section 2 chapitre 6	PN	photo de mobilier lithique	B. Huet	Post-fouille (2013-2015)	JPEG	DVD
2012.121 - N.IM.MO.0123	RFO - section 2 chapitre 6	PN	photo de mobilier lithique	B. Huet	Post-fouille (2013-2015)	JPEG	DVD
2012.121 - N.IM.MO.0124	RFO - section 2 chapitre 6	PN	photo de mobilier lithique	B. Huet	Post-fouille (2013-2015)	JPEG	DVD
2012.121 - N.IM.MO.0125	RFO - section 2 chapitre 6	PN	photo de mobilier lithique	B. Huet	Post-fouille (2013-2015)	JPEG	DVD
2012.121 - N.IM.MO.0126	RFO - section 2 chapitre 6	PN	photo de mobilier lithique	B. Huet	Post-fouille (2013-2015)	JPEG	DVD
2012.121 - N.IM.MO.0127	RFO - section 2 chapitre 6	PN	photo de mobilier lithique	B. Huet	Post-fouille (2013-2015)	JPEG	DVD
2012.121 - N.IM.MO.0128	RFO - section 2 chapitre 6	PN	photo de mobilier lithique	B. Huet	Post-fouille (2013-2015)	JPEG	DVD
2012.121 - N.IM.MO.0129	RFO - section 2 chapitre 6	PN	photo de mobilier lithique	B. Huet	Post-fouille (2013-2015)	JPEG	DVD
2012.121 - N.IM.MO.0130	RFO - section 2 chapitre 6	PN	photo de mobilier lithique	B. Huet	Post-fouille (2013-2015)	JPEG	DVD
2012.121 - N.IM.MO.0131	RFO - section 2 chapitre 6	PN	photo de mobilier lithique	B. Huet	Post-fouille (2013-2015)	JPEG	DVD
2012.121 - N.IM.MO.0132	RFO - section 2 chapitre 6	PN	photo de mobilier lithique	B. Huet	Post-fouille (2013-2015)	JPEG	DVD
2012.121 - N.IM.MO.0133	RFO - section 2 chapitre 6	PN	photo de mobilier lithique	B. Huet	Post-fouille (2013-2015)	JPEG	DVD
2012.121 - N.IM.MO.0134	RFO - section 2 chapitre 6	PN	photo de mobilier lithique	B. Huet	Post-fouille (2013-2015)	JPEG	DVD
2012.121 - N.IM.MO.0135	RFO - section 2 chapitre 6	PN	photo de mobilier lithique	B. Huet	Post-fouille (2013-2015)	JPEG	DVD
2012.121 - N.IM.MO.0136	RFO - section 2 chapitre 6	PN	photo de mobilier lithique	B. Huet	Post-fouille (2013-2015)	JPEG	DVD
2012.121 - N.IM.MO.0137	RFO - section 2 chapitre 6	PN	photo de mobilier lithique	B. Huet	Post-fouille (2013-2015)	JPEG	DVD
2012.121 - N.IM.MO.0138	RFO - section 2 chapitre 6	PN	photo de mobilier lithique	B. Huet	Post-fouille (2013-2015)	JPEG	DVD
2012.121 - N.IM.MO.0139	RFO - section 2 chapitre 6	PN	photo de mobilier lithique	B. Huet	Post-fouille (2013-2015)	JPEG	DVD
2012.121 - N.IM.MO.0140	RFO - section 2 chapitre 6	PN	photo de mobilier lithique	B. Huet	Post-fouille (2013-2015)	JPEG	DVD
2012.121 - N.IM.MO.0141	RFO - section 2 chapitre 6	PN	photo de mobilier lithique	B. Huet	Post-fouille (2013-2015)	JPEG	DVD
2012.121 - N.IM.MO.0142	RFO - section 2 chapitre 6	PN	photo de mobilier lithique	B. Huet	Post-fouille (2013-2015)	JPEG	DVD
2012.121 - N.IM.MO.0143	RFO - section 2 chapitre 6	PN	photo de mobilier lithique	B. Huet	Post-fouille (2013-2015)	JPEG	DVD
2012.121 - N.IM.MO.0144	RFO - section 2 chapitre 6	PN	photo de mobilier lithique	B. Huet	Post-fouille (2013-2015)	JPEG	DVD
2012.121 - N.IM.MO.0145	RFO - section 2 chapitre 6	PN	photo de mobilier lithique	B. Huet	Post-fouille (2013-2015)	JPEG	DVD
2012.121 - N.IM.MO.0146	RFO - section 2 chapitre 6	PN	photo de mobilier lithique	B. Huet	Post-fouille (2013-2015)	JPEG	DVD
2012.121 - N.IM.MO.0147	RFO - section 2 chapitre 6	PN	photo de mobilier lithique	B. Huet	Post-fouille (2013-2015)	JPEG	DVD
2012.121 - N.IM.MO.0148	RFO - section 2 chapitre 6	PN	photo de mobilier lithique	B. Huet	Post-fouille (2013-2015)	JPEG	DVD
2012.121 - N.IM.MO.0149	RFO - section 2 chapitre 6	PN	photo de mobilier lithique	B. Huet	Post-fouille (2013-2015)	JPEG	DVD
2012.121 - N.IM.MO.0150	RFO - section 2 chapitre 6	PN	photo de mobilier lithique	B. Huet	Post-fouille (2013-2015)	JPEG	DVD
2012.121 - N.IM.MO.0151	RFO - section 2 chapitre 6	PN	photo de mobilier lithique	B. Huet	Post-fouille (2013-2015)	JPEG	DVD
2012.121 - N.IM.MO.0152	RFO - section 2 chapitre 6	PN	photo de mobilier lithique	B. Huet	Post-fouille (2013-2015)	JPEG	DVD
2012.121 - N.IM.MO.0153	RFO - section 2 chapitre 6	PN	photo de mobilier lithique	B. Huet	Post-fouille (2013-2015)	JPEG	DVD
2012.121 - N.IM.MO.0154	RFO - section 2 chapitre 6	PN	photo de mobilier lithique	B. Huet	Post-fouille (2013-2015)	JPEG	DVD
2012.121 - N.IM.MO.0155	RFO - section 2 chapitre 6	PN	photo de mobilier lithique	B. Huet	Post-fouille (2013-2015)	JPEG	DVD
2012.121 - N.IM.MO.0156	RFO - section 2 chapitre 6	PN	photo de mobilier lithique	B. Huet	Post-fouille (2013-2015)	JPEG	DVD
2012.121 - N.IM.MO.0157	RFO - section 2 chapitre 6	PN	photo de mobilier lithique	B. Huet	Post-fouille (2013-2015)	JPEG	DVD
2012.121 - N.IM.MO.0158	RFO - section 2 chapitre 6	PN	photo de mobilier lithique	B. Huet	Post-fouille (2013-2015)	JPEG	DVD
2012.121 - N.IM.MO.0159	RFO - section 2 chapitre 6	PN	photo de mobilier lithique	B. Huet	Post-fouille (2013-2015)	JPEG	DVD
2012.121 - N.IM.MO.0160	RFO - section 2 chapitre 6	PN	photo de mobilier lithique	B. Huet	Post-fouille (2013-2015)	JPEG	DVD

Identifiant	Support	Type	Description	Auteur	Date	Extension fichier	Contenant
2012.121 - N.IM.MO.0161	RFO - section 2 chapitre 6	PN	photo de mobilier lithique	B. Huet	Post-fouille (2013-2015)	JPEG	DVD
2012.121 - N.IM.MO.0162	RFO - section 2 chapitre 6	PN	photo de mobilier lithique	B. Huet	Post-fouille (2013-2015)	JPEG	DVD
2012.121 - N.IM.MO.0163	RFO - section 2 chapitre 6	PN	photo de mobilier lithique	B. Huet	Post-fouille (2013-2015)	JPEG	DVD
2012.121 - N.IM.MO.0164	RFO - section 2 chapitre 6	PN	photo de mobilier lithique	B. Huet	Post-fouille (2013-2015)	JPEG	DVD
2012.121 - N.IM.MO.0165	RFO - section 2 chapitre 6	PN	photo de mobilier lithique	B. Huet	Post-fouille (2013-2015)	JPEG	DVD
2012.121 - N.IM.MO.0166	RFO - section 2 chapitre 6	PN	photo de mobilier lithique	B. Huet	Post-fouille (2013-2015)	JPEG	DVD
2012.121 - N.IM.MO.0167	RFO - section 2 chapitre 6	PN	photo de mobilier lithique	B. Huet	Post-fouille (2013-2015)	JPEG	DVD
2012.121 - N.IM.MO.0168	RFO - section 2 chapitre 6	PN	photo de mobilier lithique	B. Huet	Post-fouille (2013-2015)	JPEG	DVD
2012.121 - N.IM.MO.0169	RFO - section 2 chapitre 6	PN	photo de mobilier lithique	B. Huet	Post-fouille (2013-2015)	JPEG	DVD
2012.121 - N.IM.MO.0170	RFO - section 2 chapitre 6	PN	photo de mobilier lithique	B. Huet	Post-fouille (2013-2015)	JPEG	DVD
2012.121 - N.IM.MO.0171	RFO - section 2 chapitre 6	PN	photo de mobilier lithique	B. Huet	Post-fouille (2013-2015)	JPEG	DVD
2012.121 - N.IM.MO.0172	RFO - section 2 chapitre 6	PN	photo de mobilier lithique	B. Huet	Post-fouille (2013-2015)	JPEG	DVD
2012.121 - N.IM.MO.0173	RFO - section 2 chapitre 6	PN	photo de mobilier lithique	B. Huet	Post-fouille (2013-2015)	JPEG	DVD
2012.121 - N.IM.MO.0174	RFO - section 2 chapitre 6	PN	photo de mobilier lithique	B. Huet	Post-fouille (2013-2015)	JPEG	DVD
2012.121 - N.IM.MO.0175	RFO - section 2 chapitre 6	PN	photo de mobilier lithique	B. Huet	Post-fouille (2013-2015)	JPEG	DVD
2012.121 - N.IM.MO.0176	RFO - section 2 chapitre 6	PN	photo de mobilier lithique	B. Huet	Post-fouille (2013-2015)	JPEG	DVD
2012.121 - N.IM.MO.0177	RFO - section 2 chapitre 6	PN	photo de mobilier lithique	B. Huet	Post-fouille (2013-2015)	JPEG	DVD
2012.121 - N.IM.MO.0178	RFO - section 2 chapitre 6	PN	photo de mobilier lithique	B. Huet	Post-fouille (2013-2015)	JPEG	DVD
2012.121 - N.IM.MO.0179	RFO - section 2 chapitre 6	PN	photo de mobilier lithique	B. Huet	Post-fouille (2013-2015)	JPEG	DVD
2012.121 - N.IM.MO.0180	RFO - section 2 chapitre 6	PN	photo de mobilier lithique	B. Huet	Post-fouille (2013-2015)	JPEG	DVD
2012.121 - N.IM.MO.0181	RFO - section 2 chapitre 6	PN	photo de mobilier lithique	B. Huet	Post-fouille (2013-2015)	JPEG	DVD
2012.121 - N.IM.MO.0182	RFO - section 2 chapitre 6	PN	photo de mobilier lithique	B. Huet	Post-fouille (2013-2015)	JPEG	DVD
2012.121 - N.IM.MO.0183	RFO - section 2 chapitre 6	PN	photo de mobilier lithique	B. Huet	Post-fouille (2013-2015)	JPEG	DVD
2012.121 - N.IM.MO.0184	RFO - section 2 chapitre 6	PN	photo de mobilier lithique	B. Huet	Post-fouille (2013-2015)	JPEG	DVD
2012.121 - N.IM.MO.0185	RFO - section 2 chapitre 6	PN	photo de mobilier lithique	B. Huet	Post-fouille (2013-2015)	JPEG	DVD
2012.121 - N.IM.MO.0186	RFO - section 2 chapitre 6	PN	photo de mobilier lithique	B. Huet	Post-fouille (2013-2015)	JPEG	DVD
2012.121 - N.IM.MO.0187	RFO - section 2 chapitre 6	PN	photo de mobilier lithique	B. Huet	Post-fouille (2013-2015)	JPEG	DVD
2012.121 - N.IM.MO.0188	RFO - section 2 chapitre 6	PN	photo de mobilier lithique	B. Huet	Post-fouille (2013-2015)	JPEG	DVD
2012.121 - N.IM.MO.0189	RFO - section 2 chapitre 6	PN	photo de mobilier lithique	B. Huet	Post-fouille (2013-2015)	JPEG	DVD
2012.121 - N.IM.MO.0190	RFO - section 2 chapitre 6	PN	photo de mobilier lithique	B. Huet	Post-fouille (2013-2015)	JPEG	DVD
2012.121 - N.IM.MO.0191	RFO - section 2 chapitre 6	PN	photo de mobilier lithique	B. Huet	Post-fouille (2013-2015)	JPEG	DVD
2012.121 - N.IM.MO.0192	RFO - section 2 chapitre 6	PN	photo de mobilier lithique	B. Huet	Post-fouille (2013-2015)	JPEG	DVD
2012.121 - N.IM.MO.0193	RFO - section 2 chapitre 6	PN	photo de mobilier lithique	B. Huet	Post-fouille (2013-2015)	JPEG	DVD
2012.121 - N.IM.MO.0194	RFO - section 2 chapitre 6	PN	photo de mobilier lithique	B. Huet	Post-fouille (2013-2015)	JPEG	DVD
2012.121 - N.IM.MO.0195	RFO - section 2 chapitre 6	PN	photo de mobilier lithique	B. Huet	Post-fouille (2013-2015)	JPEG	DVD
2012.121 - N.IM.MO.0196	RFO - section 2 chapitre 6	PN	photo de mobilier lithique	B. Huet	Post-fouille (2013-2015)	JPEG	DVD
2012.121 - N.IM.MO.0197	RFO - section 2 chapitre 6	PN	photo de mobilier lithique	B. Huet	Post-fouille (2013-2015)	JPEG	DVD
2012.121 - N.IM.MO.0198	RFO - section 2 chapitre 6	PN	photo de mobilier lithique	B. Huet	Post-fouille (2013-2015)	JPEG	DVD
2012.121 - N.IM.MO.0199	RFO - section 2 chapitre 6	PN	photo de mobilier lithique	B. Huet	Post-fouille (2013-2015)	JPEG	DVD
2012.121 - N.IM.MO.0200	RFO - section 2 chapitre 6	PN	photo de mobilier lithique	B. Huet	Post-fouille (2013-2015)	JPEG	DVD

Inventaire 10 — Points topographiques

MATRICULE	X (est)	Y (nord)	Z (alti)	DATE	ÉLÉMENT TOPOGRAPHIÉ	TYPE DE POINT	IDENTIFIANT	DESCRIPTION
PT0001	452825.666807	6760119.462543	66.223896	12-11-2012/14:45:53.0	mobilier	lithique	silex	
PT0002	452824.729666	6760119.733983	66.232070	12-11-2012/14:46:53.0	mobilier	lithique	silex	
PT0003	452828.645066	6760118.417444	65.962159	12-11-2012/14:48:27.0	mobilier	lithique	silex	
PT0004	452826.397023	6760119.749007	66.120534	12-11-2012/14:53:28.0	mobilier	lithique	silex	
PT0005	452825.463332	6760111.667810	67.476108	12-11-2012/14:57:03.0	chablis	point central		
PT0006	452833.468083	6760108.751578	67.616559	12-11-2012/14:57:28.0	chablis	point central		
PT0007	452832.483950	6760105.407834	68.607033	12-11-2012/14:57:49.0	chablis	point central		
PT0008	452830.238772	6760099.183040	67.561857	12-11-2012/14:58:16.0	chablis	point central		
PT0009	452834.993145	6760091.231564	67.558616	12-11-2012/14:58:43.0	chablis	point central		
PT0010	452842.904414	6760095.743229	67.720343	12-11-2012/14:59:07.0	chablis	point central		
PT0011	452846.123072	6760085.133428	67.699381	12-11-2012/14:59:49.0	chablis	point central		
PT0012	452849.571267	6760079.391231	67.928889	12-11-2012/15:00:19.0	chablis	point central		
PT0013	452835.740171	6760075.972014	67.730281	12-11-2012/15:00:47.0	chablis	point central		
PT0014	452834.423983	6760080.925642	67.312560	12-11-2012/15:03:17.0	chablis	point central		
PT0015	452829.482402	6760082.257525	67.487713	12-11-2012/15:03:41.0	chablis	point central		
PT0016	452839.183186	6760096.260357	67.639296	12-11-2012/15:04:19.0	chablis	point central		
PT0017	452844.978360	6760116.328210	68.011426	12-11-2012/15:05:02.0	chablis	point central		
PT0018	452846.919351	6760120.022311	67.468067	12-11-2012/15:05:24.0	chablis	point central		
PT0019	452848.071739	6760118.879001	67.623707	12-11-2012/15:05:40.0	chablis	point central		
PT0020	452849.668821	6760118.959318	68.034104	12-11-2012/15:05:58.0	chablis	point central		
PT0021	452853.054791	6760119.840195	67.828786	12-11-2012/15:06:21.0	chablis	point central		
PT0022	452852.071388	6760117.618431	67.635141	12-11-2012/15:06:59.0	chablis	point central		
PT0023	452866.047613	6760116.403307	68.480194	12-11-2012/15:07:34.0	chablis	point central		
PT0024	452866.475269	6760119.470585	68.040783	12-11-2012/15:07:52.0	chablis	point central		
PT0025	452863.799786	6760106.223050	68.157748	12-11-2012/15:08:35.0	chablis	point central		
PT0026	452853.427631	6760105.955608	67.882295	12-11-2012/15:09:00.0	chablis	point central		
PT0027	452855.874536	6760102.032040	68.167832	12-11-2012/15:09:21.0	chablis	point central		
PT0028	452854.240744	6760096.927330	67.981449	12-11-2012/15:09:44.0	chablis	point central		
PT0029	452856.980403	6760095.980970	68.235413	12-11-2012/15:10:04.0	chablis	point central		
PT0030	452855.969543	6760093.437504	67.795424	12-11-2012/15:10:26.0	chablis	point central		
PT0031	452854.626877	6760089.187019	68.006918	12-11-2012/15:10:53.0	chablis	point central		
PT0032	452853.370867	6760089.795991	67.883915	12-11-2012/15:11:10.0	chablis	point central		
PT0033	452859.459461	6760087.980536	68.020197	12-11-2012/15:12:27.0	chablis	point central		
PT0034	452864.825342	6760094.588043	68.102866	12-11-2012/15:13:01.0	chablis	point central		
PT0035	452871.337493	6760095.462854	68.569805	12-11-2012/15:13:29.0	chablis	point central		
PT0036	452878.197167	6760097.442624	68.475376	12-11-2012/15:13:52.0	chablis	point central		
PT0037	452881.053791	6760100.919721	68.493553	12-11-2012/15:14:12.0	chablis	point central		
PT0038	452877.056538	6760093.340163	68.259647	12-11-2012/15:14:32.0	chablis	point central		
PT0039	452873.003629	6760083.144412	68.133494	12-11-2012/15:15:08.0	chablis	point central		
PT0040	452870.940478	6760080.044196	67.893722	12-11-2012/15:15:34.0	chablis	point central		
PT0041	452863.642521	6760075.974038	68.041784	12-11-2012/15:16:05.0	chablis	point central		
PT0042	452868.345674	6760069.318198	68.167593	12-11-2012/15:16:32.0	chablis	point central		
PT0043	452879.037372	6760077.357593	68.018825	12-11-2012/15:17:01.0	chablis	point central		
PT0044	452885.924438	6760066.092008	68.038471	12-11-2012/15:17:26.0	chablis	point central		
PT0045	452873.902753	6760062.404335	67.858122	12-11-2012/15:18:02.0	chablis	point central		
PT0046	452875.407353	6760054.699765	67.570133	12-11-2012/15:18:33.0	chablis	point central		
PT0047	452874.436460	6760051.826915	67.701174	12-11-2012/15:18:52.0	chablis	point central		
PT0048	452881.328350	6760051.706201	67.631715	12-11-2012/15:19:17.0	chablis	point central		
PT0049	452829.973432	6760119.011458	66.115739	12-11-2012/15:20:27.0	mobilier	lithique	silex	
PT0050	452859.082077	6760066.191969	67.726389	12-11-2012/15:21:37.0	chablis	point central		
PT0051	452856.571359	6760072.631681	67.719502	12-11-2012/15:22:01.0	chablis	point central		
PT0052	452857.963482	6760058.385901	67.462512	12-11-2012/15:22:29.0	chablis	point central		
PT0053	452853.433062	6760049.273178	67.266506	12-11-2012/15:22:55.0	chablis	point central		
PT0054	452851.346915	6760048.648770	67.521365	12-11-2012/15:23:17.0	chablis	point central		
PT0055	452828.873150	6760118.306949	65.754353	12-11-2012/15:24:31.0	mobilier	lithique	silex	
PT0056	452828.863276	6760117.977059	66.325211	12-11-2012/15:24:53.0	mobilier	lithique	silex	
PT0057	452843.003002	6760046.787998	67.555206	12-11-2012/15:26:15.0	chablis	point central		
PT0058	452839.389549	6760052.453224	67.204093	12-11-2012/15:26:38.0	chablis	point central		
PT0059	452830.914102	6760118.907547	65.845107	12-11-2012/15:27:14.0	mobilier	lithique	silex	
PT0060	452842.292780	6760066.878539	67.806153	12-11-2012/15:27:58.0	chablis	point central		
PT0061	452831.401394	6760071.739981	67.433919	12-11-2012/15:28:30.0	chablis	point central		
PT0062	452840.691092	6760118.087610	67.731763	12-11-2012/15:30:39.0	chablis	point central		
PT0063	452838.598670	6760119.147811	67.556091	12-11-2012/15:30:56.0	chablis	point central		
PT0064	452835.072192	6760040.514438	66.532475	12-11-2012/15:36:06.0	surface	nivellement		terrain naturel
PT0065	452846.309892	6760041.508471	66.681750	12-11-2012/15:36:26.0	surface	nivellement		terrain naturel
PT0066	452858.573666	6760041.407093	66.759994	12-11-2012/15:36:45.0	surface	nivellement		terrain naturel
PT0067	452869.345095	6760042.124617	66.865104	12-11-2012/15:37:05.0	surface	nivellement		terrain naturel
PT0068	452880.347461	6760043.201059	67.000653	12-11-2012/15:37:35.0	surface	nivellement		terrain naturel
PT0069	452890.608385	6760043.653075	67.196459	12-11-2012/15:37:57.0	surface	nivellement		terrain naturel
PT0070	452891.452100	6760053.141553	67.377193	12-11-2012/15:38:19.0	surface	nivellement		terrain naturel
PT0071	452880.005022	6760053.808139	67.166259	12-11-2012/15:38:40.0	surface	nivellement		terrain naturel
PT0072	452868.366332	6760053.773523	67.110781	12-11-2012/15:38:58.0	surface	nivellement		terrain naturel
PT0073	452858.004204	6760054.124951	67.091319	12-11-2012/15:39:17.0	surface	nivellement		terrain naturel
PT0074	452846.215471	6760052.664321	66.993566	12-11-2012/15:39:39.0	surface	nivellement		terrain naturel
PT0075	452834.662986	6760052.319320	66.735928	12-11-2012/15:40:00.0	surface	nivellement		terrain naturel
PT0076	452831.441877	6760062.569071	66.858324	12-11-2012/15:40:20.0	surface	nivellement		terrain naturel
PT0077	452841.864767	6760064.105831	67.148149	12-11-2012/15:40:41.0	surface	nivellement		terrain naturel
PT0078	452852.784407	6760065.601972	67.272309	12-11-2012/15:41:03.0	surface	nivellement		terrain naturel
PT0079	452863.801819	6760068.330497	67.443547	12-11-2012/15:41:21.0	surface	nivellement		terrain naturel
PT0080	452873.611070	6760070.343587	67.531860	12-11-2012/15:41:43.0	surface	nivellement		terrain naturel
PT0081	452887.516067	6760073.617481	67.850772	12-11-2012/15:42:14.0	surface	nivellement		terrain naturel
PT0082	452885.615244	6760083.552638	68.116410	12-11-2012/15:42:38.0	surface	nivellement		terrain naturel
PT0083	452875.222202	6760081.896107	67.810708	12-11-2012/15:42:56.0	surface	nivellement		terrain naturel
PT0084	452864.692999	6760080.648477	67.580398	12-11-2012/15:43:14.0	surface	nivellement		terrain naturel
PT0085	452853.883826	6760078.728825	67.394471	12-11-2012/15:43:38.0	surface	nivellement		terrain naturel
PT0086	452844.348966	6760076.482630	67.319229	12-11-2012/15:44:02.0	surface	nivellement		terrain naturel
PT0087	452833.584373	6760118.983938	66.169960	12-11-2012/15:45:17.0	mobilier	lithique	silex	
PT0088	452833.706854	6760074.376107	67.085683	12-11-2012/15:46:04.0	surface	nivellement		terrain naturel
PT0089	452825.379678	6760072.455415	66.908501	12-11-2012/15:46:23.0	surface	nivellement		terrain naturel
PT0090	452828.697199	6760084.273609	67.189378	12-11-2012/15:46:49.0	surface	nivellement		terrain naturel
PT0091	452838.401191	6760087.057329	67.185601	12-11-2012/15:47:13.0	surface	nivellement		terrain naturel
PT0092	452850.082334	6760089.937877	67.529492	12-11-2012/15:47:42.0	surface	nivellement		terrain naturel
PT0093	452834.086153	6760118.162324	66.049107	12-11-2012/15:48:26.0	mobilier	lithique	silex	
PT0094	452860.833711	6760092.592090	67.722404	12-11-2012/15:49:16.0	surface	nivellement		terrain naturel
PT0095	452872.656656	6760094.791305	67.891890	12-11-2012/15:49:39.0	surface	nivellement		terrain naturel
PT0096	452883.893708	6760096.793385	68.233479	12-11-2012/15:50:02.0	surface	nivellement		terrain naturel
PT0097	452835.056994	6760118.773580	65.934298	12-11-2012/15:50:45.0	mobilier	lithique	silex	
PT0098	452881.127406	6760105.870102	68.068455	12-11-2012/15:51:33.0	surface	nivellement		terrain naturel
PT0099	452872.063018	6760103.493967	67.866626	12-11-2012/15:51:52.0	surface	nivellement		terrain naturel
PT0100	452862.079449	6760101.273628	67.721751	12-11-2012/15:52:13.0	surface	nivellement		terrain naturel
PT0101	452851.880543	6760099.347635	67.629532	12-11-2012/15:52:35.0	surface	nivellement		terrain naturel
PT0102	452841.016484	6760096.783242	67.371728	12-11-2012/15:52:54.0	surface	nivellement		terrain naturel
PT0103	452830.611150	6760095.320342	67.090588	12-11-2012/15:53:15.0	surface	nivellement		terrain naturel
PT0104	452825.648503	6760094.682462	67.018571	12-11-2012/15:53:31.0	surface	nivellement		terrain naturel
PT0105	452823.530340	6760105.311615	66.902688	12-11-2012/15:53:54.0	surface	nivellement		terrain naturel
PT0106	452834.009522	6760106.512598	67.292143	12-11-2012/15:54:14.0	surface	nivellement		terrain naturel
PT0107	452844.749505	6760107.425544	67.383013	12-11-2012/15:54:37.0	surface	nivellement		terrain naturel
PT0108	452856.905739	6760107.843474	67.587734	12-11-2012/15:54:57.0	surface	nivellement		terrain naturel
PT0109	452868.926292	6760107.595537	67.726443	12-11-2012/15:55:18.0	surface	nivellement		terrain naturel
PT0110	452880.513697	6760108.513760	68.037495	12-11-2012/15:55:38.0	surface	nivellement		terrain naturel
PT0111	452877.805085	6760118.841937	67.832624	12-11-2012/15:55:59.0	surface	nivellement		terrain naturel
PT0112	452866.491615	6760117.656814	67.700028	12-11-2012/15:56:18.0	surface	nivellement		terrain naturel
PT0113	452854.610883	6760116.333069	67.409354	12-11-2012/15:56:40.0	surface	nivellement		terrain naturel
PT0114	452843.722594	6760114.615423	67.164263	12-11-2012/15:57:00.0	surface	nivellement		terrain naturel
PT0115	452833.248074	6760116.005085	66.866809	12-11-2012/15:57:20.0	surface	nivellement		terrain naturel
PT0116	452822.020183	6760116.101091	66.873097	12-11-2012/15:57:40.0	surface	nivellement		terrain naturel
PT0117	452817.220951	6760115.370229	66.810683	12-11-2012/15:58:02.0	surface	nivellement		terrain naturel
PT0118	452820.693190	6760123.531586	66.804499	12-11-2012/15:58:50.0	surface	nivellement		terrain naturel
PT0119	452831.937531	6760123.730453	66.866658	12-11-2012/15:59:09.0	surface	nivellement		terrain naturel
PT0120	452845.503790	6760123.468413	67.240783	12-11-2012/15:59:32.0	surface	nivellement		terrain naturel
PT0121	452854.941099	6760123.457729	67.310225	12-11-2012/15:59:50.0	surface	nivellement		terrain naturel
PT0122	452866.600353	6760123.457966	67.472196	12-11-2012/16:00:11.0	surface	nivellement		terrain naturel
PT0123	452875.613734	6760123.930161	67.648004	12-11-2012/16:00:30.0	surface	nivellement		terrain naturel
PT0124	452824.371399	6760117.643570	66.811000	12-11-2012/16:10:37.0	tranchée	contour	TR01.1	
PT0125	452824.317470	6760120.505352	66.938488	12-11-2012/16:10:50.0	tranchée	contour	TR01.1	
PT0126	452836.159376	6760120.155209	67.021035	12-11-2012/16:11:12.0	tranchée	contour	TR01.1	
PT0127	452836.106773	6760117.743630	67.027755	12-11-2012/16:11:28.0	tranchée	contour	TR01.1	
PT0128	452866.727494	6760119.173227	66.659021	12-11-2012/16:14:37.0	chablis	point central		point bas
PT0129	452873.354068	6760120.511187	67.361225	12-11-2012/16:21:54.0	mobilier	lithique	silex	
PT0130	452872.222102	6760119.611530	67.224445	12-11-2012/16:22:15.0	mobilier	lithique	silex	
PT0131	452871.507427	6760119.960101	67.110949	12-11-2012/16:24:22.0	mobilier	lithique	silex	

MATRICULE	X (est)	Y (nord)	Z (alti)	DATE	ÉLÉMENT TOPOGRAPHIÉ	TYPE DE POINT	IDENTIFIANT	DESCRIPTION
PT0132	452869.934300	6760120.327260	66.678826	12-11-2012/16:34:32.0	mobilier	lithique	silex	
PT0133	452867.146722	6760120.475931	67.108328	12-11-2012/16:41:24.0	mobilier	lithique	silex	
PT0134	452868.245292	6760120.176224	67.007586	12-11-2012/16:43:36.0	mobilier	lithique	silex	
PT0135	452867.839103	6760119.411984	67.017254	12-11-2012/16:45:07.0	mobilier	lithique	silex	
PT0136	452868.462036	6760120.478989	66.638336	12-11-2012/16:55:05.0	mobilier	lithique	silex	
PT0137	452884.367252	6760082.936855	67.637930	13-11-2012/09:13:00.0	mobilier	lithique	silex	
PT0138	452884.790741	6760082.913839	67.539916	13-11-2012/09:18:32.0	mobilier	lithique	silex	
PT0139	452884.774661	6760082.830692	67.555535	13-11-2012/09:24:02.0	mobilier	lithique	silex	
PT0140	452884.660919	6760078.015653	67.416335	13-11-2012/09:36:58.0	mobilier	lithique	silex	
PT0141	452862.069725	6760120.583220	67.361014	13-11-2012/12:05:40.0	coupe	clou coupe	CP01.2	
PT0142	452864.181540	6760120.692571	67.434936	13-11-2012/12:06:18.0	coupe	clou coupe	CP01.2	
PT0143	452866.176660	6760120.858111	67.504352	13-11-2012/12:06:31.0	coupe	clou coupe	CP01.2	
PT0144	452868.172825	6760120.947683	67.441832	13-11-2012/12:06:45.0	coupe	clou coupe	CP01.2	
PT0145	452870.139623	6760121.038764	67.572177	13-11-2012/12:06:59.0	coupe	clou coupe	CP01.2	
PT0146	452872.136526	6760121.141849	67.518314	13-11-2012/12:07:14.0	coupe	clou coupe	CP01.2	
PT0147	452871.783612	6760121.068465	66.799858	13-11-2012/12:07:31.0	coupe	clou coupe	CP01.2	
PT0148	452870.155967	6760120.972297	66.670953	13-11-2012/12:07:45.0	coupe	clou coupe	CP01.2	
PT0149	452868.168582	6760120.861977	66.636192	13-11-2012/12:07:58.0	coupe	clou coupe	CP01.2	
PT0150	452866.179691	6760120.737498	66.537639	13-11-2012/12:08:15.0	coupe	clou coupe	CP01.2	
PT0151	452864.191303	6760120.617831	66.536057	13-11-2012/12:08:28.0	coupe	clou coupe	CP01.2	
PT0152	452862.080610	6760120.546111	66.475973	13-11-2012/12:09:26.0	coupe	clou coupe	CP01.2	
PT0153	452859.986341	6760120.414221	67.576805	13-11-2012/12:09:53.0	coupe	contour	CP01.2	ligne fond
PT0154	452861.200669	6760120.476203	66.451388	13-11-2012/12:10:45.0	coupe	contour	CP01.2	ligne fond
PT0155	452863.010047	6760120.537607	66.390077	13-11-2012/12:10:56.0	coupe	contour	CP01.2	ligne fond
PT0156	452864.125304	6760120.592301	66.497783	13-11-2012/12:11:09.0	coupe	contour	CP01.2	ligne fond
PT0157	452865.532288	6760120.657313	66.466882	13-11-2012/12:11:22.0	coupe	contour	CP01.2	ligne fond
PT0158	452867.447717	6760120.803280	66.546125	13-11-2012/12:11:35.0	coupe	contour	CP01.2	ligne fond
PT0159	452868.833142	6760120.865468	66.559952	13-11-2012/12:11:47.0	coupe	contour	CP01.2	ligne fond
PT0160	452869.655973	6760120.909456	66.503762	13-11-2012/12:11:58.0	coupe	contour	CP01.2	ligne fond
PT0161	452870.663864	6760120.988342	66.685341	13-11-2012/12:12:09.0	coupe	contour	CP01.2	ligne fond
PT0162	452871.862528	6760121.062751	66.747638	13-11-2012/12:12:20.0	coupe	contour	CP01.2	ligne fond
PT0163	452872.538909	6760121.064316	67.239467	13-11-2012/12:12:32.0	coupe	contour	CP01.2	ligne fond
PT0164	452873.123497	6760121.052774	67.292785	13-11-2012/12:12:43.0	coupe	contour	CP01.2	ligne fond
PT0165	452873.640409	6760121.110824	67.644367	13-11-2012/12:12:55.0	coupe	contour	CP01.2	ligne fond
PT0166	452891.207302	6760122.096572	67.938330	13-11-2012/12:13:58.0	coupe	contour	CP01	ligne supérieure
PT0167	452886.277924	6760121.848069	67.984414	13-11-2012/12:14:21.0	coupe	contour	CP01	ligne supérieure
PT0168	452880.432594	6760121.508045	67.838471	13-11-2012/12:14:34.0	coupe	contour	CP01	ligne supérieure
PT0169	452877.146136	6760121.292244	67.759513	13-11-2012/12:14:51.0	coupe	contour	CP01	ligne supérieure
PT0170	452873.054759	6760121.221219	67.620908	13-11-2012/12:15:07.0	coupe	contour	CP01	ligne supérieure
PT0171	452870.508689	6760121.133894	67.668868	13-11-2012/12:15:22.0	coupe	contour	CP01	ligne supérieure
PT0172	452868.250422	6760121.101400	67.675474	13-11-2012/12:15:33.0	coupe	contour	CP01	ligne supérieure
PT0173	452865.757595	6760120.924360	67.657320	13-11-2012/12:15:47.0	coupe	contour	CP01	ligne supérieure
PT0174	452863.733080	6760120.780798	67.525392	13-11-2012/12:16:00.0	coupe	contour	CP01	ligne supérieure
PT0175	452861.251758	6760120.653939	67.510391	13-11-2012/12:16:13.0	coupe	contour	CP01	ligne supérieure
PT0176	452858.595053	6760120.505991	67.374074	13-11-2012/12:16:25.0	coupe	contour	CP01	ligne supérieure
PT0177	452853.096814	6760120.452205	67.423370	13-11-2012/12:16:42.0	coupe	contour	CP01	ligne supérieure
PT0178	452849.206857	6760120.571517	67.375483	13-11-2012/12:16:56.0	coupe	contour	CP01	ligne supérieure
PT0179	452840.657812	6760120.237167	67.074540	13-11-2012/12:17:21.0	coupe	contour	CP01	ligne supérieure
PT0180	452836.145687	6760120.177927	67.030117	13-11-2012/12:17:34.0	coupe	contour	CP01	ligne supérieure
PT0181	452833.948813	6760120.293094	67.007081	13-11-2012/12:17:47.0	coupe	contour	CP01	ligne supérieure
PT0182	452831.626191	6760120.305733	66.957339	13-11-2012/12:17:59.0	coupe	contour	CP01	ligne supérieure
PT0183	452830.181241	6760120.341594	67.022097	13-11-2012/12:18:10.0	coupe	contour	CP01	ligne supérieure
PT0184	452828.962204	6760120.547860	66.989408	13-11-2012/12:18:20.0	coupe	contour	CP01	ligne supérieure
PT0185	452827.719373	6760120.509895	66.868527	13-11-2012/12:18:31.0	coupe	contour	CP01	ligne supérieure
PT0186	452825.863595	6760120.464295	66.849713	13-11-2012/12:18:42.0	coupe	contour	CP01	ligne supérieure
PT0187	452823.937182	6760120.400034	66.949755	13-11-2012/12:18:53.0	coupe	contour	CP01	ligne supérieure
PT0188	452820.707757	6760120.449317	66.800071	13-11-2012/12:19:09.0	coupe	contour	CP01	ligne supérieure
PT0189	452816.937836	6760120.578086	66.848431	13-11-2012/12:19:27.0	coupe	contour	CP01	ligne supérieure
PT0190	452811.165707	6760120.603811	66.679887	13-11-2012/12:19:49.0	coupe	contour	CP01	ligne supérieure
PT0191	452802.186343	6760122.665954	66.323566	13-11-2012/12:20:10.0	coupe	contour	CP01	ligne supérieure
PT0192	452825.972301	6760120.379847	66.737685	13-11-2012/12:21:43.0	coupe	clou coupe	CP01.1	
PT0193	452827.975379	6760120.409538	66.738833	13-11-2012/12:21:55.0	coupe	clou coupe	CP01.1	
PT0194	452829.970403	6760120.147150	66.672628	13-11-2012/12:22:12.0	coupe	clou coupe	CP01.1	
PT0195	452831.959108	6760120.218659	66.814738	13-11-2012/12:22:27.0	coupe	clou coupe	CP01.1	
PT0196	452833.839636	6760120.140707	66.838856	13-11-2012/12:22:43.0	coupe	clou coupe	CP01.1	
PT0197	452835.652074	6760120.133638	66.818726	13-11-2012/12:22:58.0	coupe	clou coupe	CP01.1	
PT0198	452835.645111	6760120.118043	65.788158	13-11-2012/12:23:41.0	coupe	clou coupe	CP01.1	
PT0199	452833.857991	6760120.134246	65.708240	13-11-2012/12:23:59.0	coupe	clou coupe	CP01.1	
PT0200	452831.972933	6760120.201332	65.651517	13-11-2012/12:24:17.0	coupe	clou coupe	CP01.1	
PT0201	452829.975649	6760120.156323	65.644340	13-11-2012/12:24:31.0	coupe	clou coupe	CP01.1	
PT0202	452827.981331	6760120.319804	65.590078	13-11-2012/12:24:46.0	coupe	clou coupe	CP01.1	
PT0203	452826.409466	6760120.313332	65.730872	13-11-2012/12:25:01.0	coupe	clou coupe	CP01.1	
PT0204	452823.994634	6760120.261494	66.889419	13-11-2012/12:25:55.0	coupe	contour	CP01.1	ligne fond
PT0205	452824.594874	6760120.286490	66.291187	13-11-2012/12:26:05.0	coupe	contour	CP01.1	ligne fond
PT0206	452825.374140	6760120.285849	66.265952	13-11-2012/12:26:17.0	coupe	contour	CP01.1	ligne fond
PT0207	452825.985927	6760120.307073	65.966706	13-11-2012/12:26:27.0	coupe	contour	CP01.1	ligne fond
PT0208	452826.502337	6760120.323209	65.620023	13-11-2012/12:26:37.0	coupe	contour	CP01.1	ligne fond
PT0209	452827.835352	6760120.320650	65.508778	13-11-2012/12:26:52.0	coupe	contour	CP01.1	ligne fond
PT0210	452828.298573	6760120.318982	65.081710	13-11-2012/12:27:01.0	coupe	contour	CP01.1	ligne fond
PT0211	452828.767982	6760120.275755	65.099511	13-11-2012/12:27:10.0	coupe	contour	CP01.1	ligne fond
PT0212	452829.294568	6760120.270626	65.419378	13-11-2012/12:27:20.0	coupe	contour	CP01.1	ligne fond
PT0213	452829.848917	6760120.120046	65.557754	13-11-2012/12:27:30.0	coupe	contour	CP01.1	ligne fond
PT0214	452830.999264	6760120.086129	65.523551	13-11-2012/12:27:41.0	coupe	contour	CP01.1	ligne fond
PT0215	452832.318531	6760120.170316	65.623046	13-11-2012/12:27:52.0	coupe	contour	CP01.1	ligne fond
PT0216	452833.223504	6760120.144134	65.730893	13-11-2012/12:28:02.0	coupe	contour	CP01.1	ligne fond
PT0217	452833.810455	6760120.129497	65.653596	13-11-2012/12:28:12.0	coupe	contour	CP01.1	ligne fond
PT0218	452835.758971	6760120.063304	65.649609	13-11-2012/12:28:25.0	coupe	contour	CP01.1	ligne fond
PT0219	452836.053785	6760120.267685	67.039606	13-11-2012/12:28:39.0	coupe	contour	CP01.1	ligne fond
PT0220	452860.098828	6760120.522043	67.538901	13-11-2012/12:30:48.0	tranchée	contour	TR01.2	
PT0221	452860.045859	6760118.246990	67.594660	13-11-2012/12:31:02.0	tranchée	contour	TR01.2	
PT0222	452873.868554	6760118.910718	67.608453	13-11-2012/12:31:24.0	tranchée	contour	TR01.2	
PT0223	452873.593107	6760121.118541	67.638824	13-11-2012/12:31:38.0	tranchée	contour	TR01.2	
PT0224	452879.775576	6760044.577572	66.683846	13-11-2012/13:50:50.0	mobilier	lithique	silex	
PT0225	452880.815726	6760045.540142	66.704029	13-11-2012/13:53:16.0	mobilier	lithique	silex	
PT0226	452878.588751	6760044.472192	66.530885	13-11-2012/13:57:19.0	mobilier	lithique	silex	
PT0227	452885.552087	6760079.635234	67.761712	13-11-2012/15:46:03.0	coupe	clou coupe	CP02	
PT0228	452885.814143	6760077.662627	67.614698	13-11-2012/15:46:19.0	coupe	clou coupe	CP02	
PT0229	452886.032338	6760075.678462	67.542193	13-11-2012/15:46:34.0	coupe	clou coupe	CP02	
PT0230	452886.232829	6760073.682903	67.523571	13-11-2012/15:46:47.0	coupe	clou coupe	CP02	
PT0231	452886.595562	6760071.722032	67.513417	13-11-2012/15:47:01.0	coupe	clou coupe	CP02	
PT0232	452886.563338	6760071.722058	66.364213	13-11-2012/15:47:28.0	coupe	clou coupe	CP02	
PT0233	452886.278835	6760073.696211	66.333343	13-11-2012/15:47:43.0	coupe	clou coupe	CP02	
PT0234	452886.042271	6760075.687161	66.411746	13-11-2012/15:47:58.0	coupe	clou coupe	CP02	
PT0235	452885.787705	6760077.667139	66.566612	13-11-2012/15:48:19.0	coupe	clou coupe	CP02	
PT0236	452885.580361	6760079.304433	67.129169	13-11-2012/15:48:35.0	coupe	clou coupe	CP02	
PT0237	452883.355137	6760094.933890	68.199921	13-11-2012/15:51:00.0	coupe	contour	CP02	ligne supérieure
PT0238	452884.064662	6760090.195721	68.160452	13-11-2012/15:51:15.0	coupe	contour	CP02	ligne supérieure
PT0239	452884.887287	6760084.334361	68.052065	13-11-2012/15:51:34.0	coupe	contour	CP02	ligne supérieure
PT0240	452885.634024	6760079.942626	67.990183	13-11-2012/15:51:53.0	coupe	contour	CP02	ligne supérieure
PT0241	452886.093144	6760075.811835	67.854043	13-11-2012/15:52:09.0	coupe	contour	CP02	ligne supérieure
PT0242	452886.805284	6760070.880338	67.812915	13-11-2012/15:52:32.0	coupe	contour	CP02	ligne supérieure
PT0243	452887.254220	6760067.425295	67.550309	13-11-2012/15:52:48.0	coupe	contour	CP02	ligne supérieure
PT0244	452887.863137	6760061.609341	67.497456	13-11-2012/15:53:08.0	coupe	contour	CP02	ligne supérieure
PT0245	452888.572375	6760055.646641	67.449923	13-11-2012/15:53:27.0	coupe	contour	CP02	ligne supérieure
PT0246	452886.984161	6760068.005437	67.191144	13-11-2012/15:54:18.0	coupe	contour	CP02	ligne fond
PT0247	452886.987822	6760068.412307	67.155860	13-11-2012/15:54:41.0	coupe	contour	CP02	ligne fond
PT0248	452886.880071	6760068.745198	66.904657	13-11-2012/15:54:56.0	coupe	contour	CP02	ligne fond
PT0249	452886.798286	6760069.643994	66.894064	13-11-2012/15:55:09.0	coupe	contour	CP02	ligne fond
PT0250	452886.720542	6760070.295369	66.499937	13-11-2012/15:55:19.0	coupe	contour	CP02	ligne fond
PT0251	452886.628897	6760071.258171	66.536557	13-11-2012/15:55:35.0	coupe	contour	CP02	ligne fond
PT0252	452886.542099	6760071.814782	66.184445	13-11-2012/15:55:47.0	coupe	contour	CP02	ligne fond
PT0253	452886.270435	6760073.115517	66.200041	13-11-2012/15:56:00.0	coupe	contour	CP02	ligne fond
PT0254	452886.085371	6760074.679896	66.333998	13-11-2012/15:56:20.0	coupe	contour	CP02	ligne fond
PT0255	452886.061322	6760075.414016	66.359106	13-11-2012/15:56:35.0	coupe	contour	CP02	ligne fond
PT0256	452885.966001	6760076.007950	66.295161	13-11-2012/15:56:49.0	coupe	contour	CP02	ligne fond
PT0257	452885.919914	6760076.557366	66.273753	13-11-2012/15:57:00.0	coupe	contour	CP02	ligne fond
PT0258	452885.843255	6760076.965629	66.333697	13-11-2012/15:57:11.0	coupe	contour	CP02	ligne fond
PT0259	452885.816561	6760077.212685	66.324172	13-11-2012/15:57:21.0	coupe	contour	CP02	ligne fond
PT0260	452885.702775	6760078.426235	66.978031	13-11-2012/15:57:36.0	coupe	contour	CP02	ligne fond
PT0261	452885.614616	6760078.993716	67.013973	13-11-2012/15:57:49.0	coupe	contour	CP02	ligne fond
PT0262	452885.540503	6760079.717216	67.297635	13-11-2012/15:58:08.0	coupe	contour	CP02	ligne fond

MATRICULE	X (est)	Y (nord)	Z (alti)	DATE	ÉLÉMENT TOPOGRAPHIÉ	TYPE DE POINT	IDENTIFIANT	DESCRIPTION
PT0263	452885.401125	6760080.191580	67.484354	13-11-2012/15:58:20.0	coupe	contour	CP02	ligne fond
PT0264	452885.231128	6760081.550530	67.523023	13-11-2012/15:58:34.0	coupe	contour	CP02	ligne fond
PT0265	452884.914907	6760083.791817	67.621858	13-11-2012/15:58:49.0	coupe	contour	CP02	ligne fond
PT0266	452834.382311	6760051.084975	66.443271	13-11-2012/15:59:43.0	mobilier	lithique	silex	
PT0267	452835.216532	6760052.488340	66.418204	13-11-2012/16:03:07.0	mobilier	lithique	silex	
PT0268	452834.007286	6760052.108928	66.415588	13-11-2012/16:03:24.0	mobilier	lithique	silex	
PT0269	452886.288361	6760073.130212	67.364398	13-11-2012/16:05:57.0	mobilier	céramique		dans CP02
PT0270	452834.177924	6760052.357005	66.338632	13-11-2012/16:09:28.0	mobilier	lithique	silex	
PT0271	452882.603578	6760083.440595	67.503431	13-11-2012/16:12:13.0	tranchée	contour	TR02	axe interne ; l=2,20m
PT0272	452884.993942	6760067.351459	67.149060	13-11-2012/16:13:31.0	tranchée	contour	TR02	axe interne ; l=2,20m
PT0273	452834.996497	6760051.639410	66.067314	13-11-2012/16:21:18.0	mobilier	lithique	silex	
PT0274	452834.009972	6760052.721159	66.005265	13-11-2012/16:23:47.0	mobilier	lithique	silex	
PT0275	452833.719870	6760053.347257	65.981926	13-11-2012/16:26:10.0	mobilier	lithique	silex	
PT0276	452881.309279	6760045.927731	66.666643	13-11-2012/16:39:53.0	tranchée	contour	TR03	axe interne ; l=2,20m
PT0277	452865.366614	6760045.593821	66.390945	13-11-2012/16:41:06.0	tranchée	contour	TR03	axe interne ; l=2,20m
PT0278	452834.969060	6760055.559405	66.507628	13-11-2012/16:50:21.0	mobilier	lithique	silex	
PT0279	452833.529066	6760056.446586	66.438168	13-11-2012/16:53:48.0	mobilier	lithique	silex	
PT0280	452834.384075	6760055.429359	66.347118	13-11-2012/16:57:34.0	mobilier	lithique	silex	
PT0281	452834.967086	6760055.352581	66.337801	13-11-2012/16:57:50.0	mobilier	lithique	silex	
PT0282	452833.369798	6760054.820838	66.169042	14-11-2012/08:33:16.0	mobilier	lithique	silex	
PT0283	452833.702928	6760054.946201	66.163038	14-11-2012/08:33:34.0	mobilier	lithique	silex	
PT0284	452828.174521	6760084.075664	66.886165	14-11-2012/09:21:26.0	mobilier	lithique	silex	
PT0285	452827.616956	6760085.398823	66.806088	14-11-2012/09:25:24.0	mobilier	lithique	silex	
PT0286	452828.181042	6760083.236635	66.860798	14-11-2012/09:25:45.0	mobilier	lithique	silex	
PT0287	452828.470152	6760084.909888	66.812229	14-11-2012/09:28:10.0	mobilier	lithique	silex	
PT0288	452827.168784	6760085.383450	66.796884	14-11-2012/09:28:27.0	mobilier	lithique	silex	
PT0289	452827.344703	6760084.241301	66.785469	14-11-2012/09:32:41.0	mobilier	lithique	silex	
PT0290	452827.404817	6760085.970012	66.744982	14-11-2012/09:32:59.0	mobilier	lithique	silex	
PT0291	452827.793707	6760086.120881	66.718740	14-11-2012/09:33:14.0	mobilier	lithique	silex	
PT0292	452827.287372	6760087.078004	66.733934	14-11-2012/09:33:30.0	mobilier	lithique	silex	
PT0293	452827.824896	6760084.245059	66.765323	14-11-2012/09:38:13.0	mobilier	lithique	silex	
PT0294	452827.136409	6760084.901832	66.749934	14-11-2012/09:38:27.0	mobilier	lithique	silex	
PT0295	452827.267131	6760085.063432	66.753131	14-11-2012/09:38:41.0	mobilier	lithique	silex	
PT0296	452828.317559	6760085.788907	66.640026	14-11-2012/09:53:49.0	mobilier	lithique	silex	
PT0297	452828.429703	6760086.648491	66.477070	14-11-2012/09:57:34.0	mobilier	lithique	silex	
PT0298	452828.139092	6760084.875619	66.564075	14-11-2012/09:57:49.0	mobilier	lithique	silex	
PT0299	452828.555727	6760084.529874	66.564419	14-11-2012/09:58:02.0	mobilier	lithique	silex	
PT0300	452827.996634	6760084.416915	66.538425	14-11-2012/10:00:52.0	mobilier	lithique	silex	
PT0301	452827.380894	6760086.127662	66.467158	14-11-2012/10:01:07.0	mobilier	lithique	silex	
PT0302	452827.263645	6760089.544814	66.814799	14-11-2012/10:42:51.0	mobilier	scorie		
PT0303	452826.752610	6760090.441475	66.786556	14-11-2012/10:45:43.0	mobilier	lithique	silex	
PT0304	452827.549702	6760092.528871	66.740447	14-11-2012/10:45:59.0	mobilier	lithique	silex	
PT0305	452828.083709	6760091.783583	66.752561	14-11-2012/10:49:03.0	mobilier	céramique		
PT0306	452828.003256	6760089.528299	66.773854	14-11-2012/10:51:18.0	mobilier	lithique	silex	
PT0307	452879.015790	6760043.643367	66.903071	14-11-2012/10:53:14.0	coupe	clou coupe	CP03	
PT0308	452877.045803	6760043.656781	66.771439	14-11-2012/10:53:34.0	coupe	clou coupe	CP03	
PT0309	452875.078578	6760043.699701	66.844150	14-11-2012/10:53:56.0	coupe	clou coupe	CP03	
PT0310	452873.120058	6760043.625676	66.747644	14-11-2012/10:54:10.0	coupe	clou coupe	CP03	
PT0311	452871.154045	6760043.564459	66.779918	14-11-2012/10:54:26.0	coupe	clou coupe	CP03	
PT0312	452869.192220	6760043.515175	66.696481	14-11-2012/10:54:40.0	coupe	clou coupe	CP03	
PT0313	452826.779346	6760092.875425	66.654213	14-11-2012/10:55:05.0	mobilier	lithique	silex	
PT0314	452869.200011	6760043.558704	65.757562	14-11-2012/10:56:20.0	coupe	clou coupe	CP03	
PT0315	452871.116081	6760043.595288	65.801529	14-11-2012/10:56:37.0	coupe	clou coupe	CP03	
PT0316	452873.085891	6760043.657248	65.829417	14-11-2012/10:56:52.0	coupe	clou coupe	CP03	
PT0317	452875.068003	6760043.745900	65.684654	14-11-2012/10:57:09.0	coupe	clou coupe	CP03	
PT0318	452877.057811	6760043.777852	65.766167	14-11-2012/10:57:42.0	coupe	clou coupe	CP03	
PT0319	452879.001557	6760043.745387	65.965142	14-11-2012/10:57:59.0	coupe	clou coupe	CP03	
PT0320	452826.442721	6760090.291990	66.660663	14-11-2012/10:59:30.0	mobilier	lithique	silex	
PT0321	452827.800870	6760089.706240	66.677166	14-11-2012/10:59:44.0	mobilier	lithique	silex	
PT0322	452827.904197	6760089.752239	66.670142	14-11-2012/10:59:58.0	mobilier	lithique	silex	
PT0323	452827.965788	6760089.693994	66.681951	14-11-2012/11:00:09.0	mobilier	lithique	silex	
PT0324	452833.853670	6760047.021616	66.567954	14-11-2012/11:02:07.0	coupe	clou coupe	CP04.1	
PT0325	452833.610463	6760048.999960	66.587590	14-11-2012/11:02:22.0	coupe	clou coupe	CP04.1	
PT0326	452833.404468	6760050.992158	66.547728	14-11-2012/11:02:36.0	coupe	clou coupe	CP04.1	
PT0327	452833.183349	6760052.941109	66.594213	14-11-2012/11:02:49.0	coupe	clou coupe	CP04.1	
PT0328	452832.933564	6760054.976451	66.723204	14-11-2012/11:03:04.0	coupe	clou coupe	CP04.1	
PT0329	452832.721076	6760056.959804	66.732141	14-11-2012/11:03:18.0	coupe	clou coupe	CP04.1	
PT0330	452832.465105	6760058.934443	66.667369	14-11-2012/11:03:34.0	coupe	clou coupe	CP04.1	
PT0331	452832.464296	6760058.917924	66.107503	14-11-2012/11:04:02.0	coupe	clou coupe	CP04.1	
PT0332	452832.765485	6760056.945260	65.884474	14-11-2012/11:04:17.0	coupe	clou coupe	CP04.1	
PT0333	452832.953132	6760055.001325	65.906712	14-11-2012/11:04:33.0	coupe	clou coupe	CP04.1	
PT0334	452833.214543	6760052.912819	65.603596	14-11-2012/11:04:48.0	coupe	clou coupe	CP04.1	
PT0335	452833.435298	6760050.995294	65.695687	14-11-2012/11:05:03.0	coupe	clou coupe	CP04.1	
PT0336	452833.692008	6760049.001686	65.733278	14-11-2012/11:05:17.0	coupe	clou coupe	CP04.1	
PT0337	452833.856945	6760047.029264	65.831974	14-11-2012/11:05:35.0	coupe	clou coupe	CP04.1	
PT0338	452834.850810	6760041.138510	66.519353	14-11-2012/11:09:31.0	coupe	contour	CP04	ligne supérieure
PT0339	452834.158489	6760044.945855	66.638390	14-11-2012/11:09:47.0	coupe	contour	CP04	ligne supérieure
PT0340	452833.486769	6760049.538559	66.711932	14-11-2012/11:10:02.0	coupe	contour	CP04	ligne supérieure
PT0341	452833.034278	6760053.392646	66.777904	14-11-2012/11:10:18.0	coupe	contour	CP04	ligne supérieure
PT0342	452832.587396	6760057.383496	66.843638	14-11-2012/11:10:34.0	coupe	contour	CP04	ligne supérieure
PT0343	452832.363325	6760059.708418	66.846482	14-11-2012/11:10:52.0	coupe	contour	CP04	ligne supérieure
PT0344	452831.653139	6760064.709272	66.911135	14-11-2012/11:11:09.0	coupe	contour	CP04	ligne supérieure
PT0345	452831.064596	6760069.850820	66.981265	14-11-2012/11:11:28.0	coupe	contour	CP04	ligne supérieure
PT0346	452830.304016	6760074.867113	67.018474	14-11-2012/11:11:52.0	coupe	contour	CP04	ligne supérieure
PT0347	452828.836438	6760080.084244	67.030126	14-11-2012/11:12:08.0	coupe	contour	CP04	ligne supérieure
PT0348	452827.215025	6760082.779866	67.079126	14-11-2012/11:12:23.0	coupe	contour	CP04	ligne supérieure
PT0349	452826.657774	6760086.478260	66.950155	14-11-2012/11:12:39.0	coupe	contour	CP04	ligne supérieure
PT0350	452826.134121	6760090.840233	66.978417	14-11-2012/11:12:53.0	coupe	contour	CP04	ligne supérieure
PT0351	452825.877956	6760095.051456	66.983760	14-11-2012/11:13:08.0	coupe	contour	CP04	ligne supérieure
PT0352	452825.758108	6760099.452345	66.948984	14-11-2012/11:13:23.0	coupe	contour	CP04	ligne supérieure
PT0353	452823.720629	6760105.442541	66.874998	14-11-2012/11:14:04.0	coupe	contour	CP04	ligne supérieure
PT0354	452822.196362	6760111.765943	66.822329	14-11-2012/11:14:23.0	coupe	contour	CP04	ligne supérieure
PT0355	452821.281704	6760116.906964	66.732107	14-11-2012/11:14:38.0	coupe	contour	CP04	ligne supérieure
PT0356	452819.906554	6760122.910150	66.831232	14-11-2012/11:14:55.0	coupe	contour	CP04	ligne supérieure
PT0357	452832.516751	6760058.918404	65.863774	14-11-2012/11:16:18.0	coupe	contour	CP04.1	ligne fond
PT0358	452832.695497	6760057.408120	65.815460	14-11-2012/11:16:30.0	coupe	contour	CP04.1	ligne fond
PT0359	452832.797034	6760056.595192	65.799217	14-11-2012/11:16:41.0	coupe	contour	CP04.1	ligne fond
PT0360	452832.861327	6760056.269238	65.786259	14-11-2012/11:16:54.0	coupe	contour	CP04.1	ligne fond
PT0361	452832.934190	6760055.282362	65.830698	14-11-2012/11:17:04.0	coupe	contour	CP04.1	ligne fond
PT0362	452833.036899	6760054.292916	65.832832	14-11-2012/11:17:17.0	coupe	contour	CP04.1	ligne fond
PT0363	452833.093455	6760053.940865	65.592951	14-11-2012/11:17:28.0	coupe	contour	CP04.1	ligne fond
PT0364	452833.187785	6760053.285102	65.521456	14-11-2012/11:17:41.0	coupe	contour	CP04.1	ligne fond
PT0365	452833.356934	6760051.681697	65.606562	14-11-2012/11:17:55.0	coupe	contour	CP04.1	ligne fond
PT0366	452833.513591	6760050.242896	65.636171	14-11-2012/11:18:08.0	coupe	contour	CP04.1	ligne fond
PT0367	452833.575720	6760049.787921	65.576457	14-11-2012/11:18:22.0	coupe	contour	CP04.1	ligne fond
PT0368	452833.644225	6760049.132674	65.640576	14-11-2012/11:18:33.0	coupe	contour	CP04.1	ligne fond
PT0369	452833.783931	6760047.971992	65.724441	14-11-2012/11:18:46.0	coupe	contour	CP04.1	ligne fond
PT0370	452833.869218	6760046.997007	65.761734	14-11-2012/11:18:59.0	coupe	contour	CP04.1	ligne fond
PT0371	452833.954623	6760046.455285	66.172625	14-11-2012/11:19:12.0	coupe	contour	CP04.1	ligne fond
PT0372	452834.066650	6760045.823238	66.226973	14-11-2012/11:19:24.0	coupe	contour	CP04.1	ligne fond
PT0373	452834.120319	6760045.155185	66.555543	14-11-2012/11:19:38.0	coupe	contour	CP04.1	ligne fond
PT0374	452836.358375	6760045.655364	66.473381	14-11-2012/11:20:30.0	tranchée	contour	TR04.1	axe interne ; l=2,20m
PT0375	452834.603942	6760059.964106	66.829299	14-11-2012/11:20:58.0	tranchée	contour	TR04.1	axe interne ; l=2,20m
PT0376	452853.317062	6760043.028313	66.743056	14-11-2012/11:26:48.0	coupe	contour	CP03	ligne supérieure
PT0377	452858.812068	6760043.242348	66.729641	14-11-2012/11:27:02.0	coupe	contour	CP03	ligne supérieure
PT0378	452864.047373	6760043.247207	66.733477	14-11-2012/11:27:16.0	coupe	contour	CP03	ligne supérieure
PT0379	452868.687040	6760043.386117	66.784793	14-11-2012/11:27:32.0	coupe	contour	CP03	ligne supérieure
PT0380	452873.220491	6760043.566194	66.862577	14-11-2012/11:27:48.0	coupe	contour	CP03	ligne supérieure
PT0381	452877.478223	6760043.647359	66.949231	14-11-2012/11:28:02.0	coupe	contour	CP03	ligne supérieure
PT0382	452881.655621	6760043.635408	67.056724	14-11-2012/11:28:16.0	coupe	contour	CP03	ligne supérieure
PT0383	452886.764283	6760043.840486	67.117490	14-11-2012/11:28:32.0	coupe	contour	CP03	ligne supérieure
PT0384	452891.274311	6760044.058461	67.202192	14-11-2012/11:28:47.0	coupe	contour	CP03	ligne supérieure
PT0385	452881.158189	6760043.731491	66.692037	14-11-2012/11:29:30.0	coupe	contour	CP03	ligne fond
PT0386	452880.571320	6760043.730686	66.605936	14-11-2012/11:29:40.0	coupe	contour	CP03	ligne fond
PT0387	452879.940691	6760043.746467	66.331541	14-11-2012/11:29:49.0	coupe	contour	CP03	ligne fond
PT0388	452879.375886	6760043.751361	66.282447	14-11-2012/11:29:59.0	coupe	contour	CP03	ligne fond
PT0389	452878.855569	6760043.725364	65.809667	14-11-2012/11:30:14.0	coupe	contour	CP03	ligne fond
PT0390	452877.921913	6760043.748698	65.712869	14-11-2012/11:30:23.0	coupe	contour	CP03	ligne fond
PT0391	452877.309992	6760043.739381	65.619642	14-11-2012/11:30:34.0	coupe	contour	CP03	ligne fond
PT0392	452875.797200	6760043.708789	65.573066	14-11-2012/11:30:46.0	coupe	contour	CP03	ligne fond
PT0393	452874.085080	6760043.748464	65.617174	14-11-2012/11:30:57.0	coupe	contour	CP03	ligne fond

MATRICULE	X (est)	Y (nord)	Z (alti)	DATE	ÉLÉMENT TOPOGRAPHIÉ	TYPE DE POINT	IDENTIFIANT	DESCRIPTION
PT0394	452873.310410	6760043.669058	65.672308	14-11-2012/11:31:09.0	coupe	contour	CP03	ligne fond
PT0395	452872.869477	6760043.641104	65.773188	14-11-2012/11:31:19.0	coupe	contour	CP03	ligne fond
PT0396	452871.810017	6760043.631169	65.761846	14-11-2012/11:31:30.0	coupe	contour	CP03	ligne fond
PT0397	452870.433464	6760043.590069	65.707229	14-11-2012/11:31:41.0	coupe	contour	CP03	ligne fond
PT0398	452868.640601	6760043.521633	65.669801	14-11-2012/11:31:51.0	coupe	contour	CP03	ligne fond
PT0399	452868.107862	6760043.462174	65.775036	14-11-2012/11:32:00.0	coupe	contour	CP03	ligne fond
PT0400	452867.576396	6760043.497153	65.909140	14-11-2012/11:32:11.0	coupe	contour	CP03	ligne fond
PT0401	452867.187208	6760043.475223	65.927580	14-11-2012/11:32:19.0	coupe	contour	CP03	ligne fond
PT0402	452866.636718	6760043.471788	66.249226	14-11-2012/11:32:28.0	coupe	contour	CP03	ligne fond
PT0403	452828.108888	6760091.411469	66.673378	14-11-2012/11:55:04.0	mobilier	lithique	silex	
PT0404	452826.584999	6760093.301467	66.577612	14-11-2012/12:01:34.0	mobilier	lithique	silex	
PT0405	452826.991535	6760091.672301	66.604675	14-11-2012/12:01:49.0	mobilier	lithique	silex	
PT0406	452828.104820	6760090.643246	66.626321	14-11-2012/12:02:04.0	mobilier	lithique	silex	
PT0407	452826.621786	6760089.262046	66.692589	14-11-2012/12:02:19.0	mobilier	lithique	silex	
PT0408	452826.957934	6760089.811517	66.577592	14-11-2012/13:32:18.0	mobilier	lithique	silex	
PT0409	452827.716445	6760092.591472	66.313807	14-11-2012/13:38:03.0	mobilier	lithique	silex	
PT0410	452827.723581	6760092.703301	66.288322	14-11-2012/13:40:41.0	mobilier	lithique	silex	
PT0411	452823.303814	6760118.263418	66.658882	14-11-2012/14:15:42.0	mobilier	lithique	silex	
PT0412	452823.257295	6760117.881043	66.589826	14-11-2012/14:16:00.0	mobilier	lithique	silex	
PT0413	452821.166173	6760117.926736	66.597543	14-11-2012/14:19:13.0	mobilier	lithique	silex	
PT0414	452822.426980	6760119.137129	66.519668	14-11-2012/14:24:31.0	mobilier	lithique	silex	
PT0415	452822.785855	6760118.815811	66.540853	14-11-2012/14:24:48.0	mobilier	lithique	silex	
PT0416	452821.749375	6760118.793862	66.415459	14-11-2012/14:29:36.0	mobilier	lithique	silex	
PT0417	452822.373049	6760117.091841	66.055620	14-11-2012/14:45:33.0	mobilier	lithique	silex	
PT0418	452826.376787	6760089.671495	66.592563	14-11-2012/14:47:08.0	mobilier	lithique	silex	
PT0419	452826.339565	6760090.202321	66.709688	14-11-2012/14:48:17.0	mobilier	lithique	silex	
PT0420	452826.068423	6760092.524739	66.853367	14-11-2012/14:48:43.0	mobilier	lithique	silex	
PT0421	452826.116929	6760093.001843	66.621731	14-11-2012/14:48:54.0	mobilier	lithique	silex	
PT0422	452822.765418	6760118.787235	66.180716	14-11-2012/14:53:49.0	mobilier	lithique	silex	
PT0423	452826.901693	6760084.673429	66.968895	14-11-2012/14:55:34.0	coupe	clou coupe	CP04.2	
PT0424	452826.687816	6760086.660249	66.903102	14-11-2012/14:55:53.0	coupe	clou coupe	CP04.2	
PT0425	452826.437138	6760088.650400	66.853631	14-11-2012/14:56:11.0	coupe	clou coupe	CP04.2	
PT0426	452826.252510	6760090.639758	66.865038	14-11-2012/14:56:25.0	coupe	clou coupe	CP04.2	
PT0427	452826.068154	6760092.625242	66.848098	14-11-2012/14:56:42.0	coupe	clou coupe	CP04.2	
PT0428	452826.180381	6760092.625087	65.950578	14-11-2012/14:57:06.0	coupe	clou coupe	CP04.2	
PT0429	452826.294718	6760090.631204	65.998646	14-11-2012/14:57:18.0	coupe	clou coupe	CP04.2	
PT0430	452826.455875	6760088.651146	65.979993	14-11-2012/14:57:31.0	coupe	clou coupe	CP04.2	
PT0431	452826.704193	6760086.654332	66.039257	14-11-2012/14:57:45.0	coupe	clou coupe	CP04.2	
PT0432	452826.944535	6760084.692127	66.282960	14-11-2012/14:58:02.0	coupe	clou coupe	CP04.2	
PT0433	452827.161154	6760083.344163	66.635966	14-11-2012/15:00:21.0	coupe	contour	CP04.2	ligne fond
PT0434	452827.053123	6760084.110879	66.551587	14-11-2012/15:00:36.0	coupe	contour	CP04.2	ligne fond
PT0435	452826.939778	6760084.740499	66.115332	14-11-2012/15:00:51.0	coupe	contour	CP04.2	ligne fond
PT0436	452826.778992	6760086.056919	66.011754	14-11-2012/15:01:12.0	coupe	contour	CP04.2	ligne fond
PT0437	452826.685514	6760086.831203	65.953932	14-11-2012/15:01:25.0	coupe	contour	CP04.2	ligne fond
PT0438	452826.631554	6760087.331595	65.979275	14-11-2012/15:01:39.0	coupe	contour	CP04.2	ligne fond
PT0439	452826.564423	6760087.851617	65.906322	14-11-2012/15:01:51.0	coupe	contour	CP04.2	ligne fond
PT0440	452826.430428	6760088.765425	65.918726	14-11-2012/15:02:05.0	coupe	contour	CP04.2	ligne fond
PT0441	452826.423580	6760089.055148	65.961072	14-11-2012/15:02:16.0	coupe	contour	CP04.2	ligne fond
PT0442	452826.369420	6760089.688461	65.924404	14-11-2012/15:02:28.0	coupe	contour	CP04.2	ligne fond
PT0443	452826.293992	6760091.106501	65.919945	14-11-2012/15:02:43.0	coupe	contour	CP04.2	ligne fond
PT0444	452826.173723	6760092.350025	65.902099	14-11-2012/15:02:57.0	coupe	contour	CP04.2	ligne fond
PT0445	452826.118618	6760093.598672	65.939831	14-11-2012/15:03:14.0	coupe	contour	CP04.2	ligne fond
PT0446	452828.275639	6760094.852018	66.988497	14-11-2012/15:04:36.0	tranchée	contour	TR04.2	axe interne ; l=2.20m
PT0447	452829.490776	6760083.103610	67.023954	14-11-2012/15:05:26.0	tranchée	contour	TR04.2	axe interne ; l=2.20m
PT0448	452824.192435	6760118.514763	66.044933	14-11-2012/15:07:10.0	mobilier	lithique	silex	
PT0449	452827.332258	6760120.356222	66.399724	14-11-2012/15:26:12.0	mobilier	lithique	silex	
PT0450	452824.491727	6760118.609217	66.045073	14-11-2012/15:32:08.0	mobilier	lithique	silex	
PT0451	452821.658649	6760113.894105	66.663911	14-11-2012/15:48:20.0	mobilier	lithique	silex	
PT0452	452826.124212	6760116.113077	66.722772	14-11-2012/15:53:59.0	mobilier	lithique	silex	
PT0453	452825.986586	6760116.852953	66.674599	14-11-2012/15:58:46.0	mobilier	lithique	silex	
PT0454	452827.245647	6760116.419556	66.714132	14-11-2012/15:59:03.0	mobilier	lithique	silex	
PT0455	452825.718116	6760115.898502	66.651171	14-11-2012/16:04:25.0	mobilier	lithique	silex	
PT0456	452825.857835	6760115.999165	66.653490	14-11-2012/16:04:42.0	mobilier	lithique	silex	
PT0457	452826.167993	6760116.225012	66.654413	14-11-2012/16:05:08.0	mobilier	lithique	silex	
PT0458	452826.408572	6760116.139286	66.649960	14-11-2012/16:05:30.0	mobilier	lithique	silex	
PT0459	452825.854370	6760117.040353	66.661265	14-11-2012/16:05:52.0	mobilier	lithique	silex	
PT0460	452824.756185	6760116.084617	66.645926	14-11-2012/16:06:08.0	mobilier	lithique	silex	
PT0461	452826.138380	6760117.184226	66.618045	14-11-2012/16:14:55.0	mobilier	lithique	silex	
PT0462	452826.243280	6760116.221620	66.588533	14-11-2012/16:19:32.0	mobilier	lithique	silex	
PT0463	452823.008457	6760114.112701	66.534937	14-11-2012/16:24:22.0	mobilier	lithique	silex	
PT0464	452826.723058	6760116.803070	66.537993	14-11-2012/16:26:35.0	mobilier	lithique	silex	
PT0465	452824.604164	6760115.256718	66.477380	14-11-2012/16:26:50.0	mobilier	lithique	silex	
PT0466	452823.074880	6760114.091040	66.502954	14-11-2012/16:32:10.0	mobilier	lithique	silex	
PT0467	452825.287474	6760114.489751	66.476981	14-11-2012/16:32:23.0	mobilier	lithique	silex	
PT0468	452823.088129	6760114.602384	66.536111	14-11-2012/16:32:49.0	mobilier	lithique	silex	
PT0469	452825.686827	6760116.929520	66.480499	14-11-2012/16:39:24.0	mobilier	lithique	silex	
PT0470	452824.876602	6760116.770124	66.467173	14-11-2012/16:39:41.0	mobilier	lithique	silex	
PT0471	452822.794460	6760114.036284	66.464599	14-11-2012/16:43:03.0	mobilier	lithique	silex	
PT0472	452825.202902	6760114.577822	66.362402	14-11-2012/16:43:23.0	mobilier	lithique	silex	
PT0473	452825.465658	6760116.340413	66.379306	14-11-2012/16:48:32.0	mobilier	lithique	silex	
PT0474	452826.081362	6760116.351124	66.385366	14-11-2012/16:48:48.0	mobilier	lithique	silex	
PT0475	452826.352993	6760117.502290	66.315089	15-11-2012/08:40:37.0	mobilier	lithique	silex	
PT0476	452826.899087	6760117.444266	66.345485	15-11-2012/08:40:53.0	mobilier	lithique	silex	
PT0477	452825.718467	6760114.288047	66.278896	15-11-2012/08:44:48.0	mobilier	lithique	silex	
PT0478	452824.980957	6760114.944452	66.258590	15-11-2012/08:46:44.0	mobilier	lithique	silex	
PT0480	452823.069204	6760114.584123	66.243159	15-11-2012/08:50:36.0	mobilier	lithique	silex	
PT0481	452825.375231	6760116.563409	66.227671	15-11-2012/08:54:32.0	mobilier	lithique	silex	
PT0482	452826.367302	6760117.807745	66.216019	15-11-2012/08:56:48.0	mobilier	lithique	silex	
PT0483	452825.340394	6760116.745901	66.180102	15-11-2012/09:01:32.0	mobilier	lithique	silex	
PT0484	452824.988395	6760119.165173	66.083680	15-11-2012/09:18:07.0	mobilier	lithique	silex	
PT0485	452825.025095	6760117.188166	65.944868	15-11-2012/09:24:13.0	mobilier	lithique	silex	
PT0486	452824.808165	6760117.614304	65.943222	15-11-2012/09:24:28.0	mobilier	lithique	silex	
PT0487	452825.294081	6760118.237831	65.891154	15-11-2012/09:32:41.0	mobilier	lithique	silex	
PT0488	452821.483266	6760114.042162	66.294658	15-11-2012/10:25:38.0	mobilier	lithique	silex	
PT0489	452821.600421	6760113.727439	65.906046	15-11-2012/10:31:23.0	mobilier	lithique	silex	
PT0490	452825.324414	6760118.419878	65.880240	15-11-2012/10:35:07.0	mobilier	lithique	silex	
PT0491	452826.944658	6760113.933394	66.899117	15-11-2012/10:48:17.0	mobilier	lithique	silex	
PT0492	452826.578241	6760115.014105	66.707912	15-11-2012/10:59:45.0	mobilier	lithique	silex	
PT0493	452828.777180	6760115.367297	66.706301	15-11-2012/11:01:10.0	mobilier	lithique	silex	
PT0494	452827.402908	6760116.445116	66.606126	15-11-2012/11:02:40.0	mobilier	lithique	silex	
PT0495	452829.543377	6760116.040114	66.664237	15-11-2012/11:04:14.0	mobilier	lithique	silex	
PT0496	452826.660285	6760114.127161	66.606133	15-11-2012/11:06:28.0	mobilier	lithique	silex	
PT0497	452827.251265	6760115.525828	66.602179	15-11-2012/11:08:56.0	mobilier	lithique	silex	
PT0498	452827.683099	6760115.824948	66.612088	15-11-2012/11:09:10.0	mobilier	lithique	silex	
PT0499	452827.255789	6760115.141065	66.528399	15-11-2012/11:13:06.0	mobilier	lithique	silex	
PT0500	452826.396125	6760115.329067	66.483455	15-11-2012/11:17:26.0	mobilier	lithique	silex	
PT0501	452830.360940	6760114.872253	66.493886	15-11-2012/11:19:32.0	mobilier	lithique	silex	
PT0502	452827.115832	6760115.717201	66.404864	15-11-2012/11:24:02.0	mobilier	lithique	silex	
PT0503	452829.397333	6760114.032760	66.424947	15-11-2012/11:24:17.0	mobilier	lithique	silex	
PT0504	452827.158493	6760115.330241	66.356814	15-11-2012/11:25:53.0	mobilier	lithique	silex	
PT0505	452827.359531	6760115.694480	66.361189	15-11-2012/11:27:58.0	mobilier	lithique	silex	
PT0506	452829.340608	6760115.364213	66.334088	15-11-2012/11:28:30.0	mobilier	lithique	silex	
PT0507	452828.081439	6760114.029755	66.360565	15-11-2012/11:28:59.0	mobilier	lithique	silex	
PT0508	452826.759426	6760114.662274	66.370339	15-11-2012/11:29:30.0	mobilier	lithique	silex	
PT0509	452828.260733	6760116.674516	66.389637	15-11-2012/11:31:24.0	mobilier	lithique	silex	
PT0510	452827.376897	6760116.107518	66.395301	15-11-2012/11:33:20.0	mobilier	lithique	silex	
PT0511	452828.428536	6760116.429924	66.335464	15-11-2012/11:33:54.0	mobilier	lithique	silex	
PT0512	452828.434429	6760117.314348	66.333401	15-11-2012/11:34:36.0	mobilier	lithique	silex	
PT0513	452830.262122	6760116.145078	66.350769	15-11-2012/11:35:06.0	mobilier	lithique	silex	
PT0514	452826.992071	6760115.699030	66.333379	15-11-2012/11:37:31.0	mobilier	lithique	silex	
PT0515	452827.049360	6760114.150573	66.333015	15-11-2012/11:38:21.0	mobilier	lithique	silex	
PT0516	452826.723872	6760114.077891	66.323730	15-11-2012/11:38:42.0	mobilier	lithique	silex	
PT0517	452827.816249	6760115.407441	66.322437	15-11-2012/11:40:50.0	mobilier	lithique	silex	
PT0518	452826.452655	6760114.559473	66.278396	15-11-2012/11:45:11.0	mobilier	lithique	silex	
PT0519	452827.240750	6760115.720141	66.290613	15-11-2012/11:45:57.0	mobilier	lithique	silex	
PT0520	452829.104858	6760115.044271	66.286975	15-11-2012/11:46:24.0	mobilier	lithique	silex	
PT0521	452827.190140	6760115.749030	66.290124	15-11-2012/11:49:33.0	mobilier	lithique	silex	
PT0522	452827.162651	6760115.683812	66.281777	15-11-2012/11:52:15.0	mobilier	lithique	silex	
PT0523	452829.130555	6760116.598254	66.262745	15-11-2012/11:52:30.0	mobilier	lithique	silex	
PT0524	452828.518247	6760116.321068	66.280327	15-11-2012/11:52:42.0	mobilier	lithique	silex	
PT0525	452829.904668	6760115.538947	66.295138	15-11-2012/11:53:17.0	mobilier	lithique	silex	

MATRICULE	X (est)	Y (nord)	Z (alti)	DATE	ÉLÉMENT TOPOGRAPHIÉ	TYPE DE POINT	IDENTIFIANT	DESCRIPTION
PT0526	452827.613792	6760115.557594	66.285579	15-11-2012/11:55:35.0	mobilier	lithique	silex	
PT0527	452828.089951	6760114.391705	66.278257	15-11-2012/11:56:14.0	mobilier	lithique	silex	
PT0528	452827.351352	6760115.500062	66.247836	15-11-2012/11:59:33.0	mobilier	lithique	silex	
PT0529	452827.192237	6760115.596661	66.260907	15-11-2012/12:00:09.0	mobilier	lithique	silex	
PT0530	452827.288573	6760115.859327	66.272866	15-11-2012/12:00:32.0	mobilier	lithique	silex	
PT0531	452828.462577	6760114.329630	66.265500	15-11-2012/12:00:55.0	mobilier	lithique	silex	
PT0532	452827.156289	6760115.360454	66.223005	15-11-2012/12:03:58.0	mobilier	lithique	silex	
PT0533	452827.176029	6760115.792782	66.230542	15-11-2012/12:04:17.0	mobilier	lithique	silex	
PT0534	452828.294362	6760114.286989	66.244108	15-11-2012/13:11:51.0	mobilier	lithique	silex	
PT0535	452829.519101	6760114.048697	66.197841	15-11-2012/13:15:01.0	mobilier	lithique	silex	
PT0536	452826.368914	6760114.182961	66.184755	15-11-2012/13:15:37.0	mobilier	lithique	silex	
PT0537	452827.504561	6760115.953784	66.217834	15-11-2012/13:16:13.0	mobilier	lithique	silex	
PT0538	452828.884723	6760116.758336	66.177207	15-11-2012/13:20:07.0	mobilier	lithique	silex	
PT0539	452828.705146	6760115.690531	66.170528	15-11-2012/13:23:19.0	mobilier	lithique	silex	
PT0540	452829.247161	6760115.348608	66.187370	15-11-2012/13:23:33.0	mobilier	lithique	silex	
PT0541	452826.819663	6760114.441066	66.149179	15-11-2012/13:27:10.0	mobilier	lithique	silex	
PT0542	452827.699345	6760115.351888	66.151894	15-11-2012/13:28:03.0	mobilier	lithique	silex	
PT0543	452828.036273	6760114.387443	66.145086	15-11-2012/13:28:34.0	mobilier	lithique	silex	
PT0544	452829.077253	6760116.455836	66.116499	15-11-2012/13:31:36.0	mobilier	lithique	silex	
PT0545	452830.208331	6760115.467731	66.103427	15-11-2012/13:34:20.0	mobilier	lithique	silex	
PT0546	452828.317156	6760115.978208	66.111287	15-11-2012/13:36:46.0	mobilier	lithique	silex	
PT0547	452829.175903	6760115.048848	66.102730	15-11-2012/13:37:02.0	mobilier	lithique	silex	
PT0548	452827.430613	6760114.592364	66.077585	15-11-2012/13:39:17.0	mobilier	lithique	silex	
PT0549	452829.626712	6760116.936035	65.924594	15-11-2012/13:48:56.0	mobilier	lithique	silex	
PT0550	452826.285849	6760115.486587	65.970987	15-11-2012/13:52:05.0	mobilier	lithique	silex	
PT0551	452827.161828	6760114.597542	65.949745	15-11-2012/13:52:21.0	mobilier	lithique	silex	
PT0552	452832.370204	6760114.894454	66.844767	15-11-2012/14:16:42.0	mobilier	lithique	silex	
PT0553	452831.133782	6760115.013057	66.756547	15-11-2012/14:20:41.0	mobilier	lithique	silex	
PT0554	452831.233069	6760114.662569	66.813763	15-11-2012/14:20:57.0	mobilier	lithique	silex	
PT0555	452831.807659	6760114.629269	66.830572	15-11-2012/14:21:26.0	mobilier	lithique	silex	
PT0556	452832.047871	6760115.759873	66.790217	15-11-2012/14:25:05.0	mobilier	lithique	silex	
PT0557	452831.427743	6760115.577350	66.812487	15-11-2012/14:25:28.0	mobilier	lithique	silex	
PT0558	452834.273396	6760115.821451	66.751780	15-11-2012/14:25:53.0	mobilier	lithique	silex	
PT0559	452833.679291	6760114.647516	66.752091	15-11-2012/14:26:34.0	mobilier	lithique	silex	
PT0560	452834.393672	6760117.264215	66.763468	15-11-2012/14:29:40.0	mobilier	lithique	silex	
PT0561	452831.810621	6760117.029131	66.747683	15-11-2012/14:32:39.0	mobilier	lithique	silex	
PT0562	452832.966948	6760116.139802	66.738472	15-11-2012/14:33:14.0	mobilier	lithique	silex	
PT0563	452831.229990	6760115.345996	66.713927	15-11-2012/14:35:32.0	mobilier	lithique	silex	
PT0564	452832.554095	6760114.821736	66.739272	15-11-2012/14:35:48.0	mobilier	lithique	silex	
PT0565	452833.465468	6760116.040958	66.718205	15-11-2012/14:37:42.0	mobilier	lithique	silex	
PT0566	452833.495072	6760115.227082	66.682811	15-11-2012/14:42:53.0	mobilier	lithique	silex	
PT0567	452833.367037	6760114.804059	66.689046	15-11-2012/14:43:14.0	mobilier	lithique	silex	
PT0568	452832.024713	6760114.937251	66.624619	15-11-2012/14:46:36.0	mobilier	lithique	silex	
PT0569	452832.639332	6760115.853592	66.661672	15-11-2012/14:47:01.0	mobilier	lithique	silex	
PT0570	452831.174130	6760115.838718	66.657766	15-11-2012/14:47:25.0	mobilier	lithique	silex	
PT0571	452831.587369	6760114.793395	66.655797	15-11-2012/14:47:44.0	mobilier	lithique	silex	
PT0572	452833.755237	6760115.260517	66.642042	15-11-2012/14:48:01.0	mobilier	lithique	silex	
PT0573	452831.508560	6760115.544229	66.636965	15-11-2012/14:50:42.0	mobilier	lithique	silex	
PT0574	452834.283781	6760115.467919	66.597316	15-11-2012/14:51:05.0	mobilier	lithique	silex	
PT0575	452832.404153	6760116.386139	66.633387	15-11-2012/14:53:50.0	mobilier	lithique	silex	
PT0576	452832.939165	6760115.442281	66.597938	15-11-2012/14:56:38.0	mobilier	lithique	silex	
PT0577	452832.970232	6760114.523306	66.627670	15-11-2012/14:56:52.0	mobilier	lithique	silex	
PT0578	452833.618243	6760116.886862	66.586068	15-11-2012/14:58:40.0	mobilier	lithique	silex	
PT0579	452833.085829	6760114.214913	66.599849	15-11-2012/15:00:16.0	mobilier	lithique	silex	
PT0580	452833.536113	6760115.319540	66.543904	15-11-2012/15:02:26.0	mobilier	lithique	silex	
PT0581	452834.118042	6760115.555712	66.522456	15-11-2012/15:02:41.0	mobilier	lithique	silex	
PT0582	452834.454517	6760117.109632	66.472785	15-11-2012/15:06:40.0	mobilier	lithique	silex	
PT0583	452832.503112	6760117.480367	66.532316	15-11-2012/15:07:01.0	mobilier	lithique	silex	
PT0584	452832.848801	6760117.202374	66.532000	15-11-2012/15:07:19.0	mobilier	lithique	silex	
PT0585	452834.312512	6760115.225246	66.445426	15-11-2012/15:10:37.0	mobilier	lithique	silex	
PT0586	452832.503710	6760114.351293	66.499329	15-11-2012/15:10:59.0	mobilier	lithique	silex	
PT0587	452831.803796	6760116.623127	66.499648	15-11-2012/15:14:34.0	mobilier	lithique	silex	
PT0588	452832.439223	6760117.024086	66.466022	15-11-2012/15:15:21.0	mobilier	lithique	silex	
PT0589	452832.583595	6760117.239517	66.464569	15-11-2012/15:15:37.0	mobilier	lithique	silex	
PT0590	452835.012746	6760116.836025	66.433583	15-11-2012/15:15:53.0	mobilier	lithique	silex	
PT0591	452831.509423	6760115.004982	66.436434	15-11-2012/15:21:24.0	mobilier	lithique	silex	
PT0592	452831.402018	6760115.434849	66.448029	15-11-2012/15:21:38.0	mobilier	lithique	silex	
PT0593	452832.556165	6760115.222683	66.479482	15-11-2012/15:21:55.0	mobilier	lithique	silex	
PT0594	452832.060750	6760117.308966	66.436847	15-11-2012/15:23:51.0	mobilier	lithique	silex	
PT0595	452832.701223	6760117.505029	66.432537	15-11-2012/15:24:17.0	mobilier	lithique	silex	
PT0596	452831.950794	6760115.810794	66.434254	15-11-2012/15:27:30.0	mobilier	lithique	silex	
PT0597	452834.643791	6760116.938751	66.365978	15-11-2012/15:29:26.0	mobilier	lithique	silex	
PT0598	452831.099230	6760115.220233	66.391218	15-11-2012/15:31:21.0	mobilier	lithique	silex	
PT0599	452834.734674	6760117.100212	66.291627	15-11-2012/15:39:26.0	mobilier	lithique	silex	
PT0600	452831.869303	6760117.278405	66.338994	15-11-2012/15:42:14.0	mobilier	lithique	silex	
PT0601	452833.977053	6760114.766836	66.252145	15-11-2012/15:45:31.0	mobilier	lithique	silex	
PT0602	452833.788574	6760114.678429	66.268144	15-11-2012/15:45:44.0	mobilier	lithique	silex	
PT0603	452833.312860	6760114.909630	66.266953	15-11-2012/15:45:58.0	mobilier	lithique	silex	
PT0604	452833.751317	6760114.882811	66.229505	15-11-2012/15:48:42.0	mobilier	lithique	silex	
PT0605	452831.468934	6760114.171878	66.227797	15-11-2012/15:52:27.0	mobilier	lithique	silex	
PT0606	452837.641030	6760117.005720	66.863770	15-11-2012/16:02:32.0	mobilier	lithique	silex	
PT0607	452837.045070	6760118.693072	66.884714	15-11-2012/16:02:51.0	mobilier	lithique	silex	
PT0608	452836.910434	6760118.802835	66.889914	15-11-2012/16:03:05.0	mobilier	lithique	silex	
PT0609	452837.941785	6760117.880279	66.837025	15-11-2012/16:06:05.0	mobilier	lithique	silex	
PT0610	452838.024354	6760117.673336	66.838065	15-11-2012/16:06:45.0	mobilier	lithique	silex	
PT0611	452836.454878	6760118.096543	66.768114	15-11-2012/16:09:18.0	mobilier	lithique	silex	
PT0612	452837.491777	6760115.170866	66.739967	15-11-2012/16:16:25.0	mobilier	lithique	silex	
PT0613	452837.719975	6760115.267121	66.773983	15-11-2012/16:16:39.0	mobilier	lithique	silex	
PT0614	452837.251127	6760115.183537	66.754403	15-11-2012/16:17:33.0	mobilier	lithique	silex	
PT0615	452837.057782	6760114.780120	66.707094	15-11-2012/16:21:49.0	mobilier	lithique	silex	
PT0616	452836.882090	6760119.539523	66.750848	15-11-2012/16:24:36.0	mobilier	lithique	silex	
PT0617	452839.837193	6760116.722112	66.659868	15-11-2012/16:25:48.0	mobilier	lithique	silex	
PT0618	452836.576351	6760116.136514	66.651035	15-11-2012/16:32:49.0	mobilier	lithique	silex	
PT0619	452837.614946	6760114.470450	66.640029	15-11-2012/16:33:21.0	mobilier	lithique	silex	
PT0620	452838.824852	6760117.461518	66.581485	15-11-2012/16:37:28.0	mobilier	lithique	silex	
PT0621	452838.725211	6760116.590491	66.632223	15-11-2012/16:37:46.0	mobilier	lithique	silex	
PT0622	452838.783564	6760116.507466	66.641711	15-11-2012/16:38:02.0	mobilier	lithique	silex	
PT0623	452838.837367	6760116.516573	66.655545	15-11-2012/16:38:18.0	mobilier	lithique	silex	
PT0624	452838.022346	6760116.456102	66.609883	15-11-2012/16:41:51.0	mobilier	lithique	silex	
PT0625	452839.042172	6760114.671453	66.637732	15-11-2012/16:42:22.0	mobilier	lithique	silex	
PT0626	452838.934551	6760115.191840	66.614799	15-11-2012/16:42:53.0	mobilier	lithique	silex	
PT0627	452837.882306	6760117.340219	66.575477	15-11-2012/16:48:10.0	mobilier	lithique	silex	
PT0628	452837.841180	6760117.200105	66.571369	15-11-2012/16:48:24.0	mobilier	lithique	silex	
PT0629	452837.667127	6760117.159883	66.566738	15-11-2012/16:48:39.0	mobilier	lithique	silex	
PT0630	452838.455971	6760115.701399	66.565700	15-11-2012/16:49:29.0	mobilier	lithique	silex	
PT0631	452839.371204	6760116.761662	66.564048	15-11-2012/16:54:02.0	mobilier	lithique	silex	
PT0632	452838.404837	6760115.776754	66.548636	15-11-2012/16:54:25.0	mobilier	lithique	silex	
PT0633	452838.303257	6760115.131017	66.532190	15-11-2012/16:56:16.0	mobilier	lithique	silex	
PT0634	452839.190241	6760116.835481	66.555541	15-11-2012/16:58:06.0	mobilier	lithique	silex	
PT0635	452839.149261	6760116.083238	66.540097	15-11-2012/16:58:38.0	mobilier	lithique	silex	
PT0636	452839.654727	6760115.630386	66.565869	15-11-2012/16:58:57.0	mobilier	lithique	silex	
PT0637	452837.678290	6760114.638661	66.517449	16-11-2012/08:24:49.0	mobilier	lithique	silex	
PT0638	452838.712201	6760114.575790	66.543735	16-11-2012/08:25:12.0	mobilier	lithique	silex	
PT0639	452838.543485	6760114.692628	66.524121	16-11-2012/08:25:51.0	mobilier	lithique	silex	
PT0640	452838.362462	6760115.039202	66.504915	16-11-2012/08:26:12.0	mobilier	lithique	silex	
PT0641	452837.622927	6760118.120269	66.586507	16-11-2012/08:26:34.0	mobilier	lithique	silex	
PT0642	452836.563815	6760119.377425	66.486395	16-11-2012/08:30:01.0	mobilier	lithique	silex	
PT0643	452836.577688	6760115.565898	66.510933	16-11-2012/08:31:34.0	mobilier	lithique	silex	
PT0644	452837.675786	6760117.318557	66.484941	16-11-2012/08:33:26.0	mobilier	lithique	silex	
PT0645	452836.569459	6760118.471444	66.446176	16-11-2012/08:36:14.0	mobilier	lithique	silex	
PT0646	452837.314878	6760118.566608	66.438498	16-11-2012/08:36:34.0	mobilier	lithique	silex	
PT0647	452838.603897	6760117.654455	66.498525	16-11-2012/08:36:55.0	mobilier	lithique	silex	
PT0648	452838.599091	6760114.572168	66.477204	16-11-2012/08:38:43.0	mobilier	lithique	silex	
PT0649	452838.454779	6760117.693092	66.459878	16-11-2012/08:40:17.0	mobilier	lithique	silex	
PT0650	452837.882365	6760117.525643	66.456225	16-11-2012/08:40:43.0	mobilier	lithique	silex	
PT0651	452837.918773	6760117.470767	66.450045	16-11-2012/08:41:01.0	mobilier	lithique	silex	
PT0652	452837.908578	6760117.522619	66.435190	16-11-2012/08:43:38.0	mobilier	lithique	silex	
PT0653	452837.835674	6760117.352219	66.454884	16-11-2012/08:43:55.0	mobilier	lithique	silex	
PT0654	452838.312300	6760117.280201	66.465494	16-11-2012/08:44:10.0	mobilier	lithique	silex	
PT0655	452839.080910	6760114.990371	66.430690	16-11-2012/08:47:03.0	mobilier	lithique	silex	
PT0656	452836.476250	6760119.075308	66.326958	16-11-2012/08:48:46.0	mobilier	lithique	silex	

MATRICULE	X (est)	Y (nord)	Z (alti)	DATE	ÉLÉMENT TOPOGRAPHIÉ	TYPE DE POINT	IDENTIFIANT	DESCRIPTION
PT0657	452837.400677	6760118.993340	66.306422	16-11-2012/08:52:59.0	mobilier	lithique	silex	
PT0658	452836.215064	6760118.551954	66.214519	16-11-2012/08:54:22.0	mobilier	lithique	silex	
PT0659	452836.235897	6760117.821867	66.194461	16-11-2012/08:56:01.0	mobilier	lithique	silex	
PT0660	452836.093937	6760117.950129	66.135836	16-11-2012/08:58:15.0	mobilier	lithique	silex	
PT0661	452837.577342	6760114.099067	66.566777	16-11-2012/09:07:24.0	mobilier	lithique	silex	
PT0662	452837.716240	6760114.082696	66.757923	16-11-2012/09:07:48.0	bloc	contour		bloc de grès
PT0663	452837.547959	6760113.884405	66.753012	16-11-2012/09:08:01.0	bloc	contour		bloc de grès
PT0664	452837.256680	6760113.976959	66.745413	16-11-2012/09:08:11.0	bloc	contour		bloc de grès
PT0665	452837.319206	6760114.313914	66.675890	16-11-2012/09:08:23.0	bloc	contour		bloc de grès
PT0666	452837.512865	6760114.125530	66.455716	16-11-2012/09:08:46.0	bloc	point central		point bas
PT0667	452837.350649	6760114.267910	66.408045	16-11-2012/09:14:15.0	mobilier	lithique	silex	
PT0668	452842.009675	6760120.365597	66.951530	16-11-2012/09:23:45.0	mobilier	lithique	silex	
PT0669	452843.770234	6760119.760549	66.786377	16-11-2012/09:35:46.0	mobilier	lithique	silex	
PT0670	452843.240807	6760119.293485	66.771958	16-11-2012/09:36:05.0	mobilier	lithique	silex	
PT0671	452842.437002	6760119.695174	66.732556	16-11-2012/09:37:36.0	mobilier	lithique	silex	
PT0672	452842.789292	6760114.253821	67.104202	16-11-2012/09:47:12.0	mobilier	lithique	silex	
PT0673	452840.630727	6760114.350953	66.998431	16-11-2012/09:49:48.0	mobilier	lithique	silex	
PT0674	452842.507650	6760113.749725	66.965988	16-11-2012/09:53:36.0	mobilier	lithique	silex	
PT0675	452841.833108	6760114.619356	66.894464	16-11-2012/09:56:23.0	mobilier	lithique	silex	
PT0676	452841.764036	6760114.969998	66.851077	16-11-2012/09:58:01.0	mobilier	lithique	silex	
PT0677	452847.278984	6760113.928052	67.162371	16-11-2012/10:45:56.0	mobilier	lithique	silex	
PT0678	452848.582982	6760113.926008	67.081181	16-11-2012/10:49:46.0	mobilier	lithique	silex	
PT0679	452845.499101	6760113.441039	67.110351	16-11-2012/10:51:39.0	mobilier	lithique	silex	
PT0680	452845.584550	6760114.579396	67.076762	16-11-2012/10:54:05.0	mobilier	lithique	silex	
PT0681	452846.710234	6760114.743324	67.092955	16-11-2012/10:54:36.0	mobilier	lithique	silex	
PT0682	452849.411430	6760114.142624	67.050290	16-11-2012/10:54:57.0	mobilier	lithique	silex	
PT0683	452846.186396	6760113.523252	67.019121	16-11-2012/10:58:28.0	mobilier	lithique	silex	
PT0684	452846.784870	6760114.408635	66.940165	16-11-2012/11:00:52.0	mobilier	lithique	silex	
PT0685	452847.100113	6760113.811219	66.963626	16-11-2012/11:02:32.0	mobilier	lithique	silex	
PT0686	452848.174461	6760115.520041	67.001133	16-11-2012/11:05:12.0	mobilier	lithique	silex	
PT0687	452846.930437	6760115.310092	66.943744	16-11-2012/11:06:56.0	mobilier	lithique	silex	
PT0688	452847.017936	6760115.377880	66.961468	16-11-2012/11:07:19.0	mobilier	lithique	silex	
PT0689	452849.500432	6760113.753617	66.864813	16-11-2012/11:09:59.0	mobilier	lithique	silex	
PT0690	452847.439188	6760113.315106	66.893329	16-11-2012/11:12:23.0	mobilier	lithique	silex	
PT0691	452847.603396	6760113.250621	66.859890	16-11-2012/11:12:39.0	mobilier	lithique	silex	
PT0692	452848.066275	6760115.609528	66.894764	16-11-2012/11:16:07.0	mobilier	lithique	silex	
PT0693	452849.816803	6760115.742775	66.783221	16-11-2012/11:18:09.0	mobilier	lithique	silex	
PT0694	452850.051356	6760115.345497	66.774578	16-11-2012/11:18:29.0	mobilier	lithique	silex	
PT0695	452850.065399	6760115.470485	66.728736	16-11-2012/11:31:12.0	mobilier	lithique	silex	
PT0696	452847.979525	6760115.220544	66.769501	16-11-2012/11:35:01.0	mobilier	lithique	silex	
PT0697	452848.122872	6760115.736307	66.755931	16-11-2012/11:35:17.0	mobilier	lithique	silex	
PT0698	452849.791515	6760116.134797	66.724425	16-11-2012/11:35:50.0	mobilier	lithique	silex	
PT0699	452849.723705	6760115.766699	66.707111	16-11-2012/11:36:33.0	mobilier	lithique	silex	
PT0700	452849.844489	6760115.379327	66.729239	16-11-2012/11:37:22.0	mobilier	lithique	silex	
PT0701	452849.936863	6760115.096092	66.715808	16-11-2012/11:37:34.0	mobilier	lithique	silex	
PT0702	452847.812772	6760113.569235	66.673071	16-11-2012/11:40:07.0	mobilier	lithique	silex	
PT0703	452849.141647	6760114.854285	66.665599	16-11-2012/11:41:42.0	mobilier	lithique	silex	
PT0704	452849.736125	6760117.291652	67.230029	16-11-2012/13:08:07.0	mobilier	lithique	silex	
PT0705	452853.159647	6760117.637644	67.006156	16-11-2012/13:25:37.0	mobilier	lithique	silex	
PT0706	452854.684157	6760118.476151	66.877058	16-11-2012/13:32:32.0	mobilier	lithique	silex	
PT0707	452850.841837	6760117.220000	66.840032	16-11-2012/13:35:58.0	mobilier	lithique	silex	
PT0708	452853.187694	6760117.675093	66.841371	16-11-2012/13:36:16.0	mobilier	lithique	silex	
PT0709	452852.732142	6760117.287126	66.861200	16-11-2012/13:36:33.0	mobilier	lithique	silex	
PT0710	452850.339701	6760117.095359	66.850824	16-11-2012/13:39:40.0	mobilier	lithique	silex	
PT0711	452851.269535	6760117.155163	66.842304	16-11-2012/13:39:58.0	mobilier	lithique	silex	
PT0712	452852.568809	6760117.301638	66.827948	16-11-2012/13:40:12.0	mobilier	lithique	silex	
PT0713	452851.522396	6760117.511048	66.787323	16-11-2012/13:43:37.0	mobilier	lithique	silex	
PT0714	452851.994292	6760117.859207	66.791686	16-11-2012/13:43:52.0	mobilier	lithique	silex	
PT0715	452849.582496	6760117.013572	66.729896	16-11-2012/13:45:54.0	mobilier	lithique	silex	
PT0716	452851.068166	6760117.847698	66.678768	16-11-2012/13:54:29.0	mobilier	lithique	silex	
PT0717	452852.601649	6760117.798834	66.743199	16-11-2012/13:55:01.0	mobilier	lithique	silex	
PT0718	452853.599976	6760117.484792	66.737891	16-11-2012/13:55:29.0	mobilier	lithique	silex	
PT0719	452854.003146	6760117.898554	66.711953	16-11-2012/13:56:02.0	mobilier	lithique	silex	
PT0720	452854.559693	6760117.319949	66.737590	16-11-2012/13:56:52.0	mobilier	lithique	silex	
PT0721	452854.598320	6760117.343015	66.733009	16-11-2012/13:57:08.0	mobilier	lithique	silex	
PT0722	452854.628803	6760117.300368	66.735536	16-11-2012/13:57:21.0	mobilier	lithique	silex	
PT0723	452853.287314	6760116.951689	66.730973	16-11-2012/14:01:28.0	mobilier	lithique	silex	
PT0724	452853.361049	6760117.545342	66.729278	16-11-2012/14:01:41.0	mobilier	lithique	silex	
PT0725	452854.301626	6760118.309699	66.738421	16-11-2012/14:01:55.0	mobilier	lithique	silex	
PT0726	452854.514984	6760117.211908	66.717649	16-11-2012/14:02:14.0	mobilier	lithique	silex	
PT0727	452854.095380	6760117.477808	66.673539	16-11-2012/14:05:05.0	mobilier	lithique	silex	
PT0728	452851.352676	6760118.038003	66.666869	16-11-2012/14:09:03.0	mobilier	lithique	silex	
PT0729	452851.425360	6760118.002416	66.662389	16-11-2012/14:09:16.0	mobilier	lithique	silex	
PT0730	452854.647021	6760117.890849	66.665745	16-11-2012/14:09:33.0	mobilier	lithique	silex	
PT0731	452854.612904	6760117.065280	66.662281	16-11-2012/14:09:46.0	mobilier	lithique	silex	
PT0732	452852.616010	6760117.403229	66.639770	16-11-2012/14:13:03.0	mobilier	lithique	silex	
PT0733	452853.078274	6760117.851406	66.613672	16-11-2012/14:13:17.0	mobilier	lithique	silex	
PT0734	452851.946613	6760117.849059	66.640533	16-11-2012/14:16:54.0	mobilier	lithique	silex	
PT0735	452853.470557	6760117.275471	66.629681	16-11-2012/14:17:21.0	mobilier	lithique	silex	
PT0736	452854.346209	6760117.425600	66.617117	16-11-2012/14:17:53.0	mobilier	lithique	silex	
PT0737	452854.431657	6760117.211616	66.611856	16-11-2012/14:18:04.0	mobilier	lithique	silex	
PT0738	452854.497739	6760117.128313	66.624325	16-11-2012/14:18:17.0	mobilier	lithique	silex	
PT0739	452854.565101	6760117.008046	66.566636	16-11-2012/14:21:52.0	mobilier	lithique	silex	
PT0740	452854.434826	6760118.037474	66.540464	16-11-2012/14:22:26.0	mobilier	lithique	silex	
PT0741	452852.380321	6760117.350077	66.625271	16-11-2012/14:22:44.0	mobilier	lithique	silex	
PT0742	452851.375780	6760117.086847	66.630320	16-11-2012/14:25:51.0	mobilier	lithique	silex	
PT0743	452851.764537	6760118.158294	66.590311	16-11-2012/14:26:07.0	mobilier	lithique	silex	
PT0744	452853.366600	6760117.221948	66.584303	16-11-2012/14:26:41.0	mobilier	lithique	silex	
PT0745	452852.927390	6760117.529287	66.580099	16-11-2012/14:29:58.0	mobilier	lithique	silex	
PT0746	452851.781503	6760117.529003	66.609115	16-11-2012/14:30:56.0	mobilier	lithique	silex	
PT0747	452851.810919	6760117.544642	66.618475	16-11-2012/14:31:05.0	mobilier	lithique	silex	
PT0748	452851.515473	6760117.969190	66.574304	16-11-2012/14:31:17.0	mobilier	lithique	silex	
PT0749	452850.086695	6760116.958804	66.670663	16-11-2012/14:37:34.0	mobilier	lithique	silex	
PT0750	452850.766927	6760117.339134	66.644548	16-11-2012/14:37:45.0	mobilier	lithique	silex	
PT0751	452850.788261	6760117.293305	66.644770	16-11-2012/14:37:54.0	mobilier	lithique	silex	
PT0752	452850.816420	6760117.083952	66.631752	16-11-2012/14:38:35.0	mobilier	lithique	silex	
PT0753	452851.127880	6760116.874488	66.621399	16-11-2012/14:38:47.0	mobilier	lithique	silex	
PT0754	452851.030508	6760117.333275	66.617014	16-11-2012/14:39:24.0	mobilier	lithique	silex	
PT0755	452852.507348	6760117.315992	66.585785	16-11-2012/14:39:37.0	mobilier	lithique	silex	
PT0756	452852.942863	6760117.684190	66.567938	16-11-2012/14:39:52.0	mobilier	lithique	silex	
PT0757	452850.397597	6760116.559634	66.635628	16-11-2012/14:48:41.0	mobilier	lithique	silex	
PT0758	452850.859506	6760116.705054	66.615000	16-11-2012/14:48:56.0	mobilier	lithique	silex	
PT0759	452850.984538	6760117.433357	66.594348	16-11-2012/14:49:25.0	mobilier	lithique	silex	
PT0760	452851.628595	6760116.736260	66.608413	16-11-2012/14:49:53.0	mobilier	lithique	silex	
PT0761	452852.209447	6760117.391522	66.583300	16-11-2012/14:50:56.0	mobilier	lithique	silex	
PT0762	452852.282767	6760117.345650	66.566643	16-11-2012/14:51:05.0	mobilier	lithique	silex	
PT0763	452852.494716	6760117.368687	66.559270	16-11-2012/14:51:19.0	mobilier	lithique	silex	
PT0764	452852.756182	6760117.323104	66.536067	16-11-2012/14:54:03.0	mobilier	lithique	silex	
PT0765	452850.174447	6760116.381621	66.616168	16-11-2012/14:54:22.0	mobilier	lithique	silex	
PT0766	452851.031587	6760116.800682	66.571527	16-11-2012/14:57:26.0	mobilier	lithique	silex	
PT0767	452850.907816	6760116.965489	66.562359	16-11-2012/14:57:38.0	mobilier	lithique	silex	
PT0768	452852.642182	6760117.514693	66.505686	16-11-2012/14:57:51.0	mobilier	lithique	silex	
PT0769	452850.185212	6760116.575099	66.604484	16-11-2012/15:01:08.0	mobilier	lithique	silex	
PT0770	452851.894969	6760117.534326	66.520658	16-11-2012/15:01:30.0	mobilier	lithique	silex	
PT0771	452850.958358	6760117.397106	66.576786	16-11-2012/15:04:06.0	mobilier	lithique	silex	
PT0772	452851.802336	6760118.079732	66.513335	16-11-2012/15:04:21.0	mobilier	lithique	silex	
PT0773	452852.736503	6760117.590968	66.466068	16-11-2012/15:04:34.0	mobilier	lithique	silex	
PT0774	452850.572837	6760117.258441	66.555607	16-11-2012/15:07:41.0	mobilier	lithique	silex	
PT0775	452852.307782	6760117.101484	66.461494	16-11-2012/15:07:57.0	mobilier	lithique	silex	
PT0776	452852.790644	6760115.492512	67.192889	16-11-2012/15:17:33.0	mobilier	lithique	silex	
PT0777	452852.226898	6760115.825627	67.243912	16-11-2012/15:17:53.0	mobilier	lithique	silex	
PT0778	452852.167192	6760113.251967	67.132509	16-11-2012/15:24:03.0	mobilier	lithique	silex	
PT0779	452852.692013	6760115.523049	67.109051	16-11-2012/15:27:25.0	mobilier	lithique	silex	
PT0780	452851.751918	6760115.292759	67.161799	16-11-2012/15:27:40.0	mobilier	lithique	silex	
PT0781	452852.947389	6760113.021222	66.955334	16-11-2012/15:34:11.0	mobilier	lithique	silex	
PT0782	452852.515680	6760114.320555	66.997709	16-11-2012/15:36:57.0	mobilier	lithique	silex	
PT0783	452850.681543	6760112.736378	67.060800	16-11-2012/15:37:14.0	mobilier	lithique	silex	
PT0784	452850.948197	6760113.002611	67.015759	16-11-2012/15:40:09.0	mobilier	lithique	silex	
PT0785	452850.846585	6760112.771744	67.014219	16-11-2012/15:40:23.0	mobilier	lithique	silex	
PT0786	452851.219606	6760112.892961	66.957811	16-11-2012/15:42:54.0	mobilier	lithique	silex	
PT0787	452852.576916	6760113.632318	66.881603	16-11-2012/15:43:09.0	mobilier	lithique	silex	

MATRICULE	X (est)	Y (nord)	Z (alti)	DATE	ÉLÉMENT TOPOGRAPHIÉ	TYPE DE POINT	IDENTIFIANT	DESCRIPTION
PT0788	452852.801250	6760113.388503	66.835807	16-11-2012/15:46:36.0	mobilier	lithique	silex	
PT0789	452852.274459	6760113.819009	66.890503	16-11-2012/15:46:53.0	mobilier	lithique	silex	
PT0790	452853.323569	6760114.722728	66.783940	16-11-2012/15:52:23.0	mobilier	lithique	silex	
PT0791	452853.846811	6760115.396294	66.742769	16-11-2012/15:52:54.0	mobilier	lithique	silex	
PT0792	452854.238316	6760115.525524	66.745733	16-11-2012/15:53:40.0	mobilier	lithique	silex	
PT0793	452854.601669	6760115.389720	66.733253	16-11-2012/15:53:56.0	mobilier	lithique	silex	
PT0794	452852.605728	6760113.208496	66.818080	19-11-2012/14:52:31.0	mobilier	lithique	silex	
PT0795	452823.168967	6760110.872765	66.732365	19-11-2012/14:56:53.0	vrac mobilier	point central		BD2 L1
PT0796	452851.525784	6760114.790077	66.873025	19-11-2012/15:00:18.0	mobilier	lithique	silex	
PT0797	452852.458351	6760115.380032	66.828554	19-11-2012/15:00:37.0	mobilier	lithique	silex	
PT0798	452854.296796	6760115.446282	66.687087	19-11-2012/15:01:02.0	mobilier	lithique	silex	
PT0799	452854.302755	6760115.444560	66.683780	19-11-2012/15:01:24.0	mobilier	lithique	silex	
PT0800	452854.306212	6760115.460622	66.683711	19-11-2012/15:01:37.0	mobilier	lithique	silex	
PT0801	452854.374669	6760115.810872	66.674214	19-11-2012/15:01:55.0	mobilier	lithique	silex	
PT0802	452854.687078	6760115.425968	66.681968	19-11-2012/15:02:10.0	mobilier	lithique	silex	
PT0803	452854.766417	6760115.281516	66.684073	19-11-2012/15:02:23.0	mobilier	lithique	silex	
PT0804	452854.658935	6760115.547626	66.689837	19-11-2012/15:02:37.0	mobilier	lithique	silex	
PT0805	452824.123259	6760110.595143	66.668457	19-11-2012/15:04:38.0	mobilier	lithique	silex	
PT0806	452853.070941	6760112.849289	66.782436	19-11-2012/15:05:20.0	mobilier	lithique	silex	
PT0807	452824.342910	6760108.668065	66.669459	19-11-2012/15:05:31.0	mobilier	lithique	silex	
PT0808	452823.589358	6760112.570906	66.593984	19-11-2012/15:08:02.0	mobilier	lithique	silex	
PT0809	452852.277070	6760115.578934	66.827281	19-11-2012/15:08:21.0	mobilier	lithique	silex	
PT0810	452853.251157	6760115.137033	66.771989	19-11-2012/15:08:43.0	mobilier	lithique	silex	
PT0811	452853.679188	6760115.375299	66.730559	19-11-2012/15:08:56.0	mobilier	lithique	silex	
PT0812	452823.815986	6760108.550352	66.570297	19-11-2012/15:10:32.0	mobilier	lithique	silex	
PT0813	452823.412514	6760110.647173	66.615973	19-11-2012/15:11:09.0	mobilier	lithique	silex	
PT0814	452823.165481	6760112.444271	66.545926	19-11-2012/15:11:28.0	mobilier	lithique	silex	
PT0815	452853.458007	6760114.979700	66.717715	19-11-2012/15:12:26.0	mobilier	lithique	silex	
PT0816	452853.777831	6760115.120689	66.709223	19-11-2012/15:12:39.0	mobilier	lithique	silex	
PT0817	452852.905116	6760114.025759	66.763249	19-11-2012/15:16:27.0	mobilier	lithique	silex	
PT0818	452853.302350	6760113.775539	66.740435	19-11-2012/15:16:40.0	mobilier	lithique	silex	
PT0819	452852.945032	6760113.104111	66.748303	19-11-2012/15:16:53.0	mobilier	lithique	silex	
PT0820	452852.490519	6760113.625543	66.733948	19-11-2012/15:21:15.0	mobilier	lithique	silex	
PT0821	452853.578944	6760116.112455	66.638987	19-11-2012/15:22:58.0	mobilier	lithique	silex	
PT0822	452851.538219	6760112.905648	66.736784	19-11-2012/15:24:44.0	mobilier	lithique	silex	
PT0823	452851.772563	6760115.646033	66.723610	19-11-2012/15:26:41.0	mobilier	lithique	silex	
PT0824	452851.337151	6760116.086793	66.726011	19-11-2012/15:27:02.0	mobilier	lithique	silex	
PT0825	452852.025316	6760113.390337	66.707062	19-11-2012/15:28:18.0	mobilier	lithique	silex	
PT0826	452852.646663	6760116.197937	66.681958	19-11-2012/15:29:48.0	mobilier	lithique	silex	
PT0827	452852.316047	6760113.239835	66.691174	19-11-2012/15:31:57.0	mobilier	lithique	silex	
PT0828	452851.037654	6760113.965351	66.735795	19-11-2012/15:32:09.0	mobilier	lithique	silex	
PT0829	452852.432686	6760116.175705	66.655895	19-11-2012/15:32:21.0	mobilier	lithique	silex	
PT0830	452824.000983	6760110.943427	66.586520	19-11-2012/15:34:35.0	mobilier	lithique	silex	
PT0831	452822.788007	6760110.374299	66.552539	19-11-2012/15:34:55.0	mobilier	lithique	silex	
PT0832	452853.213882	6760115.978521	66.585114	19-11-2012/15:36:08.0	mobilier	lithique	silex	
PT0833	452852.090590	6760114.524342	66.671201	19-11-2012/15:36:38.0	mobilier	lithique	silex	
PT0834	452851.794727	6760113.935822	66.683598	19-11-2012/15:36:58.0	mobilier	lithique	silex	
PT0835	452851.799731	6760113.258160	66.693609	19-11-2012/15:37:15.0	mobilier	lithique	silex	
PT0836	452823.054770	6760112.812544	66.533376	19-11-2012/15:37:36.0	mobilier	lithique	silex	
PT0837	452824.221231	6760110.407153	66.552014	19-11-2012/15:37:54.0	mobilier	lithique	silex	
PT0838	452823.575363	6760112.868209	66.513896	19-11-2012/15:40:52.0	mobilier	lithique	silex	
PT0839	452823.791547	6760109.652424	66.473252	19-11-2012/15:41:12.0	mobilier	lithique	silex	
PT0840	452823.849626	6760108.719161	66.440279	19-11-2012/15:41:30.0	mobilier	lithique	silex	
PT0841	452822.674602	6760112.829994	66.470803	19-11-2012/15:43:52.0	mobilier	lithique	silex	
PT0842	452822.654991	6760112.788033	66.486199	19-11-2012/15:44:03.0	mobilier	lithique	silex	
PT0843	452822.968338	6760110.119659	66.445199	19-11-2012/15:44:28.0	mobilier	lithique	silex	
PT0844	452822.620846	6760112.465973	66.433424	19-11-2012/15:46:26.0	mobilier	lithique	silex	
PT0845	452823.680745	6760109.112040	66.389070	19-11-2012/15:48:33.0	mobilier	lithique	silex	
PT0846	452824.222505	6760109.311583	66.383362	19-11-2012/15:50:33.0	mobilier	lithique	silex	
PT0847	452824.413888	6760108.871705	66.390883	19-11-2012/15:50:45.0	mobilier	lithique	silex	
PT0848	452823.575138	6760108.852137	66.360005	19-11-2012/15:55:22.0	mobilier	lithique	silex	
PT0849	452823.636112	6760108.859642	66.356752	19-11-2012/15:55:43.0	mobilier	lithique	silex	
PT0850	452823.648186	6760109.048108	66.364055	19-11-2012/15:55:57.0	mobilier	lithique	silex	
PT0851	452823.576109	6760109.280601	66.361178	19-11-2012/15:56:18.0	mobilier	lithique	silex	
PT0852	452824.261819	6760109.067075	66.374369	19-11-2012/15:56:40.0	mobilier	lithique	silex	
PT0853	452824.158842	6760108.668204	66.387645	19-11-2012/15:57:03.0	mobilier	lithique	silex	
PT0854	452824.196029	6760108.562548	66.365537	19-11-2012/15:57:18.0	mobilier	lithique	silex	
PT0855	452852.356200	6760115.272987	66.637558	19-11-2012/15:59:40.0	mobilier	lithique	silex	
PT0856	452824.421644	6760109.435746	66.322178	19-11-2012/16:01:05.0	mobilier	lithique	silex	
PT0857	452823.799493	6760111.538805	66.364076	19-11-2012/16:01:23.0	mobilier	lithique	silex	
PT0858	452823.930452	6760112.706327	66.323143	19-11-2012/16:01:39.0	mobilier	lithique	silex	
PT0859	452822.489901	6760112.564693	66.280342	19-11-2012/16:05:21.0	mobilier	lithique	silex	
PT0860	452822.996683	6760113.095692	66.286220	19-11-2012/16:05:38.0	mobilier	lithique	silex	
PT0861	452823.954547	6760110.492922	66.300658	19-11-2012/16:06:00.0	mobilier	lithique	silex	
PT0862	452824.652483	6760108.999218	66.338436	19-11-2012/16:06:14.0	mobilier	lithique	silex	
PT0863	452823.344977	6760112.676408	66.281168	19-11-2012/16:08:11.0	mobilier	lithique	silex	
PT0864	452823.297292	6760112.965664	66.271123	19-11-2012/16:08:21.0	mobilier	lithique	silex	
PT0865	452823.427292	6760113.267704	66.290773	19-11-2012/16:08:30.0	mobilier	lithique	silex	
PT0866	452852.234904	6760115.223087	66.631585	19-11-2012/16:09:29.0	mobilier	lithique	silex	
PT0867	452851.875546	6760113.569216	66.615270	19-11-2012/16:10:01.0	mobilier	lithique	silex	
PT0868	452850.685349	6760114.763189	66.680627	19-11-2012/16:11:52.0	mobilier	lithique	silex	
PT0869	452822.369040	6760112.630922	66.229339	19-11-2012/16:12:38.0	mobilier	lithique	silex	
PT0870	452823.878655	6760112.935268	66.255380	19-11-2012/16:12:53.0	mobilier	lithique	silex	
PT0871	452824.313344	6760110.517174	66.263768	19-11-2012/16:13:08.0	mobilier	lithique	silex	
PT0872	452822.902354	6760112.451818	66.254947	19-11-2012/16:13:44.0	mobilier	lithique	silex	
PT0873	452851.405424	6760116.363073	66.564314	19-11-2012/16:16:19.0	mobilier	lithique	silex	
PT0874	452851.504003	6760116.233493	66.573385	19-11-2012/16:16:36.0	mobilier	lithique	silex	
PT0875	452851.742877	6760116.192299	66.556423	19-11-2012/16:16:59.0	mobilier	lithique	silex	
PT0876	452851.756093	6760116.263140	66.564054	19-11-2012/16:17:35.0	mobilier	lithique	silex	
PT0877	452822.951243	6760112.306078	66.220495	19-11-2012/16:17:55.0	mobilier	lithique	silex	
PT0878	452823.071866	6760112.308199	66.229359	19-11-2012/16:18:06.0	mobilier	lithique	silex	
PT0879	452852.032163	6760114.791700	66.448818	19-11-2012/16:36:27.0	vrac mobilier	point central		BD1 L7
PT0880	452826.117585	6760113.059881	66.442468	19-11-2012/16:34:09.0	mobilier	lithique	silex	
PT0881	452824.777711	6760113.361365	66.182668	19-11-2012/16:40:04.0	mobilier	lithique	silex	
PT0882	452856.201054	6760119.129455	66.958658	19-11-2012/16:42:38.0	mobilier	lithique	silex	
PT0883	452824.388757	6760110.186768	66.132564	19-11-2012/16:42:58.0	mobilier	lithique	silex	
PT0884	452824.387794	6760110.058453	66.139067	19-11-2012/16:43:08.0	mobilier	lithique	silex	
PT0885	452825.898740	6760113.014231	66.123771	19-11-2012/16:44:30.0	mobilier	lithique	silex	
PT0886	452825.312150	6760113.416986	66.086883	19-11-2012/16:48:12.0	mobilier	lithique	silex	
PT0887	452824.746840	6760113.013595	66.037336	19-11-2012/16:48:29.0	mobilier	lithique	silex	
PT0888	452825.363330	6760113.149950	66.048238	19-11-2012/16:50:18.0	mobilier	lithique	silex	
PT0889	452826.164301	6760113.648141	66.061529	19-11-2012/16:51:46.0	mobilier	lithique	silex	
PT0890	452824.346363	6760112.544855	65.970127	19-11-2012/16:53:42.0	mobilier	lithique	silex	
PT0891	452858.569920	6760117.397217	66.713541	19-11-2012/16:55:03.0	mobilier	lithique	silex	
PT0892	452858.662372	6760117.070259	66.730862	19-11-2012/16:55:16.0	mobilier	lithique	silex	
PT0893	452856.683457	6760117.507247	66.685586	19-11-2012/16:58:25.0	mobilier	lithique	silex	
PT0894	452856.483487	6760118.799558	66.795610	19-11-2012/16:59:24.0	mobilier	lithique	silex	
PT0895	452824.107465	6760112.291505	65.774881	19-11-2012/16:59:38.0	mobilier	lithique	silex	
PT0896	452830.074802	6760111.453254	66.723594	20-11-2012/08:31:27.0	vrac mobilier	point central		BD2 L2
PT0897	452823.274532	6760111.468374	66.032368	20-11-2012/08:42:22.0	mobilier	lithique	calcaire coquillier	bloc brûlé
PT0898	452830.156112	6760112.186814	66.682878	20-11-2012/08:38:34.0	mobilier	lithique	silex	
PT0899	452827.125226	6760113.008621	66.748812	20-11-2012/08:39:03.0	mobilier	lithique	silex	
PT0900	452830.099041	6760112.093577	66.521501	20-11-2012/08:49:05.0	mobilier	lithique	silex	
PT0901	452829.690542	6760109.968062	66.460968	20-11-2012/08:49:37.0	mobilier	lithique	silex	
PT0902	452822.644903	6760111.866802	66.190046	20-11-2012/08:50:06.0	mobilier	lithique	silex	
PT0903	452827.338347	6760111.156581	66.493389	20-11-2012/08:53:40.0	mobilier	lithique	grès	
PT0904	452828.890317	6760113.641033	66.544884	20-11-2012/08:55:39.0	mobilier	lithique	silex	
PT0905	452828.271332	6760111.754865	66.476689	20-11-2012/08:57:50.0	mobilier	lithique	silex	
PT0906	452827.547717	6760113.599221	66.513824	20-11-2012/08:59:50.0	mobilier	lithique	silex	
PT0907	452827.383286	6760110.513226	66.417449	20-11-2012/09:00:33.0	mobilier	lithique	silex	
PT0908	452827.293736	6760110.396254	66.412853	20-11-2012/09:00:48.0	mobilier	lithique	silex	
PT0909	452829.236779	6760109.191884	66.366157	20-11-2012/09:04:32.0	mobilier	lithique	silex	
PT0910	452858.368311	6760118.131156	66.757665	20-11-2012/09:05:17.0	mobilier	lithique	silex	
PT0911	452829.833139	6760113.905500	66.487649	20-11-2012/09:06:32.0	mobilier	scorie		
PT0912	452828.289152	6760109.598035	66.316863	20-11-2012/09:08:11.0	mobilier	lithique	silex	
PT0913	452827.492304	6760109.451769	66.332402	20-11-2012/09:08:26.0	mobilier	lithique	silex	
PT0914	452827.382774	6760109.331332	66.325063	20-11-2012/09:08:37.0	mobilier	lithique	silex	
PT0915	452859.594572	6760117.219031	66.730672	20-11-2012/09:08:56.0	mobilier	lithique	silex	
PT0916	452857.523203	6760119.561234	66.775338	20-11-2012/09:09:24.0	mobilier	lithique	silex	
PT0917	452830.592815	6760109.663953	66.275976	20-11-2012/09:12:04.0	mobilier	lithique	silex	
PT0918	452829.918662	6760112.372466	66.345057	20-11-2012/09:12:27.0	mobilier	lithique	grès	

MATRICULE	X (est)	Y (nord)	Z (alti)	DATE	ÉLÉMENT TOPOGRAPHIÉ	TYPE DE POINT	IDENTIFIANT	DESCRIPTION
PT0919	452857.386209	6760118.700739	66.708045	20-11-2012/09:12:59.0	mobilier	lithique	silex	
PT0920	452829.010610	6760113.717968	66.454728	20-11-2012/09:15:34.0	mobilier	lithique	silex	
PT0921	452829.066883	6760113.580359	66.430674	20-11-2012/09:15:44.0	mobilier	lithique	silex	
PT0922	452828.073377	6760109.219473	66.324487	20-11-2012/09:16:00.0	mobilier	lithique	silex	
PT0923	452858.486277	6760117.826227	66.623034	20-11-2012/09:16:56.0	mobilier	lithique	silex	
PT0924	452827.536682	6760113.072797	66.427261	20-11-2012/09:17:44.0	mobilier	lithique	silex	
PT0925	452827.410544	6760110.757210	66.359845	20-11-2012/09:17:59.0	mobilier	lithique	silex	
PT0926	452828.168821	6760109.721951	66.303721	20-11-2012/09:18:13.0	mobilier	lithique	silex	
PT0927	452855.513487	6760118.341361	66.660864	20-11-2012/09:19:56.0	mobilier	lithique	silex	
PT0928	452829.207864	6760111.487916	66.319460	20-11-2012/09:20:16.0	mobilier	lithique	silex	
PT0929	452828.481037	6760113.707577	66.398500	20-11-2012/09:22:40.0	mobilier	lithique	silex	
PT0930	452828.724387	6760112.887223	66.356287	20-11-2012/09:22:52.0	mobilier	lithique	silex	
PT0931	452828.757110	6760112.867835	66.361101	20-11-2012/09:23:03.0	mobilier	lithique	silex	
PT0932	452856.093843	6760119.301671	66.724501	20-11-2012/09:23:27.0	mobilier	lithique	silex	
PT0933	452827.420815	6760111.107848	66.340411	20-11-2012/09:25:07.0	mobilier	lithique	silex	
PT0934	452827.165945	6760110.969037	66.345900	20-11-2012/09:25:17.0	mobilier	lithique	silex	
PT0935	452828.230623	6760109.557128	66.233743	20-11-2012/09:25:31.0	mobilier	lithique	silex	
PT0936	452827.010707	6760112.925805	66.410561	20-11-2012/09:25:57.0	mobilier	lithique	silex	
PT0937	452856.312105	6760119.325787	66.674866	20-11-2012/09:26:26.0	mobilier	lithique	silex	
PT0938	452830.273454	6760110.058817	66.153784	20-11-2012/09:28:19.0	mobilier	lithique	silex	
PT0939	452855.468147	6760118.636943	66.635226	20-11-2012/09:29:10.0	mobilier	lithique	silex	
PT0940	452855.174780	6760118.468585	66.599039	20-11-2012/09:29:26.0	mobilier	lithique	silex	
PT0941	452857.984265	6760119.448566	66.652437	20-11-2012/09:29:44.0	mobilier	lithique	silex	
PT0942	452858.357901	6760118.503108	66.538336	20-11-2012/09:30:03.0	mobilier	lithique	silex	
PT0943	452827.984099	6760112.069680	66.237023	20-11-2012/09:30:19.0	mobilier	lithique	silex	
PT0944	452828.060158	6760112.437598	66.319392	20-11-2012/09:30:30.0	mobilier	lithique	silex	
PT0945	452854.474921	6760118.367184	66.560841	20-11-2012/09:31:22.0	mobilier	lithique	silex	
PT0946	452827.901672	6760113.771026	66.323120	20-11-2012/09:32:39.0	mobilier	lithique	silex	
PT0947	452827.240956	6760111.095670	66.284633	20-11-2012/09:32:53.0	mobilier	lithique	silex	
PT0948	452859.579548	6760118.778696	66.612148	20-11-2012/09:34:49.0	mobilier	lithique	silex	
PT0949	452830.254620	6760113.381807	66.295358	20-11-2012/09:35:10.0	mobilier	lithique	silex	
PT0950	452830.356267	6760111.477864	66.207658	20-11-2012/09:35:30.0	mobilier	lithique	silex	
PT0951	452828.947790	6760109.912519	66.171558	20-11-2012/09:35:43.0	mobilier	lithique	silex	
PT0952	452854.446447	6760118.470494	66.548787	20-11-2012/09:36:30.0	mobilier	lithique	silex	
PT0953	452829.512827	6760111.638259	66.136957	20-11-2012/09:37:53.0	mobilier	lithique	grès	
PT0954	452856.685229	6760119.308594	66.562583	20-11-2012/09:40:26.0	mobilier	lithique	silex	
PT0955	452856.862975	6760119.433736	66.583020	20-11-2012/09:40:40.0	mobilier	lithique	silex	
PT0956	452859.653034	6760119.149008	66.629397	20-11-2012/09:40:56.0	mobilier	lithique	silex	
PT0957	452827.059583	6760110.521955	66.291461	20-11-2012/09:41:14.0	mobilier	lithique	silex	
PT0958	452826.983485	6760111.365283	66.304872	20-11-2012/09:41:28.0	mobilier	lithique	silex	
PT0959	452828.520086	6760111.112666	66.219912	20-11-2012/09:41:44.0	mobilier	lithique	silex	
PT0960	452827.221679	6760113.158854	66.231661	20-11-2012/09:45:12.0	mobilier	lithique	silex	
PT0961	452826.992053	6760111.585672	66.250262	20-11-2012/09:45:26.0	mobilier	lithique	silex	
PT0962	452827.078165	6760111.370311	66.246701	20-11-2012/09:45:45.0	mobilier	lithique	silex	
PT0963	452827.421166	6760110.236662	66.181418	20-11-2012/09:45:59.0	mobilier	lithique	silex	
PT0964	452827.577973	6760109.671774	66.215204	20-11-2012/09:46:10.0	mobilier	lithique	silex	
PT0965	452826.851432	6760112.400707	66.226669	20-11-2012/09:55:16.0	mobilier	lithique	silex	
PT0966	452827.151674	6760111.074118	66.186440	20-11-2012/09:55:56.0	mobilier	lithique	silex	
PT0967	452827.481838	6760111.118537	66.179571	20-11-2012/09:56:07.0	mobilier	lithique	silex	
PT0968	452828.477963	6760113.327902	66.232968	20-11-2012/09:56:22.0	mobilier	lithique	silex	
PT0969	452829.841609	6760111.838294	66.184339	20-11-2012/09:56:35.0	mobilier	lithique	silex	
PT0970	452827.737920	6760112.941048	66.150768	20-11-2012/10:02:03.0	mobilier	lithique	silex	
PT0971	452827.731780	6760110.659116	66.127957	20-11-2012/10:02:18.0	mobilier	lithique	silex	
PT0972	452828.068333	6760110.628280	66.114781	20-11-2012/10:02:28.0	mobilier	lithique	silex	
PT0973	452827.666823	6760109.666790	66.130837	20-11-2012/10:02:44.0	mobilier	lithique	silex	
PT0974	452827.979372	6760113.142637	66.161009	20-11-2012/10:28:03.0	mobilier	lithique	silex	
PT0975	452827.844828	6760109.927190	66.093200	20-11-2012/10:28:19.0	mobilier	lithique	silex	
PT0976	452857.971958	6760114.510216	67.297355	20-11-2012/10:29:00.0	mobilier	lithique	silex	
PT0977	452857.483108	6760117.800670	66.340937	20-11-2012/10:30:09.0	vrac mobilier	point central		BD1 L8 nord
PT0978	452828.796939	6760113.635079	66.093496	20-11-2012/10:33:01.0	mobilier	lithique	silex	
PT0979	452828.099301	6760110.884511	65.997651	20-11-2012/10:33:16.0	mobilier	lithique	silex	
PT0980	452862.014779	6760117.881886	67.422001	20-11-2012/10:33:56.0	mobilier	lithique	silex	
PT0981	452863.614128	6760116.263465	67.379004	20-11-2012/10:36:33.0	mobilier	lithique	silex	
PT0982	452856.865646	6760112.499403	67.293416	20-11-2012/10:44:15.0	mobilier	lithique	silex	
PT0983	452823.342750	6760111.944090	66.123233	20-11-2012/10:44:35.0	mobilier	lithique	silex	
PT0984	452822.838153	6760111.798844	66.085389	20-11-2012/10:46:17.0	mobilier	lithique	silex	
PT0985	452822.368687	6760110.644002	66.080051	20-11-2012/10:46:32.0	mobilier	lithique	silex	
PT0986	452823.904444	6760110.937497	66.087449	20-11-2012/10:46:44.0	mobilier	lithique	silex	
PT0987	452821.870002	6760113.163893	66.083501	20-11-2012/10:48:29.0	mobilier	lithique	silex	
PT0988	452823.072200	6760111.711901	66.067028	20-11-2012/10:48:42.0	mobilier	lithique	silex	
PT0989	452823.434277	6760110.549746	66.051408	20-11-2012/10:48:55.0	mobilier	lithique	silex	
PT0990	452857.081775	6760113.148940	67.230733	20-11-2012/10:49:48.0	mobilier	lithique	silex	
PT0991	452822.728101	6760112.170126	66.065207	20-11-2012/10:50:38.0	mobilier	lithique	silex	
PT0992	452822.753779	6760111.693344	66.045381	20-11-2012/10:50:50.0	mobilier	lithique	silex	
PT0993	452857.812861	6760115.125678	67.137043	20-11-2012/10:52:14.0	mobilier	lithique	silex	
PT0994	452863.129171	6760114.448284	66.970849	20-11-2012/10:58:40.0	mobilier	lithique	silex	
PT0995	452862.810284	6760115.932359	66.989311	20-11-2012/10:59:19.0	mobilier	lithique	silex	
PT0996	452860.845968	6760117.931412	67.087674	20-11-2012/10:59:48.0	mobilier	lithique	silex	
PT0997	452857.234323	6760112.815046	66.967783	20-11-2012/11:07:57.0	mobilier	lithique	silex	
PT0998	452857.655817	6760113.211562	66.958160	20-11-2012/11:08:24.0	mobilier	lithique	silex	
PT0999	452862.136765	6760117.159423	66.977726	20-11-2012/11:08:58.0	mobilier	lithique	silex	
PT1000	452825.945305	6760107.908635	66.554218	20-11-2012/11:09:41.0	mobilier	lithique	silex	
PT1001	452823.881795	6760104.484683	66.416639	20-11-2012/11:11:35.0	mobilier	lithique	silex	
PT1002	452825.247752	6760105.860427	66.456319	20-11-2012/11:11:58.0	vrac mobilier	point central		BD3 L1
PT1003	452864.678326	6760117.919378	67.050261	20-11-2012/11:13:01.0	mobilier	lithique	silex	
PT1004	452864.619855	6760117.947477	67.057845	20-11-2012/11:13:16.0	mobilier	lithique	silex	
PT1005	452863.607822	6760118.277350	67.045395	20-11-2012/11:13:31.0	mobilier	lithique	silex	
PT1006	452824.195464	6760104.758672	66.284061	20-11-2012/11:15:15.0	mobilier	lithique	silex	
PT1007	452824.513440	6760106.065006	66.378915	20-11-2012/11:15:32.0	mobilier	lithique	silex	
PT1008	452825.746233	6760107.772505	66.432524	20-11-2012/11:15:49.0	mobilier	lithique	silex	
PT1009	452864.644491	6760117.653998	67.000027	20-11-2012/11:16:37.0	mobilier	lithique	silex	
PT1010	452861.556693	6760117.873127	66.944295	20-11-2012/11:17:00.0	mobilier	lithique	silex	
PT1011	452826.375106	6760108.081542	66.427190	20-11-2012/11:18:46.0	mobilier	lithique	silex	
PT1012	452826.077995	6760107.923225	66.413569	20-11-2012/11:18:56.0	mobilier	lithique	silex	
PT1013	452823.631865	6760106.150966	66.274483	20-11-2012/11:19:17.0	mobilier	lithique	silex	
PT1014	452824.041761	6760105.805906	66.286363	20-11-2012/11:19:31.0	mobilier	lithique	silex	
PT1015	452825.434083	6760108.036101	66.390831	20-11-2012/11:21:53.0	mobilier	lithique	silex	
PT1016	452825.583366	6760108.067499	66.403361	20-11-2012/11:22:03.0	mobilier	lithique	silex	
PT1017	452826.324104	6760107.337386	66.387518	20-11-2012/11:22:16.0	mobilier	lithique	silex	
PT1018	452862.366023	6760114.391686	66.757930	20-11-2012/11:22:41.0	mobilier	lithique	silex	
PT1019	452824.207683	6760107.197819	66.299961	20-11-2012/11:26:09.0	mobilier	lithique	silex	
PT1020	452823.740298	6760105.058400	66.194141	20-11-2012/11:26:21.0	mobilier	lithique	silex	
PT1021	452856.228659	6760114.924640	66.833448	20-11-2012/11:27:37.0	mobilier	lithique	silex	
PT1022	452826.290375	6760107.741536	66.339803	20-11-2012/11:28:19.0	mobilier	lithique	silex	
PT1023	452826.527740	6760107.724442	66.345929	20-11-2012/11:28:29.0	mobilier	lithique	silex	
PT1024	452826.303676	6760107.437969	66.342799	20-11-2012/11:28:39.0	mobilier	lithique	silex	
PT1025	452826.244143	6760107.380509	66.334481	20-11-2012/11:28:49.0	mobilier	lithique	silex	
PT1026	452825.133905	6760107.818612	66.280112	20-11-2012/11:31:34.0	mobilier	lithique	silex	
PT1027	452826.275600	6760105.690703	66.174589	20-11-2012/11:31:49.0	mobilier	lithique	silex	
PT1028	452826.565175	6760104.678354	66.078104	20-11-2012/11:32:01.0	mobilier	lithique	silex	
PT1029	452855.965920	6760114.825517	66.772735	20-11-2012/11:32:23.0	mobilier	lithique	silex	
PT1030	452857.789795	6760114.856498	66.771124	20-11-2012/11:32:44.0	mobilier	lithique	silex	
PT1031	452862.996885	6760115.525481	66.680458	20-11-2012/11:35:12.0	mobilier	lithique	silex	
PT1032	452861.107612	6760116.999303	66.761115	20-11-2012/11:35:31.0	mobilier	lithique	silex	
PT1033	452826.002177	6760108.595737	66.200154	20-11-2012/11:36:14.0	mobilier	lithique	silex	
PT1034	452825.818531	6760108.473735	66.210185	20-11-2012/11:36:27.0	mobilier	lithique	silex	
PT1035	452825.638685	6760107.934293	66.186514	20-11-2012/11:36:40.0	mobilier	lithique	silex	
PT1036	452824.413310	6760107.778008	66.204764	20-11-2012/11:36:58.0	mobilier	lithique	silex	
PT1037	452825.348648	6760108.302763	66.166534	20-11-2012/11:39:08.0	mobilier	lithique	silex	
PT1038	452826.501223	6760105.150132	65.966441	20-11-2012/11:39:25.0	mobilier	lithique	silex	
PT1039	452856.416299	6760114.480603	66.642999	20-11-2012/11:40:28.0	mobilier	lithique	silex	
PT1040	452858.133728	6760115.201417	66.668570	20-11-2012/11:41:00.0	mobilier	lithique	silex	
PT1041	452863.618805	6760117.117229	66.721980	20-11-2012/11:43:37.0	mobilier	lithique	silex	
PT1042	452862.040628	6760117.445766	66.712333	20-11-2012/11:48:03.0	mobilier	lithique	silex	
PT1043	452825.273241	6760102.205842	66.531049	20-11-2012/11:51:44.0	mobilier	lithique	silex	
PT1044	452826.089205	6760101.831064	66.589316	20-11-2012/11:51:58.0	mobilier	lithique	silex	
PT1045	452859.094517	6760115.383274	66.512660	20-11-2012/11:52:37.0	mobilier	lithique	silex	
PT1046	452862.311492	6760117.923992	66.651864	20-11-2012/11:54:18.0	mobilier	lithique	silex	
PT1047	452826.917661	6760103.375859	66.468535	20-11-2012/11:54:41.0	mobilier	lithique	silex	
PT1048	452827.075473	6760103.194778	66.390407	20-11-2012/11:57:52.0	mobilier	lithique	silex	
PT1049	452830.360304	6760107.320026	66.850923	20-11-2012/13:18:42.0	mobilier	lithique	silex	

MATRICULE	X (est)	Y (nord)	Z (alti)	DATE	ELEMENT TOPOGRAPHIE	TYPE DE POINT	IDENTIFIANT	DESCRIPTION
PT1050	452830.124194	6760105.846792	66.840559	20-11-2012/13:18:55.0	mobilier	lithique	silex	
PT1051	452827.438733	6760108.126710	66.889611	20-11-2012/13:22:32.0	mobilier	lithique	silex	
PT1052	452830.870856	6760107.495173	66.727243	20-11-2012/13:22:45.0	mobilier	lithique	silex	
PT1053	452830.053497	6760104.932035	66.661416	20-11-2012/13:22:58.0	mobilier	lithique	silex	
PT1054	452830.128125	6760104.806290	66.672812	20-11-2012/13:23:08.0	mobilier	lithique	silex	
PT1055	452857.441872	6760113.919012	66.103296	20-11-2012/13:24:27.0	vrac mobilier	point central		BD1_L8 sud
PT1056	452862.991667	6760116.186443	66.252807	20-11-2012/13:24:48.0	vrac mobilier	point central		BD1_L9
PT1057	452829.838592	6760106.498742	66.708311	20-11-2012/13:25:42.0	mobilier	lithique	silex	
PT1058	452829.277704	6760105.964548	66.712828	20-11-2012/13:25:57.0	vrac mobilier	point central		BD3_L2
PT1059	452828.794001	6760105.840602	66.728515	20-11-2012/13:26:36.0	mobilier	lithique	silex	
PT1060	452829.331728	6760105.640951	66.621915	20-11-2012/13:29:10.0	mobilier	lithique	silex	
PT1061	452829.693177	6760105.554705	66.639670	20-11-2012/13:29:30.0	mobilier	lithique	silex	
PT1062	452830.382741	6760104.916128	66.600982	20-11-2012/13:29:51.0	mobilier	lithique	silex	
PT1063	452829.547822	6760106.076201	66.614010	20-11-2012/13:30:08.0	mobilier	lithique	silex	
PT1064	452827.900971	6760104.712736	66.606967	20-11-2012/13:33:28.0	mobilier	lithique	silex	
PT1065	452827.976376	6760104.645916	66.615547	20-11-2012/13:33:41.0	mobilier	lithique	silex	
PT1066	452831.027169	6760108.400075	66.612390	20-11-2012/13:35:31.0	mobilier	lithique	silex	
PT1067	452831.128707	6760107.576916	66.518758	20-11-2012/13:37:10.0	mobilier	lithique	grès	
PT1068	452829.845991	6760104.707758	66.503758	20-11-2012/13:38:16.0	mobilier	lithique	silex	
PT1069	452830.835887	6760106.784232	66.506929	20-11-2012/13:38:32.0	mobilier	lithique	silex	
PT1070	452829.705652	6760105.288750	66.493379	20-11-2012/13:40:52.0	mobilier	lithique	silex	
PT1071	452829.569569	6760106.033087	66.535140	20-11-2012/13:41:03.0	mobilier	lithique	silex	
PT1072	452829.484649	6760105.227560	66.471703	20-11-2012/13:43:21.0	mobilier	lithique	silex	
PT1073	452827.701158	6760105.989457	66.425231	20-11-2012/13:45:37.0	mobilier	lithique	silex	
PT1074	452827.640047	6760107.571960	66.501015	20-11-2012/13:45:49.0	mobilier	lithique	grès	
PT1075	452832.840904	6760110.756462	66.724333	20-11-2012/13:47:18.0	mobilier	lithique	silex	
PT1076	452833.577307	6760111.249431	66.756765	20-11-2012/13:47:36.0	mobilier	lithique	silex	
PT1077	452829.546639	6760104.649699	66.421349	20-11-2012/13:47:54.0	mobilier	lithique	silex	
PT1078	452829.321741	6760107.621308	66.531157	20-11-2012/13:48:09.0	mobilier	lithique	silex	
PT1079	452828.949184	6760108.311026	66.569069	20-11-2012/13:48:26.0	mobilier	lithique	silex	
PT1080	452832.704952	6760113.357255	66.763088	20-11-2012/13:49:55.0	mobilier	lithique	silex	
PT1081	452833.873788	6760113.711689	66.726724	20-11-2012/13:50:14.0	mobilier	lithique	silex	
PT1082	452828.000621	6760106.555299	66.441718	20-11-2012/13:50:34.0	mobilier	lithique	silex	
PT1083	452829.223469	6760108.231742	66.488791	20-11-2012/13:52:05.0	mobilier	lithique	silex	
PT1084	452829.206350	6760105.543894	66.389984	20-11-2012/13:52:20.0	mobilier	lithique	silex	
PT1085	452833.458608	6760113.460875	66.632361	20-11-2012/13:53:18.0	mobilier	lithique	silex	
PT1086	452830.692939	6760106.746407	66.335026	20-11-2012/13:54:04.0	mobilier	lithique	silex	
PT1087	452831.588752	6760110.259591	66.630635	20-11-2012/13:55:53.0	mobilier	lithique	silex	
PT1088	452831.522701	6760111.852726	66.677319	20-11-2012/13:56:16.0	mobilier	lithique	silex	
PT1089	452833.638891	6760111.882924	66.631799	20-11-2012/13:56:40.0	mobilier	lithique	silex	
PT1090	452833.305564	6760112.106294	66.648444	20-11-2012/13:56:59.0	mobilier	lithique	silex	
PT1091	452828.204159	6760106.467993	66.369260	20-11-2012/13:57:19.0	mobilier	lithique	silex	
PT1092	452827.524503	6760107.693888	66.427188	20-11-2012/13:57:37.0	mobilier	lithique	silex	
PT1093	452829.967773	6760107.602319	66.446184	20-11-2012/13:57:50.0	mobilier	lithique	silex	
PT1094	452831.809653	6760113.760884	66.680626	20-11-2012/13:59:53.0	mobilier	lithique	silex	
PT1095	452833.228904	6760112.883451	66.605140	20-11-2012/14:00:15.0	mobilier	lithique	silex	
PT1096	452833.130015	6760112.029549	66.620567	20-11-2012/14:00:33.0	mobilier	lithique	silex	
PT1097	452834.859647	6760111.497788	66.530971	20-11-2012/14:00:55.0	mobilier	lithique	silex	
PT1098	452831.598655	6760110.984915	66.625356	20-11-2012/14:01:15.0	mobilier	lithique	silex	
PT1099	452826.855754	6760108.511504	66.381215	20-11-2012/14:01:33.0	mobilier	lithique	silex	
PT1100	452828.744709	6760105.504248	66.289773	20-11-2012/14:01:49.0	mobilier	lithique	silex	
PT1101	452829.103453	6760107.706552	66.411344	20-11-2012/14:02:04.0	mobilier	lithique	silex	
PT1102	452829.239176	6760107.787204	66.413145	20-11-2012/14:02:12.0	mobilier	lithique	silex	
PT1103	452831.323200	6760113.610992	66.666599	20-11-2012/14:02:30.0	mobilier	lithique	silex	
PT1104	452832.189567	6760111.532921	66.587861	20-11-2012/14:05:31.0	mobilier	lithique	silex	
PT1105	452832.322248	6760111.813573	66.596998	20-11-2012/14:05:50.0	mobilier	lithique	silex	
PT1106	452826.930877	6760108.304194	66.284837	20-11-2012/14:06:21.0	mobilier	lithique	silex	
PT1107	452826.966543	6760108.085926	66.296222	20-11-2012/14:06:32.0	mobilier	lithique	silex	
PT1108	452827.104287	6760106.963634	66.285557	20-11-2012/14:06:46.0	mobilier	lithique	silex	
PT1109	452827.208973	6760106.830401	66.286344	20-11-2012/14:07:00.0	mobilier	lithique	silex	
PT1110	452826.876253	6760108.092992	66.286143	20-11-2012/14:07:15.0	mobilier	lithique	silex	
PT1111	452835.188920	6760112.204856	66.429710	20-11-2012/14:07:45.0	mobilier	lithique	silex	
PT1112	452834.888584	6760110.535944	66.508165	20-11-2012/14:08:15.0	mobilier	lithique	silex	
PT1113	452827.502002	6760106.480475	66.147858	20-11-2012/14:10:08.0	mobilier	lithique	silex	
PT1114	452833.107247	6760112.362751	66.544825	20-11-2012/14:11:04.0	mobilier	lithique	silex	
PT1115	452833.672630	6760113.236800	66.534978	20-11-2012/14:11:20.0	mobilier	lithique	silex	
PT1116	452831.610962	6760112.168096	66.547595	20-11-2012/14:13:42.0	mobilier	lithique	silex	
PT1117	452831.630453	6760113.487754	66.561909	20-11-2012/14:14:08.0	mobilier	lithique	silex	
PT1118	452832.487994	6760112.059524	66.497731	20-11-2012/14:17:50.0	mobilier	lithique	silex	
PT1119	452832.339822	6760110.410356	66.431744	20-11-2012/14:20:39.0	mobilier	lithique	silex	
PT1120	452832.929701	6760111.223997	66.419554	20-11-2012/14:23:58.0	mobilier	lithique	silex	
PT1121	452832.635511	6760112.578173	66.388014	20-11-2012/14:24:13.0	mobilier	lithique	silex	
PT1122	452826.450994	6760098.435516	66.783131	20-11-2012/14:25:30.0	mobilier	lithique	silex	
PT1123	452826.599319	6760098.396463	66.773339	20-11-2012/14:25:43.0	mobilier	lithique	silex	
PT1124	452827.057191	6760094.976517	66.724233	20-11-2012/14:26:31.0	mobilier	lithique	silex	
PT1125	452827.923267	6760097.381993	66.818801	20-11-2012/14:26:49.0	vrac mobilier	point central		BD5_L1
PT1126	452832.385833	6760112.689756	66.343549	20-11-2012/14:27:24.0	mobilier	lithique	silex	
PT1127	452832.500458	6760112.784896	66.347378	20-11-2012/14:27:40.0	mobilier	lithique	silex	
PT1128	452827.377565	6760096.878973	66.762714	20-11-2012/14:28:02.0	mobilier	lithique	silex	
PT1129	452831.748814	6760111.677393	66.343035	20-11-2012/14:30:08.0	mobilier	lithique	silex	
PT1130	452832.629132	6760111.490494	66.339560	20-11-2012/14:30:30.0	mobilier	lithique	silex	
PT1131	452832.091520	6760113.472510	66.312917	20-11-2012/14:30:50.0	mobilier	lithique	silex	
PT1132	452827.595538	6760096.062805	66.671650	20-11-2012/14:31:12.0	mobilier	lithique	silex	
PT1133	452827.060041	6760096.789057	66.681392	20-11-2012/14:31:25.0	mobilier	lithique	silex	
PT1134	452829.646454	6760097.042657	66.693801	20-11-2012/14:31:37.0	mobilier	lithique	silex	
PT1135	452832.308414	6760111.117317	66.309283	20-11-2012/14:33:03.0	mobilier	lithique	silex	
PT1136	452831.518875	6760111.170697	66.335037	20-11-2012/14:33:17.0	mobilier	lithique	silex	
PT1137	452828.882618	6760095.866465	66.734102	20-11-2012/14:33:31.0	mobilier	lithique	silex	
PT1138	452833.656608	6760110.485880	66.195661	20-11-2012/14:36:01.0	mobilier	lithique	silex	
PT1139	452832.666559	6760110.701004	66.247553	20-11-2012/14:36:33.0	mobilier	lithique	silex	
PT1140	452831.464886	6760113.117217	66.250476	20-11-2012/14:36:49.0	mobilier	lithique	silex	
PT1141	452826.269686	6760099.202707	66.621800	20-11-2012/14:37:07.0	mobilier	lithique	silex	
PT1142	452826.442037	6760098.986941	66.623171	20-11-2012/14:37:20.0	mobilier	lithique	silex	
PT1143	452827.472662	6760096.868632	66.614489	20-11-2012/14:37:32.0	mobilier	lithique	silex	
PT1144	452827.565378	6760096.384551	66.632506	20-11-2012/14:37:45.0	mobilier	lithique	silex	
PT1145	452826.904403	6760095.539904	66.619781	20-11-2012/14:38:03.0	mobilier	lithique	silex	
PT1146	452832.037090	6760111.614521	66.229842	20-11-2012/14:39:40.0	mobilier	lithique	silex	
PT1147	452826.540618	6760097.244486	66.596130	20-11-2012/14:40:35.0	mobilier	lithique	silex	
PT1148	452825.811041	6760099.170318	66.575747	20-11-2012/14:40:51.0	mobilier	lithique	silex	
PT1149	452825.947106	6760095.901419	66.643030	20-11-2012/14:42:51.0	mobilier	lithique	silex	
PT1150	452840.358569	6760114.191614	66.764810	20-11-2012/14:44:00.0	mobilier	lithique	silex	
PT1151	452840.545451	6760114.173860	66.749342	20-11-2012/14:44:23.0	mobilier	lithique	silex	
PT1152	452844.210035	6760113.433401	66.759420	20-11-2012/14:45:09.0	mobilier	lithique	silex	
PT1153	452840.022255	6760110.531442	66.837386	20-11-2012/14:48:52.0	mobilier	lithique	silex	
PT1154	452839.078583	6760111.631362	66.831700	20-11-2012/14:49:22.0	mobilier	lithique	silex	
PT1155	452830.006856	6760102.960393	66.785590	20-11-2012/14:49:51.0	mobilier	lithique	silex	
PT1156	452829.965496	6760102.189904	66.820115	20-11-2012/14:50:10.0	vrac mobilier	point central		BD4_L2
PT1157	452838.794595	6760113.321997	66.818805	20-11-2012/14:51:40.0	mobilier	lithique	silex	
PT1158	452831.298125	6760103.451054	66.595342	20-11-2012/14:53:16.0	mobilier	lithique	silex	
PT1159	452829.043616	6760102.468599	66.627528	20-11-2012/14:54:30.0	mobilier	lithique	silex	
PT1160	452838.607432	6760112.562627	66.762090	20-11-2012/14:54:46.0	mobilier	lithique	silex	
PT1161	452840.022894	6760110.880340	66.634914	20-11-2012/14:57:11.0	mobilier	lithique	silex	
PT1162	452837.654785	6760111.918987	66.763908	20-11-2012/14:57:29.0	mobilier	lithique	silex	
PT1163	452830.362589	6760102.444671	66.546464	20-11-2012/14:57:42.0	mobilier	lithique	silex	
PT1164	452830.043750	6760103.274831	66.525816	20-11-2012/14:59:10.0	mobilier	lithique	silex	
PT1165	452830.195062	6760103.270157	66.542940	20-11-2012/14:59:22.0	mobilier	lithique	silex	
PT1166	452828.476337	6760102.989649	66.592139	20-11-2012/15:00:37.0	mobilier	lithique	silex	
PT1167	452839.878107	6760111.458921	66.599343	20-11-2012/15:01:31.0	mobilier	lithique	silex	
PT1168	452839.674455	6760111.729102	66.612648	20-11-2012/15:01:50.0	mobilier	lithique	silex	
PT1169	452839.898246	6760112.057764	66.636221	20-11-2012/15:02:10.0	mobilier	lithique	silex	
PT1170	452839.950939	6760111.956862	66.632058	20-11-2012/15:02:25.0	mobilier	lithique	silex	
PT1171	452840.013799	6760111.977311	66.625716	20-11-2012/15:02:38.0	mobilier	lithique	silex	
PT1172	452837.201997	6760112.088318	66.717595	20-11-2012/15:03:00.0	mobilier	lithique	silex	
PT1173	452839.735630	6760111.356233	66.564688	20-11-2012/15:07:29.0	mobilier	lithique	silex	
PT1174	452839.955505	6760111.939984	66.610455	20-11-2012/15:08:40.0	mobilier	lithique	silex	
PT1175	452839.732739	6760111.811664	66.568652	20-11-2012/15:08:58.0	mobilier	lithique	silex	
PT1176	452838.568642	6760110.779013	66.563157	20-11-2012/15:09:18.0	mobilier	lithique	silex	
PT1177	452838.339291	6760111.261487	66.623506	20-11-2012/15:09:31.0	mobilier	lithique	silex	
PT1178	452830.164571	6760092.326207	66.721263	20-11-2012/15:20:37.0	vrac mobilier	point central		BD6_L1
PT1179	452830.236902	6760092.528362	66.835566	20-11-2012/15:15:46.0	mobilier	lithique	silex	
PT1180	452831.834406	6760092.245582	66.686328	20-11-2012/15:16:05.0	mobilier	lithique	grès quartzite	

MATRICULE	X (est)	Y (nord)	Z (alti)	DATE	ELEMENT TOPOGRAPHIE	TYPE DE POINT	IDENTIFIANT	DESCRIPTION
PT1181	452828.607053	6760092.003591	66.681775	20-11-2012/15:21:35.0	mobilier	lithique	silex	
PT1182	452828.789142	6760091.912484	66.697738	20-11-2012/15:21:48.0	mobilier	lithique	silex	
PT1183	452831.116114	6760093.096809	66.724585	20-11-2012/15:22:04.0	mobilier	lithique	silex	
PT1184	452832.053491	6760090.706610	66.705084	20-11-2012/15:22:21.0	mobilier	lithique	grès quartzite	
PT1185	452829.860748	6760094.334232	66.610062	20-11-2012/15:24:43.0	mobilier	lithique	silex	
PT1186	452830.368249	6760094.057234	66.614113	20-11-2012/15:24:54.0	mobilier	lithique	silex	
PT1187	452831.585727	6760094.241003	66.620324	20-11-2012/15:25:05.0	mobilier	lithique	silex	
PT1188	452846.938172	6760114.534468	66.797078	20-11-2012/15:31:33.0	mobilier	lithique	silex	
PT1189	452846.185501	6760114.426766	66.773997	20-11-2012/15:32:11.0	mobilier	lithique	silex	
PT1190	452845.240148	6760114.107399	66.817296	20-11-2012/15:32:49.0	mobilier	lithique	silex	
PT1191	452844.686664	6760114.781749	66.745079	20-11-2012/15:33:09.0	mobilier	lithique	silex	
PT1192	452842.163161	6760117.139359	66.694239	20-11-2012/15:33:37.0	mobilier	lithique	silex	
PT1193	452842.185159	6760117.554250	66.686732	20-11-2012/15:33:56.0	mobilier	lithique	silex	
PT1194	452832.001210	6760087.028417	66.765608	20-11-2012/15:34:54.0	mobilier	lithique	silex	
PT1195	452831.370309	6760086.415462	66.814974	20-11-2012/15:35:25.0	vrac mobilier	point central		BD7 L1
PT1196	452843.546748	6760118.369050	66.734098	20-11-2012/15:36:38.0	mobilier	lithique	silex	
PT1197	452842.413622	6760118.946644	66.671051	20-11-2012/15:37:43.0	mobilier	lithique	silex	
PT1198	452842.001524	6760119.774796	66.673297	20-11-2012/15:38:12.0	mobilier	lithique	silex	
PT1199	452843.291063	6760120.145773	66.739403	20-11-2012/15:38:35.0	mobilier	lithique	silex	
PT1200	452831.157171	6760088.400294	66.603700	20-11-2012/15:40:22.0	mobilier	lithique	silex	
PT1201	452830.566881	6760087.760659	66.613633	20-11-2012/15:43:01.0	mobilier	lithique	silex	
PT1202	452830.743136	6760085.753626	66.691210	20-11-2012/15:43:16.0	mobilier	lithique	silex	
PT1203	452830.716222	6760085.317396	66.704028	20-11-2012/15:43:27.0	mobilier	lithique	silex	
PT1204	452831.031108	6760085.291577	66.706236	20-11-2012/15:43:40.0	mobilier	lithique	silex	
PT1205	452831.130942	6760085.833342	66.687395	20-11-2012/15:43:50.0	mobilier	lithique	silex	
PT1206	452832.109700	6760085.424362	66.741467	20-11-2012/15:44:12.0	mobilier	lithique	silex	
PT1207	452838.191795	6760113.588021	66.567203	20-11-2012/15:44:39.0	mobilier	lithique	silex	
PT1208	452838.264965	6760113.573125	66.569068	20-11-2012/15:44:53.0	mobilier	lithique	silex	
PT1209	452838.797213	6760110.946810	66.471028	20-11-2012/15:45:20.0	mobilier	lithique	silex	
PT1210	452837.391462	6760111.473238	66.474567	20-11-2012/15:45:42.0	mobilier	lithique	silex	
PT1211	452836.977359	6760111.803176	66.480339	20-11-2012/15:46:00.0	mobilier	lithique	silex	
PT1212	452829.920619	6760083.994000	66.637767	20-11-2012/15:47:47.0	mobilier	lithique	silex	
PT1213	452830.959970	6760084.945525	66.649840	20-11-2012/15:48:03.0	mobilier	lithique	silex	
PT1214	452838.817009	6760112.458206	66.481282	20-11-2012/15:49:41.0	mobilier	lithique	silex	
PT1215	452837.389709	6760112.986467	66.552364	20-11-2012/15:50:06.0	mobilier	lithique	silex	
PT1216	452837.636683	6760113.684153	66.548288	20-11-2012/15:50:18.0	mobilier	lithique	silex	
PT1217	452830.804501	6760084.774038	66.511744	20-11-2012/15:50:36.0	mobilier	lithique	silex	
PT1218	452831.989108	6760084.412912	66.517044	20-11-2012/15:51:57.0	mobilier	lithique	silex	
PT1219	452832.052344	6760084.396234	66.508589	20-11-2012/15:52:07.0	mobilier	lithique	silex	
PT1220	452832.139447	6760084.350198	66.526118	20-11-2012/15:52:19.0	mobilier	lithique	silex	
PT1221	452838.055077	6760112.711082	66.445652	20-11-2012/15:53:41.0	mobilier	lithique	silex	
PT1222	452838.869708	6760112.797907	66.404707	20-11-2012/15:53:59.0	mobilier	lithique	silex	
PT1223	452837.070585	6760112.888697	66.384364	20-11-2012/15:56:03.0	mobilier	lithique	silex	
PT1224	452835.795851	6760109.434223	67.016363	20-11-2012/16:00:51.0	mobilier	lithique	silex	
PT1225	452836.325373	6760109.783301	67.054582	20-11-2012/16:01:05.0	mobilier	lithique	silex	
PT1226	452836.704775	6760109.485351	67.054627	20-11-2012/16:01:17.0	mobilier	lithique	silex	
PT1227	452836.059011	6760107.382814	66.887561	20-11-2012/16:02:54.0	mobilier	lithique	silex	
PT1228	452836.037835	6760108.654784	66.909517	20-11-2012/16:03:16.0	mobilier	lithique	silex	
PT1229	452837.361908	6760107.852035	66.827624	20-11-2012/16:04:27.0	mobilier	lithique	silex	
PT1230	452841.910492	6760120.351507	66.679238	20-11-2012/16:04:55.0	mobilier	lithique	silex	
PT1231	452841.941097	6760120.357307	66.689414	20-11-2012/16:05:28.0	mobilier	lithique	silex	
PT1232	452843.547937	6760116.298849	66.564867	20-11-2012/16:06:06.0	mobilier	lithique	silex	
PT1233	452836.878279	6760108.991551	66.762585	20-11-2012/16:06:39.0	mobilier	lithique	silex	
PT1234	452843.671609	6760119.004323	66.612994	20-11-2012/16:09:41.0	mobilier	lithique	silex	
PT1235	452842.312929	6760117.738908	66.549675	20-11-2012/16:09:59.0	mobilier	lithique	silex	
PT1236	452843.210274	6760115.615113	66.541488	20-11-2012/16:10:13.0	mobilier	lithique	silex	
PT1237	452834.977034	6760106.782677	66.651822	20-11-2012/16:10:47.0	mobilier	lithique	silex	
PT1238	452835.063270	6760109.277447	66.678977	20-11-2012/16:11:00.0	mobilier	lithique	silex	
PT1239	452834.412917	6760109.850317	66.722059	20-11-2012/16:11:11.0	mobilier	lithique	silex	
PT1240	452836.148559	6760109.850299	66.640830	20-11-2012/16:12:16.0	mobilier	lithique	silex	
PT1241	452843.705012	6760119.609104	66.605968	20-11-2012/16:12:43.0	mobilier	lithique	silex	
PT1242	452843.237945	6760118.967457	66.564616	20-11-2012/16:13:01.0	mobilier	lithique	silex	
PT1243	452835.385501	6760109.352615	66.622906	20-11-2012/16:13:44.0	mobilier	lithique	silex	
PT1244	452834.776842	6760109.671541	66.642256	20-11-2012/16:13:57.0	mobilier	lithique	silex	
PT1245	452834.604203	6760109.824703	66.666568	20-11-2012/16:14:08.0	mobilier	lithique	silex	
PT1246	452835.800890	6760107.947779	66.515849	20-11-2012/16:16:26.0	mobilier	lithique	silex	
PT1247	452835.033532	6760107.710764	66.528551	20-11-2012/16:16:38.0	mobilier	lithique	silex	
PT1248	452834.926987	6760107.724168	66.527099	20-11-2012/16:16:47.0	mobilier	lithique	silex	
PT1249	452836.451567	6760107.914126	66.536061	20-11-2012/16:17:04.0	vrac mobilier	point central		BD3 L3
PT1250	452843.112867	6760118.167170	66.424098	20-11-2012/16:18:04.0	vrac mobilier	point central		BD1 L5 nord
PT1251	452839.523712	6760112.087615	66.165071	20-11-2012/16:18:48.0	vrac mobilier	point central		BD2 L4
PT1252	452842.883407	6760114.428570	66.636034	20-11-2012/16:19:56.0	mobilier	lithique	silex	
PT1253	452842.711491	6760114.432537	66.647751	20-11-2012/16:20:15.0	mobilier	lithique	silex	
PT1254	452842.617428	6760114.378340	66.643346	20-11-2012/16:20:29.0	mobilier	lithique	silex	
PT1255	452834.995695	6760109.608222	66.556495	20-11-2012/16:20:43.0	mobilier	lithique	silex	
PT1256	452836.412752	6760110.015845	66.501908	20-11-2012/16:20:56.0	mobilier	lithique	silex	
PT1257	452837.594639	6760108.614248	66.402703	20-11-2012/16:22:57.0	mobilier	lithique	silex	
PT1258	452834.286582	6760109.962332	66.488314	20-11-2012/16:25:44.0	mobilier	lithique	silex	
PT1259	452835.583763	6760108.247999	66.375390	20-11-2012/16:27:16.0	mobilier	lithique	silex	
PT1260	452837.519918	6760103.961223	66.903694	20-11-2012/16:36:33.0	mobilier	lithique	silex	
PT1261	452837.913680	6760104.803329	66.875931	20-11-2012/16:37:20.0	mobilier	lithique	silex	
PT1262	452837.618773	6760103.239150	66.843790	20-11-2012/16:40:45.0	mobilier	lithique	silex	
PT1263	452842.691198	6760112.325336	67.022119	20-11-2012/16:42:31.0	mobilier	lithique	silex	
PT1264	452843.827807	6760110.593069	66.961324	20-11-2012/16:43:00.0	mobilier	lithique	silex	
PT1265	452835.970090	6760102.790733	66.757885	20-11-2012/16:45:28.0	vrac mobilier	point central		BD4 L3
PT1266	452837.301494	6760102.770819	66.735777	20-11-2012/16:45:49.0	mobilier	lithique	silex	
PT1267	452837.855128	6760103.401982	66.767570	20-11-2012/16:46:02.0	mobilier	lithique	silex	
PT1268	452837.752873	6760103.473319	66.753689	20-11-2012/16:46:13.0	mobilier	lithique	silex	
PT1269	452837.833705	6760103.471215	66.756852	20-11-2012/16:46:23.0	mobilier	lithique	silex	
PT1270	452837.292790	6760104.150723	66.781650	20-11-2012/16:46:35.0	mobilier	lithique	silex	
PT1271	452842.924453	6760110.848068	66.912426	20-11-2012/16:48:16.0	mobilier	lithique	silex	
PT1272	452845.551482	6760113.486937	66.750845	20-11-2012/16:48:56.0	mobilier	lithique	silex	
PT1273	452836.842826	6760102.416268	66.669018	20-11-2012/16:49:16.0	mobilier	lithique	silex	
PT1274	452836.688429	6760104.621582	66.616440	20-11-2012/16:50:45.0	mobilier	lithique	silex	
PT1275	452846.748530	6760114.479239	66.713065	20-11-2012/16:52:47.0	mobilier	lithique	silex	
PT1276	452834.192196	6760103.149271	66.604292	20-11-2012/16:53:14.0	mobilier	lithique	silex	
PT1277	452837.387089	6760104.885592	66.627269	20-11-2012/16:53:30.0	mobilier	lithique	silex	
PT1278	452837.130241	6760104.968396	66.644158	20-11-2012/16:53:49.0	mobilier	lithique	silex	
PT1279	452837.623251	6760104.718889	66.630300	20-11-2012/16:54:04.0	mobilier	lithique	silex	
PT1280	452842.446304	6760112.542636	66.793913	20-11-2012/16:56:53.0	mobilier	céramique		
PT1281	452843.354798	6760111.104499	66.765762	20-11-2012/16:57:15.0	mobilier	lithique	silex	
PT1282	452848.422216	6760115.533765	66.579252	21-11-2012/08:34:40.0	mobilier	lithique	silex	
PT1283	452848.293665	6760115.371463	66.597501	21-11-2012/08:34:55.0	mobilier	lithique	silex	
PT1284	452843.014233	6760111.591812	66.661358	21-11-2012/08:35:55.0	mobilier	lithique	silex	
PT1285	452842.947843	6760111.601176	66.663507	21-11-2012/08:36:11.0	mobilier	lithique	silex	
PT1286	452842.835583	6760111.594151	66.666298	21-11-2012/08:36:23.0	mobilier	lithique	silex	
PT1287	452842.782348	6760111.770769	66.667259	21-11-2012/08:36:37.0	mobilier	lithique	silex	
PT1288	452842.718836	6760111.857169	66.665679	21-11-2012/08:36:50.0	mobilier	lithique	silex	
PT1289	452842.613127	6760111.861412	66.651433	21-11-2012/08:37:17.0	mobilier	lithique	silex	
PT1290	452832.772946	6760098.039369	66.970778	21-11-2012/08:42:09.0	mobilier	lithique	silex	
PT1291	452848.678036	6760115.295095	66.535498	21-11-2012/08:45:39.0	mobilier	lithique	silex	
PT1292	452848.344588	6760115.342253	66.556661	21-11-2012/08:46:04.0	mobilier	lithique	silex	
PT1293	452848.290582	6760115.210998	66.565302	21-11-2012/08:46:15.0	mobilier	lithique	silex	
PT1294	452848.086737	6760115.652356	66.601509	21-11-2012/08:46:29.0	mobilier	lithique	silex	
PT1295	452841.889817	6760110.840761	66.530298	21-11-2012/08:46:53.0	mobilier	lithique	silex	
PT1296	452842.423846	6760111.761867	66.521644	21-11-2012/08:47:11.0	mobilier	lithique	silex	
PT1297	452833.062299	6760099.421916	66.847196	21-11-2012/08:50:07.0	mobilier	lithique	silex	
PT1298	452835.212872	6760097.483633	66.852774	21-11-2012/08:50:27.0	vrac mobilier	point central		BD5 L2/3
PT1299	452831.720005	6760099.562049	66.854579	21-11-2012/08:52:40.0	mobilier	lithique	silex	
PT1300	452831.395197	6760097.299675	66.788646	21-11-2012/08:53:05.0	mobilier	lithique	silex	
PT1301	452832.856554	6760096.226886	66.875257	21-11-2012/08:53:19.0	mobilier	lithique	silex	
PT1302	452848.173758	6760115.465764	66.551052	21-11-2012/08:53:48.0	mobilier	lithique	silex	
PT1303	452848.235766	6760115.356832	66.555482	21-11-2012/08:54:07.0	mobilier	lithique	silex	
PT1304	452847.953822	6760115.774809	66.581205	21-11-2012/08:54:29.0	mobilier	lithique	silex	
PT1305	452833.180459	6760097.134404	66.806292	21-11-2012/08:56:22.0	mobilier	lithique	silex	
PT1306	452850.556033	6760115.633040	66.494494	21-11-2012/09:00:01.0	mobilier	lithique	silex	
PT1307	452846.219998	6760114.666328	66.525301	21-11-2012/09:00:28.0	mobilier	lithique	silex	
PT1308	452847.954125	6760114.722822	66.390457	21-11-2012/09:07:22.0	vrac mobilier	point central		BD1 L6
PT1309	452850.030133	6760109.347472	67.107261	21-11-2012/09:10:06.0	mobilier	lithique	silex	
PT1310	452835.197550	6760096.014338	66.588744	21-11-2012/09:11:08.0	mobilier	lithique	silex	

MATRICULE	X (est)	Y (nord)	Z (alti)	DATE	ÉLÉMENT TOPOGRAPHIÉ	TYPE DE POINT	IDENTIFIANT	DESCRIPTION
PT1311	452848.520983	6760109.366207	67.083810	21-11-2012/09:12:36.0	mobilier	lithique	silex	
PT1312	452848.021483	6760111.147544	67.004087	21-11-2012/09:14:34.0	mobilier	lithique	silex	
PT1313	452847.523449	6760111.202014	67.014608	21-11-2012/09:17:04.0	mobilier	lithique	silex	
PT1314	452849.985924	6760111.647155	66.878657	21-11-2012/09:19:28.0	mobilier	lithique	silex	
PT1315	452849.394508	6760111.088755	66.848215	21-11-2012/09:22:11.0	mobilier	lithique	silex	
PT1316	452849.411042	6760109.881729	66.889949	21-11-2012/09:22:28.0	mobilier	lithique	silex	
PT1317	452847.910619	6760109.412236	66.925516	21-11-2012/09:22:43.0	mobilier	lithique	silex	
PT1318	452849.944477	6760111.748358	66.814452	21-11-2012/09:26:32.0	mobilier	lithique	silex	
PT1319	452849.719889	6760109.923125	66.858686	21-11-2012/09:26:57.0	mobilier	lithique	silex	
PT1320	452847.997689	6760109.831012	66.906433	21-11-2012/09:27:13.0	mobilier	lithique	silex	
PT1321	452849.393345	6760109.940927	66.801531	21-11-2012/09:29:38.0	mobilier	lithique	silex	
PT1322	452849.109834	6760109.200491	66.830002	21-11-2012/09:29:56.0	mobilier	lithique	silex	
PT1323	452848.152514	6760109.563166	66.881663	21-11-2012/09:30:11.0	mobilier	lithique	silex	
PT1325	452838.131987	6760093.183414	66.910404	21-11-2012/09:32:27.0	mobilier	lithique	grès	
PT1326	452838.313065	6760092.961373	66.846027	21-11-2012/09:32:44.0	mobilier	lithique	silex	
PT1327	452847.340500	6760112.440558	66.898674	21-11-2012/09:33:57.0	mobilier	lithique	silex	
PT1328	452847.725771	6760109.835703	66.826345	21-11-2012/09:34:31.0	mobilier	lithique	silex	
PT1329	452847.956641	6760109.266638	66.831949	21-11-2012/09:34:46.0	mobilier	lithique	silex	
PT1330	452838.043543	6760093.298706	66.910663	21-11-2012/09:36:46.0	mobilier	lithique	silex	
PT1331	452838.100682	6760093.221927	66.901279	21-11-2012/09:36:57.0	mobilier	lithique	silex	
PT1332	452849.301657	6760111.064540	66.800930	21-11-2012/09:37:12.0	mobilier	lithique	silex	
PT1333	452849.252757	6760111.054363	66.797687	21-11-2012/09:37:31.0	mobilier	lithique	silex	
PT1334	452846.803310	6760111.159260	66.852432	21-11-2012/09:37:48.0	mobilier	lithique	silex	
PT1335	452847.127596	6760111.964171	66.852053	21-11-2012/09:38:06.0	mobilier	lithique	silex	
PT1336	452838.036004	6760094.794110	66.826467	21-11-2012/09:40:41.0	mobilier	lithique	silex	
PT1337	452836.662312	6760092.741856	66.831785	21-11-2012/09:40:56.0	vrac mobilier	point central		BD6_L2/3
PT1338	452848.997975	6760109.975399	66.729240	21-11-2012/09:54:09.0	mobilier	lithique	silex	concentration
PT1339	452833.393726	6760093.854311	66.816026	21-11-2012/09:50:54.0	mobilier	lithique	silex	
PT1340	452833.209599	6760093.633510	66.851102	21-11-2012/09:51:07.0	mobilier	lithique	silex	
PT1341	452833.161610	6760093.739248	66.772533	21-11-2012/09:51:45.0	mobilier	lithique	silex	
PT1342	452833.121591	6760093.438498	66.817379	21-11-2012/09:51:58.0	mobilier	lithique	quartzite	
PT1343	452833.444130	6760093.659418	66.776419	21-11-2012/09:52:13.0	mobilier	lithique	grès quartzite	
PT1344	452833.746013	6760093.717031	66.758724	21-11-2012/09:52:24.0	mobilier	lithique	grès	
PT1345	452834.117385	6760093.919178	66.782865	21-11-2012/09:52:36.0	mobilier	lithique	grès	
PT1346	452834.181377	6760093.513231	66.753496	21-11-2012/09:52:49.0	mobilier	lithique	silex	
PT1347	452849.205435	6760110.043715	66.712675	21-11-2012/09:54:38.0	mobilier	lithique	silex	
PT1348	452849.162738	6760110.047892	66.718026	21-11-2012/09:54:59.0	mobilier	lithique	silex	
PT1349	452849.076796	6760110.035982	66.719671	21-11-2012/09:55:13.0	mobilier	lithique	silex	
PT1350	452849.036265	6760110.040186	66.728550	21-11-2012/09:55:25.0	mobilier	lithique	silex	
PT1351	452849.000893	6760110.095899	66.723015	21-11-2012/09:55:40.0	mobilier	lithique	silex	
PT1352	452848.942232	6760110.001247	66.725095	21-11-2012/09:55:56.0	mobilier	lithique	silex	
PT1353	452849.084670	6760110.113440	66.719181	21-11-2012/09:56:08.0	mobilier	lithique	silex	
PT1354	452849.123871	6760110.085043	66.721215	21-11-2012/09:56:24.0	mobilier	lithique	silex	
PT1355	452848.850495	6760109.829729	66.736879	21-11-2012/09:56:38.0	mobilier	lithique	silex	
PT1356	452836.255755	6760093.568233	66.607855	21-11-2012/10:01:41.0	mobilier	lithique	silex	
PT1357	452838.818844	6760087.759609	66.925363	21-11-2012/10:31:05.0	mobilier	lithique	silex	
PT1358	452838.569603	6760087.994124	66.946153	21-11-2012/10:31:17.0	mobilier	lithique	silex	
PT1359	452847.285245	6760110.678169	66.823616	21-11-2012/10:36:53.0	mobilier	lithique	silex	
PT1360	452846.800392	6760110.163872	66.819231	21-11-2012/10:37:07.0	mobilier	lithique	silex	
PT1361	452846.905278	6760110.017076	66.802020	21-11-2012/10:37:20.0	mobilier	lithique	silex	
PT1362	452848.559903	6760110.358303	66.769093	21-11-2012/10:37:35.0	mobilier	lithique	silex	
PT1363	452848.636784	6760110.213998	66.752648	21-11-2012/10:37:52.0	mobilier	lithique	silex	
PT1364	452848.659007	6760109.802307	66.736925	21-11-2012/10:38:34.0	mobilier	lithique	silex	
PT1365	452847.485396	6760109.218210	66.773835	21-11-2012/10:38:49.0	mobilier	lithique	silex	
PT1366	452847.727084	6760108.977397	66.779412	21-11-2012/10:39:03.0	mobilier	lithique	silex	
PT1367	452847.938298	6760109.017789	66.780185	21-11-2012/10:39:17.0	mobilier	lithique	silex	
PT1368	452838.134038	6760088.678073	66.922451	21-11-2012/10:39:42.0	mobilier	lithique	silex	
PT1369	452838.413272	6760088.221699	66.888407	21-11-2012/10:39:57.0	mobilier	lithique	silex	
PT1370	452838.443793	6760086.486719	66.845373	21-11-2012/10:40:19.0	mobilier	lithique	silex	
PT1371	452838.877936	6760085.936998	66.879530	21-11-2012/10:40:35.0	mobilier	lithique	silex	
PT1372	452838.360780	6760086.010514	66.883512	21-11-2012/10:40:47.0	mobilier	lithique	silex	
PT1373	452838.430406	6760085.798771	66.872522	21-11-2012/10:41:11.0	mobilier	lithique	silex	
PT1374	452835.302846	6760088.289560	66.935675	21-11-2012/10:41:32.0	mobilier	lithique	silex	
PT1375	452834.079700	6760088.327898	66.983985	21-11-2012/10:41:46.0	mobilier	lithique	silex	
PT1376	452834.302440	6760089.921207	67.012627	21-11-2012/10:42:00.0	mobilier	lithique	silex	
PT1377	452835.203413	6760088.231112	66.791572	21-11-2012/10:42:38.0	mobilier	lithique	grès	
PT1378	452836.482732	6760087.125676	66.869275	21-11-2012/10:44:09.0	vrac mobilier	point central		BD7_L2/3
PT1379	452838.403819	6760089.322135	66.874568	21-11-2012/10:47:08.0	mobilier	lithique	silex	
PT1380	452835.122660	6760089.504404	66.976406	21-11-2012/10:47:33.0	mobilier	lithique	silex	
PT1381	452835.267793	6760089.194207	66.868823	21-11-2012/10:47:45.0	mobilier	lithique	silex	
PT1382	452834.592426	6760087.754460	66.902655	21-11-2012/10:48:03.0	mobilier	lithique	silex	
PT1383	452833.932873	6760086.814615	66.893064	21-11-2012/10:48:18.0	mobilier	lithique	silex	
PT1384	452834.077422	6760087.575724	66.869260	21-11-2012/10:53:31.0	mobilier	lithique	silex	
PT1385	452834.014910	6760087.490965	66.833265	21-11-2012/10:57:15.0	mobilier	lithique	silex	
PT1386	452833.994547	6760088.706709	66.891325	21-11-2012/10:57:31.0	mobilier	lithique	silex	
PT1387	452835.849179	6760086.415228	66.847276	21-11-2012/10:57:51.0	mobilier	lithique	silex	
PT1388	452837.539950	6760086.736570	66.815598	21-11-2012/10:58:09.0	mobilier	lithique	silex	
PT1389	452837.688762	6760086.398542	66.785629	21-11-2012/10:58:24.0	mobilier	lithique	silex	
PT1390	452838.104627	6760086.292921	66.760558	21-11-2012/10:58:38.0	mobilier	lithique	silex	
PT1391	452838.977678	6760086.085308	66.715745	21-11-2012/10:59:03.0	mobilier	lithique	silex	
PT1392	452834.835385	6760088.237986	66.832758	21-11-2012/11:05:25.0	mobilier	lithique	silex	
PT1393	452834.291693	6760087.357129	66.795044	21-11-2012/11:05:40.0	mobilier	lithique	silex	
PT1394	452833.822129	6760087.233839	66.772280	21-11-2012/11:05:52.0	mobilier	lithique	silex	
PT1395	452834.075211	6760087.456114	66.793986	21-11-2012/11:06:07.0	mobilier	lithique	silex	
PT1396	452833.966799	6760088.069917	66.798437	21-11-2012/11:06:21.0	mobilier	lithique	silex	
PT1397	452834.138384	6760088.448896	66.745176	21-11-2012/11:06:34.0	mobilier	lithique	silex	
PT1398	452837.913318	6760085.968877	66.585426	21-11-2012/11:09:22.0	mobilier	lithique	silex	
PT1399	452837.946978	6760085.857245	66.585172	21-11-2012/11:09:43.0	mobilier	lithique	silex	
PT1400	452833.648178	6760087.531701	66.772058	21-11-2012/11:11:09.0	mobilier	lithique	silex	
PT1401	452837.476607	6760089.829135	66.713451	21-11-2012/11:12:11.0	mobilier	lithique	silex	
PT1402	452838.453490	6760086.114176	66.577935	21-11-2012/11:12:37.0	mobilier	lithique	silex	
PT1403	452834.277867	6760089.032962	66.740964	21-11-2012/11:14:08.0	mobilier	lithique	silex	
PT1404	452834.031831	6760087.674971	66.709660	21-11-2012/11:14:37.0	mobilier	lithique	silex	
PT1405	452834.089587	6760086.751451	66.630915	21-11-2012/11:16:04.0	mobilier	lithique	silex	
PT1406	452834.435291	6760086.752949	66.675368	21-11-2012/11:16:42.0	mobilier	lithique	silex	
PT1407	452838.663636	6760086.191548	66.490826	21-11-2012/11:17:23.0	mobilier	lithique	silex	
PT1408	452836.587741	6760087.409385	66.702148	21-11-2012/11:21:30.0	mobilier	lithique	silex	
PT1409	452836.599120	6760087.499509	66.708439	21-11-2012/11:21:42.0	mobilier	lithique	silex	
PT1410	452837.025645	6760087.172419	66.714602	21-11-2012/11:21:57.0	mobilier	lithique	silex	
PT1411	452846.680823	6760110.088871	66.784506	21-11-2012/11:22:20.0	mobilier	lithique	silex	
PT1412	452846.561568	6760109.907619	66.794286	21-11-2012/11:22:43.0	mobilier	lithique	silex	
PT1413	452846.765641	6760109.805327	66.771583	21-11-2012/11:23:02.0	mobilier	lithique	silex	
PT1414	452847.158288	6760110.025099	66.774262	21-11-2012/11:23:20.0	mobilier	lithique	silex	
PT1415	452848.943607	6760110.114513	66.683713	21-11-2012/11:23:42.0	mobilier	lithique	silex	
PT1416	452849.002515	6760110.174570	66.686525	21-11-2012/11:23:59.0	mobilier	lithique	silex	
PT1417	452833.666509	6760088.372989	66.698512	21-11-2012/11:25:41.0	mobilier	lithique	silex	
PT1418	452835.667200	6760085.671045	66.569177	21-11-2012/11:26:03.0	mobilier	lithique	silex	
PT1419	452835.810260	6760085.307522	66.589411	21-11-2012/11:26:15.0	mobilier	lithique	silex	
PT1420	452835.818923	6760085.183395	66.610732	21-11-2012/11:26:28.0	mobilier	lithique	silex	
PT1421	452849.131841	6760111.775896	66.751205	21-11-2012/11:28:33.0	mobilier	lithique	silex	
PT1422	452847.367164	6760109.315988	66.731260	21-11-2012/11:28:54.0	mobilier	lithique	silex	
PT1423	452847.088931	6760109.669564	66.733905	21-11-2012/11:29:08.0	mobilier	lithique	silex	
PT1424	452846.963501	6760110.071093	66.749436	21-11-2012/11:29:24.0	mobilier	lithique	silex	
PT1425	452846.663351	6760110.300088	66.749425	21-11-2012/11:29:38.0	mobilier	lithique	silex	
PT1426	452834.169076	6760086.979307	66.597543	21-11-2012/11:30:06.0	mobilier	lithique	silex	
PT1427	452835.291929	6760087.241898	66.650534	21-11-2012/11:30:23.0	mobilier	lithique	silex	
PT1428	452846.129603	6760109.925965	66.648901	21-11-2012/11:33:02.0	mobilier	lithique	silex	
PT1429	452847.012382	6760110.052569	66.722638	21-11-2012/11:33:21.0	mobilier	lithique	silex	
PT1430	452847.116159	6760109.332405	66.684953	21-11-2012/11:33:40.0	mobilier	lithique	silex	
PT1431	452848.974819	6760109.661434	66.622282	21-11-2012/11:33:58.0	mobilier	lithique	silex	
PT1432	452833.563216	6760087.409877	66.599964	21-11-2012/11:34:15.0	mobilier	lithique	silex	
PT1433	452833.549407	6760087.162668	66.606820	21-11-2012/11:34:27.0	mobilier	lithique	silex	
PT1434	452834.799009	6760088.340163	66.624592	21-11-2012/11:34:44.0	mobilier	lithique	silex	
PT1435	452835.115448	6760087.843830	66.590800	21-11-2012/11:34:58.0	mobilier	lithique	silex	
PT1436	452834.365093	6760084.971094	66.477114	21-11-2012/11:35:15.0	mobilier	lithique	silex	
PT1437	452835.745591	6760085.132128	66.503334	21-11-2012/11:35:29.0	mobilier	lithique	silex	
PT1438	452835.991342	6760085.451536	66.488153	21-11-2012/11:35:40.0	mobilier	lithique	silex	
PT1439	452836.449533	6760087.105452	66.545913	21-11-2012/11:35:54.0	mobilier	lithique	silex	
PT1440	452836.966894	6760087.508737	66.515333	21-11-2012/11:36:06.0	mobilier	lithique	silex	
PT1441	452835.316969	6760087.375157	66.511605	21-11-2012/11:38:44.0	mobilier	lithique	silex	

MATRICULE	X (est)	Y (nord)	Z (alti)	DATE	ÉLÉMENT TOPOGRAPHIÉ	TYPE DE POINT	IDENTIFIANT	DESCRIPTION
PT1442	452833.609420	6760086.247268	66.509397	21-11-2012/11:39:05.0	mobilier	lithique	silex	
PT1443	452848.708183	6760111.161198	66.521398	21-11-2012/11:43:45.0	vrac mobilier	point central		BD2_L6
PT1444	452835.318194	6760088.485869	66.530749	21-11-2012/11:44:45.0	mobilier	lithique	silex	
PT1445	452834.890044	6760088.113620	66.508836	21-11-2012/11:45:13.0	mobilier	lithique	silex	
PT1446	452834.968175	6760086.940742	66.476879	21-11-2012/11:45:29.0	mobilier	lithique	silex	
PT1447	452834.795680	6760086.709580	66.464773	21-11-2012/11:45:43.0	mobilier	lithique	silex	
PT1448	452835.980570	6760086.534125	66.473427	21-11-2012/11:45:59.0	mobilier	lithique	silex	
PT1449	452836.147178	6760086.771419	66.472897	21-11-2012/11:46:32.0	mobilier	lithique	silex	
PT1450	452852.045310	6760109.356221	67.173051	21-11-2012/11:47:45.0	mobilier	lithique	silex	
PT1451	452854.855439	6760111.822656	66.991033	21-11-2012/11:50:02.0	mobilier	lithique	silex	
PT1452	452851.599060	6760109.557769	67.080626	21-11-2012/11:50:19.0	mobilier	lithique	silex	
PT1453	452835.427696	6760087.084235	66.467854	21-11-2012/11:50:42.0	mobilier	lithique	silex	
PT1454	452834.764632	6760086.436818	66.470830	21-11-2012/11:51:01.0	mobilier	lithique	silex	
PT1455	452835.343404	6760086.362139	66.465556	21-11-2012/11:51:11.0	mobilier	lithique	silex	
PT1456	452854.501513	6760112.279777	66.935400	21-11-2012/11:54:14.0	mobilier	lithique	silex	
PT1457	452852.370944	6760110.185182	67.011188	21-11-2012/11:54:37.0	mobilier	lithique	silex	
PT1458	452852.377236	6760110.112916	67.012284	21-11-2012/11:55:00.0	mobilier	lithique	roche indéterminée	
PT1459	452852.043360	6760110.308720	67.079111	21-11-2012/11:55:16.0	mobilier	lithique	silex	
PT1460	452851.100004	6760109.237048	67.048324	21-11-2012/11:55:32.0	mobilier	lithique	silex	
PT1461	452833.438277	6760087.082083	66.431395	21-11-2012/11:56:24.0	mobilier	lithique	silex	
PT1462	452834.609869	6760087.644579	66.465610	21-11-2012/11:56:39.0	mobilier	lithique	silex	
PT1463	452834.751992	6760087.956180	66.471389	21-11-2012/11:56:52.0	mobilier	lithique	silex	
PT1464	452833.584381	6760085.918515	66.404129	21-11-2012/11:57:09.0	mobilier	lithique	silex	
PT1465	452836.151752	6760086.109882	66.403345	21-11-2012/11:57:33.0	mobilier	lithique	silex	
PT1466	452836.585719	6760086.567098	66.419137	21-11-2012/11:57:51.0	mobilier	lithique	silex	
PT1467	452851.241739	6760111.517752	67.022128	21-11-2012/11:59:41.0	mobilier	lithique	silex	
PT1468	452853.901095	6760110.526950	66.902282	21-11-2012/12:00:06.0	mobilier	lithique	silex	
PT1469	452836.277757	6760085.835166	66.351575	21-11-2012/12:02:16.0	mobilier	lithique	silex	
PT1470	452835.386700	6760085.565226	66.383214	21-11-2012/12:02:28.0	mobilier	lithique	silex	
PT1471	452835.198083	6760085.912277	66.401635	21-11-2012/12:02:40.0	mobilier	lithique	silex	
PT1472	452854.063528	6760110.501780	66.884187	21-11-2012/12:02:58.0	mobilier	lithique	silex	
PT1473	452851.700332	6760109.505615	66.915590	21-11-2012/12:03:21.0	mobilier	lithique	silex	
PT1474	452833.003330	6760085.548213	66.391023	21-11-2012/12:05:44.0	mobilier	lithique	silex	
PT1475	452834.816367	6760085.955532	66.372128	21-11-2012/12:05:59.0	mobilier	lithique	silex	
PT1476	452851.055656	6760108.898077	66.833116	21-11-2012/13:15:36.0	mobilier	lithique	silex	
PT1477	452854.321147	6760111.456430	66.843109	21-11-2012/13:16:00.0	mobilier	lithique	silex	
PT1478	452853.805324	6760112.045989	66.859110	21-11-2012/13:16:22.0	mobilier	lithique	silex	
PT1479	452833.570725	6760086.165654	66.311508	21-11-2012/13:17:36.0	mobilier	lithique	silex	
PT1480	452851.283108	6760110.886317	66.859527	21-11-2012/13:18:34.0	mobilier	lithique	silex	
PT1481	452852.396465	6760112.133125	66.761932	21-11-2012/13:20:56.0	mobilier	lithique	silex	
PT1482	452851.463723	6760110.982887	66.781154	21-11-2012/13:21:16.0	mobilier	lithique	silex	
PT1483	452832.619467	6760083.422792	66.907205	21-11-2012/13:25:45.0	mobilier	lithique	silex	
PT1484	452853.391304	6760110.597575	66.647044	21-11-2012/13:31:01.0	vrac mobilier	point central		BD2_L7
PT1485	452857.639098	6760110.412241	67.476023	21-11-2012/13:32:48.0	mobilier	lithique	silex	
PT1486	452856.534335	6760108.729544	67.398384	21-11-2012/13:35:05.0	mobilier	lithique	silex	
PT1487	452831.188176	6760079.454157	66.625476	21-11-2012/13:36:26.0	mobilier	lithique	silex	
PT1488	452831.775682	6760083.083209	66.633775	21-11-2012/13:43:28.0	mobilier	lithique	silex	
PT1489	452831.482332	6760082.723437	66.639260	21-11-2012/13:43:42.0	mobilier	lithique	silex	
PT1490	452831.355320	6760082.598207	66.631807	21-11-2012/13:43:51.0	mobilier	lithique	silex	
PT1491	452831.191623	6760080.480328	66.548472	21-11-2012/13:46:17.0	vrac mobilier	point central		BD8_L1
PT1492	452832.444143	6760083.129218	66.683951	21-11-2012/13:47:38.0	mobilier	lithique	silex	
PT1493	452830.747971	6760083.333652	66.560892	21-11-2012/13:48:51.0	mobilier	lithique	silex	
PT1494	452856.848954	6760109.019802	66.948621	21-11-2012/13:51:40.0	mobilier	lithique	silex	
PT1495	452831.057802	6760083.144043	66.491429	21-11-2012/13:52:45.0	mobilier	lithique	silex	
PT1496	452856.015090	6760109.944880	66.937966	21-11-2012/13:53:27.0	mobilier	lithique	silex	
PT1497	452856.267695	6760109.746156	66.958635	21-11-2012/13:53:53.0	mobilier	lithique	silex	
PT1498	452856.512328	6760109.833363	66.952113	21-11-2012/13:54:10.0	mobilier	lithique	silex	
PT1499	452856.589242	6760110.022965	66.953114	21-11-2012/13:54:25.0	mobilier	lithique	silex	
PT1500	452858.464989	6760110.187285	66.728952	21-11-2012/14:05:00.0	vrac mobilier	point central		BD2_L8
PT1501	452835.476894	6760084.015997	66.884422	21-11-2012/14:09:14.0	mobilier	lithique	silex	
PT1502	452863.152807	6760110.961539	67.332996	21-11-2012/14:12:36.0	mobilier	lithique	silex	
PT1503	452835.676824	6760082.863678	66.835956	21-11-2012/14:14:47.0	mobilier	lithique	silex	
PT1504	452835.475939	6760080.101897	66.829849	21-11-2012/14:15:07.0	mobilier	lithique	silex	
PT1505	452835.819236	6760079.656917	66.807420	21-11-2012/14:15:22.0	mobilier	lithique	silex	
PT1506	452861.934142	6760109.116175	67.216116	21-11-2012/14:17:02.0	mobilier	lithique	silex	
PT1507	452862.913174	6760111.549899	67.186325	21-11-2012/14:17:51.0	mobilier	lithique	silex	
PT1508	452863.715151	6760110.294757	67.166546	21-11-2012/14:19:46.0	mobilier	lithique	silex	
PT1509	452836.993427	6760081.573659	66.771246	21-11-2012/14:20:31.0	vrac mobilier	point central		BD8_L2
PT1510	452838.345324	6760082.372917	66.866171	21-11-2012/14:21:08.0	mobilier	lithique	silex	
PT1511	452838.415102	6760082.465343	66.862348	21-11-2012/14:21:27.0	mobilier	lithique	silex	
PT1512	452838.470558	6760082.463526	66.865903	21-11-2012/14:21:37.0	mobilier	lithique	silex	
PT1513	452838.659952	6760082.701300	66.870649	21-11-2012/14:21:48.0	mobilier	lithique	silex	
PT1514	452838.684373	6760083.016458	66.874868	21-11-2012/14:21:57.0	mobilier	lithique	silex	
PT1515	452862.685133	6760109.258594	67.053420	21-11-2012/14:24:07.0	mobilier	lithique	silex	
PT1516	452838.182640	6760083.710119	66.826315	21-11-2012/14:25:00.0	mobilier	lithique	silex	
PT1517	452838.421488	6760083.552641	66.814670	21-11-2012/14:25:11.0	mobilier	lithique	silex	
PT1518	452838.783834	6760083.108057	66.810927	21-11-2012/14:25:23.0	mobilier	lithique	silex	
PT1519	452839.389063	6760082.603755	66.759452	21-11-2012/14:25:43.0	mobilier	lithique	silex	
PT1520	452835.757349	6760082.330616	66.771503	21-11-2012/14:26:03.0	mobilier	lithique	silex	
PT1521	452835.591046	6760082.578149	66.783105	21-11-2012/14:26:20.0	mobilier	lithique	silex	
PT1522	452835.336371	6760082.586946	66.707617	21-11-2012/14:28:55.0	mobilier	lithique	silex	
PT1523	452835.593317	6760082.143450	66.723081	21-11-2012/14:29:06.0	mobilier	lithique	silex	
PT1524	452835.841071	6760082.458875	66.760925	21-11-2012/14:29:32.0	mobilier	lithique	silex	
PT1525	452838.418454	6760083.542351	66.766228	21-11-2012/14:29:45.0	mobilier	lithique	silex	
PT1526	452863.073720	6760108.631010	66.935741	21-11-2012/14:33:02.0	mobilier	lithique	silex	
PT1527	452834.589515	6760080.243330	66.621307	21-11-2012/14:33:31.0	mobilier	lithique	silex	
PT1528	452834.805268	6760080.196026	66.636688	21-11-2012/14:34:01.0	mobilier	lithique	silex	
PT1529	452835.920575	6760082.428729	66.658214	21-11-2012/14:34:22.0	mobilier	lithique	silex	
PT1530	452835.608209	6760082.818692	66.661525	21-11-2012/14:34:37.0	mobilier	lithique	silex	
PT1531	452835.982858	6760083.162575	66.693069	21-11-2012/14:34:55.0	mobilier	lithique	silex	
PT1532	452835.866574	6760083.220326	66.691996	21-11-2012/14:35:14.0	mobilier	lithique	silex	
PT1533	452835.904439	6760083.703496	66.690477	21-11-2012/14:35:28.0	mobilier	lithique	silex	
PT1534	452837.079101	6760082.931981	66.685939	21-11-2012/14:35:43.0	mobilier	lithique	silex	
PT1535	452837.233736	6760083.246438	66.670818	21-11-2012/14:36:00.0	mobilier	lithique	silex	
PT1536	452837.423308	6760083.514962	66.686705	21-11-2012/14:36:19.0	mobilier	lithique	silex	
PT1537	452837.179211	6760084.163922	66.716382	21-11-2012/14:36:35.0	mobilier	lithique	silex	
PT1538	452837.869286	6760083.571100	66.699926	21-11-2012/14:36:49.0	mobilier	lithique	silex	
PT1539	452837.146913	6760084.223593	66.705168	21-11-2012/14:37:09.0	mobilier	lithique	silex	
PT1540	452836.912234	6760084.394590	66.739165	21-11-2012/14:37:24.0	mobilier	lithique	silex	
PT1541	452838.983191	6760081.825254	66.640865	21-11-2012/14:37:42.0	mobilier	lithique	silex	
PT1542	452840.347575	6760105.529495	66.989693	21-11-2012/14:49:12.0	mobilier	lithique	silex	
PT1543	452841.260472	6760105.057052	67.052591	21-11-2012/14:49:43.0	mobilier	lithique	silex	
PT1544	452841.583846	6760105.105903	67.033016	21-11-2012/14:50:01.0	mobilier	lithique	silex	
PT1545	452862.417491	6760110.735375	66.713146	21-11-2012/14:54:39.0	vrac mobilier	point central		BD2_L9
PT1546	452841.660889	6760109.732891	66.960960	21-11-2012/14:56:17.0	mobilier	lithique	silex	
PT1547	452841.731868	6760109.470545	66.950111	21-11-2012/14:56:31.0	mobilier	lithique	silex	
PT1548	452840.575631	6760108.333489	66.957348	21-11-2012/14:57:09.0	mobilier	lithique	silex	
PT1549	452841.740548	6760106.789374	66.913577	21-11-2012/14:57:34.0	mobilier	lithique	silex	
PT1550	452840.145448	6760104.783989	66.986600	21-11-2012/14:57:59.0	mobilier	lithique	silex	
PT1551	452838.774013	6760105.963678	66.949367	21-11-2012/15:03:08.0	mobilier	lithique	silex	
PT1552	452841.486729	6760109.596843	66.886225	21-11-2012/15:05:23.0	mobilier	lithique	silex	
PT1553	452842.698755	6760109.549603	66.876728	21-11-2012/15:08:33.0	mobilier	lithique	silex	
PT1554	452842.822192	6760108.621705	66.836603	21-11-2012/15:09:17.0	mobilier	lithique	silex	
PT1555	452841.488289	6760106.476401	66.763754	21-11-2012/15:09:33.0	mobilier	lithique	grès quartzite	
PT1556	452869.394302	6760115.471864	67.186834	21-11-2012/15:12:06.0	mobilier	lithique	silex	
PT1557	452839.549938	6760109.247535	66.917640	21-11-2012/15:13:17.0	mobilier	lithique	silex	
PT1558	452840.764454	6760107.138072	66.829959	21-11-2012/15:13:31.0	vrac mobilier	point central		BD3_L4
PT1559	452868.574988	6760116.298892	67.133171	21-11-2012/15:16:14.0	mobilier	lithique	silex	
PT1560	452842.287676	6760105.579877	66.782215	21-11-2012/15:18:08.0	mobilier	lithique	silex	
PT1561	452840.851233	6760105.652707	66.798910	21-11-2012/15:18:27.0	mobilier	lithique	silex	
PT1562	452840.770085	6760105.575693	66.797525	21-11-2012/15:18:47.0	mobilier	lithique	silex	
PT1563	452871.545040	6760118.401310	67.154889	21-11-2012/15:19:30.0	mobilier	lithique	silex	
PT1564	452870.517392	6760115.018040	67.076906	21-11-2012/15:19:58.0	mobilier	lithique	silex	
PT1565	452839.360632	6760108.347749	66.816199	21-11-2012/15:20:47.0	mobilier	lithique	silex	
PT1566	452841.498684	6760109.084152	66.786497	21-11-2012/15:22:01.0	mobilier	lithique	silex	
PT1567	452842.630397	6760109.417861	66.769138	21-11-2012/15:23:17.0	mobilier	lithique	silex	
PT1568	452841.820896	6760107.003511	66.734842	21-11-2012/15:23:32.0	mobilier	lithique	silex	
PT1569	452840.204585	6760108.285072	66.695193	21-11-2012/15:26:28.0	mobilier	lithique	silex	
PT1570	452871.276380	6760116.431698	67.026835	21-11-2012/15:26:50.0	mobilier	lithique	silex	
PT1571	452870.202221	6760117.317950	67.076137	21-11-2012/15:27:14.0	mobilier	lithique	silex	
PT1572	452869.443963	6760116.707192	67.054665	21-11-2012/15:27:28.0	mobilier	lithique	silex	

MATRICULE	X (est)	Y (nord)	Z (alti)	DATE	ÉLÉMENT TOPOGRAPHIÉ	TYPE DE POINT	IDENTIFIANT	DESCRIPTION
PT1573	452842.767385	6760108.162421	66.682263	21-11-2012/15:28:01.0	mobilier	lithique	silex	
PT1574	452838.382910	6760107.536668	66.691599	21-11-2012/15:29:46.0	mobilier	lithique	silex	
PT1575	452838.570844	6760109.602097	66.662765	21-11-2012/15:32:14.0	mobilier	lithique	silex	
PT1576	452838.575065	6760108.681907	66.680939	21-11-2012/15:32:27.0	mobilier	lithique	silex	
PT1577	452868.094475	6760118.297903	67.014637	21-11-2012/15:32:46.0	mobilier	lithique	silex	
PT1578	452871.404953	6760117.736001	67.034204	21-11-2012/15:33:20.0	mobilier	lithique	silex	
PT1579	452871.007041	6760116.518368	66.964485	21-11-2012/15:33:38.0	mobilier	lithique	silex	
PT1580	452838.911343	6760108.923495	66.617925	21-11-2012/15:34:57.0	mobilier	lithique	silex	
PT1581	452838.402244	6760107.692459	66.564455	21-11-2012/15:35:09.0	mobilier	lithique	silex	
PT1582	452868.530983	6760118.264438	66.979352	21-11-2012/15:37:22.0	mobilier	lithique	silex	
PT1583	452870.193076	6760117.228729	67.017795	21-11-2012/15:37:47.0	mobilier	lithique	silex	
PT1584	452869.265899	6760121.022740	67.561425	21-11-2012/15:39:06.0	mobilier	lithique	silex	
PT1585	452868.157246	6760120.915648	67.321079	21-11-2012/15:39:34.0	mobilier	lithique	silex	
PT1586	452842.411679	6760108.446911	66.523862	21-11-2012/15:40:08.0	mobilier	lithique	silex	
PT1587	452842.320510	6760108.672868	66.559556	21-11-2012/15:40:24.0	mobilier	lithique	silex	
PT1588	452842.260595	6760108.685302	66.555088	21-11-2012/15:40:39.0	mobilier	lithique	silex	
PT1589	452841.633865	6760103.560474	67.101828	21-11-2012/15:50:55.0	mobilier	lithique	silex	
PT1590	452840.067582	6760100.428468	67.095735	21-11-2012/15:54:16.0	mobilier	lithique	silex	
PT1591	452840.124693	6760100.425769	67.092938	21-11-2012/15:54:29.0	mobilier	lithique	silex	
PT1592	452841.298077	6760101.216300	67.066615	21-11-2012/15:54:44.0	vrac mobilier	point central		BD4 L4
PT1593	452842.875601	6760102.478241	66.964920	21-11-2012/16:01:19.0	mobilier	lithique	silex	
PT1594	452841.180163	6760101.240986	66.918848	21-11-2012/16:01:36.0	mobilier	lithique	silex	
PT1595	452840.189431	6760100.236852	66.966560	21-11-2012/16:01:53.0	mobilier	lithique	silex	
PT1596	452840.280085	6760100.126988	66.958975	21-11-2012/16:02:06.0	mobilier	lithique	silex	
PT1597	452840.265528	6760100.060038	66.973905	21-11-2012/16:02:17.0	mobilier	lithique	silex	
PT1598	452841.860310	6760103.384237	66.964083	21-11-2012/16:04:10.0	mobilier	lithique	silex	
PT1599	452840.855030	6760103.811263	66.872806	21-11-2012/16:06:18.0	mobilier	lithique	silex	
PT1600	452840.677534	6760103.705208	66.891860	21-11-2012/16:06:30.0	mobilier	lithique	silex	
PT1601	452869.412633	6760116.259237	66.948582	21-11-2012/16:10:53.0	mobilier	lithique	silex	
PT1602	452870.177363	6760116.414281	66.953324	21-11-2012/16:11:21.0	mobilier	lithique	silex	
PT1603	452871.469387	6760118.411587	67.010595	21-11-2012/16:11:41.0	mobilier	lithique	silex	
PT1604	452869.612887	6760117.175448	66.822857	21-11-2012/16:20:46.0	vrac mobilier	point central		BD1 L10
PT1605	452840.247623	6760093.398738	67.084279	21-11-2012/16:29:42.0	mobilier	lithique	silex	
PT1606	452842.439158	6760092.611745	67.113429	21-11-2012/16:33:14.0	mobilier	lithique	silex	
PT1607	452843.576147	6760092.869286	67.110735	21-11-2012/16:33:32.0	mobilier	lithique	silex	
PT1608	452843.990348	6760104.807734	67.149594	21-11-2012/16:34:34.0	mobilier	lithique	silex	
PT1609	452844.235085	6760104.712550	67.162102	21-11-2012/16:34:49.0	mobilier	lithique	silex	
PT1610	452840.258162	6760093.140053	67.110267	21-11-2012/16:35:04.0	mobilier	lithique	silex	
PT1611	452839.921367	6760093.714820	67.090219	21-11-2012/16:35:13.0	mobilier	lithique	silex	
PT1612	452840.152876	6760095.317941	67.070273	21-11-2012/16:35:26.0	mobilier	lithique	silex	
PT1613	452841.135349	6760093.993102	67.114829	21-11-2012/16:36:32.0	mobilier	lithique	silex	
PT1614	452841.692998	6760094.718730	67.070650	21-11-2012/16:36:46.0	mobilier	lithique	silex	
PT1615	452840.538800	6760095.505775	67.119350	21-11-2012/16:36:58.0	mobilier	lithique	silex	
PT1616	452845.222071	6760108.026422	67.053979	21-11-2012/16:38:07.0	mobilier	lithique	silex	
PT1617	452843.520081	6760105.483556	67.116640	21-11-2012/16:38:22.0	mobilier	lithique	silex	
PT1618	452839.167070	6760092.636647	67.046045	21-11-2012/16:38:59.0	mobilier	lithique	silex	
PT1619	452839.272301	6760091.430586	67.046540	21-11-2012/16:40:07.0	mobilier	lithique	silex	
PT1620	452841.298181	6760094.209982	67.044445	21-11-2012/16:41:39.0	mobilier	lithique	silex	
PT1621	452841.114810	6760091.314910	66.972427	21-11-2012/16:41:58.0	mobilier	lithique	silex	
PT1622	452840.589545	6760091.814897	67.076564	21-11-2012/16:42:17.0	mobilier	lithique	silex	
PT1623	452840.874611	6760092.875994	67.046093	21-11-2012/16:42:47.0	vrac mobilier	point central		BD6 L4
PT1624	452843.229659	6760109.131320	67.001564	21-11-2012/16:43:13.0	mobilier	lithique	silex	
PT1625	452843.431767	6760108.114725	67.038229	21-11-2012/16:43:30.0	mobilier	lithique	silex	
PT1626	452846.535407	6760106.140471	67.001183	21-11-2012/16:43:47.0	mobilier	lithique	silex	
PT1627	452843.886803	6760105.639799	67.028136	21-11-2012/16:44:10.0	mobilier	lithique	silex	
PT1628	452843.979984	6760105.396940	67.033278	21-11-2012/16:44:22.0	mobilier	lithique	silex	
PT1629	452843.917638	6760105.071231	67.032569	21-11-2012/16:44:32.0	mobilier	lithique	silex	
PT1630	452843.613648	6760092.767291	66.993715	21-11-2012/16:44:48.0	mobilier	lithique	silex	
PT1631	452841.235884	6760091.204443	66.988026	21-11-2012/16:45:01.0	mobilier	lithique	silex	
PT1632	452841.188905	6760091.194345	66.959814	21-11-2012/16:45:11.0	mobilier	lithique	silex	
PT1633	452841.060859	6760091.203986	66.905532	21-11-2012/16:45:21.0	mobilier	lithique	grès	
PT1634	452839.569136	6760092.133936	67.084223	21-11-2012/16:46:00.0	mobilier	lithique	silex	
PT1635	452844.005300	6760107.549992	66.997933	21-11-2012/16:47:51.0	mobilier	lithique	silex	
PT1636	452843.242967	6760107.268865	67.017797	21-11-2012/16:48:04.0	mobilier	lithique	silex	
PT1637	452841.076221	6760091.756921	66.969899	21-11-2012/16:49:22.0	mobilier	lithique	silex	
PT1638	452841.141568	6760091.442653	66.962255	21-11-2012/16:49:35.0	mobilier	lithique	silex	
PT1639	452841.379485	6760091.566377	66.998246	21-11-2012/16:49:45.0	mobilier	lithique	silex	
PT1640	452841.325086	6760091.655651	66.998877	21-11-2012/16:49:54.0	mobilier	lithique	silex	
PT1641	452840.780932	6760092.558463	67.010902	21-11-2012/16:50:06.0	mobilier	lithique	silex	
PT1642	452843.805669	6760093.912334	67.016799	21-11-2012/16:50:32.0	mobilier	lithique	silex	
PT1643	452843.516797	6760094.105232	67.021964	21-11-2012/16:50:44.0	mobilier	lithique	silex	
PT1644	452840.548465	6760095.166796	66.990566	21-11-2012/16:50:57.0	mobilier	lithique	silex	
PT1645	452847.109046	6760107.810119	66.877441	21-11-2012/16:51:19.0	mobilier	lithique	silex	
PT1646	452846.653044	6760108.047471	66.890022	21-11-2012/16:51:39.0	mobilier	lithique	silex	
PT1647	452844.286466	6760104.602630	66.951843	21-11-2012/16:51:55.0	mobilier	lithique	silex	
PT1648	452843.728756	6760105.639705	66.965336	21-11-2012/16:52:11.0	mobilier	lithique	silex	
PT1649	452839.915312	6760093.556794	66.954891	21-11-2012/16:55:13.0	mobilier	lithique	silex	
PT1650	452839.911786	6760093.305008	66.957949	21-11-2012/16:55:26.0	mobilier	lithique	silex	
PT1651	452839.825973	6760092.901401	66.980984	21-11-2012/16:55:38.0	mobilier	lithique	silex	
PT1652	452840.072645	6760093.072092	66.967646	21-11-2012/16:55:49.0	mobilier	lithique	silex	
PT1653	452840.189253	6760093.155675	66.961067	21-11-2012/16:55:59.0	mobilier	lithique	silex	
PT1654	452839.468936	6760092.828787	66.971633	21-11-2012/16:56:16.0	mobilier	lithique	silex	
PT1655	452839.583250	6760092.896104	66.935268	21-11-2012/16:56:25.0	mobilier	lithique	silex	
PT1656	452840.354305	6760092.507468	66.977686	21-11-2012/16:56:35.0	mobilier	lithique	silex	
PT1657	452840.634923	6760092.328640	66.991127	21-11-2012/16:56:55.0	mobilier	lithique	silex	
PT1658	452841.180275	6760091.782991	66.990249	21-11-2012/16:57:10.0	mobilier	lithique	silex	
PT1659	452840.745504	6760091.911812	66.997315	21-11-2012/16:57:27.0	mobilier	lithique	silex	
PT1660	452840.594698	6760091.568759	67.006470	21-11-2012/16:57:37.0	mobilier	lithique	silex	
PT1661	452840.144159	6760091.345130	66.983232	21-11-2012/16:57:47.0	mobilier	lithique	silex	
PT1662	452845.255296	6760106.512028	66.864791	21-11-2012/16:58:16.0	mobilier	lithique	silex	
PT1663	452844.366517	6760104.536885	66.911965	21-11-2012/16:58:45.0	mobilier	lithique	silex	
PT1664	452843.738566	6760104.253291	66.885491	21-11-2012/16:58:59.0	mobilier	lithique	silex	
PT1665	452843.706576	6760104.228658	66.915359	21-11-2012/16:59:11.0	mobilier	lithique	silex	
PT1666	452843.710279	6760104.299681	66.912652	21-11-2012/16:59:21.0	mobilier	lithique	silex	
PT1667	452843.142965	6760094.043245	67.002109	21-11-2012/17:01:10.0	mobilier	lithique	silex	
PT1668	452843.314086	6760093.969336	67.017879	21-11-2012/17:01:23.0	mobilier	lithique	silex	
PT1669	452834.625694	6760106.334700	66.866801	21-11-2012/17:03:39.0	mobilier	lithique	silex	
PT1670	452831.475083	6760108.898932	66.644550	21-11-2012/17:04:19.0	mobilier	lithique	silex	
PT1671	452831.780214	6760107.195479	66.818735	21-11-2012/17:04:41.0	mobilier	lithique	silex	
PT1672	452831.854782	6760106.371749	66.892750	21-11-2012/17:05:02.0	mobilier	lithique	silex	
PT1673	452844.944630	6760104.523995	66.848780	22-11-2012/08:28:28.0	mobilier	lithique	silex	
PT1674	452845.177746	6760105.975246	66.800938	22-11-2012/08:28:45.0	mobilier	lithique	silex	
PT1675	452843.678974	6760106.231897	66.850717	22-11-2012/08:29:00.0	mobilier	lithique	silex	
PT1676	452843.638063	6760106.609441	66.850886	22-11-2012/08:29:19.0	mobilier	lithique	silex	
PT1677	452844.324715	6760107.151259	66.834773	22-11-2012/08:29:31.0	mobilier	lithique	silex	
PT1678	452843.687534	6760107.869937	66.931440	22-11-2012/08:29:42.0	mobilier	lithique	silex	
PT1679	452846.313285	6760109.275869	66.796533	22-11-2012/08:29:59.0	mobilier	lithique	silex	
PT1680	452846.338402	6760109.149888	66.788923	22-11-2012/08:30:07.0	mobilier	lithique	silex	
PT1681	452847.450208	6760108.775139	66.743209	22-11-2012/08:30:21.0	mobilier	lithique	silex	
PT1682	452828.737964	6760080.381298	66.607288	22-11-2012/08:30:48.0	mobilier	lithique	silex	
PT1683	452828.630390	6760080.773293	66.564263	22-11-2012/08:32:01.0	mobilier	lithique	silex	
PT1684	452845.553869	6760108.625334	66.810434	22-11-2012/08:34:12.0	mobilier	lithique	silex	
PT1685	452831.906250	6760080.260835	66.405355	22-11-2012/08:35:23.0	mobilier	lithique	silex	
PT1686	452844.840644	6760104.319155	66.751203	22-11-2012/08:37:25.0	mobilier	lithique	silex	
PT1687	452844.874728	6760104.382918	66.765819	22-11-2012/08:37:34.0	mobilier	lithique	silex	
PT1688	452846.486025	6760109.386646	66.747689	22-11-2012/08:37:56.0	mobilier	lithique	silex	
PT1689	452830.807068	6760079.063866	66.355221	22-11-2012/08:38:24.0	mobilier	lithique	silex	
PT1690	452843.277262	6760104.518502	66.794816	22-11-2012/08:41:24.0	mobilier	lithique	silex	
PT1691	452845.343873	6760105.612052	66.683121	22-11-2012/08:41:43.0	mobilier	lithique	silex	
PT1692	452845.878432	6760108.740024	66.723984	22-11-2012/08:42:00.0	mobilier	lithique	silex	
PT1693	452829.832504	6760077.160398	66.643555	22-11-2012/08:45:18.0	mobilier	lithique	silex	
PT1694	452831.813639	6760076.175977	66.650051	22-11-2012/08:45:38.0	mobilier	lithique	silex	
PT1695	452829.864967	6760076.432318	66.594842	22-11-2012/08:48:22.0	mobilier	lithique	silex	
PT1696	452829.868692	6760076.276852	66.603065	22-11-2012/08:48:32.0	mobilier	lithique	silex	
PT1697	452831.278156	6760075.528779	66.610924	22-11-2012/08:48:47.0	mobilier	lithique	silex	
PT1698	452845.339003	6760105.488300	66.602566	22-11-2012/08:49:20.0	mobilier	lithique	silex	
PT1699	452843.501480	6760108.762417	66.605186	22-11-2012/08:53:17.0	mobilier	lithique	silex	
PT1700	452830.746718	6760077.960990	66.555788	22-11-2012/08:54:01.0	mobilier	lithique	silex	
PT1701	452828.988634	6760077.121274	66.444848	22-11-2012/08:55:44.0	mobilier	lithique	quartzite ? grès ?	
PT1702	452829.338423	6760076.607069	66.510034	22-11-2012/08:55:56.0	mobilier	lithique	silex	
PT1703	452832.080004	6760077.194234	66.491614	22-11-2012/08:59:50.0	mobilier	lithique	silex	

MATRICULE	X (est)	Y (nord)	Z (alti)	DATE	ÉLÉMENT TOPOGRAPHIÉ	TYPE DE POINT	IDENTIFIANT	DESCRIPTION
PT1704	452831.441230	6760077.047225	66.479935	22-11-2012/09:00:02.0	mobilier	lithique	silex	
PT1705	452829.796328	6760076.364824	66.401166	22-11-2012/09:05:37.0	mobilier	lithique	silex	
PT1706	452851.369237	6760104.443608	67.375091	22-11-2012/09:07:03.0	mobilier	lithique	silex	
PT1707	452850.552100	6760103.751182	67.309051	22-11-2012/09:07:25.0	mobilier	lithique	silex	
PT1708	452831.414439	6760077.638841	66.299434	22-11-2012/09:11:28.0	mobilier	lithique	silex	
PT1709	452833.377176	6760078.335067	66.436245	22-11-2012/09:11:47.0	mobilier	lithique	silex	
PT1710	452833.348950	6760078.491196	66.408968	22-11-2012/09:11:59.0	mobilier	lithique	silex	
PT1711	452833.269393	6760078.823017	66.366034	22-11-2012/09:12:10.0	mobilier	lithique	silex	
PT1712	452848.597117	6760106.274084	67.263472	22-11-2012/09:13:24.0	mobilier	lithique	silex	
PT1713	452832.397843	6760079.545779	66.347105	22-11-2012/09:14:18.0	mobilier	lithique	silex	
PT1714	452850.166635	6760107.720309	67.201815	22-11-2012/09:16:28.0	mobilier	lithique	silex	
PT1715	452850.183877	6760106.044901	67.174120	22-11-2012/09:16:57.0	mobilier	lithique	silex	
PT1716	452849.279460	6760104.356812	67.194788	22-11-2012/09:17:21.0	mobilier	lithique	silex	
PT1717	452848.810399	6760105.131351	67.203311	22-11-2012/09:19:58.0	mobilier	lithique	silex	
PT1718	452850.104977	6760103.822780	67.159037	22-11-2012/09:20:14.0	mobilier	lithique	silex	
PT1719	452850.184925	6760103.569981	67.125742	22-11-2012/09:20:27.0	mobilier	lithique	silex	
PT1720	452849.984580	6760103.657175	67.115141	22-11-2012/09:20:49.0	mobilier	lithique	quartz	
PT1721	452849.867699	6760106.657004	67.118032	22-11-2012/09:23:47.0	mobilier	lithique	silex	
PT1722	452849.424824	6760106.698679	67.177247	22-11-2012/09:24:06.0	mobilier	lithique	silex	
PT1723	452848.776558	6760106.469609	67.154618	22-11-2012/09:24:18.0	mobilier	lithique	silex	
PT1724	452849.561710	6760105.567616	67.174414	22-11-2012/09:24:35.0	mobilier	lithique	silex	
PT1725	452833.197288	6760079.767772	66.363557	22-11-2012/09:25:15.0	mobilier	lithique	silex	
PT1726	452833.240763	6760079.560596	66.373584	22-11-2012/09:25:30.0	mobilier	lithique	silex	
PT1727	452849.814642	6760107.254669	67.100162	22-11-2012/09:27:09.0	mobilier	lithique	silex	
PT1728	452849.959013	6760104.577232	67.107788	22-11-2012/09:27:27.0	mobilier	lithique	silex	
PT1729	452849.677501	6760103.945830	67.118138	22-11-2012/09:27:49.0	mobilier	lithique	silex	
PT1730	452833.632172	6760073.018106	66.720250	22-11-2012/09:29:54.0	mobilier	lithique	silex	
PT1731	452850.210091	6760108.192246	67.095713	22-11-2012/09:31:26.0	mobilier	lithique	silex	
PT1732	452848.808801	6760104.806891	67.085610	22-11-2012/09:34:34.0	mobilier	lithique	silex	
PT1733	452851.298056	6760108.479641	66.991495	22-11-2012/09:34:52.0	mobilier	lithique	silex	
PT1734	452849.797349	6760104.660694	66.964198	22-11-2012/09:37:41.0	mobilier	lithique	silex	
PT1735	452849.871279	6760107.525962	66.943144	22-11-2012/09:41:33.0	mobilier	lithique	silex	
PT1736	452850.642501	6760106.258613	66.865969	22-11-2012/09:41:59.0	mobilier	lithique	silex	
PT1737	452848.887722	6760104.622142	66.933176	22-11-2012/09:42:20.0	mobilier	lithique	silex	
PT1738	452850.893766	6760106.907775	66.855165	22-11-2012/09:47:52.0	mobilier	lithique	silex	
PT1739	452850.824808	6760106.492362	66.852991	22-11-2012/09:48:17.0	mobilier	lithique	silex	
PT1740	452850.351005	6760106.858546	66.892679	22-11-2012/09:48:35.0	mobilier	lithique	silex	
PT1741	452848.794020	6760104.825395	66.943763	22-11-2012/09:48:52.0	mobilier	lithique	silex	
PT1742	452848.550232	6760105.263620	66.907267	22-11-2012/10:00:49.0	mobilier	lithique	silex	
PT1743	452848.413078	6760105.436893	66.915565	22-11-2012/10:01:03.0	mobilier	lithique	silex	
PT1744	452848.753146	6760105.718215	66.901518	22-11-2012/10:01:17.0	mobilier	lithique	silex	
PT1745	452849.269697	6760105.969632	66.860409	22-11-2012/10:01:34.0	mobilier	lithique	silex	
PT1746	452849.117794	6760106.348722	66.878614	22-11-2012/10:01:48.0	mobilier	lithique	silex	
PT1747	452848.842806	6760107.168052	66.897650	22-11-2012/10:02:04.0	mobilier	lithique	silex	
PT1748	452848.998788	6760107.593453	66.930837	22-11-2012/10:02:23.0	mobilier	lithique	silex	
PT1749	452850.268117	6760106.972276	66.859496	22-11-2012/10:02:42.0	mobilier	lithique	silex	
PT1750	452850.989230	6760107.996234	66.836646	22-11-2012/10:02:57.0	mobilier	lithique	silex	
PT1751	452850.803679	6760107.223661	66.807276	22-11-2012/10:37:37.0	mobilier	lithique	silex	
PT1752	452850.737766	6760107.270495	66.809178	22-11-2012/10:37:52.0	mobilier	lithique	silex	
PT1753	452850.733496	6760107.201715	66.812688	22-11-2012/10:38:06.0	mobilier	lithique	silex	
PT1754	452850.758000	6760107.257474	66.805712	22-11-2012/10:38:23.0	mobilier	lithique	silex	
PT1755	452850.617663	6760107.317404	66.820525	22-11-2012/10:38:37.0	mobilier	lithique	silex	
PT1756	452850.239159	6760107.232452	66.829392	22-11-2012/10:38:52.0	mobilier	lithique	silex	
PT1757	452850.217852	6760107.249367	66.839798	22-11-2012/10:39:13.0	mobilier	lithique	silex	
PT1758	452848.799615	6760107.162506	66.861165	22-11-2012/10:40:14.0	mobilier	lithique	silex	
PT1759	452849.176236	6760105.109563	66.850594	22-11-2012/10:41:25.0	mobilier	lithique	silex	
PT1760	452848.636041	6760105.210930	66.870462	22-11-2012/10:41:42.0	mobilier	lithique	silex	
PT1761	452849.377682	6760105.959101	66.784488	22-11-2012/10:46:30.0	mobilier	lithique	silex	
PT1762	452848.837703	6760106.126783	66.833910	22-11-2012/10:46:45.0	mobilier	lithique	silex	
PT1763	452848.727759	6760105.926198	66.822624	22-11-2012/10:46:56.0	mobilier	lithique	silex	
PT1764	452848.844658	6760105.342589	66.766821	22-11-2012/10:50:00.0	mobilier	lithique	silex	
PT1765	452845.442181	6760105.736630	66.485074	22-11-2012/10:59:30.0	vrac mobilier	point central		BD3_L5
PT1766	452850.185591	6760105.355091	66.524511	22-11-2012/10:59:49.0	vrac mobilier	point central		BD3_L6
PT1767	452854.756206	6760103.906838	67.203788	22-11-2012/11:10:40.0	mobilier	lithique	silex	
PT1768	452835.321699	6760057.058928	66.421586	22-11-2012/11:16:11.0	mobilier	lithique	silex	
PT1769	452852.655299	6760103.947563	67.078445	22-11-2012/11:16:44.0	mobilier	lithique	silex	
PT1770	452853.316590	6760103.465862	67.020622	22-11-2012/11:18:29.0	mobilier	lithique	silex	
PT1771	452836.469973	6760055.137610	66.414184	22-11-2012/11:23:59.0	mobilier	lithique	silex	
PT1772	452837.865163	6760054.982686	66.390320	22-11-2012/11:24:13.0	mobilier	lithique	silex	
PT1773	452838.333008	6760055.145545	66.406189	22-11-2012/11:24:28.0	mobilier	lithique	silex	
PT1774	452835.916447	6760058.503233	66.349249	22-11-2012/11:26:00.0	mobilier	lithique	silex	
PT1775	452839.352281	6760078.785082	66.978081	22-11-2012/11:44:48.0	mobilier	lithique	silex	
PT1776	452839.198177	6760078.835698	66.897123	22-11-2012/11:47:39.0	mobilier	lithique	silex	
PT1777	452838.300517	6760076.606137	66.782064	22-11-2012/11:47:55.0	vrac mobilier	point central		BD9_L2
PT1778	452855.747602	6760107.219622	67.155403	22-11-2012/11:48:46.0	mobilier	lithique	silex	
PT1779	452855.653381	6760107.193303	67.116376	22-11-2012/11:49:05.0	mobilier	lithique	grès	
PT1780	452838.930847	6760078.235683	66.802719	22-11-2012/11:53:03.0	mobilier	lithique	silex	
PT1781	452839.910045	6760076.687345	66.732373	22-11-2012/11:53:16.0	mobilier	lithique	silex	
PT1782	452837.855724	6760076.194379	66.604063	22-11-2012/11:55:40.0	mobilier	lithique	silex	
PT1783	452837.844191	6760078.258374	66.656991	22-11-2012/12:00:05.0	mobilier	lithique	silex	
PT1784	452837.078667	6760077.837772	66.635606	22-11-2012/12:01:58.0	mobilier	lithique	silex	
PT1785	452838.992765	6760078.429375	66.592778	22-11-2012/13:09:21.0	mobilier	lithique	silex	
PT1786	452839.759991	6760078.764141	66.604744	22-11-2012/13:09:34.0	mobilier	lithique	silex	
PT1787	452853.998311	6760103.761432	66.818742	22-11-2012/13:10:46.0	vrac mobilier	point central		BD3_L7
PT1788	452857.037627	6760106.158728	66.828870	22-11-2012/13:11:08.0	vrac mobilier	point central		BD3_L8
PT1789	452837.661131	6760075.721325	66.454617	22-11-2012/13:11:44.0	mobilier	lithique	silex	
PT1790	452837.494187	6760075.541649	66.457375	22-11-2012/13:11:56.0	mobilier	lithique	silex	
PT1791	452839.172970	6760078.096477	66.574895	22-11-2012/13:14:17.0	mobilier	lithique	silex	
PT1792	452837.962070	6760078.967255	66.575252	22-11-2012/13:14:33.0	mobilier	lithique	silex	
PT1793	452837.926918	6760077.014557	66.482075	22-11-2012/13:14:44.0	mobilier	lithique	silex	
PT1794	452837.783563	6760076.280206	66.464330	22-11-2012/13:14:54.0	mobilier	lithique	silex	
PT1795	452837.450593	6760076.397000	66.463287	22-11-2012/13:15:05.0	mobilier	lithique	silex	
PT1796	452837.327366	6760075.613669	66.446528	22-11-2012/13:15:17.0	mobilier	lithique	silex	
PT1797	452837.374019	6760078.390392	66.495076	22-11-2012/13:17:44.0	mobilier	lithique	silex	
PT1798	452837.650674	6760076.995403	66.482457	22-11-2012/13:17:58.0	mobilier	lithique	silex	
PT1799	452837.989526	6760076.067629	66.435319	22-11-2012/13:18:09.0	mobilier	lithique	silex	
PT1800	452837.455027	6760075.957977	66.428009	22-11-2012/13:18:23.0	mobilier	lithique	silex	
PT1801	452836.844152	6760078.726884	66.489594	22-11-2012/13:20:54.0	mobilier	lithique	silex	
PT1802	452837.401596	6760077.459543	66.466432	22-11-2012/13:21:07.0	mobilier	lithique	silex	
PT1803	452837.564984	6760077.292502	66.468747	22-11-2012/13:21:18.0	mobilier	lithique	silex	
PT1804	452838.246589	6760076.875220	66.437004	22-11-2012/13:21:30.0	mobilier	lithique	silex	
PT1805	452837.011215	6760076.369198	66.395530	22-11-2012/13:21:42.0	mobilier	lithique	silex	
PT1806	452837.274312	6760075.733565	66.366553	22-11-2012/13:21:57.0	mobilier	lithique	silex	
PT1807	452838.455535	6760079.633890	66.534139	22-11-2012/13:24:26.0	mobilier	lithique	silex	
PT1808	452837.833961	6760076.273799	66.375826	22-11-2012/13:24:46.0	mobilier	lithique	silex	
PT1809	452837.006553	6760076.151916	66.394991	22-11-2012/13:25:04.0	mobilier	lithique	silex	
PT1810	452859.487042	6760105.725808	67.445400	22-11-2012/13:26:11.0	mobilier	lithique	silex	
PT1811	452859.729912	6760104.555154	67.221807	22-11-2012/13:36:15.0	mobilier	lithique	silex	
PT1812	452839.382265	6760086.198846	66.715479	22-11-2012/13:38:36.0	mobilier	lithique	silex	
PT1813	452839.421016	6760086.266063	66.716646	22-11-2012/13:38:58.0	mobilier	lithique	silex	
PT1814	452839.357135	6760086.500053	66.567777	22-11-2012/13:39:29.0	mobilier	lithique	silex	
PT1815	452861.268234	6760106.843698	67.098024	22-11-2012/13:40:27.0	mobilier	lithique	silex	
PT1816	452860.753836	6760107.089100	67.113411	22-11-2012/13:40:39.0	mobilier	lithique	silex	
PT1817	452860.185562	6760103.468551	67.182035	22-11-2012/13:40:57.0	mobilier	céramique		
PT1818	452840.431205	6760073.073513	66.866407	22-11-2012/13:45:32.0	mobilier	lithique	silex	
PT1819	452860.197800	6760102.985132	67.061941	22-11-2012/13:46:57.0	mobilier	lithique	silex	
PT1820	452835.847516	6760072.640160	66.736890	22-11-2012/13:50:13.0	mobilier	lithique	silex	
PT1821	452835.760742	6760073.520861	66.706507	22-11-2012/13:52:29.0	mobilier	lithique	silex	
PT1822	452839.541252	6760074.103182	66.747861	22-11-2012/13:53:24.0	mobilier	lithique	silex	
PT1823	452861.678836	6760103.515457	66.929606	22-11-2012/13:56:11.0	mobilier	lithique	silex	
PT1824	452839.991850	6760073.122916	66.658750	22-11-2012/13:57:16.0	mobilier	lithique	silex	
PT1825	452840.263784	6760073.512711	66.666536	22-11-2012/13:58:10.0	mobilier	lithique	silex	
PT1826	452861.083787	6760103.991225	66.896277	22-11-2012/13:59:24.0	mobilier	lithique	silex	
PT1827	452838.202001	6760073.166727	66.526905	22-11-2012/14:02:33.0	mobilier	lithique	silex	
PT1828	452838.371750	6760071.365272	66.502764	22-11-2012/14:02:49.0	mobilier	lithique	silex	
PT1829	452838.242484	6760071.375907	66.510701	22-11-2012/14:03:00.0	mobilier	lithique	silex	
PT1830	452839.037734	6760072.013800	66.449632	22-11-2012/14:07:08.0	mobilier	lithique	silex	
PT1831	452838.763184	6760072.188733	66.458133	22-11-2012/14:07:17.0	mobilier	lithique	silex	
PT1832	452838.137970	6760072.052956	66.444797	22-11-2012/14:07:29.0	mobilier	lithique	silex	
PT1833	452838.140476	6760072.212074	66.404502	22-11-2012/14:07:40.0	mobilier	lithique	silex	
PT1834	452838.364921	6760072.059206	66.432783	22-11-2012/14:07:49.0	mobilier	lithique	silex	

MATRICULE	X (est)	Y (nord)	Z (alti)	DATE	ÉLÉMENT TOPOGRAPHIÉ	TYPE DE POINT	IDENTIFIANT	DESCRIPTION
PT1835	452838.425418	6760072.463536	66.461275	22-11-2012/14:08:02.0	mobilier	lithique	silex	
PT1836	452838.371033	6760072.597625	66.453518	22-11-2012/14:08:10.0	mobilier	lithique	silex	
PT1837	452838.453513	6760072.713558	66.452061	22-11-2012/14:08:20.0	mobilier	lithique	silex	
PT1838	452838.332678	6760072.779968	66.466067	22-11-2012/14:08:31.0	mobilier	lithique	silex	
PT1839	452838.123604	6760072.900251	66.463940	22-11-2012/14:08:42.0	mobilier	lithique	silex	
PT1840	452838.378651	6760071.851890	66.455826	22-11-2012/14:08:58.0	vrac mobilier	point central		BD10_L2
PT1841	452838.121656	6760072.561320	66.426893	22-11-2012/14:14:27.0	mobilier	lithique	silex	
PT1842	452843.429057	6760088.044968	67.109489	22-11-2012/14:24:48.0	mobilier	lithique	silex	
PT1843	452841.967507	6760087.576433	67.142532	22-11-2012/14:25:05.0	vrac mobilier	point central		BD7_L4
PT1844	452843.084070	6760087.179692	67.169048	22-11-2012/14:29:57.0	mobilier	lithique	silex	
PT1845	452839.839225	6760087.896371	67.103711	22-11-2012/14:35:49.0	mobilier	lithique	silex	
PT1846	452843.977210	6760087.368229	67.118702	22-11-2012/14:36:05.0	mobilier	lithique	silex	
PT1847	452842.430676	6760083.288643	67.063097	22-11-2012/14:48:06.0	vrac mobilier	point central		BD8_L4
PT1848	452843.568787	6760103.349933	67.245940	22-11-2012/14:55:03.0	mobilier	lithique	silex	
PT1849	452843.958812	6760100.539349	67.242108	22-11-2012/14:55:24.0	mobilier	lithique	silex	
PT1850	452846.159449	6760100.714562	67.241472	22-11-2012/14:55:40.0	mobilier	lithique	silex	
PT1851	452843.627629	6760099.710216	67.231586	22-11-2012/14:59:42.0	mobilier	lithique	silex	
PT1852	452843.434060	6760079.313461	67.032945	22-11-2012/15:11:38.0	mobilier	lithique	silex	
PT1853	452840.662012	6760079.565598	67.003069	22-11-2012/15:11:54.0	mobilier	lithique	silex	
PT1854	452844.910402	6760081.592233	67.021441	22-11-2012/15:14:30.0	mobilier	lithique	silex	
PT1855	452843.415114	6760079.094263	66.978824	22-11-2012/15:14:42.0	vrac mobilier	point central		BD9_L4
PT1856	452844.619152	6760079.987880	66.995289	22-11-2012/15:16:25.0	mobilier	lithique	silex	
PT1857	452842.504297	6760079.002426	66.958164	22-11-2012/15:18:45.0	mobilier	lithique	silex	
PT1858	452841.828382	6760080.295232	66.944855	22-11-2012/15:18:57.0	mobilier	lithique	silex	
PT1859	452844.266829	6760081.309195	66.907101	22-11-2012/15:20:18.0	mobilier	lithique	silex	
PT1860	452844.258535	6760081.173883	66.944580	22-11-2012/15:20:27.0	mobilier	lithique	silex	
PT1861	452844.235201	6760078.416316	66.954407	22-11-2012/15:20:41.0	mobilier	lithique	silex	
PT1862	452844.242813	6760081.305343	66.888385	22-11-2012/15:22:13.0	mobilier	lithique	silex	
PT1863	452841.737940	6760080.692562	66.889183	22-11-2012/15:23:35.0	mobilier	lithique	silex	
PT1864	452840.295229	6760079.685595	66.857432	22-11-2012/15:24:24.0	mobilier	lithique	silex	
PT1865	452840.232992	6760079.693672	66.866699	22-11-2012/15:24:39.0	mobilier	lithique	silex	
PT1866	452844.037722	6760078.665685	66.882521	22-11-2012/15:25:17.0	mobilier	lithique	silex	
PT1867	452842.752426	6760080.247302	66.876239	22-11-2012/15:26:31.0	mobilier	lithique	silex	
PT1868	452842.639994	6760080.312580	66.884379	22-11-2012/15:26:41.0	mobilier	lithique	silex	
PT1869	452842.677284	6760080.385591	66.881168	22-11-2012/15:26:55.0	mobilier	lithique	silex	
PT1870	452841.584082	6760079.499922	66.871782	22-11-2012/15:27:44.0	mobilier	lithique	silex	
PT1871	452844.159943	6760081.465382	66.807104	22-11-2012/15:29:31.0	mobilier	lithique	silex	
PT1872	452844.924378	6760080.571239	66.841966	22-11-2012/15:29:42.0	mobilier	lithique	silex	
PT1873	452840.345337	6760080.493830	66.789400	22-11-2012/15:31:17.0	mobilier	lithique	silex	
PT1874	452840.177836	6760080.442971	66.772883	22-11-2012/15:31:25.0	mobilier	lithique	silex	
PT1875	452842.953635	6760080.657769	66.810551	22-11-2012/15:32:55.0	mobilier	lithique	silex	
PT1876	452842.961300	6760080.792592	66.794604	22-11-2012/15:33:04.0	mobilier	lithique	silex	
PT1877	452843.012810	6760080.916911	66.808985	22-11-2012/15:33:14.0	mobilier	lithique	silex	
PT1878	452841.159192	6760080.800897	66.787293	22-11-2012/15:36:07.0	mobilier	lithique	silex	
PT1879	452840.672767	6760079.243096	66.787670	22-11-2012/15:36:23.0	mobilier	lithique	silex	
PT1880	452840.600598	6760079.994035	66.746464	22-11-2012/15:37:27.0	mobilier	lithique	silex	
PT1881	452842.573091	6760079.821843	66.707052	22-11-2012/15:38:40.0	mobilier	lithique	silex	
PT1882	452842.458424	6760078.499739	66.686141	22-11-2012/15:39:20.0	mobilier	lithique	silex	
PT1883	452844.060863	6760081.149260	66.707300	22-11-2012/15:40:36.0	mobilier	lithique	silex	
PT1884	452840.971683	6760079.968957	66.691410	22-11-2012/15:41:54.0	mobilier	lithique	silex	
PT1885	452843.657522	6760100.492237	67.130722	22-11-2012/15:44:39.0	mobilier	lithique	silex	
PT1886	452843.902191	6760099.160710	67.078448	22-11-2012/15:47:05.0	mobilier	lithique	silex	
PT1887	452843.697127	6760099.972192	67.088761	22-11-2012/15:47:17.0	mobilier	lithique	silex	
PT1888	452845.646613	6760100.069279	67.040001	22-11-2012/15:47:29.0	mobilier	lithique	silex	
PT1889	452840.714047	6760080.129237	66.537444	22-11-2012/15:47:50.0	mobilier	lithique	silex	
PT1890	452843.839717	6760101.491523	67.028804	22-11-2012/15:48:12.0	mobilier	lithique	silex	
PT1891	452844.827621	6760099.851264	66.973788	22-11-2012/15:51:09.0	mobilier	lithique	silex	
PT1892	452844.435277	6760099.988461	67.051461	22-11-2012/15:51:24.0	mobilier	lithique	silex	
PT1893	452843.706502	6760100.067484	67.060469	22-11-2012/15:51:40.0	mobilier	lithique	silex	
PT1894	452843.678201	6760101.729444	67.034131	22-11-2012/15:54:07.0	mobilier	lithique	silex	
PT1895	452844.270993	6760099.555664	66.946716	22-11-2012/15:55:43.0	mobilier	lithique	silex	
PT1896	452844.130901	6760100.219595	66.970225	22-11-2012/15:56:05.0	mobilier	lithique	silex	
PT1897	452844.113561	6760100.303589	66.962202	22-11-2012/15:56:21.0	mobilier	lithique	silex	
PT1898	452843.925723	6760103.438454	66.952201	22-11-2012/15:56:39.0	mobilier	lithique	silex	
PT1899	452844.349891	6760099.121607	66.874124	22-11-2012/15:58:45.0	mobilier	lithique	silex	
PT1900	452843.875099	6760101.541863	66.891488	22-11-2012/16:00:07.0	mobilier	lithique	silex	
PT1901	452844.188874	6760099.114649	66.858324	22-11-2012/16:00:22.0	mobilier	lithique	silex	
PT1902	452840.818109	6760074.679256	66.991587	22-11-2012/16:07:26.0	mobilier	lithique	silex	
PT1903	452841.479000	6760073.668405	66.973524	22-11-2012/16:07:42.0	mobilier	lithique	silex	
PT1904	452845.423166	6760075.473606	67.046947	22-11-2012/16:08:02.0	mobilier	lithique	silex	
PT1905	452843.490376	6760073.736428	66.986583	22-11-2012/16:08:20.0	vrac mobilier	point central		BD10_L4
PT1906	452845.829898	6760100.849040	66.599190	22-11-2012/16:09:44.0	vrac mobilier	point central		BD4_L5
PT1907	452851.178683	6760101.634495	67.177824	22-11-2012/16:17:05.0	mobilier	lithique	silex	
PT1908	452851.238452	6760101.515055	67.225951	22-11-2012/16:17:18.0	mobilier	lithique	silex	
PT1909	452841.588753	6760072.754279	66.795149	22-11-2012/16:19:37.0	mobilier	lithique	silex	
PT1910	452851.030860	6760101.407583	67.140400	22-11-2012/16:22:08.0	mobilier	lithique	silex	
PT1911	452849.991905	6760099.840605	67.094740	22-11-2012/16:22:26.0	mobilier	lithique	silex	
PT1912	452848.361622	6760099.537775	67.163663	22-11-2012/16:22:43.0	mobilier	lithique	silex	
PT1913	452842.087653	6760073.960650	66.771501	22-11-2012/16:23:15.0	mobilier	lithique	silex	
PT1914	452843.167896	6760074.972620	66.829487	22-11-2012/16:23:30.0	mobilier	lithique	silex	
PT1915	452848.206047	6760098.882037	67.058472	22-11-2012/16:26:58.0	mobilier	lithique	silex	
PT1916	452848.372754	6760098.893452	67.062209	22-11-2012/16:27:14.0	mobilier	lithique	silex	
PT1917	452849.435350	6760101.046985	67.034667	22-11-2012/16:27:29.0	mobilier	lithique	silex	
PT1918	452849.427913	6760101.599537	67.029735	22-11-2012/16:27:44.0	mobilier	lithique	grès ?	
PT1919	452850.400175	6760101.146903	66.994170	22-11-2012/16:27:59.0	mobilier	lithique	silex	
PT1920	452848.859649	6760099.971638	66.967122	22-11-2012/16:29:51.0	mobilier	lithique	silex	
PT1921	452848.632478	6760101.800173	66.927791	22-11-2012/16:34:01.0	mobilier	lithique	silex	
PT1922	452851.331298	6760101.902131	66.700077	22-11-2012/16:36:03.0	mobilier	lithique	silex	
PT1923	452849.002247	6760102.253852	66.824248	22-11-2012/16:36:20.0	mobilier	lithique	silex	
PT1924	452849.653893	6760099.781318	66.726323	22-11-2012/16:36:38.0	mobilier	lithique	silex	
PT1925	452849.451932	6760100.470987	66.725228	22-11-2012/16:40:57.0	vrac mobilier	point central		BD4_L6
PT1926	452855.813954	6760098.534238	67.334958	22-11-2012/16:50:39.0	mobilier	lithique	silex	
PT1927	452855.992094	6760098.109605	67.272427	22-11-2012/16:52:45.0	mobilier	lithique	silex	
PT1928	452854.889337	6760098.958085	67.268338	22-11-2012/16:53:03.0	mobilier	lithique	silex	
PT1929	452839.738872	6760069.377487	66.581142	22-11-2012/16:53:28.0	mobilier	lithique	silex	
PT1930	452840.176080	6760068.944906	66.572970	22-11-2012/16:53:40.0	mobilier	lithique	silex	
PT1931	452852.642408	6760099.542884	67.337323	22-11-2012/16:55:54.0	mobilier	lithique	silex	
PT1932	452855.275186	6760097.917534	67.192040	22-11-2012/16:57:19.0	mobilier	lithique	silex	
PT1933	452853.700548	6760099.693325	67.245188	22-11-2012/16:59:06.0	mobilier	lithique	grès	
PT1934	452854.876030	6760100.949309	67.148478	23-11-2012/08:26:01.0	mobilier	lithique	silex	
PT1935	452853.642327	6760099.721763	67.236317	23-11-2012/08:26:16.0	mobilier	lithique	silex	
PT1936	452853.142893	6760099.314410	67.289333	23-11-2012/08:26:34.0	mobilier	lithique	silex	
PT1937	452852.361847	6760099.094721	67.245994	23-11-2012/08:26:47.0	mobilier	lithique	silex	
PT1938	452852.428520	6760098.936135	67.269893	23-11-2012/08:27:00.0	mobilier	lithique	silex	
PT1939	452854.559690	6760098.516044	67.240006	23-11-2012/08:27:17.0	mobilier	lithique	silex	
PT1940	452844.160022	6760069.410193	66.792298	23-11-2012/08:28:41.0	vrac mobilier	point central		BD11_L4
PT1941	452839.521933	6760070.118304	66.307203	23-11-2012/08:29:37.0	mobilier	lithique	silex	
PT1942	452839.475458	6760070.019004	66.358565	23-11-2012/08:29:47.0	mobilier	lithique	silex	
PT1943	452854.134627	6760100.596556	67.074912	23-11-2012/08:31:36.0	mobilier	lithique	silex	
PT1944	452844.497589	6760069.923595	66.722054	23-11-2012/08:33:18.0	mobilier	lithique	silex	
PT1945	452854.598727	6760099.278351	66.696904	23-11-2012/08:47:12.0	vrac mobilier	point central		BD4_L7
PT1946	452858.154376	6760098.779848	67.349500	23-11-2012/09:06:11.0	mobilier	lithique	silex	
PT1947	452859.788240	6760098.902410	67.084193	23-11-2012/09:12:54.0	mobilier	lithique	silex	
PT1948	452859.505970	6760098.810630	67.101733	23-11-2012/09:13:05.0	mobilier	lithique	silex	
PT1949	452860.227730	6760099.158886	66.973878	23-11-2012/09:19:24.0	mobilier	lithique	silex	
PT1950	452858.332847	6760098.791006	67.160264	23-11-2012/09:19:39.0	mobilier	lithique	silex	
PT1951	452858.177171	6760100.443433	67.190692	23-11-2012/09:19:53.0	mobilier	lithique	silex	
PT1952	452860.428642	6760102.424659	66.965805	23-11-2012/09:27:45.0	mobilier	lithique	silex	
PT1953	452859.880117	6760100.243962	66.975576	23-11-2012/09:28:09.0	mobilier	lithique	silex	
PT1954	452859.595708	6760100.481733	67.021754	23-11-2012/09:28:39.0	mobilier	lithique	silex	
PT1955	452859.666801	6760100.566049	67.020544	23-11-2012/09:28:55.0	mobilier	lithique	silex	
PT1956	452859.783869	6760100.544946	67.007626	23-11-2012/09:29:16.0	mobilier	lithique	silex	
PT1957	452859.582233	6760100.660934	67.023038	23-11-2012/09:29:29.0	mobilier	lithique	silex	
PT1958	452859.724667	6760100.555527	66.994585	23-11-2012/09:29:44.0	mobilier	lithique	silex	
PT1959	452859.549023	6760100.635584	67.018904	23-11-2012/09:30:07.0	mobilier	lithique	silex	
PT1960	452859.730098	6760100.687321	66.999955	23-11-2012/09:30:23.0	mobilier	lithique	silex	
PT1961	452859.659346	6760100.604697	67.001547	23-11-2012/09:32:08.0	mobilier	lithique	silex	
PT1962	452859.608101	6760100.538553	67.011835	23-11-2012/09:32:57.0	mobilier	lithique	silex	
PT1963	452859.574960	6760100.488785	67.004503	23-11-2012/09:33:12.0	mobilier	lithique	silex	
PT1964	452859.574852	6760100.473321	67.007109	23-11-2012/09:33:36.0	mobilier	lithique	silex	
PT1965	452859.516879	6760100.579255	66.999867	23-11-2012/09:34:59.0	mobilier	lithique	silex	

MATRICULE	X (est)	Y (nord)	Z (alti)	DATE	ÉLÉMENT TOPOGRAPHIÉ	TYPE DE POINT	IDENTIFIANT	DESCRIPTION
PT1966	452859.531112	6760100.606977	67.002419	23-11-2012/09:36:50.0	mobilier	lithique	silex	
PT1967	452860.886101	6760099.898137	66.818881	23-11-2012/09:43:50.0	mobilier	lithique	silex	
PT1968	452860.664557	6760099.938513	66.867272	23-11-2012/09:44:03.0	mobilier	lithique	silex	
PT1969	452860.785917	6760100.358810	66.839996	23-11-2012/09:44:17.0	mobilier	lithique	silex	
PT1970	452860.786769	6760100.498217	66.850373	23-11-2012/09:44:30.0	mobilier	lithique	silex	
PT1971	452860.453394	6760101.279946	66.909907	23-11-2012/09:44:53.0	mobilier	lithique	silex	
PT1972	452861.617032	6760102.357617	66.792839	23-11-2012/09:45:14.0	mobilier	lithique	silex	
PT1973	452859.900020	6760102.231058	66.926858	23-11-2012/09:45:30.0	mobilier	lithique	silex	
PT1974	452860.163870	6760102.529165	66.902132	23-11-2012/09:45:42.0	mobilier	lithique	silex	
PT1975	452858.511160	6760099.514378	67.111669	23-11-2012/09:48:38.0	mobilier	lithique	silex	
PT1976	452859.294574	6760100.285484	66.970853	23-11-2012/09:53:10.0	mobilier	lithique	silex	
PT1977	452859.496499	6760100.541730	67.007191	23-11-2012/09:53:28.0	mobilier	lithique	silex	
PT1978	452859.650662	6760101.281746	66.974039	23-11-2012/09:53:44.0	mobilier	lithique	silex	
PT1979	452860.848585	6760100.239172	66.801514	23-11-2012/09:54:02.0	mobilier	lithique	silex	
PT1980	452845.582947	6760065.396294	66.704154	23-11-2012/10:07:58.0	mobilier	lithique	silex	
PT1981	452845.397993	6760063.936669	66.633594	23-11-2012/10:08:21.0	vrac mobilier	point central		BD12_L4
PT1982	452860.237176	6760102.447026	66.883734	23-11-2012/10:35:31.0	mobilier	lithique	silex	
PT1983	452860.343793	6760101.803434	66.876348	23-11-2012/10:35:49.0	mobilier	lithique	silex	
PT1984	452859.320643	6760100.689010	66.981311	23-11-2012/10:36:11.0	mobilier	lithique	silex	
PT1985	452860.377644	6760101.933695	66.871225	23-11-2012/10:39:39.0	mobilier	lithique	silex	
PT1986	452859.831657	6760102.009993	66.886358	23-11-2012/10:40:10.0	mobilier	lithique	silex	
PT1987	452842.840508	6760063.968160	66.527064	23-11-2012/10:40:37.0	mobilier	lithique	silex	
PT1988	452860.382591	6760100.354188	66.836435	23-11-2012/10:43:18.0	mobilier	lithique	silex	
PT1989	452858.539098	6760100.228447	66.978889	23-11-2012/10:44:04.0	mobilier	lithique	silex	
PT1990	452858.528843	6760100.293421	66.984299	23-11-2012/10:44:19.0	mobilier	lithique	silex	
PT1991	452858.470763	6760102.890032	66.981516	23-11-2012/10:44:40.0	mobilier	lithique	silex	
PT1992	452858.701641	6760102.593215	66.919411	23-11-2012/10:47:56.0	mobilier	lithique	silex	
PT1993	452859.437154	6760102.689827	66.885259	23-11-2012/10:48:23.0	mobilier	lithique	silex	
PT1994	452859.795018	6760102.584334	66.844432	23-11-2012/10:48:42.0	mobilier	lithique	silex	
PT1995	452860.143357	6760103.396571	66.847096	23-11-2012/10:49:00.0	mobilier	lithique	silex	
PT1996	452861.114724	6760101.970840	66.794183	23-11-2012/10:49:17.0	mobilier	lithique	silex	
PT1997	452860.635848	6760100.935563	66.726712	23-11-2012/10:53:13.0	mobilier	lithique	silex	
PT1998	452860.650294	6760100.972090	66.720919	23-11-2012/10:53:58.0	mobilier	lithique	silex	
PT1999	452860.738579	6760101.315023	66.728739	23-11-2012/10:54:10.0	mobilier	lithique	silex	
PT2000	452860.311366	6760102.068586	66.733843	23-11-2012/10:54:24.0	mobilier	lithique	silex	
PT2001	452883.782689	6760083.539443	67.565582	23-11-2012/10:56:04.0	mobilier	lithique	silex	
PT2002	452883.402273	6760083.571015	67.560963	23-11-2012/10:56:22.0	mobilier	lithique	silex	
PT2003	452883.669601	6760083.347061	67.538409	23-11-2012/10:56:31.0	mobilier	lithique	silex	
PT2004	452884.650348	6760082.904297	67.517121	23-11-2012/10:56:41.0	mobilier	lithique	silex	
PT2005	452883.459899	6760081.841978	67.490811	23-11-2012/10:56:53.0	mobilier	lithique	silex	
PT2006	452881.723326	6760081.404643	67.723318	23-11-2012/10:57:26.0	vrac mobilier	point central		BD9_L11
PT2007	452859.930642	6760099.346274	66.755449	23-11-2012/11:05:16.0	vrac mobilier	point central		BD4_L8
PT2008	452882.224716	6760082.739611	67.494815	23-11-2012/11:12:45.0	mobilier	lithique	silex	
PT2009	452881.134577	6760082.376024	67.413388	23-11-2012/11:12:59.0	mobilier	lithique	silex	
PT2010	452880.985898	6760082.365905	67.421339	23-11-2012/11:13:10.0	mobilier	lithique	silex	
PT2011	452884.990155	6760082.607073	67.507146	23-11-2012/11:17:51.0	mobilier	lithique	silex	
PT2012	452884.647198	6760082.783732	67.500377	23-11-2012/11:18:03.0	mobilier	lithique	silex	
PT2013	452883.907738	6760081.998168	67.462387	23-11-2012/11:18:31.0	mobilier	lithique	silex	
PT2014	452868.585270	6760113.567911	67.399811	23-11-2012/11:26:23.0	mobilier	lithique	silex	
PT2015	452884.196394	6760079.860375	67.346986	23-11-2012/11:29:07.0	mobilier	lithique	silex	
PT2016	452868.086956	6760112.525522	67.359926	23-11-2012/11:36:23.0	mobilier	lithique	silex	
PT2017	452865.877345	6760110.532555	67.277583	23-11-2012/11:45:27.0	mobilier	lithique	silex	
PT2018	452870.989431	6760114.076138	67.144965	23-11-2012/11:54:41.0	mobilier	lithique	silex	
PT2019	452866.450630	6760111.100259	67.060216	23-11-2012/11:58:54.0	mobilier	lithique	silex	
PT2020	452865.657436	6760111.842520	67.057713	23-11-2012/11:59:20.0	mobilier	lithique	silex	
PT2021	452865.871575	6760112.905450	67.086449	23-11-2012/11:59:38.0	mobilier	lithique	silex	
PT2022	452866.969606	6760113.369085	67.130454	23-11-2012/11:59:54.0	mobilier	lithique	silex	
PT2023	452872.743681	6760113.591890	67.044072	23-11-2012/13:33:37.0	mobilier	lithique	silex	
PT2024	452870.758977	6760112.792850	67.047216	23-11-2012/13:34:04.0	mobilier	lithique	silex	
PT2025	452868.448577	6760113.836795	67.072222	23-11-2012/13:34:29.0	mobilier	lithique	silex	
PT2026	452867.464465	6760110.736850	67.047332	23-11-2012/13:34:59.0	mobilier	lithique	silex	
PT2027	452866.835502	6760113.332112	67.099295	23-11-2012/13:35:21.0	mobilier	lithique	silex	
PT2028	452870.240301	6760111.285017	66.922561	23-11-2012/13:38:46.0	mobilier	lithique	silex	
PT2029	452866.113491	6760111.004018	66.981494	23-11-2012/13:43:42.0	mobilier	lithique	silex	
PT2030	452867.948466	6760111.523610	66.952134	23-11-2012/13:44:05.0	mobilier	lithique	silex	
PT2031	452869.149405	6760113.072378	66.980837	23-11-2012/13:45:41.0	mobilier	lithique	silex	
PT2032	452871.693889	6760112.453320	66.877125	23-11-2012/13:47:41.0	mobilier	lithique	silex	
PT2033	452868.815329	6760113.866112	66.974224	23-11-2012/13:50:01.0	mobilier	lithique	silex	
PT2034	452867.259004	6760113.365323	66.962788	23-11-2012/13:50:15.0	mobilier	lithique	silex	
PT2035	452868.202641	6760113.179299	66.911409	23-11-2012/13:53:22.0	mobilier	lithique	silex	
PT2036	452883.673546	6760084.630724	67.639815	23-11-2012/13:54:22.0	mobilier	lithique	silex	
PT2037	452882.478495	6760085.663464	67.611168	23-11-2012/13:54:40.0	vrac mobilier	point central		BD8_L11
PT2038	452865.809567	6760111.182436	66.781447	23-11-2012/13:58:44.0	mobilier	lithique	silex	
PT2039	452865.586508	6760111.458446	66.847395	23-11-2012/13:59:02.0	mobilier	lithique	silex	
PT2040	452866.860535	6760112.542283	66.851455	23-11-2012/13:59:35.0	mobilier	lithique	silex	
PT2041	452866.916356	6760112.349836	66.855732	23-11-2012/13:59:54.0	mobilier	lithique	silex	
PT2042	452883.956447	6760084.856995	67.528832	23-11-2012/14:00:08.0	mobilier	lithique	silex	
PT2043	452884.179432	6760084.149560	67.512848	23-11-2012/14:01:41.0	mobilier	lithique	silex	
PT2044	452883.233776	6760084.262344	67.528688	23-11-2012/14:01:53.0	mobilier	lithique	silex	
PT2045	452866.605320	6760111.951033	66.871511	23-11-2012/14:02:50.0	mobilier	lithique	silex	
PT2046	452866.471747	6760113.005527	66.848913	23-11-2012/14:03:05.0	mobilier	lithique	silex	
PT2047	452882.375660	6760084.315791	67.512352	23-11-2012/14:03:34.0	mobilier	lithique	silex	
PT2048	452882.251497	6760084.278867	67.511363	23-11-2012/14:03:46.0	mobilier	lithique	silex	
PT2049	452882.458558	6760083.636032	67.424821	23-11-2012/14:06:44.0	mobilier	lithique	silex	
PT2050	452866.506221	6760113.138644	66.801101	23-11-2012/14:08:45.0	mobilier	lithique	silex	
PT2051	452869.519221	6760114.260997	66.802868	23-11-2012/14:10:08.0	mobilier	lithique	silex	
PT2052	452866.574542	6760112.650680	66.738922	23-11-2012/14:15:08.0	mobilier	lithique	silex	
PT2053	452870.239084	6760112.352908	66.685845	23-11-2012/14:26:35.0	vrac mobilier	point central		BD2_L10
PT2054	452846.635419	6760098.600405	67.170069	23-11-2012/14:33:02.0	mobilier	lithique	silex	
PT2055	452845.227664	6760096.155857	67.174788	23-11-2012/14:36:50.0	mobilier	lithique	silex	
PT2056	452845.365707	6760096.225086	67.195558	23-11-2012/14:37:12.0	mobilier	lithique	silex	
PT2057	452845.569975	6760098.020967	67.133600	23-11-2012/14:37:33.0	mobilier	lithique	silex	
PT2058	452879.715962	6760083.943244	67.621954	23-11-2012/14:39:49.0	mobilier	lithique	silex	
PT2059	452846.045416	6760098.006160	67.145753	23-11-2012/14:43:07.0	mobilier	lithique	silex	
PT2060	452844.660541	6760096.306143	67.174217	23-11-2012/14:43:23.0	mobilier	lithique	silex	
PT2061	452846.814708	6760094.958595	67.013693	23-11-2012/14:45:35.0	mobilier	lithique	silex	
PT2062	452845.878348	6760096.777499	67.131412	23-11-2012/14:45:52.0	mobilier	lithique	silex	
PT2063	452845.704864	6760098.159283	67.131278	23-11-2012/14:46:06.0	mobilier	lithique	silex	
PT2064	452845.603692	6760098.309665	67.135264	23-11-2012/14:46:17.0	mobilier	lithique	silex	
PT2065	452844.554785	6760097.292029	67.165604	23-11-2012/14:46:32.0	mobilier	lithique	silex	
PT2066	452878.468503	6760084.559930	67.443266	23-11-2012/14:47:46.0	mobilier	lithique	silex	
PT2067	452846.423126	6760094.990350	67.011542	23-11-2012/14:48:32.0	mobilier	lithique	silex	
PT2068	452845.010138	6760097.417695	67.117028	23-11-2012/14:48:48.0	mobilier	lithique	silex	
PT2069	452879.117809	6760084.787358	67.414133	23-11-2012/14:50:44.0	mobilier	lithique	silex	
PT2070	452878.533640	6760084.838275	67.421212	23-11-2012/14:50:53.0	mobilier	lithique	silex	
PT2071	452845.774058	6760097.789871	67.057188	23-11-2012/14:51:37.0	mobilier	lithique	silex	
PT2072	452844.264166	6760097.876000	67.161922	23-11-2012/14:51:58.0	mobilier	lithique	silex	
PT2073	452845.297749	6760096.397371	67.080873	23-11-2012/14:52:21.0	mobilier	lithique	silex	
PT2074	452844.362171	6760096.093303	67.078146	23-11-2012/14:52:44.0	mobilier	lithique	silex	
PT2075	452880.431615	6760083.318300	67.427780	23-11-2012/14:59:12.0	mobilier	lithique	silex	
PT2076	452879.574869	6760084.063177	67.325685	23-11-2012/14:59:28.0	mobilier	lithique	silex	
PT2077	452879.801234	6760083.393866	67.319264	23-11-2012/15:00:43.0	mobilier	lithique	silex	
PT2078	452846.736392	6760098.120891	66.968745	23-11-2012/15:02:28.0	mobilier	lithique	silex	
PT2079	452847.050264	6760097.808434	66.908110	23-11-2012/15:02:47.0	mobilier	lithique	silex	
PT2080	452846.759458	6760097.712645	66.961314	23-11-2012/15:03:06.0	mobilier	lithique	silex	
PT2081	452846.688221	6760095.998451	66.971397	23-11-2012/15:03:19.0	mobilier	lithique	silex	
PT2082	452845.245932	6760095.673941	67.025071	23-11-2012/15:03:38.0	mobilier	lithique	silex	
PT2083	452845.288126	6760095.974509	67.031282	23-11-2012/15:03:52.0	mobilier	lithique	silex	
PT2084	452845.309582	6760096.342868	67.040986	23-11-2012/15:04:04.0	mobilier	lithique	silex	
PT2085	452845.351462	6760096.384385	67.054124	23-11-2012/15:04:16.0	mobilier	lithique	silex	
PT2086	452845.320542	6760096.369026	67.049844	23-11-2012/15:04:26.0	mobilier	lithique	silex	
PT2087	452876.341612	6760091.194313	67.313614	23-11-2012/15:20:00.0	mobilier	lithique	silex	
PT2088	452844.521415	6760098.245181	67.059313	26-11-2012/08:30:16.0	mobilier	lithique	silex	
PT2089	452844.657013	6760096.717026	67.070095	26-11-2012/08:30:31.0	mobilier	lithique	silex	
PT2090	452845.328018	6760095.485230	66.974449	26-11-2012/08:36:33.0	mobilier	lithique	silex	
PT2091	452845.229766	6760096.164097	66.934501	26-11-2012/08:38:31.0	mobilier	lithique	silex	
PT2092	452844.260317	6760096.973853	66.902171	26-11-2012/08:40:51.0	mobilier	lithique	silex	
PT2093	452845.665321	6760095.300040	66.804439	26-11-2012/08:43:13.0	mobilier	lithique	silex	
PT2094	452845.504543	6760095.374814	66.696162	26-11-2012/08:47:52.0	mobilier	lithique	silex	
PT2095	452844.990693	6760095.782912	66.582480	26-11-2012/08:57:35.0	mobilier	lithique	silex	
PT2096	452845.887244	6760097.016591	66.489391	26-11-2012/09:03:47.0	vrac mobilier	point central		BD5_L5

MATRICULE	X (est)	Y (nord)	Z (alti)	DATE	ÉLÉMENT TOPOGRAPHIÉ	TYPE DE POINT	IDENTIFIANT	DESCRIPTION
PT2097	452848.497465	6760097.256099	67.259495	26-11-2012/09:18:03.0	mobilier	lithique	silex	
PT2098	452849.024473	6760098.159672	67.261372	26-11-2012/09:18:15.0	mobilier	lithique	silex	
PT2099	452849.726866	6760097.051211	67.179810	26-11-2012/09:18:29.0	mobilier	lithique	silex	
PT2100	452851.353528	6760095.644347	67.232839	26-11-2012/09:24:46.0	mobilier	lithique	silex	
PT2101	452848.468646	6760095.885062	67.207096	26-11-2012/09:29:00.0	mobilier	lithique	silex	
PT2102	452849.198254	6760096.500676	67.199035	26-11-2012/09:29:12.0	mobilier	lithique	silex	
PT2103	452849.300100	6760097.020311	67.150440	26-11-2012/09:29:31.0	mobilier	lithique	silex	
PT2104	452849.263675	6760097.138711	67.164890	26-11-2012/09:29:46.0	mobilier	lithique	silex	
PT2105	452849.510519	6760097.549096	67.146997	26-11-2012/09:30:21.0	mobilier	lithique	silex	
PT2106	452849.421739	6760097.624564	67.145842	26-11-2012/09:30:31.0	mobilier	lithique	silex	
PT2107	452852.690899	6760097.668160	66.976661	26-11-2012/09:30:54.0	mobilier	lithique	silex	
PT2108	452850.161926	6760096.588709	67.147313	26-11-2012/09:31:16.0	vrac mobilier	point central		BD5 L6
PT2109	452852.389767	6760095.695777	67.007480	26-11-2012/09:37:19.0	mobilier	lithique	silex	
PT2110	452852.215741	6760095.743802	67.031918	26-11-2012/09:38:32.0	mobilier	lithique	silex	
PT2111	452849.518107	6760095.869573	67.178718	26-11-2012/09:39:18.0	mobilier	lithique	silex	
PT2112	452849.353850	6760096.190196	67.104750	26-11-2012/09:39:41.0	mobilier	lithique	silex	
PT2113	452848.967466	6760095.303268	67.165684	26-11-2012/09:40:02.0	mobilier	lithique	silex	
PT2114	452848.856955	6760095.234825	67.146254	26-11-2012/09:40:16.0	mobilier	lithique	silex	
PT2115	452849.427633	6760096.020527	66.997994	26-11-2012/09:40:33.0	mobilier	lithique	grès quartzite	
PT2116	452849.475771	6760096.337152	67.093302	26-11-2012/09:40:46.0	mobilier	lithique	grès quartzite	
PT2117	452849.674084	6760098.372451	67.134686	26-11-2012/09:41:04.0	mobilier	lithique	silex	
PT2118	452849.284747	6760098.373287	67.169291	26-11-2012/09:41:17.0	mobilier	lithique	silex	
PT2119	452848.749560	6760095.111766	67.137969	26-11-2012/09:48:39.0	mobilier	lithique	silex	
PT2120	452849.222365	6760095.374376	67.072806	26-11-2012/09:48:59.0	mobilier	lithique	silex	
PT2121	452849.036551	6760095.687756	67.145419	26-11-2012/09:49:19.0	mobilier	lithique	silex	
PT2122	452849.103802	6760095.961819	67.131169	26-11-2012/09:49:39.0	mobilier	lithique	silex	
PT2123	452848.839501	6760096.633231	67.179221	26-11-2012/09:49:56.0	mobilier	lithique	silex	
PT2124	452849.152709	6760096.731925	67.113070	26-11-2012/09:50:14.0	mobilier	lithique	silex	
PT2125	452852.113091	6760095.736819	66.957504	26-11-2012/09:50:34.0	mobilier	lithique	silex	
PT2126	452852.369844	6760095.703508	66.970805	26-11-2012/09:50:49.0	mobilier	lithique	silex	
PT2127	452848.913467	6760098.570819	67.165499	26-11-2012/09:51:15.0	mobilier	lithique	silex	
PT2128	452849.164397	6760098.074544	67.130203	26-11-2012/09:51:32.0	mobilier	lithique	silex	
PT2129	452849.512799	6760098.598856	67.119939	26-11-2012/09:52:04.0	mobilier	lithique	silex	
PT2130	452848.413318	6760095.805015	67.113280	26-11-2012/09:56:16.0	mobilier	lithique	silex	
PT2131	452848.429128	6760095.694341	67.106026	26-11-2012/09:56:35.0	mobilier	lithique	silex	
PT2132	452848.268645	6760095.648201	67.106868	26-11-2012/09:57:02.0	mobilier	lithique	silex	
PT2133	452848.626755	6760095.403727	67.102173	26-11-2012/09:57:19.0	mobilier	lithique	silex	
PT2134	452848.422831	6760095.075802	67.082951	26-11-2012/09:57:38.0	mobilier	lithique	silex	
PT2135	452848.399715	6760095.265236	67.088837	26-11-2012/09:58:12.0	mobilier	lithique	silex	
PT2136	452849.852470	6760098.604149	67.097634	26-11-2012/09:58:31.0	mobilier	lithique	silex	
PT2137	452848.431475	6760097.864696	67.100588	26-11-2012/10:03:50.0	mobilier	lithique	silex	
PT2138	452848.424685	6760097.865803	67.103125	26-11-2012/10:04:05.0	mobilier	lithique	silex	
PT2139	452848.542570	6760097.601279	67.112321	26-11-2012/10:04:20.0	mobilier	lithique	silex	
PT2140	452854.148713	6760093.953270	67.386748	26-11-2012/10:32:12.0	mobilier	lithique	silex	
PT2141	452854.330063	6760094.009400	67.399183	26-11-2012/10:32:29.0	mobilier	lithique	silex	
PT2142	452854.570077	6760094.697686	67.402358	26-11-2012/10:32:44.0	mobilier	lithique	silex	
PT2143	452854.880021	6760094.272568	67.321183	26-11-2012/10:36:33.0	mobilier	lithique	silex	
PT2144	452854.969781	6760094.443460	67.278878	26-11-2012/10:38:32.0	mobilier	lithique	silex	
PT2145	452860.085297	6760096.974375	66.997753	26-11-2012/11:10:12.0	mobilier	lithique	silex	
PT2146	452848.441880	6760092.421686	67.393735	26-11-2012/11:23:01.0	vrac mobilier	point central		BD6 L5
PT2147	452850.027938	6760094.493047	67.418756	26-11-2012/11:23:18.0	mobilier	lithique	silex	
PT2148	452846.890469	6760091.177752	67.250990	26-11-2012/11:26:01.0	mobilier	lithique	grès quartzite	
PT2149	452849.249753	6760094.105636	67.396069	26-11-2012/11:26:24.0	mobilier	lithique	silex	
PT2150	452848.909194	6760094.472326	67.404572	26-11-2012/11:26:37.0	mobilier	lithique	silex	
PT2151	452846.341680	6760093.366059	67.362629	26-11-2012/11:26:54.0	mobilier	lithique	silex	
PT2152	452848.783716	6760093.126775	67.350843	26-11-2012/11:29:42.0	mobilier	lithique	silex	
PT2153	452847.006624	6760093.812723	67.336188	26-11-2012/11:30:01.0	mobilier	lithique	silex	
PT2154	452846.980135	6760090.828174	67.304756	26-11-2012/11:30:22.0	mobilier	lithique	silex	
PT2155	452847.346376	6760092.423621	67.330389	26-11-2012/11:30:44.0	mobilier	lithique	silex	
PT2156	452847.038378	6760094.488558	67.351033	26-11-2012/11:34:34.0	mobilier	lithique	silex	
PT2157	452846.731550	6760091.391196	67.288428	26-11-2012/11:34:58.0	mobilier	lithique	silex	
PT2158	452849.737645	6760094.703017	67.350902	26-11-2012/11:35:26.0	mobilier	lithique	silex	
PT2159	452848.236779	6760094.043367	67.353636	26-11-2012/11:35:49.0	mobilier	lithique	silex	
PT2160	452849.280197	6760091.134855	67.243154	26-11-2012/11:36:10.0	mobilier	lithique	grès	
PT2161	452849.924462	6760094.004616	67.327467	26-11-2012/11:36:33.0	mobilier	lithique	silex	
PT2162	452849.484653	6760091.066386	67.175235	26-11-2012/11:40:48.0	mobilier	lithique	silex	
PT2163	452847.968509	6760090.792350	67.201088	26-11-2012/11:41:04.0	mobilier	lithique	silex	
PT2164	452847.507483	6760091.497068	67.160635	26-11-2012/11:41:25.0	mobilier	lithique	silex	
PT2165	452849.436491	6760092.987395	67.282729	26-11-2012/11:42:04.0	mobilier	lithique	silex	
PT2166	452850.030603	6760093.489558	67.232368	26-11-2012/11:42:22.0	mobilier	lithique	grès	
PT2167	452849.224354	6760094.197024	67.189959	26-11-2012/11:48:18.0	mobilier	lithique	grès quartzite	
PT2168	452849.044630	6760094.055635	67.290874	26-11-2012/11:48:41.0	mobilier	lithique	silex	
PT2169	452848.582592	6760094.322252	67.282381	26-11-2012/11:48:56.0	mobilier	lithique	silex	
PT2170	452847.797503	6760092.769089	67.172650	26-11-2012/11:49:18.0	mobilier	lithique	silex	
PT2171	452847.825239	6760092.668919	67.177187	26-11-2012/11:49:32.0	mobilier	lithique	silex	
PT2172	452848.055619	6760091.511609	67.082319	26-11-2012/11:49:50.0	mobilier	lithique	silex	
PT2173	452847.740851	6760090.692804	67.096891	26-11-2012/11:50:05.0	mobilier	lithique	silex	
PT2174	452847.284657	6760090.451483	67.101889	26-11-2012/11:50:19.0	mobilier	lithique	silex	
PT2175	452847.200774	6760090.616487	67.111892	26-11-2012/11:50:39.0	mobilier	lithique	silex	
PT2176	452849.734602	6760093.792198	67.231028	26-11-2012/11:55:50.0	mobilier	lithique	silex	
PT2177	452849.379562	6760093.483752	67.222511	26-11-2012/11:56:12.0	mobilier	lithique	silex	
PT2178	452848.010112	6760091.477113	67.061907	26-11-2012/11:56:32.0	mobilier	lithique	silex	
PT2179	452847.483388	6760091.960804	67.098306	26-11-2012/11:56:51.0	mobilier	lithique	silex	
PT2180	452846.660137	6760092.452099	67.160699	26-11-2012/11:57:19.0	mobilier	lithique	silex	
PT2181	452846.377714	6760094.453667	67.261643	26-11-2012/11:57:49.0	mobilier	lithique	silex	
PT2182	452848.280848	6760094.435777	67.239265	26-11-2012/14:09:13.0	mobilier	lithique	silex	
PT2183	452846.401337	6760093.692153	67.238103	26-11-2012/14:09:37.0	mobilier	lithique	silex	
PT2184	452849.462237	6760093.064853	67.130833	26-11-2012/14:11:42.0	mobilier	lithique	silex	
PT2185	452849.481073	6760093.152966	67.156428	26-11-2012/14:12:02.0	mobilier	lithique	silex	
PT2186	452849.589792	6760094.542813	67.215176	26-11-2012/14:12:24.0	mobilier	lithique	silex	
PT2187	452848.327974	6760093.099672	67.136110	26-11-2012/14:12:43.0	mobilier	lithique	silex	
PT2188	452847.075657	6760091.091247	66.990708	26-11-2012/14:16:04.0	mobilier	lithique	silex	
PT2189	452847.923166	6760092.800992	67.080701	26-11-2012/14:16:44.0	mobilier	lithique	silex	
PT2190	452848.913077	6760093.771043	67.147334	26-11-2012/14:17:03.0	mobilier	lithique	silex	
PT2191	452849.677429	6760093.570639	67.142876	26-11-2012/14:17:20.0	mobilier	lithique	silex	
PT2192	452849.665479	6760092.937099	67.089222	26-11-2012/14:17:39.0	mobilier	lithique	silex	
PT2193	452848.239594	6760094.449512	67.116425	26-11-2012/14:19:39.0	mobilier	lithique	quartzite	
PT2194	452848.304010	6760094.039675	67.110260	26-11-2012/14:20:31.0	mobilier	lithique	silex	
PT2195	452848.920751	6760094.240787	67.114496	26-11-2012/14:20:51.0	mobilier	lithique	silex	
PT2196	452849.829441	6760094.092636	67.127200	26-11-2012/14:21:05.0	mobilier	lithique	silex	
PT2197	452849.417926	6760093.046922	67.091978	26-11-2012/14:21:20.0	mobilier	lithique	silex	
PT2198	452849.448346	6760093.005858	67.073759	26-11-2012/14:21:32.0	mobilier	lithique	silex	
PT2199	452851.074307	6760091.126486	67.370819	26-11-2012/14:38:27.0	mobilier	lithique	silex	
PT2200	452851.596670	6760090.314376	67.270927	26-11-2012/14:39:42.0	mobilier	lithique	silex	
PT2201	452853.750140	6760093.008032	67.345024	26-11-2012/14:43:07.0	mobilier	lithique	silex	
PT2202	452852.889110	6760091.398667	67.223335	26-11-2012/14:43:28.0	mobilier	lithique	silex	
PT2203	452851.873603	6760091.656220	67.292005	26-11-2012/14:43:43.0	mobilier	lithique	silex	
PT2204	452853.826013	6760093.041496	67.316855	26-11-2012/14:46:19.0	mobilier	lithique	silex	
PT2205	452851.307710	6760091.408228	67.070009	26-11-2012/14:50:12.0	mobilier	lithique	silex	
PT2206	452853.599063	6760093.075912	67.210104	26-11-2012/14:52:48.0	mobilier	lithique	silex	
PT2207	452852.480248	6760092.891644	67.186958	26-11-2012/14:53:09.0	mobilier	lithique	silex	
PT2208	452852.581296	6760092.187313	67.110072	26-11-2012/14:53:29.0	mobilier	lithique	silex	
PT2209	452852.602329	6760092.725163	67.146973	26-11-2012/14:55:39.0	mobilier	lithique	silex	
PT2210	452850.676876	6760092.093570	67.109033	26-11-2012/14:55:56.0	mobilier	lithique	silex	
PT2211	452853.122342	6760093.607586	67.160981	26-11-2012/14:58:16.0	mobilier	lithique	silex	
PT2212	452850.706554	6760091.708657	67.025275	26-11-2012/14:58:34.0	mobilier	lithique	silex	
PT2213	452850.699641	6760091.799361	67.033093	26-11-2012/14:58:52.0	mobilier	lithique	silex	
PT2214	452853.634997	6760092.746830	67.037166	26-11-2012/15:01:00.0	mobilier	lithique	silex	
PT2215	452851.263463	6760092.292525	67.008194	26-11-2012/15:01:21.0	mobilier	lithique	silex	
PT2216	452853.446834	6760092.839924	66.993212	26-11-2012/15:03:33.0	mobilier	lithique	silex	
PT2217	452851.460653	6760092.357369	66.965596	26-11-2012/15:03:48.0	mobilier	lithique	silex	
PT2218	452852.991656	6760093.165306	66.962557	26-11-2012/15:06:31.0	mobilier	lithique	silex	
PT2219	452851.386182	6760092.390935	66.935482	26-11-2012/15:08:20.0	mobilier	lithique	silex	
PT2220	452858.135599	6760091.220783	67.308176	26-11-2012/15:22:28.0	mobilier	lithique	silex	
PT2221	452858.404999	6760092.510595	67.282279	26-11-2012/15:26:14.0	mobilier	lithique	silex	
PT2222	452855.560482	6760090.789500	67.153652	26-11-2012/15:31:00.0	mobilier	lithique	silex	
PT2223	452854.945316	6760090.820361	67.169732	26-11-2012/15:31:16.0	mobilier	lithique	silex	
PT2224	452854.904274	6760091.010563	67.201601	26-11-2012/15:31:28.0	mobilier	lithique	silex	
PT2225	452854.939396	6760092.613827	67.255604	26-11-2012/15:31:42.0	mobilier	lithique	silex	
PT2226	452856.815574	6760091.897537	67.044343	26-11-2012/15:37:38.0	mobilier	lithique	silex	
PT2227	452854.595028	6760091.199922	67.106216	26-11-2012/15:37:52.0	mobilier	lithique	silex	

MATRICULE	X (est)	Y (nord)	Z (alti)	DATE	ÉLÉMENT TOPOGRAPHIÉ	TYPE DE POINT	IDENTIFIANT	DESCRIPTION
PT2228	452854.922696	6760090.757297	67.016668	26-11-2012/15:39:55.0	mobilier	lithique	silex	
PT2229	452854.754249	6760090.821811	67.021367	26-11-2012/15:40:09.0	mobilier	lithique	silex	
PT2230	452854.876345	6760090.913377	67.026032	26-11-2012/15:40:22.0	mobilier	lithique	silex	
PT2231	452854.475453	6760091.270915	67.045419	26-11-2012/15:40:36.0	mobilier	lithique	silex	
PT2232	452854.680704	6760092.208936	67.063948	26-11-2012/15:42:59.0	mobilier	lithique	silex	
PT2233	452854.828455	6760091.908093	66.986712	26-11-2012/15:44:49.0	mobilier	lithique	silex	
PT2234	452856.459329	6760093.251288	66.950487	26-11-2012/15:46:48.0	mobilier	lithique	silex	
PT2235	452850.020448	6760090.810083	66.799345	26-11-2012/15:54:36.0	mobilier	lithique	silex	
PT2236	452849.828455	6760091.568392	66.911859	26-11-2012/15:55:00.0	mobilier	lithique	silex	
PT2237	452849.286538	6760088.310192	67.389075	26-11-2012/15:59:40.0	mobilier	lithique	silex	
PT2238	452848.061022	6760095.026849	67.057960	26-11-2012/16:10:42.0	mobilier	lithique	silex	
PT2239	452848.035899	6760096.840908	67.120949	26-11-2012/16:11:01.0	mobilier	lithique	silex	
PT2240	452851.091231	6760086.231531	67.299735	26-11-2012/16:11:41.0	mobilier	lithique	silex	
PT2241	452849.105616	6760085.168499	67.325220	26-11-2012/16:15:32.0	mobilier	lithique	silex	
PT2242	452848.790374	6760089.109949	67.353601	26-11-2012/16:17:23.0	mobilier	lithique	silex	
PT2243	452851.063724	6760088.838644	67.216868	26-11-2012/16:20:57.0	mobilier	lithique	silex	
PT2244	452850.811245	6760089.231540	67.263013	26-11-2012/16:21:10.0	mobilier	lithique	silex	
PT2245	452850.371442	6760089.265601	67.209286	26-11-2012/16:25:35.0	mobilier	lithique	silex	
PT2246	452848.369626	6760087.051741	67.287087	26-11-2012/16:25:57.0	mobilier	lithique	silex	
PT2247	452848.303035	6760085.682946	67.265681	26-11-2012/16:26:11.0	mobilier	lithique	silex	
PT2248	452850.332113	6760087.522423	67.198666	26-11-2012/16:29:34.0	mobilier	lithique	silex	
PT2249	452848.423159	6760087.542125	67.261034	26-11-2012/16:29:52.0	mobilier	lithique	silex	
PT2250	452849.861101	6760086.118679	67.173749	26-11-2012/16:30:20.0	mobilier	lithique	silex	
PT2251	452850.488207	6760088.839217	67.137420	26-11-2012/16:34:28.0	mobilier	lithique	silex	
PT2252	452850.502349	6760088.854002	67.136212	26-11-2012/16:40:39.0	mobilier	lithique	silex	
PT2253	452849.631162	6760088.181034	67.200681	26-11-2012/16:40:51.0	mobilier	lithique	silex	
PT2254	452850.223824	6760089.636485	67.168681	26-11-2012/16:41:03.0	mobilier	lithique	silex	
PT2255	452850.610219	6760089.544760	67.152129	26-11-2012/16:41:14.0	mobilier	lithique	silex	
PT2256	452848.408981	6760087.355311	67.218660	26-11-2012/16:41:31.0	mobilier	lithique	silex	
PT2257	452849.032817	6760085.351000	67.074084	26-11-2012/16:41:51.0	mobilier	lithique	silex	
PT2258	452848.644024	6760085.350828	67.097066	26-11-2012/16:42:04.0	mobilier	lithique	silex	
PT2259	452849.188692	6760088.010362	67.181071	26-11-2012/16:45:28.0	mobilier	lithique	silex	
PT2260	452849.690860	6760087.459735	67.148447	26-11-2012/16:45:56.0	mobilier	lithique	silex	
PT2261	452849.712911	6760088.728421	67.179154	26-11-2012/16:46:17.0	mobilier	lithique	silex	
PT2262	452850.633979	6760089.483114	67.115640	26-11-2012/16:46:33.0	mobilier	lithique	silex	
PT2263	452848.460777	6760087.543190	67.192506	26-11-2012/16:49:36.0	mobilier	lithique	silex	
PT2264	452849.850285	6760088.564710	67.128599	26-11-2012/16:49:53.0	mobilier	lithique	silex	
PT2265	452850.205668	6760088.816035	67.009208	26-11-2012/16:52:14.0	mobilier	lithique	silex	
PT2266	452848.820571	6760089.301509	67.190042	26-11-2012/16:52:46.0	mobilier	lithique	silex	
PT2267	452849.800854	6760089.326443	67.135054	26-11-2012/16:57:33.0	mobilier	lithique	silex	
PT2268	452848.719060	6760089.490336	67.207418	26-11-2012/16:57:47.0	mobilier	lithique	silex	
PT2269	452848.339748	6760086.923160	67.113174	26-11-2012/16:58:07.0	mobilier	lithique	silex	
PT2270	452848.633459	6760086.509420	67.049964	26-11-2012/16:58:24.0	mobilier	lithique	silex	
PT2271	452848.435059	6760085.295409	67.047787	26-11-2012/16:58:45.0	mobilier	lithique	silex	
PT2272	452850.263565	6760087.705403	66.992767	26-11-2012/17:03:35.0	vrac mobilier	point central		BD7_L5
PT2273	452857.759441	6760091.426484	66.921213	26-11-2012/17:04:28.0	vrac mobilier	point central		BD6_L7
PT2274	452849.991674	6760089.438650	67.087827	27-11-2012/08:34:53.0	mobilier	lithique	silex	
PT2275	452848.933493	6760088.399941	67.077581	27-11-2012/08:35:06.0	mobilier	lithique	silex	
PT2276	452848.929689	6760087.983395	67.073896	27-11-2012/08:35:21.0	mobilier	lithique	silex	
PT2277	452848.684965	6760087.778870	67.068520	27-11-2012/08:35:35.0	mobilier	lithique	silex	
PT2278	452848.938358	6760086.041593	67.004976	27-11-2012/08:35:53.0	mobilier	lithique	silex	
PT2279	452851.184711	6760086.910981	66.883316	27-11-2012/08:36:09.0	mobilier	lithique	silex	
PT2280	452850.772680	6760089.079779	67.028990	27-11-2012/08:41:31.0	mobilier	lithique	silex	
PT2281	452850.797200	6760089.099899	67.022746	27-11-2012/08:41:46.0	mobilier	lithique	silex	
PT2282	452850.172488	6760089.310278	67.070547	27-11-2012/08:42:03.0	mobilier	lithique	silex	
PT2283	452849.706223	6760089.290574	67.066923	27-11-2012/08:42:18.0	mobilier	lithique	silex	
PT2284	452849.033895	6760088.336371	67.063226	27-11-2012/08:42:32.0	mobilier	lithique	silex	
PT2285	452848.106248	6760088.322728	67.099263	27-11-2012/08:42:59.0	mobilier	lithique	silex	
PT2286	452848.418828	6760086.121402	66.949941	27-11-2012/08:43:17.0	mobilier	lithique	silex	
PT2287	452840.382927	6760080.828026	66.793799	27-11-2012/08:43:55.0	mobilier	lithique	silex	
PT2288	452850.902829	6760089.395878	66.959017	27-11-2012/08:47:34.0	mobilier	lithique	silex	
PT2289	452848.334831	6760087.756458	66.953817	27-11-2012/08:47:50.0	mobilier	lithique	silex	
PT2290	452848.707725	6760086.051324	66.860388	27-11-2012/08:48:07.0	mobilier	lithique	silex	
PT2291	452849.529904	6760089.514732	66.990396	27-11-2012/08:52:58.0	mobilier	lithique	silex	
PT2292	452849.711225	6760088.845017	66.969537	27-11-2012/08:54:02.0	mobilier	lithique	silex	
PT2293	452848.263345	6760089.165490	67.033222	27-11-2012/08:54:39.0	mobilier	lithique	silex	
PT2294	452848.126218	6760089.385692	67.066000	27-11-2012/08:54:52.0	mobilier	lithique	quartz	
PT2295	452850.096076	6760087.449029	66.855348	27-11-2012/08:55:09.0	mobilier	lithique	silex	
PT2296	452848.675821	6760088.033910	66.913807	27-11-2012/08:55:26.0	mobilier	lithique	silex	
PT2297	452849.170147	6760088.386095	66.879518	27-11-2012/08:56:32.0	mobilier	lithique	silex	
PT2298	452849.209171	6760088.326139	66.885130	27-11-2012/08:56:44.0	mobilier	lithique	silex	
PT2299	452850.626662	6760088.528071	66.831093	27-11-2012/08:56:58.0	mobilier	lithique	silex	
PT2300	452850.043538	6760089.567428	66.919324	27-11-2012/09:01:13.0	mobilier	lithique	silex	
PT2301	452849.710279	6760089.625579	66.896533	27-11-2012/09:02:42.0	mobilier	lithique	silex	
PT2302	452849.612883	6760089.664981	66.931456	27-11-2012/09:02:57.0	mobilier	lithique	silex	
PT2303	452849.482816	6760089.154873	66.922837	27-11-2012/09:03:24.0	mobilier	lithique	silex	
PT2304	452850.471671	6760088.646850	66.835858	27-11-2012/09:03:49.0	mobilier	lithique	silex	
PT2305	452849.705030	6760087.505898	66.842764	27-11-2012/09:04:05.0	mobilier	lithique	silex	
PT2306	452848.365825	6760088.241791	66.907826	27-11-2012/09:04:29.0	mobilier	lithique	silex	
PT2307	452848.381965	6760089.381970	66.975010	27-11-2012/09:05:34.0	mobilier	lithique	silex	
PT2308	452851.089433	6760088.850299	66.815154	27-11-2012/09:09:50.0	mobilier	lithique	silex	
PT2309	452848.626676	6760089.588714	66.941041	27-11-2012/09:10:09.0	mobilier	lithique	silex	
PT2310	452848.811172	6760087.924308	66.814944	27-11-2012/09:10:26.0	mobilier	lithique	silex	
PT2311	452848.609798	6760085.924287	66.759730	27-11-2012/09:13:15.0	mobilier	lithique	silex	
PT2312	452848.500811	6760087.596766	66.825635	27-11-2012/09:13:33.0	mobilier	lithique	silex	
PT2313	452850.177072	6760088.810562	66.795383	27-11-2012/09:13:53.0	mobilier	lithique	silex	
PT2314	452849.426329	6760089.289598	66.866767	27-11-2012/09:14:37.0	mobilier	lithique	silex	
PT2315	452848.419363	6760088.615315	66.820619	27-11-2012/09:16:35.0	mobilier	lithique	silex	
PT2316	452848.619396	6760089.469362	66.862054	27-11-2012/09:16:57.0	mobilier	lithique	silex	
PT2317	452848.417295	6760090.022826	66.857569	27-11-2012/09:17:18.0	mobilier	lithique	silex	
PT2318	452848.594213	6760088.700223	66.769994	27-11-2012/09:19:53.0	mobilier	lithique	silex	
PT2319	452848.874713	6760089.833979	66.806862	27-11-2012/09:20:07.0	mobilier	lithique	silex	
PT2320	452855.516128	6760087.080996	67.301228	27-11-2012/09:37:56.0	mobilier	lithique	silex	
PT2321	452855.964644	6760086.661325	67.225131	27-11-2012/09:39:56.0	mobilier	lithique	silex	
PT2322	452857.249892	6760089.637380	67.236944	27-11-2012/09:40:26.0	mobilier	lithique	silex	
PT2323	452853.139506	6760086.948993	67.264784	27-11-2012/09:43:50.0	mobilier	lithique	silex	
PT2324	452856.948366	6760088.229832	67.211316	27-11-2012/09:44:16.0	mobilier	lithique	silex	
PT2325	452856.234015	6760086.776187	67.073778	27-11-2012/09:48:00.0	mobilier	lithique	silex	
PT2326	452853.023750	6760086.595593	67.224569	27-11-2012/09:48:57.0	mobilier	lithique	silex	
PT2327	452855.675005	6760087.098500	67.082795	27-11-2012/09:50:21.0	mobilier	lithique	silex	
PT2328	452856.967556	6760087.883940	66.985369	27-11-2012/09:52:05.0	mobilier	lithique	silex	
PT2329	452853.125817	6760086.659536	67.165406	27-11-2012/09:52:46.0	mobilier	lithique	silex	
PT2330	452856.758382	6760086.286249	66.981081	27-11-2012/09:56:22.0	mobilier	lithique	silex	
PT2331	452852.942169	6760086.593611	67.096859	27-11-2012/09:58:46.0	mobilier	lithique	silex	
PT2332	452853.080104	6760086.694616	67.067496	27-11-2012/09:59:22.0	mobilier	lithique	silex	
PT2333	452853.258481	6760086.817931	67.088632	27-11-2012/09:59:41.0	mobilier	lithique	silex	
PT2334	452853.333775	6760088.246223	67.064701	27-11-2012/09:59:54.0	mobilier	lithique	silex	
PT2335	452853.391515	6760088.036996	67.016368	27-11-2012/10:25:15.0	mobilier	lithique	silex	
PT2336	452853.746233	6760087.131142	66.997688	27-11-2012/10:25:34.0	mobilier	lithique	silex	
PT2337	452855.690188	6760086.989523	66.811423	27-11-2012/10:29:20.0	mobilier	lithique	silex	
PT2338	452855.153190	6760086.766256	66.829090	27-11-2012/10:29:50.0	mobilier	lithique	silex	
PT2339	452855.137700	6760086.806632	66.833380	27-11-2012/10:30:05.0	mobilier	lithique	silex	
PT2340	452855.014233	6760087.126726	66.832872	27-11-2012/10:30:20.0	mobilier	lithique	silex	
PT2341	452854.995675	6760087.131365	66.834275	27-11-2012/10:30:36.0	mobilier	lithique	silex	
PT2342	452853.689552	6760086.152267	66.869330	27-11-2012/10:30:51.0	mobilier	lithique	silex	
PT2343	452853.718614	6760086.987742	66.867247	27-11-2012/10:32:38.0	mobilier	lithique	silex	
PT2344	452853.529825	6760087.921271	66.861427	27-11-2012/10:34:05.0	mobilier	lithique	silex	
PT2345	452853.509512	6760087.913061	66.853146	27-11-2012/10:34:16.0	mobilier	lithique	silex	
PT2346	452853.318816	6760087.408766	66.797566	27-11-2012/10:36:30.0	mobilier	lithique	silex	
PT2347	452854.412851	6760086.512716	66.775075	27-11-2012/10:36:52.0	mobilier	lithique	silex	
PT2348	452853.974029	6760086.372629	66.723993	27-11-2012/10:38:24.0	mobilier	lithique	silex	
PT2349	452855.695512	6760085.581684	66.621094	27-11-2012/10:38:45.0	mobilier	lithique	silex	
PT2350	452856.231452	6760087.190017	66.622781	27-11-2012/10:40:31.0	mobilier	lithique	silex	
PT2351	452853.763813	6760086.964601	66.685349	27-11-2012/10:40:55.0	mobilier	lithique	silex	
PT2352	452853.653709	6760087.629955	66.698613	27-11-2012/10:41:08.0	mobilier	lithique	silex	
PT2353	452847.266581	6760082.593840	67.261584	27-11-2012/11:03:15.0	mobilier	lithique	silex	
PT2354	452847.282161	6760081.850567	67.116654	27-11-2012/11:06:31.0	mobilier	lithique	grès	
PT2355	452847.303589	6760082.041172	67.168258	27-11-2012/11:06:45.0	mobilier	lithique	silex	
PT2356	452846.977568	6760082.617934	67.113601	27-11-2012/11:10:40.0	mobilier	lithique	silex	
PT2357	452846.268632	6760082.256684	67.110317	27-11-2012/11:11:04.0	mobilier	lithique	silex	
PT2358	452845.514059	6760082.756651	67.114433	27-11-2012/11:11:24.0	mobilier	lithique	silex	

MATRICULE	X (est)	Y (nord)	Z (alti)	DATE	ÉLÉMENT TOPOGRAPHIÉ	TYPE DE POINT	IDENTIFIANT	DESCRIPTION
PT2359	452845.731130	6760082.480532	67.081841	27-11-2012/11:15:38.0	mobilier	lithique	silex	
PT2360	452845.835538	6760083.363001	67.067147	27-11-2012/11:15:54.0	mobilier	lithique	silex	
PT2361	452847.009156	6760083.253881	67.035808	27-11-2012/11:16:11.0	mobilier	lithique	silex	
PT2362	452847.689713	6760082.655241	67.009411	27-11-2012/11:16:27.0	mobilier	lithique	silex	
PT2363	452845.590087	6760081.174930	67.040566	27-11-2012/11:20:53.0	mobilier	lithique	silex	
PT2364	452845.757903	6760081.990633	67.043730	27-11-2012/11:21:08.0	mobilier	lithique	silex	
PT2365	452845.385462	6760082.192198	67.050811	27-11-2012/11:21:21.0	mobilier	lithique	silex	
PT2366	452845.264599	6760082.330739	67.026032	27-11-2012/11:24:27.0	mobilier	lithique	silex	
PT2367	452845.511222	6760082.179556	67.012209	27-11-2012/11:25:02.0	mobilier	lithique	silex	
PT2368	452845.389870	6760082.828310	67.025133	27-11-2012/11:25:21.0	mobilier	lithique	silex	
PT2369	452846.036609	6760082.548325	67.001250	27-11-2012/11:25:40.0	mobilier	lithique	silex	
PT2370	452846.202464	6760082.406090	67.014059	27-11-2012/11:25:56.0	mobilier	lithique	silex	
PT2371	452846.244337	6760082.625326	66.994269	27-11-2012/11:26:11.0	mobilier	lithique	silex	
PT2372	452838.738056	6760092.684272	66.933425	27-11-2012/11:17:14.0	coupe	clou coupe	CP05	
PT2373	452838.888469	6760091.201780	66.908397	27-11-2012/11:17:34.0	coupe	clou coupe	CP05	
PT2374	452839.109094	6760089.711867	66.942438	27-11-2012/11:17:48.0	coupe	clou coupe	CP05	
PT2375	452839.270089	6760088.224884	66.960544	27-11-2012/11:18:01.0	coupe	clou coupe	CP05	
PT2376	452839.411315	6760086.727884	66.957365	27-11-2012/11:18:13.0	coupe	clou coupe	CP05	
PT2377	452839.556224	6760085.243606	66.930697	27-11-2012/11:18:25.0	coupe	clou coupe	CP05	
PT2378	452839.493310	6760085.251315	66.268542	27-11-2012/11:19:05.0	coupe	clou coupe	CP05	
PT2379	452839.371892	6760086.738505	66.381798	27-11-2012/11:19:20.0	coupe	clou coupe	CP05	
PT2380	452839.243422	6760088.222424	66.488864	27-11-2012/11:19:35.0	coupe	clou coupe	CP05	
PT2381	452839.096031	6760089.714058	66.538307	27-11-2012/11:19:49.0	coupe	clou coupe	CP05	
PT2382	452838.875861	6760091.198831	66.496033	27-11-2012/11:20:06.0	coupe	clou coupe	CP05	
PT2383	452838.707697	6760092.684622	66.579392	27-11-2012/11:20:19.0	coupe	clou coupe	CP05	
PT2384	452846.173641	6760082.629701	66.995817	27-11-2012/11:26:29.0	mobilier	lithique	silex	
PT2385	452845.774851	6760081.128307	67.009339	27-11-2012/11:30:12.0	mobilier	lithique	silex	
PT2386	452845.729731	6760082.172101	66.936722	27-11-2012/11:30:51.0	mobilier	lithique	silex	
PT2387	452845.435189	6760082.484646	67.010175	27-11-2012/11:31:09.0	mobilier	lithique	silex	
PT2388	452846.480097	6760082.559636	66.911902	27-11-2012/11:31:26.0	mobilier	lithique	silex	
PT2389	452847.546733	6760082.192289	66.860305	27-11-2012/11:31:57.0	mobilier	lithique	silex	
PT2390	452847.825906	6760082.464342	66.861379	27-11-2012/11:32:41.0	mobilier	lithique	silex	
PT2391	452846.992071	6760083.788839	66.909230	27-11-2012/11:33:00.0	mobilier	lithique	silex	
PT2392	452848.189787	6760082.441213	66.737306	27-11-2012/11:37:11.0	mobilier	lithique	silex	
PT2393	452847.026504	6760082.572513	66.782207	27-11-2012/11:37:34.0	mobilier	lithique	silex	
PT2394	452845.525819	6760082.901512	66.911538	27-11-2012/11:37:59.0	mobilier	lithique	silex	
PT2395	452845.835999	6760083.254299	66.890177	27-11-2012/11:38:17.0	mobilier	lithique	silex	
PT2396	452845.734898	6760082.291647	66.868393	27-11-2012/11:39:45.0	mobilier	lithique	silex	
PT2397	452845.878434	6760082.793934	66.876639	27-11-2012/11:40:13.0	mobilier	lithique	silex	
PT2398	452845.846813	6760082.774110	66.865773	27-11-2012/11:40:29.0	mobilier	lithique	silex	
PT2399	452847.069994	6760082.778330	66.734366	27-11-2012/11:44:05.0	mobilier	lithique	silex	
PT2400	452845.653631	6760083.828386	66.781396	27-11-2012/11:44:23.0	mobilier	lithique	silex	
PT2401	452845.601245	6760081.730269	66.739153	27-11-2012/11:47:33.0	mobilier	lithique	silex	
PT2402	452846.464128	6760083.091027	66.705772	27-11-2012/11:47:51.0	mobilier	lithique	silex	
PT2403	452845.544727	6760082.355173	66.650068	27-11-2012/11:51:55.0	mobilier	lithique	silex	
PT2404	452853.847761	6760086.325813	66.527416	27-11-2012/12:02:38.0	vrac mobilier	point central		BD7_L6
PT2405	452858.552286	6760086.293320	66.843182	27-11-2012/12:02:58.0	vrac mobilier	point central		BD7_L7
PT2406	452850.703321	6760083.199945	67.406447	27-11-2012/13:09:20.0	mobilier	lithique	silex	
PT2407	452852.242378	6760082.194153	67.203181	27-11-2012/13:13:46.0	mobilier	lithique	silex	
PT2408	452852.948191	6760083.385661	67.154922	27-11-2012/13:13:59.0	mobilier	lithique	silex	
PT2409	452853.337366	6760084.103127	67.080140	27-11-2012/13:17:37.0	mobilier	lithique	silex	
PT2410	452853.275198	6760084.053887	67.063198	27-11-2012/13:17:58.0	mobilier	lithique	silex	
PT2411	452852.871129	6760082.088629	67.083476	27-11-2012/13:18:26.0	mobilier	lithique	silex	
PT2412	452850.621851	6760083.355778	67.180116	27-11-2012/13:18:46.0	mobilier	lithique	silex	
PT2413	452853.489137	6760084.431071	67.014885	27-11-2012/13:21:43.0	mobilier	lithique	silex	
PT2414	452852.135089	6760084.184181	67.102122	27-11-2012/13:22:05.0	mobilier	lithique	silex	
PT2415	452851.829534	6760082.541059	67.116504	27-11-2012/13:22:24.0	mobilier	lithique	silex	
PT2416	452853.001128	6760083.886998	67.023902	27-11-2012/13:25:03.0	mobilier	lithique	silex	
PT2417	452852.897603	6760083.922957	67.023866	27-11-2012/13:25:18.0	mobilier	lithique	silex	
PT2418	452851.404166	6760082.814536	67.042861	27-11-2012/13:25:38.0	mobilier	lithique	silex	
PT2419	452853.638206	6760081.596421	66.765287	27-11-2012/13:34:06.0	mobilier	lithique	silex	
PT2420	452859.392765	6760082.032391	67.272712	27-11-2012/13:43:40.0	mobilier	lithique	silex	
PT2421	452858.958934	6760084.067797	67.135334	27-11-2012/13:52:59.0	mobilier	lithique	silex	
PT2422	452855.666954	6760084.806001	67.236257	27-11-2012/13:53:25.0	mobilier	lithique	silex	
PT2423	452855.726959	6760083.986144	67.240399	27-11-2012/13:53:43.0	mobilier	lithique	silex	
PT2424	452856.139357	6760083.141274	67.235598	27-11-2012/13:54:01.0	mobilier	lithique	silex	
PT2425	452855.623748	6760082.893918	67.231765	27-11-2012/13:54:17.0	mobilier	lithique	silex	
PT2426	452856.171514	6760082.068587	67.214855	27-11-2012/13:54:35.0	mobilier	lithique	silex	
PT2427	452857.208543	6760081.889798	67.185122	27-11-2012/13:54:53.0	mobilier	lithique	silex	
PT2428	452857.275246	6760084.195086	67.075506	27-11-2012/14:00:59.0	mobilier	lithique	silex	
PT2429	452856.176531	6760082.565153	67.138428	27-11-2012/14:01:16.0	mobilier	lithique	silex	
PT2430	452858.180134	6760083.018435	67.025653	27-11-2012/14:03:50.0	mobilier	lithique	silex	
PT2431	452855.247179	6760081.588077	67.061643	27-11-2012/14:06:16.0	mobilier	lithique	silex	
PT2432	452839.470525	6760084.879021	66.577386	27-11-2012/13:29:53.0	coupe	clou coupe	CP06	
PT2433	452837.986603	6760084.730458	66.625710	27-11-2012/13:30:15.0	coupe	clou coupe	CP06	
PT2434	452836.516925	6760084.433589	66.646467	27-11-2012/13:30:32.0	coupe	clou coupe	CP06	
PT2435	452835.531479	6760084.238312	66.651064	27-11-2012/13:31:02.0	coupe	clou coupe	CP06	
PT2436	452835.526502	6760084.285306	66.404745	27-11-2012/13:31:18.0	coupe	clou coupe	CP06	
PT2437	452836.509195	6760084.477244	66.385330	27-11-2012/13:31:43.0	coupe	clou coupe	CP06	
PT2438	452837.977892	6760084.772731	66.321679	27-11-2012/13:32:06.0	coupe	clou coupe	CP06	
PT2439	452839.464646	6760084.915415	66.317146	27-11-2012/13:32:27.0	coupe	clou coupe	CP06	
PT2440	452857.083790	6760083.775424	66.944399	27-11-2012/14:07:47.0	mobilier	lithique	silex	
PT2441	452855.456295	6760083.172361	67.026906	27-11-2012/14:08:10.0	mobilier	lithique	silex	
PT2442	452855.457257	6760083.136977	67.023262	27-11-2012/14:08:26.0	mobilier	lithique	silex	
PT2443	452856.579219	6760081.398147	67.069127	27-11-2012/14:10:16.0	mobilier	lithique	silex	
PT2444	452855.595137	6760083.904299	66.987836	27-11-2012/14:13:07.0	mobilier	lithique	silex	
PT2445	452856.930130	6760084.825743	66.904234	27-11-2012/14:15:39.0	mobilier	lithique	silex	
PT2446	452855.514529	6760083.542220	66.974750	27-11-2012/14:15:59.0	mobilier	lithique	silex	
PT2447	452855.351306	6760081.720390	66.936054	27-11-2012/14:16:16.0	mobilier	lithique	silex	
PT2448	452857.708613	6760082.060615	66.834289	27-11-2012/14:16:34.0	mobilier	lithique	silex	
PT2449	452855.023475	6760082.386404	66.945095	27-11-2012/14:17:52.0	mobilier	lithique	silex	
PT2450	452856.565243	6760084.106801	66.865389	27-11-2012/14:18:15.0	mobilier	lithique	silex	
PT2451	452855.358154	6760081.980830	66.941557	27-11-2012/14:20:38.0	mobilier	lithique	silex	
PT2452	452855.841204	6760082.510698	66.916970	27-11-2012/14:20:59.0	mobilier	lithique	silex	
PT2453	452855.493448	6760082.767262	66.788827	27-11-2012/14:26:41.0	mobilier	lithique	silex	
PT2454	452847.871034	6760082.311224	66.437341	27-11-2012/14:27:23.0	vrac mobilier	point central		BD8_L5
PT2455	452852.160787	6760082.672066	66.679827	27-11-2012/14:27:42.0	vrac mobilier	point central		BD8_L6
PT2456	452856.910226	6760083.136619	66.732338	27-11-2012/14:28:03.0	vrac mobilier	point central		BD8_L7
PT2457	452861.382406	6760083.523606	66.828537	27-11-2012/14:50:04.0	vrac mobilier	point central		BD8_L8
PT2458	452845.994563	6760078.643796	67.045689	27-11-2012/15:02:37.0	mobilier	lithique	silex	
PT2459	452846.101255	6760078.988339	66.941471	27-11-2012/15:07:28.0	mobilier	lithique	silex	
PT2460	452846.632592	6760077.381916	66.938338	27-11-2012/15:07:46.0	mobilier	lithique	silex	
PT2461	452846.952305	6760075.565434	67.002507	27-11-2012/15:08:02.0	mobilier	lithique	silex	
PT2462	452845.825196	6760079.747034	66.924345	27-11-2012/15:12:34.0	mobilier	lithique	silex	
PT2463	452847.343903	6760074.880958	66.951565	27-11-2012/15:13:01.0	mobilier	lithique	silex	
PT2464	452845.969041	6760080.145795	66.870082	27-11-2012/15:15:59.0	mobilier	lithique	silex	
PT2465	452846.355061	6760076.308187	66.808597	27-11-2012/15:16:19.0	mobilier	lithique	silex	
PT2466	452847.275273	6760075.872880	66.812654	27-11-2012/15:19:37.0	mobilier	lithique	silex	
PT2467	452852.313796	6760079.615798	67.266085	27-11-2012/15:34:54.0	mobilier	lithique	silex	
PT2468	452852.367567	6760079.625162	67.277331	27-11-2012/15:35:07.0	mobilier	lithique	silex	
PT2469	452852.630097	6760080.618862	67.155192	27-11-2012/15:40:34.0	mobilier	lithique	silex	
PT2470	452854.578512	6760078.474650	66.859559	27-11-2012/15:46:16.0	mobilier	lithique	silex	
PT2471	452853.047754	6760079.691102	66.723486	27-11-2012/15:55:53.0	mobilier	lithique	silex	
PT2472	452840.273100	6760080.854385	66.990642	27-11-2012/15:48:29.0	coupe	clou coupe	CP07	
PT2473	452840.279732	6760080.785503	66.688381	27-11-2012/15:48:45.0	coupe	clou coupe	CP07	
PT2474	452841.732348	6760081.203558	66.994140	27-11-2012/15:49:00.0	coupe	clou coupe	CP07	
PT2475	452841.750960	6760081.148201	66.700001	27-11-2012/15:49:14.0	coupe	clou coupe	CP07	
PT2476	452843.188289	6760081.536410	67.017025	27-11-2012/15:49:41.0	coupe	clou coupe	CP07	
PT2477	452843.204192	6760081.454561	66.723493	27-11-2012/15:49:56.0	coupe	clou coupe	CP07	
PT2478	452844.675029	6760081.767051	66.999303	27-11-2012/15:50:18.0	coupe	clou coupe	CP07	
PT2479	452844.684294	6760081.687750	66.707451	27-11-2012/15:50:30.0	coupe	clou coupe	CP07	
PT2480	452853.194638	6760080.657981	66.681430	27-11-2012/15:59:04.0	mobilier	lithique	silex	
PT2481	452848.868282	6760076.023930	66.464038	27-11-2012/16:05:21.0	vrac mobilier	point central		BD9_L5
PT2482	452853.166985	6760077.170861	66.486751	27-11-2012/16:05:38.0	vrac mobilier	point central		BD9_L6
PT2483	452858.222451	6760080.506856	67.200707	27-11-2012/16:09:38.0	mobilier	lithique	silex	
PT2484	452858.574294	6760076.404497	66.980498	27-11-2012/16:18:42.0	mobilier	lithique	silex	
PT2485	452883.251879	6760092.932540	67.942231	27-11-2012/16:15:08.0	coupe	clou coupe	CP02.2	
PT2486	452883.659127	6760090.984954	67.901207	27-11-2012/16:15:34.0	coupe	clou coupe	CP02.2	
PT2487	452884.006048	6760089.021845	67.959402	27-11-2012/16:16:12.0	coupe	clou coupe	CP02.2	
PT2488	452883.936538	6760088.993543	67.137998	27-11-2012/16:16:47.0	coupe	clou coupe	CP02.2	
PT2489	452883.546348	6760090.975395	66.674795	27-11-2012/16:17:27.0	coupe	clou coupe	CP02.2	

MATRICULE	X (est)	Y (nord)	Z (alti)	DATE	ÉLÉMENT TOPOGRAPHIÉ	TYPE DE POINT	IDENTIFIANT	DESCRIPTION
PT2490	452883.163608	6760092.904066	67.011196	27-11-2012/16:17:54.0	coupe	clou coupe	CP02.2	
PT2491	452857.768310	6760080.704174	66.916888	27-11-2012/16:23:26.0	mobilier	lithique	silex	
PT2492	452857.168296	6760077.643967	66.927821	27-11-2012/16:23:52.0	mobilier	lithique	silex	
PT2493	452857.877247	6760080.296328	66.802008	27-11-2012/16:28:18.0	mobilier	lithique	silex	
PT2494	452856.951826	6760079.273350	66.825832	27-11-2012/16:32:15.0	mobilier	lithique	silex	
PT2495	452857.585602	6760078.187532	66.806055	27-11-2012/16:32:38.0	mobilier	lithique	silex	
PT2496	452858.251256	6760080.488276	66.709087	27-11-2012/16:36:22.0	mobilier	lithique	silex	
PT2497	452857.067407	6760078.208788	66.800761	27-11-2012/16:36:45.0	mobilier	lithique	silex	
PT2498	452858.192375	6760080.832131	66.697942	27-11-2012/16:39:53.0	mobilier	lithique	silex	
PT2499	452856.898567	6760078.693057	66.740977	27-11-2012/16:40:12.0	mobilier	lithique	silex	
PT2500	452856.869304	6760078.384060	66.768015	27-11-2012/16:40:28.0	mobilier	lithique	silex	
PT2501	452858.161296	6760080.720367	66.659330	27-11-2012/16:44:03.0	mobilier	lithique	silex	
PT2502	452858.201138	6760079.248993	66.668933	27-11-2012/16:44:22.0	mobilier	lithique	silex	
PT2503	452857.320240	6760076.713132	66.515836	27-11-2012/16:53:53.0	mobilier	lithique	silex	
PT2504	452857.334938	6760078.321373	66.456265	27-11-2012/16:58:59.0	vrac mobilier	point central		BD9_L7
PT2505	452861.012899	6760080.040979	67.147112	28-11-2012/08:34:46.0	mobilier	lithique	silex	
PT2506	452860.220766	6760077.093725	67.045221	28-11-2012/08:35:05.0	mobilier	lithique	silex	
PT2508	452860.828331	6760079.282192	67.049803	28-11-2012/08:42:05.0	mobilier	lithique	silex	
PT2509	452851.785542	6760074.807382	67.027742	28-11-2012/09:25:01.0	mobilier	lithique	silex	
PT2510	452838.555283	6760094.846368	66.996260	28-11-2012/10:48:58.0	coupe	contour	CP05	ligne supérieure
PT2511	452838.666032	6760093.396671	66.944961	28-11-2012/10:49:17.0	coupe	contour	CP05	ligne supérieure
PT2512	452838.919657	6760091.280718	67.003163	28-11-2012/10:49:37.0	coupe	contour	CP05	ligne supérieure
PT2513	452838.951994	6760091.048686	67.110787	28-11-2012/10:49:56.0	coupe	contour	CP05	ligne supérieure
PT2514	452839.236092	6760088.965231	67.076223	28-11-2012/10:50:19.0	coupe	contour	CP05	ligne supérieure
PT2515	452839.435638	6760086.563989	67.057516	28-11-2012/10:50:39.0	coupe	contour	CP05	ligne supérieure
PT2516	452839.620725	6760085.008323	67.094088	28-11-2012/10:50:58.0	coupe	contour	CP05	ligne supérieure
PT2517	452839.788865	6760083.513238	67.050302	28-11-2012/10:51:15.0	coupe	contour	CP05	ligne supérieure
PT2518	452839.476804	6760084.964461	66.203296	28-11-2012/10:52:07.0	coupe	contour	CP05	ligne inférieure
PT2519	452839.464199	6760085.175886	66.180694	28-11-2012/10:52:23.0	coupe	contour	CP05	ligne inférieure
PT2520	452839.467900	6760085.530453	66.199879	28-11-2012/10:52:34.0	coupe	contour	CP05	ligne inférieure
PT2521	452839.459757	6760085.734350	66.243343	28-11-2012/10:52:48.0	coupe	contour	CP05	ligne inférieure
PT2522	452839.406027	6760086.408458	66.287329	28-11-2012/10:53:00.0	coupe	contour	CP05	ligne inférieure
PT2523	452839.405171	6760086.681753	66.299784	28-11-2012/10:53:13.0	coupe	contour	CP05	ligne inférieure
PT2524	452839.352139	6760087.094910	66.374060	28-11-2012/10:53:25.0	coupe	contour	CP05	ligne inférieure
PT2525	452839.288594	6760087.853132	66.364725	28-11-2012/10:53:38.0	coupe	contour	CP05	ligne inférieure
PT2526	452839.196403	6760088.558846	66.407338	28-11-2012/10:53:52.0	coupe	contour	CP05	ligne inférieure
PT2527	452839.126091	6760088.760682	66.449338	28-11-2012/10:54:03.0	coupe	contour	CP05	ligne inférieure
PT2528	452839.111825	6760088.986073	66.440927	28-11-2012/10:54:13.0	coupe	contour	CP05	ligne inférieure
PT2529	452839.059551	6760089.553957	66.493009	28-11-2012/10:54:24.0	coupe	contour	CP05	ligne inférieure
PT2530	452839.004079	6760090.297422	66.477135	28-11-2012/10:54:39.0	coupe	contour	CP05	ligne inférieure
PT2531	452838.939748	6760090.556309	66.495390	28-11-2012/10:54:49.0	coupe	contour	CP05	ligne inférieure
PT2532	452838.838964	6760091.365040	66.443379	28-11-2012/10:55:02.0	coupe	contour	CP05	ligne inférieure
PT2533	452838.735580	6760091.981129	66.495687	28-11-2012/10:55:14.0	coupe	contour	CP05	ligne inférieure
PT2534	452838.659059	6760092.405367	66.468984	28-11-2012/10:55:38.0	coupe	contour	CP05	ligne inférieure
PT2535	452838.678191	6760092.871766	66.527007	28-11-2012/10:55:50.0	coupe	contour	CP05	ligne inférieure
PT2536	452838.644950	6760093.310017	66.549322	28-11-2012/10:56:07.0	coupe	contour	CP05	ligne inférieure
PT2537	452839.552626	6760084.872846	66.656993	28-11-2012/10:57:20.0	coupe	contour	CP06	ligne supérieure
PT2538	452837.965880	6760084.662925	66.694207	28-11-2012/10:57:33.0	coupe	contour	CP06	ligne supérieure
PT2539	452836.229904	6760084.375369	66.684257	28-11-2012/10:57:53.0	coupe	contour	CP06	ligne supérieure
PT2540	452835.038593	6760084.131117	66.652741	28-11-2012/10:58:15.0	coupe	contour	CP06	ligne supérieure
PT2541	452835.394126	6760084.306495	66.338183	28-11-2012/10:58:37.0	coupe	contour	CP06	ligne inférieure
PT2542	452835.885241	6760084.397880	66.332383	28-11-2012/10:58:50.0	coupe	contour	CP06	ligne inférieure
PT2543	452836.006133	6760084.436170	66.312304	28-11-2012/10:59:04.0	coupe	contour	CP06	ligne inférieure
PT2544	452836.420458	6760084.501385	66.319421	28-11-2012/10:59:21.0	coupe	contour	CP06	ligne inférieure
PT2545	452836.830233	6760084.587228	66.308696	28-11-2012/10:59:37.0	coupe	contour	CP06	ligne inférieure
PT2546	452837.209866	6760084.663706	66.254338	28-11-2012/10:59:53.0	coupe	contour	CP06	ligne inférieure
PT2547	452837.821702	6760084.786815	66.237040	28-11-2012/11:00:07.0	coupe	contour	CP06	ligne inférieure
PT2548	452838.193898	6760084.818833	66.221516	28-11-2012/11:00:19.0	coupe	contour	CP06	ligne inférieure
PT2549	452838.462868	6760084.828420	66.252629	28-11-2012/11:00:36.0	coupe	contour	CP06	ligne inférieure
PT2550	452839.004105	6760084.867807	66.233000	28-11-2012/11:00:53.0	coupe	contour	CP06	ligne inférieure
PT2551	452839.494981	6760084.953291	66.202632	28-11-2012/11:01:05.0	coupe	contour	CP06	ligne inférieure
PT2552	452882.384913	6760098.037836	68.078290	28-11-2012/11:04:52.0	coupe	contour	CP02.2	ligne supérieure
PT2553	452883.197710	6760093.311161	68.115821	28-11-2012/11:05:13.0	coupe	contour	CP02.2	ligne supérieure
PT2554	452883.694361	6760091.400927	68.111552	28-11-2012/11:05:38.0	coupe	contour	CP02.2	ligne supérieure
PT2555	452884.079948	6760089.148596	68.120304	28-11-2012/11:06:04.0	coupe	contour	CP02.2	ligne supérieure
PT2556	452884.513702	6760086.633141	68.084536	28-11-2012/11:06:50.0	coupe	contour	CP02.2	ligne supérieure
PT2557	452884.206969	6760087.640436	67.344885	28-11-2012/11:10:36.0	coupe	contour	CP02.2	ligne inférieure
PT2558	452884.093178	6760088.169229	67.315970	28-11-2012/11:10:56.0	coupe	contour	CP02.2	ligne inférieure
PT2559	452883.930874	6760089.080195	67.010105	28-11-2012/11:11:16.0	coupe	contour	CP02.2	ligne inférieure
PT2560	452883.911212	6760089.273346	66.785632	28-11-2012/11:11:32.0	coupe	contour	CP02.2	ligne inférieure
PT2561	452883.813073	6760089.473644	66.675299	28-11-2012/11:12:02.0	coupe	contour	CP02.2	ligne inférieure
PT2562	452883.691053	6760090.136601	66.680901	28-11-2012/11:12:27.0	coupe	contour	CP02.2	ligne inférieure
PT2563	452883.664744	6760090.310790	66.552343	28-11-2012/11:12:46.0	coupe	contour	CP02.2	ligne inférieure
PT2564	452883.554581	6760090.799845	66.577016	28-11-2012/11:13:08.0	coupe	contour	CP02.2	ligne inférieure
PT2565	452883.500482	6760091.078776	66.626959	28-11-2012/11:13:35.0	coupe	contour	CP02.2	ligne inférieure
PT2566	452883.315511	6760092.105926	66.772408	28-11-2012/11:14:03.0	coupe	contour	CP02.2	ligne inférieure
PT2567	452883.106010	6760092.930968	66.977713	28-11-2012/11:14:22.0	coupe	contour	CP02.2	ligne inférieure
PT2568	452847.924385	6760074.182519	66.620234	28-11-2012/11:58:47.0	mobilier	lithique	silex	
PT2569	452851.394093	6760068.852442	67.020452	28-11-2012/13:16:55.0	mobilier	lithique	silex	
PT2570	452853.782690	6760072.507308	66.682735	28-11-2012/14:04:11.0	mobilier	lithique	silex	
PT2571	452853.928796	6760068.546480	67.037164	28-11-2012/14:17:12.0	mobilier	lithique	silex	
PT2572	452848.361229	6760089.197488	66.806296	28-11-2012/14:18:39.0	mobilier	lithique	silex	
PT2573	452855.488654	6760070.661233	67.078158	28-11-2012/14:19:41.0	mobilier	lithique	silex	
PT2574	452848.359386	6760085.280101	66.837806	28-11-2012/14:31:35.0	mobilier	lithique	silex	
PT2575	452859.345006	6760075.188928	66.990386	28-11-2012/14:48:15.0	mobilier	lithique	silex	
PT2576	452859.427820	6760075.375215	67.033768	28-11-2012/14:48:30.0	mobilier	lithique	silex	
PT2577	452861.409890	6760079.230951	66.633775	28-11-2012/15:04:10.0	vrac mobilier	point central		BD9_L8
PT2578	452848.250793	6760071.556747	67.929035	28-11-2012/15:04:47.0	vrac mobilier	point central		BD10_L5
PT2579	452853.393763	6760073.417307	67.489878	28-11-2012/15:05:12.0	vrac mobilier	point central		BD10_L6
PT2580	452859.724686	6760074.387068	66.699977	28-11-2012/15:05:27.0	vrac mobilier	point central		BD10_L7
PT2581	452850.121571	6760068.311757	67.419809	28-11-2012/15:06:04.0	vrac mobilier	point central		BD11_L5
PT2582	452855.650696	6760069.269465	66.549292	28-11-2012/15:06:20.0	vrac mobilier	point central		BD11_L6
PT2583	452870.612077	6760106.460928	67.041541	28-11-2012/15:31:30.0	mobilier	lithique	silex	
PT2584	452868.040410	6760108.176427	67.111470	28-11-2012/15:31:50.0	mobilier	lithique	silex	
PT2585	452870.621163	6760109.276613	66.994503	28-11-2012/15:40:52.0	mobilier	lithique	silex	
PT2586	452869.209870	6760106.517042	66.708653	28-11-2012/15:47:53.0	mobilier	lithique	silex	
PT2587	452869.130789	6760104.254672	67.118263	28-11-2012/16:11:52.0	mobilier	lithique	silex	
PT2588	452870.996648	6760104.615542	67.059824	28-11-2012/16:14:41.0	mobilier	lithique	silex	
PT2589	452850.022817	6760106.794719	66.870096	28-11-2012/16:21:32.0	mobilier	lithique	silex	
PT2590	452870.578559	6760097.592651	67.032030	28-11-2012/16:40:13.0	mobilier	lithique	silex	
PT2591	452847.793294	6760089.382192	67.056963	28-11-2012/16:45:25.0	mobilier	lithique	silex	
PT2592	452847.898613	6760088.667500	67.035884	28-11-2012/16:45:41.0	mobilier	lithique	silex	
PT2593	452847.891843	6760088.615497	67.077621	28-11-2012/16:45:54.0	mobilier	lithique	silex	
PT2594	452847.945833	6760087.852101	67.053269	28-11-2012/16:46:11.0	mobilier	lithique	silex	
PT2595	452848.000398	6760086.629515	67.020415	28-11-2012/16:59:08.0	mobilier	lithique	silex	
PT2596	452848.011636	6760086.149318	67.048367	28-11-2012/16:59:18.0	mobilier	lithique	silex	
PT2597	452848.164423	6760085.296726	66.925836	28-11-2012/16:59:32.0	mobilier	lithique	silex	
PT2598	452872.423235	6760093.265823	67.248843	29-11-2012/09:19:25.0	mobilier	lithique	silex	
PT2599	452873.315171	6760089.070817	67.499893	29-11-2012/09:37:07.0	mobilier	lithique	silex	
PT2600	452872.228084	6760092.460951	67.004675	29-11-2012/09:37:26.0	mobilier	lithique	silex	
PT2601	452871.963728	6760086.965218	67.450075	29-11-2012/09:41:02.0	mobilier	lithique	silex	
PT2602	452873.193039	6760087.032866	67.465775	29-11-2012/09:41:18.0	mobilier	lithique	silex	
PT2603	452874.512636	6760087.958562	67.481342	29-11-2012/09:41:35.0	mobilier	lithique	silex	
PT2604	452849.443715	6760107.923218	66.811279	29-11-2012/10:36:05.0	mobilier	lithique	silex	
PT2605	452849.362221	6760107.988486	66.814179	29-11-2012/10:38:15.0	mobilier	lithique	silex	
PT2606	452849.680966	6760107.797641	66.865698	29-11-2012/10:40:29.0	mobilier	lithique	silex	
PT2607	452849.839257	6760107.920683	66.810558	29-11-2012/10:42:35.0	mobilier	lithique	silex	
PT2608	452849.822771	6760107.954466	66.803769	29-11-2012/10:43:00.0	mobilier	lithique	silex	
PT2609	452849.840159	6760107.715305	66.846404	29-11-2012/10:43:15.0	mobilier	lithique	silex	
PT2610	452849.959189	6760107.613126	66.829598	29-11-2012/10:43:45.0	mobilier	lithique	silex	
PT2611	452849.910898	6760107.663407	66.807661	29-11-2012/10:45:07.0	mobilier	lithique	silex	
PT2612	452849.974508	6760107.597162	66.810911	29-11-2012/10:45:28.0	mobilier	lithique	silex	
PT2613	452849.945579	6760107.635805	66.808070	29-11-2012/10:46:04.0	mobilier	lithique	silex	
PT2614	452849.956102	6760107.604704	66.795643	29-11-2012/10:46:52.0	mobilier	lithique	silex	
PT2615	452849.935946	6760107.536199	66.832545	29-11-2012/10:47:36.0	mobilier	lithique	silex	
PT2616	452849.930402	6760107.537251	66.818166	29-11-2012/10:50:36.0	mobilier	lithique	silex	
PT2617	452849.931482	6760107.473857	66.813792	29-11-2012/10:50:53.0	mobilier	lithique	silex	
PT2618	452849.872975	6760107.482648	66.828639	29-11-2012/10:51:19.0	mobilier	lithique	silex	
PT2619	452849.734733	6760107.466408	66.854409	29-11-2012/10:51:43.0	mobilier	lithique	silex	
PT2620	452849.717262	6760107.355653	66.826977	29-11-2012/10:52:11.0	mobilier	lithique	silex	
PT2621	452849.720858	6760107.347373	66.827040	29-11-2012/10:52:28.0	mobilier	lithique	silex	

MATRICULE	X (est)	Y (nord)	Z (alti)	DATE	ÉLÉMENT TOPOGRAPHIÉ	TYPE DE POINT	IDENTIFIANT	DESCRIPTION
PT2622	452849.704682	6760107.758923	66.837768	29-11-2012/10:53:13.0	mobilier	lithique	silex	
PT2623	452849.532012	6760107.316792	66.842974	29-11-2012/10:53:57.0	mobilier	lithique	silex	
PT2624	452849.281161	6760107.077372	66.835202	29-11-2012/10:54:27.0	mobilier	lithique	silex	
PT2625	452849.762373	6760107.196093	66.859183	29-11-2012/11:04:11.0	mobilier	lithique	silex	
PT2626	452849.670198	6760107.231471	66.837410	29-11-2012/11:04:27.0	mobilier	lithique	silex	
PT2627	452849.665649	6760107.182222	66.850853	29-11-2012/11:04:42.0	mobilier	lithique	silex	
PT2628	452849.652639	6760107.131701	66.854878	29-11-2012/11:05:12.0	mobilier	lithique	silex	
PT2629	452849.667242	6760107.202491	66.836343	29-11-2012/11:05:59.0	mobilier	lithique	silex	
PT2630	452858.805536	6760070.041257	67.162083	29-11-2012/11:08:14.0	mobilier	lithique	silex	
PT2631	452849.167945	6760106.921101	66.844935	29-11-2012/11:10:49.0	mobilier	lithique	silex	
PT2632	452849.423050	6760106.975471	66.862188	29-11-2012/11:11:50.0	mobilier	lithique	silex	
PT2633	452849.519925	6760107.095110	66.823887	29-11-2012/11:12:20.0	mobilier	lithique	silex	
PT2634	452848.980432	6760106.953024	66.868433	29-11-2012/11:12:58.0	mobilier	lithique	silex	
PT2635	452849.440104	6760106.818936	66.829232	29-11-2012/11:13:30.0	mobilier	lithique	silex	
PT2636	452849.692474	6760106.994229	66.841573	29-11-2012/11:14:13.0	mobilier	lithique	silex	
PT2637	452849.748902	6760106.972386	66.860071	29-11-2012/11:15:24.0	mobilier	lithique	silex	
PT2638	452849.746337	6760106.974903	66.833329	29-11-2012/11:17:20.0	mobilier	lithique	silex	
PT2639	452849.802809	6760107.016731	66.824208	29-11-2012/11:18:24.0	mobilier	lithique	silex	
PT2640	452860.406444	6760069.697743	66.557411	29-11-2012/11:19:36.0	vrac mobilier	point central		BD11_L7
PT2641	452849.892060	6760107.032448	66.831008	29-11-2012/11:20:55.0	mobilier	lithique	silex	
PT2642	452849.932989	6760106.896315	66.858540	29-11-2012/11:21:25.0	mobilier	lithique	silex	
PT2643	452849.945371	6760106.884800	66.855997	29-11-2012/11:21:49.0	mobilier	lithique	silex	
PT2644	452849.904768	6760106.867380	66.853359	29-11-2012/11:22:26.0	mobilier	lithique	silex	
PT2645	452849.973611	6760106.901861	66.839693	29-11-2012/11:23:14.0	mobilier	lithique	silex	
PT2646	452849.871957	6760106.849849	66.884366	29-11-2012/11:23:44.0	mobilier	lithique	silex	
PT2647	452849.857159	6760106.811021	66.868402	29-11-2012/11:30:31.0	mobilier	lithique	silex	
PT2648	452849.900704	6760106.861858	66.848912	29-11-2012/11:32:54.0	mobilier	lithique	silex	
PT2649	452850.196508	6760107.936246	66.812584	29-11-2012/11:36:11.0	mobilier	lithique	silex	
PT2650	452850.317096	6760108.009789	66.828169	29-11-2012/11:36:40.0	mobilier	lithique	silex	
PT2651	452850.275072	6760107.923509	66.808899	29-11-2012/11:37:00.0	mobilier	lithique	silex	
PT2652	452850.552769	6760107.845853	66.801070	29-11-2012/11:37:22.0	mobilier	lithique	silex	
PT2653	452850.630554	6760107.887624	66.812978	29-11-2012/11:37:49.0	mobilier	lithique	silex	
PT2654	452850.604413	6760107.891736	66.804766	29-11-2012/11:38:10.0	mobilier	lithique	silex	
PT2655	452850.641065	6760107.884092	66.797873	29-11-2012/11:38:49.0	mobilier	lithique	silex	
PT2656	452850.638330	6760107.678708	66.791227	29-11-2012/11:39:37.0	mobilier	lithique	silex	
PT2657	452852.444497	6760064.560864	67.000963	29-11-2012/11:40:40.0	mobilier	lithique	silex	
PT2658	452850.701395	6760107.739450	66.793429	29-11-2012/11:41:31.0	mobilier	lithique	silex	
PT2659	452850.694083	6760107.726195	66.777374	29-11-2012/11:42:06.0	mobilier	lithique	silex	
PT2660	452850.728209	6760107.847601	66.795938	29-11-2012/11:42:29.0	mobilier	lithique	silex	
PT2661	452850.798576	6760107.798266	66.790573	29-11-2012/11:43:26.0	mobilier	lithique	silex	
PT2662	452850.888026	6760107.796033	66.777872	29-11-2012/11:43:44.0	mobilier	lithique	silex	
PT2663	452850.792257	6760107.671847	66.795950	29-11-2012/11:44:24.0	mobilier	lithique	silex	
PT2664	452850.767692	6760107.660199	66.799925	29-11-2012/11:44:45.0	mobilier	lithique	silex	
PT2665	452850.074925	6760106.878059	66.840327	29-11-2012/11:53:54.0	mobilier	lithique	silex	
PT2666	452850.065629	6760106.975067	66.806662	29-11-2012/11:54:38.0	mobilier	lithique	silex	
PT2667	452853.476704	6760064.851650	66.847891	29-11-2012/11:55:44.0	mobilier	lithique	silex	
PT2668	452850.042236	6760106.960423	66.807781	29-11-2012/11:56:19.0	mobilier	lithique	silex	
PT2669	452850.002945	6760106.980733	66.844881	29-11-2012/11:57:03.0	mobilier	lithique	silex	
PT2670	452850.126121	6760106.896227	66.804282	29-11-2012/12:00:23.0	mobilier	lithique	silex	
PT2671	452850.298695	6760106.882773	66.850144	29-11-2012/12:01:19.0	mobilier	lithique	silex	
PT2672	452850.706261	6760106.921291	66.801852	29-11-2012/12:04:17.0	mobilier	lithique	silex	
PT2673	452850.242167	6760106.927455	66.837306	29-11-2012/13:17:33.0	mobilier	lithique	silex	
PT2674	452850.214806	6760106.936177	66.837728	29-11-2012/13:18:30.0	mobilier	lithique	silex	
PT2675	452850.656118	6760107.095705	66.804036	29-11-2012/13:20:23.0	mobilier	lithique	silex	
PT2676	452850.647939	6760107.100650	66.801785	29-11-2012/13:21:28.0	mobilier	lithique	silex	
PT2677	452850.680495	6760107.165543	66.801343	29-11-2012/13:25:24.0	mobilier	lithique	silex	
PT2678	452850.657636	6760107.173605	66.802729	29-11-2012/13:26:06.0	mobilier	lithique	silex	
PT2679	452850.648539	6760107.220700	66.792505	29-11-2012/13:27:11.0	mobilier	lithique	silex	
PT2680	452850.630757	6760107.278376	66.826359	29-11-2012/13:28:15.0	mobilier	lithique	silex	
PT2681	452844.860009	6760060.040859	66.646384	29-11-2012/13:34:16.0	mobilier	lithique	silex	
PT2682	452850.702030	6760107.253514	66.808216	29-11-2012/13:35:15.0	mobilier	lithique	silex	
PT2683	452850.640712	6760107.263849	66.801262	29-11-2012/13:37:20.0	mobilier	lithique	silex	
PT2684	452850.678323	6760107.291532	66.812409	29-11-2012/13:37:46.0	mobilier	lithique	silex	
PT2685	452844.047525	6760058.745887	66.485379	29-11-2012/13:40:02.0	mobilier	lithique	silex	
PT2686	452844.145119	6760058.667755	66.486201	29-11-2012/13:40:29.0	mobilier	lithique	silex	
PT2687	452850.706774	6760107.203370	66.805853	29-11-2012/13:41:13.0	mobilier	lithique	silex	
PT2688	452850.603803	6760107.217519	66.805645	29-11-2012/13:42:43.0	mobilier	lithique	silex	
PT2689	452850.629723	6760107.175510	66.790679	29-11-2012/13:43:17.0	mobilier	lithique	silex	
PT2690	452847.660246	6760089.440263	67.365666	29-11-2012/14:12:15.0	coupe	clou coupe	CP08	
PT2691	452847.845485	6760087.960074	67.341684	29-11-2012/14:12:34.0	coupe	clou coupe	CP08	
PT2692	452847.845552	6760086.448234	67.285411	29-11-2012/14:12:50.0	coupe	clou coupe	CP08	
PT2693	452848.137750	6760084.964282	67.355814	29-11-2012/14:13:08.0	coupe	clou coupe	CP08	
PT2694	452848.232050	6760084.983649	66.838228	29-11-2012/14:13:25.0	coupe	clou coupe	CP08	
PT2695	452848.038762	6760086.475935	66.830875	29-11-2012/14:13:40.0	coupe	clou coupe	CP08	
PT2696	452847.962318	6760087.972808	66.877928	29-11-2012/14:13:53.0	coupe	clou coupe	CP08	
PT2697	452847.816965	6760089.460604	66.933988	29-11-2012/14:14:09.0	coupe	clou coupe	CP08	
PT2698	452850.617608	6760107.158870	66.796564	29-11-2012/13:44:31.0	mobilier	lithique	silex	
PT2699	452850.575740	6760107.205295	66.798802	29-11-2012/13:45:21.0	mobilier	lithique	silex	
PT2700	452850.545330	6760107.227021	66.794373	29-11-2012/13:48:24.0	mobilier	lithique	silex	
PT2701	452850.516566	6760107.154235	66.794380	29-11-2012/13:49:14.0	mobilier	lithique	silex	
PT2702	452850.485589	6760107.188312	66.793005	29-11-2012/13:49:46.0	mobilier	lithique	silex	
PT2703	452850.524617	6760107.191155	66.786130	29-11-2012/13:50:38.0	mobilier	lithique	silex	
PT2704	452850.530108	6760107.047982	66.805437	29-11-2012/13:51:46.0	mobilier	lithique	silex	
PT2705	452850.522223	6760107.275043	66.828452	29-11-2012/13:53:13.0	mobilier	lithique	silex	
PT2706	452850.517802	6760107.264462	66.826166	29-11-2012/13:53:56.0	mobilier	lithique	silex	
PT2707	452850.483028	6760107.258507	66.827594	29-11-2012/13:55:16.0	mobilier	lithique	silex	
PT2708	452850.464677	6760107.230366	66.815770	29-11-2012/13:55:54.0	mobilier	lithique	silex	
PT2709	452850.428448	6760107.208921	66.815302	29-11-2012/13:56:21.0	mobilier	lithique	silex	
PT2710	452850.414950	6760107.230710	66.821530	29-11-2012/13:56:56.0	mobilier	lithique	silex	
PT2711	452850.347776	6760107.246745	66.841189	29-11-2012/13:57:31.0	mobilier	lithique	silex	
PT2712	452850.352189	6760107.182291	66.826466	29-11-2012/13:57:59.0	mobilier	lithique	silex	
PT2713	452850.562530	6760057.635748	66.824968	29-11-2012/13:58:36.0	mobilier	lithique	silex	
PT2714	452850.371608	6760107.201244	66.826730	29-11-2012/13:59:09.0	mobilier	lithique	silex	
PT2715	452850.358575	6760107.195270	66.824172	29-11-2012/13:59:56.0	mobilier	lithique	silex	
PT2716	452850.378809	6760107.213950	66.820862	29-11-2012/14:00:56.0	mobilier	lithique	silex	
PT2717	452850.388285	6760107.179853	66.812203	29-11-2012/14:01:50.0	mobilier	lithique	silex	
PT2718	452850.433421	6760107.159870	66.793958	29-11-2012/14:04:45.0	mobilier	lithique	silex	
PT2719	452850.469534	6760107.049431	66.805770	29-11-2012/14:05:54.0	mobilier	lithique	silex	
PT2720	452850.446237	6760106.990032	66.809329	29-11-2012/14:06:22.0	mobilier	lithique	silex	
PT2721	452850.461667	6760107.179253	66.784451	29-11-2012/14:17:52.0	mobilier	lithique	silex	
PT2722	452850.510210	6760106.956823	66.815278	29-11-2012/14:18:48.0	mobilier	lithique	silex	
PT2723	452850.369179	6760106.952016	66.811264	29-11-2012/14:19:17.0	mobilier	lithique	silex	
PT2724	452850.316519	6760106.984305	66.824015	29-11-2012/14:19:34.0	mobilier	lithique	silex	
PT2725	452850.346501	6760107.040683	66.796481	29-11-2012/14:20:59.0	mobilier	lithique	silex	
PT2726	452850.214234	6760107.355288	66.816744	29-11-2012/14:22:49.0	mobilier	lithique	silex	
PT2727	452850.205381	6760107.305231	66.819671	29-11-2012/14:24:51.0	mobilier	lithique	silex	
PT2728	452850.146319	6760107.329218	66.804285	29-11-2012/14:25:47.0	mobilier	lithique	silex	
PT2729	452850.216226	6760107.263116	66.831557	29-11-2012/14:26:29.0	mobilier	lithique	silex	
PT2730	452850.103076	6760107.252691	66.807643	29-11-2012/14:27:08.0	mobilier	lithique	silex	
PT2731	452850.139591	6760107.193717	66.821284	29-11-2012/14:27:56.0	mobilier	lithique	silex	
PT2732	452850.147331	6760107.161301	66.815406	29-11-2012/14:28:21.0	mobilier	lithique	silex	
PT2733	452850.234010	6760107.211395	66.838112	29-11-2012/14:29:11.0	mobilier	lithique	silex	
PT2734	452850.248545	6760107.233255	66.838235	29-11-2012/14:30:30.0	mobilier	lithique	silex	
PT2735	452850.185416	6760107.219918	66.829170	29-11-2012/14:32:25.0	mobilier	lithique	silex	
PT2736	452850.259138	6760107.178712	66.826402	29-11-2012/14:34:06.0	mobilier	lithique	silex	
PT2737	452850.237623	6760107.175767	66.824074	29-11-2012/14:35:08.0	mobilier	lithique	silex	
PT2738	452850.240098	6760107.171368	66.820593	29-11-2012/14:36:05.0	mobilier	lithique	silex	
PT2739	452850.194129	6760107.258868	66.817115	29-11-2012/14:36:32.0	mobilier	lithique	silex	
PT2740	452850.279747	6760107.195110	66.832363	29-11-2012/14:37:46.0	mobilier	lithique	silex	
PT2741	452850.300120	6760107.191799	66.840056	29-11-2012/14:38:15.0	mobilier	lithique	silex	
PT2742	452850.222385	6760107.152688	66.810107	29-11-2012/14:39:22.0	mobilier	lithique	silex	
PT2743	452850.293598	6760107.041385	66.804611	29-11-2012/14:41:48.0	mobilier	lithique	silex	
PT2744	452850.375227	6760107.117579	66.801691	29-11-2012/14:42:45.0	mobilier	lithique	silex	
PT2745	452850.311312	6760107.132826	66.809639	29-11-2012/14:43:04.0	mobilier	lithique	silex	
PT2746	452857.138622	6760060.020709	66.845204	29-11-2012/14:43:38.0	mobilier	lithique	silex	
PT2747	452864.617056	6760073.206593	66.894957	29-11-2012/16:19:42.0	mobilier	lithique	silex	
PT2748	452867.061586	6760070.802506	66.772151	29-11-2012/16:23:17.0	mobilier	lithique	silex	
PT2749	452866.038993	6760069.318933	67.201807	29-11-2012/16:34:14.0	mobilier	lithique	silex	
PT2750	452870.283928	6760092.625925	67.041102	29-11-2012/16:35:15.0	surface décapée	contour	S2	
PT2751	452871.902835	6760084.670018	66.944042	29-11-2012/16:35:46.0	surface décapée	contour	S2	
PT2752	452872.717928	6760079.268861	67.052194	29-11-2012/16:36:20.0	surface décapée	contour	S2	

MATRICULE	X (est)	Y (nord)	Z (alti)	DATE	ÉLÉMENT TOPOGRAPHIÉ	TYPE DE POINT	IDENTIFIANT	DESCRIPTION
PT2753	452879.323332	6760079.569101	67.189931	29-11-2012/16:36:51.0	surface décapée	contour	S2	
PT2754	452880.115371	6760068.098978	67.241836	29-11-2012/16:37:20.0	surface décapée	contour	S2	
PT2755	452887.013151	6760068.383901	67.156202	29-11-2012/16:37:48.0	surface décapée	contour	S2	
PT2756	452883.098851	6760093.085683	67.111442	29-11-2012/16:38:33.0	surface décapée	contour	S2	
PT2757	452875.048293	6760091.544137	67.260993	29-11-2012/16:38:57.0	surface décapée	contour	S2	
PT2758	452874.238528	6760093.738001	67.486738	29-11-2012/16:39:20.0	surface décapée	contour	S2	
PT2759	452820.622501	6760118.888612	66.280449	29-11-2012/16:41:39.0	surface décapée	contour	S1	
PT2760	452824.793033	6760120.301286	66.249659	29-11-2012/16:42:24.0	surface décapée	contour	S1	
PT2761	452835.677546	6760120.059151	65.712361	29-11-2012/16:42:45.0	surface décapée	contour	S1	
PT2762	452841.893309	6760115.595230	66.459452	29-11-2012/16:43:07.0	surface décapée	contour	S1	
PT2763	452841.803701	6760120.503558	66.600614	29-11-2012/16:43:25.0	surface décapée	contour	S1	
PT2764	452843.954989	6760120.667824	66.600867	29-11-2012/16:43:44.0	surface décapée	contour	S1	
PT2765	452844.354266	6760115.301820	66.357533	29-11-2012/16:44:02.0	surface décapée	contour	S1	
PT2766	452861.032446	6760120.497521	66.477994	29-11-2012/16:44:31.0	surface décapée	contour	S1	
PT2767	452872.540907	6760121.120747	67.221993	29-11-2012/16:44:56.0	surface décapée	contour	S1	
PT2768	452873.697990	6760110.655953	66.562361	29-11-2012/16:45:16.0	surface décapée	contour	S1	
PT2769	452871.301685	6760110.233516	66.789622	29-11-2012/16:45:34.0	surface décapée	contour	S1	
PT2770	452873.331497	6760097.025303	66.830478	29-11-2012/16:45:57.0	surface décapée	contour	S1	
PT2771	452869.802874	6760096.482186	66.990913	29-11-2012/16:46:17.0	surface décapée	contour	S1	
PT2772	452867.192312	6760109.296438	66.810384	29-11-2012/16:46:40.0	surface décapée	contour	S1	
PT2773	452862.804482	6760106.713239	66.819671	29-11-2012/16:46:59.0	surface décapée	contour	S1	
PT2774	452860.975927	6760095.563989	67.197079	29-11-2012/16:47:47.0	surface décapée	contour	S1	
PT2775	452864.837065	6760074.862854	67.432925	29-11-2012/16:48:39.0	surface décapée	contour	S1	
PT2776	452867.471506	6760074.614434	67.154527	29-11-2012/16:48:53.0	surface décapée	contour	S1	
PT2777	452868.660067	6760060.333999	67.428685	29-11-2012/16:50:05.0	surface décapée	contour	S1	
PT2778	452843.928210	6760056.341741	66.331020	29-11-2012/16:50:45.0	surface décapée	contour	S1	
PT2779	452862.851782	6760072.992861	66.784222	04-12-2012/09:05:36.0	structure	contour		limite sud ouest du paléochenal
PT2780	452863.549116	6760072.465741	66.744666	04-12-2012/09:06:08.0	structure	contour		limite sud ouest du paléochenal
PT2781	452864.247240	6760071.399645	66.700125	04-12-2012/09:06:20.0	structure	contour		limite sud ouest du paléochenal
PT2782	452865.117385	6760071.066220	66.654821	04-12-2012/09:06:37.0	structure	contour		limite sud ouest du paléochenal
PT2783	452865.712307	6760070.101348	66.731581	04-12-2012/09:06:50.0	structure	contour		limite sud ouest du paléochenal
PT2784	452866.101305	6760068.866085	66.725195	04-12-2012/09:07:06.0	structure	contour		limite sud ouest du paléochenal
PT2785	452867.455290	6760067.000693	66.631132	04-12-2012/09:07:21.0	structure	contour		limite sud ouest du paléochenal
PT2786	452876.854437	6760076.384414	67.410212	04-12-2012/09:15:38.0	mobilier	lithique	silex	
PT2787	452879.450723	6760069.251705	67.300468	04-12-2012/09:41:14.0	mobilier	lithique	silex	
PT2788	452843.545010	6760093.752392	66.998908	05-12-2012/09:48:33.0	mobilier	lithique	silex	
PT2789	452843.617989	6760093.680150	66.990743	05-12-2012/09:49:21.0	mobilier	lithique	silex	
PT2790	452843.656194	6760093.675809	66.993460	05-12-2012/09:49:47.0	mobilier	lithique	silex	
PT2791	452843.535602	6760093.603640	67.008817	05-12-2012/09:50:14.0	mobilier	lithique	silex	
PT2792	452843.727672	6760093.510519	67.005524	05-12-2012/09:50:48.0	mobilier	lithique	silex	
PT2793	452843.683187	6760093.425716	67.001748	05-12-2012/09:51:45.0	mobilier	lithique	silex	
PT2794	452843.742495	6760093.427898	67.024177	05-12-2012/09:52:07.0	mobilier	lithique	silex	
PT2795	452843.629716	6760093.342836	67.013614	05-12-2012/09:52:32.0	mobilier	lithique	silex	
PT2796	452843.725986	6760093.312025	67.014539	05-12-2012/09:53:00.0	mobilier	lithique	silex	
PT2797	452843.864612	6760093.316115	66.997653	05-12-2012/09:53:17.0	mobilier	lithique	silex	
PT2798	452843.895419	6760093.297507	67.023595	05-12-2012/09:53:40.0	mobilier	lithique	silex	
PT2799	452843.789361	6760093.216590	67.014641	05-12-2012/09:54:38.0	mobilier	lithique	silex	
PT2800	452843.706759	6760093.139427	67.002555	05-12-2012/09:55:15.0	mobilier	lithique	silex	
PT2801	452843.603337	6760093.061639	67.003721	05-12-2012/09:55:41.0	mobilier	lithique	silex	
PT2802	452843.715831	6760093.010214	66.991482	05-12-2012/09:56:05.0	mobilier	lithique	silex	
PT2803	452843.843010	6760093.085321	66.996863	05-12-2012/09:56:28.0	mobilier	lithique	silex	
PT2804	452843.009137	6760092.743785	66.978692	05-12-2012/09:58:47.0	mobilier	lithique	silex	
PT2805	452843.031278	6760092.705659	66.978398	05-12-2012/09:59:53.0	mobilier	lithique	silex	
PT2806	452843.114177	6760092.755087	66.991257	05-12-2012/10:00:18.0	mobilier	lithique	silex	
PT2807	452843.146049	6760092.753233	66.990930	05-12-2012/10:00:36.0	mobilier	lithique	silex	
PT2808	452843.192747	6760092.834235	66.993795	05-12-2012/10:01:32.0	mobilier	lithique	silex	
PT2809	452843.219332	6760092.886919	66.957498	05-12-2012/10:03:03.0	mobilier	lithique	silex	
PT2810	452843.236483	6760092.738398	66.978185	05-12-2012/10:03:26.0	mobilier	lithique	silex	
PT2811	452843.326589	6760092.865557	66.992646	05-12-2012/10:04:07.0	mobilier	lithique	silex	
PT2812	452843.360366	6760092.889153	66.999050	05-12-2012/10:04:23.0	mobilier	lithique	silex	
PT2813	452843.479751	6760092.880343	67.001516	05-12-2012/10:04:45.0	mobilier	lithique	silex	
PT2814	452843.511657	6760092.880010	67.002339	05-12-2012/10:05:16.0	mobilier	lithique	silex	
PT2815	452843.044190	6760092.259580	66.984026	05-12-2012/10:06:53.0	mobilier	lithique	silex	
PT2816	452843.025598	6760092.101555	66.944954	05-12-2012/10:07:47.0	mobilier	lithique	silex	
PT2817	452843.259722	6760092.195613	66.957541	05-12-2012/10:10:30.0	mobilier	lithique	silex	
PT2818	452843.167499	6760092.044878	66.927146	05-12-2012/10:10:44.0	mobilier	lithique	silex	
PT2819	452843.473954	6760092.098071	66.931358	05-12-2012/10:11:20.0	mobilier	lithique	silex	
PT2820	452843.715447	6760091.213782	66.920860	05-12-2012/10:42:27.0	mobilier	lithique	silex	
PT2821	452843.668453	6760091.310410	66.943642	05-12-2012/10:43:06.0	mobilier	lithique	silex	
PT2822	452843.905308	6760091.336853	66.973993	05-12-2012/10:43:35.0	mobilier	lithique	silex	
PT2823	452843.636426	6760091.500549	66.989576	05-12-2012/10:44:03.0	mobilier	lithique	silex	
PT2824	452843.876014	6760091.854346	66.933304	05-12-2012/10:44:58.0	mobilier	lithique	silex	
PT2825	452843.464120	6760091.633401	66.947456	05-12-2012/10:45:18.0	mobilier	lithique	silex	
PT2826	452843.398385	6760091.674859	66.969177	05-12-2012/10:45:58.0	mobilier	lithique	silex	
PT2827	452843.247863	6760091.708135	66.948368	05-12-2012/10:46:23.0	mobilier	lithique	silex	
PT2828	452843.157466	6760091.611431	66.975661	05-12-2012/10:46:42.0	mobilier	lithique	silex	
PT2829	452843.345863	6760091.486983	66.964179	05-12-2012/10:47:30.0	mobilier	lithique	silex	
PT2830	452843.382694	6760091.461434	66.958289	05-12-2012/10:49:19.0	mobilier	lithique	silex	
PT2831	452843.332169	6760091.407027	66.957413	05-12-2012/10:49:39.0	mobilier	lithique	silex	
PT2832	452843.259875	6760091.364679	66.923028	05-12-2012/10:50:11.0	mobilier	lithique	silex	
PT2833	452843.301448	6760091.508777	66.931608	05-12-2012/10:51:41.0	mobilier	lithique	silex	
PT2834	452842.675656	6760093.599079	66.970394	05-12-2012/10:52:36.0	mobilier	lithique	silex	
PT2835	452842.278135	6760093.398247	66.993981	05-12-2012/10:53:14.0	mobilier	lithique	silex	
PT2836	452842.432651	6760093.150011	66.992761	05-12-2012/10:53:30.0	mobilier	lithique	silex	
PT2837	452842.628154	6760092.955486	66.983300	05-12-2012/10:53:58.0	mobilier	lithique	silex	
PT2838	452843.066421	6760092.854912	66.965123	05-12-2012/10:55:03.0	mobilier	lithique	silex	
PT2839	452842.933759	6760092.795919	66.980141	05-12-2012/10:55:52.0	mobilier	lithique	silex	
PT2840	452842.957400	6760092.666464	66.986402	05-12-2012/10:56:14.0	mobilier	lithique	silex	
PT2841	452842.926926	6760092.616994	66.961666	05-12-2012/10:56:38.0	mobilier	lithique	silex	
PT2842	452842.892568	6760092.646853	66.969083	05-12-2012/10:56:59.0	mobilier	lithique	silex	
PT2843	452842.868334	6760092.631091	66.971645	05-12-2012/10:57:40.0	mobilier	lithique	silex	
PT2844	452842.707170	6760092.589061	66.987053	05-12-2012/10:58:13.0	mobilier	lithique	silex	
PT2845	452842.682900	6760092.687788	66.993217	05-12-2012/10:58:38.0	mobilier	lithique	silex	
PT2846	452842.648911	6760092.624491	66.989771	05-12-2012/10:59:01.0	mobilier	lithique	silex	
PT2847	452842.808251	6760092.320551	66.998694	05-12-2012/10:59:42.0	mobilier	lithique	silex	
PT2848	452842.664823	6760092.500028	66.989029	05-12-2012/11:00:07.0	mobilier	lithique	silex	
PT2849	452842.583064	6760092.529746	66.968029	05-12-2012/11:00:59.0	mobilier	lithique	silex	
PT2850	452842.657745	6760092.744116	66.959664	05-12-2012/11:01:30.0	mobilier	lithique	silex	
PT2851	452842.537337	6760092.782695	66.982692	05-12-2012/11:02:06.0	mobilier	lithique	silex	
PT2852	452842.487627	6760092.765294	66.971574	05-12-2012/11:03:14.0	mobilier	lithique	silex	
PT2853	452842.440374	6760092.592285	66.983451	05-12-2012/11:03:36.0	mobilier	lithique	silex	
PT2854	452842.119483	6760092.703558	66.992291	05-12-2012/11:04:17.0	mobilier	lithique	silex	
PT2855	452842.078223	6760092.677966	67.004124	05-12-2012/11:04:49.0	mobilier	lithique	silex	
PT2856	452842.312319	6760092.561736	66.978877	05-12-2012/11:05:18.0	mobilier	lithique	silex	
PT2857	452842.162624	6760092.506492	67.014744	05-12-2012/11:05:38.0	mobilier	lithique	silex	
PT2858	452842.237523	6760092.490115	66.997999	05-12-2012/11:05:54.0	mobilier	lithique	silex	
PT2859	452841.969507	6760092.620859	66.999453	05-12-2012/11:06:33.0	mobilier	lithique	silex	
PT2860	452842.003384	6760092.438850	66.985969	05-12-2012/11:11:12.0	mobilier	lithique	silex	
PT2861	452842.292402	6760092.153125	66.944898	05-12-2012/11:11:46.0	mobilier	lithique	silex	
PT2862	452842.124614	6760092.092589	66.961197	05-12-2012/11:12:08.0	mobilier	lithique	silex	
PT2863	452842.266236	6760092.251141	66.953029	05-12-2012/11:12:33.0	mobilier	lithique	silex	
PT2864	452842.575524	6760091.883783	66.963937	05-12-2012/11:13:36.0	mobilier	lithique	silex	
PT2865	452842.892995	6760091.938345	66.937053	05-12-2012/11:14:25.0	mobilier	lithique	silex	
PT2866	452842.951931	6760091.295502	66.967520	05-12-2012/11:14:55.0	mobilier	lithique	silex	
PT2867	452842.954059	6760091.102139	66.952514	05-12-2012/11:15:27.0	mobilier	lithique	silex	
PT2868	452842.880151	6760090.990749	66.960370	05-12-2012/11:16:54.0	mobilier	lithique	silex	
PT2869	452842.309670	6760091.078602	66.968533	05-12-2012/11:17:48.0	mobilier	lithique	silex	
PT2870	452842.195325	6760091.179335	66.983205	05-12-2012/11:18:32.0	mobilier	lithique	silex	
PT2871	452842.074916	6760091.160669	67.006531	05-12-2012/11:18:59.0	mobilier	lithique	silex	
PT2872	452842.009000	6760091.055972	66.986227	05-12-2012/11:19:27.0	mobilier	lithique	silex	
PT2873	452841.215470	6760093.334268	66.965372	05-12-2012/11:24:47.0	mobilier	lithique	silex	
PT2874	452841.116929	6760093.233700	66.973945	05-12-2012/11:25:09.0	mobilier	lithique	silex	
PT2875	452841.843113	6760092.916582	66.982438	05-12-2012/11:26:01.0	mobilier	lithique	silex	
PT2876	452841.969907	6760092.674482	66.995655	05-12-2012/11:26:21.0	mobilier	lithique	silex	
PT2877	452841.690886	6760092.540880	66.984955	05-12-2012/11:27:13.0	mobilier	lithique	silex	
PT2878	452841.489721	6760092.593385	67.002029	05-12-2012/11:28:08.0	mobilier	lithique	roche indéterminée	
PT2879	452841.507863	6760092.458497	67.001858	05-12-2012/11:28:32.0	mobilier	lithique	silex	
PT2880	452841.403815	6760092.428622	66.998650	05-12-2012/11:29:00.0	mobilier	lithique	silex	
PT2881	452841.330430	6760092.403511	67.001487	05-12-2012/11:29:31.0	mobilier	lithique	silex	
PT2882	452841.375903	6760092.710949	66.992542	05-12-2012/11:30:16.0	mobilier	lithique	silex	
PT2883	452841.407151	6760092.239725	66.986893	05-12-2012/11:30:35.0	mobilier	lithique	silex	

MATRICULE	X (est)	Y (nord)	Z (alti)	DATE	ÉLÉMENT TOPOGRAPHIÉ	TYPE DE POINT	IDENTIFIANT	DESCRIPTION
PT2884	452841.357786	6760092.243615	66.994796	05-12-2012/11:30:51.0	mobilier	lithique	silex	
PT2885	452841.519998	6760092.049018	67.011135	05-12-2012/11:31:09.0	mobilier	lithique	silex	
PT2886	452841.453013	6760092.216556	66.983466	05-12-2012/11:32:00.0	mobilier	lithique	silex	
PT2887	452841.181988	6760092.159062	66.983117	05-12-2012/11:32:44.0	mobilier	lithique	silex	
PT2888	452841.195662	6760092.105334	66.993432	05-12-2012/11:33:10.0	mobilier	lithique	silex	
PT2889	452841.077288	6760092.099932	66.985955	05-12-2012/11:34:08.0	mobilier	lithique	silex	
PT2890	452840.969351	6760092.574791	67.005651	05-12-2012/11:34:48.0	mobilier	lithique	silex	
PT2891	452841.059240	6760092.621235	67.001695	05-12-2012/11:35:21.0	mobilier	lithique	silex	
PT2892	452841.578605	6760091.992998	66.980451	05-12-2012/11:37:21.0	mobilier	lithique	silex	
PT2893	452841.589710	6760091.891322	66.981653	05-12-2012/11:37:47.0	mobilier	lithique	silex	
PT2894	452841.472505	6760091.918883	66.983013	05-12-2012/11:38:49.0	mobilier	lithique	silex	
PT2895	452841.292767	6760091.839439	66.979319	05-12-2012/11:40:09.0	mobilier	lithique	silex	
PT2896	452841.203743	6760091.855662	66.983787	05-12-2012/11:41:01.0	mobilier	lithique	silex	
PT2897	452841.271006	6760091.705832	66.962909	05-12-2012/11:41:29.0	mobilier	lithique	silex	
PT2898	452841.314641	6760091.628522	66.981977	05-12-2012/11:41:41.0	mobilier	lithique	silex	
PT2899	452841.459994	6760091.755899	66.977076	05-12-2012/11:42:03.0	mobilier	lithique	silex	
PT2900	452841.596458	6760091.708053	66.997951	05-12-2012/11:42:32.0	mobilier	lithique	silex	
PT2901	452841.619438	6760091.731520	67.001305	05-12-2012/11:42:58.0	mobilier	lithique	silex	
PT2902	452841.599364	6760091.597456	66.988141	05-12-2012/11:43:34.0	mobilier	lithique	silex	
PT2903	452841.835953	6760091.495303	66.968234	05-12-2012/11:44:02.0	mobilier	lithique	silex	
PT2904	452841.906133	6760091.482855	66.981430	05-12-2012/11:44:30.0	mobilier	lithique	silex	
PT2905	452841.824534	6760091.285440	66.970470	05-12-2012/11:44:55.0	mobilier	lithique	silex	
PT2906	452841.728298	6760091.269708	66.979734	05-12-2012/11:45:15.0	mobilier	lithique	silex	
PT2907	452841.670278	6760091.254171	66.953232	05-12-2012/11:46:10.0	mobilier	lithique	silex	
PT2908	452841.485562	6760091.458660	66.963447	05-12-2012/11:46:29.0	mobilier	lithique	silex	
PT2909	452841.340990	6760091.319072	66.948889	05-12-2012/11:47:35.0	mobilier	lithique	silex	
PT2910	452841.301965	6760091.390708	66.963535	05-12-2012/11:47:53.0	mobilier	lithique	silex	
PT2911	452841.093845	6760091.067898	66.967760	05-12-2012/11:48:25.0	mobilier	lithique	silex	
PT2912	452840.939339	6760093.796889	66.983068	05-12-2012/11:50:16.0	mobilier	lithique	silex	
PT2913	452840.865924	6760093.440406	66.961236	05-12-2012/11:50:32.0	mobilier	lithique	silex	
PT2914	452840.014958	6760093.048978	66.940114	05-12-2012/11:51:31.0	mobilier	lithique	silex	
PT2915	452840.062088	6760093.096979	66.952000	05-12-2012/11:52:14.0	mobilier	lithique	silex	
PT2916	452840.178393	6760093.727712	66.937389	05-12-2012/11:52:44.0	mobilier	lithique	silex	
PT2917	452840.004508	6760093.954513	66.940085	05-12-2012/11:53:07.0	mobilier	lithique	silex	
PT2918	452840.433135	6760092.844108	66.962527	05-12-2012/11:54:17.0	mobilier	lithique	silex	
PT2919	452840.578299	6760092.899546	66.993232	05-12-2012/11:54:49.0	mobilier	lithique	silex	
PT2920	452840.826995	6760092.928553	66.994352	05-12-2012/11:55:14.0	mobilier	lithique	silex	
PT2921	452840.870404	6760092.652170	67.001171	05-12-2012/11:55:31.0	mobilier	lithique	silex	
PT2922	452840.877994	6760092.444308	66.997191	05-12-2012/11:55:59.0	mobilier	lithique	silex	
PT2923	452840.674086	6760092.500003	66.995982	05-12-2012/11:58:03.0	mobilier	lithique	silex	
PT2924	452840.672762	6760092.193544	67.008987	05-12-2012/11:58:25.0	mobilier	lithique	silex	
PT2925	452840.669249	6760092.249004	66.991360	05-12-2012/11:59:22.0	mobilier	lithique	silex	
PT2926	452840.578986	6760092.196338	66.987589	05-12-2012/12:00:19.0	mobilier	lithique	silex	
PT2927	452840.271915	6760092.173238	67.022411	05-12-2012/12:01:14.0	mobilier	lithique	silex	
PT2928	452840.334806	6760092.034131	67.007016	05-12-2012/12:01:41.0	mobilier	lithique	silex	
PT2929	452840.475499	6760091.982588	67.005574	05-12-2012/12:03:12.0	mobilier	lithique	silex	
PT2930	452840.911765	6760091.601010	66.963663	05-12-2012/12:03:43.0	mobilier	lithique	silex	
PT2931	452840.789150	6760091.587698	66.988743	05-12-2012/12:04:49.0	mobilier	lithique	silex	
PT2932	452840.573191	6760091.603176	66.976035	05-12-2012/12:05:26.0	mobilier	lithique	silex	
PT2933	452840.506971	6760091.466002	66.966742	05-12-2012/12:06:53.0	mobilier	lithique	silex	
PT2934	452840.475329	6760091.654929	66.970633	05-12-2012/12:07:14.0	mobilier	lithique	silex	
PT2935	452840.418742	6760091.571623	66.968588	05-12-2012/12:09:00.0	mobilier	lithique	silex	
PT2936	452840.449155	6760091.397202	66.984402	05-12-2012/12:09:23.0	mobilier	lithique	silex	
PT2937	452840.421862	6760091.238276	66.974496	05-12-2012/12:10:03.0	mobilier	lithique	silex	
PT2938	452840.635944	6760091.226711	66.967477	05-12-2012/12:10:52.0	mobilier	lithique	silex	
PT2939	452840.626032	6760091.030516	66.997671	05-12-2012/12:11:13.0	mobilier	lithique	silex	
PT2940	452840.092028	6760091.033574	66.964920	05-12-2012/12:11:54.0	mobilier	lithique	silex	
PT2941	452843.495329	6760092.923441	66.964766	05-12-2012/13:17:57.0	mobilier	lithique	silex	
PT2942	452841.405794	6760092.664002	66.991629	05-12-2012/13:20:34.0	mobilier	lithique	silex	
PT2943	452840.307915	6760092.371264	66.997603	05-12-2012/13:22:17.0	mobilier	lithique	silex	
PT2944	452841.419260	6760091.867653	66.994231	05-12-2012/13:22:54.0	mobilier	lithique	silex	
PT2945	452843.357398	6760092.852389	66.992381	05-12-2012/13:29:09.0	mobilier	lithique	silex	
PT2946	452841.363349	6760091.855891	66.971158	05-12-2012/13:48:41.0	mobilier	lithique	silex	
PT2947	452841.130331	6760091.078731	66.961761	05-12-2012/14:00:14.0	mobilier	lithique	silex	
PT2948	452841.574004	6760091.051603	66.975605	05-12-2012/14:00:42.0	mobilier	lithique	silex	
PT2949	452873.012727	6760075.505941	67.222569	05-12-2012/14:13:57.0	coupe	clou coupe	CP09	
PT2950	452872.852649	6760077.492217	67.226011	05-12-2012/14:14:31.0	coupe	clou coupe	CP09	
PT2951	452872.944058	6760077.510306	66.019908	05-12-2012/14:16:18.0	coupe	clou coupe	CP09	
PT2952	452873.084856	6760075.536691	66.075130	05-12-2012/14:16:40.0	coupe	clou coupe	CP09	
PT2953	452872.527737	6760079.279772	67.615608	05-12-2012/14:18:15.0	coupe	contour	CP09	limite supérieure
PT2954	452872.912173	6760076.412773	67.352576	05-12-2012/14:18:40.0	coupe	contour	CP09	limite supérieure
PT2955	452873.250023	6760073.698992	67.367569	05-12-2012/14:18:57.0	coupe	contour	CP09	limite supérieure
PT2956	452873.660156	6760070.650859	67.335300	05-12-2012/14:19:16.0	coupe	contour	CP09	limite supérieure
PT2957	452873.110267	6760075.271939	65.598529	05-12-2012/14:20:28.0	coupe	contour	CP09	limite inférieure
PT2958	452873.050513	6760076.457504	65.523755	05-12-2012/14:21:16.0	coupe	contour	CP09	limite inférieure
PT2959	452872.918108	6760077.194849	65.764525	05-12-2012/14:21:36.0	coupe	contour	CP09	limite inférieure
PT2960	452872.954302	6760077.540996	65.947754	05-12-2012/14:21:53.0	coupe	contour	CP09	limite inférieure
PT2961	452872.899099	6760078.030855	66.036661	05-12-2012/14:22:08.0	coupe	contour	CP09	limite inférieure
PT2962	452872.859483	6760078.446480	66.307327	05-12-2012/14:22:53.0	coupe	contour	CP09	limite inférieure
PT2963	452872.777225	6760079.172243	66.616504	05-12-2012/14:23:26.0	coupe	contour	CP09	limite inférieure
PT2964	452876.659946	6760059.820179	66.411899	05-12-2012/14:24:32.0	coupe	contour	CP09	limite argile
PT2965	452877.857795	6760058.283498	66.436095	05-12-2012/14:24:52.0	coupe	contour	CP09	limite argile
PT2966	452878.123711	6760056.342947	66.480007	05-12-2012/14:25:15.0	coupe	contour	CP09	limite argile
PT2967	452840.694948	6760091.091475	66.971187	05-12-2012/14:49:49.0	mobilier	lithique	silex	
PT2968	452840.693947	6760091.375386	66.964376	05-12-2012/15:11:00.0	mobilier	lithique	silex	
PT2969	452841.709267	6760091.004845	66.945567	05-12-2012/15:11:22.0	mobilier	lithique	silex	
PT2970	452839.405742	6760087.264939	66.809861	06-12-2012/10:39:29.0	mobilier	lithique	silex	
PT2971	452850.852567	6760107.727865	66.747921	06-12-2012/13:54:43.0	mobilier	lithique	silex	
PT2972	452850.785516	6760107.756852	66.753155	06-12-2012/13:55:01.0	mobilier	lithique	silex	
PT2973	452850.749428	6760107.711521	66.762820	06-12-2012/13:55:14.0	mobilier	lithique	silex	
PT2974	452850.448184	6760107.880985	66.763121	06-12-2012/13:55:28.0	mobilier	lithique	silex	
PT2975	452850.145306	6760107.748246	66.776205	06-12-2012/13:55:43.0	mobilier	lithique	silex	
PT2976	452850.145349	6760107.725048	66.775095	06-12-2012/13:55:53.0	mobilier	lithique	silex	
PT2977	452850.050848	6760107.640181	66.786940	06-12-2012/13:56:04.0	mobilier	lithique	silex	
PT2978	452849.960431	6760107.572607	66.785068	06-12-2012/13:56:15.0	mobilier	lithique	silex	
PT2979	452849.891142	6760107.677899	66.787876	06-12-2012/13:56:27.0	mobilier	lithique	silex	
PT2980	452849.775911	6760107.762976	66.795448	06-12-2012/13:56:39.0	mobilier	lithique	silex	
PT2981	452849.863071	6760107.460044	66.796317	06-12-2012/13:56:49.0	mobilier	lithique	silex	
PT2982	452849.927247	6760107.348681	66.784639	06-12-2012/13:57:01.0	mobilier	lithique	silex	
PT2983	452849.576076	6760107.319532	66.801131	06-12-2012/13:57:12.0	mobilier	lithique	silex	
PT2984	452849.402426	6760107.077524	66.813715	06-12-2012/13:57:24.0	mobilier	lithique	silex	
PT2985	452849.417920	6760107.056116	66.802716	06-12-2012/13:57:33.0	mobilier	lithique	silex	
PT2986	452849.493613	6760107.021614	66.796015	06-12-2012/13:57:42.0	mobilier	lithique	silex	
PT2987	452849.756215	6760107.139538	66.792032	06-12-2012/13:57:58.0	mobilier	lithique	silex	
PT2988	452849.752029	6760106.969846	66.831819	06-12-2012/13:58:10.0	mobilier	lithique	silex	
PT2989	452849.758846	6760106.901979	66.774871	06-12-2012/13:58:19.0	mobilier	lithique	silex	
PT2990	452849.839384	6760106.995746	66.768890	06-12-2012/13:58:29.0	mobilier	lithique	silex	
PT2991	452849.670793	6760106.757285	66.754719	06-12-2012/13:58:39.0	mobilier	lithique	silex	
PT2992	452850.083263	6760106.886952	66.797132	06-12-2012/13:59:00.0	mobilier	lithique	silex	
PT2993	452850.006889	6760107.012368	66.805893	06-12-2012/13:59:12.0	mobilier	lithique	silex	
PT2994	452850.103545	6760106.935830	66.769368	06-12-2012/13:59:23.0	mobilier	lithique	silex	
PT2995	452849.461488	6760106.959505	66.786427	06-12-2012/13:59:59.0	mobilier	lithique	silex	
PT2996	452849.473868	6760106.976448	66.788518	06-12-2012/14:00:17.0	mobilier	lithique	silex	
PT2997	452849.872600	6760107.077082	66.796043	06-12-2012/14:01:45.0	mobilier	lithique	silex	
PT2998	452849.902631	6760107.084756	66.790288	06-12-2012/14:02:02.0	mobilier	lithique	silex	
PT2999	452849.799631	6760106.966828	66.797185	06-12-2012/14:02:49.0	mobilier	lithique	silex	
PT3000	452850.529050	6760107.048318	66.777696	06-12-2012/14:03:50.0	mobilier	lithique	silex	
PT3001	452849.980479	6760106.877179	66.846014	06-12-2012/14:05:28.0	mobilier	lithique	silex	
PT3002	452849.926309	6760106.912170	66.833383	06-12-2012/14:05:54.0	mobilier	lithique	silex	
PT3003	452850.084168	6760106.873717	66.801335	06-12-2012/14:06:15.0	mobilier	lithique	silex	
PT3004	452850.203930	6760106.941095	66.786926	06-12-2012/14:07:17.0	mobilier	lithique	silex	
PT3005	452850.234627	6760106.975354	66.806062	06-12-2012/14:07:44.0	mobilier	lithique	silex	
PT3006	452850.191685	6760107.061595	66.794556	06-12-2012/14:08:06.0	mobilier	lithique	silex	
PT3007	452850.169902	6760107.094785	66.793064	06-12-2012/14:08:33.0	mobilier	lithique	silex	
PT3008	452850.200547	6760107.089348	66.800871	06-12-2012/14:08:58.0	mobilier	lithique	silex	
PT3009	452850.180206	6760107.182712	66.799426	06-12-2012/14:09:29.0	mobilier	lithique	silex	
PT3010	452850.146263	6760107.153686	66.795335	06-12-2012/14:09:47.0	mobilier	lithique	silex	
PT3011	452850.172929	6760107.142150	66.784765	06-12-2012/14:10:02.0	mobilier	lithique	silex	
PT3012	452850.172995	6760107.166021	66.799445	06-12-2012/14:10:17.0	mobilier	lithique	silex	
PT3013	452850.218861	6760107.000867	66.784625	06-12-2012/14:10:37.0	mobilier	lithique	silex	
PT3014	452850.259526	6760107.014484	66.797406	06-12-2012/14:10:52.0	mobilier	lithique	silex	

MATRICULE	X (est)	Y (nord)	Z (alti)	DATE	ÉLÉMENT TOPOGRAPHIÉ	TYPE DE POINT	IDENTIFIANT	DESCRIPTION
PT3015	452850.217957	6760107.096301	66.800013	06-12-2012/14:11:09.0	mobilier	lithique	silex	
PT3016	452839.429413	6760087.121459	66.874312	06-12-2012/13:51:38.0	prélèvement	point bas	PR01	dans CP05 ; micromorpho
PT3017	452839.419558	6760087.118792	66.565571	06-12-2012/13:51:51.0	prélèvement	point bas	PR02	dans CP05 ; micromorpho
PT3018	452849.813687	6760106.830100	66.765406	06-12-2012/14:26:10.0	mobilier	lithique	silex	
PT3019	452850.312484	6760107.165844	66.819325	06-12-2012/14:26:52.0	mobilier	lithique	silex	
PT3020	452850.304486	6760107.172462	66.820287	06-12-2012/14:27:10.0	mobilier	lithique	silex	
PT3021	452850.277276	6760107.156427	66.816949	06-12-2012/14:27:31.0	mobilier	lithique	silex	
PT3022	452850.352384	6760107.194576	66.820832	06-12-2012/14:27:50.0	mobilier	lithique	silex	
PT3023	452850.346295	6760107.161901	66.822360	06-12-2012/14:28:19.0	mobilier	lithique	silex	
PT3024	452850.383836	6760107.203005	66.812204	06-12-2012/14:28:31.0	mobilier	lithique	silex	
PT3025	452850.334167	6760107.148274	66.814152	06-12-2012/14:28:49.0	mobilier	lithique	silex	
PT3026	452850.253946	6760107.137997	66.805891	06-12-2012/14:29:10.0	mobilier	lithique	silex	
PT3027	452850.238531	6760107.085016	66.803015	06-12-2012/14:29:30.0	mobilier	lithique	silex	
PT3028	452850.286486	6760107.092857	66.797616	06-12-2012/14:29:48.0	mobilier	lithique	silex	
PT3029	452850.292942	6760107.085266	66.791977	06-12-2012/14:30:07.0	mobilier	lithique	silex	
PT3030	452850.299515	6760107.043377	66.785269	06-12-2012/14:30:24.0	mobilier	lithique	silex	
PT3031	452850.346750	6760107.090728	66.797393	06-12-2012/14:30:37.0	mobilier	lithique	silex	
PT3032	452850.367101	6760107.056935	66.804171	06-12-2012/14:30:52.0	mobilier	lithique	silex	
PT3033	452850.298475	6760107.018472	66.789687	06-12-2012/14:31:06.0	mobilier	lithique	silex	
PT3034	452850.340276	6760107.112461	66.800433	06-12-2012/14:32:17.0	mobilier	point central	silex	esquilles et éclats dans Locus 1, dec2
PT3035	452850.288119	6760106.991462	66.793898	06-12-2012/14:32:37.0	mobilier	lithique	silex	
PT3036	452850.238814	6760107.079486	66.792904	06-12-2012/14:33:06.0	mobilier	lithique	silex	
PT3037	452850.262871	6760107.077510	66.800235	06-12-2012/14:33:20.0	mobilier	lithique	silex	
PT3038	452850.265905	6760107.097102	66.797592	06-12-2012/14:34:01.0	mobilier	lithique	silex	
PT3039	452850.261485	6760107.134157	66.802713	06-12-2012/14:34:22.0	mobilier	lithique	silex	
PT3040	452850.323659	6760107.114757	66.798373	06-12-2012/14:34:42.0	mobilier	lithique	silex	
PT3041	452850.295347	6760107.022635	66.777456	06-12-2012/14:35:08.0	mobilier	lithique	silex	
PT3042	452850.277044	6760107.015609	66.774836	06-12-2012/14:35:26.0	mobilier	lithique	silex	
PT3043	452850.254010	6760107.009477	66.783660	06-12-2012/14:35:41.0	mobilier	lithique	silex	
PT3044	452850.263841	6760107.034348	66.785660	06-12-2012/14:36:00.0	mobilier	lithique	silex	
PT3045	452850.401134	6760107.079724	66.789535	06-12-2012/14:36:16.0	mobilier	lithique	silex	
PT3046	452850.437136	6760107.136236	66.774518	06-12-2012/14:36:41.0	mobilier	lithique	silex	
PT3047	452850.449636	6760107.159901	66.787526	06-12-2012/14:36:54.0	mobilier	lithique	silex	
PT3048	452850.470511	6760107.153358	66.782655	06-12-2012/14:37:04.0	mobilier	lithique	silex	
PT3049	452850.417875	6760107.126032	66.775807	06-12-2012/14:37:18.0	mobilier	lithique	silex	
PT3050	452850.541306	6760107.187890	66.778421	06-12-2012/14:37:35.0	mobilier	lithique	silex	
PT3051	452850.557370	6760107.151748	66.776561	06-12-2012/14:37:49.0	mobilier	lithique	silex	
PT3052	452850.528101	6760107.175745	66.778601	06-12-2012/14:38:05.0	mobilier	lithique	silex	
PT3053	452850.275024	6760107.120479	66.798074	06-12-2012/14:38:26.0	mobilier	lithique	silex	
PT3054	452850.382764	6760107.132859	66.794691	06-12-2012/14:38:55.0	mobilier	lithique	silex	
PT3055	452850.367565	6760107.112026	66.786291	06-12-2012/14:39:08.0	mobilier	lithique	silex	
PT3056	452850.210754	6760107.070423	66.786441	06-12-2012/14:49:12.0	mobilier	lithique	silex	
PT3057	452850.233151	6760107.107803	66.776945	06-12-2012/14:49:26.0	mobilier	lithique	silex	
PT3058	452850.340015	6760107.136520	66.805304	06-12-2012/14:49:46.0	mobilier	lithique	silex	
PT3059	452850.375785	6760107.063653	66.790355	06-12-2012/14:49:55.0	mobilier	lithique	silex	
PT3060	452850.322073	6760107.080829	66.774003	06-12-2012/14:50:07.0	mobilier	lithique	silex	
PT3061	452850.495484	6760107.171155	66.776889	06-12-2012/14:50:26.0	mobilier	lithique	silex	
PT3062	452850.445965	6760107.163323	66.781726	06-12-2012/14:50:37.0	mobilier	lithique	silex	
PT3063	452850.531675	6760107.030385	66.761739	06-12-2012/14:50:53.0	mobilier	lithique	silex	
PT3064	452850.290737	6760107.120442	66.777479	06-12-2012/14:51:07.0	mobilier	lithique	silex	
PT3065	452849.855678	6760106.857772	66.757397	06-12-2012/14:52:09.0	mobilier	lithique	silex	
PT3066	452849.618705	6760106.889954	66.787341	06-12-2012/14:52:28.0	mobilier	lithique	silex	
PT3067	452839.469948	6760086.834703	67.054616	06-12-2012/15:00:05.0	prélèvement	point central	PR03	dans CP05 ; sédimento
PT3068	452839.468116	6760086.807193	66.971403	06-12-2012/15:00:19.0	prélèvement	point central	PR04	dans CP05 ; sédimento
PT3069	452839.467022	6760086.817237	66.875742	06-12-2012/15:00:33.0	prélèvement	point central	PR05	dans CP05 ; sédimento
PT3070	452839.459028	6760086.820732	66.779303	06-12-2012/15:00:44.0	prélèvement	point central	PR06	dans CP05 ; sédimento
PT3071	452839.455851	6760086.818226	66.655587	06-12-2012/15:00:56.0	prélèvement	point central	PR07	dans CP05 ; sédimento
PT3072	452839.454486	6760086.824273	66.548977	06-12-2012/15:01:05.0	prélèvement	point central	PR08	dans CP05 ; sédimento
PT3073	452839.452735	6760086.834146	66.454540	06-12-2012/15:01:14.0	prélèvement	point central	PR09	dans CP05 ; sédimento
PT3074	452839.447024	6760086.839431	66.364119	06-12-2012/15:01:25.0	prélèvement	point central	PR10	dans CP05 ; sédimento
PT3075	452850.010752	6760106.786398	66.737350	06-12-2012/16:24:52.0	mobilier	lithique	silex	
PT3076	452849.972707	6760106.774637	66.749879	06-12-2012/16:25:04.0	mobilier	lithique	silex	
PT3077	452849.915636	6760106.826168	66.749855	06-12-2012/16:25:18.0	mobilier	lithique	silex	
PT3078	452849.885008	6760106.832854	66.758653	06-12-2012/16:25:30.0	mobilier	lithique	silex	
PT3079	452849.843738	6760106.811056	66.757944	06-12-2012/16:25:49.0	mobilier	lithique	silex	
PT3080	452849.830057	6760106.878430	66.763362	06-12-2012/16:26:12.0	mobilier	lithique	silex	
PT3081	452849.858043	6760106.909050	66.754031	06-12-2012/16:26:23.0	mobilier	lithique	silex	
PT3082	452849.839566	6760106.937468	66.769669	06-12-2012/16:26:35.0	mobilier	lithique	silex	
PT3083	452849.782486	6760106.931167	66.756265	06-12-2012/16:26:45.0	mobilier	lithique	silex	
PT3084	452849.736329	6760106.906060	66.758158	06-12-2012/16:26:56.0	mobilier	lithique	silex	
PT3085	452849.719785	6760106.890072	66.757440	06-12-2012/16:27:11.0	mobilier	lithique	silex	
PT3086	452849.701868	6760106.862033	66.747155	06-12-2012/16:27:38.0	mobilier	lithique	silex	
PT3087	452849.505463	6760106.786947	66.756001	06-12-2012/16:27:49.0	mobilier	lithique	silex	
PT3088	452850.404595	6760107.157925	66.724484	06-12-2012/16:28:07.0	mobilier	lithique	silex	
PT3089	452850.059291	6760107.322846	66.736814	06-12-2012/16:28:17.0	mobilier	lithique	silex	
PT3090	452849.827020	6760106.907836	66.754194	06-12-2012/16:34:52.0	mobilier	lithique	silex	
PT3091	452849.851479	6760106.909142	66.756420	06-12-2012/16:35:06.0	mobilier	lithique	silex	
PT3092	452849.838058	6760106.895875	66.755942	06-12-2012/16:35:19.0	mobilier	lithique	silex	
PT3093	452849.811013	6760106.953299	66.758727	06-12-2012/16:35:31.0	mobilier	lithique	silex	
PT3094	452849.856729	6760106.859715	66.743106	06-12-2012/16:36:30.0	mobilier	lithique	silex	
PT3095	452849.911657	6760107.023655	66.733305	06-12-2012/16:58:24.0	mobilier	lithique	silex	
PT3096	452836.706529	6760083.772153	66.665969	10-12-2012/09:16:36.0	mobilier	lithique	silex	
PT3097	452836.060008	6760083.677344	66.670756	10-12-2012/09:17:03.0	mobilier	lithique	silex	
PT3098	452836.721630	6760083.795131	66.665026	10-12-2012/09:17:50.0	mobilier	lithique	silex	
PT3099	452836.780476	6760083.723600	66.673552	10-12-2012/09:18:24.0	mobilier	lithique	silex	
PT3100	452836.720701	6760083.718346	66.672567	10-12-2012/09:18:48.0	mobilier	lithique	silex	
PT3101	452849.166872	6760096.926498	67.080918	10-12-2012/14:17:38.0	mobilier	lithique	silex	
PT3102	452849.000635	6760096.271390	67.064817	10-12-2012/14:18:10.0	mobilier	lithique	silex	
PT3103	452848.945332	6760096.300806	67.045043	10-12-2012/14:18:52.0	mobilier	lithique	silex	
PT3104	452848.386926	6760096.154015	67.045661	10-12-2012/14:20:10.0	mobilier	lithique	silex	
PT3105	452848.198721	6760096.271943	67.120480	10-12-2012/14:20:53.0	mobilier	lithique	silex	
PT3106	452848.255988	6760096.277656	67.091821	10-12-2012/14:21:15.0	mobilier	lithique	silex	
PT3107	452848.276500	6760096.397711	67.108052	10-12-2012/14:21:57.0	mobilier	lithique	silex	
PT3108	452849.698883	6760095.802789	67.031036	10-12-2012/14:25:56.0	mobilier	lithique	silex	
PT3109	452849.356602	6760096.016085	67.049939	10-12-2012/14:26:22.0	mobilier	lithique	silex	
PT3110	452849.180857	6760095.897925	67.057355	10-12-2012/14:27:17.0	mobilier	lithique	silex	
PT3111	452849.426267	6760095.058993	67.022314	10-12-2012/14:28:09.0	mobilier	lithique	silex	
PT3112	452849.376401	6760095.082614	67.018477	10-12-2012/14:28:38.0	mobilier	lithique	silex	
PT3113	452849.090544	6760095.208021	67.035320	10-12-2012/14:31:06.0	mobilier	lithique	silex	
PT3114	452849.017180	6760095.143031	67.035088	10-12-2012/14:34:05.0	mobilier	lithique	silex	
PT3115	452848.987032	6760095.166922	67.028993	10-12-2012/14:34:44.0	mobilier	lithique	silex	
PT3116	452848.955495	6760095.113503	67.031191	10-12-2012/14:35:08.0	mobilier	lithique	silex	
PT3117	452848.894853	6760095.215374	67.029839	10-12-2012/14:35:29.0	mobilier	lithique	silex	
PT3118	452848.843314	6760095.639498	67.073829	10-12-2012/14:36:10.0	mobilier	lithique	silex	
PT3119	452848.976863	6760096.016039	67.044607	10-12-2012/14:38:07.0	mobilier	lithique	silex	
PT3120	452848.753607	6760095.991935	67.067049	10-12-2012/14:39:23.0	mobilier	lithique	silex	
PT3121	452848.726090	6760095.815741	67.051238	10-12-2012/14:40:19.0	mobilier	lithique	silex	
PT3122	452848.336132	6760095.985592	67.081947	10-12-2012/14:40:48.0	mobilier	lithique	silex	
PT3123	452848.653548	6760095.707300	67.073026	10-12-2012/14:41:15.0	mobilier	lithique	silex	
PT3124	452848.608534	6760095.798727	67.066764	10-12-2012/14:41:54.0	mobilier	lithique	silex	
PT3125	452848.500599	6760095.810042	67.060657	10-12-2012/14:42:20.0	mobilier	lithique	silex	
PT3126	452848.492631	6760095.835237	67.037366	10-12-2012/14:42:47.0	mobilier	lithique	silex	
PT3127	452848.404985	6760095.724402	67.090759	10-12-2012/14:43:19.0	mobilier	lithique	silex	
PT3128	452848.468328	6760095.728569	67.064151	10-12-2012/14:43:50.0	mobilier	lithique	silex	
PT3129	452848.418620	6760095.347834	67.036392	10-12-2012/14:45:34.0	mobilier	lithique	silex	
PT3130	452848.420268	6760095.303507	67.037278	10-12-2012/14:46:04.0	mobilier	lithique	silex	
PT3131	452848.585972	6760095.150501	67.055987	10-12-2012/14:47:15.0	mobilier	lithique	silex	
PT3132	452848.680075	6760095.572036	67.042130	10-12-2012/14:47:50.0	mobilier	lithique	silex	
PT3133	452848.646996	6760095.231739	67.028548	10-12-2012/14:48:26.0	mobilier	lithique	silex	
PT3134	452848.222132	6760095.105970	67.053106	10-12-2012/14:48:53.0	mobilier	lithique	silex	
PT3135	452848.174065	6760095.045864	67.056973	10-12-2012/14:49:14.0	mobilier	lithique	silex	
PT3136	452848.100786	6760095.016586	67.079809	10-12-2012/14:49:39.0	mobilier	lithique	silex	
PT3137	452848.192800	6760095.233655	67.084178	10-12-2012/14:50:54.0	mobilier	lithique	silex	
PT3138	452848.162580	6760095.280572	67.074880	10-12-2012/14:51:20.0	mobilier	lithique	silex	
PT3139	452848.129981	6760095.394708	67.087195	10-12-2012/14:51:47.0	mobilier	lithique	silex	
PT3140	452848.284223	6760095.369542	67.072053	10-12-2012/14:52:28.0	mobilier	lithique	silex	
PT3141	452848.240898	6760095.497717	67.069855	10-12-2012/14:53:12.0	mobilier	lithique	silex	
PT3142	452848.148371	6760095.495402	67.071615	10-12-2012/14:53:29.0	mobilier	lithique	silex	
PT3143	452848.268271	6760095.640381	67.059014	10-12-2012/14:53:58.0	mobilier	lithique	silex	
PT3144	452848.156689	6760095.633582	67.015196	10-12-2012/14:54:56.0	mobilier	lithique	silex	
PT3145	452849.870249	6760093.078790	67.047198	10-12-2012/14:56:54.0	mobilier	lithique	silex	

MATRICULE	X (est)	Y (nord)	Z (alti)	DATE	ÉLÉMENT TOPOGRAPHIÉ	TYPE DE POINT	IDENTIFIANT	DESCRIPTION
PT3146	452849.605626	6760093.683022	67.099897	10-12-2012/14:57:56.0	mobilier	lithique	silex	
PT3147	452849.650641	6760093.704794	67.103039	10-12-2012/14:58:14.0	mobilier	lithique	silex	
PT3148	452849.459338	6760093.427176	67.069774	10-12-2012/14:58:42.0	mobilier	lithique	silex	
PT3149	452849.359320	6760093.915849	67.086686	10-12-2012/14:59:09.0	mobilier	lithique	silex	
PT3150	452849.321557	6760093.993224	67.060366	10-12-2012/15:00:49.0	mobilier	lithique	silex	
PT3151	452848.153396	6760093.006846	67.071878	10-12-2012/15:07:38.0	mobilier	lithique	silex	
PT3152	452848.388224	6760093.372639	67.079164	10-12-2012/15:07:51.0	mobilier	lithique	silex	
PT3153	452848.108003	6760093.601288	67.105801	10-12-2012/15:08:02.0	mobilier	lithique	silex	
PT3154	452848.144366	6760093.637541	67.112710	10-12-2012/15:08:13.0	mobilier	lithique	silex	
PT3155	452848.147145	6760093.701656	67.093803	10-12-2012/15:08:25.0	mobilier	lithique	silex	
PT3156	452848.075606	6760093.732395	67.066085	10-12-2012/15:08:33.0	mobilier	lithique	silex	
PT3157	452848.161764	6760093.902645	67.140970	10-12-2012/15:08:43.0	mobilier	lithique	silex	
PT3158	452849.465020	6760094.501358	67.125390	10-12-2012/15:17:38.0	mobilier	lithique	silex	
PT3159	452849.373661	6760094.502316	67.056952	10-12-2012/15:17:47.0	mobilier	lithique	silex	
PT3160	452849.298481	6760094.494552	67.115388	10-12-2012/15:17:57.0	mobilier	lithique	silex	
PT3161	452849.489172	6760094.229347	67.088823	10-12-2012/15:18:07.0	mobilier	lithique	silex	
PT3162	452849.335294	6760094.216146	67.103233	10-12-2012/15:18:19.0	mobilier	lithique	silex	
PT3163	452849.259643	6760094.481403	67.083577	10-12-2012/15:18:30.0	mobilier	lithique	silex	
PT3164	452849.063148	6760094.022123	67.086266	10-12-2012/15:18:44.0	mobilier	lithique	silex	
PT3165	452849.000061	6760094.119945	67.076951	10-12-2012/15:28:10.0	mobilier	lithique	silex	
PT3166	452848.883538	6760094.255263	67.073209	10-12-2012/15:28:27.0	mobilier	lithique	silex	
PT3167	452848.863257	6760094.128822	67.116791	10-12-2012/15:28:36.0	mobilier	lithique	silex	
PT3168	452848.818141	6760094.114378	67.117843	10-12-2012/15:28:43.0	mobilier	lithique	silex	
PT3169	452848.695574	6760094.074985	67.121685	10-12-2012/15:28:56.0	mobilier	lithique	silex	
PT3170	452848.660329	6760094.445651	67.061425	10-12-2012/15:29:07.0	mobilier	lithique	silex	
PT3171	452848.446300	6760094.424435	67.087052	10-12-2012/15:29:21.0	mobilier	lithique	silex	
PT3172	452848.378611	6760094.135231	67.061629	10-12-2012/15:29:30.0	mobilier	lithique	silex	
PT3173	452848.308143	6760094.183004	67.069767	10-12-2012/15:29:39.0	mobilier	lithique	silex	
PT3174	452848.153765	6760094.204398	67.082855	10-12-2012/15:29:51.0	mobilier	lithique	silex	
PT3175	452848.591316	6760094.739989	67.051371	10-12-2012/15:30:06.0	mobilier	lithique	silex	
PT3176	452848.534559	6760094.731182	67.069154	10-12-2012/15:30:15.0	mobilier	lithique	silex	
PT3177	452848.581353	6760094.670286	67.048032	10-12-2012/15:30:23.0	mobilier	lithique	silex	
PT3178	452848.316940	6760094.838293	67.087091	10-12-2012/15:30:34.0	mobilier	lithique	silex	
PT3179	452848.317290	6760094.810768	67.080892	10-12-2012/15:30:42.0	mobilier	lithique	silex	
PT3180	452848.239961	6760094.946312	67.057865	10-12-2012/15:30:51.0	mobilier	lithique	silex	
PT3181	452848.244388	6760094.635373	67.054646	10-12-2012/15:31:02.0	mobilier	lithique	silex	
PT3182	452848.054598	6760094.574023	67.056193	10-12-2012/15:31:13.0	mobilier	lithique	silex	
PT3183	452848.133837	6760094.713794	67.053477	10-12-2012/15:31:25.0	mobilier	lithique	silex	
PT3184	452848.153868	6760094.753540	67.068293	10-12-2012/15:31:37.0	mobilier	lithique	silex	
PT3185	452848.073414	6760094.825096	67.056243	10-12-2012/15:32:31.0	mobilier	lithique	silex	
PT3186	452848.049995	6760094.861639	67.077173	10-12-2012/15:32:55.0	mobilier	lithique	silex	
PT3187	452848.023466	6760094.922272	67.072698	10-12-2012/15:33:24.0	mobilier	lithique	silex	
PT3188	452848.135226	6760094.962088	67.093043	10-12-2012/15:33:53.0	mobilier	lithique	silex	
PT3189	452848.124826	6760094.988699	67.082264	10-12-2012/15:34:28.0	mobilier	lithique	silex	
PT3190	452848.116909	6760095.011261	67.079017	10-12-2012/15:35:06.0	mobilier	lithique	silex	
PT3191	452847.001809	6760094.751306	67.141065	10-12-2012/15:51:48.0	mobilier	lithique	silex	
PT3192	452847.396147	6760094.754729	67.187809	10-12-2012/15:52:00.0	mobilier	lithique	silex	
PT3193	452847.605426	6760094.404062	67.163360	10-12-2012/15:52:13.0	mobilier	lithique	silex	
PT3194	452847.490243	6760094.296809	67.170234	10-12-2012/15:52:26.0	mobilier	lithique	silex	
PT3195	452847.532480	6760094.258993	67.142398	10-12-2012/15:52:38.0	mobilier	lithique	silex	
PT3196	452846.645788	6760094.692319	67.151060	10-12-2012/15:52:49.0	mobilier	lithique	silex	
PT3197	452846.292442	6760094.591230	67.151563	10-12-2012/15:52:59.0	mobilier	lithique	silex	
PT3198	452846.679745	6760094.312401	67.151671	10-12-2012/15:53:12.0	mobilier	lithique	silex	
PT3199	452846.436243	6760094.124520	67.147026	10-12-2012/15:53:23.0	mobilier	lithique	silex	
PT3200	452846.321386	6760094.036232	67.137140	10-12-2012/15:53:33.0	mobilier	lithique	silex	
PT3201	452846.114905	6760094.064463	67.130441	10-12-2012/15:53:42.0	mobilier	lithique	silex	
PT3202	452845.951489	6760094.288267	67.229346	10-12-2012/15:53:56.0	mobilier	lithique	silex	
PT3203	452847.812467	6760093.990248	67.184846	10-12-2012/15:54:19.0	mobilier	lithique	silex	
PT3204	452847.825894	6760093.466332	67.139803	10-12-2012/15:54:39.0	mobilier	lithique	silex	
PT3205	452847.754983	6760093.228322	67.052765	10-12-2012/15:54:52.0	mobilier	lithique	silex	
PT3206	452847.324266	6760093.991320	67.143647	10-12-2012/15:55:08.0	mobilier	lithique	silex	
PT3207	452847.435918	6760093.915062	67.133582	10-12-2012/15:55:19.0	mobilier	lithique	silex	
PT3208	452847.357628	6760093.815741	67.156393	10-12-2012/15:55:30.0	mobilier	lithique	silex	
PT3209	452847.509159	6760093.623122	67.112885	10-12-2012/15:55:43.0	mobilier	lithique	silex	
PT3210	452847.562567	6760093.651242	67.095674	10-12-2012/15:55:52.0	mobilier	lithique	grès	
PT3211	452846.475932	6760093.014009	67.080547	10-12-2012/15:56:18.0	mobilier	lithique	silex	
PT3212	452846.092036	6760093.073323	67.130888	10-12-2012/15:56:30.0	mobilier	lithique	silex	
PT3213	452846.074105	6760093.273499	67.105412	10-12-2012/15:56:41.0	mobilier	lithique	silex	
PT3214	452848.508804	6760095.844890	67.030569	10-12-2012/16:14:37.0	mobilier	lithique	silex	
PT3215	452848.479366	6760095.734943	67.061725	10-12-2012/16:14:46.0	mobilier	lithique	silex	
PT3216	452848.263958	6760095.620410	67.066837	10-12-2012/16:15:09.0	mobilier	lithique	silex	
PT3217	452848.100756	6760095.806202	67.033093	10-12-2012/16:15:20.0	mobilier	lithique	silex	
PT3218	452848.179280	6760095.716482	67.042947	10-12-2012/16:15:33.0	mobilier	lithique	grès	
PT3219	452848.371854	6760095.525793	67.032214	10-12-2012/16:15:47.0	mobilier	lithique	silex	
PT3220	452848.247373	6760095.320110	67.006162	10-12-2012/16:16:02.0	mobilier	lithique	quartz	
PT3221	452848.147739	6760094.969513	67.067994	10-12-2012/16:16:17.0	mobilier	lithique	silex	
PT3222	452848.212793	6760094.774342	67.080880	10-12-2012/16:16:49.0	mobilier	lithique	silex	
PT3223	452849.040995	6760094.591740	67.051501	10-12-2012/16:17:03.0	mobilier	lithique	silex	
PT3224	452848.028398	6760094.705307	67.097186	10-12-2012/16:17:17.0	mobilier	lithique	silex	
PT3225	452847.484726	6760094.001454	67.158603	10-12-2012/16:17:36.0	mobilier	lithique	silex	
PT3226	452847.773872	6760094.797872	67.162014	10-12-2012/16:17:54.0	mobilier	lithique	silex	
PT3227	452848.211785	6760094.537764	67.047978	10-12-2012/16:18:07.0	mobilier	lithique	grès ?	
PT3228	452839.969508	6760086.997436	67.075815	10-12-2012/16:19:28.0	carroyage	clou plan	C6.15b	granulo
PT3229	452839.977473	6760086.506412	67.070788	10-12-2012/16:19:43.0	carroyage	clou plan	C6.15b	granulo
PT3230	452839.474130	6760086.490512	67.055824	10-12-2012/16:20:22.0	carroyage	clou plan	C6.15b	granulo
PT3231	452839.474960	6760086.995819	67.061274	10-12-2012/16:20:34.0	carroyage	clou plan	C6.15b	granulo
PT3232	452847.845668	6760094.947972	67.104275	10-12-2012/16:49:01.0	coupe	clou coupe	CP10	
PT3233	452846.883123	6760094.874479	67.135059	10-12-2012/16:49:13.0	coupe	clou coupe	CP10	
PT3234	452845.756510	6760094.720188	67.357105	10-12-2012/16:49:26.0	coupe	clou coupe	CP10	
PT3235	452844.530400	6760094.660033	67.328230	10-12-2012/16:49:38.0	coupe	clou coupe	CP10	
PT3236	452847.821025	6760095.041197	66.375592	10-12-2012/16:49:54.0	coupe	clou coupe	CP10	
PT3237	452846.869718	6760094.945035	66.410135	10-12-2012/16:50:07.0	coupe	clou coupe	CP10	
PT3238	452845.756556	6760094.835670	66.471142	10-12-2012/16:51:01.0	coupe	clou coupe	CP10	
PT3239	452844.546529	6760094.698292	66.545433	10-12-2012/16:51:16.0	coupe	clou coupe	CP10	
PT3240	452848.161814	6760085.318735	66.861308	11-12-2012/09:10:53.0	mobilier	lithique	silex	
PT3241	452848.070759	6760085.586675	67.099010	11-12-2012/09:11:10.0	mobilier	lithique	silex	
PT3242	452848.077306	6760085.822000	66.942864	11-12-2012/09:11:40.0	mobilier	lithique	silex	
PT3243	452847.935133	6760086.903723	67.085125	11-12-2012/09:11:54.0	mobilier	lithique	silex	
PT3244	452847.967938	6760087.368853	66.888914	11-12-2012/09:12:21.0	mobilier	lithique	silex	
PT3245	452847.967255	6760087.648904	67.002824	11-12-2012/09:12:34.0	mobilier	lithique	silex	
PT3246	452847.895757	6760088.086239	67.171408	11-12-2012/09:12:49.0	mobilier	lithique	silex	
PT3247	452847.870096	6760088.450719	67.045922	11-12-2012/09:13:10.0	mobilier	lithique	silex	
PT3248	452847.910940	6760088.558841	66.914010	11-12-2012/09:13:23.0	mobilier	lithique	silex	
PT3249	452847.827039	6760088.622953	67.177999	11-12-2012/09:13:39.0	mobilier	lithique	silex	
PT3250	452847.935133	6760088.726968	66.818503	11-12-2012/09:13:59.0	mobilier	lithique	silex	
PT3251	452847.849396	6760089.209568	66.827193	11-12-2012/09:14:13.0	mobilier	lithique	silex	
PT3252	452847.837785	6760089.392883	66.873505	11-12-2012/09:14:24.0	mobilier	lithique	silex	
PT3253	452847.861936	6760089.448495	66.789820	11-12-2012/09:14:39.0	mobilier	lithique	silex	
PT3254	452848.246648	6760089.389591	66.775056	11-12-2012/09:14:56.0	mobilier	lithique	silex	
PT3255	452848.358031	6760085.957524	66.740003	11-12-2012/09:15:16.0	mobilier	lithique	silex	
PT3256	452849.171477	6760088.958422	66.738417	11-12-2012/09:42:26.0	mobilier	lithique	silex	
PT3257	452848.138766	6760089.618731	66.799128	11-12-2012/09:42:46.0	mobilier	lithique	silex	
PT3258	452848.093826	6760088.943357	66.781443	11-12-2012/09:43:00.0	mobilier	lithique	silex	
PT3259	452848.657227	6760088.655465	66.753034	11-12-2012/09:43:15.0	mobilier	lithique	silex	
PT3260	452848.639029	6760088.660682	66.754656	11-12-2012/09:43:26.0	mobilier	lithique	silex	
PT3261	452848.096862	6760088.483585	66.780868	11-12-2012/09:43:41.0	mobilier	lithique	silex	
PT3262	452847.970049	6760088.426220	66.804699	11-12-2012/09:43:54.0	mobilier	lithique	silex	
PT3263	452848.003101	6760088.222862	66.839281	11-12-2012/09:44:10.0	mobilier	lithique	silex	
PT3264	452848.297220	6760088.227138	66.792672	11-12-2012/09:44:21.0	mobilier	lithique	silex	
PT3265	452848.579515	6760088.105764	66.767526	11-12-2012/09:44:35.0	mobilier	lithique	silex	
PT3266	452848.094012	6760087.963982	66.809755	11-12-2012/09:44:49.0	mobilier	lithique	silex	
PT3267	452848.191282	6760087.915116	66.842262	11-12-2012/09:45:00.0	mobilier	lithique	silex	
PT3268	452848.393540	6760085.753940	66.779337	11-12-2012/09:45:17.0	mobilier	lithique	silex	
PT3269	452848.422543	6760085.586977	66.732859	11-12-2012/09:45:27.0	mobilier	lithique	silex	
PT3270	452848.547714	6760085.422783	66.747652	11-12-2012/09:45:37.0	mobilier	lithique	silex	
PT3271	452848.576032	6760085.293952	66.756001	11-12-2012/09:45:47.0	mobilier	lithique	silex	
PT3272	452839.639668	6760086.947363	66.863930	11-12-2012/11:29:59.0	mobilier	lithique	silex	
PT3273	452847.626330	6760094.940520	67.027720	11-12-2012/11:31:34.0	prélèvement	point bas	PR11	micromorpho
PT3274	452847.881496	6760094.990574	66.915696	11-12-2012/11:31:47.0	prélèvement	point bas	PR12	micromorpho
PT3275	452844.727748	6760094.681636	67.301763	11-12-2012/11:32:25.0	prélèvement	point central	PR13	granulo
PT3276	452844.925110	6760094.705604	67.179016	11-12-2012/11:32:38.0	prélèvement	point central	PR14	granulo

MATRICULE	X (est)	Y (nord)	Z (alti)	DATE	ÉLÉMENT TOPOGRAPHIE	TYPE DE POINT	IDENTIFIANT	DESCRIPTION
PT3277	452846.789385	6760094.853403	67.122041	11-12-2012/11:32:52.0	prélèvement	point central	PR15	granulo
PT3278	452846.777242	6760094.891936	67.022100	11-12-2012/11:33:04.0	prélèvement	point central	PR16	granulo
PT3279	452846.774992	6760094.900456	66.923096	11-12-2012/11:33:16.0	prélèvement	point central	PR17	granulo
PT3280	452846.776630	6760094.898785	66.824832	11-12-2012/11:33:27.0	prélèvement	point central	PR18	granulo
PT3281	452846.784248	6760094.910280	66.712051	11-12-2012/11:33:36.0	prélèvement	point central	PR19	granulo
PT3282	452846.775637	6760094.923919	66.399465	11-12-2012/11:33:48.0	prélèvement	point central	PR20	granulo
PT3283	452847.306442	6760094.919782	66.896338	11-12-2012/11:34:47.0	prélèvement	point central	PR21	granulo
PT3284	452848.389766	6760095.584895	67.012737	11-12-2012/11:35:06.0	prélèvement	point central	PR22	granulo
PT3285	452848.941063	6760095.463661	66.992038	11-12-2012/11:35:16.0	prélèvement	point central	PR23	granulo
PT3286	452847.015518	6760094.882620	67.156492	11-12-2012/11:38:17.0	carroyage	clou plan	D6.93a	sommet log granulo
PT3287	452847.017972	6760094.387267	67.160226	11-12-2012/11:38:29.0	carroyage	clou plan	D6.93a	sommet log granulo
PT3288	452847.530178	6760094.405755	67.160305	11-12-2012/11:38:41.0	carroyage	clou plan	D6.93a	sommet log granulo
PT3289	452847.513778	6760094.903714	67.156317	11-12-2012/11:38:51.0	carroyage	clou plan	D6.93a	sommet log granulo
PT3290	452848.017298	6760094.888949	67.180881	11-12-2012/11:40:18.0	coupe	contour	CP10	limite supérieure
PT3291	452845.857948	6760094.759790	67.157956	11-12-2012/11:40:34.0	coupe	contour	CP10	limite supérieure
PT3292	452845.806536	6760094.694176	67.463320	11-12-2012/11:40:47.0	coupe	contour	CP10	limite supérieure
PT3293	452844.135134	6760094.610998	67.401390	11-12-2012/11:40:59.0	coupe	contour	CP10	limite supérieure
PT3294	452844.078326	6760094.645396	67.073202	11-12-2012/11:41:58.0	coupe	contour	CP10	limite inférieure
PT3295	452844.269550	6760094.694142	66.711394	11-12-2012/11:42:13.0	coupe	contour	CP10	limite inférieure
PT3296	452844.576325	6760094.718365	66.457278	11-12-2012/11:42:26.0	coupe	contour	CP10	limite inférieure
PT3297	452845.878653	6760094.874911	66.400430	11-12-2012/11:42:37.0	coupe	contour	CP10	limite inférieure
PT3298	452847.396547	6760094.994597	66.290741	11-12-2012/11:42:53.0	coupe	contour	CP10	limite inférieure
PT3299	452847.925989	6760095.079982	66.352607	11-12-2012/11:43:04.0	coupe	contour	CP10	limite inférieure
PT3300	452839.775872	6760086.857375	66.859844	11-12-2012/12:12:31.0	mobilier	lithique	silex	
PT3301	452839.751781	6760086.727591	66.863877	11-12-2012/12:12:42.0	mobilier	lithique	silex	
PT3302	452839.522084	6760086.693554	66.816996	11-12-2012/12:12:53.0	mobilier	lithique	silex	
PT3303	452839.824846	6760086.680523	66.829935	11-12-2012/12:13:04.0	mobilier	lithique	silex	
PT3304	452847.415997	6760094.543968	67.110822	11-12-2012/13:53:28.0	mobilier	lithique	silex	
PT3305	452833.463143	6760050.175789	66.270231	11-12-2012/14:06:49.0	mobilier	lithique	silex	
PT3306	452833.137864	6760053.545403	65.938233	11-12-2012/14:07:18.0	mobilier	lithique	silex	
PT3307	452844.726689	6760094.721777	66.440306	11-12-2012/14:08:35.0	mobilier	lithique	silex	
PT3308	452845.147744	6760094.741186	67.090611	11-12-2012/14:09:07.0	mobilier	lithique	silex	
PT3309	452845.304771	6760094.789040	66.415445	11-12-2012/14:09:27.0	mobilier	lithique	silex	
PT3310	452846.433869	6760094.876340	66.939397	11-12-2012/14:09:54.0	mobilier	lithique	silex	
PT3311	452839.536130	6760086.762634	66.782657	11-12-2012/14:10:35.0	mobilier	lithique	silex	
PT3312	452839.521581	6760086.696028	66.772606	11-12-2012/14:10:45.0	mobilier	lithique	silex	
PT3313	452839.575009	6760086.548646	66.769719	11-12-2012/14:10:57.0	mobilier	lithique	silex	
PT3314	452847.464261	6760094.609581	67.024666	11-12-2012/14:24:47.0	mobilier	lithique	silex	
PT3315	452847.308125	6760094.906421	66.961011	11-12-2012/14:56:30.0	mobilier	lithique	silex	
PT3316	452839.687608	6760086.872266	66.677834	11-12-2012/15:16:03.0	mobilier	lithique	silex	
PT3317	452839.652349	6760086.702154	66.690872	11-12-2012/15:16:17.0	mobilier	lithique	silex	
PT3318	452848.195117	6760095.949950	67.004326	11-12-2012/15:46:07.0	mobilier	lithique	silex	
PT3319	452848.168392	6760095.844987	67.001213	11-12-2012/15:46:17.0	mobilier	lithique	silex	
PT3320	452848.218586	6760095.618871	67.041330	11-12-2012/15:46:30.0	mobilier	lithique	silex	
PT3321	452848.120420	6760095.428198	67.052581	11-12-2012/15:46:40.0	mobilier	lithique	silex	
PT3322	452848.272685	6760095.201831	66.998563	11-12-2012/15:46:51.0	mobilier	lithique	silex	
PT3323	452848.325115	6760094.967251	67.031988	11-12-2012/15:47:02.0	mobilier	lithique	silex	
PT3324	452848.409416	6760094.675790	67.039904	11-12-2012/15:47:17.0	mobilier	lithique	silex	
PT3325	452848.390177	6760094.523303	67.029122	11-12-2012/15:47:27.0	mobilier	lithique	silex	
PT3326	452848.348230	6760094.524546	67.045894	11-12-2012/15:47:36.0	mobilier	lithique	silex	
PT3327	452848.253045	6760093.949983	67.043822	11-12-2012/15:47:49.0	mobilier	lithique	silex	
PT3328	452848.069229	6760093.458347	67.051040	11-12-2012/15:48:00.0	mobilier	lithique	silex	
PT3329	452849.311541	6760094.437500	67.026354	11-12-2012/15:48:18.0	mobilier	lithique	silex	
PT3330	452849.150163	6760094.087675	67.036422	11-12-2012/15:48:29.0	mobilier	lithique	silex	
PT3331	452849.180423	6760094.082754	67.048639	11-12-2012/15:48:37.0	mobilier	lithique	silex	
PT3332	452849.531990	6760093.837804	67.023480	11-12-2012/15:48:47.0	mobilier	lithique	silex	
PT3333	452849.439794	6760093.459923	67.026326	11-12-2012/15:48:58.0	mobilier	lithique	silex	
PT3334	452839.850101	6760086.842463	66.632732	11-12-2012/16:09:01.0	mobilier	lithique	silex	
PT3335	452839.829511	6760086.788472	66.642169	11-12-2012/16:09:21.0	mobilier	lithique	silex	
PT3336	452839.619461	6760086.649320	66.643192	11-12-2012/16:09:32.0	mobilier	lithique	silex	
PT3337	452843.730545	6760093.966117	66.966491	12-12-2012/10:54:04.0	mobilier	lithique	silex	
PT3338	452843.624789	6760093.900544	66.938612	12-12-2012/10:54:17.0	mobilier	lithique	silex	
PT3339	452843.729282	6760093.648066	66.941565	12-12-2012/10:54:28.0	mobilier	lithique	silex	
PT3340	452843.964247	6760092.966048	66.966141	12-12-2012/10:54:43.0	mobilier	lithique	silex	
PT3341	452843.372168	6760092.100565	66.930448	12-12-2012/10:55:01.0	mobilier	lithique	silex	
PT3342	452843.503751	6760091.623404	66.914155	12-12-2012/10:55:12.0	mobilier	lithique	silex	
PT3343	452842.346774	6760092.049478	66.904791	12-12-2012/10:55:29.0	mobilier	lithique	silex	
PT3344	452842.317298	6760092.354533	66.924888	12-12-2012/10:55:40.0	mobilier	lithique	silex	
PT3345	452842.130827	6760091.339586	66.911970	12-12-2012/10:55:53.0	mobilier	lithique	silex	
PT3346	452842.022323	6760091.152065	66.958519	12-12-2012/10:56:03.0	mobilier	lithique	silex	
PT3347	452841.394811	6760092.245214	66.979175	12-12-2012/10:56:21.0	mobilier	lithique	silex	
PT3348	452841.405520	6760092.725495	66.949140	12-12-2012/10:56:33.0	mobilier	lithique	silex	
PT3349	452841.596422	6760091.755461	66.927553	12-12-2012/10:56:47.0	mobilier	lithique	silex	
PT3350	452841.539895	6760091.773612	66.933670	12-12-2012/10:56:58.0	mobilier	lithique	silex	
PT3351	452841.469999	6760091.762999	66.954103	12-12-2012/10:57:08.0	mobilier	lithique	silex	
PT3352	452841.319593	6760091.924444	66.920819	12-12-2012/10:57:20.0	mobilier	lithique	silex	
PT3353	452841.216536	6760091.942008	66.950174	12-12-2012/10:57:30.0	mobilier	lithique	silex	
PT3354	452841.224753	6760091.562188	66.930184	12-12-2012/10:57:42.0	mobilier	lithique	silex	
PT3355	452844.919973	6760094.237723	67.225312	12-12-2012/10:42:33.0	mobilier	lithique	silex	
PT3356	452841.349223	6760091.334505	66.926343	12-12-2012/10:57:59.0	mobilier	lithique	silex	
PT3357	452840.813729	6760091.490008	66.943779	12-12-2012/10:58:17.0	mobilier	lithique	silex	
PT3358	452840.467221	6760091.974418	66.953242	12-12-2012/10:58:31.0	mobilier	lithique	silex	
PT3359	452840.836509	6760092.515125	66.968728	12-12-2012/10:58:47.0	mobilier	lithique	silex	
PT3360	452840.850091	6760092.990174	66.930538	12-12-2012/10:59:05.0	mobilier	lithique	silex	
PT3361	452844.528569	6760094.647849	67.361970	12-12-2012/11:03:37.0	carroyage	clou plan	C6.100d	sommet log granulo
PT3362	452844.540477	6760094.186931	67.397588	12-12-2012/11:03:52.0	carroyage	clou plan	C6.100d	sommet log granulo
PT3363	452845.002649	6760094.182932	67.392110	12-12-2012/11:04:06.0	carroyage	clou plan	C6.100d	sommet log granulo
PT3364	452844.999907	6760094.682644	67.370090	12-12-2012/11:04:22.0	carroyage	clou plan	C6.100d	sommet log granulo
PT3365	452839.800595	6760086.566656	66.554912	12-12-2012/11:06:04.0	mobilier	lithique	silex	
PT3366	452843.694565	6760093.790761	66.926648	12-12-2012/11:13:06.0	mobilier	lithique	silex	
PT3367	452843.665364	6760093.506989	66.922747	12-12-2012/11:13:17.0	mobilier	lithique	silex	
PT3368	452841.997868	6760092.577686	66.987783	12-12-2012/11:13:33.0	mobilier	lithique	silex	
PT3369	452841.142852	6760093.255671	66.938418	12-12-2012/11:13:50.0	mobilier	lithique	silex	
PT3370	452841.253814	6760092.092206	66.961061	12-12-2012/11:14:03.0	mobilier	lithique	silex	
PT3371	452841.130612	6760091.999087	66.962688	12-12-2012/11:14:34.0	mobilier	lithique	silex	
PT3372	452841.657725	6760091.409511	66.927227	12-12-2012/11:14:51.0	mobilier	lithique	silex	
PT3373	452841.154042	6760091.815506	66.930954	12-12-2012/11:15:03.0	mobilier	lithique	silex	
PT3374	452840.480228	6760091.743455	66.938992	12-12-2012/11:15:17.0	mobilier	lithique	silex	
PT3375	452840.136221	6760091.312449	66.901924	12-12-2012/11:15:33.0	mobilier	lithique	silex	
PT3376	452840.898627	6760092.014034	66.940156	12-12-2012/11:15:47.0	mobilier	lithique	silex	
PT3377	452840.302655	6760092.624273	66.935305	12-12-2012/11:16:02.0	mobilier	lithique	silex	
PT3378	452840.580310	6760092.723884	66.922759	12-12-2012/11:16:13.0	mobilier	lithique	silex	
PT3379	452841.249828	6760091.734457	66.897934	12-12-2012/11:37:00.0	mobilier	lithique	silex	
PT3380	452845.016771	6760094.688663	67.194219	12-12-2012/11:48:03.0	prélèvement	point bas	PR24	dans CP10 ; micromorpho
PT3381	452846.941298	6760094.910637	66.632333	12-12-2012/11:48:29.0	prélèvement	point bas	PR25	dans CP10 ; micromorpho
PT3382	452848.154113	6760095.498888	66.972616	12-12-2012/12:12:03.0	mobilier	lithique	silex	
PT3383	452848.410866	6760095.252759	66.954728	12-12-2012/12:12:16.0	mobilier	lithique	silex	
PT3384	452848.456554	6760095.723758	66.962297	12-12-2012/12:12:51.0	mobilier	lithique	silex	
PT3385	452848.559861	6760095.062676	66.970767	12-12-2012/12:13:07.0	mobilier	lithique	silex	
PT3386	452848.115574	6760095.927621	66.981272	12-12-2012/12:13:21.0	mobilier	lithique	silex	
PT3387	452848.212645	6760095.482666	66.977573	12-12-2012/12:13:36.0	mobilier	lithique	silex	
PT3388	452846.850889	6760094.922012	66.739813	12-12-2012/14:23:28.0	prélèvement	point central	PR26	dans CP10 ; OSL
PT3389	452847.366578	6760094.425061	66.968203	12-12-2012/14:23:58.0	prélèvement	point central	PR27	dans CP10 ; OSL
PT3390	452844.326164	6760094.652644	67.122558	12-12-2012/14:24:18.0	prélèvement	point central	PR28	dans CP10 ; OSL
PT3391	452847.863787	6760088.910419	66.978355	12-12-2012/14:25:05.0	prélèvement	point central	PR29	dans CP08 ; OSL
PT3392	452838.885314	6760082.751767	66.620505	12-12-2012/15:02:30.0	mobilier	lithique	silex	
PT3393	452838.392501	6760082.235423	66.616824	12-12-2012/15:02:52.0	mobilier	lithique	silex	
PT3394	452836.388892	6760083.998490	66.644853	12-12-2012/15:05:00.0	mobilier	lithique	silex	
PT3395	452836.577158	6760083.889826	66.644563	12-12-2012/15:05:43.0	mobilier	lithique	silex	
PT3396	452835.855621	6760082.344704	66.657979	12-12-2012/15:06:20.0	mobilier	lithique	silex	
PT3397	452835.450827	6760081.956235	66.630769	12-12-2012/15:07:05.0	mobilier	lithique	silex	
PT3398	452835.472258	6760083.674935	66.673807	12-12-2012/15:07:44.0	mobilier	lithique	silex	
PT3399	452838.671890	6760083.545500	66.649071	12-12-2012/15:19:12.0	mobilier	lithique	silex	
PT3400	452838.315835	6760082.821538	66.624141	12-12-2012/15:19:29.0	mobilier	lithique	silex	
PT3401	452837.593763	6760083.984173	66.674045	12-12-2012/15:19:50.0	mobilier	lithique	silex	
PT3402	452837.639333	6760083.984901	66.656205	12-12-2012/15:19:58.0	mobilier	lithique	silex	
PT3403	452837.037019	6760083.004570	66.620389	12-12-2012/15:20:13.0	mobilier	lithique	silex	
PT3404	452836.821565	6760084.291005	66.653260	12-12-2012/15:20:28.0	mobilier	lithique	silex	
PT3405	452835.169287	6760082.050347	66.644902	12-12-2012/15:20:46.0	mobilier	lithique	silex	
PT3406	452835.704668	6760082.881358	66.633304	12-12-2012/15:21:02.0	mobilier	lithique	silex	
PT3407	452835.005472	6760083.004749	66.684918	12-12-2012/15:21:19.0	mobilier	lithique	silex	

MATRICULE	X (est)	Y (nord)	Z (alti)	DATE	ÉLÉMENT TOPOGRAPHIÉ	TYPE DE POINT	IDENTIFIANT	DESCRIPTION
PT3408	452835.056437	6760083.297069	66.650166	12-12-2012/15:21:44.0	mobilier	lithique	silex	
PT3409	452835.081697	6760083.262068	66.653771	12-12-2012/15:21:52.0	mobilier	lithique	silex	
PT3410	452835.599722	6760083.190464	66.690278	12-12-2012/15:22:08.0	mobilier	lithique	silex	
PT3411	452835.602661	6760083.294695	66.687608	12-12-2012/15:22:18.0	mobilier	lithique	silex	
PT3412	452835.467729	6760083.644018	66.672119	12-12-2012/15:22:33.0	mobilier	lithique	silex	
PT3413	452835.280380	6760083.748624	66.689113	12-12-2012/15:22:41.0	mobilier	lithique	silex	
PT3414	452835.559923	6760084.175792	66.631069	12-12-2012/15:22:55.0	mobilier	lithique	silex	
PT3415	452841.416078	6760091.753516	66.897239	12-12-2012/15:27:48.0	mobilier	lithique	silex	
PT3416	452841.152201	6760091.663962	66.855422	12-12-2012/15:28:15.0	mobilier	lithique	silex	
PT3417	452836.926808	6760084.537731	66.584181	12-12-2012/16:24:41.0	mobilier	lithique	silex	
PT3418	452836.849941	6760084.546879	66.419224	12-12-2012/16:24:52.0	mobilier	lithique	silex	
PT3419	452836.888830	6760084.558678	66.399375	12-12-2012/16:25:02.0	mobilier	lithique	silex	
PT3420	452836.794780	6760084.518366	66.503941	12-12-2012/16:25:12.0	mobilier	lithique	silex	
PT3421	452836.683540	6760084.486942	66.549827	12-12-2012/16:25:23.0	mobilier	lithique	silex	
PT3422	452836.139048	6760084.385668	66.517186	12-12-2012/16:25:35.0	mobilier	lithique	silex	
PT3423	452836.039695	6760084.382818	66.483211	12-12-2012/16:25:45.0	mobilier	lithique	silex	
PT3424	452835.683373	6760084.309308	66.593405	12-12-2012/16:25:57.0	mobilier	lithique	silex	
PT3425	452848.278864	6760095.469160	66.944293	12-12-2012/16:35:24.0	mobilier	lithique	silex	
PT3426	452848.444194	6760095.296863	66.949567	12-12-2012/16:35:35.0	mobilier	lithique	silex	
PT3427	452848.430001	6760095.062663	66.921282	12-12-2012/16:35:46.0	mobilier	lithique	silex	
PT3428	452848.184093	6760095.336164	66.926490	12-12-2012/16:35:58.0	mobilier	lithique	silex	
PT3429	452844.153110	6760094.637196	67.110534	12-12-2012/16:36:21.0	mobilier	lithique	silex	
PT3430	452841.259566	6760091.563318	66.872501	12-12-2012/17:02:52.0	mobilier	lithique	silex	
PT3431	452841.191071	6760091.627539	66.865412	12-12-2012/17:03:03.0	mobilier	lithique	silex	
PT3432	452841.145518	6760091.642062	66.841374	12-12-2012/17:03:13.0	mobilier	lithique	silex	
PT3433	452841.238387	6760091.734385	66.867530	12-12-2012/17:03:23.0	mobilier	lithique	silex	
PT3434	452841.219720	6760091.916009	66.844077	12-12-2012/17:03:41.0	mobilier	lithique	silex	
PT3435	452841.449142	6760091.685465	66.806250	13-12-2012/10:00:33.0	mobilier	lithique	silex	
PT3436	452841.330552	6760091.454308	66.816253	13-12-2012/10:00:52.0	mobilier	lithique	silex	
PT3437	452841.423663	6760091.838942	66.825822	13-12-2012/10:01:06.0	mobilier	lithique	silex	
PT3438	452841.161913	6760091.772736	66.793939	13-12-2012/10:01:52.0	mobilier	lithique	silex	
PT3439	452841.499262	6760091.129782	66.752274	13-12-2012/11:37:48.0	mobilier	lithique	silex	
PT3440	452841.160744	6760091.673353	66.786976	13-12-2012/11:38:00.0	mobilier	lithique	silex	
PT3441	452841.407785	6760086.920510	67.065736	13-12-2012/13:45:11.0	mobilier	lithique	silex	
PT3442	452843.081809	6760087.550649	67.061066	13-12-2012/13:45:24.0	mobilier	lithique	silex	
PT3443	452839.213898	6760089.720959	66.983835	13-12-2012/13:54:26.0	mobilier	lithique	silex	
PT3444	452841.541872	6760091.155013	66.728555	13-12-2012/14:25:22.0	mobilier	lithique	silex	
PT3445	452841.390416	6760091.151811	66.738584	13-12-2012/14:25:41.0	mobilier	lithique	silex	
PT3446	452841.195447	6760091.375216	66.738025	13-12-2012/14:26:10.0	mobilier	lithique	silex	
PT3447	452841.225399	6760091.857965	66.725194	13-12-2012/14:26:27.0	mobilier	lithique	silex	
PT3448	452841.833960	6760091.201401	66.680577	13-12-2012/15:44:28.0	mobilier	lithique	silex	
PT3449	452841.651123	6760091.165291	66.675405	13-12-2012/15:44:36.0	mobilier	lithique	silex	
PT3450	452841.580380	6760091.333544	66.684445	13-12-2012/15:44:49.0	mobilier	lithique	silex	
PT3451	452841.642349	6760091.449354	66.684353	13-12-2012/15:45:00.0	mobilier	lithique	silex	
PT3452	452841.685291	6760091.499951	66.667914	13-12-2012/15:45:08.0	mobilier	lithique	silex	
PT3453	452841.570617	6760091.681976	66.668230	13-12-2012/15:45:19.0	mobilier	lithique	silex	
PT3454	452841.065725	6760091.799856	66.687572	13-12-2012/15:45:31.0	mobilier	lithique	silex	
PT3455	452848.880568	6760095.462554	66.846224	17-12-2012/14:57:14.0	mobilier	lithique	silex	
PT3456	452848.089650	6760095.505339	66.819784	17-12-2012/15:48:20.0	mobilier	lithique	silex	
PT3457	452841.648809	6760091.418320	66.613794	17-12-2012/15:56:16.0	mobilier	lithique	silex	
PT3458	452841.615290	6760091.964988	66.631504	17-12-2012/15:56:51.0	mobilier	lithique	grès	
PT3459	452841.552951	6760091.927079	66.613375	17-12-2012/15:57:09.0	mobilier	lithique	silex	
PT3460	452841.130512	6760091.935724	66.635554	17-12-2012/15:57:40.0	mobilier	lithique	silex	
PT3461	452841.284995	6760091.455431	66.602825	17-12-2012/15:58:13.0	mobilier	lithique	silex	
PT3462	452841.011268	6760091.953006	66.648710	17-12-2012/15:58:39.0	mobilier	lithique	silex	
PT3463	452836.190247	6760083.280272	66.574588	17-12-2012/16:04:01.0	mobilier	lithique	silex	
PT3464	452848.202718	6760095.387049	66.793018	17-12-2012/16:37:07.0	mobilier	lithique	silex	
PT3465	452848.130907	6760095.275980	66.793497	17-12-2012/16:37:20.0	mobilier	lithique	silex	
PT3466	452848.399785	6760096.057921	66.984785	17-12-2012/17:04:31.0	mobilier	lithique	silex	
PT3467	452841.444191	6760091.921134	66.579446	18-12-2012/09:23:28.0	mobilier	lithique	silex	
PT3468	452841.420383	6760091.953561	66.598764	18-12-2012/09:23:52.0	mobilier	lithique	silex	
PT3469	452841.015593	6760091.921351	66.596727	18-12-2012/09:24:10.0	mobilier	lithique	silex	
PT3470	452841.481067	6760091.086347	66.582827	18-12-2012/09:24:30.0	mobilier	lithique	silex	
PT3471	452841.299130	6760091.973054	66.733009	18-12-2012/09:30:45.0	mobilier	lithique	silex	
PT3472	452836.145255	6760083.407625	66.555576	18-12-2012/10:03:59.0	mobilier	lithique	silex	
PT3473	452836.109302	6760083.940392	66.581157	18-12-2012/10:04:16.0	mobilier	lithique	silex	
PT3474	452836.718478	6760083.898679	66.566378	18-12-2012/10:46:11.0	mobilier	lithique	silex	
PT3475	452836.604148	6760083.554511	66.557786	18-12-2012/10:46:32.0	mobilier	lithique	silex	
PT3476	452836.510324	6760083.827737	66.556581	18-12-2012/10:46:50.0	mobilier	lithique	silex	
PT3477	452836.286367	6760083.758254	66.560061	18-12-2012/10:47:13.0	mobilier	lithique	silex	
PT3478	452836.238392	6760083.902444	66.567783	18-12-2012/10:47:31.0	mobilier	lithique	silex	
PT3479	452836.044532	6760083.733210	66.558690	18-12-2012/10:48:14.0	mobilier	lithique	silex	
PT3480	452840.261100	6760088.301192	66.964062	18-12-2012/10:56:40.0	mobilier	lithique	silex	
PT3481	452842.039216	6760091.030251	66.910096	18-12-2012/12:05:02.0	mobilier	lithique	silex	
PT3482	452836.239427	6760083.836984	66.534753	18-12-2012/13:35:00.0	mobilier	lithique	silex	
PT3483	452836.159458	6760083.858597	66.527349	18-12-2012/13:35:19.0	mobilier	lithique	silex	
PT3484	452836.146669	6760083.792579	66.517554	18-12-2012/13:35:35.0	mobilier	lithique	silex	
PT3485	452836.780173	6760083.937926	66.520882	18-12-2012/13:36:00.0	mobilier	lithique	silex	
PT3486	452836.621109	6760083.805744	66.467641	18-12-2012/13:36:24.0	mobilier	lithique	silex	
PT3487	452836.084821	6760083.814507	66.481884	18-12-2012/15:00:15.0	mobilier	lithique	silex	
PT3488	452836.506532	6760083.954429	66.470216	18-12-2012/15:00:29.0	mobilier	lithique	silex	
PT3489	452836.568976	6760083.834165	66.388869	18-12-2012/16:14:53.0	mobilier	lithique	silex	
PT3490	452836.027771	6760083.337222	66.421889	18-12-2012/16:15:11.0	mobilier	lithique	silex	
PT3491	452836.462725	6760083.929850	66.392289	18-12-2012/16:29:54.0	mobilier	lithique	silex	
PT3492	452836.477061	6760083.955803	66.394561	18-12-2012/16:30:06.0	mobilier	lithique	silex	
PT3493	452848.450707	6760097.338391	67.058044	19-12-2012/09:54:02.0	mobilier	lithique	silex	
PT3494	452848.861027	6760096.448830	66.987954	19-12-2012/09:54:17.0	mobilier	lithique	silex	
PT3495	452848.772057	6760096.085381	66.975434	19-12-2012/09:54:29.0	mobilier	lithique	silex	
PT3496	452848.698167	6760096.108476	66.990871	19-12-2012/09:54:41.0	mobilier	lithique	silex	
PT3497	452848.331466	6760096.060629	66.990745	19-12-2012/09:54:56.0	mobilier	lithique	silex	
PT3498	452849.058990	6760098.438698	67.011106	19-12-2012/09:59:39.0	mobilier	lithique	silex	
PT3499	452849.849928	6760095.422902	66.878337	19-12-2012/10:00:15.0	mobilier	lithique	silex	
PT3500	452849.907260	6760095.325778	66.833583	19-12-2012/10:05:08.0	mobilier	lithique	silex	
PT3501	452849.443384	6760095.225534	66.693105	19-12-2012/10:08:38.0	mobilier	lithique	silex	
PT3502	452848.440834	6760094.606088	67.002946	19-12-2012/10:37:01.0	mobilier	lithique	silex	
PT3503	452848.079843	6760094.237911	67.007751	19-12-2012/10:37:15.0	mobilier	lithique	silex	
PT3504	452846.935031	6760093.732050	67.021994	19-12-2012/10:37:30.0	mobilier	lithique	silex	
PT3505	452846.933122	6760094.157059	67.040442	19-12-2012/10:37:46.0	mobilier	lithique	silex	
PT3506	452846.258524	6760093.885714	67.036243	19-12-2012/10:43:44.0	mobilier	lithique	silex	
PT3507	452847.661744	6760093.321230	67.004665	19-12-2012/10:44:05.0	mobilier	lithique	silex	
PT3508	452847.714368	6760093.301434	66.990381	19-12-2012/10:44:17.0	mobilier	lithique	silex	
PT3509	452847.943673	6760092.765342	66.979788	19-12-2012/10:44:31.0	mobilier	lithique	silex	
PT3510	452847.472739	6760091.840585	66.939000	19-12-2012/10:44:45.0	mobilier	lithique	silex	
PT3511	452847.617757	6760091.544172	66.927905	19-12-2012/10:44:58.0	mobilier	lithique	silex	
PT3512	452846.917498	6760094.201639	66.995000	19-12-2012/10:51:12.0	mobilier	lithique	silex	
PT3513	452846.768899	6760092.168199	66.902039	19-12-2012/10:51:30.0	mobilier	lithique	silex	
PT3514	452846.798129	6760092.111783	66.894054	19-12-2012/10:51:43.0	mobilier	lithique	silex	
PT3515	452846.871003	6760091.689589	66.896835	19-12-2012/10:51:57.0	mobilier	lithique	silex	
PT3516	452846.768971	6760092.195886	66.881117	19-12-2012/10:56:42.0	mobilier	lithique	silex	
PT3517	452847.509298	6760092.359780	66.870718	19-12-2012/10:56:55.0	mobilier	lithique	silex	
PT3518	452847.461922	6760091.473443	66.829336	19-12-2012/11:00:42.0	mobilier	lithique	silex	
PT3519	452847.679468	6760091.736491	66.832265	19-12-2012/11:00:56.0	mobilier	lithique	silex	
PT3520	452847.184303	6760092.356870	66.755587	19-12-2012/11:01:38.0	mobilier	lithique	silex	
PT3521	452847.233405	6760092.440152	66.764900	19-12-2012/11:01:48.0	mobilier	lithique	silex	
PT3522	452847.669169	6760090.656763	66.753019	19-12-2012/11:08:02.0	mobilier	lithique	silex	
PT3523	452847.367704	6760091.530674	66.768328	19-12-2012/11:08:16.0	mobilier	lithique	silex	
PT3524	452847.202316	6760091.784250	66.776672	19-12-2012/11:08:30.0	mobilier	lithique	silex	
PT3525	452847.273698	6760091.814599	66.765551	19-12-2012/11:08:40.0	mobilier	lithique	silex	
PT3526	452847.015070	6760090.338338	66.744689	19-12-2012/11:12:55.0	mobilier	lithique	silex	
PT3527	452846.821235	6760090.515491	66.739035	19-12-2012/11:13:06.0	mobilier	lithique	silex	
PT3528	452845.419313	6760093.160281	67.292026	19-12-2012/11:27:56.0	mobilier	lithique	silex	
PT3529	452845.269621	6760089.561519	67.167280	19-12-2012/11:35:06.0	mobilier	lithique	silex	
PT3530	452845.006167	6760091.523786	67.340501	19-12-2012/11:35:22.0	mobilier	lithique	silex	
PT3531	452845.514897	6760092.327590	67.351930	19-12-2012/11:35:36.0	mobilier	lithique	silex	
PT3532	452844.636901	6760092.916955	67.094798	19-12-2012/11:35:52.0	mobilier	lithique	silex	
PT3533	452844.969566	6760094.044258	67.132288	19-12-2012/11:36:12.0	mobilier	lithique	silex	
PT3534	452845.509050	6760089.867844	67.049590	19-12-2012/11:44:00.0	mobilier	lithique	silex	
PT3535	452845.640553	6760089.898670	67.085783	19-12-2012/11:44:16.0	mobilier	lithique	silex	
PT3536	452845.275500	6760090.316431	67.095082	19-12-2012/11:44:31.0	mobilier	lithique	silex	
PT3537	452845.623021	6760091.504936	67.075391	19-12-2012/11:44:49.0	mobilier	lithique	silex	
PT3538	452845.335330	6760091.723909	67.077374	19-12-2012/11:45:01.0	mobilier	lithique	silex	

MATRICULE	X (est)	Y (nord)	Z (alti)	DATE	ÉLÉMENT TOPOGRAPHIÉ	TYPE DE POINT	IDENTIFIANT	DESCRIPTION
PT3539	452844.897079	6760092.599252	67.161422	19-12-2012/11:45:17.0	mobilier	lithique	silex	
PT3540	452844.592059	6760092.971988	67.041602	19-12-2012/11:45:31.0	mobilier	lithique	silex	
PT3541	452844.368960	6760092.165492	67.067423	19-12-2012/11:45:48.0	mobilier	lithique	silex	
PT3542	452844.840507	6760093.247785	66.953971	19-12-2012/11:54:17.0	mobilier	lithique	silex	
PT3543	452844.445305	6760092.993503	66.998913	19-12-2012/11:54:31.0	mobilier	lithique	silex	
PT3544	452844.504677	6760092.366547	67.065459	19-12-2012/11:54:48.0	mobilier	lithique	silex	
PT3545	452844.676417	6760090.552906	67.029070	19-12-2012/11:55:04.0	mobilier	lithique	silex	
PT3546	452844.555564	6760092.602021	66.965460	19-12-2012/11:57:19.0	mobilier	lithique	silex	
PT3547	452845.581510	6760093.294739	66.925556	19-12-2012/12:02:33.0	mobilier	lithique	silex	
PT3548	452845.232501	6760093.092105	66.970539	19-12-2012/12:02:54.0	mobilier	lithique	silex	
PT3549	452844.543301	6760093.010515	66.988156	19-12-2012/12:03:09.0	mobilier	lithique	silex	
PT3550	452844.589417	6760092.830675	66.986686	19-12-2012/12:03:27.0	mobilier	lithique	silex	
PT3551	452844.460431	6760092.563085	66.992324	19-12-2012/12:03:44.0	mobilier	lithique	silex	
PT3552	452844.641665	6760091.625788	66.975856	19-12-2012/12:03:58.0	mobilier	lithique	silex	
PT3553	452844.780885	6760091.182002	67.001860	19-12-2012/12:04:16.0	mobilier	lithique	silex	
PT3554	452844.608421	6760090.847787	66.990426	19-12-2012/12:04:33.0	mobilier	lithique	silex	
PT3555	452845.015026	6760090.330877	66.996464	19-12-2012/12:04:48.0	mobilier	lithique	silex	
PT3556	452845.461462	6760089.831020	66.989446	19-12-2012/12:05:02.0	mobilier	lithique	silex	
PT3557	452844.921971	6760092.538415	66.982227	19-12-2012/12:05:23.0	mobilier	lithique	silex	
PT3558	452844.565788	6760089.576805	67.006114	19-12-2012/12:06:43.0	mobilier	lithique	silex	
PT3559	452845.212598	6760089.767601	66.970521	19-12-2012/12:09:32.0	mobilier	lithique	silex	
PT3560	452845.212910	6760090.675869	66.963407	19-12-2012/12:09:48.0	mobilier	lithique	silex	
PT3561	452845.244472	6760091.510640	66.960487	19-12-2012/12:10:05.0	mobilier	lithique	silex	
PT3562	452844.254594	6760092.501254	66.977460	19-12-2012/12:10:21.0	mobilier	lithique	silex	
PT3563	452844.097438	6760092.532464	66.976548	19-12-2012/12:10:35.0	mobilier	lithique	silex	
PT3564	452845.235868	6760093.637234	66.880608	19-12-2012/13:23:24.0	mobilier	lithique	silex	
PT3565	452844.938033	6760093.057358	66.892145	19-12-2012/13:23:34.0	mobilier	lithique	silex	
PT3566	452844.100229	6760091.693590	66.909535	19-12-2012/13:23:47.0	mobilier	lithique	silex	
PT3567	452844.974566	6760090.324456	66.948255	19-12-2012/13:23:58.0	mobilier	lithique	silex	
PT3568	452845.298601	6760090.246938	66.962950	19-12-2012/13:24:11.0	mobilier	lithique	silex	
PT3569	452844.600644	6760090.252211	66.910837	19-12-2012/13:30:28.0	mobilier	lithique	silex	
PT3570	452845.029114	6760091.821278	66.779553	19-12-2012/13:30:44.0	mobilier	lithique	silex	
PT3571	452844.979935	6760093.913019	66.834671	19-12-2012/13:30:58.0	mobilier	lithique	silex	
PT3572	452845.541948	6760093.999119	66.781213	19-12-2012/13:38:22.0	mobilier	lithique	silex	
PT3573	452845.045601	6760094.457603	66.806858	19-12-2012/13:38:49.0	mobilier	lithique	silex	
PT3574	452845.002277	6760094.433492	66.789930	19-12-2012/13:39:02.0	mobilier	lithique	silex	
PT3575	452845.008154	6760093.959103	66.794616	19-12-2012/13:39:17.0	mobilier	lithique	silex	
PT3576	452844.150007	6760094.366168	66.837381	19-12-2012/13:39:34.0	mobilier	lithique	silex	
PT3577	452843.971994	6760094.218043	66.847487	19-12-2012/13:39:47.0	mobilier	lithique	silex	
PT3578	452844.849330	6760092.062067	66.751341	19-12-2012/13:40:03.0	mobilier	lithique	silex	
PT3579	452845.873738	6760090.545218	66.629262	19-12-2012/13:40:24.0	mobilier	lithique	silex	
PT3580	452845.623961	6760089.857600	66.664795	19-12-2012/13:40:38.0	mobilier	lithique	silex	
PT3581	452844.820728	6760089.297841	66.722667	19-12-2012/13:40:53.0	mobilier	lithique	silex	
PT3582	452845.035153	6760091.700514	66.710398	19-12-2012/13:41:13.0	mobilier	lithique	silex	
PT3583	452845.028099	6760093.227978	66.777168	19-12-2012/13:41:26.0	mobilier	lithique	silex	
PT3584	452844.041047	6760090.206517	67.063345	19-12-2012/13:41:45.0	mobilier	lithique	grès quartzite	
PT3585	452845.425504	6760093.146457	66.567917	19-12-2012/13:48:16.0	mobilier	lithique	silex	
PT3586	452845.579521	6760093.909928	66.684243	19-12-2012/13:48:31.0	mobilier	lithique	silex	
PT3587	452845.475469	6760094.023055	66.691967	19-12-2012/13:48:43.0	mobilier	lithique	silex	
PT3588	452844.239708	6760094.498650	66.791365	19-12-2012/13:48:58.0	mobilier	lithique	silex	
PT3589	452844.063572	6760094.370177	66.803757	19-12-2012/13:49:09.0	mobilier	lithique	silex	
PT3590	452845.105819	6760094.074891	66.644080	19-12-2012/13:55:11.0	mobilier	lithique	silex	
PT3591	452846.850369	6760090.284802	66.381506	19-12-2012/13:55:26.0	mobilier	lithique	silex	
PT3592	452845.327735	6760094.009139	66.558617	19-12-2012/13:59:39.0	mobilier	lithique	silex	
PT3593	452844.974729	6760091.690473	66.472029	19-12-2012/13:59:53.0	mobilier	lithique	silex	
PT3594	452847.200335	6760090.123479	66.258924	19-12-2012/14:00:08.0	mobilier	lithique	silex	
PT3595	452840.157305	6760094.957923	66.872582	19-12-2012/14:15:22.0	mobilier	lithique	silex	
PT3596	452838.901859	6760094.405100	66.864351	19-12-2012/14:15:36.0	mobilier	lithique	silex	
PT3597	452840.143591	6760092.990483	66.882311	19-12-2012/14:15:52.0	mobilier	lithique	silex	
PT3598	452839.622321	6760092.657016	66.898457	19-12-2012/14:16:05.0	mobilier	lithique	silex	
PT3599	452839.222218	6760092.485630	66.916674	19-12-2012/14:16:20.0	mobilier	lithique	silex	
PT3600	452841.165715	6760094.592035	66.836903	19-12-2012/14:23:01.0	mobilier	lithique	silex	
PT3601	452838.881093	6760093.439139	66.848410	19-12-2012/14:23:17.0	mobilier	lithique	silex	
PT3602	452839.141844	6760093.018343	66.874103	19-12-2012/14:23:31.0	mobilier	lithique	silex	
PT3603	452839.789214	6760092.552710	66.819810	19-12-2012/14:23:43.0	mobilier	lithique	silex	
PT3604	452840.558076	6760092.287549	66.815971	19-12-2012/14:23:56.0	mobilier	lithique	silex	
PT3605	452840.556417	6760091.460829	66.782928	19-12-2012/14:24:12.0	mobilier	lithique	silex	
PT3606	452838.878751	6760091.838359	66.799341	19-12-2012/14:24:27.0	mobilier	lithique	silex	
PT3607	452839.664278	6760093.200580	66.768795	19-12-2012/14:31:11.0	mobilier	lithique	silex	
PT3608	452840.892392	6760092.301985	66.729176	19-12-2012/14:31:24.0	mobilier	lithique	silex	
PT3609	452840.029428	6760094.041816	66.729339	19-12-2012/14:36:14.0	mobilier	lithique	silex	
PT3610	452839.374787	6760092.499871	66.711550	19-12-2012/14:36:35.0	mobilier	lithique	silex	
PT3611	452840.725195	6760092.487117	66.648828	19-12-2012/14:36:53.0	mobilier	lithique	silex	
PT3612	452841.643869	6760092.310744	66.569496	19-12-2012/14:37:07.0	mobilier	lithique	silex	
PT3613	452841.741050	6760092.360453	66.619547	19-12-2012/14:37:20.0	mobilier	lithique	silex	
PT3614	452841.741965	6760090.611860	66.631877	19-12-2012/14:37:37.0	mobilier	lithique	silex	
PT3615	452842.066581	6760090.066440	66.674227	19-12-2012/14:37:53.0	mobilier	lithique	silex	
PT3616	452839.188738	6760090.117059	66.693455	19-12-2012/14:38:09.0	mobilier	lithique	silex	
PT3617	452839.181210	6760090.080692	66.690603	19-12-2012/14:38:23.0	mobilier	lithique	silex	
PT3618	452839.650937	6760092.286537	66.674204	19-12-2012/14:46:36.0	mobilier	lithique	silex	
PT3619	452841.068898	6760090.771905	66.545952	19-12-2012/14:46:49.0	mobilier	lithique	silex	
PT3620	452842.154653	6760092.094200	66.454498	19-12-2012/14:49:35.0	mobilier	lithique	silex	
PT3621	452839.486710	6760092.436062	66.634012	19-12-2012/14:49:54.0	mobilier	lithique	silex	
PT3622	452841.159267	6760092.646504	66.467857	19-12-2012/14:54:10.0	mobilier	lithique	silex	
PT3623	452840.412566	6760093.603267	66.384721	19-12-2012/14:58:31.0	mobilier	lithique	silex	
PT3624	452841.487141	6760091.105007	66.373725	19-12-2012/14:58:48.0	mobilier	lithique	silex	
PT3625	452840.377314	6760093.585440	66.406014	19-12-2012/15:02:32.0	mobilier	lithique	silex	
PT3626	452841.174626	6760092.293635	66.288632	19-12-2012/15:05:34.0	mobilier	lithique	silex	
PT3627	452841.092873	6760093.757413	66.312455	19-12-2012/15:05:52.0	mobilier	lithique	silex	
PT3628	452840.740113	6760092.779542	66.207436	19-12-2012/15:13:55.0	mobilier	lithique	silex	
PT3629	452840.579855	6760092.787521	66.220342	19-12-2012/15:14:09.0	mobilier	lithique	silex	
PT3630	452839.973107	6760094.024927	66.313694	19-12-2012/15:17:33.0	mobilier	lithique	silex	
PT3631	452839.960379	6760093.452467	66.229373	19-12-2012/15:17:49.0	mobilier	lithique	silex	
PT3632	452842.547772	6760093.361089	66.084207	19-12-2012/15:20:19.0	mobilier	lithique	silex	
PT3633	452841.429210	6760093.975190	66.092120	19-12-2012/15:24:57.0	mobilier	lithique	silex	
PT3634	452840.088875	6760094.237952	66.195552	19-12-2012/15:25:13.0	mobilier	lithique	silex	
PT3635	452841.072989	6760093.799740	66.099904	19-12-2012/15:29:23.0	mobilier	lithique	silex	
PT3636	452840.865634	6760093.848376	66.121646	19-12-2012/15:29:37.0	mobilier	lithique	silex	
PT3637	452839.068131	6760094.921853	66.126994	19-12-2012/15:36:12.0	mobilier	lithique	silex	
PT3638	452839.988130	6760093.508509	65.970648	19-12-2012/15:36:32.0	mobilier	lithique	silex	
PT3639	452839.499592	6760089.396758	67.037057	20-12-2012/08:53:19.0	mobilier	lithique	silex	
PT3640	452840.200248	6760088.790644	67.004555	20-12-2012/08:53:35.0	mobilier	lithique	silex	
PT3641	452842.402560	6760087.890771	66.984329	20-12-2012/08:53:50.0	mobilier	lithique	silex	
PT3642	452842.140726	6760086.940740	66.949285	20-12-2012/08:54:10.0	mobilier	lithique	silex	
PT3643	452839.178050	6760089.016441	66.920375	20-12-2012/08:58:28.0	mobilier	lithique	silex	
PT3644	452839.677103	6760089.270546	66.953350	20-12-2012/08:58:41.0	mobilier	lithique	silex	
PT3645	452839.987642	6760087.419833	66.883752	20-12-2012/08:59:05.0	mobilier	lithique	silex	
PT3646	452840.021512	6760086.936177	66.896014	20-12-2012/08:59:20.0	mobilier	lithique	silex	
PT3647	452841.090678	6760086.734992	66.835771	20-12-2012/08:59:39.0	mobilier	lithique	silex	
PT3648	452841.172085	6760086.697851	66.859002	20-12-2012/08:59:51.0	mobilier	lithique	silex	
PT3649	452841.324353	6760086.746130	66.865502	20-12-2012/09:00:02.0	mobilier	lithique	silex	
PT3650	452841.540870	6760086.828947	66.866374	20-12-2012/09:00:15.0	mobilier	lithique	silex	
PT3651	452841.894939	6760086.934024	66.871951	20-12-2012/09:00:30.0	mobilier	lithique	silex	
PT3652	452841.901924	6760086.659271	66.860963	20-12-2012/09:00:46.0	mobilier	lithique	silex	
PT3653	452841.196419	6760088.589469	66.794178	20-12-2012/09:09:25.0	mobilier	lithique	silex	
PT3654	452842.215353	6760088.695992	66.797435	20-12-2012/09:09:40.0	mobilier	lithique	silex	
PT3655	452842.461216	6760088.938046	66.826524	20-12-2012/09:09:53.0	mobilier	lithique	silex	
PT3656	452842.567337	6760087.844474	66.774758	20-12-2012/09:10:08.0	mobilier	lithique	silex	
PT3657	452842.343105	6760087.382225	66.777477	20-12-2012/09:10:24.0	mobilier	lithique	silex	
PT3658	452842.086488	6760087.359096	66.767646	20-12-2012/09:10:36.0	mobilier	lithique	silex	
PT3659	452841.933944	6760086.944324	66.751512	20-12-2012/09:10:48.0	mobilier	lithique	silex	
PT3660	452841.363049	6760086.840326	66.772501	20-12-2012/09:11:02.0	mobilier	lithique	silex	
PT3661	452840.628074	6760087.221780	66.835459	20-12-2012/09:11:26.0	mobilier	lithique	silex	
PT3662	452839.659515	6760087.553687	66.835716	20-12-2012/09:11:40.0	mobilier	lithique	silex	
PT3663	452839.932940	6760088.889028	66.758563	20-12-2012/09:17:25.0	mobilier	lithique	silex	
PT3664	452841.645935	6760087.599743	66.708436	20-12-2012/09:17:41.0	mobilier	lithique	silex	
PT3665	452841.666973	6760087.707298	66.713366	20-12-2012/09:17:53.0	mobilier	lithique	silex	
PT3666	452842.126133	6760087.501844	66.712201	20-12-2012/09:18:07.0	mobilier	lithique	silex	
PT3667	452842.345546	6760087.563552	66.713364	20-12-2012/09:18:18.0	mobilier	lithique	silex	
PT3668	452842.710630	6760088.697648	66.587395	20-12-2012/09:22:16.0	mobilier	lithique	silex	
PT3669	452839.869311	6760086.845449	66.576215	20-12-2012/09:26:16.0	mobilier	lithique	silex	

MATRICULE	X (est)	Y (nord)	Z (alti)	DATE	ÉLÉMENT TOPOGRAPHIÉ	TYPE DE POINT	IDENTIFIANT	DESCRIPTION
PT3670	452841.892032	6760087.716221	66.508745	20-12-2012/09:26:30.0	mobilier	lithique	silex	
PT3671	452843.154829	6760086.924507	66.471270	20-12-2012/09:26:44.0	mobilier	lithique	silex	
PT3672	452841.572743	6760087.775551	66.398995	20-12-2012/09:29:52.0	mobilier	lithique	silex	
PT3673	452841.912081	6760086.123423	66.884282	20-12-2012/09:30:19.0	mobilier	lithique	silex	
PT3674	452842.666161	6760087.307086	66.226427	20-12-2012/09:36:00.0	mobilier	lithique	silex	
PT3675	452841.429170	6760086.241029	66.703521	20-12-2012/09:36:20.0	mobilier	lithique	silex	
PT3676	452841.364006	6760086.221532	66.855926	20-12-2012/09:36:31.0	mobilier	lithique	silex	
PT3677	452845.266420	6760087.369368	67.216949	20-12-2012/09:46:01.0	mobilier	lithique	grès ?	
PT3678	452845.983953	6760088.656524	67.170771	20-12-2012/09:51:32.0	mobilier	lithique	silex	
PT3679	452847.486113	6760086.419990	67.051105	20-12-2012/09:51:48.0	mobilier	lithique	silex	
PT3680	452846.368624	6760088.007921	67.054610	20-12-2012/09:53:42.0	mobilier	lithique	silex	
PT3681	452845.043759	6760087.850377	67.034404	20-12-2012/09:56:15.0	mobilier	lithique	silex	
PT3682	452845.723113	6760088.614103	67.056763	20-12-2012/09:56:30.0	mobilier	lithique	silex	
PT3683	452846.766554	6760088.820648	67.029335	20-12-2012/09:56:44.0	mobilier	lithique	silex	
PT3684	452847.379030	6760088.860219	67.007619	20-12-2012/09:56:57.0	mobilier	lithique	silex	
PT3685	452844.859727	6760086.677438	67.016150	20-12-2012/10:00:26.0	mobilier	lithique	silex	
PT3686	452845.165580	6760087.429212	67.037697	20-12-2012/10:00:46.0	mobilier	lithique	silex	
PT3687	452845.167409	6760087.502327	67.032564	20-12-2012/10:00:56.0	mobilier	lithique	silex	
PT3688	452844.897363	6760086.344601	66.935094	20-12-2012/10:04:42.0	mobilier	lithique	silex	
PT3689	452845.412278	6760087.289351	66.972735	20-12-2012/10:05:01.0	mobilier	lithique	silex	
PT3690	452845.430639	6760087.299875	66.938027	20-12-2012/10:05:12.0	mobilier	lithique	silex	
PT3691	452845.257204	6760088.061302	66.971577	20-12-2012/10:05:30.0	mobilier	lithique	silex	
PT3692	452845.101236	6760088.487210	66.942283	20-12-2012/10:05:41.0	mobilier	lithique	silex	
PT3693	452845.372044	6760088.815252	66.978301	20-12-2012/10:05:52.0	mobilier	lithique	silex	
PT3694	452846.004397	6760088.862039	66.968276	20-12-2012/10:06:04.0	mobilier	lithique	silex	
PT3695	452846.014170	6760088.913434	66.966402	20-12-2012/10:06:15.0	mobilier	lithique	silex	
PT3696	452845.355394	6760088.831218	66.977219	20-12-2012/10:10:50.0	mobilier	lithique	silex	
PT3697	452845.081791	6760087.782930	66.891950	20-12-2012/10:39:38.0	mobilier	lithique	silex	
PT3698	452845.757208	6760088.008661	66.876892	20-12-2012/10:40:04.0	mobilier	lithique	silex	
PT3699	452846.682074	6760088.371314	66.921721	20-12-2012/10:40:34.0	mobilier	lithique	silex	
PT3700	452846.132402	6760088.339970	66.889784	20-12-2012/10:41:00.0	mobilier	lithique	silex	
PT3701	452846.417792	6760089.315365	66.908339	20-12-2012/10:41:35.0	mobilier	lithique	silex	
PT3702	452845.988792	6760089.057951	66.877789	20-12-2012/10:42:28.0	mobilier	lithique	silex	
PT3703	452845.998356	6760089.088113	66.894492	20-12-2012/10:43:01.0	mobilier	lithique	silex	
PT3704	452845.574760	6760088.847688	66.912990	20-12-2012/10:43:25.0	mobilier	lithique	silex	
PT3705	452845.641600	6760088.525011	66.894724	20-12-2012/10:43:56.0	mobilier	lithique	silex	
PT3706	452845.699382	6760088.441475	66.897315	20-12-2012/10:44:32.0	mobilier	lithique	silex	
PT3707	452845.706903	6760088.303025	66.910690	20-12-2012/10:44:54.0	mobilier	lithique	silex	
PT3708	452845.536152	6760088.287857	66.889801	20-12-2012/10:45:21.0	mobilier	lithique	silex	
PT3709	452845.156849	6760088.680169	66.924175	20-12-2012/10:45:59.0	mobilier	lithique	silex	
PT3710	452845.052755	6760088.388609	66.919692	20-12-2012/10:46:30.0	mobilier	lithique	silex	
PT3711	452845.247399	6760088.266587	66.909343	20-12-2012/10:47:12.0	mobilier	lithique	silex	
PT3712	452845.218229	6760088.332394	66.920907	20-12-2012/10:47:30.0	mobilier	lithique	silex	
PT3713	452845.207747	6760088.284799	66.899985	20-12-2012/10:47:51.0	mobilier	lithique	silex	
PT3714	452845.217096	6760088.297547	66.900338	20-12-2012/10:48:09.0	mobilier	lithique	silex	
PT3715	452845.200897	6760088.306067	66.908561	20-12-2012/10:48:36.0	mobilier	lithique	silex	
PT3716	452845.149281	6760088.314779	66.934082	20-12-2012/10:48:51.0	mobilier	lithique	silex	
PT3717	452845.171243	6760088.352128	66.931529	20-12-2012/10:49:09.0	mobilier	lithique	silex	
PT3718	452845.106431	6760088.521164	66.906235	20-12-2012/10:49:31.0	mobilier	lithique	silex	
PT3719	452844.891083	6760086.678829	66.880525	20-12-2012/11:05:54.0	mobilier	lithique	silex	
PT3720	452844.942029	6760086.796562	66.894403	20-12-2012/11:06:04.0	mobilier	lithique	silex	
PT3721	452846.059682	6760087.462127	66.894512	20-12-2012/11:06:19.0	mobilier	lithique	silex	
PT3722	452847.019631	6760087.673881	66.869441	20-12-2012/11:06:34.0	mobilier	lithique	silex	
PT3723	452846.717138	6760089.319232	66.842905	20-12-2012/11:06:50.0	mobilier	lithique	silex	
PT3724	452845.955957	6760088.381687	66.837886	20-12-2012/11:07:03.0	mobilier	lithique	silex	
PT3725	452845.309238	6760088.064050	66.825995	20-12-2012/11:07:15.0	mobilier	lithique	silex	
PT3726	452845.234398	6760088.283012	66.840593	20-12-2012/11:07:28.0	mobilier	lithique	silex	
PT3727	452844.491550	6760086.081553	66.809715	20-12-2012/11:13:53.0	mobilier	lithique	silex	
PT3728	452844.747122	6760087.007410	66.857962	20-12-2012/11:14:28.0	mobilier	lithique	silex	
PT3729	452846.011809	6760087.131949	66.866796	20-12-2012/11:15:23.0	mobilier	lithique	silex	
PT3730	452846.053137	6760087.380894	66.869117	20-12-2012/11:15:40.0	mobilier	lithique	silex	
PT3731	452846.568719	6760087.070831	66.848102	20-12-2012/11:16:04.0	mobilier	lithique	silex	
PT3732	452845.900389	6760088.892519	66.801240	20-12-2012/11:16:30.0	mobilier	lithique	silex	
PT3733	452845.666116	6760088.472279	66.787034	20-12-2012/11:17:05.0	mobilier	lithique	silex	
PT3734	452844.561594	6760086.145338	66.732974	20-12-2012/11:21:05.0	mobilier	lithique	silex	
PT3735	452845.637508	6760086.874001	66.782524	20-12-2012/11:21:27.0	mobilier	lithique	silex	
PT3736	452844.939905	6760087.311326	66.762294	20-12-2012/11:21:53.0	mobilier	lithique	silex	
PT3737	452845.745975	6760087.679927	66.787152	20-12-2012/11:22:17.0	mobilier	lithique	silex	
PT3738	452847.108213	6760087.780532	66.812655	20-12-2012/11:22:45.0	mobilier	lithique	silex	
PT3739	452846.074189	6760089.135971	66.662891	20-12-2012/11:23:13.0	mobilier	lithique	silex	
PT3740	452844.469307	6760088.479831	66.743525	20-12-2012/11:23:47.0	mobilier	lithique	silex	
PT3741	452847.761561	6760089.280627	66.665446	20-12-2012/11:24:53.0	mobilier	lithique	silex	
PT3742	452844.403853	6760087.021042	66.676652	20-12-2012/11:27:33.0	mobilier	lithique	silex	
PT3744	452845.401326	6760087.423611	66.722360	20-12-2012/11:28:27.0	mobilier	lithique	silex	
PT3745	452845.573771	6760087.679002	66.713246	20-12-2012/11:28:54.0	mobilier	lithique	silex	
PT3746	452846.603915	6760086.506588	66.726500	20-12-2012/11:29:27.0	mobilier	lithique	silex	
PT3747	452846.547727	6760086.592256	66.732576	20-12-2012/11:29:43.0	mobilier	lithique	silex	
PT3748	452846.035481	6760087.464131	66.666431	20-12-2012/11:32:32.0	mobilier	lithique	silex	
PT3749	452846.804049	6760087.819045	66.701809	20-12-2012/11:32:43.0	mobilier	lithique	silex	
PT3750	452844.581594	6760086.433954	66.528496	20-12-2012/11:37:14.0	mobilier	lithique	silex	
PT3751	452844.670058	6760086.488230	66.534842	20-12-2012/11:37:26.0	mobilier	lithique	silex	
PT3752	452847.195304	6760086.980994	66.489855	20-12-2012/11:37:43.0	mobilier	lithique	silex	
PT3753	452846.183046	6760089.162119	66.577888	20-12-2012/11:37:57.0	mobilier	lithique	silex	
PT3754	452845.366870	6760088.382804	66.414218	20-12-2012/11:43:35.0	mobilier	lithique	silex	
PT3755	452845.746588	6760087.649017	66.288016	20-12-2012/11:46:27.0	mobilier	lithique	silex	
PT3756	452841.048407	6760085.545441	67.052247	20-12-2012/11:51:41.0	mobilier	lithique	silex	
PT3757	452840.015198	6760084.278606	67.035260	20-12-2012/11:52:19.0	mobilier	lithique	silex	
PT3758	452841.732875	6760083.719297	67.037227	20-12-2012/11:52:52.0	mobilier	lithique	silex	
PT3759	452841.753411	6760082.319953	67.030548	20-12-2012/11:53:18.0	mobilier	lithique	silex	
PT3760	452840.067243	6760084.409656	66.967380	20-12-2012/11:57:36.0	mobilier	lithique	silex	
PT3761	452842.681916	6760085.981465	66.968005	20-12-2012/11:58:19.0	mobilier	lithique	silex	
PT3762	452841.176338	6760083.096414	66.926652	20-12-2012/11:59:02.0	mobilier	lithique	silex	
PT3763	452840.610755	6760082.319063	66.979163	20-12-2012/11:59:28.0	mobilier	lithique	silex	
PT3764	452842.734463	6760082.370115	66.948684	20-12-2012/12:00:08.0	mobilier	lithique	silex	
PT3765	452841.208503	6760085.628389	66.979895	20-12-2012/12:01:14.0	mobilier	lithique	silex	
PT3766	452839.877325	6760085.219822	66.954419	20-12-2012/12:07:20.0	mobilier	lithique	silex	
PT3767	452840.804667	6760085.752862	66.950624	20-12-2012/12:07:45.0	mobilier	lithique	silex	
PT3768	452841.563851	6760085.907936	66.870128	20-12-2012/12:08:01.0	mobilier	lithique	silex	
PT3769	452841.773266	6760085.890851	66.884996	20-12-2012/12:08:14.0	mobilier	lithique	silex	
PT3770	452841.986220	6760085.860388	66.871247	20-12-2012/12:08:28.0	mobilier	lithique	silex	
PT3771	452841.687485	6760085.719792	66.871762	20-12-2012/12:08:40.0	mobilier	lithique	silex	
PT3772	452842.154508	6760085.158594	66.851338	20-12-2012/12:09:02.0	mobilier	lithique	silex	
PT3773	452842.188789	6760085.707172	66.865637	20-12-2012/12:09:14.0	mobilier	lithique	silex	
PT3774	452842.813264	6760085.753502	66.862592	20-12-2012/12:09:26.0	mobilier	lithique	silex	
PT3775	452840.106166	6760085.745385	66.986868	20-12-2012/12:09:52.0	mobilier	lithique	silex	
PT3776	452843.671185	6760083.475847	66.820592	20-12-2012/12:10:10.0	mobilier	lithique	silex	
PT3777	452840.719830	6760083.622204	66.967196	20-12-2012/12:10:25.0	mobilier	lithique	silex	
PT3778	452842.516478	6760081.867072	66.876556	20-12-2012/12:10:40.0	mobilier	lithique	silex	
PT3779	452842.824890	6760081.991440	66.938868	20-12-2012/12:10:55.0	mobilier	lithique	silex	
PT3780	452843.026487	6760083.047461	66.864515	20-12-2012/13:23:56.0	mobilier	lithique	silex	
PT3781	452840.979981	6760080.998433	66.912284	20-12-2012/12:11:25.0	mobilier	lithique	silex	
PT3782	452841.851953	6760085.625482	66.866140	20-12-2012/12:13:02.0	mobilier	lithique	silex	
PT3783	452841.788945	6760085.619823	66.866374	20-12-2012/12:13:12.0	mobilier	lithique	silex	
PT3784	452839.726702	6760085.290105	66.888206	20-12-2012/13:24:40.0	mobilier	lithique	silex	
PT3785	452841.461568	6760085.929378	66.868370	20-12-2012/13:25:23.0	mobilier	lithique	silex	
PT3786	452841.525268	6760085.904237	66.882918	20-12-2012/13:25:31.0	mobilier	lithique	silex	
PT3787	452841.586139	6760085.869479	66.871123	20-12-2012/13:25:41.0	mobilier	lithique	silex	
PT3788	452841.593360	6760085.893043	66.875900	20-12-2012/13:25:50.0	mobilier	lithique	silex	
PT3789	452840.532066	6760084.788735	66.849198	20-12-2012/13:30:56.0	mobilier	lithique	silex	
PT3790	452841.275454	6760085.863485	66.858488	20-12-2012/13:31:33.0	mobilier	lithique	silex	
PT3791	452841.458533	6760085.821460	66.850594	20-12-2012/13:31:44.0	mobilier	lithique	silex	
PT3792	452842.300702	6760084.814484	66.762111	20-12-2012/13:32:41.0	mobilier	lithique	silex	
PT3793	452841.462533	6760084.753475	66.801963	20-12-2012/13:33:12.0	mobilier	lithique	silex	
PT3794	452841.135872	6760084.849580	66.817846	20-12-2012/13:33:36.0	mobilier	lithique	silex	
PT3795	452842.239071	6760083.068189	66.809900	20-12-2012/13:34:10.0	mobilier	lithique	silex	
PT3796	452843.861577	6760081.721269	66.778230	20-12-2012/13:35:20.0	mobilier	lithique	silex	
PT3797	452842.452746	6760081.324199	66.759445	20-12-2012/13:40:50.0	mobilier	lithique	silex	
PT3798	452839.902061	6760083.274831	66.831528	20-12-2012/13:41:26.0	mobilier	lithique	silex	
PT3799	452841.878538	6760086.117059	66.658783	20-12-2012/13:41:50.0	mobilier	lithique	silex	
PT3800	452841.617243	6760086.103788	66.689772	20-12-2012/13:42:14.0	mobilier	lithique	silex	
PT3801	452841.578616	6760086.075949	66.692296	20-12-2012/13:42:34.0	mobilier	lithique	silex	

MATRICULE	X (est)	Y (nord)	Z (alti)	DATE	ÉLÉMENT TOPOGRAPHIÉ	TYPE DE POINT	IDENTIFIANT	DESCRIPTION
PT3802	452841.626061	6760086.024824	66.682289	20-12-2012/13:42:48.0	mobilier	lithique	silex	
PT3803	452841.516559	6760086.119439	66.672564	20-12-2012/13:43:10.0	mobilier	lithique	silex	
PT3804	452841.433707	6760086.052484	66.690478	20-12-2012/13:43:28.0	mobilier	lithique	silex	
PT3805	452841.434341	6760085.986106	66.705687	20-12-2012/13:43:35.0	mobilier	lithique	silex	
PT3806	452842.389633	6760082.852650	66.690984	20-12-2012/13:47:01.0	mobilier	lithique	silex	
PT3807	452843.097124	6760083.529923	66.695733	20-12-2012/13:47:33.0	mobilier	lithique	silex	
PT3808	452843.600172	6760083.850587	66.674074	20-12-2012/13:48:12.0	mobilier	lithique	silex	
PT3809	452842.915987	6760083.168870	66.647337	20-12-2012/13:50:49.0	mobilier	lithique	silex	
PT3810	452842.781129	6760083.517303	66.662621	20-12-2012/13:51:11.0	mobilier	lithique	silex	
PT3811	452842.391547	6760085.368340	66.582677	20-12-2012/13:51:41.0	mobilier	lithique	silex	
PT3812	452843.448670	6760085.202588	66.566578	20-12-2012/13:52:13.0	mobilier	lithique	silex	
PT3813	452842.683429	6760083.277284	66.610901	20-12-2012/13:54:34.0	mobilier	lithique	silex	
PT3814	452841.055690	6760083.075505	66.653510	20-12-2012/13:55:04.0	mobilier	lithique	silex	
PT3815	452841.514911	6760082.863532	66.658105	20-12-2012/13:55:26.0	mobilier	lithique	silex	
PT3816	452841.542763	6760082.894274	66.658098	20-12-2012/13:55:36.0	mobilier	lithique	silex	
PT3817	452842.384372	6760082.215565	66.644333	20-12-2012/13:59:07.0	mobilier	lithique	silex	
PT3818	452842.218462	6760082.450505	66.646979	20-12-2012/13:59:16.0	mobilier	lithique	silex	
PT3819	452839.944694	6760082.660150	66.656449	20-12-2012/13:59:29.0	mobilier	lithique	silex	
PT3820	452839.648530	6760085.430681	66.662140	20-12-2012/13:59:40.0	mobilier	lithique	silex	
PT3821	452841.670200	6760085.956009	66.496291	20-12-2012/13:59:54.0	mobilier	lithique	silex	
PT3822	452842.940282	6760085.609176	66.471317	20-12-2012/14:00:04.0	mobilier	lithique	silex	
PT3823	452842.872389	6760082.112070	66.580597	20-12-2012/14:06:40.0	mobilier	lithique	silex	
PT3824	452842.809617	6760082.155214	66.605585	20-12-2012/14:06:50.0	mobilier	lithique	silex	
PT3825	452842.771213	6760082.613514	66.575760	20-12-2012/14:07:02.0	mobilier	lithique	silex	
PT3826	452842.578703	6760082.653693	66.596047	20-12-2012/14:07:10.0	mobilier	lithique	silex	
PT3827	452841.753068	6760083.237364	66.459279	20-12-2012/14:07:21.0	mobilier	lithique	silex	
PT3828	452840.054898	6760083.316556	66.575626	20-12-2012/14:07:32.0	mobilier	lithique	silex	
PT3829	452841.407226	6760085.620105	66.508940	20-12-2012/14:07:46.0	mobilier	lithique	silex	
PT3830	452842.975278	6760085.512970	66.446863	20-12-2012/14:07:58.0	mobilier	lithique	silex	
PT3831	452839.610806	6760085.709088	66.529455	20-12-2012/14:13:44.0	mobilier	lithique	silex	
PT3832	452840.438011	6760082.345201	66.548453	20-12-2012/14:13:56.0	mobilier	lithique	silex	
PT3833	452842.478342	6760083.195432	66.422763	20-12-2012/14:17:42.0	mobilier	lithique	silex	
PT3834	452842.568136	6760084.624778	66.388612	20-12-2012/14:17:53.0	mobilier	lithique	silex	
PT3835	452839.988663	6760085.569668	66.461045	20-12-2012/14:23:12.0	mobilier	lithique	silex	
PT3836	452834.765807	6760082.756993	66.632773	20-12-2012/14:27:59.0	mobilier	lithique	silex	
PT3837	452834.985450	6760082.781504	66.606027	20-12-2012/14:28:14.0	mobilier	lithique	silex	
PT3838	452835.532072	6760083.661247	66.625750	20-12-2012/14:28:26.0	mobilier	lithique	silex	
PT3839	452835.597207	6760083.975170	66.618835	20-12-2012/14:28:38.0	mobilier	lithique	silex	
PT3840	452836.052638	6760084.039606	66.592795	20-12-2012/14:28:53.0	mobilier	lithique	silex	
PT3841	452837.409471	6760083.733776	66.586147	20-12-2012/14:29:07.0	mobilier	lithique	silex	
PT3842	452834.571777	6760082.351748	66.610138	20-12-2012/14:32:40.0	mobilier	lithique	silex	
PT3843	452835.605624	6760081.145703	66.574659	20-12-2012/14:32:57.0	mobilier	lithique	silex	
PT3844	452835.839223	6760082.835980	66.580932	20-12-2012/14:33:14.0	mobilier	lithique	silex	
PT3845	452837.500523	6760082.753549	66.547956	20-12-2012/14:33:29.0	mobilier	lithique	silex	
PT3846	452837.687974	6760082.921473	66.552996	20-12-2012/14:33:42.0	mobilier	lithique	silex	
PT3847	452838.766027	6760081.943046	66.539851	20-12-2012/14:33:57.0	mobilier	lithique	silex	
PT3848	452835.976797	6760082.439383	66.513110	20-12-2012/14:43:41.0	mobilier	lithique	silex	
PT3849	452834.732409	6760082.460795	66.566696	20-12-2012/14:43:55.0	mobilier	lithique	silex	
PT3850	452834.469372	6760082.202747	66.535463	20-12-2012/14:44:08.0	mobilier	lithique	silex	
PT3851	452834.453526	6760082.368890	66.548668	20-12-2012/14:44:17.0	mobilier	lithique	silex	
PT3852	452835.741438	6760084.218616	66.584440	20-12-2012/14:44:35.0	mobilier	lithique	silex	
PT3853	452835.995507	6760084.102884	66.547657	20-12-2012/14:44:50.0	mobilier	lithique	silex	
PT3854	452836.522865	6760084.132939	66.530467	20-12-2012/14:45:03.0	mobilier	lithique	silex	
PT3855	452836.976546	6760083.821306	66.474079	20-12-2012/14:45:16.0	mobilier	lithique	silex	
PT3856	452835.645717	6760081.469921	66.492119	20-12-2012/14:51:24.0	mobilier	lithique	silex	
PT3857	452834.675077	6760082.305496	66.497760	20-12-2012/14:51:41.0	mobilier	lithique	silex	
PT3858	452834.594315	6760082.818978	66.577484	20-12-2012/14:51:53.0	mobilier	lithique	silex	
PT3859	452834.791849	6760082.919497	66.560335	20-12-2012/14:52:04.0	mobilier	lithique	silex	
PT3860	452836.354572	6760084.067566	66.488499	20-12-2012/14:52:20.0	mobilier	lithique	silex	
PT3861	452836.350410	6760084.037623	66.474453	20-12-2012/14:52:32.0	mobilier	lithique	silex	
PT3862	452836.479228	6760084.173773	66.477133	20-12-2012/14:52:45.0	mobilier	lithique	silex	
PT3863	452834.762836	6760082.791463	66.499083	20-12-2012/15:03:21.0	mobilier	lithique	silex	
PT3864	452834.979293	6760083.913167	66.514288	20-12-2012/15:03:35.0	mobilier	lithique	silex	
PT3865	452836.468180	6760084.173242	66.418304	20-12-2012/15:03:55.0	mobilier	lithique	silex	
PT3866	452836.612995	6760084.154183	66.407157	20-12-2012/15:04:03.0	mobilier	lithique	silex	
PT3867	452836.761168	6760084.176776	66.406513	20-12-2012/15:04:12.0	mobilier	lithique	silex	
PT3868	452834.314954	6760082.035932	66.442327	20-12-2012/15:09:50.0	mobilier	lithique	silex	
PT3869	452834.420903	6760082.148502	66.414065	20-12-2012/15:10:00.0	mobilier	lithique	silex	
PT3870	452834.634382	6760082.502635	66.405832	20-12-2012/15:10:09.0	mobilier	lithique	silex	
PT3871	452834.121552	6760083.281697	66.475796	20-12-2012/15:10:29.0	mobilier	lithique	silex	
PT3872	452836.415535	6760084.330881	66.385786	20-12-2012/15:10:48.0	mobilier	lithique	silex	
PT3873	452836.475382	6760083.996895	66.373021	20-12-2012/15:10:58.0	mobilier	lithique	silex	
PT3874	452836.564204	6760084.231608	66.299646	20-12-2012/15:11:11.0	mobilier	lithique	silex	
PT3875	452834.279747	6760081.967224	66.397447	20-12-2012/15:15:59.0	mobilier	lithique	silex	
PT3876	452834.319492	6760082.120997	66.423534	20-12-2012/15:16:08.0	mobilier	lithique	silex	
PT3877	452834.376876	6760082.557693	66.383950	20-12-2012/15:16:21.0	mobilier	lithique	silex	
PT3878	452834.530893	6760082.725680	66.405570	20-12-2012/15:16:35.0	mobilier	lithique	silex	
PT3879	452834.746742	6760082.525012	66.397947	20-12-2012/15:16:47.0	mobilier	lithique	silex	
PT3880	452834.795589	6760082.884900	66.397508	20-12-2012/15:17:00.0	mobilier	lithique	silex	
PT3881	452834.693643	6760082.932947	66.425174	20-12-2012/15:17:09.0	mobilier	lithique	silex	
PT3882	452834.771856	6760083.001909	66.414256	20-12-2012/15:17:19.0	mobilier	lithique	silex	
PT3883	452834.780965	6760083.194339	66.406578	20-12-2012/15:17:31.0	mobilier	lithique	silex	
PT3884	452834.991580	6760083.546598	66.410111	20-12-2012/15:17:41.0	mobilier	lithique	silex	
PT3885	452834.534650	6760083.982641	66.433334	20-12-2012/15:17:51.0	mobilier	lithique	silex	
PT3886	452834.660887	6760084.091264	66.440603	20-12-2012/15:18:03.0	mobilier	lithique	silex	
PT3887	452836.254045	6760083.682222	66.371124	20-12-2012/15:18:16.0	mobilier	lithique	silex	
PT3888	452834.537780	6760082.866944	66.358350	20-12-2012/15:22:27.0	mobilier	lithique	silex	
PT3889	452834.702224	6760082.839334	66.353102	20-12-2012/15:22:38.0	mobilier	lithique	silex	
PT3890	452834.717775	6760082.892333	66.365683	20-12-2012/15:22:50.0	mobilier	lithique	silex	
PT3891	452836.536301	6760083.937013	66.310111	20-12-2012/15:23:02.0	mobilier	lithique	silex	
PT3892	452834.578853	6760082.624242	66.330172	20-12-2012/15:26:19.0	mobilier	lithique	silex	
PT3893	452834.692247	6760082.723748	66.328950	20-12-2012/15:26:28.0	mobilier	lithique	silex	
PT3894	452836.467112	6760083.929871	66.277372	20-12-2012/15:26:40.0	mobilier	lithique	silex	
PT3895	452836.452097	6760083.972266	66.271055	20-12-2012/15:26:48.0	mobilier	lithique	silex	
PT3896	452834.591527	6760082.423141	66.297036	20-12-2012/15:29:03.0	mobilier	lithique	silex	
PT3897	452836.743486	6760084.262413	66.215058	20-12-2012/15:29:17.0	mobilier	lithique	silex	
PT3898	452874.232760	6760066.945161	67.428220	20-12-2012/15:52:23.0	limite décapage	contour	zone B	
PT3899	452884.481238	6760068.464855	67.669965	20-12-2012/15:52:54.0	limite décapage	contour	zone B	
PT3900	452884.834834	6760066.976466	67.677507	20-12-2012/15:53:09.0	limite décapage	contour	zone B	
PT3901	452887.345710	6760067.372587	67.650993	20-12-2012/15:53:24.0	limite décapage	contour	zone B	
PT3902	452883.165650	6760093.487452	68.167309	20-12-2012/15:54:02.0	limite décapage	contour	zone B	
PT3903	452875.229396	6760092.244000	67.961402	20-12-2012/15:54:27.0	limite décapage	contour	zone B	
PT3904	452874.320115	6760094.928806	68.046808	20-12-2012/15:54:43.0	limite décapage	contour	zone B	
PT3905	452870.919500	6760094.810593	67.901733	20-12-2012/15:55:02.0	limite décapage	contour	zone B	
PT3906	452879.326292	6760075.879743	67.050926	20-12-2012/15:56:12.0	limite décapage	nivellement	zone B	
PT3907	452882.509147	6760055.657512	67.282624	20-12-2012/15:57:17.0	limite décapage	contour	zone C	
PT3908	452883.061952	6760047.737087	67.153420	20-12-2012/15:57:37.0	limite décapage	contour	zone C	
PT3909	452887.331383	6760047.795861	67.246240	20-12-2012/15:57:52.0	limite décapage	contour	zone C	
PT3910	452886.153152	6760060.461076	67.469849	20-12-2012/15:58:17.0	limite décapage	contour	zone C	
PT3911	452862.107749	6760058.188765	67.157632	20-12-2012/15:58:52.0	limite décapage	contour	zone C	
PT3912	452863.036857	6760054.850498	67.008582	20-12-2012/15:59:13.0	limite décapage	contour	zone C	
PT3913	452876.870816	6760059.330782	66.400064	20-12-2012/15:59:56.0	limite décapage	nivellement	zone C	
PT3914	452880.938361	6760093.270953	68.095181	20-12-2012/16:00:52.0	limite décapage	contour	TR de CP02.2	
PT3915	452883.145439	6760093.409004	68.144474	20-12-2012/16:01:07.0	limite décapage	contour	TR de CP02.2	
PT3916	452884.260140	6760088.587376	68.123128	20-12-2012/16:01:31.0	limite décapage	contour	TR de CP02.2	
PT3917	452881.767293	6760088.144950	67.346816	20-12-2012/16:02:37.0	limite décapage	contour	TR de CP02.2	
PT3918	452882.193787	6760090.188037	66.415941	20-12-2012/16:02:59.0	limite décapage	nivellement	TR de CP02.2	
PT3919	452874.265136	6760066.786075	67.250798	20-12-2012/16:03:51.0	limite décapage	contour	TR de CP09	limite sud
PT3920	452876.780013	6760067.096642	67.241875	20-12-2012/16:04:05.0	limite décapage	contour	TR de CP09	limite sud
PT3921	452833.048456	6760091.761714	66.575513	20-12-2012/16:09:57.0	limite décapage	contour	sh1	souche
PT3922	452834.460785	6760092.560470	66.594469	20-12-2012/16:10:10.0	limite décapage	contour	sh1	souche
PT3923	452835.620167	6760091.884217	66.518105	20-12-2012/16:10:26.0	limite décapage	contour	sh1	souche
PT3924	452835.849800	6760090.111403	66.835126	20-12-2012/16:10:47.0	limite décapage	contour	sh1	souche
PT3925	452833.181665	6760089.876009	66.594297	20-12-2012/16:11:12.0	limite décapage	contour	sh1	souche
PT3926	452830.827950	6760098.154573	66.595097	20-12-2012/16:11:36.0	limite décapage	contour	sh2	souche
PT3927	452829.386458	6760098.542771	66.482971	20-12-2012/16:11:51.0	limite décapage	contour	sh2	souche
PT3928	452829.321021	6760099.796322	66.470350	20-12-2012/16:12:03.0	limite décapage	contour	sh2	souche
PT3929	452830.824738	6760100.028129	66.515977	20-12-2012/16:12:15.0	limite décapage	contour	sh2	souche
PT3930	452831.469691	6760098.883874	66.614855	20-12-2012/16:12:26.0	limite décapage	contour	sh2	souche
PT3931	452831.705342	6760104.604311	66.309904	20-12-2012/16:12:47.0	limite décapage	contour	sh3	souche
PT3932	452831.458072	6760110.063353	66.270764	20-12-2012/16:13:05.0	limite décapage	contour	sh3	souche

MATRICULE	X (est)	Y (nord)	Z (alti)	DATE	ÉLÉMENT TOPOGRAPHIÉ	TYPE DE POINT	IDENTIFIANT	DESCRIPTION
PT3933	452834.220754	6760110.153262	66.352644	20-12-2012/16:13:17.0	limite décapage	contour	sh3	souche
PT3934	452834.932913	6760104.222927	66.543466	20-12-2012/16:13:35.0	limite décapage	contour	sh3	souche
PT3935	452838.290702	6760098.109821	66.674479	20-12-2012/16:13:58.0	limite décapage	contour	sh4	souche
PT3936	452838.483649	6760095.195424	66.668895	20-12-2012/16:14:11.0	limite décapage	contour	sh4	souche
PT3937	452844.123621	6760095.057499	66.737840	20-12-2012/16:14:31.0	limite décapage	contour	sh4	souche
PT3938	452843.736775	6760098.617345	66.726983	20-12-2012/16:14:44.0	limite décapage	contour	sh4	souche
PT3939	452853.017969	6760108.614744	66.970226	20-12-2012/16:15:08.0	limite décapage	contour	sh5	souche
PT3940	452854.925723	6760108.330453	67.069409	20-12-2012/16:15:20.0	limite décapage	contour	sh5	souche
PT3941	452855.493981	6760105.064214	66.988559	20-12-2012/16:15:31.0	limite décapage	contour	sh5	souche
PT3942	452852.218472	6760104.644538	66.837346	20-12-2012/16:15:44.0	limite décapage	contour	sh5	souche
PT3943	452864.960090	6760113.510542	66.971956	20-12-2012/16:16:56.0	limite décapage	contour	sh6	souche
PT3944	452867.003320	6760113.881708	67.011759	20-12-2012/16:17:11.0	limite décapage	contour	sh6	souche
PT3945	452866.684918	6760118.461731	66.958756	20-12-2012/16:17:25.0	limite décapage	contour	sh6	souche
PT3946	452864.959637	6760118.482985	66.510583	20-12-2012/16:17:48.0	limite décapage	contour	sh6	souche
PT3947	452834.394291	6760076.719892	66.427545	20-12-2012/16:18:38.0	limite décapage	contour	sh7	souche
PT3948	452834.875393	6760074.124972	66.595458	20-12-2012/16:18:53.0	limite décapage	contour	sh7	souche
PT3949	452836.794766	6760074.634157	66.600601	20-12-2012/16:19:05.0	limite décapage	contour	sh7	souche
PT3950	452836.183850	6760076.907476	66.806916	20-12-2012/16:19:25.0	limite décapage	contour	sh7	souche